

Nicolae Galan  
Constantin Ghiță  
Mihai Cistelecan

---



# MASINI ELECTRICE

Editura didactică și pedagogică — București

1961

Conf. dr. ing. Nicolae Galan  
Ș. I. dr. ing. Constantin Ghiță  
Ing. Mihai Cistelean

---

# MASINI ELECTRICE

---



Contribuția autorilor la elaborarea lucrării a fost  
următoarea :

**N. GALAN** : 50%

**C. GHIȚĂ** : 32%

**M. CISTELECAN** : 18%

Referent științific : prof. dr. ing. **CONSTANTIN BALĂ**  
,

Redactor : dr. ing. **Lucia Pantelimon**

Tehnoredactor : **Sanda Dumitrașcu**

Grafician copertă : **Nicolae Sirbu**

## PREFAȚA

*În ultimele două cincinale industria electrotehnică românească a cunoscut o dezvoltare fără precedent, depășind în mod substanțial ritmurile medii realizate pe întreaga industrie. De remarcat faptul că producția de mașini electrice din anul 1979 (aproximativ 12 000 MW), din care o parte este destinată exportului, depășește 80% din puterea instalată în sistemul energetic național. S-au pus bazele unei puternice industrii electrotehnice având o dotare care permite construirea aproape a toate tipurile de mașini electrice de care are nevoie industria țării noastre. Astfel, se construiesc mașini de toate tipurile uzuale, de la mașini de putere mică până la mașini cu puteri de ordinul zecilor de mii de kilowați; se construiesc turbogeneratoare de 330 MVA și se trece la puteri de 630 MVA, iar la hidrogeneratoare cea mai mare putere realizată fiind de 190 MVA.*

*Odată cu creșterea cantitativă, s-a realizat și o largă diversificare a sortimentelor produse, acoperindu-se practic întregul necesar de mașini și aparate electrice din fabricația internă și în același timp un important fond de marfă fiind destinat exportului, la un înalt nivel tehnic, competitiv pe piețele externe.*

*Stadiul actual, cât și dezvoltarea în continuare a tehnicii românești impune formarea unor cadre cu o pregătire superioară, care să fie capabile să găsească soluțiile tehnico-științifice cele mai eficiente pentru desfășurarea unei activități de ridicată rentabilitate și calitate.*

*În acest context lucrarea elaborată oferă o parte din materialul necesar pentru analiza și soluționarea problemelor complexe ce apar în activitatea inginerului energetician chemat să conducă producția și utilizarea optimă a energiei electrice, cât și a altor forme de energie.*

*Cursul de mașini electrice predat studenților de la facultatea de energetică cuprinde următoarele capitole:*

- transformatorul;*
- elemente de teorie generală a mașinilor electrice rotative;*
- mașina asincronă;*
- mașina sincronă;*



- mașina de curent continuu;
- mașini de curent alternativ cu colector;
- mașini electrice în sistemele de acționare.

*În tratarea diferitelor capitole s-a avut în vedere prezentarea unitară a teoriei mașinilor electrice, formă care este utilă pentru studentul energetician, pregătit ca viitor inginer pentru sisteme energetice pe care trebuie să le proiecteze și să le exploateze cu o mare eficiență.*

*S-a urmărit prezentarea fenomenelor principale care au loc în transformatoarele și mașinile electrice, a regimurilor de funcționare, precum și unele elemente de acționări, strict necesare pentru o înțelegere mai completă a funcționării mașinilor electrice, precum și pentru exploatarea rațională a acestora; s-au prezentat succint și unele elemente legate de proiectarea mașinilor electrice pentru a ușura munca studenților la proiectele de an. Partea grafică a fost astfel organizată încât să ofere o informație bogată și să faciliteze prezentarea teoriei.*

*În lucrare sînt cuprinse încercările de laborator și industriale de bază, care se efectuează pentru determinarea experimentală a parametrilor, a caracteristicilor de funcționare și a performanțelor tehnice și economice. S-au prezentat și unele tipuri speciale de mașini electrice mai des întâlnite în aplicații.*

*Lucrarea este destinată studenților Facultății de energetică, dar poate fi utilă și studenților altor facultăți.*

*Autorii mulțumesc tovarășului profesor dr. ing. C. Bălă pentru recomandările făcute cu prilejul recenzării acestei lucrări.*

AUTORII

# CUPRINS

1. TRANSFORMATORUL . . . . .	11
1.1. Construcția transformatorului . . . . .	11
1.2. Principiul de funcționare al transformatorului electric monofazat . . . . .	19
1.3. Ecuațiile transformatorului electric monofazat . . . . .	20
1.3.1. Separarea fluxului magnetic în transformator . . . . .	21
1.3.2. Forma matricială a ecuațiilor transformatorului monofazat . . . . .	22
1.3.3. Forma tehnică a ecuațiilor transformatorului monofazat . . . . .	23
1.4. Transformatorul electric monofazat în regim staționar . . . . .	17
1.4.1. Schema echivalentă a transformatorului . . . . .	27
1.4.2. Diagrama fazorială a transformatorului . . . . .	28
1.4.3. Bilanțul puterilor la transformator . . . . .	28
1.4.4. Diaframa de fazori și schema echivalentă simplificată . . . . .	29
1.4.5. Calculul reactanței echivalente $X_k$ . . . . .	30
1.4.6. Caracteristicile transformatorului . . . . .	31
1.5. Transformatorul trifazat. Particularități constructive și teoretice . . . . .	32
1.5.1. Echivalența dintre o fază și un transformator monofazat . . . . .	35
1.5.2. Conexiunile transformatorului trifazat . . . . .	36
1.5.3. Încercările transformatorului . . . . .	38
1.6.1. Verificarea raportului de transformare . . . . .	38
1.6.2. Verificarea grupei de conexiuni . . . . .	40
1.6.3. Verificarea rigidității dielectrice a izolației transformatorului la frecvență industrială . . . . .	42
1.6.4. Încercarea de mers în gol . . . . .	44
1.6.5. Încercarea de scurtcircuit . . . . .	45
1.7. Funcționarea în paralel a transformatoarelor trifazate . . . . .	47
1.8. Funcționarea transformatorului trifazat în regim nesimetric . . . . .	49
1.9. Transformatoare speciale . . . . .	51
1.9.1. Transformatorul cu trei înfășurări . . . . .	51
1.9.2. Autotransformatorul . . . . .	54
1.9.3. Transformatoare de sudare cu arc . . . . .	56
1.9.4. Transformatoare de sudare prin puncte . . . . .	58
1.9.5. Transformatoare cu reglajul tensiunii sub sarcină . . . . .	61
1.9.6. Transformatoare pentru schimbarea numărului de faze . . . . .	65
1.10. Regimuri tranzitorii în transformatorul electric . . . . .	67
1.10.1. Regimul tranzitoriu la conectarea transformatorului la mersul în gol . . . . .	67

1 10.2. Regimul tranzitoriu la scurtcircuitul trifazat . . . . .	68
1. 10 3. Procese tranzitorii în transformatoare la supratensiuni . . . . .	71
1.11. Încălzirea și răcirea transformatoarelor . . . . .	77
1.12. Dispozitive de control și protecție . . . . .	80
 2. ELEMENTE GENERALE ALE TEORIEI MAȘINILOR ELECTRICE ROTATIVE	86
2 1. Cîmpul magnetic al unei înfășurări monofazate, cu pas diametral și $2p$ poli	86
2.2. Calculul cîmpului magnetic din întrefier . . . . .	88
2.3. Tensiunea magnetică în cazul curentului consinusoidal . . . . .	91
2.4. Cîmpul magnetic al unei înfășurări monofazate cu $2p$ poli și $q$ creștături pe pol	91
2.5. Cîmpul magnetic al unei înfășurări monofazate cu $2p$ poli și pas scurtat . . .	94
2.6. Cîmpul magnetic învîrtitor al armăturii rotitoare . . . . .	96
2.7. Cîmpul magnetic învîrtitor produs de un sistem trifazat de curenți care parcurge un sistem trifazat de înfășurări . . . . .	100
2.8. Corelația între tensiunea magnetică rezultantă și curentul reprezentativ . . .	106
2.9. Sisteme de coordonate . . . . .	108
2.10. Cîmpurile magnetice ale mașinilor electrice . . . . .	112
2.11. Curentul de excitație raportat la stator . . . . .	114
2.12. Tensiunea electromotoare indusă într-o bobină . . . . .	115
2.13. Armonici de dinți . . . . .	119
2.14. Principiul de funcționare al colectorului . . . . .	120
2.15. Înfășurările mașinilor electrice . . . . .	123
2.15.1. Înfășurări de curent alternativ . . . . .	123
2.15.2. Înfășurări de curent continuu . . . . .	130
2.16. Tensiuni electromotoare induse în înfășurările mașinilor electrice . . . . .	137
2.17. Caracteristica magnetică . . . . .	143
2.18. Cîmpul magnetic de scăpări . . . . .	145
2.19. Efectul pelicular . . . . .	152
2 20. Solenția specifică (pătura de curent) . . . . .	154
2.21. Cuplul electromagnetic . . . . .	155
2.22. Materiale utilizate în construcția mașinilor electrice . . . . .	159
2.22.1. Materiale active . . . . .	159
2.22.2. Materiale electroizolante . . . . .	164
2.22.3. Materiale constructive . . . . .	167
 3. MAȘINA ASINCRONA . . . . .	174
3.1. Generalități. Elemente constructive de bază . . . . .	174
3.2. Regimurile de funcționare ale mașinii asincrone . . . . .	174
3.3. Inductivități proprii și mutuale la mașina asincronă . . . . .	181
3.4. Fluxurile magnetice reprezentative ale mașinii asincrone trifazate . . . . .	183
3 5. Ecuațiile generale ale mașinii asincrone trifazate . . . . .	184
3.6. Ecuațiile mașinii asincrone trifazate în regim staționar . . . . .	186
3.7. Ecuațiile mașinii asincrone în teoria tehn. că . . . . .	188
3.8. Diagrama fazorială a motorului asincron . . . . .	189
3.9. Schemele echivalente ale motorului asincron . . . . .	190
3.10. Cuplul electromagnetic al mașinii asincrone . . . . .	192
3 11. Caracteristicile motorului asincron trifazat . . . . .	194
3 11 1. Caracteristica mecanică și stabilitatea funcționării mașinii asincrone	194
3 11.2. Caracteristicile de funcționare ale motorului asincron definite în funcție de puterea utilă $P_2$ . . . . .	196

3.12. Diagrama cercului	198
3.13. Tipuri de rotoare ale motorului asincron trifazat	203
3.13.1. Motoare asincrone trifazate cu rotor cu colivie	203
3.13.2. Motoare asincrone cu refulare a curentului în înfășurarea indusă	204
3.14. Pornirea motoarelor asincrone trifazate	211
3.14.1. Probleme generale	211
3.14.2. Calculul caracteristicilor care intervin la pornire	211
3.14.3. Pornirea motoarelor asincrone cu rotor bobinat	213
3.14.4. Pornirea motoarelor cu rotor în colivie	116
3.15. Reglarea turației motoarelor asincrone trifazate	218
3.16. Frinarea și inversarea sensului de rotație la motoarele asincrone trifazate	229
3.17. Generatorul asincron	233
3.18. Încercările motoarelor asincrone trifazate	235
3.19. Cuplurile parazite ale motorului asincron	238
3.20. Regimuri speciale de funcționare ale mașinii asincrone	242
3.20.1. Mașina asincronă cu dublă alimentare	242
3.20.2. Regimul de arbore electric	243
3.20.3. Regimul de modificador de frecvență	244
3.20.4. Regulatorul de inducție	245
3.20.5. Regulatorul de fază	246
3.20.6. Regimul de bobină reglabilă	147
3.21. Mașina asincronă lineară	247
3.22. Funcționarea mașinii asincrone în regimuri nesimetrice	248
3.23. Mașina asincronă monofazată	150
3.23.1. Cuplul electromagnetic	251
3.23.2. Diagrama cercului mașinii asincrone monofazate	252
3.23.3. Mașina monofazată cu fază auxiliară	252
3.23.4. Motorul cu poli ecranati	254
3.23.5. Servomotorul asincron bifazat	255
3.23.6. Servomotorul asincron bifazat cu rotorul în formă de pahar	255
3.24. Regimuri tranzitorii la mașina asincronă	255
3.24.1. Procesul tranzitoriu de conectare la rețea	256
3.24.2. Deconectarea mașinii sincrone de la rețea	258
3.24.3. Scurtcircuitul unei mașini asincrone	258
3.25. Motoare asincrone de mare putere	259
3.26. Motoare asincrone suprarapide	266
3.27. Micromașini de tip asincron	269
3.27.1. Selsinele	269
3.27.2. Transformatoarele rotitoare	273
3.27.3. Inductosinele	273
4. MAȘINA SINCRONĂ	275
4.1. Generalități, elemente constructive	275
4.2. Principiul de funcționare al generatorului sincron și bilanțul de puteri active	277
4.3. Inductivitățile mașinii sincrone	282
4.3.1. Mașina sincronă cu înfășurăr de amortizare	285
4.4. Fluxul magnetic reprezentativ al înfășurării trifazate statorice	285
4.5. Ecuațiile mașinii sincrone	286
4.6. Ecuațiile mașinii sincrone în regim staționar	288
4.7. Câmpul magnetic din întrefierul mașinii sincrone	289
4.7.1. Câmpul magnetic de reacție al mașinii sincrone	290

4.8.	Diagrama fazorială a generatorului sincron . . . . .	295
4.9.	Cuplul electromagnetic . . . . .	297
4.10.	Caracteristicile generatorului sincron . . . . .	301
4.11.	Determinarea curentului de excitație și a variației de tensiune la generatorul sincron . . . . .	309
4.12.	Funcționarea în paralel a generatoarelor sincrone . . . . .	311
4.13.	Înfășurarea de amortizare a mașinii sincrone . . . . .	314
4.14.	Funcționarea generatorului sincron la putere activă constantă și excitație variabilă. Curbele în V . . . . .	317
4.15.	Repartiția puterii active și reactive între generatoarele sincrone conectate în paralel . . . . .	319
4.16.	Motorul sincron . . . . .	320
4.16.1.	Ecuatia tensiunilor. Diagrama de fazori . . . . .	321
4.16.2.	Funcționarea la cuplu constant și curent de excitație variabil. Carac- teristicile în V. . . . .	323
4.16.3.	Caracteristicile motorului sincron . . . . .	324
4.17.	Compensatorul sincron . . . . .	325
4.18.	Diagrama curentului mașinii sincrone . . . . .	325
4.19.	Pornirea și frînarea motorului sincron . . . . .	327
4.20.	Autoexcitarea generatorului sincron . . . . .	332
4.21.	Ecuatiile mașinii sincrone cu înfășurări de amortizare . . . . .	331
4.22.	Parametrii operaționali ai mașinii sincrone . . . . .	338
4.22.1.	Scheme echivalente ale reactanțelor în regim tranzitoriu . . . . .	341
4.22.2.	Constantele de timp ale mașinii sincrone . . . . .	342
4.22.3.	Calculul curenților $i_d$ și $i_q$ . . . . .	343
4.23.	Fenomene tranzitorii în mașina sincronă . . . . .	344
4.23.1.	Scurtcircuitul trifazat brusc al mașinii sincrone . . . . .	344
4.23.2.	Calculul curentului de scurtcircuit brusc trifazat pe baza conservării fluxului magnetic . . . . .	348
4.23.3.	Scurtcircuitul bifazat brusc al mașinii sincrone . . . . .	352
4.23.4.	Scurtcircuitul monofazat brusc al mașinii sincrone . . . . .	354
4.23.5.	Pendulațiile mașinii sincrone . . . . .	355
4.24.	Funcționarea în asincron a mașinii sincrone . . . . .	365
4.25.	Determinarea experimentală a parametrilor . . . . .	367
4.25.1.	Determinarea impedențelor $Z_d''$ și $Z_q''$ prin încercarea statică . . . . .	367
4.25.2.	Determinarea reactanțelor sincrone prin metoda alunecărilor mici . . . . .	369
4.25.3.	Metode bazate pe regimuri permanente de scurtcircuit . . . . .	369
4.25.4.	Metoda scurtcircuitului trifazat brusc . . . . .	370
4.25.5.	Determinarea valorii saturate a reactanțelor $X_d$ și $X_q$ . . . . .	371
4.25.6.	Determinarea reactanțelor $X_d''$ și $X_q''$ prin măsurarea tensiunii de revenire . . . . .	373
4.25.7.	Măsurarea impedenței de succesiune inversă și homopolară . . . . .	374
4.26.	Măsurarea unghiului intern la mașina sincronă . . . . .	375
4.27.	Sisteme de excitație pentru mașini sincrone . . . . .	381
4.28.	Mașini sincrone de mare putere . . . . .	389
4.28.1.	Criomașini sincrone . . . . .	398
4.29.	Mașini sincrone speciale . . . . .	404
4.29.1.	Generatoare sincrone de frecvență ridicată . . . . .	404
4.29.2.	Mașina sincronă cu polii în ghiare . . . . .	405
4.29.3.	Motorul sincron reactiv . . . . .	407
4.29.4.	Motorul sincron cu histerezis . . . . .	408
4.29.5.	Motorul sincron pas cu pas . . . . .	409

5. MAȘINA DE CURENT CONTINUU . . . . .	411
5.1. Generalități. Elemente constructive . . . . .	411
5.2. Cuplul electromagnetic al mașinii de curent continuu . . . . .	415
5.3. Câmpul magnetic din întrefierul mașinii de curent continuu la funcționarea în sarcină . . . . .	418
5.4. Comutația mașinii de curent continuu . . . . .	421
5.5. Regimul de generator al mașinii de curent continuu . . . . .	428
5.5.1. Caracteristicile generatoarelor de curent continuu . . . . .	429
5.5.2. Funcționarea în paralel a generatoarelor de curent continuu . . . . .	435
5.6. Regimul de motor al mașinii de c.c. . . . .	437
5.6.1. Motorul cu excitație derivație . . . . .	438
5.6.2. Motorul cu excitație serie . . . . .	443
5.6.3. Motorul cu excitație mixtă (compund) . . . . .	445
5.7. Frinarea cu mașini de curent continuu . . . . .	446
5.8. Regimurile tranzitorii la mașina de curent continuu . . . . .	448
5.8.1. Regimurile tranzitorii la generatoarele de curent continuu . . . . .	449
5.8.2. Regimurile dinamice ale motoarelor de curent continuu . . . . .	451
5.9. Alte tipuri de mașini de curent continuu . . . . .	455
5.9.1. Mașina de curent continuu cu magneți permanenți . . . . .	455
5.9.2. Mașina de curent continuu cu întrefier axial . . . . .	456
5.9.3. Pompă electromagnetică de conducție . . . . .	460
5.9.4. Amplidina . . . . .	460
5.9.5. Rototrolul și regulexul . . . . .	463
5.9.6. Metadina . . . . .	463
5.9.7. Generator de curent continuu cu poli de dispersie . . . . .	465
6. MAȘINI DE CURENT ALTERNATIV CU COLECTOR . . . . .	465
6.1. Mașini de curent alternativ monofazate cu colector . . . . .	465
6.1.1. Mașina serie monofazată cu colector . . . . .	468
6.1.2. Mașina cu repulsie . . . . .	470
6.2. Mașini de curent alternativ trifazate cu colector . . . . .	476
6.2.1. Mașina trifazată derivație cu colector alimentată prin rotor cu două rinduri de perii mobile . . . . .	476
6.2.2. Mașina trifazată derivație cu colector alimentată prin stator . . . . .	479
6.2.3. Mașina trifazată serie cu colector . . . . .	481
6.3. Motoare asincrone compensate și compensatoare de fază . . . . .	484
6.3.1. Motorul asincron compensat . . . . .	485
6.3.2. Compensatorul de fază autoexcitat . . . . .	485
7. MOTOARE ELECTRICE ÎN SISTEMLILE DE ACȚIONARE ELECTRICA . . . . .	487
7.1. Structura sistemelor electrice de acționare . . . . .	487
7.2. Elementele sistemelor de acționare . . . . .	489
7.2.1. Caracteristicile proceselor acționate ( <i>P.A.</i> ) . . . . .	489
7.2.2. Transmisii . . . . .	491
7.2.3. Elemente de execuție . . . . .	492
7.2.4. Traductoarele . . . . .	513
7.2.5. Elementele dispozitivelor automate . . . . .	519
7.3. Sistemele electrice de acționare . . . . .	522
7.3.1. Sistemele de acționare electrică continuă . . . . .	523
7.3.2. Sisteme discrete cu stări finite . . . . .	525
7.3.3. Sisteme discrete eșantionate (numerice) . . . . .	526

7.4. Scheme de comandă automatizate pentru motoarele electrice . . . . .	528
7.4.1. Pornirea motoarelor asincrone . . . . .	528
7.4.2. Pornirea motoarelor sincrone . . . . .	534
7.4.3. Pornirea motoarelor de curent continuu . . . . .	536
7.5. Scheme de reglare a vitezei motoarelor electrice . . . . .	538
7.5.1. Motoare asincrone . . . . .	538
7.5.2. Motoare sincrone . . . . .	546
7.5.3. Motoare de curent continuu . . . . .	547
7.6. Particularități ale sistemelor electrice de acționare cu dispozitive semiconductoare	551
7.7. Alegerea motoarelor de acționare electrică . . . . .	554
<i>Anexe</i> . . . . .	557
<i>Bibliografie</i> . . . . .	587

# TRANSFORMATORUL

## 1.1. CONSTRUCȚIA TRANSFORMATORULUI

*Transformatorul electric* se compune dintr-un miez feromagnetic pe care sînt așezate înfășurările. Miezul feromagnetic are rolul de a mări cuplajul magnetic al înfășurărilor. La frecvențe foarte mari (10—20 kHz și mai mult) transformatoarele se fac și fără miez feromagnetic.

După numărul de faze transformatoarele sînt *monofazate* și *polifazate*, cel mai adesea trifazate. După numărul de înfășurări transformatoarele se construiesc cu două înfășurări și mai rar cu trei sau mai multe înfășurări. După modul de răcire se construiesc transformatoare uscate, răcite prin convecție liberă sau forțată prin intermediul unui gaz și transformatoare în baie de ulei care sînt răcite prin intermediul uleiului.

Clasa transformatoarelor speciale cuprinde diferite tipuri constructive din care se menționează: — *transformatorul de putere cu trei înfășurări* care permite alimentarea sau interconectarea simultană cu un singur transformator a mai multor rețele de tensiuni diferite; — *transformatorul de faze* care simultan cu schimbarea tensiunii modifică și numărul de faze, utilizate mai ales în stații de redresare; — *transformatoare cu destinație specială*: transformatoare de sudură, de mare intensitate, de tensiune foarte înaltă, transformatoare de măsură, de radio etc.

*Mărimile nominale* care caracterizează transformatorul și care sînt înscrise de obicei pe plăcuța sa indicatoare sînt:

— *puterea nominală a transformatorului* este puterea aparentă la bornele circuitului secundar exprimată în VA, kVA sau MVA pentru care nu sînt depășite limitele de încălzire admisibile ale elementelor transformatorului în condiții de mediu indicate; *tensiunile nominale de linie* exprimate în V sau kV; *curenții nominali de linie* exprimați în A sau kA; *frecvența nominală* în Hz; *numărul de faze*; *schema și grupa de conexiuni*; *tensiunea nominală de scurtcircuit* în procente; *regimul de funcționare* (continuu sau de scurtă durată); *felul răcirii*.

În afară de aceste date, pe plăcuța transformatorului sînt înscrise și date suplimentare necesare la instalarea transformatorului:

— masa totală a transformatorului; masa uleiului; masa părții decuvabile a transformatorului.

Principalele elemente constructive ale transformatorului sînt *miezul feromagnetic* și *înfășurările*.

Miezul se construiește din tole de 0,35 mm (mai rar 0,5 mm) grosime, tăiate din tablă silicioasă puternic aliată, laminată la cald sau texturată



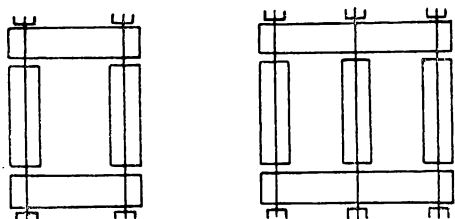


Fig. 1.1. Îmbinarea miezului feromagnetic cu jug suprapus.

permeabilitatea magnetică mai mare pentru un anumit domeniu de valori ale inducției, însă aceste tole sînt mai scumpe și prezintă o importantă anizotropie magnetică. Miezul feromagnetic este format din *coloane* și *juguri*. Pe coloane se așază înfășurările. Deoarece înfășurările se execută în afara miezului și ulterior se montează pe coloanele transformatorului, miezul feromagnetic se construiește din două sau mai multe părți.

La transformatoarele de putere jugurile se construiesc demontabile. Jugurile leagă între ele coloanele și nu poartă înfășurări. Îmbinarea jugului cu coloanele se poate efectua prin suprapunere în care caz rezultă un întrefier net cu o lărgime de 0,1 pînă la 1 mm. În acest întrefier se prevede o izolație pentru a evita scurtcircuitarea tolelor și creșterea pierderilor suplimentare prin curenți turbionari (fig. 1.1).

În practică se preferă ca tolele să se asambleze întrețesut pentru a micșora efectele interstițiilor de asamblare și a conferi totodată o rigiditate mai mare a miezului.

În figura 1.2 se arată două straturi succesive de tole la asamblarea miezului transformatorului monofazat de forță și două straturi succesive ale miezului transformatorului trifazat de forță. Miezul asamblat se consolidează pe coloane cu chingi sau prin buloane izolate și pe juguri cu grinzii de strîngere.

Coloanele au secțiuni de formele arătate în figura 1.3; secțiuni cu număr mic de trepte se folosesc la puteri mici; pe măsură ce puterea transformato-

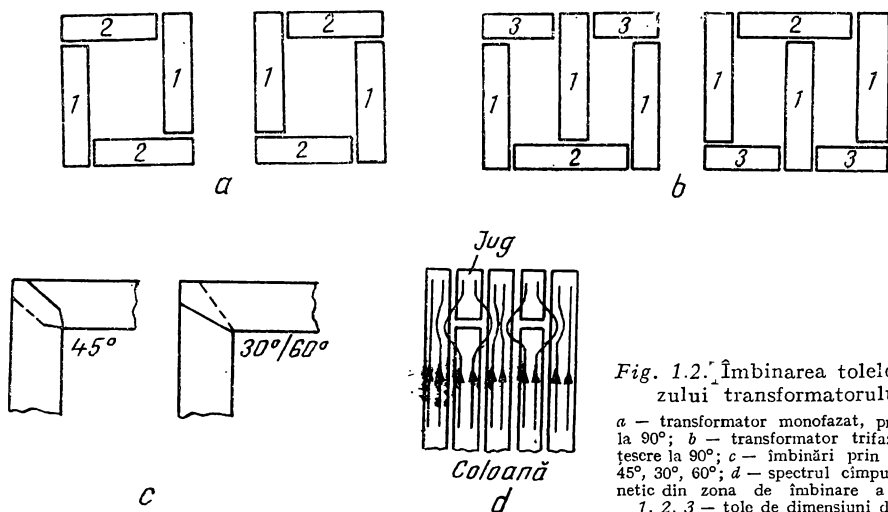


Fig. 1.2. Îmbinarea tolelor miezului transformatorului:

a — transformator monofazat, prin țesere la 90°; b — transformator trifazat, prin țesere la 90°; c — îmbinări prin țesere la 45°, 30°, 60°; d — spectrul cimpului magnetic din zona de îmbinare a tolelor; 1, 2, 3 — tole de dimensiuni diferite.

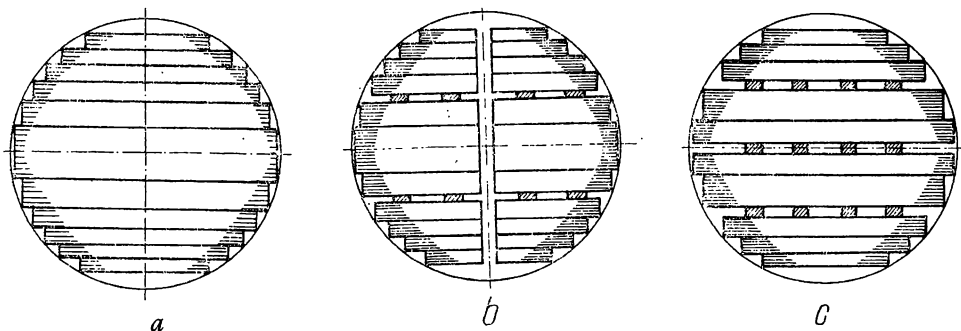


Fig. 1.3. Secțiuni ale coloanelor transformatorului:

*a* — fără canale; *b* și *c* — cu canale de răcire.

relor — deci și diametrul coloanei crește — se mărește numărul de trepte ale secțiunii, astfel încât cercul circumscris coloanei să fie cât mai bine umplut, pentru a folosi cât mai bine materialul conductor al bobinelor. La unitățile de mare putere se prevăd de-a lungul circuitului magnetic canale de răcire care pot fi perpendiculare pe planul tolelor (radiale) sau paralele cu acest plan (axiale) (fig. 1.3). Prima dispoziție a canalelor, care este mult mai complicată din punct de vedere constructiv decât a doua, prezintă avantajul unei mai eficace răciri a tolelor, transmiterea căldurii nefiind îngreuiată de straturile de izolație dintre tole.

Jugurile au secțiuni de forma indicată în figura 1.4.

Aceste secțiuni de jug sînt specifice miezurilor confecționate din tablă laminată la cald. Pentru jugurile din figura 1.4, *a*, *b*, *c* treptele jugului sînt aliniate la nivelul ferestrei la aceeași cotă, presarea bobinajului se face eficient. În figurile 1.4, *d*, *e*, *f*, *g*, se prezintă secțiuni de juguri cu trepte înspre coloană, ceea ce face în anumite cazuri scoaterea cu ușurință a capetelor bobinajului așezat lângă coloana transformatorului. Aria secțiunii jugului se face de obicei cu 5—15% mai mare decât a coloanei pentru a se reduce pierderile în fier, curenții de mers în gol și pentru a egaliza curenții de mers în gol pe cele trei faze ale transformatorului trifazat.

Miezul feromagnetic se poate construi cu coloane sau în manta. Transformatoarele cu coloane se utilizează mai mult în practică. În figura 1.5, *a* se arată transformatorul monofazat și trifazat cu coloane, în figura 1.5, *b* se arată transformatorul monofazat și trifazat în manta, iar în figura 1.5, *c*, transformatorul trifazat cu cinci coloane. În figurile 1.5, *A* — 1.5, *F* se prezintă diferite construcții ale părților active ale transformatoarelor.

Înfășurările transformatorului sînt construite din conductor de cupru sau aluminiu, izolat cu bumbac sau hîrtie la transformatoarele încuvate în ulei sau cu email la transformatoare răcite cu aer — denumite și uscate. Transformatorul monofazat prezintă cel puțin două înfășurări așezate pe

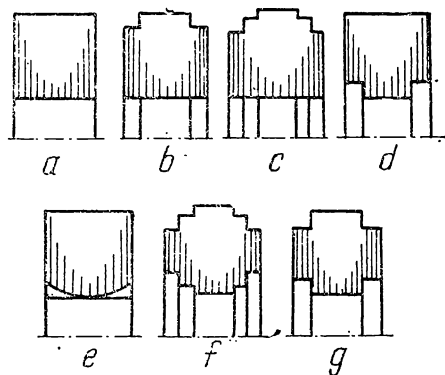


Fig. 1.4. Secțiuni de juguri ale miezului unui transformator.

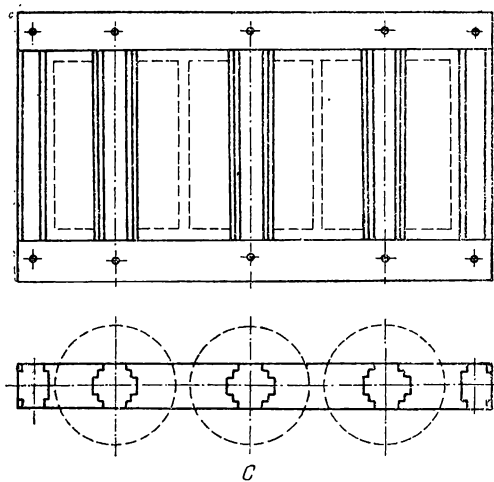
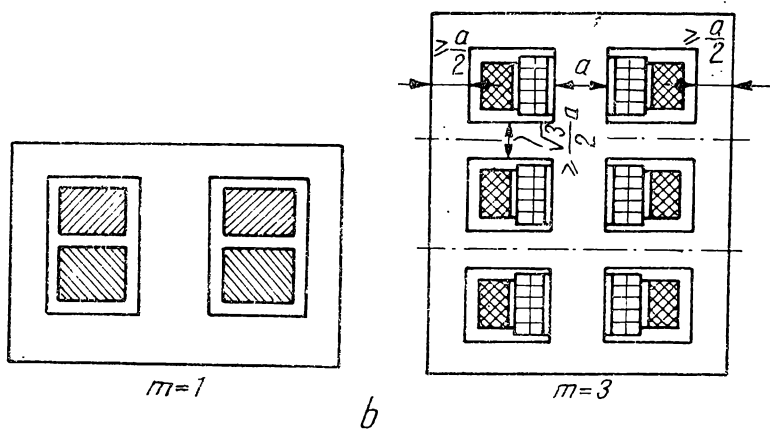
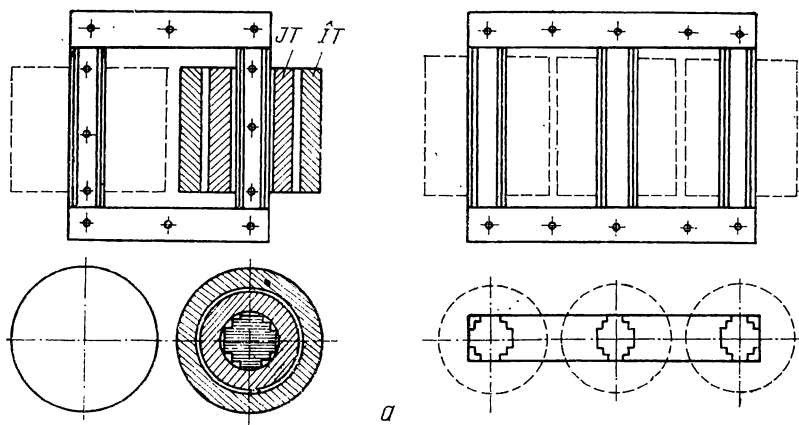
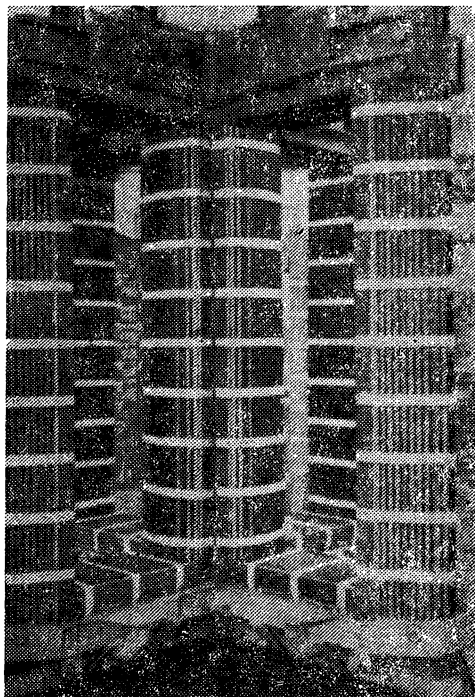
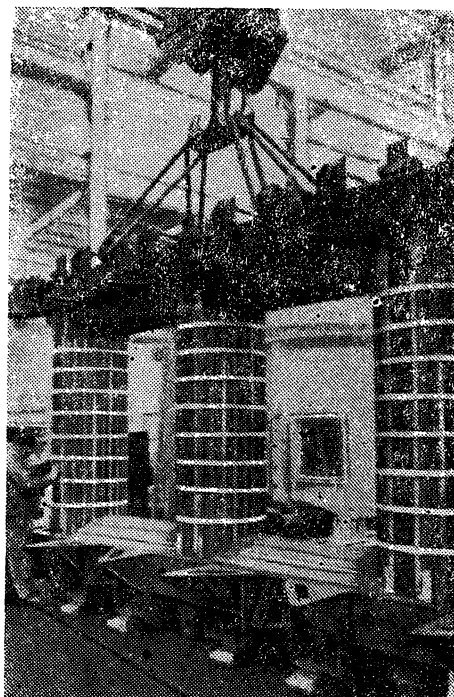


Fig. 1.5. Transformatorul monofazat și trifazat cu trei coloane (a), în manta (b) și trifazat cu cinci coloane (c).



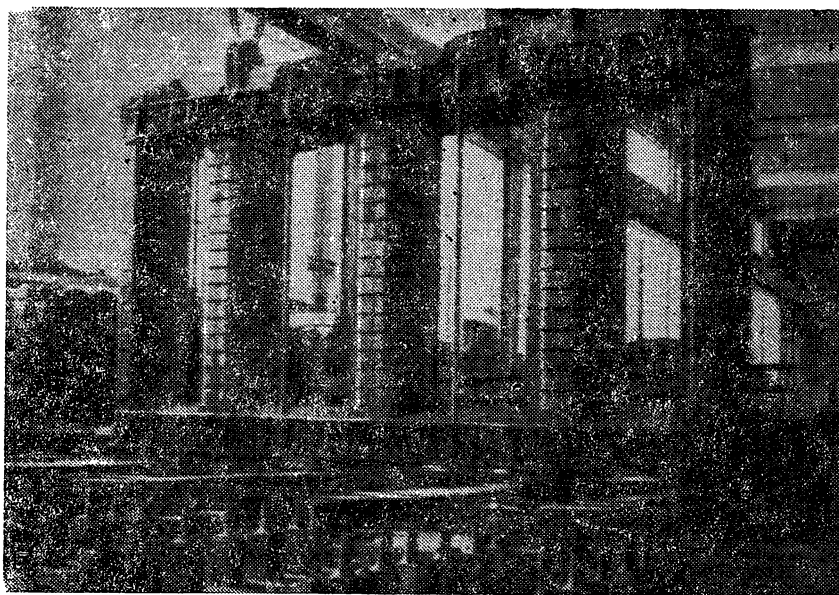
A

Fig. 1.5,A. Miezu unui transformator monofazat cu dispunerea în cruce a circuitului magnetic, fără buleane de presare (Brown-Boveri).



B

Fig. 1.5,B. Miezu unui transformator trifazat cu coloane în linie asamblate prin bandaje, iar jugurile prin buleane.



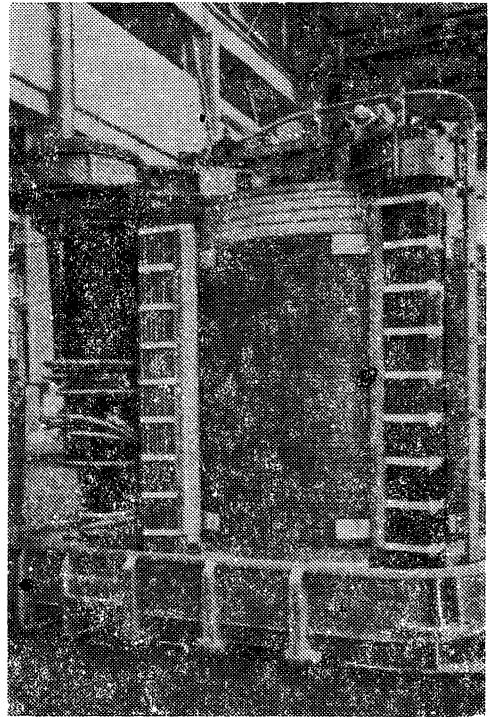
C

Fig. 1.5,C. Miezu magnetic al unui transformator cu 5 coloane (315 MVA și 220/110 kV, Elin-Union).



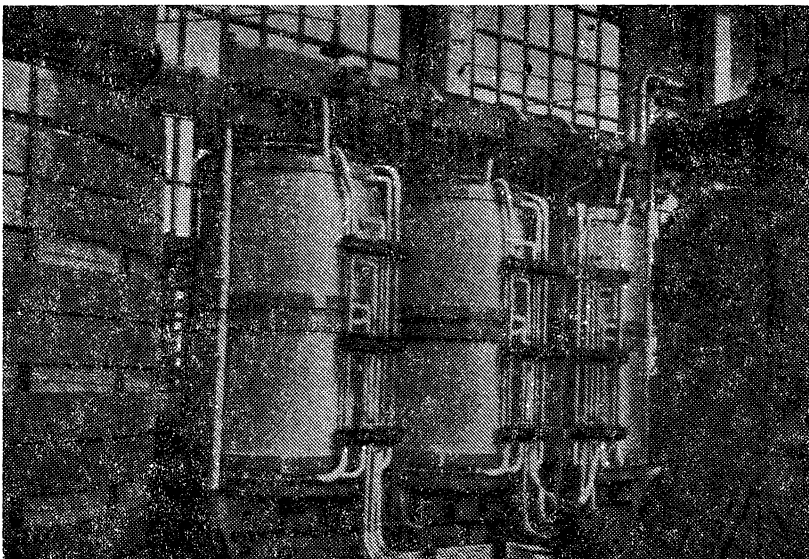
*D*

*Fig. 1.5,D.* Coloană în evolventă pentru un transformator de 630 kVA, 20. kV, 50 Hz (Brown-Boveri).



*E*

*Fig. 1.5,E.* Partea activă a unui transformator monofazat avînd circuitul magnetic în cruce.



*F*

*Fig. 1.5,F.* Partea activă a unui transformator trifazat de 40 MVA.

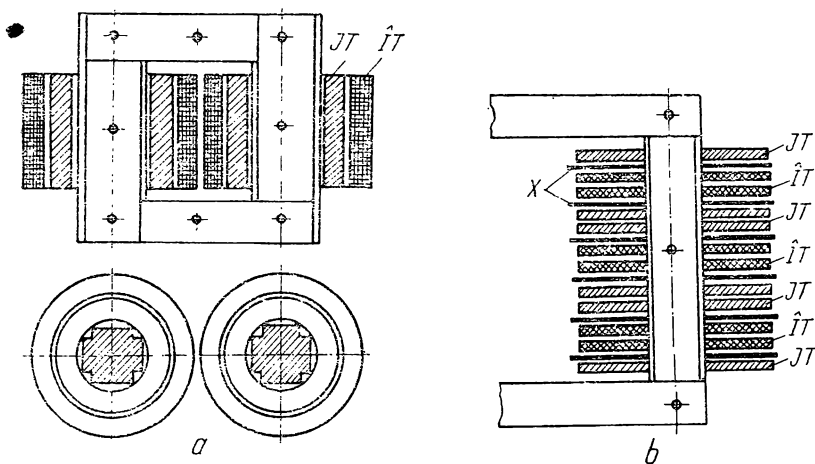


Fig. 1.6. Înfășurările transformatorului:

a - înfășurări cilindrice concentrice; b - înfășurări în galeți alternați; JT - joasă tensiune; IT - înaltă tensiune; X - izolație.

miez. Una din înfășurări se conectează la o sursă de curent alternativ și este denumită *înfășurarea primară* (notată cu indicele 1), cealaltă înfășurare la bornele căreia se conectează circuitele receptoare se numește *înfășurare secundară* (indice 2). Înfășurarea având tensiunea ridicată se numește *înfășurare de înaltă tensiune* și se notează *IT*, iar înfășurarea de tensiune mai mică se numește *înfășurare de joasă tensiune* și se notează *JT*.

Înfășurările transformatorului se construiesc ca înfășurări cilindrice (fig. 1.6,a) sau ca înfășurări cu galeți alternați (fig. 1.6, b).

La înfășurările cilindrice concentrice înfășurarea primară și înfășurarea secundară sînt așezate suprapus pe coloană. De obicei lîngă miez este așezată înfășurarea de joasă tensiune, iar în exterior înfășurarea de înaltă tensiune (fig. 1.6,A).

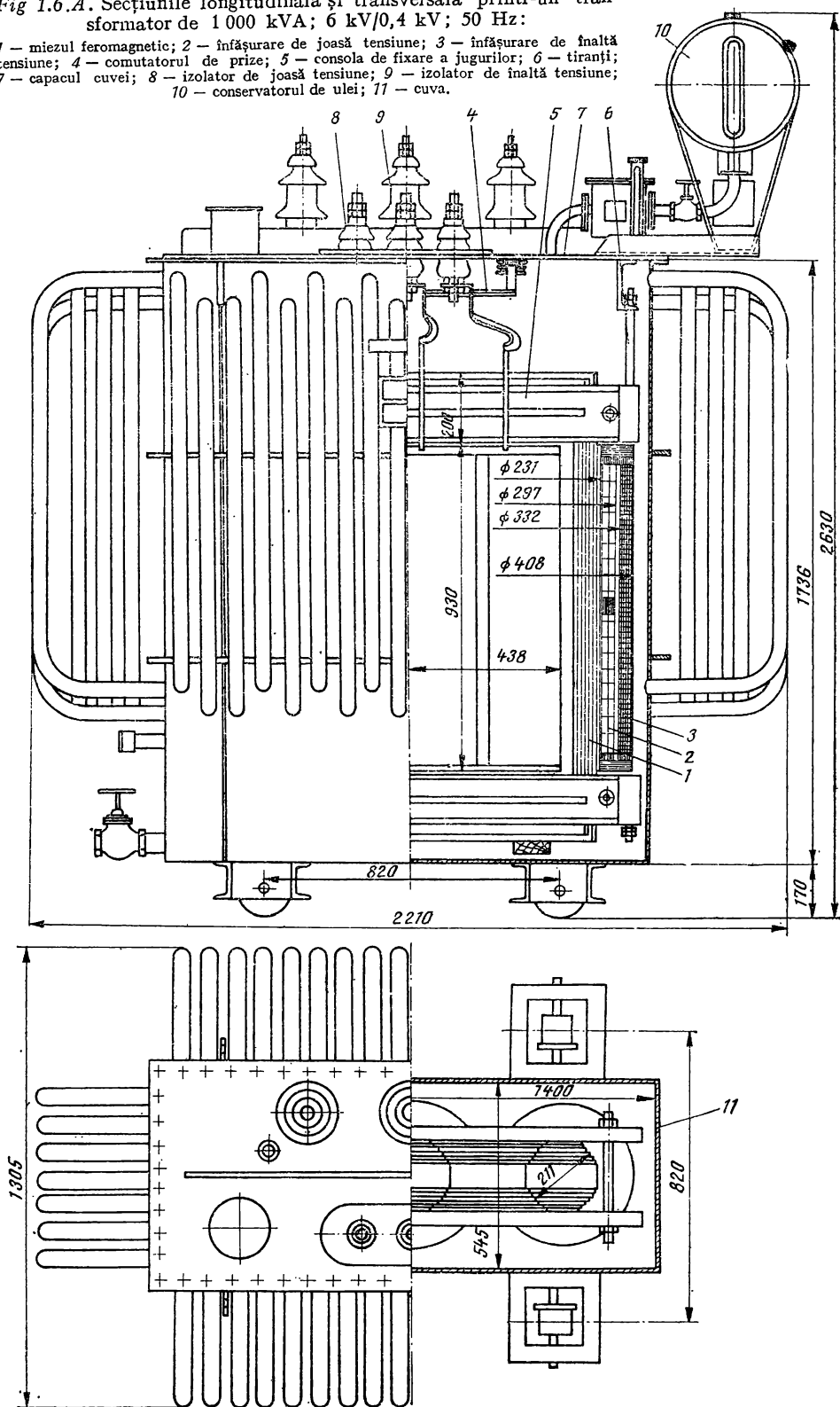
La înfășurările cu galeți alternați o porțiune de joasă tensiune alternează de-a lungul coloanei cu o porțiune de înfășurare de înaltă tensiune. De regulă spre juguri se așază porțiuni de înfășurare de joasă tensiune.

În construcția transformatoarelor normale de putere se utilizează înfășurările cilindrice concentrice; înfășurările în galeți alternați se utilizează numai la transformatoare speciale cu inductivități de scăpări foarte mici. Din punct de vedere constructiv odată cu creșterea puterii sau a tensiunii unui transformator apar noi exigențe tehnice greu de satisfăcut. La transformatoare de foarte mare putere a căror putere depășește 500 MVA apar probleme dificile de dimensionare datorită cîmpurilor mari de dispersie, curenților mari, cantităților mari de căldură ce se produc în înfășurări, forțelor electro-dinamice etc.

O dificultate în plus este aceea că se impune o netă limitare a greutateii și gabaritului datorită posibilităților de transport. Progresele tehnice au permis construcția transformatoarelor de foarte mare putere. În prezent sînt în funcție transformatoare trifazate de 1300 MVA. Uzinele „Electroputere” Craiova fabrică transformatoare trifazate de 400 MVA cu tensiunea de 400/24 kV. Pentru tensiuni mai mari de 1200 kV pentru care se construiesc numai transformatoare monofazate sînt posibile de atins puteri de 3000 MVA la tensiuni de 1200/525 kV pentru autotransformator și puteri de 2000 MVA la transformator.

Fig 1.6.A. Secțiunile longitudinală și transversală printr-un transformator de 1000 kVA; 6 kV/0,4 kV; 50 Hz:

1 — miezul feromagnetic; 2 — înfășurare de joasă tensiune; 3 — înfășurare de înaltă tensiune; 4 — comutatorul de prize; 5 — consola de fixare a jugurilor; 6 — tiranți; 7 — capacul cuvei; 8 — izolator de joasă tensiune; 9 — izolator de înaltă tensiune; 10 — conservatorul de ulei; 11 — cuva.



## 1.2. PRINCIPIUL DE FUNCȚIONARE AL TRANSFORMATORULUI ELECTRIC MONOFAZAT

Funcționarea transformatorului monofazat se bazează pe legea inducției electromagnetice și anume a inducției mutuale între două circuite imobile unul față de altul. În figura 1.7 este reprezentată schema de principiu a unui transformator monofazat.

Notăm începutul și sfârșitul înfășurării primare cu  $A$  respectiv cu  $X$ , iar a înfășurării secundare cu  $a$  respectiv cu  $x$ .

Dacă se aplică tensiunea  $u_1$  la bornele  $AX$ , tensiune care este variabilă în timp, atunci înfășurarea  $AX$  va absorbi de la rețeaua electrică de alimentare curentul  $i_1$ ; acest curent va produce un câmp magnetic ale cărui linii se vor închide pe drumul de reluctanță minimă, străbătând și cealaltă înfășurare denumită înfășurare secundară.

Deci spirele înfășurării secundare vor fi înălțuite de un flux magnetic fascicular creat de curentul primar, flux magnetic variabil în timp ca și curentul  $i_1$ . Prin urmare în spirele înfășurării secundare se va induce o tensiune electromotoare și va apărea o anumită tensiune  $u_{20}$  la bornele  $ax$  ale înfășurării.

Această tensiune poate fi mai mare sau mai mică funcție de numărul de spire al înfășurării secundare, altfel spus t.e.m. indusă în înfășurarea secundară este proporțională cu numărul de spire al acestei înfășurări. Dacă la bornele  $ax$  este legat un receptor de rezistență  $R$ , de capacitate  $C$  și de inductivitate  $L$  atunci circuitul secundar este închis și sub acțiunea t.e.m. induse, înfășurarea secundară va fi străbătută de un curent  $i_2$ , iar la bornele receptorului tensiunea ia valoarea  $u_2$ . Dacă tensiunea secundară este mai mare decât cea primară ( $U_2 > U_1$ ) transformatorul este ridicător de tensiune; dacă tensiunea secundară  $U_2$  este mai mică decât cea primară  $U_1$  ( $U_2 < U_1$ ), el este coborâtor de tensiune.

Transformatorul absoarbe prin înfășurarea primară puterea instantanee  $u_1 i_1$  de la rețeaua de alimentare și cedează puterea instantanee  $u_2 i_2$  pe la bornele înfășurării secundare. Neglijând orice pierderi în transformator și orice înmagazinare de energie în câmpurile magnetice se obține relația:  $u_1 i_1 = u_2 i_2$ .

Așadar transformatorul schimbă valoarea tensiunii  $u_1$  a rețelei de alimentare la valoarea  $u_2$  care convine receptorului conectat la bornele înfășurării secundare, fără a schimba esențial valoarea puterii cerute de la rețea. Transmitia la distanță a puterilor electrice mari este mai economică la tensiuni mult mai ridicate decât la tensiunile la care se produc, deoarece la tensiuni ridicate curenții au valori reduse iar pierderile provocate de curenți pe liniile de transport sînt mult mai mici; pentru ridicarea tensiunii în centralele electrice și coborîrea acesteia la consumatori se utilizează transformatoarele electrice de putere.

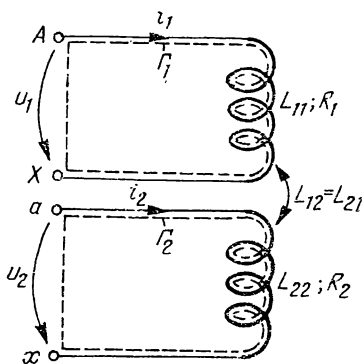


Fig. 1.7. Schema de principiu a transformatorului monofazat.



### 1.3. ECUAȚIILE TRANSFORMATORULUI ELECTRIC (MONOFAZAT)

Deducerea acestor ecuații se bazează pe utilizarea inductivităților proprii și mutuale ale înfășurărilor transformatorului. Se va presupune că circuitul magnetic este liniar, adică inductivitățile proprii și mutuale ale celor două circuite sînt constante independent de valorile curenților sau tensiunilor. Se presupune deci că circuitul magnetic nu prezintă saturație sau fenomenul de histerezis; se consideră de asemenea că în circuitul magnetic nu se produc pierderi de putere. Presupunem că transformatorul funcționează în sarcină în sensul că la bornele înfășurării primare se aplică tensiunea  $u_1$  a unei rețele de alimentare, iar la bornele înfășurării secundare este conectat un receptor.

Fie  $L_{11}$  și  $L_{22}$  inductivitățile proprii ale celor două înfășurări și  $L_{12} = = L_{21}$  inductivitatea mutuală a celor două înfășurări. Fie  $i_1$  curentul din înfășurarea primară cu sensul pozitiv arătat în figura 1.7, circuitul primar fiind presupus receptor și  $i_2$  curentul din înfășurarea secundară, circuitul secundar fiind considerat circuit generator. Sensul lui  $i_2$  a fost ales astfel ca să magnetizeze circuitul magnetic în același sens ca  $i_1$ .

Aplicînd legea inducției electromagnetice în lungul a două contururi  $\Gamma_1$  și  $\Gamma_2$  care trec respectiv prin conductorul unei înfășurări și se închid între bornele  $AX$ , respectiv  $ax$ , în lungul curbei de calcul a tensiunii la borne, se deduc relațiile care explică comportarea generală a transformatorului.

Se va avea în vedere că în lungul conductoarelor există numai căderile ohmice de tensiune și că fluxurile magnetice care înlanțuie contururile  $\Gamma_1$  și  $\Gamma_2$  sînt produse numai de curenții din cele două înfășurări. Notăm cu  $R_1$  și  $R_2$  rezistențele celor două înfășurări. Avînd în vedere sensurile de parcurgere ale conturilor  $\Gamma_1$  și  $\Gamma_2$  se poate scrie :

$$R_1 i_1 - u_1 = - \frac{d\varphi_1}{dt} = - \frac{d}{dt} (L_{11} i_1 + L_{12} i_2) \quad (1.1)$$

$R_2 i_2 + u_2 = - \frac{d\varphi_2}{dt} = - \frac{d}{dt} (L_{22} i_2 + L_{21} i_1)$  unde  $\varphi_1$  este fluxul magnetic total care înlanțuie înfășurarea primară, iar  $\varphi_2$  este fluxul magnetic total care înlanțuie înfășurarea secundară. În aceste relații se presupun cunoscute mărimile  $u_1$ ,  $L_{11}$ ,  $L_{22}$ ,  $L_{12}$ ,  $R_1$  și  $R_2$ , iar necunoscute sînt  $i_1$ ,  $i_2$  și  $u_2$ .

Prin urmare avem două relații cu trei necunoscute. Sistemul (1.1) devine determinat dacă se scrie și o a treia relație care este dată de legătura dintre  $u_2$  și  $i_2$ , caracteristică receptorului :

$$u_2 = R i_2 + L \frac{di_2}{dt} + \frac{1}{C} \int_0^t i_2 dt. \quad (1.2)$$

În cadrul ipotezelor enunțate mai sus aceste trei relații descriu complet funcționarea transformatorului în orice regim.

### 1.3.1. SEPARAREA FLUXURILOR MAGNETICE ÎN TRANSFORMATOR

Revenind la ecuațiile (1.1) fluxurile  $\varphi_1$  și  $\varphi_2$  se vor pune sub altă formă care va fi utilă în studiul transformatorului:

$$\begin{aligned}\varphi_1 &= L_{11}i_1 + L_{12}i_2 + \frac{w_1}{w_2} L_{12}i_1 - \frac{w_1}{w_2} L_{12}i_1 = \left( L_{11} - \frac{w_1}{w_2} L_{12} \right) i_1 + \\ &+ \frac{w_1}{w_2} L_{12} \left( i_1 + \frac{w_2}{w_1} i_2 \right) = L_{1\sigma}i_1 + \frac{w_1}{w_2} L_{12}i_\mu = L_{1\sigma}i_1 + w_1 \varphi \quad (1.3) \\ \varphi_2 &= L_{22}i_2 + L_{21}i_1 - \frac{w_2}{w_1} L_{21}i_2 + \frac{w_2}{w_1} L_{21}i_2 = L_{2\sigma}i_2 + L_{12}i_\mu = \\ &= L_{2\sigma}i_2 + w_2 \varphi\end{aligned}$$

unde s-au făcut notațiile:

$$\begin{aligned}L_{1\sigma} &= L_{11} - \frac{w_1}{w_2} L_{12}; \quad L_{2\sigma} = L_{22} - \frac{w_2}{w_1} L_{12}; \quad i_\mu = i_1 + \frac{w_2}{w_1} i_2; \\ \varphi &= \frac{L_{12}}{w_2} i_\mu.\end{aligned} \quad (1.4)$$

Dacă solenația rezultantă  $\theta_\mu = w_1 i_1 + w_2 i_2$  se pune sub forma

$$\theta_\mu = w_1 i_1 + w_2 i_2 = w_1 (i_1 + i_2 w_2/w_1) = w_1 i_\mu, \quad (1.5)$$

rezultă semnificația fizică a curentului  $i_\mu$ ; acesta este curentul care dacă ar parcurge cele  $w_1$  spire ale înfășurării primare atunci ar produce aceeași solenație rezultantă ca și cele două înfășurări ale transformatorului parcurse de curenții  $i_1$  respectiv  $i_2$ .

Fluxul  $\varphi$  este fluxul magnetic fascicular util care înlanțuie ambele înfășurări și care se închide prin miezul transformatorului.

Din relațiile de mai sus se constată că fluxul magnetic se poate pune sub forma:  $\varphi = \frac{L_{12}}{w_2} i_\mu = \frac{L_{12}}{w_1 w_2} \theta_\mu$  adică fluxul magnetic  $\varphi$  este proporțional cu solenația rezultantă. Liniile de câmp ale fluxului magnetic fascicular util sînt reprezentate în figura 1.8.

Dacă se are în vedere (1.3) și (1.4) atunci relațiile (1.1) devin:

$$\begin{aligned}R_1 i_1 - u_1 &= - \frac{d}{dt} \left( L_{1\sigma} i_1 + \frac{w_1}{w_2} L_{12} i_\mu \right) \\ R_2 i_2 + u_2 &= - \frac{d}{dt} (L_{2\sigma} i_2 + L_{12} i_\mu)\end{aligned} \quad (1.6)$$

care reprezintă o altă formă a ecuațiilor teoriei fizice. Este important de a stabili semnificația fizică a inductivităților  $L_{1\sigma}$  și  $L_{2\sigma}$ .  $L_{1\sigma}$  este inductivitatea de scăpări a înfășurării primare în raport cu cea secundară, iar  $L_{2\sigma}$  este inductivitatea de scăpări, a înfășurării secundare în raport cu cea primară. Se verifică imediat că aceste inductivități corespund unor fluxuri de scăpări. Prin definiție  $L_{11}i_1$  reprezintă fluxul magnetic total în raport cu cele  $w_1$  spire ale înfășurării primare produs de curentul care o străbate.

Fluxul  $L_{12}i_1 = L_{21}i_1$  reprezintă fluxul total care înălănțuie cele  $w_2$  spire ale înfășurării secundare, flux produs de înfășurarea primară.

Mărimea  $L_{12}i_1/w_2$  reprezintă fluxul magnetic fascicular mediu util care înălănțuie spirele înfășurării secundare și totodată și pe cele primare. Mărimea  $w_1 L_{12}i_1/w_2$  reprezintă fluxul magnetic total în raport cu cele  $w_1$  spire produs de înfășurarea primară și care înălănțuie și spirele înfășurării secundare.

Diferența  $L_{11}i_1 - \frac{w_1}{w_2} L_{12}i_1$  este fluxul magnetic total în raport cu înfășurarea primară și care corespunde liniilor de câmp magnetic produs de înfășurarea primară care nu se înălănțuie cu nici o spirală a înfășurării secundare. Astfel de linii de câmp constituie câmpul magnetic de scăpări al înfășurării primare în raport cu înfășurarea secundară. O semnificație similară are și inductivitatea de scăpări  $L_{2\sigma}$ . Din definiție rezultă  $L_{1\sigma} > 0$  și  $L_{2\sigma} > 0$ .

Pentru a face să apară un termen comun în ambele relații (1.6) se înmulțește relația a doua cu raportul  $w_1/w_2$  și se obține:

$$\begin{aligned} u_1 &= R_1 i_1 + L_{1\sigma} \frac{di_1}{dt} + \frac{w_1}{w_2} L_{12} \frac{di_2}{dt} \\ -u_2 &= R_2' i_2' + L_{2\sigma}' \frac{di_2'}{dt} + \frac{w_1}{w_2} L_{12} \frac{di_1}{dt} \end{aligned} \quad (1.7)$$

unde s-au notat:

$$u_2' = u_2 \frac{w_1}{w_2}; \quad i_2' = i_2 \frac{w_2}{w_1}; \quad R_2' = R_2 \left( \frac{w_1}{w_2} \right)^2; \quad L_2' = L_2 \left( \frac{w_1}{w_2} \right).$$

Această operație se numește raportarea înfășurării secundare la înfășurarea primară, semnul (') indică mărimile raportate. Raportarea permite o mai ușoară comparație între caracteristicile transformatorului de pe partea secundară cu cele de pe partea primară. Relațiile (1.7) arată că operația de raportare lasă invariante puterile, constanta de timp și solenația înfășurării.

### 1.3.2. FORMA MATRICEALĂ A ECUAȚIILOR TRANSFORMATORULUI MONOFAZAT

Dacă operatorul diferențial  $\frac{d}{dt}$  se notează cu  $p$  și se face convenția că se scrie înaintea mărimii asupra căruia operează atunci ecuațiile (1.6) se pot scrie sub forma:

$$\begin{aligned} u_1 &= R_1 i_1 + \left( L_{1\sigma} + \frac{w_1}{w_2} L_{12} \right) p i_1 + L_{12} p i_2 \\ -u_2 &= R_2 i_2 + \left( L_{2\sigma} + \frac{w_2}{w_1} L_{12} \right) p i_2 + L_{12} p i_1 \end{aligned} \quad (1.8)$$

sau matricial se va scrie:

$$\begin{bmatrix} u_1 \\ -u_2 \end{bmatrix} = \begin{bmatrix} R_1 + L_{1\sigma} p + \frac{w_1}{w_2} L_{12} p & L_{12} p \\ L_{21} p & R_2 + L_{2\sigma} p + \frac{w_2}{w_1} L_{12} p \end{bmatrix} \cdot \begin{bmatrix} i_1 \\ i_2 \end{bmatrix}, \quad (1.9)$$

$$\text{sau} \quad [u] = [Z] \cdot [i] \quad (1.10)$$

care constituie o scriere concentrată a relațiilor (1.9). Mărimea  $[Z]$  este denumită *matrice operațională a transformatorului*. În teoria transformatorului se preferă raportarea mărimilor secundare la primar. În această situație:  $i_1 = i'_1$ ;  $i_2 = w_1 i'_2 / w_2$  care matriceal se scrie:

$$\begin{bmatrix} i_1 \\ i_2 \end{bmatrix} = \begin{bmatrix} 1 & 0 \\ 0 & \frac{w_1}{w_2} \end{bmatrix} \cdot \begin{bmatrix} i'_1 \\ i'_2 \end{bmatrix} = [C] \cdot \begin{bmatrix} i'_1 \\ i'_2 \end{bmatrix} \quad (1.11)$$

$[C]$  reprezintă matricea de transformare a sistemului de curenți  $i'_1, i'_2$  în curenții  $i_1, i_2$ . Dacă se cunoaște matricea  $[C]$  atunci tensiunile se transformă după relația:

$$[u'] = [C_t] \cdot [u]. \quad (1.12)$$

Pe baza relațiilor (1.10) și (1.12) relația (1.12) devine:

$$[u'] = [C_t] \cdot [Z] \cdot [i] = [C_t] \cdot [Z] \cdot [C] \cdot [i'] = [Z'] \cdot [i'] \quad (1.13)$$

unde  $[Z']$  este noua matrice impedanță a transformatorului și are forma:

$$[Z'] = \begin{bmatrix} R_1 + L_{1\sigma} p + \frac{w_1}{w_2} L_{12} p & \frac{w_1}{w_2} L_{12} p \\ \frac{w_1}{w_2} L_{21} p & R'_2 + L'_{2\sigma} p + \frac{w_1}{w_2} L_{21} p \end{bmatrix} \quad (1.14)$$

Prin urmare (1.13) reprezintă ecuația matriceală raportată a transformatorului monofazat.

### 1.3.3. FORMA TEHNICĂ A ECUAȚIILOR TRANSFORMATORULUI MONOFAZAT

Teoria dezvoltată în paragrafele precedente nu permite să se țină seama de pierderile în fier și de efectul saturației; de aceea se preferă în special pentru transformatoarele de putere o altă formă a relațiilor care descriu comportarea transformatoarelor și care constituie baza teoriei tehnice a transformatorului. Pentru început se va avea în vedere numai saturația.

Solenția primară  $w_1 i_1$  produce un *cîmp magnetic de excitație*, iar solenția secundară  $w_2 i_2$  produce un cîmp suplimentar numit *cîmp de reacție*, aceasta în cazul în care transformatorul este în sarcină. Solenția rezultantă  $\theta_\mu = w_1 i_1 + w_2 i_2$  produce cîmpul magnetic rezultat din transformator și datorită saturației circuitului magnetic sistemul nu mai este liniar și cîmpul magnetic rezultat nu se mai poate descompune în componente separate corespunzătoare solențiilor parțiale  $w_1 i_1$  și  $w_2 i_2$ , adică suprapunerea efectelor nu mai este posibilă. Urmărind spectrul liniilor de cîmp (fig. 1.8) se pot stabili concluzii importante. Se vor avea în vedere cele două categorii de fluxuri: fluxurile de scăpări și

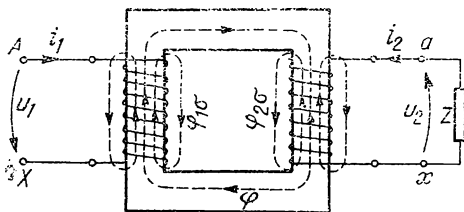


Fig. 1.8. Distribuția fluxurilor la transformator.

fluxul util, care este fluxul magnetic care înlanțuie ambele înfășurări și se închide prin miezul magnetic al transformatorului.

Dacă se consideră un transformator cu înfășurările dispuse ca în figura 1.8 atunci se constată că liniile cîmpului magnetic de scăpări ale înfășurării primare se închid parte prin aer, parte prin miez. Dacă analizăm un tub de forță oarecare al acestui cîmp, reluctanța lui totală este suma dintre reluctanța porțiunii din aer și cea a porțiunii din miezul magnetic. Reluctanța porțiunii de aer este constantă indiferent de intensitatea cîmpului magnetic. Reluctanța porțiunii cuprinse în miezul magnetic este variabilă odată cu starea de saturație a miezului magnetic, însă chiar la saturația pronunțată a miezului magnetic reluctanța porțiunii din miezul magnetic este mult mai mică decît reluctanța porțiunii din aer. În consecință reluctanța tubului considerat se reduce cu o eroare neînsemnată la reluctanța porțiunii sale din aer care nu este afectată de saturația miezului magnetic. Termenul  $\varphi_{1\sigma} = L_{1\sigma} i_1$  din expresia fluxului magnetic  $\varphi_1$  nu este afectat deci de saturație, la fel și termenul  $\varphi_{2\sigma} = L_{2\sigma} i_2$  din expresia fluxului magnetic  $\varphi_2$ .

În ceea ce privește fluxul magnetic fascicular  $\varphi$  care se închide prin miezul magnetic acesta este afectat de gradul de saturație, însă se pot stabili cîteva concluzii importante.

Să considerăm că înfășurarea primară este alimentată de o tensiune sinusoidală de forma  $u_1 = U_1 \sqrt{2} \sin \omega t$  și să scriem ecuația primarului

$$u_1 = R_1 i_1 + L_{1\sigma} \frac{di_1}{dt} + w_1 \frac{d\varphi}{dt}. \quad (1.15)$$

Termenul  $R_1 i_1$  are valoarea maximă mică în comparație cu valoarea maximă a tensiunii  $u_1$  și poate fi neglijat, valoarea maximă a fluxului de scăpări  $L_{1\sigma} i_1$  este de asemenea mică în comparație cu valoarea maximă a fluxului magnetic  $\varphi$ , deoarece reluctanța corespunzătoare fluxului magnetic de scăpări este foarte mare în comparație cu reluctanța corespunzătoare fluxului util. Deci relația (1.15) devine:

$$u_1 = U_1 \sqrt{2} \sin \omega t \cong w_1 \cdot \frac{d\varphi}{dt} \quad (1.16)$$

rezultă că 
$$\varphi \cong \frac{U_1 \sqrt{2}}{\omega w_1} \sin \left( \omega t - \frac{\pi}{2} \right) = \Phi_m \sin \left( \omega t - \frac{\pi}{2} \right). \quad (1.17)$$

Prin urmare la tensiunea sinusoidală, fluxul magnetic util este aproximativ sinusoidal în timp, defazat cu  $\frac{\pi}{2}$  în urma tensiunii și are amplitudinea:

$$\Phi_m = \frac{U_1 \sqrt{2}}{\omega w_1}. \quad (1.18)$$

Fluxul util  $\varphi$ , practic nu este influențat de curenții  $i_1$  și  $i_2$ . Dependența  $\varphi = f(\theta_\mu)$  este nelineară în limitele  $\Phi_m$  și  $-\Phi_m$ . Variației sinusoidale a fluxului magnetic util  $\varphi$  îi corespunde o variație nesinusoidală a solenației așa cum este indicat în figura 1.9, *b*.

Pentru a putea aplica calculul în complex se va considera fundamentala solenației  $\theta_\mu$ , iar dependența  $\varphi = f(\theta_\mu)$  se va considera lineară așa cum este indicat în figura 1.9, *a*, adică curba nelineară se aproximează cu dreapta

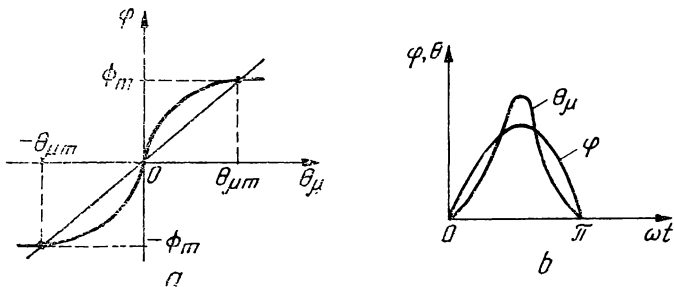


Fig. 1.9. Dependența fluxului magnetic util  $\varphi$  de solenația  $\theta_\mu$  (a) și variația în timp a fluxului magnetic și solenației (b).

care trece prin punctul  $(\theta_{\mu m}, \Phi_m)$ . În funcție de poziția acestui punct se face linearizarea caracteristicii  $\varphi = f(\theta_\mu)$  cu dreapta din figura 1.9, a. Reluctanța miezului magnetic variază în funcție de poziția punctului  $(\theta_{\mu m}, \Phi_m)$ . Pentru o tensiune de alimentare dată, acest punct este bine determinat și deci miezul magnetic are o anumită reluctanță.

Așa cum rezultă din figura 1.9, a la o tensiune dată, solenația variază între limite bine precizate  $\theta_{\mu m}$ ,  $-\theta_{\mu m}$  practic independente de curenții  $i_1$  și  $i_2$ , adică mărimea complexă  $\theta_\mu = w_1 \underline{I}_1 + w_2 \underline{I}_2$  este practic constantă. Rezultă că în regimul particular de mers în gol când  $\underline{I}_2 = 0$  se obține:

$$\theta_\mu = w_1 \underline{I}_\mu \simeq w_1 \underline{I}_{10} \text{ sau } \underline{I}_\mu \simeq \underline{I}_{10}.$$

Așadar solenația  $\theta_\mu$  reprezintă practic solenația înfășurării primare la mersul în gol, iar curentul  $\underline{I}_\mu$  este practic egal cu valoarea curentului de mers în gol.

Ca urmare a celor arătate mai sus, în regim staționar, ecuațiile transformatorului pot fi scrise în complex, deoarece putem considera sinusoidale toate mărimile

$$\begin{aligned} \underline{U}_1 &= R_1 \underline{I}_1 + j X_{1\sigma} \underline{I}_1 + j \omega w_1 \Phi \\ -\underline{U}_2 &= R_2 \underline{I}_2 + j X_{2\sigma} \underline{I}_2 + j \omega w_2 \Phi \\ w_1 \underline{I}_\mu &= w_1 \underline{I}_1 + w_2 \underline{I}_2 \end{aligned} \quad (1.19)$$

unde  $X_{1\sigma} = \omega L_{1\sigma}$ ;  $X_{2\sigma} = \omega L_{2\sigma}$  sînt reactanțele de scăpări ale celor două înfășurări.

Dacă se introduc tensiunile electromotoare induse de fluxul magnetic util  $\Phi$  în înfășurarea primară ( $\underline{E}_1 = -j \omega w_1 \Phi$ ) și în cea secundară ( $\underline{E}_2 = -j \omega w_2 \Phi$ ), ecuațiile (1.19) se retranscriu sub forma:

$$\begin{aligned} \underline{U}_1 &= R_1 \underline{I}_1 + j X_{1\sigma} \underline{I}_1 - \underline{E}_1; \quad -\underline{U}_2 = R_2 \underline{I}_2 + j X_{2\sigma} \underline{I}_2 - \underline{E}_2; \\ w_1 \underline{I}_\mu &= w_1 \underline{I}_1 + w_2 \underline{I}_2. \end{aligned} \quad (1.20)$$

Se va mai face o completare a ecuațiilor (1.20) ținînd seama de pierderile în fier. După cum este cunoscut, dependența fluxului util de solenație rezultantă este mai complicată decît aceea din figura 1.9, a datorită fenomenului de histerezis. Așa cum se indică în fig. 1.10, această dependență nu mai este univocă.

La flux magnetic  $\varphi$  sinusoidal în timp solenația rezultantă variază în timp nesinusoidal și este în avans față de flux.

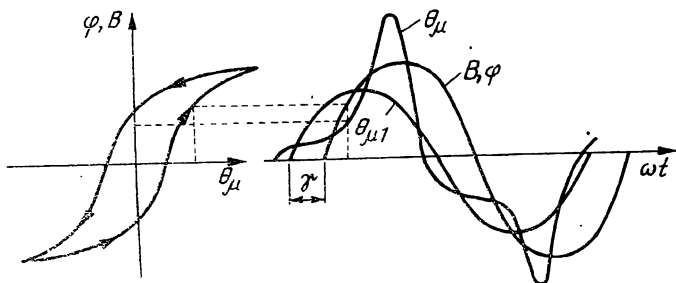


Fig. 1.10. Ciclu de histerezis al miezului magnetic și variația în timp a fluxului magnetic și a solenației.

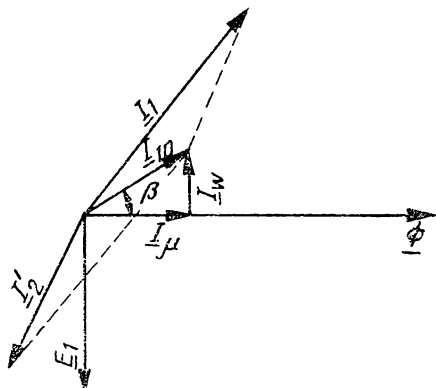


Fig. 1.11. Diagrama fazorială a curenților la transformatorul monofazat.

Linearizarea este posibilă și în acest caz, deoarece fenomenul de histerezis nu este pronunțat, însă datorită acestui fenomen apar pierderi care sînt proporționale cu suprafața ciclului de histerezis, aceste pierderi se notează  $P_H$  și depind de inducția magnetică  $B$  din miezul transformatorului, deci de fluxul  $\Phi_m$ .

În continuare se vor avea în vedere și pierderile prin curenți turbionari. Datorită variației în timp a fluxului magnetic în tolele miezului magnetic se induc tensiuni electromotoare care dau naștere curenților turbionari, curenți turbionari care sînt însoțiți de pierderi prin efectul Joule. Aceste pier-

deri se notează  $P_T$ . Pierderile  $P_T$  sînt constante într-un transformator dat și la o tensiune de alimentare dată. Pierderile în fier  $P_{Fe}$  sînt constituite din suma celor două categorii de pierderi:  $P_{Fe} = P_H + P_T$ . Pierderile  $P_{Fe}$  sînt determinate de fluxul  $\Phi_m$  și deci la o tensiune dată aceste pierderi sînt proporționale cu  $B^2$ ; aceste pierderi se pot pune sub forma  $P_{Fe} = G (\sigma_H f B^2 + \sigma_T f^2 B^2)$  unde  $G$  este masa materialului. Datorită acestor pierderi solenația  $\theta_\mu$  (respectiv curentul  $i_\mu$ ) nu mai este în fază cu fluxul ci este decalată înainte cu un unghi  $\beta$ . În figura 1.11 este dată diagrama fazorială a curenților transformatorului.

Curentul  $I_{10}$  are deci o componentă în fază cu fluxul magnetic pe care o notăm  $I_\mu$  numită curent de magnetizare și o componentă  $I_w$  defazată înainte cu  $\frac{\pi}{2}$  față de flux, numită componenta wattată a curentului. Se pot deci scrie relațiile:

$$P_{Fe} = E_1 I_{10} \sin \beta = E_1 I_w; I_{10} = I_\mu + I_w. \quad (1.21)$$

În acest mod s-a ajuns la o teorie a transformatorului în regim staționar ale cărei ecuații sînt:

$$\begin{aligned} \underline{U}_1 &= R_1 I_1 + j X_{1\sigma} I_1 - \underline{E}_1; & -\underline{U}_2' &= R_2' I_2' + j X_{2\sigma}' I_2' - \underline{E}_2' \\ \underline{U}_2' &= R_2' I_2' + j \omega L' I_2' - \frac{j}{\omega C'} I_2'; & I_1 + I_2' &= I_{10} = I_\mu + I_w \end{aligned} \quad (1.22)$$

Tensiunile electromotoare  $\underline{E}_1$  și  $\underline{E}_2'$  sînt determinate de fluxul magnetic  $\Phi$ , flux care este proporțional cu curentul de magnetizare  $\underline{I}_\mu$ , deci în complex simplificat se poate scrie:

$$\underline{E}_1 = \underline{E}_2' = -j X_\mu \underline{I}_\mu = -R_w \underline{I}_w. \quad (1.23)$$

Trebuie să se ia în considerație și relația:

$$P_{Fe} = E_1 I_w = R_w I_w^2 \quad (1.24)$$

din care rezultă:

$$R_w = P_{Fe}/I_w^2 = E_1^2/P_{Fe} \simeq U_1^2/P_{Fe}. \quad (1.25)$$

S-a definit deci rezistența  $R_w$  corespunzătoare pierderilor în fier funcție de pierderile în fier  $P_{Fe}$  și t.e.m.  $E_1$ .

În ultima ecuație din (1.22) s-au notat:

$L' = L \left( \frac{w_1}{w_2} \right)^2$ ;  $R' = R \left( \frac{w_1}{w_2} \right)^2$ ;  $\frac{1}{C'} = \frac{1}{C} \left( \frac{w_1}{w_2} \right)^2$  iar reactanța totală a sarcinii este:

$$X' = \omega L' - \frac{1}{\omega C'} = X \left( \frac{w_1}{w_2} \right)^2 \quad (1.26)$$

adică s-a făcut raportarea parametrilor receptorului la înfășurarea primară prin aceeași operație de înmulțire a acestora cu raportul  $\left( \frac{w_1}{w_2} \right)^2$ .

## 1.4. TRANSFORMATORUL ELECTRIC MONOFAZAT ÎN REGIM STAȚIONAR

### 1.4.1. SCHEMA ECHIVALENTĂ A TRANSFORMATORULUI

Pentru a construi schema echivalentă a transformatorului ecuațiile (1.22) se vor scrie sub altă formă avînd în vedere relația (1.23)

$$\underline{U}_1 = R_1 \underline{I}_1 + j X_{1\sigma} \underline{I}_1 + j X_\mu \underline{I}_\mu; \quad (1.27)$$

$$-\underline{U}_2' = R_2' \underline{I}_2' + j X_{2\sigma}' \underline{I}_2' + j X_\mu \underline{I}_\mu; \quad \underline{I}_{10} = \underline{I}_1 + \underline{I}_2' = \underline{I}_\mu + \underline{I}_w$$

În aceste ecuații intervin toți parametrii definiți în paragraful precedent; se precizează că  $X_\mu$  este reactanța de magnetizare și se definește ca raportul dintre t.e.m.  $E_1$  și curentul de magnetizare  $\underline{I}_\mu$ . Ecuațiile (1.27) pot fi interpretate ca ecuațiile unui cuadripol în așa cum se arată în figura 1.12. Prima ecuație din (1.27) reprezintă rezultatul aplicării teoremei a doua a lui Kirchhoff pe ochiul din stînga, iar ecuația a doua pe ochiul din dreapta. Ecuația a treia corespunde aplicării primei teoreme a lui Kirchhoff într-un nod al schemei. Se pot construi și alte scheme echivalente prin anumite transformări aduse ecuațiilor (1.27), de exemplu schema în  $\Gamma$ .

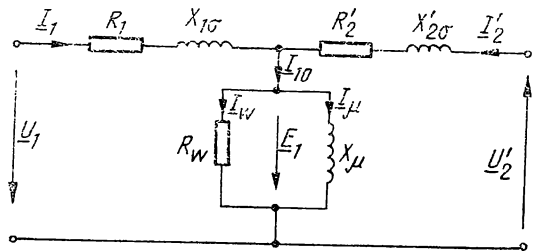


Fig. 1.12. Schema echivalentă a transformatorului.



### 1.4.2. DIAGRAMA FAZORIALĂ A TRANSFORMATORULUI

Pentru a construi diagrama fazorială a transformatorului se vor considera ecuațiile transformatorului sub forma :

$$\begin{aligned} \underline{U}_1 &= R_1 \underline{I}_1 + j X_{1\sigma} \underline{I}_1 - \underline{E}_1; \\ -\underline{U}_2' &= R_2' \underline{I}_2' + j X_{2\sigma}' \underline{I}_2' - \underline{E}_2' \\ \underline{I}_1 + \underline{I}_2' &= \underline{I}_{10} = \underline{I}_w + \underline{I}_\mu; \\ \underline{E}_1 &= \underline{E}_2' \end{aligned} \quad (1.12)$$

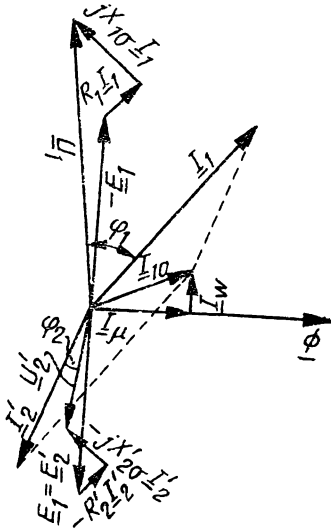


Fig. 1.13. Diagrama fazorială a transformatorului.

Se va lua ca origine de fază fluxul magnetic  $\Phi$ ; decalată cu  $\pi/2$  în urmă față de acest flux este t.e.m.  $\underline{E}_1$ . Se construiește apoi fazorul  $-\underline{E}_1$  și diagrama fazorială a curenților în conformitate cu figura 1.11.

Din vârful fazorului  $-\underline{E}_1$  se duce fazorul  $R_1 \underline{I}_1$  paralel cu  $\underline{I}_1$ , în continuare se duce fazorul  $j X_{1\sigma} \underline{I}_1$  perpendicular pe  $\underline{I}_1$ ; poligonul se închide cu tensiunea  $\underline{U}_1$ . În mod simi-

lar se procedează și pentru a doua ecuație care corespunde secundarului transformatorului. În figura 1.13 este reprezentată diagrama de fazori a transformatorului. Această diagramă fazorială reprezintă de fapt un mod echivalent de a scrie ecuațiile (1.28).

### 1.4.3. BILANȚUL PUTERILOR LA TRANSFORMATOR

Pentru a putea urmări bilanțul puterilor în transformatorul electric monofazat se va considera puterea absorbită de transformator pe la bornele primare scrisă în complex, adică :

$$\underline{U}_1 \underline{I}_1^* = \underline{I}_1^* (R_1 \underline{I}_1 + j X_{1\sigma} \underline{I}_1 - \underline{E}_1) = R_1 \underline{I}_1^2 + j X_{1\sigma} \underline{I}_1^2 - \underline{E}_1 \underline{I}_1^*$$

unde s-a avut în vedere prima ecuație din (1.28); dacă în relația de mai sus se introduce  $\underline{I}_{10} = \underline{I}_1 + \underline{I}_2'$ , atunci se obține :

$$\begin{aligned} R_1 \underline{I}_1^2 + j X_{1\sigma} \underline{I}_1^2 - \underline{E}_1 (\underline{I}_{10} - \underline{I}_2')^* &= R_1 \underline{I}_1^2 + j X_{1\sigma} \underline{I}_1^2 + \underline{E}_1 \underline{I}_2'^* - \\ - \underline{E}_1 (\underline{I}_w + \underline{I}_\mu)^* &= R_1 \underline{I}_1^2 + j X_{1\sigma} \underline{I}_1^2 + R_w \underline{I}_w^2 + j X_\mu \underline{I}_\mu^2 + \underline{E}_2' \underline{I}_2'^* = \\ &= R_1 \underline{I}_1^2 + j X_{1\sigma} \underline{I}_1^2 + R_w \underline{I}_w^2 + j X_\mu \underline{I}_\mu^2 + \underline{I}_2'^* (\underline{U}_2' + R_2' \underline{I}_2' + j X_{2\sigma}' \underline{I}_2') = \\ &= R_1 \underline{I}_1^2 + j X_{1\sigma} \underline{I}_1^2 + R_2' \underline{I}_2'^2 + j X_{2\sigma}' \underline{I}_2'^2 + R_w \underline{I}_w^2 + j X_\mu \underline{I}_\mu^2 + \underline{U}_2' \underline{I}_2'^* \end{aligned}$$

unde s-a avut în vedere și cea de a doua ecuație din (1.28).

Relația complexă stabilită mai sus este echivalentă cu următoarele :

$$\begin{aligned} U_1 I_1 \cos \varphi_1 &= R_1 I_1^2 + R_w I_w^2 + R_2' I_2'^2 + U_2' I_2' \cos \varphi_2 \\ U_1 I_1 \sin \varphi_1 &= X_{1\sigma} I_1^2 + X_{2\sigma}' I_2'^2 + X_\mu I_\mu^2 + U_2' I_2' \sin \varphi_2 \end{aligned} \quad (1.29)$$

Analizând termenii de mai sus se constată că :  $R_1 I_1^2 = P_{J1}$ , reprezintă pierderile în rezistența înfășurării primare denumite și pierderi în înfășu-

rarea primară;  $R_w I_w^2 = P_{Fe}$  sînt pierderile în fier;  $R'_2 I_2'^2 = P_{J2}$  reprezintă pierderile în rezistența înfășurării secundare denumite și pierderi în înfășurarea secundară;  $U'_2 I'_2 \cos \varphi_2 = P_2$  este puterea activă transmisă receptorului;  $X_{1\sigma} I_1^2$  — puterea reactivă corespunzătoare energiei magnetice înmagazinată în cîmpul de scăpări al înfășurării primare;  $X'_{2\sigma} I_2'^2$  — puterea reactivă corespunzătoare energiei magnetice înmagazinată în cîmpul de scăpări al înfășurării secundare;  $X_\mu I_\mu^2$  — puterea reactivă corespunzătoare energiei magnetice înmagazinată în cîmpul magnetic util;  $U'_2 I'_2 \sin \varphi_2$  — puterea reactivă consumată de receptor.

Se constată că pentru secundar puterile au fost exprimate cu ajutorul mărimilor raportate. Este util să se arate că raportarea nu schimbă valoarea puterii, într-adevăr:  $P_{J2} = R'_2 I_2'^2 = \left(\frac{w_1}{w_2}\right)^2 R_2 \cdot \left(\frac{w_2}{w_1} I_2\right)^2 = R_2 I_2^2$ ;  $U'_2 I'_2 \cos \varphi_2 = \frac{w_1}{w_2} U_2 \cdot \frac{w_2}{w_1} I_2 \cos \varphi_2 = U_2 I_2 \cos \varphi_2$ .

Corespunzător cu relațiile stabilite mai sus s-a reprezentat grafic în figura 1.14 repartiția puterilor: activă  $P_1$  și reactivă  $Q_1$  pe care le primește transformatorul de la rețea la funcționarea în regim staționar.

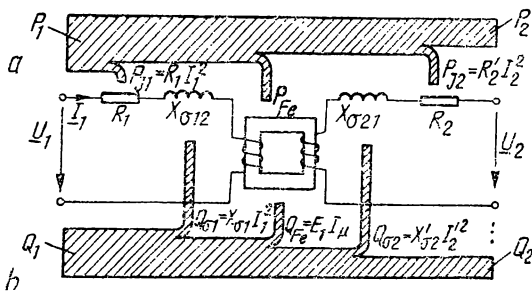


Fig. 1.14. Bilanțul puterilor la transformator:  
a — pentru puteri active; b — pentru puteri reactive.

#### 1.4.4. DIAGRAMA DE FAZORI ȘI SCHEMA ECHIVALENTĂ, SIMPLIFICATE

Curentul de mers în gol  $I_{10}$  este foarte mic în comparație cu curenții nominali din înfășurarea primară sau din înfășurarea secundară. Prin urmare dacă transformatorul funcționează la o putere apropiată de cea nominală, curentul  $I_{10}$ , se poate neglija fără a se introduce erori importante.

Neglijarea curentului de mers în gol este echivalentă cu considerarea faptului că reactanța de magnetizare  $X_\mu$  și rezistența  $R_w$  corespunzătoare pierderilor în fier au valori infinite. În acest caz schema echivalentă se reduce la aceea indicată în figura 1.15, a iar ecuațiile transformatorului devin:

$$\underline{U}_1 = (R_1 + R'_2) \underline{I}_1 + j (X_{1\sigma} + X'_{2\sigma}) \underline{I}_1 - \underline{U}'_2; \quad \underline{I}_1 = -\underline{I}'_2 \quad (1.30)$$

Dacă se notează

$$R_k = R_1 + R'_2; \quad X_k = X_{1\sigma} + X'_{2\sigma} \quad (1.31)$$

rezistența echivalentă, respectiv, reactanța echivalentă, atunci ecuațiile (1.30) devin:

$$\underline{U}_1 = (R_k + j X_k) \underline{I}_1 - \underline{U}'_2 = \underline{Z}_k \underline{I}_1 - \underline{U}'_2; \quad \underline{I}_1 = -\underline{I}'_2, \quad (1.32)$$

unde  $\underline{Z}_k = R_k + j X_k$  este impedanța echivalentă a transformatorului.

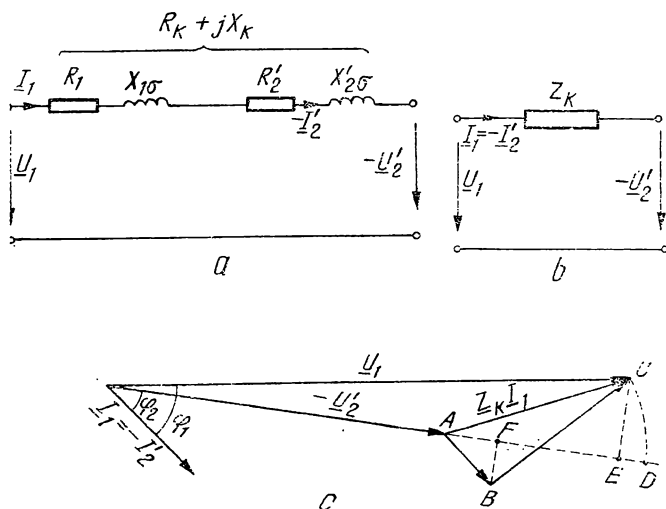


Fig. 1.15. Schema echivalentă simplificată a transformatorului (a); aceeași schemă desenată simplificat (b); diagrama fazorială simplificată a transformatorului monofazat (c); triunghiul de scurtcircuit (d).

Deoarece parametrii  $R_k$ ,  $X_k$  și  $Z_k$  pot fi obținuți pe cale experimentală din încercarea în scurtcircuit, poartă respectiv denumirile de *rezistență de scurtcircuit*, *reactanță de scurtcircuit* și *impedanță de scurtcircuit* a transformatorului.

Diagrama de fazoni corespunzătoare ecuațiilor (1.32) este redată în figura 1.15, c.

În această diagramă se ia ca origine de fază tensiunea de la bornele circuitului secundar  $-\underline{U}_2'$ ; curentul  $\underline{I}_1 = -\underline{I}_2'$  este defazat cu unghiul  $\varphi_2$  care este determinat de natura sarcinii.

Prin urmare  $\cos\varphi_2$  este factorul de putere al sarcinii, iar  $\cos\varphi_1$  este factorul de putere al transformatorului în raport cu rețeaua de alimentare.

Fazorul  $R_k \underline{I}_1$  este paralel cu fazorul  $\underline{I}_1$ , iar fazorul  $jX_k \underline{I}_1$  este perpendicular pe fazorul  $\underline{I}_1$ . Triunghiul  $ABC$  se numește triunghi de scurtcircuit, iar ipotenuza  $AC$  tensiunea de scurtcircuit a transformatorului și se notează cu  $U_k$  (fig. 1.15, d).

## 1.4.5. CALCULUL REACTANȚEI ECHIVALENTE $X_k$

Se consideră cazul uzual al unui transformator monofazat cu înfășurările cilindrice (fig. 1.16). Liniile de câmp magnetic din fereastra transformatorului se aproximează prin segmente de dreaptă paralele. Tensiunea magnetică din miezul feromagnetic se consideră nulă. În această ipoteză solenoidurile primară și secundară sînt egale

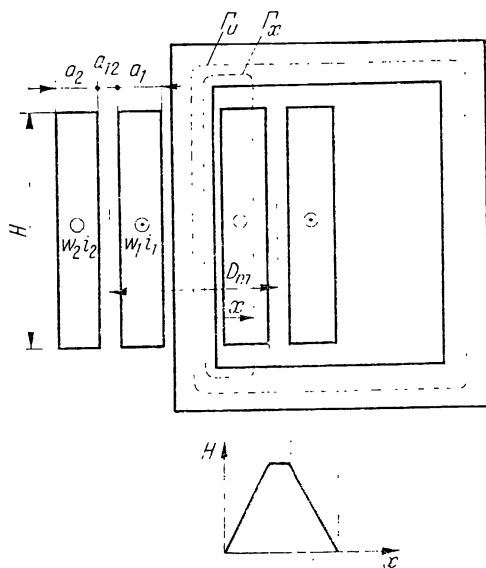


Fig. 1.16. Schița unui transformator monofazat cu înfășurări cilindrice concentrice.

( $w_1 i_1 = w_2 i_2$ ) cu sensurile curenților adoptate ca în figura 1.16. Reac-  
tanța  $X_k = \omega L_k = 2 \pi f L_k$  se determină la o frecvență  $f$  dată a tensiunii  
de alimentare, după ce se calculează inductivitatea  $L_k$  ca raportul dintre  
fluxul de scăpări total și curentul prin înfășurarea la care se raportează.

Cîmpurile magnetice de dispersie  $H_{1x}$ ,  $H_{12}$  și  $H_{2x}$ , la distanța  $x$  de coloană,  
în regiunea înfășurării 1, respectiv în canalul dintre înfășurări și în regiunea  
înfășurării 2, se determină aplicînd legea circuitului magnetic pe conturul  
punctat  $\Gamma_x$ , și rezultă:

$$H_{1x} \cdot l_x = \frac{w_1 i_1}{a_1} \cdot x, \quad \text{pentru } x \in [0, a_1]$$

$$H_{12} l_x = w_1 i_1, \quad \text{pentru } x \in [a_1, a_1 + a_{12}]$$

$$H_{2x} l_x = w_1 i_1 - \frac{w_2 i_2}{a_2} [x - (a_1 + a_{12})], \quad \text{pentru } x \in [a_1 + a_{12}, a_1 + a_{12} + a_2]$$

unde cu  $l_x$  s-a notat lungimea liniei de cîmp în aer, la distanța  $x$ . În calcul  
se consideră lungimea  $l_m$  dată de expresia  $l_m = H/k_R$ , în care  $k_R$  este denu-  
mit factorul lui Rogowski, avînd expresia aproximativă  $k_R \cong 1 - (a_1 +$   
 $+ a_2 + a_{12})/(\pi H)$ . Acest factor ține seama de lungimea reală a liniilor de  
cîmp magnetic de dispersie.

Considerînd originea sistemului de coordonate, în punctele  $x = 0$ ,  $x' =$   
 $= x - a_1$  și  $x'' = x - a_1 - a_{12}$  din cele trei relații scrise anterior, se deter-  
mină expresiile cîmpurilor  $H_{1x}$ ,  $H_{12}$ ,  $H_{2x}$ :

$$H_{1x} = \frac{w_1 i_1}{a_1} \cdot \frac{x}{l_m}, \quad \text{pentru } x \in [0, a_1]$$

$$H_{12} = \frac{w_1 i_1}{l_m}, \quad \text{pentru } x' \in [0, a_{12}]$$

$$H_{2x} = \frac{w_2 i_2}{a_2} \cdot \frac{x''}{l_m}, \quad \text{pentru } x'' \in [0, a_2]$$

Aceste expresii s-au reprezentat grafic în figura 1.16 jos.

Fluxul magnetic total de dispersie al transformatorului are expresia:

$$\Phi_k = \int_0^{a_1} \mu_0 H_{1x} \cdot \frac{w_1}{a_1} \cdot x dA + \int_0^{a_{12}} \mu_0 H_{12} w_1 dA + \int_0^{a_2} \mu_0 H_{2x} \cdot \frac{w_2}{a_2} x'' dA$$

Se consideră elementul de arie  $dA$  avînd lățimea  $dx$  și lungimea con-  
stantă  $\pi D_m$ . Înlocuind expresiile cîmpurilor magnetice în expresia fluxului  
 $\Phi_k$  și ținînd seama de faptul că  $w_1 i_1 = w_2 i_2$ , fluxul magnetic  $\Phi_k$  devine:

$$\Phi_k = \int_0^{a_1} \mu_0 \frac{w_1^2 i_1}{a_1^2 l_m} x^2 \cdot \pi D_m dx + \int_0^{a_{12}} \mu_0 \frac{w_1^2 i_1}{l_m} \pi D_m dx' +$$

$$+ \int_0^{a_2} \mu_0 \frac{w_1^2 i_1}{a_2^2 l_m} x''^2 \pi D_m dx''.$$

Prin integrare rezultă:

$\Phi_k = \mu_0 \frac{w_1^2 i_1}{l_m} \pi D_m \left( a_{12} + \frac{a_1 + a_2}{3} \right)$ . Inductivitatea echivalentă  $L_k$  a înfășurărilor, raportată la înfășurarea 1, ținând seama de expresia lungimii  $l_m$ , devine

$$L_k = \frac{\Phi_k}{i_1} = \mu_0 w_1^2 \frac{\pi D_m}{H} \cdot k_R \left( a_{12} + \frac{a_1 + a_2}{3} \right). \quad (1.33)$$

## 1.4.6. CARACTERISTICILE TRANSFORMATORULUI

### 1.4.6.1. CARACTERISTICA EXTERNĂ A TRANSFORMATORULUI

O caracteristică importantă de funcționare a transformatorului este caracteristica externă care se definește astfel:

$$U_2 = f(I_2) \mid U_1 = U_{1n}; \cos \varphi_2 = \text{const.}$$

Această caracteristică indică variația tensiunii la bornele secundare atunci când curentul de sarcină  $I_2$  variază. În multe cazuri este necesar ca tensiunea la bornele secundare să se mențină constantă independent de valoarea curentului  $I_2$  sau să varieze în limite cât mai restrânse pentru ca receptoarele conectate să funcționeze la tensiunea pentru care au fost construite.

De obicei se preferă a se studia în locul caracteristicii externe variația tensiunii la bornele înfășurării secundare exprimată în fracțiuni din tensiunea corespunzătoare mersului în gol  $U_{20}$ :

$$\frac{\Delta U_2}{U_{20}} = \frac{U_{20} - U_2}{U_{20}}. \quad (1.34)$$

Dacă raportăm mărimile secundare la primar și dacă se ține seama că la mersul în gol există relația:  $U'_{20} = E'_2 = E_1 \simeq U_{1n}$ , atunci avem:

$$\Delta U = \frac{\Delta U'_2}{U_{1n}} = \frac{U_{1n} - U'_2}{U_{1n}}. \quad (1.35)$$

Pentru calculul diferenței algebrice  $U_{1n} - U'_2$  se va folosi figura 1.15, c. Această diferență este pusă în evidență pe diagrama simplificată prin segmentul  $AD$ . Cum unghiul dintre fazorii  $\underline{U}_{1n}$  și  $\underline{U}'_2$  este foarte mic, se va proiecta fazorul  $\underline{U}_{1n}$  pe direcția fazorului  $\underline{U}'_2$  și cu o eroare mică se va considera:

$$U_{1n} - U'_2 \simeq AE = AF + FE = R_k I_1 \cos \varphi_2 + X_k I_1 \sin \varphi_2 \quad (1.36)$$

deci

$$\frac{\Delta U'_2}{U_{1n}} = \frac{R_k I_1}{U_{1n}} \cos \varphi_2 + \frac{X_k I_1}{U_{1n}} \sin \varphi_2 \quad (1.37)$$

Dacă notăm  $u_{ka} = R_k I_{1n}/U_{1n}$  — căderea de tensiune ohmică relativă, la sarcina nominală și  $u_{kr} = X_k I_{1n}/U_{1n}$  — căderea de tensiune inductivă relativă, la sarcină nominală și în plus notăm gradul de încărcare al transformatorului prin  $i_2 = \beta = I_1/I_{1n} = I'_2/I'_{2n} = I_2/I_{2n}$  rezultă:

$$\frac{\Delta U'_2}{U_{1n}} \simeq \beta (u_{ka} \cos \varphi_2 + u_{kr} \sin \varphi_2). \quad (1.38)$$

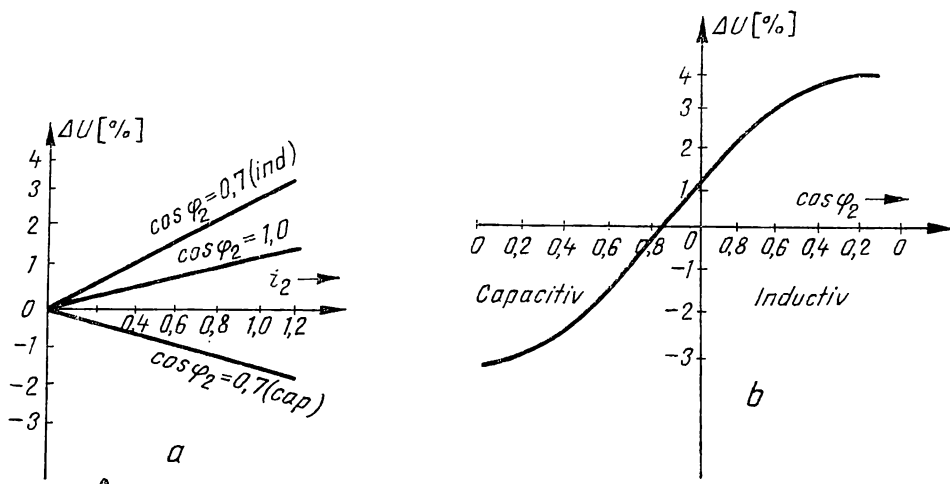


Fig. 1.17. Caracteristicile căderilor de tensiune la transformator: în funcție de curentul  $i_2$  (a); în funcție de factorul de putere  $\cos \varphi_2$  (b).

Variația de tensiune  $\frac{\Delta U'_2}{U_{1n}}$  poate fi pozitivă sau negativă după natura sarcinii;  $u_{ka}$  și  $u_{kr}$  reprezintă câteva sutimi astfel încât chiar la plină sarcină variația de tensiune nu depășește câteva procente, ( $u_{ka} \ll u_{kr}$ ).

În figura 1.17, *a* sînt reprezentate curbele  $\frac{\Delta U'_2}{U_{1n}} = f(\beta)$  pentru  $\cos \varphi_2 = 0.7$  inductiv,  $\cos \varphi_2 = 1$  și  $\cos \varphi_2 = 0.7$  capacitiv, iar în figura 1.17, *b* este reprezentată curba  $\frac{\Delta U'_2}{U_{1n}} = f(\cos \varphi_2)$  la  $\beta = \text{const.}$  Se remarcă că pentru sarcini capacitive variația tensiunii  $U_2$  este negativă, adică tensiunea  $U_2$  crește odată cu creșterea curentului  $I_2$ . Pe baza curbelor din figura 1.17, *a* se pot trasa caracteristicile externe ale transformatorului; în figura 1.18 sînt redată aceste caracteristici.

Pentru a face față variațiilor de tensiune  $U_2$  se construiesc transformatoare avînd înfășurarea de înaltă tensiune cu un număr de spire reglabil în trepte. La transformatoarele de mică putere variația tensiunii  $U_2$  este mai mare și constructorul trebuie să țină seama de acest lucru.

În practică, reglarea tensiunii se face prin comutarea unor prize prevăzute pe una din înfășurările transformatorului, de obicei pe înfășurarea de înaltă tensiune. Comutarea prizelor de reglaj se poate face cu transformatorul scos de sub tensiune (reglaj fără tensiune) sau cu transformatorul sub tensiune (reglaj sub sarcină).

Toate transformatoarele de distribuție pînă la 1 600 kVA sînt prevăzute cu reglaj fără tensiune de  $\pm 5\%$  realizat prin trei prize scoase la înfășurarea de înaltă tensiune, priza mediană corespun-

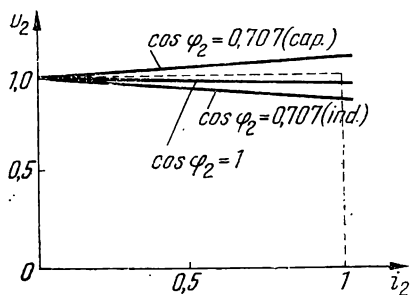


Fig. 1.18. Caracteristicile externe ale transformatorului.

zînd tensiunii nominale. La puteri mari se prevăd cinci prize de reglaj fără tensiune, care permit obținerea tensiunii nominale și a treptelor de  $\pm 2,5\%$  și  $\pm 5\%$ .

Pentru reglarea tensiunii sub sarcină se prevăd dispozitive speciale, care comută prizele în funcționare fără a întrerupe circuitul primar sau secundar și limitează totodată curenții din circuitele de comutație. Reglajul sub sarcină se prevede numai la transformatoare de mare putere, de obicei de interconexiune sau de transport, care pot avea un domeniu de reglare de pînă la  $\pm 16\%$  în  $\pm 9$  trepte, de cîte  $1,78\%$  (sau chiar mai multe trepte).

#### 1.4.6.2. CARACTERISTICA RANDAMENTULUI

O mărime importantă în aprecierea performanțelor unui transformator este randamentul. Prin definiție, *randamentul*  $\eta$  al transformatorului este raportul între puterea activă  $P_2 = U_2 I_2 \cos \varphi_2$  transmisă receptorului pe la bornele înfășurării secundare și puterea activă  $P_1 = U_1 I_1 \cos \varphi_1$  luată de la rețeaua de alimentare de transformator:

$$\eta = \frac{P_2}{P_1}. \quad (1.39)$$

Conform bilanțului de puteri al transformatorului se poate scrie:  $P_1 = P_2 + P_{Fe} + P_J$ , unde  $P_{Fe} = P_H + P_T$ ;  $P_J = R_1 I_1^2 + R_2 I_2^2$ , deci

$$\eta = \frac{U_2 I_2 \cos \varphi_2}{U_2 I_2 \cos \varphi_2 + P_{Fe} + P_J}. \quad (1.40)$$

Expresia (1.40) poate lua o nouă formă făcînd unele simplificări. Astfel se va presupune  $U_2 = U_{20}$ , adică se neglijează variația tensiunii secundare de la gol la sarcină care este de cîteva procente. Această neglijare afectează mai puțin valoarea randamentului deoarece  $U_2$  influențează atît numitorul cît și numărătorul fracției (1.40). Rezultă:  $P_2 = U_{20} I_{2n} \cos \varphi_2 = S_n \beta \cos \varphi_2$  deoarece  $S_n = U_{20} I_{2n} \cong U_{1n} I_{1n}$  este puterea aparentă nominală a transformatorului. Dacă în regimul nominal de funcționare pierderile Joule în înfășurări sînt  $P_{Jn} = (R_1 + R_2) I_{1n}^2$ , atunci într-un regim oarecare caracterizat prin gradul  $\beta$  de încărcare se obține:

$$P_J = \beta^2 P_{Jn}.$$

De precizat că la o tensiune dată  $U_1$  pierderile în fier  $P_{Fe}$  sînt practic aceleași oricare ar fi coeficientul  $\beta$ .

Deci expresia (1.40) devine:

$$\eta = \frac{S_n \beta \cos \varphi_2}{S_n \beta \cos \varphi_2 + P_{Fe} + \beta^2 P_{Jn}} \quad (1.41)$$

Rezultă că randamentul depinde de gradul de încărcare  $\beta$  și de factorul de putere al sarcinii pentru un transformator dat, la o tensiune  $U_1$  dată. Valoarea maximă  $\eta_m$  a randamentului la factor de putere dat al sarcinii conectate la bornele înfășurării secundare are loc la un anumit grad de încărcare  $\beta_m$  determinat de condiția  $\frac{d\eta}{d\beta} = 0$ , care conduce la ecuația

$P_{Fe} = \beta_m^2 P_{Jn}$ , adică randamentul atinge valoarea maximă pentru acel grad de încărcare pentru care pierderile în fier sînt egale cu pierderile în înfășurările transformatorului.

Statistic s-a constatat că cele mai multe transformatoare funcționează la un grad de încărcare  $\beta = 0,5 \div 0,75$ ; din această cauză se ia  $\beta_m = 0,5 \div 0,75$  și rezultă  $P_{Fe} = (0,25 \div 0,5) P_{jn}$ . Curba  $\eta = f(\beta)$  pentru  $\cos \varphi_2 = \text{const.}$  este reprezentată în figura 1.19. În general randamentul transformatorului electric este mai ridicat decât al mașinilor rotative deoarece nu intervin pierderile mecanice. Într-o plajă largă de variație a gradului de încărcare (sarcinii relative)  $\beta$ , randamentul își menține valoarea ridicată. La transformatoarele de putere mică randamentul este relativ mic, poate fi chiar sub 0,7.

La transformatoarele de putere de ordinul zecilor sau sutelor de kVA randamentul este de 0,95—0,97, iar la transformatoarele de putere de ordinul sutelor de MVA poate depăși 0,99.

## 1.5. TRANSFORMATORUL TRIFAZAT. PARTICULARITĂȚI CONSTRUCTIVE ȘI TEORETICE

Pentru transformatoarele utilizate în rețelele trifazate de curent alternativ se întâlnesc de obicei două variante constructive. În prima se folosesc trei transformatoare monofazate, separate, ale căror înfășurări primare să fie conectate în stea sau în triunghi și ale căror înfășurări secundare să fie de asemenea conectate în stea sau în triunghi (fig. 1.20).

Această variantă constructivă se utilizează la puteri foarte mari, pentru că este mai simplă transportarea de la fabrica constructoare la locul de utilizare a trei unități distincte de transformatoare decât a unei singure unități compacte.

Dezavantajul unei asemenea soluții constă în volumul global mărit, în consumul mărit de fier.

A doua variantă o constituie transformatoarele trifazate cu trei coloane și două juguri (fig. 1.21). Aceasta poate fi lămurită cu ajutorul figurii 1.22.

Dacă trei transformatoare monofazate se plasează unul față de altul așa cum este indicat în figura 1.22, a atunci cele trei coloane se pot reuni

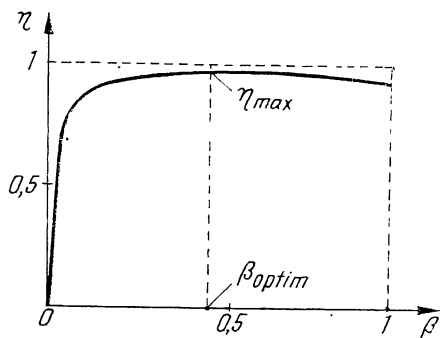


Fig. 1.19. Caracteristica randamentului transformatorului.

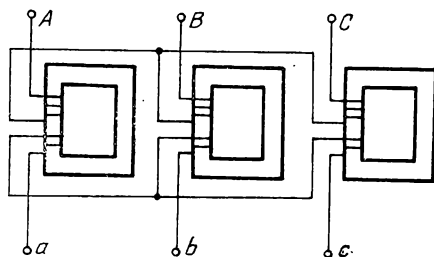


Fig. 1.20. Trei transformatoare identice pentru rețelele trifazate.

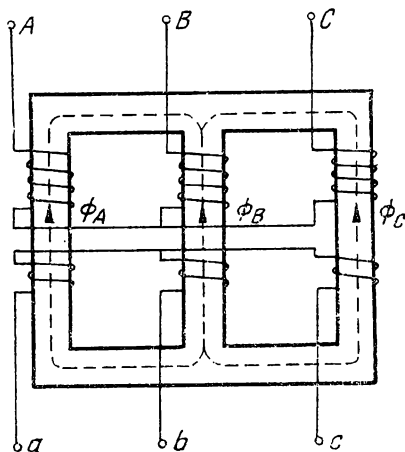


Fig. 1.21. Transformator trifazat nesimetric cu trei coloane.



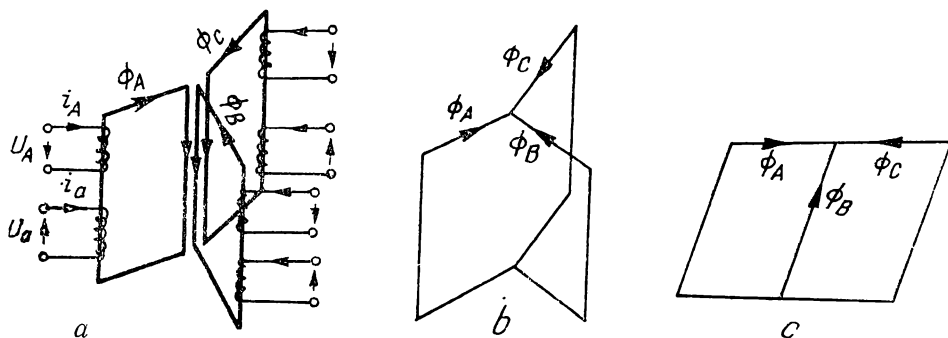


Fig. 1.22. Formarea miezului trifazat cu trei coloane din trei miezuri monofazate.

în una singură. Dar în sistemul trifazat simetric tensiunile satisfac relația  $u_A + u_B + u_C = 0$  de unde rezultă că suma fluxurilor magnetice utile ale celor trei faze este nulă  $\phi_A + \phi_B + \phi_C = 0$ .

De aceea în coloana comună fluxul magnetic va fi întotdeauna nul și necesitatea unei asemenea coloane nu mai are justificare. În felul acesta se ajunge la construcția compactă din figura 1.22, *b*, cu trei coloane și șase juguri, axele coloanelor fiind plasate în plane decalate la  $120^\circ$ . Dacă se elimină jugurile miezului feromagnetic al fazei *B* atunci obținem o construcție mai simplă și mai economică cu cele trei coloane în același plan, așa cum se arată în figura 1.22, *c*.

Acest tip constructiv are o mare răspîndire practică, însă conduce la o anumită nesimetrie magnetică care uneori are consecințe negative în exploatarea transformatorului. În practică, nesimetria magnetică se reduce mărind cu 5÷15% secțiunea jugurilor în raport cu secțiunea coloanelor.

### 1.5.1. ECHIVALENȚA DINTRE O FAZĂ ȘI UN TRANSFORMATOR MONOFAZAT

Transformatorul trifazat cu miez magnetic compact prezintă o serie de particularități constructive și funcționale care trebuie avute în vedere la aplicarea teoriei transformatorului monofazat în studiul unei faze a unui transformator trifazat.

Se demonstrează valabilitatea teoriei transformatorului monofazat în cazul celui trifazat cu miez compact (figura 1.22, *a*). Dacă pentru o fază oarecare a transformatorului trifazat cu miez magnetic compact se admit sensuri pozitive pentru curenți astfel ca fluxurile magnetice să aibă sensurile indicate în figura 1.22, atunci se poate scrie de exemplu pentru fazele *AX* și *ax* următoarele ecuații:

$$\begin{aligned}
 u_A &= R_A i_A + L_{AA} \frac{di_A}{dt} - L_{BA} \frac{di_B}{dt} - L_{CA} \frac{di_C}{dt} + L_{aA} \frac{di_a}{dt} - \\
 &\quad - L_{bA} \frac{di_b}{dt} - L_{cA} \frac{di_c}{dt} \\
 -u_a &= R_a i_a + L_{aa} \frac{di_a}{dt} - L_{ba} \frac{di_b}{dt} - L_{ca} \frac{di_c}{dt} + L_{Aa} \frac{di_A}{dt} - \\
 &\quad - L_{Ba} \frac{di_B}{dt} - L_{Ca} \frac{di_C}{dt}.
 \end{aligned} \tag{1.42}$$

Dacă se neglijează nesimetria magnetică se poate scrie:

$$L_{BA} = L_{CA}; \quad L_{bA} = L_{cA}; \quad L_{ba} = L_{ca}; \quad L_{Ba} = L_{Ca};$$

se mai presupune că sistemele de curenți îndeplinesc condițiile:

$$i_A + i_B + i_C = 0; \quad i_a + i_b + i_c = 0.$$

Rezultă:

$$\begin{aligned} u_A &= R_A i_A + (L_{AA} + L_{BA}) \cdot \frac{di_A}{dt} + (L_{aA} + L_{bA}) \frac{di_a}{dt} \\ -u_a &= R_a i_a + (L_{aa} + L_{ba}) \cdot \frac{di_a}{dt} + (L_{AA} + L_{Ba}) \cdot \frac{di_A}{dt} \end{aligned} \quad (1.43)$$

În această formă ecuațiile de funcționare ale unei faze a transformatorului cu miez magnetic compact sînt identice cu ecuațiile unui transformator monofazat (teoria fizică) cu singura deosebire că în locul inductivităților proprii  $L_{11}$  și  $L_{12}$  intervin inductivitățile:

$$\begin{aligned} \mathcal{L}_{AA} &= L_{AA} + L_{BA}; \quad \mathcal{L}_{aa} = L_{aa} + L_{ba}; \quad \mathcal{L}_{Aa} = L_{Aa} + L_{Ba} = \\ &= L_{aA} + L_{aB} = \mathcal{L}_{aA}. \end{aligned} \quad (1.44)$$

Se remarcă ușor că în ecuațiile (1.43) nu intervin curenții celorlalte faze în schimb interacțiunea cu celelalte faze se face prezentă prin modificarea inductivităților proprii și mutuale ale celor două înfășurări—primară și secundară.

Aceste inductivități derivate, definite de relațiile (1.44) se numesc *inductivități ciclice*. Inductivitatea ciclică  $\mathcal{L}_{AA}$  se referă la fluxul magnetic produs de toate cele trei înfășurări primare de fază printr-una dintre înfășurările primare. Similar inductivitatea ciclică mutuală  $\mathcal{L}_{aA}$  înglobează acțiunea mutuală asupra unei înfășurări primare a tuturor curenților din înfășurările secundare. Avantajul introducerii inductivităților ciclice la transformatoarele trifazate constă în posibilitatea reducerii studiului la numai una dintre faze, în condiții de simetrie magnetică și electrică. Inductivitatea ciclică proprie se poate calcula ușor dacă se neglijează cîmpul magnetic de scăpări, astfel din schema magnetică echivalentă reprezentată în figura 1.23 în care s-a notat cu  $\mathcal{Q}$  reluctanța unei coloane se obține:

$$L_{AA} = \frac{\Phi_{AA}}{i_A} = \frac{w_1^2}{\frac{3}{2} \mathcal{Q}} = \frac{2}{3} \frac{w_1^2}{\mathcal{Q}}; \quad L_{BA} = \frac{1}{2} L_{AA}.$$

Rezultă:

$$\mathcal{L}_{AA} = \frac{3}{2} L_{AA} = \frac{w_1^2}{\mathcal{Q}}. \quad (1.45)$$

Similar se pot calcula și celelalte inductivități ciclice. Deci un transformator monofazat cu același număr de spire  $w_1, w_2$  pentru înfășurarea primară respectiv secundară și cu o reluctanță a miezului magnetic egală cu reluctanța porțiunii din miezul magnetic trifazat compact care revine unei faze are exact aceeași comportare ca și o fază oarecare a transformatorului trifazat.

Rezultă că teoria transformatorului monofazat se aplică și transforma-

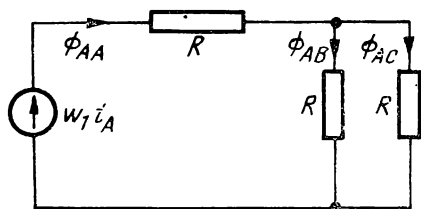


Fig. 1.23. Schema magnetică echivalentă.

torului trifazat în condiții de simetrie constructivă și funcțională. Transformatorul trifazat se comportă în aceste condiții ca și cum fiecare fază ar funcționa independent.

În cazul unui transformator cu circuit magnetic ca în figura 1.22, *c*, echivalența dintre un transformator monofazat și o fază a unui trifazat, devine aproximativă. Aproximația se referă de fapt la curenții de mers în gol ai diferitelor faze. Construcția din figura 1.22, *c* este cel mai des întâlnită.

## 1.5.2. CONEXIUNILE TRANSFORMATOARELOR TRIFAZATE

Bornele scoase pe capacul cuvei transformatorului se notează așa cum este indicat în figura 1.24, *a* pentru transformatorul monofazat și în figura 1.24, *b* pentru cel trifazat.

Pentru construcția diagramelor de fazori și precizarea schemei de conexiuni, convenim să notăm începuturile înfășurărilor de înaltă tensiune ale diferitelor faze cu litere majuscule *A*, *B*, *C*, iar sfârșiturile în aceeași ordine, cu *X*, *Y*, *Z*. Pentru înfășurările omoloage de joasă tensiune se folosesc literele mici corespunzătoare: *a*, *b*, *c* pentru începuturi, *x*, *y*, *z* pentru sfârșituri.

În cazul transformatoarelor cu trei înfășurări, extremitățile fazelor înfășurării de medie tensiune se notează cu *A<sub>m</sub>*, *B<sub>m</sub>*, *C<sub>m</sub>*, respectiv *X<sub>m</sub>*, *Y<sub>m</sub>*, *Z<sub>m</sub>*. Bornele de același nume sînt dispuse pe capac față în față. Literele *N*, *N<sub>m</sub>* și *n* sînt destinate marcării bornei neutre (de nul) la conexiunea stea sau zigzag.

Cunoscînd notația bornelor și a extremităților înfășurărilor se pot conecta corect înfășurările transformatorului în diferite moduri: stea, triunghi, zigzag. Acest lucru are o importanță deosebită pentru conectarea în paralel a transformatoarelor. Schemele și diagramele fazoriale ale tensiunilor obținute cu diferite conexiuni ale înfășurărilor transformatoarelor trifazate sînt indicate în figura 1.25.

Legătura în zigzag constituie o variantă a conexiunii în stea în care înfășurarea de pe fiecare fază se împarte în două jumătăți care se așază pe două coloane diferite și se leagă în serie în sens invers. Ansamblul celor trei înfășurări se grupează în stea. Se observă că această conexiune, la un număr total de spire dat al înfășurării, realizează o tensiune de numai  $\sqrt{3}/2 = 0,866$  din cea obținută la conexiunea stea, ceea ce duce la o utilizare mai slabă a materialului. Conexiunea zigzag se utilizează numai pentru înfășurările de joasă tensiune, la transformatoarele de distribuție, de putere mică (pînă la 100 kVA), cu fir neutru și sarcini dezechilibrate (în special pentru iluminat).

Diferitele moduri de legare a înfășurărilor sînt simbolizate convențional prin *Y* și *y* pentru conexiunea stea, *D* și *d* pentru conexiunea triunghi, *z*

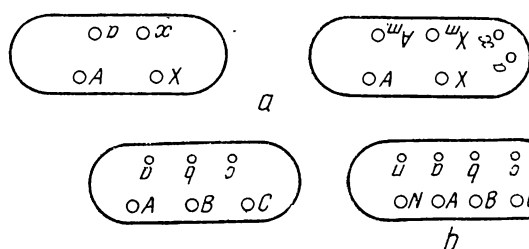


Fig. 1.24. Notarea bornelor transformatoarelor electrice:  
*a* — monofazat; *b* — trifazat.

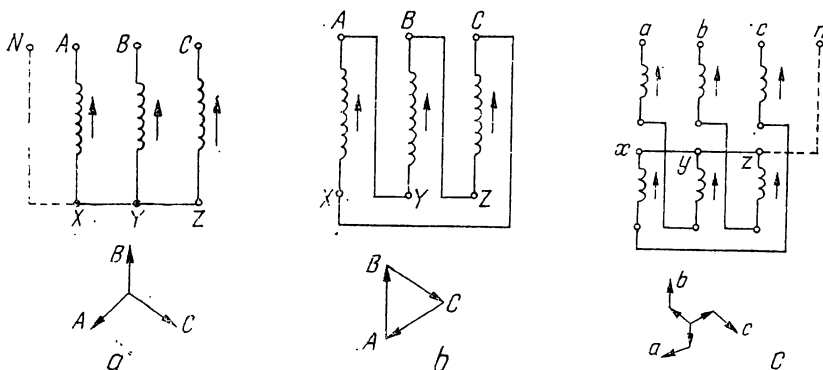


Fig. 1.25. Scheme de conexiuni ale transformatoarelor trifazate:  
a — conexiunea stea; b — conexiunea triunghi; c — conexiunea zigzag.

pentru conexiunea zigzag. Literele mari se folosesc pentru înfășurarea de înaltă tensiune, iar cele mici pentru cea de joasă tensiune. Când una dintre înfășurări are neutrul scos (accesibil) la borna de nul, la simbolul respectiv se adaugă indicele zero ( $Y_0, y_0, z_0$ ).

Grupa de conexiune caracterizează, în funcție de marcarea bornelor și sensul de înfășurare, defazajul relativ (în unități convenționale egale cu  $30^\circ$  electrice) dintre tensiunile de linie măsurate în gol la bornele omoloage ale celor două înfășurări. Schemele de conexiune Y, D, Z se încadrează în 12 grupe de conexiune, defazajul dintre tensiunile măsurate la bornele omoloage variază din  $30^\circ$  în  $30^\circ$  în gama  $0-330^\circ$  electrice. Pentru desemnarea grupei de conexiune se folosesc numere întregi de la 1 la 12 care reprezintă în același timp defazajul relativ dintre tensiunile bornelor omoloage.

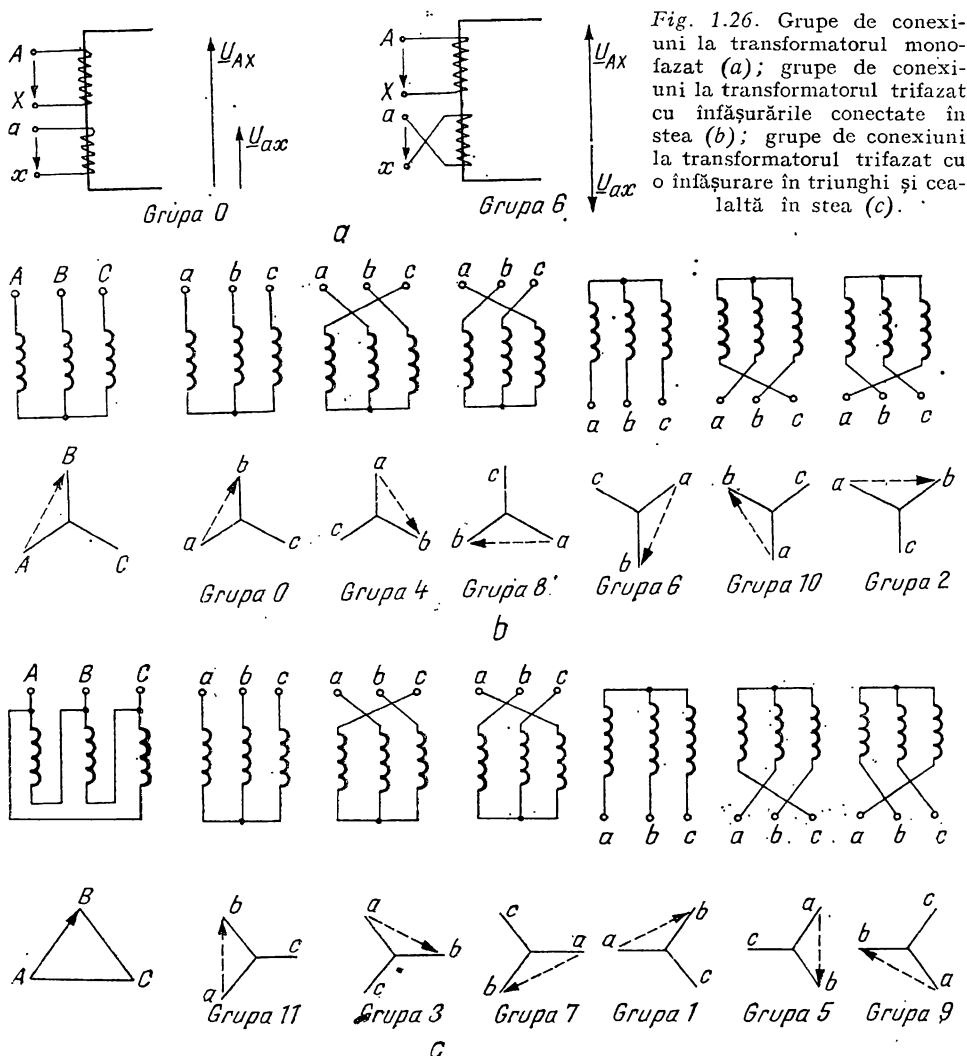
De exemplu în cazul grupei de conexiuni a unui transformator monofazat (fig. 1.26, a) tensiunile de linie  $U_{AX}$  și  $U_{ax}$  pot fi în fază, formînd grupa zero, sau în opoziție de fază, formînd grupa 6. În ultimul caz s-a schimbat sensul de parcurgere al înfășurării de joasă tensiune; același rezultat se obține și prin schimbarea sensului de înfășurare al unei înfășurări.

În cazul transformatoarelor trifazate se pot obține mai multe grupe de conexiuni. Se consideră conexiunea Yy, la care înfășurările de înaltă tensiune și cele de joasă tensiune au același sens de înfășurare, iar conexiunea stea este realizată fie la începutul înfășurărilor, fie la sfîrșitul lor. În figura 1.26, b se prezintă modul de obținere a grupelor de conexiuni 0, 4 și 8 prin schimbarea bornelor înfășurării secundare, respectiv modul de obținere a grupelor 6, 10 și 2 prin schimbarea sensului de înfășurare al înfășurării secundare.

Pentru grupele de conexiuni Dy (sau Yd) asemănător cu procedeul descris mai sus, în figura 1.26, c se prezintă grupele de conexiuni 11, 3, 7, 1, 5 și 9.

Deci se pot realiza grupe de conexiuni cu defazajul tensiunilor de linie  $1.30^\circ, 2.30^\circ, \dots 12.30^\circ$ . Ordinul grupei este dat de multiplul unghiului de  $30^\circ$  pentru a obține unghiul de defazaj. Grupele de conexiuni Yy, Dd și Dz sînt grupe pare, iar grupele de conexiuni Yd, Dy și Yz sînt impare.

Dintre toate combinațiile posibile, standardele prevăd utilizarea a numai șapte grupe de conexiuni, specificate în tabela 1.1, aparținînd grupelor 0, 11 și 5 (STAS 1703-67).



## 1.6. ÎNCERCĂRILE TRANSFORMATORULUI

După construirea unui transformator, înainte ca acesta să intre în exploatare, sînt necesare încercări prin care să se verifice calitățile lui și coincidența caracteristicilor reale cu cele calculate. Transformatoarele trebuie verificate în mod periodic și în exploatare, în scopuri preventive, precum și după reparații capitale. Încercările la care se supun transformatoarele sînt prescrise în STAS 3035-65. În cele ce urmează se vor arăta principalele încercări la care se supun transformatoarele trifazate de putere. Standardul prevede că atunci cînd nu se face o mențiune specială, aparatele de măsură utilizate vor fi de clasa de precizie 0,5 sau mai bună, cu excepția wattmetrului care se admite să fie chiar de clasa 1. Încercările trebuie efectuate la alimentare cu tensiune sinusoidală. În continuare se vor analiza cîteva din încercările transformatoarelor.

TABELUL 1.1.

Grupele de conexiuni ale transformatoarelor trifazate

	Denumirea conexiunii	Diagrama tensiunilor înaltă joasă tensiune tensiune	Conexiunea
Grupă 0 sau grupă 12	Dd-12		
	Yy-12		
	Dz-12		
Grupă 5	Dy-5		
	Yd-5		
	Yz-5		
Grupă 6	Dd-6		
	Yy-6		
	Dz-6		
Grupă 11	Dy-11		
	Yd-11		
	Yz-11		

### 1.6.1. VERIFICAREA RAPORTULUI DE TRANSFORMARE

Raportul de transformare trebuie determinat cu mare exactitate, în special pentru transformatoarele care urmează să funcționeze în paralel cu alte transformatoare (de construcție similară sau diferită). Verificarea raportului de transformare se face de obicei la tensiune redusă (sub  $0,8 U_n$ ), pentru evitarea utilizării transformatoarelor de tensiune care introduc erori suplimentare și pentru a micșora căderea de tensiune datorită curentului magnetizant. Măsurarea raportului de transformare trebuie făcută cu mare precizie întrucât abaterea maximă admisibilă pentru valoarea raportului este mică  $\pm 0,5\%$ . Măsurarea se face prin metoda celor două voltmetre sau prin metoda punții; se măsoară raportul pentru fiecare priză a comutatoarelor de reglaj al tensiunii.

Ultima metodă permite determinarea cu mare exactitate a raportului de transformare și se face conform instrucțiunilor de măsurare cu puntea respectivă.

În cadrul metodei celor două voltmetre, se măsoară tensiunile primare și secundare între borne omoloage la funcționarea în gol cu tensiune redusă. Aparatele utilizate trebuie să fie de mare precizie (de obicei clasa 0,2) și să aibă aceeași amortizare (pe cât posibil), tensiunea de alimentare să fie stabilă, iar citirile celor două aparate să se facă simultan, consumul voltmetrului din secundar să nu conducă la o cădere de tensiune mare.

### 1.6.2. VERIFICAREA GRUPEI DE CONEXIUNI

Verificarea grupei de conexiuni se poate face prin mai multe metode. Cele mai utilizate sînt: *metoda fazmetrului*, *metoda comparației* și *metoda analitică*. Cu metoda fazmetrului se măsoară direct defazajul dintre tensiunile de linie primare și secundare între borne omoloage (fig. 1.27,a), utilizînd în acest scop un fazmetru ( $\phi$ ), alimentat în circuitul de curent de pe partea de joasă tensiune a transformatorului prin intermediul unui reostat  $R$ , iar pe

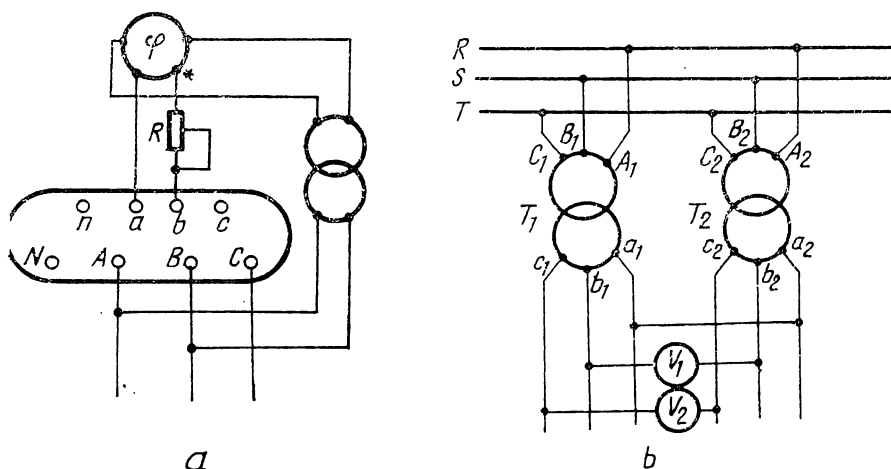


Fig. 1.27. Determinarea grupei de conexiune folosind fazmetrul (a); determinarea coincidenței grupelor de conexiune a două transformatoare (b).

circuitul de tensiune de la tensiunea primară a transformatorului, utilizând eventual un transformator de măsură (reductor de tensiune). Încercarea se efectuează cu tensiune redusă.

Metoda comparației se utilizează când se dispune de un transformator auxiliar avînd același raport de transformare și aceeași grupă de conexiuni cu transformatorul de încercat. Această împrejurare se întîlnește adesea în exploatare, când verificarea grupei de conexiuni se face în vederea legării în paralel a transformatoarelor. Alimentînd cele două transformatoare cu bornele primare omoloage legate în paralel (fig. 1.27, *b*) și făcînd în secundar o legătură între bornele omoloage ale celor două transformatoare, cu ajutorul unui voltmetru se poate constata — prin absența tensiunii între bornele omoloage rămase libere — coincidența grupelor de conexiuni ale celor două transformatoare.

Metoda analitică se folosește, încercînd transformatorul trifazat în gol, la o tensiune cel mult egală cu tensiunea nominală, înfășurările primară și secundară avînd două borne omoloage legate împreună (de exemplu bornele *A* și *a*). Se măsoară tensiunile  $U_{AB}$ ,  $U_{ab}$  și tensiunile  $U_{Bb}$  și  $U_{Cc}$  observîndu-se că în mod normal  $U_{Bb} = U_{Cc}$ . Se calculează raportul  $\gamma = U_{Bb}/U_{ab}$  în funcție de raportul de transformare  $k = U_{AB}/U_{ab}$  și funcție de valoarea raportului  $\gamma$  se stabilește grupa de conexiune. Astfel pentru grupa 0,  $\gamma = k-1$ , pentru grupa 6,  $\gamma = k+1$ , pentru grupa 5,  $\gamma = \sqrt{k^2 + 1 + k\sqrt{3}}$  și pentru grupa 11,  $\gamma = \sqrt{k^2 + 1 - k\sqrt{3}}$ .

Grupa de conexiune  $Yy_0$  se utilizează la transformatoarele de puteri relativ mici, cu flux forțat, destinate să funcționeze în rețele electrice cu sarcină secundară, destul de echilibrată.

Grupa de conexiune  $Yz_0$  se folosește la transformatoarele de distribuție de puteri mici pentru iluminatul electric; transformatoarele în această grupă de conexiuni permit o încărcare asimetrică între fază și nul pînă la curentul nominal.

Grupa de conexiune  $Dy_0$  se utilizează la transformatoarele de distribuție din stațiile electrice, iar grupa  $Yd$  se utilizează la transformatoarele ridicătoare din stațiile electrice.

### 1.6.3. VERIFICAREA RIGIDITĂȚII DIELECTRICE A IZOLAȚIEI TRANSFORMATORULUI LA FRECVENȚĂ INDUSTRIALĂ

Această încercare se realizează cu ajutorul unei surse de tensiune mai ridicată decît tensiunea nominală a unei înfășurări.

La transformatoarele obișnuite, cu două înfășurări, se efectuează două încercări de rigiditate dielectrică a izolației principale și o încercare a izolației prin tensiune indusă. Primele două încercări comportă verificarea izolației înfășurărilor de înaltă tensiune (toate bornele legate în paralel și la neutru) față de joasa tensiune și masă (bornele de joasă tensiune legate la masă), respectiv verificarea izolației înfășurărilor de joasă tensiune față de înalta tensiune și masă (bornele de înaltă tensiune legate la masă). Tensiunea de încercare este prescrisă de STAS 1703-67. Această tensiune, sinusoidală, de cel puțin 25 Hz, se aplică progresiv începînd de la cel mult 50% din valoarea totală, astfel încît în aproximativ 10 s să se ajungă la valoarea prescrisă, care se menține timp de un minut. Dacă nu se înregistrează nici o străpungere a izolației înfășurării față de masă sau față de celelalte înfășu-



rări, izolația se consideră bună. Verificarea rigidității dielectrice a izolației prin tensiune indusă servește la a stabili dacă izolația dintre spire, între părți de înfășurare și între borne este suficientă.

Încercarea se efectuează cu o tensiune trifazată sau monofazată de frecvență mărită (pentru micșorarea inducției în miez).

Durata și valoarea tensiunii de încercare sînt prevăzute în STAS 1703-67. De obicei transformatorul se alimentează cu o tensiune de 1,3—2 ori mai mare decît tensiunea nominală, timp de 5 minute. Din relația  $\omega \Phi_m w_1 = U \sqrt{2}$  rezultă că la o tensiune ridicată, frecvența trebuie să fie similar ridicată pentru ca  $\Phi_m = \text{const.}$

#### 1.6.4. ÎNCERCAREA DE MERS ÎN GOL

Schema de montaj pentru încercarea în gol a transformatorului este reprezentată în figura 1.28. În cazul în care valorile tensiunilor și curenților depășesc valorile nominale ale aparatelor de măsură, se utilizează transformatoare de măsură de tensiune respectiv de curent. Deoarece curentul de mers în gol este deformat, se utilizează aparate de măsură electrodinamice.

Se alimentează transformatorul fie pe partea de joasă tensiune fie pe partea de înaltă tensiune de la o sursă de curent alternativ de frecvență și tensiune nominală. Curba tensiunii la borne trebuie să aibă o formă practic sinusoidală (diferența dintre ordonatele curbei și ordonata fundamentalei în oricare moment să nu depășească 5% din valoarea maximă a amplitudinii fundamentalei). Se măsoară: puterea activă  $P_0$ ; curentul de mers în gol  $I_{10}$ ; tensiunea de alimentare  $U_1 = U_{1n}$ .

Curentul de mers în gol  $I_{10}$  are importanță pentru aprecierea calității construcției transformatorului, de obicei  $I_{10} = (0,1 \dots 0,01) I_{1n}$ . Dacă  $I_{10}$  depășește sensibil aceste valori rezultă că este necorespunzătoare construcția transformatorului.

La mersul în gol, curentul  $I_{10}$  fiind foarte mic, pierderile Joule sînt cu totul neînsemnate. Valorile relative mici ale curentului de mers în gol  $I_{10}/I_{1n}$  corespund transformatoarelor de putere mare. Puterea activă  $P_0$  se măsoară cu ajutorul unor wattmetre construite pentru factor de putere redus ( $\cos \varphi = 0,1$  sau  $0,5$ ) pentru a le spori sensibilitatea. Din cele arătate mai sus rezulta că puterea activă  $P_0$  reprezintă cu o bună aproximație pierderile în miezul magnetic al transformatorului. Pierderile în fier sînt aceleași la mersul în gol ca și la mersul în sarcină deoarece la tensiune de alimentare dată  $U_1$ , fluxul magnetic este practic același atît la gol cît și la mersul în sarcină. Prin urmare  $P_{10} = P_{Fe}$ .

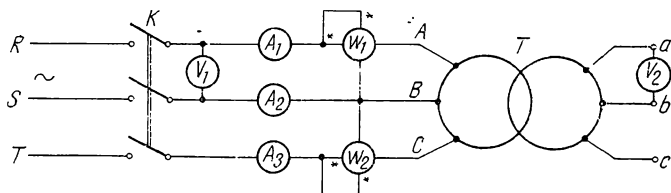


Fig. 1.28. Schemă de încercare la funcționarea în gol a transformatorului trifazat.

Pe baza măsurătorilor la mersul în gol se pot calcula: rezistența  $R_w$ , corespunzătoare pierderilor în fier, reactanța de magnetizare  $X_\mu$  și factorul de putere  $\cos \varphi_{10}$ :

$$R_w \cong 3 U_{1f}^2 / P_0 \quad (1.45)$$

$$X_\mu \cong U_{1f} / (I_{1f} \sin \varphi_{10}) \quad (1.46)$$

$$\cos \varphi_{10} = P_0 / (\sqrt{3} U_1 I_{10}) \quad (1.47)$$

Factorul de putere al transformatorului la mersul în gol are valori mici;  $\cos \varphi_{10} = 0,05 \dots 0,15$ .

### 1.6.5. ÎNCERCAREA ÎN SCURTCIRCUIT

Schema de montaj pentru încercarea în scurtcircuit a unui transformator trifazat este reprezentată în figura 1.29, în care se utilizează obligatoriu regulatorul de tensiune  $RT$ . Prin intermediul regulatorului de tensiune se aplică transformatorului o tensiune mult mai mică decât tensiunea nominală  $U_{1n}$  (inițial tensiunea aplicată este bine să fie zero și apoi să fie crescută treptat). Tensiunea aplicată este variată pînă atinge valoarea  $U_{1kn}$  pentru care curentul din înfășurarea primară atinge valoarea nominală  $I_{1n}$ . Această tensiune  $U_{1kn}$  se numește *tensiune de scurtcircuit*. În general  $U_{1kn} = (0,04 \dots 0,15) U_{1n}$ .

Cu ajutorul aparatelor din schema din figura 1.29 se măsoară puterea activă  $P_{1k}$ , tensiunea de alimentare  $U_{1k}$  și curenții din înfășurări  $I_{1k}$  și  $I_{2k}$ . În cazul în care transformatorul este prevăzut cu prize de reglaj, încercarea se face pe priza nominală. Dacă încercarea se efectuează la un curent diferit de curentul nominal al înfășurării, atunci se recalculează mărimile la curentul nominal

$$P_{1k} = (I_{1k}/I_1)^2 P_1; \quad U_{1k} = (I_{1k}/I_1) U_1 \quad (1.48)$$

$P_1$  și  $U_1$  fiind mărimile măsurate la curentul  $I_1$ . În regimul de scurtcircuit fluxul magnetic  $\Phi$  este foarte mic deoarece tensiunea aplicată este mică, prin urmare curentul de magnetizare poate fi neglijat, adică  $\underline{I}_1 = -\underline{I}_2$ , iar ecuația de tensiuni în acest caz devine ( $\underline{U}_2 = 0$ ):

$$\underline{U}_{1kn} = R_k \underline{I}_{1n} + j X_k \underline{I}_{1n}. \quad (1.49)$$

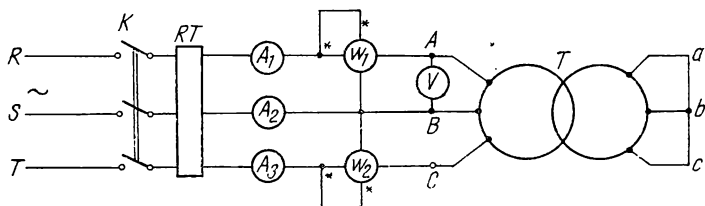


Fig. 1.29. Schema de încercare la funcționarea în scurtcircuit a transformatorului trifazat.

Valoarea tensiunii de scurtcircuit raportată la tensiunea  $U_{1n}$  va fi

$$u_k = \frac{U_{1kn}}{U_{1n}} = \frac{\sqrt{R_k^2 I_{1n}^2 + X_k^2 I_{1n}^2}}{U_{1n}} = \sqrt{u_{ka}^2 + u_{kr}^2}. \quad (1.50)$$

Componenta activă  $u_{ka}$  a tensiunii de scurtcircuit variază cu temperatura datorită variației rezistenței cu temperatura. Componenta  $u_{kr}$  este constantă cu temperatura. Pierderile măsurate la încercarea de scurtcircuit se raportează la temperatura standard convențională  $\theta_n$  a înfășurării ( $\theta_n = 75^\circ\text{C}$  pentru transformatoare izolate în clasele  $A$ ,  $E$ ,  $B$  și  $\theta_n = 115^\circ\text{C}$  pentru clasele  $F$ ,  $H$ ,  $C$ ). Pierderile în fier fiind neglijabile, pierderile în înfășurări la temperatura  $\theta_n$  sînt date de relația:

$$P_{jn}^* = P_{1k} \frac{\theta_n + 235}{\theta + 235} \quad (1.51)$$

în care  $\theta$  este temperatura înfășurărilor transformatorului (presupus avînd înfășurări din cupru) în momentul măsurării pierderilor  $P_{1k}$ , la curenți nominali.

Determinarea componentelor tensiunii de scurtcircuit, la temperatura standard  $\theta_n$ , se face cu relațiile:

$$u_{ka} = P_{jn}^*/S_n; \quad u_{kr} = \sqrt{u_k^2 - u_{ka}^2}. \quad (1.52)$$

Așadar de aici rezultă necesitatea prescrierii temperaturii înfășurărilor pentru care se determină experimental tensiunea de scurtcircuit. Tensiunea nominală de scurtcircuit a unui transformator se definește pentru temperatura standard  $\theta_n$ .

Cu valorile obținute pentru  $u_k$ ,  $u_{ka}$  și  $u_{kr}$  se poate construi triunghiul de scurtcircuit sau triunghiul Kapp, care pentru curentul nominal poartă numele de *triunghi fundamental de scurtcircuit*. Cu datele obținute se pot determina rezistența și reactanța de scurtcircuit:

$$R_k = u_{ka} \frac{U_{1n}}{I_{1n}}; \quad X_k = u_{kr} \frac{U_{1n}}{I_{1n}}. \quad (1.53)$$

Cunoscînd pierderile în fier  $P_{Fe}$  și în înfășurări  $P_J$  se poate calcula caracteristica randamentului, iar cu tensiunile  $u_{ka}$  și  $u_{kr}$  se pot calcula caracteristicile externe.

Atît la încercarea în gol cît și la încercarea în scurtcircuit, la măsurarea puterii absorbite de transformatoarele trifazate, se recomandă folosirea schemei cu trei wattmetre, întrucît în schema cu două wattmetre indicațiile acestora ar fi aproape egale și de semn contrar, ceea ce determină o eroare foarte mare la măsurarea puterii (nu se pot folosi în această schemă wattmetre pentru factor de putere redus).

În afara acestor încercări prezentate la care sînt supuse toate transformatoarele, se mai prescriu și încercări de tip sau speciale la care se supun numai unele transformatoare și care nu se vor analiza în cele ce urmează. Asemenea încercări cuprind: verificarea rigidității dielectrice a izolației transformatorului la impuls de tensiune, încercarea de încălzire, verificarea transformatorului la scurtcircuit brusc, verificarea rezistenței mecanice a cuvei etc.

## 1.7. FUNCȚIONAREA ÎN PARALEL A TRANSFORMATOARELOR TRIFAZATE

În stațiile electrice apare adeseori necesitatea de a dispune în loc de un singur transformator de mare putere, de mai multe transformatoare de putere mică. Conectarea în paralel a transformatoarelor este necesară pentru asigurarea continuității alimentării cu energie electrică a consumatorilor la deconectarea unor transformatoare pentru revizii sau reparații.

De asemenea atunci când sarcina unei stații de transformare variază în limite foarte largi în decursul unei zile (sau a unei perioade mai îndelungate), existența mai multor transformatoare care pot funcționa în paralel permite menținerea unui nivel minim al pierderilor în procesul de transformare, prin modificarea numărului de transformatoare aflate în funcțiune corespunzător sarcinii cerute. La creșterea puterii stațiilor de transformare, pentru a face față creșterii consumului de energie electrică a receptoarelor alimentate de stația respectivă ca și la stațiile de transformare de putere mare, apare rațională conectarea în paralel a mai multor transformatoare.

În figura 1.30, *a* este redată schema de conectare în paralel a două transformatoare trifazate, precum și schema echivalentă pentru două faze ale acestora.

Problema de bază care apare la funcționarea în paralel a mai multor transformatoare este aceea a repartizării sarcinii totale între diferitele transformatoare proporțional cu puterile lor nominale. La conectarea în paralel a transformatoarelor identice ca putere și construcție, repartiția uniformă a sarcinii se realizează automat. În cazul general se conectează însă în paralel transformatoare de puteri nominale și de construcții diferite. Se va studia în continuare cazul a două transformatoare, rezultatele putându-se generaliza pentru mai multe transformatoare care funcționează în paralel.

În schema echivalentă din figura 1.30, *b* s-a notat cu  $Z_l$  impedanța conductoarelor de legătură; se pot scrie relațiile:

$$\underline{U}_1 = \underline{Z}_{K\alpha} \underline{I}_{1\alpha} - \underline{U}'_{2\alpha}; \quad \underline{U}_1 = \underline{Z}_{K\beta} \underline{I}_{1\beta} - \underline{U}'_{2\beta} \quad (1.54)$$

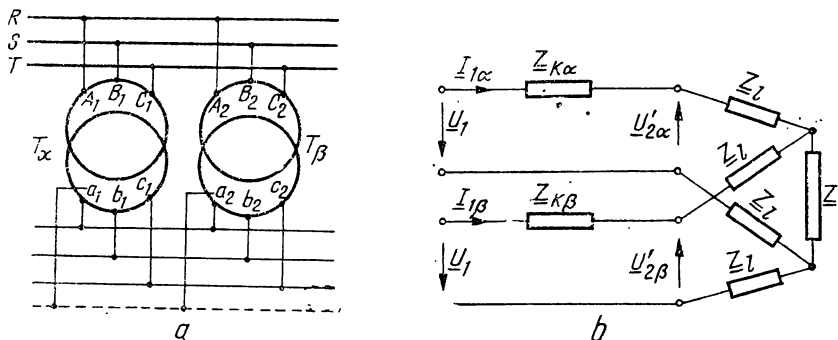


Fig. 1.30. Schema de conectare în paralel a două transformatoare trifazate:  
*a* — schema de principiu; *b* — schema echivalentă.

Rezultă :

$$\underline{I}_{1\alpha} = \frac{\underline{U}_1 + \underline{U}'_{2\alpha}}{\underline{Z}_{k\alpha}} ; \quad \underline{I}_{1\beta} = \frac{\underline{U}_1 + \underline{U}'_{2\beta}}{\underline{Z}_{k\beta}}.$$

Iar curentul total absorbit de receptorul de impedanță echivalentă  $Z$  va fi :

$$\underline{I} = \underline{I}_{1\alpha} + \underline{I}_{1\beta} = \underline{U}_1 \left( \frac{1}{\underline{Z}_{k\alpha}} + \frac{1}{\underline{Z}_{k\beta}} \right) + \frac{\underline{U}'_{2\alpha}}{\underline{Z}_{k\alpha}} + \frac{\underline{U}'_{2\beta}}{\underline{Z}_{k\beta}}.$$

Eliminînd tensiunea  $\underline{U}_1$  din relațiile de mai sus rezultă :

$$\underline{I}_{1\alpha} = \frac{\underline{I} \underline{Z}_{k\beta}}{\underline{Z}_{k\alpha} + \underline{Z}_{k\beta}} + \frac{\underline{U}'_{2\alpha} - \underline{U}'_{2\beta}}{\underline{Z}_{k\alpha} + \underline{Z}_{k\beta}} ; \quad \underline{I}_{1\beta} = \frac{\underline{I} \underline{Z}_{k\alpha}}{\underline{Z}_{k\alpha} + \underline{Z}_{k\beta}} - \frac{\underline{U}'_{2\alpha} - \underline{U}'_{2\beta}}{\underline{Z}_{k\alpha} + \underline{Z}_{k\beta}} \quad (1.55)$$

Curenții  $\underline{I}_{1\alpha}$  și  $\underline{I}_{1\beta}$  au cîte două componente. Primele componente diferite pentru cele două transformatoare, care reprezintă componentele impuse de sarcină, sînt proporționale cu valoarea curentului  $\underline{I}$  absorbit de receptor. Celelalte componente sînt independente de curentul  $\underline{I}$  și egale în valoare absolută, aceste componente există chiar cînd  $\underline{I} = 0$ . Această componentă

$\underline{I}_e = \frac{\underline{U}'_{2\alpha} - \underline{U}'_{2\beta}}{\underline{Z}_{k\alpha} + \underline{Z}_{k\beta}}$  poartă denumirea de *curent de egalizare* și este dezavantajos pentru că încarcă un transformator în mod suplimentar și descarcă pe celălalt; astfel transformatoarele în paralel sînt sollicitate în mod diferit. Pentru a nu exista acest curent de egalizare se impune ca :  $\underline{U}'_{2\alpha} = \underline{U}'_{2\beta}$ .

Aceasta înseamnă pe de o parte același raport de transformare, iar pe de altă parte relația de mai sus fiind o relație complexă impune aceeași fază pentru cele două tensiuni. De aici rezultă o condiție nouă pentru conectarea transformatoarelor trifazate în paralel, anume să aibă aceeași grupă de conexiuni. Dacă  $\underline{I}_e = 0$ , avem relația :

$$\underline{I}_{1\alpha} / \underline{I}_{1\beta} = \underline{Z}_{k\alpha} / \underline{Z}_{k\beta} \quad (1.56)$$

sau

$$\underline{I}_{1\alpha} / \underline{I}_{1\alpha\alpha} : \underline{I}_{1\beta} / \underline{I}_{1\beta\beta} = \frac{\underline{Z}_{k\beta}}{\underline{Z}_{k\alpha}} \frac{\underline{I}_{1\beta\beta}}{\underline{I}_{1\alpha\alpha}} = \frac{\underline{U}_{k\beta}}{\underline{U}_{k\alpha}} e^{j(\varphi_{\beta k} - \varphi_{\alpha k})}.$$

Dacă  $\underline{U}_{k\alpha} = \underline{U}_{k\beta}$  dar  $\varphi_{\beta k} \neq \varphi_{\alpha k}$ , atunci diagrama fazorială a curenților este cea din figura 1.31. Se constată că dacă  $\varphi_{\beta k} - \varphi_{\alpha k}$  are valori mari transformatoarele pot fi sollicitate suplimentar. Dacă transformatoarele conectate în paralel au puterile nominale de ordinul 1 : 3 sau 1 : 4 diferența  $\varphi_{\beta k} - \varphi_{\alpha k}$  nu devine atît de importantă. Odată depășite aceste valori diferența  $\varphi_{\beta k} - \varphi_{\alpha k}$  poate lua valori inadmisibile.

În cazul în care  $\underline{U}_{k\alpha} \neq \underline{U}_{k\beta}$  și  $\varphi_{\beta k} = \varphi_{\alpha k}$  se obține :

$$\frac{\underline{I}_{1\alpha}}{\underline{I}_{1\alpha\alpha}} : \frac{\underline{I}_{2\beta}}{\underline{I}_{2\beta\beta}} = \frac{\underline{U}_{k\beta}}{\underline{U}_{k\alpha}}, \text{ sau înmulțind curenții cu } \underline{I}_{1\alpha} \text{ se obține :}$$

$$\frac{S_{\alpha}}{S_{\beta}} = \frac{S_{n\alpha}}{S_{n\beta}} \cdot \frac{u_{k\beta}}{u_{k\alpha}}. \quad (1.57)$$

Fig. 1.31. Diagrama fazorială a curenților.

Cu alte cuvinte puterea aparentă totală  $S = S_\alpha + S_\beta$  se repartizează pe cele două transformatoare proporțional cu puterile lor aparate și invers proporțional cu tensiunile de scurtcircuit relative.

Rezumînd cele de mai sus rezultă că la conectarea în paralel pentru aceeași tensiune  $U_1$ , trebuie îndeplinite condițiile:

a) același raport de transformare; b) aceeași grupă de conexiuni; c) puterile nominale să fie cît mai apropiate, raportul lor se admite cel mult 1 : 3 sau 1 : 4; d) aceleași tensiuni relative de scurtcircuit.

## 1.8. FUNCȚIONAREA TRANSFORMATORULUI TRIFAZAT ÎN REGIM NESIMETRIC [2], [7], [19]

Funcționarea transformatoarelor trifazate în regimuri nesimetrice conduce la înrăutățirea performanțelor acestora: creșterea pierderilor în fier și în înfășurări, supratemperaturi locale, deformarea undei tensiunilor de linie și de fază. În același timp se înrăutățesc performanțele consumatorilor, deoarece aceștia nu mai funcționează la tensiunile lor normale, creșterea tensiunii pe o fază periclitează consumatorii de pe acea fază. Sistemul de tensiuni nesimetric conduce la micșorarea cuplului electromagnetic la mașinile de c.a.

Pentru stabilirea unor rezultate parțiale se poate face un calcul direct. Fie un transformator cu grupa de conexiuni  $Yy_0$  și curenții de fază pe primar  $\underline{I}_A, \underline{I}_B, \underline{I}_C$  (fig.1.32, a). Pentru sensurile adoptate se obține:

$$\underline{I}'_0 = \underline{I}'_a + \underline{I}'_b + \underline{I}'_c; \underline{I}_A + \underline{I}_B + \underline{I}_C = 0 \quad (1.58)$$

Aplicînd legea circuitului magnetic pe conturile  $\Gamma_1$  și  $\Gamma_2$  se obțin ecuațiile:

$$\underline{I}_A + \underline{I}'_a - \underline{I}'_b - \underline{I}_B = 0, \underline{I}_B + \underline{I}'_b - \underline{I}'_c - \underline{I}_C = 0 \quad (1.59)$$

Din aceste ecuații rezultă

$$\underline{I}_A = -\underline{I}'_a - \frac{\underline{I}'_0}{3}; \underline{I}_B = -\underline{I}'_b - \frac{\underline{I}'_0}{3}; \underline{I}_C = -\underline{I}'_c - \frac{\underline{I}'_0}{3} \quad (1.60)$$

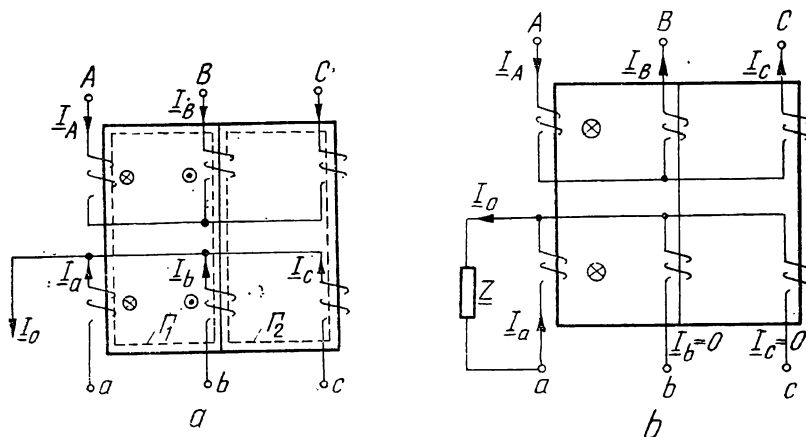


Fig. 1.32. Încărcarea nesimetrică a unui transformator trifazat avînd grupa de conexiune  $Yy_0$ .

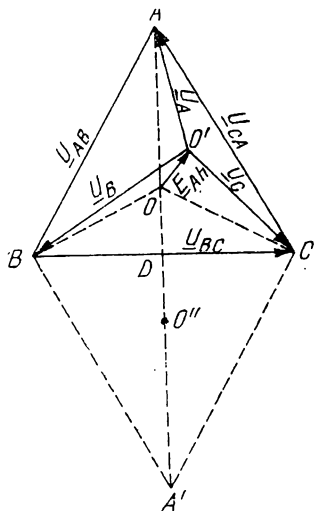


Fig. 1.33. Cu privire la determinarea tensiunii  $E_{Ah}$ .

Dacă  $I'_0 = 0$  solenațiile primară și secundară de pe aceeași fază se compensează. Pentru  $I'_a = I_0$ ,  $I_b = I_c = 0$  rezultă:  $I_a = -2 I'_a/3$ ;  $I_b = I_c = I'_a/3$  (fig. 1.32, b). Un sistem de curenți trifazat se consideră practic simetric dacă descompunându-l în sisteme de faze direct  $I_d$ , invers  $I_i$  și homopolar  $I_h$ , satisface inegalitățile:

$$I_i \leq 0,05 I_d; \quad I_h \leq 0,05 I_d \quad (1.61)$$

Aplicarea metodei componentelor simetrice în cazul transformatoarelor simplifică rezolvarea regimurilor nesimetrice deoarece schema echivalentă pentru succesiunea inversă este identică cu cea pentru succesiunea directă. Dacă se neglijează curentul de mers în gol atunci  $Z_d = Z_i = Z_h$ . Curenții de succesiune homopolară (conexiunea  $Yy_0$ ) vor deplasa punctul neutru al stelei tensiunilor primare cu tensiunea  $E_{Ah} = -Z_h I_{ah}$ . Tensiunile nesimetrice de fază primare sînt:

$$\begin{aligned} \underline{U}_A &= \frac{1}{3} (\underline{U}_{CA} - \underline{U}_{AB}) + j X_h I'_{ah}; \quad \underline{U}_B = \frac{1}{3} (\underline{U}_{AB} - \underline{U}_{BC}) + j X'_h I'_{ah} \\ \underline{U}_C &= \frac{1}{3} (\underline{U}_{BC} - \underline{U}_{CA}) + j X'_h I'_{ah}; \quad Z_h \approx j X_h \end{aligned} \quad (1.62)$$

Dacă  $O''$  este simetricul lui  $O'$  atunci  $AO = OO'' = AA'/3 = (\underline{U}_{CA} - \underline{U}_{AB})/3$ , (fig. 1.33).

În figura 1.34 se prezintă schema de măsurare a impedanței  $Z_h$  se măsoară puterea activă  $P$ , tensiunea la borne  $U$  și curentul  $I$ . Pentru schema din figura 1.34, a:

$$Z_h = U/3 I, \quad R_h = P/3 I^2, \quad X_h = \sqrt{Z_h^2 - R_h^2}$$

Pentru schema din figura 1.34, b:  $Z_h = 3 U/I$ ,  $R_h = 3 P/I^2$ ,  $X_h = \sqrt{Z_h^2 - R_h^2}$ .

La conexiunea  $Yd$  curenții de fază primari (fig. 1.35) sînt:

$$\underline{I}_A = -\underline{I}'_{ab}; \quad \underline{I}_B = -\underline{I}'_{bc}; \quad \underline{I}_C = -\underline{I}'_{ca}$$

tensiunile de fază primară se deduc cu relațiile 1.62 ( $I'_{ah} = 0$ ).

Pentru conexiunea  $Yy_0$  cu sarcină monofazată componentele simetrice ale curenților secundari sînt  $I'_{ad} = I'_{ai} = I'_{ah} = I'_a/3$  fig. 1.36).

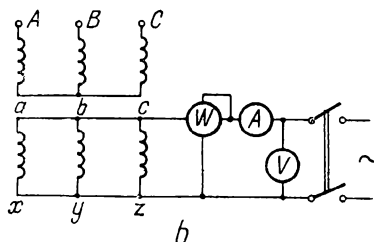
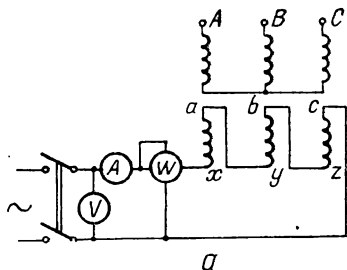


Fig. 1.34. Schema de măsurare a reactanței  $X'_h$ :

a — înfășurările conectate în triunghi deschis; b — conectate în paralel.

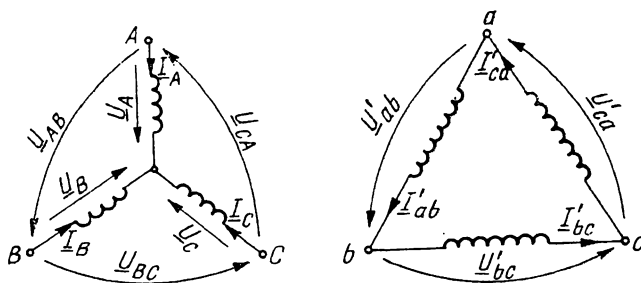


Fig. 1.35. Schema de conexiuni Yd.

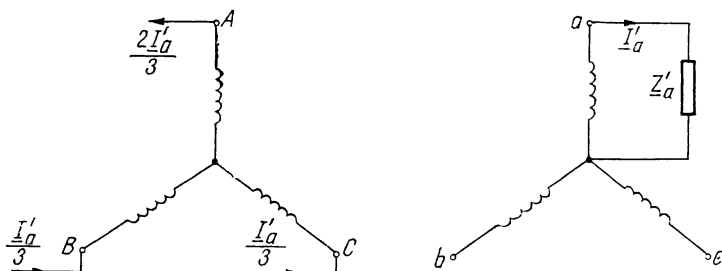


Fig. 1.36. Sarcină manofazată în cazul grupei de conexiuni Yy<sub>0</sub>.

## 1.9. TRANSFORMATORE SPECIALE

În categoria transformatoarelor speciale se cuprind transformatoarele a căror construcție diferă de construcția transformatoarelor cu două înfășurări.

### 1.9.1. TRANSFORMATORUL CU TREI ÎNFĂȘURĂRI

Transformatoarele electrice cu trei înfășurări se utilizează la cuplarea între ele a trei rețele electrice cu tensiuni diferite, astfel se utilizează un singur transformator în loc de două. Obișnuit, lângă miez se plasează înfășurarea de joasă tensiune (JT), urmează cea de medie tensiune (MT) și apoi cea de înaltă tensiune (IT) (fig. 1.37). Dacă înfășurarea de JT este înfășurare primară, ea se plasează la mijloc, pentru a diminua câmpul de dispersie și deci căderile de tensiune în sarcină. În toate cazurile înfășurarea de IT se plasează în exterior; din motive de izolație.

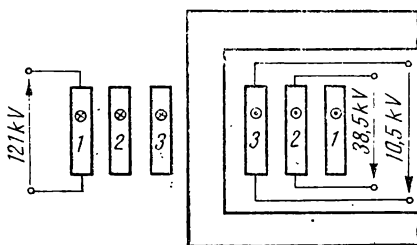


Fig. 1.37. Schema transformatorului cu trei înfășurări.



Ecuatiile de funcționare se stabilesc prin analogie cu transformatorul cu două înfășurări:

$$\begin{aligned}\underline{U}_1 &= R_1 \underline{I}_1 + j \omega (L_{13} \underline{I}_1 + M'_{12} \underline{I}'_2 + M'_{13} \underline{I}'_3) \\ -\underline{U}'_2 &= R'_2 \underline{I}'_2 + j \omega (L'_{22} \underline{I}'_2 + M'_{12} \underline{I}_1 + M'_{23} \underline{I}'_3) \\ -\underline{U}'_3 &= R'_3 \underline{I}'_3 + j \omega (L'_{33} \underline{I}'_3 + M'_{13} \underline{I}_1 + M'_{23} \underline{I}'_2) \\ \underline{I}_1 + \underline{I}'_2 + \underline{I}'_3 &= 0; \quad \underline{I}'_2 = \frac{w_2}{w_1} \underline{I}_2; \quad \underline{I}'_3 = \frac{w_3}{w_1} \underline{I}_3\end{aligned}\quad (1.63)$$

s-a neglijat curentul de mers în gol. Mărimile înfășurării secundare și terțiare s-au raportat la primar:

$$\begin{aligned}R'_2 &= k_{12}^2 R_2, \quad R'_3 = k_{13}^2 R_3; \quad L'_{22} = k_{12}^2 L_{22}; \quad L'_{33} = k_{13}^2 L_{33} \\ M'_{12} &= k_{12} M_{12}; \quad M'_{13} = k_{13} M_{13}; \quad M'_{23} = k_{12} k_{13} M_{23}; \\ k_{12} &= w_1/w_2; \quad k_{13} = w_1/w_3.\end{aligned}\quad (1.64)$$

Din ecuațiile (1.63) se obțin relațiile:

$$\begin{aligned}\underline{U}_1 + \underline{U}'_2 &= R_1 \underline{I}_1 + j X_{\sigma 1} \underline{I}_1 - R'_2 \underline{I}'_2 - j X'_{\sigma 2} \underline{I}'_2 \\ \underline{U}_1 + \underline{U}'_3 &= R_1 \underline{I}_1 + j X_{\sigma 1} \underline{I}_1 - R'_3 \underline{I}'_3 - j X'_{\sigma 3} \underline{I}'_3\end{aligned}\quad (1.65)$$

unde reactanțele de dispersie parțiale ale înfășurărilor sînt

$$\begin{aligned}X_{\sigma 1} &= \omega (L_{11} - M'_{12} - M'_{13} + M'_{23}); \quad X'_{\sigma 2} = \omega (L'_{22} - M'_{12} - M'_{23} + M'_{13}); \\ X'_{\sigma 3} &= \omega (L'_{33} - M'_{13} - M'_{23} + M'_{12}).\end{aligned}\quad (1.66)$$

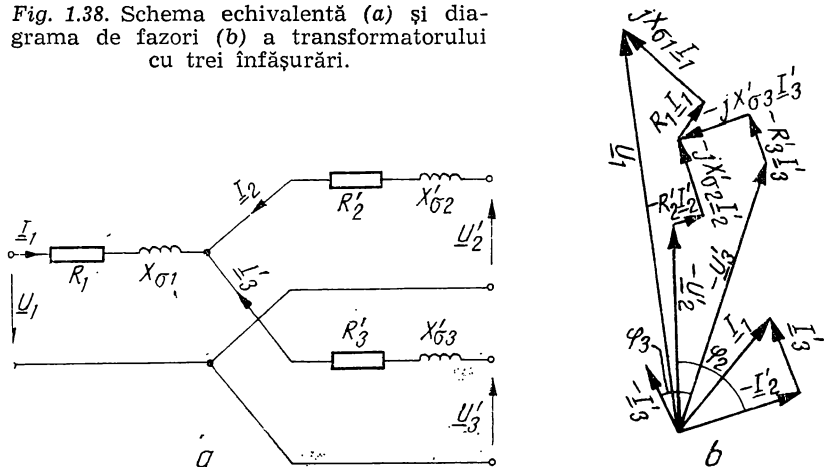
Inductivitatea de scăpări parțială  $L_{\sigma 1} = X_{\sigma 1}/\omega$  se poate pune și sub forma:

$$L_{\sigma 1} = (L_{11} - M'_{13}) + (L'_{22} - M'_{12}) - (L'_{22} - M'_{23}) = L_{\sigma 13} + L'_{\sigma 21} - L'_{\sigma 23}$$

adică  $L_{\sigma 1}$  este suma algebrică de reactanțe de scăpări, similar  $L'_{\sigma 2}$  și  $L'_{\sigma 3}$ .

Schema echivalentă a transformatorului cu trei înfășurări se prezintă în figura (1.38, a), iar diagrama fazorială în figura 1.38, b. Rezistențele și reac-

Fig. 1.38. Schema echivalentă (a) și diagrama de fazori (b) a transformatorului cu trei înfășurări.



tanțele de scurtcircuit ale transformatorului se determină prin trei probe distincte de scurtcircuit, măsurându-se de fiecare dată, puterile tensiunile și curenții.

a. Se alimentează înfășurarea 1, se scurtcircuitază înfășurarea 2 și înfășurarea 3 este în gol rezultă  $X_{k12} = X_{\sigma 1} + X'_{\sigma 2}$  și  $R_{k12} = R_1 + R'_2$ .

b. Se alimentează înfășurarea 1, se scurtcircuitază înfășurarea 3 și înfășurarea 2 este în gol, rezultă  $X_{k13} = X_{\sigma 1} + X'_{\sigma 3}$  și  $R_{k13} = R_1 + R'_3$ .

c. Se alimentează înfășurarea 2 (sau 3) și se scurtcircuitază înfășurarea 3 rezultă  $X_{k23} = X'_{\sigma 2} + X'_{\sigma 3}$  și  $R_{k23} = R'_2 + R'_3$ .

Reactanțele de scăpări se determină din cele trei ecuații, obținute la încercările de scurtcircuit.

$$X_{\sigma 1} = \frac{1}{2}(X_{k12} + X_{k13} - X_{k23}); \quad X'_{\sigma 2} = \frac{1}{2}(X_{k12} + X_{k23} - X_{k13});$$

$$X'_{\sigma 3} = \frac{1}{2}(X_{k13} + X_{k23} - X_{k12}) \quad (1.67)$$

rezistențele  $R_1$ ,  $R'_2$  și  $R'_3$  se obțin prin relații similare.

În particular, când înfășurarea primară se află lângă miez se poate face aproximația  $X_{k12} = X_{k23} = \frac{1}{2} X_{k13}$  și rezultă  $X_{\sigma 1} = X_{k13}/2$ ;  $X'_{\sigma 2} = 0$ ,

$$X'_{\sigma 3} = X_{k13}/2.$$

Tensiunile de scurtcircuit în complex sînt

$$\underline{U}_{k12} = \underline{Z}_{k12} \underline{I}_1; \quad \underline{U}_{k13} = \underline{Z}_{k13} \underline{I}_1; \quad \underline{U}_{k23} = \underline{Z}_{k23} \underline{I}_2 \quad (1.68)$$

Valorile relative ale tensiunilor de scurtcircuit sînt mai mari decît la transformatoarele cu două înfășurări, deoarece înfășurările ocupă un spațiu mai mare și cîmpul de dispersie este mai puternic (tabelul 1.2).

Pe baza diagramei fazoriale (fig. 1.38, b) se determină expresiile căderilor de tensiune relative sub următoarea formă aproximativă

TABELUL 1.2. Tensiunea de scurtcircuit pentru transformatoarele cu trei înfășurări

Ordinea de plasare a înfășurărilor considerată de la miez	$IT-MT$	$JT-IT$	$MT-JT$
$JT, MT, IT$	10,5%	17%	6%
$MT, JT, IT$	17 %	10,5%	6%

$$U_{12} = \frac{U_1 - U_2}{U_1} = \frac{1}{U_1} [(R_1 \cos \varphi_1 + X_{\sigma 1} \sin \varphi_1) I_1 + I'_2 (R'_2 \cos \varphi_2 + X'_{\sigma 2} \sin \varphi_2)] \quad (1.69)$$

$$U_{13} = \frac{U_1 - U_3}{U_1} = \frac{1}{U_1} [I_1 (R_1 \cos \varphi_1 + X_{\sigma 1} \sin \varphi_1) + I'_3 (R'_3 \cos \varphi_3 + X'_{\sigma 3} \sin \varphi_3)]$$

Relațiile (1.69) s-au obținut prin proiectarea fazorilor pe direcția tensiunii  $\underline{U}_1$  și considerînd că tensiunile  $\underline{U}_1$ ,  $-\underline{U}_2$ ,  $-\underline{U}_3$  sînt în fază. Caracteristicile externe se determină pe baza relațiilor (1.69).

Randamentul de calculează cu relația:

$$\eta = \frac{\beta_2 S_{n2} \cos \varphi_2 + \beta_3 S_{n3} \cos \varphi_3}{\beta_2 S_{n2} \cos \varphi_2 + \beta_3 S_{n3} \cos \varphi_3 + P_{Fe} + 3[(\beta_1 I_{1n})^2 R_1 + (\beta_2 I_{2n})^2 R_2 + (\beta_3 I_{3n})^2 R_3]} \quad (1.70)$$

în care  $S_{n1}$ ,  $S_{n2}$ ,  $S_{n3}$  sînt puterile nominale ale celor trei înfășurări, iar  $\beta_1$ ,  $\beta_2$ ,  $\beta_3$  sînt factorii de încărcare. Pentru transformatoarele mari  $\eta = (98,25 \dots 99,25)\%$  la  $\cos \varphi_2 = \cos \varphi_3 = 1$ . Puterea nominală a transforma-

TABELUL 1.3. Corelarea puterii în-  
fășurărilor

Înfășurarea 1	Înfășurarea 2	Înfășurarea 3
1	1	1
1	1	2/3
1	2/3	1
1	2/3	2/3

torului este puterea pentru care se dimensionează înfășurarea de putere cea mai mare, dacă această înfășurare se consideră ca unitate atunci cele trei înfășurări au puterile nominale indicate în tabelul 1.3.

Schemele de conexiuni utilizate în mod obișnuit pentru transforma-toarele trifazate sînt  $Y_0/Y_0/D-12-11$  și  $Y_0/D/D-11-11$ , iar la cele mono-fazate  $1/1-12-12$ .

## 1.9.2. AUTOTRANSFORMATORUL

Autotransformatorul are miezul feromagnetic la fel cu al transfor-matorului și o singură înfășurare pe fază prevăzută cu una sau mai multe prize (fig. 1.39, *a*). Cele două părți ale înfășurării sînt cuplate inductiv și sînt în general executate cu conductoare de secțiuni diferite, sub forma unor înfășurări cilindrice concentrice (fig. 1.39, *b*). Înfășurarea  $AX$  este înfășurarea de înaltă tensiune, iar înfășurarea  $ax$  este înfășurarea de joasă tensiune, înfășurările primară și secundară ale autotransformatorului sînt cuplate electromagnetic și galvanic. Autotransformatorul poate fi coborîtor de tensiune (fig. 1.39, *c*) sau ridicător de tensiune (fig. 1.39, *d*).

Se vor nota cu indicele 1 mărimile referitoare la partea primară (care primește energia) și cu indicele 2 mărimile referitoare la partea secundară (care transmite energia consumatorului). Cu  $w_1$  și  $w_2$  se vor nota totalitatea numărului de spire cuprins între bornele primare respectiv cele secundare. La funcționarea în gol a autotransformatorului nu apare nici o deosebire față de regimul respectiv al transformatorului. Raportul  $k_a$  de transformare a ten-siunilor se definește prin relația

$$k_a = E_1/E_2 = \frac{w_1}{w_2} \approx \frac{U_1}{U_{20}}. \quad (1.71)$$

*Ecuatiile autoransformatorului.* Considerînd autotransformatorul co-borîtor de tensiune și adoptînd sensurile curenților și tensiunilor din fig. 1.39 se pot scrie următoarele ecuații:

$$\begin{aligned} \underline{I}_1 + \underline{I}_2 = \underline{I}_{10} = \underline{I}_w + \underline{I}_\mu; \quad \underline{I}_1 + \underline{I}_2 = \underline{I}_{12} \quad (\underline{I}_2 = k_a \underline{I}_2') \\ \underline{U}_1 = \underline{Z}_{A\sigma} \underline{I}_1 + \underline{Z}_{c\sigma} \underline{I}_{12} - \underline{E}_1; \quad -\underline{U}_2 = \underline{Z}_{c\sigma} \underline{I}_{12} - \underline{E}_2. \end{aligned} \quad (1.72)$$

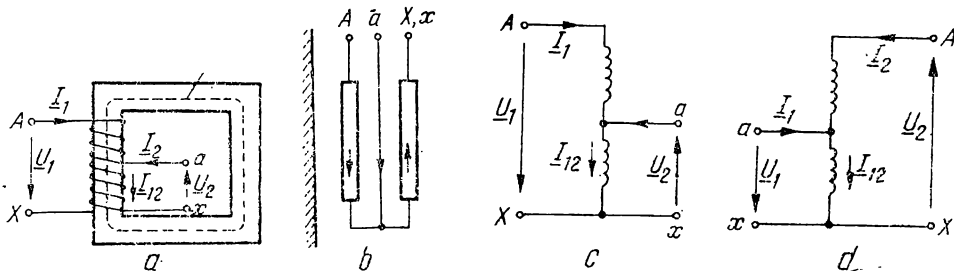


Fig. 1.39. Autotransformatorul electric:

— schița constructivă; *b* — schema conexiunilor; *c* — autotransformator coborîtor; *d* — autotransformator ridicător

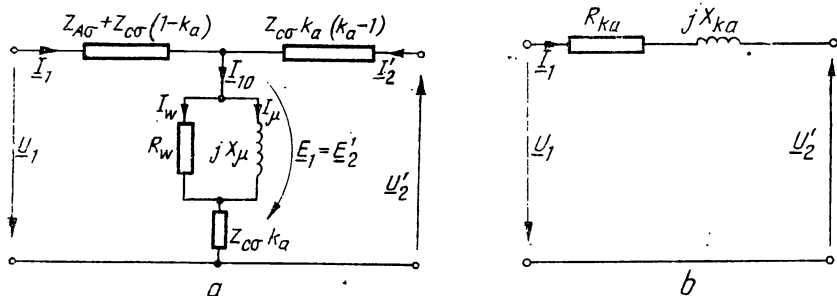


Fig. 1.40. Schema echivalentă a autotransformatorului (a) și schema echivalentă simplificată (b).

În aceste relații impedanța  $Z_{A\sigma}$  corespunde porțiunii de înfășurare  $Aa$ :  $Z_{A\sigma} = R_A + jX_{A\sigma}$ , unde  $R_A$  este rezistența acestei porțiuni de înfășurare și  $X_{A\sigma}$  reactanța de scăpări, iar  $Z_{c\sigma}$  este impedanța porțiunii comune de înfășurare  $Z_{c\sigma} = R_c + jX_{c\sigma}$  unde  $R_c$  și  $X_{c\sigma}$  sînt rezistența respectiv reactanța de scăpări ale acestei porțiuni.

Cu ajutorul primelor două relații din (1.72) ecuațiile de tensiuni se pot scrie sub forma:

$$\begin{aligned} \underline{U}_1 &= [Z_{A\sigma} + Z_{c\sigma}(1 - k_a)] \underline{I}_1 + Z_{c\sigma} k_a \underline{I}_{10} - \underline{E}_1 \\ -\underline{U}_2' &= Z_{c\sigma} k_a (k_a - 1) \underline{I}_2 + Z_{c\sigma} k_a \underline{I}_{10} - \underline{E}_2'. \end{aligned} \quad (1.73)$$

În ecuațiile (1.73) curentul și tensiunea secundară s-au raportat la primar și s-a urmărit ca în prima ecuație să apară curenții  $\underline{I}_1$  și  $\underline{I}_{10}$ , iar a doua ecuație curenții  $\underline{I}_2$  și  $\underline{I}_{10}$ . Pe baza ecuațiilor (1.73) și a relației  $\underline{E}_1 = \underline{E}_2 = -jX_\mu I = -jR_w I_w = -\underline{Z}_0 \underline{I}_{10}$  unde  $\underline{Z}_0 = \frac{jR_w X_\mu}{R_w + jX_\mu}$ , se poate construi schema echivalentă (fig. 1.40, a) și pentru  $\underline{I}_{10} = 0$ , rezultă schema echivalentă simplificată (fig. 1.40, b). Tensiunea nominală relativă de scurtcircuit este

$$u_{ka} = Z_{ka} I_{1n} / U_{1n} = \frac{I_{1n}}{U_{1n}} |Z_{A\sigma} + Z_{c\sigma} (k_a - 1)^2| \quad (1.74)$$

Autotransformatorul este echivalent cu un transformator avînd înfășurarea primară cu  $w_1 - w_2$  spire și înfășurarea secundară cu  $w_2$  spire (fig. 1.41).

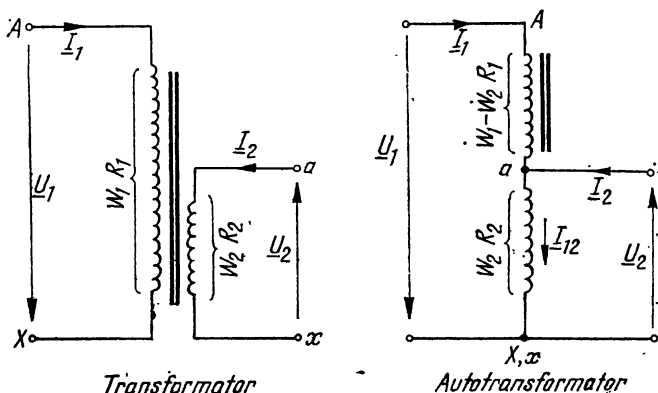


Fig. 1.41. Echivalența între transformator și autotransformator.

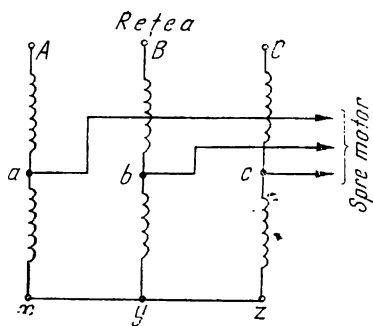


Fig. 1.42. Autotransformer pentru pornirea motoarelor asincrone.

Impedanța  $Z_{ka}$  se determină din încercarea în scurtcircuit. Tensiunea de scurtcircuit  $u_{ka} = (0,05 \dots 0,1) U_{1n}$ . Puterea de calcul  $S_c = U_2 I_{12}$  este mai mică decât puterea totală transmisă  $S_2 = U_2 I_2$ ;  $S_c/S_2 = I_{12}/I_2 = 1 - 1/k_a$  deoarece pentru  $I_{10} = 0$  rezultă  $I_{12} = I_2 (1 - 1/k_a)$ . Autotransformatorul este mai economic decât transformatorul cu cît  $k_a$  este mai apropiat de unitate. În energetică  $k_a$  are valori pînă la 2 și mai rar 3. Tensiunea de scurtcircuit a autotransformatorului se reduce la raportul  $1 - 1/k_a$ , ceea ce conduce la creșterea curenților de scurtcircuit. Izo-

larea înfășurării de joasă tensiune se face la nivelul celei de înaltă tensiune. Nu realizează separarea circuitelor primare și secundare.

Autotransformatorul trifazat se instalează în punctele de interconexiune a liniilor de transport cu tensiuni nominale apropiate, se folosește la pornirea motoarelor asincrone trifazate cu rotor în scurtcircuit de mare putere (fig. 1.42); conexiunea cea mai utilizată este  $Yy_0$ .

### 1.9.3. TRANSFORMATORE DE SUDARE CU ARC

Trebuie să aibă tensiunea secundară la funcționarea în gol de 65 ... 80 V pentru aprinderea arcului, iar în timpul operației de sudare să scadă la 20 ... 35 V ( $U_{20}/U_s = 1,8 \dots 2,5$ ). Schema de principiu a transformatorului cu bobină în secundar este prezentată în figura 1.43, a, iar schema echivalentă simplificată în figura 1.43, b.  $Z_b$  este impedanța bobinei de balast care permite obținerea unei caracteristici externe coborîtoare (fig. 1.44). Caracteristica externă foarte înclinată asigură un curent constant pentru operația de sudare, obținându-se o sudură de bună calitate. Bobinele de balast se realizează cu miez de fier și cu unul sau mai multe întrefieruri reglabile care permit reglarea regimului de sudare într-un domeniu larg (fig. 1.45). Curentul de lucru  $I_s$  poate fi modificat, schimbînd fie raportul de transformare cu ajutorul prizelor, fie reactanța bobinei de balast, așa cum rezultă din caracteristicile externe (fig. 1.46). Majoritatea transformatoarelor se fac cu sisteme combinate de reglare a curentului  $I_s$ .

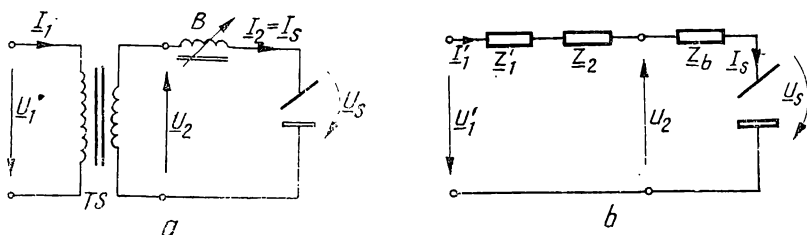


Fig. 1.43. Transformator de sudare (TS) cu inductanță separată (B) în circuitul de sudare:

a — schema de principiu; b — schema echivalentă simplificată.

Transformatoarele cu inductanță cu miez comun se realizează cu coloanele I și II bobinate identic (jumătate din înfășurarea primară și secundară pe fiecare coloană), iar înfășurarea bobinei de balast cu  $N_b$  spire, înseriată cu înfășurarea secundară (aditional sau diferențial) se așază astfel încît să îmbrățișeze întrefierul acestuia (fig. 1.47). Cuplajul magnetic între cele două elemente ale miezului este slab datorită întrefierului mare. Acest transformator poate fi considerat ca o variantă constructivă a transformatorului cu bobină separată.

Schema de principiu a transformatorului cu șunt magnetic (fig. 1.48) provine din schema din figura 1.47 în care se suprimă întrefierul din elementul al doilea al transformatorului, în schimb jugul comun se execută cu două întrefieruri simetrice și reglabile, jugul comun se numește șunt magnetic. Datorită construcției compacte și folosirii eficiente a materialelor active, transformatoarele cu șunt magnetic au performanțe superioare în raport cu celelalte transformatoare. Reglarea regimului de sudare se face continuu prin modificarea poziției șuntului magnetic sau în trepte prin modificarea numărului de spire (cu prize) din circuitul secundar.

Transformatoarele cu bobine mobile au miezul magnetic în manta, cu raportul dintre înălțimea și lățimea ferestrei mare. Înfășurarea secundară este fixată la baza ferestrei, iar cea primară este mobilă pe înălțimea coloanei

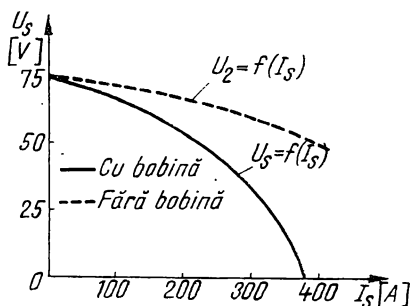


Fig. 1.44. Caracteristica externă a transformatorului de sudare.

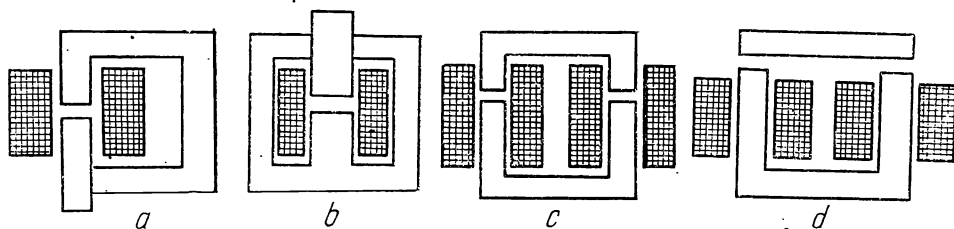


Fig. 1.45. Bobine de balast cu întrefier reglabil:

a — în coloană cu un întrefier; b — în manta cu un întrefier; c, d — în coloană cu două întrefieruri.

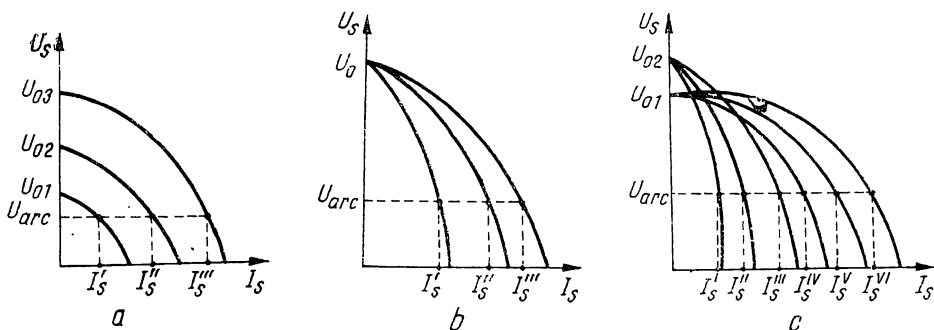


Fig. 1.46. Familia de caracteristici externe ale transformatoarelor de sudare:

a — obținute prin schimbarea raportului de transformare (curbe calitative); b — obținute prin schimbarea reactanței  $X_b$ ; c — metodă combinată.

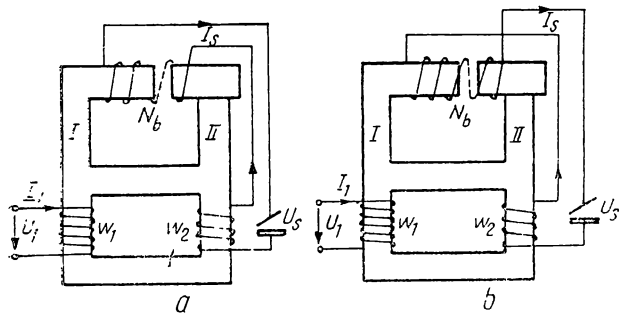


Fig. 1.47. Transformatoare de sudare cu induc-  
tanță și cu miez comun:

a — cu conexiune directă a bobinei de balast; b — cu conexiune  
inversă.

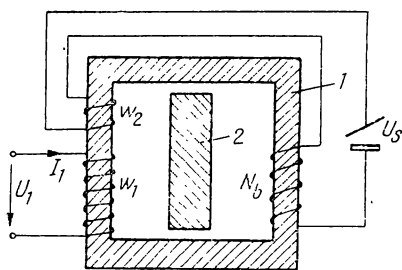


Fig. 1.48. Schema de principiu  
a transformatorului cu șunt  
magnetic:

1 — miezul transformatorului; 2 —  
șuntul reglabil.

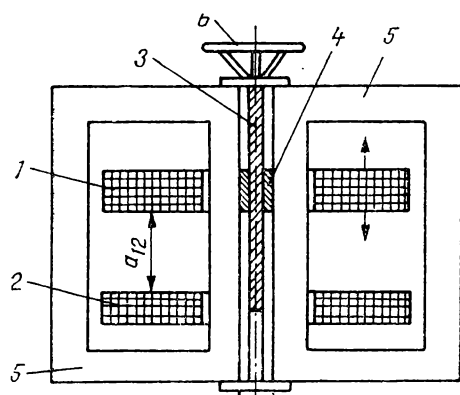


Fig. 1.49. Schema constructivă a trans-  
formatorului cu bobine mobile:

1 — bobină primară; 2 — bobină secundară; 3 —  
șurub; 4 — piuliță solidară cu bobina primară;  
5 — miez feromagnetic din tole; 6 — roată de reglaj.

(fig. 1.49). Reglarea regimului de su-  
dare se face variind distanța  $a_{12}$  din-  
tre bobine.

Randamentul  $\eta$  al transfor-  
matoarelor de sudare prin arc este rela-  
tiv scăzut și cuprins în gama (80 ...  
... 90)% iar factorul de putere în  
gama 0,5 ... 0,65. Durata de acționare  
DA pentru care se fabrică transfor-  
matoarele de sudare prin arc este în  
gama (50 ... 65)%.

#### 1.9.4. TRANSFORMATORE DE SUDARE PRIN PUNCTE

Transformatoarele de sudare prin  
puncte se utilizează la sudarea ta-  
belor metalice de diferite grosimi

(fig. 1.50). Îmbinarea cu sudură prin puncte se face mai ieftin și mai  
rapid decât îmbinarea cu nituri.

Instalația de sudare se compune din două părți: prima o constituie  
transformatorul inclusiv electrozii de sudare și a doua, instalația de tempo-  
rizare a închiderii alimentării transformatorului. Această instalație are  
următorul rol: închiderea circuitului de alimentare cu tensiune al transfor-  
matorului se face după ce electrozii au atins tablele de sudat (cu ajutorul  
unui contact auxiliar); deschiderea circuitului de alimentare se face automat  
după un anumit timp, reglat în funcție de grosimea tablelor de sudat. După  
acest timp, se deschid și electrozii. În acest fel se evită formarea arcului  
electric în punctul de sudare, care ar degrada sudura sau în cazul curenților  
foarte mari ar constitui un pericol pentru sudor. Reglajul curentului secundar  
al transformatorului se face cu ajutorul prizelor de tensiune din primarul  
transformatorului (reglaj grosier) și prin mărirea sau micșorarea timpului de  
sudare a instalației de temporizare (reglaj fin). Timpul minim de sudare

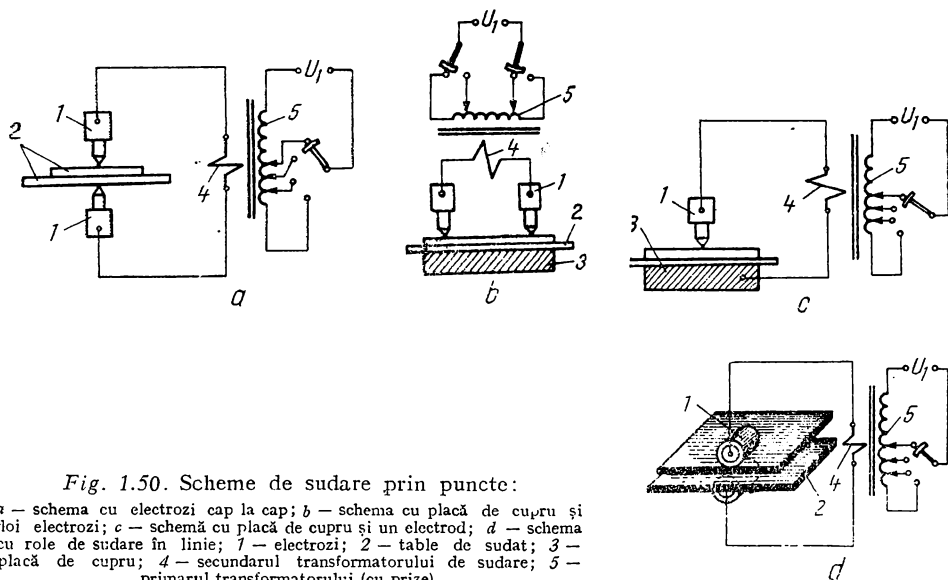


Fig. 1.50. Scheme de sudare prin puncte:

a - schema cu electrozi cap la cap; b - schema cu placă de cupru și doi electrozi; c - schemă cu placă de cupru și un electrod; d - schema cu role de sudare în linie; 1 - electrozi; 2 - table de sudat; 3 - placă de cupru; 4 - secundarul transformatorului de sudare; 5 - primarul transformatorului (cu prize).

depinde de frecvența curentului de sudare și nu poate fi mai mic de 10 perioade ale acestuia (pentru uniformitatea punctelor sudate).

Pentru aceste transformatoare uzual  $\eta = 0,8 \dots 0,96$ , iar factorul de putere  $0,5 \dots 0,8$ . În calculul acestui transformator se alege  $w_2 = 1$  (cel mai frecvent) sau  $w_2 = 2$ . Se calculează numărul de spire  $w_{1k}$  al bobinei primare pentru treapta  $k$ , curentul nominal  $I_{1n}$  și curentul de calcul  $I_{1n}^* = I_{1n} \sqrt{DA/100}$ . Se determină apoi curentul de calcul al treptei  $k$ . Corespunzător fiecărei trepte de reglaj, în înfășurarea primară circulă un anumit curent, deci fiecare treaptă trebuie să aibă secțiunea conductorului diferită. Pentru a simplifica tehnologia, numărul secțiunilor diferite este mai mic decât numărul treptelor. Se calculează apoi curentul secundar. Densitățile de curent se aleg în limitele  $j_1 = (1,5 \dots 2,8) \text{ A/mm}^2$ ,  $j_2 = (3 \dots 5) \text{ A/mm}^2$  pentru spire răcite natural în aer și în gama  $(10 \dots 15) \text{ A/mm}^2$  pentru spire răcite cu apă (spire din țevă).

Secțiunea activă de fier a coloanei  $S_{Fe} = U_1/4,44 f w_{1m} B_c$ , unde  $B_c$  se alege în funcție de calitatea tolei cu  $(5 \dots 10)\%$  mai mare ca la transformatoarele obișnuite. Dimensiunile secțiunii de fier (fig. 1.51), rezultă din relațiile:  $ad = S_{Fe}/(2 k_{Fe})$ ;  $d/a = 2 \dots 4$ . Dimensiunile ferestrei  $b$  și  $c$  rezultă din relațiile:  $bc = S_{Cu}/k_f$ ;  $b/c = 1 \dots 3$ , în care coeficientul de umplere  $k_f = 0,27 \dots 0,34$ , pentru  $S_{Cu} = (1350 \dots 4400) \text{ mm}^2$  și  $k_f = 0,35 \dots 0,46$  pentru  $S_{Cu} = (4600 \dots 12500) \text{ mm}^2$ . Se calculează pierderile, randamentul și caracteristicile externe.

În figurile 1.52, 1.53 și 1.54 se indică schema înfășurării primare, spira secundară și secțiunea transversală printr-un transformator de sudare prin puncte cu datele nominale:  $I_{2n} = 20000 \text{ A}$ ;  $(U_{20})_{min} = 4,2 \text{ V}$ ;  $(U_{20})_{max} = 8,4 \text{ V}$ ;  $n = 8$  trepte de reglaj;  $U_1 = 380 \text{ V}$ ;  $f = 50 \text{ Hz}$ ;  $DA = 20\%$ ; bobine din cupru.



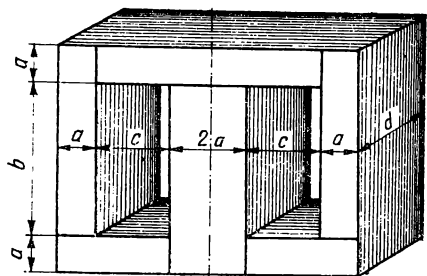


Fig. 1.51. Notarea dimensiunilor miezului transformatorului de sudare prin puncte.

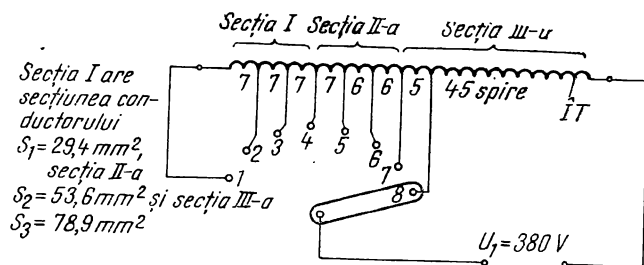


Fig. 1.52. Schema electrică a bobinei primare (cifrele de sub bobinaj reprezintă numărul de spire al porțiunii respective).

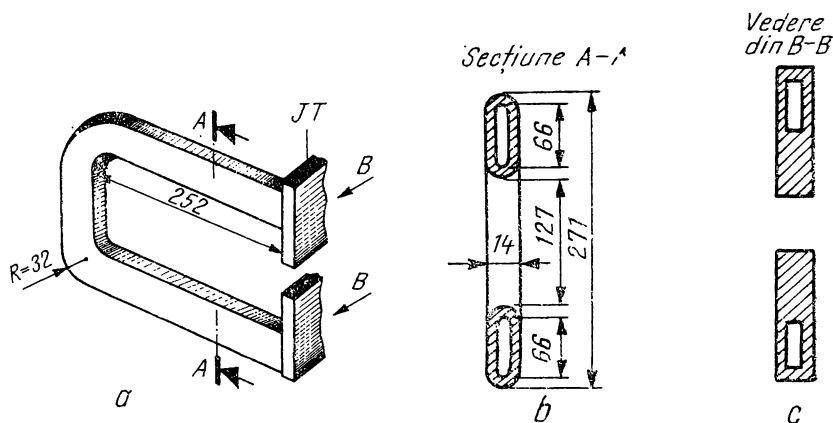


Fig. 1.53. Spira secundară:  
a — schița spirei; b, c — secțiune prin spirală.

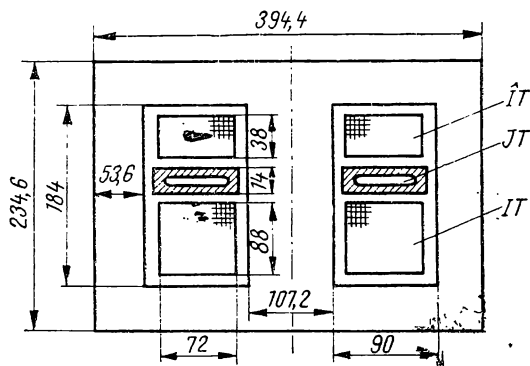


Fig. 1.54. Schița secțiunii transversale prin transformator.

## 1.9.5. TRANSFORMATOARE CU REGLAJUL TENSIUNII SUB SARCINĂ

Transformatoarele de putere reglează tensiunea în limitele  $\pm 5\%$  cu înfășurările deconectate. În stațiile de interconexiune a două rețele se cere o reglare a tensiunii în limite mai mari  $\pm 15\%$  și chiar mai mult, iar reglarea trebuie să se facă rapid fără a deconecta transformatorul de la rețea, în acest caz reglajul tensiunii se realizează sub sarcină. Puterile transformatoarelor cu reglaj sub sarcină sînt cuprinse în seria standardizată a transformatoarelor obișnuite. Consumul de materiale, dimensiunile de gabarit, costul transformatoarelor cu reglaj sub sarcină este mai ridicat. Orice schemă de reglaj sub sarcină trebuie să fie sigură în funcționare, rapidă, ușor de manevrat, să nu întrerupă curentul de sarcină, iar spirele din treapta de reglaj să nu fie scurtcircuitate. Reglajul tensiunii se face de obicei pe înfășurarea de înaltă tensiune, mai rar pe cea de joasă tensiune. Reglajul se poate face pe neutrul transformatorului (dispozitivele de reglaj au izolație redusă) sau pe fază (dispozitivele de reglaj au izolația completă). Schemele cu bobine de limitare a curentului de comutație sînt de obicei cu acțiune lentă, iar cele cu rezistențe de limitare sînt rapide, timpul de acționare fiind 0,04—0,06 secunde. Schemele de reglare sînt: cu acțiune directă, de variație a raportului de transformare; cu acțiune indirectă, care folosesc unul sau mai multe transformatoare speciale înseriate în circuitul transformatorului principal avînd rapoarte de transformare variabile.

### 1.9.5.1. SCHEME DE VARIAȚIE A RAPORTULUI DE TRANSFORMARE

Se împart în: scheme de reglare cu comutație cu curent și scheme de reglare cu comutație fără curent.

a) *Schemele de reglare cu comutație cu curent.* O asemenea schemă este prezentată în două variante: cu selectorul  $S$  linear (fig. 1.55, *a*) și cu selectorul  $S$  rotativ (fig. 1.55, *b*). Spirele de reglaj (6 trepte) sînt așezate la mijlocul înfășurării de înaltă tensiune  $AX$ . Schema are în componența ei o bobină de șoc  $B$ , care are rolul de a limita curenții de scurtcircuit cînd contactele  $C_1$  și  $C_2$  sînt pe prize consecutive. Poziția din figura 1.55 corespunde tensiunii maxime furnizată de transformator; pentru scăderea tensiunii cu  $\Delta U$  se lasă  $C_1$  pe poziția 1 și se trece  $C_2$  pe poziția 2. În acest moment bobina  $B$  limitează curentul de scurtcircuit al treptei 1 — 2. Se trece apoi  $C_1$  pe o poziție intermediară între 1 și 3. Contactele  $C_1$ ,  $C_2$ , selectorul  $S$  și contactorul  $K$  se află într-un recipient cu ulei separat de uleiul transformatorului, deoarece arcul electric care se produce la închiderea și deschiderea contactelor ar înrăutăți calitățile uleiului transformatorului. Asemenea scheme se întîlnesc rar.

b) *Schemele de reglare cu comutație fără curent* tind să înlocuiască schemele prezentate mai sus și au în plus două contactoare  $K_1$  și  $K_2$ , care asigură comutația fără curent a contactoarelor  $C_1$  și  $C_2$ . Pentru claritate, schemele se vor prezenta cu selectoare lineare, deși uzuale sînt selectoarele rotative. Contactul mobil  $C_1$  (fig. 1.56) își schimbă poziția dacă  $K_1$  și  $K$  sînt deschise, la fel contactul  $C_2$  își schimbă poziția dacă  $K_2$  și  $K$  sînt deschise, astfel comu-

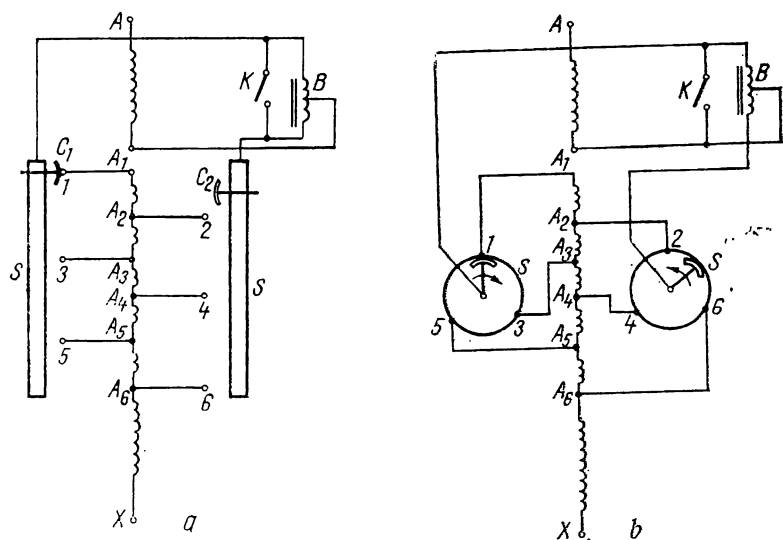


Fig. 1.55. Schemă de reglaj cu curent în borna de reglaj :  
a — schema de principiu cu selectoare lineare; b — cu selectoare rotative.

tarea se face fără curent. Inițial  $K_1$  închis,  $K$  și  $K_2$  deschise, se trece  $C_2$  pe poziția 2 și se închide  $K_2$ , se deschide  $K_1$  și se trece  $C_1$  pe o poziție intermediară. Contactoarele  $K$ ,  $K_1$ ,  $K_2$  sînt într-o cuvă separată de uleiul transformatorului. Selectoarele  $S$  se pot monta direct în cuva transformatorului, deasupra jugului superior. Schema Jansen (fig. 1.57) utilizează rezistențele de limitare  $R_1$  și  $R_2$ . Se pune contactul  $C_2$  pe poziția 2, apoi contactul  $T$  de pe poziția 1 — 2 pe poziția 2 — 4 (rezistențele  $R_1$  și  $R_2$  înseriate limitează curentul de scurtcircuit al treptei). Se trece  $T$  pe poziția 3 — 4 și  $C_1$  pe o poziție intermediară, în timpul funcționării  $R_1$  și  $R_2$  sînt scurtcircuitate. Schema este cu acționare rapidă. O altă schemă de reglaj fără curent (fig. 1.58) în care  $Z$  poate fi o rezistență sau o bobină, permite schimbarea poziției

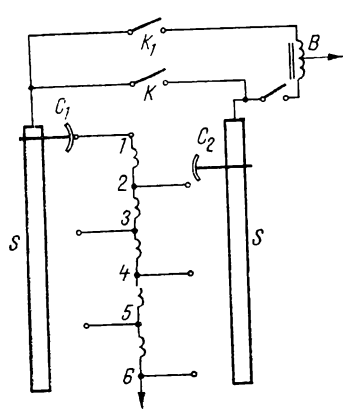


Fig. 1.56. Schemă de comutație fără curent.

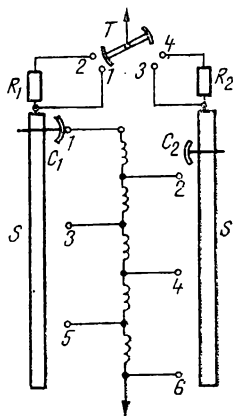


Fig. 1.57. Schema Jansen cu rezistențe.

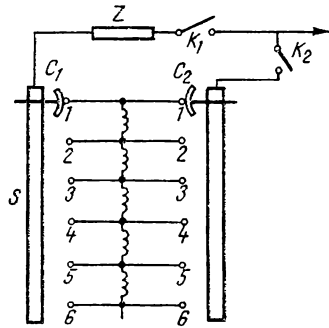


Fig. 1.58. Schema paralel.

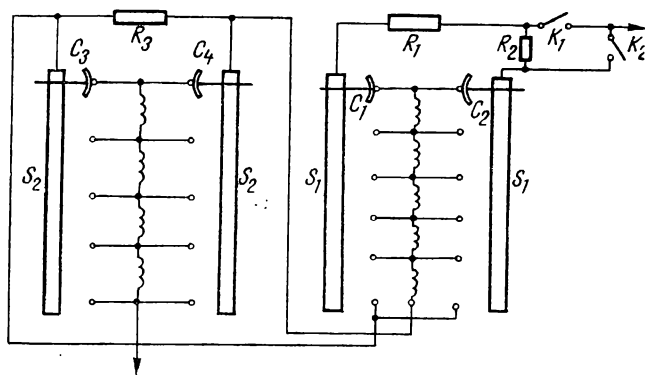


Fig. 1.59. Schema paralel cu reglaje grosiere și fine.

contactului  $C_1$ , cînd  $K_1$  este deschis și  $K_2$  închis. La fel  $C_2$  își schimbă poziția pentru  $K_1$  închis și  $K_2$  deschis. Pentru un număr mare de trepte de reglaj se folosește schema din figura 1.59 care are  $N_1$  trepte de reglaj fin pe selectorul  $S_1$  și  $N_2$  trepte de reglaj grosier pe selectorul  $S_2$ . O treaptă a selectorului  $S_2$  are tot atîtea spire cîte se găsesc pe tot domeniul de reglaj al selectorului  $S_1$ . Pentru fiecare treaptă a lui  $S_2$  se parcurg toate treptele lui  $S_1$ .

Mărirea numărului de trepte (dublarea) se realizează prin inversarea conexiunii treptei de reglaj (fig. 1.60). Contactoarele  $C_1$  și  $C_2$  asigură introducerea treptelor de reglaj  $BR$  fie adițional cu bobinajul  $BP$ , fie diferențial. Numărul treptelor de reglaj crește dacă se prevăd trepte de reglaj grosier și fin inversabile (fig. 1.61). În tabelul 1.4 se indică modul de alegere al schemei de reglaj.

Se poate renunța la rezistențe sau bobine dacă se utilizează tiristoare (fig. 1.59, A). Avantajele sînt: lipsa arderii contactelor, comutarea în cîteva  $\mu s$ , exact la trecerea prin zero a curentului, nici o cădere de tensiune la comutare, număr de comutări succesive nelimitat (la rezistențe este limitat din cauza încălzirii acestora). Astfel de scheme se utilizează deja la transformatoare pentru locomotive și sînt potrivite pentru transformatoarele care alimentează redresoare sau cuptoare.

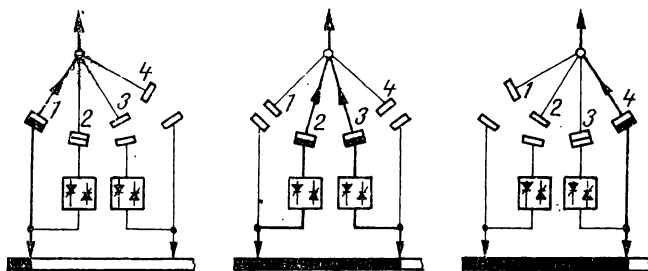


Fig. 1.59, A. Scheme de principiu cu tiristoare pentru reglajul tensiunii sub sarcină (moment inițial, moment intermediar, moment final).

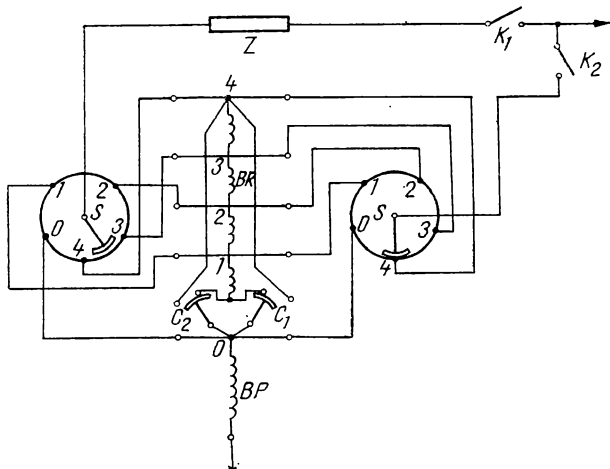


Fig. 1.60. Schemă cu inversarea bobinajului.

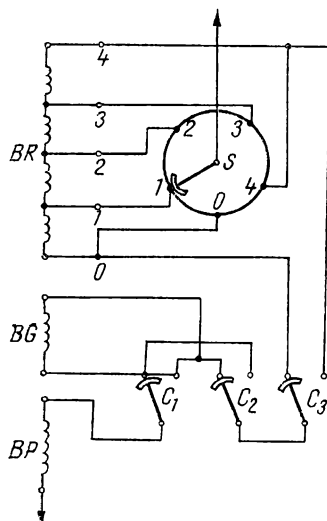


Fig. 1.61. Schemă cu inversarea bobinajului grosier și fin.

TABELUL 1.4. Alegerea treptelor de reglaj

Schema folosită	Numărul de trepte de reglaj	Tensiunea nominală a înfășurării [kV]	Puterea maximă, $S_m$ pe treaptă [kVA]	Tensiunea maximă, $U_m$ pe treaptă [kV]	Curentul maxim, $I_m$ pe treaptă [A]
Fig. 1.55	1— 9	$\leq 15$	50	1 —0,25	50— 200
Fig. 1.56	1— 15	$\leq 35$	200	2 —0,266	100— 750
Fig. 1.57	1— 15	30—220	500	2,5—0,5	200— 1000
Fig. 1.58	1— 16	15— 110	500	2,5—0,5	200— 1000
Fig. 1.59	31—81	$\leq 110$	500	2,5—0,5	200— 1000
Fig. 1.60	1—31	$\leq 35$	150	1,5—0,25	100— 600
Fig. 1.61	71—97	$\leq 60$	200	2—0,266	100— 750

#### 1.9.5.2. SCHEME CU TRANSFORMATORE SPECIALE, INSERATE

Schema se compune din transformatorul principal  $TP$  a cărei tensiune se reglează și unul sau mai multe transformatoare suplimentare  $TS$  cu prize, care reglează indirect tensiunea.

Au următoarele avantaje: întreg dispozitivul de reglaj este separat de circuitul de înaltă tensiune (are izolație mai redusă); comutatorul de prize se proiectează la un curent mai mic decât cel reglat, simplifică bobinajul a cărei tensiune se reglează. Transformatorul suplimentar se construiește fie în aceeași cuvă cu cel principal, fie în cuvă separată. În schema de reglaj a tensiunii sub sarcină (fig. 1.62, *a*) transformatorul  $TP$  are trei bobinaje,

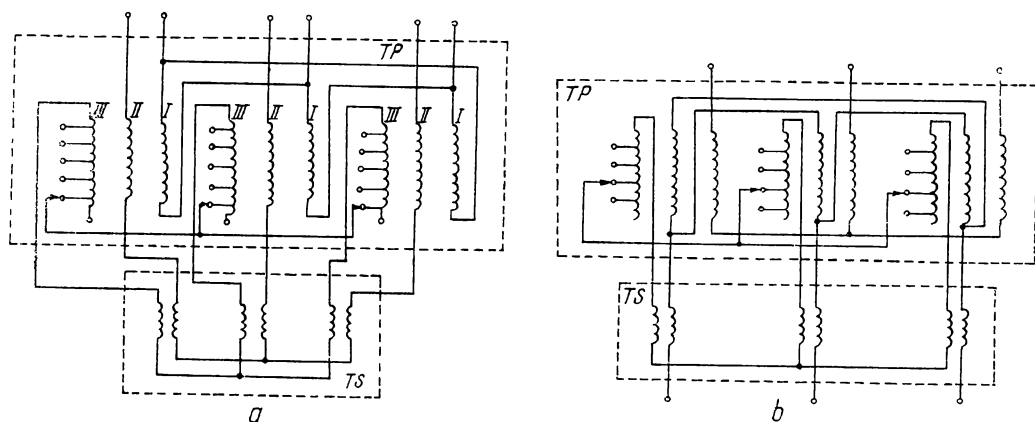


Fig. 1.62. Ansamblul de reglaj cu bobinajul reglat conectat în stea (a) și ansamblul de reglaj cu bobinajul reglat conectat în triunghi (b).

bobinajul *I* este alimentat la o tensiune constantă, bobinajul *II* conectat în stea este destinat a se regla tensiunea și bobinajul *III* este un bobinaj de reglaj. Bobinajul *II* poate fi conectat și în triunghi (fig. 1.62, b). Se întâlnesc scheme de reglaj și cu trei miezuri (fig. 1.63). Reglajul tensiunii la transformatorul *TP* de 110/10 kV se face înseriind în înfășurarea a cărei tensiune se reglează un transformator auxiliar *TA* excitat pe partea de 10 kV de un autotransformator cu prize, alimentat de la înfășurarea de 10 kV a transformatorului *TP*; izolația lui *TA* este mult mai scăzută și întreg ansamblul poate costa mai puțin decât un singur transformator cu un comutator cu prize de 110 kV. În rețelele electrice se realizează în medie până la 50 comutări pe zi (de la o priză la alta). Comutatoarele trebuie să suporte  $10^4 \dots 2 \cdot 10^4$  comutări între două revizii succesive care se fac aproximativ anual.

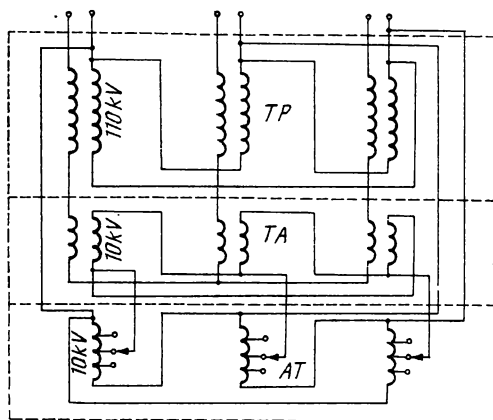


Fig. 1.63. Ansamblul de reglaj cu trei miezuri separate.

### 1.9.6. TRANSFORMATORE PENTRU SCHIMBAREA NUMĂRULUI DE FAZE

Schimbarea numărului de faze în rețelele polifazate se poate realiza economic cu ajutorul transformatoarelor electrice.

a) Schimbarea numărului de faze de la  $m = 3$  la  $m = 2$ . Schema Scott.

Obținerea unui sistem difazat de tensiune se poate face folosind două transformatoare monofaze conectate ca în figura 1.64, a, unul notat cu  $T_1$ ,

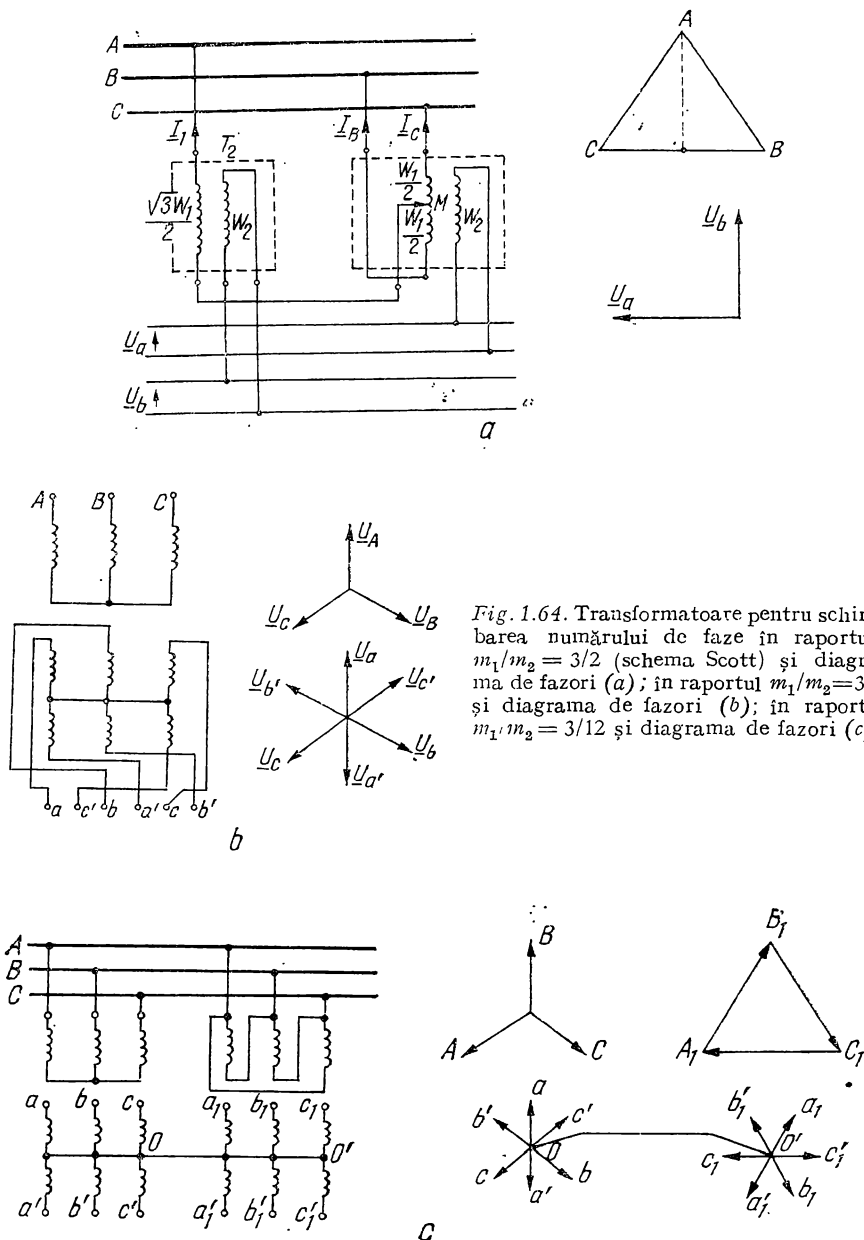


Fig. 1.64. Transformatoare pentru schimbarea numărului de faze în raportul:  $m_1/m_2 = 3/2$  (schema Scott) și diagrama de fazori (a); în raportul  $m_1/m_2 = 3/6$  și diagrama de fazori (b); în raportul  $m_1/m_2 = 3/12$  și diagrama de fazori (c).

are raportul de transformare  $w_1/w_2$ , iar celălalt, notat  $T_2$ , are raportul de transformare  $\sqrt{3} w_1/2 w_2$ . Transformatorul  $T_1$  se alimentează cu o tensiune de linie de la două faze ale rețelei, iar transformatorul  $T_2$  se alimentează de la faza a treia a rețelei de alimentare și de la o priză mediană a înfășurării primare a transformatorului  $T_1$ . În diagrama de fazori prezentată în figura 1.64, a se arată modul de transformare a unui sistem trifazat de tensiuni, într-unul difazat, folosind schema Scott alăturată.

b) Schimbarea numărului de faze de la  $m = 3$  la  $m = 6$

Pentru alimentarea instalațiilor de redresare hexafazate, se utilizează transformatoare care odată cu transformarea tensiunii și curentului schimbă și numărul de faze de la trei la șase.

Transformatorul pentru schimbarea numărului de faze de la  $m_1 = 3$  la  $m_2 = 6$  are secundarul format din două înfășurări trifazate conectate în stea, tensiunile la bornele înfășurărilor așezate pe aceeași coloană fiind în opoziție de fază. În figura 1.64, b, s-a reprezentat schema de conexiuni a înfășurărilor și diagramele de fazori ale tensiunilor.

c) Schimbarea numărului de faze de la  $m = 3$  la  $m = 12$

Transformatoarele care schimbă sistemele trifazate în sisteme dodecafazate se utilizează la alimentarea instalațiilor de redresare. Schimbarea numărului de faze se realizează cu ajutorul a două transformatoare dintre care unul are înfășurarea primară conectată în stea iar celălalt în triunghi. Înfășurările secundare ale celor două transformatoare sînt conectate în dublă stea și în acest caz se formează un sistem simetric dodecafazat (fig. 1.64, c).

## 1.10. REGIMURI TRANZITORII ÎN TRANSFORMATORUL ELECTRIC [2], [15]

### 1.10.1. REGIMUL TRANZITORIU LA CONECTAREA TRANSFORMATORULUI LA MERSUL ÎN GOL

Se presupune că transformatorul este conectat la o rețea, iar secundarul este în gol. Dacă tensiunea aplicată primarului pe o fază este  $u_1 = U_1 \sqrt{2} \sin(\omega t + \gamma)$ , să determinăm șocul de curent care parcurge înfășurarea primară de pe acea fază, imediat după cuplare, luînd în seamă saturația miezului transformatorului. Ecuația de tensiune a înfășurării primare la mersul în gol este  $u_1 = R_1 i_{10} + w_1 d\Phi_1/dt$ , în care  $i_{10}$  este curentul de mers în gol,  $\Phi_1 = L_{11} i_{10}/w_1$  este fluxul magnetic total fascicular înălțuit de spirele înfășurării (se consideră același flux fascicular pentru toate spirele), iar  $L_{11}$  este inductivitatea totală a înfășurării. Eliminăm curentul  $i_{10}$  din ecuația de mai sus și obținem:

$$w_1 \frac{R_1}{L_{11}} \Phi_1 + w_1 \frac{d\Phi_1}{dt} = U_1 \sqrt{2} \sin(\omega t + \gamma) \quad (1.75)$$

Inductivitatea  $L_{11}$  variază cu saturația miezului, încît ecuația (1.75) este neliniară. Se consideră în continuare că  $L_{11} = \text{const.}$ , și pentru a lucra acoperitor, se va lua pentru  $L_{11}$  valoarea maximă posibilă (corespunzătoare miezului magnetic nesaturat). În acest fel ecuația (1.75) devine lineară. Considerînd că  $\Phi_1(0) = \Phi_{1rem}$ , (fluxul inițial are valoarea fluxului remanent) soluția ecuației (1.75) se află prin integrare directă și rezultă

$$\Phi_1(t) = \Phi_{1m} [e^{-t/\tau} \cdot \cos \gamma - \cos(\omega t + \gamma)] + \Phi_{1rem} e^{-t/\tau}, \quad (1.76)$$

în care amplitudinea fluxului este  $\Phi_{1m} = U_1 \sqrt{2}/\omega w_1$  iar  $\tau = L_{11}/R_1$ . În figura 1.65 s-a reprezentat grafic soluția (1.76).

Examinînd expresia (1.76) se constată că cel mai favorabil caz de conectare în gol a transformatorului este cînd  $\Phi_{1rem} = 0$  și  $\gamma = \pi/2$ .



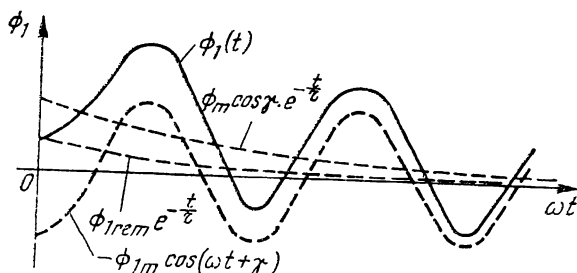


Fig. 1.65. Variația fluxului magnetic în timp, la conectarea transformatorului în gol.

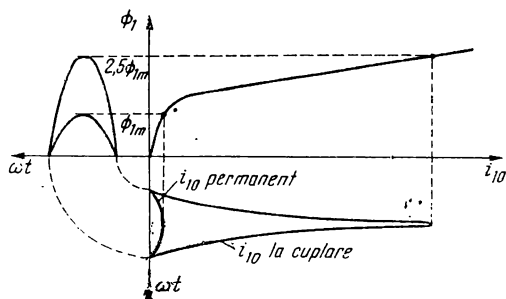


Fig. 1.66. Determinarea grafică a șocului de curent la cuplarea transformatorului la rețea în gol.

În acest caz fluxul prin miez este  $\Phi_1(t) = -\Phi_{1m} \cos(\omega t + \pi/2)$ , adică valoarea sa din regim permanent și deci nu există regim tranzitoriu. În această situație, tensiunea  $U_1$  trece în momentul conectării prin valoarea maximă. Cazul cel mai defavorabil de conectare este atunci când  $\gamma = 0$  (tensiunea  $u_1$  trece prin zero) și fluxul remanent este maxim,  $\Phi_{1rem} = (0,2 \div 0,3) \Phi_{1m}$ .

În acest caz fluxul  $\Phi_1$  atinge valoarea maximă  $\Phi_{1M}$  după aproximativ jumătate de perioadă, adică la momentul  $t = \pi/\omega$ , și această valoare este aproximativ  $\Phi_{1M} \simeq 2,3 \Phi_{1m}$  (s-a considerat  $R_1 \ll \omega L_{11}$ ).

La asemenea șoc de flux, șocul de curent absorbit de transformator este extrem de mare, cum se vede și din figura 1.66. Acest șoc nu pune în pericol transformatorul, dar poate fi sesizat de aparatele de protecție și poate duce la deconectarea transformatorului de la rețea. Pentru a evita acest lucru se înseriază cu transformatorul o rezistență  $R$  a cărei valoare este  $(0,02 \dots 0,05) U_{1n}/I_{1n}$ ;  $U_{1n}$  și  $I_{1n}$  fiind valorile nominale ale primarului transformatorului. După cuplare această rezistență se scoate din circuit. La cuplarea transformatoarelor trifazate există totdeauna o fază la bornele căreia, în momentul inițial tensiunea este apropiată de zero. Pe acea fază șocul de curent este maxim.

## 1.10.2. REGIMUL TRANZITORIU LA SCURTCIRCUITUL TRIFAZAT

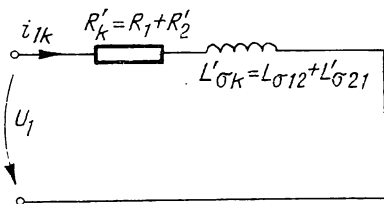


Fig. 1.67. Schema echivalentă simplificată a transformatorului la scurtcircuit.

În figura 1.67 se prezintă schema echivalentă simplificată a transformatorului la scurtcircuit. Ecuația de tensiuni aplicată acestei scheme este următoarea:

$$R'_k i_{1k} + L'_{\sigma k} \frac{d i_{1k}}{d t} = U_1 \sqrt{2} \sin(\omega t + \gamma). \quad (1.77)$$

Soluția acestei ecuații în ipoteza  $i_{1k}(0) \simeq 0$  (curentul de scurtcircuit este mult mai mare decât curentul nominal) are forma:

$$i_{1k}(t) = I_{1k} \sqrt{2} [\sin(\omega t + \gamma - \varphi_k) - \sin(\gamma - \varphi_k) e^{-t/\tau_k}] \quad (1.78)$$

în care s-au făcut notațiile:

$$I_{1k} = U_1 / \sqrt{R_k'^2 + X_k'^2}; \quad \varphi_k = \arctg(\omega L_k' / R_k'); \\ \tau_k = L_k' / R_k'. \quad (1.79)$$

În figura 1.68 se reprezintă grafic acest curent. Dacă  $\gamma = \varphi_k$ , componenta aperiodică a curentului este nulă și regimul tranzitoriu este inexistent. Situația cea mai defavorabilă se înregistrează dacă unghiul de închidere este  $\gamma = \varphi_k + \pi/2$ . În acest caz curentul ia valoarea maximă după aproximativ o semiperioadă ( $t = \pi/\omega$ ) și are expresia:

$$I_{1kM} = I_{1k} \sqrt{2} (1 + e^{-\pi/\omega\tau_k}) \simeq (1,2 \dots 1,8) I_{1k}. \quad (1.80)$$

Șocul de curent la scurtcircuit poate fi de maximum 1,8 ori mai mare decât curentul de scurtcircuit de regim permanent. Acest curent duce la încălziri relativ nepericuloase pentru transformator, deoarece aparatele de protecție deconectează după un timp scurt de la producerea scurtcircuitului, în schimb solicitările electrodinamice ale înfășurărilor pot căpăta valori periculoase. De aceea înfășurările se dimensionează să reziste pentru șocul maxim posibil al curentului de scurtcircuit, dat de relația (1.80). Componenta aperiodică a curentului de scurtcircuit se amortizează practic după  $(3 \dots 4)\tau_k$ .

În figura 1.69 sînt reprezentate schematic înfășurările în cilindru ale unui transformator și forțele  $F_1$  și  $F_2$  care se exercită asupra lor. Cu sensurile curenților notate în figură aceste forțe sînt de respingere. Fie  $F_{x1}$ ,  $F_{x2}$  componentele radiale ale forțelor  $F_1$  și  $F_2$  și  $F_{y1}$  și  $F_{y2}$  componentele lor axiale. Se vede că în cazul unor denivelări ale înfășurărilor pe înălțimea coloanei, forțele axiale tind să mărească aceste denivelări. Forțele radiale acționează astfel încît tind să mărească canalul dintre cele două înfășurări, adică întind înfășurarea exterioară și comprimă înfășurarea interioară. Dacă înfășurările au înălțimi egale acestea nu mai sînt solicitate la forțe axiale totale (fig. 1.70. a). Dacă înălțimile sînt inegale (fig. 1.70. b) atunci apar și forțe axiale care întind înfășurarea mai înaltă și o comprimă pe cea mai

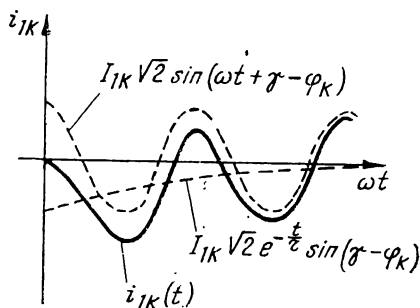


Fig. 1.68. Variația în timp a curentului primar la scurtcircuitarea secundarului transformatorului în situația cea mai defavorabilă.

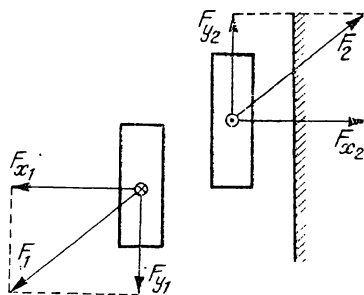


Fig. 1.69. Forțele care se exercită asupra înfășurărilor unui transformator electric.

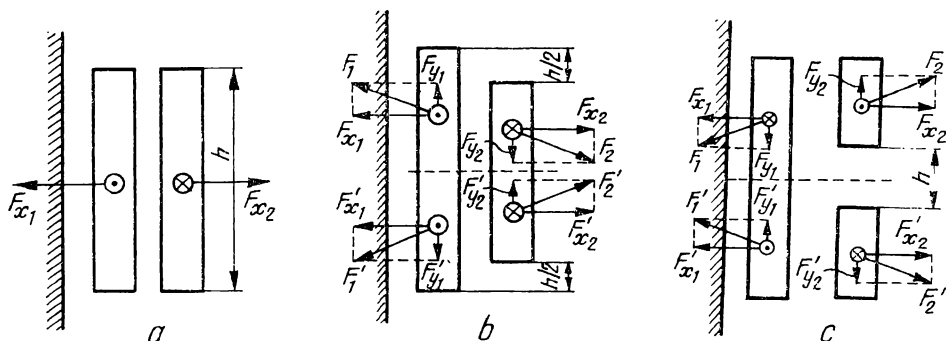


Fig. 1.70. Forțe electrodinamice:

a — înfășurări egale; b — înfășurări inegale; c — înfășurări neomogene.

scurtă. La înfășurările neomogene apar de asemenea forțe axiale și radiale cum se vede și din figura 1.70, c.

Calculul forțelor care se exercită asupra înfășurărilor unui transformator se poate face dacă se cunoaște câmpul magnetic de dispersie în care se găsesc înfășurările.

Componentele axiale ale câmpului magnetic de dispersie produc forțe radiale, iar componentele radiale produc forțe axiale.

Forțele axiale depind în mare măsură de distanța dintre înfășurări și miezul feromagnetic și sînt cele mai periculoase în cazul unui scurtcircuit.

*Expresiile forțelor radiale și axiale.* Forța radială  $F_x$  care se exercită asupra unei înfășurări se determină cu ajutorul teoremei forțelor generalizate, presupunînd o deplasare virtuală a înfășurării în direcție radială, în urma căreia distanța  $a_{12}$  variază

$$F_x = \left( \frac{\partial W_m}{\partial a_{12}} \right)_{i = \text{const.}} = - \frac{\partial}{\partial a_{12}} (L_k i^2 / 2)_{i = \text{const.}}$$

în care  $i$  este curentul înfășurării la care este raportată inductivitatea  $L_k$ . Avînd în vedere relația (1.33) expresia forței radiale  $F_x$ , devine:

$$F_x = 0,5 \mu_0 \omega^2 \pi D_m k_R i^2 / H. \quad (1.81, a)$$

Similar se determină expresia forței axiale  $F_y^*$  care se exercită asupra ambelor înfășurări, presupunînd o deplasare virtuală a înfășurărilor în direcția axială, în urma căreia variază înălțimea  $H$ .

$$F_y^* = \frac{\partial}{\partial H} (L_k i^2 / 2)_{i = \text{const.}} = 0,5 \mu_0 \omega^2 \pi D_m a_R k_R i^2 / H^2 \quad (1.81, b)$$

în care  $a_R = a_{12} + (a_1 + a_2)/3$ . Forța axială care se exercită asupra unei singure înfășurări este  $F_y = F_y^*/2$  și din relațiile (1.81, a) și (1.81, b) rezultă:  $F_x/F_y = 2H/a_R$ . Ținînd seama de relația (1.81, a) se determină forțele radiale de scurtcircuit  $F_{x1}$  și  $F_{x2}$  care acționează asupra celor două înfășurări,

$$F_{x1,2} = 0,5 \mu_0 (\omega_1 I_{1,2 kM})^2 l_{m1,2} / H \quad (1.81, c)$$

în care  $l_{m1,2}$  sînt lungimile spirelor medii ale celor două înfășurări, iar  $I_{1,2 kM}$  sînt curenții maximi de scurtcircuit determinați cu relația (1.80).

Pentru înfășurări ca în figura 1.70, *a*, forțele axiale  $F_{y1}$  și  $F_{y2}$  care acționează asupra celor două înfășurări au expresiile:  $F_{y1,2} = F_{x1,2} \cdot \alpha$ ; pentru înfășurări ca în figura 1.70, *b*;  $F_{y1} = F_{x1} (\alpha - \beta)$  și  $F_{y2} = F_{x2} (\alpha + \beta)$ ; iar pentru înfășurări ca în figura 1.70, *c*:  $F_{y1} = F_{x1} (\alpha + \beta)$  și  $F_{y2} = F_{x2} (\alpha - \beta)$ , în care  $F_{x1,2}$  sînt date de (1.81, *c*),  $\alpha = a_R/(2H)$ ,  $\beta = \frac{h}{4k_R l^*}$ .

Mărimea  $H$  este precizată în figura 1.70 *a*;  $h$  în figurile 1.70, *b* și *c*, iar  $l^*$  reprezintă distanța minimă dintre fierul coloanei și peretele interior al cuvei.

### 1.10.3. PROCESE TRANZITORII ÎN TRANSFORMATORE LA SUPRATENSIUNI

Supratensiunile care ajung la bornele transformatoarelor pot fi atmosferice, care apar în urma descărcărilor electrice în vecinătatea instalațiilor electroenergetice sau chiar pe aceste instalații; și interne (sau de comutație) care apar la operațiile de conectare sau deconectare a liniilor și transformatoarelor sau în timpul regimurilor de avarie. Aceste supratensiuni depășesc nivelul tensiunilor nominale (cele atmosferice depășesc de 8—12 ori, iar cele interne de 2—8 ori) și se prezintă sub forma unor impulsuri aperiodice de scurtă durată sau sub forma unor unde periodice (fig. 1.71).

Viteza de propagare a acestor unde este apropiată de viteza luminii, iar frontul de undă (intervalul de timp dintre începutul undei, unde amplitudinea este nulă, pînă în momentul cînd amplitudinea devine maximă) este de ordinul microsecundelor.

Supratensiunile care depășesc tensiunile de funcționare de 2—3 ori se consideră periculoase.

*a) Schemele echivalente ale transformatorului supus supratensiunilor.* Datorită frecvenței mari cu care se desfășoară procesele tranzitorii de supratensiune, schemele electrice echivalente, deduse pentru regimul nominal de funcționare, nu mai sînt valabile. În afara inductivităților și rezistențelor mai apar capacitățile dintre spirele unei înfășurări (longitudinale), dintre spirele înfășurărilor și circuitul feromagnetic (transversale) precum și conductanțele dintre înfășurări și circuitul feromagnetic. În figura 1.72 se prezintă schema electrică echivalentă a înfășurărilor transformatorului la supratensiuni în care  $A - X$  reprezintă înfășurarea de înaltă tensiune și  $a - x$  cea de joasă tensiune. Cu  $R_1, L_1, C_1, G_1$  s-au notat rezistența, inductivitatea, capacitatea și conductanța înfășurării de înaltă ten-

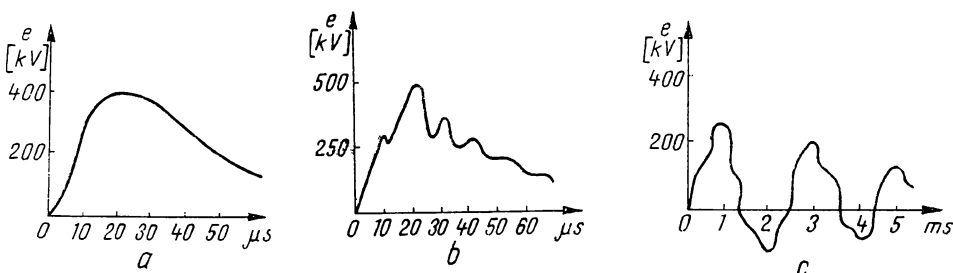


Fig. 1.71. Unde de supratensiune:  
*a* — atmosferice; *b*, *c* — de comutație.



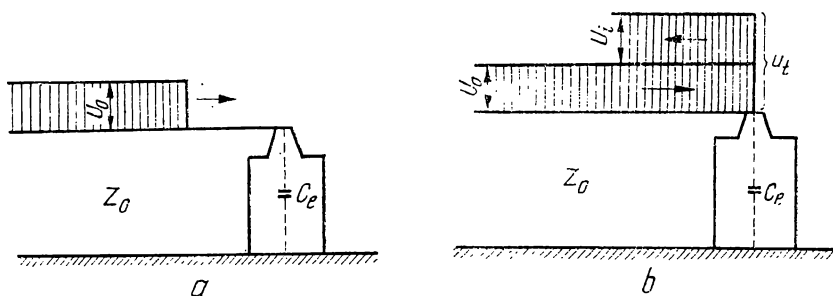


Fig. 1.74. Reflectarea unei unde de supratensiune la bornele transformatorului: a — unda incidentă; b — unda rezultantă (formată din unda incidentă  $u_a = U_0$  și unda inversă  $u_i$ ).

### b) Variația tensiunii la bornele transformatorului

Fie o undă dreptunghiulară de tensiune (fig. 1.74) de amplitudine  $U_0$ , presupusă cunoscută care se propagă pe o linie fără pierderi ( $G = 0$ ,  $R = 0$ ) spre transformator; pentru liniile de transmisie a energiei electrice  $K = 0$ . În acest caz ecuația (1.83) devine:

$$\frac{\partial^2 u}{\partial x^2} = L_i C_i \frac{\partial^2 u}{\partial t^2}. \quad (1.84)$$

Pentru condiții inițiale nule soluția ecuației (1.84) se poate pune sub forma:

$u(x, t) = u_a(x - v_0 t) + u_i(x + v_0 t)$ ;  $v_0 = 1/\sqrt{L_i C_i}$ . Tensiunea care se propagă pe linie se compune din unda directă  $u_a$  și unda inversă  $u_i$ , avînd vitezele de propagare  $v_0$  și respectiv  $-v_0$ . Pentru linia considerată  $i_k = 0$  și  $i_r = i$ , din ecuația (1.82), rezultă expresia curentului  $i$  sub forma  $i = (u_a - u_i)/Z_0$ , mărimea  $Z_0 = \sqrt{L_i/C_i}$  numindu-se *impedanța caracteristică a liniei* (uzual  $Z_0 \cong 500 \Omega$ ).

Datorită variației rapide în timp a tensiunilor și curenților, mai ales în primele momente, în schema electrică a transformatorului se pot elimina inductivitățile; rezistențele și conductanțele au de obicei valori mici și se pot neglija. În aceste condiții se obține o schemă simplificată pentru transformator (fig. 1.75) compusă numai din capacități, adică transformatorul poate fi echivalat cu o capacitate  $C_e$ . În consecință se pot scrie ecuațiile:

$$u = u_a + u_i; i = i_a + i_i = (u_a - u_i)/Z_0; u = \int_0^t i dt; u_a = U_0 \quad (1.85)$$

din care rezultă  $i = (2U_0 - 1/C_e \int_0^t i dt)/Z_0$ , cu soluția:

$$i = \frac{2U_0}{Z_0} e^{-t/T_e}, \text{ unde } T_e = C_e Z_0 \simeq (50 \dots 0,05) \mu s.$$

Tensiunea la bornele transformatorului rezultă  $u = 2U_0(1 - e^{-t/T_e})$ .

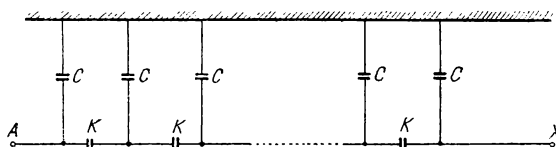


Fig. 1.75. Schema echivalentă capacitivă, simplificată, a transformatorului.

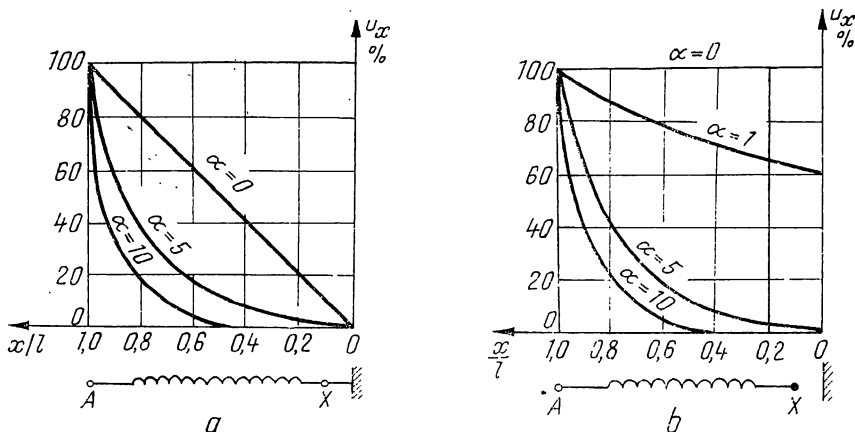


Fig. 1.76. Repartizarea tensiunii în momentul inițial în transformator:  
a — neutrul legat la pământ; b — neutrul izolat.

c) *Repartizarea supratensiunilor de-a lungul înfășurărilor* se studiază pe baza schemei din figura 1.75, pentru care ecuația (1.83) devine:

$$\frac{\partial^4 u}{\partial x^2 \partial t^2} = \alpha^2 \frac{\partial u^2}{\partial t^2} \text{ sau } \frac{\partial^2 u}{\partial x^2} = \alpha^2 u; \quad \alpha = \sqrt{\frac{C}{K}}. \quad (1.86)$$

Se consideră că la  $t = 0$  nu există o altă distribuție de tensiune constantă în timp; factorul  $\alpha$  depinde de construcția transformatorului.

Soluția ecuației (1.86) este de forma  $u = A \operatorname{sh} \alpha x + B \operatorname{ch} \alpha x$ . La transformatorul cu înfășurarea legată la masă (punctul de conexiune stea legat la masă), condițiile la limită sînt:  $u = 0$  pentru  $x = 0$  și  $u = U$  pentru  $x = l$ ,  $l$  fiind lungimea înfășurării, iar  $U$  tensiunea la intrare în momentul considerat. Din aceste condiții rezultă  $A = U/\operatorname{sh} \alpha l$  și  $B = 0$  și deci

$$u_x = U \operatorname{sh} \alpha x / \operatorname{sh} \alpha l. \quad (1.87, a)$$

În figura 1.76, a s-a reprezentat grafic funcția  $u_x^* = u_x/U$  în funcție de  $x/l$ , pentru diferite valori ale parametrului  $\alpha l$ .

La un transformator cu înfășurarea izolată față de masă, condițiile la limită sînt  $q = 0$  pentru  $x = 0$  și  $u = U$  pentru  $x = l$ . Din ecuațiile (1.82) rezultă  $q/K = \frac{1}{K} \int i dt = -\frac{du}{dx}$ , deci  $q = 0$  conduce la  $du/dx = 0$ . Se obțin expresiile constantelor de integrare  $A = 0$ ,  $B = U/\operatorname{ch} \alpha l$ , iar soluția în acest caz devine:

$$u_x = U \operatorname{ch} \alpha x / \operatorname{ch} \alpha l. \quad (1.87, b)$$

În figura 1.76, b s-a reprezentat grafic funcția  $u_x^* = u_x/U$ , pentru diferite valori ale parametrului  $\alpha l$ .

Gradientul de potențial la borna de intrare a înfășurării este:  
— la înfășurarea legată la masă:

$$\left. \frac{du}{dx} \right|_{x=l} = \alpha U \operatorname{cth} \alpha l.$$

— la înfășurarea izolată față de masă:

$$\left. \frac{du}{dx} \right|_{x=l} = \alpha U \operatorname{th} \alpha l.$$

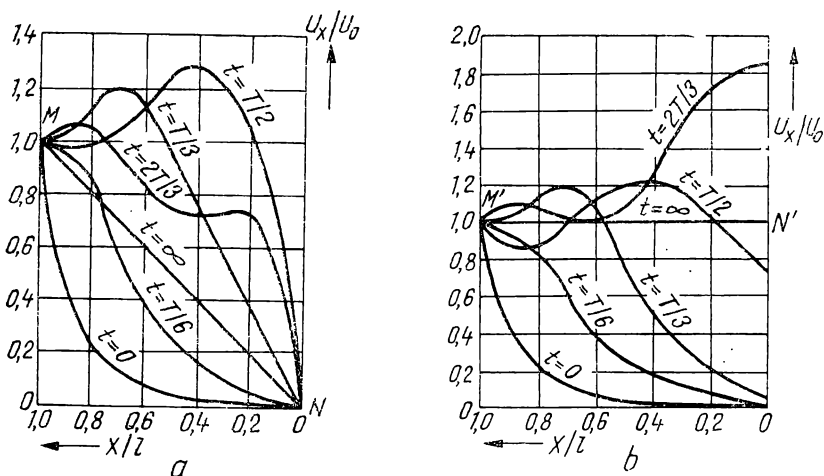


Fig. 1.77. Repartizarea tensiunii în lungul înfășurărilor la diverse momente de timp:

a — neutrul legat la pământ; b — neutrul izolat.

Pentru  $\alpha l \geq 5$ , gradientul de potențial are valoarea aproximativă  $\alpha U_0$ , indiferent dacă înfășurarea este legată la masă sau este izolată. Supratensiunile se repartizează inegal de-a lungul înfășurării. Aproape întreaga tensiune se distribuie pe primele 20 procente din lungimea înfășurării, măsurată de la intrarea în transformator. De aceea spirele de intrare ale înfășurărilor transformatorului trebuie să aibă izolația întărită.

*Evoluția undei de supratensiune în timp.* În figura 1.76 se prezintă repartizarea tensiunii de intrare  $u_i$  în momentul inițial. Din acest moment începe procesul tranzitoriu de propagare, la sfârșitul căruia tensiunea se repartizează uniform pe lungimea înfășurărilor (dreptele  $MN$  și  $M'N'$  din figura 1.77, a, respectiv 1.77, b). Dacă se dezvoltă în serie de armonici, diferența de tensiune dintre repartiția inițială ( $t = 0$ ) și finală ( $t = \infty$ ) se obțin armonicile superioare de propagare ale tensiunii care sînt semiunde de diverse ordine (două categorii de armonici; una pentru cazul neutrului izolat și alta pentru cazul neutrului pus la pământ). Aceste armonici se propagă în lungul înfășurării cu viteze diferite. Din această cauză unda de supratensiune care pătrunde în transformator se deformează continuu. Rezistența de undă a înfășurării transformatorului nu mai este constantă, ca în cazul unei linii de transport, ci este funcție de ordinul armonicii.

*Protecția transformatoarelor contra supratensiunilor.* Măsurile de protecție ale transformatoarelor împotriva supratensiunilor sînt de două categorii: exterioare și interioare. Măsurile exterioare acționează asupra undei, făcînd-o inofensivă înainte de a ajunge la transformator de exemplu, folosirea eclatoarelor. Măsurile interioare se referă atît la întărirea izolației capetelor înfășurărilor (singura metodă pentru bobinaj cu  $u_m \leq 38,5$  kV) cît și la protecțiile capacitive (care au ca scop micșorarea parametrului  $\alpha$ , adică uniformizarea repartiției tensiunii în lungul înfășurărilor).

Repartizarea uniformă a tensiunii pe înfășurare se face atunci cînd capacitățile față de sistemul feromagnetic ar fi nule. Acest lucru este practic imposibil, dar se pot compensa curenții necesari pentru încărcarea capacităților față de miez prin curenți care vin din linie, printr-un sistem de capa-



cități suplimentare, legate la linie. Aceste capacități suplimentare, în multe cazuri, se realizează astfel:

a) Se folosește un ecran confecționat din material izolant cu suprafața metalizată și legat la căpătul de intrare al înfășurării cum se arată în figura 1.78, *a*.

b) Transformatorul se echează cu un inel de ecranare (inel de gardă) secționat, care se confecționează din material nemagnetic, cu suprafața metalizată, așezat în apropierea primei bobine de la căpătul înfășurării legat la linie (fig. 1.78, *b*). Inelul se leagă electric cu prima spiră a înfășurării.

c) Se pun în paralel pe înfășurare condensatoare suplimentare  $C_s$ , calculate corespunzător (fig. 1.78, *c*). Prin aceasta se sporește capacitatea dintre spirele înfășurării în raport cu capacitatea de miez, adică se micșorează valoarea lui  $\alpha$ . Pentru a nu apărea fenomene de rezonanță între capacitățile  $C_s$  și bobinele transformatorului, condensatoarele de protecție  $C_s$  se conectează în serie cu rezistențe  $r$ .

O altă schemă utilizează eclatoare în serie cu rezistențe (similar schemelelor de condensatoare). Eclatoarele se montează între borna de intrare și cuva transformatorului. La apariția unor supratensiuni mai mari decât tensiunea

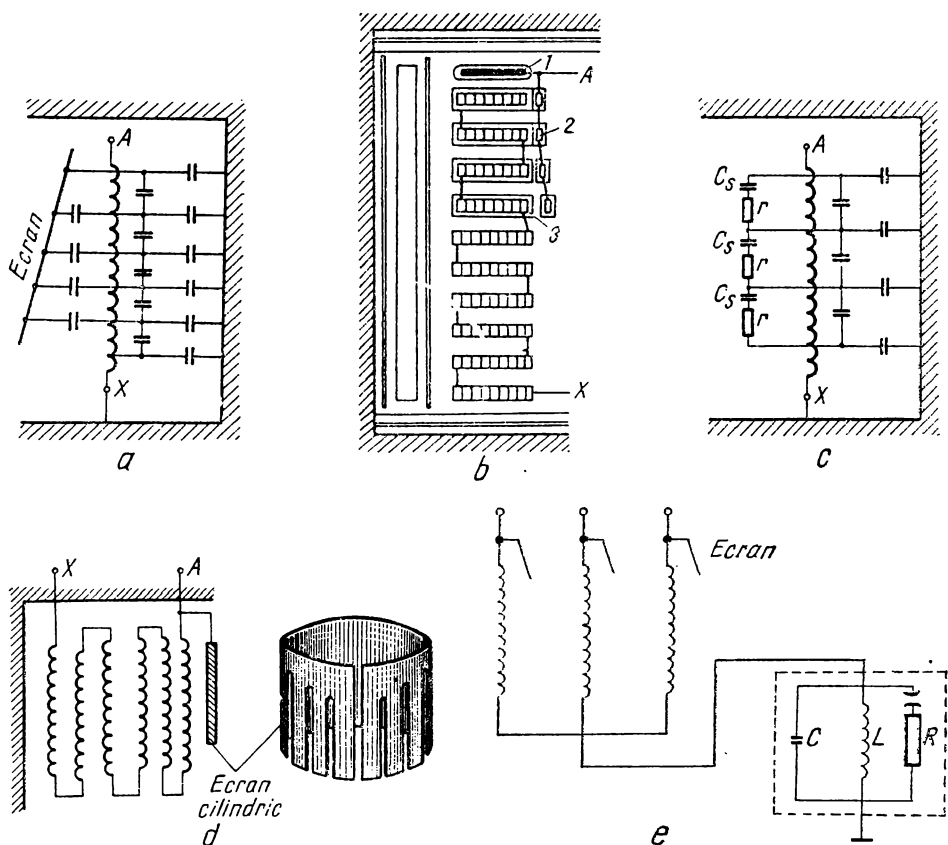


Fig. 1.78. Protecții capacitive ale transformatorului la supratensiuni:

*a* — cu ecran de protecție; *b* — cu inel de gardă: 1 — inel capacitiv; 2 — ecran electrostatic; 3 — spire cu izolație întărită; *c* — cu capacități suplimentare; *d* — înfășurare stratificată echipată cu ecran cilindric; *e* — punerea la pământ a punctului neutru al unui transformator.

de străpungere a aerului se produce un arc electric între electrozii eclatorului și sarcina electrică se descarcă la masă (rezistența  $r$  atenuează oscilațiile amorstate). Transformatorul cu astfel de dispozitive de atenuare a oscilațiilor se numesc transformatoare rezonante; aceste transformatoare se comportă bine la supratensiuni însă construcția lor este mai complicată.

În practică se utilizează multe scheme de protecție a transformatorului la supratensiuni.

La înfășurările continue în galeți ale transformatoarelor mari se realizează intercalarea spirelor la primii galeți, spirele înfășurării nu mai sînt așezate alăturat ci sînt intercalate cu alte spire. Intercalarea se obține prin bobinarea unei perechi de galeți cu două conductoare în paralel, care după bobinare se conectează în serie; se mărește astfel capacitatea între spirele relativ îndepărtate ale porțiunii de înfășurare dinspre borna de intrare.

Descărcătoarele de rezistență variabilă se conectează între linia electrică și pămînt. La valoarea nominală a tensiunii liniei rezistența electrică a descărcătoarelor este foarte mare. La apariția supratensiunilor, rezistența descărcătoarelor scade rapid și unda de tensiune este limitată.

Neutrul, din punctul de vedere al solicitării izolației la supratensiuni, este mai bine să fie pus la pămînt. Punerea directă a nulului la pămînt face ca, în eventualitatea ajungerii la pămînt a unei faze a liniei de transport, faza respectivă a transformatorului să fie scurtcircuitată. Pentru înlăturarea acestei situații uneori nulul se pune la pămînt prin intermediul unei bobine, dimensionată astfel încît la tensiunea fazei respective să treacă prin bobină un curent admisibil.

Bobina singură izolează neutrul la supratensiuni, fapt care se evită prin conectarea în paralel cu bobina a unui condensator  $c$  care la supratensiuni în primul moment realizează punerea neutrului la pămînt. Pentru amortizarea oscilațiilor în paralel cu bobina și condensatorul se conectează încă un rezistor  $R$  în serie cu un eclator  $E$  (fig. 1.78,  $e$ ).

## 1.11. ÎNCĂLZIREA ȘI RĂCIREA TRANSFORMATOARELOR

Pierderile în fier se transformă ireversibil în căldură producînd încălzirea miezului magnetic, la fel pierderile în cupru conduc la încălzirea înfășurărilor transformatorului. Această căldură trebuie evacuată în exteriorul transformatorului.

La transformatoarele de putere redusă suprafețele înfășurărilor și ale circuitului magnetic rezultate din construcție sînt destul de mari pentru a asigura răcirea necesară, astfel ca temperaturile respective să nu depășească temperaturile limită fixate prin norme. Asemenea transformatoare funcționează direct în aerul ambiant și se răcesc în mod natural. Transformatoarele din această categorie se numesc transformatoare uscate.

Marea majoritate a transformatoarelor se construiesc cu răcire în baie de ulei. Uleiul asigură o evacuare intensă, prin convecție, a căldurii din înfășurări și din miezul transformatorului. Într-o asemenea construcție transformatorul se dispune într-o cuvă de oțel, care apoi este umplută cu ulei mineral. Pe lîngă rolul de a asigura transformatorului o bună răcire, uleiul îl are și pe acela de a-i asigura și o izolație mai bună. Datorită acestei proprietăți, s-au putut construi transformatoare la tensiuni de peste 500 kV. Uleiul prezintă o mare rezistență la străpungere; fiind fluid umple toate spațiile libere

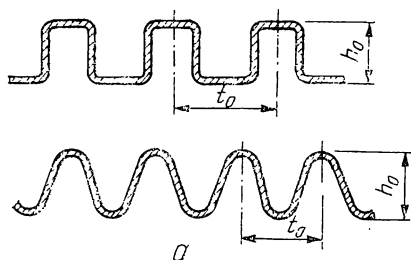
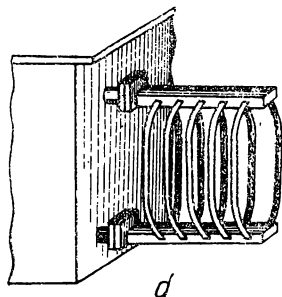
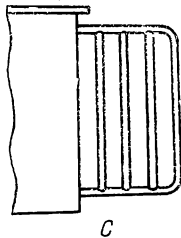
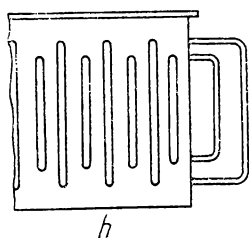


Fig. 1.79. Referitoare la răcirea cuvei transformatorului:

a - cuvă ondulată; b - cuvă cu țevi; c - cuvă cu lire; d - cuvă cu radiatoare.



ale transformatorului sporind pretutindeni rezistența de izolație. Pe lângă aceasta, dacă într-un punct oarecare izolația cedează, uleiul intervine stingînd imediat arcul și umplînd locul respectiv care altfel ar rămîne neizolat. Alături de avantajele descrise uleiul de transformator prezintă și dezavantaje: este inflamabil, are o stabilitate chimică nesatisfăcătoare și dă, prin descompunere, produse inflamabile.

Fiînd stabilit echilibrul termic al transformatorului întreaga căldură produsă în transformator este transmisă mediului ambiant prin suprafața exterioară a cuvei (de către ulei) și prin dispozitivele speciale de răcire ale transformatoarelor. Cuvă reprezintă un element important în procesul de răcire. Cuvă se prezintă sub mai multe forme constructive.

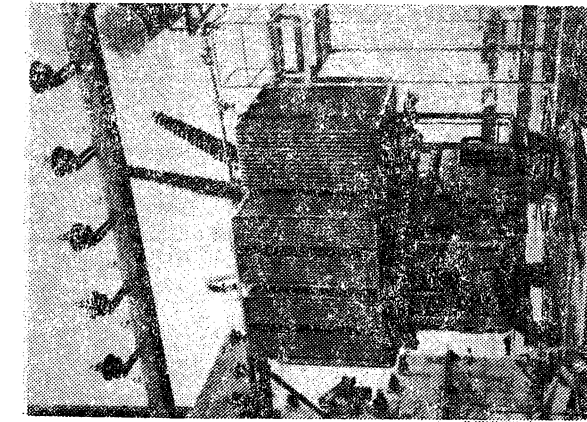
Cuvă cu pereți netezi se utilizează pentru transformatoare a căror putere nu depășește 30 kVA.

Cînd puterea transformatorului este de 30—1 000 kVA cuvă se poate construi cu ondule de răcire, (figura 1.79, a). Transformatoarele prevăzute cu cuve cu pereți ondulați pot atinge puteri de cîteva mii de kVA.

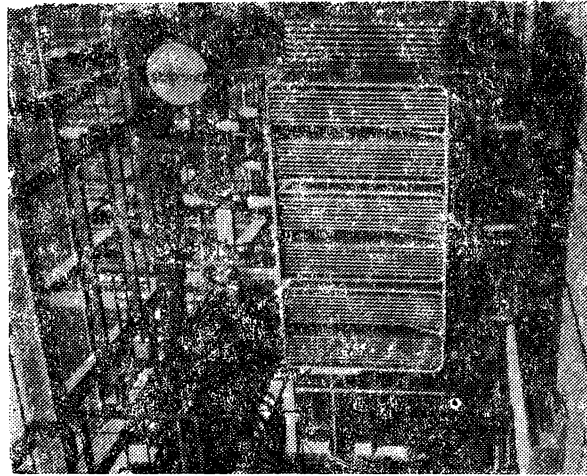
Aceste cuve au dimensiuni relativ mari, rezistență mecanică insuficientă și o eficacitate relativ redusă. Astăzi sînt înlocuite aproape complet de către cuvele cu țevi. Cuvă cu țevi este reprezentată în figura 1.79, b. Ea se execută cu pereți netezi și se adaugă prin sudare țevi rotunde din oțel cu diametrul exterior de 40 ... 50 mm și grosime de 2 ... 3 mm. Distanțele între axele a două țevi vecine se ia de 75 mm. Pentru a se mări suprafața de răcire, țevile se așază în 1—5 rînduri, de obicei alternate.

O altă variantă a cuvei cu țevi este cuvă tip liră (fig. 1.79, c). Această construcție este caracterizată prin faptul că toate țevile au aceeași lungime, iar numărul de orificii în cuvă este mai mic.

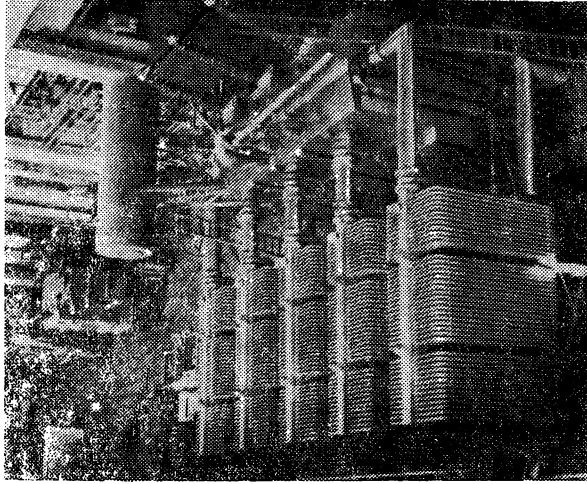
Cuvele cu radiatoare conduc la o mărire și mai mare a suprafeței de răcire a transformatorului (fig. 1.79, d). Aceste radiatoare formate dintr-un șir de țevi comunică între ele în partea inferioară și superioară prin două colectoare. Radiatoarele pot fi sudate de pereții cuvei sau fixate prin flanșe cu garnituri și șuruburi. Fixarea prin flanșe cu șuruburi se aplică la transformatoarele ale căror dimensiuni depășesc gabaritul de cale ferată.



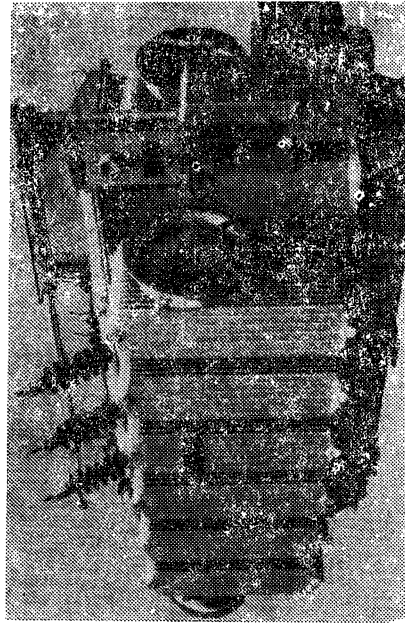
A



B



D



C

Fig. 1.79, A. Transformator monofazat ACEC (Belgia) cu datele nominale:  
 $S_n = 46 \text{ MVA}$ ,  $U_1 = 14,5 \text{ kV}$ ;  $U_2 = 233 \text{ kV}$  (trei asemenea unități formează  
 o unitate trifazată cu  $S_n = 138 \text{ MVA}$ ).

Fig. 1.79, B. Transformator trifazat ACEC (Belgia) cu datele nominale:  
 $S_n = 68 \text{ MVA}$ ,  $U_1 = 75 \text{ kV}$ ;  $U_2 = 11,5 \text{ kV}$ .

Fig. 1.79, C. Transformator trifazat (CEM) cu datele nominale: 20/26,6 MVA;  
 $63+9-6,3\%/5,5 \text{ kV}$ ; cu reglaj sub sarcină.

Fig. 1.79, D. Transformator trifazat ACEC (Belgia) cu datele nominale:  
 $154 \text{ MVA}$ ; 15/156,5 kV (cu baterii de radiatoare separate — 5-baterii).

Țevile se așază pe câteva rînduri și uneori li se dă o formă elipsoidală în secțiune pentru a reduce cantitatea de ulei la aceeași suprafață de răcire.

La transformatoarele de foarte mare putere se activează răcirea transformatorului: *a*) printr-o ventilație forțată a radiatoarelor, *b*) printr-o circulație forțată a uleiului și răcirea lui într-un dispozitiv special.

În figurile 1.79, A — 1.79, D se prezintă diferite tipuri de transformatoare electrice de putere.

## 1.12. DISPOZITIVE DE CONTROL ȘI PROTECȚIE. ACCESORII

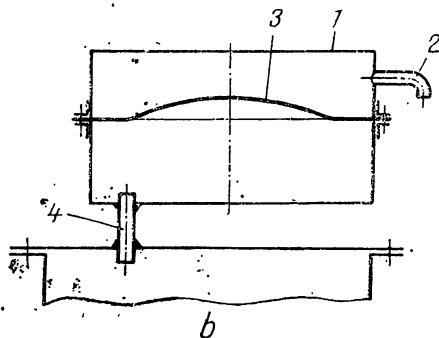
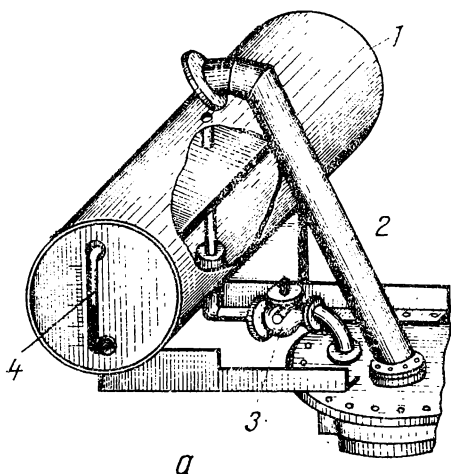
*a*) *Conservatorul de ulei* se prevede la transformatoare cu puteri peste 100 kVA și are rolul de a evita contactul direct al uleiului cald din cuvă cu aerul, ceea ce ar produce oxidarea și umezirea uleiului cu consecințe nedorite. Conservatorul are de obicei o formă cilindrică cu raportul între lungime și diametru cuprins în gama 2 ... 3. El se așază pe capacul cuvei, pe latura îngustă a acestuia. Conservatorul comunică printr-un tub cu uleiul din interiorul cuvei și prin alt tub cu atmosfera. Pe traseul primului tub se așază releul de gaze al transformatorului și pe traseul celui de al doilea tub se așază un filtru de aer (fig. 1.80, *a*). Capacitatea conservatorului se alege în așa fel încît să asigure prezența în el a uleiului în orice regim de funcționare a transformatorului. Uzual această capacitate reprezintă circa 10% din volumul total al uleiului transformatorului.

În ultimul timp, la transformatoarele de puteri mari s-a răspîndit conservatorul cu membrană elastică care se prezintă în figura 1.80, *b*. Acest tip de conservator va găsi o largă utilizare dată fiind simplitatea sa constructivă și deservirea simplă în timpul funcționării. Grosimea tablei pentru conservatoare se alege în funcție de diametrul  $D$  al conservatorului și anume 1,5 mm pentru  $D = 150 \dots 350$  mm, 2 mm pentru  $D = 350 \dots 650$  mm și 3 mm pentru  $D = 650 \dots 1\,000$  mm.

*b*) *Releul de gaze* sau releul Buchholz are rolul de a proteja transformatorul împotriva unor încălziri locale provocate de defectarea izolației

Fig. 1.80. Conservatoare de ulei:

*a* — cu tub de evacuare a gazelor: 1 — conservator; 2 — supapă de siguranță; 3 — releu de gaze; 4 — indicator de ulei; *b* — cu membrană elastică: 1 — conservator din două părți; 2 — intrarea aerului; 3 — membrană elastică din material plastic; 4 — țevă de legătură între conservator și cuvă.



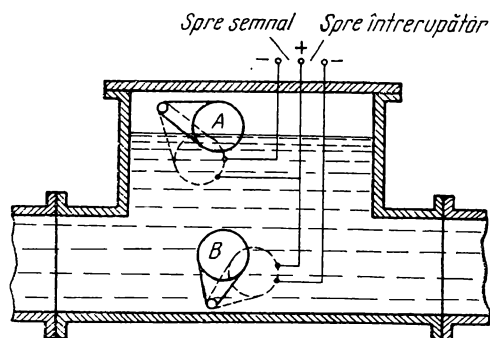


Fig. 1.81. Releu de gaze.

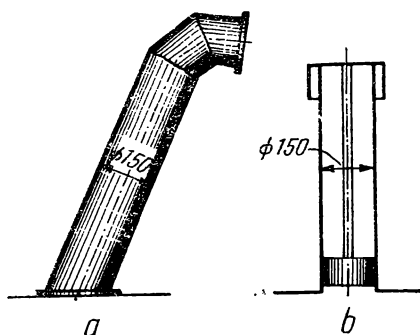


Fig. 1.82. Supape de siguranță:  
a — cu membrană; b — cu piston.

principale sau izolației între spire, defectarea miezului etc., în urma cărora rezultă gaze ca produse de descompunere. Schema releului de gaze este prezentată în figura 1.81. În stare normală, releul este în întregime umplut cu ulei. Când apar gaze în transformator, acestea se adună în partea superioară a releului și coboară treptat nivelul uleiului. Odată cu uleiul coboară și plutitorul superior *A*, care închide circuitul dispozitivului de semnalizare, avertizând personalul de control. Dacă în urma unei avarii mai serioase procesul de evacuare a uleiului din cuvă devine intens, atunci gazul acționează direct plutitorul *B* care coborîndu-se, închide circuitul de comandă al întrerupătorului automat și scoate transformatorul de sub tensiune. Releul de gaze semnalizează și pierderile de ulei din transformator. Când nivelul uleiului scade și releul rămîne fără ulei, acesta întrerupe transformatorul.

c) *Supapa de siguranță* protejează transformatorul contra exploziilor ca urmare a unei presiuni interioare foarte mari. În figura 1.82, *a* se prezintă construcția supapei de siguranță cu membrană de sticlă sau pertinax. Poziția înclinată a țevii permite, în caz de explozie, evacuarea uleiului dincolo de capacul transformatorului. În figura 1.82, *b* se dă o altă variantă a supapei de siguranță la care țeava este închisă în partea de jos printr-un piston de pîslă iar în partea de sus printr-un capac etanș. În caz de explozie pistonul se ridică și deschide capacul.

d) *Izolatoarele de trecere* ale transformatoarelor servesc la trecerea prin capacul cuvei a conductoarelor care realizează conectarea înfășurărilor la bornele exterioare cuvei. Izolatoarele de trecere utilizate în mod curent sînt de tip exterior (STAS 689/61; STAS 5851-78 și se aleg funcție de tensiunea și curentul nominal corespunzător bornei respective.

Izolatorul se compune dintr-o parte izolantă și dintr-o parte conductoare; pînă la tensiunea de 35 kV elementul conductor se realizează din tije conductoare, din oțel (pînă la 50 A), din alamă (pînă la 160 A) sau din cupru (la curenți de peste 200 A); pentru tensiuni înalte, în general în locul tijei se folosește un conductor flexibil pentru care se admite o densitate de curent de 1,5—2 A/mm<sup>2</sup>. Diametrul  $D_1$  al tijei izolatorului se alege funcție de curentul  $I$  al bornei (tabelul 1.5). La izolatoarele de trecere pentru curenți sub 1000 A, rolul bornei de rețea este îndeplinit de partea filetată a tijei prevăzută cu piulițe, iar pentru curenți mai mari se prevăd cleme speciale fixate pe capătul de ieșire al tijei.

La izolatoarele de trecere cu tensiuni peste 6 kV se utilizează coarne de protecție, (două tije: una montată la borna izolatorului și alta montată

TABELUL 1.5. Diametrele tijelor conductoare pentru izolatoarele de trecere

I	[A]	200	600	1000	2000	3000
$D_t$	[mm]	12	20	30	42	47

TABELUL 1.6 Distanța dintre coarne funcție de tensiunea nominală

$U_n$	[kV]	10	20	30	45
$c$	[mm]	110	170	235	330

TABELUL 1.7 Distanțele minime între elementele sub tensiune și elementele metalice de pe capacul transformatorului

$U_n$ [kV]	6	10	35	110	150	220
Bornă-elemente capac [mm]	90	135	330	900	1 270	1 770
Bornă-conservator [mm]	110	140	349	965	1 340	1 925

pe capacul cuvei) distanța  $c$  dintre acestea este funcție de tensiunea nominală  $U_n$  (tabelul 1.6). Pentru a mări tensiunea descărcărilor pe suprafața exterioară a izolatorului, la trecerea prin capac se folosește frecvent metalizarea suprafeței izolatorului în această zonă, îmbunătățindu-se distribuția câmpului electric. Capătul sectorului metalizat are o formă rotunjită.

Distanțele minime între bornele metalice ale izolatoarelor și părțile metalice ale transformatorului sînt date în tabelul 1.7. Respectarea acestor distanțe conduce deseori la montarea izolatoarelor pe capac în poziție înclinată.

Datorită curentului  $I$  care parcurge tija, în capac se produc pierderi prin curenți turbionari, pentru  $I > 600$  A aceste pierderi conduc la o încălzire locală a capacului inadmisibilă. Pentru micșorarea pierderilor, în zona dintre izolatoare se prevăd fante în capac umplute cu un material solid nemagnetic. Lățimea fantelor este de 5–20 mm, funcție de mărimea curentului. La curenți foarte mari se montează adeseori ansambluri de izolatoare de trecere, în paralel.

La tensiuni  $U_n \geq 60$  kV se întîlnesc cîteva construcții tipice de izolatoare de trecere: izolatoare de trecere cu ulei, izolatoare de trecere tip condensator.

*Izolatorul de trecere cu ulei* are o construcție simplă, rolul izolației îl îndeplinește uleiul, separat de dielectricul solid prin paravane (de obicei din pertinax). Aceste paravane pot avea incluziuni metalice prestate și în acest caz izolatorul are o construcție intermediară între un izolator de trecere obișnuit și unul de tip condensator.

Pentru transformatoarele cu tensiune  $U_n \leq 35$  kV se utilizează izolatoare din porțelan cu aer sau ulei; pentru transformatoarele cu  $U_n \geq 110$  kV se utilizează izolatoare cu ulei în a căror cavitate interioară se dispun o serie de cilindri din hîrtie bachelizată dispuși concentric (în figura 1.83 se prezintă un izolator de 110 kV).

Dimensiunile și greutatea izolatoarelor cresc repede cu tensiunea (de exemplu pentru  $U_n = 110$  kV și 220 kV înălțimea totală a izolatoarelor este de 2 500 mm și respectiv 4 490 mm, iar greutatea de 340 kg și respectiv 1 150 kg). Izolatorul de trecere este umplut cu ulei din cuva transformatorului în care caz condensatorul de ulei trebuie ridicat la o înălțime corespunzătoare, sau în alte variante constructive pentru tensiuni mari izolatorul este prevăzut cu un rezervor propriu de ulei.

*Izolatoarele de trecere tip condensator* sînt folosite frecvent pentru tensiunile cele mai înalte datorită dimensiunilor relativ reduse și siguranței mari în exploatare. Izolația propriu-zisă este pertinaxul; între straturile de hîrtie sînt dispuse ecrane metalice pentru o repartitie cît mai uniformă a cîmpului electric. Izolatoarele de trecere de tip exterior sînt prevăzute cu manta exterioară din porțelan, care constituie izolația de suprafață și protejează izolatorul din punct de vedere mecanic, mantaua este umplută cu ulei. Aceste izolatoare au o tehnologie mai complicată.

e) *Comutatoarele de prize pentru reglarea tensiunii în gol* servesc la reglarea tensiunii prin modificarea numărului de spire, transformatorul fiind deconectat de la rețea. Construcția comutatorului depinde de tensiunea și curentul nominal și de puterea transformatorului. Comutatoarele care reglează tensiunea între limitele  $\pm 5\%$  pot fi cu deplasare liniară (fig. 1.84) sau cu deplasare circulară (fig. 1.85 și 1.85, A). Comutatorul din figura 1.84 este folosit pentru curenți pînă la 60 A și tensiuni pînă la 30 kV la transformatoarele cu conexiune stea sau triunghi,

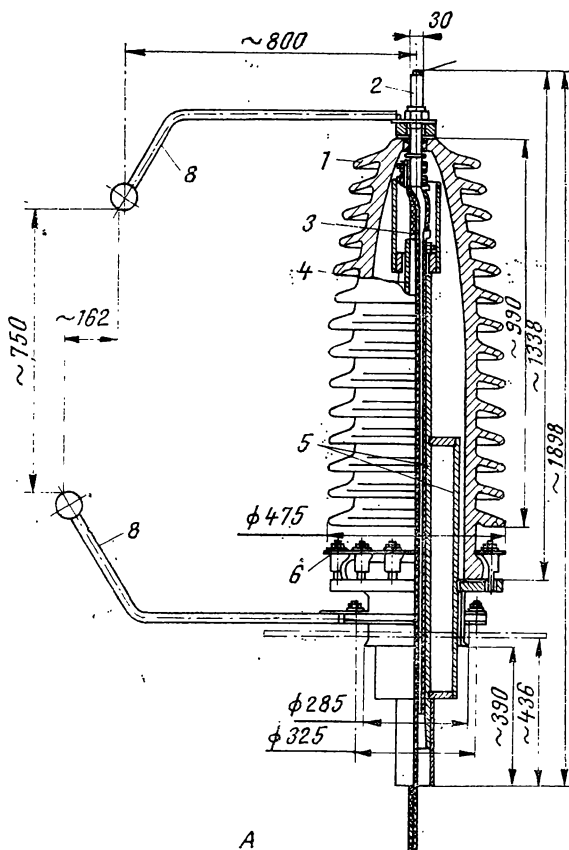


Fig. 1.83. Izolator de trecere de tip exterior cu ulei pentru 110 kV (conform DIN):

1 — corp de porțelan; 2 — bornă; 3 — conductor; 4 — tub de evacuare; 5 — ecrane de pertinax; 6 — șuruburi de fixare; 7 — orificiul de aerisire; 8 — coarne de protecție.

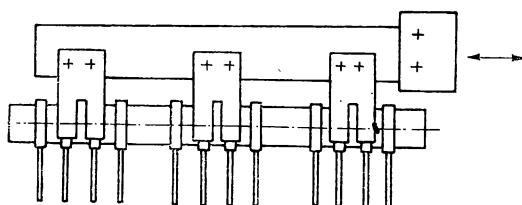


Fig. 1.84. Comutator de prize liniar.



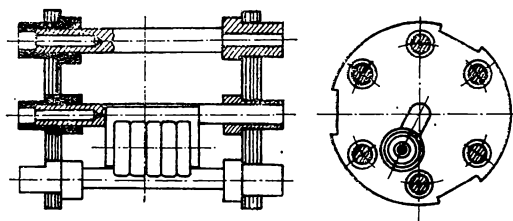


Fig. 1.85. Comutator de prize cu deplasare circulară.

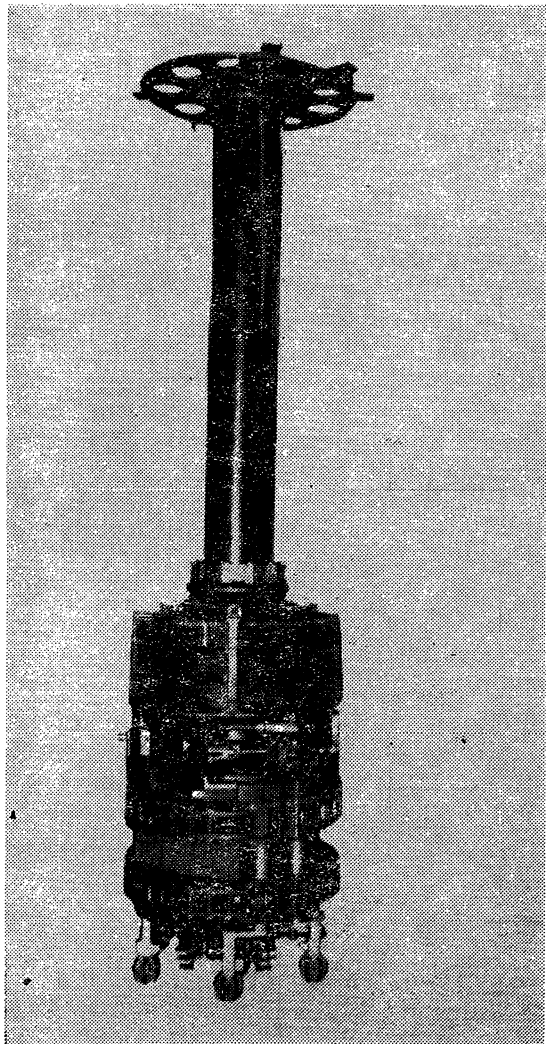


Fig. 1.85,A. Comutator de reglaj sub sarcină în trepte, 245 kV, neutrul izolat.

cu zonele de reglaj ale tensiunii pe cât posibil la mijlocul bobinajului.

Comutatorul din figura 1.85 se utilizează pentru curenți mai mari de 60 A, realizând o suprafață mică de contact dar presiunea din contact este foarte mare. Prizele fiecărei faze sînt scoase la cîte un disc circular.

Acționarea comutatorului de prize cu transformatorul conectat la rețea duce la distrugerea acestuia, datorită arcului electric care se formează și în unele cazuri duce și la alte defecțiuni în transformator. De aceea transformatoarele mari se înzestresc cu dispozitive de blocare care fac imposibilă acționarea comutatorului înaintea deschiderii întreruptorului.

f) *Indicatoarele de temperatură.* La transformatoarele cu puteri pînă la circa 315 kVA se măsoară temperatura uleiului din straturile superioare cu ajutorul termometrelor cu mercur sau cu alcool, înșurubate în capacul transformatorului. La transformatoarele cu puteri mai mari se folosesc termometre cu cadran, construite similar cu manometrele. Transformatoarele cu puteri peste 10 MVA au termometre cu rezistență. Rezistența de măsurare este înglobată într-o armătură obișnuită de termometru, înșurubată în capacul transformatorului și legată cu dispozitivul de măsurare, etalonat direct în grade Celsius. La prima punere în funcțiune dispozitivului i se efectuează o corecție, care compensează de fapt rezistențele conductoarelor de legătură. În figura 1.86 se prezintă schema de

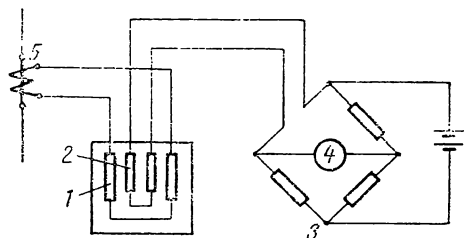


Fig. 1.86. Schemă pentru măsurarea temperaturii cu termometru:

1 — rezistență de încălzire; 2 — rezistență de măsurare;  
3 — punte; 4 — indicator de temperatură; 5 — transformator de curent.

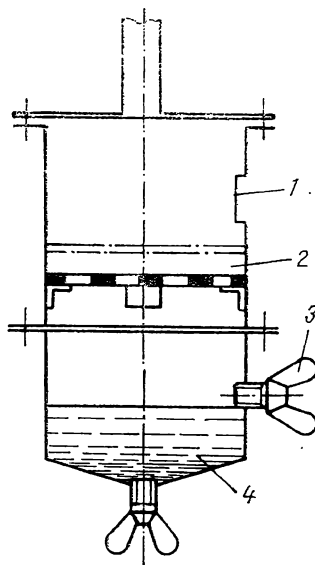


Fig. 1.87. Filtru de aer cu silicagel:

1 — vizor pentru controlul umidității silicagelului; 2 — recipient pentru silicagel; 3 — bușon pentru introducerea uleiului; 4 — recipient de ulei.

măsurare a temperaturii bobinajelor unui transformator, folosind un termometru termic.

g) *Filtru de aer* se montează pe conducta de legătură dintre conservator și mediul ambiant și are rolul de a opri impuritățile din aer și a absorbi umiditatea acestuia prin trecerea sa prin silicagel (fig. 1.87). Regenerarea silicagelului se face prin încălzirea acestuia până la temperatura de  $400 \div 500^{\circ}\text{C}$ .

## ELEMENTE GENERALE ALE TEORIEI MAȘINILOR ELECTRICE ROTATIVE

### 2.1. CÎMPUL MAGNETIC AL UNEI ÎNFĂȘURĂRI MONOFAZATE CU PAS DIAMETRAL ȘI $2p$ POLI

Mașinile electrice au două părți constructive de bază — *statorul* și *rotorul* denumite și armături. În general ambele armături posedă înfășurări din material conductor (cupru, aluminiu).

Cel puțin una din armături este de formă cilindrică cu creștături uniform distribuite pe periferia dinspre întrefier.

În continuare se vor avea în vedere cîmpurile magnetice produse de curentul care parcurge înfășurarea monofazată, cu  $2p$  poli, începînd cu cazurile cele mai simple.

Se consideră la început o armătură statorică cilindrică realizată din tole de oțel electrotehnic izolate. La periferia interioară a acestei armături se presupune că sînt practicate două creștături situate diametral așa cum se indică în figura 2.1.

În această pereche de creștături este plasată o bobină cu  $N_a$  spire conectate în serie și care sînt parcurse de curentul  $i_a$ . În interiorul armăturii statorice se află armătura rotorică separată de stator printr-o zonă de aer denumit întrefier și a cărei grosime  $\delta$  poate fi variabilă în lungul periferiei, dar care este mult mai mică decît dimensiunile transversale ale armăturii rotorice. Armătura rotorică este de asemenea realizată din tole de oțel electrotehnic, izolate.

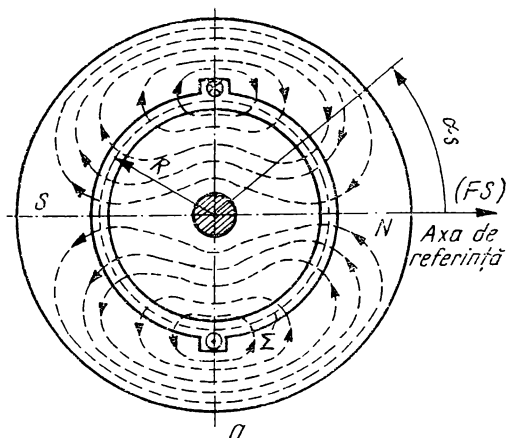
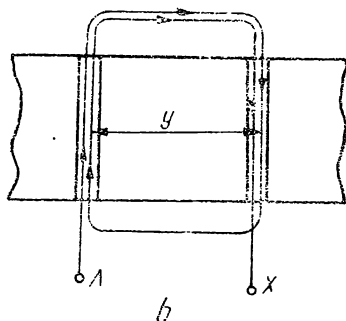


Fig. 2.1. Armătură statorică cu o singură bobină (2 poli).

a — spectrul liniilor de câmp;  
b — bobina.



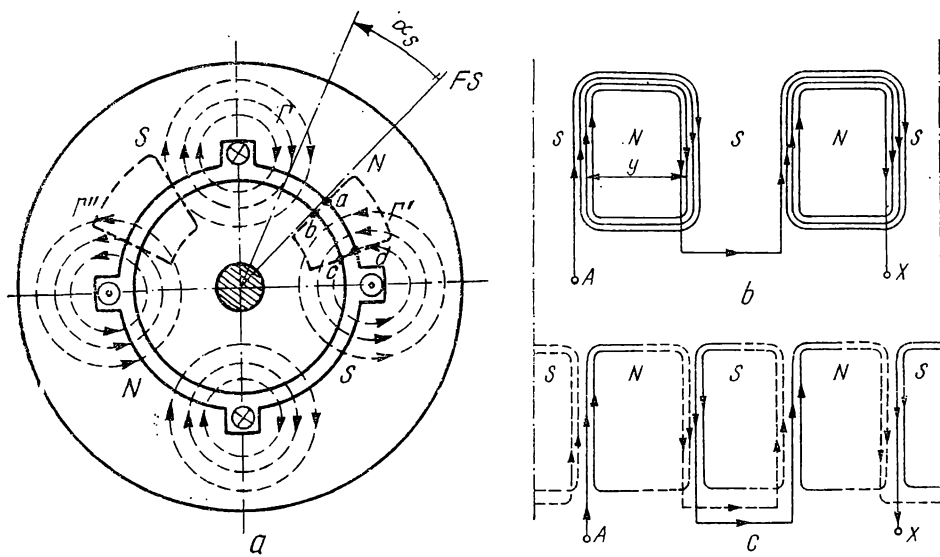


Fig. 2.2. Spectrul cîmpului magnetic la mașina cu 4 poli (a); înfășurare într-un singur strat (b); înfășurare în două straturi (c).

Spectrul cîmpului magnetic este reprezentat în figura 2.1; liniile cîmpului magnetic înlanțuie conductoarele parcurse de curent, ies perpendicular pe suprafața statorului și intră perpendicular pe suprafața rotorului, deoarece cele două armături au permeabilitatea magnetică  $\mu_{Fe}$  foarte mare ( $\mu_{Fe} \simeq \infty$ ).

Domeniul unde liniile cîmpului magnetic au sensul de la suprafața statorului la suprafața rotorului se numește polul nord (N), iar domeniul unde liniile cîmpului magnetic au sensul de la suprafața rotorului la suprafața statorului se numește polul sud (S), în cazul în care înfășurarea se află pe stator.

Deci dacă se dispune de o bobină ca în figura 2.1,  $a$  se formează doi poli, în acest caz numărul de creștături care revine unui pol și care se notează cu  $q$  este unu. În figura 2.1,  $b$  se dă și schema desfășurată a înfășurării care este formată dintr-o singură bobină, avînd deschiderea  $y$  între laturile bobinei.

Înfășurările corespunzătoare la un număr mai mare de poli se realizează de obicei din mai multe bobine dispuse echidistant și uniform pe periferia statorului, așa cum se indică în figura 2.2,  $a$  unde este reprezentată o mașină cu patru poli, adică  $2p = 4$ .

Înfășurarea poate avea pentru fiecare pereche de poli cîte o bobină cu  $N_q$  spire, ale cărei laturi sînt plasate în creștăturile distanțate la periferia interioară a statorului cu un pas polar  $\tau = \pi D / 2p$  ( $D$  fiind diametrul interior al statorului). Bobinele diferitelor perechi de poli, se înscriiază, obținîndu-se o înfășurare cu un număr de spire  $w = pN_q$ . O asemenea înfășurare poartă numele de înfășurare într-un singur strat, fiindcă în fiecare creștătură se găsește o singură latură de bobină (fig. 2.2,  $b$ ). Dat fiind faptul că deschiderea  $y$  a bobinelor este egală cu pasul polar înfășurarea se va numi cu *pas diametral*.

Se poate realiza o înfășurare echivalentă în privința cîmpului magnetic dar diferită ca legături (fig. 2.2, *c*). Înfășurarea este plasată în același număr de creștături dar are  $2p$  bobine înseriate fiecare avînd  $N_q/2$  spire parcurse de curentul  $i$ .

În fiecare creștătură se află două laturi de bobină. O astfel de înfășurare se numește înfășurare în două straturi; și în cazul acestei înfășurări numărul total de spire este  $w = pN_q$ .

Spectrul cîmpului magnetic, la dispunerea dată a conductoarelor, depinde de sensul curentului din laturile care se află în creștături. Prin urmare o mașină electrică cu mai multe perechi de poli se realizează cu  $p$  bobine (înfășurare într-un singur strat) sau cu  $2p$  bobine (înfășurare în două straturi) dispuse echidistant pe periferia statorului.

## 2.2. CALCULUL CÎMPULUI MAGNETIC DIN ÎNTREFIER

Cunoscînd dispunerea laturilor înfășurării, numărul de spire și curentul  $i$  care parcurge această înfășurare se pune problema să se calculeze cîmpul magnetic din întrefier. Se va considera figura 2.2, *a* și curba  $\Gamma'$ . Se aplică legea circuitului magnetic pentru conturul  $\Gamma'$  care străbate de două ori întrefierul în lungul razei și care se închide prin fierul rotorului respectiv al statorului. Tensiunea magnetică din fierul statorului și rotorului se neglijează deoarece permeabilitatea magnetică a fierului  $\mu_{Fe}$  este foarte mare ( $\mu_{Fe} \simeq \infty$ ).

Deoarece suprafața deschisă mărginită de curba  $\Gamma'$  nu intersectează nici un conductor parcurs de curent rezultă:

$$\int_{\Gamma'} \vec{H} \, d\vec{r} = \int_a^b \vec{H} \, d\vec{r} + \int_c^d \vec{H} \, d\vec{r} = v_{ab} - v_{cd} = 0, \text{ adică}$$

$v_{ab} = v_{cd} = v'$ , unde  $v_{ab}$  este tensiunea magnetică între stator și rotor în lungul razei între punctele  $a$  și  $b$ , similar  $v_{cd}$  este tensiunea magnetică între punctele  $c$  și  $d$ . În mod cu totul analog pentru o curbă situată în regiunea polului sud se obține:  $v_{ef} = v_{hg} = v''$ .

Prin urmare la o valoare dată a curentului  $i$  tensiunea magnetică dintre stator și rotor are aceeași valoare  $v'$  sub polul nord, iar sub polul sud valoarea  $v''$  dar de sens opus față de  $v'$ . În figura 2.3 s-a reprezentat variația în spațiu a tensiunii magnetice pentru o valoare  $i$  dată. Sistemul de referință

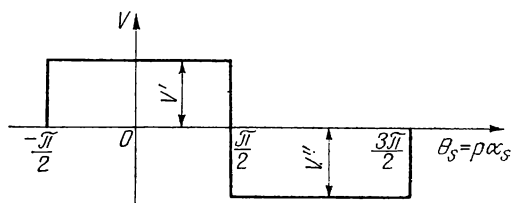


Fig. 2.3. Curba tensiunii magnetice pentru intervalul  $\left[-\frac{\pi}{2}; \frac{3\pi}{2}\right]$

considerat este fix față de stator ( $F. S$ ) și axa lui coincide cu axa magnetică a unei bobine. S-a considerat pozitivă tensiunea magnetică în zona polului nord. Pentru a stabili o relație între tensiunile magnetice  $v'$  și  $v''$  se aplică legea fluxului magnetic pe o suprafață închisă  $\Sigma$  de formă cilindrică care

trece prin întrefier. Această suprafață include în interiorul ei rotorul și este compusă din suprafața laterală și suprafețele frontale ale cilindrului astfel format. Fluxul magnetic prin cele două suprafețe frontale este nul.

Cîmpul magnetic se presupune plan-parallel. Rezultă:  $\int_A \vec{B} \, d\vec{A} = 0$ , unde  $A$  este suprafața laterală a cilindrului.

Deoarece inducția magnetică  $B$  este orientată în lungul razei se obține:

$$\vec{B} \, d\vec{A} = B \, dA = \mu_0 H \, dA = \mu_0 \frac{v(\alpha_s)}{\delta(\alpha_s)} L R \, d\alpha_s. \quad (2.1)$$

unde  $L$  este lungimea mașinii, iar  $R$  este raza rotorului.

În acest caz fluxul magnetic prin suprafața laterală a cilindrului va fi:

$$\oint \mu_0 \frac{v'}{\delta(\alpha_s)} L R \, d\alpha_s - \oint \mu_0 \frac{v''}{\delta(\alpha_s)} L R \, d\alpha_s = 0. \quad (2.2)$$

În ultima integrală din (2.2) se face schimbarea de variabilă:

$$\beta_s = \alpha_s - \frac{\pi}{p} \text{ și atunci se obține:}$$

$$v' \int_{-\pi/2p}^{\pi/2p} \frac{d\alpha_s}{\delta(\alpha_s)} - v'' \int_{-\pi/2p}^{\pi/2p} \frac{d\beta_s}{\delta\left(\beta_s + \frac{\pi}{p}\right)} = 0. \quad (2.3)$$

Integralele din relația (2.3) nu depind de notația variabilei, deci se poate scrie:

$$v' \int_{-\pi/2p}^{\pi/2p} \frac{d\alpha_s}{\delta(\alpha_s)} - v'' \int_{-\pi/2p}^{\pi/2p} \frac{d\alpha_s}{\delta\left(\alpha_s + \frac{\pi}{p}\right)} = 0. \quad \bullet$$

Dacă  $\delta(\alpha_s) = \delta(\alpha_s + \pi/p)$ , atunci rezultă:  $v' = v''$ .

Condiția  $\delta(\alpha_s) = \delta\left(\alpha_s + \frac{\pi}{p}\right)$  este îndeplinită în toate mașinile electrice, de aceea tensiunea magnetică în întrefier variază după o lege dreptunghiulară, alternativă simetrică.

Pentru calculul cîmpului magnetic se va considera curba  $\Gamma$  (fig. 2.2) care înconjoară o creastă și coincide cu o linie de cîmp, se obține:

$$\int_{\Gamma} \vec{H} \, d\vec{r} = v' + v'' = 2v = N_q i, \text{ sau } v = N_q i/2. \quad (2.4)$$

Deci înălțimea dreptunghiului este funcție de timp după o lege similară cu a curentului  $i$ . Variația tensiunii magnetice  $v$  funcție de coordonata  $\alpha_s$  are următoarele proprietăți:

- tensiunea magnetică  $v$  este periodică avînd perioada  $2\pi/p$ ;
- tensiunea magnetică  $v$  îndeplinește condițiile:

$$v(\alpha_s, t) = v(-\alpha_s, t); \quad v(\alpha_s, t) = -v(\alpha_s + \pi, t). \quad (2.5)$$

Rezultă că în dezvoltarea în serie Fourier lipsesc termenii în sinus și termenii pari în cosinus, adică tensiunea magnetică  $v$  se poate pune sub forma :

$$v(\alpha_s, t) = \sum_{v=1,3,5,\dots}^{\infty} C_v \cos p v \alpha_s. \quad (2.6)$$

În dezvoltarea în serie Fourier intervine argumentul  $p \alpha_s$ , deoarece parcurgînd o dată periferia interioară a statorului, unghiul geometric  $\alpha_s$  variază de la 0 la  $2\pi$ , iar unda tensiunii magnetice înregistrează  $p$  perioade întregi. Unghiul  $\theta_s = p \alpha_s$  se numește *unghiul electric*; dacă unghiul geometric  $\alpha_s$  variază de la 0 la  $2\pi$  atunci unghiul electric  $\theta_s$  variază de la 0 la  $2p\pi$ . Pentru armonica de ordinul  $v$  unghiul electric va fi: unghi electric =  $v p$  unghi geometric.

Coeficientul  $C_v$  al seriei trigonometrice (2.6) se calculează cu relația :

$$C_v = \frac{p}{\pi} \int_0^{2\pi/p} v(\alpha_s, t) \cos p v \alpha_s d\alpha_s = \frac{p}{\pi} \int_{-\pi/2 p}^{\pi/2 p} \frac{N_q i}{2} \cos p v \alpha_s d\alpha_s - \\ - \int_{\pi/2 p}^{3\pi/2 p} \frac{N_q i}{2} \cos p v \alpha_s d\alpha_s = \frac{2}{\pi v} N_q i \sin \frac{\pi v}{2}, \quad (2.7)$$

adică tensiunea magnetică se poate pune sub forma :

$$v(\alpha_s, t) = \sum_{v=1,3,\dots}^{\infty} \frac{2(-1)^{\frac{v-1}{2}}}{\pi v} \cdot N_q i \cos v \theta_s = \sum_{v=1,3,5,\dots}^{\infty} v_v. \quad (2.8)$$

• Inducția magnetică în întrefier va fi :

$$b(\alpha_s, t) = \frac{2 \mu_0}{\pi} \sum_{v=1,3,\dots}^{\infty} \frac{(-1)^{\frac{v-1}{2}}}{v \delta(\theta_s)} \cdot N_q i \cos v \theta_s = \sum_{v=1,3,\dots}^{\infty} b_v. \quad (2.9)$$

Dacă din dezvoltarea (2.8) se reține primul termen, atunci

$$v_1 = \frac{2}{\pi} N_q i \cos p \alpha_s = \frac{2}{\pi} N_q i \cos \theta_s. \quad (2.10)$$

Dacă din seria (2.9) se reține primul termen atunci

$$b_1 = \frac{2 \mu_0}{\pi \delta(\alpha_s)} N_q i \cos p \alpha_s = \frac{2 \mu_0}{\pi \delta(\theta_s)} N_q i \cos \theta_s. \quad (2.11)$$

Armonica de ordinul 1 se mai numește *armonică fundamentală* sau pe scurt *fundamentală*, (termenii seriei Fourier pentru  $v > 1$  se numesc armonici). De observat că pe măsură ce ordinul armonicilor crește, scade atât amplitudinea ( $C_v$ ) cât și unghiul geometric corespunzător unei perioade. Dacă întrefierul  $\delta = \text{const.}$  variația inducției magnetice în întrefier repetă la o altă scară variația tensiunii magnetice respective.

## 2.3. TENSIUNEA MAGNETICĂ ÎN CAZUL CURENTULUI COSINUSOIDAL

În cazul în care înfășurarea este parcursă de curentul  $i$  cosinusoidal în timp,  $i = \sqrt{2} I \cos \omega t$ , de frecvență  $f = \frac{\omega}{2\pi}$  și de valoare efectivă  $I$  atunci tensiunea magnetică va fi:

$$v(\theta_s, t) = \sum_{\nu=1,3,\dots}^{\infty} \frac{2(-1)^{\frac{\nu-1}{2}}}{\pi \nu} \sqrt{2} I N_q \cos \omega t \cos \nu \theta_s \quad (2.12)$$

iar inducția magnetică va fi:

$$b(\theta_s, t) = \sum_{\nu=1,3,5,\dots}^{\infty} \frac{2(-1)^{\frac{\nu-1}{2}}}{\pi \nu \delta} \sqrt{2} \mu_0 I N_q \cos \omega t \cos \theta_s. \quad (2.13)$$

Dacă se reține fundamentala tensiunii magnetice (t.m.) și se reprezintă în funcție de unghiul  $\theta_s$  pentru diferite momente, (fig. 2.4) atunci se remarcă caracterul pulsatoriu al acestei tensiuni care se poate scrie sub forma:

$$v_1 = V_{1m} \cos \omega t \cos \theta_s; \quad V_{1m} = \frac{2}{\pi} \sqrt{2} I N_q. \quad (2.14)$$

Dacă întrefierul este constant atunci inducția magnetică urmărește la altă scară variația tensiunii magnetice.

Există deci puncte la periferia interioară a statorului pentru care t.m. dintre stator și rotor este în permanență nulă. În celelalte puncte t.m. variază sinusoidal în timp cu amplitudinea variabilă de la punct la punct. O asemenea t.m. se numește t.m. pulsatorie, cosinusoidală în timp și spațiu.

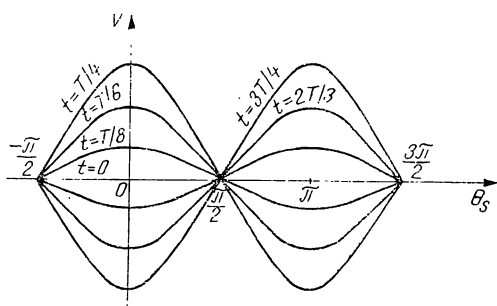


Fig. 2.4. Variația fundamentalei t.m. în timp și spațiu.

## 2.4. CÎMPUL MAGNETIC AL UNEI ÎNFĂȘURĂRI MONOFAZATE CU $2p$ POLI ȘI $q$ CRESTĂTURI PE POL

Înfășurarea monofazată realizată din  $\omega$  spire conectate în serie are conductoarele dispuse în mai multe perechi de creștături pentru o pereche de poli. Fie  $q > 1$  numărul de creștături corespunzătoare unui pol, în acest caz înfășurarea este plasată în  $2pq$  creștături decalate între ele sub fiecare pol cu unghiul geometric  $\gamma'$ . Tensiunea magnetică rezultantă produsă de această înfășurare în întrefier se obține prin însumarea a  $q$  tensiuni magnetice componente produse de cele  $q$  bobine pe perechea de poli.



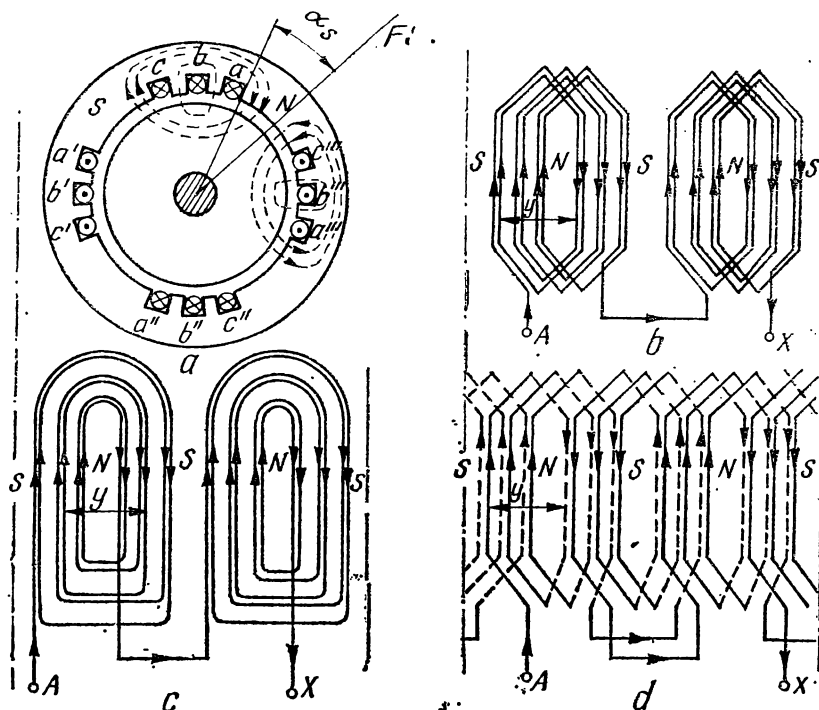


Fig. 2.5. Liniile cîmpului magnetic produs de o înfășurare cu  $\gamma = \pi$ ;  $2p = 4$ ;  $q = 3$  (a); înfășurare într-un singur strat cu bobine egale (b); înfășurare într-un singur strat cu bobine inegale (concentrice) (c); înfășurare în două straturi (d).

Pentru concretizarea ideilor, figura 2.5 se referă la o mașină cu  $2p = 4$  poli și  $q = 3$ . Dacă  $N_q$  este numărul de conductoare corespunzător fiecărei creștături atunci numărul de spire al înfășurării va fi  $w = pqN_q$ . Înfășurarea poate fi realizată într-un singur strat (fig. 2.5, b) cu bobine de deschidere egală  $\gamma = \tau$ , sau într-un singur strat, dar cu bobine de deschidere inegală, în medie însă tot  $\gamma = \tau$  (fig. 2.5, c). De asemenea înfășurarea se poate executa și în două straturi (fig. 2.5, d). Înfășurările indicate mai sus produc același cîmp magnetic în întrefier, fiindcă toate sînt străbătute de același curent  $i$ , ocupă aceleași creștături la periferia interioară a statorului, au același număr de conductoare în creștătură, iar legăturile exterioare între diferite bobine, deși diferite, permit ca sensul curentului să rămînă același în conductoarele diferitelor creștături.

Liniile cîmpului magnetic produs de o înfășurare oarecare din cele de mai sus sînt arătate în figura 2.5, a.

Se face ipoteza că acest cîmp magnetic este rezultatul suprapunerii celor  $q = 3$  cîmpuri magnetice produse fiecare de solenațiile din creștăturile  $aa'a''a'''$ ,  $bb'b''b'''$ ,  $cc'c''c'''$ .

Solenația rezultantă din creștăturile  $bb'b''b'''$  produce o tensiune magnetică  $v_b$  care are o variație dreptunghiulară exact ca înfășurarea din figura 2.2. Armonica de ordinul  $\nu$  at.m. corespunzătoare acestor bobine va fi:

$$v_{b\nu} = \frac{2}{\pi\nu} (-1)^{\frac{\nu-1}{2}} \cdot N_q i \cos p\nu\alpha_s. \quad (2.15)$$

Solenția rezultantă din creștăturile  $aa' a'' a'''$  va produce o tensiune magnetică  $v_a$  de variație dreptunghiulară în spațiu și decalată cu unghiul geometric  $\gamma'$  în urma tensiunii magnetice  $v_b$ .

Solenția rezultantă din creștăturile  $cc' c'' c'''$  va produce o tensiune magnetică  $v_c$  de variație dreptunghiulară și decalată cu unghiul geometric  $\gamma'$  înaintea tensiunii magnetice  $v_b$ .

Armonicile de ordinul  $v$  corespunzătoare celor două ansambluri de creștături vor avea deci aceeași amplitudine și se pot scrie sub forma:

$$v_{av} = \frac{2}{\pi v} (-1)^{\frac{v-1}{2}} N_q i \cos p v (\alpha_s - \gamma') \quad (2.16)$$

$$v_{cv} = \frac{2}{\pi v} (-1)^{\frac{v-1}{2}} N_q i \cos p v (\alpha_s + \gamma').$$

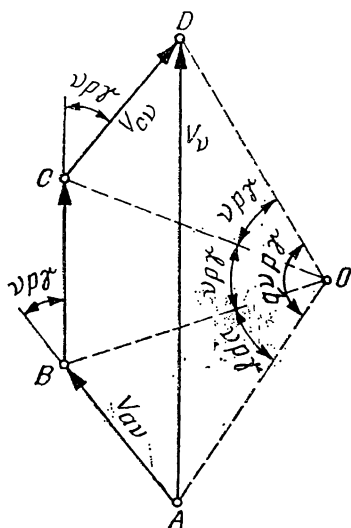


Fig. 2.6. Compunerea grafică a fazorilor spațiali ai t.m.

Tensiunea magnetică rezultantă va fi:

$$v_v = v_{av} + v_{bv} + v_{cv} \quad (2.17)$$

Calculul tensiunii magnetice rezultante se face simplu reprezentînd ca fazori spațiali tensiunile magnetice parțiale care intervin în suma (2.17), se obține astfel diagrama de fazori din figura 2.6 din care rezultă:

$$OA = 2 \frac{V_{av}}{\sin \frac{p v \gamma'}{2}} = 2 \frac{V_v}{\sin \frac{p q v \gamma'}{2}}; (\triangle OAB \text{ și } \triangle OAD).$$

Se obține:

$$V_v = V_{av} \frac{\sin \frac{p q v \gamma'}{2}}{\sin \frac{p v \gamma'}{2}} = q V_{av} \frac{\sin \frac{p q v \gamma'}{2}}{q \sin \frac{p v \gamma'}{2}} = q V_{av} \cdot k_{qv} \quad (2.18)$$

S-a calculat deci amplitudinea tensiunii magnetice rezultante avîndu-se în vedere că amplitudinile tensiunilor magnetice parțiale sînt egale. Factorul  $k_{qv}$  se numește factor de repartiție corespunzător armonicii  $v$ ;  $k_{qv} \leq 1$ . Factorul  $k_{qv}$  arată în ce măsură se micșorează amplitudinea armonicii  $v$  și a tensiunii magnetice prin faptul că în loc de a se concentra toate spirele înfășurării monofazate într-o singură pereche de creștături pe perechea de poli se repartizează aceste spire în mai multe perechi de creștături pe perechea de poli. Acest factor reprezintă raportul dintre amplitudinea tensiunii magnetice rezultante de armonică  $v$  și suma aritmetică a amplitudinilor tensiunilor magnetice parțiale. Tensiunea magnetică rezultantă va fi:

$$v_v = \frac{2}{\pi v} (-1)^{\frac{v-1}{2}} N_q q k_{qv} i \cos p v \alpha_s = \frac{2 (-1)^{\frac{v-1}{2}}}{\pi v p} i w k_{qv} \cos p v \alpha_s \quad (2.19)$$

unde  $w = p q N_q$  este numărul de spire al înfășurării monofazate.

TABELUL 2.1. Coeficienții  $k_{qv}$  și  $k_{qv}/v$  funcție de  $q$ 

$q$	$k_{q1}$	$k_{q3}$	$k_{q5}$	$k_{q7}$	$k_{q3}/3$	$k_{q5}/5$	$k_{q7}/7$
2	0,966	0,707	0,259	-0,259	0,269	0,052	-0,037
3	0,960	0,667	0,217	-0,177	0,222	0,043	-0,028
4	0,958	0,654	0,205	-0,158	0,218	0,041	-0,023
5	0,957	0,646	0,200	-0,149	0,215	0,040	-0,021
8	0,955	0,641	0,194	-0,141	0,214	0,039	-0,020
9	0,955	0,640	0,194	-0,140	0,213	0,039	-0,020

Pentru fundamentala tensiunii magnetice se obține:

$$v_1 = \frac{2}{\pi p} i w k_{q1} \cos p \alpha_s. \quad (2.20)$$

În tabelul 2.1 se dau valorile factorului  $k_q$  pentru diferite armonici și diferite valori ale numărului  $q$ .

Prin urmare repartizarea înfășurării monofazate în mai multe creștături pe pol conduce la reducerea simțitoare a armonicilor de ordin superior, fundamentală fiind afectată relativ puțin de acest factor. Variația în spațiu a tensiunii magnetice rezultante se apropie mai mult de o cosinusoidă, odată cu repartizarea înfășurării în mai multe creștături pe pol.

## 2.5. CÎMPUL MAGNETIC AL UNEI ÎNFĂȘURĂRI MONOFAZATE CU $2p$ POLI ȘI PAS SCURTAT

În scopul reducerii armonicilor superioare ale t.m.\* se utilizează pe scară largă înfășurările cu pas scurtat. Pentru a înțelege esența acestei probleme se va considera grupul de creștături  $bb'b''b'''$  în care sînt plasate patru bobine cu pas diametral (înfășurare în două straturi) ca în figura 2.7, *a*. Armătura statorică considerată are creștăturile uniform repartizate pe periferia interioară.

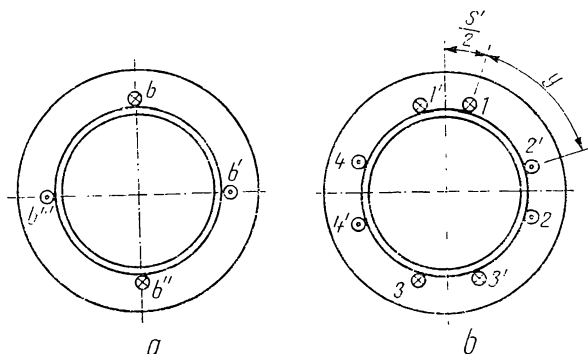


Fig. 2.7. Înfășurarea cu pas diametral plasată în 4 creștături (*a*); înfășurare cu pas scurtat plasată în 8 creștături (*b*).

\* Cu o reducere nesemnificativă a amplitudinii fundamentalei.

Cele 8 laturi de bobine dispuse suprapus în 4 creștături pot fi dispuse în 8 creștături (fig.2.7,*b*); laturile din creștătura *b* au fost plasate în creștăturile 1 și 1' ș.a.m.d. În fiecare din aceste creștături se află încă o latură aparținând aceleiași înfășurări monofazate sau altei înfășurări monofazate. Bobinele obținute 1—2'; 2—3'; 3—4'; 4—1' sînt cu pas scurtat ( $\gamma < \tau$ ). Scurtării bobinelor  $s' = \gamma - \tau$  măsurată pe periferia interioară a statorului îi corespunde unghiul la centru  $s' \frac{\pi}{\tau}$ .

Se constată că dacă se unesc laturile 1—2 și 3—4 se formează bobine cu pas diametral avînd  $N_q/2$  spire în creștătură; înfășurarea astfel formată este decalată cu distanța  $s'/2$  înainte față de înfășurarea din figura 2.7,*a*. Similar înfășurarea formată din bobinele 1'—2' și 3'—4' este decalată față de aceeași înfășurare în urmă cu distanța  $s'/2$ . Dacă se consideră armonica de ordinul  $\nu$  a t.m. scrisă pentru înfășurarea cu pas diametral 1234 atunci se obține:

$$v'_{bv} = (-1)^{\frac{\nu-1}{2}} \frac{N_q i}{\pi \nu} \cos p \nu \left( \alpha_s + \frac{s' \pi}{2 p \tau} \right). \quad (2.21)$$

Similar pentru înfășurarea cu pas diametral 1'2'3'4' rezultă:

$$v''_{bv} = (-1)^{\frac{\nu-1}{2}} \frac{N_q \cdot i}{\pi \nu} \cos p \nu \left( \alpha_s - \frac{s' \pi}{2 p \tau} \right). \quad (2.22)$$

Tensiunea magnetică rezultantă va fi:

$$v_{bv} = v'_{bv} + v''_{bv} = (-1)^{\frac{\nu-1}{2}} \frac{2 N_q i}{\pi \nu} \cos \left( s' \frac{\pi \nu}{2 \tau} \right) \cos (p \nu \alpha_s). \quad (2.23)$$

Factorul subunitar  $k_{sv} = \cos \left( s' \frac{\pi \nu}{2 \tau} \right)$  se numește *factor de scurtare*. Se constată că înfășurarea dispusă în creștături ca în figura 2.7, *b* este echivalentă din punctul de vedere al producerii tensiunii magnetice cu înfășurarea dispusă ca în figura 2.7, *a*, doar că amplitudinile armonicilor sînt diminuate cu factorul  $k_{sv}$ .

Procedînd în același mod cu cele  $q$  grupuri de bobine se constată că înfășurarea cu pas scurtat este echivalentă cu două înfășurări cu pas diametral a căror axe magnetice sînt decalate cu unghiul  $s' \frac{\pi}{\tau}$  și a căror număr de spire este  $w/2$ . Cele două înfășurări cu pas diametral fiind repartizate în  $q$  creștături rezultă că amplitudinea armonicilor trebuie înmulțită cu factorul de repartiție  $k_{qv}$ ; t.m. rezultantă a înfășurării monofazate va fi:

$$v = \sum_{\nu=1,3,5,\dots}^{\infty} (-1)^{\frac{\nu-1}{2}} \cdot \frac{2 N_q i}{\pi \nu} k_{sv} k_{qv} q \cos (\nu p \alpha_s) = \sum_{\nu=1,3,5,\dots}^{\infty} (-1)^{\frac{\nu-1}{2}} \frac{2 i w k_{wv}}{\pi \nu p} \cos (\nu p \alpha_s)$$

unde  $k_{wv} = k_{sv} k_{qv}$  se numește factor de înfășurare pentru armonica  $\nu$ . Pentru fundamentală t.m. rezultante se obține:

$$v_1 = 2 i w k_{w1} / (p \pi) \cdot \cos p \alpha_s = V_1 i \cos p \alpha_s; V_1 = 2 w k_{w1} / p \pi. \quad (2.24)$$

Pentru a evidenția influența factorului de scurtare asupra amplitudinii armonicilor se dă tabelul 2.2.

Scurtarea  $s'$  poate fi aleasă astfel încît factorul de scurtare al unei armonici să fie nul, sau foarte mic.

TABELUL 2.2. Factorii de scurtare funcție de  $s'/\tau$ 

$s'/\tau$	$k_{s1}$	$k_{s3}$	$k_{s5}$	$k_{s7}$
0	1	1	1	1
0,12	0,985	0,866	0,643	0,342
0,17	0,966	0,707	0,259	0,259
0,22	0,950	0,500	0,173	0,766
0,28	0,906	0,259	0,574	0,996
0,33	0,866	0,000	0,866	0,866

## 2.6. CÎMPUL MAGNETIC ÎNVÎRTITOR AL ARMĂTURII ROTITOARE

Se consideră o mașină heteropolară adică o mașină la care în partea întrefierului polii nord alternează cu polii sud; în interiorul armăturii statorice cilindrice realizată din tole se află o armătură cu  $2p$  poli ieșiți (aparenți). Pentru a concretiza ideile, în figura 2.8 s-a luat  $2p = 4$ . Se presupune că această armătură, antrenată de un motor oarecare, se poate roti. Cei  $2p$  poli rotorici se realizează cu magneti permanenți sau alimentând cu curent continuu bobinele de pe rotor, care formează o înfășurare de tip concentrat; fiecare miez polar rotoric este prevăzut cu o bobină. Cei  $2p$  poli au fiecare câte o piesă polară astfel încât între aceasta și stator rămîne un întrefier mic.

Întrefierul nu este uniform, dar satisface relația:  $\delta(\alpha_s) = \delta\left(\alpha_s + \frac{\pi}{p}\right)$ .

În continuare se consideră rotorul cu bobine alimentate în curent continuu. Bobinele de pe polii rotorului sînt identice și parcurse de același curent  $I_e$ . Se presupune că armătura rotorică cu poli este rotită de către un motor primar cu o viteză unghiulară  $\Omega$  constantă, în sensul acelor de ceasornic. Se calculează cîmpul magnetic în sistemul de referință fix față de rotor (F.R.). În aceste condiții t.m. dintre stator și rotor are o variație dreptunghiulară, înălțimea dreptunghiului este dată de relația:

$$v = w_e I_e = \theta_e \quad (2.25)$$

unde  $w_e$  este numărul de spire al unei bobine, iar  $\theta_e$  este solenația bobinei considerate. În acest caz inducția magnetică din întrefier se calculează cu relația:

$$b(\alpha_r) = \mu_0 v(\alpha_r) / \delta(\alpha_r). \quad (2.26)$$

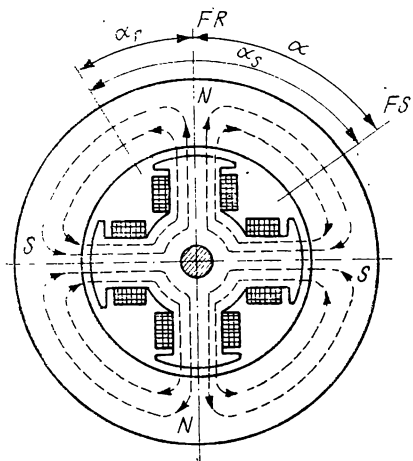


Fig. 2.8. Roată polară și sistemele de referință FR și FS.

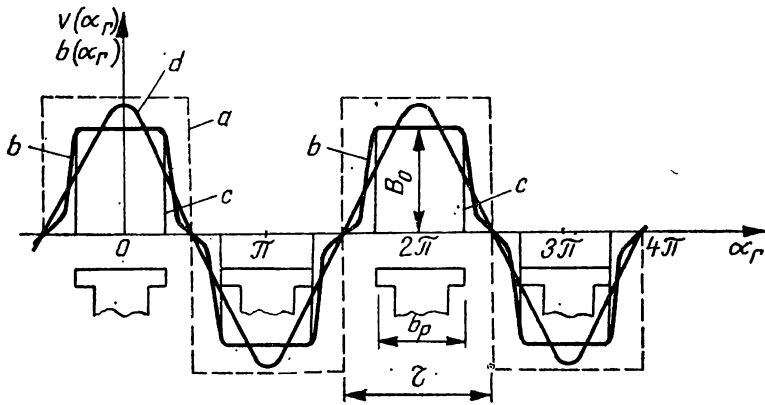


Fig. 2.9. Variația t.m.  $v(\alpha_r)$  (a); variația inducției magnetice  $b(\alpha_r)$  (b); variația inducției  $b(\alpha_r)$  idealizată (c); armonica fundamentală a inducției magnetice  $b(\alpha_r)$  (d).

Cu ajutorul relației (2.26) se obține variația inducției magnetice din întrefier funcție de unghiul  $\alpha_r$ , măsurat în sistemul de referință fix față de de rotor. Întrefierul sub talpa polară se consideră constant.

În figura 2.9 se reprezintă variația inducției magnetice, atât curba reală (b) cât și curba idealizată (c). Coeficientul de acoperire polar se definește ca fiind raportul:  $\alpha_p = b_p/\tau$ .

Descompunând în serie Fourier curba idealizată a inducției magnetice, cu relațiile cunoscute, se obține amplitudinea armonicilor de ordinul  $v$ :

$$B_{mv} = \frac{2p}{\pi} \int_{-\frac{\pi}{2p}\alpha_p}^{\frac{\pi}{2p}\alpha_p} b(\alpha_r) \cos p v \alpha_r d\alpha_r = \frac{2}{\pi} \int_{-\frac{\pi}{2}\alpha_p}^{\frac{\pi}{2}\alpha_p} B_0 \cos v \theta_r d\theta_r = k_{fv} B_0 \quad (2.27)$$

unde  $k_{fv} = \frac{4}{\pi v} \sin v \frac{\pi \alpha_p}{2}$  se numește coeficientul de formă al cîmpului de excitație pentru armonica  $v$ .

Acest coeficient reprezintă raportul dintre amplitudinea armonicilor  $v$  a inducției din întrefier  $B_{mv}$  și inducția magnetică  $B_0$  din axa polului ( $k_{fv} = B_{mv}/B_0$ ). Pentru fundamentală se obține:  $B_{m1} = k_{f1} B_0$ ;  $k_{f1} = \frac{4}{\pi} \sin \frac{\pi \alpha_p}{2}$ . În sistemul de referință considerat (FR) armonica de ordinul  $v$  se scrie:

$$b_v(\theta_r) = B_0 k_{fv} \cos v \theta_r = B_{mv} \cos v \theta_r, \quad (2.28)$$

în particular pentru fundamentală se obține:

$$b_1(\theta_r) = B_0 k_{f1} \cos \theta_r = B_{m1} \cos \theta_r. \quad (2.29)$$

Din figura 2.8 rezultă:  $\alpha_s = \alpha + \alpha_r$ , unde  $\alpha = \Omega t$ . Cu aceste relații armonica  $v$  a inducției magnetice (2.28) se poate transcrie în sistemul de referință fix față de stator (F.S.), adică:

$$b_v(\alpha_s, t) = B_0 k_{fv} \cos p v (\alpha_s - \Omega t) = B_0 k_{fv} \cos [v (\theta_s - \omega t)], \quad (2.30)$$

unde  $\omega = p \Omega$ . În cazul particular al fundamentalei se obține:

$$b_1(\alpha_s, t) = B_0 k_{f1} \cos (p \alpha_s - \omega t). \quad (2.31)$$

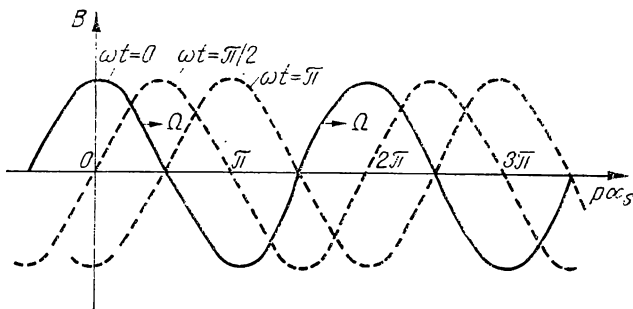


Fig. 2.10. Unda învîrtitoare a inducției magnetice la diferite momente ( $\nu = 1$ ).

Cîmpul magnetic de forma (2.30) respectiv (2.31) este denumit cîmp magnetic învîrtitor. Observatorul din sistemul de referință fix față de stator constată că în timp prin fața sa se perindă alternativ polii nord și sud. Valoarea maximă pozitivă a inducției magnetice armonice fundamentale se regăsește în orice moment în axa unui pol nord al inductorului. În momente diferite această valoare maximă se regăsește în puncte diferite la periferia interioară a statorului, pe măsură ce polul nord considerat se rotește. Totul se întîmplă ca și cum unda cosinusoidală a variației în spațiu a inducției magnetice-armonice fundamentale s-ar deplasa la periferia statorului cu viteza unghiulară  $\Omega$ .

Observatorul din sistemul de referință fix față de rotor (F.R.) constată că această cosinusoidă este fixă în spațiu.

Cîmpul magnetic învîrtitor diferă esențial de cîmpul magnetic cosinusoidal în timp și spațiu. Cîmpul magnetic învîrtitor se poate asocia undelor plane progresive, iar cîmpul magnetic cosinusoidal în timp și spațiu se asociază undelor staționare.

În figura 2.10 se indică poziția armonicilor fundamentale a inducției magnetice învîrtitoare la diferite momente de timp.

Pentru ca inducția magnetică din întrefier să fie mai apropiată de o sinusoidă este necesar să se reducă amplitudinile armonicilor de ordin superior  $\nu > 1$ . În acest scop talpa polară se realizează astfel încît întrefierul să crească spre marginea ei. Cum tensiunea magnetică sub talpa polară este practic constantă (2.25), rezultă că sub talpa polară întrefierul trebuie să varieze conform relației  $\delta(\alpha_r) = \delta_0 / \cos \phi \alpha_r$  și atunci inducția magnetică variază cosinusoidal sub talpa polară, adică  $b(\alpha_r) = \mu_0 v / \delta(\alpha_r) = \mu_0 v (\cos \phi \alpha_r) / \delta_0 = B_0 \cos \phi \alpha_r$ ;  $B_0$  reprezintă inducția magnetică în axa polului, iar  $\alpha_r$  se măsoară de la axa polului (fig. 2.11). Dacă se neglijează cîmpul magnetic în afara tălpilor polare atunci coeficientul de formă este:

$$k_{fv} = \frac{2}{\pi} \left\{ \frac{\sin [(\nu - 1) \alpha_p \pi / 2]}{\nu - 1} + \frac{\sin [(\nu + 1) \alpha_p \pi / 2]}{\nu + 1} \right\}. \quad (2.32)$$

În situația cînd trecerea de la grosimea  $\delta_0$  la  $\delta_1$  se face prin arce de cerc (fig. 2.12), situație des întîlnită în practică, calculul coeficienților de formă  $k_{fv}$  este mai complicat și acești factori se dau sub formă de curbe (fig. 2.13).

Un cîmp magnetic cu totul asemănător se poate realiza și printr-o altă formă constructivă a armăturii rotorice, așa cum se indică în figura 2.14.

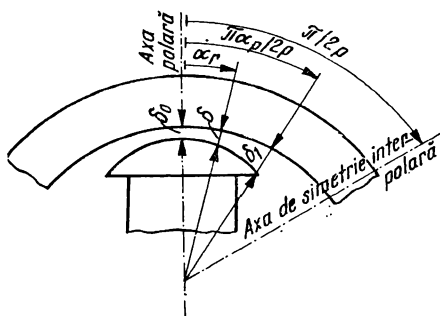


Fig. 2.11. Variația întrefierului sub talpa polară în scopul obținerii unui câmp magnetic cu variație sinusoidală în spațiu.

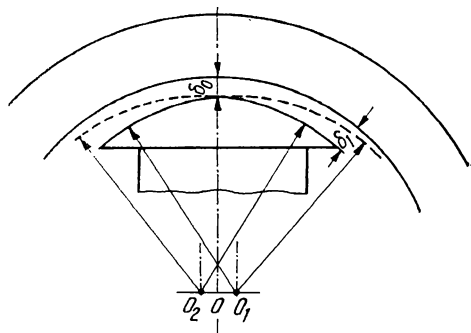


Fig. 2.12. Întrefier variabil sub talpa polară realizat prin arce de cerc excentrice.

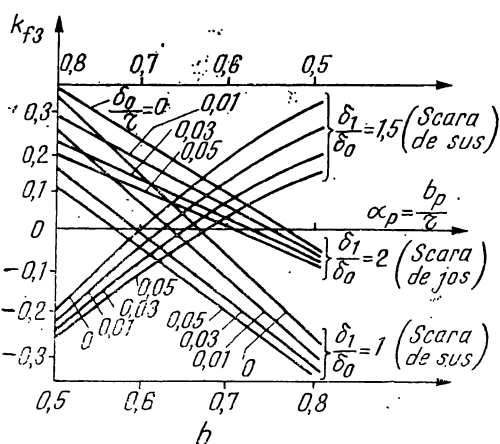
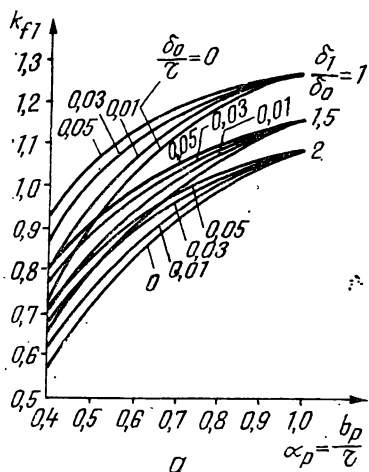
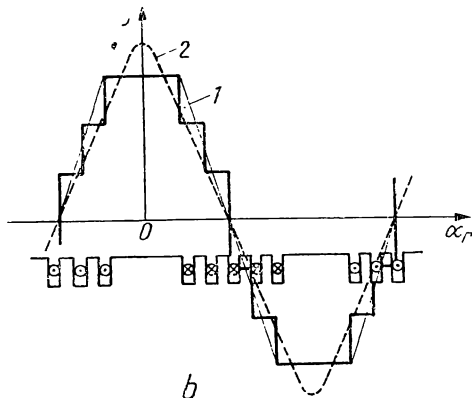
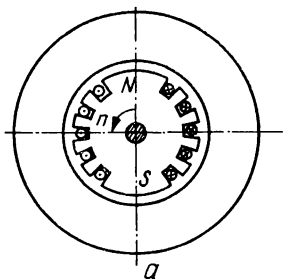


Fig. 2.13. Coeficientul de formă  $k_{f1}$  funcție de  $a_p$  pentru  $\frac{\delta_1}{\delta_0} = \text{const.}$  și  $\frac{\delta_0}{\tau} = \text{const.}$  (a);  
coeficientul de forma  $k_{f3}$  funcție de  $\alpha_p$  pentru  $\frac{\delta_1}{\delta_0} = \text{const.}$  și  $\frac{\delta_0}{\tau} = \text{const.}$  (b).

Fig. 2.14. Armătura rotorică cu poli încați (a); variația inducției magnetice în întrefier (b): 1 — aproximația trapezoidală; 2 — fundamentala.





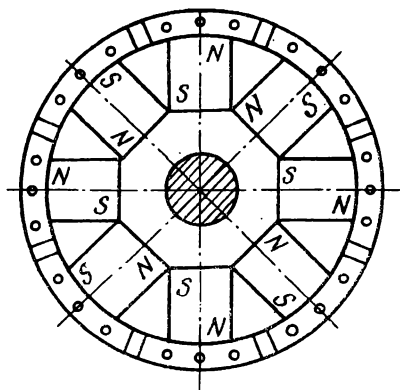


Fig. 2.15. Roată polară cu magneți permanenți.

Ca și la mașina cu poli aparenti se calculează coeficientul de formă pentru armonica de ordinul  $v$ . La variația trapezoidală a inducției magnetice în întrefier (linia plină în fig. 2.14, b) se obține factorul de formă  $k_f$ :

$$k_{fv} = \frac{8}{\pi^2 v^2} \cdot \frac{\cos(v \alpha_p \pi/2)}{1 - \alpha_p}; \quad b_v(\alpha_r) = B_0 k_{fv} \cos(p v \alpha_r). \quad (2.33)$$

Se precizează că pentru observatorul din sistemul de referință fix față de stator toate armonicile se rotesc cu aceeași viteză unghiulară  $\Omega$ . Câmpul magnetic învîrtitor se poate obține și prin montarea pe roata polară a magnetilor permanenți în locul polilor cu înfășurări de excitație (fig.2.15).

## 2.7. CÎMPUL MAGNETIC ÎNVÎRTITOR PRODUS DE UN SISTEM TRIFAZAT DE CURENȚI CARE PARCURG UN SISTEM TRIFAZAT DE ÎNFĂȘURĂRI

Un câmp magnetic învîrtitor poate fi produs nu numai cu ajutorul unei armături mobile cu poli de excitație în curent continuu ci și cu ajutorul

unei armături fixe în spațiu posedînd o înfășurare trifazată simetrică parcursă de curenți trifazați formînd un sistem simetric. Acest fapt important a condus la inventarea unor tipuri de mașini de curent alternativ simple și robuste.

În figura 2.16 este schițat un stator cu  $2p = 2$  poli posedînd trei înfășurări de fază identice ca număr de spire  $w_1$  și ca număr de creștături ocupate, legate în stea sau în triunghi și alimentate de la o rețea trifazată de curent alternativ. În interiorul statorului se află rotorul.

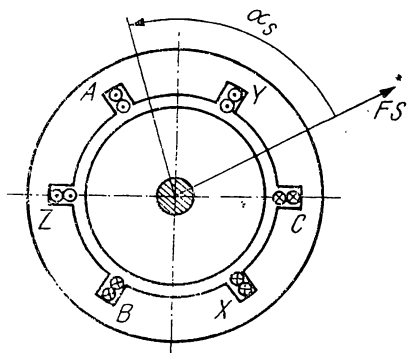


Fig. 2.16. Schița mașinii electrice cu înfășurare trifazată.

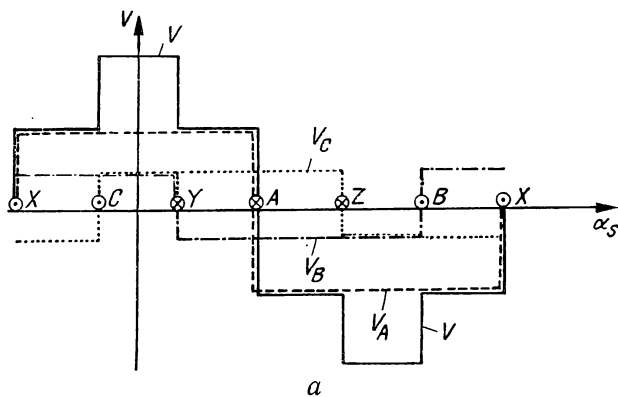
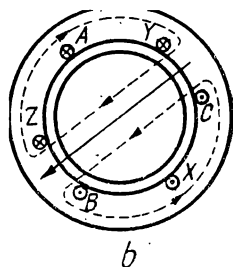


Fig. 2.17. Variația în spațiu a t.m.  $V_A$ ,  $V_B$ ,  $V_C$  și a t.m. rezultante  $v$  pentru  $\omega t = 0$  (a); axa cîmpului magnetic rezultat pentru  $\omega t = 0$  (b).



Cele trei înfășurări monofazate, ocupă fiecare câte o treime din creșturile armăturii. Axele magnetice ale celor trei înfășurări sînt decalate cu unghiul geometric  $\frac{2\pi}{3p}$ . Începuturile acestor înfășurări sînt  $A, B, C$ , iar sfîrșiturile  $X, Y, Z$ . Succesiunea celor trei înfășurări la periferia statorului este inversă sensului de rotație al acelor ceasornicului.

Curenții prin cele trei înfășurări de fază sînt:

$$\begin{aligned} i_A &= \sqrt{2} I \cos \omega t; \quad i_B = \sqrt{2} I \cos \left( \omega t - \frac{2\pi}{3} \right); \\ i_C &= \sqrt{2} I \cos \left( \omega t - \frac{4\pi}{3} \right). \end{aligned} \quad (2.34)$$

În aceste condiții se pune problema să se calculeze t.m. dintre stator și rotor produsă de ansamblul celor trei înfășurări de fază parcurse de curenții de mai sus. Pentru a stabili calitativ variația în timp și spațiu a tensiunii magnetice se vor considera cîteva momente succesive  $\omega t \in \left[ 0; \frac{\pi}{2} \right]$ .

Pentru simplitate se presupune  $q = 1$  și  $p = 1$ . În figura 2.17, a, s-au reprezentat tensiunile magnetice  $v_A, v_B, v_C$  ale celor trei înfășurări și tensiunea magnetică rezultantă  $v$  pentru  $\omega t = 0$ , în care caz curenții au valorile  $i_A = \sqrt{2} I$ ;  $i_B = -\frac{\sqrt{2}}{2} I$ ;  $i_C = -\frac{\sqrt{2}}{2} I$ . În figura 2.17, b este indicată axa cîmpului magnetic la momentul respectiv.

În figura 2.18, a s-a reprezentat t.m. rezultantă, precum și tensiunile magnetice  $v_A, v_B, v_C$ , la momentul  $\omega t = \frac{\pi}{2}$ , iar în figura 2.18, b s-a indicat axa cîmpului magnetic pentru același moment.

Analizînd t.m. rezultantă în diferitele momente succesive, aceasta pare a se deplasa la periferia interioară a statorului în sensul succesiunii în spațiu a înfășurărilor  $AX, BY, CZ$  și prezintă și o variație de formă. T.m. rezultantă este mai apropiată de o cosinusoidă decît t.m.  $v_A, v_B, v_C$ ; aceasta înseamnă că anumite armonici de ordin superior sînt înăbușite sau micșorate în cazul înfășurării trifazate. Variația în spațiu a t.m. rezultante

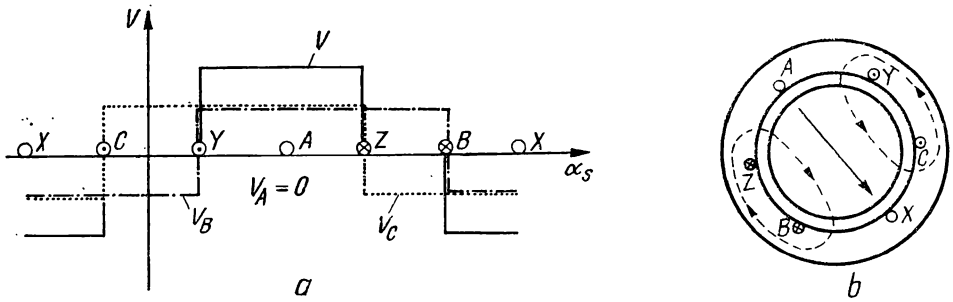


Fig. 2.18. Variația în spațiu a t.m.  $V_A$ ,  $V_B$ ,  $V_C$  și a t.m. rezultate  $v$  pentru  $\omega t = \frac{\pi}{2}$  (a); axa cîmpului magnetic resultant pentru  $\omega t = \frac{\pi}{2}$  (b).

are aceeași formă fie că întrefierul este uniform fie că întrefierul îndeplinește condiția

$$\delta(\alpha_s) = \delta\left(\alpha_s + \frac{\pi}{p}\right).$$

În continuare se va calcula expresia analitică a t.m. rezultante pe armonici.

Pentru armonica de ordinul  $\nu$  se obține:

$$v_\nu = v_{A\nu} + v_{B\nu} + v_{C\nu} \quad (2.35)$$

unde

$$\begin{aligned} v_{A\nu} &= \frac{2\sqrt{2}(-1)^{\frac{\nu-1}{2}}}{\pi\nu} w_1 k_{w\nu} \cos \omega t \cos p\nu \alpha_s = V_{m\nu} \cos \omega t \cos p\nu \alpha_s; \\ v_{B\nu} &= V_{m\nu} \cos\left(\omega t - \frac{2\pi}{3}\right) \cos p\nu\left(\alpha_s - \frac{2\pi}{3p}\right) \\ v_{C\nu} &= V_{m\nu} \cos\left(\omega t - \frac{4\pi}{3}\right) \cos p\nu\left(\alpha_s - \frac{4\pi}{3p}\right). \end{aligned} \quad (2.36)$$

Pentru efectuarea sumei (2.35) se va exprima t.m. a fazelor sub altă formă pe baza unei identități trigonometrice cunoscute:

$$\begin{aligned} v_\nu &= \frac{1}{2} V_{m\nu} \left\{ \cos(\omega t - \nu \theta_s) + \cos(\omega t + \nu \theta_s) + \right. \\ &+ \cos\left[\omega t - \nu \theta_s + (\nu - 1) \frac{2\pi}{3}\right] + \cos\left[\omega t + \nu \theta_s - (\nu - 1) \frac{2\pi}{3}\right] + \\ &+ \cos\left[\omega t - \nu \theta_s + (\nu - 1) \frac{4\pi}{3}\right] + \cos\left[\omega t + \nu \theta_s - (\nu + 1) \frac{4\pi}{3}\right] \Big\}. \end{aligned} \quad (2.37)$$

Pentru armonicile de tipul  $\nu = 3(2k + 1)$  t.m. rezultantă este zero, fapt care se verifică imediat cu relația (2.37). În mașina trifazată t.m. rezultantă nu conține armonica 3, care este cea mai importantă ca mărime

după fundamentală în tensiunea magnetică de fază și de asemenea armonicile multiplu de trei nu sînt conținute în tensiunea magnetică rezultantă.

Pentru armonicile de tipul  $v = 6k - 1$ ,  $k = 1, 2, \dots$ , t.m. rezultantă are expresia :

$$v_v = \frac{3}{2} V_{mv} \cos (\omega t + p v \alpha_s). \quad (2.38)$$

Prin urmare armonicile 5, 11, 17, ... sînt t.m. învîrtitoare avînd amplitudinea  $\frac{3}{2} V_{mv}$ . Fiind o undă învîrtitoare amplitudinea acestei tensiuni magnetice trebuie să fie regăsită după intervalul de timp  $\Delta t$  în punctul  $\alpha_s + \Delta \alpha_s$ , adică :

$$\frac{3}{2} V_{mv} \cos (\omega t + p v \alpha_s) = \frac{3}{2} V_{mv} \cos [\omega (t + \Delta t) + p v (\alpha_s + \Delta \alpha_s)],$$

sau

$$\omega \Delta t + v p \Delta \alpha_s = 0.$$

La limită obținem expresia vitezei unghiulare

$$\lim_{\Delta t \rightarrow 0} \frac{\Delta \alpha_s}{\Delta t} = \Omega_v = - \frac{\omega}{p v}. \quad (2.39)$$

Se constată că aceste armonici ale t.m. rezultante se rotesc cu viteze unghiulare invers proporționale cu ordinul armonicii și în sens contrar succesiunii în spațiu a fazelor.

Pentru armonicile de tipul  $v = 6k + 1$ , adică armonicile 1, 7, 13, ... ..t.m. rezultantă are expresia :

$$v_v = \frac{3}{2} V_{mv} \cos (\omega t - p v \alpha_s). \quad (2.40)$$

Determinînd viteza unghiulară în același mod se obține:  $\Omega_v = \frac{\omega}{p v}$ ,

adică viteza este invers proporțională cu ordinul armonicii, însă aceste armonici se rotesc în sensul succesiunii în spațiu a fazelor. Fundamentală intră în cadrul acestor tipuri de armonici pentru  $k = 0$ . În continuare se va analiza armonica fundamentală a t.m. rezultante:

$$v_1 = \frac{3}{2} V_m \cos (\omega t - p \alpha_s). \quad (2.41)$$

După cum se constată t.m. de armonică fundamentală se rotește în sensul succesiunii în spațiu a fazelor și are viteza unghiulară cea mai mare posibilă:  $\Omega_1 = \Omega = \omega/p$ ; cum  $\Omega = 2\pi n_1$ , iar  $\omega = 2\pi f$  rezultă:  $n_1 = f/p$  [rot/s],  $n_1$  este turația cîmpului magnetic învîrtitor care se exprimă în rot/s sau rot/min. Dacă frecvența are valoarea industrială  $f = 50$  Hz atunci viteza de rotație a t.m. rezultante învîrtitoare exprimată în rot/min va fi dată de relația:  $n_1 = 3000/p$  rot/min.

Se constată că viteza t.m. învîrtitoare denumită *viteză de sincronism* nu poate varia decît în trepte funcție de numărul  $p$  de perechi de poli ai înfășurării trifazate, pentru o frecvență dată. În plus viteza  $n$  de rotație nu poate fi mai mare de 3000 rot/min dacă  $f = 50$  Hz. În tabelul 2.3 sînt indicate valorile vitezei de rotație ale cîmpului magnetic  $n$  în funcție de numărul  $p$ , pentru  $v = 1, 5, 7$ .

TABELUL 2.3. Vitezele de sincronism în rot/min ale fundamentalei ( $\nu = 1$ ) și ale armonicilor 5 și 7 la  $f_1 = 50$  Hz

$p$	1	2	3	4	5	6
$\nu = 1$	3 000	1 500	1 000	750	600	500
$\nu = 5$	600	300	200	150	120	100
$\nu = 7$	428,5	214,2	142,8	107,1	85,7	71,4

Se constată că viteza de rotație sincronă, pentru armonica  $\nu$ , este funcție numai de pulsația  $\omega$  a tensiunii de alimentare și de numărul de perechi de poli  $p$  ai înfășurărilor de fază. Amplitudinea t.m. rezultante a armonicii fundamentale reprezintă  $3/2$  [din amplitudinea t.m. a armonicii fundamentale produsă de înfășurarea de fază].

T.m. învîrtitoare a armonicii fundamentale se suprapune peste t.m. cosinusoidală în timp și spațiu a armonicii fundamentale a unei faze în momentul în care în faza respectivă curentul are valoarea maximă pozitivă. Astfel pentru  $\omega t = 0$  curentul din faza  $AX$  are valoarea  $i_A = \sqrt{2} I = I_m$ , iar t.m. a acestei faze va fi:  $v_A = V_m \cos p \alpha_s$ . Pentru t.m. învîrtitoare rezultă  $v = \frac{3}{2} V_m \cos p \alpha_s$ .

Adică variația în spațiu, la momentul respectiv, a celor două t.m. este aceeași, doar amplitudinile lor diferă.

În momentul  $\omega t = \frac{2\pi}{3}$ , curentul din faza  $BY$  este maxim  $i_B = I_m$  și tensiunea magnetică a înfășurării de fază va fi:  $v_B = V_m \cos \left( p \alpha_s - \frac{2\pi}{3} \right)$ .

În același moment t.m. învîrtitoare devine  $v = \frac{3}{2} V_m \cos \left( p \alpha_s - \frac{2\pi}{3} \right)$ .

În momentul  $\omega t = \frac{4\pi}{3}$  curentul din faza  $CZ$  este [maxim,  $i_C = I_m$ , similar se obține t.m. de fază  $v_C = V_m \cos \left( p \alpha_s - \frac{4\pi}{3} \right)$  și t.m. învîrtitoare  $v = \frac{3}{2} V_m \cos \left( p \alpha_s - \frac{4\pi}{3} \right)$ . Rezultatele de mai sus sînt ilustrate în figura 2.19. Deci cu ajutorul înfășurărilor de curent alternativ trifazate (sau

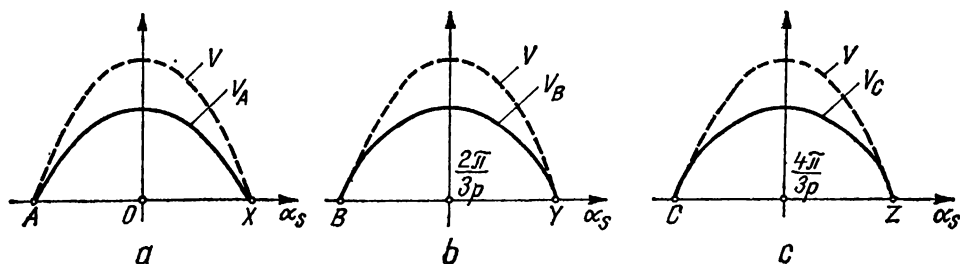


Fig. 2.19. T.m. rezultantă învîrtitoare și t.m. de fază în momentele:

a)  $\omega t = 0$ ; b)  $\omega t = \frac{2\pi}{3}$ ; c)  $\omega t = \frac{4\pi}{3}$ .

polifazate) parcurse de curenți simetrici trifazați (sau polifazați) se pot realiza câmpuri magnetice învîrtitoare, similare cu cele produse de armătura rotitoare.

Pentru  $m = 2$ , câmpul magnetic învîrtitor este produs de două înfășurări ortogonale (decalate în spațiu cu  $90^\circ$  electrice) avînd aceleași caracteristici și parcurse de curenții  $i_1 = I \sqrt{2} \cos \omega t$  respectiv  $i_2 = I \sqrt{2} \cos \left( \omega t - \frac{\pi}{2} \right)$ . Tensiunile magnetice de ordinul  $\nu$  se pot scrie sub forma:

$$\begin{aligned} v_{1\nu} &= V_{m\nu} \cos \nu p \alpha_s \cos \omega t; \\ v_{2\nu} &= V_{m\nu} \cos \nu p \left( \alpha_s - \frac{\pi}{2p} \right) \cdot \cos \left( \omega t - \frac{\pi}{2} \right) \end{aligned} \quad (2.42)$$

tensiunea magnetică rezultantă este:

$$\begin{aligned} v_\nu &= v_{1\nu} + v_{2\nu} = \frac{V_{m\nu}}{2} \left\{ \cos (\omega t + p \nu \alpha_s) + \cos (\omega t - p \nu \alpha_s) + \right. \\ &\left. + \cos \left[ \nu p \alpha_s + \omega t - (\nu + 1) \frac{\pi}{2} \right] + \cos \left[ \omega t - p \nu \alpha_s + (\nu - 1) \frac{\pi}{2} \right] \right\} \end{aligned} \quad (2.43)$$

pentru  $\nu = 4k - 1$  rezultă  $v_\nu = V_{m\nu} \cos (\omega t + p \nu \alpha_s)$ ; pentru  $\nu = 4k + 1$  rezultă  $v_\nu = V_{m\nu} \cos (\omega t - p \nu \alpha_s)$ . Ultimele tipuri de armonici ( $\nu = 4k + 1$ ) conțin și fundamentală ( $k = 0$ ) care are expresia  $v = V_m \cos (\omega t - p \alpha_s)$ . Acest sistem de înfășurări produce un câmp magnetic care conține toate armonicile de ordin impar care sînt conținute în fiecare t.m.  $v_1, v_2$ , adică nu prezintă avantajul înfășurării trifazate care anulează armonicile de ordinul  $3k$ .

Câmp magnetic învîrtitor se poate obține și cu o înfășurare  $m$  — fazată parcursă de curenții:

$$\begin{aligned} i_1 &= \sqrt{2} I \cos \omega t; \quad i_2 = \sqrt{2} I \cos \left( \omega t - \frac{2\pi}{m} \right); \dots; \\ i_m &= I \sqrt{2} \cos \left( \omega t - 2\pi \frac{m-1}{m} \right) \end{aligned} \quad (2.44)$$

în ipoteza că două înfășurări succesive sînt decalate în spațiu cu unghiul electric  $\frac{2\pi}{m}$ , iar înfășurările au aceleași caracteristici. După efectuarea calculelor se obține:

$$\begin{aligned} v_\nu &= \frac{m V_{m\nu}}{2} \cos (\omega t - p \nu \alpha_s), \quad \nu = 2mk + 1; \\ v_\nu &= \frac{m V_{m\nu}}{2} \cos (\omega t + p \nu \alpha_s), \quad \nu = 2mk - 1. \end{aligned}$$

Pentru fundamentală t.m. se obține

$$v = \frac{m V_m}{2} \cos (\omega t - p \alpha_s), \quad V_m = V_1 I \sqrt{2}$$

Armonicile de ordinul  $mk$  sînt anulate la acest sistem de înfășurare. Prin particularizarea relațiilor precedente se obțin rezultatele de la înfășurarea bifazată ( $m = 2$ ) și de la înfășurarea trifazată ( $m = 3$ ).

## 2.8. CORELAȚIA ÎNTRE TENSIUNEA MAGNETICĂ REZULTANTĂ ȘI CURENTUL REPREZENTATIV

Pentru a se stabili relația între tensiunea magnetică rezultantă a unei înfășurări trifazate și curentul reprezentativ se vor considera numai fundamentalele tensiunilor magnetice corespunzătoare înfășurărilor monofazate  $AX$ ;  $BY$ ;  $CZ$ :

$$\begin{aligned}v_A &= V_1 i_A \cos \theta_s \\v_B &= V_1 i_B \cos \left( \theta_s - \frac{2\pi}{3} \right) \\v_C &= V_1 i_C \cos \left( \theta_s - \frac{4\pi}{3} \right).\end{aligned}\tag{2.45}$$

Tensiunea magnetică rezultantă se poate pune sub forma:

$$\begin{aligned}v &= V_1 \left[ i_A \cos \theta_s + i_B \cos \left( \theta_s - \frac{2\pi}{3} \right) + i_C \cos \left( \theta_s - \frac{4\pi}{3} \right) \right] = \\&= \frac{3}{2} V_1 \operatorname{Re} \frac{2}{3} \left[ i_A e^{-j\theta_s} + i_B e^{-j\left(\theta_s - \frac{2\pi}{3}\right)} + i_C e^{-j\left(\theta_s - \frac{4\pi}{3}\right)} \right] = \\&= \frac{3}{2} V_1 \operatorname{Re} \left[ e^{-j\theta_s} \cdot \frac{2}{3} (i_A + i_B a + i_C a^2) \right] = \frac{3}{2} V_1 \operatorname{Re} \left[ i_s e^{-j\theta_s} \right],\end{aligned}$$

unde  $a = e^{-j\frac{2\pi}{3}}$ ;  $V_1 = \frac{2}{\pi p} \cdot w k_w$ ;  $k_w = k_q \cdot k_s$ .

Mărimea complexă instantanee

$$i_s = \frac{2}{3} (i_A + a i_B + a^2 i_C)\tag{2.46}$$

se numește fazorul curent reprezentativ și prezintă importanță în teoria unitară a mașinilor electrice trifazate. Acest fazor s-a definit în sistemul de referință fix față de stator. Dacă se scriu tensiunile magnetice (2.45) în sistemul de referință fix față de rotor, cu observația că  $\theta_s = \theta + \theta_r$ , se obține:

$$\begin{aligned}v &= \frac{3}{2} V_1 \operatorname{Re} \left[ i_s e^{-j(\theta_r + \theta)} \right] = \frac{3}{2} V_1 \operatorname{Re} \left[ i_s e^{-j\theta} \cdot e^{-j\theta_r} \right] = \\&= V \frac{3}{2} \operatorname{Re} \left[ i_R e^{-j\theta_r} \right],\end{aligned}\tag{2.47}$$

unde  $i_R = i_s e^{-j\theta}$ .

Fazorul  $i_R$  este curentul reprezentativ  $i_s$  scris în sistemul de referință fix față de rotor; în același mod acest fazor poate fi transcris în orice sistem de referință. Astfel dacă se consideră un alt sistem de referință notat cu  $k$ , care formează unghiul  $\lambda = \theta_k - \theta$ , cu sistemul F.R. atunci fazorul curent reprezentativ  $i_R$  în noul sistem de referință va fi:

$$i_K = i_R e^{-j\lambda} = i_R e^{-j(\theta_k - \theta)}.\tag{2.48}$$

În figura 2.20 se indică sistemele de referință și unghiurile corespunzătoare. Dacă expresia curentului reprezentativ este cunoscută în sistemul de referință  $K$ , atunci poate fi calculat și în alt sistem de referință, de exemplu în sistemul de referință fix față de rotor va fi:

$$i_R = i_K e^{-j(\theta - \theta_K)} \quad (2.49)$$

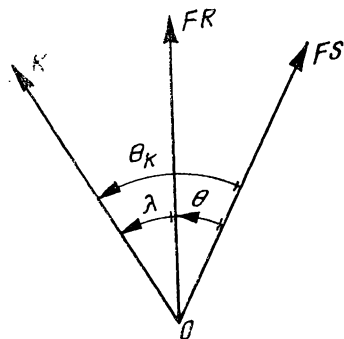


Fig. 2.20. Sisteme de referință.

Un prim avantaj al utilizării fazorului curent reprezentativ constă în aceea că poate caracteriza o înfășurare trifazată simetrică conducând la o singură ecuație pentru această înfășurare.

Dacă curenții satisfac relația:  $i_A + i_B + i_C = 3 i_0$ , atunci se poate scrie:  $i_A - i_0 + i_B - i_0 + i_C - i_0 = 0$  sau  $i'_A + i'_B + i'_C = 0$  unde  $i'_A = i_A - i_0$ ;  $i'_B = i_B - i_0$ ;  $i'_C = i_C - i_0$ .

În acest caz curentul reprezentativ al celor două sisteme de curenți este același, adică:

$$i'_s = \frac{2}{3} (i'_A + a i'_B + a^2 i'_C) = \frac{2}{3} (i_A + a i_B + a^2 i_C) = i_s$$

deci curentul reprezentativ este independent de curentul  $i_0$ , care este o funcție oarecare de timp. Se mai constată că dacă curentul  $i_0 = 0$  și se dă curentul reprezentativ, atunci curenții  $i_A, i_B, i_C$  se determină cu relațiile:

$$i_A = \text{Re} [i_s] = \frac{2}{3} \left( i_A - \frac{i_B + i_C}{2} \right) = i_A$$

$$i_B = \text{Re} [a^2 i_s]; \quad i_C = \text{Re} [a i_s]. \quad (2.50)$$

Curenții  $i_s$  și  $i_0$  caracterizează complet un sistem trifazat de curenți. Deoarece curentul  $i_0$  rămâne același la orice transformare de curenți, iar la sistemele trifazate fără fir neutru  $i_0 = 0$  atunci de cele mai multe ori nu se mai scrie ecuația referitoare la curentul  $i_0$ , ecuație care este aceeași la orice transformare de curenți, altfel spus ecuația este aceeași în orice sistem de coordonate. Un alt avantaj al curentului reprezentativ constă în faptul că trecerea acestui curent dintr-un sistem de referință în alt sistem de referință se face prin relații simple ușor de determinat.

Curentul reprezentativ se poate construi și pentru armonicile spațiale de ordinul  $v$  ale t.m. rezultante, astfel:

$$v_{Av} = V_{mv} i_A \cos v \theta_s, \quad v_{Ev} = V_{mv} i_B \cos v \left( \theta_s - \frac{2\pi}{3} \right);$$

$$v_{Cv} = V_{mv} i_C \cos v \left( \theta_s - \frac{4\pi}{3} \right). \quad (2.51)$$



Tensiunea magnetică rezultantă pentru armonica de ordinul  $\nu$  se va scrie:

$$\begin{aligned} v_\nu &= v_{A\nu} + v_{B\nu} + v_{C\nu} = \frac{3}{2} V_{m\nu} \operatorname{Re} \frac{2}{3} \left\{ i_A e^{-j\nu\theta_s} + i_B a^\nu e^{-j\nu\theta_s} + \right. \\ &\quad \left. + i_C a^{2\nu} e^{-j\nu\theta_s} \right\} = \frac{3}{2} V_{m\nu} \operatorname{Re} \left[ i_{s\nu} e^{-j\nu\theta_s} \right] = \\ &= \frac{3}{4} V_{m\nu} \left[ i_{s\nu} e^{-j\nu\theta_s} + (i_{s\nu} e^{-j\nu\theta_s})^* \right] \end{aligned} \quad (2.52)$$

unde  $i_{s\nu} = \frac{2}{3} (i_A + a^\nu i_B + a^{2\nu} i_C)$  este curentul reprezentativ pentru armonica de ordinul  $\nu$  scrisă în sistemul de referință (FS).

Dacă  $\nu = 3k$ ,  $k \in N$ , atunci  $i_{s\nu} = \frac{2}{3} (i_A + i_B + i_C) = 2i_0$ , adică curentul reprezentativ corespunde sistemului homopolar. Dacă  $\nu = 6k+1$ ,  $k \in N$ , atunci  $i_{s\nu} = \frac{2}{3} (i_A + a i_B + a^2 i_C) = i_s$ , adică aceste armonici care includ și fundamentala, depind de curentul  $i_s$ . În regim permanent aceste armonici se rotesc în același sens cu fundamentala dar cu viteza diferită. Dacă  $\nu = 6k-1$ ,  $k \in N - \{0\}$ , atunci  $i_{s\nu} = \frac{2}{3} (i_A + a^2 i_B + a i_C) = i_s^*$ , adică aceste armonici depind de curentul reprezentativ conjugat  $i_s^*$ ; în regim permanent aceste armonici se rotesc cu viteze diferite în sens contrar fundamentalei.

În cazul în care mașina are  $m$  faze și oricare două faze succesive sînt decalate spațial cu unghiul electric  $2\pi/m$ ; t.m. rezultantă are următoarea expresie:

$$\begin{aligned} v(\theta_s, t) &= V_m i_1 \cos \theta_s + \dots + V_m i_m \cos \left( \theta_s - \frac{m-1}{m} 2\pi \right) = \\ &= \operatorname{Re} \left[ V_m \frac{m}{2} i_s e^{-j\theta_s} \right] = \frac{mV_m}{4} \left[ i_s e^{-j\theta_s} + (i_s e^{-j\theta_s})^* \right] \end{aligned} \quad (2.53)$$

unde curentul reprezentativ  $i_s = \frac{2}{m} (i_1 + b i_2 + \dots + b^{m-1} i_m)$ ;  $b = e^{j\frac{2\pi}{m}}$ .

Se pot stabili relații similare și pentru armonici.

Trecerea dintr-un sistem de referință în alt sistem de referință se face în același mod, oricare ar fi  $m$ .

## 2.9. SISTEME DE COORDONATE

Cu ajutorul curentului reprezentativ se pot defini sistemele de coordonate utilizate în teoria mașinilor electrice.

a) *Sistemul de coordonate  $\alpha, \beta, 0$ .* Acest sistem de coordonate este definit de curentul reprezentativ  $i_s$  scris în sistemul de referință fix față de stator și de curentul  $i_0$ .

Curentul reprezentativ fiind o mărime complexă se poate scrie

$$i_s = i_\alpha + j i_\beta \quad (2.54)$$

adică

$$i_\alpha = \operatorname{Re} [i_s] = \frac{2}{3} \left[ i_A - \frac{i_B + i_C}{2} \right]; \quad i_\beta = \operatorname{Im} [i_s] = \frac{1}{\sqrt{3}} (i_B - i_C);$$

$i_0 = \frac{1}{3} (i_A + i_B + i_C)$  unde s-a adăugat și relația pentru curentul  $i_0$ . Aceste relații pot fi scrise sub formă matricială, astfel:

$$\begin{bmatrix} i_0 \\ i_\alpha \\ i_\beta \end{bmatrix} = \begin{bmatrix} \frac{1}{3} & \frac{1}{3} & \frac{1}{3} \\ \frac{2}{3} & -\frac{1}{3} & -\frac{1}{3} \\ 0 & \frac{1}{\sqrt{3}} & -\frac{1}{\sqrt{3}} \end{bmatrix} \cdot \begin{bmatrix} i_A \\ i_B \\ i_C \end{bmatrix} \quad (2.55)$$

sau sub formă restrînsă:  $[i_{0,\alpha,\beta}] = [C'] \cdot [i_{ABC}]$ .

Dacă se consideră înfășurarea trifazată cu axele magnetice ale celor trei înfășurări monofazate și planul complex a cărui axă reală coincide cu axa magnetică a înfășurării  $AX$ , atunci axa reală și axa imaginară din planul complex constituie axele sistemului de coordonate  $(\alpha, \beta, 0)$ . În figura 2.21 este reprezentat sistemul de coordonate  $(\alpha, \beta, 0)$ . Relațiile (2.55) pot fi interpretate ca proiecții ale mărimilor  $i_A, i_B, i_C$  — considerate ca vectori — pe axele sistemului de coordonate  $(\alpha, \beta, 0)$ . Componenta  $i_0$  nu apare ca proiecție în nici un sistem de coordonate. Această componentă se calculează simplu și este invariantă la transformările de curenți. De precizat că acest sistem de coordonate este fix față de stator. Dacă curentul  $i_0 = 0$  atunci pentru componentele curentului reprezentativ pe cele două axe  $i_\alpha$  și  $i_\beta$  există o interpretare fizică simplă: înfășurarea trifazată reală parcursă de curenții  $i_A, i_B, i_C$  creează aceeași tensiune magnetică rezultantă ca și cele două înfășurări monofazate ale căror axe magnetice coincid cu axele  $\alpha$  și  $\beta$  și care sînt parcurse de curenții  $i_\alpha$ , respectiv  $i_\beta$ . Cînd se operează cu curenții  $i_A, i_B, i_C$  se spune că se operează cu sistemul de coordonate al fazelor; acest sistem se notează  $(A, B, C)$ .

Trecerea de la un sistem de curenți la alt sistem de curenți este bine definită de matricea de transformare, în cazul în care această matrice este nesingulară. Trecerea de la noul sistem de curenți la vechiul sistem de curenți se face prin matricea de transformare inversă. Calculul matricii inverse este o operație dificilă, din această cauză în teoria mașinilor electrice se utilizează matrici ortogonale.

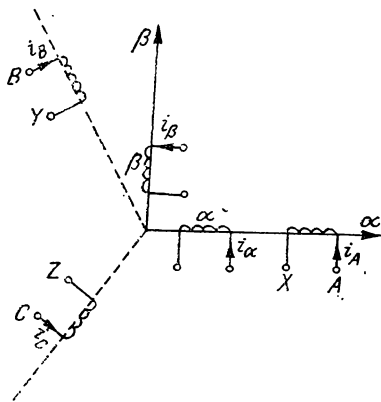


Fig. 2.21. Sisteme de coordonate  $(\alpha, \beta, 0)$ .

Pentru ca matricea de transformare între sistemul de coordonate natural ( $A, B, C$ ) și sistemul de coordonate ( $\alpha, \beta, 0$ ) să fie o matrice ortogonală relațiile (2.55) se scriu sub forma:

$$i_\alpha = b \left( i_A - \frac{i_B + i_C}{2} \right); \quad i_\beta = b \frac{\sqrt{3}}{2} (i_B - i_C); \quad i_0 = b c (i_A + i_B + i_C) \quad (2.56)$$

O matrice  $[C]$  este ortogonală dacă inversa acestei matrici  $[C^{-1}]$  este egală cu matricea transpusă  $[C_t]$ , adică  $[C][C_t] = [C_t][C] = [1]$  matricea  $[1]$  se numește matricea unitate ale cărei elemente de pe diagonală principală sînt 1, iar toate celelalte elemente sînt zero.

Din condiția de ortogonalitate rezultă:  $b = \sqrt{\frac{2}{3}}$ ;  $c = \frac{1}{\sqrt{2}}$ , cu aceste date se construiește matricea:

$$[C_1] = \sqrt{\frac{2}{3}} \begin{bmatrix} \frac{1}{\sqrt{2}} & 1 & 0 \\ \frac{1}{\sqrt{2}} - \frac{1}{2} & \frac{\sqrt{3}}{2} \\ \frac{1}{\sqrt{2}} - \frac{1}{2} & -\frac{\sqrt{3}}{2} \end{bmatrix} \quad (2.57)$$

care permite scrierea relațiilor (2.56) sub forma:

$$[i_{ABC}] = [C_1] [i_0, \alpha, \beta] \text{ sau } [i_0, \alpha, \beta] = [C_1]_t [i_{ABC}]. \quad (2.58)$$

Prin urmare în locul sistemului de curenți  $i_A, i_B, i_C$  se utilizează un alt sistem de curenți  $i_\alpha, i_\beta, i_0$  care prezintă avantaje în teoria anumitor tipuri de mașini electrice, cum ar fi mașina asincronă trifazată.

b) *Sistemul de coordonate  $d, q, 0$ .* Curentul reprezentativ  $i_s$  scris în sistemul de coordonate fix față de rotor se poate pune sub forma:

$$i_R = i_s e^{-j\theta} = i_d + j i_q = (i_d^* + j i_\beta) e^{-j\theta}. \quad (2.59)$$

$$\text{Din (2.59) rezultă: } \frac{\partial i_R}{\partial \theta} = -j i_R \text{ sau } \frac{\partial i_d}{\partial \theta} = i_q \text{ și } \frac{\partial i_q}{\partial \theta} = -i_d.$$

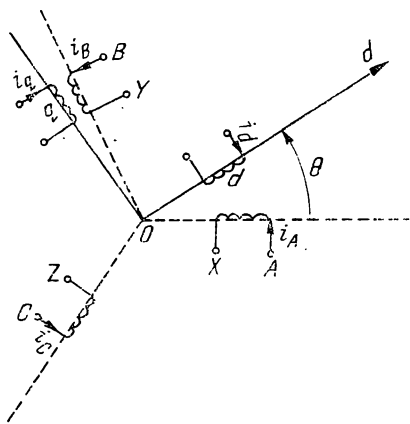


Fig. 2.22. Sisteme de coordonate ( $d, q, 0$ ).

Se constată că sistemul de curenți  $i_d, i_q, i_0$  determină complet sistemul de curenți trifazați  $i_A, i_B, i_C$ . Curenții definiți de relația (2.59) plus curentul  $i_0$  formează sistemul de coordonate  $d, q, 0$ . Acești curenți sînt definiți în sistemul de coordonate fix față de rotor.

Dacă  $i_0 = 0$  interpretarea fizică este similară cu cea din sistemul de coordonate ( $\alpha, \beta, 0$ ), adică tensiunea magnetică rezultantă creată de curenții  $i_d$  și  $i_q$  care parcurg înfășurările monofazate ale căror axe magnetice coincid cu axa reală din planul complex ( $d$ ), respectiv axa imaginară ( $q$ ) este egală cu tensiunea magnetică rezultantă creată de curenții  $i_A, i_B, i_C$ , care parcurg înfășurarea trifa-

zată, t.m. fiind scrisă în sistemul de coordonate fix față de rotor. Axa  $d$  se numește *axă longitudinală* și coincide de obicei cu axa polului nord rotor, axa  $q$  se numește *axă transversală*. În figura 2.22 se indică poziția axelor  $d$  și  $q$ . Curenții  $i_d$  și  $i_q$  pot fi considerați ca suma proiecțiilor curenților  $i_A, i_B, i_C$  pe axele  $d$  respectiv  $q$ . Pe baza relației (2.59) se poate stabili matricea de transformare între coordonatele  $(\alpha, \beta, 0)$  și  $(d, q, 0)$ , adică:  $[i_0, \alpha, \beta] = [C_2] [i_0, d, q]$ . În relația (2.59) matricea  $C_2$  este de forma:

$$C_2 = \begin{bmatrix} 1 & 0 & 0 \\ 0 & \cos \theta & -\sin \theta \\ 0 & \sin \theta & \cos \theta \end{bmatrix} \quad (2.60)$$

unde  $\theta$  este unghiul format de axa fazei  $A$  și axa  $d$ .

Din relațiile (2.58) și (2.59) rezultă:

$$\begin{aligned} i_d &= \sqrt{\frac{2}{3}} \left[ i_A \cos \theta + i_B \cos \left( \theta - \frac{2\pi}{3} \right) + i_C \cos \left( \theta - \frac{4\pi}{3} \right) \right] \\ i_q &= -\sqrt{\frac{2}{3}} \left[ i_A \sin \theta + i_B \sin \left( \theta - \frac{2\pi}{3} \right) + i_C \sin \left( \theta - \frac{4\pi}{3} \right) \right] \\ i_0 &= \frac{1}{3} (i_A + i_B + i_C) \end{aligned} \quad (2.60, a)$$

Sistemul de coordonate  $d, q, 0$  prezintă avantaje în studiul mașinii sincrone.

c) *Sistemul de coordonate 1, 2, 0*. Acest sistem de coordonate se definește în sistemul de referință fix față de stator, prin relațiile:

$$\begin{aligned} i_0 &= i_0; \quad i_1 = i_s/2 = \frac{1}{2} (i_\alpha + j i_\beta); \\ i_2 &= i_s^*/2 = \frac{1}{2} (i_\alpha - j i_\beta). \end{aligned} \quad (2.61)$$

Relațiile (2.61) se pot pune matriceal sub forma:  $[i_0 \alpha \beta] = [C_3] \cdot [i_{120}]$ , unde:

$$[C_3] = \begin{bmatrix} 1 & 0 & 0 \\ 0 & 1 & 1 \\ 0 & j & -j \end{bmatrix} \quad (2.62)$$

Matricele  $[C_1]$ ,  $[C_2]$ ,  $[C_3]$  sînt matrice ortogonale și deci relațiile inverse se stabilesc ușor cu matricele transpuse corespunzătoare. Sistemul de

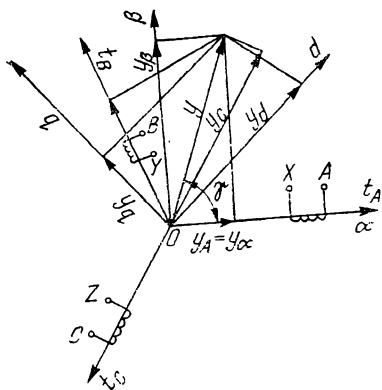


Fig. 2.23. Fazorul reprezentativ și proiecțiile sale pe axele sistemelor de coordonate.

coordonate 1, 2, 0 prezintă avantaje în studiul regimurilor nesimetrice.

În relațiile de mai sus s-au considerat curenții, însă relații analoge se pot scrie pentru tensiuni, fluxuri magnetice, t.e.m. Pe baza relațiilor stabilite mai sus rezultă o interpretare geometrică a curentului reprezentativ (fig. 2.23), astfel relațiile între sistemele de coordonate se obțin prin proiectarea pe axele magnetice ale înfășurărilor reale sau echivalente a curentului reprezentativ și a curenților din înfășurări considerați vectori avînd direcția axei magnetice corespunzătoare. Deoarece aceste reguli se aplică și la tensiuni electrice, fluxuri, t.e.m. în figura 2.23 s-a luat ca notație generală

litera  $y$ . Din  $y_A = y \cos \gamma$ ;  $y_B = y \cos \left( \gamma - \frac{2\pi}{3} \right)$ ;  $y_C = y \cos \left( \gamma - \frac{4\pi}{3} \right)$

rezultă  $|y| = \frac{2}{3} \sqrt{y_A^2 + y_B^2 + y_C^2}$ ;  $\cos \gamma = \frac{y_A}{|y|}$ . Relațiile se pot genera-

liza și pentru  $m$  faze. Se poate scrie  $|y|^2 = y y^*$ .

## 2.10. CÎMPURILE MAGNETICE ALE MAȘINILOR ELECTRICE

În mașinile electrice, cîmpurile magnetice se obțin mai ales prin intermediul curenților de conducție și în o serie de cazuri cu ajutorul magneților permanenți. Dacă curentul electric care parcurge conductoarele este continuu atunci cîmpul magnetic este constant în timp avînd o repartitie a componente radiale funcție de poziția conductoarelor și de geometria armăturilor.

Dacă curentul este variabil în timp atunci și cîmpul magnetic produs este variabil. Cîmpul magnetic produs de un curent alternativ se numește cîmp magnetic alternativ. Fundamentala acestui cîmp este pulsatorie în timp și spațiu (similar și la armonici). Se tinde, la cele mai multe mașini electrice, ca repartitia inducției magnetice de-a lungul pasului polar să fie sinusoidală deoarece în acest caz mașina nu constituie o sursă de putere deformantă și deci mașina și rețeaua pot funcționa cu un randament mai ridicat.

Un cîmp magnetic învîrtitor, repartizat sinusoidal în spațiu, care își păstrează amplitudinea constantă, se mai numește *cîmp magnetic circular*.

*Cîmpul magnetic sinusoidal în timp și spațiu* este echivalent cu două cîmpuri magnetice circulare de amplitudine egală și viteze opuse și egale în modul.

În cazul în care într-o mașină electrică, prin intermediul a două înfășurări, se produc două cîmpuri alternative a căror fundamentale au amplitudini diferite  $B_1$  și  $B_2$  orientate diferit, astfel că unghiul dintre direcțiile amplitudinilor este  $\frac{\pi}{2p}$ , se obține un cîmp magnetic rezultat, învîrtitor, a cărui amplitudine descrie o elipsă cu viteza unghiulară variabilă în timp.

Într-adevăr fie  $b_1(\alpha_s, t) = B_1 \cdot \cos \omega t \cdot \cos p \alpha_s$ ,  $b_2(\alpha_s, t) = B_2 \cos\left(\omega t - \frac{\pi}{2}\right) \cos p\left(\alpha_s - \frac{\pi}{2p}\right)$  și  $b(\alpha_s, t) = b_{1s}(\alpha_s, t) + b_2(\alpha_s, t)$  este câmpul rezultat, atunci după efectuarea calculelor rezultă:

$$b(\alpha_s, t) = \frac{1}{2}(B_1 + B_2) \cos(\omega t - p \alpha_s) + \frac{1}{2}(B_1 - B_2) \cos(\omega t + p \alpha_s). \quad (2.63)$$

Dacă se notează  $x = (B_1 + B_2) \cos(\omega t - p \alpha_s)$  și  $y = (B_1 - B_2) \cdot \cos(\omega t - p \alpha_s)$  atunci  $x^2/(B_1 + B_2)^2 + y^2/(B_1 - B_2)^2 = 1$  care este ecuația unei elipse, cu semiaxa mare egală cu suma amplitudinilor celor două câmpuri  $b_1(\alpha_s, t)$  și  $b_2(\alpha_s, t)$ , iar semiaxa mică egală cu diferența lor.

Această elipsă dată în figura 2.24 reprezintă locul geometric al lui  $b(\alpha_s, t)$  când timpul  $t$  și coordonata  $\alpha_s$  variază. După curba loc geometric, un astfel de câmp se numește *câmp eliptic*. Amplitudinea  $B$  a câmpului magnetic rezultat se rotește în sensul componentei rotitoare de amplitudine mai mare, cu o viteză unghiulară care depinde de timp. În cazul considerat, câmpul magnetic eliptic este compus din două câmpuri magnetice circulare de amplitudini diferite.

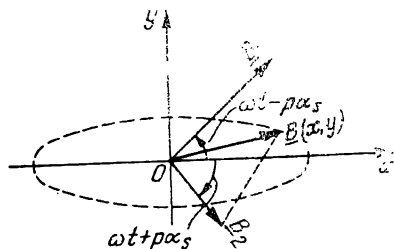


Fig. 2.24. Câmp magnetic eliptic.

Dacă la o înfășurare tritazată câmpurile magnetice corespunzătoare celor trei faze se pot pune sub forma:  $b_A = B \cos \omega t \cdot \cos p \alpha_s$ ,  $b_B = B \cos\left(\omega t - \frac{2\pi}{3}\right) \cos\left(p \alpha_s - \frac{2\pi}{3}\right)$  și  $b_C = B_1 \cos\left(\omega t - \frac{4\pi}{3}\right) \cdot \cos\left(p \alpha_s - \frac{4\pi}{3}\right)$ , atunci câmpul rezultat  $b$  va fi:

$$b = b_A + b_B + b_C = \frac{3B}{2} \cos(\omega t - p \alpha_s) + (B_1 - B) \cos\left(\omega t - \frac{4\pi}{3}\right) \cdot \cos\left(p \alpha_s - \frac{4\pi}{3}\right)$$

care este tot un câmp magnetic eliptic compus dintr-un câmp magnetic învîrtitor și un câmp magnetic cosinusoidal în timp și spațiu. Câmpuri eliptice se obțin și la aceleași amplitudini ale câmpurilor componente dar cu defazaje oarecare. În general, în cazul mașinilor parcurse de curenți asimetrice apar câmpuri magnetice eliptice la orice număr de faze  $m \neq 1$  și pentru orice armonică  $v$ . Aceste nesimetrii se exprimă prin amplitudini neegale ale câmpurilor magnetice componente sau/și defazaje nesimetrice în timp sau/și în spațiu. În figura 2.25 se prezintă tipurile de câmpuri magnetice. Viteza unghiulară a câmpului magnetic învîrtitor circular de sens direct este  $\Omega = \omega/p$ . Pentru a obține un câmp magnetic învîrtitor, circular, de sens invers, trebuie să se modifice ordinea de succesiune în timp a câmpurilor alternative componente. Pentru

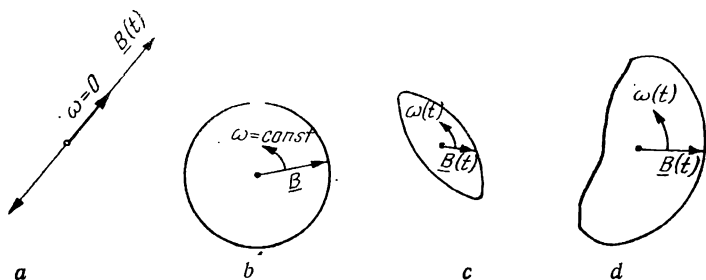


Fig. 2.25. Tipuri de cîmpuri magnetice:

a — cîmp alternativ; b — cîmp circular; c — cîmp eliptic; d — cîmp de o formă oarecare.

o mașină  $m$  — fazată, trebuie schimbate între ele  $m - 2$  sau  $m - 1$  faze, după cum  $m$  este par sau impar. În cazul mașinilor trifazate  $m=3$ , se schimbă două faze oarecare între ele. La roata polară trebuie să se schimbe sensul de rotație.

## 2.11. CURENTUL DE EXCITAȚIE RAPORTAT LA STATOR

La mașina cu poli aparenti (roata polară) s-a stabilit expresia cîmpului magnetic învîrtitor pentru un curent de excitație  $I_e$  sub forma:

$$b_0(\alpha_s, t) = B_{m0} \cos(\omega t - p \alpha_s); \quad (2.64)$$

$$B_{m0} = \frac{\mu_0 k_f w_e I_e}{\delta}; \quad \omega = p \Omega.$$

Expresia (2.64) este scrisă în sistemul de referință (FS).

Se poate considera că unda învîrtitoare (2.64) ar fi produsă chiar de armătura statorică echipată cu o înfășurare  $m$  — fazată simetrică cu  $w$  spire și factor de înfășurare  $k_{w1}$ , dacă această înfășurare este parcursă de un sistem de curenți  $m$  fazat, simetric, cosinusoidal în timp. Curentul din faza de referință  $A$  fiind  $i'_e = I_e \sqrt{2} \cos \omega t$ , în celelalte faze curenții au aceeași valoare eficace și doi curenți succesivi sînt decalați în spațiu cu  $\frac{2\pi}{m}$ . În acest caz s-a stabilit că unda cîmpului magnetic învîrtitor are forma:

$$b(\alpha_s, t) = B_m \cos(\omega t - p \alpha_s); \quad B_m = \frac{m w k_{w1} I'_e \sqrt{2} \mu_0}{\pi p \delta}. \quad (2.65)$$

Pentru ca cele două cîmpuri magnetice (2.64) și (2.65) să fie identice este necesar ca  $B_{m0} = B_m$ . Din această egalitate rezultă:

$$I'_e = I_e \pi p k_f w_e / (m w k_{w1} \sqrt{2}). \quad (2.66)$$

Curentul  $I'_e$  se numește curentul de excitație raportat la stator și reprezintă valoarea eficace a curenților  $m$  — fazați care produc același cîmp magnetic învîrtitor ca și roata polară a cărei înfășurare de excitație este

parcursă de curentul  $I_e$ . Această echivalență este valabilă numai pentru fundamentală. Înfășurarea  $m$  — fazată poate fi dispusă pe armătura rotorică dacă rotorul este fix și parcursă fiind de curenții simetrici  $m$  — fazați de valoare eficace  $I'_e$  produce același câmp magnetic învîrtitor. În diagramele fazoriale se utilizează curentul  $I'_e$  reprezentat în complex simplificat.

## 2.12. TENSIUNEA ELECTROMOTOARE INDUSĂ ÎNTR-O BOBINĂ

Pentru calculul t.e.m. se aplică legea inducției electromagnetice:

$$e = -\frac{d\varphi_{S_F}}{dt} = -\frac{d}{dt} \int_{S_F} \bar{B} \cdot d\bar{A} = - \int_{S_F} \frac{\partial \bar{B}}{\partial t} \cdot d\bar{A} + \int_{\Gamma} (\bar{v} \times \bar{B}) \cdot d\bar{r} = e_t + e_r \quad (2.67)$$

în care  $e_t = - \int_{S_F} \frac{\partial \bar{B}}{\partial t} \cdot d\bar{A}$  se numește t.e.m. indusă prin transformare, iar

$e_r = \int_{\Gamma} (\bar{v} \times \bar{B}) \cdot d\bar{r}$  se numește t.e.m. indusă prin rotație. Suma celor doi ter-

meni,  $e = e_t + e_r$ , este independentă de sistemul de referință ales, așa încît împărțirea în cei doi termeni este relativă într-un sistem de referință dat.

T.e.m. indusă se calculează fie calculînd fluxul magnetic  $\varphi_{S_F} = \int_{S_F} \bar{B} \cdot d\bar{A}$ , fie

calculînd separat cele două componente  $e_t$  și  $e_r$  ale t.e.m. induse  $e$ . T.e.m.  $e_r$  se introduce numai dacă conductorul în mișcarea lui taie liniile de câmp. În cazul particular al mașinilor electrice curba  $\Gamma$  este luată de-a lungul conductoarelor conectate în serie și care formează bobina sau înfășurarea mașinii, plus curba dintre cele două borne care poate fi dusă prin izolație sau prin vid (numită curba tensiunii la borne). Inducția magnetică în întrefier se consideră că are componentă numai după rază (cîmpuri radiale) și depinde de coordonata unghiulară și de timp:  $\bar{B} = \frac{r}{r} b(\alpha_i, t)$ . Suprafața  $S_F$  care trece

prin întrefier este de formă cilindrică și elementul de arie se poate lua  $dA = LR d\alpha_i$  unde  $i = s, r, k$  funcție de sistemul de referință;  $dA$  corespunde cîmpului magnetic plan-paralel. În aceste condiții (2.67), pentru o bobină cu  $N_q$  spire, devine:

$$e = -N_q \frac{d}{dt} \int_{S_F} b(\alpha_i, t) RL d\alpha_i = -N_q \int_{S_F} \frac{\partial b(\alpha_i, t)}{\partial t} RL d\alpha_i + N_q v l_c [b(\alpha_i, t) - b(\alpha_i + \beta_1, t)] \quad (2.68)$$

unde  $l_c$  este lungimea conductorului din creștătură care se deplasează cu viteza  $v$  în cîmpul magnetic  $b(\alpha_i, t)$ . Sensul componentei radiale s-a considerat coincident cu normala la suprafața cilindrică  $S_F$ ; conductoarele bobinei sînt perpendiculare pe liniile cîmpului magnetic.

a) T.e.m. indusă într-o bobină de un câmp magnetic de forma:  $b(\alpha_s, t) = b(t) \cos p\alpha_s$  scris în sistemul de referință FS se calculează considerînd bobina cu pas scurtat, dispusă pe rotor care are viteza unghiulară  $\Omega_2$  (fig. 2.26).



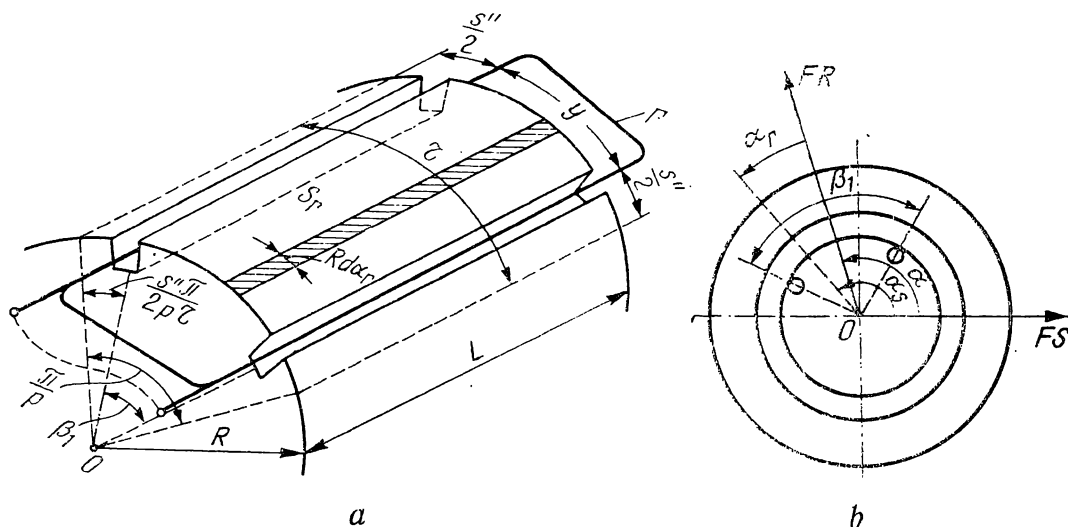


Fig. 2.26. Bobina cu pas scurtat dispusă pe rotor (a); sistemele de referință (b).

Deoarece bobina este dispusă pe rotor, este preferabil să se scrie inducția magnetică în sistemul FR. Fluxul magnetic  $\varphi_b$  care înlanțuie bobina este:

$$\varphi_b = N_q \int_{-\beta_1/2}^{+\beta_1/2} b(t) \cos p(\alpha + \alpha_r) RL d\alpha_r = N_q \frac{2}{p} k_s LR b(t) \cos p\alpha;$$

$$\beta_1 = \frac{\pi}{p} - \frac{s''\pi}{p\tau}. \quad (2.69)$$

În cazul particular cînd  $b(t) = B_m \cos \omega t$ , adică în întrefier există un cîmp magnetic pulsatoriu în timp și spațiu, fluxul magnetic  $\varphi_b$  devine:

$$\varphi_b = N_q \Phi_m k_s \cos \omega t \cos p\alpha; \quad \Phi_m = \frac{2}{\pi} L \tau B_m \quad (2.70)$$

iar t.e.m. indusă de acest flux este:

$$e_b = N_q k_s \Phi_m \omega \cos \left( \omega t - \frac{\pi}{2} \right) \cos p\alpha + N_q k_s p \Omega_2 \Phi_m \cos \omega t \cdot \cos \left( p\alpha - \frac{\pi}{2} \right) =$$

$$= E_b \sqrt{2} \cos \left( \omega t - \frac{\pi}{2} \right) \cos p\alpha + E_b \frac{\omega_r}{\omega} \sqrt{2} \cos \omega t \cos \left( p\alpha - \frac{\pi}{2} \right) \quad (2.71)$$

unde  $\Omega_2 = \frac{d\alpha}{dt}$ ;  $\Phi_m$  este fluxul magnetic pe pol, iar  $E_b = N_q k_s \Phi_m \omega / \sqrt{2}$ .

T.e.m.  $e_b$  are două componente: o componentă de transformare de valoare eficace  $E_b$  proporțională cu pulsația  $\omega$  și o componentă de rotație proporțională cu  $\omega_r = p\Omega_2$ ;  $E_b$  are valoarea maximă dacă  $k_s=1$ , ( $s''=0$ ); adică bobina trebuie să aibă deschiderea apropiată sau egală cu  $\tau$ . Dacă  $b(t) = B_{\delta 0}$ ,

adică câmpul magnetic nu depinde de timp, atunci t.e.m. de transformare este nulă, iar t.e.m. de rotație are expresia:

$$e_b = N_q k_s p \Omega_2 \Phi_m \cos \left( p \alpha - \frac{\pi}{2} \right) = E_r \sqrt{2} \cos \left( p \alpha - \frac{\pi}{2} \right). \quad (2.71, a)$$

Pentru armonica spațială de ordinul  $\nu$ :  $b_\nu(\alpha_s, t) = B_{m\nu} \cos \omega t \cos p \nu \alpha_s$ , iar după calcule similare se obține:

$$e_{b\nu} = N_q k_{sv} \Phi_{m\nu} \cos \left( \omega t - \frac{\pi}{2} \right) \cos p \nu \alpha + N_q k_{sv} \Phi_{m\nu} p \nu \Omega_2 \cos \omega t \cos \left( p \nu \alpha - \frac{\pi}{2} \right)$$

unde 
$$\Phi_{m\nu} = \frac{2}{\pi} B_{m\nu} L \frac{\tau}{\nu}. \quad (2.72)$$

b) T.e.m. indusă într-o bobină rotorică de un câmp magnetic fix în spațiu (în raport cu FS) și cu o distribuție spațială periodică corespunde cazului cînd armătura statorică are poli aparenti pe care sînt dispuse bobine alimentate în curent continuu.

Fluxul magnetic care înlanțuie bobina cu  $N_q$  spire și deschiderea  $\beta_1 = \pi y_1 / p \tau$  este:

$$\varphi_b = N_q \int_{\alpha - \beta_1/2}^{\alpha + \beta_1/2} B_{80}(\alpha_s) RL d\alpha_s \quad (2.73)$$

$B_{80}(\alpha_s)$  reprezintă variația în spațiu a inducției magnetice (fig. 2.27, a) T.e.m. indusă în bobină este:

$$e_b = - \frac{d\varphi_b}{dt} = - N_q RL \frac{d\alpha}{dt} \left[ B_{80}(\alpha + \beta_1/2) - B_{80}(\alpha - \beta_1/2) \right]. \quad (2.74)$$

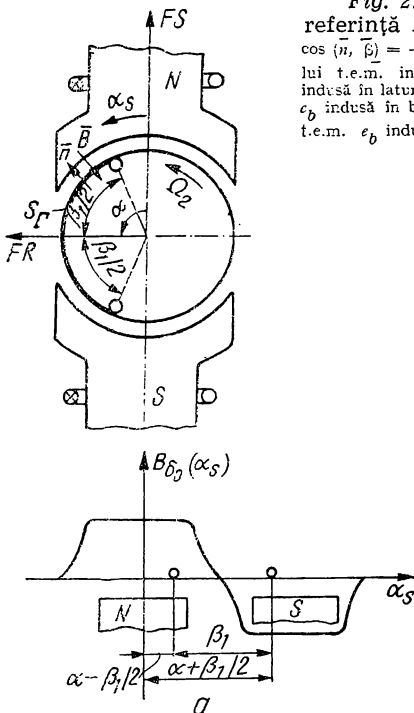
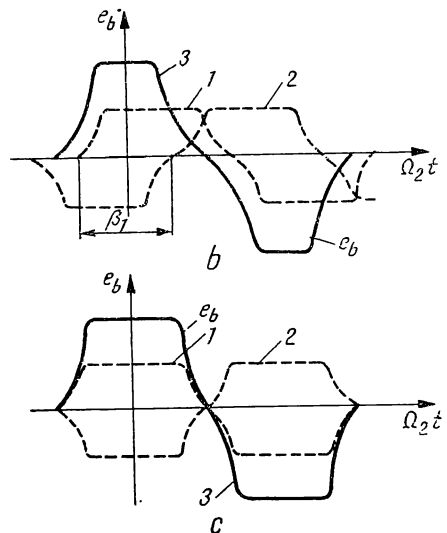


Fig. 2.27. Poziția bobinei în raport cu sistemul de referință FS și variația în spațiu a inducției magnetice:  $\cos(\bar{n}, \bar{\beta}) = -1$ ; sensul pozitiv de parcurgere a curbei  $\Gamma$  este contrar sensului t.e.m. indicat în figură (a); t.e.m. indusă în bobină: 1 - t.e.m. indusă în latura de ducere; 2 - t.e.m. indusă în latura de întoarcere; 3 - t.e.m.  $e_b$  indusă în bobina cu pas scurtat, egală cu diferența celor două t.e.m. (b); t.e.m.  $e_b$  indusă în bobina cu pas diametral (valoarea medie pe o semiperioadă este maximă, (c).



Se constată că t.e.m.  $e_b$  este proporțională cu diferența dintre inducția magnetică din dreptul laturii de ducere a bobinei  $B_{\delta 0}(\alpha - \beta_1/2)$  și inducția magnetică din dreptul laturii de întoarcere  $B_{\delta 0}(\alpha + \beta_1/2)$ . Pe baza relației (2.74) se poate calcula t.e.m. indusă într-o bobină de un câmp magnetic cu o distribuție spațială oarecare. Rotorul fiind în mișcare  $\alpha = \Omega_2 t$ , deci la o altă scară variația în spațiu a inducției magnetice reprezintă variația în timp a t.e.m. indusă într-o latură a bobinei (fig. 2.27, b). Dacă  $\beta_1 = \frac{\pi}{p}$  atunci  $B_{\delta 0}(\alpha - \beta_1/2) = -B_{\delta 0}(\alpha + \beta_1/2)$  și t.e.m.  $e_b$  este:

$$e_b = 2 L v N_q \cdot B_{\delta 0}^F(\alpha - \beta_1/2); \quad v = R \Omega_2. \quad (2.75)$$

În acest caz t.e.m. indusă depinde doar de inducția magnetică din dreptul laturii de ducere a bobinei (fig. 2.27, c). Dacă bobina se află cu latura de ducere în câmpul magnetic nord, atunci t.e.m. este pozitivă și are același sens cu cel pozitiv ales pentru parcurgerea spirelor.

Dacă bobina are latura de ducere în regiunea polului sud, atunci t.e.m. este negativă; dacă are latura de ducere în axa polară atunci t.e.m.  $e_b$  este nulă.

c) T.e.m. indusă într-o bobină de un câmp magnetic învîrtitor se calculează în aceleași condiții, doar că inducția magnetică din întrefier, în FS, are expresia:  $b(\alpha_s, t) = B_m \cos(\omega_1 t - p \alpha_s)$ , iar în sistemul FR, se exprimă sub forma:

$$b(\alpha_r, t) = B_m \cos(\omega_1 t - p \alpha_r - p \alpha) \quad (2.76)$$

unde  $p \alpha$  joacă rolul unui dețazaj pentru observatorul din FR. Fluxul magnetic care înlănțuie bobina cu  $N_q$  spire dispusă pe rotor (fig. 2.26) este:

$$\Phi_b = N_q \int_{-\beta_1/2}^{+\beta_1/2} B_m \cos(\omega_1 t - p \alpha_r - p \alpha) R L d \alpha_r = N_q \Phi_m k_s \cos(\omega_1 t - p \alpha). \quad (2.77)$$

T.e.m. indusă în bobină este:

$$e_b = - \frac{d \Phi_b}{d t} = N_q \Phi_m k_s (\omega_1 - p \Omega_2) \cos\left(\omega_1 t - p \alpha - \frac{\pi}{2}\right). \quad (2.78)$$

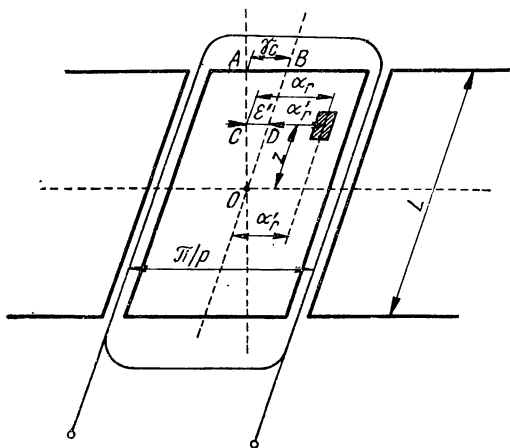


Fig. 2.28. Bobină cu  $N_q$  spire dispusă pe rotor, avînd laturile înclinate față de generatoare cu unghiul  $2 \gamma_c$  (pe figură s-au indicat unghiurile la centru).

Atît pulsația t.e.m. cît și valoarea eficace depind de viteza unghiulară  $\Omega_2$ . Câmpul magnetic învîrtitor de ordinul  $v$ :

$$b_v(\alpha_s, t) = B_m \cdot \cos(\omega_1 t - p v \alpha_s) \text{ induce o t.e.m. în bobină care se calculează în același mod } e_{bv} = N_q \Phi_m v k_{sv} (\omega_1 - p v \Omega_2) \cos\left(\omega_1 t - p v \alpha - \frac{\pi}{2}\right).$$

d) T.e.m. indusă de un câmp magnetic învîrtitor de ordinul  $v$  într-o bobină cu laturile înclinate plasată în creștături care au direcția înclinată față de generatoare se calculează în același mod cu precizarea că elementul de arie se calculează într-un sistem de referință oblic (fig. 2.28). Bo-

bina cu  $N_q$  spire se va considera cu pas diametral dispusă pe rotor. Axa sistemului de referință FR este dusă prin centrul 0 al suprafeței active a bobinei și aparține planului care trece prin axa mașinii. Din asemănarea triunghiurilor  $OAB$  și  $OCD$  rezultă:  $R\gamma_c/R\epsilon' = L/2Z$  sau  $\epsilon' = 2\gamma_c \cdot Z/L$  iar  $\alpha_r = \alpha'_r + \epsilon'$ ; cîmpul magnetic învîrtitor pentru armonica  $\nu$  se poate pune sub forma:

$$b(\alpha_r, t) = B_{m\nu} \cos(\omega_1 t - p\nu\alpha'_r - 2p\gamma_c Z/L - p\nu\alpha). \quad (2.79)$$

Elementul de arie este  $dA = R d\alpha'_r \cdot dZ$ , iar fluxul magnetic prin bobină se poate scrie sub forma:

$$\begin{aligned} \Phi_b &= N_q \int_{-L/2}^{L/2} \int_{-\pi/2}^{\pi/2} R B_{m\nu} \cos(\omega_1 t - p\nu\alpha'_r - 2p\gamma_c Z/L - p\nu\alpha) dz d\alpha'_r = \\ &= N_q \Phi_{m\nu} k_{c\nu} \sin\nu \frac{\pi}{2} \cos(\omega_1 t - p\nu\alpha); \quad k_{c\nu} = \frac{\sin(\gamma_c \nu p)}{\gamma_c \nu p}. \end{aligned} \quad (2.80)$$

Factorul  $k_{c\nu}$  se numește *factor de înclinare* și  $k_{c\nu} < 1$ ; cînd nu există înclinare ( $\gamma_c = 0$ ), atunci  $k_{c\nu} = 1$ . T.e.m. indusă în bobină este:

$$e_{b\nu} = N_q \Phi_{m\nu} k_{c\nu} \sin\left(\nu \frac{\pi}{2}\right) \omega_1 \cos\left(\omega_1 t - p\nu\alpha - \frac{\pi}{2}\right).$$

În cazul în care bobina ar fi fost cu pas scurtat în expresia t.e.m. intervenea și factorul  $k_{s\nu}$ . Înclinarea totală a spirei este de ordinul de mărime al pasului dentar al celeilalte armături.

## 2.13. ARMONICI DE DINȚI

Se vor considera armonicile de ordinul  $\nu = 2kqm \pm 1$ ;  $k \in N - \{0\}$  și se va calcula pentru aceste armonici factorul de repartizare:

$$\begin{aligned} k_{q\nu} &= [\sin(pq\nu\gamma'/2)]/q \sin(p\nu\gamma'/2) = \\ &= \{\sin[pq(2kqm \pm 1)\gamma'/2]\}/q \sin[p(2kqm \pm 1)\gamma'/2] = k_{q1} \end{aligned} \quad (2.81)$$

deoarece  $\gamma' = \pi/pqm$ . În mod similar se calculează factorul de scurtare pentru armonicile menționate

$$k_{s\nu} = \cos[(2mkq \pm 1)s\pi/2\tau] = \cos[(2mkq \pm 1) \cdot s\pi/2mq] = \pm k_{s1} \quad (2.82)$$

deoarece scurtarea  $s$  reprezintă un număr întreg de creștături din considerente geometrice, iar  $\tau = Z/2p = mq$  exprimat în număr de creștături.

Din (2.81) și 2.82) rezultă că aceste armonici sînt afectate de factorul de scurtare și de factorul de repartiție întocmai ca și fundamentală deci într-o măsură foarte redusă. Pentru ca aceste armonici să aibă amplitudinea mică trebuie să aibă un ordin cît mai mare; aceasta se realizează prin mărirea numărului  $q$  ( $q$  este limitat superior).

Armonicile de ordinul  $2kqm \pm 1$  nu apar numai din descompunerea în serie Fourier a cîmpului magnetic inductor ci și datorită danturii armăturii. Într-adevăr, să considerăm armonica fundamentală a inducției magnetice a cîmpului magnetic inductor. Prezența dinților și a creștăturilor (semi-

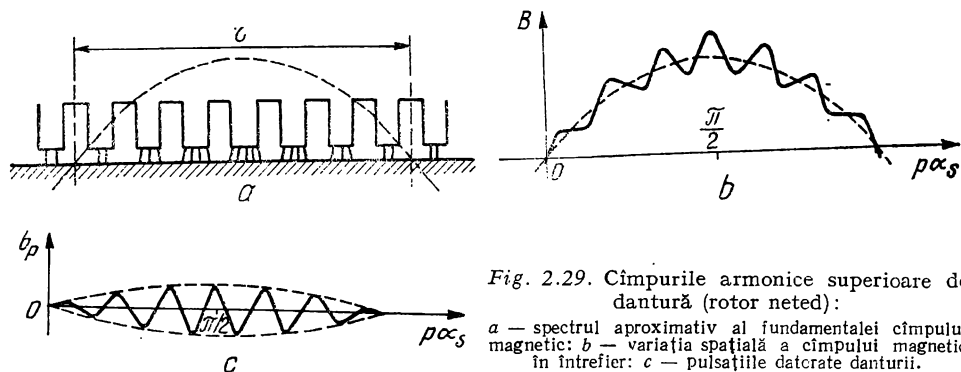


Fig. 2.29. Cîmpurile armonice superioare de dantură (rotor neted):

*a* — spectrul aproximativ al fundamentalei cîmpului magnetic; *b* — variația spațială a cîmpului magnetic în întrefier; *c* — pulsațiile datorate danturii.

închise sau deschise) pe armătura indusă contribuie la apariția unor armonici superioare de altă natură. Datorită permeabilității foarte mari a materialului din care sînt realizate armăturile, inducția magnetică în dreptul dinților va avea valori mai mari decît în dreptul creștăturilor. În figura 2.29, *a* este pus în evidență acest fenomen pentru o parte dintr-o mașină electrică în ipoteza că rotorul este un cilindru neted. În figura 2.29, *b* este prezentată variația inducției magnetice la periferia interioară a statorului la un moment dat pentru un pas polar al mașinii. Se constată că în curba inducției magnetice armonice fundamentale au apărut pulsații. Se separă aceste pulsații de fundamentală (fig. 2.29, *c*) și se presupune să amplitudinea pulsației în dreptul axei unui dinte este proporțională cu elongația inducției magnetice a fundamentalei. Înfășurătoarea pulsațiilor este o cosinusoidă  $\cos p\alpha$ , cu perioadă egală cu dublul pas polar  $2\pi/p$  iar perioada pulsațiilor este dată de numărul de dinți.

La o înfășurare  $m$  — fazată numărul total de dinți este  $2mq$ . În consecință pulsațiile modulate ale inducției magnetice au expresia analitică:

$$b_p(\alpha_s, t) = B_{pm}(t) \cdot \cos p\alpha_s \cdot \cos 2mq\alpha_s. \quad (2.83)$$

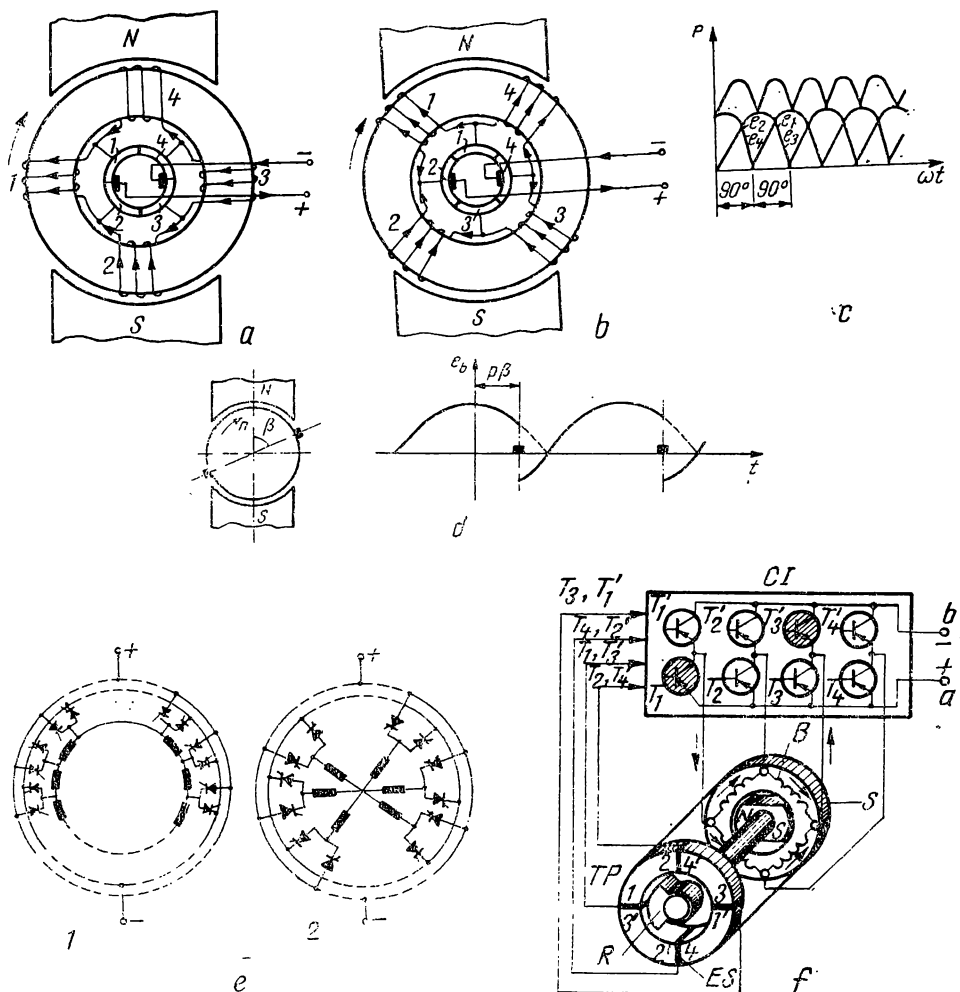
Expresia (2.83) se poate scrie sub forma:

$$b_p(\alpha_s, t) = \frac{1}{2} B_{pm}(t) [\cos p(2mq + 1)\alpha_s + \cos p(2mq - 1)\alpha_s]. \quad (2.84)$$

Așadar, statorul dințat introduce perechea de armonici superioare  $2mq \pm 1$  în curba inducției magnetice sau a tensiunii magnetice. Dar pulsațiile introduse de prezența creștăturilor au o variație periodică și deci expresia (2.83) este de fapt o sumă de armonici, care puse sub forma (2.84) au ordinul  $2mqk \pm 1$ ,  $k \in N$ . Aceste armonici nu sînt atenuate de factorii  $k_{q1}$  sau  $k_{s1}$ ; însă pot fi substanțial atenuate prin înclinarea creștăturilor. Dacă  $q_1$  este numărul de creștături pe pol și fază statoric și  $q_2$  cel rotoric atunci vor fi armonici de ordinul  $2mq_1k \pm 1$  și  $2mq_2k \pm 1$ .

## 2.14. PRINCIPIUL DE FUNCȚIONARE AL COLECTORULUI

Colectorul este un dispozitiv mecanic cu care este prevăzută o mașină de curent continuu în vederea redresării tensiunii alternative, obținută la bornele unui sistem de bobine înseriate, în tensiune continuă. Colectorul



**Fig. 2.30.** Mașină bipolară cu indusul în inel (a); indusul rotit cu  $45^\circ$  (b); forma t.e.m. redresate când variația spațială a inducției magnetice este cosinusoidală:

$b(\alpha_s) = B_m \cos \alpha_s$ , iar  $e_1 = E \sqrt{2} \cos \left( \omega t - \frac{\pi}{2} \right)$ ;  $e_2 = E \sqrt{2} \cos (\omega t - \pi)$ ;

$e_3 = E \sqrt{2} \cos (\omega t - \frac{3\pi}{2})$ ;  $e_4 = E \sqrt{2} \cos \omega t$  (c); reprezentarea convențională

a poziției periilor și variația în timp a t.e.m. indusă într-o bobină când periile sînt decalate din axa neutră (lățimea periei  $b$  este foarte mică) (d); mașina cu comutație electronică:

1 — cu secții conectate în poligon; 2 — cu secții conectate în stea; (e): micromotor de curent continuu cu comutație statică: TP — traductor de poziție cu patru bobine și magnet permanent; B — înfășurarea indusului; R — rotorul traductorului TP solidar cu rotorul micromotorului, CT — comutator tranzistorizat,  $T_1, T_1' \dots T_4, T_4'$  — tranzistoare (cele hășurate conduc în momentul considerat, (f)).

este așezat între înfășurarea indusă a mașinii și circuitul exterior. Colectorul este utilizat și în construcția unor mașini de curent alternativ (mașini de curent alternativ cu colector).

Se va prezenta funcționarea colectorului în cazul mașinii de curent continuu. În figura 2.30 este reprezentată o mașină bipolară, a cărei rotor

este format dintr-un inel realizat din tole silicioase pe care este bobinată o înfășurare redusă, pentru simplificare, la patru bobine (secțiuni), legate de patru lamele de colector. Acest rotor se numește indus în inel și a fost prima formă constructivă a indusului mașinii de curent continuu. În prezent nu se mai construiesc mașini cu indusul în inel, totuși pentru a ușura înțelegerea funcționării colectorului se va considera un astfel de indus. Cele patru bobine se rotesc odată cu rotorul și deci în ele se induce t.e.m. a căror expresie este dată de relația (2.75). La producerea t.e.m. contribuie numai laturile bobinelor plasate în întrefier, deoarece laturile din interiorul inelului rotoric se află într-o regiune unde câmpul magnetic este nul. Bobinele sînt dispuse echidistant pe inel, deci t.e.m. induse în două bobine succesive vor fi defazate cu  $90^\circ$ . Sensul t.e.m. în conductorul de ducere al spirei coincide cu sensul vectorului  $\vec{v} \times \vec{B}$ . În poziția  $a$  a rotorului, t.e.m. din bobinele 2 și 4 sînt diferite de zero ( $e_2, e_4 \neq 0$ ), iar  $e_1 = e_3 = 0$ ; cînd rotorul ocupă poziția  $b$  toate bobinele se află în câmpul magnetic și se obține o t.e.m. mai mare decît în cazul  $a$ . Se constată caracterul pulsatoriu al t.e.m. La un moment dat bobina 4 va ocupa locul bobinei 3 din poziția  $b$ , sensul t.e.m. din bobina 4 se schimbă și se schimbă și sensul de conectare la perii; față de bornele periilor sensul t.e.m. din bobina 4 rămîne același, la fel se întîmplă și cu celelalte bobine. T.e.m. culeasă la perii rezultă din însumarea t.e.m. induse în bobinele conectate în serie față de bornele periilor. Dacă se presupune că distribuția în spațiu a câmpului magnetic inductor este sinusoidală atunci t.e.m. au o variație sinusoidală în timp (fig. 2.30,  $c$ ). Sînt intervale de timp la care peria calcă pe două lamele scurtcircuitînd bornele unei bobine; trebuie ca în acest interval de timp t.e.m. indusă în bobina scurtcircuitată să fie nulă, aceasta determină poziția periilor pe colector. T.e.m. redresată prezintă pulsații care se reduc cînd numărul de lamele este mare. Mașina de curent continuu este, în esență, o mașină de curent alternativ prevăzută cu un redresor special-colectorul.

Se constată că atît timp cît t.e.m. indusă într-o bobină este pozitivă, bobina se află în latura conectată între perii cu polaritatea corespunzătoare. Odată cu schimbarea sensului t.e.m. induse se schimbă și conexiunea bobinei, astfel ca polaritatea față de perii să rămînă aceeași. Schimbarea conexiunii are loc prin scurtcircuitarea bobinei pentru un timp scurt care depinde de lățimea periiei și viteza de rotație a mașinii. Această scurtcircuitare are loc în momentul cînd t.e.m. indusă trece prin zero, momentul trecerii prin zero este determinat de poziția bobinei, respectiv a rotorului în raport cu axa câmpului magnetic inductor. Dacă periile ar fi decalate în raport cu poziția din figura 2.30,  $a$  într-un sens sau altul, de exemplu în sens contrar sensului de rotație, atunci schimbarea conexiunii bobinei are loc înainte ca t.e.m. indusă să schimbe de sens și dacă se admite că distribuția spațială a câmpului magnetic inductor este cosinusoidală, atunci t.e.m.  $e_b$  indusă în bobină și oscilografiată la perii are forma prezentată în figura 2.30,  $d$ . T.e.m. din celelalte bobine au aceeași formă în timp în raport cu periile,

însă sînt defazate (în cazul considerat, t.e.m. induse în două bobine succesive sînt defazate cu  $\frac{\pi}{2}$ ). Deci totalitatea lamelor colectorului împreună

cu periile se poate interpreta ca un redresor comandat la care unghiul de comandă este determinat de unghiul dintre axa câmpului magnetic inductor și axa periilor. Acest proces are loc datorită modului de dispunere și conectare a bobinelor la colector; poziția periilor determină unghiul de co-

mandă. Peria și fiecare lamelă de colector se comportă ca un întreruptor care poate fi închis și deschis la momente convenabil alese. Prin urmare, ansamblul colector-perii se poate înlocui cu un dispozitiv de comutație statică (comutator), în acest caz este necesar un traductor care să detecteze poziția rotorului și să transmită informația respectivă sub forma unui impuls de tensiune la intrarea dispozitivului semiconductor din componența comutatorului. Mașinile de curent continuu care utilizează un asemenea comutator se numesc *mașini de curent continuu cu comutație statică*. La aceste mașini, indusul se realizează în exterior și reprezintă statorul (construcție inversă: inductorul împreună cu perii se rotește, indusul împreună cu colecturul sînt fixe) care are aceeași construcție ca și statorul mașinilor de curent alternativ. În figura 2.30, *e* se dau scheme de principiu ale mașinilor de curent continuu cu comutație statică. Dispozitivele semiconductoare sînt comandate prin traductorul de poziție la momente convenabil alese.

În regim de motor colectorul funcționează ca învertor, bobina indusă este parcursă de un curent alternativ, frecvența acestui curent determină turația motorului.

Momentul schimbării sensului curentului este astfel corelat cu poziția rotorului încît cuplul care se exercită asupra bobinei să aibă mereu același sens, unghiul de comandă este determinat de unghiul dintre axa cîmpului inductor și axa periiilor. Schema de principiu a comutatorului static pentru un micromotor de curent continuu, echivalentă colectorului cu perii este prezentată în figura 2.30, *f*. Cele patru bobine ale traductorului de poziție *TP*, prin intermediul t.e.m. induse, detectează poziția rotorului și la momentul oportun furnizează semnale de comandă pentru tranzistoare (de exemplu t.e.m. indusă în bobina 13, în poziția considerată a rotorului *R*, permite deblocarea tranzistoarelor  $T_1$  și  $T_3$ , celelalte tranzistoare sînt blocate, schimbîndu-se poziția rotorului furnizează semnale de comandă convenabile bobina 24' și după blocarea lui  $T_1$  și  $T_3$  încep să conducă  $T_2$  și  $T_4$ ). Mașinile cu comutație statică nu mai au contacte alunecătoare, se construiesc pentru puteri mici și se utilizează în cosmonautică, la aparate de înregistrare și redare a sunetului, la aparatele periferice ale calculatoarelor.

## 2.15. ÎNFĂȘURĂRILE MAȘINILOR ELECTRICE [4], [7], [15]

În raport cu funcția îndeplinită de o înfășurare într-o mașină electrică se deosebesc: *înfășurări inductoare* cu ajutorul cărora se produce cîmpul magnetic principal al mașinii; *înfășurarea indusă* prin intermediul căreia puterea electromagnetică este cedată exteriorului pe la borne sau transformată în putere mecanică. Înfășurările depind în mare măsură de tipul de mașină și de natura curentului.

### 2.15.1. ÎNFĂȘURĂRI DE CURENT ALTERNATIV

Înfășurările de curent alternativ se caracterizează prin următoarele: date: numărul de creștături  $Z$ , numărul de poli  $2p$ , numărul de căi de curent pe fază  $a$ , numărul de faze  $m$ , numărul de spire înseriate pe fază  $w$ , pasul



înfășurării  $y$ , numărul de creștături pe pol și fază  $q$ ; distanța pe care sînt repartizate aceste creștături se numește *zonă*. Dacă bobinele care constituie înfășurarea au cîte o singură spirală, se poate spune că înfășurarea este de tip *înfășurare cu bare*, iar dacă au mai multe spire, înfășurarea este de tip *înfășurare cu bobine*. Înfășurările de curent alternativ se utilizează atît sub formă de înfășurări într-un strat, cît și în două straturi.

În vederea obținerii unei puteri maxime din mașină, zonele corespunzătoare diferitelor faze sînt repartizate uniform pe periferia mașinii și pe cît se poate egale, astfel încît zonele de pe un pas polar se repetă pe ceilalți pași polari. Ca urmare valoarea medie a lui  $q$  pentru cei  $2p$  pași polari este aceeași pentru toate fazele mașinii. Dacă  $q \in \mathbb{N}$  se spune că înfășurarea este întregă, iar dacă  $q = a + b/c$ , unde  $b/c$  este o fracție ireductibilă, se spune că avem o înfășurare fracționară. Pentru orice tip de înfășurare  $Z = 2pqm$ .

La o mașină cu înfășurare fracționară, pentru un pas dat, zona corespunzătoare unei faze nu poate cuprinde decît un număr întreg de creștături și deci numărul de creștături ale diferitelor zone aparținînd aceleiași faze diferă între ele în lungul periferiei mașinii. Schema înfășurării din care rezultă modul în care se conectează bobinele între ele se poate executa dacă se cunosc pentru fiecare fază și strat creștăturile parcurse în sens pozitiv — creștăturile de dus — și cele parcurse în sens negativ — creștăturile de întors. Repartiția creștăturilor pe faze se face astfel încît mașina să fie simetrică și să se obțină puterea maximă, ceea ce implică ca la număr de spire pe fază dat să se obțină tensiunea maximă pe fază. Din motive de simetrie, creștăturile sînt repartizate uniform pe periferia indusului și ca urmare t.e.m. induse în conductoarele din creștături de către un cîmp magnetic învîrtitor circular sînt defazate între ele cu același unghi  $\alpha_e = 2\pi p/Z$ . Se asociază fiecărei creștături un fazor și reprezentînd cei  $Z$  fazori se obține o configurație sub formă de stea cu mai multe raze, uniform repartizate, numită steaua t.e.m. În dreptul fiecărei raze se scrie numărul de ordine al creștăturii pe care o reprezintă. Steaua t.e.m. are  $Z$  raze. Două raze corespunzătoare a două creștături consecutive fac între ele unghiul  $\alpha_e$ . Condiția de tensiune maximă se poate realiza dacă creștăturile se grupează astfel, ca rezultanta razelor din steaua t.e.m. corespunzătoare fiecărei zone, să fie maximă și apoi grupînd cîte două zone, una de dus și alta de întors, rezultantele celor două zone ale grupului astfel format să fie pe cît posibil în opoziție. La înfășurările într-un singur strat, bobinele trebuie astfel formate încît la plasarea lor în creștături o latură să fie într-o creștătură de dus, cealaltă într-o creștătură de întors și aceasta pentru toate perechile de poli ale mașinii. La înfășurări în două straturi, bobinele se plasează în creștături astfel încît o latură să se găsească într-un strat, iar cealaltă latură în al doilea strat. În felul acesta în fiecare creștătură se vor găsi două laturi aparținînd la două bobine diferite. Înfășurarea într-un strat are  $z/2m$  bobine pentru fiecare fază, iar cea în două straturi  $Z/m$  bobine. În figurile 2.31—2.34 se prezintă înfășurări într-un strat, precum și dispunerea capetelor de bobine. Înfășurările în două straturi au avantajul, în raport cu cele într-un singur strat că se pot executa bobine cu deschiderea dorită, atît în cazul înfășurărilor întregi, cît și fracționare. În figurile 2.35...36 se prezintă înfășurări în două straturi.

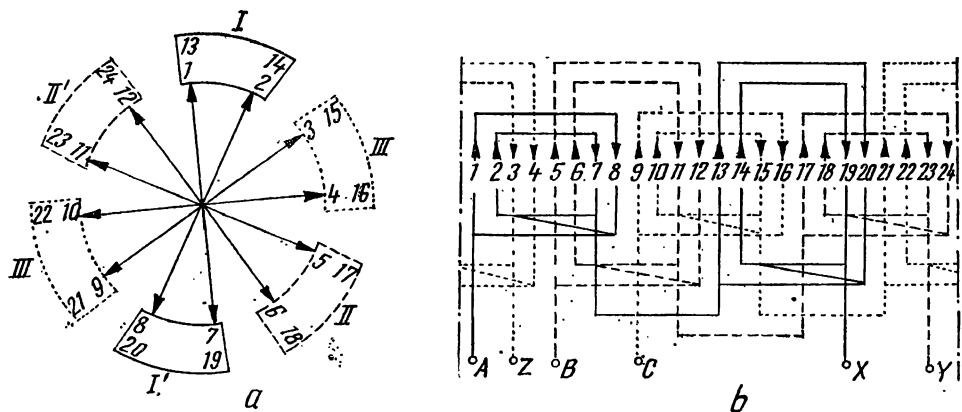


Fig. 2.31. Steaua t.e.m pentru  $Z = 24$ ,  $p = 2$ ,  $m = 3$ ;  $\alpha = 30^\circ$  avînd indicate zonele pentru fiecare fază (a); schema înfășurării într-un strat în două etaje (b).

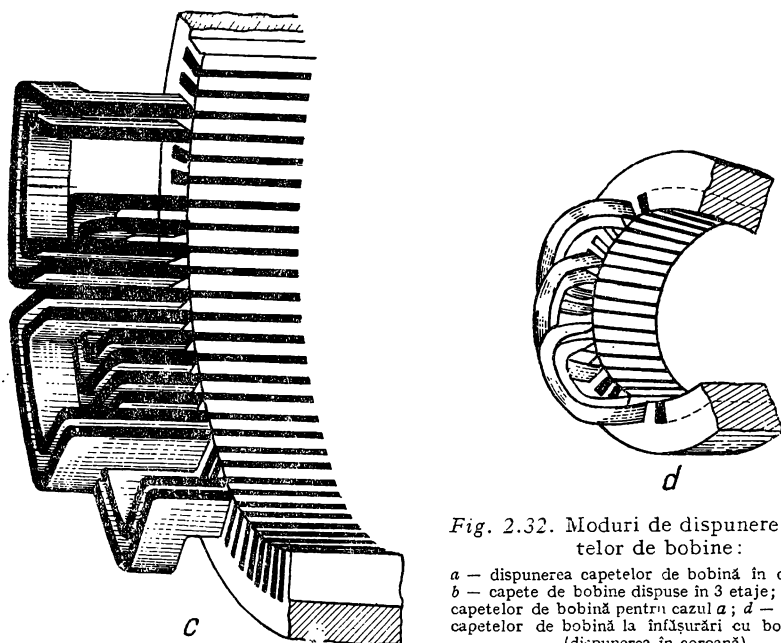
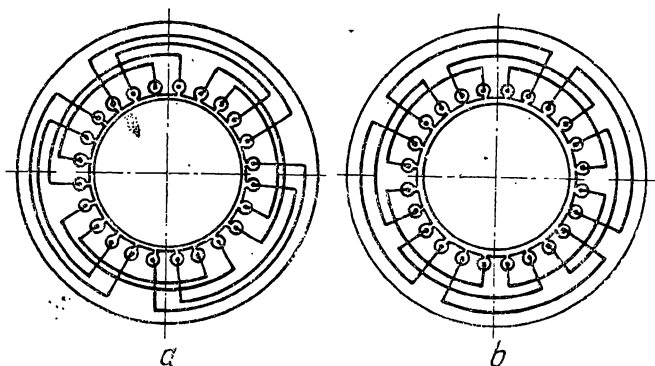


Fig. 2.32. Moduri de dispunere a capetelor de bobine:

$a$  — dispunerea capetelor de bobină în două etaje;  
 $b$  — capete de bobine dispuse în 3 etaje;  $c$  — forma capetelor de bobină pentru cazul  $a$ ;  $d$  — dispunerea capetelor de bobină la înfășurări cu bobine egale (dispunerea în coroană).

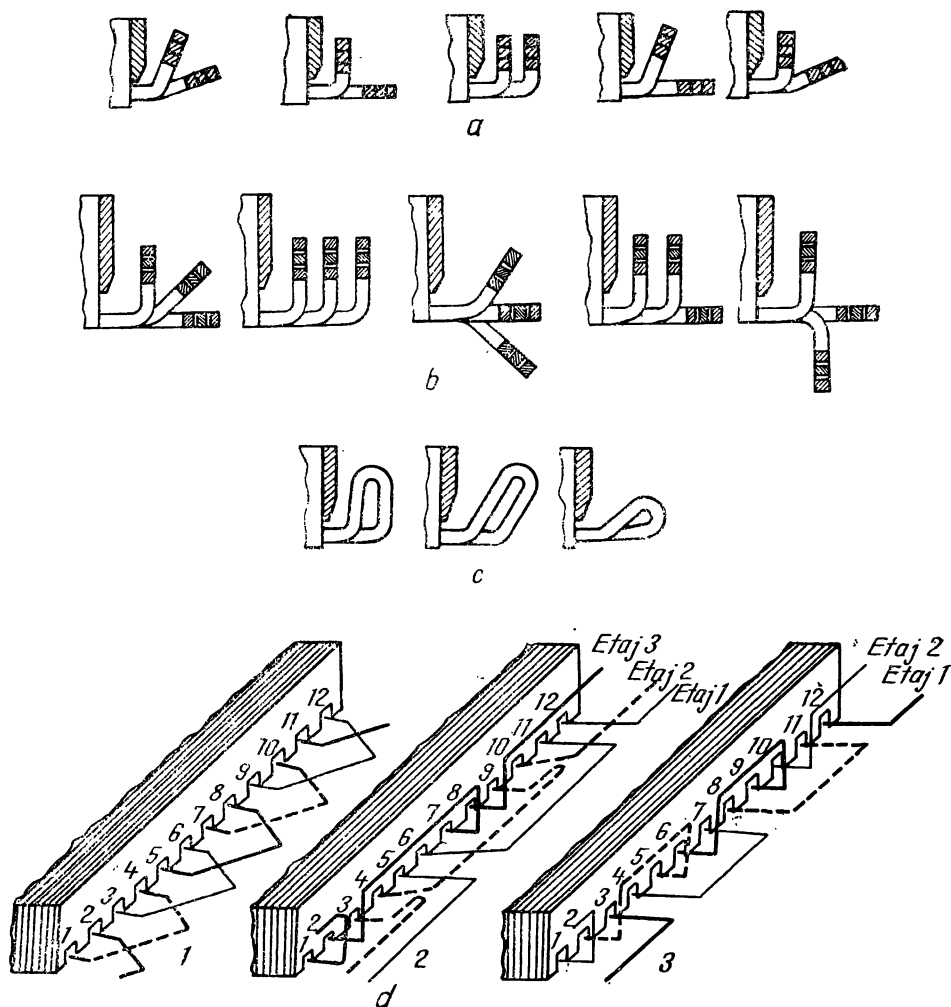


Fig. 2.33. Diferite forme ale capetelor de bobine:

*a* — capete de bobine dispuse în două etaje; *b* — capete de bobine dispuse în trei etaje; *c* — forma capetelor de bobine la înfășurările cu bobine egale; *d* — reprezentarea desfășurată a capetelor de bobine la înfășurări într-un strat: 1 — înfășurare cu bobine egale, cu capetele dispuse în coroană; 2 — înfășurare în trei etaje; 3 — înfășurare în două etaje.

*Înfășurarea în colivie*, utilizată în special la indusurile mașinilor de inducție în forma ei cea mai simplă este compusă din  $Z_2$  bare introduse în creștături. Acestea au capetele unite între ele prin câte un inel de scurtcircuitare de fiecare parte (fig. 2.37). Fiecare bară se consideră o fază scurtcircuitată, adică înfășurarea are  $m_2 = Z_2$  faze. Înfășurarea în colivie se utilizează și la mașini sincrone, plasată în tăpile polare și numită înfășurare de amortizare.

Cîmpul magnetic din întrefier produs de faza  $k$  formată dintr-un singur conductor se calculează aplicînd legea circuitului magnetic pe curba  $\Gamma_1$  și curba  $\Gamma_2$  (fig. 2.38). Permeabilitatea magnetică a circuitului magnetic se consideră foarte mare, și deci cîmpul magnetic are o distribuție spațială

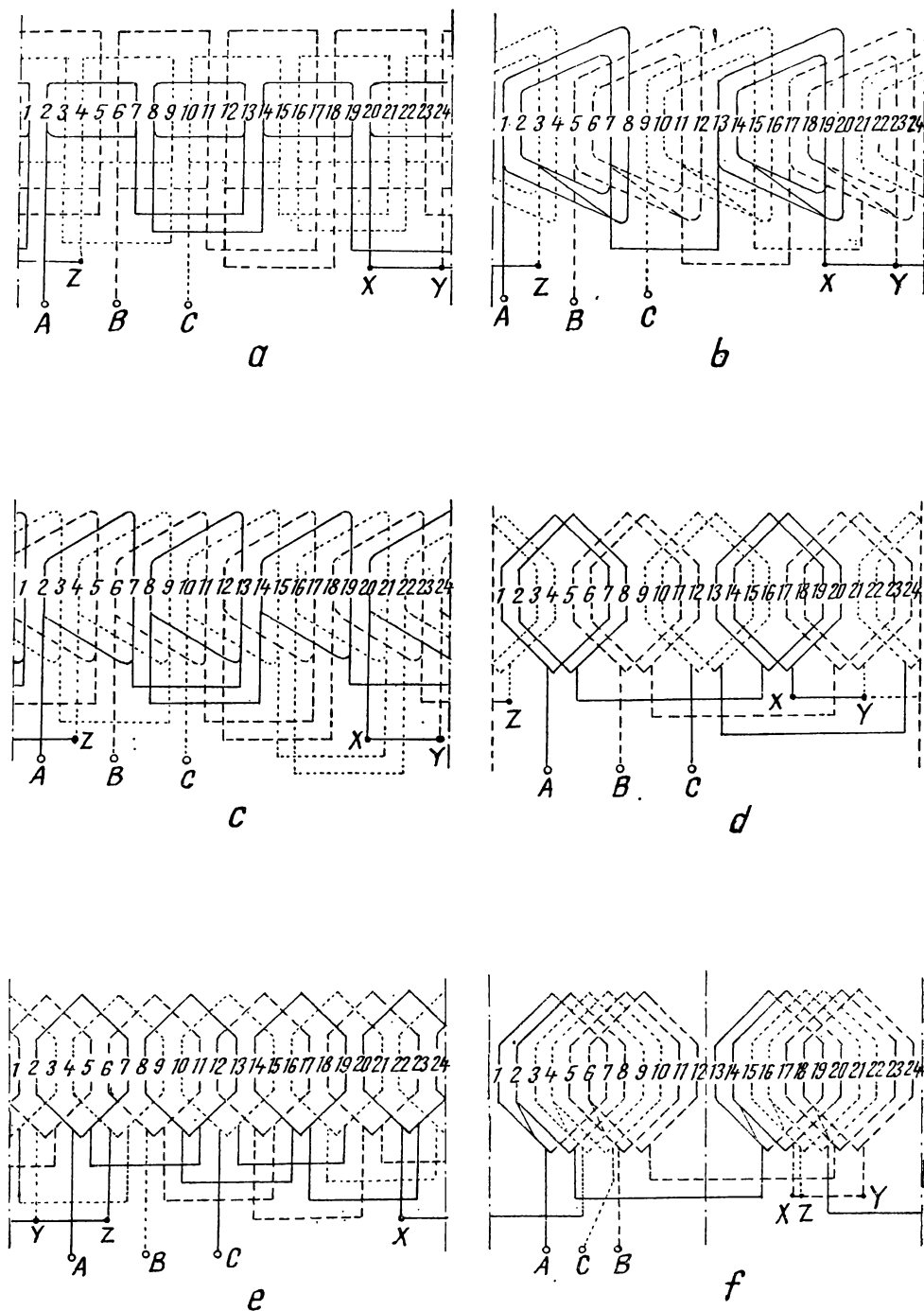


Fig. 2.34. Înfășurări trifazate într-un singur strat:

*a* — înfășurare cu capetele bobinelor uniform repartizate dispuse în 3 etaje; *b* — înfășurare trifazată cu grupuri de bobine identice; *c* — înfășurare cu bobine trapezoidale egale uniform repartizate; *d* — înfășurare cu bobine egale și grupuri uniform repartizate; *e* — înfășurare cu bobine egale uniform repartizate; *f* — înfășurare cu bobine egale pentru miezuri secționabile.

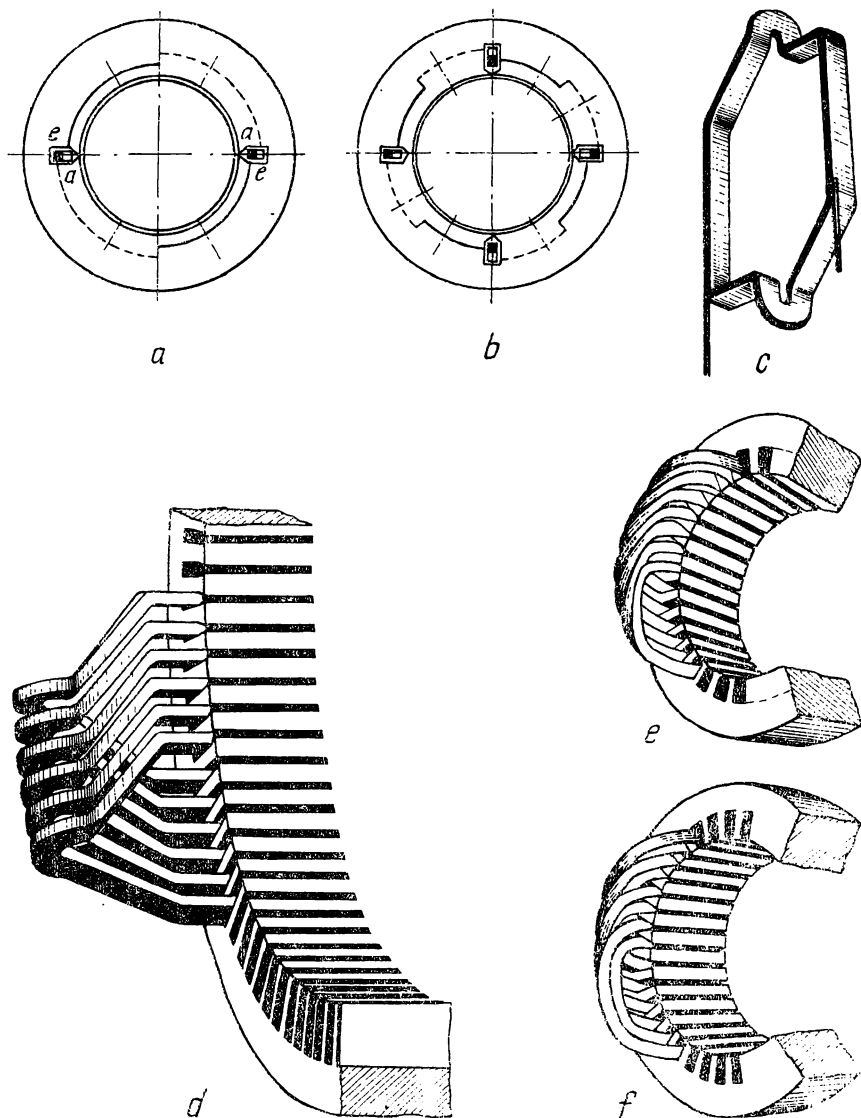


Fig. 2.35. Explicativă la înfășurările în două straturi:

*a* — mașină bipolară; *b* — mașină tetrapolară; *c* — bobină; *d, e* și *f* — dispunerea capetelor de bobine.

uniformă în aceste medii. Aplicînd legea circuitului magnetic pe curba  $\Gamma_1$ , rezultă  $H_0 = i/2\pi R$ . Neglijînd tensiunea magnetică pe direcția razei și în rotor, din aplicarea legii circuitului magnetic pe curba  $\Gamma_2$ , se obține:

$2\delta H_{\delta k} + 2\alpha_r \frac{i}{2\pi} = i$ , din această relație rezultă intensitatea cîmpului magnetic din întrefier  $H_{\delta k}$  care se poate dezvolta în serie Fourier:

$$H_{\delta k} = \frac{i}{2\delta} \left( 1 - \frac{\alpha_r}{\pi} \right) = \frac{i}{2\pi\delta} \sum_{n \in N^*} \frac{\sin n \alpha_r}{n} = \sum_{n \in N^*} H_{nk}. \quad (2.85)$$

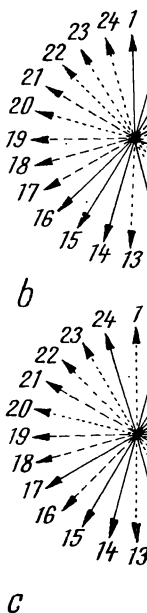
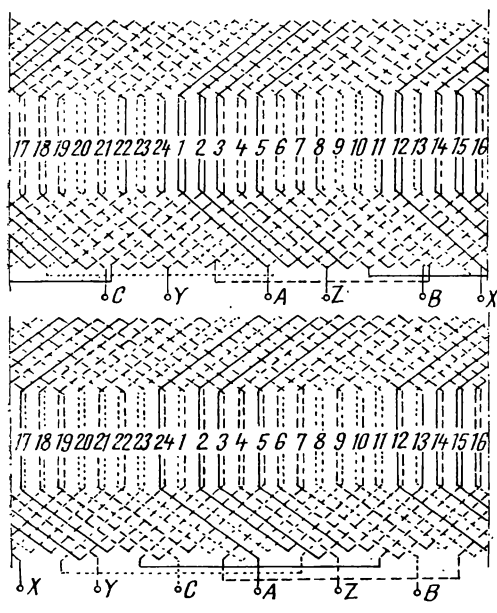
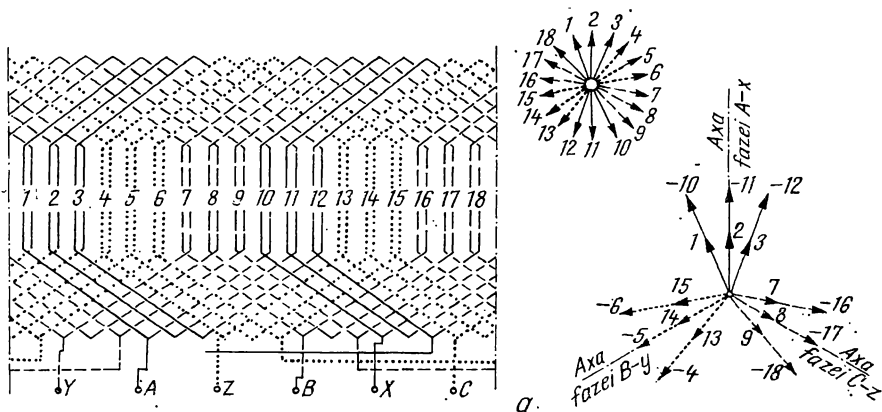
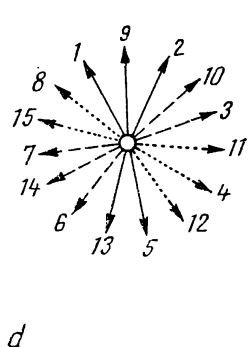
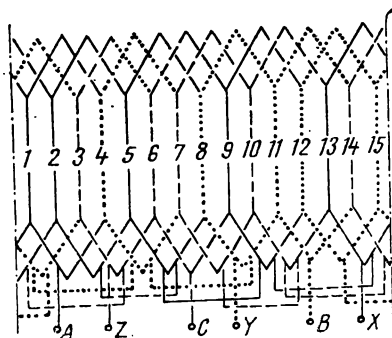


Fig. 2.36. Înfășurări în două straturi:

a - înfășurare trifază cu pas diametral și steaua creștăturilor  $Z = 18$ ,  $m = 3$ ,  $p = 1$ ,  $q = 3$ ; b - înfășurare trifază cu intercalarea unilaterală a fazelor și steaua creștăturilor  $Z = 24$ ,  $m = 3$ ,  $p = 1$ ,  $q = 4$ ,  $y = 10$ ; c - înfășurarea trifază cu intercalarea bilaterală a fazelor și steaua creștăturilor  $Z = 24$ ;  $m = 3$ ,  $p = 1$ ,  $q = 4$ ,  $y = 10$ ; d - înfășurare trifază cu  $q$  fracționar și steaua creștăturilor  $Z = 15$ ,  $p = 2$ ,  $m = 3$ ,  $y = 3$ .



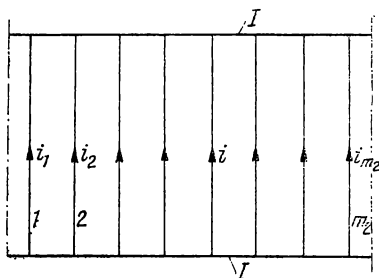


Fig. 2.37. Înfășurare în colivie: 1, 2, ..., m — barele coliviei; I — inelele de scurtcircuitare.

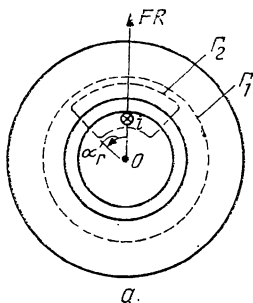
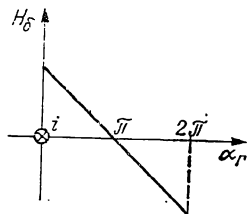


Fig. 2.38. Schiță pentru calculul cîmpului magnetic (a); variația componentei radiale a intensității cîmpului magnetic în lungul întrefierului (b).



În figura 2.38 se prezintă distribuția cîmpului magnetic. Cele  $Z_2$  faze distribuite uniform pe periferia rotorului și parcurse de un sistem simetric de curenți  $m_2$  — fazați produc cîmpul rezultat a cărui expresie pentru armonica  $n$  este

$$H_{\delta n} = \sum_{k=1}^{m_2} H_{kn} = \frac{I\sqrt{2}}{2\pi n\delta} \sum_{k=1}^{m_2} \cos\left(\omega_2 t - 2\pi p \frac{k-1}{m_2}\right) \sin n\left(\alpha_r - 2\pi \frac{k-1}{m_2}\right) =$$

$$= \frac{I\sqrt{2}}{4\pi n\delta} \sum_{k=1}^{m_2} \left\{ \sin\left[\omega_2 t - n\alpha_r - 2\pi \frac{k-1}{m_2}(p-n)\right] + \sin\left[\omega_2 t + n\alpha_r - \right.\right.$$

$$\left.\left. - 2\pi \frac{k-1}{m_2}(p+n)\right] \right\}$$

apar deci armonici de ordinul  $\frac{v_1}{p} m_2 + 1$  și  $\frac{v_1}{p} m_2 - 1$ ;  $n = p v_1$ ;  $v_1 \in N^*$ .

Cu  $I$  s-a notat valoarea efectivă a curentului din bara rotorică.

## 2.15.2. ÎNFĂȘURĂRI DE CURENT CONTINUU

Indusul mașinilor electrice cu colector se echează cu o înfășurare în tobă repartizată în două straturi (sau în patru straturi); această înfășurare este formată din mai multe bobine avînd două laturi active dispuse în creștături la periferia indusului (fig. 2.39).

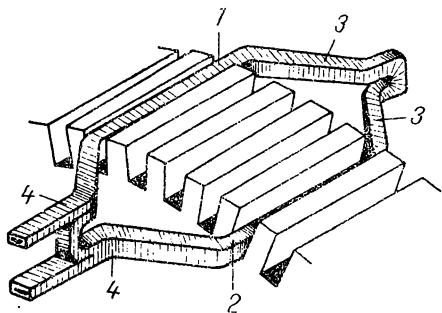
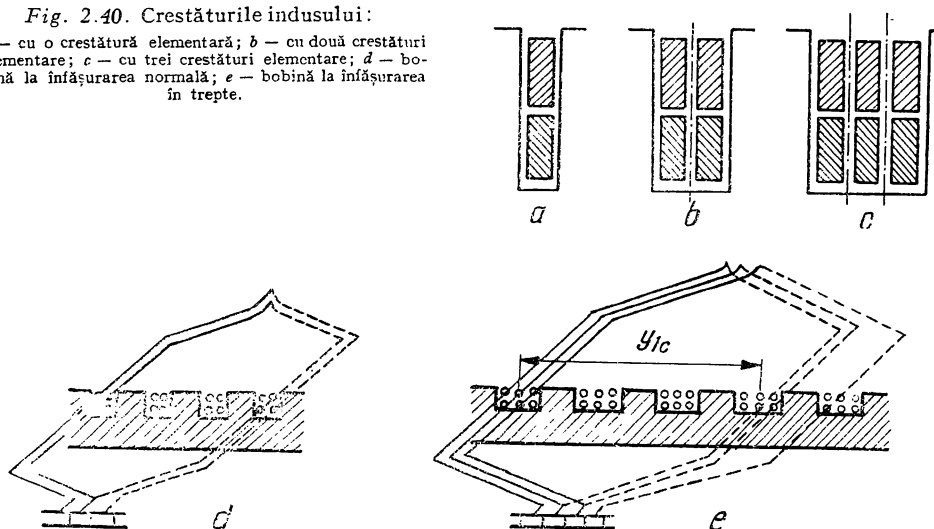


Fig. 2.39. Bobină executată pe șablon și așezată în creștăturile rotorului: 1, 2 — părțile active de ducere și de întoarcere; 3 și 4 — părțile frontale.

Înfășurările de curent continuu sînt închise și simetrice. Se disting conductoare de ducere, care sînt parcurse dinspre colector spre partea opusă mașinii și conductoare de întoarcere, care sînt parcurse în sens invers. Mai multe spire conectate în serie cuprinse între două legături succesive la colector, formează o secție; conductoarele unei laturi a secției formează un mănunchi. La

Fig. 2.40. Crestăturile indusului:

*a* — cu o crestătură elementară; *b* — cu două crestături elementare; *c* — cu trei crestături elementare; *d* — bobină la înfășurarea normală; *e* — bobină la înfășurarea în trepte.



înfășurarea normală numărul de secții  $S$  este egal cu numărul de lamele la colector  $K$ .

De regulă cele două mănunchiuri ale secției (de ducere și de întoarcere) se dispun în straturi diferite: latura de ducere în stratul superior (dinspre întrefier), iar latura de întoarcere în stratul inferior. În reprezentarea desfășurată a schemelor înfășurărilor, laturile de ducere se reprezintă cu linie plină, iar cele de întoarcere cu linie întreruptă.

Două mănunchiuri suprapuse în aceeași crestătură (aflate în straturi diferite) formează o crestătură elementară.

Într-o crestătură reală (fizică) pot fi conținute mai multe crestături elementare (fig. 2.40). Dacă  $Z$  este numărul de crestături atunci  $K = Zu$ . Secția reprezintă unitatea constructivă a unei înfășurări și se execută, în general, pe un șablon. Secțiunile se conectează la colector numai după ce au fost dispuse în crestături, lipindu-se capătul terminal al unei secții cu începutul secției următoare, la aceeași lamelă a colectorului. Porțiunea de înfășurare cuprinsă între două perii succesive de polarități opuse se numește cale de curent, numărul căilor de curent este par și se notează cu  $2a$ .

După modul de conectare al secțiilor de deosebesc: înfășurări buclate și înfășurări ondulate, iar fiecare tip de înfășurare poate fi simplu sau multiplu.

Pentru conectarea corectă a secțiilor trebuie cunoscuți pașii înfășurării. Acești pași se măsoară de regulă în număr de crestături elementare sau în număr de lamele la colector. Se disting următorii pași (fig. 2.41):  $y_1 \approx K/2p$  — primul pas sau pasul la spate, egal cu deschiderea secției (distanța dintre latura de ducere și cea de întoarcere) și se consideră pozitiv;  $y_2$  — al doilea pas sau pasul în față, egal cu distanța dintre latura de întoarcere a unei secții și latura de ducere a secției următoare, în sensul parcurgerii înfășurării;  $y$  — pasul rezultat, egal cu distanța dintre laturile de ducere a două secții înseriate succesive,  $y = y_1 + y_2$ ;  $y_k$  — pasul la colector, egal cu distanța dintre legăturile la colector ale începutului și sfârșitului unei secții, măsurat în număr de lamele la colector. La înfășurările normale



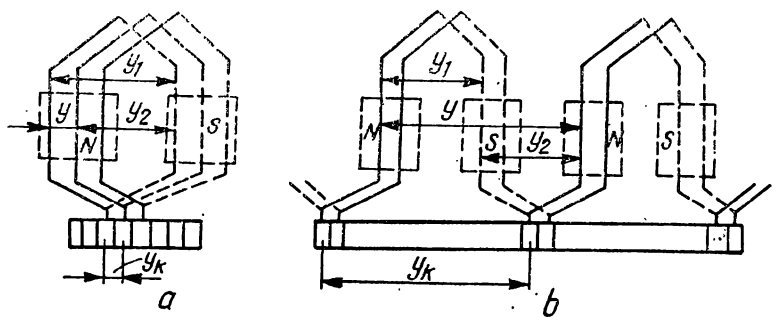


Fig. 2.41. Pașii înfășurării de curent continuu:  
a - pașii înfășurării buclate; b - pașii înfășurării ondulate.

$y = y_k$ . Pentru asigurarea simetriei înfășurării, numărul de secții pe o cale de curent trebuie să fie un număr întreg:

$$K/a = S/a = Z_e/a \in N^*; \quad Z_e = uZ = K = S. \quad (2.86)$$

Toate căile de curent trebuie să se găsească în orice moment în condiții identice în raport cu cîmpul magnetic al polilor de excitație, adică fiecărui mănunchi (latură) dintr-o cale de curent trebuie să-i corespundă în celelalte căi de curent, mănunchiuri aflate în condiții magnetice identice, rezultă că  $2p/a \in N^*$ .

a) *Înfășurarea buclată* are pasul  $y_1$  luat într-un sens la periferia indusului, iar  $y_2$  luat în sens invers și deci se consideră negativ. De obicei  $y_1 > y_2$  și deci  $y > 0$ . O asemenea înfășurare se numește neîncrucișată sau dreaptă (la parcurgerea înfășurării are loc deplasarea spre dreapta). La  $y_1 < y_2$  sau  $y < 0$  se obține înfășurarea încrucișată sau stîngă, practic neutilizată. În general  $2a = 2py$ ,  $y \in N^*$ .

Pentru  $y = y_k = 1$  se obține înfășurarea buclată simplă. Dacă  $y > 1$ , se obține înfășurarea buclată de ordin  $m = [y]$ . Pe colector se dispun  $2p$  perii echidistante, de polarități alternante; periile de aceeași polaritate se leagă în paralel. Înfășurarea buclată multiplă se închide de  $t$  ori,  $t = (n, k)$ . În figura 2.42, a se prezintă o înfășurare buclată simplă, la care periile au lățimea unei lamele. Periile vin în contact cînd numai cu o singură lamelă cînd cu două lamele vecine (secția conectată la cele două lamele este scurtcircuitată) deoarece colectorul este solidar cu rotorul, iar periile sînt fixe în spațiu; dacă periile sînt plasate pe colector într-o astfel de poziție încît secțiile scurtcircuitate temporar au laturile în zona interpolară atunci și t.e.m. induse în secțiile respective sînt mici sau nule și curenții din aceste secții sînt foarte mici sau nuli, ceea ce este favorabil pentru funcționarea mașinii. Dacă periile scurtcircuitează secțiile care au laturile exact în axa interpolară se spune că periile sînt fixate în axa neutră. Dacă periile ocupă altă poziție se spune că sînt decalate din axa neutră. Secțiile înfășurării se împart pe cele patru căi de curent, la un moment dat, conform figurii 2.42, b. În momentele următoare, componența căilor de curent se schimbă, însă pe fiecare cale de curent sînt inseriate același număr de secții. Cînd fiecare perie calcă pe două lamele într-o cale de curent se află trei secții (patru secții sînt scurtcircuitate de periile), iar cînd calcă numai pe o lamelă într-o cale de curent sînt patru secții. Secțiile sînt arătate prin două cifre care indică creșterile

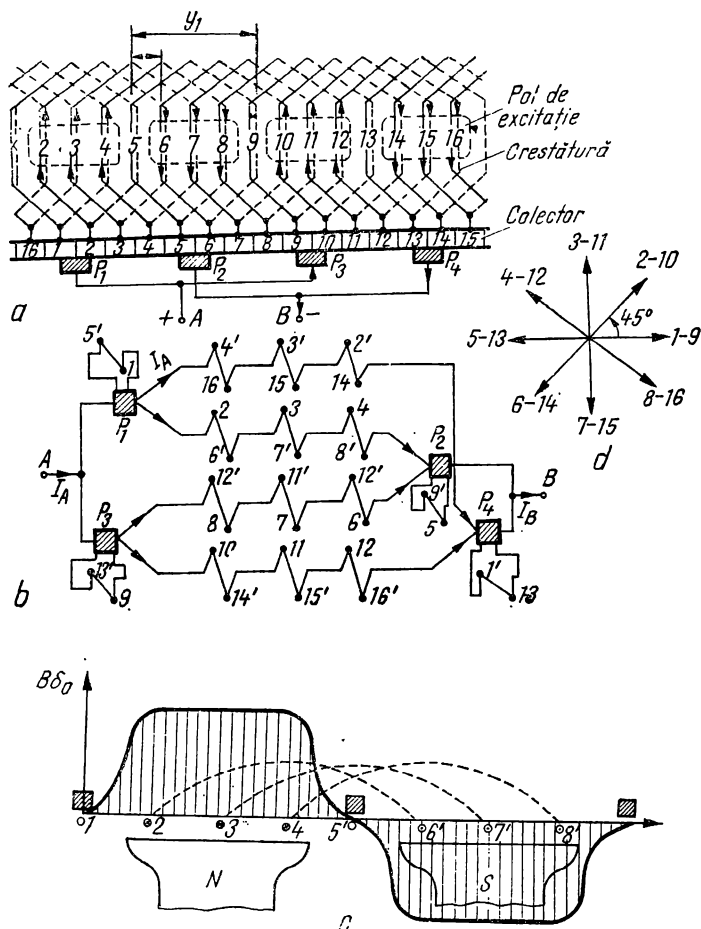


Fig. 2.42. Înfășurare buclată cu  $Z = 16$ ;  $2p = 4$ ;  $2a = 4$ ;  
 $y_1 = \tau$ :

a — reprezentarea desfășurată; b — componenta căilor de curent, bobinele cu laturile de ducere 1, 5, 9, 13 sînt scurtcircuitate; c — poziția în cîmpul magnetic inductor a secțiilor unei căi de curent; d — steaua t.e.m.

în care sînt plasate mănunchiurile secției. În figura 2.42, c este arătată poziția secțiilor, la un moment dat, în cîmpul magnetic de excitație; toate cele trei secții ale unei căi de curent sînt situate în cîmpul unei perechi de poli, fiind dispuse echidistant. Din această cauză t.e.m. induse în căile de curent pot avea valori diferite, în cazul apariției unei excentricități a rotorului față de stator (produsă la montajul mașinii sau prin uzura lagărelor) sau a neomogenității circuitului magnetic, și deci curentul se distribuie neuniform pe căile de curent, producînd o încălzire suplimentară a înfășurării. Pentru a evita această situație înfășurarea indusului se echepează cu conexiuni denumite conexiuni echipotențiale de speța întîi, care constau din legături conductoare între punctele înfășurării care în mod normal ar avea același potențial, adică între puncte distanțate cu dublul pas polar ( $y_e = Z/p \in N^*$ .) Aceste legături permit închiderea curenților de circulație, în

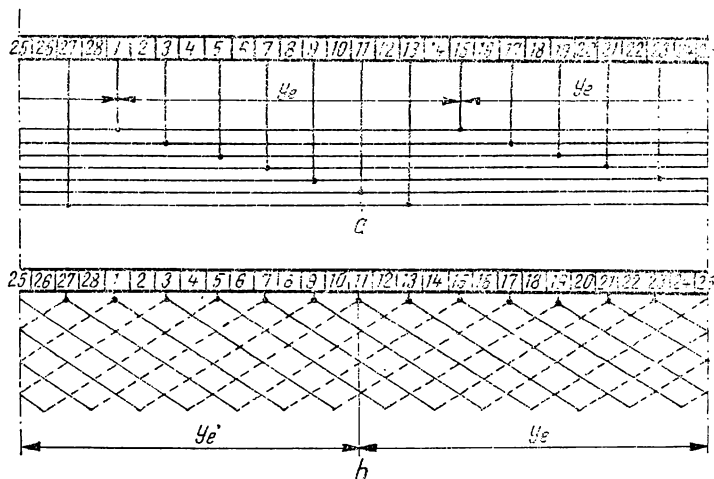


Fig. 2.43. Legături echipotențiale de speța I:

*a* — legături echipotențiale realizate prin inele; *b* — legături echipotențiale realizate sub formă de înfășurare.

afara legăturilor dintre perii; curenții de circulație produc o atenuare parțială a asimetriilor magnetice. Aproximativ  $\frac{1}{3}$  din numărul total de secții sînt echipate cu conexiuni echipotențiale și se execută în zona frontală a înfășurării fie de partea colectorului, fie de partea opusă colectorului (fig. 2.43 și 2.44).

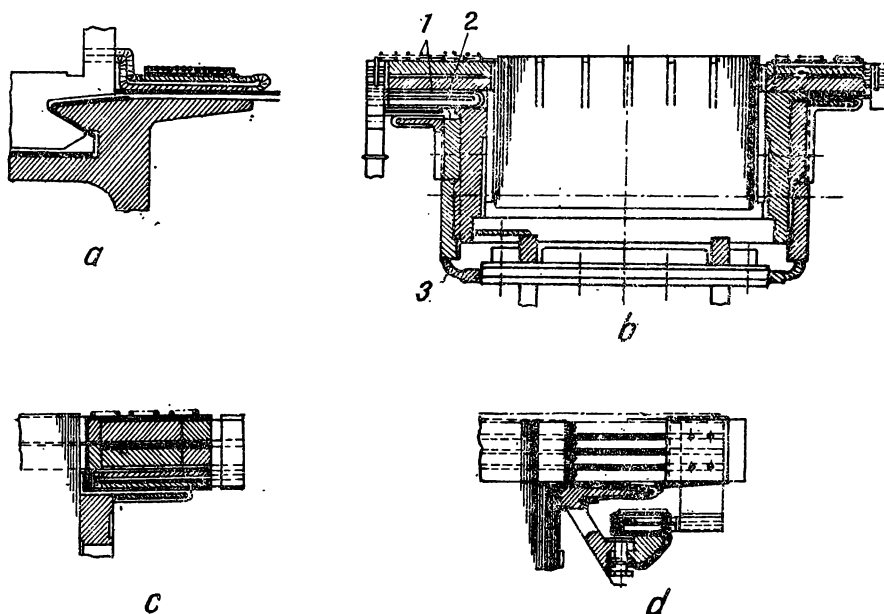
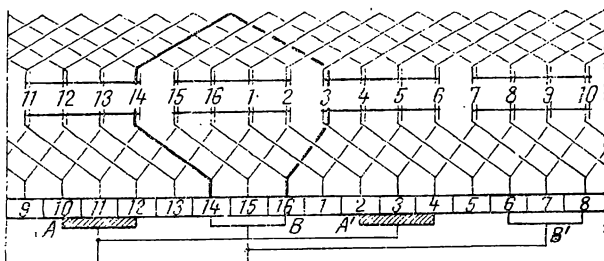


Fig. 2.44. Diferite moduri de plasare a legăturilor echipotențiale:

*a* — direct la colector; *b* — la steguleț; 1 — înfășurare rotorică; 2 — legături de speța I conectate la stegulețe; 3 — legături de speța II duse prin rotor; *c* — la partea opusă colectorului, sub înfășurare; *d* — la partea opusă colectorului, separat.

Fig. 2.45. Înfășurare buclată dublă avind  $Z = K = 16$ ,  
 $p = 2$ ,  $y_1 = 5$ ,  $y_2 = 3$ .



În figura 2.45 se prezintă o înfășurare buclată multiplă. Lățimea periei  $b_p \gg mb_k$ , în care  $b_k$  este lățimea lamelei colectorului.

La înfășurările multiple este posibil ca o perie să nu realizeze un contact bun cu toate lamelele, rămînînd în circuitul indusului numai o parte din căile de curent prin care trece curentul total; se va produce o încălzire suplimentară a acestor căi de curent. Între perie și lamela cu care nu se realizează contactul, apare o tensiune electrică egală cu tensiunea indusă în secție și se produc scînteii la colector. Pentru o uniformizare a potențialului electric al lamelilor se execută conexiuni echipotențiale de speța a doua între capetele de bobine dinspre colector și cele opuse colectorului (fig. 2.46).

Pentru a evita inducerea unor t.e.m. în aceste conexiuni, ele sînt conduse prin interiorul indusului în afara cîmpului magnetic din întrefier. În cazul general, conexiunile echipotențiale de speța întâi îndeplinesc și rolul conexiunilor de speța a doua, cînd acestea leagă între ele secții aparținînd înfășurărilor distincte (la înfășurarea închisă de mai multe ori), sau contururilor diferite. Conexiunile echipotențiale de speța a doua se pot realiza dacă  $y_1 - y_\tau = y_2 - y_\tau$ ; ( $y_\tau = K/2p$ ).

b) *Înfășurarea ondulată* are pasul  $y_2$  pozitiv; pasul rezultat  $y$  este mai mare sau mai mic ca  $2\tau$  pentru ca toate secțiile să poată fi conectate succesiv în înfășurare.

Condiția de închidere este:  $y = y_k = (K \pm a)/p$ ; semnul (—) corespunde înfășurării neîncrucișate, iar (+) înfășurării încrucișate. Pentru  $a = 1$  se obține înfășurarea ondulată simplă, sau înfășurarea serie simplă. Pentru  $a > 1$  se obține înfășurarea ondulată multiplă de ordinul  $m = a$ , numită și înfășurare serie paralel. La mașinile cu înfășurare ondulată ar fi suficiente două perii pe colector, decalate cu un număr impar de pași polari, însă din motive de utilizare mai bună a colectorului se prevăd de regulă tot  $2p$  perii, egal distanțate. În figura 2.47, a se prezintă o înfășurare ondulată

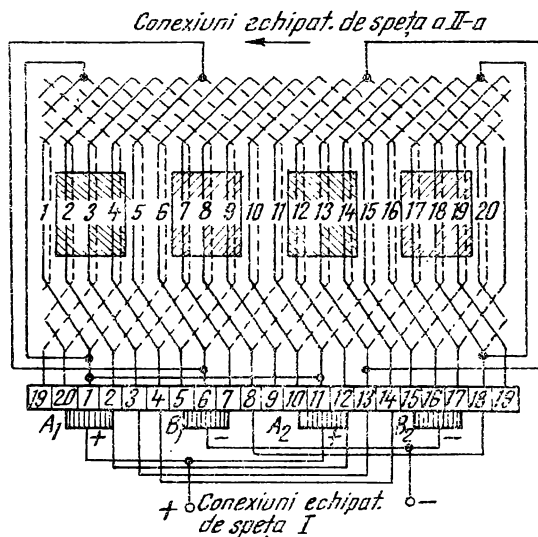


Fig. 2.46. Înfășurare buclată dublă echipată cu conexiuni echipotențiale de speța I și de speța aII-a:  
 $S = K = Z = 20$ ;  $p = 2$ ;  $u = 1$ ,  $m = 2$ .

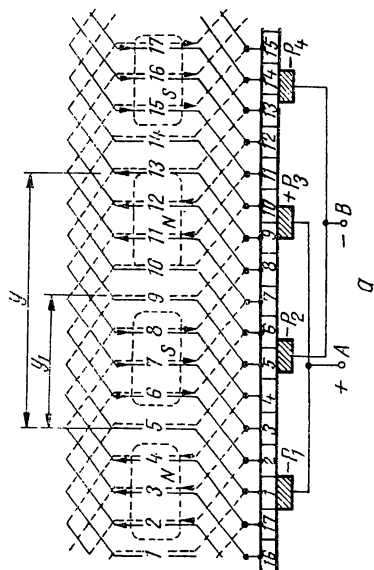


Fig. 2.47. Înfășurare ondulată simplă cu  $Z = 17$ ,  $p = 2$ ;

$$2a = 2, y_1 = 4;$$

$a$  — reprezentarea desfășurată;  $b$  — componenta căilor de curent (bobinele conectate cu laturile de duerc la lănele 1, 5, 10, 14, sunt scurtcircuitate);  $c$  — poziția în câmpul magnetic inductor a secțiilor unei căi de curent.

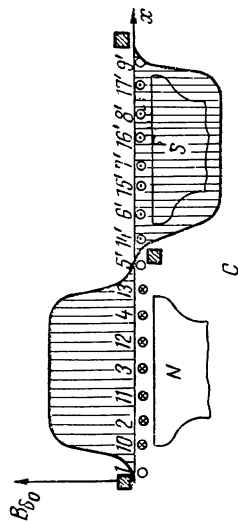


Fig. 2.48. Înfășurarea ondulată dublă avind  $Z = 20$ ,  $y_1 = 5$ ,  $y_2 = 4p = 2$ .

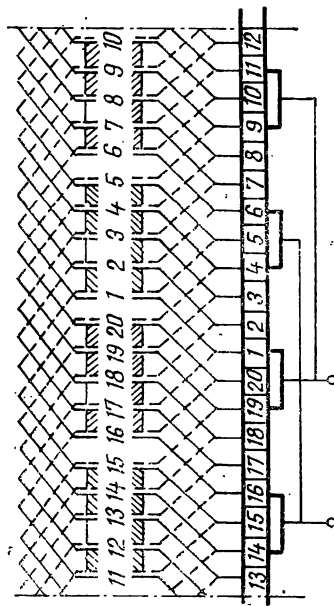
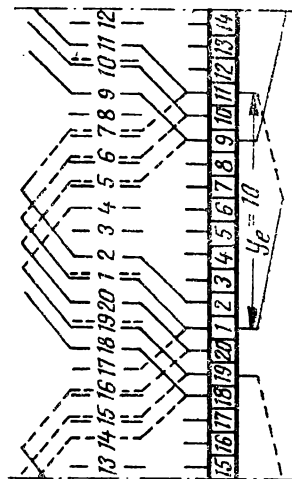


Fig. 2.49 Schema legăturilor echipotențiale de speța a II-a pentru înfășurarea ondulată dublă din figura 2.48.



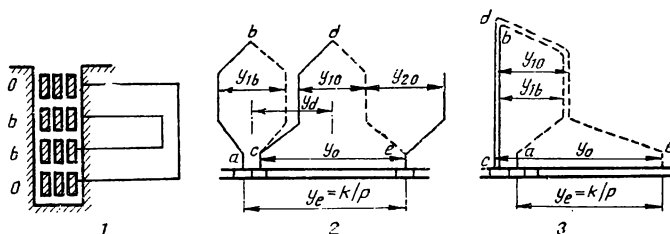
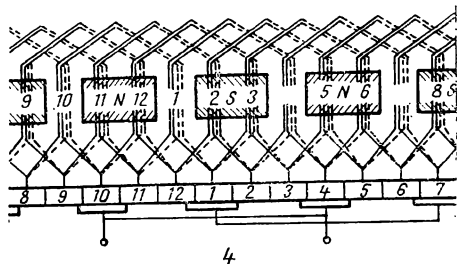


Fig. 2.50. Înfășurarea combinată:

1 - dispunerea în creștături a laturilor de bobine la înfășurarea combinată; 0 - laturi ale înfășurării ondulate; b - laturi ale înfășurării buclate; 2 - secții de înfășurare la înfășurarea combinată tip Latour; 3 - secții de înfășurare la înfășurarea combinată tip BBC (Brown-Bowery Company); 4 - înfășurarea combinată tip Latour cu  $Z = K = 12$ ,  $\gamma_{1b} = \gamma_{10} = 3$ ,  $p = 2$ .



simplă, avînd două căi de curent cu componența din 2.47, b și cinci secții scurtcircuitate prin intermediul a două perii de același semn. Se constată că două din cele patru perii pot lipsi. În figura 2.47, a se constată o deosebire importantă față de înfășurarea buclată: secțiile unei căi de curent sînt plasate în cîmpul magnetic al tuturor perechilor de poli, fapt care constituie un avantaj în cazul nesimetriilor magnetice ale polilor deoarece nu mai sînt necesare legături echipotențiale de speța întii.

Înfășurările ondulate multiple (fig. 2.48) necesită conexiuni echipotențiale de speța a doua, acestea se efectuează de aceeași parte a înfășurării cu pasul  $y_e = K/p \in N^*$  (fig. 2.49); dacă nu se pot executa de aceeași parte a indusului; înfășurarea trebuie construită astfel încît să fie posibile conexiuni echipotențiale între puncte ale înfășurării aflate de o parte și de alta a indusului, acestea pot îndeplini și rolul unor conexiuni echipotențiale de speța întii atenuînd neuniformitatea fluxurilor magnetice polare. Dacă conexiunile sînt efectuate numai între înconjururi complete (grupe de cîte  $p$  sau multiplu de  $p$  conectate în serie), atunci îndeplinesc numai rolul de conexiuni echipotențiale de speța a doua.

c) *Înfășurările combinate* elimină conexiunile echipotențiale și sînt formate în mod normal dintr-o înfășurare buclată simplă și o înfășurare ondulată multiplă de ordinul  $m = p$  racordate la același colector. În principiu sînt posibile două tipuri de înfășurări combinate: tip Latour și tip BBC (fig. 2.50). Utilizarea înfășurării BBC este mai restrînsă.

Domeniul de aplicare și caracteristicile constructive ale diferitelor tipuri de înfășurări sînt prezentate în tabelul 2.4.

## 2.16. T.E.M. INDUSE ÎN ÎNFĂȘURĂRILE MAȘINILOR ELECTRICE

Se vor calcula t.e.m. induse în înfășurările de curent alternativ și cele induse în înfășurările de curent continuu pentru cazurile tipice întîlnite în teoria mașinilor electrice.

TABELUL 2.4. Caracteristicile constructive ale înfășurărilor tip indus de curent continuu

Denumirea înfășurării	Pași de înfășurare			Numărul de căi de curent $2a$	Conexiuni echipotențiale	Domeniul de aplicare
	$y$	$y_1$	$y_2$			
Înfășurare buclată simplă	$\begin{matrix} + & 1 \\ (-) \end{matrix}$	$\frac{K}{2p} \mp \varepsilon$	$y_1 - y$	$2p$	Necesită conexiuni de speța I	Mașini de puteri mijlocii sau mari la tensiuni normale.
Înfășurare buclată multiplă	$\begin{matrix} + & m \\ (-) \end{matrix}$	$\frac{K}{2p} \mp \varepsilon$	$y_1 - y$	$2mp$	Pentru $m = 2$ și $\frac{Z}{p} =$ $=$ număr impar necesită conexiuni de speța I.	Mașini de puteri mijlocii și tensiuni mici. Mașini de puteri mari și de tensiuni normale.
					Pentru $m = 2$ și $\frac{Z}{p} =$ $=$ număr par necesită conexiuni echipotențiale de speța I și a II-a	
Înfășurare ondulată simplă	$\frac{K \mp 1}{p}$	$\frac{K}{2p} \mp \varepsilon$	$y - y_1$	2	Nu necesită.	Mașini de tensiuni normale și puteri mici. Mașini de tensiuni înalte și puteri mijlocii
Înfășurare ondulată multiplă	$\frac{k \mp m}{p}$	$\frac{K}{2p} \mp \varepsilon$	$y - y_1$	$2m$	Necesită conexiuni de speța a II-a	Mașini de puteri mijlocii sau mari și tensiuni normale.
	$y_0 = \frac{K}{p} - 1$ $y_b = 1$	$\frac{K}{2p} \mp \varepsilon$ $\frac{K}{2p} \mp \varepsilon$	$y_{20} = y_0 - y_{10}$ $y_{2b} = y_{1b} - y_b$	$4p$	Nu necesită.	Mașini de puteri mari și foarte mari și tensiuni înalte.

T.e.m. indusă de un câmp magnetic învîrtitor într-o înfășurare monofazătă de curent alternativ cu pas scurtat se calculează pe baza relației (2.77). Se consideră că înfășurarea este dispusă pe rotor și are  $q_2$  creștături pe pol și fază (fig. 2.51); sistemul de referință FR coincide cu axa magnetică a înfășurării rotorice. Pentru precizarea ideilor se va considera  $q_2 = 3$ , se presupune că rotorul este în mișcare și are viteza unghiulară  $\Omega_2$  constantă. Înfășurarea are scurtarea  $s''$ , iar unghiul dintre două creștături consecutive este  $\gamma''$ . Fluxurile magnetice prin bobinele 11, 1'1', 1''1'', care fiecare are  $N_{q_2}$  spire, sînt:

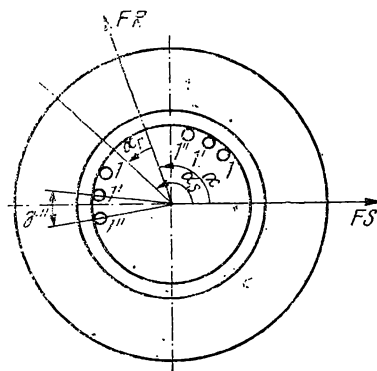


Fig. 2.51. Înfășurare monofazătă ( $q_2 = 3$ ) dispusă pe rotor.

$$\begin{aligned}\varphi_{b2} &= N_{q2} \Phi_m k_{s2} \cos(\omega_1 t - p\alpha); \quad \varphi'_{b2} = N_{q2} \Phi_m k_{s2} \cos[\omega_1 t - p(\alpha - \gamma'')]; \\ \varphi''_{b2} &= N_{q2} \Phi_m k_{s2} \cos[\omega_1 t - p(\alpha + \gamma'')] \quad (2.87)\end{aligned}$$

deoarece axa magnetică a bobinei 1'1' face unghiul  $\alpha - \gamma''$  cu axa FS, iar a bobinei 1''1'' face unghiul  $\alpha + \gamma''$ . Pentru a calcula suma celor trei fluxuri magnetice se procedează ca și în cazul calculului tensiunii magnetice, se obține:

$$\varphi = q N_{q2} \Phi_m k_{s2} \cos(\omega_1 t - p\alpha). \quad (2.88)$$

Înfășurarea fiind în dublu strat și avînd la periferia rotorului  $2p$  gruppuri de bobine poziționate identic în câmpul magnetic, rezultă fluxul total care înlănțuie înfășurarea monofazătă:

$$\psi = 2pq N_{q2} \Phi_m k_{w2} \cos(\omega_1 t - p\alpha) = w_2 \Phi_m k_{w2} \cos(\omega_1 t - p\alpha) \quad (2.89)$$

unde  $k_{w2} = k_{s2} k_{q2}$  este factorul de înfășurare, iar  $w_2 = 2pq_2 N_{q2}$  este numărul de spire al înfășurării.

În cazul în care rotorul este fix, adică  $\alpha = \text{const}$ , t.e.m. indusă în înfășurare este:

$$\begin{aligned}e &= -d\psi/dt = w_2 k_{w2} \Phi_m \omega_1 \cos\left(\omega_1 t - p\alpha - \frac{\pi}{2}\right) = \\ &= E_2 \sqrt{2} \cos\left(\omega_1 t - p\alpha - \frac{\pi}{2}\right) \quad (2.90)\end{aligned}$$

adică t.e.m. indusă este de pulsație  $\omega_1$  și decalată cu  $\frac{\pi}{2}$  în urmă față de fluxul magnetic; decalajul  $p\alpha$  depinde de poziția rotorului în raport cu FS. S-a notat  $E_2 = w_2 k_{w2} \Phi_m \omega_1 / \sqrt{2} = 4,44 f_1 w_2 k_{w2} \Phi_m$  valoarea eficace a t.e.m. induse.

Dacă rotorul este în mișcare și are viteza  $\Omega_2 = \text{const}$ , atunci  $\alpha = \Omega_2 t$ , iar fluxul magnetic  $\psi = w_2 k_{w2} \Phi_m \cos \omega_1 \cdot st$  unde  $s = (\omega_1 - p\Omega_2)/\omega_1$  este alunecarea. Deoarece câmpul magnetic învîrtitor are viteza unghiulară

$\Omega_1 = 2\pi n_1 = \frac{\omega_1}{p}$  alunecarea  $s$  se poate pune sub forma:

$$s = \frac{\Omega_1 - \Omega_2}{\Omega_1} = \frac{n_1 - n_2}{n_1} \quad (2.91)$$



unde  $n_1$  este viteza de sincronism, iar  $n_2$  este viteza de rotație a rotorului. Mărimea  $s$  reprezintă viteza relativă dintre câmpul magnetic învîrtitor și rotor exprimată în fracțiuni din viteza câmpului magnetic învîrtitor inductor. T.e.m. indusă în înfășurarea monofazată rotorică este:

$$e_2 = - \frac{d\psi}{dt} = w_2 k_{w2} \omega_1 s \Phi_m \cos \left( s \omega_1 t - \frac{\pi}{2} \right) = E_{2s} \sqrt{2} \cos \left( \omega_2 t - \frac{\pi}{2} \right) \quad (2.92)$$

unde  $\omega_2 = s \omega_1$  este pulsația t.e.m. indusă în înfășurarea considerată; se mai poate scrie:  $\omega_2 = 2\pi f_2 = 2\pi s f_1$  sau  $s = f_2/f_1$ , iar  $E_{2s} = 4,44 f_1 s w_2 k_{w2} \Phi_m = s E_2$  și reprezintă legătura dintre valoarea eficace a t.e.m. la alunecarea  $s$  și valoarea eficace a t.e.m. cînd rotorul este fix ( $s = 1$ ).

Dacă  $s = 0$  atunci t.e.m.  $e_2$  indusă de fundamentală cîmpului magnetic învîrtitor este zero; în acest caz atît rotorul cît și cîmpul magnetic învîrtitor au aceeași viteză ( $n_1 = n_2$ ) și conductoarele înfășurării nu sînt interceptate de liniile de cîmp, adică fluxul magnetic prin orice suprafață deschisă mărginită de spirele înfășurării rămîne constant. În cazul în care înfășurarea cu  $w_1$  spire și factorul de înfășurare  $k_{w1}$  se află pe stator, calculul t.e.m. indusă în această înfășurare de același cîmp magnetic învîrtitor se face în același mod și se obține:

$$e_1 = w_1 k_{w1} \omega_1 \Phi_m \cos \left( \omega_1 t - p \alpha'_s - \frac{\pi}{2} \right) = E_1 \sqrt{2} \cos \left( \omega_1 t - p \alpha'_s - \frac{\pi}{2} \right) \quad (2.93)$$

unde  $\alpha'_s$  este unghiul dintre axa magnetică a înfășurării și axa FS, iar  $E_1 = 4,44 f_1 w_1 k_{w1} \Phi_m$ .

Expresia t.e.m.  $e_{2v}$  indusă de armonica  $v$  a inducției magnetice din întrefier se poate pune sub o formă asemănătoare:

$$e_{2v} = E_{2sv} \sqrt{2} \cdot \cos \left( \omega_1 s_v t - \frac{\pi}{2} \right); E_{2sv} = s_v E_{2v} \text{ unde } s_v = (\omega_1 - p v \Omega_2)/\omega_1 = 1 - v(1 - s) \text{ pentru } v = 6k + 1 \text{ și } s_v = 1 + v(1 - s) \text{ pentru } v = 6k - 1.$$

Valoarea efectivă a t.e.m. rezultante este  $E_e = \sqrt{\sum_v E_{2sv}^2}$ .

b) T.e.m. indusă într-o cale de curent a unei înfășurări de curent continuu de către un cîmp magnetic fix în spațiu (în raport cu FS) și constant în timp se calculează pe baza relației (2.75). Se consideră un cîmp magnetic cu o distribuție periodică în spațiu cu periile dispuse în axa neutră (fig. 2.52, a). T.e.m. indusă într-o bobină (notată  $i$ ) cu  $y_1 = \tau$  depinde de valoarea inducției

ei din dreptul conductorului de ducere, adică de  $\alpha_{si} = \alpha - \frac{\beta_1}{2}$ . Se consideră

că toate cele  $k$  secții dintr-o cale de curent au pasul  $y_1 = \tau$  și  $N_q$  spire; atunci t.e.m. indusă într-o cale de curent  $E_0$  va fi egală cu suma t.e.m. instantanee  $e_{bi}$  induse în secțiile care compun calea de curent:

$$E_0 = \sum_{i=1}^k e_{bi} = 2 L v N_q \sum_{i=1}^k B_\delta(\alpha_{si}) = 2 L v N_q B_{med} k \quad (2.94)$$

o secție oarecare s-a notat cu indicile  $i$ , iar inducția magnetică din dreptul laturii de ducere cu  $B_\delta(\alpha_{si})$ . Inducția medie sub pol este  $B_{med} = \frac{1}{k} \sum_{i=1}^k B_\delta(\alpha_{si})$ ; t.e.m.  $E_0$  este practic constantă deoarece depinde de  $B_{med}$ .

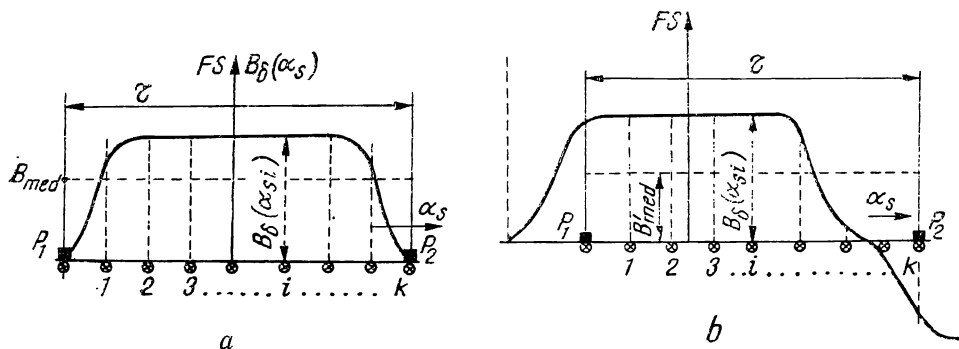


Fig. 2.52. Calculul grafic al inducției medii  $B_{med}$  cînd periile sînt în axa polară (a); calculul grafic al inducției medii  $B_{med}$  cînd periile sînt decalate din axa neutră ( $B_{med} < B_{med}$ ) (b).

Dacă înfășurarea cu  $2a$  căi de curent are  $N$  conductoare, atunci  $N = 4 a k N_q$ ; viteza periferică  $v$  poate fi scrisă în funcție de viteza de rotație  $n$  adică  $v = \pi D n / 60 = \pi R n / 30$ , iar fluxul magnetic pe pol  $\Phi_0 = L \tau B_{med}$ , cu aceste precizări se obține:

$$E_0 = \frac{p}{a} \cdot \frac{n}{60} N \Phi_0 = k_e \cdot n \Phi_0; \quad k_e = \frac{p}{a} \cdot \frac{N}{60}. \quad (2.95)$$

Prin urmare t.e.m.  $E_0$  este proporțională cu viteza de rotație  $n$  [rot/min] și cu fluxul magnetic (inductor) pe pol, dar  $\Phi_0 = \Phi_0(I_e)$ ; t.e.m.  $E_0$  nu depinde de distribuția în spațiu a cîmpului magnetic ci de valoarea medie pe pasul polar a inducției magnetice, respectiv de fluxul magnetic pe pol  $\Phi_0$ . Dacă periile ar fi decalate din axa neutră, atunci t.e.m.  $E_0$  ar fi mai mică, deoarece în expresia inducției  $B_{med}$  intervin și valori negative (fig. 2.52, b).

c) T.e.m. indusă de un cîmp magnetic pulsatoriu în timp și spațiu, într-o înfășurare de curent continuu cu periile decalate din axa neutră cu unghiul  $\beta$  se calculează pe baza relației (2.71). T.e.m. se calculează pe o cale de curent. Sistemul de referință FS are axa coincidentă cu axa magnetică a înfășurării de excitație (fig. 2.53). În cazul bobinelor egale unghiul dintre axele magnetice a două bobine este egal cu unghiul dintre laturile lor de ducere. Considerînd bobina de lîngă perie că are axa magnetică decalată cu unghiul  $\alpha$  față de FS și două bobine succesive au axele magnetice decalate cu unghiul  $\gamma'' = \frac{2\pi}{Z}$  rezultă că bobina de indice  $i$  este decalată față de FS cu unghiul

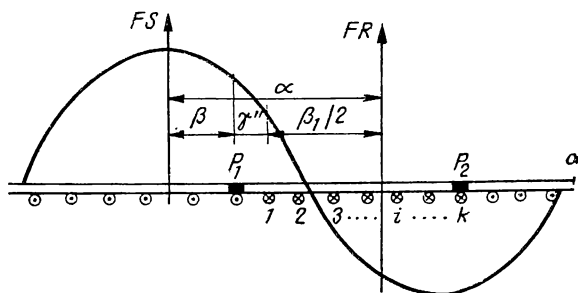


Fig. 2.53. Înfășurarea de curent continuu în cîmp magnetic pulsatoriu în timp și spațiu.



avînd două „componente”:  $\Phi_d = \Phi_m \sin p\beta$ ;  $\Phi_q = \Phi_m \cos p\beta$ . T.e.m. se pot pune sub forma:  $e_t = -w_a k_w \Phi_q \cos\left(\omega t - \frac{\pi}{2}\right)$ ;  $e_r = -w_a k_w \frac{\omega_r}{\omega} \Phi_d \cos \omega t$ .

Frecvența t.e.m.  $e_t$  și  $e_r$  este aceeași și egală cu frecvența fluxului magnetic inductor (independentă de turația rotorului). Calculul t.e.m. s-a efectuat la un moment oarecare și prin urmare distribuția secțiilor pe o cale de curent este aceeași, doar că la un alt moment vor fi alte secții în calea de curent; în timp ce o secție părăsește calea de curent, o altă secție intră în calea de curent, datorită simetriei înfășurării aceasta are loc în orice moment.

d) T.e.m. indusă de un cîmp magnetic învîrtitor într-o porțiune dintr-o înfășurare de curent continuu cuprinsă între două perii se calculează pe baza relației (2.78) întocmai ca la punctul c și se obține:

$$e = w_a k_s k_q \Phi_m s \omega_1 \cos\left(\omega_1 t - p\beta - p\beta_1 - \frac{k-1}{2} \gamma'' - \frac{\pi}{2}\right). \quad (2.100)$$

Dacă  $\beta_1 = \frac{\pi}{2p}$ ;  $\gamma'' = \frac{2\pi}{z}$ ; și cum  $k \gg 1$  rezultă:

$$e = w_a k_w \Phi_m s \omega_1 \cos\left(\omega_1 t - p\beta - \frac{\pi}{2}\right) = E_s \sqrt{2} \cos\left(\omega_1 t - p\beta - \frac{\pi}{2}\right) \quad (2.101)$$

adică defazajul în timp a t.e.m.  $e$  depinde de poziția periei de referință. În cazul unui sistem de perii formate din  $m$  perechi de perii dispuse uniform pe colector se obține un sistem simetric de t.e.m.  $m$  — fazat. Valoarea eficace a t.e.m.  $E_s$  depinde de alunecare, însă frecvența t.e.m. este independentă de viteza de rotație a rotorului și este egală cu  $\omega_1$ .

Dacă alimentarea se face prin rotor, atunci în sistemul FR cîmpul magnetic învîrtitor are expresia  $b(\alpha_r, t) = B_m \cos(\omega_1 t - p\alpha_r)$ , iar în sistemul FS are expresia  $b(\alpha_s, t) = B_m \cos(s\omega_1 t - p\alpha_s)$  și t.e.m. indusă în porțiunea de înfășurare cuprinsă între două perii este de frecvență  $s \cdot \omega_1$ .

## 2.17. CARACTERISTICA MAGNETICĂ

*Caracteristica magnetică* a unei mașini electrice reprezintă relația dintre fluxul polar  $\Phi$  al mașinii și t.m.m. corespunzătoare. Deoarece cîmpul magnetic este produs în general prin intermediul curenților electrici de conducție în locul t.m.m. se poate scrie solenația și atunci caracteristica magnetică are ecuația  $\Phi = f(\Theta)$ . Dacă mașina funcționează în gol, curenții electrici trec numai prin înfășurările părții inductoare. Curentul electric dintr-o fază a părții inductoare, necesar pentru producerea cîmpului magnetic, se numește curent de magnetizare. Această caracteristică se determină experimental sau prin calcul. Metoda de calcul este generală, doar relațiile utilizate depind de tipul mașinii.

În figura 2.54 se prezintă circuitele magnetice ale mașinilor electrice; pentru exemplificare se consideră mașina din figura 2.54, c. Circuitul magnetic al mașinii se descompune în domenii, pe cît se poate cu inducție magnetică constantă pentru porțiunea din linia de cîmp a domeniului respectiv. În cazul considerat sînt următoarele domenii: jugul statoric, miezul celor doi poli, întrefierurile sub cei doi poli, jugul rotoric și dinții armăturilor, adică:  $\Theta/p = 2V_s + 2V_z + 2V_p + 2V_{jr} + 2V_{js} = 2V_s(1 + V_{Fe}/2V_s) = 2V_s \cdot k_s$  (2.102)

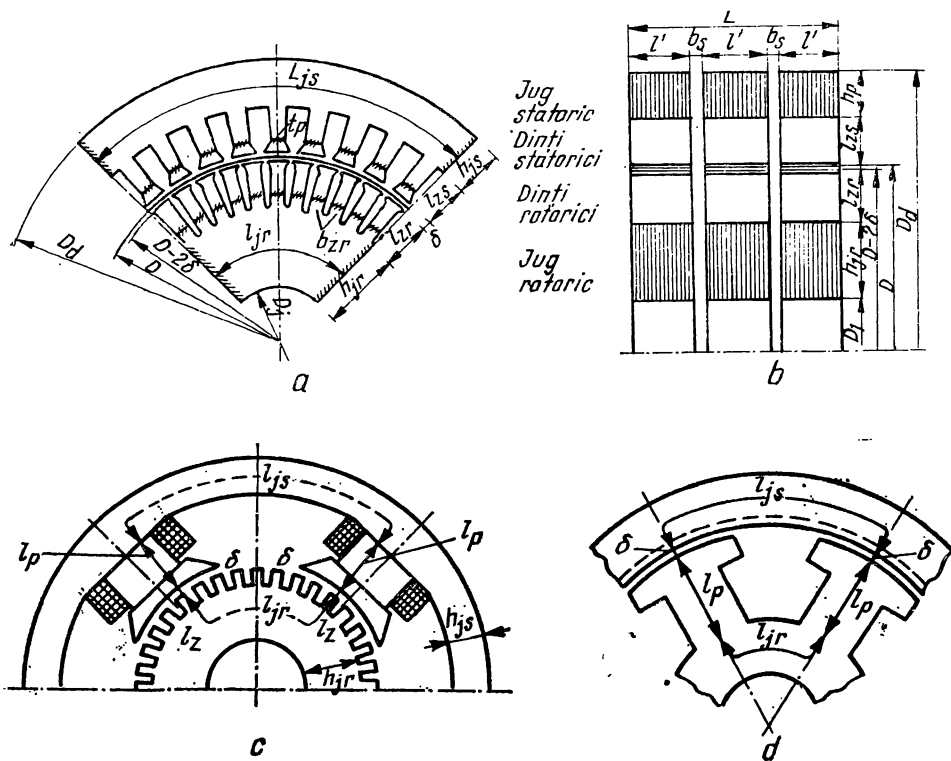


Fig. 2.54. Circuite magnetice ale mașinilor electrice: a și b — mașina de inducție; c și d — mașini cu poli aparenti (mașina de curent continuu, mașina sincronă).

unde  $k_s = 1 + V_{Fe}/2 V_\delta$  se numește *factor de saturație*; la mașinile de inducție  $k_s \in (1,5; 2,5)$ , iar la mașinile de curent continuu  $k_s \in (1,3; 1,6)$ . Se admite în întrefier o anumită inducție magnetică și apoi se calculează solenația necesară asigurării fluxului magnetic corespunzător.

**Întrefierul.** Pentru calculul t.m.  $V_\delta$ , se admite că cele două suprafețe care limitează întrefierul sînt netede și apoi se consideră influența creștăturilor. Variația inducției în întrefier (fig. 2.55) se echivalează cu un dreptunghi rectiliniu de lățime  $b_i$  care are aceeași înălțime și aceeași arie ca și cel curbiliniu, lățimea  $b_i$  este lățimea ideală a tălpii polare;  $b_i = \alpha_i \tau$  unde  $\alpha_i$  este factorul de acoperire polară.

Repartiția inducției magnetice după generatoare este de asemenea un dreptunghi curbiliniu. Dreptunghiul rectiliniu echivalent are lungimea  $L_i$  numită lungimea ideală a mașinii. Fluxul magnetic pe pol este:  $\Phi = \alpha_i \tau L_i B_\delta$ . În general, miezul feromagnetic al indusului se execută din pachete de tole de lungime  $l' = 4 \dots 7$  cm, separate prin  $n_s$  canale de ventilație, de lățime  $b_s$  (fig. 2.56). Aproximativ  $L_i = (L + L_p)/2$  unde  $L_p = (n_s + 1) l'$ .

Indusul este dințat și inducția magnetică pe un pas dentar  $\tau_a$  variază (fig. 2.57). Pentru a avea aceeași t.m.  $V_\delta$  ca în cazul indusului dințat, dar cu inducția  $B_\delta$  ( $B_\delta$  este media pe  $\tau_a$ ), indusul neted trebuie să aibă alt întrefier  $\delta' > \delta$ , în care  $B_{\delta_{max}} \cdot \delta/\mu_0 = B_\delta \cdot \delta'/\mu_0 = V_\delta$ . Există relația  $\delta' = k_c \cdot \delta$ , unde  $k_c$  se numește factorul lui Carter. Dacă ambele părți ale mașinii sînt

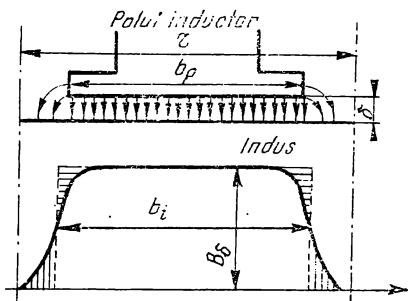


Fig. 2.55. Cîmpul magnetic inductor al mașinii de curent continuu de-a lungul pasului polar.

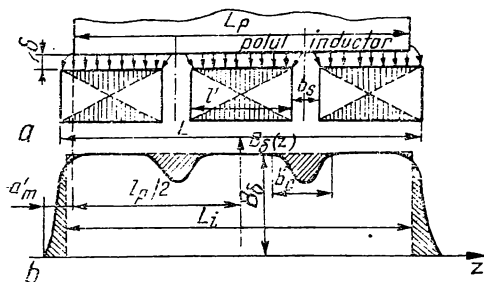


Fig. 2.56. Rotor cu canale radiale.

prevăzute cu creștături se calculează un factor unic  $k_c = k_{c1} \cdot k_{c2}$  unde  $k_{c1}$  și  $k_{c2}$  corespund fiecărei armături în ipoteza că cealaltă este netedă.

**Dinții.** Calculul t.m.  $V_z$ , se face considerînd dințele la mijlocul polului. Se calculează  $H_{2med}$  în dinte și t.m. este  $V_z = H_{2med} l_z$  ( $l_z$  — lungimea dintelui).

**Jugul indusului.** T.m.  $V_{jr}$  se calculează, determinînd mai întîi inducția medie din jug în axa neutră, apoi din curba de magnetizare se obține  $H_{jr}$  și  $V_{jr} = H_{jr} l_{jr}$ .

**Corpul polului.** Pentru a calcula  $V_p$ , trebuie să se determine fluxul magnetic de dispersie  $\Phi_o$  al polilor, care trece prin miezul polilor și nu străbate suprafața indusului ( $\Phi_o = 0,1 \dots 0,2 \Phi$ ). Fluxul magnetic din miezul polului este  $\Phi_p = \Phi + \Phi_o$  și îi corespunde inducția  $B_p$ , iar din curba de magnetizare rezultă  $H_p$  și  $V_p = l_p H_p$ .

**Jugul statoric.** T.m.  $V_{js}$  se calculează similar ca la jugul rotoric. Se deduce inducția medie din jug  $B_{js}$ , în axa neutră:  $B_{js} = \Phi_p / S_{js}$ . Din curba de magnetizare rezultă  $H_{js}$  și  $V_{js} = l_{js} H_{js}$ .

Curbele de magnetizare  $B = f(H)$  cît și caracteristicile de magnetizare  $\Phi = \Phi(I_e)$  se pot aproxima analitic prin funcții elementare (tabelul 2.5).

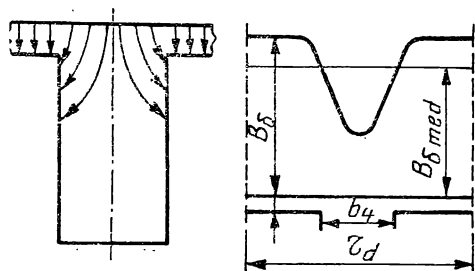


Fig. 2.57. Repartiția inducției magnetice în întrefier pe un pas dentar.

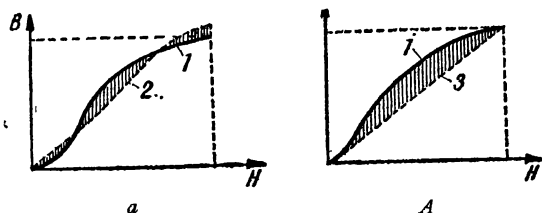
## 2.18. CÎMPUL MAGNETIC DE SCĂPĂRI

La o mașină electrică, cîmpul magnetic de scăpări (dispersie) al înfășurării plasate în creștături se poate descompune în trei părți: cîmpul de dispersie din creștătură, cîmpul de dispersie al capetelor de bobină și cîmpul de dispersie al capetelor de dinți. În figura 2.58 se prezintă liniile ale diferitelor cîmpuri de dispersie. Inductivitatea de dispersie se poate determina prin calcul.

TABELUL 2.5. Expresii analitice utilizate pentru curbele de magnetizare  
( $H$  în A/cm,  $B$  în kG)

Funcția	Valori orientative ale constantelor*	$K$
$H = a \exp (bB)$	$a = 0,004-0,2$ $b = 0,2-0,6$	0,05-0,12
$H = a [1-\exp (-bB)]$	$a = 15; b = 0,4$	0,074
$H = a_1 \exp(b_1 B) + a_2 \exp(b_2 B)$	$a_1 = 0,005-0,12$ $a_2 = 0,2-0,6$ $b_1 = 0,1-0,4$ $b_2 = 0,5-0,7$	0,04-0,06
$H = \frac{1}{a} [\exp (bB^2) - 1]$	$a = 1,2; b = 0,013$	0,076
$B = a \arctg bH + cH$	$a = 9,35; b = 0,82;$ $c = 0,05$	0,016
$B = a \operatorname{argsh} bH$	$a = 2,2; b = 7,1$	0,064
$B = \exp (H/a + bH)$	$a = 0,01; b = 0,1$	0,028
$B = a \operatorname{th} bH$	$a = 15; b = 0,42$	0,06
$B = H/(a + bH)$	$a = 0,09; b = 0,06$	0,011
$B = a_0 + a_1 H - \frac{a_2}{H}$	$a_0 = 13,8; a_1 = 0,08, a_2 = 8,7$	0,038
$B = a_0 - \frac{a_2}{H}$	$a_0 = 15,6; a_2 = 14$	0,062
$B = aH^n$	$a = 11,6; n = 0,0897$ sau $1/n \in \mathbb{N}^*$	0,02
$H = a_0 + a_1 B + a_n B^n + a_m B^m$	$a_0 = 0,35; a_1 = 0,145$ $a_n = 3,49 \cdot 10^{-7}$ $a_m = 0,41 \cdot 10^{-22}$ $n = 7; m = 22$	0,01
$H = a_1 \sin \omega t + a_3 \sin 3 \omega t + \dots$ $\dots + a_n \sin n \omega t$ $B = B_m \sin \omega t$	$a_1 = 11,6; a_3 = 6,2$ $a_5 = 3,1; a_7 = 1,3$ $a_9 = 0,6; a_{11} = 0,2$	0,01

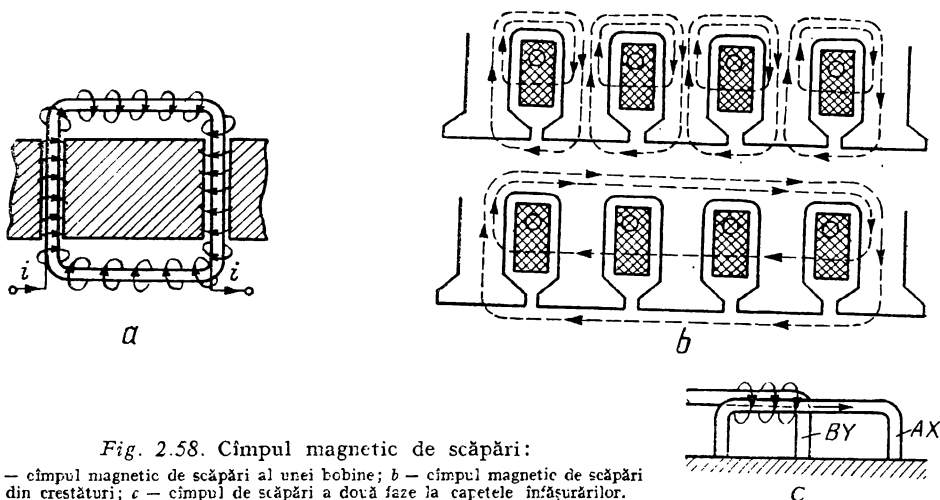
\* Coeficienții se determină în funcție de curba de magnetizare dată, fiind necesar ca graficul funcției de aproximare să treacă prin mai multe puncte importante sau prin puncte apropiate de acestea astfel ca coeficientul  $K$  să fie minim.



- 1 — curba reală;  
2 — aproximarea analitică;  
3 — aproximarea cu o dreaptă

$$K = a/A.$$

$a$  — aria hașurată mărginită de curbele 1 și 2;  
 $A$  — aria hașurată mărginită de curbele 1 și 3;



a) *Inductivitatea de dispersie a creștăturii*  $L_{c\sigma}$  pentru exemplificare se determină pentru cazul unei bobine cu  $w_b = w/pq$  spire dispusă în creștături semiînchise (fig. 2.59). Inductivitatea  $L_{c\sigma}$  se determină din energia magnetică a creștăturii:

$$\frac{1}{2} L_{c\sigma} i^2 = \frac{1}{2} \mu_0 \sum_{k=1}^4 \int_0^{h_1} H_{xk}^2 dV; dV = L_i b_k dx; k = 1, 2, 3, 4. \quad (2.163)$$

Pentru cele patru domenii ale creștăturii cîmpul magnetic este:

$$H_{x1} = i w_b x h_1 / b_1; H_{x2} = w_b i / b_2; H_{x3} = \frac{i w_b}{b_{3x}}; \\ b_{3x} = b_2 - \frac{x'}{h_3} (b_2 - b_4); x' = x - h_1 \simeq h_2; H_{x4} = w_b i / b_4. \quad (2.104)$$

Efectuînd calculele se obține inductivitatea  $L_{c\sigma} = L_i \mu_0 w_b^2 \lambda_c$  unde:

$$\lambda_c = h_1 / (3 b_1) + h_2 / b_2 + \\ + \frac{2 h_3}{b_2 + b_4} + h_4 / b_4 \quad (2.105),$$

$\lambda_c$  — coeficientul permeanței specifice a creștăturii.

În mod similar se determină  $\lambda_c$  pentru orice formă de creștătură (tabelul 2.6). La înfășurările în două straturi, curenții din laturile de bobină din cele două straturi pot fi defazați între ei; fluxul magnetic de dispersie din creștătură depinde de defazajul curenților.

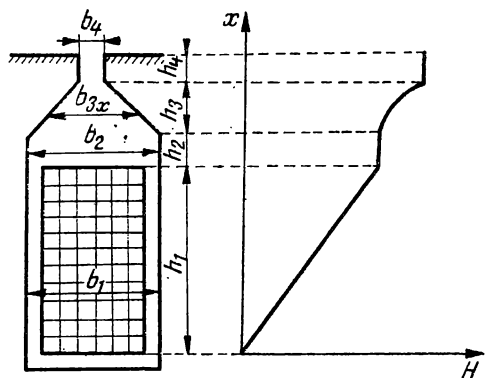
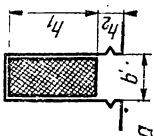
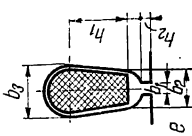
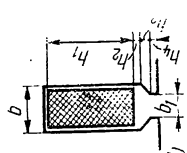
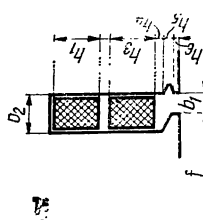
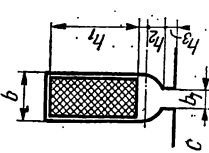
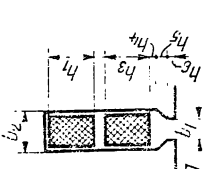
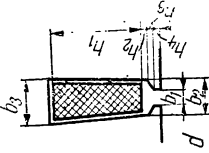
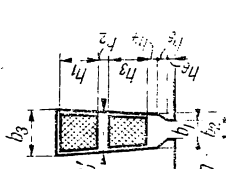
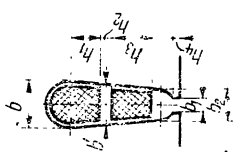
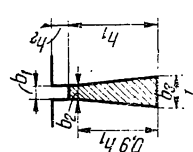

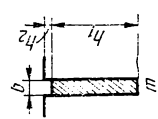
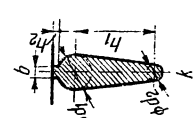
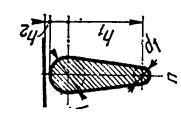
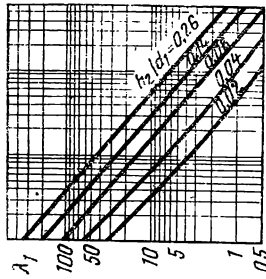


Fig. 2.59. Cîmpul magnetic de dispersie al creștăturii.



TABELUL 2.6. Permeanțele specifice pentru diferite tipuri de creștături

	$\lambda_e = \frac{h_1}{3b} + \frac{h_2}{b}$		$\lambda_e = 0,62 + \frac{2h_1}{3(b_2 + b_3)} + \frac{h_2}{b_1}$
	$\lambda_e = \frac{h_1}{3b} + \frac{h_2}{b} + \frac{2h_3}{b + b_1} + \frac{h_4}{b_1}$		$\lambda_e = \frac{h_1 + h_3}{3b_2} k_\beta + \left( \frac{h_4}{b_2} + \frac{h_2}{b_2 + 2b_1} + \frac{h_6}{b_1} \right) k'_\beta + \frac{h_2}{4b_2},$
	$\lambda_e = \frac{h_1}{3b} + \frac{h_2}{b} + 0,785 + \frac{h_3}{b_1}$		$\lambda_\beta = 0,25 + 0,75 k'_\beta$ $k'_\beta = 0,25 + 0,75 \beta$ $\beta = \frac{\gamma}{\tau}$
	$\lambda_e = \frac{2h_1}{3(b_2 + b_3)} + \frac{h_2}{b_2} + \frac{2h_3}{b_1 + b_2} + \frac{h_4}{b_1}$		$\lambda_e = \frac{h_1}{6(b_3 + b')} + \frac{h_2}{4b'} + \frac{h_3}{b' + b_2} k'_\beta + \left( \frac{h_4}{b_2} + \frac{2h_5}{b_1 + b_2} + \frac{h_6}{b_1} \right) k''_\beta,$ $k'_\beta = 0,25 + 0,75 \beta$ $k''_\beta = 0,42 + 0,75 \beta$

	$\lambda_e = 0,08 + \frac{h_1}{6(b_3 + b')} + \frac{h_3}{b' + b_2} k'_\beta + \frac{h_4}{(0,785 + \frac{h_4}{b_1}) k''_\beta}$ $k'_\beta = 0,25 + 0,75 \beta$ $k''_\beta = 0,42 + 0,75 \beta$ $\beta = \frac{\gamma}{\tau}$		$\lambda_e = \frac{h_1}{3 b_2} + \frac{h_2}{b_1}$
	$\lambda_e = 0,62 + \frac{h}{b}$		$\lambda_e = \frac{h_1}{3 b} + \frac{h_2}{b}$
	$\lambda_e = 0,62 + \frac{2 h_1}{3 (d_1 + d_2)} + \frac{h_2}{b}$		$\lambda_1 = \frac{2 h_1}{d_1 + d_2} + \lambda_4$ $\lambda_4 = f \left( \frac{h_2}{d_1}, \frac{I_b}{d_1} \right)$ $\gamma = \frac{d_1}{d_2}$ 

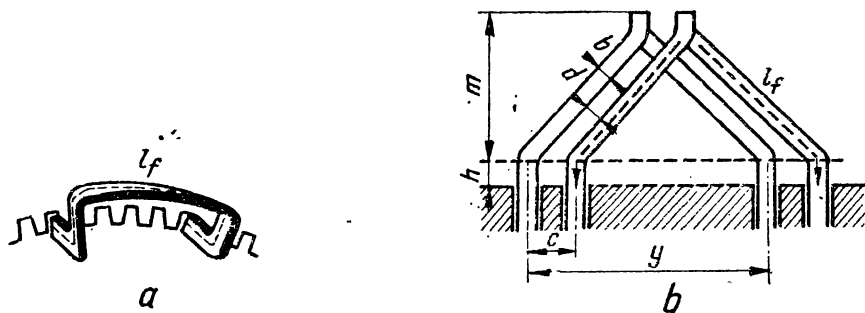


Fig. 2.60. Capete de bobine:  
a - înfășurare într-un strat; b - înfășurare în două straturi.

Se deduce că  $\lambda_c = (\lambda_i + \lambda_s + 2g\lambda_m)/4$  în care  $g = \frac{1}{s} \sum_{k=1}^s \cos \varphi_k$ ,  $s$  fiind numărul laturilor de bobină pe fază, iar  $\varphi_k$  defazajul curenților prin cele două laturi de bobină dispuse în aceeași creștătură;  $\lambda_i$  și  $\lambda_s$  sînt coeficienții permanențelor specifice ale laturilor de bobină din stratul inferior, respectiv superior, iar  $\lambda_m$  coeficientul permanenței specifice mutuale a celor două laturi de bobină.

b) *Inductivitatea de dispersie frontală*  $L_{\sigma f}$  se determină pe baza rezultatelor obținute prin măsurări pe modele, deoarece configurația cîmpului magnetic din regiunea capetelor de bobină depinde de tipul mașinii și de forma ei constructivă, iar calculele sînt dificile. Expresiile calculate corespund unui anumit model idealizat. Se poate calcula  $L_{\sigma f} = 2\mu_0 w^2 l_f \lambda_f / q$  dacă se cunoaște coeficientul permanenței specifice de dispersie frontală— $\lambda_f$ ;  $l_f$  este lungimea frontală a capătului de bobină (fig. 2.60). Pentru  $\lambda_f$  s-au stabilit expresii analitice pe considerente teoretice și experimentale (tabelul 2.7). În tabelul 2.8 sînt date valori ale lui  $\lambda_f$  măsurate pe mașini executate.

TABELUL 2.7. Calculul permeanței  $\lambda_f$  a capetelor de bobină

Tipul înfășurării	Relația de calcul
Înfășurare într-un strat, $2p > 2$ , cu capete de bobină în două etaje	$\lambda_f = 0,67 \frac{q}{l_1} (l_f - 0,64 \tau_i)$
Înfășurare într-un strat, $2p = 2$ , cu capete de bobină în trei etaje	$\lambda_f = 0,47 \frac{q}{l_1} (l_f - 0,64 \tau_i \beta_i); i = 1, 2$
Înfășurare într-un strat în lanț	$\lambda_f = 0,2 l_f \frac{q}{l_1}$
Înfășurare în două straturi, cu pas scurtat, cu capetele de bobină în coroană	$\lambda_f = 0,34 \frac{q}{l_1} (l_f - 0,64 \tau_i \beta_i); i = 1, 2$

$\beta_i$  este pasul mediu al bobinelor (1 — stator; 2 — rotor) raportate la  $\tau$ ;  
 $l_1$  este lungimea de fier a mașinii.

TABELUL 2.8. Coeficientul permeanței specifice frontale  $\lambda_f$  (valorile sînt stabilite atît pentru stator cît și pentru rotor)

Tipurile de înfășurări		Înfășurarea din stator	
		Într-un strat	În două straturi
Înfășurarea din rotor	Într-un strat	0,5	0,4 ... 0,3
	În două straturi	0,4	0,3
	În colivie	0,35	0,25 ... 0,15

c) *Inductivitatea de dispersie a capetelor de dinți*  $L_{\sigma z}$  corespunde fluxului magnetic de dispersie care se închide prin capetele dinților de la dinte la dinte (fig. 2.61).

Inductivitatea  $L_{\sigma z} = 0,8 \pi w^2 L_i \lambda_z$  intervine mai ales la mașinile cu întrefier mare (mașini sincrone); în acest caz  $\lambda_z = 5\delta/(5b_4 + 4\delta)$ , dacă mașina are poli aparenti atunci această expresie se multiplică cu  $b/\tau$ .

d) *Inductivitatea de dispersie diferențială*  $L_{\sigma d}$  corespunde diferenței dintre fluxul magnetic rezultat și fluxul magnetic al fundamentalei cîmpului magnetic. Se calculează pentru mașinile de curent alternativ cu cîmpul magnetic din întrefier nesinusoidal.

Inductivitatea  $L_{\sigma d} = 2\mu_0 w^2 L_i \lambda_d / p$  unde  $\lambda_d = \frac{m}{\pi^2} \cdot \frac{\tau}{\delta'} \sum_{v>1} \left( \frac{k_{wv}}{v} \right)^2$  pentru înfășurări bobinate (fig. 2.62, a) și  $\lambda_d = \frac{m}{\pi^2} \cdot \frac{\tau}{\delta'} \cdot \sum \frac{1}{2v/p \pm 1}$  pentru înfășurări în colivie (fig. 2.62, b).

Inductivitatea totală de dispersie a unei înfășurări este suma inductivităților parțiale:  $L_{\sigma} = L_{\sigma c} + L_{\sigma f} + L_{\sigma z} + L_{\sigma d}$ .

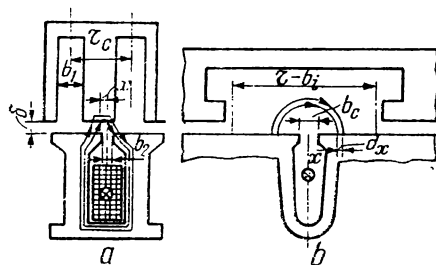


Fig. 2.61. Cîmpul de dispersie prin capetele dinților

a — mașina cu ambele armături crestate; b — mașina de curent continuu fără poli de comutație.

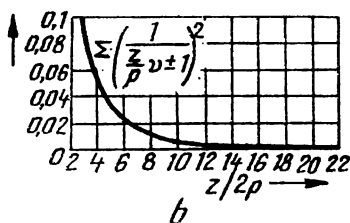
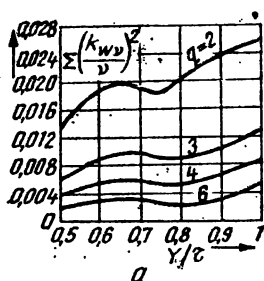


Fig. 2.62. Factorul  $\Sigma \left( \frac{k_{wv}}{v} \right)^2$  la înfășurările trifazate (a);  $\Sigma \frac{1}{2v/p \pm 1}$  la înfășurările în colivie (b).

## 2.19. EFECTUL PELICULAR

*Efectul pelicular* se manifestă într-o măsură mai mare sau mai mică la toate conductoarele înfășurărilor, când acestea sînt parcurse de un curent alternativ. Pentru a evidenția aspectele mai importante se consideră cazul simplu al unei bare dispuse într-o creștătură deschisă (fig. 2.63). Cîmpul electric  $E$  și densitatea de curent  $J$  au componente numai după direcția axială a creștăturii. Prin aplicarea legii circuitului magnetic pe curba  $\Gamma_1$ , a legii inducției electromagnetice pe curba închisă  $\Gamma_2$  și a legii lui Ohm rezultă:

$$\int_{\Gamma_1} \vec{H} \cdot d\vec{r} = H_y b_c = \int_0^x b J_z dx; \quad -l_c \left( E_z + \frac{\partial E_z}{\partial x} dx - E_z \right) = -l_c \mu_0 \frac{\partial H_y}{\partial x};$$

$$r_z = \rho J_z. \quad (2.106)$$

Din aceste ecuații, în regim sinusoidal se obține ecuația diferențială:

$$\frac{d^2 H_y}{dx^2} = \gamma H_y; \quad \gamma = \sqrt{\frac{j \omega \mu_0 b}{\rho b_c}} = (1 + j)\alpha; \quad \alpha = \sqrt{\frac{\omega \mu_0 b}{2 \rho b_c}}. \quad (2.107)$$

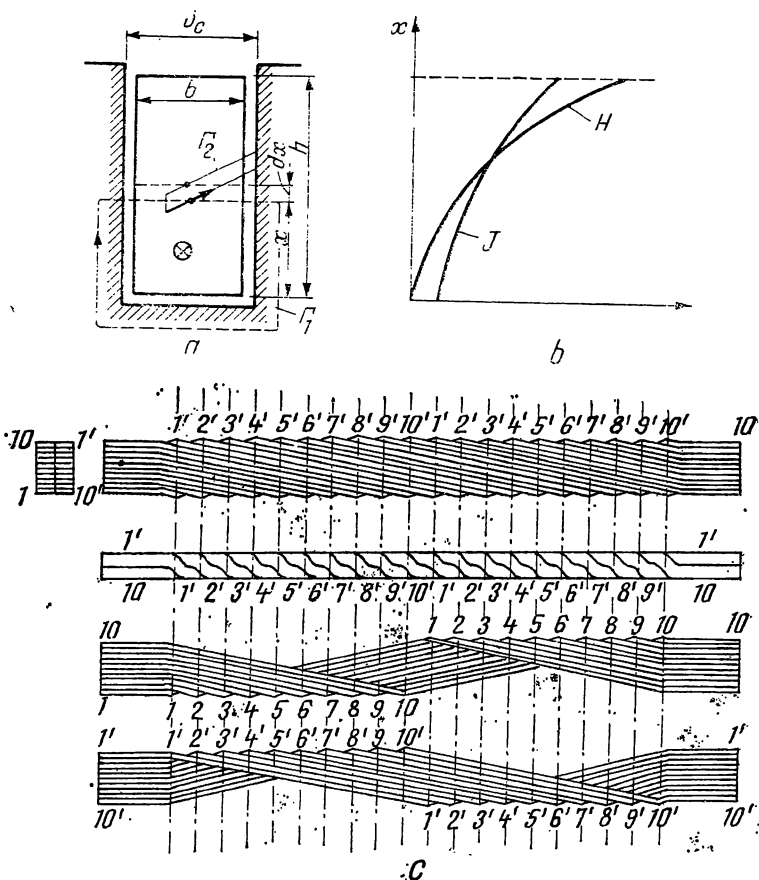


Fig. 2.63. Explicativă pentru scrierea ecuațiilor (a); variația cîmpului magnetic  $H$  și a densității de curent  $J$  în raport cu coordonata  $x$  (b); conductor executat din conductoare elementare transpuse (c).

Soluția ecuației (2.107) este de forma  $H_y = k_1 \operatorname{sh} \gamma x + k_2 \operatorname{ch} \gamma x$ ; din condițiile pe frontieră  $H_y(0) = 0$  și  $H_y(h) = I/b_c$  rezultă  $K_1 = I/b_c \operatorname{sh} \gamma h$ ;  $k_2 = 0$  și deci se obține:

$$H = \frac{I}{b} \frac{\operatorname{sh} \gamma x}{\operatorname{ch} \gamma h}; \quad E_z = \rho \frac{I}{b} \gamma \frac{\operatorname{ch} \gamma x}{\operatorname{sh} \gamma h}; \quad J_z = \frac{I}{b} \gamma \frac{\operatorname{ch} \gamma x}{\operatorname{sh} \gamma h}. \quad (2.108)$$

Puterea aparentă totală primită de bară este:

$$\begin{aligned} \underline{S} = \int_{S_8} E_z^* H_y dA = P + jQ = P_c \xi \frac{\operatorname{sh} 2\xi + \sin 2\xi}{\operatorname{ch} 2\xi - \cos 2\xi} + \\ + Q_c \cdot \frac{3}{2\xi} \cdot \frac{\operatorname{sh} 2\xi - \sin 2\xi}{\operatorname{ch} 2\xi - \cos 2\xi} \end{aligned} \quad (2.109)$$

unde  $P_c = \frac{l_c \rho I^2}{h b}$  sînt pierderile în bară, în curent continuu,  $Q_c = \omega \mu_0 l_c b I^2 / 3 b_c$  este puterea reactivă în cazul în care  $J_z$  are o distribuție uniformă, iar  $\xi = \alpha h$  este „înălțimea redusă” a barei.

Factorul de majorare a rezistenței barei  $k_R = P/P_c$  și factorul de reducere a inductivității  $k_L = Q/Q_c$  rezultă din (2.109).

Pentru a ilustra printr-o relație mai simplă consecințele efectului pelicular, se consideră  $|\gamma h| \gg 1$  ( $h \rightarrow \infty$ ) și rezultă valoarea efectivă  $J_z = J_0 \alpha h e^{\alpha(x-h)}$  unde  $J_0 = I/bh$ . În cazul în care  $\omega = \omega_2 = s \omega_1$  se obține  $J_z = J_0 \alpha_1 \frac{1}{s} h e^{\alpha_1 \frac{1}{s}(x-h)}$  care pune în evidență variația valorii eficace a lui  $J_z$  în raport cu frecvența și coordonata  $x$ .

Dacă în creștătură se află mai multe straturi dreptunghiulare (fig. 2.64), atunci pentru al  $p$ -lea strat  $k_{Rp} = \varphi(\xi) + I_u (I_u + I_p \cos \gamma) \psi(\xi) / I_p^2$  unde:

$$\varphi(\xi) = \xi \frac{\operatorname{sh} 2\xi + \sin 2\xi}{\operatorname{ch} 2\xi - \cos 2\xi}; \quad \psi(\xi) = 2\xi \frac{\operatorname{sh} \xi - \sin \xi}{\operatorname{ch} \xi - \cos \xi}.$$

În cazul în care prin toate conductoarele creștăturii trece același curent se obține  $k_{Rp} = \varphi(\xi) + p(p-1)\psi(\xi)$ . Pierderile în conductoarele din creștătură corespund valorii medii a factorului  $k_R$  a celor  $m$  straturi:  $k_{Rm} = \varphi(\xi) + \frac{m^2-1}{3} \psi(\xi)$ .

Înălțimea conductoarelor pentru care  $k_{Rm}$  are valoarea minimă se numește *înălțime critică*. La mașinile mari pentru reducerea pierderilor este necesar ca în locul unui singur conductor să se utilizeze mai multe conductoare în paralel care își schimbă poziția în creștătură (transpoziții) ocupînd toate pozițiile în secțiunea creștăturii și deci este înălțuit de un același flux magnetic al creștăturii, iar  $k_R$  corespunde conductorului elementar (fig. 2.63, c). Efect pelicular există și în părțile frontale ale conductorului și factorul de rezistență corespunzător,  $k_{Rf}$ , se calculează cu aceleași relații numai că dimensiunile creștăturii echivalente sînt înăl-

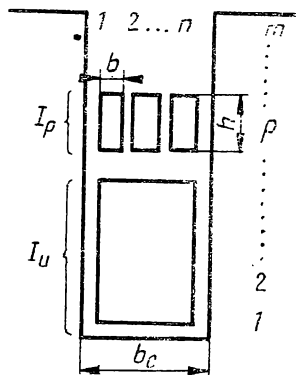
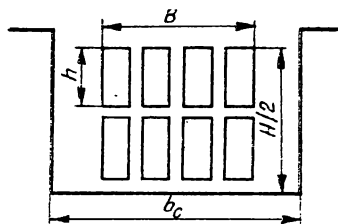


Fig. 2.64. Creștătură cu  $m$  straturi de conductoare.



ig. 2.65. Crestătură echivalentă pentru care se calculează factorul de rezistență pentru capetele de bobină.

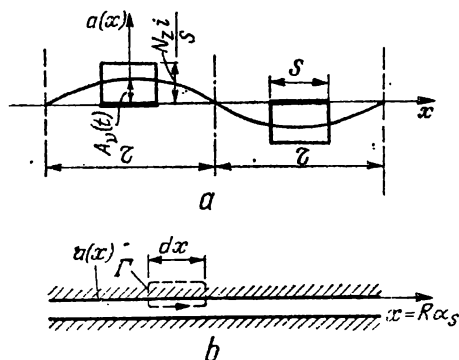


Fig. 2.66. Explicativă la pătura de curent.

de poli (fig. 2.66). Dezvoltînd în serie Fourier în sistemul FS se obține  $A_v(t) = 2 k_{qv} \frac{N}{p\tau} i$ ;  $k_{qv} = \left( \sin v \frac{S}{\tau} \frac{\pi}{2} \right) \left( v \frac{S}{\tau} \cdot \frac{\pi}{2} \right)$  reprezintă factorul de zonă pentru înfășurări repartizate continuu, deci pătura de curent armonică  $v$  este  $a_v = A_v(t) \cos v \frac{x}{\tau}$ , ( $x = R\alpha_s$ ); pentru  $v = 1$  se obține fundamentală.

Dacă  $i = I\sqrt{2} \cos \omega t$  atunci  $a_v = A_{vm} \cos v \frac{x}{\tau} \cdot \cos \omega t$ ; pentru  $m$  faze se obține

$$a_v = \frac{m}{2} A_{vm} \cos \left( \omega t \pm v \frac{x}{\tau} \right).$$

În cazul indusului de curent continuu  $A = N I_a / 2 p \tau$ , unde  $I_a$  este curentul care parcurge conductorul. Din legea circuitului magnetic rezultă  $a(\alpha_i, t) = h_0(\alpha_i, t)$ ;  $i = s, r, k$ , unde  $h_0(\alpha_i, t)$  este componenta tangențială a cîmpului magnetic în vecinătatea armăturii pe care se află pînza de curent (densitatea de curent)  $a(\alpha_i, t)$  (fig. 2.66); componenta  $h_0$  explică transferul de putere spre cealaltă armătură deoarece  $P = \int_{\Sigma} (\vec{E} \times \vec{H}) \cdot d\vec{A} = \int_0^{2\pi} E_z h_0 RL d\alpha_i \neq 0$ .

În întrefier are loc și o circulație de putere în sens tangențial fără consecințe fizice importante:  $P_0 = \int_0^{2\pi} E_z H_s RL d\alpha_i$ .

țimea conductorului și  $b_c = B + 1,2 H$  (fig. 2.65). Factorul de rezistență total al întregii înfășurări este  $k_{Rt} = (k_R l + k_{Rf} l_f) / (l + l_f)$ ; obișnuit se consideră  $k_s = 1$ . În alte cazuri efectul pelicular este accentuat prin măsuri constructive în vederea obținerii anumitor caracteristici (de exemplu motorul asincron cu bare înalte).

## 2.20. SOLENAȚIA SPECIFICĂ (PĂTURA DE CURENT)

Pătura de curent  $A$  reprezintă curentul total pe unitatea de lungime periferică a mașinii. La mașinile actuale  $A = 200 \dots 600$  A/cm; la mașini de foarte mare putere răcite cu apă, se pot obține valori de pînă la 2000 A/cm.

În curentul alternativ aceste cifre se referă la valorile efective. O fază cu  $q$  crestături pe pol parcursă de curentul  $i$  poate fi echivalată cu o pătură de curent uniform repartizată pe două intervale de lățime  $S$  pentru o pereche

## 2.21. CUPLUL ELECTROMAGNETIC

Pentru calculul cuplului electromagnetic se va folosi teorema forțelor generalizate în câmpul magnetic, care arată că forța  $X$  în direcția coordonatei  $x$  este dată de relația:

$$X = -\left(\frac{\partial W_m}{\partial x}\right)_{\Phi=\text{const.}} = \left(\frac{\partial W_m}{\partial x}\right)_{i=\text{const.}} \quad (2.110)$$

Dacă  $x$  este o lungime, atunci  $X$  este o forță în sensul obișnuit, dacă  $x$  este un unghi, atunci  $X$  este un cuplu.  $W_m$  este energia magnetică a sistemului considerat. Energia magnetică poate fi pusă sub diferite forme în funcție de mărimile câmpului electromagnetic. În cazul în care pe stator sînt dispuse trei înfășurări monofazate notate cu  $AX$ ;  $BY$ ;  $CZ$ , iar pe rotor alte trei înfășurări monofazate notate cu  $ax$ ;  $by$ ;  $cz$  (mașină asincronă trifazată) atunci fluxurile totale pentru înfășurările considerate se pot scrie sub forma:

[illegible]

Aceste relații se pot scrie sub formă matricială

$$[\Phi] = \begin{bmatrix} L_{AA} & L_{AB} & \cdots & L_{Ac} \\ L_{cA} & L_{cB} & \cdots & L_{cc} \end{bmatrix} \cdot \begin{bmatrix} i_A \\ \vdots \\ i_c \end{bmatrix} = [L] \cdot [i]. \quad (2.112)$$

Energia magnetică pentru sistemul de înfășurări considerat va fi:

$$W_m = \frac{1}{2}(\varphi_A i_A + \varphi_B i_B + \varphi_C i_C + \varphi_a i_a + \varphi_b i_b + \varphi_c i_c) \quad (2.113)$$

sau sub formă matricială

$$W_m = \frac{1}{2} [i]_t [\varphi] = \frac{1}{2} [i]_t \cdot [L] \cdot [i]. \quad (2.114)$$

La mașinile electrice, inductivitățile depind de poziția rotorului față de stator, poziția determinată de unghiul  $\alpha$ , ( $\theta = p \alpha$ ), care reprezintă coordonata generalizată. Pe baza relațiilor de mai sus se determină următoarea expresie generală pentru cuplul electromagnetic:

$$M = p \left( \frac{\partial W_m}{\partial \theta} \right)_{i=\text{const}} = \frac{1}{2} p[i]_t \cdot \frac{d}{d\theta} [L] \cdot [i] = \frac{1}{2} p[i]_t \cdot [G] \cdot [i]. \quad (2.115)$$

Pentru explicitarea expresiei cuplului electromagnetic se va considera că armătura statorică pe care este dispusă înfășurarea trifazată este de formă cilindrică, iar pe armătura rotorică este dispusă o înfășurare cu un decalaj spațial oarecare în raport cu axa sistemului FR (fig. 2.66, A). Inductivită-



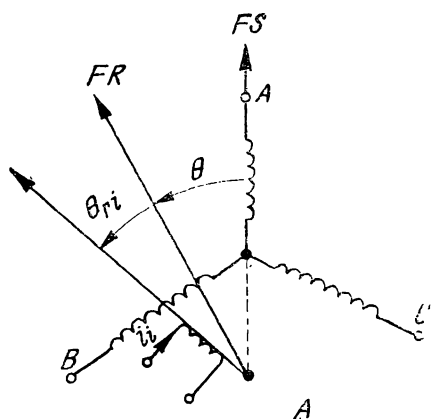


Fig. 2.66.A. Referitoare la calculul cuplului electromagnetic

țile mutuale dintre o înfășurare oarecare rotorică și o înfășurare oarecare statorică variază periodic în raport cu unghiul electric dintre axele magnetice ale înfășurărilor considerate (perioada fiind  $2\pi$ ). Din dezvoltarea în serie Fourier a expresiilor inductivităților mutuale se rețin fundamentalele:

$$\begin{aligned} L_{iA} &= L_i \cos(\theta + \theta_{ri}); \\ L_{iB} &= L_i \cos\left(\theta + \theta_{ri} - \frac{2\pi}{3}\right); \\ L_{iC} &= L_i \cos\left(\theta + \theta_{ri} - \frac{4\pi}{3}\right) \end{aligned} \quad (2.116)$$

cu indicele  $i$  s-a notat înfășurarea de pe rotor.

Energia magnetică a acestui sistem de înfășurări se poate pune sub forma:

$$\begin{aligned} W_m &= \frac{1}{2} (i_A \varphi_{As} + i_B \varphi_{Bs} + i_C \varphi_{Cs}) + L_{iA} i_A i_i + L_{iB} i_B i_i + \\ &+ L_{iC} i_C i_i + \frac{1}{2} L_{ii} i_i^2 \end{aligned} \quad (2.117)$$

unde  $\varphi_{As}$ ,  $\varphi_{Bs}$ ,  $\varphi_{Cs}$  sînt fluxurile magnetice prin înfășurarea  $AX$ ,  $BY$  respectiv  $CZ$  determinate numai de curenții statornici  $i_A$ ,  $i_B$  și  $i_C$ .

Expresia (2.117) poate fi pusă sub forma:

$$\begin{aligned} W_m &= \frac{1}{2} [\varphi_{As} \operatorname{Re}(i_s) + \varphi_{Bs} \operatorname{Re}(a^2 i_s) + \varphi_{Cs} \operatorname{Re}(a i_s)] + \frac{1}{2} L_{ii} i_i^2 + \\ &+ L_i i_i \left[ i_A \cos(\theta + \theta_{ri}) + i_B \cos\left(\theta + \theta_{ri} - \frac{2\pi}{3}\right) + i_C \cos\left(\theta + \theta_{ri} - \frac{4\pi}{3}\right) \right] = \\ &= \frac{3}{4} \operatorname{Re} \{ \varphi_{ss}^* i_s \} + \frac{1}{2} L_{ii} i_i^2 + L_i i_i \operatorname{Re} \left\{ i_A e^{-j(\theta + \theta_{ri})} + i_B e^{-j(\theta + \theta_{ri} - \frac{2\pi}{3})} + \right. \\ &+ i_C e^{-j(\theta + \theta_{ri} - \frac{4\pi}{3})} \left. \right\} = \frac{3}{4} \operatorname{Re} \{ \varphi_{ss} i_s \} + \frac{3}{2} L_i i_i (i_d \cos \theta_{ri} - i_q \sin \theta_{ri}) + \\ &+ \frac{1}{2} L_{ii} i_i^2. \end{aligned}$$

însă  $\varphi_{ds} = L_d i_d$  și  $\varphi_{qs} = L_q i_q$  ( $L_d$  și  $L_q$  sînt constante deoarece armătura statorică este cilindrică); în cazul în care rotorul este tot de forma cilindrică atunci  $L_d = L_q$ . Se obține:

$$W_m = \frac{3}{4} (L_d i_d^2 + L_q i_q^2) + \frac{3}{2} L_i i_i (i_d \cos \theta_{ri} - i_q \sin \theta_{ri}) + \frac{1}{2} L_{ii} i_i^2.$$

Energia magnetică s-a exprimat în funcție de mărimile definite în sistemul de referință FR. Expresia cuplului electromagnetic se poate pune sub forma:

$$M = \frac{3}{2} p \left( L_a i_a \frac{\partial i_a}{\partial \theta} + L_q i_q \frac{\partial i_q}{\partial \theta} \right) + \frac{3p}{2} L_i i_i \left( \frac{\partial i_a}{\partial \theta} \cos \theta_{ri} - \frac{\partial i_q}{\partial \theta} \sin \theta_{ri} \right) = \\ = \frac{3p}{2} (\varphi_a i_a - \varphi_q i_q) \quad (2.118)$$

unde:

$$\varphi_a = L_a i_a + L_i i_i \cos \theta_{ri}; \quad \varphi_q = L_q i_q + L_i i_i \sin \theta_{ri}.$$

Dacă pe rotor sînt  $n$  înfășurări atunci

$$\varphi_a = L_a i_a + \sum_{i=1}^n L_i i_i \cos \theta_{ri}; \quad \varphi_q = L_q i_q + \sum_{i=1}^n L_i i_i \sin \theta_{ri}.$$

Expresia (2.118) se poate pune și sub o altă formă:

$$M = \frac{3p}{2} (\varphi_a i_q - \varphi_q i_a) = \frac{3}{2} p R_e \{-j i_a \varphi_R^*\} = \frac{3}{2} p R_e \{-j \varphi_s^* i_s\}.$$

Dacă înfășurarea trifazată se află pe rotor atunci

$$M = \frac{3}{2} p Re \{-j i_r \varphi_r'\}.$$

În cazul în care fluxurile magnetice și curenții din înfășurarea trifază<sup>†</sup>ă indusă au o variație cosinusoidală în timp, adică:

$$\varphi_a = \psi_m \cos \omega t; \quad i_a = \frac{1}{\sqrt{2}} I_2 \cos(\omega' t - \varphi_i) \\ \varphi_b = \psi_m \cos\left(\omega t - \frac{2\pi}{3}\right); \quad i_b = \frac{1}{\sqrt{2}} I_2 \cos\left(\omega' t - \varphi_i - \frac{2\pi}{3}\right) \quad (2.119) \\ \varphi_c = \psi_m \cos\left(\omega t - \frac{4\pi}{3}\right); \quad i_c = \frac{1}{\sqrt{2}} I_2 \cos\left(\omega' t - \varphi_i - \frac{4\pi}{3}\right),$$

atunci utilizînd formulele lui Euler pentru funcții trigonometrice se obține:

$$\varphi_r = \psi_m e^{+j\omega t} = \dot{\Phi}_a; \quad i_r = \frac{1}{\sqrt{2}} I_2 e^{j(\omega' t - \varphi_i)} = \dot{I}_a, \text{ deci} \\ M = \frac{3}{2} Re \left\{ -j p \psi_m e^{-j\omega t} \cdot \frac{1}{\sqrt{2}} I_2 e^{j(\omega' t - \varphi_i)} \right\} = \\ = \frac{3}{2} p \psi_m I_2 \cos \left[ (\omega' - \omega) t - \varphi_i - \frac{\pi}{2} \right] \quad (2.120)$$

adică valoarea medie a cuplului pe o perioadă este zero dacă  $\omega' \neq \omega$ ; în acest caz nu are loc conversia energiei. Dacă pulsația fluxurilor este egală cu pulsația curenților ( $\omega' = \omega$ ), atunci se obține pentru cuplu expresia:

$$M = \frac{3}{2} Re \left\{ p \psi_m \frac{1}{\sqrt{2}} I_2 e^{j(-\varphi_i - \frac{\pi}{2})} \right\} = \frac{3}{2} p \psi_m \frac{1}{\sqrt{2}} I_2 \cos \left( \varphi_i + \frac{\pi}{2} \right). \quad (2.121)$$

Se înmulțește și se împarte expresia 2.121 cu  $\Omega_1 - \Omega_2$  și se ține seama de (2.92); se obține

$$M = \frac{3 E_{2s} I_2 \cos (\underline{E}_{2s}, \underline{I}_2)}{\Omega_1 - \Omega_2} ; \quad (2.122)$$

$\varphi_i + \pi/2 = \angle (\underline{E}_{2s}, \underline{I}_2)$  această relație se utilizează în teoria mașinii asincrone.

Dacă se fac aceleași operații cu  $\Omega_1$  și se ține seama de (2.93):

$$M = \frac{3 EI \cos (\underline{E}, \underline{I})}{\Omega_1} ; \quad (\underline{E} = \underline{E}_1), \quad (2.122, a)$$

relație utilizată în teoria mașinii sincrone.

Pentru a calcula cuplul care se exercită asupra rotorului mașinilor cu colector este necesar să se calculeze cuplul electromagnetic care se exercită asupra unei bobine dispusă pe rotor (fig. 2.53) și parcursă de curentul  $I$ . Particularizînd relația (2.113) pentru două înfășurări (bobina și înfășurarea de excitație), se obține:

$$W_m = \frac{1}{2} (\varphi_e i_e + \varphi_b i) = \frac{1}{2} L_e i_e^2 + L_{eb} \cdot i_e i + \frac{1}{2} L_b i^2,$$

inductivitatea proprie a înfășurării de excitație  $L_e$  și inductivitatea proprie a bobinei  $L_b$  nu depind de poziția rotorului și deci:

$$\begin{aligned} M_b &= \left( \frac{\partial W_m}{\partial \alpha} \right)_{i=\text{const}} = i_e i \frac{\partial L_{eb}}{\partial \alpha} = i \frac{\partial \varphi_{eb}}{\partial \alpha} = i N_q \frac{\partial}{\partial \alpha} \int_{\alpha-\beta_1/2}^{\alpha+\beta_1/2} b(\alpha_s, t) RL d\alpha_s = \\ &= i N_q [b(\alpha + \beta_1/2, t) - b(\alpha - \beta_1/2, t)] RL; \quad \varphi_{eb} = L_{eb} \cdot i. \end{aligned} \quad (2.123)$$

Fluxul mutual  $\varphi_{eb}$  dat de înfășurarea de excitație și care înălțuie bobine dispuse pe rotor depinde de unghiul  $\alpha$ . Dacă câmpul magnetic are o variație periodică în spațiu, cu perioada  $2\pi/p$  și dacă  $\beta_1 = \frac{\pi}{p}$  atunci  $b(\alpha + \beta_1/2, t) = -b(\alpha - \beta_1/2, t)$  și expresia (2.123) devine:

$$M_b = -2 i N_q b(\alpha - \beta_1/2, t) \cdot RL \quad (2.124)$$

adică cuplul  $M_b$  este proporțional cu inducția magnetică din dreptul laturii de ducere a bobinei, iar semnul minus arată că tinde să micșoreze coordonata  $\alpha$ .

Considerînd conductorul elementar parcurs de curentul  $a(\alpha_i, t)$   $R d\alpha_i$  în câmpul magnetic radial  $b(\alpha_i, t)$  rezultă pentru cuplul electromagnetic expresia:

$$M = L \int_0^{2\pi} b(\alpha_i, t) a(\alpha_i, t) R d\alpha_i = L \int_0^{2\pi} b(\alpha_i, t) h_0(\alpha_i, t) R d\alpha_i. \quad (2.125)$$

## 2.22. MATERIALE ELECTROTEHNICE UTILIZATE ÎN CONSTRUCȚIA TRANSFORMATOARELOR ȘI MAȘINILOR ELECTRICE

Materialele utilizate în construcția mașinilor și transformatoarelor electrice, în principal se clasifică în trei categorii:

— *materialele active* din care fac parte conductoarele electrice și materialele magnetice; conductoarele electrice servesc la construcția înfășurărilor prin care se închid curenții electrici, iar materialele magnetice servesc la construcția circuitului magnetic prin care se închide fluxul magnetic principal al mașinii;

— *materialele electroizolante*, utilizate pentru a asigura izolarea înfășurării formată din conductoare față de piesele constructive metalice;

— *materialele constructive*, utilizate pentru transmiterea cuplurilor mecanice, precum și pentru susținerea și consolidarea materialelor active și izolante în scopul realizării unor subansamble stabile în regimurile de funcționare.

Materialele active împreună cu materialele electroizolante formează grupa materialelor electrotehnice.

### 2.22.1. MATERIALE ACTIVE

a) *Conductoarele electrice*. Înfășurările transformatoarelor și mașinilor electrice se execută din materiale conductoare de mică rezistivitate, care sînt în principal cuprul și aluminiul, conductoarele de aluminiu se utilizează în construcția transformatoarelor electrice (pentru puteri pînă la 10 MVA), precum și în construcția motoarelor asincrone. Alama este folosită în construcția înfășurărilor în colivie și a bornelor.

Conductoarele pentru bobinaje se execută din cupru de înaltă puritate (CuE — cupru rafinat electrotehnic conținînd 99,95% Cu sau 99,5% Cu (notat Cu 9); de asemenea aluminiul utilizat este de înaltă puritate (AlE — aluminiu electrotehnic) avînd minimum 99,5% Al, impuritățile controlate din Fe + Si, nu depășesc 0,45%, iar cele din Cu + Zn nu depășesc 0,05%.

În tabelul 2.9 sînt date unele proprietăți fizice ale materialelor conductoare utilizate.

Atît conductoarele din cupru cît și cele din aluminiu se elaborează fie în profile rotunde (sîrme), fie în profile dreptunghiulare (bare), dimensiunile sînt standardizate (STAS 685-74; 3033-71, 10569-76; 6499-74).

TABELUL 2.9. Proprietățile fizice ale conductoarelor

Material conductor		$\rho$ [ $\Omega \text{ mm}^2/\text{m}$ ] la 20°C	$\alpha$ [1/°C]	$\gamma$ [kg/dm <sup>3</sup> ]	Rezist. la înt. $\sigma$ [N/mm <sup>2</sup> ]	$c$ [J/g°C]	$\lambda$ [W/°Cm]
Cupru	moale	0,01784	$3,18 \cdot 10^{-3}$	8,89	210	0,388	375
	dur	0,01724	$3,93 \cdot 10^{-3}$	8,89	450	0,388	375
Aluminiu		0,031	$3,7 \cdot 10^{-3}$	2,70	70...230	0,885	205
Alamă		0,0645	$1,5 \cdot 10^{-3}$	8,60		0,384	104,4

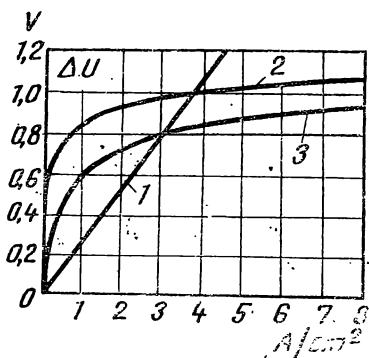


Fig. 2.67. Variația căderii de tensiune  $\Delta U$  în contactul perie-inel colector în funcție de densitatea de curent:

1 —  $\Delta U$  la contactul în stare de repaus; 2 — contact în mișcare cu sensul curentului inel-perie; 3 — contact în mișcare cu sensul curentului perie-inel.

Colectoarele și inelele colectoare reprezintă subansamble conductoare și permit împreună cu periile conectarea circuitelor mobile la borne fixe. La trecerea curentului prin contactul alunecător perie-colector, are loc o cădere de tensiune  $\Delta U$ , care în parte este repartizată în lungul periei, iar restul pe suprafața de contact dintre perie și colector. Cea mai mare parte a căderii de tensiune este concentrată între perii și colector. În figura 2.67 se prezintă variația căderii de tensiune în contactul alunecător perie-inel colector funcție de densitatea curentului. La mașini de c.c. obișnuite se utilizează perii din cărbune electrografitizate cu  $\Delta U = 1 \text{ V}$ , iar la cele de c.a. perii tari cu  $\Delta U = (1,2 \dots 1,5) \text{ V}$ . Pierderile electrice  $p_p$  datorită căderii de tensiune la perii se calculează cu relația  $p_p = \Delta U \cdot I$ , unde  $I$  este curentul prin contact. Cădere-

rea de tensiune în contact variază cu calitatea periilor. Periile utilizate în construcția mașinilor electrice sînt realizate pe bază de cărbune grafitizat în diferite proporții. În tabelul 2.10 sînt date cîteva tipuri de perii utilizate.

b) *Materiale magnetice.* În construcția circuitului magnetic al mașinilor electrice se utilizează diferite materiale feromagnetice, cum sînt: oțel electrotehnic și magneți permanenți.

În general caracteristica de magnetizare  $B = f(H)$  are forma din figura 2.68.

TABELUL 2.10. Proprietățile periilor utilizate la mașinile electrice

Perie	Densitatea curentului [A/cm <sup>2</sup> ]	$\Delta U$ [V]	Presiunea $P_p$ [N/cm <sup>2</sup> ]	Viteza colectorului [m/s]	Coefficientul de frecare $\mu/f$	Utilizare
Bronz-grafit	2,5—30	0,2	1,5	25	0,16	Inele colectoare
Cupru-grafit	20	0,35	1,5	45	0,16	Mașini c.c. cu tensiuni de 6—20 V
Cărbune moale mult grafitizat	12—15	0,75	1	45	0,17	Inele colectoare
	12—15	0,7	1	45	0,15	Mașini de c.c. și convertizoare rotative
	10—12	0,95	1	45	0,18	
Cărbune electrografitizat moale	10—12	0,8	1,2	10—15	0,27	Inele colectoare
Cărbune electrografitizat semitare	8	0,85	1,2	20	0,28	Mașini de c.c.
	8	0,9	1,2	20	0,28	Mașini de c.c. și c.a.
Cărbune tare	4—5	0,95	1,5	15	0,23	$U < 500 \text{ V}$
Cărbune foarte tare	3—4	1,05	1,5	15	0,25	$U > 500 \text{ V}$

Materialele magnetice denumite dure se caracterizează printr-o valoare mare a cîmpului coercitiv  $H_c$  și se utilizează sub formă de magneți permanenți în construcția mașinilor electrice sau sub formă de materiale cu ciclu de histerezis cu suprafața mărită în construcția motoarelor cu histerezis. În tabelul 2.11 se prezintă cîteva din materialele dure mai utilizate. Energia magnetică a unui magnet permanent este proporțională cu produsul  $BH$  corespunzător punctului de funcționare pe curba de demagnetizare (cadranul II); există un punct  $P_0$  pentru care energia magnetică este maximă și se numește *punct optim de funcționare a magnetului* (fig. 2.69). Raportul  $\gamma_c = (BH)_{max}/B_r H_c$  reprezintă un factor de calitate al materialului dur; valori mari pentru  $\gamma_c$  înseamnă material de bună calitate. În figura 2.70 se prezintă două curbe de demagnetizare, una pentru material de tip AlNiCo, și alta pentru material pe bază de ferită din bariu, factorul  $\gamma_c$  este aproximativ același

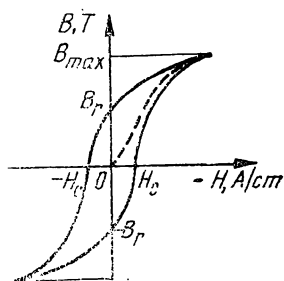


Fig. 2.68. Curba de histerezis  $B = f(H)$ .

TABELUL 2.11.

Materiale magnetice dure

Materialul	Compoziție chimică (restul pînă la 100% Fe [%])	$B_r$ [T]	$H_c$ [A/cm]	$B_0$ [T]	$H_0$ [A/cm]	$(BH)_{max}$ mJ/cm <sup>3</sup>
Oțel carbon obișnuit	0,9—1% C; 0,5Mn	0,9	40	0,62	25,5	1,59
Oțel cu crom	0,9C; 3,5Cr; 0,3Mn	0,98	56	0,63	36,8	2,32
Oțel cu Wolfram	0,7C; 6W; 0,5Cr; 0,3 Si	1,03	56	0,63	36,8	2,38
Oțel cu Cobalt	6 Co	0,75	115	0,48	73,2	3,50
„	15 Co	0,82	143	0,53	94	4,94
Vicalloy I	9,5 V; 52 Co	0,9	250	0,55	145	8
„ II	13 V; 52 Co	1,1	360	0,82	292	24
Koerflex 200	—	1,3—1,6	180—50	0,9—1,2	120—307	4—11,9
Cunife 1	60 Cu, 20 Ni	0,57	470	0,42	353	14,8
Remalloy	12 Co, 17 Mo	1	184	0,69	117	8,8
Alnico 120	12-13Al, 25-28Ni					
Alnico 120	0-4Co, 2-4 Cu, 0-1Ti	0,58	505	0,34	305	9
Alnico 400	8-9 Al; 14-15Ni, 23-25Co; 3-4Cu, 0-1 Ti	1,12	490	0,9	376	30
Alnico 700	8,5Al, 15Ni, 24Co 3 Cu	1,3	545	1,2	440	—
Ticonal 190	21Ni; 14Co; 12Al, 3 Cu	0,74—0,8	505—575	0,5	318	14,4-16,8
Ticonal 400	14 Ni, 24 Co, 8,5Al 3 Cu, 0,8 Ti	1,14	500	0,8	400	31

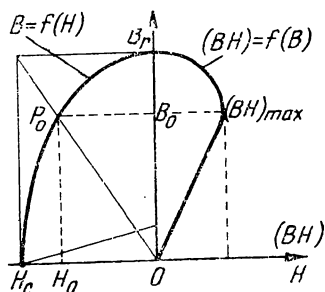


Fig. 2.69. Curba de demagnetizare pentru materialele dure și variația produsului  $BH$ .

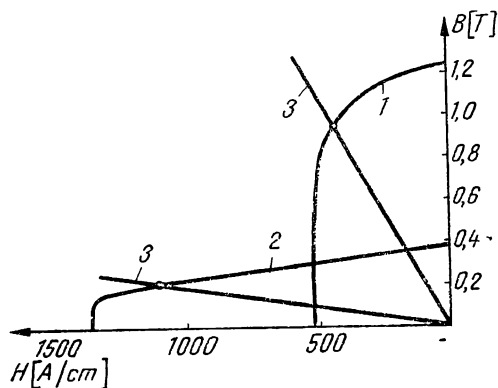


Fig. 2.70. Curba de demagnetizare:  
1 — AlNiCo; 2 — ferită de bariu; 3 — dreapta de funcționare corespunzătoare punctului optim.

Însă ferita de bariu prezintă o caracteristică mult mai stabilă într-o gamă largă de variație a cîmpului exterior.

Materialele magnetice denumite moi se caracterizează printr-un ciclu de histerezis foarte îngust, deci cîmpul coercitiv  $H_c$  este mai mic, din această categorie face parte oțelul electrotehnic. Oțelul electrotehnic cu un conținut redus de carbon, sub 0,1% se folosește sub formă masivă sau sub formă de tablă de 0,1 ... 2 mm grosime. Oțelul masiv prelucrat prin laminare sau forjare poate fi slab aliat cu siliciu (0,8 ... 1,8 Si) și se folosește în construcția polilor inductori masivi și a jugurilor în care cîmpul magnetic principal este constant.

Tabla silicioasă mediu aliată are un conținut de siliciu 1,8 ... 2,9% Si, iar tabla silicioasă puternic aliată are 2,8 ... 4,8% Si și este laminată la cald sau la rece. Prin alierea fierului cu siliciu crește rezistivitatea electrică  $\rho$  (0,4 ... 0,65  $\Omega \text{ mm}^2/\text{m}$ ) și scad pierderile produse prin curenți turbionari, însă caracteristica de magnetizare este influențată nefavorabil mai ales la inducții mari. Influența alierii cu siliciu asupra caracteristicii de magnetizare a tolelor neorientate utilizate în construcția mașinilor electrice se prezintă în figura 2.71, iar influența asupra pierderilor specifice în figura 2.72.

În construcția miezului feromagnetic pentru mașinile electrice de puteri medii și mari se folosesc tole din oțel electrotehnic normal aliat de 0,5 mm grosime, laminate la cald, iar în ultima perioadă — tola laminată la rece. În construcția transformatoarelor electrice se folosește tola din oțel electrotehnic puternic aliată (2,9 ... 3,4% Si) de 0,35 mm grosime, laminată la rece. Pentru tolele destinate mașinilor rotative se garantează de obicei valorile pierderilor la 50 Hz corespunzătoare inducțiilor de 1T și 1,5T notate  $P_{10/50}$  și  $P_{15/50}$ . În mod similar pentru tolele destinate transformatoarelor se garantează pierderile  $P_{15/50}$  și  $P_{17/50}$ .

În construcția miezului feromagnetic al mașinilor electrice mici se folosește tola de 0,5 mm grosime, slab aliată (0,4 ... 0,8% Si) laminată la rece cu cristale neorientate.

În construcția mașinilor electrice speciale de înaltă frecvență se folosește tola de 0,2 mm grosime.

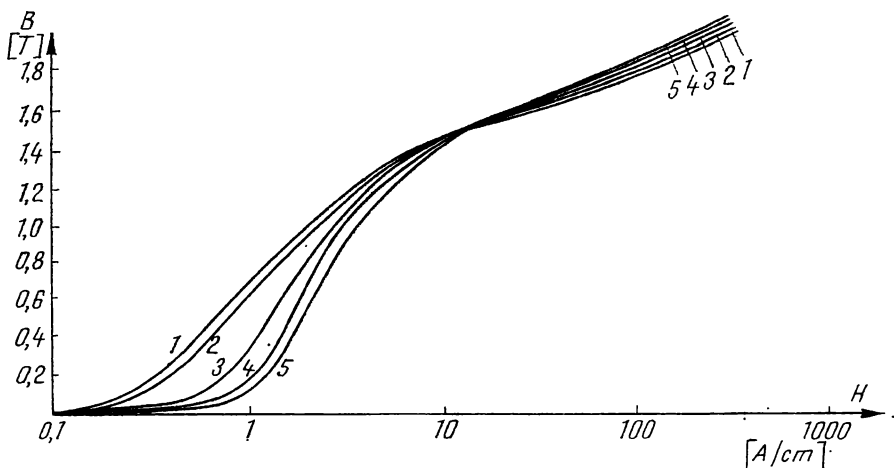


Fig. 2.71. Influența siliciului asupra curbei de magnetizare: Tablă laminată la rece cu cristale neorientate:

1 — 3% Si; 2 — 2,5% Si; 3 — 1,5% Si; 4 — 0,8% Si; 5 — 0,3% Si; (pentru  $H$  s-a folosit scara logaritmică în baza 10).

În construcția polilor inductori ieșiți pentru mașinile de curent continuu sau sincrone, se utilizează tablă silicioasă slab aliată de 1..2 mm grosime. Comportarea în câmpul magnetic al tablei silicioase este descrisă de caracteristica de magnetizare  $B=f(H)$  sau puterea de magnetizare specifică  $q$  în funcție de inducția magnetică  $B$  și de pierderile specifice  $P_v$  în funcție de inducție.

O altă caracteristică a tolelor este factorul de umplere  $k_{Fe} < 1$ , care reprezintă raportul dintre lungimea totală efectivă a fierului dintr-un pachet de tole și lungimea totală geometrică, acest factor depinde de grosimea tolei, de calitatea suprafeței și de grosimea peliculei izolante care poate fi de natură organică (lacuri electroizolante de acoperire) sau anorganică (oxizi de fier, fosfați).

În tabelul 2.12 se prezintă caracteristici ale tolelor pentru transformatoare, iar în tabelul 2.13 caracteristici ale tolelor pentru mașini rotative. Dispersia valorilor determinate experimental este mare; de aceea se standardizează numai valorile inducției magnetice la  $H = 25, 50, 100$  și  $300 \text{ A/cm}$  și pierderile specifice maxime la inducția  $B = 1 \text{ T}$  și  $1,5 \text{ T}$ ; la tabla texturată sînt standardizate și pierderile specifice la inducția  $B = 1,7 \text{ T}$ .

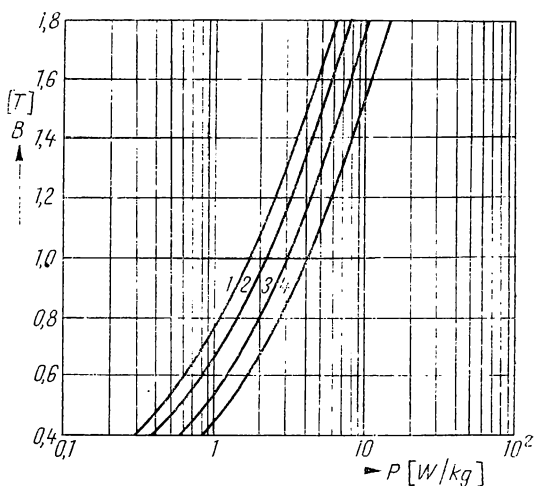


Fig. 2.72. Influența siliciului asupra pierderilor specifice (grosimea tolei 0,5 mm): 1) = 3% Si; 2) = 2% Si; 3) = 1% Si; 4) = 0,5% Si.



TABELUL 2.12. Tole magnetice cu cristale orientate pentru transformatoare

Sortiment	Grosime mm	Pierderi specifice maxime W/kg, 50 Hz		Inducție minimă $B_8$ (la 8A/cm) [T]	Factor de umplere [%]	Densitatea kg/dm <sup>3</sup>
		$P_{15/50}$	$P_{17/50}$			
$M_4$	0,28	0,89	1,40	1,75	95	7,65
$M_5$	0,28	0,95		„	95	„
$M_6$	0,30	0,97	1,50	„	95,5	„
$M_7$	0,35	1,00		„	96	„
$M_8$	0,30	1,07		„	95,5	„
$M_9$	0,35	1,11	1,65	„	96	„

De caracteristicile fizice ale materialelor active depind pierderile electrice, încălzirea și randamentul unei mașini electrice. Materialele active sînt supuse și la solicitări mecanice datorită forțelor mecanice care se produc în funcționarea mașinii; în consecință, acestea trebuie să aibă proprietăți mecanice corespunzătoare.

## 2.22.2. MATERIALE ELECTROIZOLANTE

Materialele electroizolante folosite în construcția mașinilor trebuie să aibă rigiditatea dielectrică mare, conductivitate termică ridicată, proprietăți mecanice și de prelucrare bune, să aibă stabilitate din punct de vedere chimic și să corespundă condițiilor de funcționare.

Înfășurările mașinilor electrice sînt realizate cu una sau mai multe spire, formate din conductoare și grupate în bobine. Conductoarele electrice sînt izolate între ele; bobinele și înfășurările sînt izolate față de miezul feromagnetic în vederea obținerii unei anumite dispuneri a solenațiilor în mașina electrică. Materialele electroizolante utilizate în construcția mașinilor electrice sînt solicitate electric, termic și mecanic. Astfel, izolația conductoarelor fiind situată în câmpul electric al înfășurărilor este solicitată la străpungere. Totodată prin materialele electroizolante se transmite căldura de la părțile active ale mașinii la agentul de răcire; materialele electroizolante supuse la încălziri înalte își modifică în timp caracteristicile electrice și mecanice prin fenomenul de îmbătrînire termică. O caracteristică a materialului electroizolant o constituie temperatura admisibilă la care poate funcționa timp îndelungat fără a se produce o modificare a caracteristicilor electrice și mecanice, în funcție de această valoare a temperaturii admisibile s-au definit clasele de izolație, prezentate în tabelul 2.14.

Experiența arată că în cazul unei solicitări termice constante (la temperatura  $\theta$ ) se poate considera pentru durata de viață  $D_t$  a unui material expresia

$$D_t = a e^{-b\theta}$$

unde  $a$  și  $b$  sînt constante care depind de materialul izolant.

TABELUL 2.13. Tole magnetice laminate la rece cu cristale neorientate pentru mașini electrice rotative (după EURONORM 106-71)

Sortiment (marcă)	Grosime [mm]	Pierderi specifice maxime [W/kg, 50 Hz]		Inducție magnetică minimă (c.a., valori maxime), [T]				Anizotropie la pierderi % max*	Factor de umplere min. [%]	Densitate de calcul [kg/dm³]
		P <sub>10/50</sub>	P <sub>15/50</sub>	B <sub>25</sub>	B <sub>50</sub>	B <sub>100</sub>	B <sub>300</sub>			
110-35	0,35	1,10	2,70	1,49	1,60	1,71	1,89	±14	95	7,60
130-35	"	1,30	3,30	1,49	1,60	1,71	1,89	"	"	7,65
125-50	0,50	1,25	3,10	1,49	1,60	1,71	1,89	+14	97	7,60
135-50	"	1,35	3,30	1,49	1,60	1,71	1,89	"	"	"
150-50	"	1,50	3,50	1,50	1,60	1,71	1,89	"	"	7,65
170-50	"	1,70	4,00	1,51	1,61	1,72	1,90	"	"	"
200-50	"	2,00	4,70	1,52	1,62	1,73	1,94	±12	"	7,70
230-50	"	2,30	5,30	1,54	1,64	1,75	1,97	"	"	"
260-50	"	2,60	6,00	1,55	1,65	1,76	1,98	"	"	7,75
300-50	"	3,00	6,80	1,56	1,66	1,77	2,00	"	"	7,80
360-50	"	3,60	8,10	1,58	1,68	1,78	2,01	"	"	"
200-65	0,65	2,00	4,70	1,51	1,61	1,72	1,90	±14	97	7,65
230-65	"	2,30	5,30	1,52	1,62	1,73	1,94	"	"	7,70
260-65	"	2,60	6,00	1,54	1,64	1,75	1,97	±12	"	8
300-65	"	3,00	6,80	1,55	1,65	1,76	1,98	"	"	7,75
360-65	"	3,60	8,10	1,56	1,66	1,77	2,000	"	"	7,80
420-65	"	4,20	9,40	1,58	1,68	1,78	2,01	"	"	"

\* Anizotropia pierderilor se determină prin măsurători pe eșantioane decupate paralel (L), respectiv perpendicular (T) față de direcția de laminare. Este definită ca fiind raportul:

$$\frac{P_{10/50}(T) - P_{10/50}(L)}{P_{10/50}(T) + P_{10/50}(L)} \cdot 100\%$$

TABELUL 2.14. Clasificarea materialelor electroizolante după stabilitatea termică  
(Conform STAS 6247-60 și Publicația CEI nr. 85)

Denumirea clasei de izolație	Materiale electroizolante
Y (90°C)	Materiale textile pe bază de celuloză, fire poliamidice, hîrtii celulozice, cartoane — neimpregnate. Polietilenă, polistiren, PVC, cauciuc natural vulcanizat etc.
A (105°C)	Materiale textile pe bază de celuloză, fire poliamidice, hîrtii celulozice, cartoane — impregnate cu lacuri uleioase, oleorășinoase și oleobituminoase, precum și lichide electroizolante Folii poliamidice, de triacetat de celuloză, materiale combinate folie — preșpan. Cauciuc pe bază de butadienă cu acrilnitril și cauciuc pe bază de clorbutadienă etc.
E (120°C)	Película izolantă a conductoarelor emailate cu lacuri polivinilacetice, poliuretanic sau epoxidice. Mase plastice fenolice cu umplutură organică, stratificate pe bază de hîrtii și țesături. Rășini epoxidice, poliesterice, poliuretanic. Folii și fire de tereftalat de polietilenă etc.
B (130°C)	Materiale pe bază de mică sau hîrtie de mică fără suport sau cu suport din hîrtie sau țesătură organică, precum și pe bază de fire de sticlă și azbest — impregnate cu lacuri oleobituminoase și lacuri pe bază de rășini naturale, lacuri bachelitice, lacuri epoxidice, poliuretanic, gliptalice. Mase plastice cu umplutură anorganică. Stratificate pe bază de fire de sticlă și azbest. Película izolantă a conductoarelor emailate cu lacuri tereftalice etc.
F (155°C)	Materiale pe bază de mică sau hîrtie de mică fără suport sau cu suport anorganic, precum și pe bază de fire de sticlă și azbest — impregnate cu rășini alchidice, epoxidice, policesterice, cu stabilitatea termică necesară clasei de izolație, precum și cu rășini siliconice modificate etc.
H (180°C)	Materiale pe bază de mică fără suport sau cu suport anorganic, precum și pe bază de fire de sticlă și azbest — impregnate cu lacuri siliconice. Mase plastice cu umplutură anorganică. Cauciucuri siliconice etc.
C (>180°C)	Materiale anorganice (mică, sticlă, ceramice etc.) Materiale pe bază de mică, fără suport sau cu suport din fire de sticlă — impregnate cu compuși anorganici sau rășini siliconice cu stabilitate termică peste 220°C. Politetrafluoretilenă (PTFE).

O mărire a temperaturii de funcționare cu  $8^{\circ}\text{C}$  la clasa de izolație *A*, cu  $8 \dots 10^{\circ}\text{C}$  la clasa *B* și cu  $12^{\circ}\text{C}$  la clasa *H* reduce, durata de viață la jumătate (fig. 2.73).

În prezent se admite pentru durata de viață a materialelor electroizolante valoarea de 7 ani sau aproximativ 61 000 ore. Pentru mediul ambiant în zona temperată, s-a admis ca temperatură standard  $+40^{\circ}\text{C}$ .

În construcția mașinilor electrice și transformatoarelor se mai utilizează materiale izolante gazoase: aerul, hidrogenul, hexafluorura de sulf, având în special rolul de agenți termici de răcire. La transformatoare se utilizează izolanți în stare pulverulentă cum este nisipul de cuarț. Materialele electroizolante sînt utilizate sub cele mai diverse forme: fire, țesături, pelicule, folii, plăci etc.

Totalitatea materialelor izolante ce intră în componența unei mașini electrice constituie o schemă de izolație care cuprinde următoarele elemente principale: izolația conductorului înfășurării, izolația creștăturii (în care se include și izolația dintre straturile din creștătură la înfășurări în mai multe straturi, izolația de la baza creștăturii, pana de închidere dacă este din material izolant), izolația capetelor frontale de bobină, lacul de impregnare, izolația conductoarelor de ieșire la cutia de borne.

În figura 2.74 și în tabelele 2.15—2.19 se prezintă exemple de izolație a creștăturii pentru diferite tensiuni. Izolarea față de creștătură se face în strînsă dependență de tipul mașinii (de curent continuu sau alternativ), de forma creștăturii (deschisă, semideschisă, semiînchisă sau închisă), de modul de execuție a înfășurării și de tensiunea de lucru. Caracteristicile fizice ale materialelor electroizolante determină fiabilitatea și durata de viață a mașinilor și transformatoarelor electrice.

### 2.22.3. MATERIALE CONSTRUCTIVE

În construcția mașinilor și transformatoarelor electrice se utilizează diferite materiale ca: oțelul, oțelul nemagnetic, fonta, aliaje de aluminiu, materiale izolante sub formă de benzi, plăci. Acestea se folosesc pentru confecționarea părților inactive: carcasa, scuturile, lagărele, axul, ventilatorul, piesele de susținere și consolidare, butucul rotorului, plăcuța indicatoare, cutia de borne etc. Forma și dimensiunile geometrice ale acestor piese sînt determinate de solicitările mecanice la care sînt supuse incidental sau în cursul funcționării transformatoarelor și mașinilor electrice. În cazul inductorului excitat în curent continuu (carcasa la mașina de curent continuu, respectiv la mașina sincronă de construcție inversată și axul la mașina sincronă de construcție normală) îndeplinesc și rolul de jug al inductorului. În acest scop, materialele folosite trebuie să aibă proprietăți mecanice și magnetice ridicate.

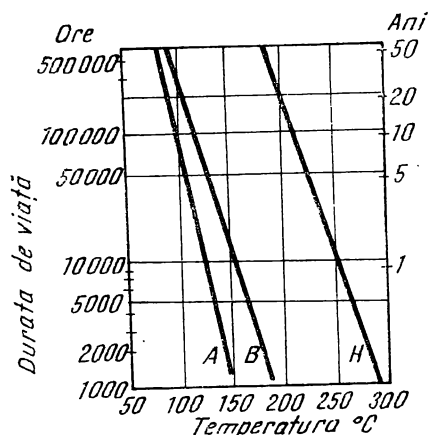
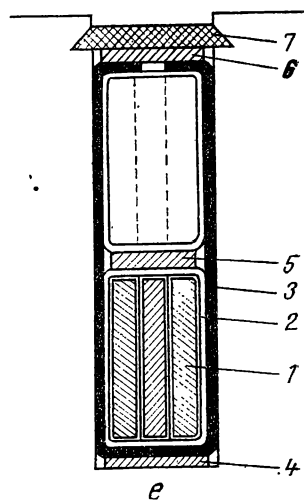
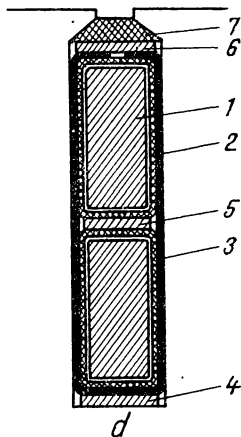
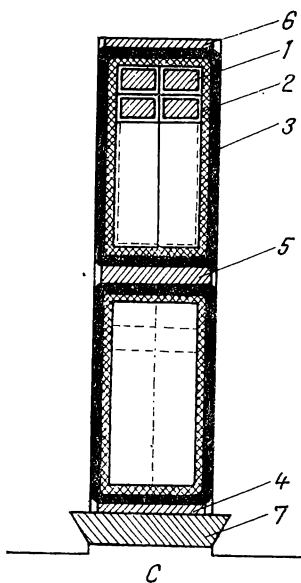
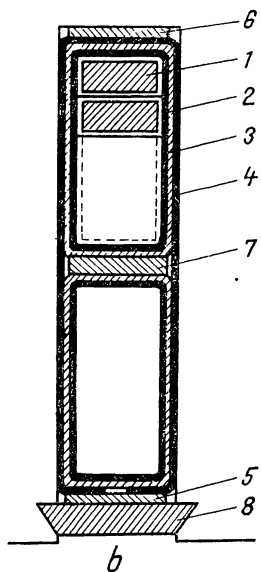
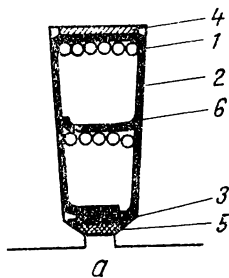


Fig. 2.73. Curbe ale duratei de viață pentru materiale din clasa de izolație *A*, *B* și *H*.

mai diverse forme: fire, țesături,

Fig. 2.74. Izolația creștăturii  
pentru:

*a* — mașină cu tensiuni sub  
500 V ; *b* — mașină cu înfășurare  
în două straturi cu tensiune sub  
500 V ; *c* — înfășurare în două  
straturi pentru 3÷11 kV ; *d* —  
înfășurare în două straturi pen-  
tru rotoarele bobinate ale motoa-  
relor asincrone ; *e* — pentru rotoa-  
rele mașinilor de c.c.



TABELUL 2.15.    **Schemă de izolație pentru mașini asincrone și sincrone de joasă tensiune ( $U \leq 500$  V). Crestătură trapezoidală, conductor rotund, bobine moi. Puterî sub 100 kW. Crestătura  $a$  din figura 2.74.**

Reper	Material utilizabil pentru clasele de izolație:		
	<i>B</i>	<i>F</i>	<i>H</i>
	Izolație în crestătură		
1. Conductor de bobinaj rotund	Emailat cu lacuri poliestereftalice ET, ETs	Emailat cu lacuri poliestereftalice ET, ETs	Emailat cu lacuri poliesterimidice sau siliconice ET-180 sau email + sticlă 2Ssi
2. Izolație de crestătură.	Micanite flexibile; Folie combinată tip stratifol	Folie combinată tip stratifol; Micanite flexibile	Sticlomicafoliu; Pînză cu sticlă lăcuită
3. Izolație sub pană	Stratifol; Micafoliu.	Stratifol; Micanită flexibilă	Sticlotextolit
4. Izolație între straturi	Preșpan; Stratifol	Stratifol; Micanită flexibilă	Sticlotextolit; Sticlomicafoliu; Micanite flexibile
5. Izolație la fundul crestăturii	Stratifol; Micafoliu; Carton preșpan	Stratifol; Micanită flexibilă	Sticlotextolit
6. Pana de închidere	Lemn de fag impregnat în ulei; Folie poliesterică	Sticlotextolit	Sticlotextolit
	Izolație la capetele de bobină		
7. Izolație între faze	Stratifol; Micafoliu	Sticlomicafoliu; Micanită flexibilă	Sticlomicafoliu
8. Consolidare capete de bobină	Bandă de bumbac impregnată; Șiret poliesteric	Bandă de sticlă impregnată	Bandă de sticlă impregnată.
	Lac de impregnare a bobinajului		
	Oleogliphtalic	Poliestereftalic Poliuretanic	Poliesterimidic Siliconic

TABELUL 2.16. Schemă de izolație pentru mașini asincrone și sincrone de joasă tensiune ( $U \leq 500$  V). Crestătură dreaptă, deschisă sau semideschisă, conductor profilat (bobine tari). Puteri peste 100 kW. Crestătura *b* din figura 2.74.

Reper	Materiale utilizabile pentru clasele de izolație		
	<i>B</i>	<i>F</i>	<i>H</i>
	Izolație în crestătură		
1. Conductor de bobinaj profilat	Emailat — PET; Email + sticlă P2S, PE2S, P2ST	Emailat — PET; Email + sticlă P2S, PE2S, P2ST	Emailat + sticlă P2Ssi
2. Izolația interioară a mănunchiului	Micabandă flexibilă (discontinuuă TMG, T2MN etc.)	Micabandă cu sticlă (discontinuuă) S1MG, S2MG	Micabandă cu țesătură de sticlă impregnată cu siliconi S1MSi, S2MSi
3. Izolația exterioară a mănunchiului	Bandă de țesătură de sticlă SLO	Bandă de țesătură de sticlă 463	Bandă de țesătură de sticlă SRSi, ScSi
4. Izolație de crestătură	Micafoliu; Foaie de sticlă lăcuită	Sticlomicafoliu; Micanite flexibile	Sticlomicafoliu; Micanite flexibile
5. Izolație sub pană 6. Izolație la fundul crestăturii; 7. Izolația între straturi	Foaie de țesătură de sticlă lăcuită; Micanite flexibile; Stratifol	Sticlomicanite; Sticlomicafoliu; Sticlotextolit	Sticlomicanite; Sticlomicafoliu; Sticlotextolit
8. Pană de închidere	Textolit Sticlotextolit	Sticlotextolit	Sticlotextolit
	Izolație la capetele de bobină		
9. Izolația mănunchiului de spire	Micabandă flexibilă	Micabandă pe bază de sticlă	Micabandă pe bază de sticlă
10. Bandaj	Bandă de țesătură de sticlă, clasă <i>B</i>	Bandă de țesătură de sticlă, clasă <i>F</i>	Bandă de țesătură de sticlă, clasă <i>H</i>
11. Lac de impregnare a bobinajului	Oleoglipțialic clasă <i>B</i>	Poliestereftalic Poliuretanic, clasă <i>F</i>	Poliesteramidic Siliconic, clasă <i>H</i>

TABELUL 2.17. Schema de izolație pentru mașini asincrone și sincrone de înaltă tensiune ( $U = 6000$  V). Crestătură dreaptă deschisă sau semideschisă, conductor profilat. Puteri peste 300—400 kW. Crestătura  $c$  din figura 2.74.

Reper	Materiale utilizabile pentru clasele de izolație		
	<i>B</i>	<i>F</i>	<i>H</i>
	Izolația în crestătură		
1. Conductor de bobinaj profilat	Email + sticlă PE2S, P2ST	Email + sticlă PE2s, P2ST.	Email + sticlă P2Ssi
2. Izolația interioară a mănunchiului	Micabandă (cl. <i>B</i> ) grosime 0,18 mm 10 straturi suprapuse	Micabandă (cl. <i>F</i> ) grosime 0,18 mm 10 straturi suprapuse	Micabandă (cl. <i>H</i> ) grosime 0,18 mm 10 straturi suprapuse
3. Izolația exterioră a mănunchiului	Bandă de țesătură de sticlă (de contracție) cl. <i>B</i> un strat	Bandă de țesătură de sticlă (de contracție) cl. <i>F</i> un strat	Bandă de țesătură de sticlă (de contracție) cl. <i>H</i> un strat
4. Izolația sub pană	Sticlotextolit	Sticlotextolit	Sticlotextolit
5. Izolație între straturi			
6. Izolația la fundul crestăturii			
7. Pana ( $h_p$ peste 3 mm)	Sticlotextolit	Sticlotextolit	Sticlotextolit
	Izolația la partea frontală		
8. Izolația mănunchiului	Micabandă grosime 0,15 mm 6 straturi suprapuse	Micabandă grosime 0,15 mm 6 straturi suprapuse	Micabandă (cl. <i>H</i> ) grosime 0,15 mm 6 straturi suprapuse
9. Bandaj	Bandă de țesătură de sticlă un strat	Bandă de țesătură de sticlă un strat	Bandă de țesătură de sticlă un strat
10. Lac de impregnare	clasa <i>B</i>	clasa <i>F</i>	clasa <i>H</i>



**TABELUL 2.18**    **Schema de izolație pentru rotoarele bobinate ale motoarelor asincrone. Crestătură dreaptă, semiînchisă, bobinaj cu bare în două straturi. Puteri peste 100 kW. Crestătura  $d$  din figura 2.74**

Reper	Materiale utilizabile pentru clasele de izolație		
	$B$	$F$	$H$
	Izolația în crestătură		
1. Conductor de bobinaj profilat	Email poliestereftalic ET, ETs	Email poliestereftalic ET, ETs	Email poliesterimidic sau siliconic ET 180, 2Ssi
2. Izolația unei bare	Sticlomicafoliu	Țesătură de sticlă	Țesătură de sticlă impregnată cu siliconi
3. Izolația pentru ambele bare	Bandă de țesătură de sticlă	Bandă de țesătură de sticlă	Bandă de țesătură de sticlă
4. Izolația de crestătură	Pînză de sticlă	Pînză de sticlă	Pînză de sticlă impregnată cu siliconi
5. Izolație între bare 6. Izolație sub pană 7. Izolație la fundul crestăturii 8. Pană	Sticlotextolit	Sticlotextolit	Sticlotextolit
	La părțile frontale		
8. Izolația unei bare	Bandă de mîcă	Bandă de sticlă	Bandă de sticlă impregnată
9. Bandaj	Bandă de contracție	Bandă de contracție	Bandă de contracție
10. Lac de impregnare	clasa $B$	clasa $F$	clasa $H$

**TABELUL 2.19.**    **Schema de izolație pentru rotoarele motoarelor de curent continuu de tensiuni pînă la 500 V. Crestătură dreaptă, conductor profilat. Puteri peste 10 kW. Crestătura  $e$  din figura 2.74.**

Reper	Materiale utilizabile pentru clasele de izolație	
	$B$	$F$
	Izolația în crestătură	
1. Conductor de bobinaj profilat	Emailat P2S, PE2S, P2ST	Emailat P2S, PE2S, P2ST
2. Izolație mănunchiuri	Micanită flexibilă grosime 0,2 mm 5 straturi	Micanită flexibilă grosime 0,2 mm 5 straturi

Tabelul 2.19 (continuare)

Reper	Materiale utilizabile pentru clasele de izolație	
	<i>B</i>	<i>F</i>
	Izolație în creștătură	
3. Izolație de creștătură	Micafoliu; Foaie de țesătură de sticlă lăcuită	Sticlomicafoliu; Micanită flexibilă
4. Izolație la fundul creștăturii	Stratifol;	Sticlomicanită;
5. Izolație între straturi	Micafoliu;	Sticlomicafoliu;
6. Izolație sub pană	Sticlertextolit	Sticlertextolit
7. Pană	Lemn de fag impregnat Sticlertextolit	Sticlertextolit
	La partea frontală	
8. Izolație mănunchi	Bandă de țesătură de sticlă	Bandă de țesătură de sticlă
9. Bandaj	Bandă de contracție	Bandă de contracție
10. Lac de impregnare	Clasa <i>B</i>	Clasa <i>F</i>

# 3.

## MAȘINA ASINCRONĂ

### 3.1. GENERALITĂȚI ELEMENTE CONSTRUCTIVE DE BAZĂ

Mașina asincronă este o mașină de c.a. care la o frecvență a tensiunii de alimentare dată, are viteza variabilă funcție de sarcina și de regimul de funcționare. Mașinile asincrone se folosesc mai ales ca motoare și reprezintă unul din cei mai importanți consumatori de energie electrică. În tabelele 3.1 și 3.2 se dau caracteristici funcționale ale unor motoare asincrone. În înfășurarea statorică primește, de regulă, energia electrică de la rețea, iar înfășurarea rotorică joacă rol de înfășurare secundară care poate fi înfășurare în scurtcircuit (colivie), sau înfășurare trifazată cu capetele conectate la trei inele de contact (celelalte capete fiind legate în stea).

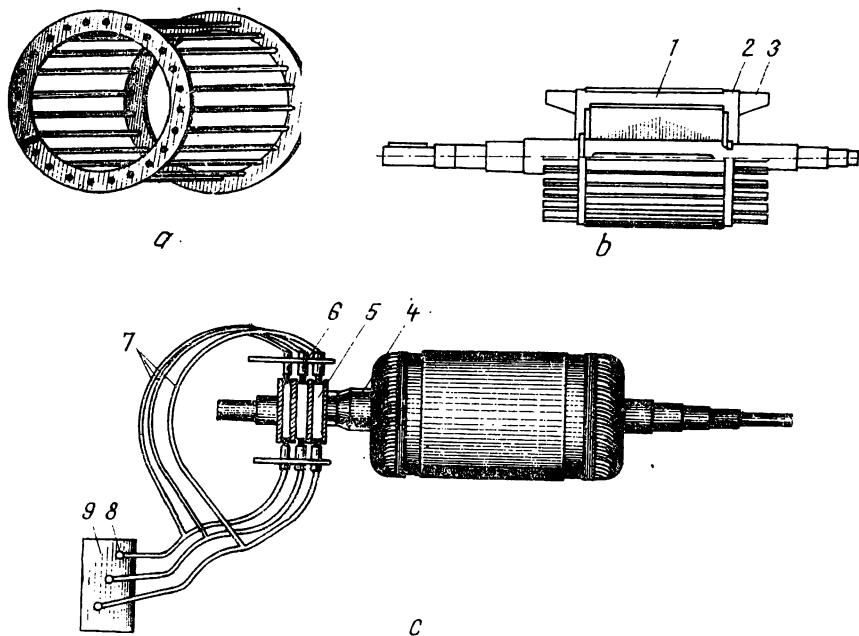
Motoarele asincrone pot fi trifazate sau monofazate; cel mai mult s-au răspândit motoarele trifazate.

Statorul, parte imobilă, cuprinde carcasa, pachetul de tole (miezul) cu înfășurări și scuturi. Rotorul, parte mobilă, cuprinde pachetul de tole (miezul) cu înfășurări, arborele, inelele de contact și ventilatorul (fig. 3.1). Axul se rotește în lagăre de rulare sau de alunecare (fig. 3.1. A) fixate pe scuturi portlagăre sau pe picioare separate (la puteri mari). În figurile 3.2, A și 3.2, B se prezintă secțiuni longitudinale și transversale prin mașini asincrone. Datele nominale sînt: puterea nominală la ax, tensiunea de alimentare, curentul absorbit, turația nominală, randamentul, factorul de putere (minim garantat), curentul rotoric, tensiunea între inele la rotor imobil (rotor bobinat).

### 3.2. REGIMURILE DE FUNCȚIONARE ALE MAȘINII ASINCRONE

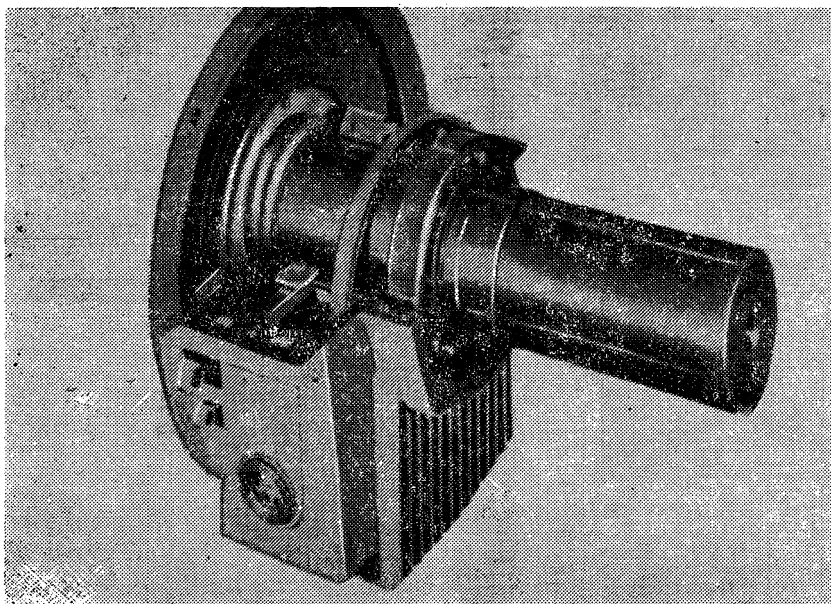
Mașina asincronă trifazată funcționează stabil în trei regimuri: motor, generator, frînă.

a) *Regimul de motor.* Mașina transformă puterea electrică, primită de la rețea în putere mecanică cedată pe la arbore unui mecanism. Înfășurarea trifazată conectată la rețea (fig. 3.3.) fiind parcursă de un sistem simetric de curenți de pulsație  $\omega_1$ , produce un câmp magnetic învîrtitor, care are viteza unghiulară  $\Omega_1 = \omega_1/p$  în sensul succesiunii fazelor. Câmpul magnetic învîrtitor induce în înfășurarea trifazată a rotorului un sistem simetric de



*Fig. 3.1. Rotoare ale motoarelor asincrone:*

*a* — colivie simplă separată de miez; *b* — rotor cu înfășurare în colivie; *c* — rotor bobinat;  
 1 — bara coliviei; 2 — inelul de scurtcircuitare; 3 — palete care servesc la răcirea motorului;  
 4 — axul rotorului; 5 — inelele colectoare; 6 — port-perii; 7 — conductoarele de legătură între inele și placa de borne; 8 — borne; 9 — placa de borne.



*Fig. 3.1.A. Lagăr de motor asincron (partea de acționare) cu capacul demontat (BBC).*

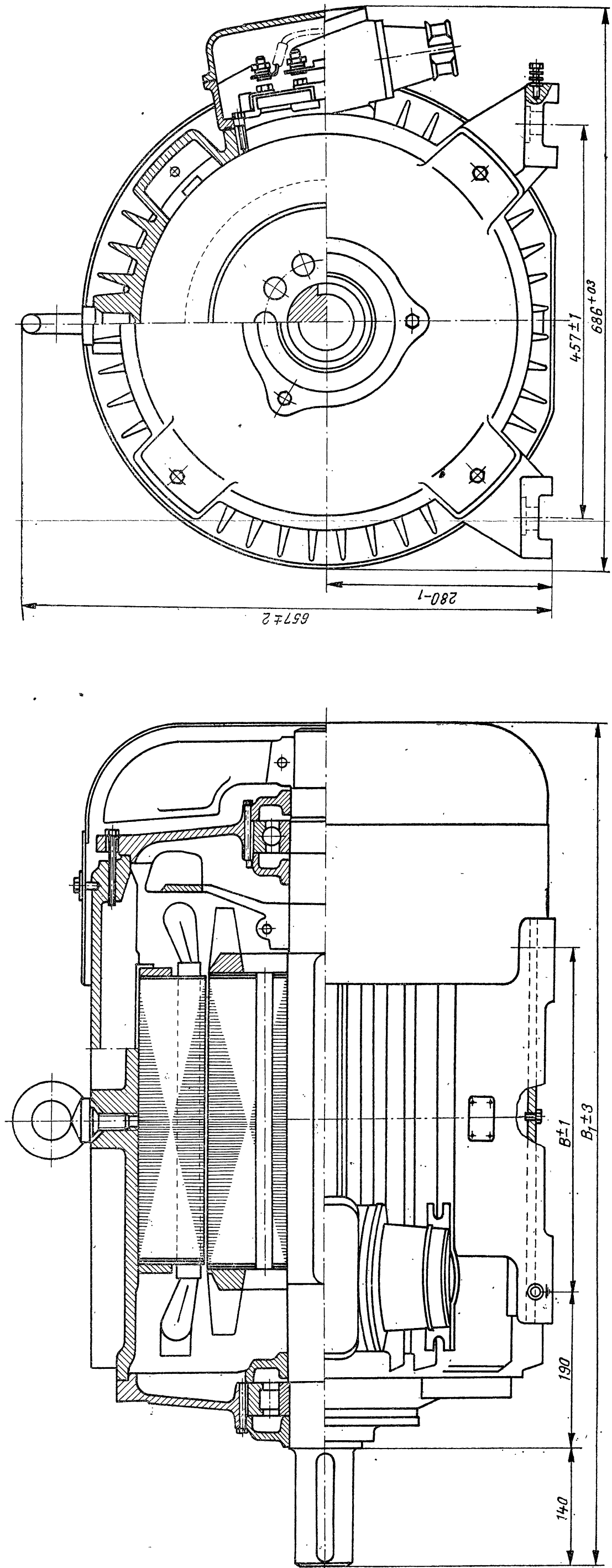


Fig. 3.2.A. Secțiune longitudinală și transversală prin mașina asincronă cu rotor în scurtcircuit:  
 dimensiunile  $B$  și  $B_1$  sînt în funcție de putere și turație, de exemplu: pentru  $P_n = 75 \text{ kW}$  și  $n_1 = 3000 \text{ rot/min}$   
 $B = 368 \text{ mm}$  și  $B_1 = 964 \text{ mm}$  și pentru  $P_n = 100 \text{ kW}$ ;  $n_1 = 1500 \text{ rot/min}$ ,  $B = 419 \text{ mm}$  și  $B_1 = 1014 \text{ mm}$

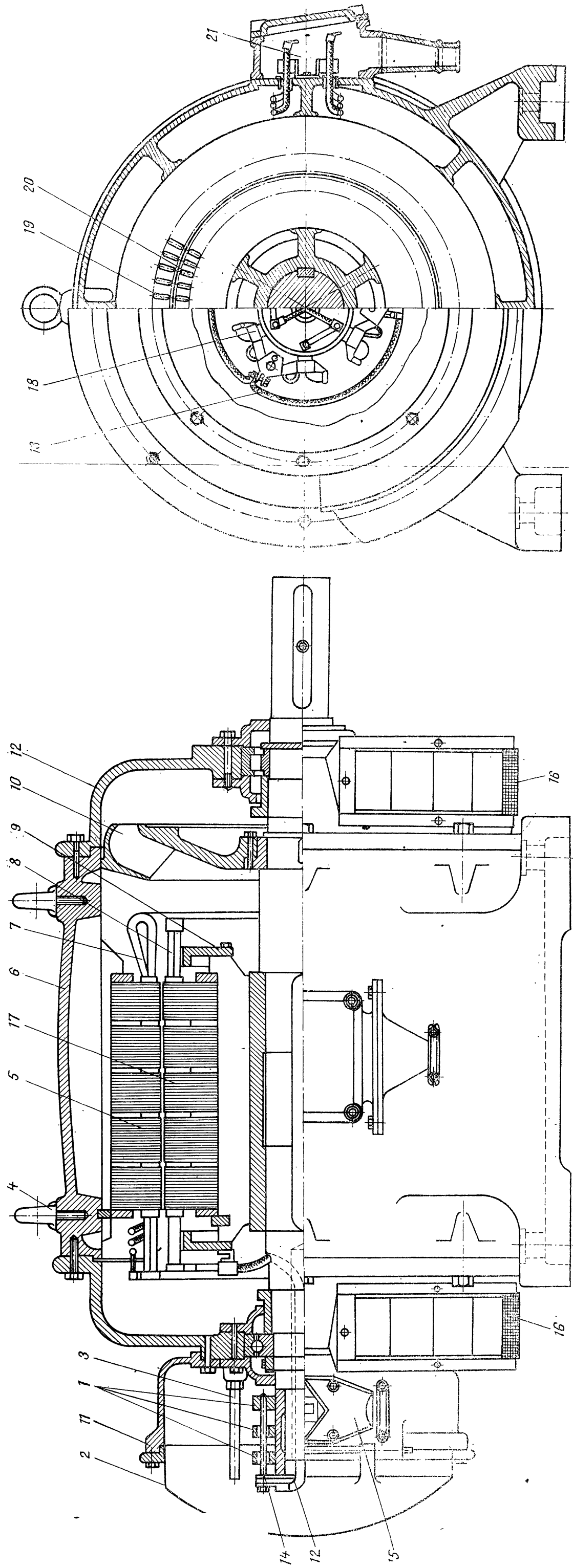


Fig. 3.2, B. Secțiune longitudinală și transversală printr-o mașină asincronă cu rotor bobinat  
 1 — inele colectoare; 2 — capac inele colectoare; 3 — bară suport port-perii; 4 — ureche de ridicare; 5 — pachet de  
 tole statorice; 6 — ecarasă; 7 — înfășurare statorică; 8 — înfășurare rotorică; 9 — suport cap de bobină rotorice;  
 10 — ventilator; 11 — cutie inele colectoare; 12 — scut-tracțiune; 13 — cablu de legătură a înfășurării rotorice la  
 inelele colectoare; 14 — bulon de legătură între un inel colector și cablul de legătură rotorică; 15 — cutie de borne  
 rotorică; 16 — sită de protecție; 17 — pachet de tole rotorice; 18 — portieră; 19 — creștătură stator; 20 — creșta-  
 tură rotor; 21 — cutie de borne statorică.

TABELUL 3.1. Mașini asincrone trifazate la  $\dot{U}_{bn} = 380 \text{ V}$ ;  $f = 50 \text{ Hz}$ .  
Caracteristici constructive și funcționale

TIP	P (kW)	$\cos \varphi$	$\beta$	D (mm)	l (mm)	$q_1$	$q_2$	$\delta$ (mm)	A ( $\lambda/\text{cm}$ )	B (T)	G (kg)	$G D^2$ ( $\text{kgm}^2$ )	$Z_s$	s	$\eta$ (%)	$\frac{M_{max}}{M_n}$	$\frac{M_p}{M_n}$	$\frac{I_p}{I_n}$
MIB3 280M 65-2	90	0,94	1	250	235	8	—	1,2	378	0,625	490	3,5	40	1,62	90	3,45	1,59	6,7
MIB3 280S 65-2	75	0,94	1	250	205	8	—	1,2	369	0,62	445	2,8	40	1,64	89	3,15	1,51	6,15
MIB3 280M 75-4	90	0,88	2	290	275	4	—	0,8	330	0,784	565	6,4	38	1,72	93	2,5	1,75	5,4
MIB3 280S 75-4	75	0,88	2	290	235	4	—	0,8	314	0,785	500	5,3	38	1,76	92	2,56	1,78	5,5
MIB2 315S 80-4	110	0,88	2	371	280	4	—	1	271	0,695	970	16,1	42	0,8	92,5	2,5	2,3	7,5
MIB2 315M 80-4	132	0,88	2	371	315	4	—	1	292	0,68	1020	18,1	42	1	92,5	2,5	1,8	7,5
MIB2 315M 90-6	160	0,86	3	410	465	4	—	0,8	317	0,64	1300	36,4	58	1,2	94	2,7	2,5	6,5
MIB2 355L 100-6	200	0,85	3	440	475	4	—	1	342	0,65	1650	55	58	1,1	94	2,5	1,9	6,5
MIB2 355L 100-6	250	0,85	3	440	550	4	—	1	357	0,66	1750	63	58	1,1	94,5	2,5	1,9	6,5
MIB2 355L 100-4	315	0,86	2	400	550	4	—	1,25	325	0,73	1750	42	30	1	94,5	2,7	2,3	6,5
MIP2 315S 80-8	75	0,81	4	410	280	3	2	0,8	335	0,7	1190	27,8	48	2	91,5	2,6	—	—
MIP2 315S 80-6	90	0,86	3	410	280	4	3	0,8	295	0,66	1190	23	54	1,6	92	3,2	—	—
MIP2 315S 80-6	110	0,87	3	410	315	4	3	0,8	321	0,65	1250	25,7	54	1,6	92,5	3,2	—	—
MIP2 315M 90-6	132	0,87	3	410	380	4	3	0,9	319	0,64	1400	30,7	54	1,4	93,5	3,2	—	—
MIP2 315M 90-6	160	0,87	3	410	465	4	3	1	314	0,643	1520	37	54	1,4	94	3	—	—
MIP2 355L 100-6	200	0,87	3	440	475	4	3	1,25	334	0,64	1800	55	54	1,2	94,5	2,8	—	—
MIP2 355L 100-6	250	0,88	3	440	550	4	3	1,25	345	0,662	1900	63	54	1,1	94	2,8	—	—
MIP2 355L 100-4	315	0,9	2	400	550	4	3	1,25	310	0,732	1900	42	36	1	94,5	3	—	2

TABELUL 3. 1 (continuare)

TIP	P (kW)	cos φ	p	D (mm)	l (mm)	q <sub>1</sub>	q <sub>2</sub>	δ (mm)	A (A/cm)	B (T)	G (kg)	G <sub>D2</sub> (kg/m <sup>2</sup> )	Z <sub>2</sub>	s	η (%)	$\frac{M_{max}}{M_n}$	$\frac{M_p}{M_n}$	$\frac{J_p}{J_n}$
MIP2 405L 110-8 V	250	0,77			370				352	0,825		2 950	93	1,73	91,5	3,2	—	—
	250	0,78	4	520	430	3	4	1,25	369	0,821	96	3 250	110	1,7	92	3,3	—	—
	315	0,79			510				415	0,821		3 550	131	1,6	92,7	3,4	—	—
MIP2 450V 110-10 Y 110-10	160	0,73	5	540	460	3	3 <sup>1/2</sup>	1	316	0,695	105	3 400	170	1,47	92,4	2,9	—	—
	200	0,75			540				329	0,69		3 800	210	1,5	92,7	3,1	—	—
	132	0,7	6	540	460	2 <sup>1/2</sup>	3	1	349	0,7	108	3 350	160	1,6	91,8	2,5	—	—
MIP2 450V 110-12 Y	160	0,7			540				391	0,7		3 900	195	1,65	92	2,7	—	—
	800	0,91	2	540	380	5	—	1,75	272	0,785	74	3 050	93	1,07	91,3	2,5	0,9	5,5
	1 000	0,925			480				385	0,788		3 500	114	0,92	94,8	2,6	1,1	6,3
MAB2 500V 120-6	630	0,89	3	600	380	4	—	1,5	489	0,712	86	3 100	136	1,3	94,8	2,6	1,1	6,3
MAB2 500V 120-8	500	0,82	4	600	430	3	—	1,5	422	0,717	86	3 200	152	1,6	94	1,9	1	4,6
MAP2 500Y 502-4	1 000	0,93	2	540	480	5	6	1,75	374	0,773	72	3 650	130	1	94,5	2,8	—	—
MAP2 500Y 120-6	800	0,9	3	600	480	4	5	1,5	394	0,756	90	3 650	190	1,5	94,5	2,6	—	—
MAP2 500Y 120-8	630	0,84	4	600	530	3	4	1,5	489	0,708	96	3 750	210	1,47	94,1	2,3	—	—
MAP2 500V 120-8	500	0,83	4	600	430	3	4	1,5	417	0,721	96	3 350	195	1,6	93,5	2,2	—	—
MAP2 500Y 120-8	630	0,835	4	610	530	3	—	1,5	526	0,717	86	3 600	184	1,47	94,5	2	1,1	4,6
MAP2 500Y 120-10	1 500	0,81	5	650	560	3	—	1,25	375	0,755	72	3 900	340	1,8	94	1,9	1,2	4,3



TABELUL 3.2. Mașini asincrone trifazate la  $U_n = 6 \text{ kV}$ ;  $f_n = 50 \text{ Hz}$   
(Caracteristici constructive și funcționale)

TIP	$P$ (kW)	$\cos \varphi$	$\beta$	$D$ (mm)	$l_{Fe}$ (mm)	$\gamma$	$q_s$	$\delta$ (mm)	$A$ (A/cm)	$B$ (T)	$Z_s$	$G$ (kg)	$GD^2$ (kgfm <sup>2</sup> )	$s$	$\eta$	$\frac{M_{max}}{M_n}$	$\frac{M_p}{M_n}$	$\frac{I_p}{I_n}$
MIB 450L 110-4	315	0,86	2	460	280	5	—	1,5	414	0,87	52	2 650	38	0,9	91,5	2,9	1,2	6,2
MIB2 450L 110-4	400	0,87	2	460	350	5	—	1,5	433	0,86	52	2 950	46	0,82	92	3,1	1,4	6,5
MIB2 450Y 110-4	500	0,88	2	460	410	5	—	1,5	433	0,88	52	3 100	53	1	92,6	3,3	1,4	7
MIB2 450L 110-6	250	0,8	3	520	280	4	—	1,25	415	0,864	86	2 650	59	1,43	91,6	3	1,3	5,7
MIB2 450L 110-6	315	0,81	3	520	350	4	—	1,25	412	0,864	86	2 950	72	1,33	92,3	3,2	1,3	6,3
MIB2 450L 110-8	200	0,73			370				344	0,847		2 850	76	1,3	91,5	2,7	1,4	6
	250	0,74		520	430	3	—	1,25	370	0,84	86	3 150	87	1,47	92,1	2,8	1,5	5,8
	315	0,75			510				450	0,842		3 500	102	1,33	92,5	2,9	1,5	6
MIB2 450V 110-10	160	0,74	5	540	460	3	—	1	309	0,714	110	3 300	144	1,97	90,2	3,3	1,3	5,6
	200	0,76			540				324	0,71		3 600	172	2	90,3	3,4	1,4	5,8
MIB2 450V 110-12	132	0,7	6		460	$2\frac{1}{2}$	—	1	329	0,732	110	3 250	160	2,3	90,2	3	1,2	4,8
MIB2 450Y 110-12	160	0,72	6	540	540	$2\frac{1}{2}$	—	1	336	0,716		3 350	190	2,2	90,4	3,1	1,3	4,9
MIP2 450L 110-4	315	0,88			280				414	0,87		2 800	45	1,4	90,3	3,5	—	—
	400	0,89	2	460	350	5	6	1,5	421	0,84	72	3 050	52	1,25	91	3,6	—	—
Y	500	0,9			410				433	0,86		3 250	60	1,4	91,6	3,9	—	—
	250	0,82			280				417	0,827		2 800	64	1,67	90,8	3	—	—
V	315	0,83	3	520	350	4	5	1,25	413	0,827	90	3 100	81	1,62	91,3	3,3	—	—
	400	0,84			410				439	0,83		3 300	96	1,5	91,7	3,4	—	—

t.e.m. cu pulsația  $\omega_2 = p\Omega_1 = \omega_1$ , se consideră rotorul în repaus ( $n_2 = 0$ ), deoarece înfășurările de fază ale rotorului au același număr de poli. Înfășurările rotorului fiind scurtcircuitate (dublă stea), vor fi parcurse de un sistem simetric de curenți. Înfășurările rotorice parcurse de curenți se află în câmpul magnetic învîrtitor statoric și asupra rotorului se va exercita un cuplu electromagnetic  $M$  în sensul câmpului învîrtitor statoric care pune în mișcare rotorul. Accelerarea duce pînă cînd cuplul electromagnetic este egal cu cuplul rezistent. Dacă alunecarea este  $s$ , atunci  $\omega_2 = s\omega_1$ . Curenții rotorici de pulsație  $\omega_2 = s\omega_1$  produc un câmp magnetic învîrtitor numit câmp învîrtitor de reacție care față de rotor are viteza  $\Omega_R = \omega_2/p = \Omega_1 s$ , iar față de stator are viteza  $\Omega_s = \Omega_R + \Omega_2 = \Omega_1$ . Deci câmpul învîrtitor statoric (inductor) și câmpul învîrtitor de reacție au aceeași viteză unghiulară față de stator. Cele două câmpuri se compun și dau un câmp magnetic învîrtitor rezultat care induce t.e.m. de valoare eficace  $E_{2s}$ , iar înfășurarea rotorică este parcursă de curentul  $I_{2s}$ . Conform relației (2.122) se obține:

$$M = 3 E_{2s} I_{2s} \cos (\underline{E}_{2s}, \underline{I}_{2s}) / (\Omega_1 - \Omega_2) \quad (3.1)$$

Expresia de la numărător reprezintă pierderile Joule  $P_{J_2}$ :

$$M = P_{J_2} / (\Omega_1 - \Omega_2) = P_{J_2} / s \Omega_1 \quad (3.2)$$

Puterea mecanică dezvoltată de motor  $P_M = M\Omega_2$ , acoperă puterea  $P_2$  necesară instalației antrenată de motor, pierderile mecanice  $P_m$  datorită frecărilor în palierle mașinii, ale rotorului și ventilatorului cu aerul și puterea  $P_{Fe2}$  pierdută prin curenții turbionari și histerezis în miezul rotoric:

$$P_M = P_2 + P_m + P_{Fe2} \quad (3.3)$$

Rotorul în ansamblu necesită puterea

$$P = P_M + P_{J_2} = P_2 + P_m + P_{Fe2} + P_{J_2} \quad (3.4)$$

care este puterea transmisă rotorului prin intermediul câmpului electromagnetic prin întrefier,  $P$  se numește puterea electromagnetică. Rezultă:

$$P = P_M + P_{J_2} = M \Omega_1 \quad (3.5)$$

Dacă  $P_1$  este puterea absorbită de la rețea,  $P_{J_1}$  puterea pierdută în rezistențele înfășurărilor de fază statorice și  $P_{Fe1}$  puterea pierdută în miezul statoric, rezultă:

$$P = P_1 - P_{J_1} - P_{Fe1} \quad (3.6)$$

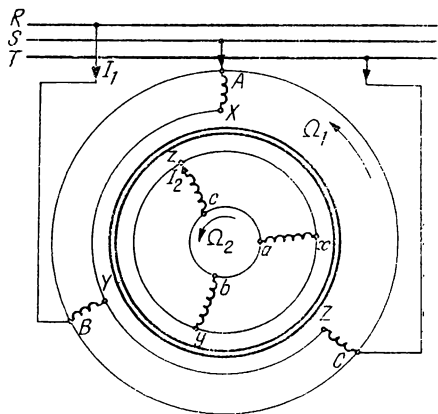


Fig. 3.3. Schemă pentru explicarea principiului de funcționare al motorului asincron.

TABELUL 3.3. Alunecările nominale ale motoarelor asincrone

$p$	1	2	3	4	5	6	12	24
$P_n$ [kW]	$0,37 \dots 15$	$0,37 \dots 11$	$0,37 \dots 7$	$0,37 \dots 4$	$100 \dots 10^4$	$100 \dots 8 \cdot 10^3$	$400 \dots 15 \cdot 10^3$	$200 \dots 3\,000$
$s_n$ [%]	$6,7 \dots 3,3$	$7,5 \dots 3,3$	$10 \dots 3,5$	$11 \dots 4$	$2,5 \dots 0,8$	$2,5 \dots 0,9$	$2,5 \dots 1,0$	$3,2 \dots 1,6$
$P_n$ [kW]	$100 \dots 3000$	$100 \dots 7000$	$100 \dots 11000$	$100 \dots 10^4$				
$s_n$ [%]	$1,7 \dots 0,3$	$2,5 \dots 0,9$	$2,2 \dots 0,5$	$2,5 \dots 0,6$				

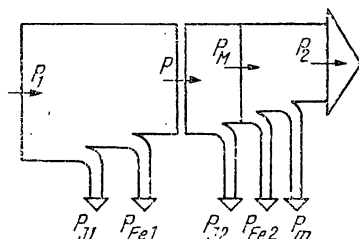


Fig. 3.4. Bilanțul puterilor active în motorul asincron.

Bilanțul puterilor este prezentat în figura 3.4. Viteza unghiulară  $\Omega_2$  nu depășește viteza  $\Omega_1$ , deoarece dacă  $\Omega_2 = \Omega_1$  rezultă  $E_{2s} = 0$  și deci  $M = 0$ . Din relațiile  $P_{j2} = sP$  și  $P_M = (1-s)P$  rezultă că este rațional ca motorul asincron să funcționeze la alunecări mici (tabelul 3.3), de obicei  $s = 0,01 \dots 0,10$ .

b) *Regimul de generator.* Se consideră că mașina funcționează în regim motor cu viteza  $\Omega_2$ . Dacă cu un motor exterior antrenăm mașina la viteza  $\Omega_1$  atunci  $M = 0$  și cuplul motorului exterior acoperă pierderile mecanice. Mașina absoarbe de la rețea curentul necesar producerii fluxului magnetic și puterea pentru acoperirea pierderilor  $P_{Fe1}$  și  $P_{j1}$ . Dacă motorul exterior antrenează mașina asincronă la viteza  $\Omega_2 > \Omega_1$  atunci  $s < 0$  și se induc t.e.m. în înfășurările rotorice care deci vor fi parcurse de curenți, rezultă  $M < 0$  deoarece  $\Omega_1 - \Omega_2 < 0$ , iar unghiul dintre  $E_{2s}$  și  $I_{2s}$  este mai mic decât  $\frac{\pi}{2}$ , dar cu semn schimbat. Cuplul  $M$  se opune rotației și este de sens contrar cuplului exterior, deci devine un cuplu rezistent, iar  $P_2 = U_1 I_1 \sqrt{3} \cos \varphi_1 < 0$ , adică puterea  $P_2$  este transmisă rețelei și mașina funcționează în regim de generator (fig. 3.5,a) absorbind curentul de magnetizare de la rețeaua trifazată.

c) *Regimul de frână.* Se consideră că mașina asincronă funcționează în regim de motor și în această situație se schimbă succesiunea fazelor stato-

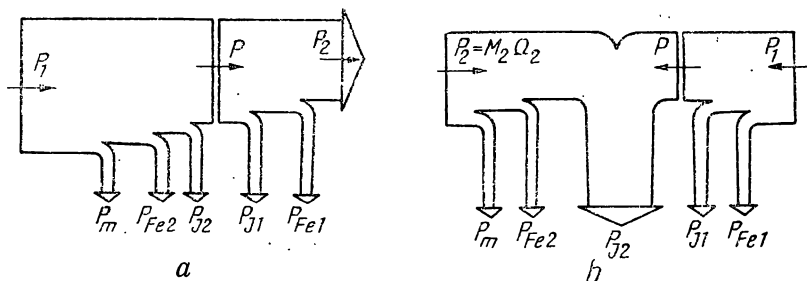


Fig. 3.5. Bilanțul puterilor active ale generatorului asincron (a) și ale mașinii asincrone funcționând în regim de frână (b).

rului prin schimbarea legăturilor a două dintre fazele statorului; se schimbă și sensul de rotație al câmpului magnetic învîrtitor. Viteza unghiulară  $\Omega_2 < 0$  și  $s = (\Omega_1 - \Omega_2)/\Omega_1 > 1$ . Cuplul  $M > 0$ , adică funcționează în sensul câmpului magnetic învîrtitor statoric și este un cuplu rezistent. Puterea mecanică  $P_M = M\Omega_2$  este negativă. Prin urmare rotorul primește putere mecanică pe la arbore. Puterea  $P = M\Omega_1$  este pozitivă, adică se transmite de la stator la rotor. Puterile  $P_M$  și  $P$  sînt transformate în căldură prin efect Joule în înfășurarea rotorului, iar parte acoperă pierderile  $P_m$  și  $P_{Fe2}$  (fig. 3.5, b),  $f_2 = sf_1 > f_1$ .

### 3.3. INDUCTIVITĂȚI PROPRII ȘI MUTUALE LA MAȘINA ASINCRONĂ

Se vor considera numai inductivitățile corespunzătoare fundamentalei câmpului magnetic. În figura 3.6 sînt reprezentate două înfășurări statorice  $AX$ ,  $BY$  și o înfășurare rotorică  $AM$ , precum și axele magnetice corespunzătoare acestor înfășurări monofazate. Înfășurările de pe stator sînt identice (aceiași  $w_1$  și  $k_{w1}$ ), axele magnetice sînt decalate cu  $\frac{2\pi}{3}$  pentru oricare două înfășurări consecutive. În același mod sînt dispuse și înfășurările rotorice (aceiași  $w_2$  și  $k_{w2}$ ). Inductivitatea mutuală între două înfășurări dispuse pe stator  $L_{AB}$  are două componente: una corespunzătoare câmpului magnetic de scăpări  $L_{AB\sigma}$  și alta corespunzătoare câmpului magnetic util,  $L_{ABu}$ .

Prin urmare  $L_{AB} = L_{AB\sigma} + L_{ABu}$ ; cele două componente au același semn. În continuare să calculăm  $L_{ABu}$ .

Se presupune că înfășurarea  $AX$  este parcursă de curentul  $i_A$ , în acest caz t.m. armonică fundamentală va fi:

$$v_A = V_1 \cdot i_A \cos p \alpha_s. \quad (3.7)$$

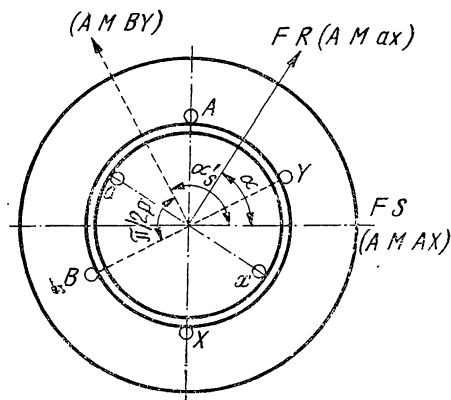


Fig. 3.6. Schiță pentru calculul inductivităților mașinii asincrone.

Întrefierul fiind uniform de lărgime  $\delta$  rezultă că inducția magnetică corespunzătoare va fi:

$$b_A(\alpha_s, t) = \frac{\mu_0}{\delta} V_1 \cdot i_A \cos p \alpha_s. \quad (3.8)$$

În această situație inductivitatea  $L_{ABu}$  va fi:

$$L_{ABu} = \frac{\Phi_{ABu}}{i_A} = \frac{1}{i_A} w_1 k_{w1} \int_{\alpha'_s - \frac{\pi}{2p}}^{\alpha'_s + \frac{\pi}{2p}} b_A(\alpha_s, t) L R d\alpha_s = M'_m \cos p \alpha'_s, \quad (3.9)$$

unde

$$M'_m = 2 L R \frac{\mu_0}{\delta} V_1 w_1 k_{w1} = \frac{4 \mu_0}{\pi p \delta} (w_1 k_{w1})^2 L R.$$

Relația (3.9) arată că inductivitatea  $L_{ABu}$  depinde de unghiul dintre axele magnetice ale celor două înfășurări.

Dacă  $\alpha'_s = 0$  se obține inductivitatea proprie corespunzătoare cîmpului magnetic util, această inductivitate proprie se referă la înfășurarea monofazată  $AX$ ,  $L_{AAu} = M'_m$ , adică  $L_{AA} = L_{AAu} + M'_m$ .

Dacă  $\alpha'_s = \frac{2\pi}{3p}$  atunci se obține  $L_{AB} = -L_{ABu} - \frac{1}{2} M'_m$  pentru  $\alpha'_s = \frac{4\pi}{3p}$  se obține  $L_{AC} = -L_{ABu} - \frac{1}{2} M'_m$ .

Relațiile de mai sus arată că inductivitățile mutuale dintre înfășurările aceleiași armături sînt constante și nu depind de poziția relativă a celor două armături.

În mod cu totul analog se calculează inductivitățile proprii și mutuale dintre înfășurările dispuse pe rotor, doar că valoarea acestor inductivități va fi alta pentru că înfășurările rotorice au alt număr de spire și alt factor de înfășurare  $k_{w2}$ .

Inductivitatea mutuală  $L_{Aa}$  dintre înfășurarea statorică  $AX$  și înfășurarea rotorică  $ax$  evident corespunde numai fluxului magnetic util. Pentru calculul acestei inductivități, t.m. dată de relația (3.7) trebuie transcrisă în sistemul de referință fix față de rotor, adică

$$v_A = V_1 \cdot i_A \cos p(\alpha + \alpha_r) \quad (3.10)$$

iar inducția magnetică în acest sistem va fi:

$$b_A(\alpha_r, t) = \frac{\mu_0}{\delta} V_1 \cdot i_A \cos p(\alpha + \alpha_r) \quad (3.11)$$

$$L_{Aa} = \frac{\Phi_{Aa}}{i_A} = w_2 k_{w2} \int_{-\frac{\pi}{2p}}^{+\frac{\pi}{2p}} b_A(\alpha_r, t) L R d\alpha_r = M_m \cos p \alpha \quad (3.12)$$

unde

$$M_m = \frac{4 \mu_0}{\pi p \delta} w_1 w_2 k_{w1} k_{w2} L R; \quad p \alpha = \theta.$$

De data aceasta unghiul  $\alpha$  dintre axele magnetice ale înfășurărilor  $AX$  și  $ax$  este variabil în timp dacă rotorul este în mișcare. Trebuie remarcat faptul că această inductivitate depinde de unghiul dintre axele magnetice ale celor două înfășurări.

Pe baza acestor rezultate se pot stabili și expresiile celorlalte inductivități:  $L_{Ab}$ ,  $L_{Ac}$ ,  $L_{AB}$ ,  $L_{AC}$ ,  $L_{BB}$ ,  $L_{BC}$ ,  $L_{CC}$ ,  $L_{aa}$ ,  $L_{ab}$ ,  $L_{ac}$ ,  $L_{bb}$ ,  $L_{bc}$ ,  $L_{cc}$ .

### 3.4. FLUXURILE MAGNETICE REPREZENTATIVE ALE MAȘINII ASINCRONE TRIFAZATE

Întocmai ca și la curentul reprezentativ (v. par. 2.11) se pot determina fluxurile reprezentative pentru înfășurarea trifazată statorică, respectiv înfășurarea trifazată rotorică. Se consideră că la un moment dat axele magnetice ale înfășurărilor monofazate statorice și axele magnetice ale înfășurărilor monofazate rotorice sînt orientate ca în figura 3.6. În aceste condiții inductivitățile proprii ale înfășurărilor și inductivitățile mutuale dintre înfășurări pot fi determinate ușor pe baza celor arătate în paragraful precedent, considerînd mașina lineară și neglijînd pierderile în fier.

Fluxul magnetic total prin înfășurarea  $AX$  va fi:

$$\varphi_A = L_{AA} i_A + L_{AB} i_B + L_{AC} i_C + L_{Aa} i_a + L_{Ab} i_b + L_{Ac} i_c = \varphi_{As} + \varphi_{Ar}$$

unde

$$\begin{aligned} \varphi_{As} &= (L_{AA\sigma} + M'_m) i_A + \left( -L_{AB\sigma} - \frac{1}{2} M'_m \right) i_B + \left( -L_{AC\sigma} - \frac{1}{2} M'_m \right) i_C = \\ &= (L_{AA\sigma} + L_{AB\sigma}) i_A + \frac{3}{2} M'_m i_A = (L_\sigma + M_{m1}) i_A \end{aligned}$$

deoarece din motive de simetrie  $L_{AB} = L_{AC}$ , iar curenții satisfac relația:  $i_A + i_B + i_C = 0$ .

$$\text{S-au făcut notațiile: } L_\sigma = L_{AA\sigma} + L_{AB\sigma}; \quad M_{m1} = \frac{3}{2} M'_m.$$

$M_{m1}$  este o inductivitate ciclică, adică este o inductivitate care ține cont de influența tuturor înfășurărilor de pe stator asupra înfășurării  $AX$ . Fluxul magnetic  $\varphi_{Ar}$  este determinat de curenții din înfășurările rotorice.

Prin urmare fluxurile magnetice totale corespunzătoare celor trei înfășurări monofazate statorice se pot pune sub forma:

$$\varphi_A = (L_\sigma + M_{m1}) i_A + i_a M_m \cos \theta + i_b M_m \cos \left( \theta + \frac{2\pi}{3} \right) + i_c M_m \cos \left( \theta + \frac{4\pi}{3} \right)$$

$$\varphi_B = (L_\sigma + M_{m1}) i_B + i_a M_m \cos \left( \theta + \frac{4\pi}{3} \right) + i_b M_m \cos \theta + i_c M_m \cos \left( \theta + \frac{2\pi}{3} \right)$$

$$\varphi_C = (L_\sigma + M_{m1}) i_C + i_a M_m \cos \left( \theta + \frac{2\pi}{3} \right) + i_b M_m \cos \left( \theta + \frac{4\pi}{3} \right) + i_c M_m \cos \theta.$$

Fluxul magnetic reprezentativ al înfășurării trifazate statorice va fi:

$$\begin{aligned}\varphi_s &= \frac{2}{3} (\varphi_A + a \varphi_B + a^2 \varphi_C) = (L_\sigma + M_{m1}) i_s + i_r L_m \cdot e^{j\theta} = \\ &= L_s i_s + i_r L_m e^{j\theta}.\end{aligned}\quad (3.13)$$

unde

$$\begin{aligned}L_s &= L_\sigma + M_{m1}; \quad L_m = \frac{3}{2} M_m \\ i_s &= \frac{2}{3} (i_A + a i_B + a^2 i_C); \quad i_r = \frac{2}{3} (i_a + a i_b + a^2 i_c).\end{aligned}$$

La relația (3.13) s-a ajuns prin înlocuirea funcțiilor cosinusoidale cu formulele lui Euler.

În mod cu totul analog se procedează cu înfășurările rotorice și se obține:

$$\varphi_r = (\varphi_a + a \varphi_b + a^2 \varphi_c) = L_r i_r + i_s L_m e^{-j\theta} \quad (3.14)$$

unde:

$$L_r = L_{r\sigma} + M_{m2}; \quad M_{m2} = \frac{3}{2} M_m''; \quad L_{r\sigma} = L_{aa\sigma} + L_{ab\sigma}$$

aceste inductivități au semnificații similare cu cele pentru stator. De precizat că unghiul  $\theta$  se măsoară în sens trigonometric pozitiv începînd de la axa magnetică a înfășurării considerate.

Fluxul magnetic reprezentativ  $\varphi_s$  este definit în sistemul de referință fix față de stator, iar fluxul magnetic reprezentativ  $\varphi_r$  este definit în sistemul de referință fix față de rotor.

### 3.5. ECUAȚIILE GENERALE ALE MAȘINII ASINCRONE TRIFAZATE

Aplicînd legea inducției electromagnetice pe o curbă  $\Gamma$  care urmărește spirele înfășurării monofazate considerate și adoptînd regula semnelor de la receptoare se obține:

$$u_A = R_1 i_A + \frac{d\varphi_A}{dt}; \quad u_B = R_1 i_B + \frac{d\varphi_B}{dt}; \quad u_C = R_1 i_C + \frac{d\varphi_C}{dt}$$

unde  $u_A, u_B, u_C$  sînt tensiunile la bornele înfășurărilor monofazate statorice, iar  $R_1$  este rezistența înfășurării monofazate, aceeași pentru toate cele trei înfășurări.

Se înmulțește prima ecuație cu  $\frac{2}{3}$ , a doua cu  $\frac{2a}{3}$  și a treia cu  $\frac{2a^2}{3}$  și se obține ecuația statorică a mărimilor reprezentative

$$u_s = R_1 i_s + \frac{d\varphi_s}{dt} \quad (3.15)$$

Această ecuație este stabilită în sistemul de referință fix față de stator și proiecția ei pe axa magnetică a unei înfășurări este tocmai ecuația înfășurării respective.

Procedînd analog cu înfășurarea trifazată rotorică se obține ecuația în mărimi reprezentative:

$$-u_r = R_2 i_r + \frac{d\varphi_r}{dt}. \quad (3.16)$$

Această ecuație este stabilită în sistemul de referință fix față de rotor.

Nu se poate opera cu ecuațiile (3.15) și (3.16) sub această formă deoarece sînt definite în sisteme de referință diferite.

Aceste două ecuații vor fi transcrise în același sistem de referință și anume în sistemul de referință care se rotește cu viteza unghiulară  $\Omega_k$  față de sistemul de referință fix față de stator.

După cum este cunoscut pentru a transcrie ecuația (3.15) în sistemul de referință  $K$  se înmulțește această ecuație cu factorul  $e^{-j\theta_k}$  și se obține:

$$u_s e^{-j\theta_k} = R_1 i_s e^{-j\theta_k} + e^{-j\theta_k} \frac{d\varphi_s}{dt}$$

sau

$$u_{sk} = R_1 i_{sk} + j p \Omega_k \varphi_{sk} + \frac{d\varphi_{sk}}{dt} \quad (3.17)$$

unde

$$u_{sk} = u_s \cdot e^{-j\theta_k}; \quad i_{sk} = i_s \cdot e^{-j\theta_k}; \quad \varphi_{sk} = \varphi_s \cdot e^{-j\theta_k}$$

sînt mărimile reprezentative corespunzătoare, definite în sistemul de referință ( $K$ ), iar  $\theta_k = p\Omega_k$  în care  $p$  este numărul perechilor de poli,

Ecuația (3.16) referitoare la rotor se transcrie în sistemul de referință ( $K$ ) prin înmulțire cu factorul  $e^{-j(\theta_k - \theta)}$  și se obține:

$$-u_{rk} = R_2 i_{rk} + j p (\Omega_k - \Omega_2) \varphi_{rk} + \frac{d\varphi_{rk}}{dt} \quad (3.18)$$

unde:

$$u_{rk} = u_r \cdot e^{-j(\theta_k - \theta)}; \quad i_{rk} = i_r \cdot e^{-j(\theta_k - \theta)}; \quad \varphi_{rk} = \varphi_r \cdot e^{-j(\theta_k - \theta)}$$

sînt mărimile reprezentative rotorice scrise în sistemul de referință ( $K$ ), iar  $\theta_k - \theta = p(\Omega_k - \Omega_2)$ .

Deci s-au obținut ecuațiile generale ale mașinii asincrone

$$\begin{aligned} u_{sk} &= R_1 i_{sk} + j p \Omega_k \varphi_{sk} + \frac{d\varphi_{sk}}{dt} \\ -u_{rk} &= R_2 i_{rk} + j p (\Omega_k - \Omega_2) \varphi_{rk} + \frac{d\varphi_{rk}}{dt}. \end{aligned} \quad (3.19)$$

Aceste ecuații sînt exprimate prin mărimi reprezentative, fapt care a permis ca în loc de șase ecuații algebrice să scriem numai două ecuații în complex, ( $i_0 = 0$ ).



### 3.6. ECUAȚIILE MAȘINII ASINCRONE TRIFAZATE ÎN REGIM STAȚIONAR

Ecuatiile deduse în paragraful precedent se vor transcrie într-un sistem de referință care se rotește cu viteza sincronă  $\Omega_1$ , adică  $\Omega_1 = \frac{\omega_1}{p} = \Omega_k$ .

Presupunînd că tensiunile de alimentare aplicate înfășurării trifazate statorice formează un sistem simetric, adică:

$$u_A = U_1 \sqrt{2} \cos(\omega_1 t + \varphi_u); \quad u_B = U_1 \sqrt{2} \cos\left(\omega_1 t + \varphi_u - \frac{2\pi}{3}\right) \text{ și}$$

$$u_C = U_1 \sqrt{2} \cos\left(\omega_1 t + \varphi_u - \frac{4\pi}{3}\right)$$

atunci:

$$u_{sk} = \frac{2}{3}(u_A + a u_B + a^2 u_C) e^{-j\omega_1 t} = \sqrt{2} U_1 e^{j\varphi_u} = \underline{U}_1 \sqrt{2}. \quad (3.20)$$

În această ultimă relație s-au înlocuit funcțiile cosinusoidale prin formulele lui Euler și s-a avut în vedere relația:

$$e^{-j(\omega_1 t + \varphi_u)} + e^{-j(\omega_1 t + \varphi_u - \frac{2\pi}{3})} + e^{-j(\omega_1 t + \varphi_u - \frac{4\pi}{3})} = 0.$$

Relația (3.20) arată că tensiunea reprezentativă pentru un sistem simetric de tensiuni scrisă în sistemul de referință sincron coincide în afara factorului  $\sqrt{2}$  cu reprezentarea în complex simplificat a tensiunii de fază  $AX$ . Similar curentul reprezentativ al înfășurării trifazate statorice coincide cu reprezentarea în complex simplificat a curentului din înfășurarea  $AX$ , adică  $i_{sk} = \sqrt{2} \underline{I}_1$ .

Curenții din rotor  $i_a, i_b, i_c$  au pulsația  $\omega_2 = s\omega_1$  și formează un sistem simetric, în care caz curentul reprezentativ rotoric devine:

$$i_{rk} = \frac{2}{3}(i_a + a i_b + a^2 i_c) = \sqrt{2} I_2 \cos(s\omega_1 t + \varphi_2) +$$

$$+ \sqrt{2} I_2 \cos\left(s\omega_1 t + \varphi_2 - \frac{2\pi}{3}\right) + \sqrt{2} I_2 \cos\left(s\omega_1 t + \varphi_2 - \frac{4\pi}{3}\right) =$$

$$= \sqrt{2} I_2 e^{j\varphi_2} = \sqrt{2} \underline{I}_2. \quad (3.21)$$

Curentul reprezentativ rotoric în sistemul de referință sincron coincide cu reprezentarea în complex simplificat a curentului din înfășurarea rotorică ax.

Prin urmare există un sistem de referință în care curenții reprezentativi, deși au frecvențe diferite, coincid cu reprezentarea în complex simplificat a curenților din fazele de referință.

Fluxul magnetic reprezentativ  $\varphi_{sk}$  corespunzător înfășurării trifazate statorice, în sistemul de referință sincron se poate pune sub forma:

$$\varphi_{sk} = \varphi_s e^{-j\theta_k} = (L_s i_s + L_m i_r e^{j\theta}) e^{-j\theta_k} =$$

$$= L_s i_{sk} + L_m i_{rk} = \sqrt{2} (L_s \underline{I}_1 + L_m \underline{I}_2) \quad (3.22)$$

În mod analog se calculează fluxul magnetic reprezentativ corespunzător înfășurării trifazate rotorice,

$$\begin{aligned}\varphi_{rk} &= \varphi_r e^{-j(\theta_k - \theta)} = (L_r i_r + L_m i_s e^{-j\theta}) e^{-j(\theta_k - \theta)} = \\ &= L_r i_{rk} + L_m i_{sk} = \sqrt{2} (L_r \underline{I}_2 + L_m \underline{I}_1).\end{aligned}\quad (3.23)$$

În acest caz ecuațiile (3.19) devin,

$$\underline{U}_1 = R_1 \underline{I}_1 + j\omega_1 (L_s \underline{I}_1 + L_m \underline{I}_2); \quad 0 = R_2 \underline{I}_2 + j s \omega_1 (L_r \underline{I}_2 + L_m \underline{I}_1) \quad (3.24)$$

deoarece înfășurările rotorului sînt conectate în scurtcircuit.

Aceste ecuații se mai pot pune și sub altă formă,

$$\begin{aligned}\underline{U}_1 &= R_1 \underline{I}_1 + j \omega_1 \left( L_s - \frac{w_1 k_{w1}}{w_2 k_{w2}} L_m \right) \underline{I}_1 + j \omega_1 \left( \underline{I}_1 + \frac{w_2 k_{w2}}{w_1 k_{w1}} \underline{I}_2 \right) \frac{w_1 k_{w1}}{w_2 k_{w2}} L_m = \\ &= R_1 \underline{I}_1 + j \omega_1 L_{1s} \underline{I}_1 + j \omega_1 w_1 k_{w1} \underline{\Phi}\end{aligned}\quad (3.25)$$

$$\begin{aligned}0 &= \frac{R_2}{s} \underline{I}_2 + j \omega_1 \left( L_r - \frac{w_2 k_{w2}}{w_1 k_{w1}} L_m \right) \underline{I}_2 + j \omega_1 \left( \underline{I}_1 + \frac{w_2 k_{w2}}{w_1 k_{w1}} \underline{I}_2 \right) L_m = \\ &= \frac{R_2}{s} \underline{I}_2 + j \omega_2 L_{2s} \underline{I}_2 + j \omega_2 w_2 k_{w2} \underline{\Phi}.\end{aligned}$$

La fel ca și la transformator inductivitățile:

$$L_{1s} = L_s - \frac{w_1 k_{w1}}{w_2 k_{w2}} L_m; \quad L_{2s} = L_r - \frac{w_2 k_{w2}}{w_1 k_{w1}} L_m$$

sînt inductivitățile de scăpări ale înfășurării de fază statorice respectiv rotorice.

Fluxul magnetic  $\underline{\Phi} = (w_1 k_{w2} \underline{I}_1 + w_2 k_{w2} \underline{I}_2) \frac{L_m}{w_2 k_{w2}} \cdot \frac{1}{w_1 k_{w1}}$  este fluxul magnetic fascicular util și este proporțional cu solenația rezultantă.

La fel ca la transformator se notează:

$$w_1 k_{w1} \underline{I}_1 + w_2 k_{w2} \underline{I}_2 = w_1 k_{w1} \underline{I}_\mu = \theta_\mu \quad (3.26)$$

sau

$$\underline{I}_1 + \underline{I}'_2 = \underline{I}_\mu; \quad \underline{I}'_2 = \frac{w_2 k_{w2}}{w_1 k_{w1}} \underline{I}_2. \quad (3.27)$$

Ecuațiile (3.25) se pot pune sub forma:

$$\underline{U}_1 = R_1 \underline{I}_1 + j X_{1s} \underline{I}_1 - \underline{E}_1; \quad 0 = R_2 \frac{1}{s} \underline{I}_2 + j X_{2s} \underline{I}_2 - \underline{E}_2 \quad (3.28)$$

unde

$$X_{1s} = \omega_1 L_{1s}; \quad X_{2s} = \omega_1 L_{2s}$$

sînt reactanțele de scăpări definite pentru frecvența curenților statorici.

Tensiunile electromotoare  $\underline{E}_1 = -j \omega_1 w_1 k_{w1} \underline{\Phi}$ ;  $\underline{E}_2 = -j \omega_1 w_2 k_{w2} \underline{\Phi}$  sînt t.e.m. induse de cîmpul magnetic învîrtitor rezultant în înfășurările de fază statorică respectiv rotorică.

Ecuția rotorică se raportează la stator prin înmulțirea acestei ecuații cu raportul  $w_1 k_{w1}/w_2 k_{w2}$ ; se obține:

$$\begin{aligned} \underline{U}_1 &= R_1 \underline{I}_1 + j X_{1\sigma} \underline{I}_1 - \underline{E}_1 \\ 0 &= \frac{R'_2}{s} \underline{I}'_2 + j X'_{2\sigma} \underline{I}'_2 - \underline{E}'_2 \end{aligned} \quad (3.29)$$

$$\underline{I}_1 + \underline{I}'_2 = \underline{I}_\mu; \quad \underline{E}_1 = \underline{E}'_2 = \frac{w_1 k_{w1}}{w_2 k_{w2}} \underline{E}_2$$

unde  $R'_2 = (w_1 k_{w1}/w_2 k_{w2})^2 R_2$ ;  $X'_{2\sigma} = (w_1 k_{w1}/w_2 k_{w2})^2 X_{2\sigma}$  reprezintă rezistența rotorică raportată la stator, respectiv reactanța de scăpări rotorică raportată la stator.

Curentul  $\underline{I}_\mu$  are o semnificație fizică bine definită: este curentul care dacă ar parcurge înfășurarea cu  $w_1$  spire și factor de bobinaj  $k_{w1}$  produce o solenație egală cu solenația rezultantă. Curentul  $\underline{I}_\mu$  este în fază cu fluxul magnetic  $\underline{\Phi}$ .

### 3.7. ECUAȚIILE MAȘINII ASINCRONE ÎN TEORIA TEHNICĂ

În cazul teoriei tehnice se iau în considerație saturația circuitului magnetic și pierderile în fier.

Din ecuațiile prezentate în paragraful precedent se pot deduce câteva concluzii importante, astfel dacă se consideră ecuația înfășurării statorice și se neglijează căderea de tensiune ohmică și căderea de tensiune pe reacțanța de scăpări, se obține:

$$\underline{U}_1 \approx -\underline{E}_1 = j \frac{\omega_1}{\sqrt{2}} w_1 k_{w1} \underline{\Phi}_m; \quad (\underline{\Phi}_m = \sqrt{2} \underline{\Phi}).$$

Rezistența  $R_1$  este mică, altfel n-ar fi rațională realizarea înfășurării deci căderea de tensiune  $R_1 \underline{I}_1$  este mică în comparație cu  $\underline{U}_1$ . Fluxul magnetic de scăpări închizându-se în mare parte prin aer rezultă că este mic în comparație cu fluxul  $\underline{\Phi}$ , deci se poate neglija căderea de tensiune  $X_{1\sigma} \underline{I}_1$  în raport cu  $\underline{\Phi} w_1 k_{w1} \omega_1$ . Din relația de mai sus rezultă că fluxul  $\underline{\Phi}$  este determinat în principal de tensiunea de alimentare  $\underline{U}_1$  aplicată înfășurării statorice, prin urmare acest flux este impus de tensiunea de alimentare. După cum s-a arătat fluxul magnetic  $\underline{\Phi}$  este dat de relația:

$$\underline{\Phi} = \frac{L_m}{w_2 k_{w2}} (w_1 k_{w1} \underline{I}_1 + w_2 k_{w2} \underline{I}_2) \frac{1}{w_1 k_{w1}} = L_m \frac{1}{w_1 k_{w1}} \underline{I}_\mu = \frac{L_m}{w_2 k_{w2} w_1 k_{w1}} \theta_\mu.$$

Fluxul magnetic  $\underline{\Phi}$  fiind impus rezultă că solenația rezultantă  $\theta_\mu$  este determinată la o tensiune  $\underline{U}_1$  dată și nu depinde de variația curenților  $\underline{I}_1$  și  $\underline{I}_2$ . Acești curenți au o astfel de variație încît la o tensiune  $\underline{U}_1$  dată,  $\underline{\Phi}$  să rămînă aproximativ același. În particular pentru  $\underline{I}_2 = 0$  rezultă că  $\underline{I}_1 = \underline{I}_\mu$ , adică curentul de magnetizare  $\underline{I}_\mu$  este egal cu curentul de mers în gol, dacă se neglijează pierderile în fier.

În toată teoria prezentată s-a avut în vedere că între fluxul  $\Phi$  și solenația  $\theta_\mu$  este o dependență lineară. În realitate, această dependență este mult mai complicată și a fost prezentată în cadrul teoriei transformatorului. Așa cum s-a arătat în capitolul I valoarea maximă a fluxului magnetic util  $\Phi_m$  și a solenației  $\theta_{\mu m}$  sînt bine determinate la o tensiune de alimentare dată. Curba  $\Phi_m = f(\theta_{\mu m})$  se aproximează cu o dreaptă care conține punctul de funcționare. Evident la o altă tensiune de alimentare va fi o altă dreaptă. Rezultă că inductivitatea  $L_m$  este influențată de saturație, însă pentru o tensiune de alimentare dată, inductivitatea  $L_m$  este bine determinată.

Inductivitățile de scăpări nu sînt influențate de saturația circuitului magnetic.

În mașina electrică există pierderi în fier datorită curenților turbionari și fenomenului de histerezis. Pentru a ține cont de aceste pierderi se introduce curentul  $I_w$ , exact ca la transformator, deci curentul de mers în gol are două componente:  $I_{10} = I_\mu + I_w$ .

Cum pierderile în fier depind de fluxul  $\Phi_m$  rezultă că aceste pierderi sînt determinate la o tensiune de alimentare dată.

Deoarece pierderile în fier depind de fluxul  $\Phi_m$ , este natural să definim curentul  $I_w$  în raport cu t.e.m.  $E_1$ . Componenta  $I_w$  este dată de relația:

$$P_{Fe1} \simeq P_{Fe} = m_1 I_w E_1 = m_1 R_w I_w^2. \quad (3.30)$$

Deoarece la funcționarea normală a motorului alunecarea este mică, deci frecvența curenților rotorici este mică, rezultă că pierderile în miezul rotorici pot fi neglijate ( $P_{Fe2} \simeq 0$ ).

Rezistența  $R_w$  corespunzătoare pierderilor în fier este determinată de relația:

$$R_w = P_{Fe}/m_1 I_w^2 = m_1 E_1^2/P_{Fe}. \quad (3.31)$$

Rezistența  $R_w$  corespunzătoare pierderilor în fier s-a definit astfel încît dacă rezistența  $R_w$  este parcursă de curentul  $I_w$  atunci pierderile Joule din aceasta să fie egale cu pierderile în fier.

Cu aceste precizări ecuațiile mașinii asincrone în cadrul teoriei tehnice devin:

$$\underline{U}_1 = R_1 \underline{I}_1 + j X_{1\sigma} \underline{I}_1 - \underline{E}_1; \quad 0 = \frac{R'_2}{s} \underline{I}'_2 + j X'_{2\sigma} \underline{I}'_2 - \underline{E}'_2 \quad (3.32)$$

$$\underline{I}_1 + \underline{I}'_2 = \underline{I}_{10} = \underline{I}_\mu + \underline{I}_w; \quad \underline{E}_1 = \underline{E}'_2 = -j X_\mu \underline{I}_\mu = -R_w \underline{I}_w$$

unde  $X_\mu$  este reactanța de magnetizare, această reactanță corespunde energiei magnetice înmagazinate în cîmpul magnetic util, al mașinii.

### 3.8. DIAGRAMA FAZORIALĂ A MOTORULUI ASINCRON

Această diagramă reprezintă grafic ecuațiile (3.32) ale mașinii asincrone în regim de motor în planul complex.

Se ia ca origine de fază fluxul magnetic  $\Phi$ , care este în fază cu curentul  $\underline{I}_\mu$ , decalată înainte cu  $\pi/2$  față de flux este componenta activă  $\underline{I}_w$ ; suma vectorială a celor două componente este curentul de mers în gol  $\underline{I}_{10}$ . Tensiunea electromotoare  $E_1$  este decalată în urmă față de flux cu  $\frac{\pi}{2}$ . După ce se construiește diagrama curenților se construiește fazorul  $-\underline{E}_1$ ; din vârful

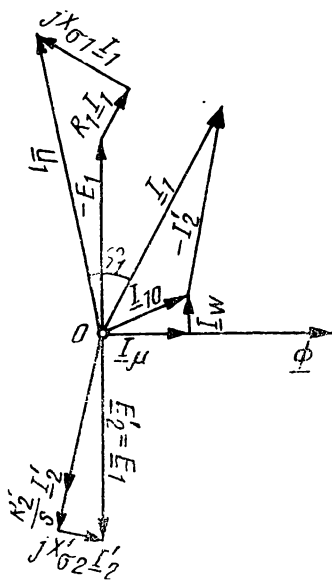


Fig. 3.7. Diagrama de fazoni a motorului asincron.

fazorului  $-E_1$  se duce fazorul  $R_1 I_1$  paralel cu  $I_1$ , în continuare se duce fazorul  $j X_{\sigma 1} I_1$  perpendicular pe fazorul  $I_1$ , poligonul este închis de tensiunea  $U_1$  conform primei ecuații din sistemul (3.32). În mod similar se construiește și diagrama de fazoni pentru rotor conform cu ecuația a doua din sistemul (3.32).

În figura 3.7 s-a construit această diagramă pentru motorul asincron în regim staționar, pentru alunecări mici.

### 3.9. SCHEMELE ECHIVALENTE ALE MOTORULUI ASINCRON

Pe baza ecuațiilor (3.32) se poate concepe o schemă echivalentă în T a mașinii asincrone în același mod ca la transformator. În figura 3.8 este redată schema echivalentă în T a motorului asincron. Dacă se scriu ecuațiile lui Kirchhoff pentru această rețea se regăsesc ecuațiile mașinii asincrone de la care s-a plecat.

În această schemă echivalentă rezistența echivalentă a rotorului  $R_2'/s$  s-a împărțit în rezistența  $R_2'$  a înfășurării (în care se produc pierderile în rotor  $P_{J2}$ ) și în rezistența  $R_2' \frac{1-s}{s}$  care are semnificația unei rezistențe de sarcină.

Puterea consumată în această rezistență prin efectul Joule reprezintă chiar puterea transformată de către motor în putere mecanică:

$$3 R_2' \frac{1-s}{s} I_2'^2 = 3 R_2' I_2'^2 \frac{1-s}{s} = P_{J2} \frac{1-s}{s} = (1-s) P = P_M. \quad (3.33)$$

Deseori se aduce o modificare schemei din figura 3.8 prin înlocuirea celor două elemente în paralel din latura transversală a schemei în T cu două elemente echivalente în serie  $R_0$  și  $X_0$ ,

$$Z_0 = \frac{j R_w X_\mu}{R_w + j X_\mu} = \frac{R_w X_\mu^2}{R_w^2 + X_\mu^2} + j \frac{R_w^2 X_\mu}{R_w^2 + X_\mu^2} = R_0 + j X_0 \quad (3.34)$$

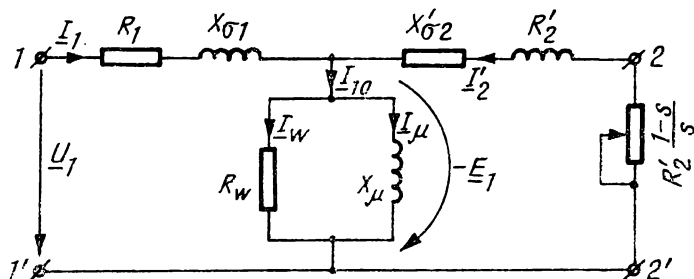


Fig. 3.8. Schema echivalentă în T a mașinii asincrone.

și prin utilizarea notațiilor:

$$\underline{Z}_1 = R_1 + j X_{1\sigma}; \underline{Z}'_{2s} = R_2/s + j X'_{2\sigma}. \quad (3.35)$$

În figura 3.9 este reprezentată schema echivalentă în T compactă. Cu notațiile (3.34) și (3.35) ecuațiile motorului asincron devin:

$$\underline{U}_1 = \underline{Z}_1 \underline{I}_1 + \underline{Z}_0 \underline{I}_{10};$$

$$0 = \underline{Z}'_{2s} \underline{I}'_2 + \underline{Z}_0 \underline{I}_{10}; \underline{I}_1 + \underline{I}'_2 = \underline{I}_{10}. \quad (3.36)$$

Scriind ecuațiile (3.36) sub o altă formă, schema echivalentă în T, căpătă și ea o nouă formă. Într-adevăr din ecuațiile de mai sus rezultă:

$$\underline{I}_1 = \underline{I}_{10} - \underline{I}'_2 = \frac{\underline{U}_1}{\underline{Z}_0} - \frac{\underline{Z}_1}{\underline{Z}_0} \underline{I}_1 - \underline{I}'_2 \quad (3.37)$$

sau

$$\underline{I}_1 (1 + \underline{Z}_1/\underline{Z}_0) = \frac{\underline{U}_1}{\underline{Z}_0} - \underline{I}'_2.$$

Se face notația:

$$c_1 = 1 + \underline{Z}_1/\underline{Z}_0 = c_1 e^{-j\gamma_1}. \quad (3.38)$$

În acest caz se obține:  $\underline{I}_1 = \frac{\underline{U}_1}{\underline{Z}_0 c_1} - \underline{I}'_2/c_1.$

Factorul  $c_1$  este foarte apropiat de unitate ca modul, iar argumentul  $\gamma_1$  este mic. Pentru motoare asincrone normale, de puteri nominale peste 1 kW,  $c_1 = 1,02...1,05$  și  $|\gamma_1| < 1^\circ$ .

Din această cauză adesea se consideră  $\gamma_1 \simeq 0$  și

$$c_1 \simeq c_1 \simeq 1 + X_{1\sigma}/X_\mu \quad (3.39)$$

Curentul  $\underline{I}'_2$  se calculează din schema echivalentă în T și se obține:

$$\underline{I}'_2 = - \frac{\underline{U}_1}{\underline{Z}_1 + \frac{\underline{Z}_0 \underline{Z}'_{2s}}{\underline{Z}_1 + \underline{Z}'_{2s}}} \cdot \frac{\underline{Z}_0}{\underline{Z}'_{2s} + \underline{Z}_0} = - \frac{\underline{U}_1}{\underline{Z}_1 + c_1 \underline{Z}'_{2s}}. \quad (3.40)$$

Curentul  $\underline{I}_1$  absorbit de motor se poate pune sub forma:

$$\underline{I}_1 = \frac{\underline{U}_1}{\underline{Z}_0 + \underline{Z}_1} + \frac{\underline{U}_1}{c_1 \underline{Z}_1 + c_1^2 \underline{Z}'_{2s}} = \underline{I}_0 + \underline{I}'_2' \quad (3.41)$$

unde s-au făcut notațiile:

$$\underline{I}_0 = \frac{\underline{U}_1}{\underline{Z}_0 + \underline{Z}_1}; \quad \underline{I}'_2' = \frac{\underline{U}_1}{c_1 \underline{Z}_1 + c_1^2 \underline{Z}'_{2s}} = - \frac{\underline{I}'_2}{c_1}. \quad (3.42)$$

Curentul  $\underline{I}_0$  nu depinde de sarcină și are următoarea semnificație:  $\underline{I}_0$  reprezintă curentul statoric când rotorul se învârtă cu viteza de sincro-

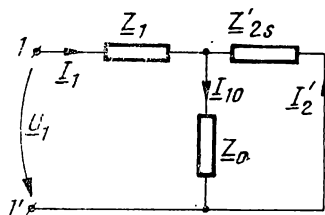


Fig. 3.9. Schema echivalentă în T compactă.

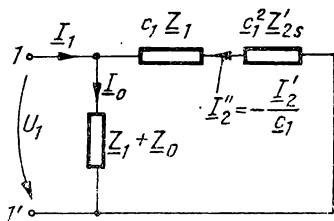


Fig. 3.10. Schema echivalentă în  $\Gamma$  a mașinii asincrone.

nism ( $s=0$ ), adică este curentul de mers în gol ideal la care  $I_2' = 0$ . Folosind relațiile (3.41) și (3.42) se ajunge la schema  $\Gamma$  din figura 3.10.

Cu ajutorul schemelor echivalente se pot determina ușor caracteristicile mașinii asincrone. Se constată că mașina asincronă se comportă ca un transformator trifazat, ale cărui borne primare sînt alimentate de la rețeaua de curent alternativ la tensiunea de fază  $U_1$ , iar la bornele secundare rezultă puterea  $P_M$ .

### 3.10. CUPLUL ELECTROMAGNETIC AL MAȘINII ASINCRONE

S-a arătat că expresia cuplului electromagnetic pentru mașina asincronă trifazată se poate pune sub forma:

$$M = \frac{3 R_2' I_2'^2}{s \Omega_1} = \frac{P_{J2}}{s \Omega_1} = \frac{P}{\Omega_1}. \quad (3.43)$$

Înlocuind în această expresie valoarea eficace a curentului  $I_2'$  dat de relația (3.40) și considerînd  $\underline{c}_1 \simeq c_1$ , rezultă după cîteva calcule simple

$$M = \frac{3 R_2' U_1^2}{s \Omega_1 \left[ \left( R_1 + c_1 \frac{R_2'}{s} \right)^2 + (X_{\sigma 1} + c_1 X_{\sigma 2}')^2 \right]}. \quad (3.44)$$

Cuplul electromagnetic al mașinii asincrone este deci o funcție de alunecare pentru o mașină dată și o tensiune de alimentare  $U_1$  dată. Pentru a calcula valoarea maximă a cuplului, se calculează derivata în raport cu alunecarea  $s$  și se rezolvă ecuația:

$$dM/ds = 0. \quad (3.45)$$

Din această ecuație rezultă alunecarea  $s_m$  pentru care valoarea cuplului este maximă. Efectuînd calculele se obține:

$$s_m = \pm \frac{c_1 R_2'}{\sqrt{R_1^2 + (X_{\sigma 1} + c_1 X_{\sigma 2}')^2}}. \quad (3.46)$$

Se va considera valoarea pozitivă a alunecării care corespunde regiunii de motor. Dacă se introduce alunecarea  $s_m$  dată de relația (3.46) în expresia cuplului electromagnetic (3.44) se obține cuplul maxim  $M_m$ .

$$M_m = \frac{3 U_1^2}{2 c_1 \Omega_1 [R_1 + \sqrt{R_1^2 + (X_{\sigma 1} + c_1 X_{\sigma 2}')^2}]}. \quad (3.47)$$

Se constată că alunecarea  $s_m$  pentru care cuplul este maxim este proporțională cu rezistența rotorică  $R_2'$ , iar cuplul maxim  $M_m$  nu depinde de rezistența rotorică  $R_2'$ . Această proprietate se folosește la unele aplicații practice.

Alunecarea  $s_m$  corespunzătoare cuplului maxim se numește *alunecare critică*, alunecarea critică are valori de 0,25...0,15 pentru puteri nominale de 0,5...1 kW și atinge 0,03...0,04 la puteri nominale de 1 MW.

Expresia cuplului electromagnetic  $M$  dezvoltat de motorul asincron se poate aduce la o formă simplă ușor de reținut. Se va calcula raportul  $M/M_m$ ,

$$\begin{aligned} \frac{M}{M_m} &= \frac{2 c_1 R_2' [R_1 + \sqrt{R_1^2 + (X_{1\sigma} + c_1 X_{2\sigma}')^2}]}{s [R_1^2 + (X_{1\sigma} + c_1 X_{2\sigma}')^2 + \frac{c_1^2 R_2'^2}{s^2} + 2 c_1 R_1 R_2']} = \\ &= \frac{2 [R_1 + \sqrt{R_1^2 + (X_{1\sigma} + c_1 X_{2\sigma}')^2}]}{s \frac{c_1 R_2'}{s_m^2} + 2 R_1 + \frac{c_1 R_2'}{s}} \end{aligned}$$

Dacă se înmulțește numărătorul și numitorul cu

$$s_m/c_1 R_2' = \frac{1}{\sqrt{R_1^2 + (X_{1\sigma} + X_{2\sigma}')^2}}$$

atunci se obține:

$$M/M_m = \frac{2 (1 + \lambda s_m)}{s/s_m + s_m/s + 2 \lambda s_m} \quad (3.48)$$

în care s-a notat  $\lambda = R_1/c_1 R_2'$ . De obicei  $\lambda s_m \ll 1$ , mai ales la mașinile de mare putere și deci:

$$\frac{M}{M_m} = \frac{2}{s/s_m + s_m/s}.$$

Această ultimă expresie este cunoscută sub denumirea de *formula lui Kloss*.

Este ușor de observat că la alunecări mici  $s < s_m$  cuplul variază aproximativ proporțional cu alunecarea  $s$ , iar la alunecări mari  $s > s_m$  variază hiperbolic cu alunecarea.

Pe baza relației (3.48) și a observației de mai sus se trasează caracteristica cuplului electromagnetic  $M = f(s)$  a cărei formă este redată în figura 3.11.

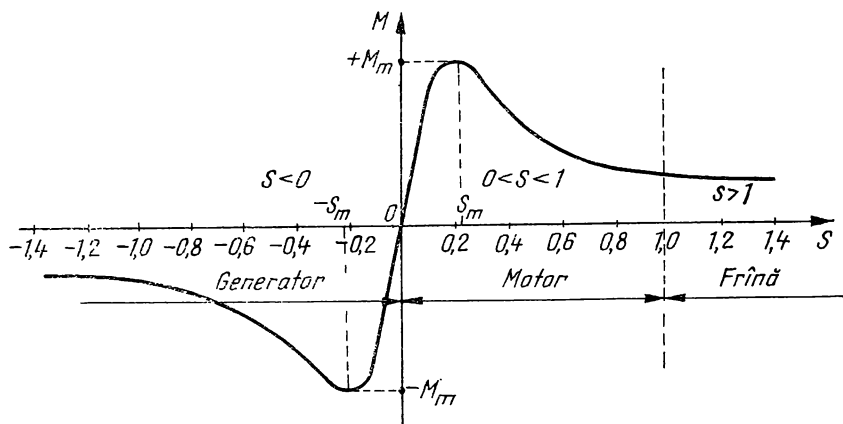


Fig. 3.11. Curba  $M = f(s)$  a mașinii asincrone.



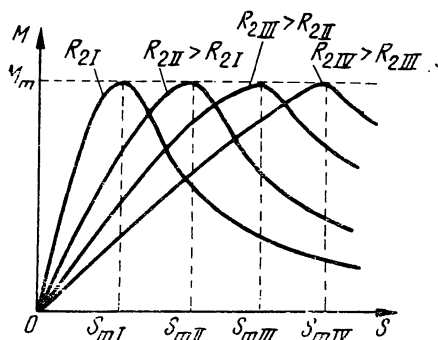


Fig. 3.12. Curbele cuplului  $M = f(s)$  pentru diferite rezistențe rotorice.

Raportul  $m_m$  reprezintă capacitatea de suprasarcină a motorului în ceea ce privește cuplul dezvoltat. Cuplul maxim al motorului variază proporțional cu pătratul tensiunii de alimentare  $U_1$ ; deci scăderea tensiunii de alimentare duce la o scădere importantă a cuplului maxim și deci a capacității de suprasarcină a motorului, fapt care trebuie luat în considerație la alegerea motorului destinat unei acționări date.

Modificând rezistența  $R'_2$  prin intercalarea unui reostat în circuitul rotor (la motoarele cu rotor bobinat și inele colectoare) se poate modifica forma caracteristicii cuplului. În figura 3.12 s-au reprezentat patru asemenea caracteristici, prima fiind cea naturală corespunzătoare scurtcircuitării înfășurării rotorice, iar următoarele se obțin prin intercalarea de reostate cu rezistențe din ce în ce mai mari în circuitul rotor. Astfel cuplul maxim  $M_m$  poate fi dezvoltat chiar la pornire ( $s_m = 1$ ) sau în regim de frână ( $s_m > 1$ ). Curbe similare se obțin și în regimul de generator.

Cuplul dezvoltat de motor cu rotorul imobil ( $s = 1$ ) se numește *cuplu de pornire* al motorului. Valoarea cuplului de pornire se obține din relația (3.44) pentru  $s = 1$ ,

$$M_p = \frac{R'_2}{(R_1 + c_1 R'_2)^2 + (X_{\sigma 1} + c_1 X'_{\sigma 2})^2} \cdot \frac{3 U_1^2}{\Omega_1}. \quad (3.49)$$

Din relațiile de mai sus rezultă că valoarea cuplului de pornire este puternic influențată de valoarea cuplului maxim  $M_m$  și de alunecarea critică  $s_m$ . La motoarele de putere mare, caracterizate prin alunecări critice mici, cuplul de pornire natural poate fi mult mai mic decât cuplul nominal.

## 3.11. CARACTERISTICILE MOTORULUI ASINCRON TRIFAZAT

### 3.11.1. CARACTERISTICA MECANICĂ ȘI STABILITATEA FUNCȚIONĂRII MAȘINII ASINCRONE

Caracteristica mecanică se definește prin relația:

$$n_2 = f(M_2); \quad U_1 = \text{const.}; \quad f_1 = \text{const.} \quad (3.50)$$

unde  $n_2$  este turația rotorului, iar  $M_2$  este cuplul util la arbore. Dacă se neglijează pierderile mecanice  $P_m$  atunci se poate considera caracteristica

$$n_2 = f(M); \quad U_1 = \text{const.}; \quad f_1 = \text{const.} \quad (3.51)$$

care va fi considerată drept caracteristica mecanică a motorului. Din caracteristica cuplului electromagnetic funcție de alunecare,  $M = f(s)$  se deduce caracteristica mecanică  $n_2 = f(M)$  ținând seama de relația de definiție a alunecării,

$$(1 - s) n_1 = n_2 \quad (3.52)$$

unde  $n_1$  este turația de sincronism corespunzătoare frecvenței  $f_1$  a tensiunii de alimentare și numărului de poli  $2p$  al mașinii,

$$n_1 = 60 f_1 / p. \quad (3.53)$$

În figura 3.13 s-a reprezentat caracteristica mecanică a mașinii asincrone în regim de motor. Pentru orice valoare a cuplului cuprinsă între 0 și  $M_m$  pe caracteristica mecanică se obțin două valori ale turației, primul corespunzând unei turații mari  $n_A$ , apropiată de turația sincronă  $n_1$ , iar celălalt corespunzând unei turații mai mici  $n_B$ . Dintre aceste două puncte, numai punctul  $A$  corespunde unei situații stabile de funcționare. Stabilitatea punctului de funcționare pe caracteristica mecanică se studiază plecând de la ecuația mișcării rotorului mașinii sub influența cuplurilor care se exercită asupra lui:

$$J \frac{d\Omega}{dt} = M - M_{ex}; \quad \frac{2\pi}{60} J \frac{dn}{dt} = M - M_{ex}; \quad n_1 = n_2 \quad (3.54)$$

unde s-a notat cu  $J$  momentul de inerție al rotorului (inclusiv al mecanismului cuplat cu acesta), cu  $\Omega = 2\pi n/60$  viteza lui unghiulară, cu  $M$  cuplul dezvoltat de mașină în regimul de motor și cu  $M_{ex}$  cuplul rezistent sau de acționare, exterior, în care se consideră inclus și cuplul de frecări al rotorului.

Dacă variația în timp a vitezei  $\Omega$  este suficient de lentă pentru a putea neglija influența fenomenelor tranzitorii electromagnetice asupra cuplului dezvoltat de motor, atunci în ecuația (3.54) se poate considera expresia cuplului dedusă anterior (3.48). Se va considera îndeplinită această condiție.

Cuplul exterior  $M_{ex}$  poate fi o funcție de viteză (cu linie întreruptă în figura 3.13). În punctele în care cuplul mașinii este egal cu cuplul exterior  $M = M_{ex}$ , mașina poate funcționa cu viteză constantă  $\frac{dn}{dt} = 0$  sau  $n = \text{const.}$ , obținându-se punctele de funcționare posibile  $A$  și  $B$ , la intersecția caracteristicilor statice  $M(n)$  și  $M_{ex}(n)$ .

Notînd cu  $n_0$  turația unui punct de funcționare posibilă și dezvoltînd expresiile cuplurilor în serie Taylor în jurul acestei turații, rezultă

$$\frac{2\pi}{60} J \frac{dn}{dt} = \left( \frac{dM}{dn} - \frac{dM_{ex}}{dn} \right) \Big|_{n=n_0} (n - n_0) + \dots \quad (3.55)$$

La abateri  $n - n_0$  mici se pot neglija termenii următori ai dezvoltării în serie (linearizarea locală).

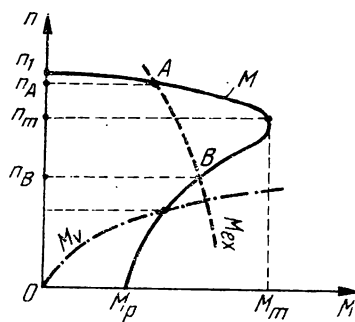


Fig. 3.13. Caracteristica mecanică a motorului asincron.

Pentru ca punctul de funcționare să fie stabil, trebuie ca efectul (acclerația  $\frac{dn}{dt}$ ) să tindă să elimine cauza care l-a produs (variația inițială de viteză  $n - n_0$ ), sau ca rădăcina ecuației caracteristice a mișcării perturbate să aibă partea reală negativă. Această condiție se traduce prin relația:

$$\left( \frac{dM}{dn} - \frac{dM_{ex}}{dn} \right)_{n=n_0} < 0. \quad (3.56)$$

Rezultă că numai punctul  $A$  corespunde unei funcționări stabile. Într-adevăr, dacă dintr-un motiv oarecare, turația a crescut  $n > n_A$ , cuplul motor scade  $\frac{dM}{dn} < 0$ , pe cînd cuplul rezistent crește și deci rotorul va fi frînat, tinzînd să revină la turația inițială  $n_A$ . Similar la scăderea temporară a turației, diferența pozitivă dintre cuplul motor și cel rezistent va accelera rotorul pînă la turația  $n_A$ . În punctul de funcționare  $B$  diferența cuplurilor are semn opus față de cazul precedent; la abateri în același sens a vitezei și deci la depășirea turației corespunzătoare punctului  $B$  rotorul se va ambala (pînă în punctul  $A$ ), iar la scăderea turației sub  $n_0$  se va opri.

Condiția de stabilitate a punctului de funcționare se poate formula și în funcție de alunecare, ținînd seama de relația (3.52). Se obțin astfel expresiile echivalente ale condiției de stabilitate,

$$\frac{dM_{ex}}{dn} > \frac{dM}{dn} \text{ sau } \frac{dM_{ex}}{ds} < \frac{dM}{ds}. \quad (3.57)$$

Pentru o caracteristică a cuplului  $M(n)$  sau  $M(s)$  dată, domeniul turațiilor de funcționare stabilă depinde și de caracteristica cuplului de sarcină  $M_{ex}(n)$  sau  $M_{ex}(s)$ . De exemplu în figura 3.13 s-a figurat cu linie punct o caracteristică de ventilator  $M_v$  care ar permite funcționarea stabilă în regim de motor pe ramura descendentă a caracteristicii  $M(s)$ , respectiv la turații mai mici de  $n_m$ . Acest regim de funcționare nu prezintă importanță practică, el reprezentînd o suprasarcină inadmisibilă pentru o durată mai mare. De obicei se consideră că domeniul stabil este cuprins pentru motor între  $n_1$  și  $n_m$ .

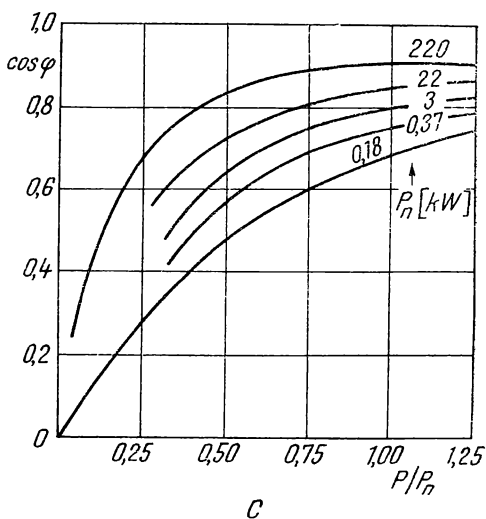
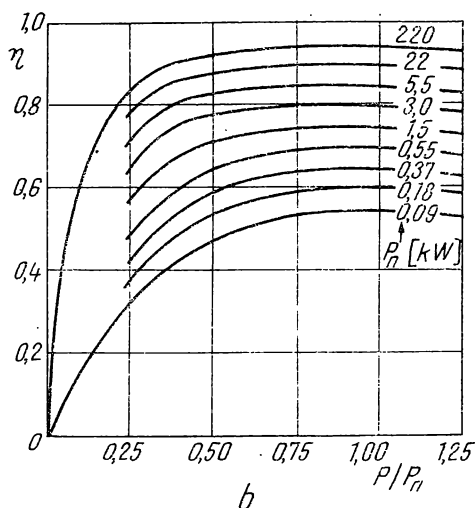
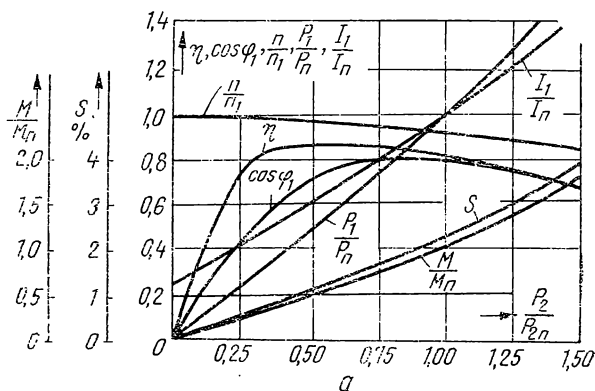
Se precizează că la sarcină nominală viteza motorului asincron diferă de viteza de sincronism cu 1...10 procente.

Așadar motorul asincron are o caracteristică mecanică dură, această proprietate dictează și domeniul de aplicații al motorului asincron (mașini-unelte, pompe, compresoare).

### 3.11.2. CARACTERISTICILE DE FUNCȚIONARE ALE MOTORULUI ASINCRON DEFINITE ÎN FUNCȚIE DE PUTEREA UTILĂ $P_2$

Această clasă de caracteristici cuprinde: caracteristica randamentului  $\eta = f(P_2)$ ; caracteristica factorului de putere  $\cos \varphi_1 = f(P_2)$ ; caracteristica vitezei,  $n_2 = f(P_2)$ ; caracteristica curentului absorbit,  $I_1 = f(P_2)$ ; caracteristica cuplului,  $M = f(P_2)$ ; caracteristica alunecării,  $s = f(P_2)$  și caracteristica puterii absorbite  $P_1 = f(P_2)$ . Toate aceste caracteristici sînt de-

Fig. 3.14. Caracteristicile de funcționare ale motorului asincron (a); caracteristica randamentului (b); caracteristica factorului de putere (c).



finite la tensiune de alimentare  $U_1 = U_{1N}$  și la frecvență  $f_1 = f_N$  ( $f_1$  este frecvența tensiunii de alimentare). În figura 3.14, a se prezintă caracteristicile de funcționare ale motorului asincron. În continuare se vor prezenta câteva elemente referitoare la caracteristica randamentului și caracteristica factorului de putere deoarece celelalte caracteristici prezintă mai puțină importanță în aprecierea performanțelor unui motor asincron în regim staționar.

a) *Caracteristica randamentului* fig. 3.14, b. La motorul asincron se produc pierderi mecanice  $P_m$ , pierderi în fier  $P_{Fe}$  și pierderi în înfășurări  $P_J$ . În afară de aceste pierderi mai au loc pierderi suplimentare  $P_s$  care se compun din pierderi suplimentare în înfășurări și pierderi suplimentare în fier. Pierderile suplimentare în înfășurări se datoresc armonicilor de ordin superior ale densității lineare ale solenației și efectului pelicular care are loc și pentru armonica fundamentală. Pierderile suplimentare în fier sînt cauzate de pulsația cîmpului magnetic produsă de dinții rotorului și ai statorului. Pierderile totale în motorul asincron sînt:  $p = P_m + P_{Fe} + P_J + P_s$ .

Normele prevăd o evaluare a pierderilor suplimentare de aproximativ 0,5% din puterea absorbită de motor la sarcină nominală.

Randamentul se definește prin relația

$$\eta = \frac{P_2}{P_2 + p} \quad (3.58)$$

Randamentul  $\eta$  variază odată cu puterea utilă  $P_2$  cedată la arbore instalației antrenate. De obicei randamentul atinge valoarea maximă pentru  $(0,5 \dots 0,75) P_{2n}$ . Randamentul motoarelor asincrone cu puteri nominale  $P_n > 500$  kW atinge valoarea 0,93; randamentul motoarelor asincrone de 10...100 kW este de ordinul 0,85...0,91, iar pentru  $P_n < 1$  kW randamentul scade sub 0,75.

b) *Caracteristica factorului de putere* (fig. 3.14, c). Motorul asincron absoarbe de la rețeaua de alimentare un curent defazat în urma tensiunii aplicate. Aceasta se explică prin aceea că fluxul magnetic din mașină este determinat de componenta reactivă a curentului absorbit de la rețea. La mersul în gol factorul de putere este mic, de ordinul 0,2 deoarece puterea activă absorbită este mică (egală cu pierderile mașinii). Pe măsură ce motorul se încarcă și dezvoltă o putere utilă, puterea activă absorbită de la rețea crește, în timp ce puterea reactivă rămâne practic aceeași, astfel încât factorul de putere se îmbunătățește atingând o valoare de 0,85—0,9 pentru puterea nominală. Factorul de putere relativ scăzut la sarcini reduse constituie un dezavantaj important al motorului asincron. Construirea diagramei cercului permite determinarea mai simplă a caracteristicilor mașinii asincrone. În tabelul 3.4 se dau valorile pentru  $\eta$  și  $\cos \varphi$  la diferite sarcini.

### 3.12. DIAGRAMA CERCULUI

*Diagrama cercului* reprezintă, în planul complex, locul geometric al vîrfului fazorului curent  $\underline{I}_1$  pentru  $U_1 = \text{const.}$  și  $f_1 = \text{const.}$  cînd alunecarea  $s$  variază de la  $-\infty$  la  $\infty$ .

Pentru construcția diagramei cercului se va utiliza expresia curentului  $\underline{I}_2''$  din schema echivalentă  $\Gamma$ , care se poate pune sub forma:

$$\underline{I}_2'' = \frac{\underline{U}_1 e^{2j\gamma_1}}{\underline{Z}_1 c_1 e^{j\gamma_1} + c_1^2 Z_{2s}'} \simeq \frac{U_1 e^{2j\gamma_1}}{\underline{Z}_1 c_1 + Z_{2s}' c_1^2} = \frac{U_1 e^{2j\gamma_1}}{(R_\Gamma + jX_\Gamma) c_1} \quad (3.59)$$

adică s-a considerat  $e^{j\gamma_1} \simeq 1$  deoarece unghiul  $\gamma_1$  are valori mici și s-au făcut notațiile:  $R_\Gamma = R_1 + c_1 R_2'/s$ ;  $X_\Gamma = X_{\sigma 1} + c_1 X_{\sigma 2}'$ .

Din relația (3.59) rezultă:

$$\underline{I}_2'' - j \cdot \frac{R_\Gamma}{X_\Gamma} \underline{I}_2'' = -j \cdot \frac{U_1 e^{2j\gamma_1}}{c_1 X_\Gamma} \quad (3.60)$$

Relația (3.60) se reprezintă în planul complex (fig. 3.15), luînd ca mărime de referință tensiunea  $\underline{U}_1$  reprezentată prin segmentul  $AD$ , (convenim ca axa reală să fie verticală). Curentul  $\underline{I}_2''$  este defazat în urma tensiunii  $\underline{U}_1$  cu un unghi mai mic de  $90^\circ$ . Alegînd o anumită scară de reprezentare

TABELUL 3.4. Randamentul și factorul de putere pentru motoare asincrone

$\eta$ , în % la diverse sarcini				$\eta$ , în % la diverse sarcini			
1/2	3/4	4/4	5/4	1/2	3/4	4/4	5/4
din sarcină nominală				din sarcină nominală			
93,5	95	95	94,5	70	73	73	71
92,5	94	94	93,5	68	72	72	70
91,5	93	93	92,5	67	71	71	69
91	92	92	91,5	66	70	70	68
90	91	90	90	65	69	69	67
89	90	90	89	64	67,5	68	66
88	89	89	88	62	66,5	67	65
87	88	88	87	61	65	66	64
86	87	87	86	60	64	65	63
85	86	86	85	59	63	64	62
84	85	85	83,5	57	62	63	61
83	84	84	82,5	56	60,5	62	60,5
82	83	83	81,5	55	59,5	61	59,5
81	82	82	80,5	54	58,5	60	58,5
80	81	81	79,5	53	58	59	57
79	80	80	78,5	52	57	58	56
77	79,5	79	77,5	51	55	57	55
75,5	78,5	78	76,5	49	54	56	54
74	77,5	77	75	47	52	55	53
73	76	76	74	46	51	54	52
72	75	75	73	45	50	53	51
71	74	74	72				

TABELUL 3.4. (continuare)

Factorul de putere la diverse sarcini				Factorul de putere la diverse sarcini			
1/2	3/4	4/4	5/4	1/2	3/4	4/4	5/4
din sarcina nominală				din sarcina nominală			
0,83	0,88	0,9	0,90	0,65	0,75	0,80	0,81
0,80	0,86	0,89	0,89	0,63	0,74	0,79	0,80
0,78	0,85	0,88	0,88	0,61	0,72	0,78	0,80
0,76	0,84	0,87	0,87	0,59	0,71	0,77	0,79
0,75	0,83	0,86	0,86	0,58	0,70	0,76	0,78
0,73	0,81	0,85	0,86	0,56	0,69	0,75	0,78
0,71	0,80	0,84	0,85	0,55	0,68	0,74	0,77
0,69	0,79	0,83	0,84	0,54	0,67	0,73	0,76
0,67	0,77	0,82	0,83	0,52	0,63	0,72	0,77
0,66	0,76	0,81	0,82	0,50	0,62	0,71	0,76

pentru curent  $a$  (exprimată în A/mm) se duce segmentul  $A_0A$  corespunzător curentului  $\underline{I}_2''$ . Normal pe  $A_0A$  se duce la aceeași scară segmentul  $AE$  care reprezintă curentul  $-j \frac{R_r}{X_r} \underline{I}_2''$ ; conform relației (3.60) segmentul  $A_0E$  reprezintă curentul  $-j U_1 e^{2j\gamma_1} / c_1 X_r$  care este defazat cu unghiul  $2\gamma_1$  în ra-

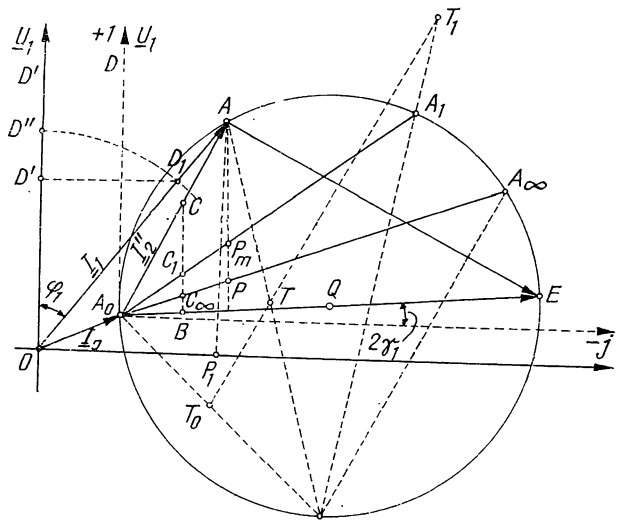


Fig. 3.15. Diagrama cercului mașinii asincrone.

port cu axa  $-j$  luată orizontal. Triunghiul  $A_0AE$  este dreptunghic și catele lui variază cu alunecarea  $s$ , însă ipotenuza  $A_0E$  nu depinde de alunecare, deci locul geometric al punctului  $A$  (deci al vârfului curentului  $\underline{I}_2''$ ) este cercul cu diametrul  $A_0E$ ;  $a \cdot A_0E = U_1 / (c_1 X_{\sigma 1} + c_1^2 X'_{\sigma 2})$ .

Din schema  $\Gamma$  rezultă  $\underline{I}_1 = \underline{I}_0 + \underline{I}_2''$ ; reprezentînd curentul  $\underline{I}_0$  prin segmentul  $OA_0$  se obține segmentul  $OA$  care reprezintă curentul  $\underline{I}_1$ ; deoarece curentul  $\underline{I}_0$  nu depinde de alunecare, rezultă că locul geometric al curentului  $\underline{I}_1$  este același cerc ca și pentru  $\underline{I}_2''$ . Tensiunea  $\underline{U}_1$  este avantajos să se reprezinte prin segmentul  $OD'$ , abținut prin translatarea segmentului  $A_0D$ .

Pentru determinarea punctelor de pe cerc care prezintă interes practic se va face o construcție auxiliară; pe diametrul  $A_0E$  se va lua punctul  $B$  astfel încît  $A_0B = k X_R$ , apoi se duce dreapta  $BC \perp A_0B$ , rezultă că  $\Delta A_0BC \sim \Delta A_0AE$ , din această asemănare rezultă:

$$BC = AE \frac{A_0B}{A_0A} = \underline{I}_2'' \frac{R_R}{X_R} \cdot \frac{k X_R}{I_2''} = k R_R = k \left( R_1 + c_1 \frac{R_2'}{s} \right), \quad (3.61)$$

adică segmentul  $BC$  este proporțional cu rezistența  $R_R$ , factorul de proporționalitate fiind același ca și la reactanța  $X_R$ .

Dacă  $s = \infty$  atunci  $R_R = R_1$  și segmentul  $BC_\infty = k R_1$ , dreapta  $A_0C_\infty$  intersectează cercul în  $A_\infty$ , segmentul  $A_0A_\infty$  reprezintă curentul  $\underline{I}_2'$  și  $OA_\infty$  curentul  $\underline{I}_1$  pentru  $s = \infty$ . Punctul corespunzător alunecării  $s = -\infty$  coincide cu  $A_\infty$ .

Dacă  $s=1$  atunci  $R_R = R_1 + c_1^2 R_2'$  și  $BC_1 = k (R_1 + c_1^2 R_2')$ , dreapta  $A_0C_1$  intersectează cercul în punctul  $A_1$ , segmentul  $A_0A_1$  reprezintă curentul  $\underline{I}_2''$  și  $OA_1$  curentul  $\underline{I}_1$  pentru  $s = 1$ . Punctul  $A_1$  corespunde regimului de scurtcircuit.

Dacă  $s=0$  atunci  $\underline{I}_2''$  este zero și  $\underline{I}_1 = \underline{I}_0$ , acest punct notat  $A_0$  corespunde mersului în gol ( $R_R = \infty$ , deci  $BC = \infty$  adică  $A_0A$  devine tangentă la cerc în  $A_0$ ).

Arcul de cerc  $A_0A_1$  corespunde regimului de motor, arcul  $A_1A_\infty$  regimului de frînă și arcul  $A_0MA_\infty$  regimului de generator.

Pe diagrama cercului se pot prezenta mărimile care interesează în funcționarea mașinii asincrone, în acest scop se duce dreapta  $AP \perp A_0E$ .

a) *Puterea absorbită de mașină*  $P_1$  este reprezentată de segmentul  $AP_1$  perpendicular pe axa imaginară, deoarece  $a \cdot AP_1 = I_1 \cos \varphi_1$  și deci  $P_1 = 3 U_1 I_1 \cos \varphi_1 = 3 U_1 a \cdot AP_1$ . La tensiune  $U_1 = \text{const.}$  segmentul  $AP_1$  este proporțional cu puterea absorbită  $P_1$ , scara puterilor fiind  $3 U_1 \cdot a$  (W/mm). Axa imaginară se numește axa puterilor absorbite.

b) *Puterea electromagnetică*  $P$  este reprezentată de segmentul  $AP$ . Din asemănarea triunghiurilor  $A_0AP$  și  $A_0CC_\infty$  rezultă:  $PA = A_0A \frac{CC_\infty}{A_0C}$  și se poate scrie relația:

$$3 U_1 a AP = 3 U_1 a I_2'' \cdot \frac{c_1 \frac{R_2'}{s}}{R_R^2 + X_R^2} = 3 \frac{R_2' I_2'^2}{s} = P \quad (3.62)$$

adică la scara puterilor segmentul  $AP$  reprezintă puterea electromagnetică. Dreapta  $A_0A_\infty$  se numește *dreapta puterilor electromagnetice*.



c) Puterea mecanică  $P_M$  este reprezentată de segmentul  $AP_m$ . Într-adevăr din asemănarea triunghiurilor  $A_0CC_1$  și  $A_0AP_m$  rezultă:

$$3 U_1 a \cdot AP_m = 3 U_1 a \frac{A_0A}{A_0C} \cdot CC_1 = 3 U_1 I_2'' \frac{c_1 R_2' \cdot \frac{1-s}{s}}{\sqrt{R_1^2 + X_T^2}} = 3 I_2'^2 R_2' \cdot \frac{1-s}{s} = P_M \quad (3.63)$$

dreapta  $AA_1$  se numește *dreapta puterilor mecanice*.

d) Alunecarea  $s$  se poate determina prin construirea dreptei  $T_0T_1$ . Pe cerc se ia un punct arbitrar  $M$  și se unește cu punctele  $A_0$ ,  $A_1$  și  $A$ ; Prin  $T_0$  se duce o paralelă la dreapta  $MA_\infty$  care intersectează dreapta  $MA_1$  în punctul  $T_1$ , segmentul  $T_0T$  este proporțional cu alunecarea  $s$ , fapt care rezultă din relația:

$$s = \frac{P_{j2}}{P} = \frac{P_m P}{AP} = \frac{T_0 T}{T_0 T_1} \quad (3.64)$$

Punctul  $T_0$  corespund lui  $s = 0$  și  $T_1$  lui  $s = 1$ . Dreapta  $T_0T_1$  se numește *dreapta alunecării*.

e) *Factorul de putere*  $\cos \varphi_1$  se determină printr-o construcție simplă; se duce cercul cu raza  $OD''$  și centrul în  $O$  și se proiectează punctul  $D_1$  în  $D_1'$  rezultînd  $\cos \varphi_1 = \frac{OD'}{OD''}$ .

Diagrama cercului se poate determina experimental prin încercarea de gol (se determină punctul  $A_0$ ), prin încercarea de scurtcircuit (se determină punctul  $A_1$ ) și prin măsurarea rezistenței  $R_1$ . Se aproximează  $Z_0 \simeq j X_\mu$  și rezultă:

$$c_1 = 1 + \frac{Z_1}{Z_0} \simeq 1 + \frac{X_{\sigma 1}}{X_\mu} - j \frac{R_1}{X_\mu} \quad (3.65)$$

Pe baza relației (3.65) se calculează unghiul  $\gamma_1$ .

$$\operatorname{tg} \gamma_1 = \frac{R_1}{X_\mu + X_{\sigma 1}} \simeq \frac{R_1 I_{10}}{U_1}; \quad U_1 \simeq (X_\mu + X_{\sigma 1}) I_{10} \quad (3.66)$$

Se cunosc deci două puncte ale cercului și direcția diametrului care trece prin punctul  $A_0$ , cercul fiind complet determinat. Pentru mașinile de putere mare se poate considera  $c_1 \simeq 1$  și diametrul cercului  $A_0E$  devine orizontal. STAS 7246/9-74 stabilește modul de construire a diagramei cercului pentru diferite tipuri la motoare asincrone trifazate. Diagrama cercului a fost stabilită în ipoteza că parametrii mașinii sînt constanți, în realitate există o serie de factori care fac ca această ipoteză să aibă numai valoarea aproximativă.

Rezistența înfășurărilor pot varia în limite importante, datorită încălzirii conductoarelor. În plus, rezistența înfășurării rotorice este parcursă de curent cu frecvență variabilă funcție de alunecare; la alunecări mici ( $s < 0,1$ ) refularea curentului se poate neglija, însă la alunecări mari refularea curentului nu se poate neglija, conducînd la creșterea rezistenței rotorice. Reactanța  $X_\mu$  este puternic influențată de saturația circuitului magnetic; de la  $s=1$  (pornire) la  $s=0$  (mers sincron) amplitudinea inducției magnetice rezultante crește sensibil (pînă la de două ori) modificînd starea de saturație a circuitului magnetic și modificînd substan-

țial reactanța  $X_{\mu}$ . O influență deosebită asupra preciziei diagramei cercului o au reactanțele de dispersie  $X_{\sigma 1}$  și  $X_{\sigma 2}$ . La alunecări mici, curenții în înfășurări sînt relativ mici și cîmpul de dispersie al creștăturii și al capetelor de dinți este relativ puțin important, dinții armăturilor nefiind saturați chiar la creștături semiînchise. La alunecări mari, curenții cresc și odată cu aceasta și cîmpurile magnetice de dispersie care saturează dinții și îndeosebi istmurile, în consecință cele două reactanțe scad și conduc la mărirea diametrului cercului. În cazul creștăturilor deschise, influența saturației la alunecări mari este practic neglijabilă. Reactanțele de scăpări sînt influențate de fenomenul de refulare a curentului din conductoare.

De adăugat că pierderile suplimentare și cele mecanice se calculează aproximativ, iar armonicile de ordin superior ale densității liniare a solenaiților conduc la fenomene parazite.

În general la mașinile asincrone cu creștături închise sau semiînchise locul geometric al vîrfului fazorului  $\underline{I}_1$  se aproximează printr-un cerc la alunecări mici și printr-un alt cerc de diametru mai mare pentru alunecări mari.

Totuși diagrama cercului reprezintă un mijloc util pentru predeterminarea caracteristicilor în sarcină. Rezultatele sînt cu atît mai exacte cu cît puterea motorului este mai mare.

### 3.13. TIPURI DE ROTOARE ALE MOTORULUI ASINCRON TRIFAZAT

Rotorul motorului asincron se prezintă sub mai multe forme constructive cu implicații asupra caracteristicilor de funcționare. Aceste rotoare se pot împărți în două categorii: a) *rotor bobinat*, considerat în paragrafele precedente și b) *rotor în scurtcircuit*, care poate fi cu o singură colivie de verigă de execuție normală (motor cu rotor cu colivie), cu colivie din bare înalte sau cu dublă colivie.

În toate cazurile, miezul rotorului se execută din tole de oțel electro-tehnic, avînd grosime de 0,5 mm.

#### 3.13.1. MOTOARE ASINCRONE TRIFAZATE CU ROTOR CU COLIVIE

Rotorul acestui motor este prevăzut cu  $Z_2$  creștături semiînchise sau închise în care sînt plasate bare din cupru sau din aluminiu scurtcircuitate în părțile frontale cu cîte un inel de fiecare parte. Schematic înfășurarea este reprezentată în figura 3.16, a. Fiecare bară se consideră o fază scurtcircuitată, ceea ce înseamnă că o înfășurare în colivie cu  $Q_2$  bare ( $Q_2 = Z_2 = m_2$ ) este o înfășurare  $Q_2$  — fazată.

Cu  $m_2$  se notează numărul de faze rotorice. Ecuațiile generale ale acestui motor sînt de aceeași formă ca și la motorul cu rotor bobinat (3.19) cu deosebire că mărimile reprezentative din ecuația rotorică corespund înfășurării  $Q_2$  — fazată, două faze succesive fiind decalate în spațiu cu unghiul geometric  $2\pi/Q_2$ . Trocerea la regimul staționar se face la fel ca în paragraful 3.6. Un cîmp magnetic învîrtitor, sinusoidal, induce t.e.m. în bare defazate între ele cu unghiul  $2\pi p/Z_2$ ; ca urmare prin bare și inele trec curenți

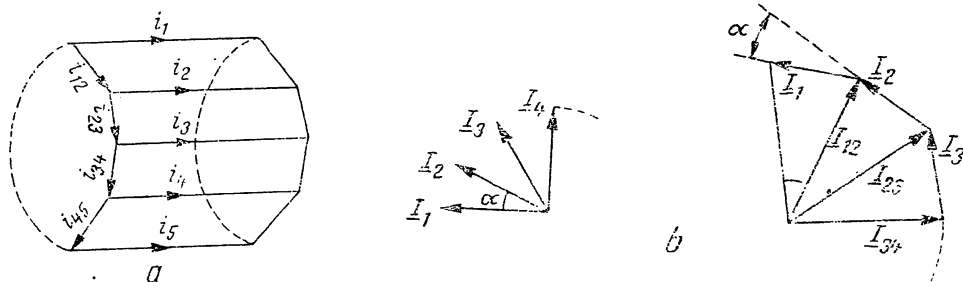


Fig. 3.16. Curenții din colivia rotorică a mașinii asincrone (a) și diagramele fazoriale (b).

$Q_2$  — fazați de valori efective  $I_b$  și  $I_2$ . În figura 3.16, b se prezintă diagrama fazorială a curenților din cele  $Q_2$  bare și din sectoarele de inel cuprinse între două bare alăturate din care rezultă  $2I_i \sin(p\pi/Z_2) = I_b$ . T.e.m. induse în bare și curenții din bare formează un sistem  $Q_2$  — fazat simetric.

Dacă se consideră curentul de fază  $I_2 = I_b$ , atunci parametrii echivalenței ai fazei  $R_2$  și  $X_2$  sînt astfel determinați încît pierderile active respectiv reactive ale fazei să fie egale cu pierderile active respectiv reactive dintr-o bară și din cele două sectoare de inel aferente, adică:

$$R_2 I_2^2 = R_b I_2^2 + 2 R_i I_i^2; \quad X_2 I_2^2 = X_b I_2^2 + 2 X_i I_i^2. \quad (3.67)$$

După înlocuirea curentului  $I_i = I_b/2 \sin(p\pi/Z_2)$  rezultă:

$$R_2 = R_b + R_i/2 \sin^2(p\pi/Z_2); \quad X_2 = X_b + X_i/2 \sin^2(p\pi/Z_2) \quad (3.68)$$

unde  $R_b$  și  $X_b$  sînt rezistența respectiv reactanța barei, iar  $R_i$  și  $X_i$  sînt rezistența, respectiv reactanța unui sector de inel. Numărul fazelor rotorice  $m_2$  fiind diferit de numărul fazelor statorice  $m_1$  raportarea parametrilor rotorici la stator se face cu relațiile:

$$R'_2 = R_2 \frac{m_1}{m_2} \left( \frac{w_1 k_{w1}}{w_2 k_{w2}} \right)^2; \quad X'_2 = X_2 \frac{m_1}{m_2} \left( \frac{w_1 k_{w1}}{w_2 k_{w2}} \right)^2. \quad (3.69)$$

Curentul rotoric  $I_2$  raportat la stator este  $I'_2 = I_2 m_2 w_2 k_{w2}/m_1 w_1 k_{w1}$ . Cu aceste precizări teoria motorului asincron cu rotor cu colivie este la fel cu a motorului asincron cu rotor bobinat.

Acest motor se utilizează pe scară largă în acționările electrice unde nu se impune un cuplu de pornire mare deoarece este de construcție simplă, robust și mai ieftin decît un motor asincron cu rotorul bobinat. Colivia din aluminiu se realizează prin turnare sub presiune.

### 3.13.2. MOTOARE ASINCRONE CU REFULARE A CURENTULUI ÎN ÎNFAȘURAREA INDUSĂ

În aceste construcții înfășurarea rotorică în colivie (indusă) realizează parametrii echivalenți variabili în funcție de frecvența curenților rotorici. Motoarele asincrone cu refulare pronunțată sînt, în principal, de două tipuri: *motoare cu bare înalte* și *motoare cu colivii multiple*; ele permit obținerea unui cuplu de pornire  $m_p$  mai ridicat și un curent de pornire  $i_p$  mai redus decît în construcțiile obișnuite, în schimb cuplul maxim  $M_m$  scade. Tot în această categorie se încadrează și motorul asincron cu rotor masiv.

Construcția acestor motoare se bazează pe principiul refuzării curentului alternativ într-un conductor aflat într-o creștătură (capitolul II). Rotorul acestui motor este prevăzut cu creștături adânci și înguste (lățime de 4÷6 mm, 50÷60 mm adâncime), în care sînt introduse bare din cupru de aceeași formă. În figura 3.17 se dau mai multe forme de creștături rotorice.

Dacă o bară a coliviei rotorice ar fi parcursă de curent continuu, atunci densitatea de curent  $J$  ar fi uniformă pe toată înălțimea barei  $h$  și bara ar prezenta o anumită rezistență și o anumită inductivitate. Dacă bara este parcursă de curent alternativ de o anumită frecvență atunci densitatea de curent  $J$  nu mai este uniformă pe înălțimea  $h$  a barei, fiind mult mai mare în zona situată în imediata apropiere a întrefierului decît în zona de la baza creștăturii. Fenomenul de neuniformitate a densității de curent este cu atît mai accentuat, cu cît frecvența curentului care parcurge bara este mai mare. Datorită repartiției neuniforme a densității de curent, rezistența în curent alternativ a barei este sensibil mai mare decît rezistența în curent continuu, iar inductivitatea este mică (§2.19).

Cînd rotorul este în repaus  $s=1$ , frecvența curenților induși în barele înalte ale coliviei este egală cu frecvența curenților statorici  $f_2=f_1$  și fenomenul de neuniformitate a densității de curent este accentuat; aceasta conduce la o rezistență echivalentă a barei relativ ridicată și la o inductivitate relativ mică. În acest caz asupra rotorului se exercită un cuplu de pornire ridicat. Pe măsură ce rotorul se accelerează, frecvența curenților rotorici scade pînă la valori de ordinul 1—2 Hz, pentru care densitatea de curent este practic uniformă pe toată înălțimea barei și rezistența echivalentă scade, ajungînd practic egală cu rezistența în curent continuu a barei. Curentul în bară rămîne practic în fază cu t.e.m. indusă și cuplul dezvoltat rămîne ridicat.

Prin urmare în această variantă constructivă, rezistența echivalentă a rotorului este variabilă în timpul pornirii de la o valoare ridicată la o valoare scăzută, realizîndu-se automat ceea ce are loc la motorul cu rotor bobinat atunci cînd pentru îmbunătățirea caracteristicilor de pornire se conectează în serie în înfășurările de fază ale rotorului rezistențe suplimentare reglabile. La acest motor cuplul de pornire este mai mare decît la motorul

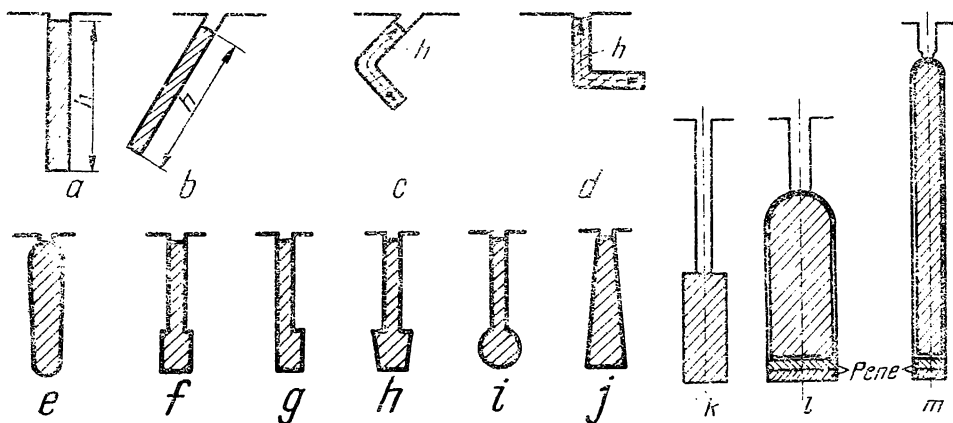


Fig. 3.17. Forme de creștături rotorice ale motorului asincron.

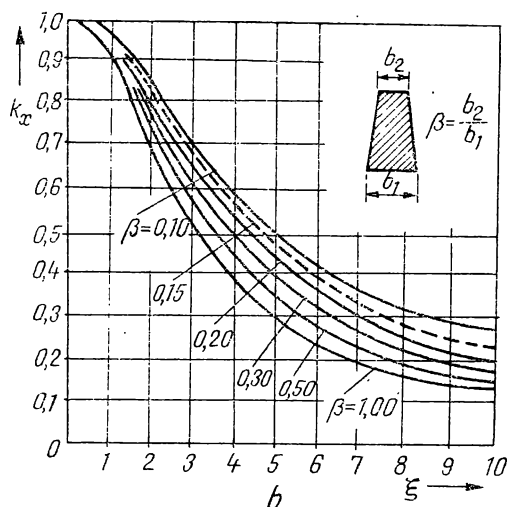
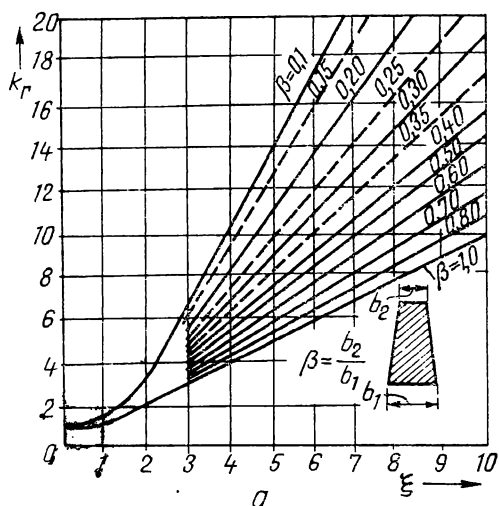


Fig. 3.18. Factorii de modificare a parametrilor rotorici:

$a$  — factori de mărire a rezistenței  $k_r$ ;  $b$  — factorul de reducere a inductivității  $k_x$ .

pentru reactanța fazei rotorice raportată la stator:  $X'_{2\sigma} = k_x X'_b + X'_{2i}$ , unde  $k_x$  este factorul de reducere a reactanței care depinde de aceleași mărimi ca și  $k_r$ . Dependența acestor factori este reprezentată grafic în figura 3.18,

în funcție de  $\xi = h \sqrt{\frac{\mu_0 \omega_2}{2 \rho}}$  numită și înălțimea de calcul a barei; s-a presupus că bara umple complet creștătura; pulsația  $\omega_2 = s \omega_1$ . S-a considerat o bară de formă trapezoidală cu raportul bazelor  $\beta = \frac{b_2}{b_1}$ .

Celelalte tipuri de creștături utilizate se reduc la forma trapezoidală. În figura 3.19 sînt reprezentate două creștături de alte tipuri și creștăturile

cu colivie normală,  $m_p = 1 \div 1,5$ , pentru același curent de pornire  $I_p$ . La conectarea direct la rețea  $i_p = 4 \div 7$ ; capacitatea de supra-sarcină este mai mică  $m_m = 1,6 \div 2,5$ . Are un factor de putere mai mic decît al motorului asincron normal datorită reactanței de scăpări rotorice mai mari, iar randamentul practic se păstrează la aceleași valori, pentru că turația nominală efectul de refulare al curentului este neglijabil și în consecință pierderile în rotor se păstrează la același nivel.

Motorul cu bare înalte a căpătat o destul de mare răspîndire la puteri mijlocii (de la 10 kW la 200 kW).

Fie  $R_b$  rezistența în curent continuu a barei din creștătură, iar  $R_{2i}$  rezistența părților din inelele frontale de scurtcircuitare ce revin unei faze; la o frecvență diferită de zero rezistența fazei rotorice raportată la stator este:  $R'_2 = k_r R'_b + R'_{2i}$ , unde  $k_r$  este factorul de mărire a rezistenței în curent alternativ, care depinde de materialul conductorului, forma geometrică a creștăturii și frecvență.

Inductivitatea de dispersie este micșorată, curentul din bară fiind refulat înapoi spre deschiderea creștăturii, cu efect de reducere a înălțimii conductorului din creștătură. Pe această bază, se poate scrie o relație similară și

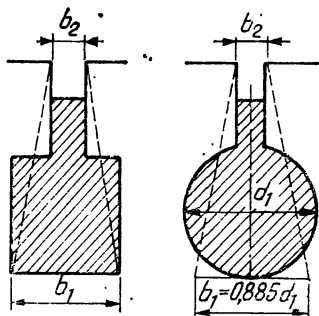


Fig. 3.19. Bare trapezoidale echivalente.

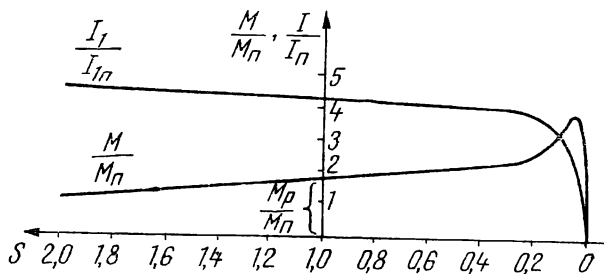


Fig. 3.20. Curentul primar și cuplul unei mașini de inducție cu bare înalte.

trapezoidale echivalente. În consecință impedența rotorică  $Z'_{2s}$  raportată la stator se scrie sub forma:

$$\underline{Z}'_{2s} = \frac{R'_{2i} + R'_b k_r}{s} + j(X'_{2i} + k_x X'_b) \quad (3.70)$$

și curentul absorbit de motor se calculează cu relația (3.41) pentru fiecare valoare a alunecării  $s$  construindu-se diagrama curentului, care în acest caz nu mai este un cerc. Pe baza relației (3.44) se trasează cuplul electromagnetic în funcție de alunecare. Pentru  $\xi > 2$  se pot admite aproximațiile:  $R'_2 \cong R'_{20}/\bar{s}$  și  $X'_2 \cong X'_{20}/\bar{s} + X'_{2i}$  atunci procedînd ca și la motorul obișnuit, pentru cuplul electromagnetic se pot scrie relațiile:

$$\frac{M}{M_m} = \frac{2(1 + q \sqrt{s_m})}{\sqrt{\frac{s}{s_m}} + \sqrt{\frac{s_m}{s}} + 2q\sqrt{s_m}}; \quad M_m = \frac{3 U_1^2}{2 R_1 \Omega_1 c_1 \sqrt{(1 + a^2)(1 + b^2) + 1 + ab}} \quad (3.71)$$

unde:

$$\lambda_1 = \frac{R_1}{c_1 R_{20}}; \quad a = \frac{X_{c0}}{R_1}; \quad b = \frac{X'_{20}}{R_{20}}; \quad s_m = \frac{1 + b^2}{\lambda_1^2 (1 + a^2)}; \quad q = \lambda_1 \frac{1 + ab}{1 + b^2}.$$

Mărimile  $M_m$  și  $s_m$  au expresii diferite în raport cu ale motorului asincron normal, cuplul maxim  $M_m$ , depinde de rezistența rotorică  $R_{20}$ .

De la  $s = 0$  la  $s \approx 0,1$  efectul pelicular este neglijabil și pentru regimul de lucru locul geometric al curentului  $I_1$  se confundă cu cercul corespunzător parametrilor rotorici cu  $k_r = k_x = 1$  după care curbele curentului se dispersează și apoi converg spre punctul  $A_\infty$  ( $s = \infty$ ) de pe cercul corespunzător lui  $k_x = 0$ .

Mărimile influențate în cea mai mare măsură de efectul pelicular sînt cuplul și curentul, reprezentate în figura 3.20. Curentul și cuplul maxim sînt reduși față de mașina cu colivie, iar raportul  $m_p$  este mărit.

### 3.13.2.2. MOTOARE ASINCRONE CU COLIVII MULTIPLE

Influența efectului refulării curentului asupra caracteristicilor mașinii este și mai pronunțată dacă se utilizează mai multe colivii, fiecare dimensionată pentru un anumit regim. În figura 3.21 sînt prezentate mai multe

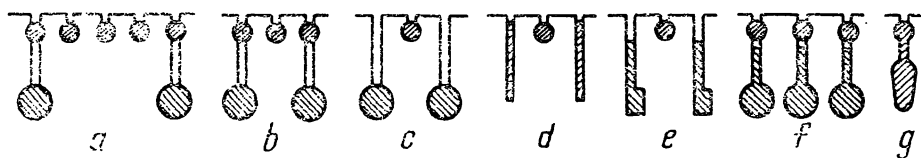


Fig. 3.21. Tipuri de creștături pentru rotorul cu colivii multiple.

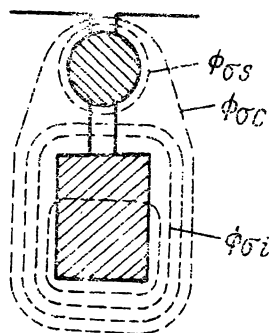


Fig. 3.22. Creștătura și barele coliviei duble.

tipuri de creștături pentru rotorul cu colivii multiple. Cea mai des utilizată este mașina cu două colivii care conduce la caracteristici de pornire mai bune decât ale motorului cu bare înalte. Rotorul posedă două colivii: o colivie superioară, plasată în creștături mai aproape de întrefier, realizată din materialul cu rezistivitate mare (alamă, bronz) și o colivie inferioară plasată spre interior, realizată din cupru (fig. 3.22). Prima colivie are bare de secțiune mai mică, iar cea de-a doua, bare de secțiune mai mare. Între creștăturile primei colivii și creștăturile celei de-a doua colivii se practică istmuri înguste. Coliviile sînt scurtcircuitate frontal de inele diferite în cele mai multe din cazurile practice, dar pot fi scurtcircuitate numai cu un singur inel frontal. Din punctul de vedere al caracteristicilor mașinii nu este o deosebire esențială între cele două cazuri, cu inel comun sau inele separate. Există diferențe din punctul de vedere al rezistenței mecanice, deoarece colivia exterioară se încălzește mai tare și se dilată mai mult decât cea interioară și deci în cazul inelului comun apar eforturi mecanice interne. Din acest motiv mașinile cu inele de scurtcircuitare separate se comportă mai bine.

Barele coliviei superioare — denumită *colivie de pornire* au o rezistență  $R_{bs}$  mult mai mare decât rezistența  $R_{bi}$  a barelor coliviei inferioare — denumită *colivie de lucru* ( $R_{bs} > R_{bi}$ ). Din figura 3.22 în care sînt reprezentate liniile cîmpului de dispersie ale coliviilor rotorice, se constată că există un flux magnetic de dispersie  $\Phi_{cs}$  care se înlanțuie cu barele ambelor colivii, un flux  $\Phi_{cs}$  care se înlanțuie cu barele coliviei superioare și un flux  $\Phi_{ci}$  care se înlanțuie cu barele coliviei inferioare. Se remarcă că fluxul magnetic  $\Phi_{cs}$  trebuie să străbată atît istmul de la periferia rotorului, cît și istmul dintre barele celor două colivii, pe cînd fluxurile  $\Phi_{sc}$  și  $\Phi_{ci}$  străbat numai un istm. Rezultă  $\Phi_{ci} > \Phi_{cs}$  și deci inductivitatea de dispersie  $L_{cs}$  corespunzătoare barelor superioare este mai mică decât inductivitatea de dispersie  $L_{ci}$  a barelor inferioare ( $L_{ci} > L_{cs}$ ), inegalitate care la aceeași frecvență se păstrează și pentru reactanțe ( $X_{ci} > X_{cs}$ ).

Cele două colivii au caracteristici diferite, care determină și roluri diferite la pornire ca și în funcționarea normală a motorului. Cînd motorul este încă imobil ( $s = 1$ ) frecvența curenților rotorici este egală cu frecvența curenților statorici  $f_2 = f_1$  și în acest caz  $R_{bs} > X_{cs}$ ,  $R_{bi} < X_{ci}$ . Curentul din colivia superioară, care are o rezistență mare și o reactanță de dispersie mică, este aproape în fază cu t.e.m. indusă, deci această colivie va dezvolta un cuplu mare la pornire. Colivia inferioară, avînd o rezistență mică și o reactanță de dispersie mare, este parcursă de curenți defazați aproape în

cuadratură cu t.e.m. indusă și dezvoltă în consecință un cuplu de pornire mic. Pe măsură ce rotorul se accelerează, frecvența curenților rotorici scade, în mod corespunzător, scad reactanțele de dispersie ale celor două colivii, care devin, în funcționarea normală ( $f_2 \ll f_1$ ), practic neglijabile în raport cu rezistențele. Curenții în ambele colivii ajung practic în fază cu t.e.m., în schimb curentul din colivia inferioară va fi mai mare decât curentul din colivia superioară datorită rezistențelor diferite ale celor două colivii. Prin urmare, în funcționarea normală, cuplul electromagnetic principal este dezvoltat de colivia inferioară, de unde și denumirea de colivie de lucru. Motoarele cu dublă colivie au un cuplu de pornire mare  $m_p = 1...2$  și un curent de pornire mic  $i_p = 3,5...5,5$ . Mărirea cuplului de pornire conduce la mărirea curentului de pornire ( $s = 1$ ); pentru  $m_p = 1; 1,5; 2$  avem corespunzător  $i_p = 3,2 \div 3,5; 3,5 \div 3,8; 4,5 \div 5$ . Faptul că sînt mai sigure în exploatare a determinat o răspîndire mare a lor, se construiesc pe scară largă pînă la 500 kW.

În cazul unei mașini cu dublă colivie cu creștături de forma arătată în figura 3.22 cu inele de scurtcircuitare separate schema echivalentă în T este dată în figura 3.23. Impedanța rotorică are expresia:

$$Z'_{2s} = jX'_{2c} + \frac{(R'_{2s}/s + jX'_{2s})(R'_{2i}/s + jX'_{2i})}{(R'_{2s} + R'_{2i})/s + j(X'_{2s} + X'_{2i})} \quad (3.72)$$

și curentul absorbit de motor se calculează cu relația (3.41). Dînd diferite valori alunecării  $s$ , se obține locul geometric al curentului  $I_1$  care nu mai este un cerc.

Caracteristica cuplului  $M=f(s)$  se poate deduce din însumarea cuplurilor  $M_s(s)$  corespunzător coliviei superioare și  $M_i(s)$  corespunzător coliviei inferioare.

În rezumat se poate preciza că motorul cu dublă colivie permite obținerea cuplului de pornire mare la curent de pornire mic, însă capacitatea lui de suprasarcină  $m_m$ ,  $\cos \varphi_1$  și randamentul  $\eta$  sînt mai mici decât la motorul cu colivie normală. Costul acestui motor este mai ridicat.

Forma ecuațiilor mașinii cu colivii multiple depinde de tipul coliviilor și în consecință și schemele echivalente vor fi diferite. În figura 3.24 se dă structura cîmpului magnetic de scăpări precum și schemele echivalente ale mașinilor cu dublă și triplă colivie pentru diferite tipuri de creștături. La colivie triplă sînt trecuți și parametrii corespunzători coliviei medii.

O comparație a proprietăților diferitelor tipuri de mașini rezultă din reprezentarea curbilor cuplului în funcție de alunecarea pentru regimul de motor, dată în figura 3.25 pentru mașini cu rotor bobinat, cu colivie simplă, cu bare înalte și cu dublă colivie, la mașini de aceeași mărime același curent de pornire și aceleași pierderi în rotor la sarcina nominală se constată că odată cu creșterea cuplului de pornire  $M_p$  scade cuplul maxim  $M_m$ .

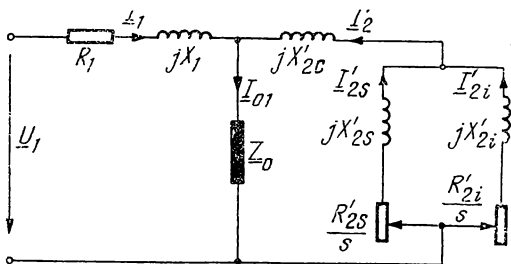


Fig. 3.23. Schema echivalentă a motorului asincron cu dublă colivie în rotor.



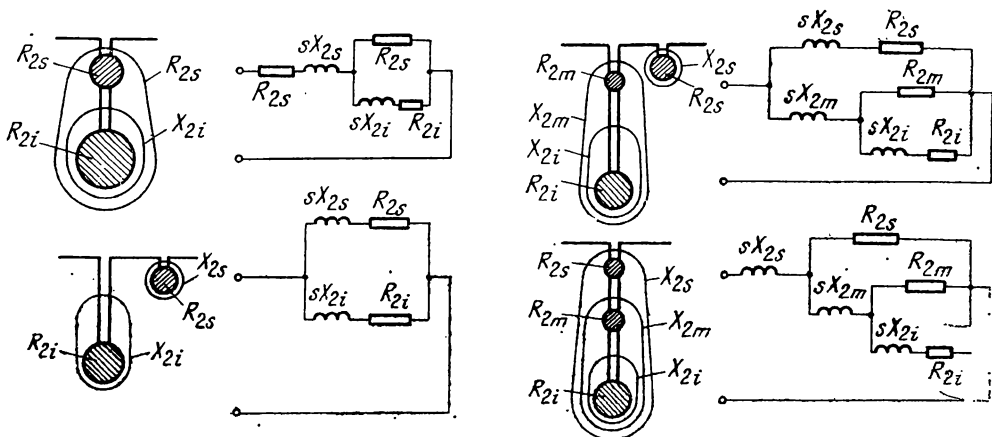


Fig. 3.24. Crestături pentru colivii duble și triple împreună cu schemele echivalente.

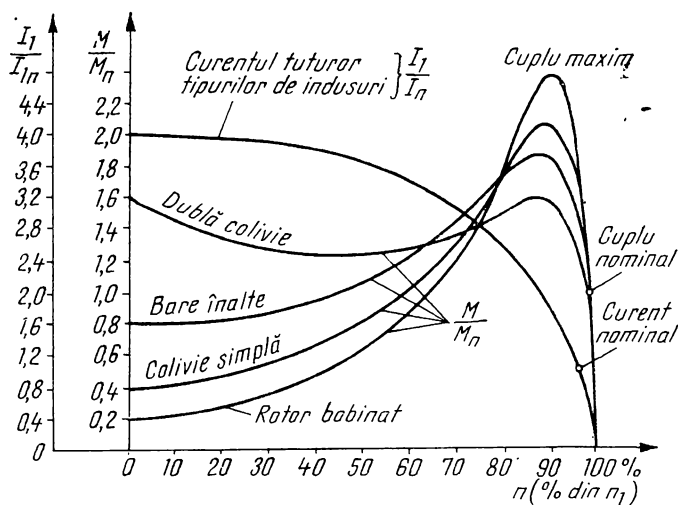


Fig. 3.25. Curentul și cuplul în funcție de turație pentru mașini cu rotoare de diferite tipuri.

### 3.13.2.3. MOTOARE ASINCRONE CU ROTOR MASIV

La aceste motoare rotorul este omogen realizat din material feromagnetic fără înfășurare pe el. Rotorul masiv joacă rol și de circuit magnetic și de înfășurare, s-ar putea considera formal dintr-o infinitate de bare cu permeabilitatea magnetică  $\mu_{Fe}$  și rezistivitatea electrică  $\rho_{Fe}$ . Este de construcție simplă, are cuplu de pornire ridicat, iar curentul de pornire este relativ mic, însă are o serie de dezavantaje printre care: factor de putere scăzut, alunecare nominală mare și ca urmare pierderi mari în rotor care conduc la un randament scăzut; aceste dezavantaje limitează mult utilizarea acestui motor. Pentru a diminua aceste dezavantaje s-au elaborat mai multe variante constructive: rotor cu crestături înguste ( $b_c \simeq 1$  mm) și cu inele din

material cu conductivitate mare dispuse pe părțile frontale, rotor acoperit cu strat subțire de cupru cu sau fără strat feromagnetic exterior. Teoria motorului cu rotor masiv este asemănătoare motorului cu rotor normal, de precizat că parametrii echivalenți  $R'_{20}$  și  $X'_{20}$  variază în limite largi funcție de saturația rotorului. Impedanța rotorică se poate pune sub forma  $Z'_{2s} = R'_{20}/\bar{s} + j X'_{20}/\bar{s}$ , conducând la relații similare celor deduse pentru motorul asincron cu bare înalte.

### 3.14. PORNIREA MOTOARELOR ASINCRONE TRIFAZATE

#### 3.14.1. PROBLEME GENERALE

Problemele de bază ale pornirii motoarelor electrice sînt puse de mărimea cuplului de pornire și de mărimea șocului de curent la pornire. Pentru ca motorul să poată accelera trebuie să se dezvolte un cuplu mai mare decît cuplul rezistent produs de mecanismul antrenat și de frecări. Într-o serie de cazuri este necesar un cuplu de pornire relativ mare, chiar mai mare decît cuplul nominal.

Pe de altă parte, mărimea curentului de pornire absorbit de la rețeaua de alimentare este limitată de condițiile impuse de rețea. Șocul de curent din primul moment este periculos, deși este de scurtă durată (de ordinul secundelor). Acest șoc de curent este periculos uneori pentru rețeaua electrică, care nu poate suporta curenți atît de mari; în cazul unor motoare puternice și a unei rețele slabe se impune micșorarea curentului de pornire. Șocul de curent este periculos și pentru motor. Pentru a evita aceste dezavantaje se folosesc diferite metode de pornire specifice fiecărui tip de motor. La alegerea metodei de pornire trebuie avute în vedere condițiile impuse de rețeaua de alimentare și de mecanismul acționat de motor. Proprietățile de pornire ale motorului electric se pot caracteriza prin curentul de pornire  $I_p$  sau valoarea lui relativă  $i_p = I_p/I_n$ , cuplul de pornire  $M_p$  sau valoarea lui relativă  $m_p = M_p/M_n$ , caracteristica mecanică a motorului, durata pornirii  $T_p$ , pierderile de energie la pornire, încălzirea motorului la pornire, simplitatea și siguranța în funcționare a schemei de pornire.

La pornirea unui motor se disting două procese tranzistorii: unul electric, determinat de conectarea motorului la rețea și un proces mecanic în care motorul trebuie să jungă în regimul staționar. De obicei primul proces durează mult mai puțin decît al doilea și chiar atunci cînd cele două procese încep în același timp, procesul electric tranzitoriu poate fi considerat că are loc practic la viteză constantă.

#### 3.14.2. CALCULUL CARACTERISTICILOR CARE INTERVIN LA PORNIRE

a) *Caracteristica mecanică* pentru motorul asincron cu rotorul bobinat sau cu rotorul în colivie simplă de veveriță, se poate deduce prin puncte, pe baza formulei lui Kloss simplificată și a datelor nominale ale motorului. Punctele caracteristice sînt indicate în continuare. Punctul de mers în gol ideal  $s = 0$  și  $M = 0$ . Punctul de funcționare în sarcină nominală  $s_n = (n_1 - n_n)/n_1$  și  $M = M_n$ . Viteza nominală  $n_n$  este indicată pe tăblița mașinii în rot/min, iar turația de sincronism  $n_1$  este numărul imediat superior

vitezei nominale din șirul de numere: 3 000, 1 500, 1 000, 750, 600, 500, ... șir obținut din aplicarea succesivă a relației  $n_1 = 60 f_1/p$  pentru diferite valori ale numărului de perechi de poli  $p$ . Cuplul electromagnetic la punctul nominal  $(M)_n$  se calculează cu relația  $(M)_n \simeq M_n = P_n/\Omega_n = 30 P_n/(\pi n_1)$ , unde  $P_n$  este puterea nominală de asemenea indicată pe tablăa mașinii în kW. Punctul corespunzător cuplului maxim  $s = s_m$  și  $M = M_m$ . Alunecarea critică  $s_m$  se poate calcula cu formula lui Kloss aplicată pentru punctul nominal  $M_n = 2 M_m/(s_n/s_m + s_m/s_n)$  de unde rezultă:

$$s_m = s_n (m_m + \sqrt{m_m^2 - 1}); \quad m_m = M_m/M_n. \quad (3.73)$$

Punctul corespunzător pornirii  $s = 1$  și  $M = M_p$ . Cuplul de pornire  $M_p$  se obține din formula lui Kloss pentru  $s = 1$ :

$$M_p = 2 M_m s_m/(1 + s_m^2). \quad (3.74)$$

Dînd valori intermediare acestor puncte caracteristice, se poate construi caracteristica mecanică pentru motorul asincron. De precizat că factorul de suprasarcină  $m_m$  se indică pe tablăa mașinii numai pentru motoarele asincrone cu rotorul în scurtcircuit.

b) *Timpul de pornire*  $T_p$  se determină din ecuația mișcării. Dacă  $M_r$  este cuplul rezistent, iar  $J$  este momentul de inerție redus la rotor al tuturor maselor în mișcare, ecuația mișcării este:

$$J \frac{d\Omega_2}{dt} = M - M_r \quad (3.75)$$

și deci timpul necesar ca mașina să-și modifice viteza unghiulară de la  $\Omega_2'$  la  $\Omega_2''$  este

$$t = J \int_{\Omega_2'}^{\Omega_2''} \frac{d\Omega_2}{M - M_r}. \quad (3.76)$$

Dacă se cunoaște expresia cuplului rezistent  $M_r$  în funcție de turație, integrala (3.76) se poate efectua analitic sau grafic în raport de forma funcției  $M_r = f(\Omega_2)$ .

În cazul în care mașina ar fi pornită în gol și asupra motorului ar acționa un cuplu constant egal cu  $M_m$ , turația de sincronism s-ar atinge în timpul  $T_k$ , unde:

$$T_k = J \int_0^{\Omega_1} \frac{d\Omega_1}{M_m} = \frac{J}{M_m} \Omega_1. \quad (3.77)$$

Timpul  $T_k$  este o constantă a mașinii și se numește *constantă mecanică de timp* la pornirea mașinii în gol, care obișnuit nu depășește 1...2 s.

Deoarece  $\Omega_2 = \Omega_1(1 - s)$ , deci  $d\Omega_2 = -\Omega_1 ds$ , se poate calcula timpul necesar pentru ca mașina, funcționînd în gol, ( $M_r = 0$ ), să atingă alunecarea  $s$ , știind că alunecarea inițială este  $s_i$

$$\begin{aligned} t &= -J \int_{s_i}^s \frac{\Omega_1 ds}{2 + 2\lambda s_m} \left( \frac{s}{s_m} + \frac{s_m}{s} + 2\lambda s_m \right) = \\ &= \frac{T_k}{2 + 2\lambda s_m} \left[ \frac{s_i^2 - s^2}{2 s_m} + (s_i - s) 2\lambda s_m + s_m \ln \frac{s_i}{s} \right], \end{aligned} \quad (3.78)$$

cu această relație se pot construi curbele  $n_2/n_1=f(t)$  pentru  $s_i$ ,  $T_k$ ,  $\lambda$  și  $s_m$  dați. În cazul pornirii de la  $n_2=0$  la  $n_2=n_{20}$  atunci  $s_i=1$  și  $s=s_0$  ( $s_0$  alunecarea la mersul în gol).

c) *Căldura dezvoltată la pornire.* În timpul pornirii se dezvoltă căldură atât în înfășurarea primară cât și în cea secundară. Energia  $W_2$  transformată în căldură în rotor la pornire în gol a mașinii ( $M_r=0$ ) este:

$$\begin{aligned} W_2 &= m_2 R_2 \int_{t_i}^t I_2^2 dt = \int_{t_i}^t \Omega_1 M_s dt = \int_{\Omega_{2i}}^{\Omega_2} J s \Omega_1 d\Omega_2 = \\ &= - \int_{s_i}^s J \Omega_1^2 s ds = \frac{1}{2} J \Omega_1^2 (s_i^2 - s^2). \end{aligned} \quad (3.79)$$

Energia transformată în căldură la pornire de la turația  $n_2=0$  pînă la sincronism  $n_2=n_1$ , este:  $W_2 = \frac{J \Omega_1^2}{2}$ , adică egală cu energia cinetică a maselor antrenate.

La frînare prin contracurent ( $s_i=2$  și  $s=1$  se obține  $W_2 = 3 \cdot \frac{J \Omega_1^2}{2}$ , iar la reversarea vitezei ( $s_i=2$  și  $s=0$ ),  $W_2 = 4 \cdot \frac{J \Omega_1^2}{2}$ .

Energia  $W_1$  transformată în căldură, în înfășurarea primară, se poate calcula din expresia curentului primar  $I_{1n}$  în ipoteza neglijării curentului de mers în gol  $I_{10}$  față de curenții din înfășurări în timpul pornirii ( $I_1 \cong -I_2'$ ), pierderile în înfășurări sînt proporționale cu rezistențele; rezistența înfășurării secundare fiind raportată la primar, deci  $W_1/W_2 = R_1/R_2'$ . Energia totală primită de motor și transformată în căldură este  $W = W_1 + W_2$ .

Se constată că în perioada pornirii în gol, rotorul primește o cantitate de energie din care jumătate este transformată în căldură, iar jumătate apare sub formă de energie cinetică în masele antrenate.

### 3.14.3. PORNIREA MOTOARELOR ASINCRONE CU ROTOR BOBINAT

Pentru micșorarea curenților de pornire și creșterea cuplului de pornire se conectează la bornele rotorice un reostat reglabil conform schemei din figura 3.26,a.

Cum s-a arătat la studiul cuplului electromagnetic al mașinii asincrone, caracteristica  $M(s)$  poate fi modificată prin introducerea unei rezistențe  $R_p$  în circuitul rotoric, astfel se modifică alunecarea  $s_m$  corespunzătoare cuplului maxim. Alegînd o rezistență de pornire de valoare suficient de mare se poate obține o alunecare critică care să asigure o caracteristică de pornire convenabilă, cu cuplu de pornire ridicat și un curent mic (curba  $p$ ). Pe măsură ce rotorul se accelerează se poate modifica succesiv caracteristica cuplului prin scurtcircuitarea unei porțiuni de reostat cu ajutorul contactelor  $C_1 \dots C_5$  (fig.3.26,a) obținîndu-se caracteristicele 1...5 din figura 3.26,b. Treptele de rezistență se pot alege astfel încît să se asigure în timpul pornirii menținerea cuplului între limitele  $M_{min} \dots M_{max}$  (caracteristica  $M(s)$  pe care o parcurge motorul este desenată cu linie îngroșată în figura 3.26,b). După scurtcircuitarea integrală a reostatului rotoric, motorul continuă să fun-

conține pe caracteristica sa naturală. Procesul pornirii are loc în modul următor. În primul moment al pornirii rezistența suplimentară este mare, asigurând un cuplu de pornire  $M_{max}$  mai mare decât cel rezistent  $M_r$ . Rotorul începe să accelereze și alunecarea  $s$  scade. Cuplul dezvoltat de motor scade conform curbei  $p$  pînă la valoarea  $M_{min}$ , cînd rezistența  $R_p$  se micșorează prin închiderea contactelor  $C_1$ . Punctul de funcționare trece pe noua caracteristică 1 corespunzătoare noii valori a rezistenței  $R_p$  și cuplul care se exercită asupra rotorului devine  $M_{max}$ . Punctul de funcționare se deplasează pe caracteristica 1 pînă cînd cuplul devine egal cu  $M_{min}$  și procesul continuă pînă cînd motorul funcționează pe caracteristica naturală în care caz rezistența  $R_p$  este scurtcircuitată de contactele  $C_1...C_5$ . Procesul tranzitoriu de pornire durează pînă la  $M = M_r$  cînd rotorul se învîrtește cu turație constantă.

La pornirea cu reostat în circuitul rotoric, motorul asincron cu inele de contact are caracteristici de pornire bune. Astfel se poate menține în tot timpul pornirii un cuplu ridicat, ceea ce reduce durata pornirii. În același timp valoarea curentului de pornire se poate menține la valori moderate în tot timpul procesului de pornire, deci conectarea motorului la o rețea de putere mică nu va influența mult regimul de funcționare al motorului.

La pornirea unui motor electric procesele tranzitorii electromagnetice se desfășoară într-un interval de timp mult mai mic în raport cu cele mecanice, deci se poate admite că pentru fiecare valoare a vitezei de rotație din intervalul de pornire, curenții, tensiunile și fluxurile au valorile din regimul staționar pentru viteza de rotație considerată. Din acest motiv expresiile mărimilor electromagnetice sînt cele din regim permanent.

Dimensionarea reostatului de pornire se face pe baza limitelor  $I_{2max}$  și  $I_{2min}$  între care se admite să varieze curentul în intervalul pornirii. Cu cît aceste limite sînt mai apropiate, cu atît pornirea este mai fină, dar crește numărul de trepte. În general se admite pentru limite:  $I_{2max} = (1,4 \div 2) I_{2n}$  și  $I_{2min} = (1,01 \div 1,1) I_{2n}$ . Rezistența întregului reostat se determină astfel încît la  $s=1$  să rezulte  $I_2 = I_{2max}$ . În momentul trecerii pe alt plot

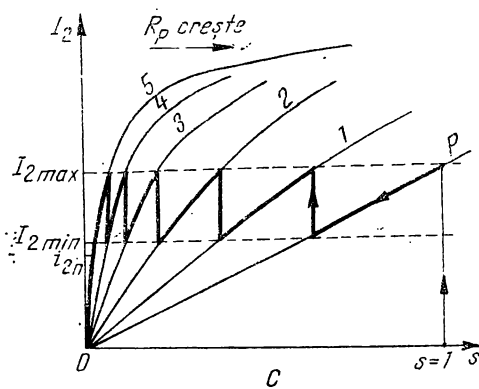
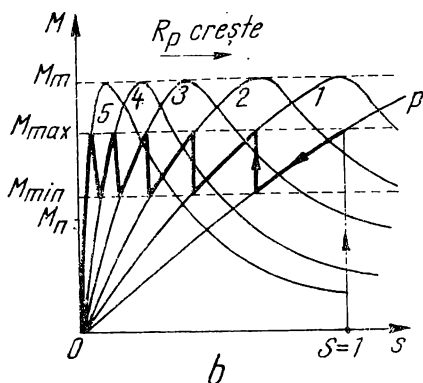
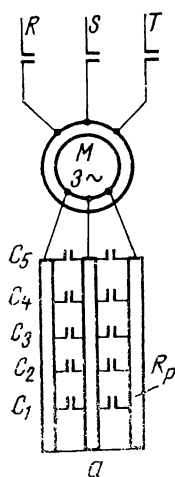


Fig. 3.26. Pornirea motorului asincron cu rotorul bobinat:

a — schema de pornire; b — caracteristicile cuplului; c — caracteristicile curentului.

( $I_2 = I_{2min}$ ) curentul crește repede la valoarea maximă; în figura 3.26,c se prezintă variația curentului în procesul pornirii. Reostatele de pornire cuprind de obicei elemente rezistoare metalice, realizate cu conductoare rotunde sau plate, din materiale cu rezistivitate ridicată, cromnichel, oțel electrotehnic, fontă etc. Ele pot fi răcite cu apă, ulei sau nisip. Treptele reostatului se comută cu ajutorul unor comutatoare cu ploturi, a unor controlere sau a unor contactoare. Se folosesc uneori și reostate cu lichid, constând din plăci metalice care se confundă mai mult sau mai puțin într-o baie conținând o soluție apoasă de hidroxid de sodiu. Reostatele de pornire sînt dimensionate pentru o funcționare de scurtă durată și deci nu pot fi ținute sub curent prea mult timp. Uneori motoarele cu inele de contact sînt prevăzute cu un dispozitiv de scurtcircuitare a inelelor și ridicarea periiilor de pe inele, care se manevrează după ce a fost scurtcircuitat reostatul de pornire. Acest dispozitiv micșorează pierderile în regim normal de funcționare și micșorează uzura, periiilor însă mărește costul mașinii, îngreunează manevrarea la pornire și nu permite automatizarea procesului de pornire.

La pornirea motorului cu inele de contact trebuie să se verifice în prealabil dacă comutatorul reostatului de pornire este pe poziția de rezistență maximă, iar dacă mașina are dispozitiv de scurtcircuitare a inelelor de contact acesta să fie adus în poziția deschis. După conectarea motorului la rețeaua de alimentare rezistența reostatului de pornire se reduce treptat observîndu-se ca în perioada pornirii curentul absorbit de motor să nu depășească valoarea maximă, această operație poate fi ușor automatizată.

La motoarele cu inele colectoare, obișnuit, reostatul este separat de mașină. Dacă reostatul se plasează pe rotorul mașinii împreună cu dispozitive centrifugale de scurtcircuitare succesivă, atunci se pot evita inelele de contact. Schema unui astfel de rotor este dată în figura 3.27. Tot în vederea evitării inelelor de contact și a reostatelor, s-au executat mașini la care înfășurarea fiecărei faze constă din două părți egale sau inegale, plasate în aceleași creștături sau în creștături diferite. La pornire cele două părți ale fiecărei faze sînt conectate în opoziție. Aceasta conduce la reducerea reactanței, la mărirea rezistenței de fază și tensiunea de fază constă din diferența tensiunilor induse în cele două părți. După pornire, un dispozitiv automat acționat centrifugal, realizează scurtcircuitarea părților înfășurării. O astfel de schemă este prezentată în figura 3.28, în care cele două părți  $a'$  și  $a''$  ale fiecărei faze sînt inegale.

În astfel de cazuri, de obicei, cele două părți se plasează în aceleași creștături. În cazul plasării în creștături diferite cele două părți  $a'$  și  $a''$

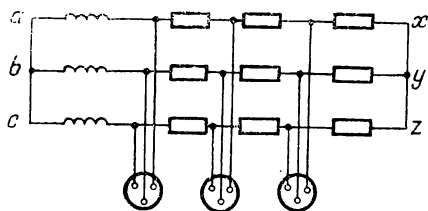


Fig. 3.27. Schema de rotor cu dispozitive centrifugale de scurtcircuitare a rezistenței de pornire.

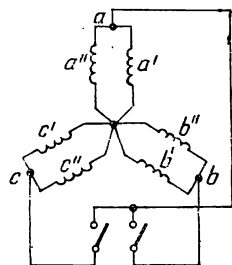


Fig. 3.28. Pornirea prin conectarea inversă a părților componente ale unei faze rotorice.

pot fi egale, tensiunea necesară pentru stabilirea curentului prin înfășurări fiind dată de diferența tensiunilor cu valori egale, dar faze diferite, induse în cele două jumătăți.

O altă posibilitate constă în executarea în rotor a două înfășurări separate, dintre care una este înfășurarea de pornire și are o rezistență mare, iar a doua este înfășurarea de lucru și are o rezistență mică. Înfășurarea de lucru este deschisă pe durata pornirii și se scurtcircuitează după ce motorul a pornit.

### 3.14.4. PORNIREA MOTOARELOR CU ROTOR ÎN COLIVIE

Motoarele cu înfășurare pe rotor tip colivie (rotorul în scurtcircuit) se pornesc în diferite moduri, determinate de puterea mașinii și de condițiile de exploatare a instalațiilor acționate. Această variantă a rotorului este mai simplă din punct de vedere constructiv și tehnologic, mai robustă și mai sigură în exploatare. Totuși acest rotor prezintă și dezavantaje: pentru îmbunătățirea condițiilor de pornire nu se pot introduce rezistențe suplimentare în serie cu înfășurarea rotorică, cuplul de pornire este relativ scăzut, iar șocul de curent este mare de ordinul  $(6 \div 7) I_{1n}$ . De aceea, cuplarea directă a acestor motoare la rețeaua de alimentare este permisă numai în cazul în care puterea de scurtcircuit a rețelei este foarte mare și prin pornirea directă a motorului asincron, nu se produc căderi mari de tensiune în rețea. La motoarele asincrone de puteri relativ mari cu rotorul în scurtcircuit pentru limitarea curentului de pornire, în cazul în care puterea rețelei de alimentare este de ordinul puterii motorului se folosesc mai multe metode.

*Pornirea stea triunghi.* Înfășurările de fază statorice care în funcționare sînt conectate în triunghi, se leagă la pornire în stea. Condiția de pornire este ca tensiunea de fază a motorului  $U_f$  să fie egală cu tensiunea de linie a rețelei  $U_{lr}$ , adică  $U_f = U_{lr}$ . Dacă la pornire înfășurările sînt conectate în stea atunci curentul de pornire pe linie este  $I_{p\lambda} = U_{lr}/Z_k \sqrt{3}$ . Dacă înfășurările ar fi conectate în primele momente ale pornirii în triunghi, atunci curentul pe linie ar fi  $I_{p\Delta} = U_{lr} \sqrt{3}/Z_k$ .

Deci  $I_{p\Delta}/I_{p\lambda} = 3$  și  $M_{p\Delta}/M_{p\lambda} = 3$ . Curentul de linie și cuplul de pornire se reduc la o treime din valoarea pe care o au la conexiunea în triunghi. După ce turația motorului a atins valori suficiente de mari se comută înfășurările în triunghi. În figura 3.29 se prezintă schema electrică a pornirii stea-triunghi. Pornirea stea-triunghi se folosește la motoare de puteri pînă la 150—200 kW și tensiuni pînă la 3 kV.

*Pornirea cu transformator sau autotransformator.* Între rețea și motor se intercalează în perioada pornirii un transformator sau un autotransformator (fig. 3.30), cu ajutorul căruia se reduce tensiunea aplicată motorului pînă la  $0,7 \div 0,5$  din tensiunea nominală, după valoarea curentului, respectiv a cuplului de pornire dorit. Cuplul de pornire și curentul absorbit din rețeaua de alimentare variază proporțional cu pătratul tensiunii, respectiv cu tensiunea aplicată motorului, prin urmare cuplul scade sensibil cu scăderea tensiunii.

*Intercalarca de impedanțe în circuitul statoric.* Se folosesc fie rezistoare, fie bobine. În primul caz rezultă pierderi de energie mari în timpul pornirii. Prin utilizarea bobinelor trifazate de inducție în primele momente

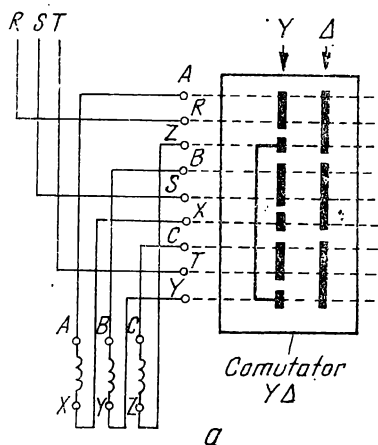


Fig. 3.29. Schema de principiu a unui comutator stea-triunghi (a) și variația curentului și cuplului la pornire (b).

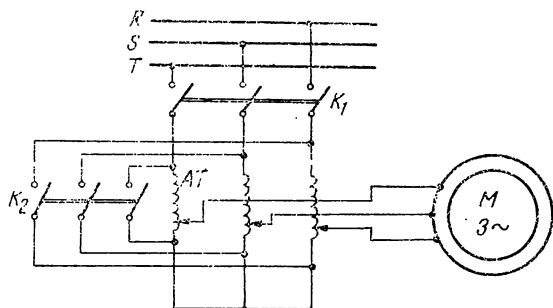


Fig. 3.30. Pornirea motorului asincron cu auto-transformator.

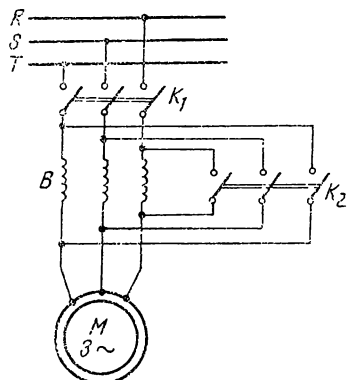


Fig. 3.31. Intercalearea de impedențe în circuitul statoric la pornirea motorului asincron.

ale pornirii se aplică o tensiune mai redusă decât tensiunea nominală, rezultând un curent de pornire mai redus. Cuplul la pornire scade foarte mult și metoda se aplică numai motoarelor care pornesc în gol (fig. 3.31).

Motorul cu două statoare constă din două mașini cu un singur arbore și o înfășurare în colivie comună, cum se indică în figura 3.32. Barele coliviei sînt unite între ele la capete prin inele de scurtcircuitare, iar la mijloc între cele două statoare, prin inele cu rezistență mai mare  $m$ . Curenții din bare depind de poziția celor două cîmpuri magnetice învîrtitoare față de rotor. Unul din cele două statoare se poate roti cu un pas polar, ast-

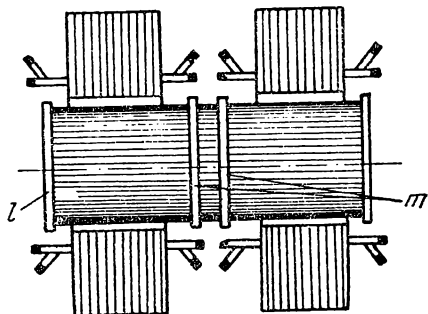


Fig. 3.32. Motor asincron cu două statoare:  $l$  — inel de scurtcircuitare;  $m$  — inele de scurtcircuitare cu rezistență mărită.



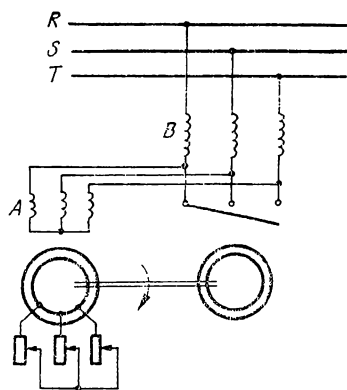


Fig. 3.33. Pornirea cu ajutorul unui motor auxiliar.

fel că se poate modifica poziția (decalarea) câmpurilor magnetice în raport cu aceeași generatoare. Dacă câmpurile magnetice după o aceeași generatoare sînt de polarități opuse, atunci curenții din cele două colivii sînt opuși și se închid prin inelul comun  $m$  cu rezistență mare, cum este cazul pornirii. Dacă câmpurile magnetice învîrtitoare au aceeași polaritate, curenții secundari ai celor două mașini au aceeași sensuri și se închid prin inelele frontale cu rezistență mică, aceasta este situația în regim staționar. Acest motor se comportă la pornire ca și un motor cu inele de contact pornit cu reostat. Motorul se utilizează în cazuri speciale.

*Pornirea cu motor auxiliar* se utilizează în cazurile în care la mașini mari nu se pot utiliza metode de pornire prin modificarea tensiunii de

alimentare, iar pornirea pe partea rotorului cu ajutorul rezistoarelor este dificilă din cauza tensiunii ridicate (peste 2000 V) dintre inele la  $s=1$ . Mașina se pune în mișcare cu ajutorul unui motor auxiliar, de obicei cu număr de poli mai mic decît al motorului principal. Mașina auxiliară  $A$  se pornește cu reostat și este alimentată în serie cu înfășurarea statorică a mașinii principale  $B$ , care are înfășurarea rotorică scurtcircuitată. Schema conectării este dată în figura 3.33. În primul moment, tensiunea se repartizează în cea mai mare măsură pe înfășurarea statorică a mașinii  $A$ . Pe măsură ce grupul își mărește turația, tensiunea repartizată pe înfășurarea motorului principal crește, deoarece impedanța echivalentă a mașinii principale  $B$  crește mai repede decît a mașinii auxiliare  $A$ . După ce s-a atins turația de regim, mașina  $A$  se poate scurtcircuita în stator. Aceste două mașini se pot combina în una singură, executînd cu două înfășurări în stator și două în rotor, una pentru pornire și una pentru funcționare. În rotor se poate utiliza însă o singură înfășurare în scurtcircuit de o formă specială.

*Pornirea cu cuple centrifugale* se realizează prin montarea unei cuple între motor și mașina antrenată; cele două părți ale cuplei pot aluneca una față de cealaltă, forța de frecare depinzînd de turație. Mecanismul utilizează forța centrifugă. În stare de repaus, cuplul rezistent este mic, astfel că se pot utiliza metode simple de pornire. Cînd turația atinge valoarea de regim, cupla acționează și începe să transmită cuplul corespunzător acționării. Trebuie controlată încălzirea cuplei pentru că energia transformată în căldură depinde de momentul de inerție al maselor antrenate.

### 3.15. REGLAREA TURAJIEI MOTOARELOR ASINCRONE TRIFAZATE

Problema reglării turației are o mare importanță practică; într-o serie întreagă de ramuri industriale este necesară o reglare a turației în limite relativ largi, reglare continuă și economică. În privința reglării turației motorul asincron este depășit de motorul de curent continuu și aceasta cu atît mai categoric cu cît limitele de reglare sînt mai mari. În direcția im-

bunătățirii caracteristicilor de reglare ale motorului asincron s-au efectuat numeroase cercetări. Totuși motorul asincron cu toate avantajele sale nu a reușit să înlocuiască motorul de curent continuu în acele domenii cu cerințe înalte de reglare a turației. Expresia turației motorului asincron este:

$$n_2 = 60 f_1 (1 - s)/p \quad (3.80)$$

Din această relație rezultă că turația motorului se poate regla prin modificarea numărului de poli  $p$ , prin modificarea frecvenței de alimentare  $f_1$  sau prin modificarea alunecării  $s$ .

a) *Modificarea numărului de poli* permite reglarea în trepte a turației motorului asincron. La o frecvență dată  $f_1$ , prin schimbarea numărului  $p$  de perechi de poli ai înfășurării, se poate schimba viteza de sincronism  $n_1$  și deci și viteza rotorului  $n_2$ . Modificarea numărului de poli în raportul 1:2 sau 2:1 se face relativ ușor, obținându-se motorul asincron cu două viteze, fabricat și la noi în țară. Schimbarea numărului de poli se face prin modificări de conexiuni ale înfășurării statorice, cea mai cunoscută fiind înfășurarea tip Dahlander. În figura 3.34 se prezintă schemele de principiu pentru schimbarea numărului de poli.

Motorul cu două viteze (fig. 3.35) este prevăzut cu o înfășurare statorică executată din câte două jumătăți pe fiecare fază (pentru faza  $A$  cele două jumătăți sînt  $V_1V_2$  și  $V_3V_4$ ). Jumătățile de înfășurare de pe fiecare fază pot fi conectate în serie (fig. 3.35) sau paralel în opoziție (fig. 3.36,  $b$ ). La conectarea în serie numărul de poli este dublu față de conectarea paralel în opoziție așa cum rezultă și din spectrele cîmpurilor magnetice pentru o fază prezentată în figurile 3.35,  $a$  și 3.36,  $a$ . De la numărul de perechi de poli  $p$  la conexiunea stea (fig. 3.35,  $c$ ) sau triunghi (fig. 3.35,  $d$ ), cînd cele două jumătăți de înfășurare sînt conectate în serie, se trece la conexiune dublă stea (fig. 3.36,  $c$  și  $d$ ) prin legarea paralel în opoziție a celor două jumătăți de înfășurare obținîndu-se  $p/2$  perechi de poli.

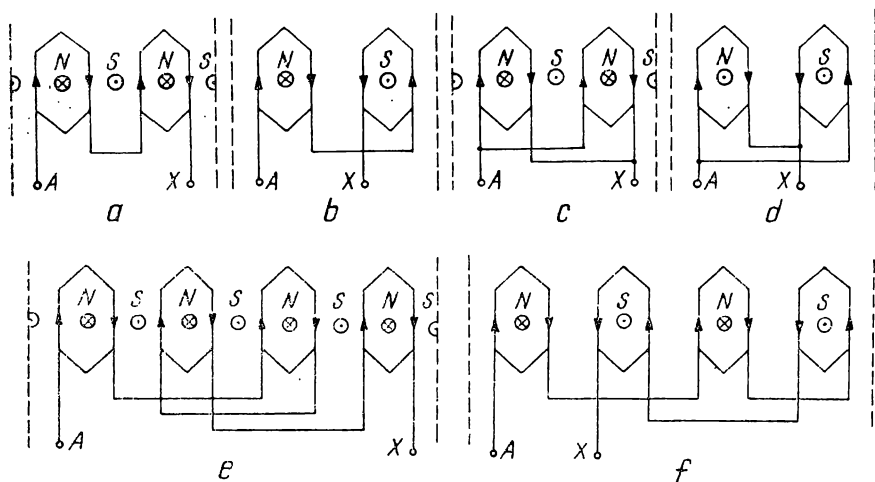


Fig. 3.34. Modificarea numărului de poli ai mașinii asincrone:

$a$  — înfășurare tetrapolară a unei faze (bobine inseriate);  $b$  — înfășurarea bipolară a aceleiași faze;  $c$  — înfășurarea tetrapolară a unei faze (bobine conectate în paralel);  $d$  — înfășurarea bipolară a fazei de la punctul  $c$ ;  $e$  — înfășurarea cu opt poli a unei faze;  $f$  — înfășurarea cu 4 poli a fazei de la punctul  $e$ .

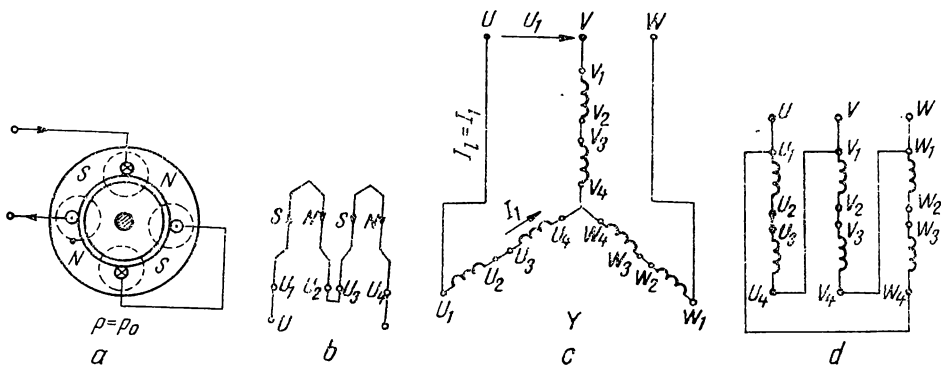


Fig. 3.35. Înfășurarea Dahlander pentru numărul mare de poli ( $p_0$ ):

a - liniile cimpului magnetic pentru  $p = 2$ ; b - jumătățile de înfășurare conectate în serie; c - conexiunea stea; d - conexiunea triunghi.

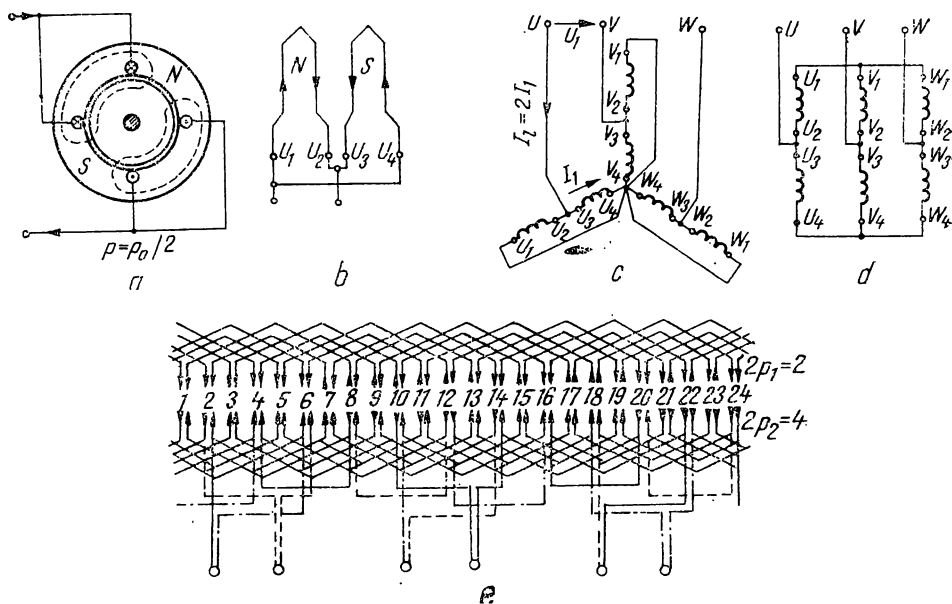


Fig. 3.36. Înfășurarea Dahlander pentru numărul mic de poli ( $p_0/2$ ):

a - liniile cimpului magnetic pentru  $p = 1$ ; b - jumătățile de înfășurare conectate în paralel; c și d - conexiunea dublă stea; e - înfășurarea Dahlander cu  $Z_1 = 24$ .

Trecerea de la conexiunea stea la conexiunea dublă stea se realizează la cuplu constant. Într-adevăr, notînd cu  $I_1$  curentul printr-o jumătate de înfășurare a unei faze statorice atunci la conexiunea stea curentul de linie  $I_L = I_1$ , iar pentru conexiunea dublă stea  $I_L = 2I_1$ ; factori de putere egali în cele două montaje, puterea activă  $P_1 = 3 U_L I_1 \cos \varphi$  se dublează la conexiunea dublă stea la care avem o turație de două ori mai mare, deci la același curent  $I_1$  cuplul dezvoltat de motor  $M_2 \simeq P_1/2 \pi n_1$  rămîne constant ( $n_1$  în rot/s). Trecerea de la turația mare la turația mică are loc printr-un

regim de frinare recuperativă (fig. 3.37), punctul de funcționare  $A'$  la turația mare, trece inițial la turația constantă în  $B$  pe noua caracteristică și mașina funcționează în regim de generator pînă atinge noua viteză de sincronism (punctul  $B'$ ) după care trece din nou în regim de motor ajungînd în noul punct de funcționare staționar  $A''$  (dacă cuplul rezistent  $M_r$  este constant în raport cu turația).

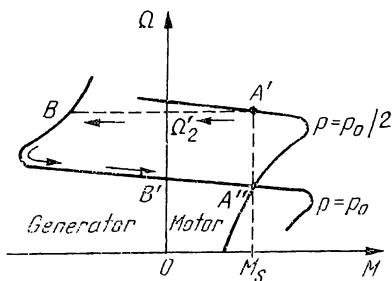


Fig. 3.37. Caracteristicile mecanice ale motorului cu două viteze.

Trecerea de la conexiunea triunghi la conexiunea în dublă stea are loc la putere practic constantă. Presupunînd egalitatea factorilor de putere pentru ambele conexiuni se obține puterea activă  $P'_1$  pentru conexiunea triunghi (fig. 3.35,d) sub forma:

$$P'_1 = \sqrt{3} U_l I_l \cos \varphi_1 = \sqrt{3} U_l \cdot \sqrt{3} I_1 \cos \varphi_1 = 3 U_l I_1 \cos \varphi_1 \quad (3.81)$$

iar puterea activă absorbită de motor pentru conexiunea dublă stea  $P'_1$ , se obține:

$$P'_1 = \sqrt{3} U_l I_l \cos \varphi_1 = \sqrt{3} U_l \cdot 2 I_1 \cos \varphi_1 = 2 \sqrt{3} U_l I_1 \cos \varphi_1. \quad (3.82)$$

Cele două puteri sînt apropiate la același curent  $I_1$ , adică  $P'_1 \simeq P''_1$ .

La motoarele cu comutarea numărului de poli în stator se folosesc de regulă rotoare cu colivie. Dacă rotorul s-ar realiza cu inele de contact, schimbarea numărului de poli în stator ar implica modificarea, în același fel, și a numărului de poli în rotor, ceea ce ar mări numărul de inele colectoare.

Cînd se schimbă numărul de poli la o înfășurare de curent alternativ, se modifică în general caracteristicile înfășurării ( $w_1$ ,  $k_{w1}$ ,  $y$ ) și inducția/din întrefier, aceasta conduce și la modificarea caracteristicilor motorului. Convenim să notăm cu ( $'$ ) mărimile corespunzătoare numărului mare de poli și cu ( $''$ ) mărimile corespunzătoare numărului mic de poli.

T.e.m. indusă la înfășurarea statorică  $E_1 = 4,44 f_1 w_1 k_{v1} \Phi_m$  unde  $\Phi_m = \frac{2}{\pi} B_\delta \tau l_i = DB_\delta l_i/p$  și neglijînd căderea de tensiune pe impedența

statorică se poate scrie  $U_1 \simeq E_1$ , aplicînd aceste relații la cele două numere de perechi de poli  $p'$  și  $p''$  se obține raportul inducțiilor magnetice din întrefier:

$$\frac{B'_\delta}{B_\delta} \simeq \frac{U'_1}{U''_1} \cdot \frac{k''_{w1} w'_1 p'}{k'_{v1} w'_1 p''}. \quad (3.83)$$

Valorile acestui raport se pot determina avîndu-se în vedere toți factorii de care depinde.

Se pot scrie cu aproximație raporturile cuplurilor maxime  $M'_m$  și  $M''_m$  considerînd  $R_1 \simeq 0$  în relația (3.47), știut fiind că reactanțele de scăpări  $X_{\sigma 1}$  și  $X'_{\sigma 2}$  sînt proporționale cu  $w_1^2/p$ , adică  $X_{\sigma 1} + c_1 X'_{\sigma 2} = k w_1^2/p$

$$\frac{M'_m}{M''_m} \simeq \left( \frac{B'_\delta}{B_\delta} \right)^2 \cdot \left( \frac{k''_{w1}}{k'_{v1}} \right)^2 \cdot \frac{p'}{p'} \quad (3.84)$$

Dacă la turația mică se alege o inducție magnetică  $B_{\delta}''$  mai mare și un factor de înfășurare  $k_{w1}'' \simeq 0,7$ , iar  $k_{w1}' \simeq 1$  și  $p'' = 2p'$  atunci cuplul dezvoltat de motor este mai mare la numărul mare de poli.

Raportul dintre curenții de pornire pe fază este aproximativ  $(U_1'/U_1'')$   $(p'/p'')$   $(w_1'/w_1'')^2$ , pentru a obține raportul curenților de linie la pornire ( $s = 1$ ) se amplifică raportul de mai sus cu  $U_1'/U_1''$  și se obține:

$$I_p'/I_p'' = \left(\frac{B_{\delta}'}{B_{\delta}''}\right)^2 \left(\frac{k_{w1}'}{k_{w1}''}\right)^2 \left(\frac{p'}{p''}\right)^2. \quad (3.85)$$

Raportul dintre capacitățile de suprasarcină este:

$$\frac{m_m'}{m_m''} = \frac{M_n''}{M_n'} \cdot \left(\frac{B_{\delta}'}{B_{\delta}''}\right)^2 \left(\frac{k_{w1}'}{k_{w1}''}\right)^2 \left(\frac{p'}{p''}\right)^2. \quad (3.85')$$

Relațiile stabilite mai sus au un caracter aproximativ, însă prezintă interes în aprecierea comportării funcționale a motorului.

Pentru a obține mai multe trepte de turație pe stator se prevede fie o înfășurare, care permite ca prin conectarea în diferite moduri a bobinelor componente să se obțină 3,4 sau mai multe numere de perechi de poli, fie mai multe înfășurări (de obicei două) dintre care una se realizează cu comutarea în raportul 2:1 a numărului de poli. Se realizează astfel motoare cu turațiile sincrone de 3000:1500:1000 rot/min și 3000:1500:1000:500 rot/min. Folosirea motoarelor cu mai multe trepte de viteză permite simplificarea acționării. Aceste motoare sînt însă mai scumpe, au gabarite mai mari în raport cu motoarele asincrone obișnuite și necesită un aparataj de comutație special.

La turația mai mică eficiența autoventilației scade și deci densitățile de curent în înfășurări trebuie alese corespunzător.

*Schemele pentru cuplu constant sînt utilizate în acționările la care domină cuplurile de frecare: schemele pentru putere constantă sînt utilizate la motoarele de acționare a mașinilor unelte, deoarece la viteze mici cuplul este mai mare decît la viteze mari; schemele pentru cuplu variabil sînt utilizate la motoarele de acționare a mecanismelor cu caracteristică tip ventilator.*

b) *Modificarea frecvenței de alimentare* se poate aplica numai cînd motorul asincron este alimentat de la un convertizor de frecvență. Variația frecvenței în limite largi se poate obține cu ajutorul convertizoarelor statice (ionice sau cu tiristoare). Se vor examina cîteva aspecte cu privire la funcționarea motorului asincron la frecvență variabilă.

Tensiunea și frecvența nu pot fi variate în mod independent una de alta. Într-adevăr neglijînd căderile de tensiune statorice, rezultă:

$$U_1 \simeq E_1 = 4,44 f_1 w_1 k_{u1} \Phi_m = k_1 f_1 \Phi_m. \quad (3.86)$$

Fluxul magnetic  $\Phi_m$  determină starea de saturație a miezului magnetic al mașinii. Dacă s-ar scădea frecvența la tensiunea de alimentare  $U_1$  constantă, ar rezulta o creștere a fluxului  $\Phi_m$  și deci o saturare puternică a miezului magnetic, ceea ce conduce la înrăutățirea caracteristicilor (crește curentul de magnetizare și cresc pierderile în fier). Pentru a nu se ajunge la o saturație excesivă a circuitului magnetic este necesară modificarea simultană a tensiunii  $U_1$  și a frecvenței  $f_1$ , adică  $U_1/f_1 = \text{const}$ . Accastă ultimă relație se adoptă la scăderea frecvenței sub valoarea nominală. La creșterea frecvenței  $f_1$  peste valoarea nominală tensiunea se mărește mai puțin

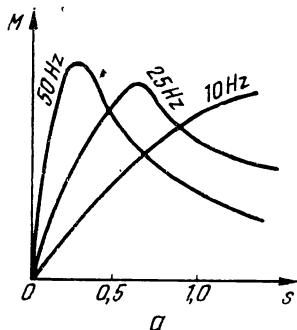


Fig. 3.38. Caracteristicile mecanice pentru  $U_1/f_1 = \text{const.}$  (a) și schema bloc pentru alimentarea motorului asincron la tensiune și frecvență variabilă (b).

decît proporțional cu frecvența sau chiar se menține constantă, pentru a nu depăși nivelul admis al pierderilor în fier și pentru a nu solicita suplimentar izolația, respectiv semiconductoare din instalația de alimentare

Din formula lui Kloss pentru alunecări mici  $s < s_m$  rezultă relația aproximativă:  $M \simeq 2 M_m s/s_m$ . Dacă în expresia cuplului maxim  $M_m$  și a alunecării  $s_m$  se neglijează rezistența  $R_1$ , atunci se obțin relațiile:

$$M_m \simeq k_1 U_1^2/f_1^2; \quad s_m \simeq k_3/f_1 \quad (3.87)$$

și deci  $M = k_4 U_1^2 s/f_1$ , cu condiția suplimentară  $U_1/f_1 = \text{const.}$  rezultă forma de variație a cuplului electromagnetic  $M$  pentru alunecări mici  $M = k_5 f_1 s$ ; panta inițială a caracteristicii cuplului  $M = f(s)$  variază proporțional cu frecvența  $f_1$ .

În figura 3.38,a s-au reprezentat caracteristicile cuplului unui motor asincron normal alimentat cu tensiune și frecvență variabilă ( $U_1/f_1 = \text{const.}$ ), iar în figura 3.38,b este prezentată o schemă bloc pentru alimentarea unui motor asincron la tensiune și frecvență variabilă, invertorul care se utilizează este cu frecvența reglabilă  $IFR$ , alimentarea se face dintr-un redresor comandat  $RC$ . Modificînd concomitent frecvența invertorului și tensiunea redresorului comandat se poate realiza o acționare a motorului asincron cu un raport  $U_1/f_1 = \text{const.}$ , deci cu flux magnetic aproximativ constant.

Din relațiile (3.86) rezultă că la  $U_1/f_1 = \text{const.}$ , cuplul maxim  $M_m$  este constant, însă odată cu scăderea frecvenței crește ponderea rezistenței  $R_1$  care nu mai poate fi neglijată și în consecință cuplul maxim  $M_m$  scade.

Cu relațiile (3.71) se poate face o analiză similară a mărimilor  $M$ ,  $M_m$  și  $s_m$  pentru motorul cu bare înalte.

Metoda de reglare a turației motorului asincron prin variația frecvenței de alimentare necesită investiții mari în instalațiile de alimentare. Actualmente datorită existenței unei game largi de tiristoare cu performanțe din ce în ce mai bune și un cost în continuă scădere, se pot realiza pe o cale relativ simplă și la un cost totuși relativ ridicat surse de alimentare cu tensiune și frecvență continuu reglabile de la care se alimentează motoarele de acționat. Această metodă se impune și prin faptul că are o siguranță în funcționare superioară acționărilor care folosesc motoare de curent continuu.

c) *Modificarea alunecării  $s$ .* Alunecarea se poate modifica prin intermediul tensiunii de alimentare  $U_1$  și prin intermediul sarcinii rotorice. La frec-

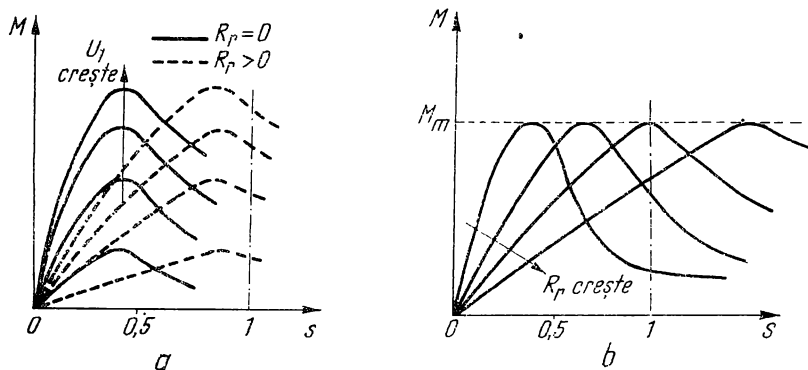


Fig. 3.39. Reglarea turației prin modificarea tensiunii de alimentare  $U_1$  pentru  $R_r = 0$  și  $R_r \neq 0$  (a); reglarea turației prin varierea rezistenței  $R_r$  (b).

vența constantă, alunecarea critică  $s_m$  rămâne constantă, iar cuplul maxim  $M_m$  variază pătratic cu tensiunea de alimentare. Deci conform relației  $M = k_4 U_1^2 s / f_1$ , alunecarea variază invers proporțional cu pătratul tensiunii de alimentare la cuplul de sarcină dat. Tensiunea de alimentare se poate modifica cu ajutorul unui transformator de reglaj sau a unui dispozitiv static.

Dacă rezistența rotorică este mică — adică alunecarea critică  $s_m$  are o valoare mică — variația tensiunii de alimentare nu permite reglarea alunecării decât în limite foarte restrânse; măbind rezistența rotorică prin înserierea unui reostat de reglaj  $R_r$ , se pot obține caracteristici favorabile (fig. 3.39, a). Reglarea vitezei se obține și prin varierea rezistenței  $R_r$  la tensiune de alimentare  $U_1$  dată: în figura 3.39, b sînt indicate caracteristicile cuplului funcție de alunecare pentru această situație. Această metodă de reglare nu este economică, deoarece în rezistențele  $R_r$  se pierde o putere importantă prin efect Joule, mai ales la alunecări mari; în plus este posibilă numai o reglare de viteză subsincronă ( $n_2 < n_1$ ). Rezistențele  $R_r$ , spre deosebire de cele de pornire, fiind în permanență conectate în circuitul rotoric trebuie dimensionate în mod corespunzător, aceste rezistențe sînt voluminoase și greoaie. Reglajul se face în limite restrânse  $n_n \dots 0,5 \cdot n_n$  și de scurtă durată.

Alunecarea  $s$  mai poate fi modificată prin conectarea în circuitul rotoric a unei tensiuni auxiliare. Puterea electrică rotorică se schimbă în acest caz pe la inele cu un circuit a cărui tensiune la borne se poate modifica după voie și care constă din mașini electrice de curent alternativ cu colector sau din instalații statice modificatoare de frecvență. În acest caz, mașina asincronă

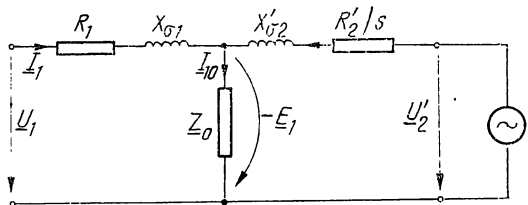


Fig. 3.40. Schema echivalentă în cazul introducerii unei t.e.m. în circuitul rotoric.

poate fi considerată cu dublă alimentare, atât pe stator cît și pe rotor și ecuațiile în regim staționar se prezintă sub forma:

$$\begin{aligned} \underline{U}_1 &= (R_1 + j X_{\sigma 1}) \underline{I}_1 - \underline{E}_1; \\ \underline{U}_2 &= (R_2/s + j X'_{\sigma 2}) \underline{I}_2 - \underline{E}_2; \\ \underline{E}_1 &= \underline{E}_2. \end{aligned} \quad (3.88)$$

În figura 3.40 se prezintă schema echivalentă unde și în

rotor s-a utilizat convenția de semne de la receptor. Toate mărimile rotorige sînt raportate la stator, de exemplu  $\underline{U}'_2 = (\underline{U}_2/s)(w_1 k_{w1}/w_2 k_{w2})$ ,  $\underline{U}_2$  fiind tensiunea sursei. Dacă motorul funcționează la cuplu rezistent constant, de exemplu egal cu cuplul nominal, atunci

$$M = \frac{3 E'_{2s} I'_2 \cos(E'_{2s}, I'_2)}{\Omega_1 - \Omega_2} = \frac{3 s E'_2 \cos(E'_2, I'_2)}{\Omega_1 - \Omega_2} = \frac{3 E_1 I'_2 \cos(E_1, I'_2)}{\Omega_1} = \text{const.} \quad (3.89)$$

Deoarece  $\Omega_1 = \text{const.}$  și  $\underline{E}_1 \simeq -\underline{U}_1 = \text{const.}$  rezultă  $I'_2 \cos(E_1, I'_2) = \text{const.}$  Presupunînd că tensiunea aplicată  $\underline{U}'_2$  este în fază cu t.e.m.  $\underline{E}_1$  și cum alunecarea  $s \ll 1$  rezultă  $s X'_{o2} < R'_2$  și deci  $\cos(E_1, I'_2) = R'_2 / \sqrt{R'^2_2 + s^2 X'^2_{o2}} \simeq 1$ , iar  $I_2 = \text{const.}$

Din ultimele două ecuații (3.88) rezultă:

$$R'_2 I'_2 = U_2 \frac{w_1 k_{w1}}{w_2 k_{w2}} + s E_1 \simeq \text{const.} \quad (3.90)$$

Din relația (3.90) rezultă că variînd tensiunea  $U_2$  ca mărime și menținînd-o în fază sau în opoziție cu  $E_1$  se obține o modificare a alunecării la cuplu constant. Tensiunea  $U_2$  trebuie să fie de frecvență  $f_2 = s f_1$  la orice alunecare  $s$  a motorului.

Dezvoltarea mutatoarelor statice de putere a permis înlocuirea mașinilor electrice — convertizoare în obținerea tensiunii  $U_2$ .

d) *Montajul în cascadă a motoarelor asincrone* permite reglarea vitezei în trepte. Două sau mai multe mașini asincrone sînt cuplate în cascadă cînd există un cuplaj mecanic între arborii lor și una din mașini este alimentată de la indusul mașinii precedente. O schemă în cascadă a două mașini de inducție este prezentată în figura 3.41, în care mașina I cu  $2p'$  poli este cuplată, prin intermediul unui reductor de turație, cu mașina II cu  $2p''$  poli. Dacă  $f_1$  este frecvența de alimentare,  $n'_1$  și  $n'_1$  vitezele de sincronism ale motoarelor I respectiv II, iar  $n_s$  este viteza de sincronism a cascadei, atunci se pot scrie relațiile:

$$n'_1 = f_1/p'; f_2 = (n'_1 - n_s)p'; n'_1 = f_2/p'' = (n'_1 - n_s)p'/p''. \quad (3.91)$$

Dacă  $\gamma$  este raportul de transmisie al reductorului, atunci turația rotorului motorului II este  $n'_2 = \gamma n'_1$ , iar alunecarea motorului II este  $s'' = (n'_1 - \gamma n'_2)/n'_1$ , după înlocuirea turației  $n'_1$  dată de (3.91) se obține:

$$s'' = \frac{f_1 - (p' + p''\gamma)n_s}{f_1 - p'n_s}; \quad (n_s \simeq n_2). \quad (3.92)$$

Turația de sincronism a cascadei are loc la  $s'' = 0$ , deci  $n_s = f_1/(p' + p''\gamma)$ . Cu aceste mașini cuplate în cascadă se obțin turațiile de sincronism  $n'_1$ ,  $n'_1$  și  $n_s$  după cum se lucrează numai cu mașina I, numai cu mașina II sau cu ambele mașini. Repartiția puterilor la arbore între cele două motoare se determină pe baza relațiilor stabilite la bilanțul puterilor motorului asincron. La turația de sincronism a cascadei  $n_s$ , mașina I funcționează cu alunecarea  $s' = (n_1 - n_s)/n_1 = \gamma p''/(p' + \gamma p'')$  și ab-

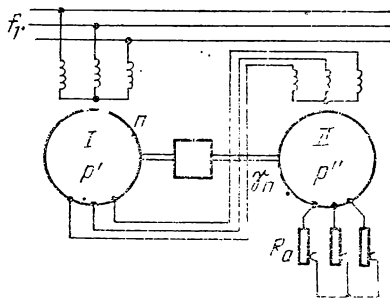


Fig. 3.41. Schema în cascadă a două mașini asincrone.



soarbe de la rețea puterea  $P'_1$ , transmitând rotorului puterea electromagnetică  $P'$  la care corespunde puterea mecanică  $P'_M = P'(1 - s') = p'P'/(p' + \gamma p'')$ . Mașina II primește puterea electrică  $P'_1' \simeq P's' = \gamma p''P'/(p' + \gamma p'')$ , în ultima relație s-au neglijat pierderile în rezistența rotorică a mașinii I. Puterea  $P'_1'$  este transformată în putere mecanică în mașina II, iar o parte acoperă pierderile corespunzătoare.

Raportul  $P'_M/P'_1' = p'/\gamma p''$  arată că puterea luată de la rețea se repartizează pe cele două mașini proporțional cu numărul de poli și deci mașinile trebuie dimensionate pentru aceste puteri.

Schema în cascadă, comparativ cu o singură mașină, are un curent de mers în gol mai mare, factor de putere și randament mai mici pentru că absoarbe de la rețea puterea reactivă necesară magnetizării tuturor mașinilor; cuplul maxim al cascadei este mai mic decât al unei singure mașini.

e) *Cuplarea a două motoare asincrone.* Dacă două motoare asincrone cuplate mecanic între ele sînt alimentate astfel încît cîmpurile magnetice învîrtitoare au viteze opuse, atunci una dintre mașini funcționează în regim de motor, iar cealaltă în regim de frînă. Una dintre cele două mașini se alimentează de la un autotransformator reglabil, ca în figura 3.42, a. Pentru a obține funcționarea stabilă în tot domeniul, alunecarea  $s_m \geq 1$ . În raport cu valoarea tensiunii motorului alimentat de la autotransformator se obțin diferite caracteristici  $n = f(M)$ , reprezentate în figura 3.42, c, în care cu 0 este notată caracteristica motorului I pentru tensiunea nulă la secundarul autotransformatorului AT, iar cu 1, 2, ... caracteristicile obținute din însumarea caracteristicii 0 cu caracteristicile 1', 2' ... ale motorului II pentru diferite tensiuni la secundarul autotransformatorului. Un rezultat similar se obține dacă o mașină polifazătă se alimentează cu un sistem nesimetric de tensiuni așa cum indică în figura 3.42, b. La fel în circuitul rotoric se conectează un reostat pentru a mări alunecarea critică. O alimentare cu nesimetrie reglabilă se poate obține dacă între două faze ale rețelei se conectează un autotransformator monofazat reglabil și una din fazele mașinii se conectează la cursorul autotransformatorului.

f) *Motoare asincrone cu două rotoare.* Pentru a obține mai multe trepte de viteze printre care unele mai mari de 3 000 rot/min la  $f_1 = 50$  Hz, se dispune între statorul și rotorul unei mașini asincrone obișnuite, încă un rotor intermediar care poartă la periferia lui interioară și exterioară cîte o înfășurare polifazătă. Astfel de construcții sînt reprezentate în figura 3.43.

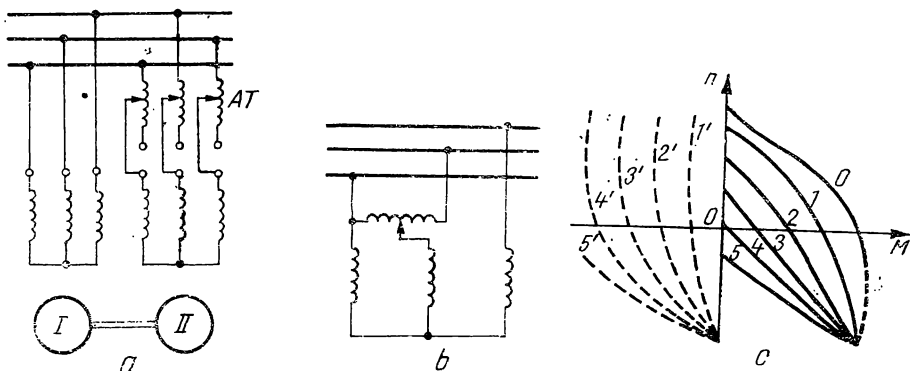


Fig. 3.42. Modificarea turației prin metoda conectării a două motoare:

a — schema de conectare; b — alimentarea cu tensiuni dezechilibrate; c — caracteristicile mecanice.

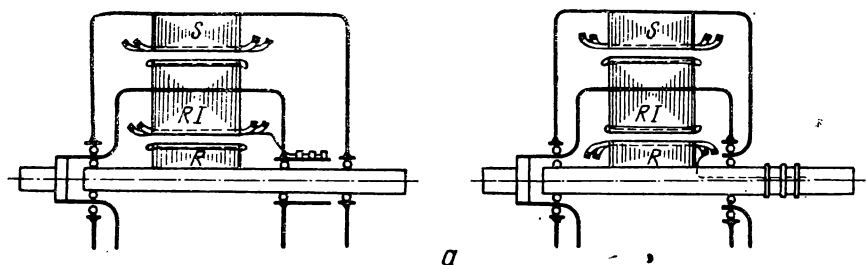
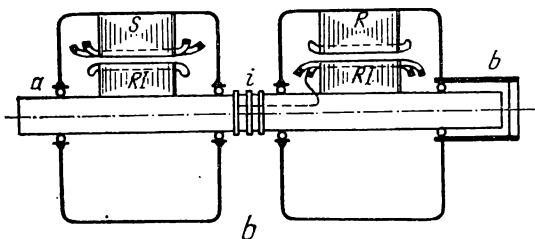


Fig. 3.43. Motor asincron cu două rotoare intermediare așezate suprapus (în două variante: cu înfășurarea interioară a rotorului RI alimentată și cu înfășurarea rotorului R alimentată) (a); motor asincron cu două rotoare dispuse alăturat (tandem) (b).



Rotorul intermediar  $RI$  se poate roti pe lagăre atât față de statorul  $S$ , cât și față de rotorul  $R$ . Statorul  $S$  are o înfășurare polifazătă care se alimentează de la rețea, iar rotorul  $RI$  are la exterior o înfășurare în colivie. O altă înfășurare polifazătă alimentată de la o rețea prin intermediul inelelor, trebuie să fie plasată pe rotorul  $R$  sau către periferia interioară a rotorului  $RI$ .

Dacă înfășurarea polifazătă a statorului  $S$  este alimentată de la rețea atunci la mersul în gol ideal  $RI$  se rotește cu viteza de sincronism  $n'_1$ , iar dacă înfășurarea interioară a rotorului  $RI$  este alimentată (fig. 3.43, a) atunci la mersul în gol ideal rotorul  $R$  are viteza de sincronism  $n''_1$ . După cum cîmpurile învîrtitoare produse de cele două înfășurări se rotesc în același sens sau în sensuri opuse la mersul în gol ideal rotorul  $R$  capătă viteza:

$$n_s = n'_1 \pm n''_1 = (1/p' \pm 1/p'') f_1 \quad (3.93)$$

În sarcină rotorul  $R$  va avea alunecarea  $s$  în raport cu turația  $n_0$  dată de relația:

$$s = 1 - \left[ (1 - s') \frac{n'_1}{n_s} \pm (1 - s'') \frac{n''_1}{n_s} \right] = \frac{s' p'' \pm s'' p'}{p'' \pm p'}. \quad (3.94)$$

Există posibilitatea să se obțină vitezele  $n'_1$ ,  $n''_1$  și cele două valori pentru  $n_s$ , adică patru turații.

O variantă a motorului cu rotor intermediar se obține dispunînd cele două rotoare intermediare nu suprapus ci alăturat (fig. 3.43, b). În acest caz ambele părți ale rotorului  $RI$  sînt așezate alăturat pe același arbore, iar rotorul  $R$  devine exterior. Această construcție este cunoscută sub numele de motor tandem.

Alegerea uneia sau alteia din cele două forme constructive depinde de preferința față de o lungime mai mică sau un diametru exterior mai mic.

Motorul cu două rotoare poate fi astfel conceput încît să fie suprimate inelele de contact (fig. 3.44). Statoarele  $S_1$  și  $S_2$  sînt alimentate de la rețeaua de 50 Hz. Rotorul intermediar este format din părțile  $RI_1$ ,  $RI_2$  și  $RI_3$ , iar rotorul este  $R$ .

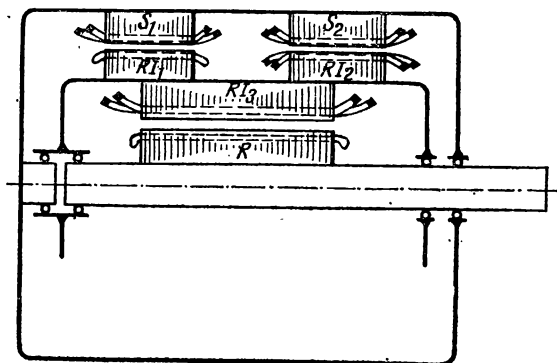


Fig. 3.44. Motor asincron cu două rotoare fără inale de contact.

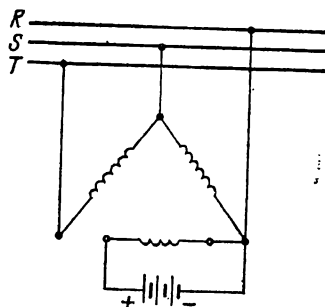


Fig. 3.45. Reglarea vitezei prin injectarea unui curent continuu în stator.

Turația rotorului intermediar este  $n'_2 = n'_1(1 - s')$ ,  $n'_1$  fiind viteza de sincronism a câmpului magnetic învîrtitor dat de statorul  $S_1$ . Viteza de sincronism a câmpului magnetic învîrtitor dat  $S_2$  este  $\pm n'_1$  în raport cu viteza  $n'_1$ ; + cînd cele două câmpuri au același sens de rotație și — cînd au sensuri opuse de rotație.

Cîmpul magnetic învîrtitor al statorului  $S_2$  induce în înfășurarea rotorului  $RI_2$  t.e.m. de frecvență:

$$f_2 = s'' f_1 = \frac{\pm n'_1 - n'_2}{\pm n'_1} f_1 = \frac{n'_1 \mp n'_1(1 - s')}{n'_1} f_1. \quad (3.95)$$

Înfășurarea rotorului  $RI_2$  alimentează înfășurarea rotorului  $RI_3$  care produce un câmp magnetic învîrtitor cu turația de sincronism  $n_1''' = f_2/p'''$ . În acest caz rotorul  $R$  poate avea față de stator turația:

$$n_2 = n'_2 \mp n_1'''(1 - s''') = \left[ (1 - s')/p' \mp \frac{p' \mp p''(1 - s')}{p' p''} (1 - s''') \right] f_1 \quad (3.96)$$

considerînd  $s', s''' \ll 1$  rezultă:

$$n_2 \simeq [p''' \mp (p' \mp p'')] f_1 / p' p'''. \quad (3.97)$$

Semnul  $\mp$  din fața parantezei mici depinde de sensurile câmpurilor magnetice învîrtitoare produse de înfășurările de pe  $S_1$  și de pe  $RI_3$ , iar semnul  $\mp$  din paranteză depinde de sensurile de rotație ale câmpurilor produse de  $S_1$  și  $S_2$ .

La acest tip de motor cînd sînt aceleași sensuri magnetice la toate câmpurile, se pot obține turații și peste 6000 rot/min.

g) *Reglarea vitezei prin injectarea unui curent continuu* într-o fază a statorului se realizează desfăcînd o legătură a conexiunii în triunghi a statorului și una din fazele desfăcute se alimentează de la o sursă de curent continuu așa cum se arată în figura 3.45. În acest caz apare un cuplu de frînare care scăzîndu-se din cuplul electromagnetic motor se mărește panta și crește alunecarea la același cuplu rezistent. Variînd curentul continuu se pot obține diferite turații la același cuplu.

h) *Reglarea turației prin cuplă electromagnetică.* Motorul asincron se cuplează cu un inductor format dintr-o coroană polară (roată polară), ca la mașina sincronă, iar mașina antrenată se cuplează cu un indus cu o înfășurare în colivie, ca la motoarele asincrone. Indusul și inductorul sînt concentrice ca armăturile oricărei mașini electrice și formează o cuplă electromagnetică. Alimentînd înfășurarea inductorului în curent continuu, prin acest ansamblu se poate transmite un cuplu cînd există o alunecare între cele două părți. Variînd curentul continuu, la același cuplu transmis se modifică alunecarea și deci turația.

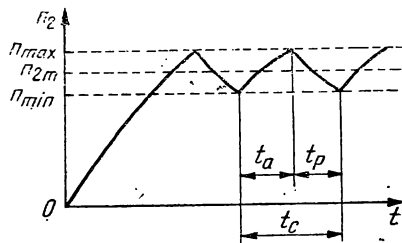


Fig. 3.46. Reglarea turației prin impulsuri.

i) *Reglarea turației prin impulsuri* se realizează prin conectarea intermitentă la rețea a unui motor, rămînînd conectat un interval de timp  $t_a$  și deconectat un interval de timp  $t_p$ . În timpul de acționare  $t_a$ , turația crește, iar în timpul deconectării  $t_p$ , turația motorului scade (fig. 3.46). Timpul  $t_c = t_a + t_p$  se numește durata unui ciclu; raportul  $\epsilon = t_a/t_c$  se numește *durata relativă a impulsului*. Viteza necesară rezultă sub forma vitezei medii în timpul unui ciclu  $n_{2m} = (n_{max} + n_{min})/2$ . Valoarea vitezei medii se poate regla prin modificarea raportului dintre durata de accelerare și durata de încetinire a vitezei motorului, respectiv a raportului  $\epsilon$ . Abaterea de la viteza medie  $\Delta n_2 = n_{max} - n_{2m} = n_{2m} - n_{min}$  este mică la motoarele cu moment de inerție mare, pentru ca  $\Delta n_2$  să fie mic, frecvența ciclului trebuie aleasă în mod corespunzător.

O altă variantă a acestei metode se aplică la motorul asincron cu rotorul bobinat; motorul este conectat permanent la rețea, iar circuitul rotoric este periodic închis (timpul  $t_a$ ) și deschis (timpul  $t_p$ ), prin modificarea raportului  $\epsilon$  se reglează viteza.

### 3.16. FRINAREA ȘI INVERSAREA SENSULUI DE ROTAȚIE LA MOTOARELE ASINCRONE TRIFAZATE

Mașina asincronă se caracterizează prin posibilități multiple de frînare electrică. Acest regim apare în practică cînd se urmărește oprirea într-un timp scurt a motorului.

*Frînarea prin contracurent.* Acesta este regimul de frînă pentru care  $s > 1$ . Presupunem că mașina funcționează în regim de motor, turația rotorului are același sens ca și turația cîmpului magnetic învîrtitor, și la un moment dat se schimbă două faze între ele, prin aceasta se schimbă sensul de rotație al cîmpului magnetic învîrtitor. În această situație, rotorul se rotește în sens opus sensului turației cîmpului magnetic învîrtitor. Cuplul dezvoltat de motor fiind decelerator, micșorează viteza pînă la zero; dacă mașina continuă să rămînă conectată la rețea atunci rotorul se rotește în sens invers celui inițial ajungînd iarăși în regim de motor. Frînarea contracurent este o frînare puternică și conduce la oprirea rapidă a motorului. Dacă se urmărește numai o oprire rapidă a motorului, atunci în momentul opririi rotorului trebuie dată co-

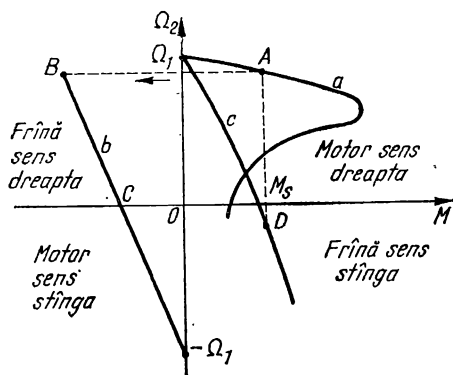


Fig. 3.47. Caracteristicile mecanice în regim de frână propriu-zis cu menținerea sensului de rotație și inversarea succesiunii fazelor.

$R_s$  în fazele rotorice. Punctul de funcționare trece brusc de pe curba  $a$  în punctul  $B$  de pe curba  $b$ , noua caracteristică mecanică, la aceeași viteză de rotație la care se rotește motorul în momentul inversării succesiunii fazelor. Cuplul electromagnetic se opune mișcării și motorul frânează pînă în punctul  $C$  ( $n_2 = 0$ ). Dacă mașina rămîne conectată la rețea atunci trece în regim de motor cu alt sens de rotație.

Această metodă de frînare este simplă și potrivită pentru oprirea rapidă a motorului. O altă situație a regimului de frână se întâlnește în cazul cînd motorul asincron acționează o macara care ridică o greutate  $G$  sau acționează o locomotivă care urcă o pantă. În aceste cazuri motorul funcționează la cuplu constant. Presupunem că motorul funcționează stabil în punctul  $A$  (fig. 3.47) la cuplu constant. Pentru a coborî greutatea sau a permite trenului să coboare panta, deci pentru a inversa sensul de rotație al mașinii asincrone față de regimul de motor, se conectează în circuitul rotoric o rezistență  $R_s$  avînd o astfel de valoare încît să obținem o nouă caracteristică mecanică (notată  $c$ ) cu punctul de funcționare  $D$  în zona vitezelor negative. Variindu-se rezistența  $R_s$  se poate modifica viteza de coborîre a greutății sau a trenului și mașina funcționează în regim de frînă; în această situație mașina funcționează neeconomic și obținerea unei viteze bine determinată este dificilă (la sarcini mari viteza crește mult, punctul  $D$  este instabil din cauza micilor variații ale rezistenței  $R_s$ ).

*Frînarea suprasincronă* are loc pentru  $s < 0$ , adică  $n_1 < n_2$ . Mașina funcționează în regim de generator. Are loc o frînare a instalației antrenate, cazul unei instalații de ridicat. Atît timp cît greutatea este ridicată, mașina funcționează în regim de motor (punctul  $A$ , fig. 3.47). Pentru coborîre se schimbă sensul turației. În intervalul de timp în care greutatea este accelerată la coborîre, mașina funcționează ca motor pînă la viteza de sincronism  $n_1$ . Cuplul motorului accelerează căderea greutății. Datorită cuplului determinat de greutate viteza crește peste cea sincronă și cuplul electromagnetic schimbă de semn, devine un cuplu de frînare. Se stabilește un punct de funcționare pe caracteristica  $n_2 = f(M)$  corespunzătoare regimului de generator, determinat de cuplul dat de greutate. Energia mecanică este transformată în energie electrică și trecută rețelei de alimentare, are loc o frînare prin recuperare ceea ce face ca metoda să fie economică.

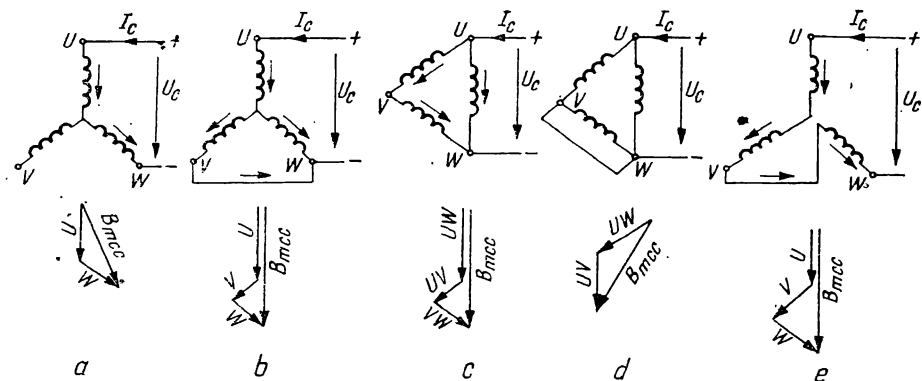


Fig. 3.48. Diferite scheme de alimentare în c.c. a fazelor statorului motorului asincron trifazat, pentru frînarea dinamică.

Un dezavantaj al acestei metode este că frînarea nu poate avea loc decât la viteze mai mari decât cea sincronă.

**Frînarea dinamică.** Dacă un motor în mers se deconectează de la rețeaua de curent alternativ și se alimentează înfășurarea statorică de la o sursă de curent continuu, atunci mașina devine un generator sincron cu inductorul fix a cărui înfășurare indusă este scurtcircuitată sau conectată la un rezistor. Curentul continuu, parcurgînd fazele statorice, produce în întregul un câmp magnetic fix, alternativ în spațiu și constant în timp. În raport cu sistemul de referință fix față de rotor, câmpul magnetic creat este învîrtitor și induce în fazele rotorului t.e.m. care vor produce în circuitul rotoric curenți alternativi. Se produce un cuplu electromagnetic care se opune mișcării; în rezistențele rotorice se va consuma prin efect Joule întreaga energie cinetică acumulată de masele în mișcare ale instalației și motorul se va opri.

Schemele posibile de conectare ale înfășurărilor de fază la sursa de curent continuu sînt prezentate în figura 3.48. Valoarea curentului continuu  $I_c$  se determină din condiția ca amplitudinea câmpului magnetic învîrtitor din regimul de motor să fie egală cu amplitudinea câmpului magnetic produs de curentul continuu (amplitudinile se referă la fundamentală). Tensiunea continuă  $U_c$  necesară producerii curentului  $I_c$  se determină cu relația  $U_c = R_{ec} I_c$  (tabelul 3.5), unde  $R_{ec}$  este rezistența echivalentă față de bornele (+) și (—). În timpul procesului de frînare frecvența tensiunii rotorice

TABELUL 3.5. Curentul  $I_c$  și tensiunea  $U_c$  pentru schemele de frînare din fig. 3.48.

Schema	a	b	c	d	e
$I_c$	$\sqrt{\frac{3}{2}} I_n$	$\sqrt{2} I_n$	$\frac{3}{\sqrt{2}} I_n$	$\sqrt{6} I_n$	$\frac{3}{2\sqrt{2}} I_n$
$U_c$	$\sqrt{3} R_1 I_n$	$\frac{3}{\sqrt{2}} R_1 I_n$	$\sqrt{2} R_1 I_n$	$\sqrt{\frac{3}{2}} R_1 I_n$	$\frac{9}{2\sqrt{2}} R_1 I_n$

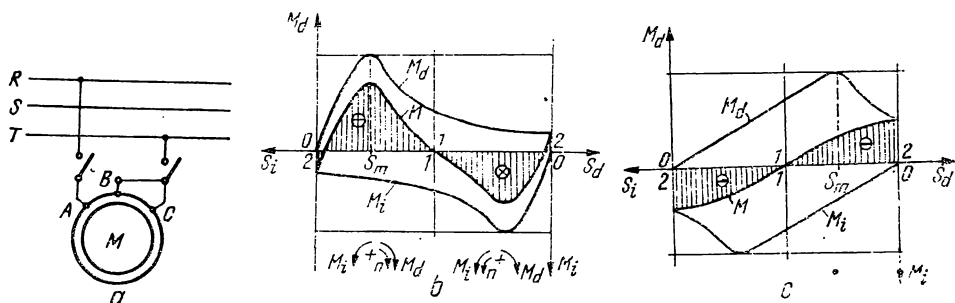


Fig. 3.49. Conectarea la rețea penru frinare prin alimentare nesimetrică (a); cuplurile pentru  $s_m < 1$  (b); cuplurile pentru  $s_m > 1$  (c).

scade treptat pînă la oprirea motorului. Valoarea curentului continuu din oricare din înfășurările statorice nu trebuie să depășească  $1,3 I_{1n}$ .

*Frînarea prin conectare monofazăată* se realizează la un motor trifazat dacă în timpul mersului se deconectează o fază și motorul este conectat la rețea ca în figura 3.49, a. În figura 3.49, b sînt reprezentate cuplul direct  $M_d$ , cuplul invers  $M_i$  și cuplul rezultat  $M$  pentru alunecarea critică  $s_m < 1$ , iar în figura 3.49, c aceleași cupluri pentru  $s_m > 1$ .

După cum se constată, cuplul rezultat  $M$  este cuplul de frinare numai dacă alunecarea critică  $s_m$  este mai mare decît unitatea. Din această cauză prin conectarea nesimetrică a mașinii asincrone, pentru a obține cupluri de frinare, este necesar să fie introduse rezistențe suplimentare în circuitul rotorului, care să determine alunecări critice  $s_m > 1$ . În acest caz cuplul rezultat  $M$  are în permanență sensul contrar cuplului motor. Dezavantajul acestei frînări constă în aceea că mașina dezvoltă cupluri relativ mici în raport cu regimul de motor.

*Frînarea cu un motor conectat invers.* Se utilizează două motoare identice, cuplate mecanic pe același arbore, alimentate de la aceeași rețea, dar cu circuitele rotorice separate. La ridicarea sarcinii ambele mașini funcționează în regim de motor cu cuplurile de același sens. La coborîre se schimbă alimentarea mașinilor, astfel încît cuplurile lor au sensuri opuse. Prin potrivirea rezistențelor rotorice ale celor două mașini se pot obține diferite caracteristici  $n_2 = f(M)$ . Metoda este costisitoare deoarece necesită două mașini. Se utilizează acolo unde este necesar să se obțină o variație sigură a turației și unde este necesar să se coboare sarcinile la viteze mici.

*Frînarea cu motor cu rotor tronconic.* Rotorul are o formă tronconică din care cauză întrefierul depinde de poziția axială a rotorului față de stator. Rotorul poate aluneca axial. Cînd motorul este conectat la rețea, datorită formei tronconice a rotorului, apare o forță axială care deplasează rotorul contrar forței dezvoltate de arcul  $F_1$  în spre diametrul mic (fig. 3.50). Discul de frinare  $B$  este fixat de ax și deci frîna nu acționează cînd motorul este alimentat (discul mobil se depărtează de discul fix). La deconectarea motorului de la rețea forța magnetică axială dispăre, arcul  $F$  deplasează rotorul spre diametrul mare și discul mobil al frînei apasă pe discul fix producînd frînarea. Cuplul de frinare este funcție de forța de presare a arcului și este egal cu  $(1,5 \div 2,4)M_n$ . Astfel de motoare se construiesc pentru puteri de pînă la 50 kW. Se utilizează și frîne plate dar cuplul de

frinare al acestora este numai  $1/4$  din cel al frinelor conice.

*Inverșarea sensului de rotație* la motoarele asincrone trifazate se produce cînd se schimbă sensul de rotație al cîmpului magnetic învîrtitor. În acest sens trebuie inversate două dintre fazele de alimentare ale statorului, prin aceasta se schimbă succesiunea fazelor și deci sensul vitezei cîmpului magnetic învîrtitor. Mai întîi are loc o frinare contracurent, după care urmează schimbarea sensului de rotație. În cazul rotorului bobinat în timpul inversării sensului de rotație se măresc rezistențele rotorice. În cazul motoarelor cu rotorul în scurtcircuit schimbarea fazelor de alimentare este permisă numai în cazul unor motoare de construcție specială, sau dacă în prealabil se realizează frinarea pe o altă cale și se prevăd mijloace de pornire obișnuite pentru motorul în cauză.

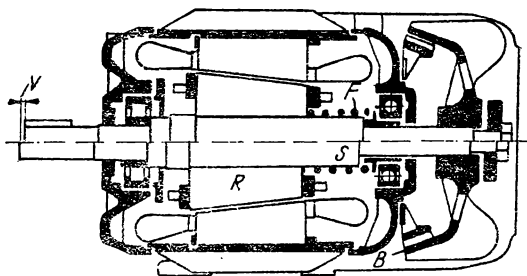


Fig. 3.50. Frinarea motorului asincron cu rotor tronconic.

### 3.17. GENERATORUL ASINCRON

Dacă mașina asincronă are alunecarea  $s < 0$ , atunci funcționează în regim de generator. Așa cum rezultă și din diagrama cercului (fig. 3.15) mașina absoarbe putere reactivă de la rețea și debitează în rețea putere activă. Oricare ar fi furația mașinii, frecvența curenților din stator este cea a rețelei.

Ecuatiile generatorului asincron sînt cele din cazul motorului cu precizarea că tensiunea  $U_1$  se înlocuiește cu  $-\underline{U}_1$ , aceasta corespunde asocierii sensurilor după regula de la generatoare, iar unghiul  $\varphi_1 > \frac{\pi}{2}$ .

Generatorul asincron poate funcționa pe rețea proprie dacă se conectează o baterie de condensatoare care să furnizeze putere reactivă necesară

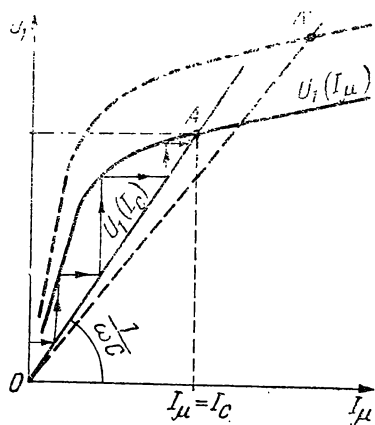


Fig. 3.51. Autoexcitarea generatorului asincron.

pentru aceasta. În acest caz generatorul asincron este potrivit pentru centrale mici, hidroelectrice, cînd mașina poate fi cu rotor în colivie. Fluxul remanent al miezului rotoric amorsează procesul de autoexcitație al generatorului: prin antrenarea rotorului la viteză oarecare  $\Omega_2$  se induce t.e.m. în înfășurarea statorică, care fiind închisă pe bateria de condensatoare este parcursă de un curent statoric. Acest curent produce un cîmp magnetic care se adună la cîmpul magnetic remanent și conduce la o creștere a t.e.m. care determină o creștere a curentului și procesul se repetă pînă în punctul A (fig. 3.51). Dacă mașina nu are cîmp remanent atunci se alimentează pentru scurt timp de la o sursă [de energie electrică.



Condiția de autoexcitare a generatorului cu condensatoare constă în egalitatea dintre curentul de magnetizare al mașinii  $I_\mu$  și curentul  $I_c$  care parcure capacitatea  $C$ . La mersul în gol se pot scrie relațiile:

$$\underline{U}_1 = (\underline{Z}_1 + \underline{Z}_0)I_1 \simeq j(X_{o1} + X_\mu) \underline{I}_\mu; \underline{U}_1 = -j \frac{1}{\omega C} \underline{I}_c. \quad (3.98)$$

$$\text{Din } \underline{I}_c = -\underline{I}_\mu \text{ rezultă } X_{o1} + X_\mu = \frac{1}{\omega C}; \text{ însă } X_{1\sigma} = \omega L_{1\sigma}, X_\mu = \omega L_\mu,$$

deci

$$\omega = \frac{1}{\sqrt{C(L_{1\sigma} + L_\mu)}}. \quad (3.99)$$

Inductivitatea de magnetizare  $L_\mu$  depinde de curentul  $I_\mu$ , tensiunea la bornele condensatorului variază după o dreaptă care trece prin origine. Tensiunea  $U_1$  și curentul  $I_\mu$  trebuie să aibă astfel de valori încît să satisfacă simultan relațiile (3.98), adică corespund punctului de intersecție între dreaptă și caracteristica de magnetizare  $U_1 = f(I_\mu)$ . Dacă variază capacitatea se schimbă poziția dreptei și prin urmare frecvența  $\omega$ .

Dacă mașina ar avea o caracteristică lineară autoexcitarea nu ar fi posibilă. Capacitatea  $C$  trebuie să fie mai mare decît capacitatea critică  $C_c$  care corespunde dreptei tangente la caracteristica de magnetizare. Condensatoarele se conectează de obicei între faze. Curbele care reprezintă variația tensiunii  $U_1$  și a alunecării  $s$  în funcție de puterea  $P_2$  transmisă consumatorului pentru diferite valori ale factorului de putere  $\cos \varphi$ , sînt reprezentate în figura 3.52. Există o valoare a puterii  $P_2$  pentru care mașina se desprinde și care corespunde cuplului electromagnetic maxim  $M_m$ . Obișnuit, puterea care se poate obține cu un generator asincron autoexcitat este de ordinul 30...50% din cea corespunzătoare regimului de motor.

Creșterea turației mașinii deplasează caracteristica  $U_1 = f(I_\mu)$  deasupra celei corespunzătoare unei turații mai mici și scade înclinarea dreptei  $U_1 = f(I_c)$  față de abscisă și ca urmare tensiunea la borne dată de punctul de intersecție  $A'$ , crește (curbele reprezentate întrerupt în fig. 3.51). Tot

un efect de creștere a tensiunii se obține prin creșterea capacității  $C$  la turație constantă.

Se poate îmbunătăți utilizarea generatorului asincron, dacă în paralel cu bateria de condensatoare se conectează bobine cu miez de fier cu caracteristică dreptunghiulară. Rolul acestora este de a lua o putere reactivă mare cînd rețeaua se descarcă reactiv și neglijabilă cînd rețeaua se încarcă ca urmare a variației tensiunii la borne, aceasta conduce la menținerea tensiunii la borne în limitele  $\pm 3\%$  față de tensiunea nominală.

La mașinile cu inele de contact, în locul condensatoarelor se

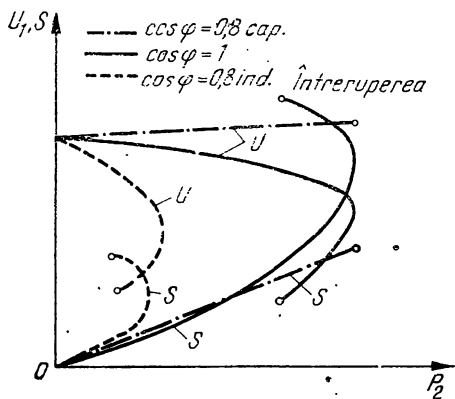


Fig. 3.52. Curbele de sarcină ale unui generator asincron.

poate utiliza o mașină auxiliară de curent alternativ cu colector care îndeplinește același rol.

Generatoarele asincrone au dezavantajul că înrăutățesc factorul de putere dacă nu sînt utilizate condensatoare sau mașini auxiliare pentru autoexcitare, însă împreună cu acestea din urmă devin mai costisitoare decît generatoarele sincrone obișnuite.

### 3.18. ÎNCERCĂRILE MOTOARELOR ASINCRONE TRIFAZATE

Încercările motorului asincron au drept scop de a deduce din rezultatele obținute caracteristicile de funcționare în sarcină ale motorului asincron. Încercarea directă în sarcină este dificil de realizat mai ales la motoarele de mare putere, deoarece intervine un consum important de energie. Problema care se pune este de a găsi regimuri de funcționare la care consumul de putere să fie mic și din rezultatele obținute să se poată deduce caracteristicile de funcționare.

Încercarea de mers în gol și încercarea de scurtcircuit îndeplinesc condițiile de mai sus: la mașina cu rotor bobinat se măsoară rezistențele și raportul de transformare  $k$  determinat pentru rotorul imobil și circuitul rotorului deschis, la mașinile cu rotorul în scurtcircuit se măsoară numai  $R_1$ . Încercările mașinii asincrone se fac în conformitate cu STAS 7246/1...10—74.

a) *Încercarea de mers în gol* se realizează pe baza schemei electrice din figura 3.53. Tensiunea de alimentare a mașinii se aduce la valoarea nominală  $U_{1n}$  cu ajutorul regulatorului de tensiune  $RT$  (autotransformator trifazat sau regulator de inducție). Mașina funcționează ca motor, iar rotorul se învîrtește liber, nefiind cuplat cu nici o instalație de sarcină. La această încercare se măsoară curentul de mers în gol  $I_{1g}$  și puterea de mers în gol  $P_{1g}$ . Întrucît puterea mecanică utilă  $P_2$  dezvoltată de motor în acest regim este nulă, motorul dezvoltă un cuplu electromagnetic foarte mic, egal cu cuplul de pierderi mecanice. Deci alunecarea este foarte mică și se poate considera  $s \simeq 0$ , adică rotorul are turația foarte apropiată de viteza de sincronism. Acest regim este foarte apropiat de mersul în gol ideal ( $s = 0$ ) și  $I_{1g} \simeq I_0$ . Curentul de mers în gol relativ variază cu puterea mașinii și este  $I_{1g}/I_{1n} = (0,2...0,35)$ , mai mic la mașinile de putere mare și mai mare la mașinile de putere mai mică. La micromașini  $I_{1g}$  poate depăși 60% din  $I_{1n}$ . Este mai mare decît la transformator datorită prezenței întrefierului. Curentul de mers în gol crește cu numărul perechilor de poli.

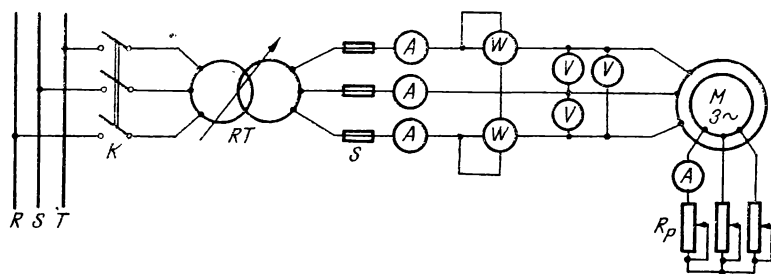


Fig. 3.53. Schema electrică la încercarea de mers în gol a motorului asincron.

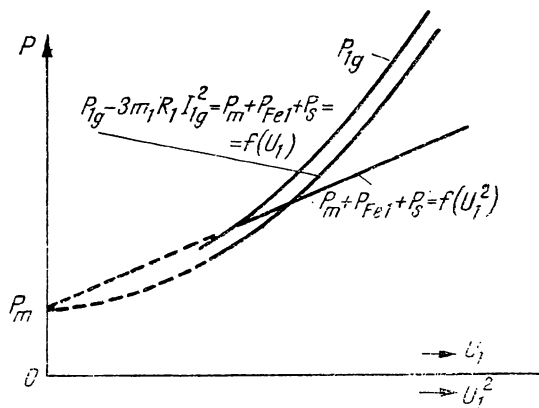


Fig. 3.54. Caracteristicile pierderilor la mersul în gol.

mici în comparație cu pierderile în înfășurări la curentul nominal. Prin urmare se poate scrie:

$$P_{1g} = P_m + P_s + P_{Fe1} + 3 I_{1g}^2 R_1; (P_2 = 0). \quad (3.100)$$

Pierderile mecanice  $P_m$  sînt independente de tensiunea de alimentare, iar pierderile  $P_{Fe1} + P_s$  variază aproape proporțional cu  $U_1^2$ . Pentru determinarea pierderilor mecanice  $P_m$  se trasează curba pierderilor  $P_m + P_{Fe1} + P_s = P_{1g} - m_1 R_1 I_{1g}^2 = f(U_1^2)$ , prin prelungirea acestei curbe (aproximativ o dreaptă) pînă întîlnește axa ordonatelor, rezultă  $P_m$  (fig. 3.54). Se construiește pe diagrama cercului (fig. 3.15) punctul  $A_g$  corespunzător fazorului  $I_{1g}$ . Se duce o verticală prin  $A_g$  și se ia la scara curenților segmentul  $A_g A_0 = P_m / m_1 U_1$  se determină în acest mod punctul  $A_0$  ( $s = 0$ ). Regimul de rotație sincronă ( $s = 0$ ) se poate realiza numai prin antrenarea cu un motor oarecare a mașinii asincrone de încercat.

b) *Încercarea de scurtcircuit* se realizează cu aceeași schemă de principiu ca și încercarea de mers în gol. În acest regim se pune regulatorul  $RT$  pe poziția de tensiune zero, iar rotorul este calat (fixat), adică  $s = 1$ . Dacă s-ar aplica tensiunea nominală pe fază curentul absorbit  $I_{kn}$  ar fi mare, de obicei  $I_{kn} = (5...7) I_{1n}$ . Pentru a nu periclita mașina se aplică o tensiune variabilă de la o valoare zero pînă la o valoare  $U_{kn}$  pentru care curentul absorbit este egal cu curentul nominal. Încercarea la scurtcircuit se face cu tensiuni  $U_{1k} = (0,15...0,25) U_{1n}$ . Se măsoară curentul  $I_k$ , puterea absorbită  $P_k$  și tensiunea aplicată  $U_k$  și se calculează parametrii de scurtcircuit  $Z_k$ ,  $R_k$  și  $X_k$ . Se fac măsurători pînă la un curent absorbit de ordinul  $(2...2,5) I_{1n}$ , cînd parametrii mașinii se stabilizează. Valorile parametrilor și forma caracteristicii  $I_k = f(U_k)$  depind de forma creștăturilor (fig. 3.55). La creștături deschise în stator și în rotor fluxurile de dispersii saturează slab dinții armăturilor și reactanța  $X_k$  variază în limite restrînse. Pentru creștăturile statorice de formă semiînchisă, istmurile creștăturilor se saturează cu atît mai mult cu cît tensiunea crește și reactanța  $X_k$  scade sensibil cu creșterea tensiunii.

Caracteristica de scurtcircuit  $I_k = f(U_k)$ , pentru curenți mai mari ca  $I_{1n}$ , tinde către o dreaptă. Dacă se ridică curba pînă la  $2 I_{1n}$  și se extrapolează partea lineară pînă la  $U_{1n}$  se determină curentul nominal de scurtcircuit  $I_{kn}$ .

Factorul de putere la mersul în gol se calculează cu relația  $\cos \varphi_{1g} = P_{1g} / 3 U_{1n} I_{1g}$  și este de ordinul 0,1 ... 0,2, deci valoarea curentului se confundă practic cu valoarea componentei sale reactive.

Puterea absorbită de la rețea  $P_{1g}$  acoperă pierderile în fier statorice  $P_{Fe1}$ , pierderile mecanice  $P_m$ , pierderile suplimentare  $P_s$  și pierderile Joule în înfășurările statorului  $P_{J1}$  (curentul din rotor este neglijabil și  $P_{J2} \simeq 0$ ), aceste ultime pierderi sînt relativ

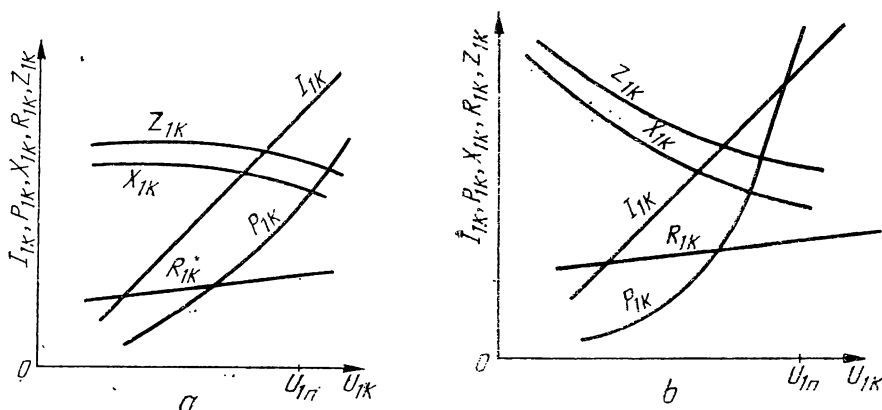


Fig. 3.55. Paametrii de scurtcircuit ai motorului asincron:

a — creștături deschise în stator și rotor; b — creștături statorice semiînchise.

Pentru calcul rezultă relațiile:

$$I_{kn} = I_k \frac{U_{1n} - U_0}{U_k - U_0}; \quad P_{kn} = P_k \left( \frac{U_{1n} - U_0}{U_k - U_0} \right)^2 \quad (3.101)$$

unde  $I_k$  și  $P_k$  sînt măsurate la tensiunea  $U_k$ .

Pierderile mecanice sînt nule, iar pierderile în fier se pot neglija la tensiunea  $U_{kn}$  și se obține:

$$P_k = P_{j1} + P_{j2} = 3 (R_1 I_{1n}^2 + R_2' I_{2n}^2) \simeq 3 (R_1 + R_2') I_{1n}^2 \quad (3.102)$$

unde s-a neglijat curentul de mers în gol ( $I_1 = I_2'$ ).

Prin încercarea în scurtcircuit se determină un alt termen important în calculul randamentului și anume pierderile în înfășurări; din relația (3.102) rezultă  $R_1 + R_2'$ , iar:

$$Z_k = U_k / I_k = \sqrt{(R_1 + c_1 R_2')^2 + (X_{\sigma 1} + c_1 X_{\sigma 2}')^2} = \sqrt{R_k^2 + X_k^2} \quad (3.103)$$

Factorul de putere  $\cos \varphi_s = P_k / 3 U_{kn} I_{1n}$  este de 0,25 pînă la 0,5.

Din încercarea de scurtcircuit se cunoaște curentul  $I_{kn}$  și  $\varphi_{kn}$  care permit determinarea punctului  $A_1$  pe diagrama cercului. Pentru fixarea punctului  $A_\infty$  se împarte segmentul  $A_1 A_1'$  prin punctul  $C_\infty$  astfel încît  $A_1 C_\infty / A_1 A_1' = R_1 / R_k$  (fig. 3.15), se mai calculează unghiul  $\gamma_1$  și cu aceasta diagrama cercului este determinată.

Parametrii schemei echivalente se pot determina pe baza încercărilor de gol și scurtcircuit cunoscînd rezistența  $R_1$ , pierderile  $P_m + P_s$  și făcînd ipoteza (în general apropiată de realitate) că  $X_{\sigma 1} \simeq c_1 X_{\sigma 2}'$ .

c) *Încercarea directă în sarcină* se realizează numai pentru motoare de mică și medie putere. Se încarcă motorul fie cu frîna, fie cu un dinam tarat și se ridică caracteristicile în funcție de puterea utilă  $P_2$ .

d) *Determinarea experimentală a alunecării* se face direct prin mai multe metode.

— *Metoda ampermetrului* se utilizează la motorul cu rotor bobinat și se bazează pe faptul că  $p(n_1 - n_2)$  este tocmai frecvența curentului din rotor  $f_2$  care la funcționarea normală în sarcină are valori mici.

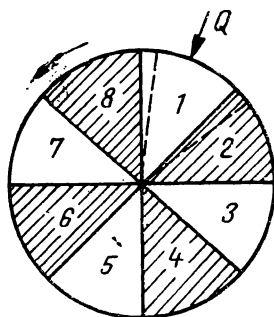


Fig. 3.56. Disc pentru măsurarea turației prin metoda stroboscopică.

Ampermetrul magnetoelectric va urmări oscilațiile curentului, numărând oscilațiile complete  $m$  ale acului ampermetrului în timpul  $t$  rezultă  $f_2 = m/t$  și deci  $s = f_2/f_1 = m/tf_1$ . Dacă se utilizează un aparat termic sau electrodinamic atunci oscilațiile acului indică numărul de alternanțe  $m'$  în timpul  $t$  și  $f_2 = m'/2t$ , iar  $s = m'/2tf_1$ .

La motoarele cu rotorul în scurtcircuit se utilizează o bobină toroidală de dimensiuni corespunzătoare cu număr mare de spire. Această bobină se dispune pe unul din capetele mașinii astfel ca să fie la distanță mică de capătul rotorului și se scurtcircuitează pe un ampermetru magnetoelectric. Câmpul de scăpări al rotorului care are frecvența curenților rotorici înlanțuie, spirele bobinei, indu-

cînd o t.e.m.; bobina este parcursă de un curent electric de aceeași frecvență și măsurarea se face ca la rotorul bobinat. În această bobină se induc și alte t.e.m. cu amplitudini mai mari, însă au o frecvență mult mai mare și acul aparatului datorită inerției nu poate urmări aceste frecvențe.

— **M e t o d a s t r o b o s c o p i c ă** se bazează pe faptul că o lampă electrică cu incandescență alimentată în curent alternativ dă o intensitate luminoasă care trece prin maxime și minime funcție de valoarea curentului, aceste maxime și minime pot fi evidențiate la lămpile cu inerție mică; frecvența acestor variații este dublul frecvenței de alimentare.

Se fixează pe arborele mașinii un disc împărțit în  $4p$  sectoare egale care se fac alternativ unul alb și unul negru (fig. 3.56).

Discul este luminat de o lampă cu incandescență de inerție mică, fixă, alimentată de la circuitul care alimentează motorul. În momentul cînd lampa are intensitatea luminoasă maximă discul are o poziție oarecare în raport cu reperul  $Q$  (axa sectorului 7). Dacă motorul s-ar învîrți la sincronism, atunci după o jumătate de perioadă a tensiunii de alimentare s-ar roti cu unghiul  $180^\circ/p$ , adică un unghi care corespunde la două sectoare, deci sectorul 3 va veni exact în poziția pe care o avea sectorul 1. După acest interval de timp intensitatea luminoasă devine din nou maximă luminînd un sector de aceeași culoare și în aceeași poziție. Deoarece lampa luminează mai puțin între două maxime discul va fi văzut ca fiind fix. Dacă  $n_2 < n_1$  în momentul maximului următor al iluminării sectorul 3 nu va mai ocupa exact locul sectorului 1 ci va rămînea puțin în urmă (poziția punctată). Discul va apărea mișcîndu-se în sens contrar mișcării motorului cu o viteză  $n_1 - n_2$ . Dacă în timpul  $t$  discul se învîrtește de  $m$  ori atunci  $m/t = n_1 - n_2 = sn_1 = sf_1/p$  de unde rezultă  $s = pm/tf_1$ .

O măsurare comodă a alunecării se face cu aparate electronice.

### 3.19. CUPLURILE PARAZITE ALE MOTORULUI ASINCRON

Prezența armonicilor de ordin superior în unda câmpului magnetic conduce la apariția unor cupluri și forțe care pot în anumite condiții să înrăutățească funcționarea motorului sau chiar s-o facă imposibilă.

Aceste armonici sînt cauzate în principal de repartiția nesinusoidală de-a lungul pasului polar a înfășurărilor și de prezența creștăturilor pe cele două armături.

Cuplurile electromagnetice corespunzătoare acestor armonici se numesc cupluri parazite. În funcție de alunecarea  $s$  aceste cupluri pot fi pozitive sau negative în raport cu cuplul electromagnetic al fundamentalei și în unele cazuri pot atinge valori comparabile cu ale cuplului nominal. Se manifestă dezavantajos, în mare măsură în regim de motor și în special la motoarele cu rotorul în colivie, în procesul de pornire putând duce la funcționarea motorului la o turație mai mică decât cea normală. La mașinile cu inele, importanța lor este mai redusă, pentru că există posibilitatea măririi cuplului de pornire. Cuplurile parazite apar datorită interacțiunii armonicilor statorice și rotorice ale câmpului magnetic. Efectele armonicilor de ordin superior se manifestă prin prezența cuplurilor parazite asincrone și sincrone și a forțelor de vibrație.

*Cuplurile parazite asincrone.* Datorită distribuției nesinusoidale a înfășurărilor de-a lungul pasului polar apar armonici de ordinul  $\nu = 6k \pm 1$  ( $k \neq 0$ ), dintre care cele cu (+) se rotesc în sensul fundamentalei (se rotesc direct) și cele cu (—) în sens contrar fundamentalei (se rotesc invers).

Turația acestor armonici este  $n_\nu = \pm n_1/\nu$ . Câmpurile magnetice ale acestor armonici induc în înfășurarea rotorică t.e.m. deci și curenți (circuitul rotoric este închis) de frecvență  $f_{2\nu} = s_\nu f_1$ , unde

$$s_\nu = \frac{n_\nu - n_2}{n_\nu} = \frac{\pm n_1/\nu - n_2}{\pm n_1/\nu} = \frac{\pm n_1 - \nu n_1 + \nu n_1 - \nu n_2}{\pm n_1} = 1 \pm \nu(s-1). \quad (3.104)$$

Aceste armonici produc cupluri electromagnetice  $M_\nu$  în același mod ca și fundamentală câmpului magnetic avînd o variație de aceeași formă în raport cu alunecarea  $s_\nu$ . În figura 3.57 sînt reprezentate cuplurile  $M_5$  și  $M_7$  corespunzătoare armonicilor  $\nu = 5$  și respectiv  $\nu = 7$ , de asemenea se prezintă și cuplul electromagnetic corespunzător fundamentalei ( $\nu = 1$ ). Pentru  $s_5 = 0$  cuplul  $M_5 = 0$  și corespunde la  $s = 1,2$ , pentru  $s_\nu > 0$  din relația (3.104) rezultă  $s < 1,2$ ; pentru aceste valori  $M_5 > 0$  în raport cu fundamentală, iar pentru  $s > 1,2$  rezultă  $M_5 < 0$ . Cu aceste date s-a reprezentat cuplul  $M_5$ . Analog se reprezintă și  $M_7$  cu precizarea că pentru  $s_7 > 0$  cuplul  $M_7 > 0$  adică de același semn cu fundamentală deoarece armonica 7 are sensul de rotație direct. Cuplurile parazite asincrone deformează curba cuplului rezultant  $M$  (fig. 3.57), astfel încît la o anumită formă de variație a cuplului rezistent există riscul să se stabilească un punct de funcționare stabilă în apropierea turației de sincronism  $n_\nu$  a armonicii respective (de exemplu punctul  $B$ ) și nu a fundamentalei. Se spune că mașina s-a „prins” sau s-a „agățat”. Pentru a putea executa pornirea în acest caz, trebuie micșorat cuplul rezistent sau mărit cuplul rezultant.

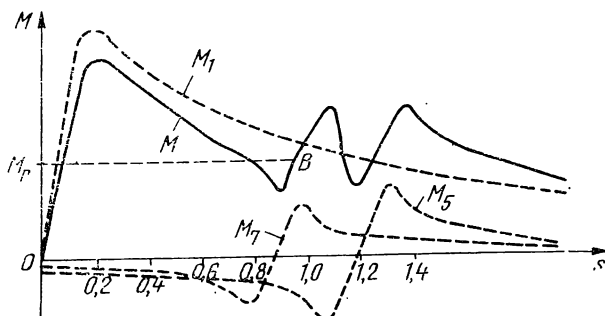


Fig. 3.57. Cupluri parazite asincrone.

Ordinul armonicilor câmpului magnetic rotorice produs de curentul de frecvență  $f_{2v}$ , depinde de tipul înfășurării rotorice: dacă înfășurarea rotorică are același număr de faze și număr de poli ca în înfășurarea statorică atunci câmpul magnetic rotorice are armonici de același ordin ca și câmpul magnetic rotorice; în cazul în care numărul de faze diferă și  $p \neq 1$  (înfășurarea de tip colivie unde  $m_2 = Z_2 = Q_2$ ) atunci armonica statorică de ordinul  $v$  produce armonici rotorice de ordinul  $\mu = v + k_1 m_2 / p$ ;  $k_1 \in N$ .

Turația armonicilor  $\mu$ , în raport cu rotorul, este de  $\mu$  ori mai mică decât cea a fundamentalei de frecvență  $f_{2v}$ , deci:

$$n_\mu = \frac{1}{\mu} [1 - v(1-s)n_1]. \quad (3.105)$$

O importanță deosebită o au armonicile de dinți al căror ordin este  $v_z = 2kq_1 m \pm 1 = k \frac{Z_1}{p} \pm 1$ ,  $k \in N - \{0\}$  din cauză că au amplitudini relativ mari, iar factorul de repartiție  $k_q$  este același cu cel corespunzător fundamentalei. Aceste armonici induc în fazele rotorului t.e.m. și deci curenți afectați de factorul de bobinaj și de factorul de înclinare al rotorului. Cu cât coeficienții sînt mai reduși cu atît cîmpurile magnetice de reacție ale rotorului vor fi mai slabe și deci cuplurile asincrone rezultate neglijabile.

Deoarece mașinile cu rotor în colivie se utilizează în cea mai mare măsură ca motor se urmărește diminuarea cuplurilor asincrone prin alegerea numărului de creștături  $Z_2$  astfel ca armonicilor de dinți care se rotește în sens direct, de ordinul cel mai mic ( $k=1$ ) să-i corespundă un factor de înclinare cît mai aproape de zero;  $k_c = 0$  dacă  $v_z c \pi / 2 \tau = \pi$ , dar  $\tau = Z_2 t_2 / 2 p$ , rezultă  $c = Z_2 t_2 / (Z_1 + p)$ .

Dacă se are în vedere armonica de dinți care se rotește în sens invers, atunci la numitorul expresiei lui  $c$  se pune  $\pm p$ .

Practic este suficient ca factorul de înclinare  $k_{cvz} \leq 0,23$ , atunci  $cv_z \pi / 2\tau \geq 2,5$ , ceea ce revine ca la  $c/t_2 = 1$ , să existe relația:  $Z_2 \geq 1,25 (Z_1 \pm p)$ , ceea ce înseamnă că este satisfăcătoare o înclinare a creștăturilor rotorice cu o valoare mai mare sau mai mică, apropiată de  $t_1$  — pasul creștăturii statorice.

*Cupluri parazite sincrone.* Există posibilitatea ca o anumită armonică statorică de ordinul  $v$  să aibă același număr de poli ca și o armonică rotorică, ultima cauzată de o armonică statorică de ordin diferit de  $v$ . Cîmpurile magnetice ale acestor armonici interacționează ca și în cîmpurile magnetice ale unei mașini sincrone. La o anumită valoare a turației rotorului, cele două armonice se găsesc în repaus una față de alta și astfel se stabilește un cuplu antrenant sau de frînare. Acest cuplu suplimentar se numește cuplu parazit sincron. Turația față de stator a armonicilor rotorice de ordinul  $\mu$ , cauzată de armonica statorică de ordinul  $v$ , după (3.105) este

$$n_\mu + n_2 = \frac{1}{\mu} [1 - v(1-s)]n_1 + n_1(1-s) = \frac{1}{\mu} [1 - (v-\mu)(1-s)]n_1 \quad (3.106)$$

Din condiția ca această turație să fie egală cu cea a armonicilor statorice de ordinul  $v_1$  rezultă:

$$\frac{1}{v_1} = \frac{1}{\mu} [1 - (v-\mu)(1-s)]$$

care determină toate valorile alunecării pentru care iau naștere cupluri parazite sincrone la o mașină asincronă dată.

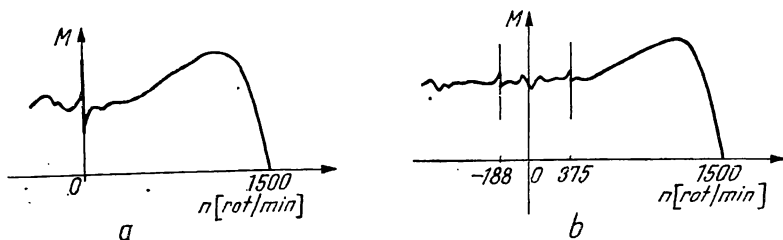


Fig. 3.58. Cupluri parazite sincrone la o mașină asincronă cu  $Z_1 = 36$ :  
 a — la turație nulă ( $Z_2 = 24$ ); b — la turație diferită de zero ( $Z_2 = 16$ ).

Corelînd ordinul armonicilor cu numerele de poli  $p$  și cu numerele de dinți  $Z_1$  și  $Z_2$ , se obțin legături între  $Z_1$  și  $Z_2$  care trebuie evitate în practică:

$$\begin{aligned} Z_1 &= Z_2; \quad Z_2 = Z_1 \pm 2p; \quad Z_2 = 6Kp, \quad K \in \mathbb{N}; \quad 2Z_2 = Z_1 \\ Z_2 &= 6Kp \pm 2p; \quad Z_2 = 2Z_1 \pm 2p; \quad Z_2 = \frac{1}{2}Z_1 \pm p. \end{aligned} \quad (3.107)$$

În figura 3.58 sînt date curbele cuplurilor unei mașini pentru două valori ale lui  $Z_2$ . Cuplul sincron poate fi la turația zero, sau la o turație diferită de zero.

Pentru valoarea turației corespunzătoare alunecării determinată de (3.104), aceste cupluri acționează constant asupra arborelui. La turații diferite de acestea cuplurile respective variază alternativ în timp, devin pendulare, fiind în anumite momente acceleratoare, iar în altele, deceleratoare. Dacă mașina are părți cu frecvență de rezonanță mecanică egală cu frecvența cuplurilor pendulare, atunci apare zgomot.

**Forțe de vibrație.** Cînd două armonici statorice, rotorice sau una statorică și cealaltă rotorică au numerele de ordine care diferă cu 1 și se rotesc în sensuri opuse, apar în întrefier regiuni cu cîmp mai intens și altele cu cîmp mai puțin intens și regiunile respective se deplasează de-a lungul periferiei mașinii. Acest fapt are ca urmare o solicitare unilaterală, după rază, a mașinii, cu o anumită frecvență care în caz că este aceeași cu frecvența de rezonanță a unor piese neconsolidate, se produce zgomot. Aceste forțe se numesc forțe de vibrație și au loc cînd numerele lor de ordine corespund relației:

$$\nu p \pm \lambda p = \pm (1; 2; 3; \dots). \quad (3.108)$$

Dacă  $\nu$  și  $\lambda$  satisfac relația  $\nu p \pm \lambda p = \pm (2; 3; \dots)$  forțele sînt plasate în vîrfurile unui poligon regulat cu 2, 3 ... laturi.

Dacă  $\nu p \pm \lambda p = \pm 1$  forțele de vibrație solicită arborele mașinii la încovoiere. Aceste forțe de vibrație prin mișcarea pieselor asupra cărora acționează, provoacă variația energiei și prin aceasta modifică curba cuplului. În figura (3.59) este reprezentată curba cuplului unui motor de inducție în care au loc forțe de vibrație.

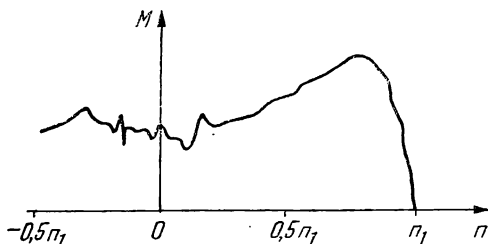


Fig. 3.59. Curba cuplului unui motor asincron cu forțe de vibrație.



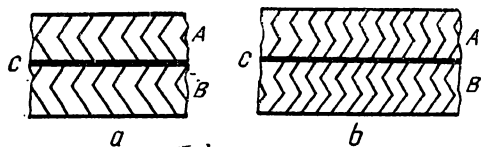
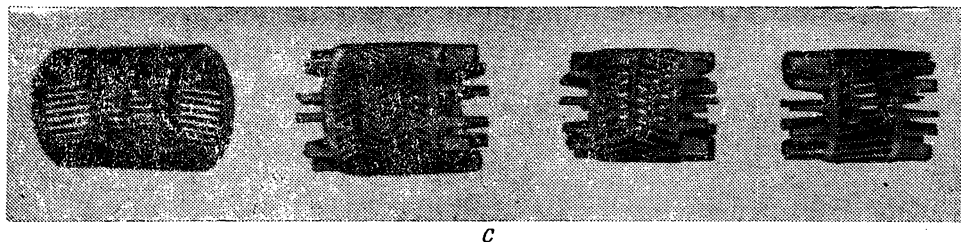


Fig. 3.60. Rotoare cu creștături înclinate.



c

În conformitate cu cele prezentate, o mașină asincronă poate fi considerată ca fiind compusă dintr-o mașină asincronă de bază corespunzătoare armonicilor fundamentale și o serie de alte mașini asincrone și sincrone corespunzătoare armonicilor de ordin superior, fiecare cu o anumită turație de sincronism, toate cuplate pe același arbore. Fiecare mașină funcționează în regimul corespunzător turației unice a arborelui și turației cîmpului magnetic învîrtitor propriu.

*Reducerea efectelor armonicilor* se face luîndu-se următoarele măsuri: se aleg numere de creștături potrivite în stator și rotor pe baza încercărilor practice și a rezultatelor teoretice, se alege o înfășurare potrivită în stator cu pas scurtat și cu numărul  $q_1$  favorabil reducerii armonicilor, se înclină creștăturile unei armături în raport cu celelalte armături pentru obținerea unui factor de înclinare corespunzător, se mărește întrefierul în vederea reducerii armonicilor din curba inducției magnetice dar aceasta conduce la înrăutățirea factorului de putere. La mașinile asincrone cu rotor în colivie, pe lângă aceste măsuri, se mai utilizează înclinarea dublă sau multiplă a creștăturilor rotorice și inele de scurtcircuitare intermediare pentru anularea forțelor axiale care apar la înclinarea simplă. Rotoarele cu astfel de creștături înclinate în zigzag au înfășurarea din aluminiu. În figura 3.60, a, inelul intermediar este C, iar cele două părți au înclinări duble sub formă de săgeată. În figura 3.60, b, sînt prezentate înclinări triple. Pentru a nu influența cele două părți A și B, capătul unei bare se conectează la inelul comun C, la mijlocul distanței dintre locurile de conexiune a două bare alăturate din cealaltă parte. În figura 3.60, c se prezintă coliviile unor astfel de rotoare.

## 3.20. REGIMURI SPECIALE DE FUNCȚIONARE ALE MAȘINII ASINCRONE

### 3.20.1. MAȘINA ASINCRONĂ CU DUBLĂ ALIMENTARE

Are rotorul bobinat și alimentat prin inele de la o rețea de frecvență  $f_2$ , în timp ce statorul este conectat la o rețea de frecvență  $f_1$  cum se arată în figura 3.61. Turația de regim a rotorului mașinii este  $n=n_1(1-s)$ . Statorul produce un cîmp magnetic învîrtitor de turație  $n_1=f_1/p$  iar rotorul, un cîmp magnetic învîrtitor de turație  $n_2=f_2/p$ .

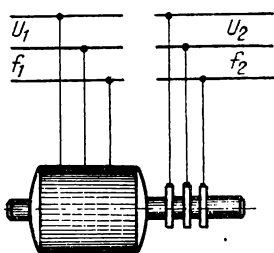


Fig. 3.61. Mașina asincronă

cu dublă alimentare. și turația de regim a rotorului capătă forma

Pentru a produce cuplu electromagnetic, cele două câmpuri trebuie să aibă o poziție relativă fixă unul față de celălalt. Prin urmare din acest punct de vedere turația rotorului este  $n = n_1 \mp n_2$ , semnul (—) corespunde aceleiași succesiuni a fazelor în stator și în rotor și semnul (+) la succesiuni diferite.

Expresia alunecării devine

$$s = \frac{n_1 - n}{n_1} = \pm \frac{n_2}{n_1} = \pm \frac{f_2}{f_1} \quad (3.109)$$

$$n = n_1 (1 \mp f_2/f_1)$$

în care semnul (—) corespunde aceleiași succesiuni în stator și în rotor. Dacă frecvențele  $f_1$  și  $f_2$  sînt fixe, turația rotorului este fixă. În particular dacă  $f_1 = f_2$  rezultă numai două turații posibile pentru rotor și anume  $n=0$  și  $n = 2 n_1$ .

Mașina asincronă în regim de dublă alimentare are proprietăți de mașină sincronă. În timpul funcționării ea are tendințe de oscilație. Pentru cazul  $s=-1$  mașina trebuie pornită cu ajutorul unor dispozitive speciale. Din aceste motive această mașină nu are o răspîndire prea mare în practică.

### 3.20.2. REGIMUL DE ARBORE ELECTRIC

Se întâlnește cînd este necesar ca două mașini asincrone plasate la distanță una față de alta, să funcționeze la turații riguros egale. În figura 3.62 se prezintă schema unui arbore electric fără mașini de egalizare. Mașinile asincrone  $M_1$  și  $M_2$  au rotoarele bobinate și cuplate la același reostat, iar statoarele alimentate de la aceeași rețea. Aceste mașini avînd aceeași tensiune și frecvență rotorică, au aceeași alunecare, prin urmare au și aceeași turație, fără a avea un cuplaj mecanic între rotoarele lor. În acest fel este posibil să se transmită cupluri pe cale electrică între mașini, din care cauză această schemă este cunoscută sub denumirea de *arbore electric*. Dacă mașinile  $M_1$  și  $M_2$  au cupluri la arbori diferite (sarcinile  $T_1$  și  $T_2$  se încarcă diferit) axele omoloage rotorice ale mașinilor se decalcează cu un unghi oarecare proporțional cu diferența de încărcare a sarcinilor  $T_1$  și  $T_2$  dar rămîn sincrone. Prin înfășurările rotorice se stabilește un curent de egalizare care produce cupluri de sensuri opuse în cele două mașini și anume un cuplu motor în mașina mai încărcată și un cuplu de frînare în mașina mai puțin încărcată.

În final, cuplurile mașinilor  $M_1$  și  $M_2$  se egalizează și turația lor sincronă se păstrează. Cuplul suplimentar ce se stabilește datorită curentului de egalizare și uniformizează încărcările mașinilor  $M_1$  și  $M_2$  se numește *cuplu sincronizant* sau *de egalizare*. Dacă sarcinile  $T_1$  și  $T_2$  se încarcă diferit peste o anumită limită, cuplul sincronizant

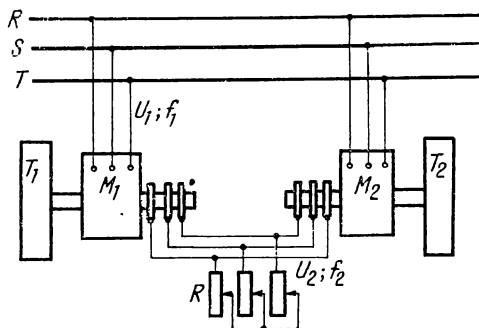


Fig. 3.62. Schema a două mașini asincrone cuplate în arbore electric.

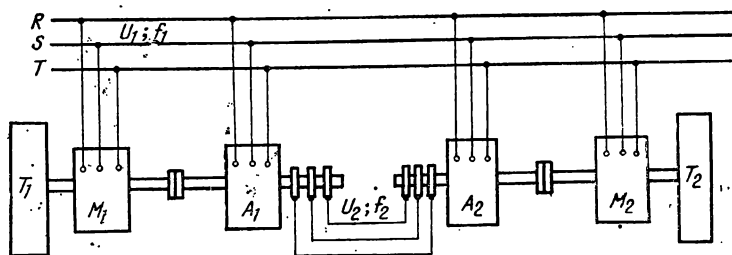


Fig. 3.63. Arbore electric cu mașini de egalizare.

nu mai poate egaliza cele două mașini  $M_1$  și  $M_2$  și legătura lor sincronă se rupe (mașinile ies din sincronism). În această situație se poate folosi schema din figura 3.63 numită *arbore electric cu mașini de egalizare*.

În această schemă cuplul motor este dezvoltat de mașinile  $M_1$  și  $M_2$ , care se rotesc sincron, iar cuplul sincronizant este asigurat în mod separat de mașinile auxiliare  $A_1$  și  $A_2$ , care au înfășurările rotorice legate direct.

Avantajele stabilirii cuplului sincronizant prin intermediul unor mașini auxiliare, constau în faptul că se pot obține valori mari pentru tensiunile și frecvențele rotorice și deci cupluri sincronizante mari, fără pierderi, deoarece reostatul  $R$  prezent în schema 3.62 nu mai este necesar. Arborele electric cu mașini de egalizare se utilizează în acționările grele, când apar diferențe foarte mari între încărcările mașinilor  $M_1$  și  $M_2$ .

### 3.20.3. REGIMUL DE MODIFICATOR DE FRECVENȚĂ

Apare atunci când antrenînd o mașină asincronă  $F$  cu rotorul bobinat, avînd înfășurarea statorică conectată la rețeaua de frecvență  $f_1$ , cu o altă mașină  $A$  (fig. 3.64), la diferite turații, la inelele mașinii  $F$  se obține o tensiune de frecvență variabilă  $f_2$  dată de relația:

$$f_2 = \frac{n_1 \pm n}{n_1} \cdot f_1 = f_1 \pm n p_F \quad (3.110)$$

în care  $n$  este turația rotorului mașinii  $F$  iar  $p_F$  este numărul de perechi de poli ai acestei mașini. Semnul ( $-$ ) se ia atunci când  $n$  are sensul cîmpului învîrtitor produs de statorul mașinii  $F$  iar semnul ( $+$ ) cînd are sens opus.

Mașina asincronă  $F$  a devenit o sursă de c.a. de frecvență variabilă.

În comparație cu un grup motor-generator, modificatorul de frecvență are dimensiuni mai mici, este mai ieftin și are randament mai ridicat. Un dezavantaj important ale acestei mașini îl constituie faptul că tensiunea secundară nu poate fi modificată la o frecvență dată.

Un caz particular al modificatorului de frecvență îl constituie regulatorul de fază. În această situație turația modificatorului este nulă.

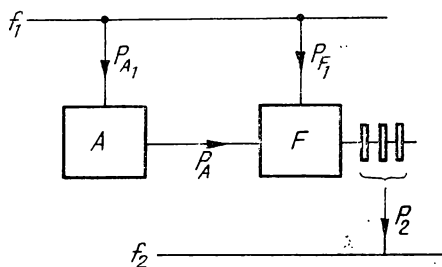


Fig. 3.64. Schema unui modificador de frecvență.

### 3.20.4. REGULATORUL DE INDUCȚIE

Mașina asincronă cu rotorul blocat funcționează ca un transformator electric. Regulatorul de inducție este o astfel de mașină asincronă cu rotorul bobinat, folosită pentru reglarea tensiunii rețelelor de curent alternativ între două limite date  $U_{2max}$  și  $U_{2min}$ . În majoritatea cazurilor, regulatoarele de inducție sînt trifazate. De aceea se vor face cîteva referiri numai la acestea. Pentru puteri pînă la (40÷50) kVA regulatoarele de inducție se construiesc cu răcire forțată cu aer. Peste 50 kVA acestea se realizează în cuvă, răcite cu ulei, ca și transformatoarele electrice.

Regulatoarele de inducție trifazate se realizează uzual în două forme constructive: regulatoare simple și regulatoare duble.

a) *Regulatorul de inducție simplu* are schema electrică și diagrama de fazori prezentate în figura 3.65. Rotorul constituie primarul și se leagă în derivație la rețeaua de tensiune  $U_1$ , iar secundarul îl constituie statorul și se leagă în serie la această rețea. Înfășurarea trifazată rotorică alimentată de la rețeaua de alimentare de tensiune  $U_1$  creează un cîmp magnetic învîrtitor, care induce în stator t.e.m.  $E_2$ .

Dacă receptorul conectat la bornele de tensiune  $U_2$  este simetric, pentru studiul regimului de regulator de inducție este suficient să se considere fazele omoloage din stator și rotor.

Neglijînd căderile de tensiune pe rezistențele și reactanțele de scăpări ale înfășurărilor, tensiunea secundară  $U_2$  este dată de relația fazorială:

$$\underline{U}_2 = \underline{U}_1 + \underline{E}_2. \quad (3.111)$$

Modulul tensiunii  $\underline{U}_2$  se determină cu relația

$$U_2 = \sqrt{U_1^2 + E_2^2 + 2 U_1 E_2 \cos \alpha} \quad (3.112)$$

și variază între  $U_{2min} = U_1 - E_2$  și  $U_{2max} = U_1 + E_2$ . Unghiul  $\alpha$  se variază rotînd rotorul cu ajutorul unui dispozitiv mecanic (obișnuit o roată dințată și un șurub fără sfîrșit).

Ca și la autotransformatorul electric, puterea absorbită de regulator se transmite secundarului pe două căi: pe cale galvanică prin cuplajul galvanic al înfășurărilor și pe cale electromagnetică prin intermediul cîmpului electromagnetic al regulatorului.

Dimensionarea regulatorului se face în funcție de puterea electromagnetică (de calcul) a acestuia. Dacă la bornele de tensiune  $U_2$  este conectată o sarcină, curentul care se stabilește în regulator produce un cuplu electro-

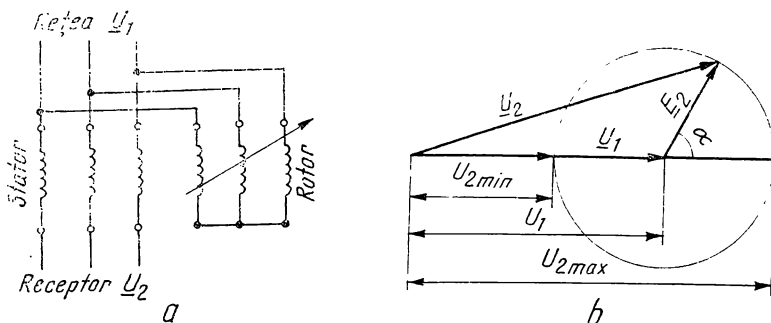


Fig. 3.65. Regulator de inducție simplu (a) și diagrama de fazori (b).

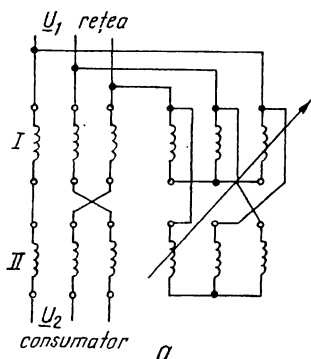
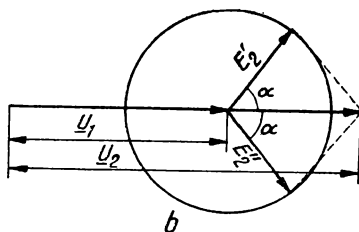


Fig. 3.66. Regulator de inducție dublu (a) și diagrama de fazori (b).



magnetic (egal cu cuplul de pornire) care tinde să rotească rotorul în sensul cuplului. De aceea trebuie ca rotorul să fie blocat. Tensiunile  $U_1$  și  $U_2$  ale regulatorului diferă între ele atât ca mărime cât și ca fază. Datorită acestui fapt reglarea tensiunii nu este posibilă când regulatorul funcționează în paralel cu un transformator electric. În plus dispozitivele de blocare a rotorului trebuie să asigure o funcționare sigură a regulatorului. Aceste neajunsuri ale regulatorului simplu se elimină dacă se utilizează un regulator dublu.

b) *Regulatorul de inducție dublu* are schema electrică și diagrama de fazori prezentate în figura 3.66. Rotoarele regulatorului sînt plasate pe același arbore și sînt alimentate de la rețeaua de alimentare  $U_1$  cu succesiuni diferite. Statoarele sînt înseriate tot cu succesiuni diferite. Acest lucru conduce, în sarcină, la apariția a două cupluri egale de sens contrar, care acționează asupra rotorului, dacă cele două regulatoare sînt identice și factorul de putere al receptorului  $\cos \varphi_2 = 1$ . Cuplul rezultat este nul. Dacă  $\cos \varphi_2 \neq 1$ , atunci cele două cupluri de sens contrar devin inegale și în acest caz trebuie luate măsuri de blocare a rotorului. Tensiunea secundară  $\underline{U}_2$  este dată de relația fazorială (neglijînd căderile de tensiune pe rezistențele și reactanțele de scăpări ale înfășurărilor):

$$\underline{U}_2 = \underline{U}_1 + \underline{E}_2' + \underline{E}_2'' \quad (3.113)$$

și ținînd seama că  $\underline{E}_2' = \underline{E}_2'' = E_2$ , modulul tensiunii de sarcină este dat de relația

$$U_2 = U_1 + 2 E_2 \cos \alpha \quad (3.114)$$

și variază între limitele  $U_{2\min} = U_1 - 2 E_2$  și  $U_{2\max} = U_1 + 2 E_2$ .

Din diagrama fazorială din figura 3.66 se constată că pentru orice poziție a rotorului tensiunile  $U_1$  și  $U_2$  sînt în fază.

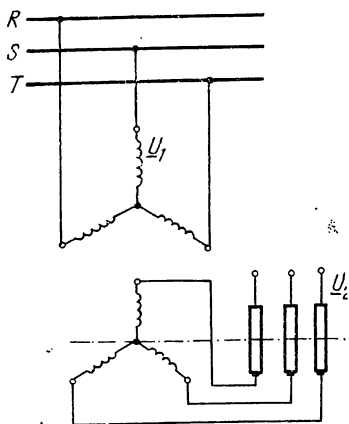


Fig. 3.67. Regulator de fază.

### 3.20.5. REGULATORUL DE FAZĂ

O mașină asincronă cu rotorul bobinat și calat, cu schema prezentată în figura 3.67 este un regulator de fază. Statorul regulatorului se

alimentează de la rețeaua de tensiune  $U_1$  iar capetele înfășurărilor rotorice se scot la cele trei inele colectoare ale regulatorului. Dacă deplasăm rotorul regulatorului cu un unghi  $\alpha$  față de stator, t.e.m. indusă în rotor rămîne constantă ca modul dar variază ca fază. Prin urmare tensiunea secundară  $U_2$  culeasă la inele rămîne aceeași ca valoare dar își schimbă faza odată cu schimbarea poziției rotorului.

Regulatorul de fază este utilizat în special în laboratoarele de măsurări electrice și magnetice.

### 3.20.6. REGIMUL DE BOBINĂ REGLABILĂ

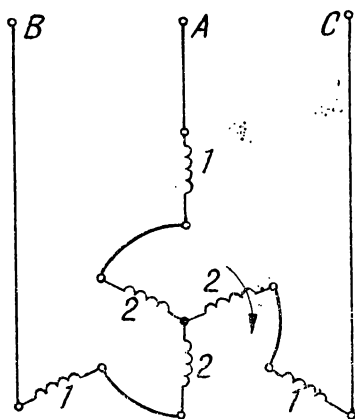


Fig. 3.68. Regim de bobină reglabilă.

Dacă mașina are același număr de faze în rotor ca și în stator și se conectează înfășurările statorice 1 și rotorice 2 în serie, ca în figura 3.68 cu aceeași succesiune a fazelor, mașina are regimul de dublă alimentare cu turație nulă. În această situație mașina are o impedanță echivalentă dependentă de poziția rotorului față de stator. Mașina se folosește ca o impedanță variabilă (sarcină variabilă).

## 3.21. MAȘINA ASINCRONĂ LINIARĂ

Tăind o mașină asincronă normală după o generatoare și desfășurând-o în plan se obține o mașină asincronă liniară. În figura 3.69 se prezintă o mașină liniară asincronă în care 1 este inductorul și 2 este indusul. Principiul de funcționare al mașinii liniare este același cu al mașinii rotative, cu deosebirea că aici nu mai avem câmp magnetic învârtitor ci progresiv, iar cuplul  $M$  și turația  $n$  își pierd semnificația, locul lor fiind luat de forța longitudinală  $F$  și viteza  $v$ . Alunecarea motorului se definește în raport cu viteza de sincronism  $v_1$  și de viteza la un moment dat a indusului  $v$  cu relația  $s = (v_1 - v)/v_1$ . Viteza de sincronism  $v_1$  se deduce similar cu mașina asincronă rotativă  $v_1 = \pi D n_1$  în care se înlocuiește  $\pi D = 2 p \tau$  și  $n_1 = f/p$  obținându-se expresia:

$$v_1 = 2 \tau f \quad (3.115)$$

în care  $\tau$  este pasul polar iar  $f$  frecvența. Spre deosebire de mașina rotativă, la mașina asincronă liniară viteza de sincronism nu mai este funcție de numărul de perechi de poli ci doar de pasul polar și frecvență. Alegând valori potrivite ale acestor mărimi se obțin mașini liniare avînd viteze de la cîțiva m/s pînă la 100 m/s și chiar mai mult.

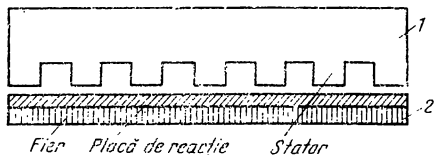


Fig. 3.69. Schița mașinii liniare de inducție.

Uzual se întîlnesc două tipuri de motoare liniare și anume: cu inductorul scurt și indusul lung (fig. 3.70, a) sau cu inductorul lung și indusul scurt (fig. 3.70, b). Inductorul acestor mașini poate fi bilateral (dublu

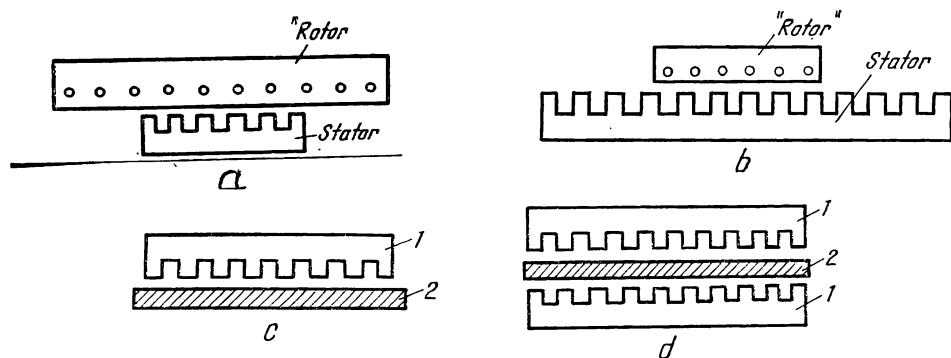


Fig. 3.70. Tipuri de mașini asincrone liniare.

cum se arată în figura 3.70, *d* sau unilateral (simplu) ca în figura 3.70, *c*. Indusul mașinii este în general o placă feromagnetică pentru închiderea câmpului magnetic peste care se suprapune o placă conductoare de cupru sau aluminiu. Sînt situații cînd placa conductoare lipsește, rămînînd numai placa feromagnetică.

Mașinile asincrone liniare prezintă două fenomene specifice și anume:

a) *efectul de margine* sau transversal, care constă în faptul că în indus, sub inductor spre marginile acestuia, curenții au și componente longitudinale care nu contribuie la forța de propulsie a motorului ci deformează repartiția inducției magnetice după direcția transversală. În acest fel, rezistența echivalentă a indusului se majorează afectînd alura caracteristicii mecanice  $F=f(v)$  a motorului și de asemenea cresc și pierderile suplimentare în indus.

b) *efectul de capăt* sau longitudinal, care constă în stabilirea curenților electrici în indus atunci cînd placa intră în câmpul magnetic al inductorului și în stingerea lor cînd iese din câmp. Limitarea lui se realizează în primul rînd prin creșterea numărului de poli care este indicat să fie mai mare decît 6. Atît efectul de margine cît și cel de capăt au o influență negativă asupra performanțelor mașinii, ducînd la pierderi suplimentare de energie. La viteze mari se caută să se reducă în special efectul longitudinal.

Motorul asincron linear are o serie de avantaje importante printre care cel legat de posibilitatea obținerii directe a mișcării de translație. Este utilizabil în tracțiunea electrică, în instalațiile industriale unde sînt necesare viteze mici de deplasare, în transporturi etc.

Dezavantajele sînt legate de prezența efectelor de capăt și se traduc prin forțe parazite, pierderi suplimentare și curenți nesimetrice în înfășurările de fază, prin alunecări mai mari, un randament și un factor de putere inferior motorului rotativ de inducție.

## 3.22. FUNCȚIONAREA MAȘINII ASINCRONE ÎN REGIMURI NESIMETRICE

În condiții de exploatare, sistemul trifazat al tensiunilor de alimentare a mașinii asincrone poate fi nesimetric. Regimuri nesimetrice pot apărea ca urmare a conectării nesimetrice a înfășurărilor, a nesimetriilor construc-

tive sau a intercalării unor elemente de impedanțe inegale în circuitul statoric. Aceste cazuri se pot reduce la cel al alimentării mașinii asincrone cu tensiuni nesimetrice.

Sistemul nesimetric al tensiunilor aplicat mașinii asincrone se descompune în trei sisteme simetrice, de succesiune directă  $U_a$ , inversă  $U_i$  și homopolar  $U_h$ . Sistemul homopolar nu produce câmp învîrtitor, deci față de acest sistem mașina se comportă ca o bobină trifazată de impedanță  $Z_h$  (fig. 3.71, *a*). Față de sistemul simetric direct de tensiuni care produce un câmp învîrtitor în sensul succesiunii fazelor mașina se comportă ca o mașină asincronă de alunecare  $s$  și impedanță  $Z_a = Z(s)$  (fig. 3.71, *b*). Sistemul de tensiuni invers produce un câmp învîrtitor care se rotește în sens invers succesiunii fazelor și are alunecarea  $s_i = 2 - s$ , față de acest sistem mașina se comportă ca o mașină asincronă cu alunecarea  $2 - s$  și impedanță  $Z_i = Z(2 - s)$ , (fig. 3.71, *c*). Pentru  $s = 0,01 \dots 0,06$  impedanța  $Z_i$  este de ordinul impedanței  $Z_h$  sau mai mică, cum  $i_p = 4 \dots 7$ , rezultă  $Z_a = (4 \dots 7) Z_i$ . La o nesimetrie a tensiunilor  $U_i/U_a = 0,05$  rezultă o nesimetrie a curenților  $I_i/I_a = 0,2 \dots 0,35$ , pentru cupluri  $M_i/M_a = 0,02 \dots 0,04$ . Caracteristica mecanică nu este influențată sensibil, însă regimul de alimentare cu tensiuni nesimetrice este inacceptabil din punct de vedere al pierderilor Joule.

*Nesimetria circuitului rotoric.* Considerăm circuitul statoric alimentat cu un sistem simetric de tensiuni, câmpul magnetic învîrtitor produs se va roti în sens direct cu turația  $n_1$  (fig. 3.72), rotorul are turația  $n_2$  și în înfășurările lui se vor induce t.e.m. cu frecvența  $f_2 = sf_1$ . Datorită nesimetriei înfășurărilor sau a circuitului rotoric se va produce un sistem de curenți rotorici nesimetrice, care vor produce două câmpuri învîrtitoare, unul direct avînd turația  $n_1$  față de stator și altul invers avînd viteza față de stator  $n'' = n_2 - sn_1 = 2n - n_1 = n_1(1 - 2s)$  care induce în înfășurările statorice t.e.m. de frecvență  $f_1' = (1 - 2s)f_1$ . Curenții statorici de frecvență  $f_1'$  pot da naștere unor fenomene de bătaii, dacă  $s$  este mic. Câmpul învîrtitor invers al curenților rotorici interacționează cu curenții statorici de frecvență  $f_1'$  ca la o mașină asincronă alimentată prin rotor cu curenți de frecvență  $f_2$  și cu o alunecare a statorului față de câmpul acestor curenți  $s'' = -n''/s n_1 = 2 - 1/s$ . Sensul și mărirea cuplurilor electromagnetice pentru cele două sisteme de curenți se deduc funcție de  $s$  și  $s''$  (fig. 3.73). Pentru  $s \in [0,5; 1]$ ,  $M_1 > 0$  și  $M_2 > 0$ ,

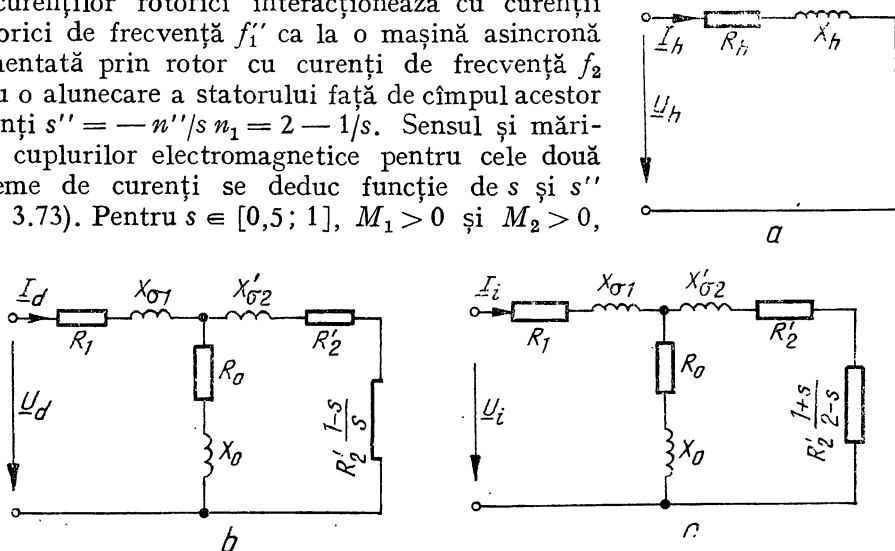


Fig. 3.71. Schemele echivalente corespunzătoare componentelor simetrice.



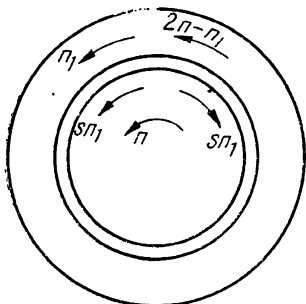


Fig. 3.72. Turațiile câmpurilor magnetice învârtitoare la mașina asincronă cu rotorul nesimetric.

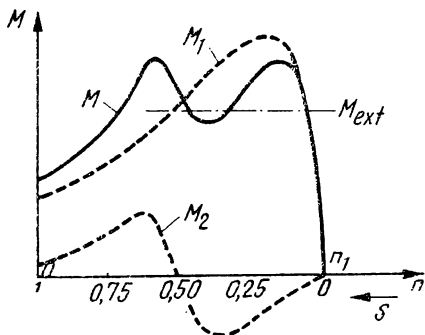


Fig. 3.73. Caracteristica cuplurilor la motorul asincron cu rotorul nesimetric.

pentru  $s \in [0; 0,5]$ ,  $M_1 > 0$  și  $M_2 < 0$ . Curba cuplului prezintă o să care face imposibilă pornirea în sarcină a motorului, funcționînd stabil la  $s = 0,5$  dacă cuplul exterior este mai mare decît minimul curbei  $M(s)$ , („fenomenul Georges”).

### 3.23. MAȘINA ASINCRONĂ MONOFAZATĂ

Mașina asincronă monofazată are o înfășurare primară monofazată, repartizată în general pe  $2/3$  din periferia statorului, iar înfășurarea rotorică în colivie.

Înfășurarea monofazată produce cîmpul magnetic

$$b(\theta_s, t) = B_m \cos \omega_1 t \cos \theta_s = \frac{B_m}{2} \cos(\omega_1 t - \theta_s) + \frac{B_m}{2} \cos(\omega_1 t + \theta_s) = b_a(\theta_s, t) + b_i(\theta_s, t), \quad (3.116)$$

adică mașina asincronă monofazată poate fi echivalentă cu două mașini asincrone trifazate cuplate pe același ax, care au înfășurările statorice alimentate în serie și de succesiuni diferite (fig. 3.74). Mașina monofazată poate

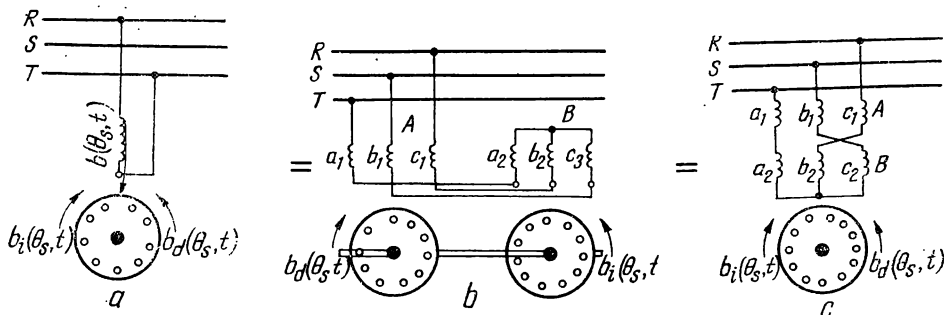


Fig. 3.74. Mașina asincronă monofazată.

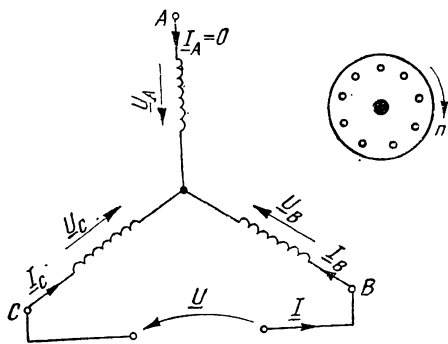


Fig. 3.75. Schema unei mașini asincrone trifazate cu alimentare monofazată.

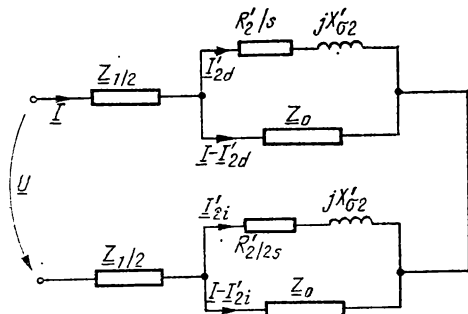


Fig. 3.76. Schema echivalentă a mașinii asincrone monofazate.

fi considerată ca o mașină trifazată simetrică care funcționează în regim dezechilibrat, în care curentul printr-o fază este nul (fig. 3.75). Dacă parametrii mașinii sînt constanți se poate aplica calculul cu componente simetrice:

$$\underline{I}_{Ad} = -\underline{I}_{Ai} = (a - a^2) \underline{I}; \quad \underline{I}_{Ah} = 0 \quad (3.117)$$

Dacă  $\underline{Z}'_{2d} = R'_2/s + jX'_{\sigma 2}$  și  $\underline{Z}'_{2i} = R'_2/(2-s) + jX'_{\sigma 2}$ , atunci

$$\underline{Z}_d = \underline{Z}_1 + \underline{Z}_0 \underline{Z}'_{2d}/(\underline{Z}_0 + \underline{Z}'_{2d}); \quad \underline{Z}_i = \underline{Z}_1 + \underline{Z}_0 \underline{Z}'_{2i}/(\underline{Z}_0 + \underline{Z}'_{2i}) \quad (3.118)$$

Deoarece  $\underline{U}_{Ad} = \underline{Z}_d \underline{I}_{Ad}$  și  $\underline{U}_{Ai} = \underline{Z}_i \underline{I}_{Ai}$  rezultă  $\underline{U} = (\underline{Z}_d + \underline{Z}_i) \underline{I}$ , adică schema echivalentă a mașinii monofazate constă din suma impedanțelor  $\underline{Z}_d$  și  $\underline{Z}_i$  (fig. 3.76). Din echivalența din figura 3.74 rezultă că  $\underline{Z}_{2\tau}$  reprezintă jumătate din impedanța înfășurărilor statorice.

### 3.23.1. CUPLUL ELECTROMAGNETIC

Se determină ca diferența cuplurilor  $M_d$  și  $M_i$ , adică:

$$M = M_d - M_i = \left| \frac{\underline{Z}_d}{\underline{Z}_d + \underline{Z}_i} \right| \frac{\frac{R'_2}{s}}{(R_1 + c_1 R'_2/s)^2 + (X_{1\sigma} + c_1 X'_{2\sigma})^2} - \left| \frac{\underline{Z}_i}{\underline{Z}_d + \underline{Z}_i} \right| \frac{R'_2/(2-s)}{|\underline{Z}_1 + \underline{Z}'_{2i}|^2} \quad (3.118)$$

Se constată că la pornire ( $s=1$ ) cuplul  $M=0$ , adică mașina monofazată nu are cuplu de pornire (fig. 3.77).

Cu relația (3.118) se determină influența parametrilor  $R'_2$  și  $X'_{2\tau}$  asupra cuplului  $M$  (fig. 3.78), s-a raportat la cuplul maxim  $M_{m3}$  care l-ar avea mașina dacă ar funcționa în trifazat.

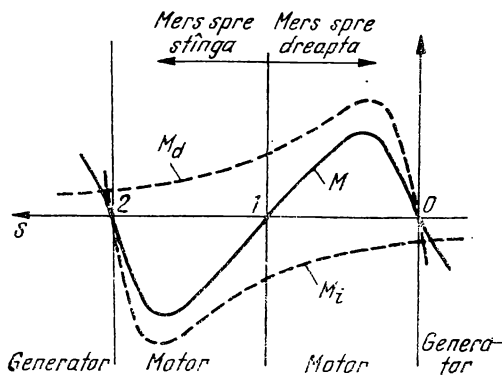


Fig. 3.77. Curba cuplului mașinii asincrone monofazate.

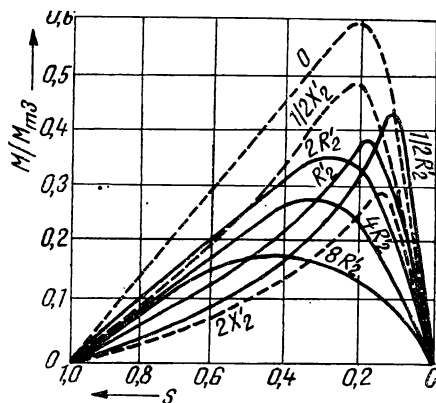


Fig. 3.78. Influența rezistenței  $R'_2$  și a reactanței  $X_{2\tau}$  asupra cuplului mașinii de inducție monofazată, în regim de motor.

### 3.23.2. DIAGRAMA CERCULUI MAȘINII ASINCRONE MONOFAZATE

Din relația  $\underline{U} = (\underline{Z}_a + \underline{Z}_i) \underline{I}$  se determină curentul absorbit de mașină în funcție de  $\varepsilon = s(2 - s)$ :

$$\underline{I} = (\underline{A}\varepsilon + \underline{B})/(\underline{C}\varepsilon + \underline{D}) \quad (3.119)$$

unde  $\underline{A}$ ,  $\underline{B}$ ,  $\underline{C}$  și  $\underline{D}$  sînt constante complexe. Locul geometric al vîrfului fazorului  $\underline{I}$  este un arc de cerc cuprins între  $s = 1$  și  $s = \infty$  (fig. 3.79).

Mașina monofazată are curentul de mers în gol mai mare decît cea trifazată. Aceasta conduce la majorarea pierderilor în stator și la scăderea factorului de putere. Curentul de scurtcircuit a mașinii monofazate de asemenea este mai mare decît la mașina trifazată.

### 3.23.3. MAȘINA MONOFAZATĂ CU FAZĂ AUXILIARĂ

Un avantaj al motorului asincron monofazat este acela că poate fi alimentat de la o sursă monofazată, însă nu are cuplu de pornire. Dacă i se aplică din exterior un cuplu mecanic, motorul pornește în sensul cuplului aplicat. Pentru asigurarea unui cuplu de pornire pe stator se dispune o înfășurare suplimentară decalată cu  $\pi/2$  față de cea principală și alimentată de la aceeași rețea

(se dispune în  $\frac{1}{3}Z_1$  crestături).

Dacă se consideră că cele

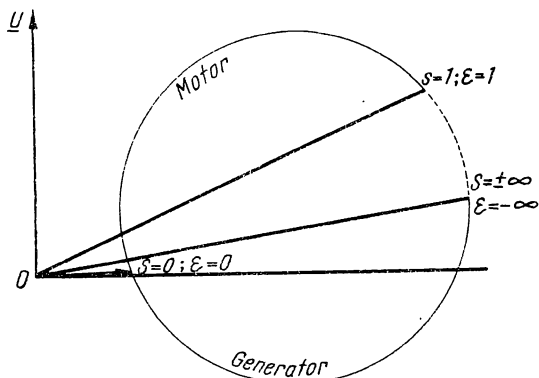


Fig. 3.79. Diagrama cercului mașinii asincrone monofazate.

două înfășurări sînt parcurse de curenții  $i_1 = I \sqrt{2} \cos \omega t$  și  $i_2 = I \sqrt{2} \cos(\omega t - \pi/2)$  atunci se produc două cîmpuri magnetice pulsatorii:

$$b_1(\theta_s, t) = B_m \cos \omega t \cos \theta_s; \quad b_2(\theta_s, t) = B_m \cos(\omega t - \pi/2) \cos(\theta_s - \pi/2) \quad (3.120)$$

iar cîmpul rezultat este:

$$b(\theta_s, t) = b_1(\theta_s, t) + b_2(\theta_s, t) = B_m \cos(\omega t - \theta_s).$$

Cîmpul rezultat este un cîmp învîrtitor. Mașina se execută cu două înfășurări: una principală și alta de pornire (fig. 3.80).

Curentul din faza auxiliară trebuie să aibă un defazaj cît mai apropiat de  $90^\circ$ , pentru aceasta în faza auxiliară se introduce o rezistență, sau o bobină sau o capacitate (fig. 3.81). Cele mai răspîndite mașini sînt acelea care folosesc în faza auxiliară unul sau două condensatoare (mașină asincronă cu condensator), se disting 3 variante (fig. 3.82). Notînd  $Z_p, w_p, k_{wp}, U_p$  mărimile înfășurării principale și  $Z_a, W_a, k_{wa}, U_a$  mărimile înfășurării auxiliare atunci pe baza figurii 3.83 se obține:

$$\begin{aligned} \underline{U}_p &= \underline{Z}_p \underline{I}_p - \underline{E}_p; \quad \underline{E}_p = -j k \underline{E}_a; \quad \underline{U}_p = \underline{Z} \underline{I}_a + \underline{U}_a; \quad \underline{U}_e = \underline{Z}_e \underline{I}_p \\ \underline{U}_a &= \underline{Z}_a \underline{I}_a - \underline{E}_a; \quad \underline{I}_a = j k \underline{I}_p; \quad \underline{Z}_e = \underline{Z}_p + \underline{Z}_0 \underline{Z}'_{2s} / (\underline{Z}_0 + \underline{Z}'_{2s}). \end{aligned} \quad (3.121)$$

Condiția de a avea cîmp magnetic circular este ca solenațiile celor două înfășurări să fie egale și în cuadratură ( $j I_p = I_a / k$ ),  $k = w_p k_{wp} / w_a k_{wa}$ .

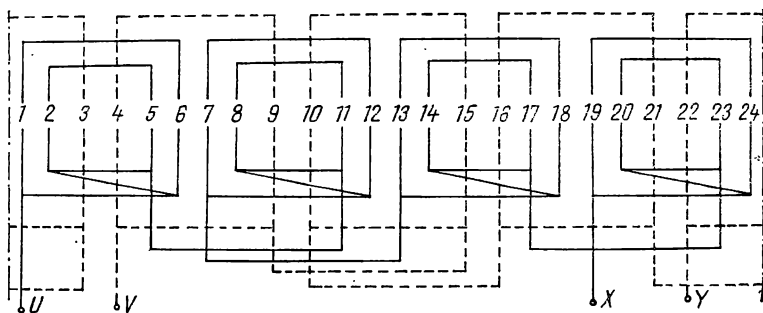


Fig. 3.80. Înfășurarea unui motor asincron monofazat.

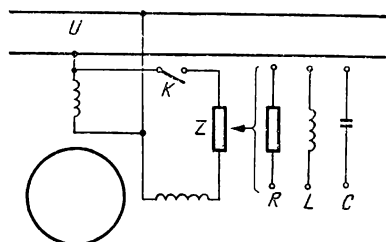


Fig. 3.81. Schema unei mașini asincrone monofazate cu fază auxiliară.

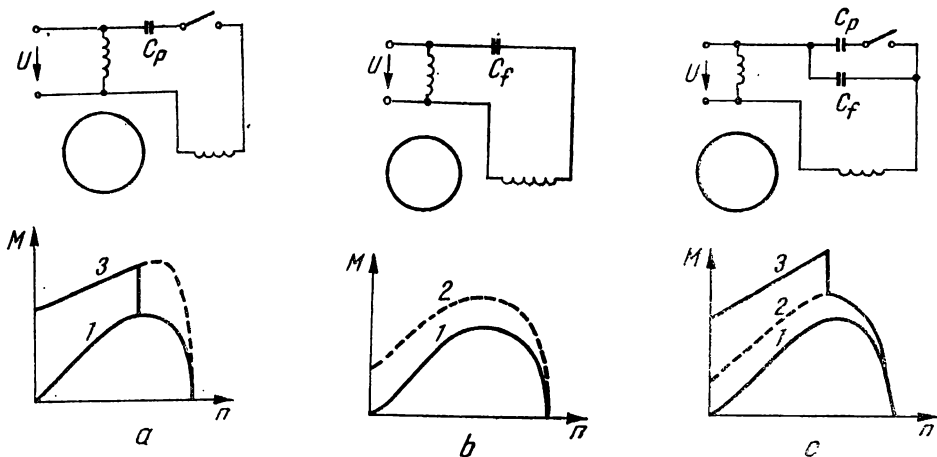


Fig. 3.82. Scheme electrice și curbele cuplurilor mașinilor asincrone monofazate cu condensator:

*a* — cu condensator de pornire; *b* — cu condensator de funcționare; *c* — cu două condensatoare, condensatorul  $C_p$  se conectează numai la pornire.

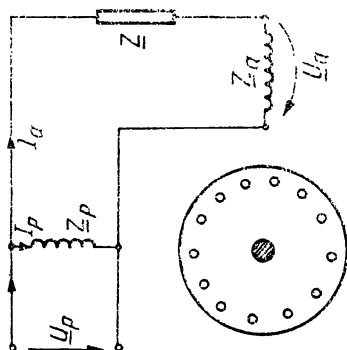


Fig. 3.83. Schema de conectare a mașinii cu fază auxiliară.

### 3.23.4. MOTORUL CU POLI ECRANAȚI

Este folosit la puteri mici (sub 150 W). Înfășurarea statorică este de tip concentrat și dispusă pe poli aparenti (dig. 3.84). O parte din talpa polului este înconjurată de o spirală în scurtcircuit (motor cu spirală în scurtcircuit).

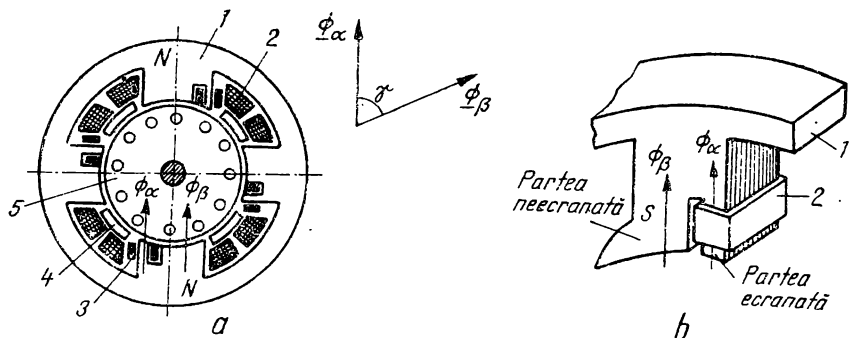


Fig. 3.84. Mașina asincronă monofază cu poli ecranați:

*a* — secțiune transversală prin mașină: 1 — stator; 2 — înfășurare de tip concentrat, alimentată de la rețea; 3 — spirală în scurtcircuit; 4 — șunt magnetic; 5 — rotor; *b* — schița unui pol al mașinii: 1 — jug statoric; 2 — spirală în scurtcircuit.

Fluxurile magnetice pe partea ecranată  $\Phi_\alpha$  și neecranată  $\Phi_\beta$  se defazează în timp, datorită fluxului de reacție produs de curentul din spira de scurtcircuit, cu un unghi  $\gamma$  astfel încât motorul dezvoltă un cuplu care rotește rotorul de la partea neecranată spre partea ecranată. Pentru creșterea performanțelor motorul se prevede cu șunturi magnetice care conduc la diminuarea armonicilor de ordin superior.

### 3.23.5. SERVOMOTORUL ASINCRON BIFAZAT

Are rotorul în colivie, iar pe stator sînt dispuse două înfășurări decalate în spațiu cu  $\frac{\pi}{2}$ . Una din ele este denumită înfășurare de excitație și rămîne în permanentă conectată la rețea, iar cealaltă este denumită înfășurare de comandă și la bornele ei se aplică tensiunea de comandă (fig. 3.85). La dispariția semnalului de comandă  $U_c$  servomotorul frînează și se oprește, aceasta datorită rezistenței mărite a înfășurării rotorice ( $s_m > 1$ ); are un randament scăzut și se utilizează în instalații de mică putere.

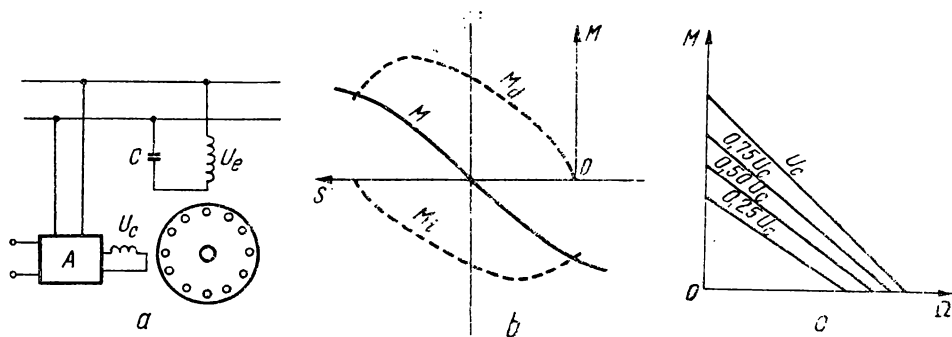


Fig. 3.85. Servomotor asincron bifazat:

a — schema servomotorului; b — caracteristica mecanică a servomotorului; c — caracteristicile mecanice ale servomotorului pentru diferite tensiuni de alimentare.

### 3.23.6. SERVOMOTORUL ASINCRON BIFAZAT CU ROTORUL ÎN FORMĂ DE PAHAR

Este o variantă constructivă a celui cu rotorul în scurtcircuit. Rotorul acestui servomotor are forma de pahar. În figura 3.86, se prezintă schema constructivă a servomotorului. Servomotorul cu rotorul în formă de pahar are un stator exterior echipat cu înfășurări și un stator interior, necesar închiderii fluxului magnetic. Rotorul este solidar cu arborele mașinii numai pe o parte a acestuia (la baza paharului).

Acest tip de servomotor posedă un moment de inerție foarte mic și o

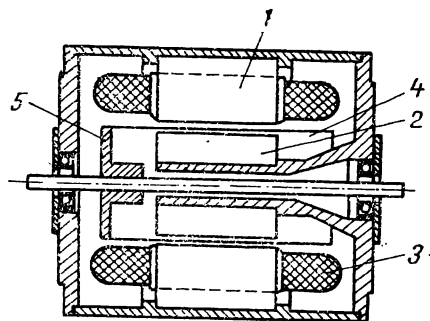


Fig. 3.86. Servomotor cu rotor în formă de pahar:

1, 2 — statoare; 3 — înfășurare statorică; 4 — rotor în formă de pahar, 5 — manșonul rotorului.

constantă de timp electromecanică de câteva zeci de ori mai mică decât a servomotorului cu rotorul în colivie. Un alt avantaj al servomotorului cu rotorul în formă de pahar constă în faptul că fenomenul de „prindere magnetică” este mult redus deoarece rotorul nu este crestat.

Se știe că existența creștăturilor pe armăturile motorului poate conduce la o anumită poziție privilegiată a rotorului în raport cu statorul, adică la o „înțepenire” sau „prindere magnetică”. Servomotorul cu rotorul în formă de pahar are o zonă de insensibilitate redusă, deoarece semnalul de comandă corespunzător cuplului de „desprindere” magnetică este foarte redus. Întrefierul servomotorului fiind mare, acesta are un factor de putere redus, ceea ce îl face utilizabil numai la puteri foarte mici.

### 3.24. REGIMURI TRANZITORII LA MAȘINA ASINCRONĂ [13], [33]

Esența proceselor tranzitorii la o mașină asincronă poate fi înțeleasă urmărind fenomenele care apar în timpul pornirii și accelerării motorului. La conectarea statorului la rețeaua trifazată simetrică, are loc mai întâi un proces electromagnetic tranzitoriu care provoacă șocuri mari de curent și de cuplu. Dacă rotorul este cald într-o poziție fixă, după terminarea procesului tranzitoriu electromagnetic apar curenți de scurtcircuit și cupluri corespunzătoare regimului stabilizat; dacă rotorul accelerează, procesul de accelerare depinde de momentul de inerție al maselor în mișcare, fenomene interesante apar la accelerarea rapidă a maselor mici (moment de inerție mic). Fluctuația tensiunii rețelei sau modificarea cuplului rezistent la arborele motorului pot provoca procese tranzitorii. În practică poate apărea o deconectare urmată de reconectarea motorului funcționând la alunecarea nominală, adică la alunecare mică (de exemplu comutarea stea-triunghi). Prezintă interes și comportarea motorului asincron în cazul scurtcircuitării rețelei. Se constată că motorul la pornire începe să accelereze încă înaintea amortizării procesului tranzitoriu electromagnetic la conectare. În acest caz fenomenele sînt complexe și greu de urmărit, de aceea pentru a evidenția unele aspecte se presupune că procesele tranzitorii electromagnetice au avut loc înainte ca rotorul să fie accelerat. Studiul proceselor tranzitorii ale mașinii asincrone se simplifică în mare măsură, dacă se consideră turația mașinii constantă. În acest studiu se admit mai multe ipoteze simplificatoare: cîmpul magnetic în întrefier are o distribuție spațială sinusoidală, componenta homopolară este nulă, circuitul magnetic al mașinii este liniar. Ecuațiile (3.19) se raportează la datele nominale, astfel tensiunile se raportează la tensiunea nominală  $U_n$ , curenții la curentul nominal  $I_n$ , impedanțele la  $Z_n = \frac{U_n}{I_n}$  și fluxurile la  $U_n/\omega_1 = \psi_n$ .

După efectuarea operațiilor de raportare rezultă:

$$u_{sk}^r = r_1 i_{sk}^r + j \omega_k \varphi_{sk}^r + \frac{d \varphi_{sk}^r}{d \tau} - u_{rk}^r = r_2 i_{rk}^r + j (\omega_k - \omega_r) \varphi_{rk}^r + \frac{d \varphi_{rk}^r}{d \tau} \quad (3.122)$$

unde

$$u_{sk}^r = U_{sk}/U_n; \quad r_1 = R_1/Z_n; \quad i_{sk}^r = i_{sk}/I_n; \quad \varphi_{sk}^r = \varphi_{sk} \omega_1/U_n; \quad \omega_k = p \Omega_k/\omega_1; \\ \omega_r = p \Omega_2/\omega_1; \quad u_{rk}^r = u_{rk}/U_n; \quad r_2 = R_2/Z_n; \quad i_{rk}^r = i_{rk}/I_n; \quad \varphi_{rk}^r = \varphi_{rk} \omega_1/U_n; \quad \tau = \omega_1 t.$$

La ecuațiile (3.122) se adaugă ecuația mișcării care în mărimi raportate se prezintă sub forma:

$$h \frac{d\omega_r}{d\tau} + m_r = -Im(\varphi_{sk}^r i_{sk}^r) \quad (3.123)$$

$$\text{unde } h = \frac{3}{2} \frac{\omega_1 J}{U_n I_n}; \quad m_r = M_r/M_N, \quad M_N = \frac{3}{2} \frac{U_n I_n}{\omega_1}.$$

Pentru simplitate se va renunța la notații  $r$  pentru mărimile raportate, deci:

$$u_{sk} = r_1 i_s + j \omega_k \varphi_{sk} + \frac{d\varphi_{sk}}{d\tau}; \quad -u_{rk} = r_2 i_{rk} + j(\omega_k - \omega_r) \varphi_{rk} + \frac{d\varphi_{rk}}{d\tau};$$

$$h \frac{d\omega_r}{d\tau} + m_r = -Im(\varphi_{sk} i_{sk}). \quad (3.124)$$

Fluxurile magnetice reprezentative raportate în sistemul de referință  $K$  devin:

$$\varphi_{sk} = i_{sk} x_s + i_{rk} x_m, \quad \varphi_{rk} = i_{rk} x_r + i_{sk} x_m; \quad (3.125)$$

$$\text{unde} \quad x_s = \omega_1 L_s / Z_n; \quad x_m = \omega_1 L_m / Z_n; \quad x_r = \omega_1 L_r / Z_n$$

Din relațiile (3.125) rezultă curenții funcție de fluxuri:

$$i_s = \left( \varphi_{ks} - \frac{x_m}{x_r} \varphi_{kr} \right) / (x_s - x_m^2/x_r); \quad i_r = \left( \varphi_{rk} - \frac{x_m}{x_s} \varphi_{ks} \right) / (x_r - x_m^2/x_s). \quad (3.126)$$

Expresiile de la numitorul curenților se pot pune sub forma:

$$x_s - x_m^2/x_r = x_s (1 - x_m^2/x_r x_s) = \sigma_{12} x_s = x'_s$$

$$x_r - x_m^2/x_s = x_r (1 - x_m^2/x_r x_s) = \sigma_{12} x_r = x'_r, \quad (3.127)$$

$x'_s$  și  $x'_r$  se numesc reactanțe tranzitorii, iar  $\sigma_{12} = 1 - x_m^2/x_r x_s$  se numește *coeficientul de dispersie*.

În cadrul ipotezelor admise, ecuațiile de tensiuni (3.124) sînt liniare și se pot rezolva prin calcul operațional.

$$u_{sk}(s) = r_1 i_{sk}(s) + j \omega_k \varphi_{sk}(s) + s [\varphi_{sk}(s) - \varphi_{sk}(0)] \quad (3.128)$$

$$-u_{rk}(s) = r_2 i_{rk}(s) + j(\omega_k - \omega_r) \varphi_{rk}(s) + s [\varphi_{rk}(s) - \varphi_{rk}(0)]$$

$$\varphi_{sk} = i_{sk}(s) x_s + i_{rk}(s) x_m; \quad \varphi_{rk}(s) = i_{rk}(s) x_r + i_{sk}(s) x_m.$$

Aceste ecuații permit studiul regimului tranzitoriu al mașinii asincrone pentru viteza unghiulară a rotorului constantă. Din ultimele trei ecuații (3.128), prin eliminarea mărimilor  $\varphi_{rk}(s)$  și  $i_{rk}(s)$  rezultă:

$$\varphi_{sk} = x_s(s) i_{sk}(s) + [-u_{rk}(s) + s \varphi_{rk}(0)] g(s) \quad (3.129)$$

unde parametrii operaționali  $x_s(s)$  și  $g(s)$  în sistemul de referință considerat au forma:

$$x_s(s) = x_s \frac{1 + (j\omega + s) \sigma_{12} \tau_r}{1 + (j\omega + s) \tau_r}; \quad g(s) = \frac{x_m}{r_2} \frac{1}{1 + (j\omega + s) \tau_r};$$

$$\omega = \omega_k - \omega_r. \quad (3.130)$$



În sistemul de referință FR ( $\omega = 0$  sau  $\underline{\omega}_k = \omega_r$ ) parametrii operaționali au o formă mai simplă:

$$x_s(s) = x_s \frac{1 + s \sigma_{12} \tau_r}{1 + s \tau_r} = x_s \frac{1 + s \tau'_r}{1 + s \tau_r}; \quad g(s) = \frac{x_m}{r_2} \frac{1}{1 + s \tau_r} \quad (3.131)$$

unde  $\tau_r = x_r/r_2$  (în unități relative) este constanta de timp a înfășurării rotorice ( $T_r = L_r/R_2$ ;  $\tau_r = \omega_1 T_r$ ), iar  $\tau'_r = \sigma_{12} \tau_r$  reprezintă constanta de timp a înfășurării rotorice în prezența înfășurării statorice presupusă supraconductoare și conectată în scurtcircuit.

### 3.24.1. PROCESUL TRANZITORIU DE CONECTARE LA REȚEA

Relațiile stabilite permit analiza procesului de conectare la rețea a unei mașini asincrone trifazate care la  $t = 0$  are o turație oarecare. Se determină  $i_s(s)$  și respectiv  $i_s(t)$  când  $r_2 = 0$ , pentru a simplifica calculele, ipoteza este acceptabilă pentru primele momente; pentru  $\varphi_u = \pi/2$  și  $\tau = \pi$  rezultă valoare maximă a curentului de conectare la rețea  $I_{max} \cong \cong 2 \sqrt{2} U_{1n}/x'_s \cong 2 I_{1k}$ . Deoarece circuitul rotoric este supraconductor  $i_s(t)$  nu depinde de turație. Rezultatul se explică prin faptul că în ipoteza considerată câmpul magnetic nu pătrunde în rotor și deci turația nu joacă nici un rol. În realitate  $i_s$  este funcție de turație și scade cu o viteză condiționată de parametrii ambelor înfășurări; în final  $i_A(\infty) \cong U_1 / \sqrt{2} Z_{es}$ .

### 3.24.1. DECONECTAREA MAȘINII ASINCRONE DE LA REȚEA

Parametrii arcului electric ce apare la deconectare nu se pot aprecia exact. Se consideră două etape: prima corespunzătoare timpului  $\tau_1$  în care curentul statoric devine nul; a doua pentru  $\tau > \tau_1$ . Se presupune că pentru  $\tau < \tau_1$  procesul evoluează foarte rapid. Din calcule rezultă că în cazul unei rezistențe rotorice mari se pot stabili tensiuni importante la bornele mașinii în primele momente după deconectarea de la rețea, peste valorile tensiunii de alimentare, adică rezistența rotorică are un efect nefavorabil. Dacă imediat după deconectare se procedează la o reanclanșare,  $U_s$  poate fi mare și se pot stabili curenți importanți, cu mult peste valorile nominale, în cazul în care se prinde momentul de opoziție între tensiunea  $u_s$  și tensiunea rețelei.

### 3.24.3. SCURTCIRCUITUL UNEI MAȘINI ASINCRONE

Mașina asincronă fiind conectată la rețea, la  $\tau = 0$  are loc o scurtcircuitare bruscă a bornelor de alimentare ( $u_s = 0$ ,  $u_r = 0$ ); se calculează  $i_s(t)$  suficient de exact dacă  $r_1 = r_2 = 0$ . Componentele curentului  $i_A(t)$  sînt neamortizate deoarece circuitele sînt supraconductoare și  $I_{max} \cong 2 I_{1k}$ . Prezența rezistențelor  $r_1$  și  $r_2$  fac ca acești curenți să tindă în timp către zero.

### 3.25. MOTOARE ASINCRONE DE MARE PUTERE

Prin trecerea la construcțiile sudate și prin îmbunătățirile constructive aduse, masa pe unitatea de putere a mașinilor electrice a scăzut mereu în ultimele decenii. De exemplu, valorile pentru mașinile asincrone trifazate mari, cu patru poli se situează — în funcție de tipul constructiv — aproximativ între 1,8 kg/kW și 3,5 kg/kW. Printr-o formă aerodinamică avanta-joasă a ventilatoarelor și conductelor de aer de răcire, se realizează o ventila-re optimă, însoțită de pierderi minime prin frecare precum și zgomot mic. Randamentul mai poate fi îmbunătățit prin unele măsuri suplimentare ca de exemplu folosirea de materiale magnetice speciale cu coeficienți de pier-deri mici. Deși se reduce masa pe unitatea de putere, totuși rigiditatea la deformării s-a îmbunătățit datorită posibilităților oferite de tehnica sudurii, asigurându-se o funcționare optimă, fără zgomot. Se realizează construcții care să permită accesul la toate piesele în vederea operațiilor de întreți-nere și reparații și asigurarea schimbării rapide a pieselor de înlocuit. Se folosesc învelișuri din materiale care absorb zgomotul. Îmbunătățirile aduse sînt o consecință a dezvoltării tehnologiei în ceea ce privește fixarea părți-lor frontale ale înfășurărilor, a izolației, a lagărelor. Folosirea calculatoa-relor la proiectarea mașinilor electrice a accelerat o serie de progrese.

Motoarele asincrone de mare putere se construiesc de obicei pentru ten-siunile de 3 kV, 6 kV și pentru puteri de la 200 kW pînă la puterile maxime realizabile cu răcire indirectă cu apă cînd se ating puteri de 15 000 kW și chiar 25 000 kW. Aceste motoare au turații de 3000 rot/min și 1500 rot/min, servesc în măsură predominantă pentru antrenarea pompelor centrifuge, turbocompresoarelor și ventilatoarelor în centralele electrice, în industria chimică, în industria petrolieră, în industria metalurgică și cea minieră. Înfășurările statorului mașinilor de înaltă tensiune se execută cu bobine în două straturi, gata izolate; se utilizează materiale izolante de tipul ră-șinilor sintetice termorigide (rășini epoxidice și rășini pe bază de polies-teri). Manșoanele părților bobinelor care sînt introduse în pachetul de tole trebuie să aibă o rezistență mecanică mare și lipsa completă de spații goale atît în interiorul manșonului, cît și între manșon și fier, dar rigiditatea dielectrică ridicată rămîne cea mai importantă caracteristică. Pentru izo-lația părților frontale ale bobinelor este de dorit o mică elasticitate, pentru ca micile deplasări inevitabile datorită tensiunilor termice și șocurilor în timpul funcționării să nu ducă la formarea de fisurări, deci la străpungeri. După un timp mai îndelungat de funcționare înfășurarea se poate deteriora și trebuie tinut seama de posibilitățile de reparație (crearea posibilităților de a schimba bobine izolate, deoarece deseori importanța defectului nu im-pune schimbarea totală a înfășurării). Statisticile indică deteriorările în-fășurării statorului drept cauza cea mai frecventă a ieșirii din funcțiune a mașinilor electrice. Consolidarea capetelor înfășurărilor trebuie astfel reali-zată încît să reziste la solicitările curenților de pornire. În figura 3.87 se pre-zintă modalități de fixare și consolidare a capetelor de bobină. Această situație se explică prin gradul de utilizare mereu mărit al mașinilor de mare putere; se practică în mare măsură pornirea prin conectarea directă la rețea, iar puterile de scurtcircuit ale rețelei au devenit în general atît de mari, încît tensiunea la conectare rămîne practic constantă. La număr mic de poli ca-petele înfășurării au o lungime relativ mare și deci asupra lor acționează forțe importante. Montarea conductoarelor de legătură dintre diferite grupe

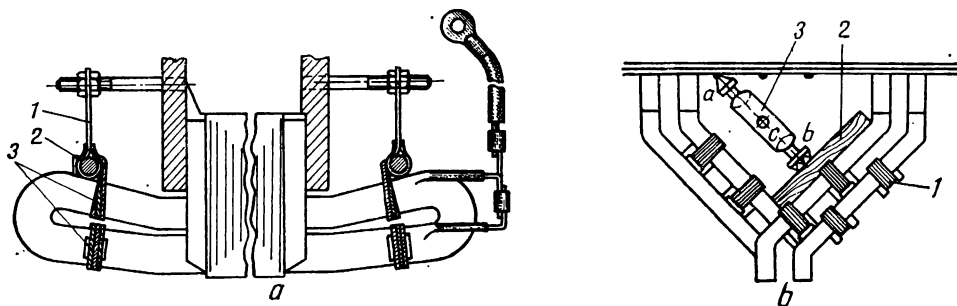


Fig. 3.87. Fixarea și consolidarea capetelor de bobină:

*a* — fixarea capetelor de bobină cu inel; 1 — piesă de fixare a inelului de bandaj; 2 — inel pentru fixarea capetelor de bobină; 3 — bandaj; *b* — dispunerea capetelor de bobină: 1 — bandaj cu distanțori din lemn, 2 — placă din lemn, 3 — dispozitiv pentru consolidarea capetelor de bobină.

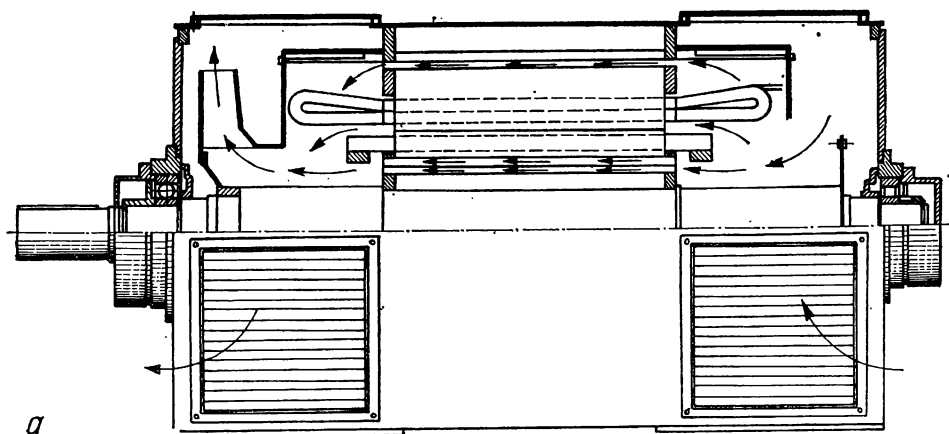
de bobine și deviațiile la cutia de borne sînt detalii importante în construcția motoarelor mari, de mare turație, cu rotorul în scurtcircuit. Conductoarele lungi sînt supuse la solicitări mecanice mari, variabile în timp și spațiu. Pentru a fi protejate împotriva rușilor prin vibrații, legăturile se execută cu materiale flexibile și se montează pe un inel din material plastic, îmbinat rigid cu pereți frontali. Pentru intrările și ieșirile bobinelor se folosesc cabluri flexibile.

Sistemul de ventilație este în strînsă legătură cu tipul de protecție al motorului contra atingerilor accidentale sau a pătrunderii lichidelor. Astfel la motoarele de tip deschis sau protejat (IP-23) se adoptă un sistem de ventilație interioară, aerul de răcire fiind circulat prin interiorul mașinii de către ventilatorul montat pe ax. În cazul mediilor cu praf (fabrici de ciment), în industria chimică sau în cazul funcționării în medii explozive motoarele trebuie să fie de tip „închis”, în acest caz răcirea motorului se face prin convecție, prin ventilarea carcasei.

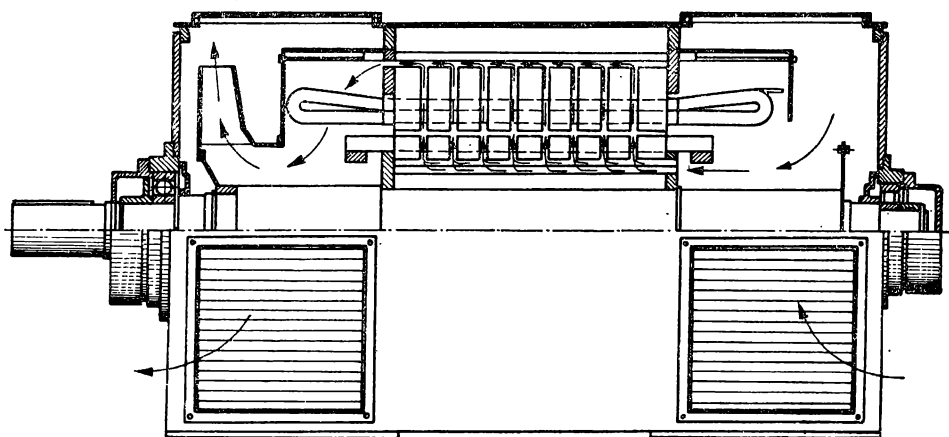
În figura 3.88, *a*, *b*, *c* sînt prezentate trei tipuri reprezentative de ventilație interioară. Sistemele de ventilație axială (fig. 3.88, *a*) se adoptă la motoare de 4 și 6 poli de putere mai mică (cîteva sute de kW). Aerul intră prin partea opusă acționării și se ramifică prin trei canale principale: între pachetul statoric și carcasă, prin întrefier și prin partea dinspre întrefier a creștăturilor, prin canalele axiale din rotor. Creștăturile statorului sînt adaptate, în unele cazuri, în sensul că între bobinaj și întrefier rămîne un spațiu care constituie un canal axial de ventilație (fig. 3.89). Datorită absenței unor canale radiale în pachetul de tole, la sistemul de ventilație axială apar diferențe mari între temperatura bobinelor în lungul pachetului. Astfel numai o mică parte din bobinaj ajunge la nivelul maxim de temperatură admis de clasa de izolație a mașinii (fig. 3.90, *a*). Temperatura medie a bobinajului diferă mult de temperatura maximă, acest fapt constituind un dezavantaj.

În figura 3.88, *b* este prezentat un exemplu de ventilație interioară radială, sistem adoptat în general la motoarele lente ( $p = 6, 8 \dots$ ). Pachetele de tole stator-rotor sînt divizate în pachete elementare care se corespund. Aerul intră mai întîi în rotor, prin canalele axiale, după care se ramifică și străbate radial întrefierul, răcind în continuare statorul. În acest sistem elementele distanțoare dintre pachetele rotorului au rol de ventilatoare auxiliare contribuind la mărirea presiunii statice a aerului de răcire. Temperatura bobinajului rezultă aproape uniformă în lungul pachetului de tole (fig. 3.90, *b*).

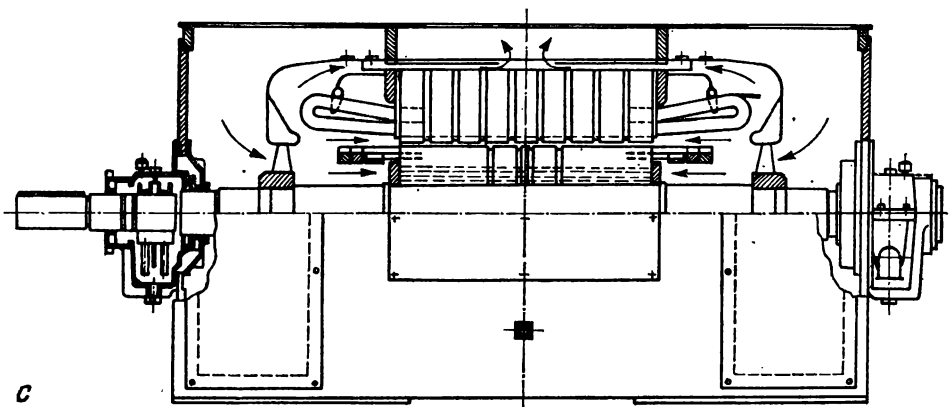
La motoarele rapide de putere mare ( $2p = 2$ ) se utilizează sistemul de ventilație interioară radial-axială bilaterală (fig. 3.88, *c*). La aceste motoare raportul dintre diametrul interior și lungimea este mic și acest sistem de răcire rezultă ca fiind avantajos. Sînt necesare canale radiale în pachetele de tole, dar la rotor canalele sînt mai puține și concentrate la



*a*



*b*



*c*

Fig. 3.88. Tipuri de răcire prin ventilație interioară (BBC):

*a* — secțiune printr-un motor cu ventilație axială unilaterală; *b* — secțiune printr-un motor cu ventilație radială;  
*c* — secțiune printr-un motor cu ventilație axial-radială bilaterală.

Fig. 3.90. Variația axială a temperaturii bobinajului statoric funcție de tipul de  $\frac{1}{2}$  ventilație interioară:

*a* — ventilație pur axială; *b* — radială; *c* — axial-radială bilaterală.

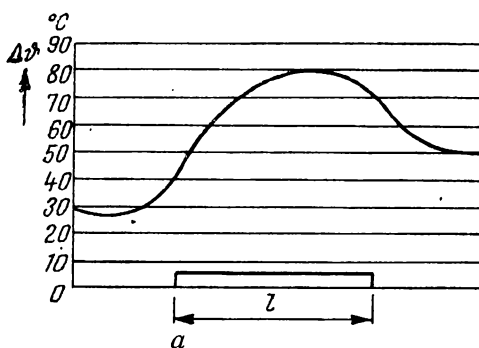
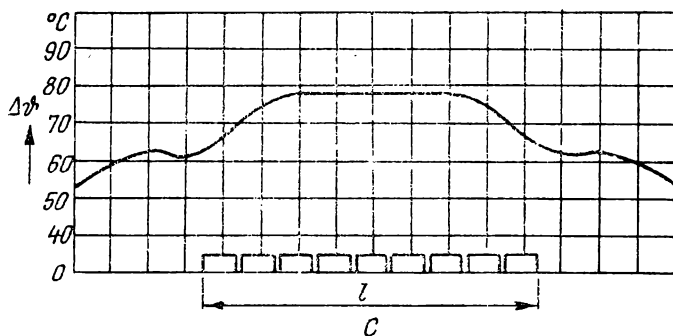
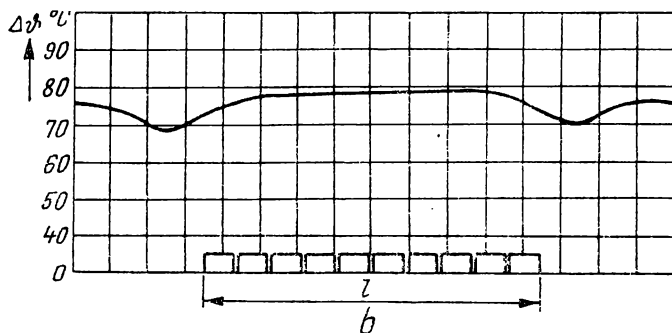
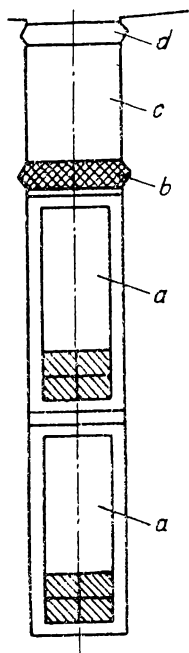


Fig. 3.89. Crestătură statorică cu canal de ventilație axială (pentru mașinile din fig. 3.88, *a* și *c*.)

*a* — înfășurare; *b* — pană de sticlotextolit; *c* — parte din crestătură goală utilizată pentru ventilație; *d* — pană magnetică.



mijlocul pachetului. Aerul pătrunde în mașină prin cele două părți frontale răcind puternic ambele capete de bobină. În continuare aerul intră axial prin rotor și apoi radial printre pachetele de tole statorice. Distribuția temperaturii bobinajului este prezentată în figura 3.90, *c*.

Pentru motoarele de tip închis se utilizează ventilația exterioară. Căldura produsă în interiorul mașinii este transportată pînă la carcasă prin conducție și convecție, în continuare căldura este evacuată prin convecție. Motoarele de puteri medii (200—400 kW) au carcase prevăzute cu nervuri și un ventilator exterior care suflă aerul de-a lungul carcasei printre nervuri, îmbunătățind condițiile de cedare a căldurii (fig. 3.91). La motoarele de puteri mai mari acest sistem de răcire nu mai este suficient, deoarece cu creșterea puterii și a dimensiunilor mașinii, raportul dintre pierderile din mașină și suprafața de cedare a căldurii crește (pierderile cresc proporțional cu volumul activ al mașinii). Din această cauză la motoare mai mari se utilizează sistemul de carcasă cu țevi. Un motor asincron cu carcasă prevăzută cu țevi, avînd scutul demontat, este arătat în figura 3.92. În acest caz există două circuite de aer notate cu I, II în fig. 3.93, separate, cu schimb de căldură reciproc. Sistemul de țevi

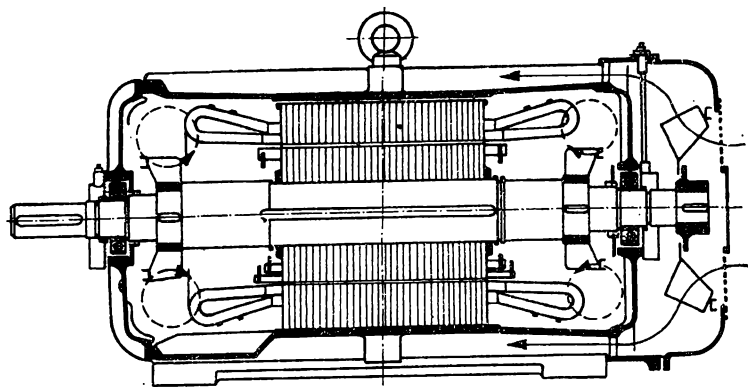


Fig. 3.91. Ventilație exterioară, carcasă cu nervuri (secțiune).

Fig. 3.92. Ventilație exterioară, carcasă prevăzută cu țevi (stator + carcasă).

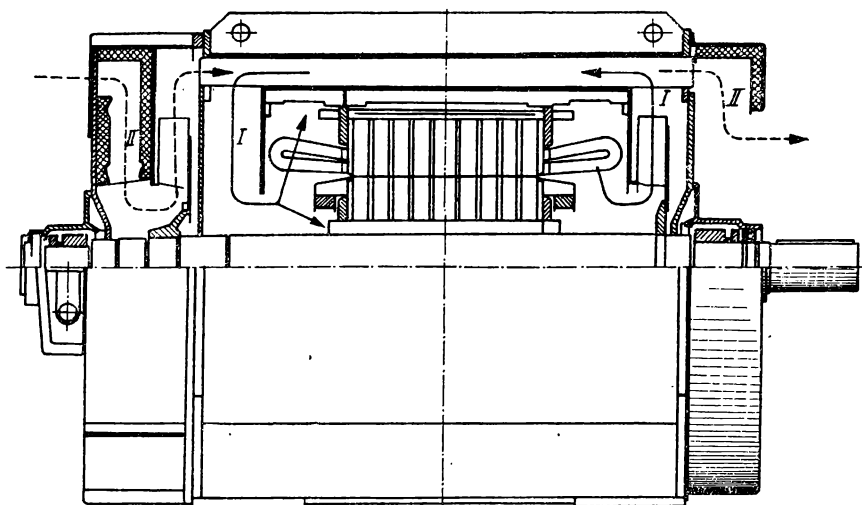
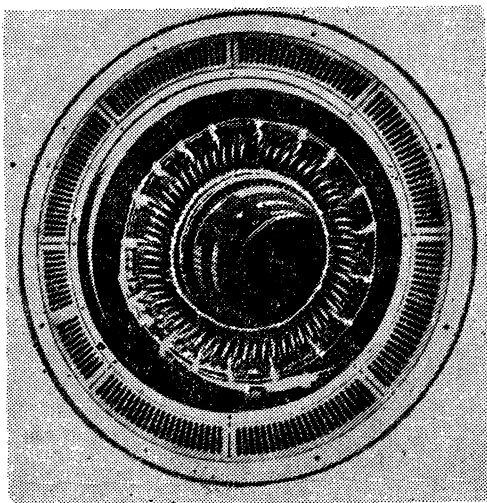


Fig. 3.93. Secțiune printr-un motor cu ventilație exterioară cu schimbător de căldură aer-aer cu țevi (BBC).

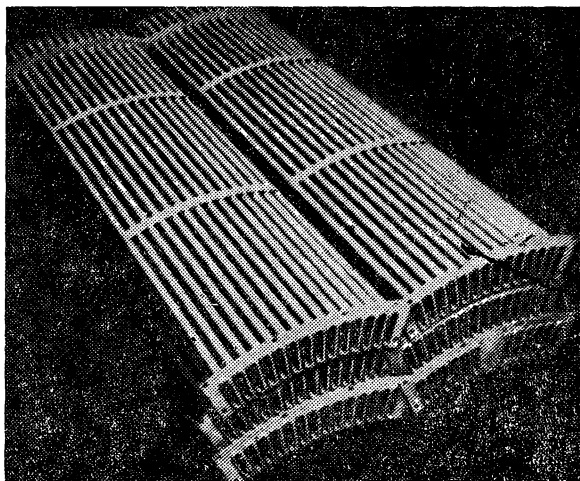


Fig. 3.94. Sistem modular cu țevi (BBC).

funcționează ca un schimbător de căldură aer-aer în contra-curent. Ventilatorul exterior funcționând prin refulare, trimite aerul ambiant prin țevile axiale, în timp ce ventilatorul interior creează un circuit de aer închis, printre țevi. Schimbul de căldură se face prin pereții țevelor (fig. 3.94). La motoare închise de puteri mari (până la 10 MW) se utilizează și schimbătoare de căldură aer-apă. În aceste cazuri, circuitul închis interior de aer trece printr-un sistem de țevi situat de obicei deasupra motorului (fig. 3.95). Schimbul de căldură în schimbătoarele aer-apă este mai eficient, țevile de apă putând fi executate cu nervuri pentru mărirea suprafeței de contact cu aerul. Prezintă însă dezavantaje, în sensul că necesită o sursă de apă și o întreținere a schimbătorului mai pretențioasă.

În locul schimbătoarelor de căldură dispuse deasupra statorului se poate folosi și un fascicul de țevi care înconjoară concentric statorul. Dacă folosirea apei este neeconomică

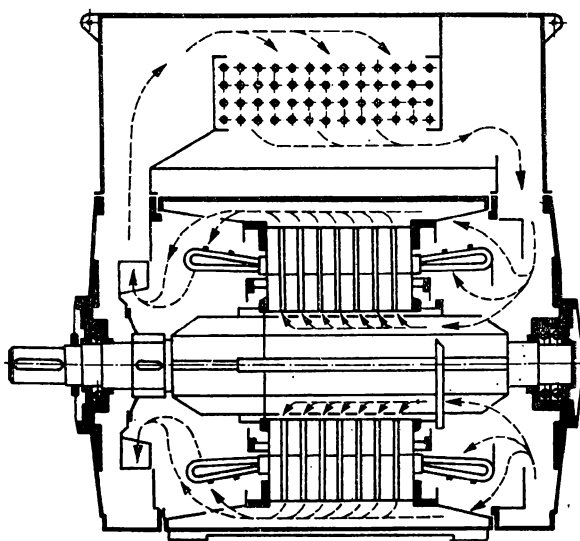


Fig. 3.95. Sistem de răcire cu ventilație interioară și schimbător de căldură aer-apă (SIEMENS).

se analizează posibilitatea de utilizare a aerului care să parcurgă aceste țevi, evident cu scăderea gradului de utilizare a mașinii; mai trebuie adăugat că utilizarea aerului mărește nivelul zgomotului mai ales la mașinile de mare turație. Zgomotul poate fi limitat montind amortizoare de zgomot la intrarea și la ieșirea aerului din mașină. Amortizoarele de zgomot se realizează dintr-un înveliș de tablă de oțel, prevăzut cu izolație fonică a cărui grosime și distanță de la carcasa mașinii sînt dimensionate astfel ca să diminueze zgomotul dat de circuitul magnetic. Aceste măsuri nu necesită un spațiu mare și totuși reduc zgomotul într-o măsură însemnată.

În ultimul timp în centralele electrice, în rafinării, în industria chimică mașinile asincrone se montează tot mai mult în aer liber. Din cauza înghețului se preferă motoare asincrone răcite cu țevi pentru aer. Secțiunile de trecere a aerului sînt mari astfel încît la intrare să aibă o viteză mică și independentă de viteza vîntului, aerul este supus unei filtrări și este deviat de mai multe ori. Rezistența la umiditate și la substanțe chimice agresive a noilor tipuri de izolație pe bază de rășini sintetice prezintă avantaje deosebite

În ultimii ani se constată o tendință de trecere și pentru motoarele de putere mai mare la lagăre în scuturi, domeniul de utilizare al rulmenților s-a deplasat spre puteri mari. O durată de viață normală (50 000 ore) se poate realiza în prezent pînă la puteri de ordinul 2000 kW. Durata de viață mai mare (pînă la 100 000 ore) se cere numai în cazuri speciale (serviciile auxiliare din centralele electrice).

S-a dovedit avantajos în practică să se înlocuiască lagărele după 30 000 ore de funcționare, în cadrul controlului ciclic al mașinii.

Rulmenții lubrifikați cu unsoare nu necesită aproape nici un fel de întreținere, pentru perioade lungi de timp. Rulmenții au durată de viață relativ scurtă, sînt sensibili la șocuri, produc zgomot și la înlocuire necesită mai multă muncă de montaj.

Deoarece se uzează numai la pornire și la oprire, lagărele de alunecare au o durată de viață mare, au o acțiune de amortizare a șocurilor și pot fi ușor verificate.

Căldura produsă datorită frecărilor în lagărele de alunecare se evacuează la mașinile mari prin ungere cu circulație de ulei sau prin răcire cu apă. Acest sistem impune o întreținere mai pretențioasă, iar siguranța în funcționare a întregii instalații depinde de starea de uzură a anumitor elemente (pompa de ulei). Coeficienții de frecare la lagărele de alunecare sînt mai mari decît la rulmenți, mai ales la pornire. Pentru a evita o uzură prematură uneori este necesară descărcarea lagărului prin alimentarea cu ulei sub presiune.

Pentru protecția motoarelor și pentru evitarea unor timpuri de nefuncționare mai mari, se utilizează un număr mare de aparate de control și protecție, care asigură protecția la suprasarcină, controlul temperaturii înfășurărilor și lagărelor; în ultimul timp s-a introdus și un dispozitiv de supraveghere a întrefierului.

Controlul temperaturii lagărelor împiedică defectele datorită ungerii insuficiente, prezenței corpurilor străine și uzurii anormale. O deteriorare progresivă a lagărelor sau nefuncționarea sistemului de ungere la lagărele cu alunecare nu este semnalată atît de repede încît să se evite consecințele frecării rotorului de stator. Deplasarea rotorului în lagăre, deplasarea mașinii pe fundație, deformarea prin nesimetrii termice și prin îmbătrînire, deteriorarea unor piese constructive sînt alte cauze ale modificării întrefierului care pot fi sesizate numai printr-o supraveghere directă.



### 3.26. MOTOARE ASINCRONE SUPRARAPIDE [56], [57]

Dezvoltarea tehnicii moderne a impus creșterea vitezei de lucru în multe domenii. Creșterea vitezei este determinată nu numai de o creștere a productivității ci și de anumite cerințe tehnologice, de precizia aparatelor și de apariția unor noi domenii ale tehnicii.

Motoarele asincrone suprarapide se utilizează la acționarea dispozitivelor de șlefuire interioară, la prelucrări de piese cu diametre mici, la prelucrări ale pieselor din lemn, la prelucrarea unor detalii în construcția diferitelor dispozitive, la sisteme centrifugale, la înregistrarea unor procese rapide. Aceste motoare sînt alimentate de la surse de curent alternativ cu frecvențe pînă la 10 000 Hz (400, 500, 600, 800, 1000, 1200, 1600, 2400, 4800, 8000, 9600 Hz) rezultînd viteze de sincronism de pînă la 600 000 rot/min, (tabelul 3.6.).

TABELUL 3.6. Date tehnice ale motoarelor asincrone suprarapide

$P_1$ kW	$P_n$ kW	$n_1$ rot/min	$f_1$ Hz	$D$ mm	$v_1$ M/s	$U_1$ V	$I_{1n}$ A	$I_{1k}$ A	$m_1$	$2p$	Țara	
	5	12 000	200	70	44	220			3	2	U.R.S.S.	
	3,5	18 000	300	70	66	220			3	2		
	2	24 000	400	70	88	220			3	2		
	2	36 000	600	70	132	220			3	2		
	0,8	48 000	800	31	78	220			3	2		
	0,05	60 000	1 000	31	97,5	220			3	2		
	0,5	72 000	1 200	31	117	220			3	2		
	0,2	96 000	1 600	25	125,5	220			3	2		
	0,1	120 000	2 000	25	157	220			3	2		
	0,1	120 000-	2 000-	25	157-	220			3	2		
		144 000	2 400		188							
	0,2	120 000-	2 000-	25	157-	220			3	2		
		144 000	2 400		188							
0,46/0,37		150 000/ 120 000	2 500/ 2 000			191/ 153	1,6		2	2	Italia (Gamfior)	
0,42		120 000	2 000			145	1,2	3,6	2	2		
0,55		90 000	1 500			108	2,2	6,5	2	2		
0,7		60 000	1 000			72	3,8	11				
1,2		45 000	750			54	9	27				
0,7		45 000- 75 000	1 500- 2 500			115- 196			3	4	S.U.A. (Bryant)	
0,35		90 000- 150 000	1 500- 2 500			115- 190			3	2		
8,36/5,2*	6/3,7	50 000/ 30 000	833/ 600	∅ 140 L308		180/ 108	26,8/ 27,6		3	2	I <sub>10</sub> 11/11	JAPONIA (Seiko-Seiki)
3,36/2,36*	1,8/ 1,2	80 000/ 40 000	1 333/ 666	∅ 100 L179		200/ 120	9,7/ 11,5		3	2	6/7,5	
1,33/1,01*	0,7/ 0,5	10 <sup>3</sup> / 50 000	1 666/ 833	∅ 100 L172		230/ 160	3,34/ 3,65		3	2	1,83/ 2,4	
0,7/0,63*	0,35/ 0,2	15 · 10 <sup>4</sup> / 10 <sup>5</sup>	2 500/ 1 666	∅ 100 L140		240/ 210	1,68/ 1,74		3	2	1,1/ 1,27	

$D$  — diametrul interior al statorului;  $L$  — lungimea motorului, inclusiv capătul de ax;  $I_{10}$  — curentul de mers în gol;  $v_1$  — viteza la periferia rotorului.

\* Se dă puterea aparentă

Cel mai adesea înfășurarea statorică este o înfășurare trifazată dispusă în creștăturile statorului împachetat din tole subțiri realizate din oțel electrotehnic. Miezul statoric este fixat într-o carcasă din aliaj de aluminiu (fig. 3.96), uneori se utilizează și fixarea cu scoabe. În figura 3.97 se dă grosimea tolei ce se recomandă la diferite frecvențe, precum și factorul de umplere. După GOST tolele au grosimile: 0,5; 0,35; 0,2; 0,15; 0,10 mm. Tolele sînt izolate cu lac sau oxizi. În funcție de viteza de rotație și putere se alege construcția rotorului. Pachetul rotoric trebuie să fie calculat la solicitările mecanice deoarece viteza periferică la aceste viteze de rotație (pînă la 600 000 rot/min) este foarte mare. Diametrul rotorului rezultă din condiția de rezistență a materialului. Întrefierul rezultă din condiții mecanice, tehnologice și a curentului de mers în gol ( $\delta \cong 0,15 \div 0,3$  mm).

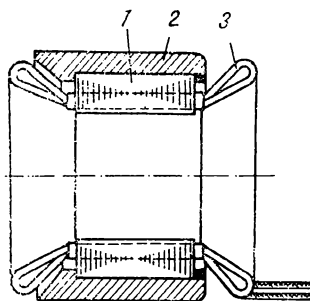


Fig. 3.96. Pachetul statoric fixat în carcasă de aluminiu: 1 — pachet statoric; 2 — carcasă de aluminiu; 3 — capetele de bobine.

Pentru motoarele suprarapide se utilizează mai multe tipuri de rotoare: rotor din tole cu colivie; rotor masiv cu colivie, rotor masiv cu un cilindru din alamă (fig. 3.98). La construcția rotorului, printre altele se iau în considerare: materialele din care se realizează elementele componente ale rotorului; materialele să aibă stabilitate la vibrații în condiții date de temperatură; construcția rotorului să fie simplă, pentru ca pierderile datorită frecării cu aerul să fie mici, factorii dinamici la echilibrarea rotorului.

Pentru micșorarea cuplurilor parazite se recomandă înclinarea creștăturilor rotorice. Creștăturile rotorice pot fi închise (fig. 3.99, a), semiînchise (fig. 3.99, b) sau deschise; dimensiunea  $h$  rezultă din condițiile de rezistență mecanică. În scopul obținerii unor caracteristici electromecanice îmbunătățite este preferată creștătura semiînchisă. Dacă viteza la periferia rotorului depășește 185 m/s atunci se utilizează rotor masiv cu înfășurarea în scurt-circuit (fig. 3.99, c). Pentru viteze mari ( $v > 185$  m/s) și puteri mari (sute de kW) rotorul masiv se realizează cu creștături deschise în care se dispun barele coliviei, creștătura se închide cu o pană din oțel nemagnetic fixată prin sudare de dinții rotorului masiv (fig. 3.99, d). Pe stator creștăturile se aleg semiînchise și se utilizează, de obicei, înfășurarea în două straturi; deși tehnologic este mai greu de realizat totuși capetele de bobină pot fi

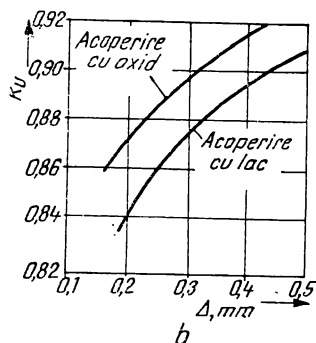
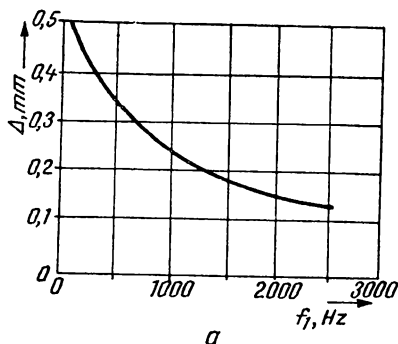
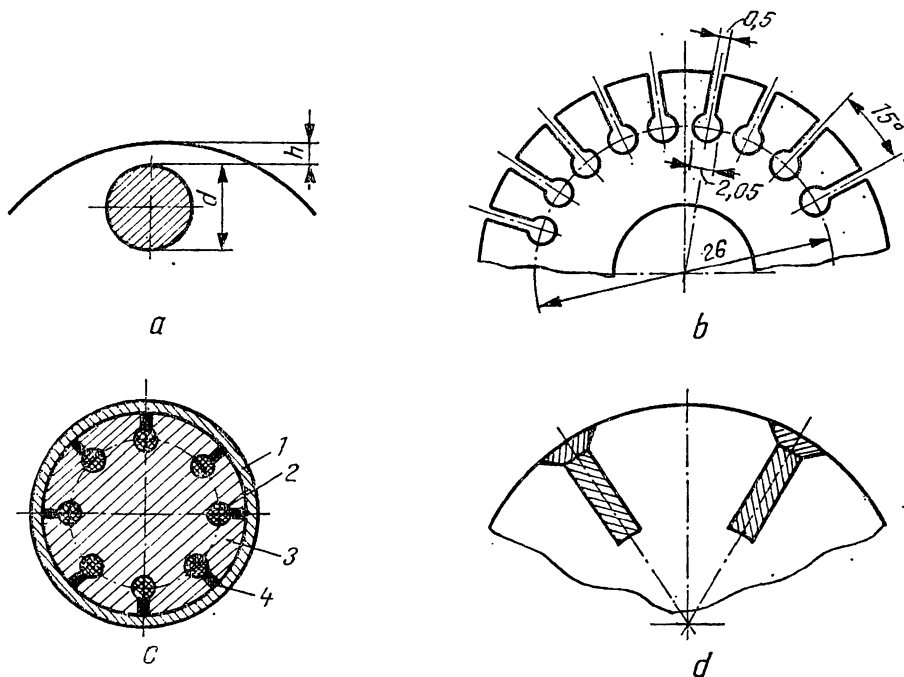
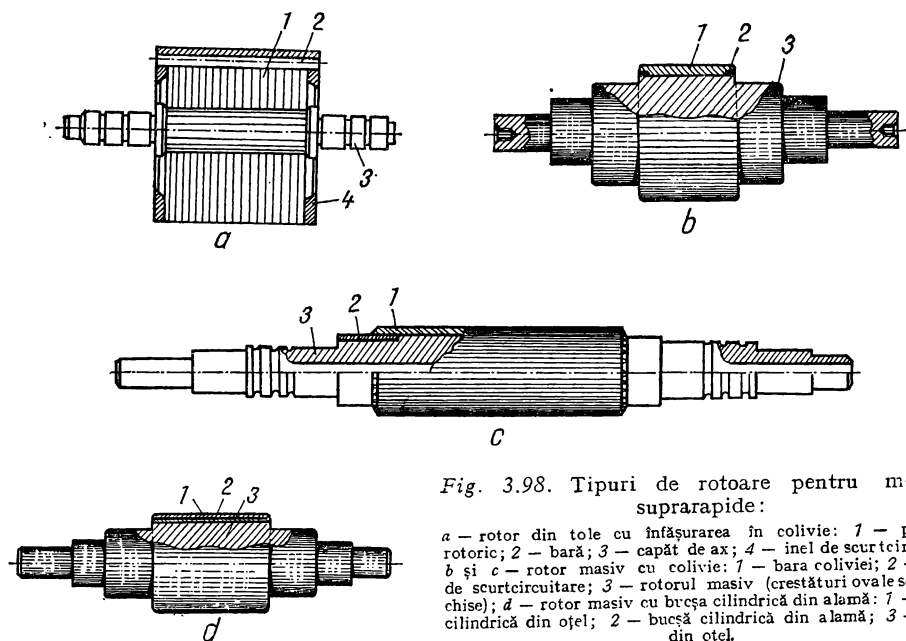


Fig. 3.97. Grosimea tolei în funcție de frecvență a); factorul de umplere în funcție de grosimea tolei (b).



dispuse mai compact. Numărul de cres-tături rotorice și statorice se alege astfel încât să diminueze efectele armonicilor de ordin superior.

Lăgărele cu rulmenți folosesc rulmenți radiali, radiali axiali și de tip special (fig. 3.100), rulmenții utilizați au role sferice sau cilindrice. Particularitatea acestor rulmenți constă în existența separatorului din textolit prelucrat cu mare precizie. Rulmenții mai utilizați sînt cei cu role sferice pentru că pierderile prin frecări sînt mai mici. În prezent se pot realiza rulmenți pentru turații de peste  $10^5$  rot/min. Cu cît viteza și sarcina motorului sînt mai mari cu atît ungerea rulmenților devine mai importantă; în figura 3.101 se prezintă un sistem de ungere; în unele cazuri se adaugă și răcirea cu apă.

În figurile 3.102 și 3.103 se prezintă schematic tipuri de lăgăre cu aer utilizate cînd alte sisteme de lăgăre nu dau rezultate; schema unui motor cu lăgăre cu aer se prezintă în figura 3.104. În figura 3.105 se prezintă secțiunea longitudinală a unui motor cu lăgăre cu rulmenți.

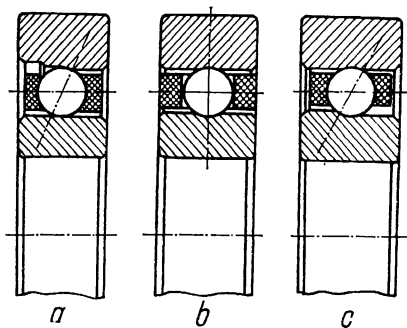


Fig. 3.100. Tipuri constructive de lăgăre cu rulmenți:

a — rulmenți radiali-axiali cu inelul exterior demontabil; b — rulmenți radiali; c — rulmenți radiali-axiali cu inelul interior demontabil.

## 3.27. MICROMAȘINI DE TIP ASINCRON

### 3.27.1. SELSINELE

Sînt micromașini de construcție asemănătoare mașinilor uzuale (fig. 3.106); cele două armături se realizează din oțel electrotehnic. Pe una din armături, cu poli plini sau aparenti este plasată înfășurarea de excitație (monofazată) pe cealaltă armătură cilindrică, înfășurarea de sincronizare, trifazată, plasată în cresături. Uneori în tălpile polare se prevăd bare de amortizare din cupru în vederea reducerii pendulațiilor la trecerea dintr-o poziție stabilă în alta. Pentru reducerea frecărilor, inelele de contact se realizează din argint și nichel iar periile din bandă de argint. Selsinele în construcție prezentată lucrează în schema de telemăsură, cînd se urmărește unghiul de poziție al arborelui pilot, în care caz se utilizează două selsine: un selsin emițător SE și un selsin receptor SR (fig. 3.107). Caracteristic pentru această schemă este prezența unui cuplu la arborele SR care poziționează un ac indicator în dreptul unei scări gradate, de unde și denumirea de *regim indicator*. Selsinele SE și SR se consideră identice, iar înfășurările de excitație sînt alimentate de la aceeași rețea monofazată de frecvență  $f$ . Înfășurările de sincronizare se consideră simetrice iar bornele analoage se leagă galvanic între ele. Curenții în înfășurarea de excitație la cele două selsine sînt:  $i_{eE} = i_{eR} = I_{0m} \cos \omega t$ . T.e.m. induse în faza de referință (indice 1) a selsinelor SE și SR sînt:  $e_{E1} = E_m \cos \omega t \cdot \cos \theta_E$ ,  $e_{R1} = E_m \cos \omega t \cdot \cos \theta_R$ . Curentul din fazele 1 este determinat de t.e.m.  $e_{E1} - e_{R1} = 2 E_m \cos \omega t \cdot \sin \frac{\theta_d}{2} \sin \left( \theta_E - \frac{\theta_d}{2} \right)$  și deci curentul  $i_1 = I_m \cos (\omega t - \varphi) \sin \frac{\theta_d}{2} \sin \left( \theta_E - \frac{\theta_d}{2} \right)$ .

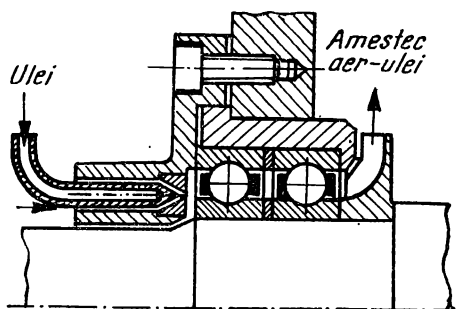


Fig. 3.101. Lagăr cu rulmenți cu role sferice și ungere forțată.

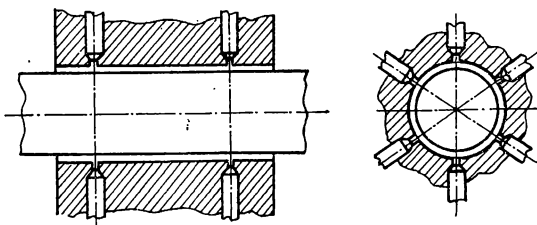


Fig. 3.102. Lagăr cu aer alimentat sub presiune cu două șiruri de orilicii.

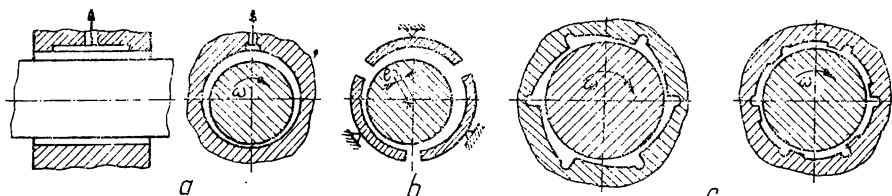


Fig. 3.103. Lagăre cu aer autoportante:

a — cuzinet cilindric complet; b — lagăre cu sectoare; c — lagăre cu buzunare (a) un efect asemănător sectoarelor).

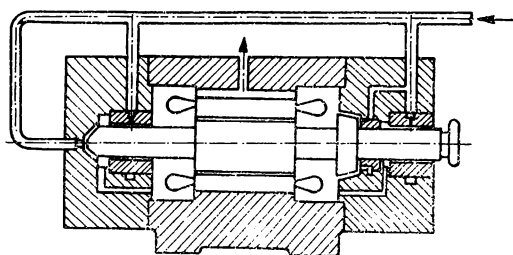


Fig. 3.104. Schița unui motor electric de 0,25 CP și 60 000 rot/min. pe lagăre cu aer alimentate sub presiune.

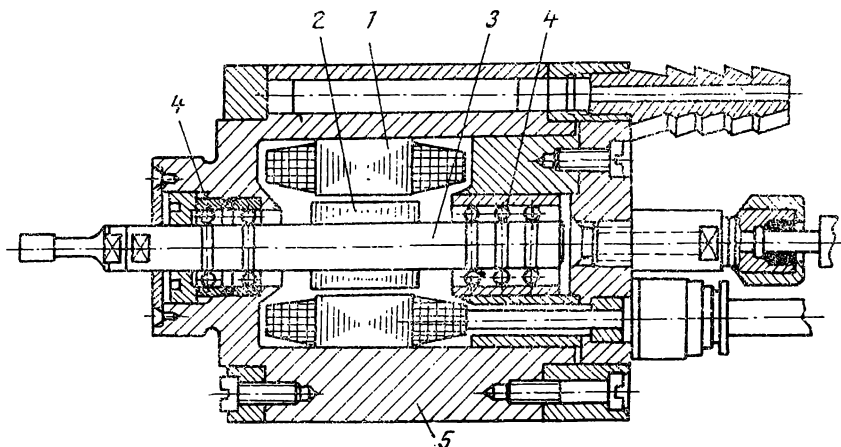


Fig. 3.105. Secțiune longitudinală a unui motor suprarapid pentru turații de 60 000—120 000 rot/min:

1 — stator; 2 — rotor; 3 — arbore; 4 — rulmenți cu ungere cu ulei; 5 — carcasă cu sistemul de evacuare a căldurii.

Pentru fazele 2 și 3 relațiile sînt similare doar că  $\theta_E$  devine  $\theta_E - \frac{2\pi}{3}$  și respectiv

$$\theta_E - \frac{\pi}{3}.$$

Unghiul  $\theta_a = \theta_E -$

$\theta_R$  se numește unghi de dezacord între axele celor două rotoare. Cînd curenții statorici sînt diferiți de zero, în cele două selsine se stabilesc cupluri de sensuri opuse, de sincronizare, ce tind să reducă unghiul de dezacord  $\theta_a$ . Cuplul care se exercită asupra rotorului selsinului se determină pe baza relației  $M = \frac{3}{2} p (\psi_i i_q - \psi_q i_a)$  și rezultă

$M \approx M_{max} \sin \theta_a$ . Normal, în regim indicator selsinele funcționează la  $\theta_a$  mic și la viteză redusă ( $n/n_1 = 0,02 \dots 0,15$ , valoarea mică corespunde la frecvențe ridicate  $f = 400 - 500 \text{ Hz}$ ).

Dacă la postul de recepție (PR) în vederea urmăririi automate a unei mărimi de intrare (un unghi, o viteză) este necesar să se dezvolte un cuplu important, selsinele se conectează în scheme transformator (fig. 3.108). În acest caz mărimea de ieșire a selsinului SR este o tensiune a cărei amplitudine depinde de  $\theta_a$ , această tensiune se aplică la intrarea unui amplificator de putere  $A$ , semnalul amplificat acționează servomotorul SM și prin intermediul reductorului R arborele este condus în sensul reducerii unghiului  $\theta_a$ . Printr-o legătură de reacție se compară unghiurile  $\theta_R$  și  $\theta_E$  astfel ca la  $\theta_a = 0$ , tensiunea la selsinul SR să fie nulă. T.e.m. indusă în înfășurarea rotorică se pune sub forma:  $e_R = E_m \sin(\omega t - \varphi) \sin \theta_a$ . Cu această tensiune se alimentează un amplificator de putere  $A$ .

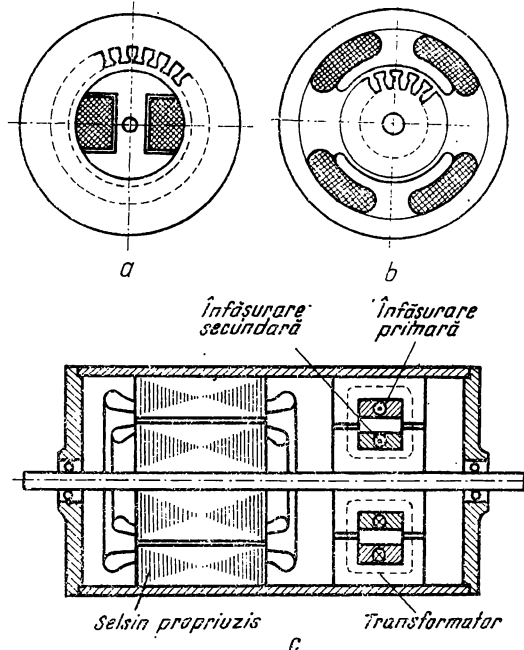


Fig. 3.106. Tipuri de selsine:  
a - cu înfășurare de excitație; dispusă pe rotor; b - cu înfășurare de excitație dispusă pe stator; c - selsin fără contacte.

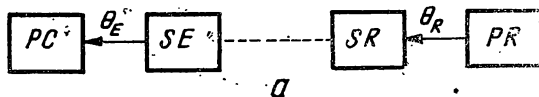


Fig. 3.107. Schema funcțională a selsinelor în regim de indicator (a); PC - post de comandă; SE - selsin emițător; SR - selsin receptor; PR - post de recepție; schema de conexiuni a selsinelor în regim de indicator (b).

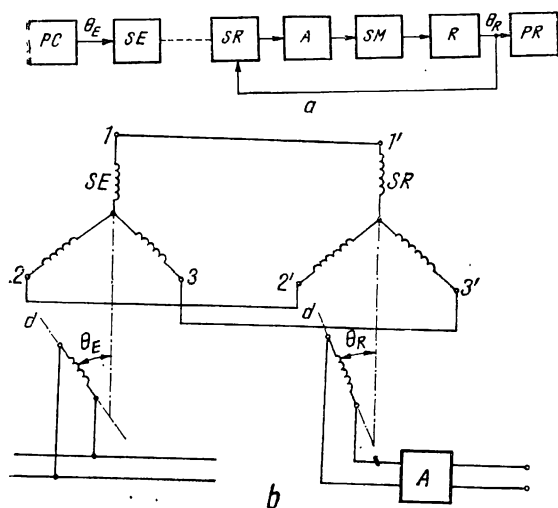


Fig. 3.108. Schema funcțională a selsinelor în regim de transformator (a): IC — post de comandă; SR — selsin receptor, A — amplificator; R — reductor, SM — servomotor, PR — post de recepție; schema de conexiuni a selsinelor în regim de transformator (b).

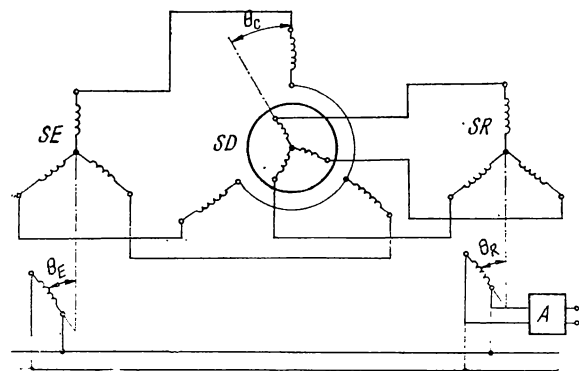


Fig. 3.109. Schema de conexiuni a selsinelor diferențiale.

maximă  $\Delta\theta_{am}$ . Pentru determinarea acestei erori se ridică curba  $\Delta\theta_a = f(\theta_E)$ , pentru cele două sensuri de rotație. Media aritmetică a erorilor maxime din cele două sensuri de rotație determină eroarea  $\Delta\theta_{am}$  după a cărei valoare selsinele se împart în trei clase (tabelul 3.7).

TABELUL 3.7. Clasa de precizie a selsinelor

Clasa de precizie	1	2	3
Emitător	$\pm 0^\circ 15'$	$\pm 0^\circ 30'$	$\pm 1^\circ$
Receptor	$\pm 0^\circ 45'$	$\pm 1^\circ 30'$	$\pm 2^\circ 30'$
Transformator	$\pm 0^\circ 15'$	$\pm 0^\circ 30'$	$\pm 0^\circ 450'$

Dacă la postul de recepție trebuie să se însumeze efectul a două mărimi de intrare (unghiuri de poziție sau viteze unghiulare) se utilizează în scheme și selsinul diferențial. Acesta cuprinde elementele constructive ale unei mașini asincrone trifazate (fig. 3.109). Schemele cu selsin diferențial se aplică când apare necesitatea ca să se intervină la postul receptor cu o corecție unghiulară. T.e.m. indusă în înfășurarea rotorică a selsinului receptor se poate pune sub forma:  $e_R = E_m \cos(\cot - \varphi') \sin(\theta_E \pm \theta_c) - \theta_R$ .

Amplificatorul și servomotorul funcționează dacă  $\theta_E \pm \theta_c - \theta_R \neq 0$ . Practic condiția  $\theta_a = 0$  în diversele regimuri de funcționare nu poate fi realizată și arborele postului de recepție urmărește cu o anumită eroare deplasările arborelui pilot. Când selsinele nu se rotesc, erorile se numesc statice; la rotirea selsinelor, intervin erori dinamice, de regulă mai mari. Cauzele erorilor sînt de natură electromagnetică, mecanică, de exploatare. Erorile nu sînt constante, ele depind de poziția relativă a rotorului față de stator și de sensul de rotație. Clasa de precizie a selsinelor este dictată de eroarea medie

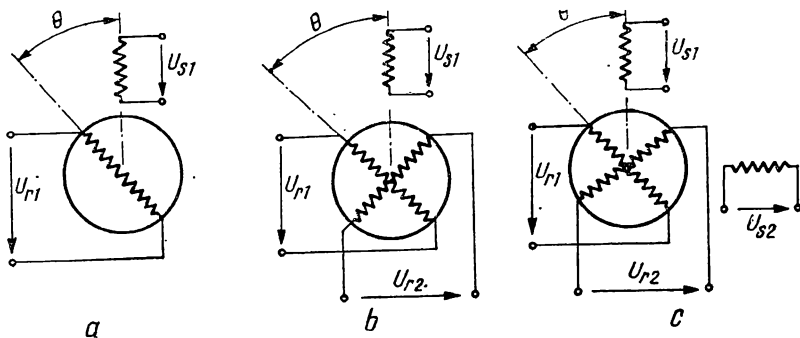


Fig. 3.110. Schemele de conexiuni ale transformatoarelor rotitoare:

a — cu o înfășurare pe stator și una pe rotor; b — cu două înfășurări pe rotor și una pe stator;  
c — cu două înfășurări pe stator și două înfășurări pe rotor.

### 3.27.2 TRANSFORMATORE ROTITORE

Constructiv se aseamănă cu o mașină electrică, rotorul și statorul sînt realizate din tole de oțel electrotehnic. În creștăturile statorului sînt dispuse două înfășurări identice bi- sau multipolare decalate spațial cu  $90^\circ$  electrice care produc fiecare cîmpuri magnetice pulsatorii sinusoidale în timp și spațiu (fig. 3.110). În creștăturile rotorului se află două înfășurări ortogonale identice. Cuplajul magnetic între înfășurările statorice și rotorice se poate varia prin schimbarea poziției relative a celor două armături. Valoarea eficace a t.e.m. induse în înfășurările rotorice (cînd pe rotor se află două înfășurări) se pot pune sub forma:  $E_{r1} = E_1 K_1 \cos \theta$ ;  $E_{r2} = E_2 K_2 \sin \theta$ ;  $K_1$  și  $K_2$  sînt rapoarte de transformare. Dacă pe stator sînt două înfășurări atunci  $E_{r1} = E_1 \cos \theta + E_2 \sin \theta$  și  $E_{r2} = E_1' \cos \theta + E_2' \sin \theta$ . Obișnuit, se alimentează cu tensiuni de frecvență 400—500 Hz. Transformatorul rotitor are o serie de aplicații în tehnică: transformarea coordonatelor la aeronave, obținerea unor tensiuni decalate în timp pentru poziționări, în tehnica calculatoarelor pentru generarea funcțiilor trigonometrice.

### 3.27.3 INDUCTOSINELE

La inductosine atît înfășurarea primară, cît și înfășurările secundare sînt plasate pe fețele laterale ale unor discuri coaxiale și paralele din material izolant prin imprimare sau ștanțare și lipire cu rășini. Pe discul rotor se plasează o înfășurare monofazăată multipolară. Pe discul stator se află două înfășurări distincte, multipolare, cu același pas polar unghiular ca și la înfășurarea rotorică, fiind împărțite în secții identice și decalate spațial una față de cealaltă cu o jumătate de pas polar unghiular (fig. 3.111). Secțiile fiecărei înfășurări sînt înseriate astfel ca t.e.m. induse să se adune. Inductosinul reprezintă un transformator rotitor în aer și din această cauză cuplajul magnetic este slab, deci se vor utiliza amplificatoare puternice. Tehnica imprimării permite realizarea unor dimensiuni reduse la un număr de perechi de poli mare (64,128 sau 256 pentru sistemele funcționînd în cod binar, 100 sau 200 pentru sistemele în cod zecimal, 180 sau 360 în alte cazuri).

Numărul mare al conductoarelor rotorice și statorice, precum și dispunerea lor potrivită permite realizarea unei variații practic sinusoidale



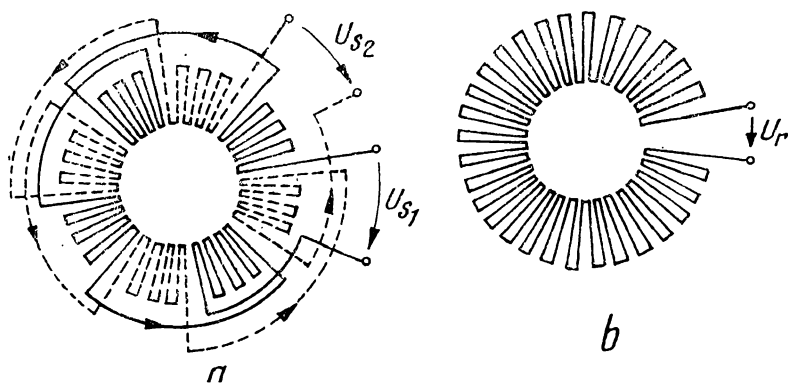


Fig. 3.111. Schema constructivă a inductosinului:  
a — satorul; b — rotorul.

a inductivității mutuale între înfășurarea rotorică și înfășurările statorice, când variază unghiul de poziție sator-rotor. Inductosinul se poate realiza și sub formă liniară; satorul fiind desfășurat în plan iar rotorul are numai o secție și se poate deplasa în lungul satorului (acest rotor se numește cursor). Inductosinele liniare se folosesc în sistemele de poziționare liniară (avansuri la mașini unelte).

## MAȘINA SINCRONĂ

### 4.1. GENERALITĂȚI. ELEMENTE CONSTRUCTIVE

Mașina sincronă poate funcționa în regim de generator, motor sau compensator când produce numai putere reactivă. Înfășurarea prin care trece curentul continuu se numește înfășurare de excitație, iar curentul corespunzător curent de excitație. Armătura cu această înfășurare se numește inductor. După forma inductorului se deosebesc mașini cu poli înecați utilizate la turații mari (1 000—3 000 rot/min) și mașini cu poli aparenti utilizate la turații mici, sub 1 000 rot/min (fig. 4.1). La suprafața dinspre întrefier polii aparenti ștanțați sînt prevăzuți cu creștături în care se dispune o înfășurare de tip colivie, numită înfășurare de amortizare (fig. 4.2); în figura 4.2, A se prezintă rotorul unui hidrogenerator. Rotoarele cu poli înecați se pot executa dintr-un singur bloc masiv din oțel sau din părți strînse la un loc cu buloane (fig. 4.3); în figura 4.3, A se prezintă rotorul unui turbogenerator, iar în figura 4.3, B statorul unui turbogenerator avînd răcire cu aer. Creștăturile pentru așezarea înfășurării de excitație sînt realizate prin frezarea blocului rotoric (fig. 4.4). Serviciul nominal al mașinii sincrone se caracterizează prin mărimile nominale: puterea nominală; tensiunea de linie nominală, curentul de linie; factorul de putere, turația, tensiunea de excitație la gol și în regim nominal. În tabelele 4.1 și 4.2 se dau caracteristicile unor mașini sincrone. Puterile sînt limitate din considerente mecanice și termice. Prin utilizarea supraconductibilității se prevede puterea limită de 2 500 și 5 000 MVA. În țara noastră s-au construit la I.M.G.B. turbogeneratoare de 330 MVA și sînt în curs de asimilare cele de 630 MVA; la Reșița s-au realizat pentru Porțile de Fier hidrogeneratoare de 190 MVA.

Înfășurarea de amortizare poate fi constituită fie din penele rotorice metalice, fie din conductoare speciale așezate imediat sub pene.

Întrefierul mașinilor sincrone este relativ mare, pînă la 50 mm (mai mare la puterile mari). La mașinile cu poli aparenti întrefierul este de obicei variabil de-a lungul tălpii polare, pentru a obține o repartitie a inducției magnetice apropiată de sinusoidă.

Mașinile sincrone cu poli aparenti au, de regulă, o răcire naturală cu aer în circuit deschis; la mașinile de putere mai mare se folosește și circuitul de răcire închis, cu răcire prin schimbătoare de căldură a fluidului recirculat. Mașinile cu poli înecați, de tipul turbogeneratorului, au în majoritatea cazurilor o răcire forțată în circuit închis.

Agentul de răcire poate fi aerul, hidrogenul sau apa. Răcirea conductoarelor este indirectă, cînd căldura dezvoltată în acestea este cedată fierului

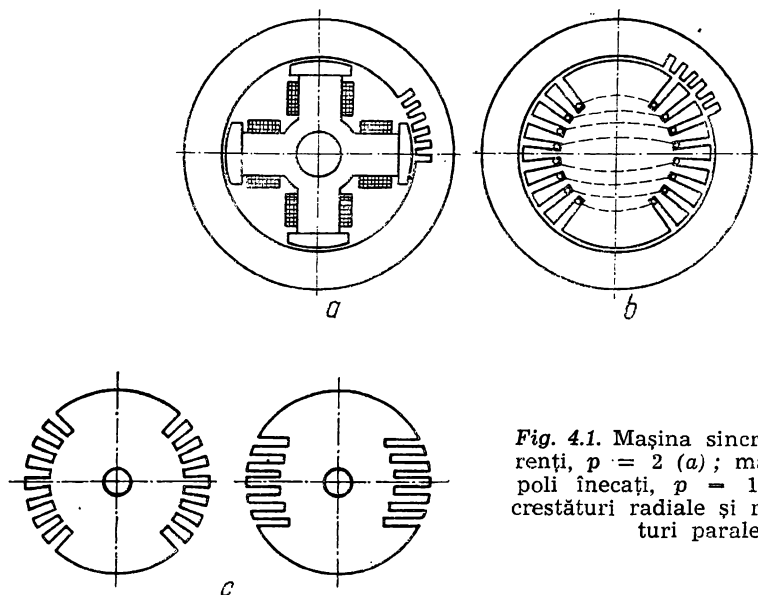


Fig. 4.1. Mașina sincronă cu poli aparenti,  $p = 2$  (a); mașina sincronă cu poli înecați,  $p = 1$  (b); rotorul cu creștături radiale și rotorul cu creștături paralele (c).

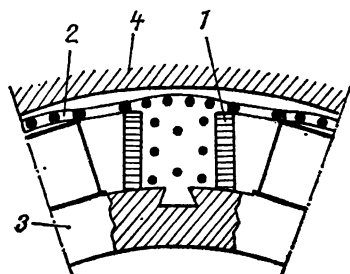


Fig. 4.2. Poli aparenti executați din tablă ștanțată:

1 — înfășurare de excitație; 2 — înfășurare de mortizare; 3 — butucul rotorului; 4 — stator.

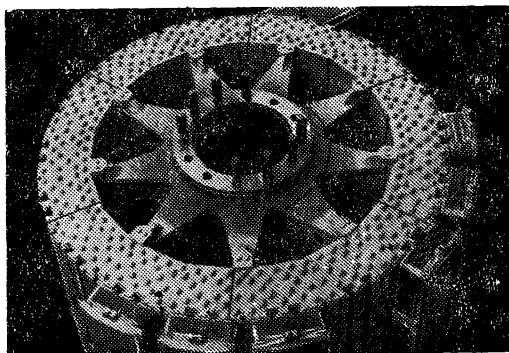


Fig. 4.2,A. Rotor cu poli aparenti.

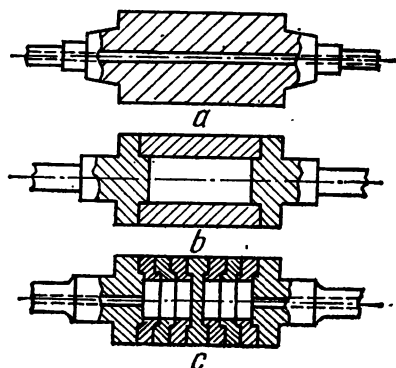


Fig. 4.3. Tipuri constructive de rotoare cu poli înecați:

a — rotor executat dintr-un singur bloc; b și c — rotor executat din părți strinse la un loc cu buloane.

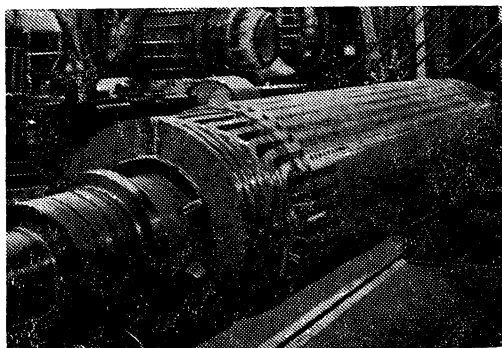


Fig. 4.3.A. Rotorul unui turbogenerator bipolar, 130 MVA, răcire cu aer.

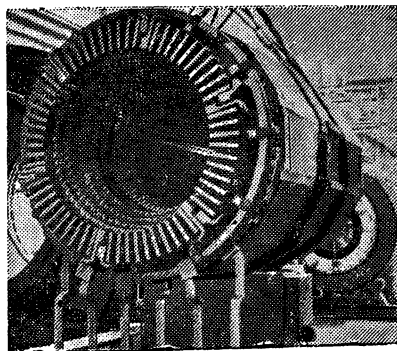


Fig. 4.3.B. Satorul unui turbogenerator avind răcire cu aer, înainte de montare în carcasă.

sau mediului ambiant prin izolație; răcirea este directă cînd căldura dezvoltată în conductoare este cedată direct fluidului de răcire care circulă în contact cu conductorul.

La **turboalternatoare**, în funcție de puterea lor, se poate preciza agentul și sistemul de răcire atît pentru rotor cît și pentru stator. Pînă la 30 MVA rotorul se răcește cu aer în sistem direct sau indirect, peste 30 MVA se răcește cu hidrogen în sistem direct, peste 1 000 MVA se răcește cu apă în sistem direct.

Pînă la 30 MVA statorul se răcește cu aer în sistem indirect, peste 30 MVA se răcește cu hidrogen sau apă în sistem indirect, peste 250 MVA se răcește cu apă în sistem direct (fig. 4.5). Cu aceste măsuri se pot atinge puteri unitare de 1 000÷1 500 MVA. În figura 4.6 se prezintă descnul de ansamblu al unei mașini sincrone.

## 4.2. PRINCIPIUL DE FUNCȚIONARE A GENERATORULUI SINCROŢ ŞI BILANȚUL DE PUTERI ACTIVE

Regimul de funcționare ca generator fiind cel mai des întîlnit la mașina sincronă, se vor descrie fenomenele de bază pentru acest regim.

Se consideră mașina sincronă trifazată cu  $2p$  poli, a cărei înfășurare de excitație este alimentată în curent continuu de la o sursă oarecare, iar rotorul mașinii este antrenat de un motor primar, cu turația  $n$ , respectiv cu viteza unghiulară  $\Omega = 2\pi n$  într-un sens dat. Înfășurarea de excitație rotorică, fie că rotorul are poli aparenti sau poli înecați, produce un cîmp magnetic învîrtitor inductor cu viteza unghiulară  $\Omega$ ,

$$b(\theta_s, t) = B_m \cos(\omega t - \theta_s); \quad \omega = \dot{\varphi} \Omega \quad (4.1)$$

unde  $\theta_s = p \alpha_s$ . Acest cîmp magnetic învîrtitor produce un flux magnetic  $\varphi$  variabil în timp, care înlanțuie spirele unei înfășurări de fază a statorului; după cum s-a arătat acest flux se poate pune sub forma:  $\varphi = \Phi_m \cos \omega t$ ,  $\omega$  fiind pulsația acestui flux. În înfășurarea considerată se induce deci o

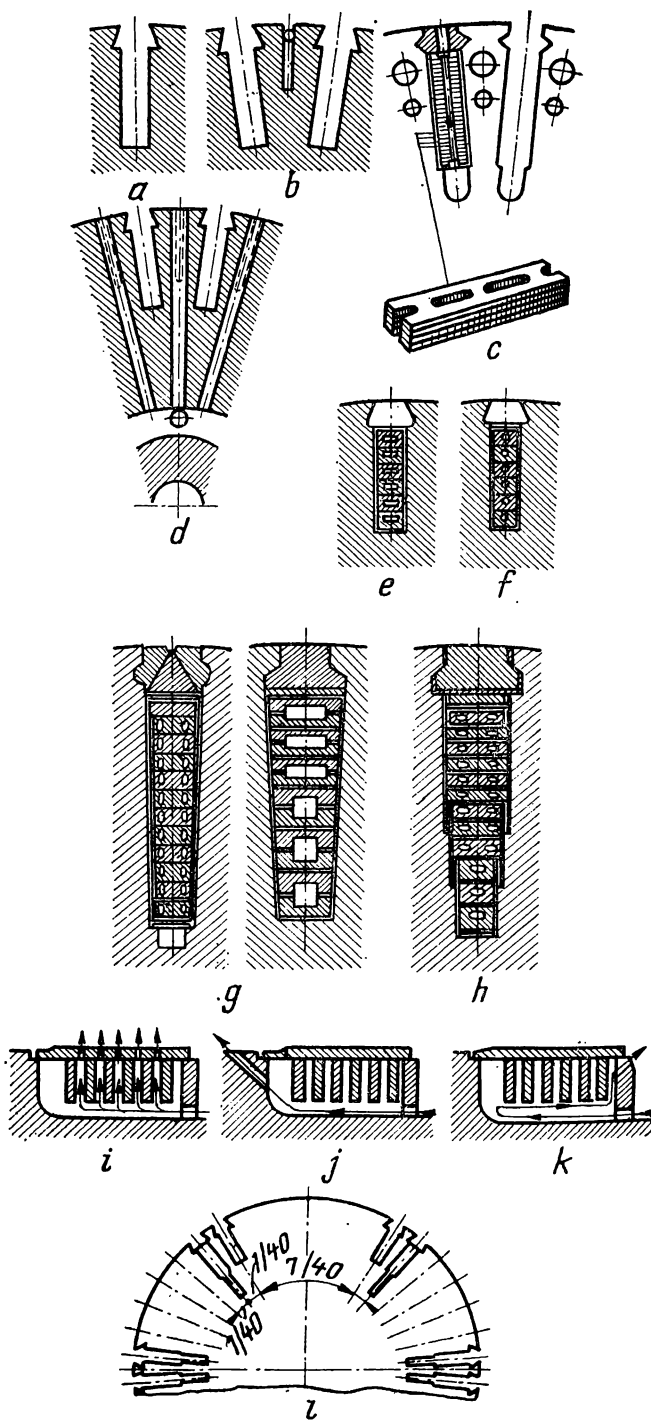


Fig. 4.4. Crestături rotorice pentru mașina cu poli **inecați** cu răcire indirectă și directă.

TABLEUL 4.1. Turbogeneratoare sincrone (bipolare) la frecvența  $f = 50$  Hz  
— Caracteristici constructive și funcționale —

TIP	$S_n$ (MVA)	$\cos \varphi$	$U$ (kV)	$I_n$ (A)	$\eta_{gen}$ (la $I_n$ )	conex. în ind.	Excitație				Răcire	Stator			Rotor	$l$ (mm)	$\delta$ (mm)
							$I_n$ (A)	$I_o$ (A)	$U_o$ (V)	$U_n$ (V)		$D$ (mm)	$q$	$\gamma_1$			
TE 1 2-2	2,610	0,46	0,65	2 320	93	Y	69	190	28	77,5	aer	636	6	14	24	780	18
1 + 2	5	0,8	6,3	459	96,45	Y	84,2	225		115	aer	630	9	22	20	1 050	15
T 6-2	7,5	0,8	6,3	687,3	97,13	Y	107	290	45	118	aer	700	8	20	24	1 125	21
T 7,2-2	9	0,8	6,8	824	96,52	Y	106,4	252,6	57	133	aer	700	8	15	24	1 400	21
T12-2THA	15	0,8	6,3	1 375	97,52	Y	173,2	457,4	40,6	122,1	aer	766	10	24	24	1 600	28
TH 60-2	75	0,8	10,5	4 124	98,5	Y	501	1 390	71	193	H <sub>2</sub>	1 001	7	21	24	2 400	46
THA 160-2	188,23	0,85	15,75	6 900	98,65	Y	792	2 205	103	284	H <sub>2</sub> + H <sub>2</sub> O	1 181	6	17	28	4 120	78
THA 330-2	388	0,85	24	9 339	98,87	Y	942	2 610	135	402	H <sub>2</sub> + H <sub>2</sub> O	1 311	6	14	28	5 200	55,5

TABLELUL 4.2. Mașini sincrone  
(Caracteristici constructive și funcționale)

TIP	$P_s S$ (kW; kVA)	$f$ (Hz)	$U$ (V)	$p$	$\cos \varphi$	$D$ (mm)	$l$ (mm)	$q$	$\delta$ (mm)	$A$ (A/cm)	$B_s$ (T)	$\eta$ (%)	$G$ (kg)	$G D_s$ (kgfm <sup>3</sup> )	Domeniul de utilizare
MSI-D	480	50	6 000	7	0,90	900	449	3	2,5	383	0,87	94,3	3 310	800	— acționare compresor
MSI-F	500	50	6 000	7	0,90	900	424	3	3,5	410	0,85	93	4 000	1 100	— acționare compresor cu cilindrii opuși
MSO	1 600	50	6 000	4	0,90	1 100	506	4	8,5	452	0,81	94,5	9 120	2 000	— acționare pompe
GST-1	2 680	110	1 200	6	0,92	1 150	406	$3 \frac{1}{2}$	8,5	450	0,9	96	7 000	1 600	— locomotiva 4 000 CP
GSA-D	2 813	50	6 000	3	0,8	1 000	622	5	8,5	460	0,85	96,2	9 450	1 500	— grup intervenție
MSI-D	100	50	380	10	1	850	184	$2 \frac{1}{5}$	1,75	335	0,8	88,5	2 150	230	— acționare compresor
GSA-F	130	50	400	3	0,8	460	197	4	3,5	375	0,695	88,7	1 230	36	— grup electrogen naval
GSA-F	175	50	400	3	0,8	460	258	3	3,5	380	0,688	89	1 380	44	— grup electrogen naval
	245	50	400	3	0,18	500	335	$4 \frac{1}{2}$	4,5	365	0,74	91	1 500	58	— grup electrogen naval
GSA-M	390	50	400	3	0,8	500	504	$4 \frac{1}{2}$	4,5	388	0,734	92,3	1 900	96	— grup electrogen naval
	400	50	400	2	0,8	460	390	8	5	385	0,8	93,4	1 760	60	— grup electrogen naval

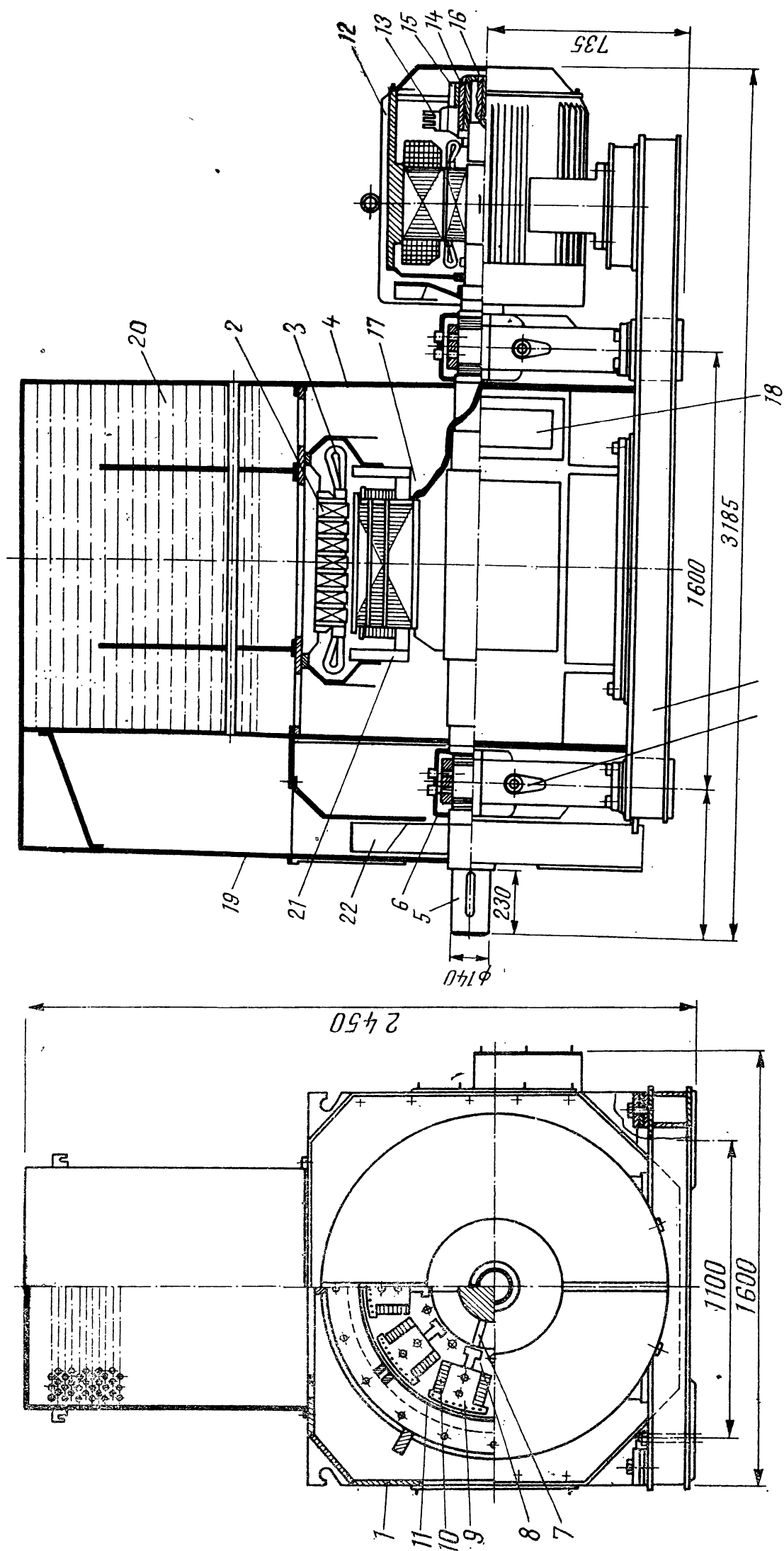


Fig. 4.6. Secțiune longitudinală și transversală a mașinii sincrone:

de  $P_n = 1000$  kW;  $u = 6$  kV;  $n = 600$  rot/min.;  $f = 50$  Hz:  
 1 — carcasa; 2 — pachet de tole stator; 3 — ansamblu bobină stator; 4 — scut; 5 — arbore; 6 — ansamblu lagăr;  
 7 — nervuri pentru fixare obadă rotor; 8 — jug rotor; 9 — miez polului; 10 — bobină de excitație; 11 — bord  
 colivie rotorică; 12 — carcasa excitatoarei; 13 — jug redresare; 14 — ansamblu inele; 15 — ansamblu portierii (74  
 și 15 pot să nu fie montate, sau pot servi pentru diferite măsurători); 16 — cablul de legătură spre înfășurarea de  
 excitație; 17 — ansamblu rezistență de descărcare; 18 — cutie de borne; 19 — scut răitor; 20 — scut răitor; 21 — ventilator  
 interior; 22 — ventilator exterior; 23 — vizor nivel de ulei; 24 — șasiu.



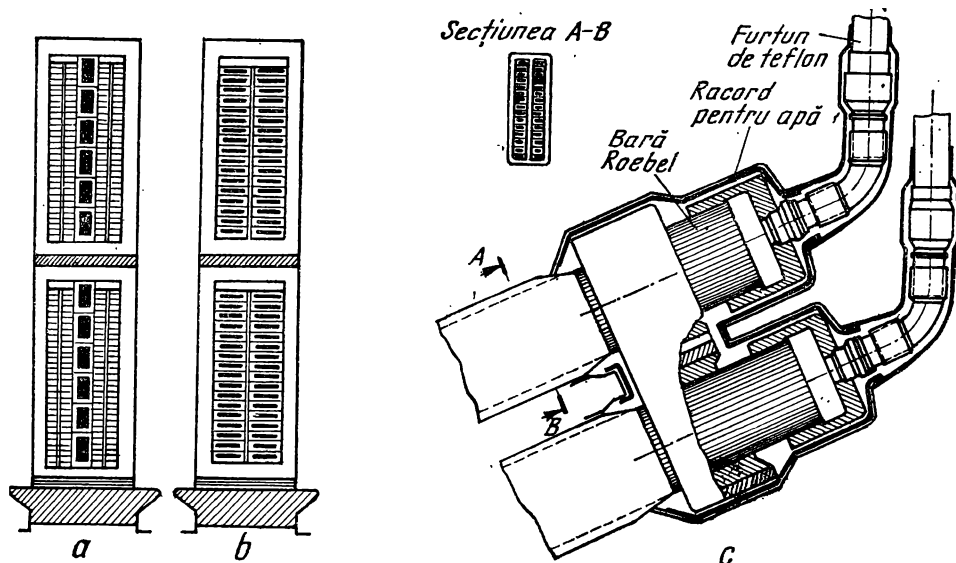


Fig. 4.5. Crestături satorice pentru mașina cu poli înecați:  
 — răcire cu gaz (aer sau hidrogen); b — răcire cu lichid; c — captarea fluidului de răcire la ieșirea barei din crestătură.

t.e.m. sinusoidală în timp și de aceeași pulsație  $\omega$ . În ansamblul celor trei înfășurări se vor induce t.e.m. de forma:

$$e_{0A} = E_0 \sqrt{2} \cos \left( \omega t - \frac{\pi}{2} \right); \quad e_{0B} = E_0 \sqrt{2} \cos \left( \omega t - \frac{\pi}{2} - \frac{2\pi}{3} \right);$$

$$e_{0C} = E_0 \sqrt{2} \cos \left( \omega t - \frac{\pi}{2} - \frac{4\pi}{3} \right). \quad (4.2)$$

Dacă înfășurarea statorului este conectată pe o impedanță trifazată simetrică, atunci prin înfășurările de fază se vor stabili curenți care formează un sistem trifazat simetric. Dacă se notează cu  $\varepsilon$  decalajul în timp dintre t.e.m. din faza respectivă și curentul care parcurge acea fază, atunci expresiile curenților vor fi:

$$i_A = I \sqrt{2} \cos \left( \omega t - \frac{\pi}{2} - \varepsilon \right); \quad i_B = I \sqrt{2} \cos \left( \omega t - \frac{\pi}{2} - \varepsilon - \frac{2\pi}{3} \right);$$

$$i_C = I \sqrt{2} \cos \left( \omega t - \frac{\pi}{2} - \varepsilon - \frac{4\pi}{3} \right). \quad (4.3)$$

Acest sistem trifazat de curenți va da naștere unui câmp magnetic învîrtitor numit *cîmp magnetic de reacție* care are aceeași viteză unghiulară  $\Omega$  ca și câmpul magnetic învîrtitor inductor. Compunînd câmpul magnetic inductor cu câmpul magnetic de reacție se obține *cîmpul magnetic învîrtitor rezultat din mașină*.

În această situație mașina debitează în impedanța de sarcină o anumită putere activă  $P_2$  pe care o ia de la motorul primar; mașina funcționează în regim de generator electric.

În acest regim se va analiza și bilanțul puterilor active.

Motorul primar dezvoltă un cuplu  $M_a$  al cărui sens coincide cu sensul de rotație al rotorului și deci și cu sensul de rotație al cîmpului magnetic învîrtitor inductor. Motorul primar cedează mașinii sincrone puterea:  $P_1 = M_a \Omega$ .

Asupra statorului se exercită cuplul electromagnetic,

$$M = [3 E_0 I \cos (E_0, I)] / \Omega \quad (4.4)$$

acest cuplu este pozitiv pentru că oricare ar fi natura impedenței de sarcină,  $\cos (E_0, I) > 0$ . Acest cuplu tinde să rotească indusul în sensul cîmpului învîrtitor inductor, adică în sensul succesiunii fazelor statorului. Cum statorul este fix, conform principiului acțiunii și reacțiunii, asupra rotorului se exercită un cuplu egal ca mărime și de sens opus. Prin urmare cuplul electromagnetic care se exercită asupra rotorului este un cuplu rezistent. În același timp asupra rotorului se mai exercită cuplul rezistent al frecărilor mecanice  $M_m$  și cuplul rezistent  $M_e$  exercitat de către excitatoarea de curent continuu dacă aceasta este cuplată pe același arbore cu rotorul mașinii sincrone.

Dacă rotorul se învîrtește cu viteza unghiulară constantă și dacă se consideră ca sens pozitiv al cuplului electromagnetic sensul cîmpului magnetic învîrtitor inductor, atunci relația între cupluri va fi:  $M_a = -M + M_m + M_e$  sau după înmulțirea cu viteza unghiulară  $\Omega$ :

$$P_1 = P + P_m + P_e \quad (4.5)$$

unde:  $P_m = M_m \Omega$  reprezintă pierderile mecanice ale mașinii,

$P_e = M_e \Omega$  reprezintă puterea mecanică preluată de excitatoare, dacă aceasta este cuplată pe același arbore.

$P = -M \Omega$  reprezintă puterea electrică transmisă statorului prin intermediul cîmpului electromagnetic și este denumită *putere electromagnetică*. Din puterea electromagnetică  $P$  preluată de către stator cea mai mare parte  $P_2$  se transmite impedenței de sarcină, o parte mai mică  $P_J$

se pierde prin efectul Joule în înfășurarea trifazată a statorului și o ultimă parte  $P_{Fe}$  acoperă pierderile în fierul statorului:  $P = P_2 + P_J + P_{Fe}$ .

În fierul rotoric nu se produc pierderi, deoarece rotorul este străbătut de flux constant în timp. Bilanțul de puteri în regim de generator pentru mașina sincronă este redat în figura 4.7.

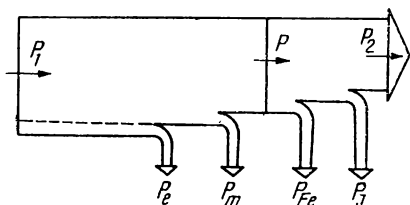


Fig. 4.7. Bilanțul energetic la generatorul sincron.

### 4.3. INDUCTIVITĂȚILE MAȘINII SINCRONE

Pentru deducerea ecuațiilor mașinii sincrone se va considera mașina sincronă cu poli aparenti, deoarece mașina sincronă cu poli înecați constituie un caz particular al mașinii sincrone cu poli aparenti. Modul de deducere al acestor ecuații va fi același ca la mașina asincronă, numai că în cazul mașinii sincrone inductivitățile proprii și mutuale ale înfășurărilor mașinii vor varia după altă lege în funcție de unghiul  $\theta$ .

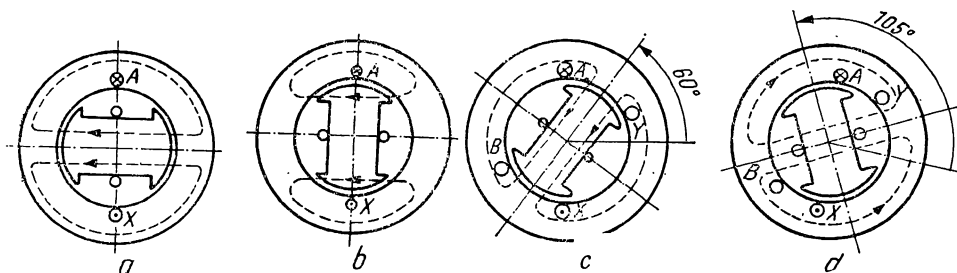


Fig. 4.8. Diferite poziții ale rotorului în raport cu înfășurarea  $AX$  a statorului:

$a - \theta = 0$ ;  $b - \theta = \frac{\pi}{2}$ . Pozițiile rotorului în raport cu înfășurările  $AX$  și  $BY$  ale statorului:  $c - \theta = 60^\circ$ ;  $d - \theta = 105^\circ$ .

Pentru a simplifica calculele se va presupune că mașina sincronă nu are înfășurări de amortizare, iar ca regim de referință se alege regimul de generator al mașinii sincrone.

În continuare se vor analiza inductivitățile proprii și mutuale ale înfășurărilor mașinii sincrone. În cazul mașinii sincrone fără înfășurări de amortizare se disting trei categorii de inductivități.

a) *Inductivitățile proprii ale înfășurărilor statorice monofazate* sînt funcții periodice de unghiul  $2\theta$ , fapt care se poate demonstra simplu analizînd poziția rotorului în raport cu una din înfășurările de fază, de exemplu înfășurarea  $AX$ , a cărei axă magnetică coincide cu axa sistemului de referință fix față de stator. În figura 4.8,  $a$  rotorul se află în poziție  $\theta = 0$ . În această situație, liniile cîmpului magnetic creat de înfășurarea  $AX$  parcursă de curentul  $i_A$  se închid așa cum este indicat în figură. În această poziție a rotorului reluctanța circuitului magnetic este minimă pentru aceste linii de cîmp și prin urmare inductivitatea proprie a înfășurării  $AX$  este maximă. Dacă rotorul se deplasează în poziția  $\theta = \frac{\pi}{2}$  ca în figura 4.8,  $b$  atunci inductivitatea proprie este minimă, deoarece reluctanța drumului după care se închid liniile de cîmp este maximă. În poziția  $\theta = \pi$  rotorul ocupă o poziție similară cu cea din figura 4.8,  $a$  și deci inductivitatea proprie a înfășurării  $AX$  devine din nou maximă. La  $\theta = \frac{3\pi}{2}$  inductivitatea devine din nou minimă.

Dacă se notează inductivitatea proprie a înfășurării  $AX$  cu  $L_{AA}$  atunci se poate scrie relația:

$$L_{AA} = L_0 + L_2 \cos 2\theta \quad (4.6)$$

unde s-a neglijat termenii de ordin superior din dezvoltarea în serie Fourier a funcției  $L_{AA}(2\theta)$ , care după cum s-a arătat este o funcție periodică de unghiul  $2\theta$ , iar primii termeni sînt de forma celor din relația (4.6).

În mod analog se obține pentru celelalte faze:

$$\begin{aligned} BY: L_{BB} &= L_0 + L_2 \cos \left( 2\theta - 2 \cdot \frac{2\pi}{3} \right) = L_0 + L_2 \cos (2\theta + 120^\circ) \\ CZ: L_{CC} &= L_0 + L_2 \cos \left( 2\theta - 2 \cdot \frac{4\pi}{3} \right) = L_0 + L_2 \cos (2\theta - 120^\circ). \end{aligned} \quad (4.7)$$

Studiile experimentale arată că variația reală a inductivităților proprii funcție de unghiul  $\theta$  este apropiată de relațiile stabilite mai sus.

b) *Inductivitățile mutuale dintre fazele statorului*, de asemenea depind de unghiul  $2\theta$  și au o variație periodică funcție de acest unghi. Legea de variație a acestor inductivități poate fi determinată analizând câteva poziții ale rotorului. Dacă rotorul ocupă poziția din figura 4.8, c liniile cîmpului magnetic creat de înfășurarea  $AX$  înlanțuie și spirele înfășurării  $BY$ . Drumul după care se închid aceste linii au reluctanța minimă pentru această poziție, de unde rezultă că în această poziție inductivitatea mutuală dintre înfășurările  $AX$  și  $BY$  este maximă. Dacă rotorul se află în poziția din figura 4.8, d, atunci datorită reluctanței mari a drumului liniilor de cîmp, inductivitatea mutuală dintre înfășurările  $AX$  și  $BY$  va fi minimă. Fiecare din aceste situații va avea loc de două ori la o rotație de  $2\pi$  grade electrice.

În final, inductivitățile mutuale dintre înfășurările statorice pot fi puse sub următoarea formă:

$$\begin{aligned} L_{AB} = L_{BA} &= M_0 + L_2 \cos(2\theta - 120^\circ); \quad L_{AC} = L_{CA} = \\ &= M_0 + L_2 \cos(2\theta + 120^\circ); \quad L_{BC} = L_{CB} = M_0 + L_2 \cos 2\theta. \end{aligned} \quad (4.8)$$

c) *Inductivitățile mutuale dintre înfășurarea de excitație dispusă pe rotor și înfășurarea  $AX$ , înfășurarea  $BY$  respectiv înfășurarea  $CZ$*  au o variație alternativă. În figura 4.9 se indică trei poziții ale rotorului în raport cu înfășurarea  $AX$ , înfășurarea de pe rotor fiind parcursă de curentul  $i_e$ .

Dacă rotorul se află în poziția 4.9, a atunci fluxul creat de înfășurarea de excitație de pe rotor și care înlanțuie spirele înfășurării  $AX$  este maxim ( $\theta = 0$ ). Pentru  $\theta = \frac{\pi}{2}$  (fig. 4.9, b) fluxul creat de înfășurarea de excitație care înlanțuie înfășurarea  $AX$  este zero, cele două înfășurări au axele magnetice decalate una față de alta la  $90^\circ$  electrice. Pentru poziția rotorului din figura 4.9, c ( $\theta = \pi$ ) fluxul prin bobina  $AX$  este maxim dar de semn schimbat în comparație cu figura 4.9, a. În consecință, inductivitățile mutuale dintre înfășurarea statorică și înfășurarea rotorică sînt de forma:

$$\begin{aligned} M_{Ae} &= M_e \cos \theta; \quad M_{Be} = M_e \cos(\theta - 120^\circ); \\ M_{Ce} &= M_e \cos(\theta + 120^\circ) \end{aligned} \quad (4.9)$$

unde s-au neglijat termenii de ordin superior din dezvoltările în serie Fourier.

Inductivitatea proprie a înfășurării de excitație rotorică  $L_e$  este constantă, adică nu depinde de unghiul  $\theta$ .

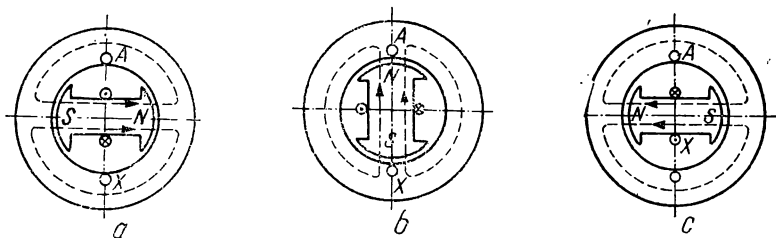


Fig. 4.9. Pozițiile relative ale înfășurării de excitație în raport cu înfășurarea  $AX$ .

### 4.3.1. MAȘINA SINCRONĂ CU ÎNFĂȘURĂRI DE AMORTIZARE

Înfășurarea de amortizare a mașinii sincrone este echivalată cu două înfășurări ortogonale: una avînd axa magnetică coincidentă cu axa  $d$  (notată cu  $D$ ) și se numește *înfășurare de amortizare longitudinală*, cealaltă are axa magnetică coincidentă cu axa  $q$  (notată  $Q$ ) și se numește *înfășurare de amortizare transversală*.

Inductivitățile proprii și mutuale ale acestor înfășurări se deduc întocmai ca și la înfășurarea de excitație.

Inductivitatea proprie  $L_D$  și inductivitatea mutuală cu înfășurarea de excitație  $M_{De}$  ale înfășurării de amortizare longitudinală sînt constante în raport cu unghiul  $\theta$ , deoarece oricare ar fi poziția rotorului reluctanța corespunzătoare fluxului magnetic aferent acestor inductivități este constantă.

Inductivitățile mutuale dintre înfășurarea de amortizare longitudinală și înfășurările de fază statorice se pot pune sub forma:

$$\begin{aligned} M_{DA} &= M_D \cos \theta; \quad M_{DB} = M_D \cos (\theta - 120^\circ); \\ M_{DC} &= M_D \cos (\theta + 120^\circ) \end{aligned} \quad (4.10)$$

unde s-au neglijat armonicile de ordin superior.

Înfășurarea de amortizare transversală este ortogonală atît în raport cu înfășurarea de amortizare longitudinală cît și cu înfășurarea de excitație, deci cuplajele magnetice corespunzătoare sînt nule.

Inductivitatea proprie a înfășurării de amortizare transversală  $L_Q$  este constantă, iar inductivitățile mutuale dintre această înfășurare și înfășurările de fază statorice se pot pune sub forma:

$$\begin{aligned} M_{QA} &= M_Q \sin \theta; \quad M_{QB} = M_Q \sin (\theta - 120^\circ); \\ M_{QC} &= M_Q \sin (\theta + 120^\circ); \end{aligned} \quad (4.11)$$

unde s-au neglijat armonicile superioare și s-a avut în vedere că înfășurarea de amortizare transversală este decalată în spațiu față de înfășurarea de excitație cu  $90^\circ$  electrice.

### 4.4. FLUXUL MAGNETIC REPREZENTATIV AL ÎNFĂȘURĂRII TRIFAZATE STATORICE

Pentru a calcula fluxul reprezentativ statoric este necesar să se calculeze fluxurile totale prin cele trei înfășurări de fază cu ajutorul inductivităților analizate în paragraful precedent; pentru  $i_A + i_B + i_C = 0$  se obține:

$$\begin{aligned} \Phi_A &= L_{AA} i_A + L_{AB} i_B + L_{AC} i_C + M_{Ae} i_e = (L_0 - M_0) i_A + L_2 [i_A \cos 2\theta + \\ &\quad + i_B \cos (2\theta - 120^\circ) + i_C \cos (2\theta + 120^\circ)] + M_e i_e \cos \theta, \\ \Phi_B &= (L_0 - M_0) i_B + L_2 [i_A \cos (2\theta - 120^\circ) + i_B \cos (2\theta + 120^\circ) + \\ &\quad + i_C \cos 2\theta] + M_e i_e \cos \left( \theta - \frac{2\pi}{3} \right), \\ \Phi_C &= (L_0 - M_0) i_C + L_2 [i_A \cos (2\theta + 120^\circ) + i_B \cos 2\theta + \\ &\quad + i_C \cos (2\theta - 120^\circ)] + M_e i_e \cos \left( \theta - \frac{4\pi}{3} \right). \end{aligned} \quad (4.12)$$

În relațiile (4.12) s-a considerat că mașina sincronă nu are înfășurări de amortizare.

Cu relațiile (4.12) se poate calcula fluxul reprezentativ statoric:

$$\varphi_s = \frac{2}{3} (\varphi_A + a \varphi_B + a^2 \varphi_C) = (L_0 - M_0) i_s + \frac{3}{2} L_2 e^{j2\theta} i_s^* + M_e i_e e^{j\theta}. \quad (4.13)$$

Ca de obicei pentru a se ajunge la forma (4.13) funcțiile cosinusoidale s-au înlocuit cu formulele lui Euler. Se constată că în expresia fluxului magnetic reprezentativ intervine atât curentul  $i_s$  cât și curentul reprezentativ conjugat  $i_s^*$ .

## 4.5. ECUAȚIILE MAȘINII SINCRONE

Cunoscînd fluxurile totale prin cele trei înfășurări monofazate se pot scrie ecuațiile de tensiuni ale celor trei înfășurări, aplicînd legea inducției electromagnetice pe o curbă închisă  $\Gamma$  care urmărește spirele înfășurării considerate și se închide prin linia tensiunii la borne. Pentru regimul de generator se obține:

$$-u_A = R i_A + \frac{d\varphi_A}{dt}; \quad -u_B = R i_B + \frac{d\varphi_B}{dt}; \quad -u_C = R i_C + \frac{d\varphi_C}{dt}. \quad (4.14)$$

Prima ecuație se înmulțește cu  $\frac{2}{3}$ , a doua cu  $\frac{2}{3} a$  și a treia cu  $\frac{2}{3} a^2$ , se adună și se obține:

$$-u_s = R i_s + \frac{d\varphi_s}{dt} \quad (4.15)$$

unde  $u_s$ ,  $i_s$ ,  $\varphi_s$  sînt mărimi reprezentative pentru stator.

Ecuația (4.15) scrisă în sistemul de referință fix față de stator poate fi transcrisă în sistemul de referință fix față de rotor dacă ecuația se înmulțește cu  $e^{-j\theta}$ ; se obține:

$$-u_s e^{-j\theta} = R i_s e^{-j\theta} + e^{-j\theta} \cdot \frac{d\varphi_s}{dt} \quad (4.16)$$

sau

$$-u_R = R i_R + j\omega \varphi_R + \frac{d\varphi_R}{dt} \quad (4.17)$$

unde:

$$\begin{aligned} u_R &= u_s e^{-j\theta} = u_d + j u_q; \quad i_R = i_s e^{-j\theta} = i_d + j i_q; \\ \varphi_R &= \varphi_s e^{-j\theta} = (L_0 - M_0) i_R + \frac{3}{2} L_2 i_R^* + M_e i_e = \\ &= L_d i_d + j L_q i_q + M_e i_e = \varphi_d + j \varphi_q \end{aligned} \quad (4.18)$$

unde s-a notat:

$$L_d = L_0 - M_0 + \frac{3}{2} L_2 \text{ denumită inductivitatea sincronă longitudinală}$$

$$L_q = L_0 - M_0 - \frac{3}{2} L_2 \text{ denumită inductivitatea sincronă transversală.}$$

Se poate scrie și ecuația pentru rotor

$$\begin{aligned}
 u_e &= R_e i_e + \frac{d}{dt} (i_A M_{Ae} + i_B M_{Be} + i_C M_{Ce} + L_e i_e) = R_e i_e + \\
 &+ L_e \frac{d i_e}{dt} + \frac{d}{dt} \left\{ \frac{3}{2} M_e \frac{1}{2} [i_s e^{-j\theta} + (i_s e^{-j\theta})^*] \right\} = \\
 &= R_e i_e + \frac{d}{dt} \left( \frac{3}{2} M_e i_d \right) + L_e \frac{d i_e}{dt} = R_e i_e + \frac{d}{dt} (M_{de} i_d) + L_e \frac{d i_e}{dt} \quad (4.19)
 \end{aligned}$$

unde

$$M_{de} = \frac{3}{2} M_e.$$

Ecuația complexă (4.17) este echivalentă cu două ecuații reale care se obțin prin egalarea părților reale și a celor imaginare. Se obțin deci următoarele ecuații pentru generatorul sincron:

$$\begin{aligned}
 -u_d &= R i_d - \omega \varphi_q + \frac{d \varphi_d}{dt}; \quad -u_q = R i_q + \omega \varphi_d + \frac{d \varphi_q}{dt} \\
 u_e &= R_e i_e + L_e \frac{d i_e}{dt} + \frac{d}{dt} (M_{de} i_d). \quad (4.20)
 \end{aligned}$$

Pe baza acestor ecuații se poate construi schema echivalentă primitivă așa cum este indicată în figura 4.10.

În ecuațiile (4.20) fluxurile magnetice  $\varphi_d$  și  $\varphi_q$  au următoarele expresii:

$$\varphi_d = L_d i_d + M_e i_e; \quad \varphi_q = L_q i_q. \quad (4.21)$$

Deoarece în expresia fluxului reprezentativ intervine atât curentul  $i_R$  cât și conjugatul său, ecuația (4.17) este necesar să fie scrisă sub forma primelor două ecuații (4.20) pentru a scoate în evidență inductivitățile constante  $L_d$  și  $L_q$ . Această situație apare diferită față de situația mașinii asincrone deoarece inductivitățile mașinii sincrone variază după alte legi.

În cazul în care curentul  $i_0 = 0$ , înfășurarea trifazată statorică poate fi echivalată cu două înfășurări fixe față de rotor având axele magnetice de-

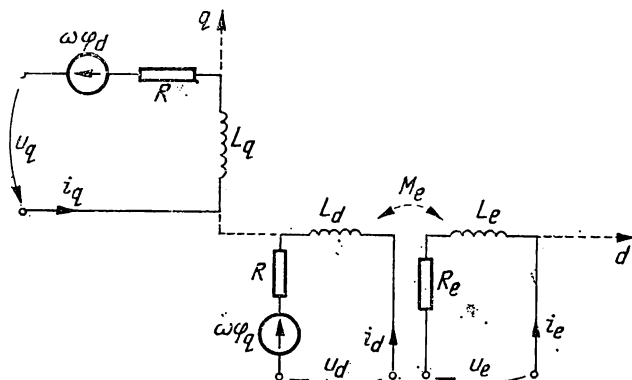


Fig. 4.10. Schema echivalentă primitivă.

calate cu 90° electrice, aceste ultime înfășurări se mai numesc și înfășurări ortogonale pseudostaționare. Acest rezultat este redat în schema echivalentă primitivă din figura 4.10.

Ecuatiile 4.20 sînt ecuațiile generale ale mașinii sincrone fără înfășurări de amortizare.

## 4.6. ECUAȚIILE MAȘINII SINCRONE ÎN REGIM STAȚIONAR

În continuare se va studia regimul staționar care prezintă o deosebită importanță în exploatarea mașinii sincrone. Prin urmare ecuațiile din paragraful precedent vor fi particularizate pentru acest regim. Se va considera sistemul de referință fix față de rotor, iar rotorul se învîrtește cu viteza unghiulară sincronă,  $\theta = \omega t$ .

Curenții care parcurg înfășurările monofazate statorice sînt dați de relațiile (4.3). Acești curenți formează un sistem trifazat simetric. În acest caz curentul reprezentativ statoric în sistemul de referință fix față de rotor  $i_R$  devine:

$$\begin{aligned} i_R &= \frac{2}{3} I \sqrt{2} \left[ \cos \left( \omega t - \varepsilon - \frac{\pi}{2} \right) + e^{j \frac{2\pi}{3}} \cos \left( \omega t - \varepsilon - \frac{\pi}{2} - \frac{2\pi}{3} \right) + \right. \\ &\quad \left. + e^{j \frac{4\pi}{3}} \cos \left( \omega t - \varepsilon - \frac{\pi}{2} - \frac{4\pi}{3} \right) \right] e^{-j \omega t} = I \sqrt{2} = \\ &= \sqrt{2} (-I \sin \varepsilon - I j \cos \varepsilon) = \sqrt{2} (\underline{I}_a + j \underline{I}_q), \end{aligned} \quad (4.22)$$

adică acest curent coincide cu reprezentarea în complex simplificat a curentului fazei  $AX$ , deci nu depinde de timp această reprezentare. Curentul  $i_e$  din înfășurarea de excitație este constant în acest regim și se notează cu  $I_e$ . Prin urmare nici fluxurile  $\varphi_a$  și  $\varphi_q$  nu depind de timp.

Ecuatia (4.17) devine:

$$-j \underline{U} = R \underline{I} + j \omega (L_a \underline{I}_a + L_q \underline{I}_q) + j \omega M_e I_e / \sqrt{2} \quad (4.23)$$

Ecuatia pentru înfășurarea de excitație devine:  $U_e = R_e I_e$ .

Ecuatia (4.23) se mai poate scrie și sub forma:

$$\underline{E}_0 = \underline{U} + R \underline{I} + j X_a \underline{I}_a + j X_q \underline{I}_q \quad (4.24)$$

unde:

$X_a = \omega L_a$  este reactanța sincronă longitudinală;

$X_q = \omega L_q$  este reactanța sincronă transversală;

$\underline{E}_0 = -j \omega M_e I_e / \sqrt{2}$  este t.e.m. indusă de cîmpul magnetic învîrtitor inductor.

Dacă se fac notațiile,  $\underline{E}_a = -j X_a \underline{I}_a$  și  $\underline{E}_q = -j X_q \underline{I}_q$  atunci ecuația (4.24) se poate pune sub forma:

$$\underline{E} = \underline{E}_0 + \underline{E}_a + \underline{E}_q = \underline{U} + R \underline{I}. \quad (4.25)$$

Mărimile  $\underline{E}_a$  și  $\underline{E}_q$  sînt t.e.m. induse în înfășurarea statorică de cîmpul magnetic învîrtitor creat de curenții din cele trei înfășurări monofazate.



Deoarece inductivitățile  $L_a$  și  $L_q$  s-au definit în raport cu fluxul total care înfășurue o înfășurare rezultă că aceste inductivități includ și inductivitatea de scăpări, adică:

$$L_a = L_\sigma + L_{ad}; \quad L_q = L_\sigma + L_{aq} \quad (4.26)$$

în care caz ecuația (4.24) capătă o altă formă:

$$\underline{E}_0 = R \underline{I} + j X_\sigma \underline{I} + j X_{ad} \underline{I}_q + j X_{aq} \underline{I}_q + \underline{U} \quad (4.27)$$

unde:

$X_\sigma = \omega L_\sigma$  este reactanța de scăpări a înfășurării statorice  $AX$ .

$X_{ad} = \omega L_{ad}$  și  $X_{aq} = \omega L_{aq}$  sînt reactanțele longitudinală respectiv transversală a cîmpului de reacție creat de curenții din înfășurarea statorică, cîmp care traversează întrefierul.

## 4.7. CÎMPUL MAGNETIC DIN ÎNTREFIERUL MAȘINII SINCRONE

La stabilirea ecuațiilor mașinii sincrone pentru regimul staționar componenta radială a inducției magnetice din întrefier s-a considerat că variază sinusoidal de-a lungul pasului polar, însă curba de repartiție depinde de tipul mașinii și de sarcina ei. În figura 4.11 se prezintă variația în timp a inducției magnetice într-un punct din întrefier, care la o altă scară reprezintă aproximativ variația inducției magnetice pe un dublu pas polar.

Mașinile cu poli aparenti pot avea întrefierul variabil sau constant de-a lungul tălpii polare. În figura 4.12 se prezintă piesa polară cu întrefier variabil și piesa polară cu întrefier constant. Curba 4 din figura a reprezintă modul cum ar trebui să varieze întrefierul, pentru ca la o mașină nesaturată, fără crestături, să se obțină, la mersul în gol, o inducție magnetică sinusoidală în întrefier (curba 1).

Deformarea curbei de repartiție de-a lungul pasului polar a componentei radiale a inducției magnetice, la mersul în sarcină față de mersul în gol, se datorește cîmpului magnetic creat de curenții din indus care se numește cîmp magnetic de reacție. Suprapunînd cele două cîmpuri magnetice se obține cîmpul magnetic resultant.

Deoarece funcționarea mașinii este determinată în cea mai mare măsură de armonicile fundamentale, cele superioare avînd numai o acțiune perturbatoare, în continuare se vor urmări fenomenele corespunzătoare armonicilor fundamentale.

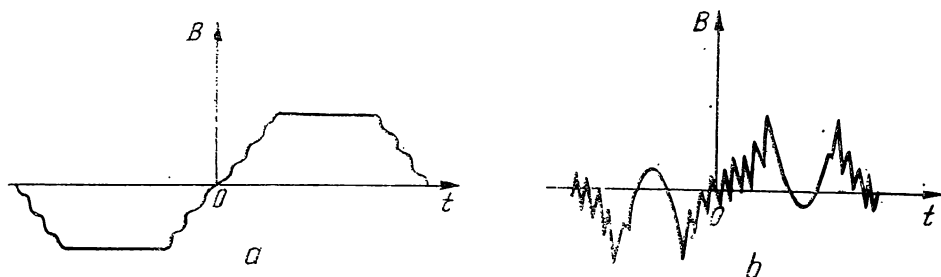


Fig. 4.11. Variația în timp a inducției magnetice într-un punct din întrefierul unui turbo-generator:

a — la mersul în gol (cîmpul inductor), b — la scurtcircuit simetric.

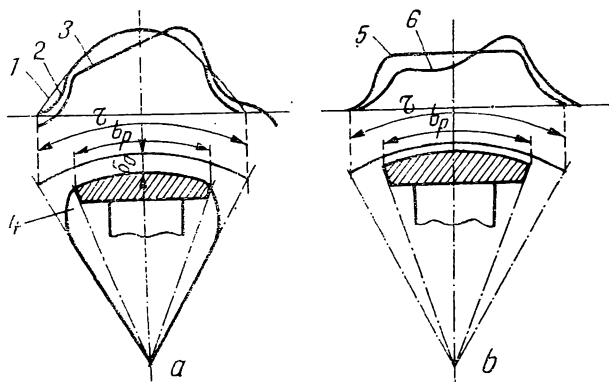


Fig. 4.12. Curba inducției magnetice la o mașină [cu poli aparenti]:

*a* — mașină cu întrefier variabil, *b* — mașina cu întrefier constant: 1 — variația sinusoidală a inducției magnetice, 2 — variația inducției în întrefier pentru  $b_p < \tau$ , 3 și 6 repartitia inducției magnetice în regim de generator cu sarcină rezistiv inductivă, 4 — forma polului pentru a se obține curba 1, 5 — distribuția inducției la mersul în gol.

#### 4.7.1. CIMPUL MAGNETIC DE REACȚIE AL MAȘINII SINCRONE

Dacă la bornele generatorului sincron trifazat se conectează o impedanță trifazată simetrică atunci prin cele trei înfășurări de fază se stabilesc curenți care formează un sistem simetric trifazat care se scrie sub forma (4.3). Acești curenți vor produce în întrefierul mașinii o tensiune magnetică învîrtitoare de forma:

$$v_a(\theta_s, t) = \frac{3}{2} V_{ma} \cos \left( \omega t - \theta_s - \frac{\pi}{2} - \varepsilon \right). \quad (4.28)$$

Fundamentală inducției magnetice învîrtitoare inductoare este de forma  $b_0(\theta_s, t) = B_{om} \cos(\omega t - \theta_s)$ .

Dacă se reprezintă cele două unde în sistemul de referință fix față de rotor ( $\omega t - \theta_s = \theta_r$ ), atunci aceste unde sînt fixe în raport cu acest referențial și sînt decalate în spațiu cu unghiul  $\frac{\pi}{2} + \varepsilon$  (fig. 4.13).

Inducția magnetică corespunzătoare t.e.m. de reacție  $v_a$  se calculează cu relația:  $b_a(\theta_r) = \mu_0 v_a(\theta_r) / [\delta(\theta_r)]$ .

Deoarece în spațiul interpolar întrefierul este foarte mare, inducția magnetică în această regiune se poate considera zero, iar sub talpa polară întrefierul fiind constant, inducția magnetică urmărește la altă scară variația t.m.  $v_a(\theta_r)$ . Se constată că la o t.m. cosinusoidală în spațiu, inducția magnetică  $b_a(\theta_r)$  are o variație care diferă substanțial de o cosinusoidă, însă este o funcție periodică de unghiul  $\theta_r$  și deci se poate dezvoltă în serie Fourier.

Amplitudinea armonicilor de orice ordin din această dezvoltare depinde de unghiul  $\frac{\pi}{2} + \varepsilon$ , adică aceste amplitudini depind de natura sarcinii conectate la bornele generatorului sincron.

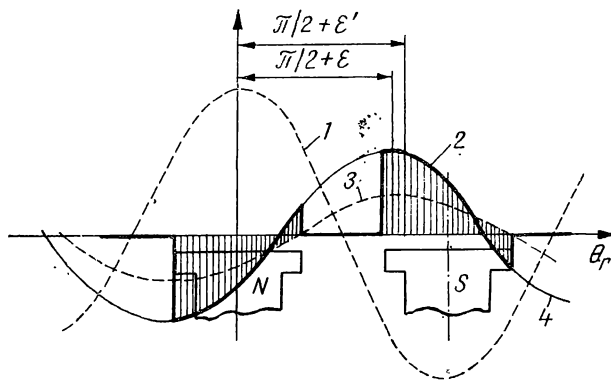


Fig. 4.13. Cîmpul magnetic din întrefier pentru mașina nesaturată:

1 – fundamentala inducției magnetice  $b_0(\theta_r)$ , 2 – inducția magnetică de reacție  $b_a(\theta_r)$ , 3 – fundamentala inducției magnetice de reacție  $b_{a1}(\theta_r)$  decalată în raport cu  $b_0(\theta_r)$  cu unghiul  $\frac{\pi}{2} + \varepsilon'$ , 4 – tensiunea magnetică de reacție  $i_a(\theta_r)$  cu variație cosinusoidală.

**Reacția transversală.** Dacă curentul din faza considerată este în fază cu t.e.m. indusă de cîmpul magnetic inductor, deci  $\varepsilon = 0$ , atunci axa  $q$  coincide cu axa magnetică a fazei și corespunde situației cînd la bornele generatorului este conectată o sarcină rezistivă. În figura 4.14,  $a$  se prezintă curbele de variație a t.m.  $v_{a1}$  și a inducției magnetice de reacție  $b_{aq}$ . Cîmpul magnetic de reacție este decalat cu  $\pi/2$  față de cîmpul magnetic inductor, iar liniile de cîmp se închid prin talpa polară, întrefier și stator (fig. 4.14,  $b$ ); un astfel de cîmp magnetic se numește *cîmp de reacție transversal*. Fundamentala inducției magnetice de reacție va avea o amplitudine relativ mică în acest caz. Prin urmare în cazul sarcinii rezistive cîmpul magnetic de reacție este un cîmp transversal. Cîmpul de reacție  $b_{aq}(\theta_r)$  se suprapune peste

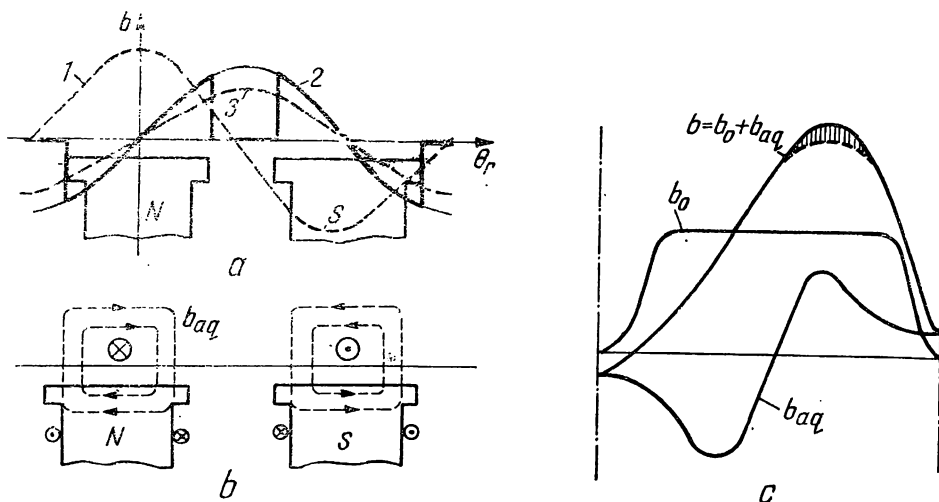


Fig. 4.14. Reacția transversală a indusului ( $\varepsilon = 0$ ):

– cîmpul magnetic inductor și de reacție: 1 – cîmpul inductor  $b_0(\theta_r)$ , 2 – cîmpul de reacție  $b_{aq}(\theta_r)$ , 3 – fundamentala cîmpului de reacție;  $b$  – liniile de cîmp și sensul curenților din stator;  $c$  – variația cîmpului magnetic resultant.

cîmpul inductor  $b_0(\theta_r)$  și se obține cîmpul magnetic rezultant  $b(\theta_r)$ , (fig. 4.14, c). Are loc o deformare a cîmpului magnetic rezultant sub pol, fiind slăbit sub o jumătate de pol și întărit sub cealaltă jumătate. Dacă mașina are talpa polară nesaturată, reacția transversală nu modifică valoarea fluxului polar; dacă apare saturația, curba inducției magnetice în partea polului cu cîmp întărit e cea cu linie întreruptă și are loc o reducere a fluxului pe pol, cu o valoare corespunzătoare ariei hașurate.

**Reacția longitudinală.** În cazul unei sarcini cu caracter pur reactiv, curentul dintr-o fază a indusului trece prin maxim cînd t.e.m. indusă  $\underline{E}_0$  trece prin zero, deci fluxul inductor al fazei considerate trece prin maxim. În acest caz axa  $d$  coincide cu axa magnetică a fazei și corespunde la  $\varepsilon = \pm \frac{\pi}{2}$ . Dacă  $\varepsilon = \frac{\pi}{2}$ , sarcina este inductivă. În figura 4.15 se prezintă

variația cîmpului magnetic inductor  $b_0(\theta_r)$  și a cîmpului magnetic de reacție  $b_a(\theta_r)$ , pentru sarcină pur inductivă.

Fundamentala inducției magnetice de reacție va avea în acest caz o amplitudine relativ mare. Cîmpul magnetic de reacție este în opoziție de fază în raport cu cîmpul magnetic inductor. Acest cîmp de reacție se numește cîmp de reacție longitudinal demagnetizant. Liniile cîmpului de reacție longitudinal demagnetizant se închid pe același drum ca și liniile cîmpului inductor. Pe lîngă micșorarea valorii fluxului magnetic pe pol are loc și o deformare a curbei cîmpului magnetic rezultant.

Dacă la bornele generatorului sincron este conectată o sarcină capacitivă, adică  $\varepsilon = -\frac{\pi}{2}$ , atunci poziția și forma cîmpului de reacție se prezintă ca în figura 4.16. În acest caz cîmpul magnetic de reacție este în fază cu cîmpul magnetic inductor, un astfel de cîmp de reacție se numește cîmp de reacție longitudinal magnetizant și amplitudinea inducției magnetice de reacție este relativ mare.

Cîmpul magnetic de reacție este de același sens cu cîmpul inductor, ca urmare a acestui fapt cîmpul magnetic rezultant va fi mărit.

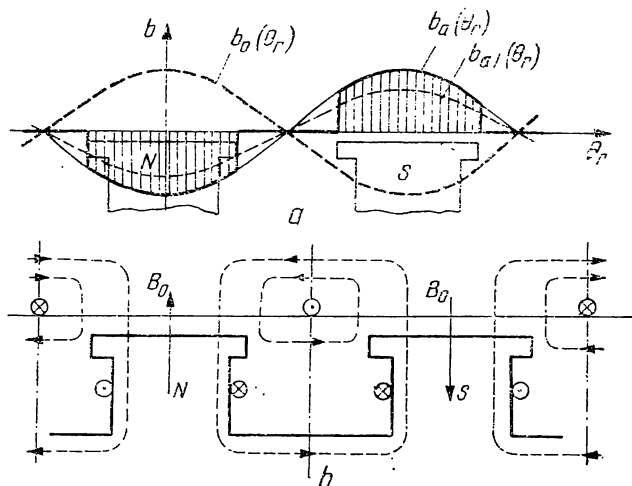
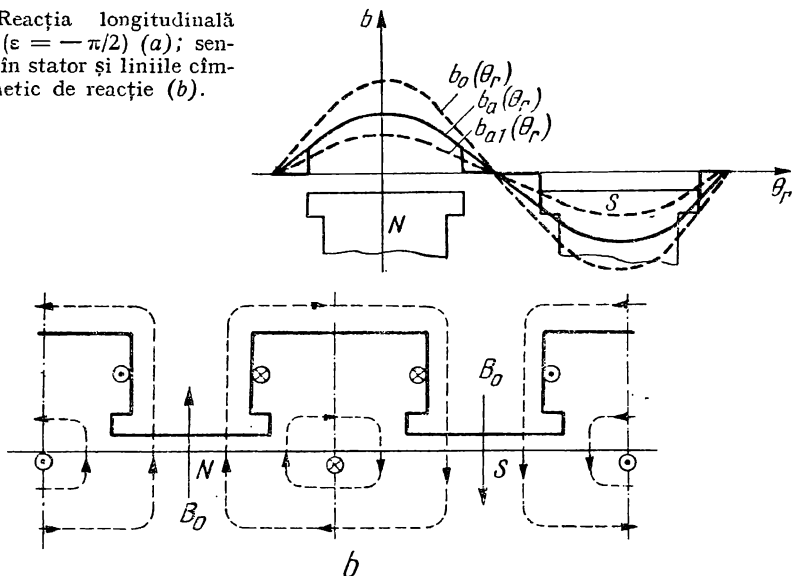


Fig. 4.15. Reacția longitudinală demagnetizantă ( $\varepsilon = +\pi/2$ ):  
 $a$  — fundamentale cîmpului inductor  $b_0(\theta_r)$  și a cîmpului magnetic de reacție  $b_a(\theta_r)$ ;  $b$  — sensu curenților în stator și liniile cîmpului magnetic de reacție.

Fig. 4.16. Reacția longitudinală magnetizantă ( $\varepsilon = -\pi/2$ ) (a); sensul curenților în stator și liniile cîmpului magnetic de reacție (b).



Liniile cîmpului magnetic de reacție longitudinal magnetizant se închid pe același drum ca și liniile cîmpului inductor și au același sens. Din cazurile analizate rezultă că forma curbei inducției magnetice de reacție depinde de natura sarcinii și prin urmare și amplitudinea fundamentalei inducției de reacție este funcție de natura sarcinii. În această situație t.m. învîrtitoare de reacție se va scrie sub forma:

$$\begin{aligned} v_a(\theta_s, t) &= \frac{3}{2} V_m \cos \left( \omega t - \theta_s - \frac{\pi}{2} - \varepsilon \right) = \frac{3}{2} V_m \cos \left( \theta_r - \frac{\pi}{2} - \varepsilon \right) = \\ &= v_a(\theta_r) = V_{ad} \cos \theta_r + V_{aq} \sin \theta_r = v_{ad}(\theta_r) + v_{aq}(\theta_r) \end{aligned} \quad (4.29)$$

unde:

$$\begin{aligned} V_{ad} &= -\frac{3}{2} V_m \sin \varepsilon = K_1 I_d; \quad I_d = -I \sin \varepsilon; \\ V_{aq} &= \frac{3}{2} V_m \cos \varepsilon = -K_1 I_q; \quad I_q = -I \cos \varepsilon; \quad K_1 = 3 \cdot \frac{k_w w_1}{\pi p} \end{aligned}$$

Componenta  $v_{aq}(\theta_r)$  a t.m. este similară celei din figura 4.14 și are amplitudinea proporțională cu  $I_q$ . Inducția magnetică  $b_{aq}(\theta_r)$  corespunzătoare t.m.  $v_{aq}(\theta_r)$  datorită prezenței spațiului interpolar are forma și poziția exact ca în figura 4.14; cu notațiile din această figură se calculează amplitudinea armonicilor  $v$  a inducției magnetice:  $B_{aqv} = k_{aqv} B_{aq}$  pentru întregul uniform ( $\frac{\delta_1}{\delta_0} = 1$ ), unde

$$\begin{aligned} k_{aqv} &= B_{aqv}/B_{aq} = \frac{2}{\pi} \int_0^{\frac{\pi \alpha_p}{2}} \sin \theta_r \sin v \theta_r d \theta_r = \frac{2}{\pi} \cdot \\ &\cdot \left[ -\frac{\sin(1+v) \frac{\alpha_p \pi}{2}}{1+v} + \frac{\sin(1-v) \frac{\alpha_p \pi}{2}}{1-v} \right] \end{aligned} \quad (4.30)$$

unde  $B_{aq} = \mu_0 V_{aq}/\delta_0$ ; pentru fundamentală  $k_{aq1} = (\alpha_p \pi - \sin \alpha_p \pi)/\pi$ .

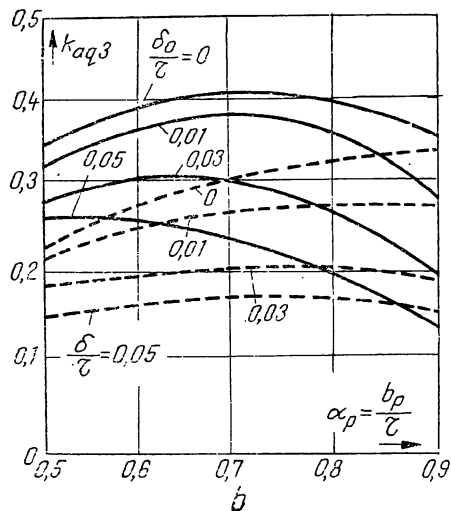
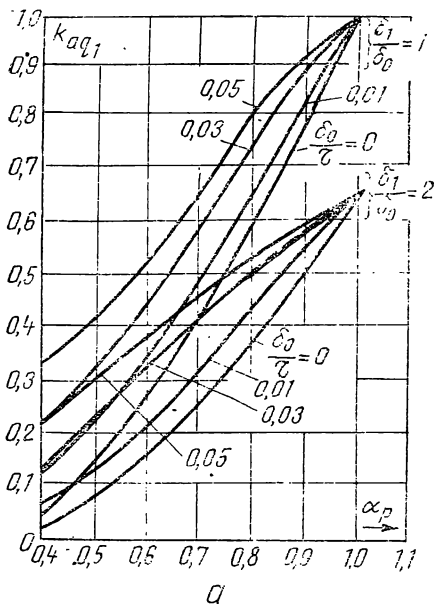


Fig. 4.17. Curbele  $k_{aq1} = f(\alpha_p)$  pentru diferite valori ale rapoartelor  $\delta_1/\delta_0$  și  $\delta_0/\tau$  (a); curbele  $k_{aq3} = f(\alpha_p)$  pentru  $\delta_1/\delta_0 = \text{const.}$  și  $\delta_0/\tau = \text{const.}$ , (cu linie plină pentru  $\delta_1/\delta_0 = 1$  și cu linie întreruptă pentru  $\delta_1/\delta_0 = 2$ ) (b).

În figura 4.17 se dau curbele pentru factorii  $k_{aq1}$  și  $k_{aq3}$  în funcție de  $\alpha_p$  calculați și pentru întrefier neuniform ( $\delta_1/\delta_0 \neq 1$ ).

Fundamentală  $b_{aq1}(\theta_r) = B_{aq1} \sin \theta_r = B_{aq} k_{aq1} \sin(\omega t - \theta_s)$  induce în înfășurarea statorică t.e.m.  $\underline{E}_{aq} = -j X_{aq} \underline{I}_q$ .

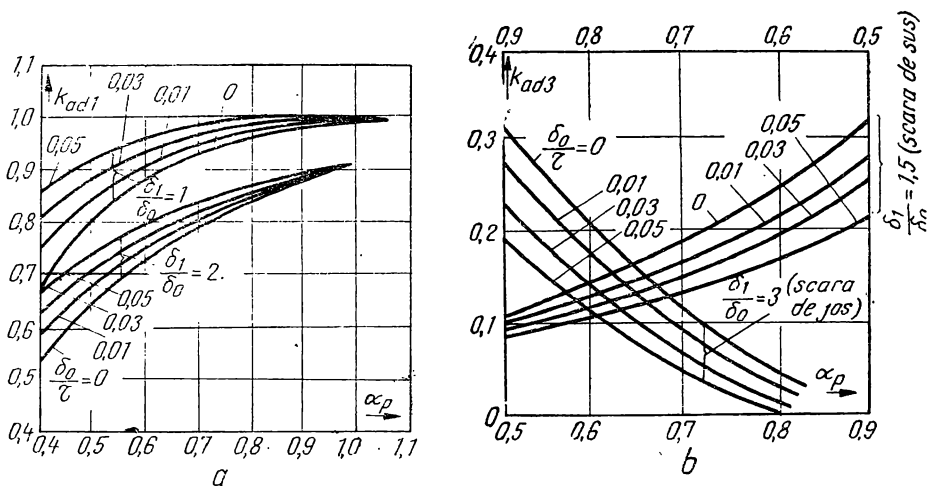
Componenta  $v_{ad}(\theta_r)$  este similară celei din figura 4.15 sau 4.16 și are amplitudinea proporțională cu  $I_d$ . Inducția magnetică  $b_{ad}(\theta_r)$  corespunzătoare t.e.m.  $v_{ad}(\theta_r)$ , datorită spațiului interpolar, are forma și poziția exact ca în figura 4.15 sau 4.16; cu notațiile din această figură se calculează amplitudinea armonicii  $v$  a inducției magnetice:  $B_{adv} = k_{adv} B_{ad}$  pentru întrefier uniform ( $\frac{\delta_1}{\delta_0} = 1$ ), unde:

$$k_{adv} = B_{adv}/B_{ad} = \frac{4}{\pi} \int_0^{\alpha_p \pi/2} \cos \theta_r \cos v \theta_r d\theta_r = \frac{2}{\pi} \cdot \left[ \frac{\sin(1+v) \frac{\alpha_p \pi}{2}}{1+v} + \frac{\sin(1-v) \frac{\alpha_p \pi}{2}}{1-v} \right] \quad (4.31)$$

unde  $B_{ad} = \mu_0 V_{ad}/\delta_0$ ; pentru fundamentală  $k_{ad1} = (\alpha_p \pi + \sin \alpha_p \pi)/\pi$ .

În figura 4.18 se dau curbele pentru factorii  $k_{ad1}$  și  $k_{ad3}$  funcție de  $\alpha_p$  și pentru întrefier neuniform ( $\delta_1/\delta_0 \neq 1$ ).

Fundamentală  $b_{ad1}(\theta_r) = B_{ad1} \cos \theta_r = B_{ad} k_{ad1} \cos(\omega t - \theta_s)$  induce în înfășurarea statorică t.e.m.  $\underline{E}_{ad} = -j X_{ad} \underline{I}_d$ . Din cele de mai sus rezultă că reactanțele  $X_{ad}$  și  $X_{aq}$  corespund cîmpului de reacție longitudinal respectiv transversal. Scriind legea inducției electromagnetice pe conturul  $\Gamma$  care



urmărește înfășurarea satorică rezultă:  $\underline{E}_0 + \underline{E}_{ad} + \underline{E}_{a2} = \underline{U} + R \underline{I} + j X_\sigma \underline{I}$ ,  
adică tocmai ecuația stabilită în paragraful precedent.

Inducția magnetică rezultantă din întrefier  $b_{\mu}(\theta_r)$  scrisă în sistemul de referință solidar cu rotorul ( $FR$ ) pentru fundamentale este  $b_{\mu}(\theta_r) = b_{01}(\theta_r) + b_{a\alpha 1}(\theta_r) + b_{a\alpha 1}(\theta_r)$ , dacă se înlocuiesc inducțiile magnetice în funcție de curenții corespunzători și se consideră fazori spațiali atunci se obține:

$$I_{\mu} = I_e' + \underline{I}_a + k_{aq1} I_q / k_{ad1}$$

deoarece decalajele între fazorii spațiali  $\underline{B}_{01}$ ,  $\underline{B}_{ad1}$ ,  $\underline{B}_{a\eta 1}$  sînt egale cu defazajele dintre fazorii temporali,  $\underline{I}'_e$ ,  $\underline{I}_a$ ,  $\underline{I}_q$ .

Curentul  $I_\mu$  corespunde sistemului simetric de curenți trifazați care parcurgând înfășurarea statorică trifazată produce aceeași inducție magnetică rezultantă în întrefier ca și sistemul de curenți  $I'_e, I'_a, k_{a\alpha 1} I_q/k_{a\alpha 1}$ .

În cazul mașinii sincrone cu poli înecați  $k_{a\varphi 1} = k_{ad1}$ , se obține  $I_\mu = I'_e + I_a + I_g = I'_e + I$ .

Adică suma fazorială dintre curentul din inductor raportat la sator și cel din indus este egală cu curentul de magnetizare și t.e.m.  $\underline{E}$  indusă de câmpul magnetic învîrtitor rezultat se poate pune sub forma  $\underline{E} = -j X_u \underline{I}_u$  unde  $X_u$  este *reactanța de magnetizare*.

#### 4.8. DIAGRAMA FAZORIALĂ A GENERATORULUI SINCRON

La generatorul cu poli aparenti, datorită neuniformității întrefierului se utilizează în locul tensiunii magnetice  $v_a$  componentele sale  $v_{ad}$  și  $v_{aq}$  cărora le corespund fluxurile magnetice  $\varphi_{ad}$  și  $\varphi_{aq}$ . În ipoteza că generatorul funcționează nesaturat, fluxul magnetic rezultat longitudinal se compune din fluxul inductor  $\varphi_0$  și fluxul de reacție longitudinal  $\varphi_{ad}$  adică  $\varphi_d = \varphi_0 + \varphi_{ad}$ ; acest flux  $\varphi_d$  nu este influențat de fluxul transversal de reacție  $\varphi_{aq}$ , deoarece fluxul magnetic care se scade pe o parte a tălpii polare se adună cu aceeași mărime pe cealaltă parte a tălpii polare.

Diagrama fazorială se construiește pe baza ecuației:

$$\underline{E}_0 = R \underline{I} + j X_\sigma \underline{I} + j X_{ad} \underline{I}_a + j X_{aq} \underline{I}_q + \underline{U}. \quad (4.31)$$

Se trasează mai întâi fazorul tensiunii la borne  $\underline{U}$  ca origine de fază și defazat în urmă cu unghiul  $\varphi$  fazorul curentului  $\underline{I}$ , în fază cu acest curent este fluxul magnetic de reacție  $\varphi_a$  care are cele două componente  $\varphi_{ad}$  și  $\varphi_{aq}$  în fază cu  $\underline{I}_a$  și respectiv  $\underline{I}_q$ .

Mai departe se presupun cunoscute și valoarea fluxului magnetic inductor și unghiul  $\delta'$  dintre tensiunea la borne  $\underline{U}$  și t.e.m.  $\underline{E}_0$ . Se construiesc axele  $Od$  și  $Oq$  decalate cu  $\frac{\pi}{2} + \delta'$  respectiv cu  $\pi + \delta'$  față de originea de fază  $\underline{U}$ .

În continuare se reprezintă fazorul  $R \underline{I}$  paralel cu fazorul  $\underline{I}$ ; fazorul  $j X_\sigma \underline{I}$  este perpendicular pe  $\underline{I}$ . Proiecțiile fazorului  $\underline{I}$  pe axele  $Od$  și  $Oq$  sînt  $\underline{I}_a$  respectiv  $\underline{I}_q$ . Se duc apoi fazorii  $j X_{ad} \underline{I}_a$  și  $j X_{aq} \underline{I}_q$  perpendiculari respectiv pe  $\underline{I}_a$  și  $\underline{I}_q$ . Poligonul care reprezintă ecuația (4.31) se închide cu fazorul  $\underline{E}_0$ . În figura 4.19, *a* este reprezentată această diagramă. La mașinile de putere mare se poate considera  $R \simeq 0$  și utilizînd ecuația (4.27) se obține diagrama simplificată din figura 4.19, *b*.

Știind că  $\underline{I}_q = \underline{I} - \underline{I}_a$  ecuația (4.31) se poate scrie și sub forma  $\underline{E}_0 = R \underline{I} + j X_a \underline{I}_a + j X_q \underline{I}_q + \underline{U} = R \underline{I} + j X_q \underline{I} + j (X_a - X_q) \underline{I}_a + \underline{U}_q$  care facilitează construcția diagramei fazoriale cînd se cunosc parametrii mașinii ( $R, X_a, X_q$ ), tensiunea la borne  $U$  și curentul  $I$  (fig. 4.19, *c*).

Mașina sincronă cu poli înecați se caracterizează prin aceea că reactanțele după axa transversală respectiv axa longitudinală sînt egale, adică

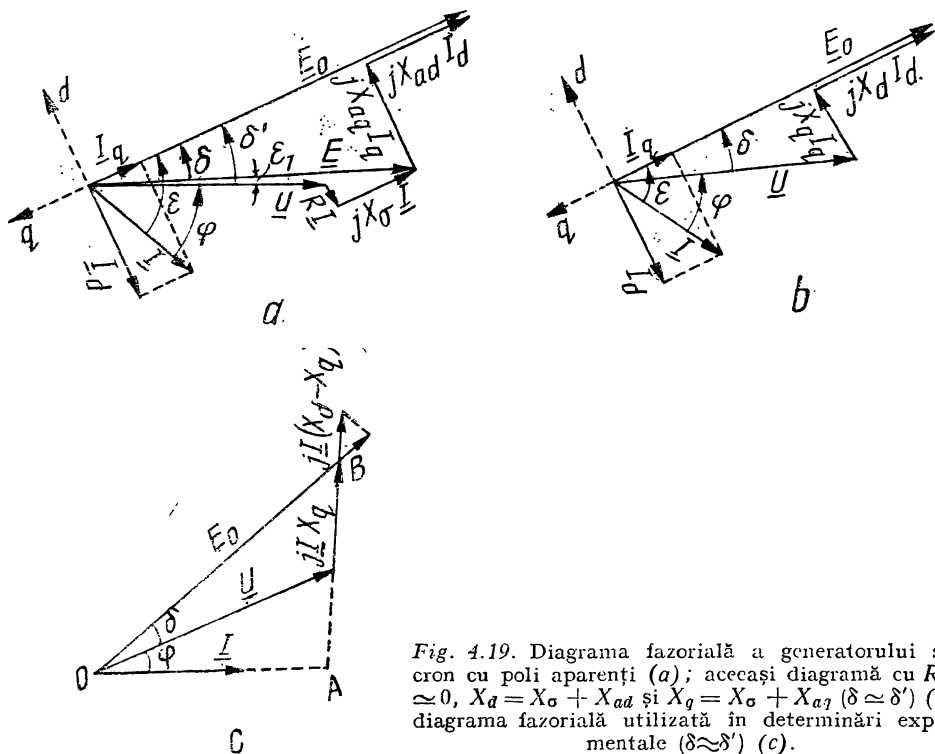


Fig. 4.19. Diagrama fazorială a generatorului sincron cu poli aparenti (*a*); aceeași diagramă cu  $R \simeq 0$ ,  $X_a = X_\sigma + X_{ad}$  și  $X_q = X_\sigma + X_{aq}$  ( $\delta \simeq \delta'$ ) (*b*); diagrama fazorială utilizată în determinări experimentale ( $\delta \simeq \delta'$ ) (*c*).



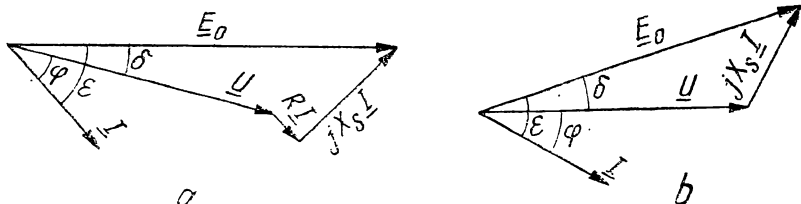


Fig. 4.20. Diagrama fazorială a generatorului cu poli înecați; ( $\delta \approx \delta'$ ):

a — rezistența  $R \neq 0$ ; b — rezistența  $R \approx 0$ .

$X_d = X_q = X_s$ . Prin urmare ecuația generatorului sincron cu poli înecați în regim staționar devine:

$$\underline{E}_0 = \underline{U} + R \underline{I} + j X_s \underline{I} \quad (4.32)$$

unde  $X_s$  este reactanța sincronă, care se poate pune sub forma:  $X_s = X_\sigma + X_a$ ;  $X_\sigma$  fiind reactanța de scăpări, iar  $X_a$  reactanța corespunzătoare câmpului magnetic de reacție. În aceste condiții ecuația (4.32) capătă o nouă formă:

$$\underline{E}_0 = \underline{U} + R \underline{I} + j X_\sigma \underline{I} + j X_a \underline{I} \quad (4.33)$$

În figura 4.20 se prezintă diagrama fazorială a generatorului sincron cu poli înecați în două forme: diagrama fazorială completă (fig. 4.20, a) și diagrama fazorială simplificată (fig. 4.20, b).

Unghiul de defazaj dintre t.e.m.  $\underline{E}_0$  indusă de câmpul magnetic învîrtitor inductor și t.e.m.  $\underline{E}$  indusă de câmpul magnetic învîrtitor rezultat se numește *unghi intern al mașinii* și este egal cu decalajul spațial dintre câmpul magnetic învîrtitor inductor și câmpul magnetic învîrtitor rezultat exprimat în grade electrice; acest unghi se notează cu  $\delta$ , iar unghiul dintre t.e.m.  $\underline{E}_0$  și tensiunea  $\underline{U}$  se notează cu  $\delta'$ . Deoarece căderile de tensiune  $X_\sigma I$  și  $R I$  sînt mici în raport cu valorile eficace ale celorlalte mărimi, din diagrama fazorială rezultă că se poate lua  $\delta \simeq \delta'$ .

## 4.9. CUPLUL ȘI PUTEREA ELECTROMAGNETICĂ

a. *Cuplul electromagnetic* exercitat asupra rotorului generatorului sincron cu poli aparenti se poate pune sub o formă care evidențiază influența determinantă a unghiului intern  $\delta$ . Particularizînd pentru mașina sincronă expresia cuplului electromagnetic dedusă în capitolul II se obține:

$$M = \frac{3}{\Omega} E I \cos (\varphi + \varepsilon_1) \quad (4.34)$$

Neglijînd rezistența indusului  $R$ , pe baza diagramei fazoriale simplificate din figura 4.19, b se pot scrie următoarele relații:

$$E I \cos (\varphi + \varepsilon_1) = E I \cos (\varepsilon - \delta) = E I \cos \varepsilon \cos \delta + E I \sin \varepsilon.$$

$$\sin \delta = -I_q (E_0 - I_d X_{ad}) - I_q I_d X_{aq} = -E_0 I_q - (X_q - X_d) \cdot I_d I_q \quad (4.35)$$

deoarece:

$$\begin{aligned} E \cos \delta &= E_0 - I_d X_d; & E \sin \delta &= I_q X_q; \\ X_{ad} - X_{aq} &= X_d - X_q \end{aligned} \quad (4.36)$$

Înlocuind în expresia (4.34) se obține:

$$M = -\frac{3}{\Omega} [E_0 I_q + (X_l - X_d) I_d I_q].$$

Componentele  $I_d$  și  $I_q$  ale curentului statoric se determină din diagrama fazorială simplificată,

$$I_d = \frac{E_0 - U \cos \delta}{X_d} \text{ și } I_q = \frac{U \sin \delta}{X_q}. \quad (4.37)$$

După calcule elementare se obține următoarea expresie pentru cuplul electromagnetic

$$M = -\frac{3}{\Omega} \left[ \frac{E_0 U}{X_d} \sin \delta + \left( \frac{1}{X_q} - \frac{1}{X_d} \right) \frac{U^2}{2} \sin 2\delta \right] = M' + M''. \quad (4.38)$$

Cuplul electromagnetic al generatorului sincron cu poli aparenti are două componente: prima componentă proporțională cu  $E_0$  și  $U$ , iar a doua componentă este independentă de  $E_0$ , această a doua componentă se numește *cuplu reactiv* și depinde de diferența reactanțelor sincrone după cele două axe și de pătratul tensiunii. Obșnuit, amplitudinea cuplului reactiv reprezintă 0,2...0,25 din amplitudinea cuplului principal. Prima componentă s-a notat cu  $M'$ , iar componenta reactivă cu  $M''$ .

În figura 4.21, *a* s-a reprezentat variația cuplului electromagnetic al mașinii sincrone cu poli aparenti funcționând cu tensiune la borne constantă și excitație constantă, în funcție de unghiul intern  $\delta$ . Datorită componentei reactive  $M''$ , maximum cuplului electromagnetic are loc la unghiuri interne mai mici de  $\frac{\pi}{2}$ .

Se constată că la excitație constantă, cuplul mașinii sincrone variază practic proporțional cu tensiunea la borne  $U$  (componenta reactivă  $M''$  fiind mică). Rezultă că mașina sincronă este mai puțin sensibilă la variațiile tensiunii la borne decât mașina asincronă, ceea ce constituie un avantaj important.

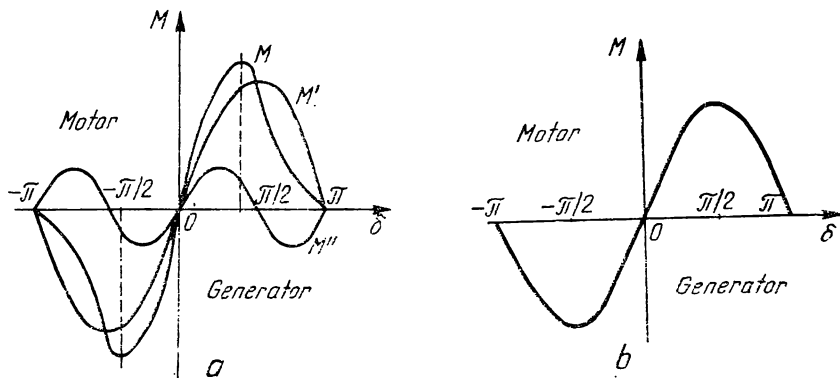


Fig. 4.21. Cuplul electromagnetic la mașina cu poli aparenti (*a*); cuplul electromagnetic la mașina cu poli înecați (*b*).

La mașina sincronă cu poli înecați reactanțele sincrone sînt egale  $X_d = X_q = X_s$  și deci expresia cuplului electromagnetic devine:

$$M = -\frac{3}{\Omega} \frac{E_0 U}{X_s} \sin \delta; \quad M_m = \frac{3}{\Omega} \cdot \frac{E_0 U}{X_s}. \quad (4.39)$$

Pentru o mașină care funcționează la o tensiune la borne constantă și la un curent de excitație constant cuplul electromagnetic variază sinusoidal în funcție de unghiul intern (fig. 4.21, b).

Cuplul maxim rezultă pentru  $\delta = \frac{\pi}{2}$ . Capacitatea de supraîncărcare nominală a mașinii este  $k_M = M_m/M_n = 1/\sin \delta_n$ .

În mod normal, mașina sincronă are capacitatea de supraîncărcare nominală  $k_M = 2...3$ , ceea ce corespunde unei valori pentru  $\delta_n$  de  $20^\circ...30^\circ$ .

La mașina sincronă reactivă lipsește înfășurarea de excitație ( $E_0 = 0$ ) și cuplul dezvoltat de mașină se reduce la componenta  $M''$  care variază sinusoidal în funcție de dublul unghiului intern, pentru o mașină cuplată la o rețea de tensiune constantă.

Semnul minus din fața relației (4.38) arată că în regim de generator cuplul electromagnetic  $M$  este un cuplu rezistent care se opune mișcării rotorului. Asupra statorului se exercită un cuplu egal în modul și de semn contrar.

Convențional în figurile (4.21, a și b) cuplul în regim de generator s-a reprezentat deasupra axei absciselor.

b. *Puterea electromagnetică*  $P = -M \Omega_1 = -2 \pi n_1 M$  are expresia:

$$P = 3 \left[ \frac{E_0 U}{X_d} \sin \delta + \left( \frac{1}{X_q} - \frac{1}{X_d} \right) \frac{U^2}{2} \sin 2 \delta \right]. \quad (4.40)$$

Neglijînd pierderile în stator puterea  $P$  este cedată rețelei de către mașina sincronă.

Relația (4.40) reprezintă caracteristica unghiulară a puterii mașinii sincrone și exprimă dependența puterii electromagnetice de unghiul intern al mașinii pentru curent de excitație  $I_e$  constant ( $E_0 = \text{const.}$ ) și frecvență constantă.

În mod similar se calculează puterea reactivă  $Q = \text{Im} (3 \underline{U} \underline{I}^*)$ :

$$Q = \frac{3 E_0 U}{X_d} \cos \delta + \frac{3}{2} U^2 \left( \frac{1}{X_q} - \frac{1}{X_d} \right) \cos 2 \delta - \frac{3}{2} U^2 \cdot \left( \frac{1}{X_q} + \frac{1}{X_d} \right) \quad (4.41)$$

*Puterea de sincronizare și cuplul sincronizant; stabilitatea statică.* O mașină sincronă funcționează cu atît mai stabil cu cît variația puterii electromagnetice pe unitatea de unghi intern este mai mare. La o creștere  $\Delta \delta$  a unghiului intern puterea electromagnetică devine  $P(\delta + \Delta \delta)$ ; dacă se rețin din dezvoltarea în serie Taylor primii doi termeni rezultă:

$$\begin{aligned} P(\delta + \Delta \delta) &= P(\delta) + \frac{dP}{d\delta} \Delta \delta; \quad \Delta P = P(\delta + \Delta \delta) - P(\delta) = \\ &= \frac{dP}{d\delta} \Delta \delta. \end{aligned} \quad (4.42)$$

Factorul  $P_s = \frac{dP}{d\delta}$  este numit *putere sincronizantă specifică*. La mașina cu poli înecați puterea sincronizantă  $P_s$  respectiv cuplul sincronizant  $M_s$  sînt:

$$P_s = 3 \frac{E_0 U}{X_d} \cos \delta; \quad M_s = -\frac{3}{\Omega_1} \cdot \frac{E_0 U}{X_d} \cos \delta \quad (4.43)$$

iar la mașina cu poli aparenti:

$$P_s = \frac{3 E_0 U}{X_d} \cos \delta + 3 U^2 \left( \frac{1}{X_q} - \frac{1}{X_d} \right) \cos 2 \delta; \quad (4.44)$$

$$M_s = -\frac{3}{\Omega_1} \left[ \frac{E_0 U}{X_d} \cos \delta + U^2 \left( \frac{1}{X_q} - \frac{1}{X_d} \right) \cos 2 \delta \right]$$

În figura 4.22 s-au reprezentat puterea  $P$  și puterea sincronizantă  $P_s$  în funcție de  $\delta$ .

Puterea sincronizantă specifică este maximă la funcționarea mașinii sincrone în gol și este nulă la funcționarea în sarcină cu puterea maximă. Puterea electromagnetică respectiv cuplul electromagnetic au valoarea maximă pentru  $\delta_m \in \left( -\frac{\pi}{2}, \frac{\pi}{2} \right)$  dat de relația  $P_s(\delta_m) = 0$ .

Stabilitatea statică caracterizează comportarea mașinii sincrone în cazul variației lente a mărimilor, cînd se neglijează procesele tranzitorii; trecerea de la un punct de funcționare la alt punct de funcționare are loc printr-o succesiune de stări staționare, variațiile mărimilor în timp sînt lente în raport cu constantele de timp ale circuitelor electrice.

O mașină sincronă care schimbă energie cu rețeaua electrică prezintă stabilitate statică, dacă în urma unei perturbații de amplitudine mică, și cu variație lentă în timp, mașina revine la starea de regim permanent de funcționare sincronă.

La o variație a cuplului de acționare  $M_1$ , de exemplu, la creșterea acestuia se produce un cuplu de accelerare dat de diferența  $M_1 - M$ , urmat de o creștere a unghiului intern  $\delta$ ; dacă odată cu creșterea acestuia crește

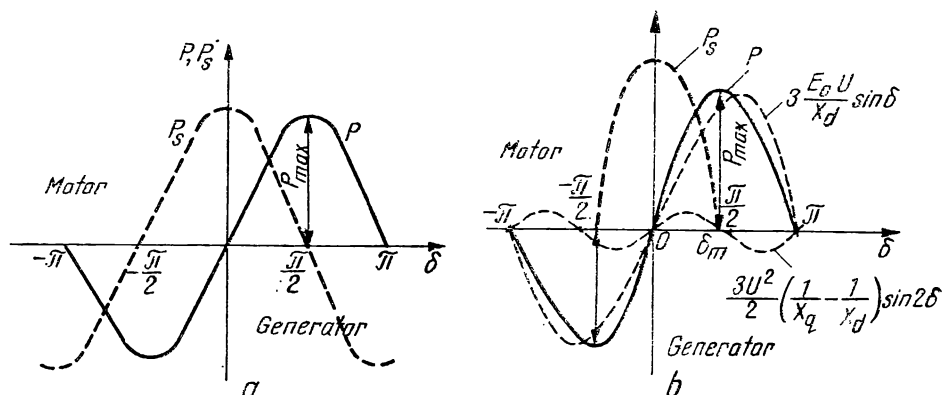


Fig. 4.22. Puterea electromagnetică  $P$  și puterea sincronizantă specifică  $P_s$  la mașina cu poli înecați (a); puterea electromagnetică  $P$  și puterea sincronizantă  $P_s$  la mașina sincronă cu poli aparenti (b).

și cuplul electromagnetic  $M$  atunci se restabilește echilibrul cuplurilor la o nouă valoare a unghiului  $\delta$ . Acest fapt are loc dacă  $\delta \in (0, \delta_m)$ , pentru mașina cu poli înecați  $\delta_m = \frac{\pi}{2}$  pentru mașina cu poli aparenti  $\delta_m < \frac{\pi}{2}$  și este dat de ecuația  $P_s(\delta_m) = 0$ ; pentru aceste valori ale lui  $\delta$ , puterea sincronizantă specifică  $P_s > 0$ . Prin urmare o creștere a unghiului  $\delta$  conduce la o creștere a puterii electromagnetice și deci funcționarea este stabilă static numai pentru  $P_s > 0$ . Funcționarea mașinii este static instabilă pentru  $P_s < 0$ , adică pentru  $\delta \in (\delta_m, \pi)$ .

Pentru regimul de motor funcționarea este stabilă pentru  $\delta \in (-\delta_m, 0)$  și este instabilă pentru  $\delta \in (-\pi, -\delta_m)$ .

Pentru o funcționare stabilă a mașinii sincrone cuplul mecanic aplicat rotorului trebuie să nu depășească amplitudinea cuplului electromagnetic pe care-l dezvoltă mașina la un curent de excitație și o tensiune la borne dată. Pentru aprecierea capacității mașinii sincrone de a face față unor suprasarcini, se definește *capacitatea de suprasarcină*  $k_m$ , egală cu raportul dintre puterea electromagnetică maximă  $P_{max}$  și puterea nominală  $P_n$  a mașinii. La mașina sincronă cu poli înecați se obține:

$$k_m = P_{max}/P_n = \frac{3 U_n E_{0n}/X_s}{3 U_n I_n \cos \varphi_n} = \frac{i_{kn}}{\cos \varphi_n}; \quad X_d = X_q = X_s; \quad i_{kn} = E_{0n}/X_s I_n \quad (4.45);$$

$i_{kn}$  este valoarea relativă a curentului de scurtcircuit la excitație nominală. Expresia (4.45) se poate folosi cu aproximație și la mașinile sincrone cu poli aparenti, deoarece cuplul reactiv nu aduce corecții esențiale valorii maxime a cuplului electromagnetic. Saturația circuitului magnetic al mașinii influențează caracteristica unghiulară a mașinii sincrone și limita ei de stabilitate.

## 4.10. CARACTERISTICILE GENERATORULUI SINCRON

Funcționarea mașinii sincrone ca generator în regim staționar se poate studia cu ajutorul caracteristicilor de funcționare. Caracteristicile mașinii sincrone se pot determina fie direct pe cale experimentală, fie prin calcul, cunoscând caracteristica magnetică a mașinii și valorile parametrilor ei determinați experimental sau prin calcul.

Un generator sincron poate funcționa în mai multe situații din punctul de vedere al legăturii sale cu sarcina. Cazul cel mai simplu este acela cînd o rețea receptoare, de impedanță echivalentă dată, este alimentată direct de un singur generator sincron. În această situație tensiunea la bornele generatorului, frecvența acestuia și curentul debitat depind numai de parametrii generatorului (rezistențe, reactanțe), de curentul de excitație și de puterea mecanică transmisă de motorul primar propriu. O asemenea funcționare se întâlnește mai rar în practica actuală și se referă la generatoare de putere relativ redusă.

Cea mai răspîdită situație este însă aceea cînd generatorul sincron, de regulă de putere mijlocie sau mare, reprezintă doar un element dintr-un sistem electroenergetic care reunește un număr mare de centrale electrice și o rețea corespunzătoare de receptoare, fiecare centrală avînd mai multe generatoare sincrone, funcționînd în paralel pe aceleași bare, iar centrala

tralele fiind interconectate între ele prin linii de transmisie a energiei electrice. În acest caz, un generator sincron are o tensiune la borne și o frecvență dependente de sistemul electroenergetic.

În acest paragraf se vor prezenta caracteristicile de funcționare ale generatorului sincron funcționând autonom pe o rețea receptoare proprie.

a) *Caracteristica la funcționarea în gol* se definește prin relația:

$$E_0 = f(I_e) \text{ pentru } n = \text{const. } (=n_n); \quad I = 0.$$

Se știe că t.e.m.  $E_0$  indusă de cîmpul învîrtitor de excitație este proporțională cu fluxul maxim  $\Phi_m$  și că acesta este funcție de curentul de excitație  $I_e$ . Pe măsură ce curentul de excitație  $I_e$  crește, crește și fluxul  $\Phi_m$  și deci și t.e.m.  $E_0$ .

Cînd circuitul magnetic al mașinii începe să se satureze creșterea curentului de excitație nu mai conduce la o creștere proporțională a fluxului magnetic, acest flux crește mai puțin și deci și t.e.m.  $E_0$  crește mai puțin. Dacă mașina a funcționat anterior, atunci în cazul  $I_e = 0$ , fluxul magnetic  $\phi$  nu este nul, deși este foarte redus. Acest fapt se explică prin existența unui cîmp remanent al polilor, fenomen caracteristic materialelor feromagnetice. În consecință la  $I_e = 0$  rezultă că  $E_0 = E_{0rem}$ . De obicei t.e.m. remanentă reprezintă 5÷10% din tensiunea la borne corespunzătoare regimului nominal.

Deoarece circuitul magnetic realizat din materiale feromagnetice prezintă și fenomenul de histererezis, caracteristica de mers în gol ridicată experimental are două ramuri: una pentru curent de excitație crescător, iar cealaltă pentru curent de excitație descrescător (fig. 4.23, a). De regulă caracteristica de mers în gol este definită prin media pe ordonată a celor două ramuri (curba întreruptă din figura 4.23, a).

Se obișnuiește de cele mai multe ori ca această caracteristică de mers în gol să se redea ca dependența între mărimi fără dimensiuni, sub forma  $E_0/U_n = f(I_e/I_{en})$ ,  $U_n$  fiind tensiunea nominală, iar  $I_{en}$  fiind curentul de excitație care corespunde la mersul în gol tensiunii nominale.

Pentru mașinile sincrone actuale, caracteristicile de mers în gol respective în mărimi relative sînt atît de apropiate una de alta, încît se poate

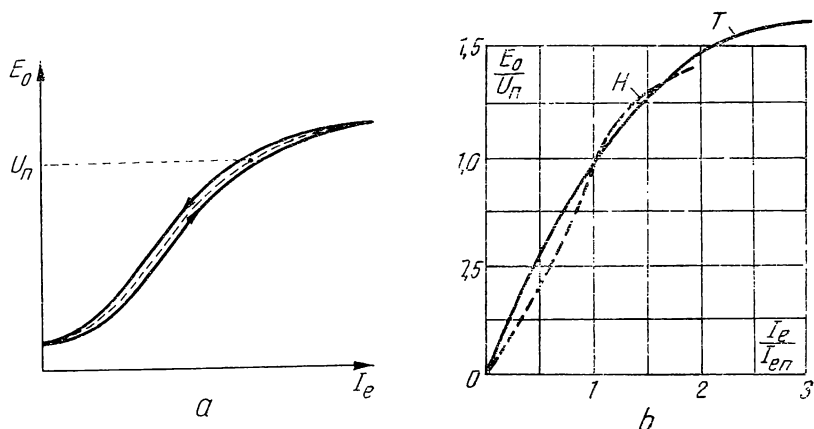


Fig. 4.23. Caracteristica în gol a generatorului sincron:

a - caracteristica în gol  $E_0 = f(I_e)$ ; b - caracteristica universală (H-hidrogenatoare; T-turbogeneratoare).

vorbi de o caracteristică universală. În figura 4.23, *b* se redă această caracteristică universală.

Caracteristicile efective ale generatoarelor sincrone nu se abat de la caracteristica universală cu mai mult de 5% într-un sens sau altul.

b) *Caracteristica de scurtcircuit* se definește prin relația:

$$I = f(I_e) \text{ pentru } U = 0; n = \text{const. } (= n_n)$$

și reprezintă un caz particular al caracteristicilor de reglare. Se are în vedere regimul staționar de scurtcircuit simetric al generatorului sincron, cînd cele trei borne ale generatorului sînt legate între ele prin conductoare de impedanță neglijabilă. Pentru ridicarea experimentală a acestei caracteristici, generatorul scurtcircuitat în prealabil se pune în mișcare și se rotește cu turația nominală, iar după aceea curentul de excitație se crește treptat, citindu-se curentul de excitație și curentul de scurtcircuit.

În cazul generatoarelor sincrone de mare putere, rezistența statorică se poate practic neglija și se poate considera că la scurtcircuit mașina are numai reactanță inductivă și deci  $I' = I_a$ . Din această cauză curentul de scurtcircuit  $I$  este defazat practic în urma t.e.m.  $E_0$  cu unghiul  $\varphi_k = 90^\circ$ .

Diagrama fazorială pentru scurtcircuit trifazat este prezentată în figura 4.24, *a*. În acest regim, fluxul magnetic rezultat este foarte mic deoarece cîmpul magnetic de reacție este longitudinal demagnetizant, așa încît se

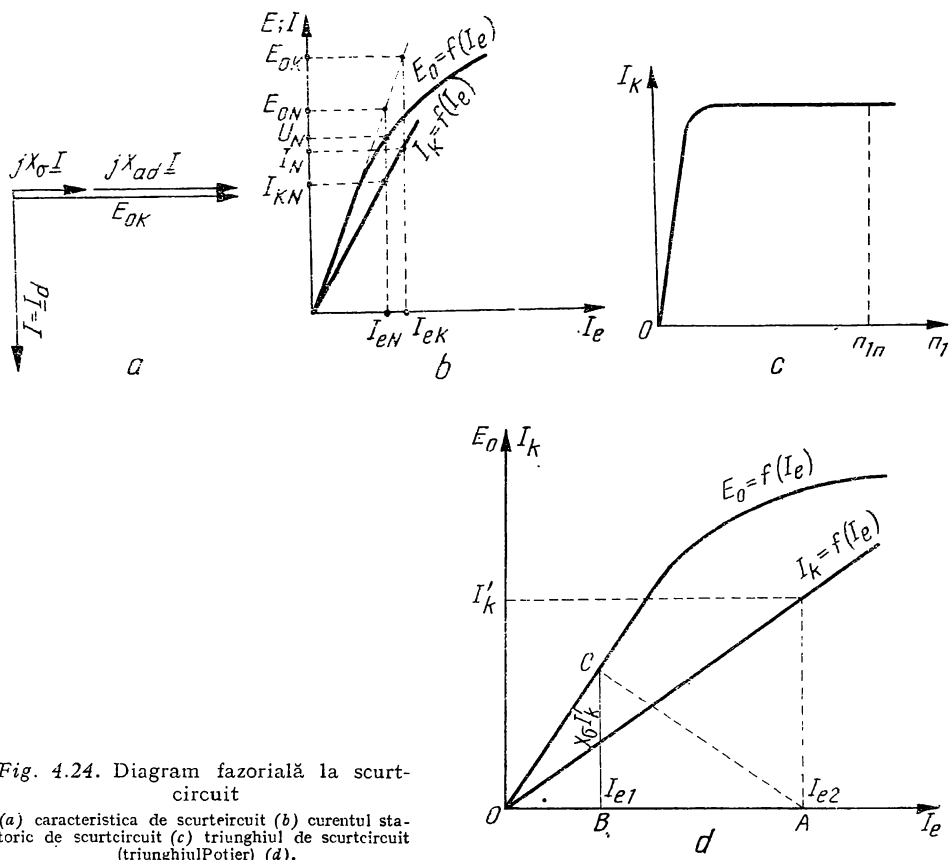


Fig. 4.24. Diagram fazorială la scurtcircuit

(a) caracteristica de scurtcircuit (b) curentul statoric de scurtcircuit (c) triunghiul de scurtcircuit (triunghiul Potier) (d).

poate considera că circuitul magnetic este practic nesaturat. Din cele de mai sus rezultă că pentru curenți de excitație nu prea mari, deci t.e.m.  $E_0$  nu prea mari, curentul de scurtcircuit este practic proporțional cu curentul de excitație. Caracteristica de scurtcircuit este practic lineară (fig. 4.24, b). Pentru un domeniu mare de frecvență (respectiv de turație) curentul de scurtcircuit  $I_k$  este aproape constant, deoarece reactanțele sînt preponderente și sînt proporționale cu frecvența (respectiv cu turația ca și t.e.m.  $E_0$ ). La frecvențe mici (turații mici) ponderea rezistenței  $R$  crește și variația curentului  $I_k$  tinde spre o dreaptă (fig. 4.24, c). Cu ajutorul caracteristicii de mers în gol și a caracteristicii de scurtcircuit se poate determina raportul de scurtcircuit  $RSC$ , adică raportul dintre curentul de scurtcircuit  $I_{kn}$  la curentul de excitație  $I_{en}$  corespunzător tensiunii nominale  $U_n$  la mersul în gol și curentul nominal  $I_n$ :  $RSC = I_{kn}/I_n = I_{en}/I_{ek} = E_{0n}/E_{0k}$ , dar  $E_{0k} = I_n X_d$  de unde rezultă și valoarea nesaturată a reactanței  $X_d$  ( $X_d = AB/BC$ ,  $AB$  este luat la scara tensiunilor, iar  $BC$  la scara curenților) care în unități relative este  $x_d = X_d I_n / U_n$  și deci:

$$RSC = E_{0n} / U_n x_d. \quad (4.46)$$

Pentru mașina sincronă care, la curentul de excitație  $I_{en}$ , nu este saturată rezultă  $E_{0n} = U_n$  și deci  $RSC = 1/x_d$ .

Cele arătate mai sus sînt valabile atît pentru mașina cu poli aparenti cît și pentru mașina cu poli înecați cu deosebirea că pentru mașina cu poli înecați  $X_d$  devine  $X_s$ .

Pentru generatoarele sincrone cu poli înecați (turbogeneratoare)  $RSC = 0,5 \dots 0,7$ , ceea ce înseamnă că la scurtcircuit curentul este mai mic decît curentul nominal. Pentru generatoarele cu poli aparenti (hidrogeneratoare)  $RSC = 1 \dots 1,4$ .

Cu caracteristicile  $E_0 = f(I_e)$  și  $I_k = f(I_e)$  se poate stabili triunghiul de scurtcircuit la mașina sincronă. Pentru un curent de scurtcircuit  $I_k$  este necesară t.e.m.  $E'_0 = X_d I'_k$  care este indusă de cîmpul magnetic învîrtitor inductor produs de curentul de excitație  $I_{e1}$ . La scurtcircuit, reacția indusului este longitudinală demagnetizantă astfel încît trebuie mărit curentul de excitație la valoarea  $I_{e2}$  pentru a obține curentul de scurtcircuit  $I'_k$ . Curentul  $\Delta I_e = I_{e2} - I_{e1}$ , reprezintă la scara curentului de excitație, măsura reacției longitudinale demagnetizante a indusului corespunzătoare lui  $I'_k$  (este curentul de excitație necesar compensării reacției longitudinale a indusului). Triunghiul  $ABC$  se numește *triunghi de scurtcircuit* sau *triunghi Potier* (fig. 4.24, d).

Generatoarele sincrone cu raport de scurtcircuit mic prezintă o variație mai mare a tensiunii la borne la variația curentului de sarcină, au un curent de încărcare mai mic la funcționarea pur capacitivă, este mai puțin stabilă la funcționarea în paralel cu o rețea de putere infinită (puterea maximă electromagnetică este mai mică la aceeași t.e.m.  $E_0$  și aceeași tensiune  $U$ ). Dar în același timp generatoarele cu  $RSC$  mic sînt mai ieftine, datorită faptului că  $x_d$  este mare și deci întrefierul este mic. Un întrefier mic conduce la o solenație de excitație mai redusă, deci un consum mai redus de cupru și o greutate mai mică a rotorului.

c) *Caracteristicile în sarcină* sînt definite de relația:

$$U = f(I_e) \text{ pentru } I = \text{const. } (=I); n = \text{const. } (=n_n); \cos \varphi = \text{const.}$$

Aceste caracteristici nu sînt legate direct de regimurile de funcționare ale generatorului pe o rețea proprie, și trebuie considerate ca ajutoare



pentru determinarea experimentală a unor parametri. Se va stabili alura acestor caracteristici pentru generatorul cu poli înecați ale cărui ecuații de funcționare sînt mai simple. Din diagrama fazorială din figura 4.20 considerînd  $R \approx 0$  prin proiectare pe direcția fazorului  $U$  și pe o direcție perpendiculară rezultă,

$$E_0 \sin \delta = X_s I \cos \varphi;$$

$$E_0 \cos \delta = X_s I \sin \varphi + U. \quad (4.47)$$

Dacă se elimină unghiul  $\delta$  atunci se obține:

$$E_0^2 = (U + X_s I \sin \varphi)^2 + (X_s I \cos \varphi)^2. \quad (4.48)$$

Din relația (4.42), presupunînd  $I$  și  $\varphi$  constante, și ținînd seama de legătura  $E_0 = f(I_e)$  se ajunge la caracteristicile din figura 4.25. Toate caracteristicile de sarcină care corespund aceluiași curent debitat  $I$ , dar unor factori de putere diferiți inductivi și capacitivi, pornesc din același punct, care corespunde tensiunii  $U = 0$ , adică scurtcircuitului la borne. O importanță deosebită o are caracteristica în sarcină pentru curent pur inductiv de valoare nominală, deoarece permite determinarea reactanței de scăpări  $X_\sigma$  și a valorii saturate  $X_{ds}$  a reactanței longitudinale.

De precizat că pentru generatorul cu poli aparenti alura acestor caracteristici este asemănătoare.

Dacă se cunoaște caracteristica în sarcină  $U = f(I_e)$  pentru  $\cos \varphi = 0$  (caracteristică în sarcină inductivă) și caracteristica în gol, determinate experimental, printr-o construcție grafică se poate determina reactanța de dispersie  $X_\sigma$  și raportul de echivalență  $k_t$  al curenților. Alegînd un punct de funcționare  $A_1$  în porțiunea curbată a caracteristicii (fig. 4.26.a), se duce

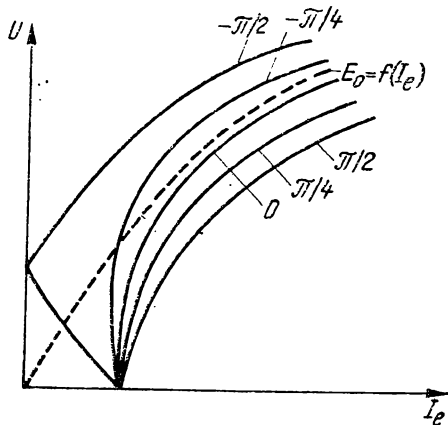


Fig. 4.25. Caracteristicile în sarcină  $U = f(I_e)$ .

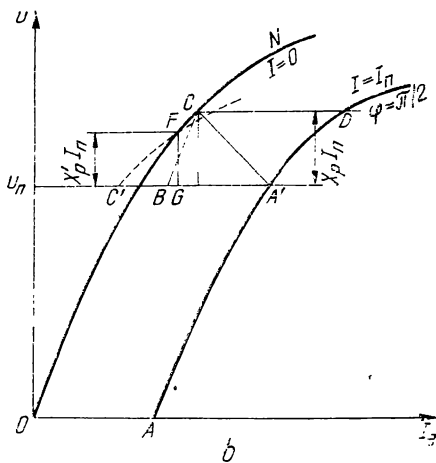
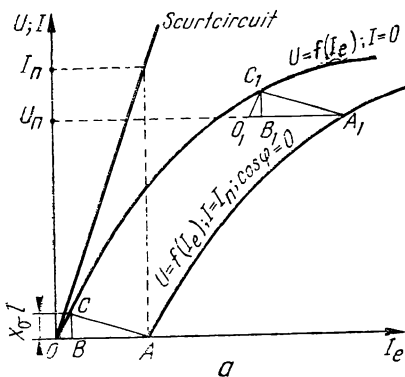


Fig. 4.26. Determinarea reactanței de scăpări (a); și determinarea reactanței de scăpări prin metoda Petrov (b).

pe paralela la axa absciselor segmentul  $A_1O_1 = AO$  și apoi prin punctul  $O_1$  se trasează o paralelă  $O_1C_1$  la porțiunea inițială a caracteristicii în gol. La intersectarea caracteristicii în gol, în punctul  $C_1$ , se obține vârful triunghiului de scurtcircuit și deci  $C_1B_1 = X_\sigma I$ , iar  $B_1A_1 = k_f I$ , ceea ce conduce la aflarea mărimilor  $k_f$  și  $X_\sigma$ . Este de observat că în realitate caracteristica în sarcină inductivă nu rezultă prin simpla translatăre a caracteristicii de mers în gol după direcția  $CA$  sau  $C_1A_1$ , observîndu-se o curbare mai pronunțată a caracteristicii în sarcină inductivă la saturații mari, datorită creșterii fluxului de dispersie al inductorului în sarcină, aceasta fiind produs de curentul de excitație  $I_e$  și nu de curentul rezultat  $I_\mu$  cum se consideră la caracteristica de mers în gol. Deosebirile rămîn totuși mici la mașinile normale. Reactanța determinată în acest mod este mai mare decît reactanța de dispersie  $X_\sigma$  și se numește *reactanța Potier*  $X_p$ .

La mașinile sincrone normale, relația dintre cele două reactanțe, la starea de saturație corespunzătoare tensiunii nominale la borne în sarcină inductivă este pentru turbogeneratoare  $X_p = (1,3 \dots 1,5) X_\sigma$ , pentru hidrogeneratoare mari  $X_p = (1,1 \dots 1,3) X_\sigma$ .

O reactanță  $X'_p$  mai apropiată de reactanța de dispersie  $X_\sigma$  se obține prin metoda Petrov (fig. 4.26, b). Se construiește triunghiul Potier  $A'BC$  corespunzător tensiunii nominale, iar apoi ducînd segmentul  $CD$  paralel cu axa absciselor, se translatează unghiul curbiliniu  $DCN$  pînă la coincidența punctului  $D$  cu punctul  $A'$ , iar la intersecția curbei translatate cu caracteristica în gol se determină punctul  $F$ . Segmentul  $FG \perp A'B$  reprezintă o valoare corectă a căderii de tensiune  $X'_p I_n$ .

Pentru  $U = U_n$  și  $I = I_n$  reactanța longitudinală  $X_d$  are valoarea saturată  $X_{ds}$ . Starea de saturație a mașinii, în general, și a circuitului magnetic statoric, în special, este determinată de fluxul magnetic resultant care induce t.e.m. rezultantă  $E$ . În figura 4.27 se prezintă construcția pentru determinarea valorii saturate  $X_{ds}$ . Din  $A$  se duce pe abscisă segmentul  $DA$  care reprezintă componenta curentului de excitație, necesară compensării efectului reacției longitudinale demagnetizante ( $\Delta I_e = AB$  din triunghiul de scurtcircuit). Se obține t.e.m. rezultanta  $DE$  și rezultă  $X_{ds} = BC/I_n$ , iar în valori relative  $x_{ds} = X_{ds} I_n / U_n = BC/AB$ .

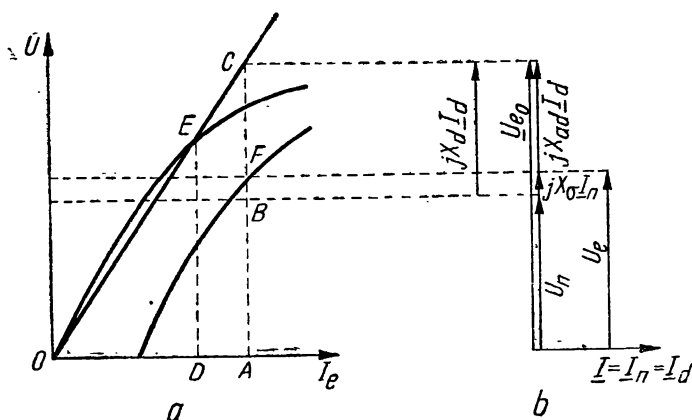


Fig. 4.27. Determinarea valorii saturate a reactanței longitudinale  $X_{ds}$ .

d) *Caracteristicile externe* ale generatorului sincron se definesc prin relația.

$$U = f(I) \text{ pentru } n = \text{const. } (= n_n); I_e = \text{const.}; \cos \varphi = \text{const.}$$

Aceste caracteristici arată cum variază tensiunea la borne în funcție de curentul debitat și prezintă o mare importanță practică. Pentru a stabili alura acestor caracteristici se poate apela la diagrama fazorială fie a generatorului cu poli înecați, fie a generatorului cu poli aparenti. Pentru stabilirea alurei acestor caracteristici în figura 4.28 s-a avut în vedere diagrama fazorială a generatorului cu poli înecați.

Dacă curentul de excitație este constant și egal cu cel care asigură tensiunea nominală când generatorul debitează curentul nominal  $I_n$ , atunci  $E_0 = \text{const.}$  Pentru factorul de putere  $\cos \varphi = 1$  rezultă  $U < E_0$ . Într-adevăr, curentul de sarcină are o componentă longitudinală  $I_a$ , relativ mică, care produce un câmp învîrtitor longitudinal de reacție demagnetizant în comparație cu câmpul inductor și o componentă transversală  $I_q$  care produce un câmp transversal ce modifică puțin fluxul magnetic pe pol (datorită saturației). În consecință câmpul învîrtitor rezultat va avea o amplitudine mai mică decît aceea a câmpului inductor și deci  $U < E_0$ . Dacă curentul de sarcină al generatorului se micșorează tinzînd spre zero, însă  $E_0 = \text{const.}$  atunci fazorul  $\underline{U}$  tinde să se confunde cu fazorul  $\underline{E}_0$ . Așadar, dacă curentul de sarcină scade tensiunea la borne crește (curba *a* din figura 4.28). Pentru  $\cos \varphi$  capacitiv (fig. 4.28 curba *b*) cînd  $I = I_n$ , tensiunea la borne este mai mare decît t.e.m. indusă de câmpul inductor  $U > E_0$ , datorită existenței unei componente longitudinale  $I_a$  a curentului  $I$  care produce un câmp învîrtitor de reacție longitudinal magnetizant. Pe măsură ce curentul de sarcină  $I$  scade, tensiunea la borne scade, fazorul  $\underline{U}$  tinde către fazorul  $\underline{E}_0$ .

La  $\cos \varphi$  inductiv,  $U < E_0$  datorită existenței unui câmp învîrtitor de reacție longitudinal demagnetizant mai intens decît pentru  $\cos \varphi = 1$  (curba *c* din figura 4.28).

Se poate defini o familie de caracteristici externe pentru curentul de excitație care asigură la mersul în gol a generatorului tensiunea nominală. De obicei se preferă a se menține constant curentul de excitație care la mersul în gol asigură tensiunea nominală. Familia de caracteristici pentru această situație este

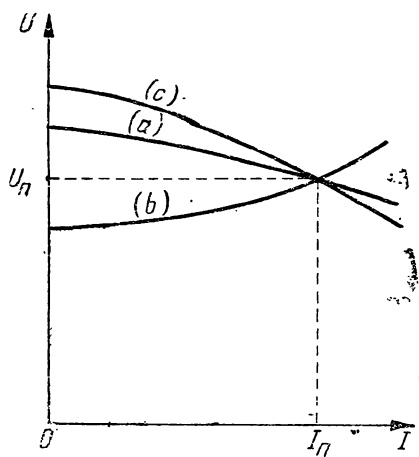


Fig. 4.28. Caracteristicile externe la excitație nominală.

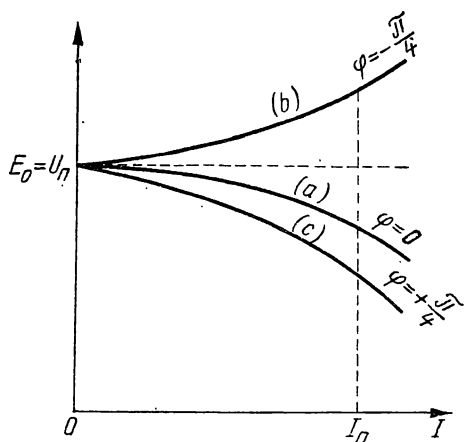


Fig. 4.29. Caracteristicile externe cu tensiunea nominală la gol.

prezentată în figura 4.29, alura lor este aceeași, doar că pleacă din punctul  $(U_n, 0)$ .

Diferența dintre t.e.m. de mers în gol și tensiunea la borne la mersul în sarcină nominală sub factor de putere dat, la același curent de excitație și aceeași turație, poartă numele de *variație a tensiunii* la borne,  $\Delta U = E_0 - U_n$ .

Această variație se raportează la tensiunea nominală, obținându-se variația relativă  $\Delta u = (E_0 - U_n)/U_n$ .

Normele prevăd ca variația de tensiune să nu depășească 0,5 la excitație nominală și sarcină inductivă cu  $\cos \varphi = 0,8$ .

Dacă mașina funcționează nesaturat, adică are parametrii  $X_d$  și  $X_q$  constanți, se poate stabili o expresie analitică a caracteristicilor externe, pe baza diagramei fazoriale de unde rezultă:

$$E_0 = \sqrt{U^2 + (X_q I)^2 + 2 U X_q I \sin \varphi} + (X_d - X_q) I \sin (\delta + \varphi). \quad (4.49)$$

Din triunghiul  $OAB$  (fig. 4.19,c) rezultă:

$$\sin (\delta + \varphi) = (U \sin \varphi + X_q I) / \sqrt{U^2 + (X_q I)^2 + 2 U X_q I \sin \varphi} \quad (4.50)$$

și după efectuarea calculelor rezultă:

$$E_0 = [U^2 + (X_d + X_q) U I \sin \varphi + X_d X_q I^2] / \sqrt{U^2 + (X_q I)^2 + 2 U X_q I \sin \varphi}, \quad (4.51)$$

Relația (4.51) pentru  $E_0 = \text{const.}$  și  $\varphi = \text{const.}$  reprezintă o cuadrică. În cazul mașinii cu poli înecați  $X_d = X_q$  și caracteristicile externe devin elipse cu centrul în originea axelor de coordonate  $(U, I)$ . La sarcină pur reactivă  $\left(\varphi = \pm \frac{\pi}{2}\right)$  caracteristicile se reduc la drepte  $E_0 = \pm (U \pm \pm X_d I)$ .

Dacă se ia în considerație influența saturației, caracteristicile externe se determină prin aproximații succesive.

Influența saturației se manifestă prin aplatisarea curbelor la tensiuni mai mari decât tensiunea nominală.

e) *Caracteristicile reglării* se definesc cu relațiile,

$$I_e = f(I) \text{ pentru } U = \text{const. } (= U_n); \quad n = \text{const. } (= n_n); \\ \cos \varphi = \text{const.}$$

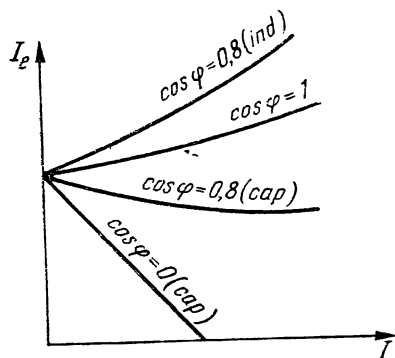


Fig. 4.30. Caracteristicile reglării.

Aceste caracteristici sînt de mare importanță în exploatarea generatorilor, întrucît ele arată cum trebuie reglat curentul de excitație în situația cînd curentul debitat variază, pentru a asigura o tensiune constantă la borne. Caracteristicile reglării pentru diferiți factori de putere ai sarcinii și aceeași tensiune sînt prezentate în figura 4.30. Toate curbele pornesc din același punct de pe axa ordonatelor. Alura caracteristicilor reglării rezultă din cele prezentate la caracteristicile externe.

f) *Pierderile și randamentul generatorului sincron.* Ca și în celelalte mașini electrice rotative se produc următoarele tipuri de pierderi: pierderi în conductoarele înfășurărilor  $P_J$  și în fier  $P_{Fe}$ ; pierderi mecanice prin frecare și ventilație. Pierderile  $P_J$  și  $P_{Fe}$  cuprind pierderile principale și pierderile suplimentare. Pierderile principale  $P_J$  sînt pierderi prin efect Joule, în cazul în care curentul ar fi distribuit uniform în secțiunea transversală a conductorului; pierderile suplimentare  $P_J$  apar în plus prin efectul Joule, datorită distribuției neuniforme a curentului în secțiune transversală a conductorului. La generatoarele sincrone curentul din indus fiind mare, dimensiunile transversale ale conductoarelor sînt mari și ca urmare pierderile suplimentare pot fi ridicate. Pentru a evita această situație, se împart conductoarele pe înălțimea creștăturii în mai multe bare, sau în cazuri mai dificile se efectuează transpoziții.

Pierderile principale  $P_{Fe}$  sînt pierderile prin histerezis și curenții turbionari produși de unda inducției magnetice din întrefier care variază față de indus cu frecvența fundamentală. Această undă este fixă față de inductor și nu se produc pierderi principale în fierul inductorului dar în indus au loc astfel de pierderi. Pierderile suplimentare  $P_{Fe}$  cuprind pierderile suplimentare la funcționarea în gol și pierderile suplimentare la funcționarea în sarcină; acestea se produc atît în inductor cît și în indus.

Pierderile suplimentare în rotor pot fi mari la rotoarele din oțel masiv. Mai pot apărea pierderi suplimentare produse de curenții turbionari în piesele de strîngere ale pachetelor de tole, în bandajele de oțel ale rotorului turbogeneratorului și în alte piese de oțel care intră în construcția mașinii sincrone. Aceste pierderi suplimentare prezintă interes la mașinile mari și foarte mari, la care piesele menționate au dimensiuni însemnate; la mașinile de putere mică și mijlocie nu prezintă în general importanță și se neglijează în calcule. Pentru reducerea pierderilor suplimentare în miez și în diferitele piese constructive se iau o serie de măsuri: înfășurări statorice cu pas scurtat pentru a reduce armonicile din curba inducției magnetice; dispunerea convenabilă a capetelor de bobină ale indusului pentru a evita pe cît posibil ca liniile cîmpului magnetic frontal să înlănțuie piesele metalice; se utilizează piese de strîngere și bandaje din materiale nemagnetice. La generatoarele sincrone mari pierderile prin ventilație reprezintă peste 40% din pierderile totale, de aceea reducerea acestor pierderi este importantă. În acest scop la generatoarele sincrone mari, în locul răcirii cu aer se utilizează răcirea cu hidrogen, ceea ce reduce pierderile prin ventilație de aproximativ 10 ori. Răcirea cu hidrogen are și alte avantaje.

Randamentul se calculează cu relația  $\eta = 1 - \Sigma p / (P_2 + \Sigma p)$ .

La funcționarea în condiții nominale cu  $\cos \varphi = 0,8$  randamentul turbogeneratoarelor de putere cu  $P_2 \in (0,5 \div 3)$  MVA este  $\eta \in (92 \div 95)\%$ , iar pentru  $P_2 (3 \div 300)$  MVA este  $\eta \in (95 \div 99)\%$ . Răcirea cu hidrogen conduce la o mărire a randamentului cu 0,8%. Randamentul hidrogengeneratoarelor este aproximativ același. Generatoarele sincrone se construiesc astfel încît să aibă randamentul maxim la punctul nominal.

#### 4.11. DETERMINAREA CURENTULUI DE EXCITAȚIE ȘI A VARIAȚIEI DE TENSIUNE LA GENERATORUL SINCRON

Se presupun cunoscute prin calcul sau experimental: caracteristica de funcționare în gol, caracteristica de scurtcircuit și reactanța de scăpări a indusului. Determinarea curentului de excitație și a variației de tensiune



dintre polii inductori, care crește ca urmare a măririi curentului de excitație, deci ca urmare a creșterii saturației. Din construcția făcută rezultă un curent de excitație  $I_e$  mai mic decât valoarea reală. Pe de altă parte nu se descompune t.m. de reacție în două componente: una longitudinală corespunzând unei reluctanțe relativ mici sub poli și alta transversală, corespunzând unei reluctanțe relativ mari în spațiul interpolar. Ca urmare efectul reacției indusului luat în considerare este ceva mai mare decât cel real. Cele două abateri sînt de semn contrar și diminuează eroarea cu care se calculează curentul  $I_e$ . Metoda ia în considerație saturația circuitului magnetic, este simplă și dă rezultate în bună concordanță cu cele obținute experimental.

$$\text{Variația de tensiune } \Delta u\% = 100(E_0 - U_n)/U_n = 100(FT - FN)/FN = 100 NT/FN.$$

La generatoarele de construcție actuală variația de tensiune se află aproximativ în limitele  $(15-30)\%U_n$ .

## 4.12. FUNCȚIONAREA ÎN PARALEL A GENERATOARELOR SINCRONE

În centralele electrice sînt instalate de regulă mai multe generatoare sincrone destinate a funcționa în paralel, debitînd energie electrică într-un sistem electroenergetic mai vast, de putere relativ mare în comparație cu puterea nominală a fiecărui generator. Conectarea în paralel a mai multor generatoare sincrone are temeinice justificări economice și de siguranță în alimentarea cu energie electrică a consumatorilor.

La funcționarea în paralel, toate generatoarele sincrone trebuie să aibă riguros aceeași frecvență, adică trebuie să se rotească sincron. Regulatorile de turație ale motoarelor primare ale generatoarelor sincrone nu pot asigura respectarea riguroasă a acestei condiții, însă la funcționarea în paralel în generatoarele sincrone apare un cuplu de sincronizare, care asigură menținerea condiției de sincronism. La funcționarea în paralel pot însă apărea oscilații ale rotoarelor generatoarelor în jurul unei turații medii. O altă problemă importantă a funcționării în paralel este și efectuarea operației de conectare a unui nou generator la barele centralei, la care sînt deja conectate alte generatoare.

După ce generatorul sincron a fost pornit cu ajutorul motorului primar și a fost adus la o turație apropiată de cea sincronă, pentru a-l conecta în paralel cu barele centralei, fără a interveni procese tranzitorii care în general perturbă funcționarea mașinii trebuie îndeplinite următoarele condiții: *a*) tensiunile generatorului să fie egale cu tensiunile rețelei; *b*) frecvența  $f$  a mașinii să fie apropiată de cea a tensiunii rețelei; *c*) în momentul conectării generatorului la rețea tensiunile la bornele omoloage ale generatorului și ale rețelei trebuie să fie în fază; *d*) ultima condiție impune și coincidența ordinei de succesiune a fazelor generatorului și a fazelor rețelei.

Dacă condiția *d*) nu este îndeplinită, conectarea în paralel nu este posibilă. Dacă nu sînt îndeplinite condițiile *a*) și *c*) cuplarea la rețea este însoțită de fenomene tranzitorii, care sînt cu atât mai puternice, cu cît diferența tensiunilor omologe în fază și amplitudine este mai mare.

Diferența mare între frecvențe la conectare duce la oscilații puternice ale rotorului mașinii sincrone care pot fi urmate de ieșirea din sincronism.

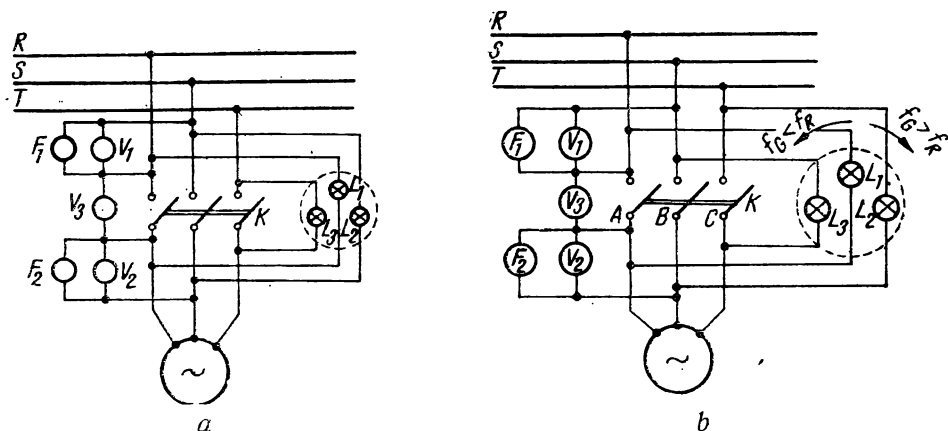


Fig. 4.32. Conectarea unui generator sincron la rețea prin:  
a - metoda lămpilor stinse; b - metoda luminii rotitoare.

Operația de identificare a succesiunii fazelor la generatoarele fixe se face o singură dată, la montarea generatorului. La efectuarea sincronizărilor ulterioare se urmărește numai îndeplinirea primelor trei condiții.

Condițiile de tensiune și de frecvență (a și b) se controlează cu ajutorul voltmetrelor și al frecvențmetrelor. Uneori se folosesc în acest scop aparate „duble” cu două indicatoare alăturate, care ușurează observarea îndeplinirii condiției de egalitate ale mărimilor corespunzătoare generatorului cu cele ale rețelei. În cele ce urmează se vor considera îndeplinite cele două condiții.

Coincidența fazelor omoloage ale generatorului și rețelei se poate verifica în mai multe moduri. O primă metodă, numită a *voltmetrului de zero*, constă în măsurarea diferenței dintre tensiunile fazelor omoloage ale generatorului și rețelei cu ajutorul unui voltmetru  $V_3$ , montat în paralel cu unul dintre contactele întrerupătorului prin care se face conectarea la rețea, așa cum se indică în figura 4.32. Concomitent se mai suntează, prin elemente de rezistență egală cu cea a voltmetrului și celelalte două contacte ale întrerupătorului. La trecerea prin zero sau printr-un minim a tensiunii indicate de voltmetrul  $V_3$ , tensiunile fazelor omoloage ale generatorului și rețelei coincid. Voltmetrul de zero  $V_3$  se poate face cu scară dilatăată la tensiuni mici, ceea ce permite sesizarea mai exactă a momentului coincidenței fazelor tensiunilor.

O altă metodă este cea a *sincronoscopului*. Aceasta se poate realiza cu ajutorul lămpilor electrice sau al cimpului magnetic învîrtitor. În figura 4.32, a și b s-au reprezentat schemele sincronoscoapelor cu lămpi. Prima schemă, numită a lămpilor stinse, constă din trei lămpi conectate în paralel cu cîte un contact al întrerupătorului de conectare la rețea  $K$ . În momentul coincidenței tensiunilor în fază, toate lămpile sînt stinse cum rezultă din diagrama tensiunilor reprezentată în figura 4.33, a și se poate închide întrerupătorul. Schema verifică și coincidența sensului de succesiune a fazelor generatorului cu cele ale rețelei.

Schema din figura 4.32, b, numită a luminii rotitoare, constă din trei lămpi conectate în modul următor: una din lămpi,  $L_1$ , este în paralel cu contactul primei faze  $R/A$  a întrerupătorului, iar celelalte două lămpi sînt conectate încrucișat,  $L_2$  la  $T/B$ , iar  $L_3$  la  $S/C$ . Coincidența tensiunilor fazelor omoloage este marcată în această schemă prin stingerea lămpii  $L_1$  și o luminozitate egală a lămpilor  $L_2$  și  $L_3$ . La inegalitatea frecvențelor generatorului și rețelei, lămpile se aprind și se sting succesiv, creînd impresia unei lumini rotitoare, al cărui sens de rotație indică sensul de abatere al celor două frecvențe, ceea ce ușurează operația de sincronizare. Diagrama tensiunilor aplicate lămpilor este reprezentată în figura 4.33, b. Schema verifică și coincidența sensului de succesiune a fazelor generatorului cu cel al rețelei.



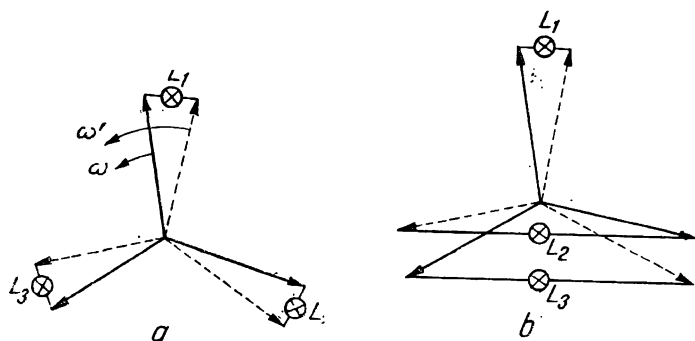


Fig. 4.33. Diagramele de fazori ale tensiunilor a două generatoare conectate în paralel:

*a* — pentru lămpi stinse; *b* — pentru lumină rotitoare.

Sincronoscopul cu câmp învîrtitor se bazează în principiu pe un dispozitiv electromecanic similar cu motorul asincron bipolar cu rotor bobinat, ale cărui înfășurări statorice sînt alimentate de la tensiunile rețelei (prin transformatoare reductoare), iar înfășurările rotorice — de la tensiunile generatorului.

În această situație, rotorul dispozitivului se va învîrți cu o viteză unghiulară egală cu diferența pulsațiilor tensiunilor rețelei și generatorului, sensul de rotație fiind dependent de sensul acestei diferențe. La trecerea unui indicator, solidar cu rotorul dispozitivului, prin dreptul unui reper anumit, tensiunile omoloage ale generatorului și rețelei sînt în fază și se poate cupla intreruptorul.

Există și dispozitive care efectuează automat toate operațiile de sincronizare și controlează îndeplinirea condițiilor pentru conectarea la rețea a generatorului.

Metodele de sincronizare descrise mai sus, care urmăresc conectarea generatorului sincron la rețea astfel încît fenomenele tranzitorii să fie reduse (teoretic să nu existe asemenea fenomene la îndeplinirea riguroasă a condițiilor *a—d*), se numesc *metode de sincronizare fină*. În general durata unei sincronizări fine este mare și necesită aparatură specială, și personal calificat.

Dacă rețeaua la care se cuplează generatorul este suficient de puternică, se poate folosi metoda autosincronizării. În această metodă, care se poate aplica dacă este îndeplinită condiția de identitate a ordinei de succesiune a fazelor, generatorul se cuplează la rețea dezexcitat, avînd o turație apropiată de cea sincronă (se admit diferențe de cel mult 3÷5%). Conectarea se poate face direct sau prin intermediul unei bobine, care apoi se scurt-circuitează. În momentul conectării, înfășurarea de excitație a generatorului este conectată pe o rezistență de 5÷10 ori mai mare decît rezistența înfășurării, așa-numita *rezistență de stingere*, folosită pentru dizexcitarea rapidă a mașinii în caz de avarii interne. Cuplul asincron care ia naștere aduce generatorul sincron pînă aproape de turația sincronă, astfel încît la aplicarea tensiunii de excitație, generatorul va fi atras în sincronism de cuplul sincron care ia naștere.

Uneori metoda autosincronizării se aplică într-o variantă care prevede aplicarea tensiunii de excitație simultan cu conectarea la rețea a generatorului dezexcitat. În acest caz șocul de curent în procesul de autosincro-

nizare este mai mare, însă durata fenomenului scade, ceea ce poate constitui un argument decisiv în situații în care intervenția rapidă a unui generator este importantă. Metoda autosincronizării este simplă și nu necesită utilaj special.

#### 4.13. ÎNFĂȘURAREA DE AMORTIZARE A MAȘINII SINCRONE

Această înfășurare — denumită și amortizor — poate fi constituită de o colivie dispusă pe rotorul mașinii sincrone (ca o colivie de mașină asincronă), sau de polii masivi. Se numește *sistem de amortizare* al unei mașini sincrone, totalitatea circuitelor, cu excepția înfășurării de excitație, care se află pe inductor și în care în anumite cazuri, se induce t.e.m. și deci se stabilesc curenți de către câmpul magnetic de reacție.

Piesa polară, uneori miezul polului și jugul sînt din oțel masiv, în acest caz sistemul de amortizare se numește amortizor masiv.

În piesele polare realizate din tole se practică creștături în care sînt montate bare, iar la capete sînt reunite cu inele de conexiune — acesta este amortizorul tip colivie care se poate realiza sub trei forme constructive:

— înfășurarea de amortizare longitudinală — transversală care are inele de conexiune complete (fig. 4.34, *a*);

— înfășurarea de amortizare longitudinală cu segmente de inel de conexiune, care reunesc barele și formează spire în axa longitudinală (fig. 4.34, *b*).

— înfășurarea de amortizare transversală, cu inele de conexiune, care reunesc barele și formează spire în axa transversală (fig. 4.34, *c*).

Înfășurarea de amortizare, în cazul general, se poate echivala cu două înfășurări ortogonale cu axele magnetice concidente cu axa  $d$  respectiv cu axa  $q$ . În teoria mașinii sincrone se operează cu aceste înfășurări echivalente.

Modul de funcționare a sistemului de amortizare va fi prezentat în cazul în care mașina sincronă este cuplată la o rețea de putere infinită ( $U = \text{const}$ ;  $f = \text{const}$ ).

Câmpul magnetic învîrtitor de reacție a indusului are viteza unghiulară  $\frac{\omega}{p}$  față de stator. Cînd rotorul se învîrtește cu exact aceeași viteză

unghiulară, cum este cazul în regim normal de funcționare, atunci câmpul magnetic, învîrtitor de reacție este fix față de inductor care este rotorul, adică viteza unghiulară relativă  $\Omega_r = \Omega_1 - \Omega_2$  dintre rotor și câmpul magnetic învîrtitor de reacție este zero și nu se induce t.e.m. în înfășurările de amortizare.

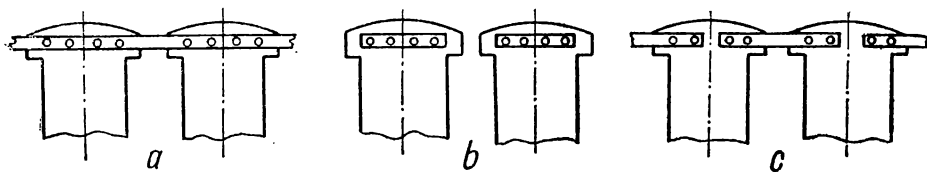


Fig. 4.34. Înfășurări de amortizare:

*a* — longitudinal-transversală; *b* — longitudinală; *c* — transversală.

Dacă viteza relativă  $\Omega_r$  este diferită de zero și  $\Omega_r < 0$ , adică viteza rotorului  $\Omega_2 < \Omega_1 = \frac{\omega}{p}$ , atunci se induce t.e.m. în sistemul de amortizare constituit de colivie sau poli masivi. Aceste t.e.m. stabilesc curenți în înfășurările de amortizare. Ca urmare se produce în mod similar ca și la mașina asincronă, un cuplu motor, care tinde să mărească viteza rotorului; statorul și rotorul cu sistemul de amortizare realizează o mașină asincronă, care funcționează în regim de motor.

Cînd viteza  $\Omega_r > 0$ , adică viteza rotorului  $\Omega_2 > \Omega_1$ , se produce în mod asemănător un cuplu, care tinde să micșoreze viteza  $\Omega_2$  a rotorului; statorul și rotorul cu sistemul de amortizare realizează o mașină asincronă, care funcționează în regim de generator asincron. Cuplul produs în ambele cazuri se numește cuplu de amortizare și tinde să micșoreze viteza relativă  $\Omega_r = s\Omega_1$ , respectiv alunecarea  $s$ . Cuplul variază în funcție de alunecare ca și la mașina asincronă. Pentru alunecări mici ( $s < s_m$ ) neglijînd efectul de refulare, cu o bună aproximație se admite că valoarea cuplului de amortizare  $M_a$  este proporțională cu alunecarea  $s$ , respectiv cu viteza  $\Omega_r$ :  $M_a = K_a \Omega_1 s$ , unde  $K_a$  este cuplul pentru viteza unghiulară  $\Omega_r = 1$  și se numește *coeficient de amortizare*. Considerînd semnificația unghiului intern rezultă:  $\Omega_r = \frac{1}{p} \cdot \frac{d\delta}{dt}$ ; în funcționarea normală  $\delta = \text{const.}$  și  $\Omega_r = 0$ . Datorită acțiunii descrise a cuplului de amortizare, amplitudinea și durata oscilațiilor care apar datorită diverselor cauze, pot fi reduse într-o măsură importantă.

Coeficientul de amortizare  $K_a$  poate fi determinat experimental în unele cazuri. În acest scop se decuplează mașina sincronă de motorul primar și este pusă să funcționeze ca un motor asincron, cu valoarea  $I$  a curentului de fază. Se măsoară cuplul  $M_c = M_a$  și alunecarea  $s$ , rezultă

$$K_a = \frac{p}{s \omega} M_c.$$

În cazul în care există oscilații ale rotorului în jurul vitezei sincrone se poate deduce o expresie aproximativă a cuplului produs de sistemul de amortizare. Se va considera un sistem de amortizare (fig. 4.35) constituit de o colivie așezată pe polii rotorici și se va examina o spiră formată din două bare ale coliviei notate  $i$  și  $i'$ , dispuse la distanță de un pas diametral. Se va nota cu  $B_t$  valoarea inducției magnetice produse de reacția indusului

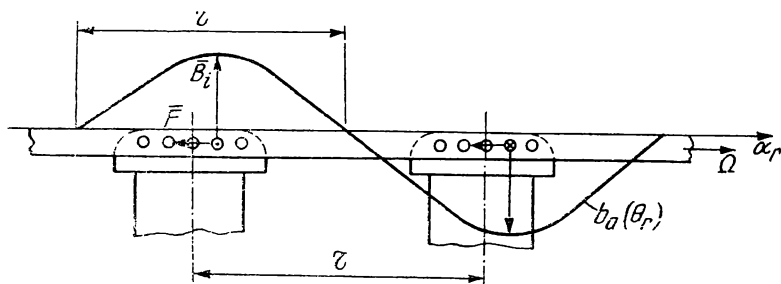


Fig. 4.35. Referitoare la producerea cuplului de către sistemul de amortizare cînd există oscilații.

în dreptul conductorului  $i$ ; s-a considerat doar fundamentală câmpului de reacție. Rezultă că t.e.m.  $u_{ei}$  indusă în această spiră este:

$$u_{ei} = 2 v l_a B_i = 2 \Omega_r R l_a B_i = 2 \frac{\tau}{\pi} l_a B_i \frac{d\delta}{dt} \quad (4.52)$$

unde  $R$  este raza rotorului, iar  $l_a$  este lungimea barei aflată în câmpul magnetic.

Considerînd că oscilațiile sînt de amplitudine relativ mică și că au o variație sinusoidală în timp cu pulsația  $\omega'$  se poate scrie:

$$\delta = \delta_0 + \Delta\delta = \delta_0 + \varepsilon \cos \omega' t. \quad (4.53)$$

Înlocuind în (4.52) rezultă expresia t.e.m.  $u_{ei}$  și a curentului  $i_i$ :

$$u_{ei} = -\frac{2}{\pi} \tau l_a B_i \varepsilon \omega' \sin \omega' t; \quad i_i = \frac{\sqrt{2} U_{ei}}{Z_i} \sin(\omega' t - \varphi_a);$$

$$Z_i = \sqrt{R_i^2 + (\omega' L_i)^2} \quad (4.53')$$

unde  $Z_i$  este impedanța totală a spirei, iar  $\tan \varphi_a = \omega' L_i / R_i$ .

Forța produsă datorită interacțiunii dintre câmpul magnetic de reacție și conductoarele parcurse de curent este:  $\vec{F} = \int_C i_i (d\vec{r} \times \vec{E})$  unde  $C$  este conturul spirei; deoarece  $B_i$  este constant în lungul conductorului și  $\vec{B} \perp d\vec{r}$  rezultă  $F_i = 2 i_i l_a B_i$  sensul pozitiv al forței este opus sensului vitezei, iar cuplul  $M_i = R F_i$ . Dacă mașina are  $p$  perechi de poli, atunci va avea  $p$  spire omoloage și deci cuplul  $M_p$  corespunzător acestor spire va fi  $M_{pi} = p M_i$ . Considerînd că pe pol se află  $N_a$  bare de aceeași impedanță  $Z_i = Z_0$  se poate calcula cuplul resultant

$$M_a = \sum p M_i = 2 p R l_a \sum_{i=1}^{N_a} i_i B_i = -\frac{4 p^2 (\tau l_a)^2}{\pi^2 Z_i} \left( \sum_{i=1}^{N_a} B_i^2 \right) \cdot \varepsilon \omega' \sin(\omega' t - \varphi_a) \quad (4.54)$$

unde s-a neglijat variația inducției  $B_i$  în intervalul  $(\delta_0 - \varepsilon; \delta_0 + \varepsilon)$ .

Dar  $\varepsilon \omega' \sin(\omega' t - \varphi_a) = \varepsilon \omega' \sin \omega' t \cos \varphi_a - \varepsilon \omega' \cos \omega' t \cdot \sin \varphi_a = \frac{R_0}{Z_0} \left[ \frac{d(\Delta\delta)}{dt} + (\omega' \tan \varphi_a) \Delta\delta \right]$  și deci cuplul sistemului de amortizare se poate pune sub forma:

$$M_a = K_a \frac{d(\Delta\delta)}{dt} + K_s \Delta\delta; \quad \frac{d(\Delta\delta)}{dt} = \frac{d\delta}{dt} = p \Omega_r. \quad (4.55)$$

Prin urmare cuplul produs de sistemul de amortizare cuprinde două componente: o componentă de amortizare proporțională cu viteza unghiulară relativă  $\Omega_r$  și o componentă sincronizantă proporțională cu variația unghiului  $\delta$ , notată  $\Delta\delta$ . Aceste două componente sînt cupluri rezistente dacă unghiul  $\delta$  este pozitiv și crescător. Relația (4.54) permite o analiză calitativă a sistemului de amortizare.

În cazul în care axa polului rotorului trece prin punctul în care câmpul magnetic de reacție este maxim, cuplul dezvoltat de sistemul de amortizare este maxim. De aceea în cazul sarcinii pur inductive cînd reacția indu-

sului este longitudinală, deci inducția cîmpului de reacție este maximă în axa longitudinală, au efect de amortizare spirele cu laturile în axa longitudinală, adică spirele cu laturile la mijlocul polilor. Acestea sînt spire transversale (a căror axă coincide cu axa transversală).

În cazul sarcinii pur active, cînd reacția indusului este transversală au efect de amortizare spirele cu laturile cît mai apropiate de axa transversală, deci spirele cu laturile la marginea polilor. Acestea sînt spire longitudinale (a căror axă coincide cu axa longitudinală).

Rezultă că în cazul sarcinii pur active, are un efect de amortizare și înfășurarea de excitație, deoarece formează spire longitudinale; în cazul sarcinii pur inductive, înfășurarea de excitație nu are nici un efect, deoarece nu formează spire transversale. Din acest motiv, pentru a obține o bună eficiență a înfășurării de amortizare este necesar ca aceasta, deci colivia dispusă în poli, să fie prevăzută la capete cu inele de conexiune complete, ca o colivie de mașină asincronă, ca să formeze spire în ambele axe.

Coliviile parțiale, la care barele de pe un pol sînt reunite între ele la capete, prin segmente de inel, dar barele de pe polii vecini nu sînt reunite între ele, se numesc colivii incomplete și nu sînt suficiente în cazul sarcinilor pur inductive, deoarece nu formează spire transversale.

Curenții care se închid prin tole între barele neizolate din creștături nu au un efect important asupra parametrilor.

#### 4.14. FUNCȚIONAREA GENERATORULUI SINCRON LA PUTERE ACTIVĂ CONSTANTĂ ȘI EXCITAȚIE VARIABILĂ. CURBELE ÎN V

Se consideră că mașina sincronă funcționează ca generator, în paralel cu o rețea de putere foarte mare, cu tensiunea constantă și care dezvoltă o putere activă constantă. Modificarea regimului de funcționare al mașinii sincrone la variația excitației se urmărește ușor pe diagrama de fazori ca în figura 4.36.

Diagrama de fazori din figura 4.36 reprezintă cazul generatorului sincron cu poli înecați în ipoteza  $R = 0$ , pentru că este cel mai simplu de analizat. Rezultatele rămîn valabile și pentru generatorul sincron cu poli aparrenți.

Se constată că pentru o putere la borne dată  $P = 3 U I \cos \varphi = \text{const.}$  și o tensiune  $U$  dată, componenta activă  $I \cos \varphi$  a curentului este constantă. Aceasta înseamnă că vîrfurile fazorului curentului  $I$  se va situa pe o dreaptă  $(D_1)$  perpendiculară pe fazorul componente active a curentului. Rezultă că și vîrfurile fazorului t.e.m.  $\underline{E}_0 = \underline{U} + j X_s I$  va descrie o dreaptă  $(D_2)$  paralelă cu fazorul tensiunii la borne  $\underline{U}$ , la distanța  $OB = X_s I \cos \varphi$ , măsurată

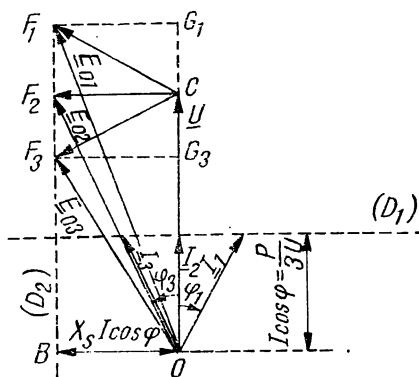


Fig. 4.36. Diagrama fazorială pentru determinarea curbelor în V.

la scara tensiunilor  $m_v$ . La o scară a puterilor  $m_p = \frac{3U}{X_s} m_v$ , segmentul  $OB$  va măsura chiar puterea activă dată de generator, a cărei valoare se menține constantă la variația excitației. La aceeași scară a puterilor, segmentul  $CF_1$  va fi proporțional cu puterea aparentă a mașinii  $S = 3UI$ , iar proiecția  $CG_1$  a acestuia pe direcția fazorului tensiunii va măsura puterea reactivă  $Q$ . Aceste rezultate se obțin ușor pe diagrama de fazori dacă se observă că unghiul  $CF_1G_1 = \varphi_1$ . În figura 4.36 s-au construit trei diagrame corespunzătoare la trei valori ale curentului de excitație. Din cele de mai sus rezultă că prin modificarea excitației unei mașini sincrone se modifică puterea reactivă schimbată de mașină cu rețeaua. Pentru o anumită valoare a curentului de excitație mașina poate funcționa la  $\cos \varphi = 1$  ( $E_{02} = OF_2m_v$ ) și în această situație curentul  $I$  ia o valoare minimă  $I_2$  egală cu componenta activă a curentului  $I$ . Valoarea curentului de excitație  $I_{em}$  pentru care  $\cos \varphi = 1$  conduce la o valoare minimă a curentului din indus. Funcționarea generatorului la curentul  $I_{em}$  este avantajoasă, pentru că mașina funcționează cu cele mai mici pierderi, iar între rețea și generator nu există circulație de putere reactivă. La creșterea curentului de excitație  $I_e$ , deci a t.e.m.  $E_0$ , mașina va debita putere reactivă, curentul  $I$  va crește și va fi defazat în urma tensiunii la borne. În această situație se spune că mașina este supraexcitată și  $E_0 > E_{02}$  (corespunde diagrama  $OCF_1$  din figura 4.36).

La subexcitarea mașinii, adică la scăderea curentului de excitație  $I_e$ , mașina va consuma putere reactivă ( $Q < 0$  și  $E_0 < E_{02}$ ) și curentul  $I$  va crește fiind defazat înaintea tensiunii la borne. La scăderea excitației, astfel încât punctul  $F$  să coincidă cu  $B$  se atinge limita de stabilitate statică. Scăderea în continuare a excitației duce la desprinderea mașinii (ieșire din sincronism), cuplul exterior devenind mai mare decât cuplul electromagnetic maxim pe care-l poate dezvolta mașina. Pe aceeași diagramă se poate urmări și variația factorului de putere  $\cos \varphi$ , la variația curentului de excitație. La curentul  $I_{em}$  de excitație  $\cos \varphi = 1$ , la creșterea sau scăderea curentului de excitație în raport cu această valoare, factorul de putere scade.

Se definesc prin urmare caracteristicile:

$$\left. \begin{aligned} I &= f(I_e) \\ \cos \varphi &= f(I_e), \end{aligned} \right\} \text{ pentru } U = \text{const.}; P = \text{const.}; n = \text{const.}$$

În figura 4.37 s-au reprezentat aceste caracteristici. Prima caracteristică are forma unui V, cea de-a doua se aseamănă cu un V răsturnat. De aceea aceste caracteristici se numesc și curbele în V ale generatorului sincron. Se constată că odată cu creșterea puterii  $P$  minimul curentului  $I$  se deplasează spre dreapta, deoarece cu cât puterea activă este mai mare cu atât și t.e.m.  $E_0$  și deci și curentul  $I_e$ , care corespund funcționării la  $\cos \varphi = 1$ , sînt mai mari. Linia punctată reprezintă curba după care are loc desprinderea mașinii la minim de curent de excitație.

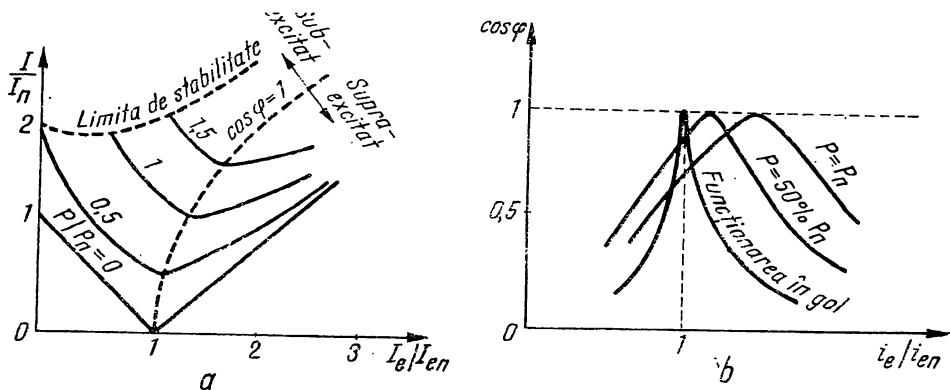


Fig. 4.37. Curbele în V ale generatorului sincron pentru diferite valori ale puterii electromagnetice:

a — curbele  $I = f(I_e)$ , b — curbele  $\cos \varphi = f(i_e/i_{en})$ ;

## 4.15. REPARTIȚIA PUTERII ACTIVE ȘI REACTIVE ÎNTRE GENERATOARELE SINCRONE CONECTATE ÎN PARALEL

Motorul primar trebuie să aibă o turație pe cît posibil constantă și egală cu viteza de sincronism (se admit abateri în limite restrînse). Dacă nu modificăm admisia de fluid motor, atunci puterea cedată de motorul primar rămîne constantă. Dacă generatorul sincron este conectat la o rețea de putere infinită ( $U = \text{const.}$ ,  $f = \text{const.}$ ), atunci puterea debitată rețelei, cu excepția pierderilor, este egală cu puterea electromagnetică  $P$ .

Din expresia puterii electromagnetice rezultă că variația curentului de excitație, deci variația t.e.m. poate duce la variația lui  $\dot{P}$  sau a lui  $\delta$ . Puterea  $\dot{P}$  trebuie să rămînă constantă, deoarece se consideră că nu s-a variat admisia agentului motor, rezultă că variază unghiul intern  $\delta$ . Din ecuația de tensiuni se constată că trebuie să varieze curentul  $I$  din indus, însă neglijînd pierderile în indus  $P \simeq P_2 = mUI \cos \varphi = mUI_a = \text{const.}$ , deci variază numai componenta reactivă a curentului  $I(I_a$  — componenta activă). Prin variația curentului de excitație se modifică numai puterea reactivă  $Q$  cedată de generator. Puterea activă cedată de generator se modifică prin modificarea puterii date de motorul primar.

Încărcarea mașinii cu putere activă se poate realiza prin defazarea t.e.m.  $\underline{E}_0$  în raport cu tensiunea  $\underline{U}$  a rețelei. Schimbarea fazei t.e.m.  $\underline{E}_0$  se poate realiza prin decalarea inductorului mașinii în raport cu cîmpul magnetic învîrtitor rezultat din întrefierul mașinii. Prin creșterea admisiei la mașina de antrenare axa inductorului se decalează înaintea axei cîmpului magnetic învîrtitor rezultat (unghiul  $\delta' > 0$ , respectiv  $\delta > 0$ ); curentul care apare în indus este defazat în urmă cu  $\frac{\pi}{2}$  față de fazorul  $j X_s I$  și este

aproape în fază cu tensiunea  $\underline{U}$  la bornele mașinii. Mașina debitează în rețea putere activă ( $P > 0$ ) și funcționează în regim de generator.

Prin aplicarea unui cuplu rezistent la arborele rotorului, axa inductorului se decalează în urma axei cîmpului magnetic învîrtitor rezultat ( $\delta' < 0$ ), curentul care apare în indus este defazat în urmă cu  $\frac{\pi}{2}$  față de

fazorul  $jX_s I$  și este aproape în opoziție de fază cu tensiunea  $\underline{U}$  la bornele mașinii. Mașina primește de la rețea putere activă ( $P < 0$ ) și funcționează în regim de motor.

Încărcarea mașinii cu o sarcină oarecare se realizează prin reglajul curentului de excitație și a cuplului aplicat la axul rotorului. Fazorul t.e.m.  $\underline{E}_0$  este defazat și are amplitudinea diferită în raport cu tensiunea  $\underline{U}$ . Reglajul componentelor puterii fiind efectuat independent se poate obține oricare raport al acestora, iar mașina poate fi adusă în oricare regim de funcționare ca motor, generator sau compensator sincron și poate debita sau primi putere reactivă. Dacă se iau în considerare pierderile în indus, atunci puterea  $P_2$  cedată pe la bornele generatorului sincron nu mai este egală cu puterea  $P$ . Diferențele față de cazul precedent sînt mici și concluziile obținute rămîn aceleași. Dacă se consideră mai multe generatoare sincrone conectate în paralel pe o impedanță și se impune condiția ca valoarea eficace a tensiunii la bornele sarcinii să rămînă neschimbată, atunci se obține același rezultat în ceea ce privește repartitia puterii active și reactive pe generatoarele sincrone.

Repartitia puterii active între generatorul cu tensiune la borne constantă se face prin modificarea admisiei agentului motor, iar repartitia puterii reactive între generatoare cu tensiunea la borne și puterea activă constantă se face prin modificarea curentului de excitație.

## 4.16. MOTORUL SINCRON

Generatorul sincron transformă energie mecanică primită pe la arbore de la motorul primar, în energie electromagnetică cedată pe la borne. Atunci elementul „conducător” este rotorul și elementul „condus” cîmpul magnetic

rezultant din întrefier, care se rotește odată cu rotorul. Axa cîmpului magnetic inductor adică axa polilor rotorici este decalată înainte cu unghiul electric  $\delta'$  față de axa cîmpului magnetic rezultant din întrefier (fig. 4.38, a). Așa cum rezultă din diagrama fazorială,  $\delta'$  diferă puțin de  $\delta$ . Liniile cîmpului magnetic din întrefierul generatorului sincron, la funcționarea în sarcină, sînt înclinate.

Dacă se reduce puterea mecanică cedată generatorului, pe la arbore, de motorul primar, unghiul  $\delta'$  scade și ca urmare scade și puterea cedată rețelei de către generatorul sincron. Pentru  $\delta' = 0$  ( $\delta = 0$ ) generatorul funcționează în gol și motorul primar va ceda generatorului putere numai pentru acoperirea pierderilor de funcționare în gol (fig. 4.38, b). Dacă se decuplează motorul primar de la arborele generatorului, rotorul începe să rămînă în urma cîmpului magnetic învîrtitor rezultant din întrefier,

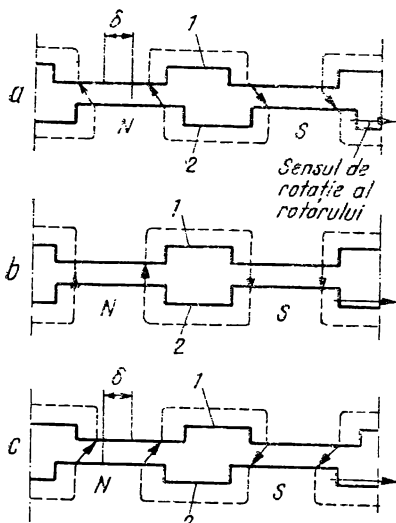


Fig. 4.38. Liniile cîmpului magnetic în întrefier și regimurile de funcționare ale mașinii sincrone:

1 — curba cîmpului magnetic rezultant; 2 — conturul inductorului — rotorul; a — funcționarea ca generator, b — funcționarea în gol a generatorului, c — funcționarea ca motor.



unghiul  $\delta'$  devine negativ; rotorul va continua să se învîrtească cu turația cîmpului magnetic învîrtitor, iar puterea necesară pentru acoperirea pierderilor de funcționare în gol este absorbită de la rețea și mașina funcționează ca motor sincron în gol. Elementul „conductor” este cîmpul magnetic rezultat din întrefier, iar elementul condus este rotorul. Dacă se aplică la arborele mașinii un cuplu rezistent, unghiul  $\delta'$  rămîne negativ și va crește în modul odată cu creșterea puterii absorbite de la rețea, necesară pentru acoperirea puterii mecanice la arbore; mașina sincronă funcționează ca motor sincron (fig. 4.38, c).

Motorul sincron transformă puterea electromagnetică primită pe la borne în putere mecanică cedată pe la arbore. Turația rotorului mașinii sincrone este strict legată de frecvența rețelei și are valoarea de sincronism  $n_1 = 60 f/p$ .

Utilizarea ca motor a mașinii sincrone a fost împiedicată mult timp de dificultățile legate de pornirea ei, cuplul mediu este diferit de zero numai pentru o singură viteză — cea de sincronism. Cu toate dificultățile de pornire, motorul sincron prezintă numeroase avantaje de exploatare în comparație cu motorul asincron. Astfel funcționînd supraexcitat, motorul sincron poate contribui la îmbunătățirea factorului de putere; la puteri mari și turații mici motorul sincron prezintă o siguranță în funcționare mai mare decît motorul asincron, datorită întrefierului mai mare; cuplul maxim al motorului sincron variază linear cu tensiunea la borne, ceea ce face ca variațiile tensiunii la borne să-i influențeze mai puțin caracteristicile funcționale și capacitatea de suprasarcină, decît pe cele ale motorului asincron. La scăderea temporară (de scurtă durată) a tensiunii la borne, scheme speciale de forțare a excitației pot asigura menținerea în funcționare a motorului sincron; randamentul motorului sincron poate fi ridicat, datorită factorului de putere mai mare.

Ca dezavantaje ale motorului sincron trebuie menționate consumul mai mare de cupru în înfășurările inductoare, prezența dispozitivelor auxiliare pentru pornire, posibilitatea amorsării unor pendulații în cazul cuplurilor rezistente variabile periodic și influența negativă a pendulațiilor asupra rețelei de alimentare. Turația lui constantă, legată strict de frecvența de alimentare, face ca motorul sincron să fie exclus din multe sisteme de acționare. Pentru modificarea turației la frecvență constantă a tensiunii de alimentare trebuie să se folosească motorul cu poli comutabili, ceea ce complică construcția și înrăutățește indicii de exploatare, sau trebuie prevăzută o instalație de alimentare cu frecvență variabilă.

Odată cu depășirea dificultăților de pornire a motorului sincron, în prezent dispunîndu-se de metode de pornire simple și eficace, acest motor a început să fie folosit tot mai mult pînă la cele mai mari puteri, fiind preferat altor tipuri de motoare în acționările de putere cu turația constantă, care nu necesită un cuplu de pornire prea mare, cum ar fi convertizoarele rapide, turbocompresoarele, compresoarele lente cu piston, pompele, elicele vapoarelor și altele. Se cunosc și cazuri de folosire a motoarelor sincrone la acționarea laminoarelor continue.

#### 4.16.1. ECUAȚIA TENSIUNILOR. DIAGRAMA DE FAZORI

Așa cum s-a arătat la studiul funcționării mașinii sincrone ca generator, prin rămînerea axei longitudinale a rotorului în urma axei cîmpului învîrtitor rezultat, unghiul intern  $\delta$  devine negativ, mașina sincronă trece în

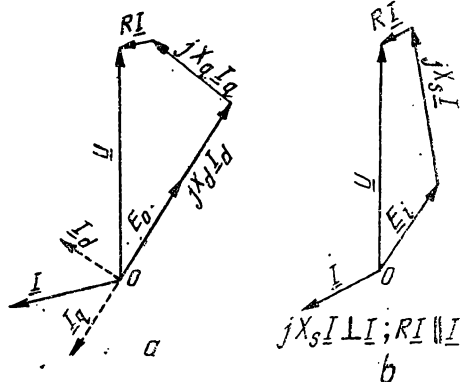


Fig. 4.39. Diagrama de fazori a motorului sincron subexcitat:

a — cu poli aparenti; b — cu poli înecați.

Uneori la studiul funcționării mașinii sincrone în regim de motor se adoptă sensurile de referință asociate după convenția de la receptoare, pentru a obține valori pozitive pentru puterea activă și pentru cuplul electromagnetic. În acest caz ecuațiile motorului sincron se obțin din cele ale generatorului sincron prin inversarea sensului curentului.

Astfel, în cazul general, al motorului sincron cu poli aparenti, ecuația tensiunilor devine:

$$\underline{U} = \underline{E}_0 + R \underline{I} + j X_q \underline{I}_q + j X_a \underline{I}_a \quad (4.56)$$

sau

$$\underline{U} = \underline{E}_0 + (R + j X_a) \underline{I}_a + (R + j X_q) \underline{I}_q. \quad (4.57)$$

În figura 4.39 s-au reprezentat diagramele de fazori ale motorului funcționând subexcitat, atât pentru motorul cu poli aparenti cât și pentru motorul cu poli înecați. La motorul cu poli înecați  $X_a = X_q = X_s$  și ecuația (4.56) devine:

$$\underline{U} = \underline{E}_0 + R \underline{I} + X_s \underline{I}. \quad (4.58)$$

Diagramele din figura 4.39 s-au construit pe baza ecuațiilor (4.56) și (4.58).

Motorul sincron funcționează de regulă în regim supraexcitat pentru a compensa o parte din puterea reactivă consumată de alte receptoare industriale (motoare asincrone, cupatoare electrice).

Este de menționat că față de funcționarea cu factor de putere unitar, în acest regim capacitatea de suprasarcină a motorului crește, datorită creșterii maximumului cuplului electromagnetic (proporțional cu  $E_0$  deci cu excitația), dar scade randamentul lui și puterea lui de gabarit, datorită necesității creșterii excitației și scăderii puterii active la aceeași dimensionare a secțiunilor de cupru din care sînt realizate înfășurările.

regim de motor, dezvoltînd un cuplu electromagnetic care se exercită asupra rotorului în sensul de rotire al cîmpului învîrtitor. Astfel studiul funcționării ca motor se poate face pe baza relațiilor stabilite în regim de generator cu deosebirea că în regimul de motor unghiul intern și curentul indusului  $I$  au semne negative în raport cu aceleași mărimi din regimul generator. Este de menționat că datorită asocierii sensurilor de referință corespunzător convenției de la generatoare, puterea activă și cuplul electromagnetic dezvoltate în regim de motor apar cu semn schimbat.

#### 4.16.2. FUNCȚIONAREA LA CUPLU CONSTANT ȘI CURENT DE EXCITAȚIE VARIABIL. CARACTERISTICILE ÎN V

Expresia cuplului electromagnetic în regim de motor se obține din expresia cuplului electromagnetic în regim de generator pe baza precizărilor făcute în paragraful 4.16.1 și se obține:

$$M = \frac{3}{\Omega_1} \left[ \frac{E_0 U}{X_a} \sin \delta + \frac{1}{2} \left( \frac{1}{X_q} - \frac{1}{X_a} \right) U^2 \sin 2\delta \right]. \quad (4.59)$$

În cazul motorului cu poli înecați  $X_a = X_q = X_s$  și deci

$$M = \frac{3}{\Omega_1} \cdot \frac{E_0 U}{X_s} \cdot \sin \delta. \quad (4.60)$$

Cuplul fiind pozitiv, antrenează rotorul în sensul câmpului magnetic învîrtitor statoric, deci în sensul succesiunii fazelor statorului. Variația cuplului în funcție de unghiul  $\delta$  dintre câmpul învîrtitor rezultat și câmpul învîrtitor inductor (de excitație), pentru  $U = \text{const.}$  și  $E_0 = \text{const.}$  a fost prezentată în cadrul teoriei generatorului sincron.

În continuare se va studia funcționarea motorului sincron la cuplu constant și curent de excitație variabil, se va avea în vedere mașina cu poli înecați care este mai simplă. Din condiția  $M = \text{const.}$  rezultă la  $U = \text{const.}$ :

$$E_0 \sin \delta / X_s = \text{const.}$$

Dar cum  $E_0 \sin \delta = X_s I \cos \varphi$ , rezultă  $E_0 \sin \delta / X_s = I \cos \varphi$ .

Pentru explicarea construcției curbelor în V s-a reprezentat în figura 4.40, *a* diagrama de fazori pentru motorul subexcitat.

Dacă curentul de excitație variază atunci variază t.e.m.  $E_0$ ; condiția  $X_s I \cos \varphi = \text{const.}$  se traduce pe figura 4.40, *a* prin faptul că locul geometric al fazorului t.e.m.  $E_0$  este o dreaptă  $\Delta$  paralelă cu fazorul tensiunii la borne  $U$ . Dacă se crește curentul de excitație atunci segmentul  $AB$  se micșorează, deci  $\cos \varphi$  crește. Există o valoare a curentului de excitație  $I_{en}$  pentru care t.e.m.  $E_0$  devine egală cu segmentul  $OD$ . În acest caz  $\cos \varphi = 1$ , iar

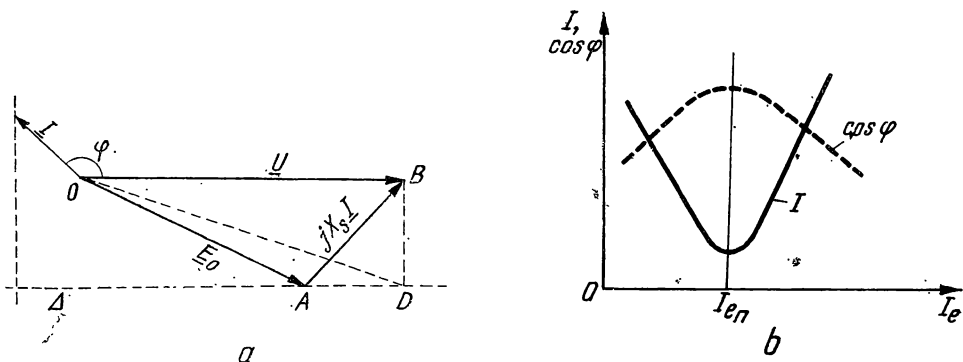


Fig. 4.40. Diagrama de fazori la  $I_e$  variabil și  $M = \text{const.}$  (a); caracteristicile în V ale motorului sincron (b).

curentul  $I$  înregistrează valoarea minimă. Dacă se continuă creșterea curentului, de excitație  $I_e$ , atunci unghiul  $\varphi$  schimbă de semn și  $\cos \varphi < 1$ , iar curentul  $I$  începe din nou să crească. În figura 4.40,  $b$  s-au reprezentat caracteristicile în  $V$  ale motorului sincron definite prin relațiile:

$$\left. \begin{aligned} I &= f(I_e) \\ \cos \varphi &= f(I_e) \end{aligned} \right\} \text{ pentru } M = \text{const}; U = \text{const}; n = \text{const.}$$

Curbele în  $V$  arată că pentru curentul de excitație  $I_e < I_{em}$  motorul sincron se comportă față de rețea ca un receptor inductiv-rezistiv; pentru  $I_e = I_{em}$ , ca un receptor pur rezistiv; iar pentru  $I_e > I_{em}$  ca un receptor rezistiv-capacitiv. În consecință, motorul poate lucra cu factor de putere unitar în orice sarcină, spre deosebire de motorul asincron.

### 4.16.3. CARACTERISTICILE MOTORULUI SINCRON

O parte din caracteristicile motorului sincron au fost studiate odată cu cele ale generatorului sincron, cum ar fi caracteristica cuplului și caracteristica unghiulară. De asemenea studiul stabilității statice și dinamice a mașinii sincrone a fost general, cu valabilitate atât pentru regimul de generator cât și pentru regimul de motor.

În mod normal însă motorul sincron funcționează cu excitație constantă, alimentat fiind de la o rețea cu tensiune și cu frecvență constantă, iar puterea la arbore  $P_2$  poate varia în limite largi. Caracteristicile de funcționare corespunzătoare au fost reprezentate în figura 4.41. Nu s-a reprezentat turația  $n$  care se menține constantă, independent de sarcină. S-a reprezentat variația factorului de putere cu sarcina, în cazul în care la sarcini mici motorul funcționează supraexcitat ( $\varphi < 0$ , motorul generează putere reactivă), la sarcini medii are factorul de putere egal cu unitatea, iar la sarcini mari este subexcitat ( $\varphi > 0$ , motorul ia de la rețea putere reactivă).

Pentru un alt reglaj de excitație, caracteristica factorului de putere se poate menține tot timpul în domeniul supraexcitat.

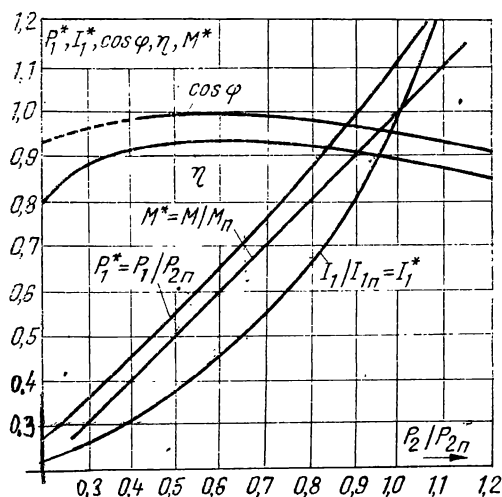


Fig. 4.41. Caracteristicile de funcționare ale motorului sincron.

Conform STAS 6991-64, care reglementează mărimile nominale ale motoarelor sincrone trifazate de uz general de 100 ÷ 1 000 kW, factorul de putere nominal al acestor motoare este de 0,9 capacitiv.

Cuplul util la arbore  $M_2$  variază proporțional cu puterea utilă. Puterea absorbită  $P_1$  de la rețea este mai mare decât puterea utilă  $P_2$  cu suma pierderilor  $\Sigma p$ . Randamentul  $\eta = 1 - \frac{\Sigma p}{P_2 + \Sigma p}$  are o alură de variație similară cu cea întâlnită și la alte mașini electrice sau la transformator.

## 4.17. COMPENSATORUL SINCRON

Regimul de compensator sincron este un regim particular de funcționare al motorului sincron fără sarcină mecanică, fiind receptor sau generator de putere reactivă, după cum este subexcitat sau supraexcitat. Compensatorul sincron se folosește în rețelele electrice pentru reglarea tensiunii, prin injectare sau consumare de putere reactivă.

Dacă  $I_c$  este curentul reactiv maxim capacitiv al compensatorului la tensiune nominală, funcționând cu curentul de excitație maxim și  $I_L$  este curentul inductiv al compensatorului complet dezexcitat, în ipoteza neglijării pierderilor rezultă:

$$I_c = (E_{0max} - U_n)/X_d \text{ și } I_L = U_n/X_d \quad (4.61)$$

$E_{0max}$  fiind t.e.m. maximă a compensatorului în regim supraexcitat. Obșnuit, compensatorul sincron se dimensionează astfel încît:

$$I_c/I_L = E_{0max}/U_n - 1 = 1,5...2 \quad (4.62)$$

ceea ce determină o înfășurare de excitație mai voluminoasă (și deci mai scumpă) decît la motoarele sau generatoarele sincrone obișnuite. Dimensiunile compensatorului sincron sînt determinate de puterea reactivă maximă în regim supraexcitat și care constituie puterea lui nominală. Curentul de excitație corespunzător este curentul de excitație nominal. Pentru reducerea curentului excitație nominal compensatoarele sincrone se realizează cu întrefierul mai mic decît motoarele sincrone de aceeași putere, astfel încît reactanța longitudinală  $X_d$  atinge valori relative de 2,...2,2. Compensatoarele sincrone se realizează de regulă ca mașini tetrapolare sau hexapolare cu poli aparenti, cu puteri cuprinse între 1 MVar și 75 MVar, la tensiuni nominale pînă la 24 kV. Ele au de regulă o construcție capsulară, care permite instalarea lor în aer liber. Răcirea compensatoarelor sincrone se realizează cu aer la puteri mai mici și cu hidrogen la puteri mai mari. Pentru pornirea compensatoarelor sincrone se folosesc aceleași metode ca pentru motoarele sincrone. Compensatoarele sincrone se pornesc în condiții mai ușoare decît motoarele sincrone, datorită lipsei sarcinii mecanice. Pornirea în asincron se efectuează de regulă cu autotransformator, obținînd curenți de pornire de 0,3... 1  $I_n$ , iar cu măsuri speciale (prin injectare de ulei sub presiune în lagăre, pentru reducerea cuplului inițial) curentul de pornire se poate reduce pînă la 0,2  $I_n$ .

Durata pornirii compensatorului sincron atinge în mod normal 40...90 secunde.

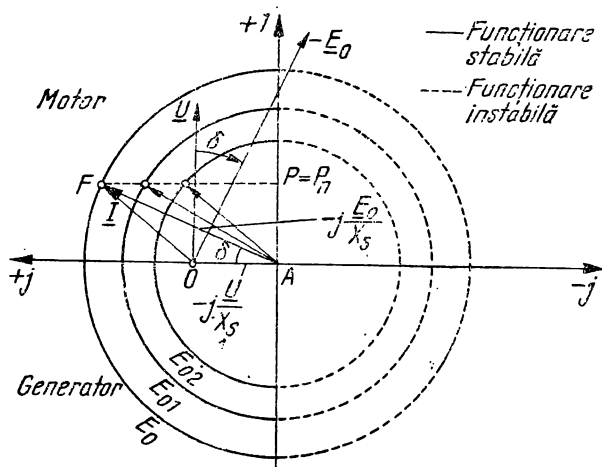
## 4.18. DIAGRAMĂ CURENTULUI MAȘINII SINCRONE

Se va considera  $I_0 = \text{const.}$  ( $E_0 = \text{const.}$ ),  $f = \text{const.}$  și faza tensiunii la borne constantă, parametrul variabil fiind unghiul  $\delta$  al mașinii.

La mașina cu poli înecați, în ipoteza neglijării rezistenței indusului curentul din indus  $I$  se poate pune sub forma:

$$\underline{I} = (\underline{E}_0 - \underline{U})/jX_s = -j\underline{E}_0/X_s + j\underline{U}/X_s. \quad (4.63)$$

Curentului exprimat de relația (4.63) îi corespunde diagrama de fa-  
zori din figura 4.42. Cînd  $\delta$  variază, vîrfurile  $F$  descrie un cerc (fig. 4.42). Pe figură sînt indicate limite de stabilitate și zonele de funcționare ca motor



și ca generator. Pentru altă valoare a curentului de excitație (altă t.e.m.  $E_0$ ) se obține ca diagramă loc-geometric a curentului un cerc concentric.

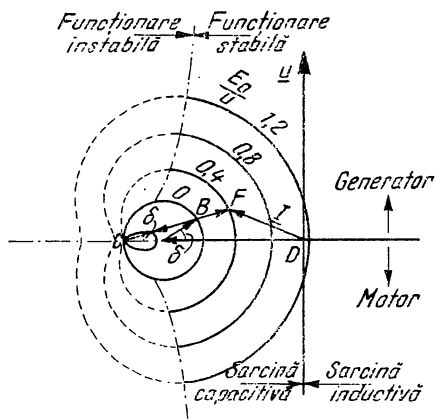
Pentru mașina cu poli aparenti expresia curentului se calculează pornind de la componentele  $I_d$  și  $I_q$ .

Componentele  $I_a$  și  $I_q$  au expresiile date de relațiile (4.37) prin urmare expresia curentului  $I$  se poate scrie sub forma:

$$\underline{I} = \underline{I}_d + \underline{I}_q = \frac{E_0 - U \cos \delta}{X_d} e^{-j(\frac{\pi}{2} - \delta)} + \frac{U \sin \delta}{X_q} e^{j\delta}$$

S-a luat ca origine de fază tensiunea la borne  $\underline{U}$  ( $\underline{U} = U$ ). Componenta  $\underline{I}_a$  este decalată, în urma tensiunii cu unghiul  $\frac{\pi}{2} - \delta$  (în sens matematic negativ), iar componenta  $\underline{I}_q$  este decalată în raport cu tensiunea  $\underline{U}$  cu un-

decalată în raport cu tensiunea  $\underline{U}$  cu unghiul  $\delta$  în sens matematic pozitiv. Expunând funcțiile trigonometrice din relația de mai sus, prin formulele lui Euler, după gruparea termenilor în raport cu  $\delta$  rezultă relația:



*Fig. 4.43.* Diagrama curentului mașinii sincrone cu poli aparenti (melcul lui Pascal).

$$\begin{aligned} \underline{I} = & j \frac{U}{2} \left( \frac{1}{X_d} + \frac{1}{X_q} \right) - j \frac{E_0}{X_d} e^{j\delta} - \\ & - j \frac{U}{2} \left( \frac{1}{X_q} - \frac{1}{X_d} \right) e^{j2\delta}. \quad (4.67) \end{aligned}$$

Se construiește mai întâi locul geometric corespunzător mașinii sincrone neexcitate ( $E_0 = 0$ ), care și în acest caz este un cerc (fig. 4.43); se reprezintă

fazorul constant  $AD = j \frac{U}{2} \left( \frac{1}{X_d} + \frac{1}{X_q} \right)$  și apoi fazorul variabil  $AB = -j \frac{U}{2} \left( \frac{1}{X_q} - \frac{1}{X_d} \right) e^{j2\delta}$ , considerînd fazorul tensiunii  $\underline{U}$  în axa verticală. Se construiește apoi fazorul  $-j \frac{E_0}{X_d} e^{j\delta}$  observînd că direcția lui este

dată de dreapta  $CB$ . Locul geometric obținut al fazorului  $\underline{I}$  la variația unghiului intern  $\delta$  este o curbă denumită „melcul lui Pascal”. Puterea schimbată de mașină pe la bornele indusului cu rețeaua, respectiv componenta  $I \cos \varphi$  a curentului este maximă la unghiul intern  $\delta_m$ . Curbă formată de mulțimea de puncte situate pe familia de curbe loc geometric corespunzătoare lui  $\delta_m$  delimitează zona de funcționare stabilă a mașinii de zona de funcționare instabilă (linie întreruptă).

Aceste curbe nu se modifică prea mult dacă se consideră  $R \neq 0$ .

#### 4.19. PORNIREA ȘI FRÎNAREA MOTORULUI SINCRON

Motoarele sincrone sînt preferate mai ales în aplicațiile unde intervin puteri foarte mari, de ordinul megawaților sau zecilor de megawați. Motorul sincron are o caracteristică mecanică absolut rigidă pînă la atingerea unei valori critice a cuplului rezistent, după care iese din sincronism și se oprește. Motorul sincron dezvoltă un cuplu mediu diferit de zero numai la funcționarea cu viteză sincronă, ( $\omega = p\Omega_1 = \omega'$  conform cu relația 2.120). Cînd este conectat la rețea cu motorul imobil și inductorul excitat în curent continuu asupra armăturilor motorului se exercită un cuplu electromagnetic alternativ, avînd o valoare medie nulă. Motorul sincron ar putea porni dacă ar avea un moment de inerție atît de redus, încît rotorul lui să poată fi accelerat pînă la viteza sincronă în decursul unei semiperioade a curentului alternativ sau frecvența sursei de alimentare ar fi suficient de scăzută pentru ca pornirea să aibă loc într-o semiperioadă. La tensiunea de alimentare a rețelei motorul sincron nu poate porni singur, de aceea este necesar să fie prevăzut cu mijloace care să permită să fie adus la turația de sincronism sau în apropierea acesteia. Pornirea motorului asincron poate fi făcută în mai multe moduri.

a) *Pornirea cu ajutorul unui motor auxiliar.* Motorul sincron este antrenat pînă la viteza sincronă de un motor auxiliar și este cuplat la rețea ca și generatorul sincron. Motorul auxiliar de putere relativ mică — reprezentînd 5...15% din puterea motorului — poate fi un motor de curent continuu sau un motor asincron cu inele de contact, avînd același număr de poli ca motorul sincron, sau are o pereche de poli mai puțin decît motorul sincron, în acest din urmă caz turația sincronă a motorului auxiliar este mai mare decît a motorului sincron, iar la deconectarea motorului auxiliar turația scade ajungîndu-se la valoarea vitezei de sincronism. Metoda sincronizării precise constă în aceea că motorul este cuplat la rețeaua de alimentare numai după ce este sincronizat, adică motorul se rotește cu viteza sincronă și tensiunile rețelei și ale mașinii sincrone au aceeași valoare eficace, frecvență și fază. Metoda autosincronizării constă în aceea că se aduce motorul sincron la o turație apropiată de turația sincronă (aproximativ 0,95 din turația sincronă), după care se cuplează motorul la tensiunea de alimentare; în același timp cu cuplarea motorului la rețea sau după un in-

terval de timp foarte scurt se cuplează și excitația motorului. Pentru ca motorul sincron să intre în sincronism, este necesar ca turația corespunzătoare punctului de intersecție dintre caracteristica mecanică a motorului de lansare și caracteristica sarcinii să fie mai mare decât turația critică (turația minimă la care există certitudinea că motorul intră în sincronism). Acesta este criteriul de bază după care se alege motorul de lansare. Metoda pornirii cu motor auxiliar nu se poate aplica dacă motorul sincron trebuie să pornească în sarcină. Ea se folosește în special la grupurile convertizoare motor sincron — generator de curent continuu, pornirea făcându-se prin alimentarea pe partea de curent continuu. De asemenea se folosește la pornirea compensatoarelor de putere mare, antrenarea făcându-se cu ajutorul excitatoarei sau al unui motor auxiliar special.

b) *Pornirea prin alimentare cu frecvență variabilă.* Metoda se poate utiliza numai dacă se dispune de o sursă specială de tensiune și frecvență variabilă de la zero pînă la frecvența nominală. Motorul este conectat la sursă cînd aceasta are frecvența zero și apoi se mărește treptat și lin frecvența și tensiunea sursei pînă la valoarea nominală. În timpul pornirii, excitația motorului este alimentată de la o sursă specială de c.c., eventuala excitatoare situată pe axul motorului putînd fi folosită numai în regim normal. Această metodă se folosește numai în instalații speciale.

c) *Pornirea în asincron* este cea mai simplă și cea mai utilizată metodă de pornire a motorului sincron. În prima parte a pornirii, motorul sincron funcționează cu un motor asincron cu rotorul în scurtcircuit. În acest scop, motorul sincron se realizează cu o înfășurare de pornire, în formă de colivie completă dispusă în tălpile pieselor polare la motoarele cu poli aparenți realizați din tole, sau rotorul motorului este din oțel masiv, respectiv piesele se realizează masive (din oțel), completate de regulă cu anumite legături conductoare între părțile frontale ale pieselor polare vecine. Dimensionarea acestor mașini se face ținînd seama de realizarea caracteristicilor impuse.

Pentru pornirea în asincron se procedează în modul următor: se deconectează înfășurarea de excitație de la bornele sursei de excitație (excitatoare) și se închide pe un rezistor de protecție  $RP$ , avînd o rezistență de 9—10 ori mai mare decât cea a înfășurării de excitație. Dacă s-ar lăsa deschisă înfășurarea de excitație, atunci tensiunile mari care se induc în ea în perioada pornirii ar putea deteriora izolația. Apoi motorul sincron se conectează la rețea direct sau prin intermediul unor dispozitive de limitare a curentului de pornire, cum ar fi comutatoare stea-triunghi, reactoare sau autotransformatoare de pornire cu 2—4 trepte de tensiune. Mașina va începe să funcționeze ca un motor asincron și își va măări treptat turația. După aplicarea tensiunii de alimentare nominale, motorul atinge o turație de regim cu alunecare mică (2...5%), dependentă de mărimea sarcinii motorului și de caracteristicile înfășurării de pornire. Apoi înfășurării de excitație i se aplică tensiunea de excitație, care stabilește curentul de excitație în înfășurare. Urmează atunci un proces electromecanic tranzitoriu în decursul căruia rotorul este atras în sincronism.

În figura 4.44 s-a reprezentat o schemă de pornire cu autotransformator a motorului sincron. În această schemă motorul sincron  $MS$  este alimentat de la rețea (după închiderea contactului  $K_2$ ) cu o tensiune redusă prin intermediul autotransformatorului  $AT$  de pornire ( $K_1$  închis,  $K_3$  deschis). După atingerea unei anumite viteze a rotorului se deschide contactul  $K_1$  și motorul este alimentat prin reactorul reprezentat de înfășurările autotransformatorului. Apoi se închid contactoarele  $K_3$  și  $K_4$ , ceea ce face ca



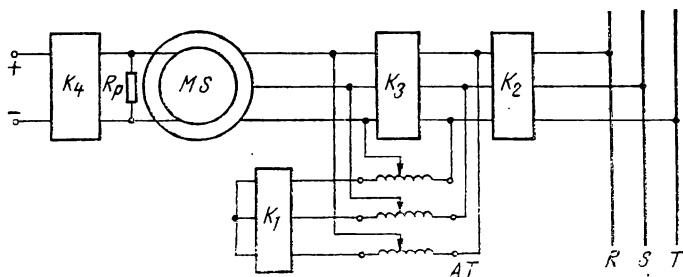


Fig. 4.44. Pornirea motorului sincron cu autotransformator.

motorul să fie alimentat direct la tensiunea nominală și ca în înfășurarea lui de excitație să se stabilească curentul de excitație.

Există un moment optim de conectare a tensiunii de excitație pentru care intrarea în sincronism a rotorului are loc în timp minim și cu șocuri minime de curent. La sarcini mari (alunecări de intrare în sincronism mari) conectarea excitației într-un moment nefavorabil poate duce la întreținerea unui regim asincron cu viteză variabilă și șocuri mari de curent, fără ca motorul să intre în sincronism. În asemenea situații trebuie deconectată tensiunea de excitație, înfășurarea de excitație rămânând închisă pe rezistorul de protecție  $RP$ , apoi se repetă operația de stabilire a curentului de excitație, pînă la obținerea relației favorabile. Această operație poate fi automatizată, cu prevederea de la început a momentului optim de conectare a excitației în funcție de poziția instantanee a axei longitudinale a rotorului față de axa cîmpului învîrtitor. La o stabilire în treaptă a curentului de excitație, momentul favorabil de conectare ar corespunde coincidenței axei longitudinale a rotorului cu axa cîmpului învîrtitor al indusului. La pornire în asincron motorul sincron funcționează ca un motor asincron cu înfășurare rotorică nesimetrică, caz studiat în capitolul 3.

În prezent se realizează în mod curent motoare sincrone care la pornirea în asincron la tensiune nominală pot dezvolta un cuplu de pornire relativ de  $1,3 \dots 2$  la un curent de pornire relativ de  $4 \dots 5$ , asigurînd totodată o valoare relativă a cuplului de intrare în sincronism (corespunzătoare alunecării de 5%) de  $0,75 \dots 0,9$ . Cu asemenea motoare sincrone se pot acționa și mecanismele cu condiții grele de pornire, dacă rețeaua de alimentare este destul de puternică pentru a permite pornirea directă a motorului respectiv. Pornirea directă mai prezintă și avantajul unei simplități deosebite a schemei. În figura 4.45 se dau curbele cuplurilor  $M_a$  ale sistemului de amortizare,  $M_e$  — cuplul monoaxial corespunzător înfășurării de excitație și  $M = M_a + M_e$ . În figura 4.46 se indică influența materialului din care sînt realizate barele sistemului de amortizare.

*Procesul de intrare în sincronism.* În momentul în care are loc stabilirea curentului continuu prin înfășurarea de excitație, începe procesul tranzitoriu de sincronizare, dependent de valoarea din acest moment a unghiului format de axa longitudinală  $\delta$  cu axa cîmpului rezultat  $\delta$ . Situația cea mai favorabilă pentru sincronizare este cea în care  $\delta = 0$ . Considerăm acest caz. În momentul în care s-a stabilit curentul continuu prin înfășurarea de excitație, cuplul este nul deoarece  $\delta = 0$ , rotorul are însă o alunecare  $s \neq 0$  și deci  $M_a \neq 0$ , ( $M_a = M_r$ .)

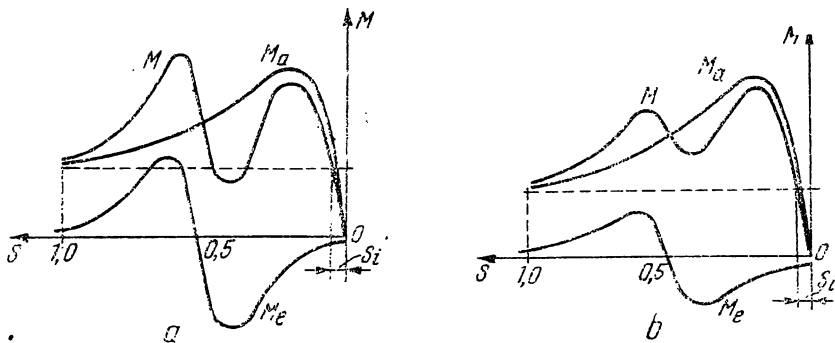


Fig. 4.45. Cuplul asincron al motorului sincron avînd înfășurare de excitație:  
a — scurtcircuitată; b — conectată la rezistorul  $R_p$ .

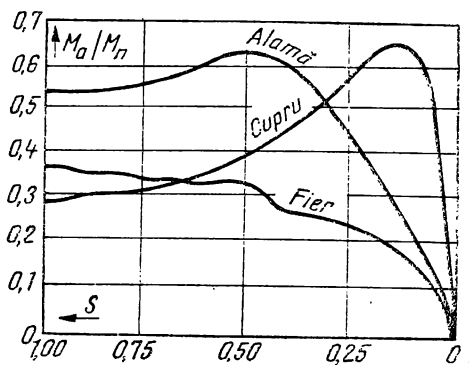


Fig. 4.46. Influența materialului barelor de amortizare asupra cuplului asincron  $M_a$ .

și  $FI$  cuplul  $M$ . Cuplul rezultat activ depășește cuplul rezistent cu valoarea  $GI$  și face ca alunecarea  $s$  să scadă în continuare, iar cînd  $\delta = OA_1$ , avem  $s=0$  și deci  $M_a = 0$ . Cuplul sincron depășește cuplul  $M_r$  cu valoarea

În figura 4.47,  $a$  este prezentat procesul de intrare în sincronism a motorului sincron; sub dreapta  $CE$ , cuplul  $M_a$  este pozitiv și peste dreapta  $CE$  este considerat negativ. După stabilirea curentului continuu prin înfășurarea de excitație, rotorul rămîne în urma cîmpului magnetic învîrtitor, ceea ce face să se stabilească cuplul sincron  $M$ . Acesta avînd același sens cu cuplul asincron, determină accelerarea rotorului și reducerea alunecării acestuia. Astfel, la un moment dat, unghiul  $\delta$  are valoarea  $OF$ , în care caz  $FH$  reprezintă cuplul rezistent  $M_r$ ,  $HG$ —cuplul  $M_a$

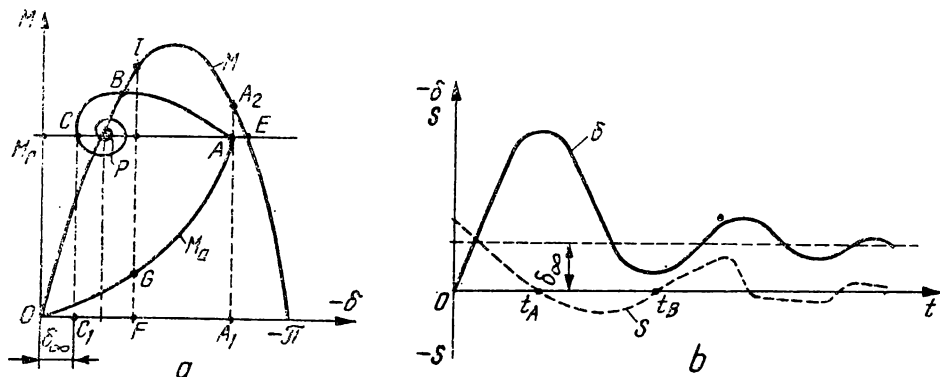


Fig. 4.47. Procesul de intrare în sincronism a motorului sincron:  
a — curbele cuplurilor  $M$ ,  $M_a$ ,  $M_r$ ; b — variația în timp a unghiului intern  $\delta$  și a alunecării  $s$ .

rea  $A_1A_2$  și rotorul este accelerat în continuare, peste sincronism,  $\delta$  începe să scadă în timp ce alunecarea  $s$  are o valoare negativă și  $M_a < 0$  devenind un cuplu de frinare. În  $B$  există echilibru între cupluri ( $M = M_a + M_r$ ), dar alunecarea  $s$  are valoarea maximă în modul ( $s < 0$ ), deoarece pînă în  $B$  rotorul a fost continuu accelerat. Din acest moment apare un cuplu decelerator și în punctul  $C$  unghiul  $\delta$  are valoarea minimă,  $\delta = OC_1$  și  $s = 0$ . Acest punct nu este stabil pentru că cuplul este decelerator și  $\delta$  începe să crească. Punctul de funcționare se deplasează pe curba în formă de spirală  $OABCD$  pînă în punctul  $P$  de funcționare stabilă, dat de intersecția curbelor cuplului sincron  $M$  și cuplului  $M_r$ . Are loc o intrare în sincronism atît timp cît punctul  $A$  se găsește la stînga punctului  $E$  care reprezintă cazul limită cînd motorul mai intră în sincronism. În figura 4.48 este dat cazul sincronizării pentru  $M_r$  mare, astfel încît la stabilirea curentului de excitație, la  $\delta = 0$ , se confundă cu  $E$ .

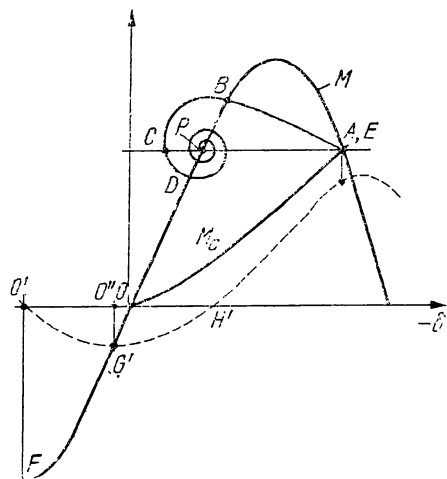


Fig. 4.48. Procesul de intrare în sincronism cînd cuplul rezistent  $M_r$  este mare: — cuplarea curentului de excitație la  $\delta = 0$ ; - - - cuplarea curentului de excitație se face la  $\delta > 0$ .

Oscilațiile în jurul lui  $P$  sînt mai numeroase pentru  $M_r$  mare. Conectarea curentului de excitație la  $\delta = O'O$  face ca cuplul  $M = O'F$  să fie rezistent. Rotorul rămîne în urmă cu viteza din ce în ce mai mare și cînd  $\delta = OO''$  alunecarea  $s$  este maximă iar  $M_a > M_r$  și  $M_a - M_r = O''G'$ . În continuare, mai întîi  $\delta = 0$ , apoi are valori negative,  $s$  scade și la  $\delta = OH'$   $s$  are aceeași valoare ca în punctul  $O'$ . Cuplul  $M$  scade, dar rămîne cu  $AA'$  mai mare decît valoarea pe care ar trebui să o aibă în cazul limită de intrare în sincronism. Valoarea minimă o obținem în punctul de intersecție a curbelor  $M$  și  $M_a$  după care începe să crească din nou și motorul nu se mai sincronizează.

Procesul de intrare în sincronism se poate studia pe baza ecuației mișcării.

$$\frac{J}{p} \cdot \frac{d^2 \delta}{dt^2} + \frac{M_i}{s_i \omega} \cdot \frac{d \delta}{dt} + M_M \sin \delta = M_r \quad (4.68)$$

unde  $M_a = K_a \Omega_r = \frac{M_i}{s_i \omega} \cdot \frac{d \delta}{dt}$ , iar  $M_i$  și  $s_i$  sînt valorile cuplului  $M_a$  respectiv ale alunecării  $s_i$  la intrarea în sincronism (la sfîrșitul pornirii în asincron).

Sincronizarea depinde de condițiile inițiale; momentul de conectare a tensiunii de excitație cel mai defavorabil este  $\delta = \pi$ , adică cînd un pol al rotorului se află în dreptul polului de același nume al cîmpului statoric. Există instalații de pornire care asigură conectarea tensiunii de excitație în momentul cel mai favorabil.

Frînarea motoarelor sincrone se face în regim dinamic, prin deconectarea alimentării de la rețea și închiderea înfășurărilor statorice pe rezistențe de frînare, înfășurarea de excitație fiind alimentată în continuare. Timpul de frînare scade odată cu creșterea curentului prin rezistență, deci odată cu reducerea rezistențelor de frînare.

## 4.20. AUTOEXCITAREA GENERATORULUI SINCRON

În numeroase instalații conținând linii lungi de tensiuni înalte, s-a constatat că un generator sincron cu circuitul de excitație deschis ( $I_e = 0$ ), conectat la rețea în gol, se autoexcită și produce o tensiune stabilă, care poate fi mult mai mare decât tensiunea de serviciu. Fenomenul de autoexcitație este analog generatorului de curent continuu cu excitație derivație. T.e.m. a generatorului sincron produsă de fluxul magnetismului remanent al polilor inductivi, debitează pe capacitatea rețelei un curent electric defazat înainte. Câmpul magnetic învîrtitor produs de acest curent reprezintă un câmp magnetic învîrtitor de reacție longitudinal magnetizant și întărește fluxul magnetic inductor; ca urmare crește t.e.m. indusă și de asemenea fluxul magnetic, pînă se ajunge la un punct stabil de funcționare. Mașina funcționează ca generator sincron cu  $I_e = 0$ , debitînd pe o sarcină capacitivă, iar frecvența este strict determinată de turația rotorului, ca la orice mașină sincronă. Fenomenul se numește *autoexcitare sincronă*. La generatorul sincron este posibil să se producă și fenomenul de autoexcitare asincronă studiat la mașina asincronă.

## 4.21. ECUAȚIILE MAȘINII SINCRONE CU ÎNFĂȘURĂRI DE AMORTIZARE

Pentru a stabili ecuațiile mașinii sincrone cu mai multe înfășurări pe rotor se calculează fluxul magnetic reprezentativ  $\psi_s$  al înfășurării trifazate statorice.

$$\begin{aligned}\psi_A &= \varphi_A + M_{dA} i_D + M_{AQ} i_Q = \varphi_A + M_D i_D \cos \theta + M_Q i_Q \sin \theta \\ \psi_B &= \varphi_B + M_D i_D \cos (\theta + 120^\circ) + M_Q i_Q \sin (\theta + 120^\circ) \\ \psi_C &= \varphi_C + M_D i_D \cos (\theta - 120^\circ) + M_Q i_Q \sin (\theta - 120^\circ)\end{aligned}\quad (4.69)$$

unde  $\varphi_A, \varphi_B, \varphi_C$  sînt fluxurile calculate la mașina sincronă care are pe rotor numai o înfășurare de excitație și sînt date de relațiile (4.12). Fluxul magnetic reprezentativ devine:

$$\begin{aligned}\psi_s &= \frac{2}{3} (\psi_A + a \psi_B + a^2 \psi_C) = (L_0 - M_0) i_s + \frac{3}{2} L_2 e^{2j\theta} \cdot i_s^* + M_e i_e e^{j\theta} + \\ &\quad + M_D i_D e^{j\theta} + j M_Q i_Q e^{j\theta}.\end{aligned}\quad (4.70)$$

Pentru regimul de generator pentru înfășurarea trifazată se pot scrie ecuațiile:

$$-U_A = R i_A + \frac{d\psi_A}{dt}; \quad -u_B = R i_B + \frac{d\psi_B}{dt}; \quad -U_C = R i_C + \frac{d\psi_C}{dt}, \quad (4.71)$$

aceste ecuații se înmulțesc respectiv cu  $\frac{2}{3}$ ,  $\frac{2}{3}a$ ,  $\frac{2}{3}a^2$  și se adună:

$$-u_s = R i_s + \frac{d \psi_s}{d t}. \quad (4.72)$$

Ecuația (4.72) scrisă în sistemul de referință fix față de stator (*FS*) poate fi transcrisă în sistemul de referință fix față de rotor (*FR*) dacă ecuația se înmulțește cu  $e^{-j\theta}$ ;

$$-u_R = R i_R + j \omega_r \psi_R + \frac{d \psi_R}{d t}. \quad (4.73)$$

Pentru înfășurările de pe rotor se pot scrie ecuațiile:

$$u_e = R_e i_e + \frac{d}{d t} (\psi_e) = R_e i_e + \frac{d}{d t} (\varphi_e + M_{De} i_D) = R_e i_e + \frac{d}{d t} (M_{De} i_D + L_e i_e + M_{De} i_D) \quad (4.74)$$

$$0 = R_D i_D + \frac{d}{d t} (M_{AD} i_A + M_{BD} i_B + M_{CD} i_C + M_{De} i_e + L_D i_D) = R_D i_D + \frac{d}{d t} \left( \frac{3}{2} M_D i_d + M_{De} i_e + L_D i_D \right)$$

$$0 = R_Q i_Q + \frac{d}{d t} (M_{QA} i_A + M_{QB} i_B + M_{QC} i_C + L_Q i_Q) = R_Q i_Q + \frac{d}{d t} \left( \frac{3}{2} M_Q i_q + L_Q i_Q \right)$$

unde s-au avut în vedere expresiile inductivităților (4.9), (4.10) și (4.11).

Ecuațiile (4.74) au fost scrise în sistemul de referință *FR* pentru înfășurarea de excitație și pentru înfășurările de amortizare echivalente considerate ortogonale. Axa magnetică a înfășurării de excitație este coincidentă cu axa magnetică a înfășurării de amortizare longitudinale. La aceste ecuații se adaugă și ecuația:  $-u_0 = R i_0 + \frac{d \psi_0}{d t}$ ;  $\psi_0 = L_0 i_0$ . În ecuațiile de

mai sus pentru funcțiile trigonometrice s-au utilizat relațiile lui Euler.

Utilizînd și notațiile de la mașina sincronă fără înfășurări de amortizare, din ecuațiile (4.73) și (4.74) rezultă:

$$\begin{aligned} -u_a &= R i_a - \omega_r \psi_q + \frac{d \psi_a}{d t} ; \quad \psi_a = L_a i_a + M_e i_e + M_D i_D \\ -u_q &= R i_q + \omega_r \psi_d + \frac{d \psi_q}{d t} ; \quad \psi_q = L_q i_q + M_Q i_Q \\ -u_0 &= R i_0 + \frac{d \psi_0}{d t} ; \quad \psi_0 = L_0 i_0 \\ u_e &= R_e i_e + \frac{d \psi_e}{d t} ; \quad \psi_e = \frac{3}{2} M_e i_d + M_{De} i_D + L_e i_e \\ 0 &= R_D i_D + \frac{d \psi_D}{d t} ; \quad \psi_D = \frac{3}{2} M_D i_d + M_{De} i_e + L_D i_D \\ 0 &= R_Q i_Q + \frac{d \psi_Q}{d t} ; \quad \psi_Q = \frac{3}{2} M_Q i_q + L_Q i_Q. \end{aligned} \quad (4.75)$$

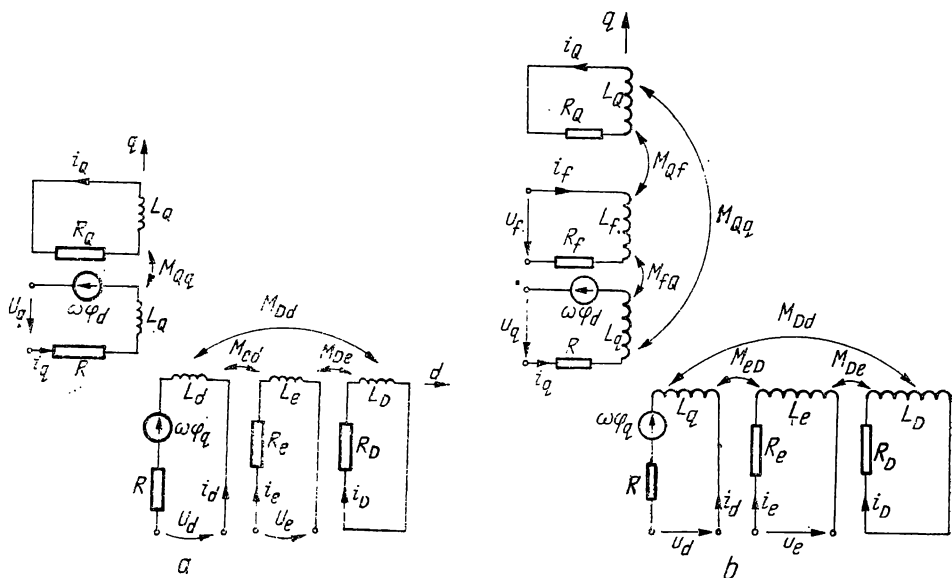


Fig. 4.49. Schema echivalentă primitivă a mașinii sincrone:

a — cu înfășurări de amortizare și o înfășurare de excitație; b — cu înfășurări de amortizare și două înfășurări de excitație.

Inductivitățile proprii și mutuale din ecuațiile de mai sus sînt indicate în schema echivalentă primitivă (fig. 4.49).

La ecuațiile de mai sus se adaugă ecuația mișcării:

$$\frac{J}{p} \cdot \frac{d^2 \theta}{dt^2} = M_1 + M = M_1 + \frac{3}{2} p (\psi_a i_q - \psi_q i_a). \quad (4.76)$$

Ecuațiile stabilite se pot aduce la o formă mai simplă, transformîndu-le în ecuații de mărimi fără dimensiuni; pentru aceasta se aleg mărimile de bază la care se raportează mărimile din ecuațiile (4.75).

Obișnuit mărimile se raportează la valorile lor nominale. Avantajul acestui sistem de mărimi raportate (numit sistem „per-unit”) constă în aceea că se poate aprecia cantitativ funcționarea mașinilor electrice, indiferent de mărimile nominale. Toate mărimile nominale au valoarea adimensională 1; formal ecuațiile capătă un aspect mai general, se pierde însă posibilitatea de control dimensional al ecuațiilor. Pentru pulsație se alege mărimea  $\omega_1$  corespunzătoare vitezei de sincronism (se poate alege ca mărime de bază și o altă pulsație).

Derivata în raport cu timpul devine:  $\frac{d}{dt} = \omega_1 \cdot \frac{d}{d(\omega_1 t)} = \omega_1 \cdot \frac{d}{d\tau}$ ;  $\tau = \omega_1 t$ . În locul timpului  $t$  măsurat în secunde s-a introdus variabila fără dimensiuni  $\tau$  (denumită și timp sincron). Viteza unghiulară în grade electrice devine:  $\frac{d\theta}{dt} = \omega_1 \nu$  unde  $\nu = \frac{1}{\omega_1} \cdot \frac{d\theta}{d\tau}$ , mărimea  $\nu$  fiind viteza unghiulară instantanee relativă raportată la pulsația  $\omega_1$ .

Pentru mărimile satorice, tensiuni, rezistențe, reactanțe și curenți se vor lua ca mărimi de bază în operația de raportare mărimile  $U_b, I_b, Z_b$  între care există relația  $U_b = Z_b I_b$ ; pentru fluxuri se alege mărimea  $\psi_b = U_b/\omega_1$ . Pentru mărimile rotorice nu există o metodă generală de alegere a mărimilor de raportare.

În mod analog se vor considera mărimile de bază pentru circuitele rotorului:  $U_{eb} = I_{eb} Z_{eb}$ ;  $U_{db} = Z_{db} I_{db}$ ;  $U_{qb} = Z_{qb} I_{qb}$ .

Fiind date mărimile de bază, rezultă mărimile raportate sub forma:

$$\begin{aligned} u_a^* &= u_a/U_b; \quad u_q^* = u_q/U_b; \quad i_a^* = i_a/I_b; \quad i_q^* = i_q/I_b; \quad i_e^* = i_e/I_b; \quad i_D^* = i_D/I_{Db}; \\ i_Q^* &= i_Q/I_{Qb}; \quad r = R/Z_b; \quad r_e = R_e/Z_{eb}; \quad r_D = R_D/Z_{Db}; \quad r_q = R_Q/Z_{Qb}; \quad x_a = X_a/Z_b; \\ x_q &= X_q/Z_b; \quad x_e = X_e/Z_{eb}; \quad x_{D1} = X_D/Z_{Db}; \quad x_Q = X_Q/Z_{Qb}; \quad i_0^* = i_0/I_b; \quad u_0^* = U_0/U_b; \\ x_0 &= X_0/Z_b. \end{aligned} \quad (4.77)$$

Raportarea se alege astfel încît fluxurile magnetice din ecuațiile (4.75) să fie similare circuitelor simetrice, în care caz mărimile de bază ale circuitelor rotorice nu sînt toate independente. Fluxurile  $\psi_a, \psi_e$  și  $\psi_D$  raportate se prezintă sub forma:

$$\begin{aligned} \psi_a^* &= \frac{\psi_a \omega_1}{U_a} = \frac{X_a}{U_b} \cdot i_a + \frac{X_{ea}}{U_b} i_e + \frac{X_{Da}}{U_b} \cdot i_D = \frac{X_a}{Z_b} \cdot \frac{i_a}{I_b} + \frac{X_{ea}}{Z_b} \cdot \frac{i_e}{I_{eb}} \cdot \frac{I_{eb}}{I_b} + \\ &\quad + \frac{X_{Da}}{Z_b} \cdot \frac{i_D}{I_{Db}} \cdot \frac{I_{Db}}{I_b}; \\ \psi_e^* &= \frac{\psi_e \omega_1}{U_{eb}} = \frac{3}{2} \cdot \frac{X_{ea}}{U_{eb}} \cdot i_a + \frac{X_{De}}{U_{eb}} \cdot i_D + \frac{X_e}{U_{eb}} \cdot i_e = \frac{3}{2} \cdot \frac{X_{ea}}{Z_{eb}} \cdot \frac{i_a}{I_b} \cdot \frac{I_b}{I_{eb}} + \\ &\quad + \frac{X_{De}}{Z_{eb}} \cdot \frac{i_D}{I_{Db}} \cdot \frac{I_{Db}}{I_{eb}} + \frac{X_e}{Z_{eb}} \cdot \frac{i_e}{I_{eb}}; \\ \psi_D^* &= \frac{\psi_D \omega_1}{U_{Db}} = \frac{3}{2} \cdot \frac{X_{Da}}{U_{Db}} \cdot i_a + \frac{X_{De}}{U_{Db}} \cdot i_e + \frac{X_D}{U_{Db}} \cdot i_D = \frac{3}{2} \cdot \frac{X_{Da}}{Z_{Db}} \cdot \frac{i_a}{I_b} \cdot \frac{I_b}{I_{Db}} + \\ &\quad + \frac{X_{De}}{Z_{Db}} \cdot \frac{i_e}{I_{eb}} \cdot \frac{I_{eb}}{I_{Db}} + \frac{X_D}{Z_{Db}} \cdot \frac{i_D}{I_{Db}}, \end{aligned} \quad (4.78)$$

unde  $\omega_1 L = X$  la care se adaugă indicii corespunzători.

Din egalitatea factorilor reciproci rezultă mărimile de bază ale înfășurărilor rotorice:

$$\begin{aligned} x_{ae} = x_{ea} &= X_{ea} I_{eb}/Z_b I_b = 3 X_{ae} I_b/2 Z_{eb} I_{eb}; \quad X_{Da} I_{Db}/Z_b I_b = \\ &= 3 X_{Da} I_b/2 Z_{Db} I_{Db} \end{aligned} \quad (4.79)$$

rezultă:

$$Z_{eb} = \frac{3}{2} Z_b (I_b/I_{eb})^2; \quad Z_{Db} = \frac{3}{2} Z_b (I_b/I_{Db})^2 \quad (4.80)$$

Fluxurile din axa longitudinală raportate sînt:

$$\begin{aligned} \psi_a^* &= x_a i_a^* + x_{ae} i_e^* + x_{Da} i_D^*; \quad \psi_e^* = x_{ae} i_a^* + x_e i_e^* + x_{De} i_D^*; \\ \psi_D^* &= x_{Da} i_a^* + x_{De} i_e^* + x_D i_D^*. \end{aligned} \quad (4.81)$$

Raportarea se poate alege astfel ca  $x_{ad} = x_{ae} = x_{Dd} = x_{md}$  din această egalitate rezultă:  $X_{ed} I_{eb}/Z_b I_b = X_{Dd} I_{Db}/Z_b I_o = X_{ad}/Z_b$ . Pe baza relațiilor (4.79) și (4.80) rezultă:

$$I_{eb} = I_b (X_{ad}/X_{ed}); I_{Db} = I_b (X_{ad}/X_{Dd}); Z_{eb} = \frac{3}{2} Z_b (X_{ed}/X_{ad})^2;$$

$$Z_{Db} = \frac{3}{2} Z_b (X_{Dd}/X_{ad})^2 \quad (4.82)$$

Fluxul magnetic  $\psi_d^* = x_\sigma i_d^* + x_{md} (i_d^* + i_e^* + i_D^*)$  deoarece  $x_d = x_\sigma + x_{ad}$ . Relațiile (4.82) definesc mărimile de bază ale circuitelor din axa longitudinală.

În mod similar se procedează pentru axa transversală:

$$\psi_q^* = x_q i_q^* + x_{Qq} i_Q^*; \psi_Q^* = x_{Qq} i_q^* + x_Q i_Q^*; Z_{qb} = \frac{3}{2} Z_b (I_b/I_{qb})^2. \quad (4.83)$$

Dacă  $x_{aq} = x_{Qq} = x_{m1}$  se obține:  $I_{qb} = X_{aq} I_b/X_{qb}$ ;  $Z_{qb} = \frac{3}{2} Z_b (X_{qb}/X_{aq})^2$  și fluxul  $\psi_q^* = x_\sigma i_q^* + x_{mq} (i_q^* + i_Q^*)$ .

Cu mărimile raportate definite mai sus ecuațiile (4.79) se scriu:

$$\begin{aligned} -u_d^* &= r i_d^* - v \psi_q^* + \frac{d \psi_d^*}{d \tau}; & \psi_d^* &= x_\sigma i_d^* + x_{md} (i_d^* + i_e^* + i_D^*), \\ -u_q^* &= r i_q^* + v \psi_d^* + \frac{d \psi_q^*}{d \tau}; & \psi_q^* &= x_\sigma i_q^* + x_{mq} (i_q^* + i_Q^*), \\ -u_0^* &= r i_0^* + \frac{d \psi_0^*}{d \tau}; & \psi_0^* &= \frac{\omega_1 \psi_0}{U_b} = x_0 i_0^*, \\ u_e^* &= r_e i_e^* + \frac{d \psi_e^*}{d \tau}; & \psi_e^* &= x_{md} i_d^* + x_e i_e^* + x_{eD} i_D^*, \\ 0 &= r_D i_D^* + \frac{d \psi_D^*}{d \tau}; & \psi_D^* &= x_{md} i_d^* + x_{eD} i_e^* + x_D i_D^*, \\ 0 &= r_Q i_Q^* + \frac{d \psi_Q^*}{d \tau}; & \psi_Q^* &= x_{\sigma Q} i_Q^* + x_{mq} (i_q^* + i_Q^*). \end{aligned} \quad (4.84)$$

Reactanțele  $x_e$ ,  $x_D$ ,  $x_Q$  pot fi puse sub forma:

$$x_e = x_{\sigma e} + x_{md}; x_D = x_{\sigma D} + x_{md}; x_Q = x_{\sigma Q} + x_{mq}$$

și exprimă descompunerea fluxului magnetic produs de înfășurarea considerată în flux magnetic util (ale cărei linii de cîmp traversează întrefierul și înlanțuie spirele înfășurării statorice) și flux magnetic de scăpări. Mărimile  $x_{\sigma e}$ ,  $x_{\sigma D}$ , reprezintă reactanța de scăpări a înfășurării de excitație, respectiv de amortizare în raport cu înfășurarea statorică  $d$ , iar  $x_{\sigma Q}$  — reactanța de scăpări a înfășurării de amortizare  $Q$ , în raport cu înfășurarea statorică  $q$ .



Ecuția mișcării în mărimi raportate devine:

$$m_1 + m = H_j \frac{dv}{d\tau} : \text{unde } H_j = 2 J \omega_1^2 / 3 p^2 U_b I_b ; m = \psi_a^* i_a^* - \psi_q^* i_q^* . \quad (4.85)$$

În general în regim nestaționar sînt cunoscute tensiunile  $u_a, u_q, u_o, u_e$  și cuplul de antrenare exterior  $m_1$ , necunoscutele sînt curenții din diferitele înfășurări. Dacă se consideră că viteza rotorului rămîne constantă în timpul procesului tranzitoriu, atunci sistemul (4.84) devine liniar și poate fi rezolvat. Dacă se introduce alunecarea  $s$ , atunci  $v = 1 - s$  și ecuațiile și primele două ecuații din (4.84) capătă o nouă formă și prezintă interes la funcționarea în asincron a mașinii sincrone.

Pentru studiul micilor variații, în vecinătatea unui punct de funcționare, a mărimilor ce caracterizează funcționarea mașinii sincrone ecuațiile (4.84) se scriu sub forma:

$$\begin{aligned} -\Delta u_a^* &= r \Delta i_a^* - v \Delta \psi_q^* + \frac{d}{d\tau} \Delta \psi_a^* & \Delta \psi_a^* &= x_\sigma \Delta i_a^* + x_{ma} (\Delta i_a^* + \Delta i_e^* + \Delta i_D^*) \\ -\Delta u_q^* &= r \Delta i_q^* + r \Delta \psi_a^* + \frac{d}{d\tau} \Delta \psi_q^* & \Delta \psi_q^* &= x_\sigma \Delta i_q^* + x_{mq} (\Delta i_q^* + \Delta i_Q^*) \\ -\Delta u_o^* &= r \Delta i_o^* + \frac{d}{d\tau} \Delta \psi_o^* & \Delta \psi_o^* &= x_o \Delta i_o^* \\ \Delta u_e^* &= r_e \Delta i_e^* + \frac{d}{d\tau} \Delta \psi_e^* & \Delta \psi_e^* &= x_{ma} \Delta i_a^* + x_e \Delta i_e^* + x_{eD} \Delta i_D^* \\ 0 &= r_D \Delta i_D^* + \frac{d}{d\tau} \Delta \psi_D^* & \Delta \psi_D^* &= x_{ma} \Delta i_a^* + x_{eD} \Delta i_e^* + x_D \Delta i_D^* \\ 0 &= r_Q \Delta i_Q^* + \frac{d}{d\tau} \Delta \psi_Q^* & \Delta \psi_Q^* &= x_{\sigma Q} \Delta i_Q^* + x_{mQ} (\Delta i_q^* + \Delta i_Q^*) \end{aligned} \quad (4.86)$$

În cazul în care pe rotor sînt dispuse două înfășurări de excitație (una în axa longitudinală și cealaltă în axa transversală), atunci la ecuațiile (4.84) se mai adaugă ecuația de tensiuni a noii înfășurări de excitație (notate cu indicele  $f$ ) și se modifică expresiile fluxurilor magnetice din axa transversală

$$\begin{aligned} -u_a^* &= r i_a^* - v \psi_q^* + \frac{d \psi_a^*}{d\tau} & \psi_a^* &= x_\sigma i_a^* + x_{ma} (i_a^* + i_e^* + i_D^*) \\ -u_q^* &= r i_q^* + v \psi_a^* + \frac{d \psi_q^*}{d\tau} & \psi_q^* &= x_\sigma i_q^* + x_{mq} (i_q^* + i_f^* + i_Q^*) \\ -u_o^* &= r i_o^* + \frac{d \psi_o^*}{d\tau} & \psi_o^* &= x_o i_o^* \\ u_e^* &= r_e i_e^* + \frac{d \psi_e^*}{d\tau} & \psi_e^* &= x_{ma} i_a^* + x_e i_e^* + x_{eD} i_D^* \\ u_f^* &= r_f i_f^* + \frac{d \psi_f^*}{d\tau} & \psi_f^* &= x_{mq} i_q^* + x_f i_f^* + x_{fQ} i_Q^* \\ 0 &= r_D i_D^* + \frac{d \psi_D^*}{d\tau} & \psi_D^* &= x_{ma} i_a^* + x_{eD} i_e^* + x_D i_D^* \\ 0 &= r_Q i_Q^* + \frac{d \psi_Q^*}{d\tau} & \psi_Q^* &= x_{mQ} i_q^* + x_{fQ} i_f^* + x_Q^* i_Q^* \end{aligned} \quad (4.84,a)$$

În figura 4.49, *b* se prezintă schema echivalentă primitivă.

Pentru studiul micilor variații din ecuațiile (4.84.a) se deduce un sistem similar sistemului (4.86). Parametrii operaționali după axa  $d$  nu sînt influențați de înfășurarea de excitație  $f$ , iar parametrii operaționali din axa transversală au aceeași formă ca și cei din axa longitudinală.

## 4.22. PARAMETRII OPERAȚIONALI AI MAȘINII SINCRONE

Utilizarea calculului operațional se face în cazul în care viteza rotorului este constantă ( $v = \text{const}$ ). Obişnuit, pentru rezolvarea ecuațiilor (4.84) se utilizează calculul operațional cu transformata Laplace:

$$\bar{f}(s) = \mathcal{L}\{f(t)\} = \int_0^{\infty} f(t) e^{-st} dt. \quad (4.87)$$

Funcțiile imagine se scriu barat, iar valorile inițiale se scriu cu aceleași litere și indicele zero. Aplicînd transformata Laplace ecuațiilor (4.48) se obține:

$$\begin{aligned} -\bar{U}_d &= r \bar{i}_d - v \bar{\psi}_q + s(\bar{\psi}_d - \psi_{d0}) & \bar{\psi}_d &= x_\sigma \cdot \bar{i}_d + x_{md}(\bar{i}_d + i_e + \bar{i}_D) \\ -\bar{U}_q &= r \bar{i}_q + v \cdot \bar{\psi}_d + s(\bar{\psi}_q - \psi_{q0}) & \bar{\psi}_q &= x_\sigma \cdot \bar{i}_q + x_{mq}(\bar{i}_q + \bar{i}_D) \\ \bar{U}_e &= r_e \bar{i}_e + s(\bar{\psi}_e - \psi_{e0}) & \bar{\psi}_e &= x_{md} \cdot \bar{i}_d + x_e \bar{i}_e + x_{eD} \bar{i}_D \\ 0 &= r_D \bar{i}_D + s(\bar{\psi}_D - \psi_{D0}) & \bar{\psi}_D &= x_{md} \bar{i}_d + x_{eD} \bar{i}_e + x_D \bar{i}_D \\ 0 &= r_Q \bar{i}_Q + s(\bar{\psi}_Q - \psi_{Q0}) & \bar{\psi}_Q &= x_{\sigma Q} \bar{i}_Q + x_{mq}(\bar{i}_q + \bar{i}_D). \end{aligned} \quad (4.88)$$

Din sistemul (4.88) se consideră ecuațiile:

$$\begin{aligned} \bar{\psi}_d &= x_\sigma \bar{i}_d + x_{md}(\bar{i}_d + \bar{i}_e + \bar{i}_D) \\ \bar{U}_e + s \psi_{e0} &= r_e \bar{i}_e + s(x_{md} \bar{i}_d + x_e \bar{i}_e + x_{eD} \bar{i}_D) \\ s \psi_{D0} &= r_D \bar{i}_D + s(x_{md} \bar{i}_d + x_{eD} \bar{i}_e + x_D \bar{i}_D). \end{aligned} \quad (4.89)$$

Eliminînd curenții  $i_e$  și  $i_D$  din expresia fluxului magnetic  $\bar{\psi}_d$  se obține:

$$\bar{\psi}_d = x_d(s) \bar{i}_d + G_E(s) [\bar{U}_e + s \psi_{e0}] + s G_D(s) \psi_{D0} \quad (4.90)$$

unde

$$\begin{aligned} x_d(s) &= x_d - \frac{s x_{md}^2 [r_D + r_e + s(x_e + x_D - 2 x_{eD})]}{(r_e + s x_e)(r_D + s x_D) - s^2 x_{eD}^2} \\ G_E(s) &= x_{md} \frac{r_D + s(x_D - x_{eD})}{(r_e + s x_e)(r_D + s x_D) - s^2 x_{eD}^2} \\ G_D(s) &= x_{md} \frac{r_e + s(x_e - x_{eD})}{(r_e + s x_e)(r_D + s x_D) - s^2 x_{eD}^2} \end{aligned} \quad (4.91)$$

În mod analog se obține expresia fluxului magnetic  $\bar{\psi}_q$ ;

$$\bar{\psi}_q = x_q(s) \bar{i}_q + s G_q(s) \cdot \psi_{q0}, \quad (4.92)$$

unde

$$x_q(s) = x_q - \frac{s x_{mq}^2}{r_q + s x_q}; \quad G_q(s) = \frac{x_{mq}}{r_q + s x_q}. \quad (4.93)$$

Expresiile  $x_d(s)$ ,  $x_q(s)$ ,  $G_E(s)$ ,  $G_D(s)$ ,  $G_Q(s)$  se numesc *coeficienți sau parametri operaționali*:  $x_d(s)$  și  $x_q(s)$  se numesc reactanță operațională longitudinală, respectiv transversală, ale mașinii sincrone;  $G_E(s)$  și  $G_D(s)$  se numesc conductanțe operaționale longitudinale, iar  $G_Q(s)$  conductanță operațională transversală.

Parametrii operaționali se mai pot pune și sub forma:

$$\begin{aligned} x_d(s) &= x_d \frac{1 + s(\sigma_{de} T_e + \sigma_{dD} T_D) + s^2 \frac{x_d''}{x_d} \sigma_{eD} T_e T_D}{1 + s(T_e + T_D) + s^2 \sigma_{eD} T_e T_D} = \\ &= x_d \cdot \frac{(1 + s T_d') (1 + s T_d'')}{(1 + T_{d0}' s) (1 + T_{d0}'' s)} \\ G_E(s) &= \frac{x_{md}}{r_e} \cdot \frac{1 + s \mu_D T_D}{1 + s(T_e + T_D) + s^2 \sigma_{eD} T_e T_D} = \frac{x_{md}}{r_e} \frac{1 + s \mu_D T_D}{(1 + s T_{d0}') (1 + T_{d0}'' s)}; \\ \mu_D &= 1 - x_{eD}/x_D \\ G_D(s) &= \frac{x_{md}}{r_D} \frac{1 + s \mu_e T_e}{1 + s(T_e + T_D) + s^2 \sigma_{eD} T_e T_D} = \frac{x_{md}}{r_D} \frac{1 + s \mu_e T_e}{(1 + T_{d0}' s) (1 + T_{d0}'' s)}; \\ \mu_e &= 1 - \frac{x_{es}}{x_e} \\ x_q(s) &= x_q \frac{1 + s \sigma_{qQ} T_Q}{1 + s T_Q} = x_q \frac{1 + s T_q''}{1 + s T_Q}; \quad G_Q(s) = \frac{x_{mq}}{r_Q} \frac{1}{1 + s T_Q} \end{aligned} \quad (4.94)$$

unde s-au făcut notațiile:

$T_e = \frac{x_e}{r_e}$  — constanta de timp proprie a înfășurării de excitație [în u.r.

$T_D = \frac{x_D}{r_D}$  — constanta de timp proprie a înfășurării de amortizare din axa longitudinală în u.r.

$T_Q = \frac{x_Q}{r_Q}$  — constanta de timp proprie a înfășurării de amortizare din axa transversală în u.r.

$\sigma_{de} = 1 - \frac{x_{md}^2}{x_d x_e}$  — coeficientul de dispersie între înfășurările  $d$  și  $e$ .

$\sigma_{dD} = 1 - \frac{x_{md}^2}{x_d x_D}$  — coeficientul de dispersie între înfășurările  $d$  și  $D$ .

$\sigma_{eD} = 1 - \frac{x_{eD}^2}{x_e x_D}$  — coeficientul de dispersie între înfășurările  $e$  și  $D$ .

$\sigma_{qQ} = 1 - \frac{x_{mq}^2}{x_q x_Q}$  — coeficientul de dispersie între înfășurările  $q$  și  $Q$ .

$x_d'' = x_d - \frac{x_{md}^2 (x_e + x_D - 2 x_{eD})}{x_e \cdot x_D - x_{eD}^2}$  — reactanța sincronă supratranzitorie longitudinală.

$-1/T_d'$ ,  $-1/T_d''$  sînt rădăcinile numărătorului lui  $x_d(s)$ , iar  $-1/T_{d0}'$ ,  $-1/T_{d0}''$  sînt rădăcinile numitorului lui  $x_d(s)$ ;  $T_q'' = \sigma_{qQ} T_Q$ .

Considerînd funcția  $1/s \cdot x_d(s)$  ca fiind imaginea unei funcții  $1/x_d(\tau)$ , se poate deduce valoarea inițială  $1/x_d(0)$  cu ajutorul teoremei valorii inițiale:

$$1/x_d(0) = \lim_{s \rightarrow \infty} s [1/s x_d(s)] = 1/x_d'' = T_{d0}' T_{d0}' / x_d T_d' T_d'' \quad (4.95)$$

Originala funcției  $1/s x_d(s)$  este:

$$\frac{1}{x_d(\tau)} = \frac{1}{x_d} + \left( \frac{1}{x_d'} - \frac{1}{x_d} \right) e^{-\tau/T_d'} + \left( \frac{1}{x_d''} - \frac{1}{x_d'} \right) e^{-\tau/T_d''}; \quad x_d' = x_d - \frac{x_{md}^2}{x_e} \quad (4.96)$$

Mărimea  $x_d(\tau)$  reprezintă *reactanța sincronă longitudinală în regim tranzitoriu*. La  $\tau = 0$  mașina are reactanța  $x_d'$ . După un interval de timp  $\tau_1$ , din cauză că  $T_d' \gg T_d''$ ,  $e^{-\tau_1/T_d'} \approx 1$ , iar  $e^{-\tau_1/T_d''} \approx 0$  și prin urmare  $x_d(\tau_1) = x_d'$ , numită *reactanța sincronă longitudinală tranzitorie*. Această valoare a reactanței  $x_d(\tau)$  corespunde momentului cînd în înfășurarea de amortizare  $D$ , curentul devine nul ( $i_D = 0$ ). Reactanța  $x_d'$  se poate calcula direct considerînd în ecuațiile (4.92) curentul  $i_D = 0$  și apoi  $\lim_{s \rightarrow \infty} x_d(s) = x_d' = x_d T_d' / T_{dD}$ .

Procedînd în același mod cu reactanța operațională  $x_q(s)$  se obține:

$$\frac{1}{x_q(\tau)} = \frac{1}{x_q} + \left( \frac{1}{x_q'} - \frac{1}{x_q} \right) e^{-\tau/T_q''}; \quad x_q'' = x_q - \frac{x_{mq}^2}{x_q} = x_q(0) \quad (4.97)$$

unde  $x_q'' = x_q(0) = x_q T_q'' / T_Q$  este reactanța sincronă supratranzitorie transversală.

În regim armonic (pentru  $p = j\omega$ ) parametrii  $x_d(s)$ , respectiv  $x_q(s)$  devin:

$$\begin{aligned} x_d(j\omega) &= \frac{(j\omega T_d'' + 1)(j\omega T_d' + 1)}{(j\omega T_{d0}'' + 1)(j\omega T_{d0}' + 1)} x_d; \\ x_q(j\omega) &= \frac{j\omega T_q'' + 1}{j\omega T_{q0} + 1} x_q; \quad T_Q = T_{q0} \end{aligned} \quad (4.98)$$

pentru  $\omega \rightarrow \infty$  se obțin  $x_d''$ , respectiv  $x_q''$  ( $\omega$  este pulsația relativă raportată la  $\omega_1$ ).

La valori mici ale pulsației  $\omega$  (astfel încît  $\omega T_d'' \ll 1$ , dar  $\omega T_d' \gg 1$ , și analog,  $\omega T_{d0}'' \ll 1$ , iar  $\omega T_{d0}' \gg 1$ ) rezultă  $x_d' = \frac{T_d'}{T_{d0}'} x_d$ .

Locurile geometrice ale impedanțelor  $x_d(j\omega)$  și  $x_q(j\omega)$  în funcție de pulsația  $\omega$  sînt reprezentate în figura 4.50.

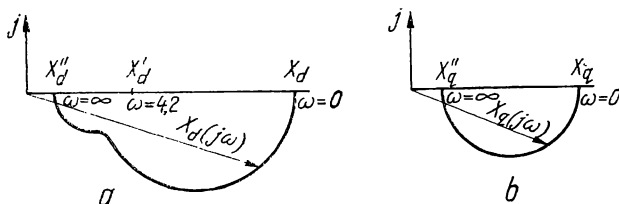


Fig. 4.50. Locul geometric al fazorului reactanțelor operaționale:  
a —  $X_d(j\omega)$ ; b —  $X_q(j\omega)$ .

#### 4.22.1. SCHEME ECHIVALENTE ALE REACTANȚELOR ÎN REGIM TRANZITORIU

Pe baza expresiilor reactanțelor tranzitorii și supratranzitorii  $x^d$ ,  $x_d''$ ,  $x_q''$  se stabilesc schemele electrice echivalente pentru fiecare.

Identitatea:  $x_e x_D - x_{eD}^2 = (x_e - x_{eD})(x_D - x_{eD}) + x_{eD}(x_e + x_D - 2x_{eD})$ , permite ca reactanța supratranzitorie  $x_d''$  să se pună sub forma:

$$x_d'' = x_d - \frac{x_{md}^2 (x_e + x_D - 2x_{eD})}{x_e x_D - x_{eD}^2} = \quad (4.99)$$

$$= x_\sigma + x_{md} \cdot \frac{\frac{(x_D - x_{eD})(x_e - x_{eD})}{x_D - x_{eD} + x_e - x_{eD}} + x_{eD} - x_{md}}{x_{md} + (x_{eD} - x_{md}) + \frac{(x_e - x_{eD})(x_D - x_{eD})}{x_e - x_{eD} + x_D - x_{eD}}}$$

căruia îi corespunde schema echivalentă din figura 4.51, a.

Considerînd  $x_{eD} \approx x_{md}$ , ceea ce cu o bună aproximație corespunde realității, rezultă:

$$x\tau_{de} = x_D - x_{eD} \approx x_D - x_{md} = x_{\sigma D}; \quad x_e - x_{eD} \approx x_e - x_{md} = x\tau_{de} = x_{\sigma e} \quad (4.100)$$

iar reactanța supratranzitorie devine:

$$x_d'' = x_\sigma + \frac{1}{1/x_{md} + 1/x_{\tau e} + 1/x_{\sigma D}} \quad (4.101)$$

și schema echivalentă se simplifică (fig. 4.51, b).

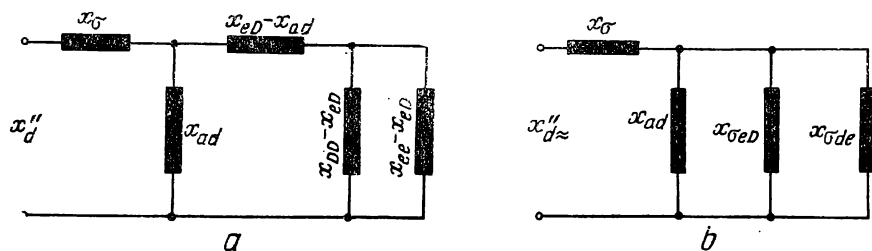


Fig. 4.51. Schemele echivalente ale reactanțelor din axa longitudinală:  
a — schema echivalentă exactă a reactanței  $x_d''$ , b — schema echivalentă a reactanței  $x_d''$  în cazul aproximației  $x_{eD} \approx x_{md}$ , ( $x_{ad} = x_{md}$ ;  $x_{DD} = x_D$ ;  $x_{ee} = x_e$ ).

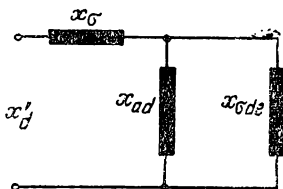


Fig. 4.52. Schema echivalentă a reactanței  $x'_d$ .

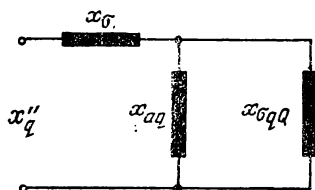


Fig. 4.53. Schema echivalentă a reactanței  $x''_q$  din axa transversală,  $x_{\tau q Q} = x_{\tau Q}$

În momentul cînd  $i_D = 0$  reactanța  $x_d(t)$  ia valoarea  $x'_d$  care se poate pune sub forma :

$$x'_d = x_d - \frac{x_{mq}^2}{x_e} = x_\sigma + x_{md} - \frac{x_{md}^2}{x_{md} + x_{oe}} = x_\sigma + \frac{1}{1/x_{oe} + 1/x_{md}}; \quad (4.102)$$

schema echivalentă este prezentată în figura 4.52.

Procedînd în mod similar cu reactanța sincronă supratranzitorie transversală se obține :

$$x''_q = x_q - \frac{x_{mq}^2}{x_Q} = x_\sigma + x_{mq} - \frac{x_{mq}^2}{x_{oq} + x_{m1}} = x_\sigma + \frac{1}{1/x_{mq} + 1/x_{oq}} \quad (4.103)$$

pentru care corespunde schema echivalentă din figura 4.53.

Se constată că toate reactanțele  $x'_d$ ,  $x'_q$ ,  $x''_q$  au ordinul de mărime comparabil cu al reactanțelor de scăpări.

Considerînd că  $x_{eD} \approx x_{md}$  pe baza relațiilor (4.100) reactanța operațională longitudinală  $x_d(s)$  din (4.91) se poate pune sub forma :

$$x_d(s) = x_\sigma + \frac{1}{1/x_{md} + s/(r_e + s \cdot x_{oe}) + s/(r_D + s \cdot x_{oD})}. \quad (4.104)$$

Reactanța operațională transversală  $x_q(s)$  din (4.91) devine :

$$x_q(s) = x_\sigma + \frac{1}{1/x_{mq} + s/(r_Q + s \cdot x_{oQ})}; \quad x_Q = x_{oQ} + x_{mq} \quad (4.105)$$

#### 4.22.2. CONSTANTELE DE TIMP ALE MAȘINII SINCRONE

În expresia parametrilor operaționali intervin mai multe constante de timp, unele din aceste constante de timp au fost calculate în funcție de parametrii circuitelor; rămîne să se calculeze constantele  $T'_{d0}$ ,  $T''_{d0}$  care rezultă din ecuația :

$$1 + s(T_e + T_D) + s^2 \sigma_{eD} T_e T_D = 0 \quad (4.106)$$

și constantele  $T'_d$ ,  $T''_d$  care rezultă din ecuația :

$$1 + s(\sigma_{de} T_e + \sigma_{Dd} T_D) + s^2 \frac{x'_d}{x'_d} \sigma_{eD} T_e T_D = 0. \quad (4.107)$$

Rezolvarea ecuațiilor (4.106) și (4.107) conduce la expresii complicate pentru constantele de timp, din această cauză vom deduce relații aproximative pentru aceste constante, însă suficient de exacte pentru calcule practice.

Din expresia reactanței operaționale  $x_d(s)$  rezultă:

$$T'_{d0} + T''_{d0} = T_e + T_D; \quad T'_{d0} T''_{d0} = \sigma_{eD} T_e T_D. \quad (4.108)$$

Știind că la mașinile sincrone normale  $T_e \gg T_D$  și  $T'_{d0} \gg T''_{d0}$  rezultă  $T'_{d0} \approx T_e$  și  $T''_{d0} \approx \sigma_{eD} T_D$  (cu  $T'_{d0}$  s-a notat constanta de timp a regimului tranzitoriu, cînd nu intervine înfășurarea de amortizare).

De asemenea din expresia lui  $x_d(s)$  rezultă:

$$T'_d + T''_d = \sigma_{de} T_e + \sigma_{dD} T_D; \quad T'_d T''_d = \frac{x'_d}{x_d} \sigma_{eD} T_e T_D. \quad (4.109)$$

Considerînd  $T'_d \gg T''_d$  rezultă:

$$T'_d \approx \frac{1}{r_e} \left( x_{se} + \frac{1}{1/x_{md} + 1/x_\sigma} \right); \quad T''_d = \frac{1}{r_D} \left( x_{sD} + \frac{1}{1/x_{md} + 1/x_\sigma + 1/x_{se}} \right). \quad (4.110)$$

În cadrul aproximațiilor făcute, constantele de timp obținute au următoarele semnificații:

$T'_{d0}$  — constanta de timp a înfășurării de excitație, cînd toate celelalte înfășurări sînt deschise;

$T''_{d0}$  — constanta de timp a înfășurării de amortizare cînd înfășurarea de excitație este scurtcircuitată și are rezistența neglijabilă, iar înfășurarea indusului este deschisă;

$T'_d$  — constanta de timp a înfășurării de excitație, înfășurarea indusului fiind scurtcircuitată, iar înfășurarea de amortizare fiind deschisă;

$T''_d$  — constanta de timp a înfășurării de amortizare, înfășurarea de excitație și înfășurarea indusului fiind scurtcircuitată.

Pentru axa transversală  $T_q$  reprezintă constanta de timp a înfășurării de amortizare, celelalte înfășurări fiind deschise;

$T'_q$  este constanta de timp a înfășurării de amortizare, înfășurarea indusului fiind scurtcircuitată. În tabelul 4.3 se dau valorile uzuale ale parametrilor mașinii sincrone.

### 4.22.3. CALCULUL CURENȚILOR $i_d$ ȘI $i_q$

Înlocuind fluxurile  $\bar{\psi}_d$  și  $\bar{\psi}_q$  date de (4.90) și (4.92) în primele două ecuații din (4.88) se obține:

$$[r + p x_d(s)] \cdot \bar{i}_d - x_q(s) \bar{i}_q = -\bar{U}_d + s G_Q(s) \psi_{q0} - s G_D(s) \psi_{D0} + s \psi_{d0} - G_E(s) [(\bar{U}_e + s \psi_{e0})] = \bar{U}'_d \quad (4.111)$$

$$x_d(s) \bar{i}_d + [r + s x_q(s)] \bar{i}_q = -\bar{U}_q - s G_Q(s) \psi_{q0} - s G_D(s) \psi_{D0} + s \psi_{q0} - G_E(s) [\bar{U}_e + \psi_{e0} \cdot s] = \bar{U}'_q.$$

TABELUL 4.3. Valorile uzuale ale parametrilor mașinii sincrone

Parametrii	Turbogeneratoare bipolare	Hidrogeneratoare cu înfășurare de amortizare	Motoare sincrone
$x_d(u, r)$	1,10 (0,95 ... 1,45)	1,15 (0,60 ... 1,45)	1,8 (1,5 ... 2,2)
$x_q(u, r)$	1,07 (0,92 ... 1,47)	0,75 (0,40 ... 1,00)	1,15 (0,95 ... 1,4)
$x'_d(u, r)$	0,155 (0,12 ... 0,21)	0,37 (0,20 ... 0,50)	0,40 (0,30 ... 0,60)
$x''_d(u, r)$	0,090 (0,07 ... 0,14)	0,24 (0,13 ... 0,35)	0,25 (0,18 ... 0,38)
$x'_q(u, r)$	0,10 (0,08 ... 0,15)	0,24 (0,13 ... 0,35)	0,24 (0,17 ... 0,37)
$x_0(u, r)$	0,015 ... 0,08	0,02 ... 0,20	0,02 ... 0,15
$x_p(u, r)$	0,090 (0,07 ... 0,14)	0,32 (0,17 ... 0,40)	0,34 (0,23 ... 0,45)
$r_a(u, r)$	0,003 ... 0,008	0,003 ... 0,008	0,004 ... 0,01
$T'_{d0}(s)$	4,4 (2,8 ... 6,2)	5,6 (1,5 ... 9,5)	9 (6,0 ... 11,5)
$T'_d(s)$	0,6 (0,35 ... 0,90)	1,8 (0,5 ... 3,3)	2 (1,2 ... 2,8)
$T''_d(s)$	0,035 (0,02 ... 0,05)	0,055 (0,01 ... 0,035)	0,035 (0,02 ... 0,05)
$T_a(s)$	0,09 (0,04 ... 0,15)	0,15 (0,03 ... 0,25)	0,17 (0,1 ... 0,3)

Rezolvînd sistemul (4.111) rezultă următoarele expresii pentru curenții  $\bar{i}_d$  și  $\bar{i}_q$ :

$$\bar{i}_d = \frac{x_q(s) \bar{U}'_q - [r + sx_q(s)] \bar{U}'_d}{x_d(s) x_q(s) + [r + sx_d(s)][r + sx_q(s)]} \quad (4.112)$$

$$\bar{i}_q = \frac{x_d(s) \bar{U}'_d + [r + sx_d(s)] \bar{U}'_q}{x_d(s) x_q(s) + [r + sx_d(s)][r + sx_q(s)]}$$

unde  $\bar{U}'_d$  și  $\bar{U}'_q$  se numesc *tensiuni reduse*.

Dacă se neglijează rezistența statorului, ceea ce în general este admisibil, se obțin expresiile simplificate ale curenților  $\bar{i}_d$  și  $\bar{i}_q$ :

$$\bar{i}_d = \frac{\bar{U}'_q - s \cdot \bar{U}'_d}{(s^2 + 1)x_d(s)}; \quad \bar{i}_q = \frac{\bar{U}'_d + s \bar{U}'_q}{(s^2 + 1)x_q(s)} \quad (4.113)$$

## 4.23. FENOMENE TRANZITORII ÎN MAȘINA SINCRONĂ [1], [2], [33], [39], [45]

### 4.23.1. SCURTCIRCUITUL TRIFAZAT BRUSC AL MAȘINII SINCRONE

Scurtcircuitul trifazat brusc se studiază cu ajutorul ecuațiilor mașinii sincrone prin particularizări corespunzătoare. Se va considera generatorul sincron în gol, fără sistem de forțare a excitației; rezultă condițiile inițiale

$$i_{d0} = i_{q0} = i_{D0} = i_{Q0} = 0; \quad \bar{U}_e = U_e/s = \frac{r_e i_{e0}}{s}, \quad i_{e0} \text{ fiind curentul de excitație}$$



pînă în momentul producerii scurtcircuitului. Pentru valorile inițiale ale fluxurilor rezultă

$$\psi_{d0} = x_{md} i_{e0}; \quad \psi_{q0} = 0; \quad \psi_{D0} = x_{eD} i_{e0}; \quad \psi_{Q0} = 0; \quad \psi_{e0} = x_e i_{e0} \quad (4.114)$$

iar la scurtcircuit  $\bar{U}_a = \bar{U}_d = 0$ ; expresiile tensiunilor reduse sînt:

$$\bar{U}'_d = 0; \quad \bar{U}'_q = -x_{md} i_{e0}/s = e_{0m}/s; \quad e_{0m} = -x_{md} i_{e0}. \quad (4.115)$$

a) Curentul statoric  $i_{AK}$  se calculează cu ajutorul relațiilor (4.112) care devin:

$$\bar{i}_d \cong \frac{1}{s^2 + 1 + sr \left[ \frac{1}{x_d(s)} + \frac{1}{x'_q(s)} \right]} \cdot \frac{e_{0m}}{s \cdot x'_d(s)}; \quad (4.116)$$

$$\bar{i}_q = \frac{e_{0m}}{x_q(s)} \cdot \frac{1}{s^2 + 1 + sr \left[ \frac{1}{x'_d(s)} + \frac{1}{x_q(s)} \right]}$$

unde s-au neglijat termenii în  $r^2$  de la numitorii fracțiilor (4.112), precum și termenul în  $r$  de la numărătorul expresiei curentului  $\bar{i}_q$ . În expresia  $\frac{1}{x'_d(s)} + \frac{1}{x_q(s)}$  se neglijează rezistențele  $r_D$ ,  $r_e$ ,  $r_Q$  și rezultă  $x_d(s)|_{r_D=r_e=0} = x'_d$ ;  $x_q(s)|_{r_Q=0} = x'_q$ . Cu notația  $\alpha = \frac{1}{T_a} = \frac{r}{2} \left( \frac{1}{x'_d} + \frac{1}{x'_q} \right)$  se obține:

$$\bar{i}_d = \frac{e_{0m}}{s x'_d(s)} \cdot \frac{1}{s^2 + 2s\alpha + 1}; \quad \bar{i}_q = \frac{e_{0m}}{x_q(s)} \cdot \frac{1}{s^2 + 2s\alpha + 1}. \quad (4.117)$$

Originalul imaginii  $1/(s^2 + 2s\alpha + 1)$  este  $e^{-\alpha\tau} \cos \tau$  dacă  $\alpha \ll 1$ , iar a imaginii  $1/s x'_d(s)$  este  $1/x'_d(t)$ .

Aplicînd teorema convoluției se determină originala curentului

$$\begin{aligned} i_d(\tau) &= e_{0m} \int_0^\tau e^{-\alpha t} \cos t \frac{dt}{x_d(\tau-t)} = \\ &= e_{0m} \left[ \frac{1}{x_d} + \left( \frac{1}{x'_d} - \frac{1}{x_d} \right) e^{-\tau/T'_d} + \left( \frac{1}{x'_d} + \frac{1}{x'_d} \right) e^{-\tau/T''_d} \cos \tau \right]; \end{aligned} \quad (4.118)$$

s-a considerat  $T'_d < T''_d$  și  $T''_d < T'_d$ .

În mod similar se determină originalul curentului  $\bar{i}_q$ :

$$i_q(\tau) = \frac{e_{0m}}{x'_q} e^{-\tau/T_a} \sin \tau; \quad sT'_q \gg 1; \quad sT''_q \gg 1. \quad (4.119)$$

Curentul prin faza AX este:

$$i_{AK} = i_d \cos \theta - i_q \sin \theta \quad (4.120)$$

unde  $\theta = \omega_1 t + \theta_0 = \tau + \theta_0$ . Din (4.118), (4.119) și (4.120) rezultă:

$$i_{AK} = e_{0m} \left[ \frac{1}{x_d} + \left( \frac{1}{x'_d} - \frac{1}{x_d} \right) e^{-\tau/T'_d} + \left( \frac{1}{x'_d} - \frac{1}{x'_d} \right) e^{-\tau/T''_d} \right]. \quad (4.121)$$

$$\cdot \cos(\tau + \theta_0) - \frac{e_{0m}}{x_m} e^{-\tau/T_a} \cos \theta_0 + \frac{e_{0m}}{x_n} e^{-\tau/T_a} \cos(2\tau + \theta_0),$$

unde s-a notat:  $x_m = 2x_d'' x_q'' / (x_d'' + x_q'')$  și  $x_n = \frac{2x_d'' x_q''}{x_d'' - x_q''}$ ; componenta simetrică a curentului de scurtcircuit  $i_{AK}$  (termenul care conține paranteza dreaptă) este formată din:

$$i_{k3} = \frac{e_{0m}}{x_d} \cos(\tau + \theta_0) - \text{componenta staționară},$$

$$i_d' = e_{0m} \left( \frac{1}{x_d'} - \frac{1}{x_d} \right) e^{-\tau/T_d'} \cos(\tau + \theta_0) - \text{componenta tranzitorie},$$

$$i_d'' = e_{0m} \left( \frac{1}{x_d''} - \frac{1}{x_d'} \right) e^{-\tau/T_d''} \cos(\tau + \theta_0) - \text{componenta supratranzitorie (sau o altă denumire: subtranzitorie)}.$$

Termenul  $i_a = -\frac{e_{0m}}{x_m} e^{-\tau/T_a} \cos \theta_0$  reprezintă componenta asimetrică.

Termenul  $i_n = \frac{e_{0m}}{x_n} e^{-\tau/T_a} \cos(2\tau + \theta_0)$  este componenta de frecvență dublă în raport cu fundamentală și are o amplitudine relativ mică fiind invers proporțională cu  $x_n$ .

Această componentă apare ca o reflectare, prin intermediul rotorului, a componente aperiodeice din stator.

Se constată că  $i_{AK}$  are valoarea maximă la  $\theta_0 = 0$  și  $\tau = \pi$ :

$$i_{AK \max} = \frac{e_{0m}}{x_d''} (e^{-\pi/T_d''} + e^{-\pi/T_a''}) \cong 1,8 e_{0m}/x_d''. \quad (4.121, a)$$

În cazul scurtcircuitării mașinii sincrone la mersul în sarcină, curentul este mai mare decât în cazul scurtcircuitului la mers în gol. Se consideră că această creștere este de ordinul 10%, adică  $i_{AK \max} = 1,1 \cdot 1,8 U_{m0}/x_d''$ .

Curenții  $i_{BK}$  și  $i_{CK}$  se deduc din  $i_{AK}$  unde timpul sincron  $\tau$  devine  $\tau - \frac{2\pi}{3}$  și respectiv  $\tau - \frac{4\pi}{3}$ .

b) Curentul în circuitul de excitație  $\bar{i}_e$  se deduce pe baza ultimelor două ecuații din (4.89):

$$\bar{i}_e = i_{e0} \left\{ \frac{1}{s} - \frac{x_{md}^2 (x_D - x_{eD})}{x_d'' (x_e x_D - x_{eD}^2)} \cdot \frac{s + 1/T_D'}{s^2 + 1} \cdot \frac{1}{(s + 1/T_d') (s + 1/T_d'')} \right\} \quad (4.122)$$

unde  $T_D' = \mu_D T_D$  și s-a utilizat relația  $T_d' T_d'' = \frac{x_d''}{x_d} \sigma_{eD} T_e T_D$ ; de asemenea s-au utilizat relațiile (4.113), (4.114) și (4.115).

Originalul factorului  $(s + 1/T_D')/(s^2 + 1)$  este  $\cos \tau + \frac{\sin \tau}{T_D'}$ , iar originalul factorului  $1/\left(s + \frac{1}{T_d'}\right) (s + 1/T_d'')$  este

$$\frac{T_d' T_d''}{T_d' - T_d''} (e^{-\tau/T_d'} - e^{-\tau/T_d''}).$$

Primul termen din (4.122) este chiar curentul  $i_{e0}$ , iar originalul celui de-al doilea termen se determină cu teorema convoluției și rezultă:

$$i_e(\tau) = i_{e0} \left\{ 1 - \frac{x_{md}^2 (x_D - x_{eD}) \lambda}{x_d'' (x_e x_D - x_{eD}^2)} \left[ \left( \frac{1}{T_d''} - \frac{1}{T_d'} \right) e^{-\tau/T_d'} + \left( \frac{1}{T_d''} - \frac{1}{T_d'} \right) e^{-\tau/T_d''} + \left( \frac{1}{T_d''} - \frac{1}{T_d'} \right) \sin \tau + \cos \tau \right] \left( \frac{1}{T_d'} - \frac{1}{T_d''} \right) e^{-\tau/T_a} \right\};$$

$$\lambda = \frac{T_d' T_d''}{T_d'' - T_d'} \quad (4.123)$$

Curentul de excitație revine la valoarea inițială  $i_{e0}$  după amortizarea regimului tranzitoriu.

c) Curentul din circuitul longitudinal de amortizare rezultă tot din ecuațiile (4.89):

$$\bar{i}_D = - \frac{x_{md}^2 (x_e - x_{eD}) i_{e0}}{x_d'' (x_e x_D - x_{eD}^2)} \cdot \frac{s + 1/T_e'}{s^2 + 1} \cdot \frac{1}{(s + 1/T_d') \left( s + \frac{1}{T_d''} \right)};$$

$$T_e' = \mu_e T_e. \quad (4.124)$$

Procedînd ca și în cazul curentului de excitație, se obține originalul  $i_D(t)$ :

$$i_D(t) = - \frac{x_{md}^2 (x_e - x_{eD}) i_e(0) \cdot \lambda}{x_d'' (x_e x_D - x_{eD}^2)} \left[ (1/T_e' - 1/T_d') e^{-\tau/T_d'} + (1/T_d'' - 1/T_e') e^{-\tau/T_d''} + \left( \frac{\sin \tau}{T_e'} + \cos \tau \right) (1/T_d' - 1/T_d'') e^{-\tau/T_a} \right]. \quad (4.125)$$

La  $\tau = 0$  și  $\tau = \infty$  curentul  $i_D(t)$  este nul.

Abstracție făcînd de factorul  $1/T_e'$ , curentul  $i_D$  are o comportare similară cu componenta tranzitorie a curentului de excitație  $i_e$ , fapt explicabil prin aceea că înfășurările  $e$  și  $D$  sînt foarte strîns cuplate magnetic.

d) Curentul din circuitul transversal de amortizare rezultă direct din ecuațiile:

$$0 = r_Q \bar{i}_Q + s (\bar{\psi}_Q - \psi_{Q0}); \quad \bar{\psi}_Q = x_{tQ} \bar{i}_Q + x_{mQ} (i_Q + \bar{i}_Q);$$

$$\bar{i}_Q = \frac{-x_{md} i_{e0}}{(s^2 + 1) x_Q(s)}. \quad (4.126)$$

După efectuarea calculelor se obține:

$$\bar{i}_Q = \frac{x_{mQ} x_{md} i_{e0}}{x_Q x_q''} \cdot \frac{s}{s^2 + 1} \cdot \frac{1}{s + 1/T_q''} \quad (4.127)$$

iar originalul curentului  $i_Q$  se scrie sub forma:

$$i_Q(\tau) = \frac{x_{mQ} x_{md} i_e(0)}{x_Q x_q''} \left[ \left( \sin \tau + \frac{\cos \tau}{T_q''} \right) e^{-\tau/T_a} - \frac{1}{T_q''} e^{-\tau/T_q''} \right]. \quad (4.128)$$

Avînd curenții în cele 5 înfășurări, din relația (4.85) rezultă cuplul electromagnetic:

$$m(\tau) = x_{md} i_q (i_d + i_e + i_D) + x_{mq} i_q (i_Q - i_q). \quad (4.129)$$

În figura 4.54 sînt reprezentați în funcție de timp curenții  $i_d, i_q, i_A, i_B, i_C, i_e, i_D, i_Q$  precum și cuplul electromagnetic  $m$ . Se constată o scădere rapidă a curenților statorici odată cu scăderea curentului în circuitele de amortizare în primele momente de după apariția scurtcircuitului, după care urmează o scădere mai lentă, odată cu scăderea curentului de excitație.

#### 4.23.2. CALCULUL CURENTULUI DE SCURTCIRCUIT BRUSC TRIFAZAT PE BAZA CONSERVĂRII FLUXULUI MAGNETIC

Pe baza principiului conservării fluxului magnetic se pot calcula aproximativ curenții de scurtcircuit pentru anumite cazuri, cu un volum de calcule redus. Ecuația unui circuit imobil este de forma:  $u_b = Ri + \frac{d\varphi}{dt}$ ; dacă circuitul este supraconductor ( $R=0$ ) și are loc un scurtcircuit brusc ( $u_b=0$ ) la  $t=0$ , atunci  $\frac{d\varphi}{dt} = 0$  pentru  $t>0$ , adică  $\varphi = \text{const.}$ , de unde și denumirea de principiul conservării fluxului magnetic pentru circuite supraconductoare. În cazul mașinilor electrice există și circuite mobile și acest principiu are o altă formă. Se consideră că mașina sincronă funcționează în gol și tensiunea la borne  $u_{sR} = j\varphi_{s0} = jI_e x_{md}$ ; la  $\tau=0$  are loc scurtcircuitul ( $u_{sR}=0$ ) și în sistemul FR ecuația de tensiune statorică devine:

$$u_{sR} = 0 = \frac{d\varphi_{sR}}{d\tau} + j\varphi_{sR}. \quad (4.130)$$

Din această ecuație și  $\varphi_{sR} = \varphi_{s0}$  la  $\tau=0$  rezultă:  $\varphi_{sR} = \varphi_{s0} e^{-j\tau}$ . Deoarece la  $\tau=0$  fluxul magnetic care înlanțuie înfășurarea de excitație este  $\varphi_e = I_e x_e$  iar la  $\tau>0$  este  $\varphi_e = x_e i_e + i_{sR} x_{ad}$  rezultă  $I_e x_e = x_e i_e + i_{sR} x_{ad}$ . Fluxul magnetic  $\varphi_{sR} = \varphi_{s0} e^{-j\tau} = i_{sR} x_d + x_e x_{ad}$ , iar după efectuarea calculelor rezultă:

$$i_{sR} = -U_s (e^{-j\tau} - 1) / jx'_d. \quad (4.131)$$

În sistemul FS curentul  $i_s = i_{sR} e^{j\tau} = u_s (1 - e^{j\tau}) / jx'_d$ , iar curentul din faza AX este  $i_A = \text{Re}[i_s] = u_s (1 - \cos \tau) / x'_d$ . Curentul pornește de la valoarea inițială zero și dacă nu este amortizat (circuitul s-a considerat supraconductor), atunci valoarea maximă a curentului  $i_A$  este atinsă la  $\tau=\pi$ . Scurtcircuitul s-a presupus că apare în momentul  $\tau=0$ , cînd direcția  $d$  coincide cu axa magnetică a fazei statorice Ax.

În cazul în care se consideră și înfășurarea de amortizare fluxul magnetic statoric în FR este:

$$\varphi_{sR} = \varphi_{s0} e^{-j\tau} = I_e \cdot x_{ad} e^{-j\tau} = i_{sR} x_d + i_e x_{ad} + i_D x_{ad}. \quad (4.132)$$

În același timp fluxul magnetic care înlanțuie înfășurarea de excitație este  $\varphi_e = \varphi_{e0} = I_e x_e = i_{sR} x_{ad} + x_e i_e + i_D x_{ad}$  iar pentru înfășurarea de

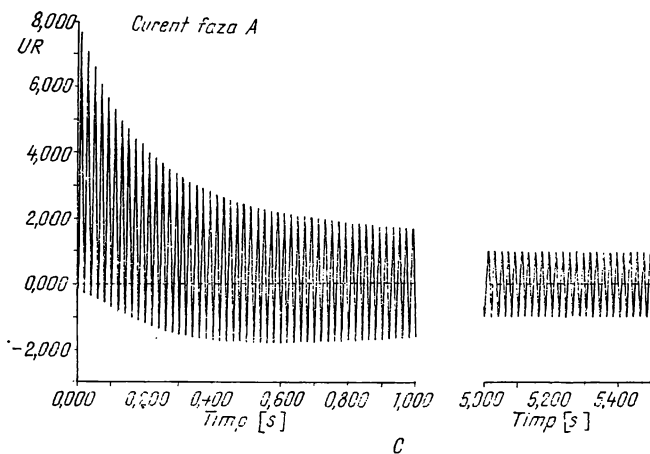
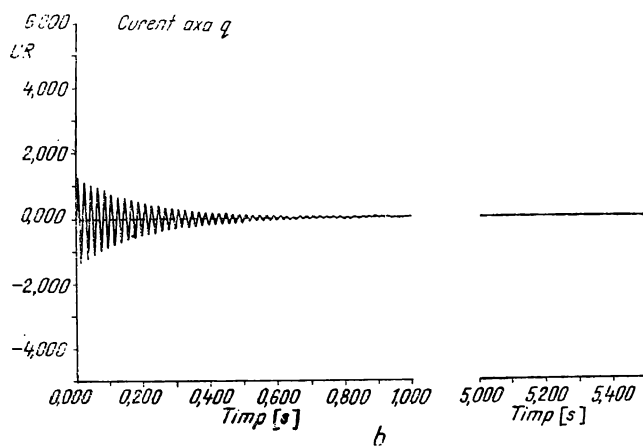
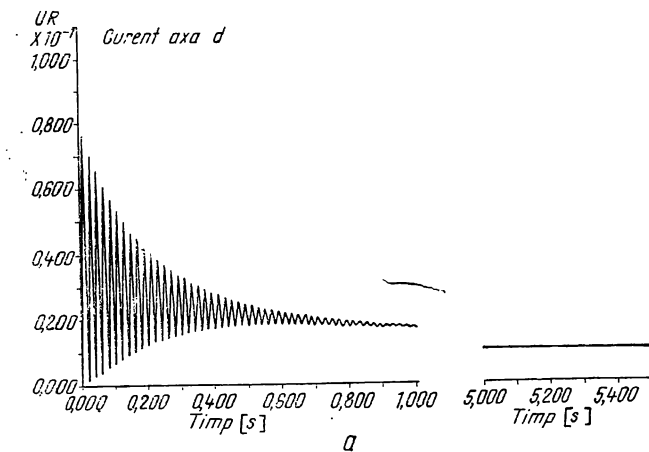


Fig. 4.54. Variația curentului  $i_d$  din circuitul d (a); variația curentului  $i_q$  din circuitul q (b); variația curentului  $i_A$  din faza A (c)

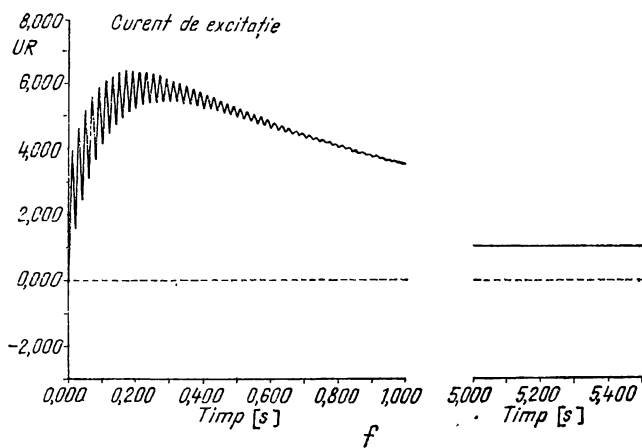
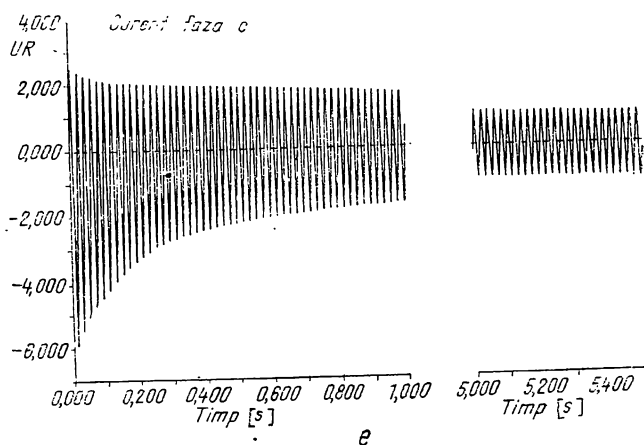
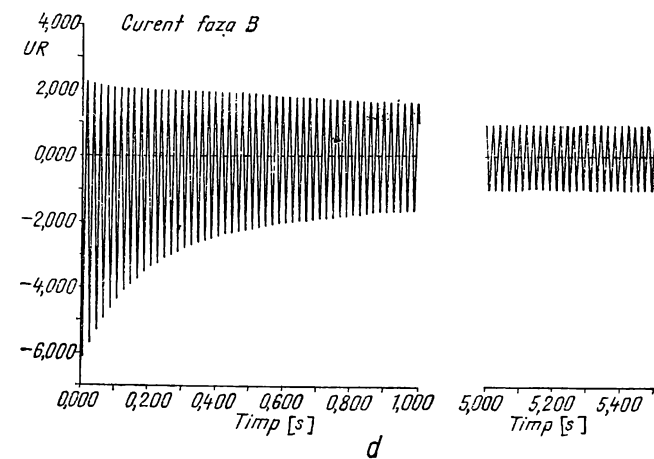
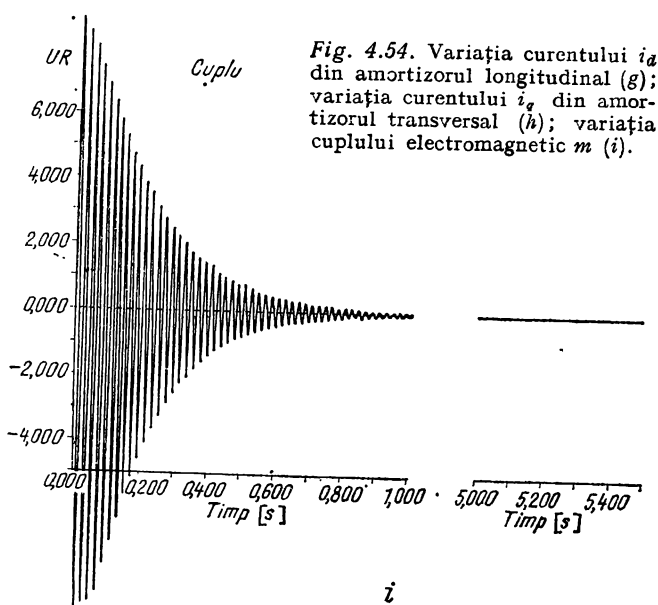
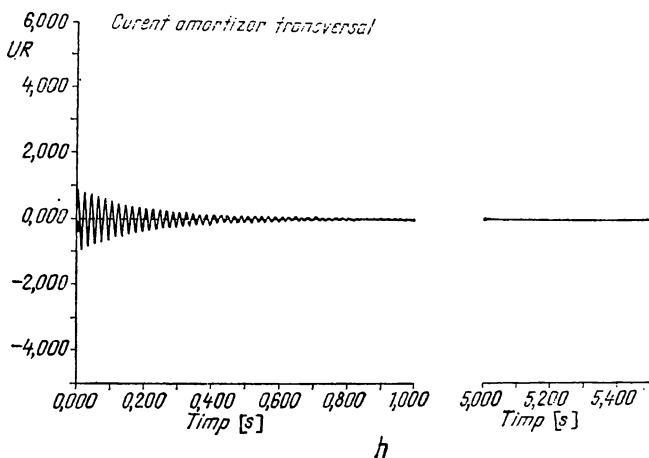
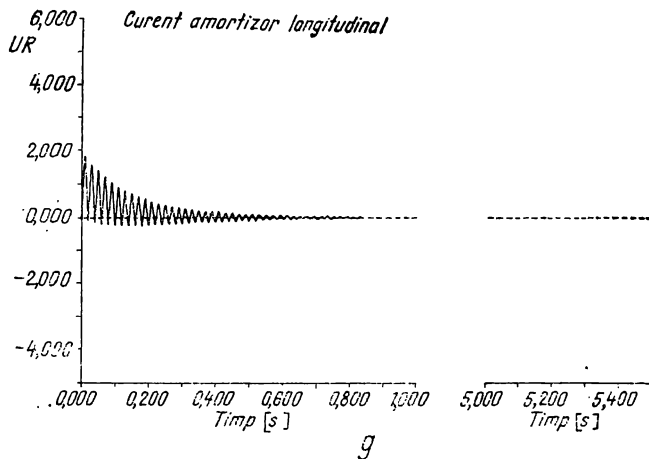


Fig. 4.54. Variația curentului  $i_B$  din faza B (d); variația curentului  $i_C$  din faza C (e); variația curentului de excitație  $i_e$  (c).



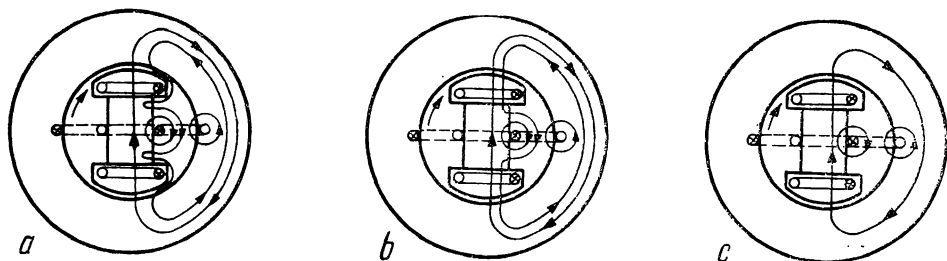


Fig. 4.55. Liniile cîmpului magnetic produs de curenții de scurtcircuit din indus în primele momente după producerea scurt circuitului:

*a* — cînd există curenți induși în înfășurarea de amortizare; *b* — cînd curenții din înfășurarea de amortizare au dispărut, dar există curenți induși în înfășurarea de excitație; *c* — cînd curenții induși de înfășurarea de excitație au dispărut.

amortizare  $\varphi_D = \varphi_{D0} = I_e x_{ad} = i_{sR} x_{ad} + i_e x_{ad} + i_D x_D$ . S-a făcut aproximația:  $x_{De} \approx x_{ad}$ . Din relațiile stabilite rezultă

$$i_{sR} = -\frac{u_s}{j} (1 - e^{-j\tau}) / x'_d. \quad (4.133)$$

Trecînd în sistemul FS se obține  $i_s = i_{sR} e^{-j\tau}$  și  $i_A = \frac{u_s}{x'_d} \cdot (1 - \cos \tau)$ .

Curentul atinge valoarea maximă în momentul  $\tau = \pi$ , dacă nu ar exista amortizare:  $i_{Ak \max} = 2U_s / x'_d = 2 e_{om} / x'_d$ ; comparînd cu relația (4.121, *a*) rezultă că în acest caz calculul conduce la o eroare de ordinul a 10%.

Aceste rezultate sînt valabile numai în primele momente ale scurtcircuitului, deoarece după aceea atît în circuitul statoric cît și în cel rotoric intervine efectul amortizării. Curenții din circuitul de excitație și din circuitele de amortizare scad cu atît mai repede cu cît constanta de timp a circuitului este mai mică. La toate construcțiile cunoscute, constanta de timp a circuitului de amortizare este mai mică decît constanta de timp a circuitului de excitație. De aceea dispar întîi curenții induși în înfășurarea de amortizare, iar apoi curenții induși în înfășurarea de excitație. În figura 4.55 se reprezintă liniile cîmpului magnetic produs de curenții din indus care evidențiază semnificația reactanței tranzitorii  $x'_d$  și a reactanței supratranzitorii  $x''_d$ . După dispariția curenților induși în înfășurarea de excitație se ajunge la scurtcircuitul permanent:  $i_{Ak} = u_s / x_d = E_0 / x_d (I_{K1} = E_0 / X_d)$ .

Pe baza relațiilor de mai sus se obține expresia cuplului electromagnetic sub forma:

$$m = e_{0m}^2 \left[ \frac{\sin \tau}{x'_d} - \frac{1}{2} \left( \frac{1}{x'_d} - \frac{1}{x''_d} \right) \sin 2\tau \right]; \quad (4.134)$$

pentru valorile uzuale ale parametrilor valoarea maximă a cuplului  $m_{\max} \approx 10$ .

### 4.23.3. SCURTCIRCUITUL BIFAZAT BRUSC AL MAȘINII SINCRONE

Calculul curenților la scurtcircuitul brusc bifazat se face pe baza sistemului de ecuații (4.112), avînd în vedere curenții din faze:  $i_A = 0$ ,  $i_B = i_C$  și tensiunile  $u_B = u_C$  (fig. 4.56). Curentul reprezentativ  $i_s = \frac{2}{3} (a - a^2) i_B =$



$= i_B j \frac{2}{\sqrt{3}}$  este perpendicular pe direcția axei magnetice a înfășurării fazei  $AX$ . Un calcul aproximativ, dar suficient de exact pentru primele momente, se poate face considerînd circuitele mașinii sincrone supraconductoare.

La generatoarele sincrone sînt mai frecvente scurtcircuitate între două faze, decît cele între trei faze. În general, scurtcircuitate asimetrice ale unui grup format din transformator și generator apar pe partea de înaltă tensiune a transformatorului. Deoarece la generator nu este scos punctul neutru, nu există nici tensiuni, nici curenți homopolari.

Valoarea inițială a momentului de scurtcircuit depinde de poziția rotorului față de axa înfășurării statorice, în momentul scurtcircuitării. La scurtcircuitul bifazat permanent pe lîngă cîmpul magnetic direct, există și cîmpul magnetic invers. Din această cauză, în expresiile componentelor periodice intervine și reactanța inversă  $X_2$ . Pentru calculul curentului de scurtcircuit permanent se utilizează metoda componentelor simetrice. Curenții de succesiune directă  $I_1$  și de succesiune inversă  $I_2$  sînt egali și de semn schimbat.

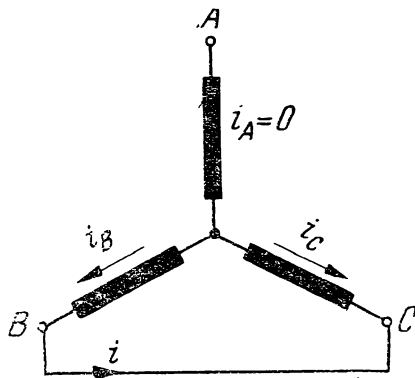


Fig. 4.56. Scurtcircuit bifazat.

$$\underline{I}_1 = \frac{1}{3} (\underline{I}_A + a\underline{I}_B + a^2\underline{I}_C) = j\underline{I}_B/\sqrt{3}; \quad \underline{I}_2 = \frac{1}{3} (\underline{I}_A + a^2\underline{I}_B + a\underline{I}_C) = -j\underline{I}_B/\sqrt{3}. \quad (4.135)$$

Similar se deduce că  $\underline{U}_1 = \underline{U}_2$ . Sistemul de t.e.m. este de succesiune directă (rotorul are viteză sincronă și fazele sînt simetrice, iar curentul de excitație constant). Ecuațiile de tensiuni pentru succesiunea directă și pentru succesiunea inversă sînt:

$$\underline{U}_1 = \underline{E}_0 - \underline{Z}_1 \underline{I}_1; \quad \underline{U}_2 = -\underline{Z}_2 \underline{I}_2 = \underline{Z}_2 \underline{I}_1. \quad (4.136)$$

Din aceste ecuații rezultă  $\underline{I}_1 = -\underline{I}_2 = \underline{E}_0/(\underline{Z}_1 + \underline{Z}_2)$ . Dacă se neglijează rezistențele din impedanța de succesiune directă  $\underline{Z}_1$  și impedanța de succesiune inversă  $\underline{Z}_2$  rezultă:

$$\underline{I}_B = -\underline{I}_C = \underline{I}_{k2} = \underline{I}_0 + a^2 \underline{I}_1 + a \underline{I}_2 \cong \frac{-j\sqrt{3} \underline{E}_0}{X_d + X_2}; \quad I_0 = 0; \quad X_1 = X_d. \quad (4.137)$$

Reactanța directă  $X_1$  coincide cu  $X_d$ , iar reactanța inversă  $X_2$  are o valoare mică de ordinul de mărime al reactanțelor de dispersie; curentul  $I_{k2} > I_{k1}$ .

În regimul tranzitoriu al scurtcircuitului bifazat, reactanțele se comportă la fel ca în cazul scurtcircuitului trifazat, adică la  $t = 0$  au o valoare mică ( $x'_d, x'_q$ ) și apoi cresc pînă la valorile stabilizate ( $x_d, x_q$ ). Reactanța inversă  $X_2$  are practic o valoare constantă pe toată durata scurtcircuitului.

Expresia curentului de scurtcircuit bifazat în regim tranzitoriu se calculează în același mod ca și curentul de scurtcircuit trifazat:

$$i_B = i_{k2} = \sqrt{3} e_{0m} \left\{ \left[ \frac{1}{x_d + x_2} + \left( \frac{1}{x'_d + x_2} - \frac{1}{x'_d + x_2} \right) e^{-\tau/T'_{d2}} + \right. \right. \\ \left. \left. + \left( \frac{1}{x'_q + x_2} - \frac{1}{x_d + x_2} \right) e^{-\tau/T'_{d2}} \right] \cos(\tau + \theta_0) + \left[ \frac{1}{2} \left( \frac{1}{x'_d + x_2} + \right. \right. \right. \\ \left. \left. \left. + \frac{1}{x'_q + x_2} \right) \cos \theta_0 + \frac{1}{2} \left( \frac{1}{x'_d + x_2} - \frac{1}{x'_q + x_2} \right) \cos(2\tau + \theta_0) \right] e^{-\tau/T_{a2}} \right\}$$

unde:

$$T'_{d2} = T'_{d0} \frac{x'_d + x_2}{x_d + x_2}; \quad T'_{d2} = T_{d0} \frac{x'_d + x_2}{x_d + x_2}; \quad T_{a2} = x_2/r. \quad (4.138)$$

Valoarea maximă a curentului se obține la  $\theta_0 = 0$  și  $\tau = \pi$ , din (4.138) rezultă:

$$i_{k2 \max} = \sqrt{3} e_{0m} \cdot 1,8 / (x'_d + x_2). \quad (4.139)$$

În cazul în care scurtcircuitul bifazat are loc la funcționarea în sarcină atunci curentul maxim de scurtcircuit are valoarea aproximativă  $1,1 i_{k2 \max}$ .

Dacă scurtcircuitul are loc la o anumită distanță pe linia de transmisie atunci la fiecare reactanță din relația (4.138) se adaugă reactanța liniei  $x_L$ .

Considerînd circuitele mașinii supraconductoare se obține pentru cuplul electromagnetic expresia:

$$m_{k2} = \frac{2 e_{0m}}{x'_d + x_2} (\sin \tau - 0,5 \sin 2\tau). \quad (4.140)$$

Această expresie este valabilă în primele momente ale scurtcircuitului. Pentru valori uzuale ale parametrilor  $x'_d$  și  $x_2$  cuplul maxim  $m_{k2 \max} > 10$ .

#### 4.23.4. SCURTCIRCUITUL MONOFAZAT BRUSC AL MAȘINII SINCRONE

Un raționament similar cu cel de la scurtcircuitul bifazat se poate face și pentru scurtcircuitul monofazat. În acest caz apare în plus componenta monofazată a curenților statorici și co-

respunzător impedența homopolară. Condițiile de scurtcircuit sînt:  $i_A = i_{k1}$ ,  $i_B = i_C = 0$  și  $U_A = 0$  (fig. 4.57). Curenții de succesiune directă  $I_1$ , de succesiune inversă  $I_2$  și de succesiune homopolară  $I_0$  satisfac relația:  $I_1 = I_2 = I_0 = I_A/3$ . Ecuațiile de tensiuni pentru fiecare succesiune sînt:

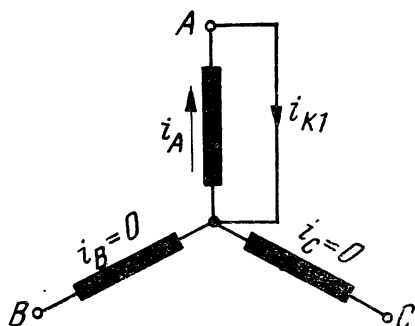


Fig. 4.57. Scurtcircuit monofazat.

$$\underline{U}_1 = \underline{E}_0 - \underline{I}_1 \underline{Z}_1; \quad \underline{U}_2 = -\underline{Z}_2 \underline{I}_2; \\ \underline{U}_0 = -\underline{Z}_0 \underline{I}_0. \quad (4.141)$$

Adunînd relațiile (4.141) se obține:

$$\underline{U}_1 + \underline{U}_2 + \underline{U}_0 = \underline{U}_A = 0 = \underline{E}_0 - \frac{1}{3} \underline{I}_A (\underline{Z}_1 + \underline{Z}_2 + \underline{Z}_0). \quad (4.142)$$

Din relația 4.142 rezultă curentul de scurtcircuit

$$I_A = I_{k1} = 3E_0/(\underline{Z}_1 + \underline{Z}_2 + \underline{Z}_0) = 3E_0/(X_d + X_2 + X_0) \quad (4.143)$$

deoarece rezistențele sînt mult mai mici decît reactanțele.

În regim tranzitoriu, curentul de scurtcircuit are expresia:

$$\begin{aligned} i_{k1} = i_A = & -3e_{0m} \left[ \frac{1}{x_d' + x_2 + x_0} + \left( \frac{1}{x_d'' + x_2 + x_0} - \frac{1}{x_d' + x_2 + x_0} \right) \cdot \right. \\ & \cdot e^{-\tau/T_{d1}'} + \left. \left( \frac{1}{x_d' + x_2 + x_0} - \frac{1}{x_d + x_2 + x_0} \right) e^{-\tau/T_{d1}'} \right] \cos(\tau + \theta_0) + \\ & + 3e_{m0} \left[ 0,5 \left( \frac{1}{x_d'' + x_2 + x_0} - \frac{1}{x_q + x_2 + x_0} \right) \cos(2\tau + \theta_0) + \frac{1}{2} \cdot \right. \\ & \cdot \left. \left( \frac{1}{x_d'' + x_2 + x_0} + \frac{1}{x_q'' + x_2 + x_0} \right) \cdot \cos \theta_0 \cdot e^{-\tau/T_{a1}'} \right] \end{aligned} \quad (4.144)$$

unde:

$$T_{d1}' = T_{d0} \frac{x_d' + x_2 + x_0}{x_d + x_2 + x_0}; \quad T_{d1}'' = T_{d0}'' \frac{x_d'' + x_2 + x_0}{x_d' + x_2 + x_0}$$

$$T_{a1}' = (x_d' + x_2 + x_0)/3r; \quad x_d' = 2x_d' x_q/(x_d' + x_q'').$$

Curentul maxim se obține la  $\theta_0 = 0$  și  $\tau = \pi$

$$i_{k1max} = 1,8 \cdot 3e_{0m}/(x_d'' + x_2 + x_0). \quad (4.145)$$

Pentru scurtcircuitul monofazat la funcționarea în sarcină curentul maxim are valoarea aproximativă  $1,1 i_{k1max}$ .

În Europa, nului generatorului nu se utilizează decît pentru protecția generatorului; de aceea, scurtcircuitul unei faze, practic nu are loc.

Făcînd o comparație a curenților de scurtcircuit în regim stabilizat se constată că valoarea cea mai mare o are curentul de scurtcircuit monofazat. Se poate scrie:

$$i_{k3} : i_{k2} : i_{k1} = 1 : \frac{\sqrt{3}}{1 + \frac{x_2}{x_d}} : \frac{3}{1 + \frac{x_2 + x_0}{x_d}}. \quad (4.146)$$

#### 4.23.5. PENDULAȚIILE MAȘINII SINCRONE

a) *Pendulațiile mecanice ale mașinii sincrone și implicațiile lor asupra caracteristicilor electrice.* Generatoarele mari de putere sînt întotdeauna prevăzute cu două sisteme de reglaj, unul pentru adaptarea cuplului de antrenare, care acționează asupra vanelor de admisie ale motorului primar, și celălalt pentru adaptarea curentului de excitație, care acționează asupra

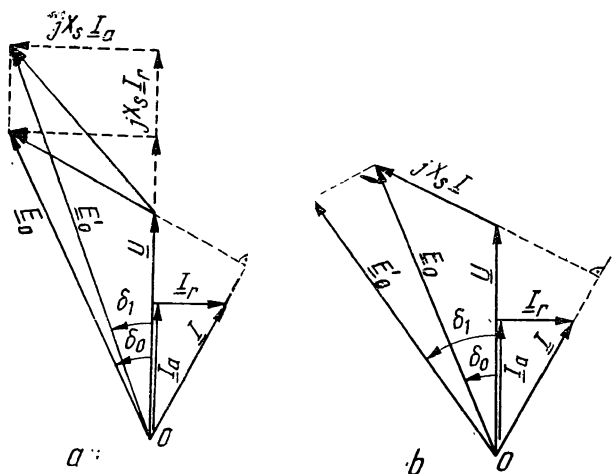


Fig. 4.58. Diagrame fazoriale:  
a)  $\delta_1 < \delta_0$ ; b)  $\delta_1 > \delta_0$ .

excitației mașinii excitatoare. În consecință, unghiul intern  $\delta_0$  la care funcționează un generator sincron este condiționat de cele două organe de reglaj, care impun puterea mecanică la arbore și tensiunea electromotoare  $E$  în schema echivalentă a mașinii.

Presupunem că la un moment dat se mărește brusc curentul de excitație, puterea activă debitată rămânând constantă. Dacă generatorul debitează pe o rețea de putere foarte mare, atunci tensiunea  $U$  este constantă și, după cum se vede din figura 4.58, *a* unghiul intern scade la valoarea  $\delta_1$ . Aceasta înseamnă că turația instantanee a rotorului scade pentru moment, axa polilor rotorici tinzând să facă unghiul  $\delta_1 < \delta_0$  față de axa polilor câmpului învîrtitor rezultat. Dar, din cauza inerției maselor în rotație, atingerea noului unghi  $\delta_1$  staționar se face printr-un proces tranzitoriu de pendulare în jurul lui  $\delta_1$ .

Dacă dimpotrivă, curentul de excitație se păstrează constant, dar se modifică brusc cuplul aplicat la arborele generatorului, puterea activă dată de produsul  $I \cos \varphi$  crește și deoarece  $U$  și  $E$  rămîn constante rezultă o creștere a unghiului intern de la  $\delta_0$  la  $\delta_1$  (fig. 4.58, *b*). Trecerea de la  $\delta_0$  la  $\delta_1$  se face prin accelerarea rotorului iar stabilizarea la  $\delta_1$  se face tot printr-un proces de pendulare.

Pendulările descrise, care sînt caracterizate numai de elementele interne ale mașinii se numesc pendulări libere. În amortizarea acestor pendulări un rol esențial revine sistemului de bare de amortizare din rotor. Atunci cînd cuplul de antrenare al generatoarelor este neuniform (motoare cu piston) sau cînd cuplul de sarcină al motoarelor sincronice este neuniform (compresare cu piston), apar în mișcarea rotorului pendulații forțate care au loc cu frecvența de perturbație (frecvența cu care oscilează cuplul motor sau cuplul de sarcină).

b) *Ecuția de mișcare a rotorului mașinii sincrone în sistemul FS este:*

$$J \frac{d^2 \Omega}{dt^2} = J \frac{d^2 \alpha}{dt^2} = \frac{J}{p} \frac{d^2 \theta}{dt^2} = M_1 - M_m - M_a - M; M < 0 \quad (4.147)$$

unde  $M_m$  este cuplul corespunzător pierderilor mecanice, iar  $M_a$  cuplul asincron produs de sistemul de amortizare. În sistemul de referință sincron S ecuația de mișcare a rotorului se prezintă sub forma:

$$\frac{J}{p} \frac{d^2 \delta}{dt^2} = M_1 - M_m - M_a - M; \quad M = \frac{3}{\Omega_1} \left[ \frac{E_0 U}{X_a} \sin \delta + \left( \frac{1}{X_q} - \frac{1}{X_d} \right) \frac{U^2}{2} \sin 2\delta \right]. \quad (4.148)$$

Sistemul de referință sincron S este ales astfel încît este decalat cu unghiul electric  $\delta$  față de sistemul FR (fig. 4.59), deci  $\theta = \theta_k + \delta$  și  $\frac{d\theta}{dt} = p\Omega = p\Omega_1 + \frac{d\delta}{dt}$  unde  $\theta = p\alpha$  și  $p\alpha_k = \theta_k$  ( $\alpha_k$  și  $\alpha$  sînt unghiuri geometrice).

Cuplul  $M_1$  aplicat la axul mașinii poate avea o componentă medie  $M_{10}$  și o componentă variabilă în timp  $M_1(t)$  deci  $M_1 = M_{10} + M_1(t)$ . Cuplul  $M_m$  depinde de teza  $\Omega$ ; reținînd primii doi termeni din dezvoltarea în serie Taylor în vecinătatea vitezei de sincronism  $\Omega_1$ , se obține  $M_m = M_m(\Omega_1) + \frac{dM_m}{d\Omega} (\Omega - \Omega_1) = M_m(\Omega_1) + \frac{1}{p} \frac{dM_m}{d\Omega} \left( \frac{d\delta}{dt} \right)$ . Cuplul asincron  $M_a$  depinde de alunecare și deci de viteza  $\Omega$  a rotorului:  $M_a = M_a(\Omega_1) + \frac{dM_a}{d\Omega} \cdot \frac{1}{p} \cdot \frac{d\delta}{dt}$  dar  $M_a(\Omega_1) = 0$ . Cuplul electromagnetic  $M$  depinde de unghiul intern  $\delta$ :  $M = M(\delta_0) + M_s(\delta - \delta_0)$ . La trecerea de la sistemul de referință FS la sistemul sincron S, cuplurile nu se modifică deoarece axa față de care se consideră aceste cupluri rămîne aceeași. Sistemele FS și S sînt considerate sisteme inerțiale. În cazul în care, în regim staționar  $M_{10} = M(\delta_0) + M_m(\Omega_1)$ , ecuația cuplurilor devine:

$$\frac{J}{p} \cdot \frac{d^2 \beta}{dt^2} + \left[ k_a \frac{d\beta}{dt} + K_s \beta \right] = M_1(t); \quad k_a = \frac{1}{p} \left( \frac{dM_m}{d\Omega} + \frac{dM_a}{d\Omega} \right) \Big|_{\Omega_1};$$

$$K_s = M_s; \quad \beta = \delta - \delta_0. \quad (4.149)$$

Ecuația mișcării rotorului este o ecuație diferențială lineară, neomogenă de ordinul al doilea. Soluția este dependentă de caracteristicile constructive ale rotorului și de forma curbei cuplului aplicat din exterior la axul mașinii. Factorul  $k_a$  se calculează pentru  $\Omega = \Omega_1$ , iar cuplul sincronizant  $M_s$  pentru  $\delta = \delta_0$ .

c) *Stabilitatea dinamică a mașinii sincrone* este proprietatea de a rămîne în funcționare normală la variații bruște de sarcină datorită unor perturbații. Perturbațiile unei rețele, la care sînt conectate mai multe generatoare, constau într-o modificare (în general întîmplătoare) a parametrilor acestei rețele care conduce la un dezechilibru între subsistemul producător de energie și subsistemul

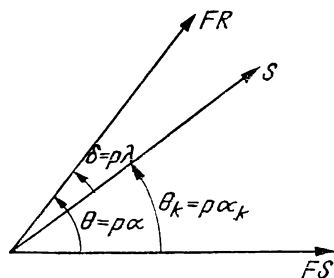


Fig. 4.59. Sistemele de referință

consumator de energie, ca de exemplu: modificarea bruscă a consumului de energie, apariția unor defecte (scurtcircuite monofazate sau polifazate urmate în general de deconectarea liniei la intervenția dispozitivelor de protecție), deconectarea accidentală a unei mașini sincrone sau a unui transformator, efectuarea interconexiunii etc. Studiul stabilității dinamice comportă două faze distincte: *A* — studiul evoluției sistemului de la momentul  $t_0$  când sistemul suferă o perturbare, pînă la momentul  $t_e$  când perturbarea dispăre, această fază se poate divide în mai multe etape, de exemplu scurtcircuit brusc la momentul  $t_0$ , urmat de deconectarea liniei la  $t_1 > t_0$  și reanclanșarea liniei la momentul  $t_e$ ; *B* — studiul evoluției sistemului pentru  $t > t_e$ . Mașina sincronă funcționează stabil dacă viteza relativă în raport cu sistemul de referință sincron rămîne constantă sau oscilează între anumite limite în jurul unei valori date; în caz contrar funcționarea este instabilă.

Pentru un sistem stabil timpul  $t_e < t_c$  — timpul critic care reprezintă timpul maxim de existență a perturbației care permite încă revenirea sistemului la o stare stabilă. Există mai multe metode de apreciere a stabilității dinamice.

$c_1$ ) *Criteriul ariilor* se deduce pe baza teoremei energiei cinetice scrisă în sistemul de referință sincron (această teoremă este o consecință a ecuației mișcării).

$$d\left(\frac{1}{2} J \Omega_r^2\right) = d\left[\frac{1}{2\dot{p}}\left(\frac{d\delta}{dt}\right)^2\right] = (M_1 - M_m - M_a - M)d\lambda = \frac{1}{\dot{p}} \cdot (M_1 - M_m - M_a - M) \cdot d\delta; \quad \Omega_r = \frac{d\lambda}{dt}. \quad (4.150)$$

În sistemul de referință FS teorema energiei cinetice are forma:

$$\begin{aligned} d\left(\frac{1}{2} J \Omega^2\right) &= d\left[\frac{1}{2} J (\Omega_1 + \Omega_r)^2\right] = J \Omega_1 d\Omega_r + d\left(\frac{1}{2} J \Omega_r^2\right) = \\ &= (M_1 - M_m - M_a - M) d\alpha_k = (M_1 - M_m - M_a - M) d\alpha + \\ &\quad + (M_1 - M_m - M_a - M) d\lambda. \end{aligned} \quad (4.151)$$

Se constată că variația energiei cinetice are două componente: o componentă  $J \Omega_1 d\Omega_r$  echivalentă cu lucrul mecanic efectuat de sistem datorită variației unghiului  $\alpha$  și o componentă  $d\left(\frac{1}{2} J \Omega_r^2\right)$  echivalentă cu lucrul mecanic efectuat de sistem datorită variației unghiului  $\lambda$  și reprezintă variația energiei mecanice în sistemul de referință, *S*, așa cum rezultă din relația (4.150).

Relația (4.150) se pretează la o interpretare energetică care conduce la criteriul ariilor.

Fie, de exemplu, cazul unui generator sincron care debitează putere pe o rețea de putere infinită ( $U_r = \text{const.}$ ,  $f = \text{const.}$ ); tensiunea de alimentare a înfășurării de excitație se presupune constantă. Generatorul funcționează în sarcină la unghiul intern  $\delta_A$  și cuplul electromagnetic  $M(\delta_A)$ . Se modifică brusc cuplul de antrenare  $\bar{M}_1$  la axul generatorului datorită modificării puterii debitate de generator. Trecerea rotorului de la unghiul  $\delta_A$  la  $\delta_B$  la care se realizează echilibrul cuplurilor are loc în timp cu o constantă

de timp caracteristică proceselor electromecanice. În cazul în care  $M_1$  crește atunci  $M_1 - M_m - M_a - M > 0$  pentru  $\delta \in (\delta_A, \delta_B)$  și rotorul accelerează, iar  $\delta$  crește. În punctul  $\delta = \delta_B$  are loc echilibrul cuplurilor, iar viteza  $\Omega_r$  este maximă.

Datorită energiei cinetice suplimentare acumulată de rotor în procesul accelerării, rotorul nu se va stabili în punctul  $B$ , ci va continua mișcarea pînă în punctul  $C$  corespunzător unghiului intern  $\delta_C$ ; pentru  $\delta \in (\delta_B, \delta_C)$  rotorul este frînat deoarece  $M_1 - M_m - M_a - M < 0$ , mișcarea rotorului are loc pe seama energiei acumulate în procesul de accelerare și durează pînă cînd este cheltuită această energie, rotorul revenind la viteza de sincronism ca și în punctul  $A$ .

Întregind ecuația (4.150) între limitele  $\delta_A$  și  $\delta_C$  se obține:

$$\frac{1}{2p} J \left( \frac{d\delta}{dt} \right)^2 \Big|_{\delta_A}^{\delta_C} = 0 = \int_{\delta_A}^{\delta_C} (M_1 - M_m - M_a - M) d\delta \quad (4.152)$$

deoarece  $\left( \frac{d\delta}{dt} \right)_{\delta_A} = \left( \frac{d\delta}{dt} \right)_{\delta_C} = 0$ . Integrala referitoare la cupluri se poate pune sub forma:

$$\int_{\delta_A}^{\delta_B} (M_1 - M_m - M_a - M) d\delta = - \int_{\delta_B}^{\delta_C} (M_1 - M_m - M_a - M) d\delta. \quad (4.153)$$

Această relație exprimă egalitatea suprafețelor  $AB'D$  și  $B'CE$  din figura 4.60 unde s-au reprezentat cuplurile  $M_1 - M_a - M_m$  și cuplul electromagnet  $M$  funcție de  $\delta$ ; cuplurile  $M_m$  și  $M_a$  nu depind de  $\delta$  însă depind de viteza  $\Omega_1 + \Omega_r$ , respectiv de  $\Omega_r = \frac{1}{p} \frac{d\delta}{dt}$  ( $\Omega_1 = \text{const.}$ ),  $\Omega_r \neq 0$  pentru  $\delta \in (\delta_A, \delta_C)$ , aceste cupluri cresc cu creșterea vitezei  $\Omega_r$ .

Dacă egalitatea ariilor  $AB'D$  și  $B'CE$  este posibilă, mașina nu iese din sincronism. Din punctul  $C$  viteza rotorului începe să scadă pînă în punctul  $B$  unde atinge valoarea minimă; după un număr de oscilații mașina funcționează stabil în punctul  $B$ ; odată cu micșorarea valorilor maxime a lui  $\Omega_r$  punctul  $B'$  tinde către  $B$ . De obicei curba  $DB'E$  se aproximează cu segmentul  $DBE$ .

Criteriul ariilor constă în a calcula ariile separate de punctul  $B$  cuprinse între curba care reprezintă suma cuplurilor active și curba care reprezintă suma cuplurilor rezistente la care se adaugă verticalele din  $A$  și  $C$  și a compara aceste arii. Criteriul ariilor este valabil independent de forma de variație a cuplurilor, pentru simplitate curbele cuplurilor s-au trasat pe baza datelor din regimul permanent; cuplul  $M_1$  s-a considerat constant. Pentru exemplificare se va considera un caz simplificat care poate să apară în cazul unor scurtcircuite (fig. 4.61). Generatorul  $G$  debitează putere în rețea prin intermediul transformatorului  $T$  și a liniilor  $L_1$  și  $L_2$ , (punctul  $A$

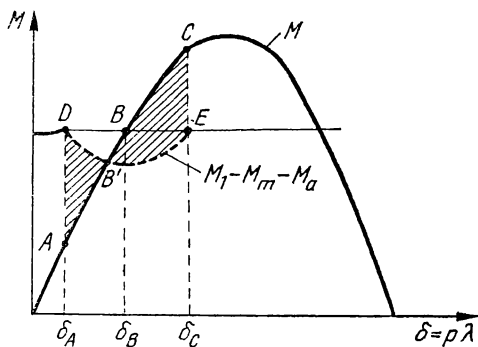
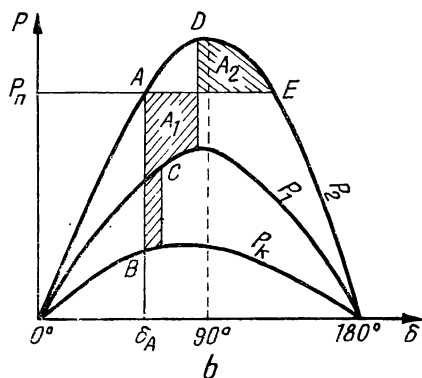
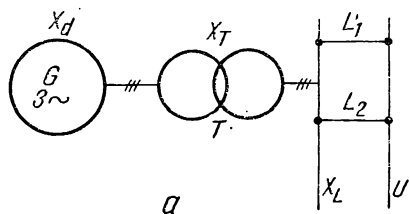


Fig. 4.60. Referitoare la stabilitatea mașinii sincrone (curba întreruptă reprezintă variația mărimii  $M_1 - M_m - M_a$  funcție de  $\delta$  în prima semiperioadă).

Fig. 4.61. Aplicarea criteriului ariilor la scurtcircuit pe linie:

a — schema electrică monofilară; b — determinarea ariilor pe caracteristica unghiulară.



pe caracteristică). La un moment dat are loc un scurtcircuit pe linia  $L_1$  și punctul de funcționare trece în  $B$  pe caracteristica generatorului corespunzătoare scurtcircuitului ( $P_k$ ), după un anumit interval de timp protecția deconectează linia scurtcircuitată și generatorul funcționează pe caracteristica unghiulară corespunzătoare reactanței de linie  $X_{L1}$  (punctul  $C$ ) după alt interval de timp linia  $L_1$  este reanclanșată și punctul de funcționare al generatorului trece pe caracteristica normală în  $D$ . Tensiunea rețelei  $U_r$  se consideră că nu variază, iar cuplul electromagnetic se poate pune sub forma:

$$M = \frac{m}{\Omega_1} \cdot \frac{U_r E_0}{X_d + X_T + X_L} \sin \delta; \quad X_L = \frac{X_{L1} \cdot X_{L2}}{X_{L1} + X_{L2}}. \quad (4.154)$$

La deconectarea liniei  $L_1$  reactanța  $X_{L1} = \infty$  și  $X_L = X_{L2} > \frac{X_{L1} X_{L2}}{X_{L1} + X_{L2}}$ .

Relația 4.154 este cunoscută din regimul permanent, pentru regimul tranzitoriu puterea electromagnetică maximă  $P'_{max} = m U_r E'_0 / (X'_d + X_T + X_L)$  unde  $E'_0$  și  $X'_d$  sînt mărimile din regimul tranzitoriu, evident aceasta este o relație aproximativă.

Generatorul rămîne în sincronism dacă  $A_1 \leq A_2$ .

Criteriul ariilor permite aprecierea stabilității mașinii sincrone fără a rezolva ecuația diferențială (4.149), însă presupune că variația cuplurilor funcție de  $\delta$  și de  $\frac{d\delta}{dt}$  este cunoscută.

c<sub>2</sub>) Dacă la axul generatorului sincron acționează un cuplu constant atunci  $M_1(t) = 0$  și ecuația diferențială (4.149) devine o ecuație omogenă:

$$\frac{J}{p} \frac{d^2 \beta}{dt^2} + k_a \frac{d\beta}{dt} + K_s \beta = 0. \quad (4.155)$$

Pentru ca mișcarea perturbată a rotorului să fie stabilă trebuie ca rădăcinile ecuației caracteristice corespunzătoare ecuației 4.155 să aibă partea reală negativă sau nulă.

Pentru aceasta trebuie să fie îndeplinite condițiile  $k_a \geq 0$  și  $K_s \geq 0$ . Se constată că este inclusă și condiția de stabilitate statică ( $K_s = M_s \geq 0$ ). Dacă  $K_s = 0$  și  $k_a > 0$  atunci soluția ecuației (4.155) este stabilă, dacă  $k_a = 0$  și  $K_s > 0$  atunci soluția este oscilantă. Pentru  $k_a = K_s = 0$  soluția



este  $\beta = A_1 t + B_1$  adică o soluție nestabilă, rezultă că factorii  $k_a$  și  $K_s$  nu trebuie să fie simultan nuli pentru ca funcționarea mașinii sincrone să fie stabilă. Condiția  $k_a > 0$  poate fi explicată simplu în cazul în care  $M_a = 0$ , pentru aceasta se consideră graficul cuplurilor  $M_1$  și  $M_m$  funcție de viteza unghiulară  $\Omega$  (fig. 4.62).

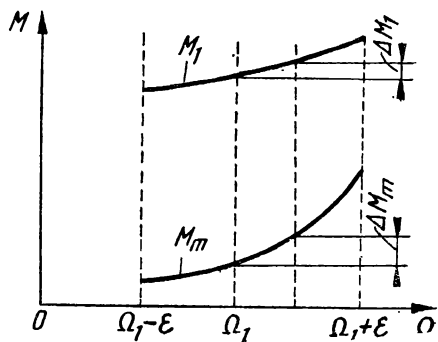


Fig. 4.62. Curbele cuplurilor  $M_1$  și  $M_m$  funcție de  $\Omega$ .

Dacă o perturbare conduce la o tendință de creștere a vitezei rotorului în vecinătatea vitezei de sincronism ( $\Omega_1 - \varepsilon$ ,  $\Omega_1 + \varepsilon$ ) atunci  $\Delta M_1 > \Delta M$  și asupra rotorului acționează cuplul suplimentar  $\Delta M_1 - \Delta M > 0$  care produce o nouă accelerare a rotorului și mașina poate să iasă din sincronism. Dacă  $\Delta M_1 < \Delta M_m$ , atunci cuplul suplimentar  $\Delta M_1 - \Delta M < 0$  ar conduce la frînarea rotorului și s-ar reveni la viteza inițială. Raționamentul este similar pentru o perturbare care ar conduce la scăderea vitezei. Dacă  $\Delta M_1 = \Delta M_m$  (cele două curbe sînt paralele pentru intervalul de variație a turației) soluția este oscilantă pentru  $K_s > 0$ . Astfel cupluri care ar putea fi neglijate datorită valorilor mici în comparație cu alte cupluri, pot avea un rol important în stabilitatea dinamică a mașinii sincrone.

Aceleași rezultate se pot obține cu ajutorul teoriei lui Liapunov aplicată ecuației (4.155). Teorema stabilității a lui Liapunov arată că dacă pentru un sistem de  $n$  ecuații diferențiale de ordinul I se poate construi o funcție  $V$  de semn definit astfel încît derivata sa  $\frac{dV}{dt}$  să fie de semn definit

și opus în raport cu  $V$ , atunci sistemul de ecuații diferențiale are soluții asimptotic stabile într-o vecinătate suficient de mică a originii. După cum este cunoscut o ecuație diferențială de ordinul  $n$  este echivalentă cu un sistem de  $n$  ecuații diferențiale de ordinul 1, adică ecuația diferențială (4.155) se poate scrie sub forma:

$$\dot{x}_1 = x_2; \frac{J}{p} \dot{x}_2 + k_a x_2 + K_s x_1 = 0; \beta = x_1. \quad (4.156)$$

Funcția  $V$  pozitiv definită construită pentru sistemul (4.156) poate fi pusă sub forma:

$$V(x_1, x_2) = A x_1^2 + B x_2^2; A > 0; B > 0. \quad (4.157)$$

Derivata  $\frac{dV}{dt}$  este

$$\frac{dV}{dt} = 2 A x_1 \dot{x}_1 + 2 B x_2 \dot{x}_2 = 2 x_1 x_2 (A - p K_s / J) - 2 B \frac{k_a}{J} x_2^2 \quad (4.158)$$

unde s-a folosit (4.156). Pentru stabilitate  $\frac{dV}{dt}$  trebuie să fie negativ definită, pentru aceasta rezultă:  $k_a > 0$ ;

$$K_s = A \frac{J}{p}, \text{ dar } A \text{ este arbitrar, deci } K_s > 0.$$

De remarcat că dacă s-ar lua  $V(x_1, x_2) = x_1^2 + x_2^2$ , atunci pentru stabilitate rezultă  $K_s = \frac{J}{p}$ , ceea ce ar însemna că stabilitatea ar avea loc numai pentru o singură valoare a mărimii  $K_s$ ; pentru a nu conduce la condiții exagerat de restrictive în ce privește stabilitatea, funcția  $V$  se construiește într-o formă mai generală, de exemplu prin generalizarea normei euclidiene. Acest fapt nu este surprinzător deoarece teorema lui Liapunov dă condițiile suficiente de stabilitate și nu pe cele necesare.

Problema majoră în aplicarea metodei Liapunov este construirea funcției  $V$ ; pentru aceasta există puține reguli și cercetarea curentă mărește posibilitățile de construcție ale funcției  $V$ . Această metodă permite studiul stabilității fără a rezolva sistemul de ecuații diferențiale.

d) *Pendulațiile libere.* În practică, s-a observat adesea că, în cazul unei mașini sincrone cuplate la o rețea de tensiune constantă, rotorul poate fi supus unor pendulații întreținute chiar în cazul în care cuplul aplicat la ax este constant și deci  $M_1(t) = 0$ . Aceste fenomene sînt cunoscute sub denumirea de *pendulații libere*. Ecuația 4.149 devine o ecuație omogenă. Rădăcinile ecuației caracteristice sînt:

$$r_{1,2} = -p \frac{k_a}{2J} \pm \sqrt{\frac{k_a^2 - 4 K_s J / p}{(2 J / p)^2}} = -\alpha_p \pm j \omega_p; \quad (4.159)$$

$$\alpha_p = \frac{p k_a}{2J}; \quad \omega_p = \sqrt{\frac{p K_s}{J} - \left(\frac{p k_a}{2J}\right)^2}$$

$\alpha_p$  este denumită constanta de atenuare, iar  $\omega_p$  — pulsația unghiului intern. Soluția ecuației (4.159) pentru  $M(t) = 0$  este:

$$\beta = \beta_1 e^{-\alpha_p t} \sin(\omega_p t - \varphi_p) \quad (4.160)$$

unde  $\beta_1$  și  $\varphi_p$  sînt două constante de integrare, care se determină din condițiile inițiale ale problemei. La mașina echipată cu înfășurare de amortizare în rotor  $k_a \neq 0$ , unghiul intern prezintă oscilații amortizate cu constanta de timp  $1/\alpha_p$  (fig. 4.63). La mașina fără înfășurare de amortizare  $k_a = 0$ , iar pulsația proprie este  $\omega_0 = \sqrt{\frac{p K_s}{J}}$ , unghiul intern prezintă oscilații întreținute cu pulsația  $\omega_0$ . Pentru a evita apariția unor fenomene de rezonanță mecanică este necesar ca momentul de inerție  $J$  al corpurilor în mișcare să fie dimensionat astfel încît frecvența oscilațiilor unghiului intern  $\delta$  să fie diferită de frecvența pulsațiilor proprii ale construcției mecanice.

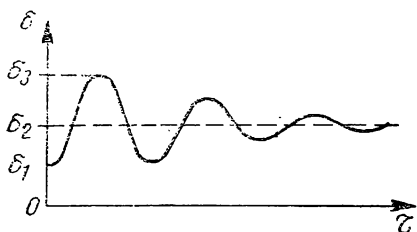


Fig. 4.63. Variația în timp a unghiului intern în cazul unor perturbații fără pierderea stabilității dinamice.

e) *Pendulații forțate.* Adesea, curba cuplului aplicat din exterior la axul mașinii sincrone prezintă pulsații. Astfel compresoarele cu piston, motoarele termice cu piston, și în general sistemele de transmisie prin bielă

manivelă au un cuplu  $M_1$  pulsatoriu. Fie  $M_1 = M_{10} + \Sigma M_v \cdot \cos(\omega_v t + \varphi_v)$  adică  $M(t) = \Sigma M_v \cdot \cos(\omega_v t + \varphi_v)$ . Soluția ecuației 4.149 în acest caz se prezintă sub forma:

$$\beta_v = A_v \sin \omega_v t + B_v \cos \omega_v t = \beta_{vm} \sin(\omega_v t + \varphi'_v) \quad (4.161)$$

unde  $\beta_{vm} = \sqrt{A_v^2 + B_v^2}$  și  $\varphi'_v = \arctg \frac{B_v}{A_v}$ . Constantele de integrare  $A_v$  și  $B_v$  se determină din condiția ca soluția (4.161) să verifice ecuația diferențială (4.149); rezultă sistemul:

$$\left(-\frac{J}{p} \omega_v^2 + K_s\right) A_v - k_a \omega_v \cdot B_v = -M_v \sin \varphi'_v \quad (4.162)$$

$$k_a \omega_v \cdot A_v + \left(K_s - \frac{J}{p} \omega_v^2\right) \cdot B_v = M_v \cdot \cos \varphi'_v.$$

Din acest sistem rezultă  $A_v$  și  $B_v$ , respectiv

$$\begin{aligned} \beta_{vm} &= M_v / \sqrt{\left(K_s - \frac{J}{p} \omega_v^2\right)^2 + k_a^2 \omega_v^2} = \\ &= p M_v / J \sqrt{(\omega_0^2 - \omega_v^2)^2 + k_a^2 \omega_v^2 \left(\frac{p}{J}\right)^2} \end{aligned} \quad (4.163)$$

La mașina sincronă conectată pe o rețea proprie cuplul de amortizare și cuplul sincronizat specific sînt nule ( $k_a = K_s = 0$ ) iar amplitudinea oscilațiilor este  $\beta_{vm0} = \frac{p M_v}{\omega_v^2 \cdot J}$ . Oscilațiile unghiului intern se amplifică la funcționarea mașinii sincrone în paralel cu alte mașini, factorul de amplificare (denumit modul de rezonanță mecanică) este:

$$\begin{aligned} k_{vm} &= \beta_{vm} / \beta_{vm0} = \omega_0^2 / \sqrt{(\omega_0^2 - \omega_v^2)^2 + \left(k_a \omega_v \frac{p}{J}\right)^2} = \\ &= \frac{1}{\sqrt{[1 - (f_0/f_v)^2]^2 + \left(\frac{p k_a}{2 \pi f_v^2 J}\right)^2}} \end{aligned} \quad (4.164)$$

Modulul de rezonanță mecanică arată de cîte ori crește amplitudinea pendulărilor atunci cînd mașina debitează pe o rețea de putere infinită față de cazul mașinii care debitează pe rețea proprie.

În cazul absenței înfășurării de amortizare ( $k_a = 0$ ) factorul de amplificare are expresia:  $k_{vm} = f_v^2 / (f_0^2 - f_v^2)$ . La  $f_0 = f_v$  modulul de rezonanță  $k_{vm}$  atinge valoarea maximă. Unghiul intern  $\delta$  poate oscila pînă la valori  $\delta \approx \frac{2\pi}{3}$ ; la valori mai mari mașina iese din sincronism. În figura 4.64 s-a reprezentat grafic  $k_{vm}$  funcție de  $f_0/f_v$  cînd  $f_v$  variază; factorul  $d = k_a \omega_0 / K_s = p k_a / 2 \pi f_0 J = \alpha_p / \pi f_0$  s-a considerat parametru.

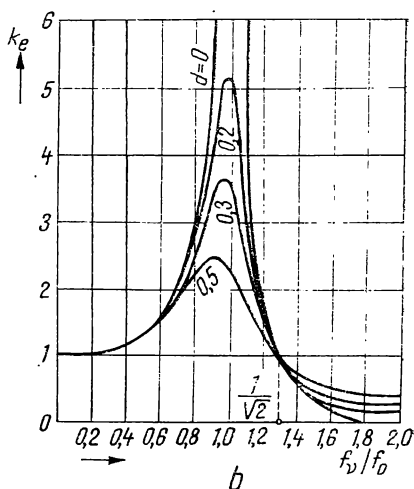
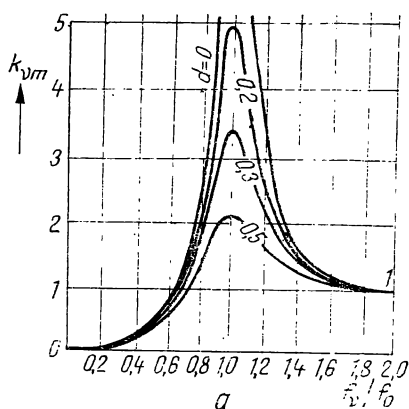


Fig. 4.64. Dependența modului de rezonanță mecanică în funcție de frecvența  $f_v$  a armoniilor din curba cuplului pentru diferite valori ale constantei de amortizare  $d = p k_a / 2\pi f_0 J$  (a) și modulul de rezonanță electrică în funcție de raportul  $f_v / f_0$  pentru  $d = \text{const.}$  (b)

În cazul în care mașina nu este echipată cu o înfășurare de amortizare  $k_{vm}$  tinde către infinit în cazul armonicii  $v$  de frecvență  $f_v = f_0$ . Deci, mașina sincronă trebuie dimensionată astfel, încît pentru nici una din pulsațiile  $\omega_v$  ale armoniilor din curba cuplului să nu rezulte un factor  $k_{vm}$  important, în acest scop  $\omega_0$  al mașinii nu trebuie să coincidă cu vreuna din pulsațiile  $\omega_v$ , iar constanta de atenuare să aibă o valoare ridicată. Pentru a evita situațiile critice se pot schimba atît factorul  $K_s$  cît și momentul de inerție  $J$ .

În afară de pendulările mecanice la o mașină sincronă au loc pendulări ale puterii, care de multe ori sînt mai importante decît cele mecanice. Considerînd că turația rotorului rămîne aproximativ constantă, se poate scrie expresia puterii electrice de pendulare  $\Delta P_{pe}$

$$\Delta P_{pe} = \omega_1 \left( k_a \frac{d\delta}{dt} + M_s \delta \right)$$

(s-a considerat  $\delta_0 = 0$ ).

Puterea mecanică de pendulare (corespunzătoare pulsației  $\omega_v$ ) este:

$$\Delta P_{pm} = \omega_1 M_v \cos(\omega_v t + \varphi_v).$$

Considerînd expresiile (4.161), (4.163) și efectuînd raportul amplitudinilor puterilor de pendulare electrică și mecanică se obține modul de rezonanță electrică  $k_{ev}$ :

$$k_{ev} = \sqrt{\frac{d^2 + (f_0/f_v)^2}{d^2 + [1 - (f_0/f_v)^2]^2}}; \quad d = p k_a / \omega_0 J.$$

În figura 4.64, b sînt reprezentate curbele modului de rezonanță  $k_{ev}$  în funcție de  $f_v/f_0$ ; factorul  $k_{ev}$  arată de cîte ori este mai mare amplitudinea puterii electrice de pendulare în raport cu amplitudinea puterii mecanice de pendulare. Pentru  $f_0/f_v = \frac{1}{\sqrt{2}}$  se obține  $k_{ev} = 1$ , indiferent de valoarea constantei de amortizare  $d$ . Pentru  $f_v/f_0 < \frac{1}{\sqrt{2}}$  amplitudinea puterii  $\Delta P_{pe}$  este mai mare decît amplitudinea puterii  $\Delta P_{pm}$ , iar pentru  $f_v/f_0 > \frac{1}{\sqrt{2}}$  este mai mică. În ultimul caz amortizarea este inutilă, chiar dezavantajoasă.

Frecvența  $f_0$  se modifică cu excitația mașinii prin intermediul mărimii  $M_s$ . Dacă la plină sarcină se alege punctul de funcționare în domeniul  $f_v/f_0 < 1$  și mașina funcționează inductiv, este posibil ca la reducerea sarcinii, ceea ce implică reducerea totodată a excitației deci a lui  $f_0$ , să se ajungă în zona rezonanței și mașina să nu mai poată funcționa.

## 4.24. FUNCȚIONAREA ÎN ASINCRON A MAȘINII SINCRONE

Studiul funcționării în asincron se face pentru mașina sincronă cu poli aparenti, alimentată cu un sistem simetric sinusoidal de tensiuni; se presupune că mașina sincronă prezintă un moment de inerție relativ mare, iar procesul tranzitoriu electromagnetic se amortizează rapid încît se poate considera regimul permanent. Înfășurarea de excitație se consideră închisă pe o rezistență care se include în cea a înfășurării ( $U_e = 0$ ). Pentru tensiunile sinusoidale aplicate care în sistemul de referință FR au pulsația  $s \omega_1$

$$\begin{aligned} \underline{U}_{sk} &= \underline{U}_a + j \underline{U}_q = \underline{U}_s e^{-j\theta} = U \sqrt{2} e^{j\omega_1 t_e - j\omega_r t - j\theta_0} = U \sqrt{2} e^{j s \omega_1 t - j\theta_0} = \\ &= U \sqrt{2} e^{j s \tau - j\theta_0}; \quad \theta = \omega_r t + \theta_0, \text{ ecuațiile (4.84) devin:} \end{aligned}$$

$$\begin{aligned} \underline{U}_a &= r \underline{i}_a + j s \underline{\psi}_a - (1-s) \underline{\psi}_q \\ \underline{U}_q &= r \underline{i}_q + j s \underline{\psi}_q + (1-s) \underline{\psi}_a \\ 0 &= r_e \underline{i}_e + j s \underline{\psi}_e \\ 0 &= r_D \underline{i}_D + j s \underline{\psi}_D \\ 0 &= r_Q \underline{i}_Q + j s \underline{\psi}_Q \end{aligned} \quad (4.165)$$

unde  $v = \omega_r/\omega_1 = 1-s$ ; mărimile din ecuațiile (4.165) sînt exprimate în unități relative. Fluxurile magnetice după cele două axe  $d$  și  $q$  se pot pune sub forma:

$$\underline{\psi}_a = x_d(j s) \underline{i}_a, \quad (\underline{U}_e = 0); \quad \underline{\psi}_q = x_q(j s) \underline{i}_q. \quad (4.166)$$

Pentru sistemul de tensiuni simetric sinusoidal se obține:

$$\begin{aligned} \underline{U}_a &= j \sqrt{2} \underline{U}; \quad \underline{U}_q = \sqrt{2} \underline{U}. \text{ Din ecuațiile (4.165) și (4.166) se obțin curenții:} \\ \underline{i}_a &= \frac{U \sqrt{2}}{\Delta(s)} [j r + (1-2s) x_q(j s)]; \quad \underline{i}_q = \frac{U \sqrt{2}}{\Delta(s)} [r - j(1-2s) x_d(j s)] \end{aligned} \quad (4.167)$$

$$\text{unde } \Delta(s) = r^2 + j s [x_d(j s) + x_q(j s)] r + (1-2s) x_d(j s) x_q(j s).$$

Pentru mașinile sincrone de putere mare, rezistența  $r$  se poate neglija ( $r \approx 0$ ) și se obține:

$$\begin{aligned} \underline{i}_a &= \underline{U} \sqrt{2} / x_d(j s); \quad \underline{i}_q = -j \underline{U} \sqrt{2} / x_q(j s); \quad \underline{\psi}_a = \underline{U} \sqrt{2}; \\ \underline{\psi}_q &= -j \underline{U} \sqrt{2} \end{aligned} \quad (4.168)$$

iar în instantaneu curenții și fluxurile devin:

$$i_a = \frac{U \sqrt{2}}{Z_a} \cos(s\tau - \theta_0 - \beta_a); \quad i_q = \frac{U \sqrt{2}}{Z_q} \cos\left(s\tau - \theta_0 - \beta_q - \frac{\pi}{2}\right) \quad (4.169)$$

$$\psi_a = U \sqrt{2} \cos(s\tau - \theta_0), \quad \psi_q = U \sqrt{2} \cos\left(s\tau - \theta_0 - \frac{\pi}{2}\right)$$

unde  $x_a(js) = Z_a \cdot e^{j\varphi_a}$  și  $x_q(js) = Z_q \cdot e^{j\varphi_q}$ . Pe baza expresiilor (4.169) se calculează valoarea instantanee a cuplului electromagnetic asincron:

$$m_a(t) = \frac{U^2}{Z_q} \cos \beta_q + \frac{U^2}{Z_a} \cos \beta_a - \frac{U^2}{Z_q} \sin(2s\tau - 2\theta_0 - \beta_q) +$$

$$+ \frac{U^2}{Z_a} \sin(2s\tau - 2\theta_0 - \beta_q) = m_{a0} + m_{\sim} \quad (4.170)$$

adică cuplul electromagnetic are o componentă constantă  $m_{a0}$  și o componentă alternativă  $m_{\sim}$  cu pulsația  $2s\omega_1$ .

Componenta  $m_{a0}$  reprezintă valoarea medie pe o perioadă a cuplului asincron care se poate pune sub forma:

$$m_{a0} = U^2 \left[ \left( \frac{1}{x'_d} - \frac{1}{x_d} \right) \frac{s T'_d}{1 + (s T'_d)^2} + \left( \frac{1}{x'_q} - \frac{1}{x_q} \right) \frac{s T'_q}{1 + (s T'_q)^2} + \right.$$

$$\left. + \left( \frac{1}{x'_q} - \frac{1}{x_q} \right) \frac{s T_q}{1 + (s T_q)^2} \right]. \quad (4.171)$$

Se constată că pentru  $s = 0$ , valoarea  $m_{a0} = 0$ , însă

$$m_{\sim} = \frac{1}{2} U^2 \left( \frac{1}{x_q} - \frac{1}{x_d} \right) \sin 2\theta_0. \quad (4.172)$$

Se regăsește pe această cale cuplul reactiv al mașinii sincrone; dacă cuplul rezistent la arbore nu este mare, pe baza componentei  $m_{\sim}$  mașina poate trece de la funcționarea asincronă la funcționarea sincronă, chiar în absența excitației.

Fiind cunoscuți curenții  $i_a$  și  $i_q$  se pot calcula curenții din fazele statorice ale mașinii sincrone, astfel pentru faza  $AX$

$$i_A = i_a \cos \theta - i_q \sin \theta = \frac{U \sqrt{2}}{2} \{ B(s) \sin(\tau - \varphi_B) - A(s) \sin[(1 - 2s)\tau + 2\theta_0 - \varphi_A] \} \quad (4.173)$$

unde

$$\frac{1}{x_a(js)} - \frac{1}{x_q(js)} = A(s) e^{j\varphi_A}; \quad \frac{1}{x_a(js)} + \frac{1}{x_q(js)} = B(s) e^{j\varphi_B}.$$

Curentul statoric rezultă nesinusoidal, avînd o componentă cu pulsația de bază  $\omega_1$ , și o componentă cu pulsația  $(1 - 2s)\omega_1$ ; defazajele  $\varphi_A$  și  $\varphi_B$  sînt funcție de alunecarea  $s$ . Pentru  $s = 0$  curentul

$$i_A = \frac{U \sqrt{2}}{2} \left[ \left( \frac{1}{x_d} + \frac{1}{x_q} \right) \sin \tau - \left( \frac{1}{x_d} - \frac{1}{x_q} \right) \sin(\tau + 2\beta_0) \right] \quad (4.174);$$

valoarea maximă a curentului oscilează între  $I_{qm} = U \sqrt{2}/x_q$  și  $I_{am} = U \sqrt{2}/x_d$ ; pe această bază se determină  $X_d$  și  $X_q$  pentru  $s \rightarrow 0$ .

Mașina sincronă funcționează în asincron numai în cazuri speciale și pentru durate de timp reduse (pornirea în asincron a motorului sincron, ieșirea din sincronism, autosincronizarea generatorului sincron).

În cazul în care înfășurarea de excitație este alimentată ( $U_e \neq 0$ ), pe lângă câmpul magnetic învîrtitor corespunzător curenților absorbiți de înfășurarea statorică există un al doilea câmp magnetic învîrtitor corespunzător înfășurării de excitație din rotor, care face să se stabilească în înfășurările statorice curenți suplimentari cu pulsația  $(1-s)\omega_1$ . Datorită acestui fapt în expresia cuplului electromagnetic apare o componentă pulsatorie.

Regimul asincron este însoțit de încălzirea intensă a rotorului din care cauză este recomandabil să se înlăture cît mai repede.

## 4.25. DETERMINAREA EXPERIMENTALĂ A PARAMETRILOR

Determinarea experimentală a parametrilor se poate face prin diferite metode: *statice* (cu rotorul în repaus), *cu rotorul în mișcare* sau *pe baza oscilografierii curenților din circuitele mașinii* (accesibile) în diferite procese tranzitorii.

### 4.25.1. DETERMINAREA IMPEDANTELOR $Z_d''$ și $Z_q''$ PRIN ÎNCERCAREA STATICĂ

Pentru determinarea impedanțelor tranzitorii  $Z_d''$  și  $Z_q''$  se utilizează schemele din figura 4.65, rotorul fiind așezat în poziția din figura 4.65, *a* pentru determinarea lui  $Z_d''$  și în poziția din figura 4.65, *b* pentru determinarea lui  $Z_q''$ . Se alimentează două faze cu o tensiune monofazată iar circuitul de excitație este scurtcircuitat. Pentru a determina  $Z_d''$  se modifică poziția rotorului pînă cînd curentul indicat de ampermetrul *A* arată valoarea maximă. În acest caz înfășurarea de excitație este înălțuită de cea mai mare parte a câmpului magnetic din întrefier, deci se află în poziție longitudinală. Se citesc mărimile  $I_1$ ,  $U_1$ ,  $P_1$ . Pentru a determina pe  $Z_q''$  se modifică poziția rotorului pînă cînd curentul indicat de ampermetrul *A* arată valoarea zero. În acest caz, înfășurarea de excitație nu este înălțuită deloc de câmpul magnetic din întrefier deci se află în poziție transversală. Se citesc mărimile  $I_2$ ,  $U_2$ ,  $P_2$ .

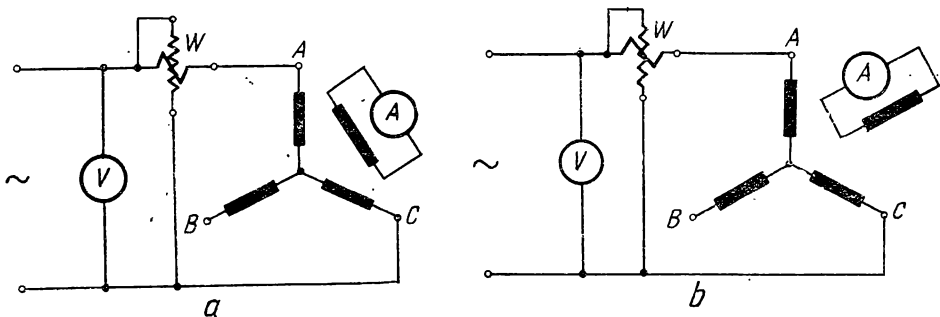


Fig. 4.65. Determinarea parametrilor tranzitorii cu rotorul fix:  
a — determinarea lui  $Z_d''$ ; b — determinarea lui  $Z_q''$ .

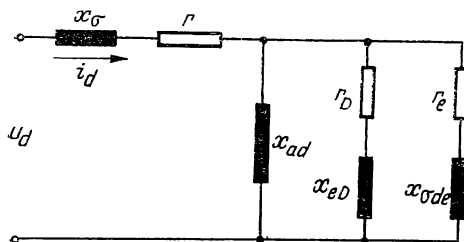


Fig. 4.66. Schema echivalentă după axa  $d$ .

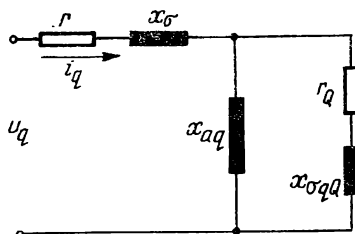


Fig. 4.67. Schema echivalentă după axa  $q$ .

În cazul în care rotorul se află în poziție longitudinală, atunci  $i_q = 0$  și ecuațiile în complex sînt:

$$\underline{U}_d = r \underline{I}_d + j x_\sigma \underline{I}_d + j x_{ad} (\underline{I}_d + \underline{I}_D + \underline{I}_e) \quad (4.175)$$

$$\underline{U}_e = r_e \underline{I}_e + j (x_{ad} \underline{I}_d + x_e \underline{I}_e + x_{eD} \underline{I}_D) = r_e \underline{I}_e + x_{\sigma e} \underline{I}_e + j x_{ad} (\underline{I}_e + \underline{I}_d + \underline{I}_D)$$

$$0 = r_D \underline{I}_D + j (x_{ad} \underline{I}_d + x_{eD} \underline{I}_e + x_D \underline{I}_D) = r_D \underline{I}_D + j x_{\sigma D} \underline{I}_D + j x_{ad} (\underline{I}_e + \underline{I}_d + \underline{I}_D),$$

s-a făcut aproximația  $x_{eD} \approx x_{ad}$ . În figura 4.66 se prezintă schema echivalentă corespunzătoare ecuațiilor (4.175) care este apropiată schemei echivalente a reactanței supratranzitorii  $x_d''$ . În cazul particular considerat curentul  $I_1 = I_A = I_d \cos \theta + I_0$ , iar  $I_0 = 0$ , ( $i_A = -i_B$ ,  $i_C = 0$ ) și  $\theta = 30^\circ$ , rezultă  $\underline{I}_1 = \sqrt{3} \underline{I}_d / 2$ . Tensiunea  $U_q = 0$ , iar  $\underline{U}_A = \underline{U}_d \frac{\sqrt{3}}{2} = -\underline{U}_B$ ,  $\underline{U}_0 = 0$ , deci  $\underline{U}_1 = \underline{U}_A - \underline{U}_B = \sqrt{3} \underline{U}_d$ . Rezultă:

$$R_d'' = P_1 / 2 I_1^2; X_d'' = \sqrt{Z_d''^2 - R_d''^2}; Z_d'' = \frac{U_d}{I_d} = \frac{U_1}{2 I_1}. \quad (4.176)$$

În mod analog se scriu ecuațiile pentru axa transversală

$$\underline{U}_q = r \underline{I}_q + j (x_q \underline{I}_q + x_{aq} \underline{I}_\varphi) = r \underline{I}_q + j x_\sigma \underline{I}_q + j x_{aq} (\underline{I}_q + \underline{I}_\varphi)$$

$$0 = r_\varphi \underline{I}_\varphi + j (x_{aq} \underline{I}_q + x_\varphi \underline{I}_\varphi) = r_\varphi \underline{I}_\varphi + j x_{\sigma \varphi} \underline{I}_\varphi + j x_{aq} (\underline{I}_q + \underline{I}_\varphi) \quad (4.177)$$

În figura 4.67 se prezintă schema echivalentă corespunzătoare ecuațiilor (4.177) care este apropiată schemei echivalente a reactanței supratranzitorii  $x_q''$ . Ca și în cazul impedenței  $Z_d''$  se stabilesc relațiile:

$$Z_q'' = U_q / 2 I_2; R_q'' = P_2 / 2 I_2^2; X_q'' = \sqrt{Z_q''^2 - R_q''^2}. \quad (4.178)$$

Metoda este prevăzută în STAS 8211-77 (mașini sincrone trifazate — metode de încercare). Dacă încercarea nu se poate efectua la curentul nominal sau la tensiunea nominală, atunci se fac cîteva măsurători la valori ale tensiunii de alimentare între 0,2...0,7 din tensiunea nominală. Cu datele obținute se construiește curba de variație a parametrului respectiv, față de tensiunea de alimentare și se extrapolează pînă la valoarea nominală.



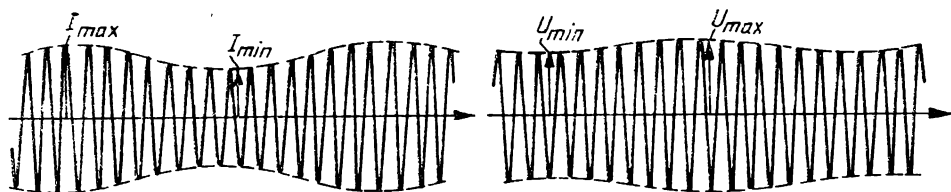


Fig. 4.68. Oscilogrammele curentului și tensiunii la metoda alunecărilor mici.

#### 4.25.2. DETERMINAREA REACTANȚELOR SINCRONE PRIN METODA ALUNECĂRILOR MICI

Statorul mașinii sincrone este alimentat de la o sursă trifazată simetrică, de valoare  $(0,1...0,2) U_n$ . Înfășurarea de excitație este deschisă și rotorul antrenat de un motor auxiliar de putere relativ mare, astfel încât alunecarea să fie stabilizată la circa  $(0,5...1)\%$ . În această situație, în funcție de așezarea relativă a polilor cîmpului învîrtitor creat de curenții din stator și polii inductorului, reactanța înfășurării indusului variază de la o valoare maximă,  $X_d$  cînd polii inductorului și polii indusului sînt așezați unul în dreptul celuilalt (pe axa longitudinală) pînă la o valoare minimă,  $X_q$ , cînd polii indusului se află în dreptul spațiilor dintre polii inductorului (pe axa transversală).

La efectuarea încercării se oscilografiază curentul, tensiunea înfășurării indusului și tensiunea la inele. Dacă rețeaua de alimentare nu este de putere foarte mare, se constată (fig. 4.68) că înfășurătoarea curbei tensiunii prezintă minime în dreptul maximelor înfășurătorii curbei curentului și reciproc. Prin etalonarea oscilogramelor de curent tensiune, rezultă valoarea reactanțelor sincrone:

$$X_d = \sqrt{\left(\frac{U_{max}}{I_{min}}\right)^2 - R^2} \approx \frac{U_{max}}{I_{min}}; \quad X_q = \sqrt{\left(\frac{U_{min}}{I_{max}}\right)^2 - R^2} \approx \frac{U_{min}}{I_{max}}. \quad (4.179)$$

Se menționează că pentru corectitudinea rezultatelor este absolut necesar să se respecte condiția de alunecare mică. În caz de alunecare mai mare de  $1\%$  curenții din înfășurările de amortizare devin importanți și deci regimul sincron de funcționare este perturbat de apariția regimului asincron care se suprapune. Valorile efective maxime și minime ale tensiunii și curentului se pot măsura cu voltmetrul și respectiv ampermetrul.

#### 4.25.3. METODE BAZATE PE REGIMURI PERMANENTE DE SCURT CIRCUIT

Din relațiile deduse pentru curenții de scurtcircuit trifazat, bifazat și monofazat în regim stabilizat (permanent) se pot determina reactanța sincronă longitudinală  $x_d$ , reactanța succesiunii inverse  $x_2$  precum și reactanța homopolară  $x_0$ . Notînd  $x_{ad} i_e(0) = e_0$  (t.e.m. indusă la mersul în gol la curentul de excitație  $i_{e0}$ ), avem curenții de scurtcircuit stabiliți:

$$i_{k3} = \frac{e_0}{x_d}; \quad i_{k2} = \frac{\sqrt{3} e_0}{x_d + x_2}; \quad i_{k1} = \frac{3 e_0}{x_d + x_2 + x_0}. \quad (4.180)$$

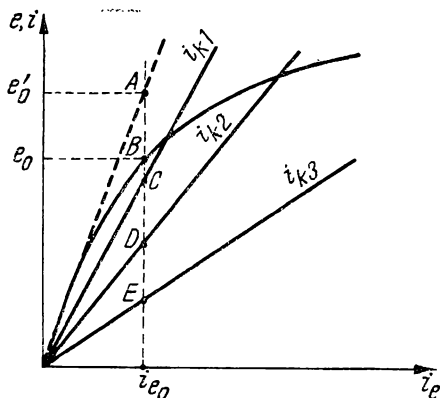


Fig. 4.69. Caracteristicile de scurtcircuit: monofazat:  $i_{k1}$ ; bifazat  $i_{k2}$ ; trifazat  $i_{k3}$ .

Pentru determinarea parametrilor  $x_d$ ,  $x_2$  și  $x_0$  este necesară ridicarea experimentală a caracteristicii de mers în gol a mașinii  $e_0 = f(i_e)$  precum și a celor trei caracteristici de scurtcircuit  $i_{k3} = f(i_e)$ ;  $i_{k2} = f(i_e)$ ;  $i_{k1} = f(i_e)$  (fig. 4.69).

Considerînd pentru aceeași valoare a curentului de excitație  $i_e$  mărimile curenților de scurtcircuit  $i_{k1}$ ,  $i_{k2}$  și  $i_{k3}$  precum și mărimea tensiunii induse  $e'_0$  de pe prelungirea porțiunii lineare a caracteristicii de mers în gol, se obține:

$$x_d = \frac{e'_0}{i_{k3}}; \quad x_2 = \frac{e'_0 \sqrt{3}}{i_{k2}} - x_d;$$

$$x_0 = \frac{3 e'_0}{i_{k1}} - (x_d - x_2). \quad (4.181)$$

Reactanțele astfel determinate corespund stării nesaturate a mașinii (reactanțe nesaturate) și sînt de fapt independente de curentul de excitație. Pentru determinarea parametrilor saturați trebuie să se țină cont de t.e.m. indusă  $e_0$ , conform caracteristicii de mers în gol, adică de saturația fierului mașinii. În acest caz însă, rapoartele din relația (4.181) nu mai sînt independente de curentul de excitație, fiind cu atît mai mici cu cît curentul de excitație este mai mare. Pentru determinarea corectă a parametrilor saturați trebuie aleasă acea valoare a curentului de excitație care corespunde valorii nominale a curentului de scurtcircuit,  $i_{k3} = i_n = 1$ .

Metoda descrisă este simplă dar precizia ei este influențată de eficiența amortizării mașinii, din cauza armonicilor superioare ale curentului în cazul scurtcircuitelor nesimetrice.

#### 4.25.4. METODA SCURTCIRCUITULUI TRIFAZAT BRUSC

Oscilografiera curenților celor trei faze în cazul scurtcircuitului trifazat brusc al mașinii sincrone permite determinarea parametrilor regimului tranzitoriu și anume reactanțele  $x'_d$ ,  $x''_d$  și constantele de timp  $T'_d$ ,  $T''_d$  și  $T_a$ .

Încercarea de scurtcircuit simetric brusc intră dealtfel în programul încercărilor de tip a mașinilor sincrone. Pentru determinarea parametrilor, această încercare este suficient să fie făcută la o tensiune de (0,3—0,7)  $U_n$ , la turația nominală, cu înfășurarea de excitație alimentată de la excitatoarea proprie. Scurtcircuitarea indusului se face cu mașina funcționînd în gol, ca generator. Scurtcircuitarea celor trei faze trebuie să se facă practic simultan, cu o diferență în timp corespunzătoare la maxim 15° electrice.

Prelucrarea oscilogramelor se face în felul următor: Se construiesc liniile înfășurătoare pentru fiecare din curenții de fază, avînd vîrfurile pulsațiilor acestora (fig. 4.70). Se trasează apoi linia mediană, ca medie pe ordonată între cele două linii înfășurătoare, aceasta reprezentînd componenta aperiodică  $A = \left( \frac{1}{x'_d} - \frac{1}{x_d} \right) e_0$ ,  $B = \left( \frac{1}{x''_d} - \frac{1}{x'_d} \right) e_0$ . Componenta

periodică este, pe verticală, distanța de la linia mediană la linia înfășurătoare superioară (sau inferioară).

Se reprezintă separat, pe o diagramă semilogaritmică, diferența dintre componenta periodică a curentului de scurtcircuit și valoarea lui în regim stabilizat. Conform relației (4.121), această diferență reprezintă în fapt suma a două exponențiale  $\Delta i_k = A \cdot \exp(-\tau/T'_d) + B \cdot \exp(-t/T''_d)$ , cu  $T''_d \ll T'_d$ . Scara timpului (abscisa) se ia lineară, iar scara ordonatelor se ia logaritmică. În acest caz curba (fig. 4.71) tinde, cu creșterea timpului să devină o dreaptă. Cu notațiile din figura 4.71, se poate scrie:

$$x'_d = \frac{e_0}{i_{k\infty} + \Delta' i_k}; \quad x''_d = \frac{e_0}{i_{k\infty} + \Delta' i_k + \Delta'' i_k} \quad (4.182)$$

unde s-a notat cu  $i_{k\infty}$  componenta stabilizată a curentului de scurtcircuit.

După cum se vede din figura 4.71, metoda permite și determinarea constantelor de timp  $T'_d$ ,  $T''_d$  prin separarea celor două exponențiale. Constanta de timp este timpul în care o componentă exponențială scade la  $1/e = 0,368$  din valoarea ei inițială.

În mod analog, din componenta aperiodică a curentului dintr-o fază (în care ea este cea mai pronunțată) se poate determina constanta de timp  $T_a$ .

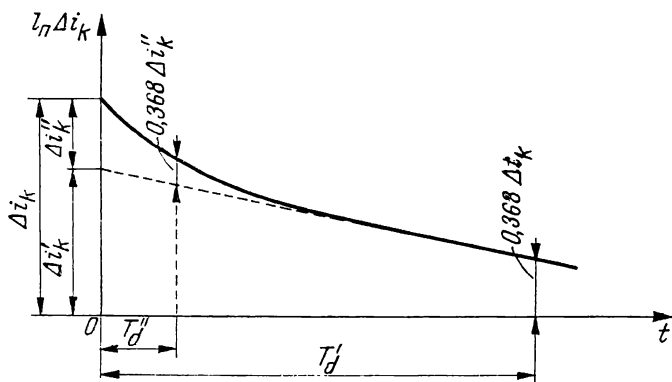


Fig. 4.71. Referitor la prelucrarea oscilogramei curentului de scurtcircuit.

#### 4.25.5. DETERMINAREA VALORII SATURATE A REACTANȚELOR $X_d$ ȘI $X_q$

Reactanța  $X_d$  saturată se poate determina relativ simplu pentru mașina cu poli aparenti în stare neexcitată ( $I_e = 0$ ); în regim de mers în gol mașina rămâne la viteza sincronă și din rețea consumă curentul de mers

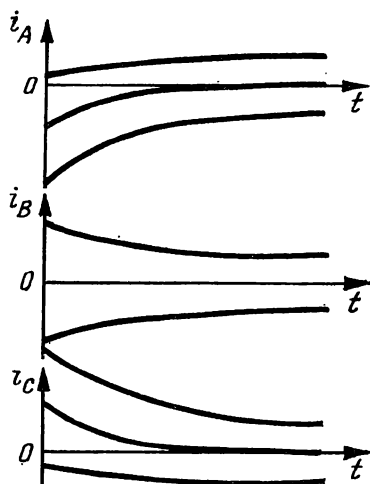


Fig. 4.70. Componentele aperiodice ale curentilor  $i_A$ ,  $i_B$ ,  $i_C$ .

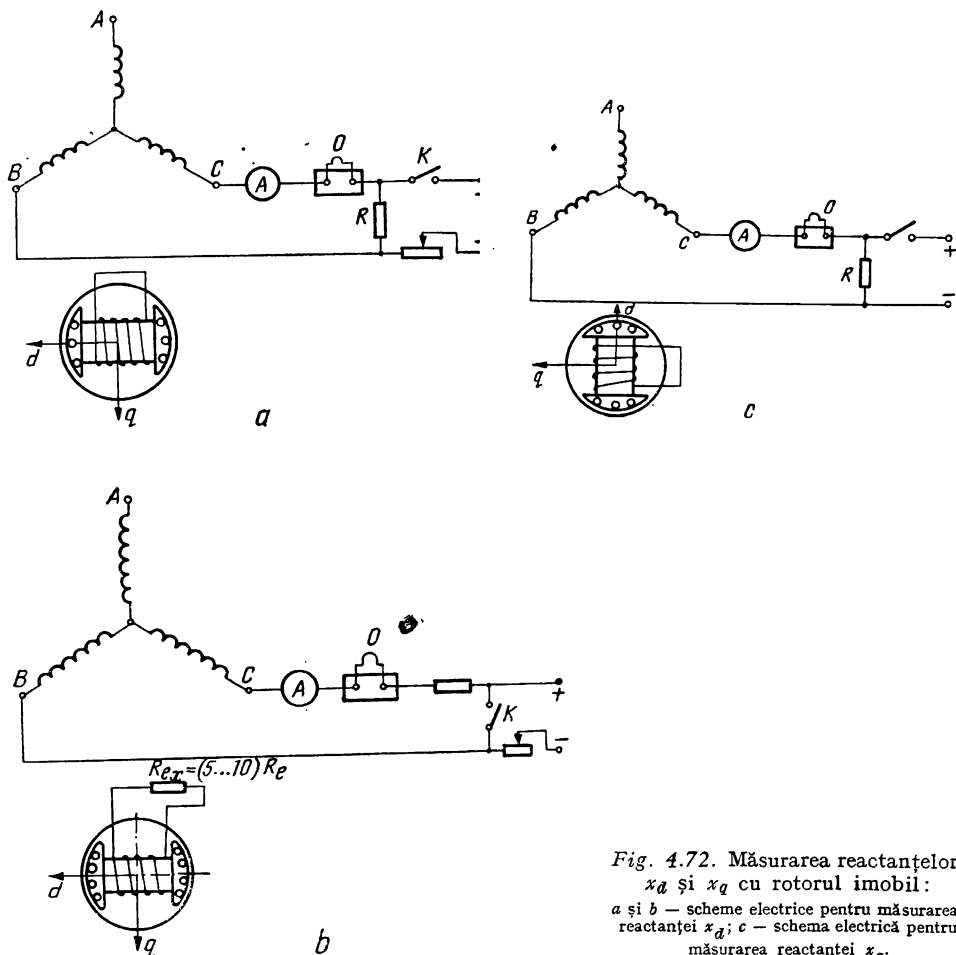


Fig. 4.72. Măsurarea reactanțelor  $x_d$  și  $x_q$  cu rotorul imobil:  
 a și b — scheme electrice pentru măsurarea reactanței  $x_d$ ; c — schema electrică pentru măsurarea reactanței  $x_q$ .

în gol  $I_{d0}$ . Valoarea saturată a reactanței longitudinale este  $X_d = U/I_{d0}$ . Nu este la fel de simplă determinarea reactanței sincrone  $X_q$ . Reactanțele  $X_d$  și  $X_q$  se pot determina prin măsurători în c.c. cu rotorul în repaus. Se realizează schema din figura 4.72, a. Se alimentează schema și se așteaptă pînă cînd curentul se stabilizează prin circuit după care se întrerupe circuitul cu întrerupătorul K. Dacă se oscilografiază curentul  $i(t)$  al înfășurării statorice, atunci suprafața mărginită de curba  $i(t)$  și axa timpului este proporțională cu valoarea saturată a lui  $X_d$ . Într-adevăr ecuația de tensiuni în regim tranzitoriu este:

$$i(R + 2r) + \frac{d\varphi_s}{d\tau} = 0. \quad (4.183)$$

Dacă se integrează de la  $\tau = 0$  la  $\tau = \infty$  rezultă:

$$(R + 2r) \int_0^\infty i d\tau + \varphi_s \Big|_0^\infty = 0. \quad (4.184)$$

După un timp suficient de lung  $\varphi_s(\infty) = 0$  și deci în unități relative  $\varphi_{s0} = 2 I_s x_d$ , unde  $I_s$  este curentul stabilizat înainte de întrerupere. Se obține  $x_d = \frac{R + 2r}{2 I_s} \int_0^\infty i d\tau$ . Deoarece gradul de saturație depinde de  $I_s$ ,

este indicat să se regleze acest curent la o valoare corespunzătoare curentului  $I_{d0}$ . Curentul reprezentativ la alimentarea în c.c. este  $i_s = \frac{2}{3} (i_A + a i_B + a^2 i_C) = j \frac{2}{\sqrt{3}} I_s = \sqrt{2} I_{d0}$ , deci  $I_s = I_{d0} \sqrt{\frac{3}{2}}$ . Pentru

măsurarea în c.c., după direcția  $d$ , este nevoie numai de verificarea metodei de măsurare. Este indicat ca măsurătoarea să fie efectuată după schema din figura 4.72, *b*. Prin conectarea întreruptorului  $K$ , pentru că la deconectare arcul electric care se formează, influențează rezultatul. Pentru accelerarea procesului tranzitoriu se introduce o rezistență  $R_{ex}$ . Oscilografiera este o operație greoaie și suprafața  $\int_0^\infty i d\tau$  este greu de măsurat, este in-

dicat ca valoarea  $\int_0^\infty i d\tau$  să fie determinată cu fluxmetru. După ce se constată că măsurarea efectuată în c.c. cu rotorul în repaus, după direcția  $d$ , este corectă, se efectuează măsurarea lui  $X_d$  tot cu această metodă. Schema de măsurare este prezentată în figura 4.72, *c*.

#### 4.25.6. DETERMINAREA REACTANȚELOR $X_d''$ ȘI $X_d'$ PRIN MĂSURAREA TENSIUNII DE REVENIRE

Dacă oscilografiera tensiunii de revenire se face pe o mașină cu înfășurare de amortizare și dacă înfășurătoarea curbei tensiunii de revenire se reprezintă la scară logaritmică se constată că nu se obține o dreaptă pe întreg domeniul. După întreruperea circuitului statoric mai întâi are loc o creștere rapidă a tensiunii, după care tensiunea are o creștere mai lentă (fig. 4.73, *a*). Reprezentînd la scară logaritmică înfășurătoarea și extrapolînd prima porțiune pînă la  $t = 0$  se obține tensiunea subtranzitorie, apoi extrapolînd a doua porțiune pînă la  $t = 0$  și partea următoare a acestei curbe se obține tensiunea tranzitorie (fig. 4.73, *b*). Dacă  $I_k$  este curentul de scurtcircuit stabilizat atunci  $X_d'' = U_s''/I_k$  și  $X_d' = U_s'/I_k$ . Curba înfășurătoare permite determinarea constantelor de timp  $T_{d0}''$  și  $T_{d0}'$  (fig. 4.73, *c*);

fiind cunoscute aceste constante se calculează  $T_d'' = T_{d0}'' \frac{X_d''}{X_d'}$  și  $T_d' = T_{d0}' \frac{X_d'}{X_d}$ . Valorile reactanțelor  $X_d''$  și  $X_d'$  sînt valori nesaturate.

Considerînd întreruperea ideală se realizează o treaptă de curent cu valoarea  $I_{d0} = U_0/X_d$ . Variațiile în timp ale curenților  $i_d(t)$  și  $i_q(t)$  sînt:  $i_d(t) = I_{d0} \cdot 1(\tau)$ ;  $i_q(\tau) = 0$ . În acest regim fluxurile magnetice sînt:

$$\psi_d = \frac{d}{d\tau} \int_0^\tau x_d(t) i_d(\tau - t) dt = I_{d0} x_d(t); \quad \psi_q(\tau) = 0.$$

Neglijînd rezistența statorului ( $r \approx 0$ ), ecuațiile mașinii pe cele două axe sînt:

$$U_d(\tau) = \frac{d\psi_q}{d\tau} = I_{d0} \frac{dx_d(\tau)}{d\tau} : \quad U_q(\tau) = \psi_d(\tau) = I_{d0} x_d(\tau); \quad (v = 1).$$

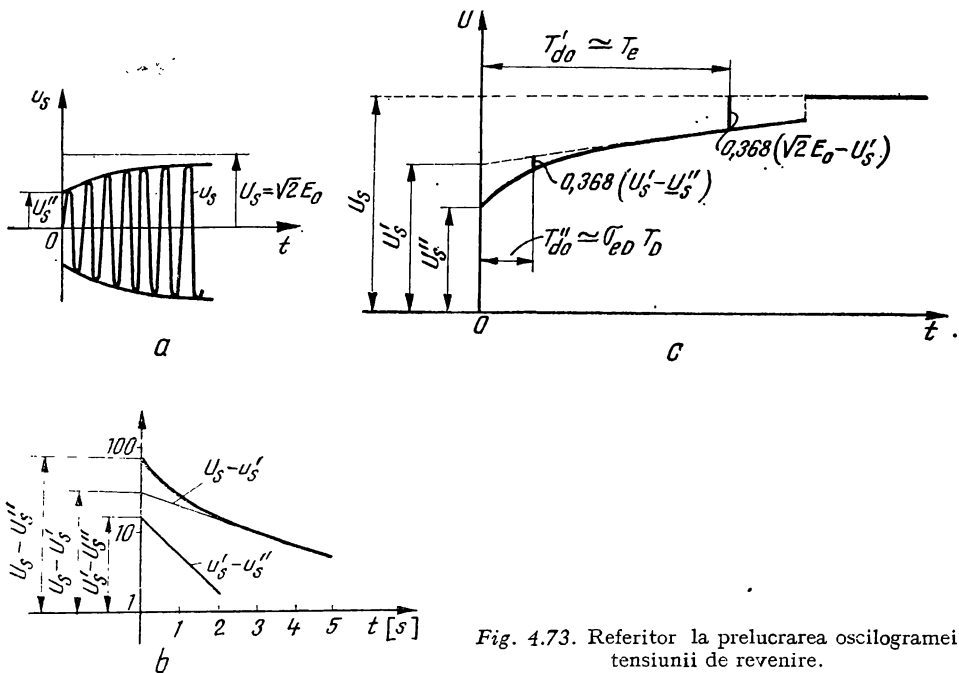


Fig. 4.73. Referitor la prelucrarea oscilogramelor tensiunii de revenire.

Tensiunea de fază  $u_A$  devine:  $u_A \approx I_{sc} x_a(\tau) \sin \tau$ , dacă  $\frac{d x_a(\tau)}{d \tau} \ll x_a(\tau)$ , adică  $x_a(\tau)$  este înfășurarea curbei de revenire a tensiunii la borne.

#### 4.25.7. MASURAREA IMPEDANȚEI DE SUCCESIUNE INVERSĂ ȘI HOMOPOLARĂ

a) *Impedanța de succesiune inversă* a mașinii sincrone, teoretic, se determină simplu, dacă statorul mașinii sincrone se alimentează cu tensiuni de succesiune inversă, iar rotorul are viteza de sincronism (în sens invers succesiunii fazelor); înfășurarea de excitație este scurtcircuitată.

Se măsoară tensiunea  $U_2$  și curentul  $I_2$  pentru o fază statorică și  $Z_2 = U_2/I_2$ ; dacă se măsoară și puterea  $P$  absorbită de mașină atunci  $R_2 = P/3 I_2^2$  și  $X_2 = \sqrt{Z_2^2 - R_2^2}$ . Efectuarea măsurătorilor este dificilă, fiindcă rotorul nu este în sincronism cu rețeaua care alimentează statorul, aparatele de măsurat oscilează cu frecvențe mici, antrenarea mașinii sincrone cu un motor sincron alimentat de la aceeași rețea ar facilita măsurătorile.

O metodă mai avantajoasă o constituie măsurătorile efectuate la scurtcircuitul între două faze, în regim stabilizat (fig. 4.74). Rotorul este simetric și are viteza apropiată de viteza de sincronism și excitația mașinii este reglată astfel încât fazele scurtcircuitate ale statorului să fie parcurse de curentul nominal. În acest caz:

$$\underline{U}_2 = j \frac{U}{3\sqrt{3}} (a^2 - a), I_2 = \frac{I}{3} (a^2 - a) \text{ și deci } \underline{Z}_2 = \underline{U}_2/\underline{I}_2 = j \frac{U}{\sqrt{3} I}.$$

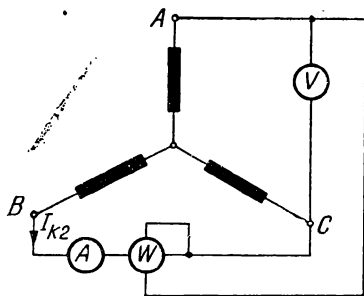


Fig. 4.74. Schema de principiu pentru determinarea impedanței de succesiune inversă (scurtcircuit bifazat).

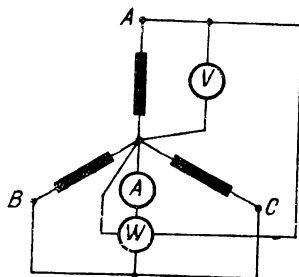


Fig. 4.75. Schema de principiu pentru determinarea impedanței homopolare (scurtcircuit între două faze și la nul).

Dacă  $\varphi$  este defazajul între fazorii  $\underline{U}$  și  $\underline{I}$ , atunci:

$$\underline{Z} = \frac{U}{\sqrt{3} I} e^{-j\varphi} = \frac{U}{\sqrt{3} I} (\sin \varphi + j \cos \varphi) = R_2 + j X_2$$

$$\text{deci } X_2 = \frac{U}{\sqrt{3} I} \cos \varphi = \frac{P}{\sqrt{3} I^2}; \quad R_2 = \sqrt{Z_2^2 - X_2^2}; \quad Z_2 = U/\sqrt{3} I.$$

S-a presupus că tensiunea și curentul variază sinusoidal.

În cazul rotorului cu poli aparenti curentul la scurtcircuit bifazat este determinat atât de reactanța de succesiune directă, cât și de reactanța de succesiune inversă și metoda nu este precisă.

De multe ori  $R_2$  nu se poate neglija astfel în cazul turbogeneratorului cu rotor masiv rezistența  $R_2$  este importantă datorită pierderilor de putere în rotor.

b) *Determinarea parametrilor  $R_0$  și  $X_0$  poate fi realizată prin mai multe metode.*

O primă metodă constă în a realiza scurtcircuitul bifazat și la neutru (fig. 4.75): se măsoară puterea activă  $P$ , curentul  $I$  și tensiunea  $U$ , rezultă:  $R_0 = P/I^2$ ;  $Z_0 = U/I$ ;  $X_0 = \sqrt{Z_0^2 - R_0^2}$ .

O a doua metodă constă în a înseria fazele statorului și a alimenta circuitul de la o sursă de tensiune monofazată, astfel încât curentul să fie aproximativ cel nominal.

Înfășurarea de excitație se leagă în scurtcircuit, se măsoară tensiunea  $U$ , curentul  $I$  și puterea  $P$ . Rezultă:

$$Z_0 = \frac{U}{3 I}; \quad R_0 = P/3 I^2; \quad X_0 = \sqrt{Z_0^2 - R_0^2}.$$

## 4.26. MĂSURAREA UNGHIULUI INTERN LA MAȘINA SINCRONĂ<sup>1</sup>

În energetică se acordă o atenție tot mai mare informațiilor referitoare la funcționarea generatoarelor sincrone, care sînt folosite în sistemul de reglaj și în cadrul cărora un loc important îl ocupă informația de unghi intern și semnalele adiționale provenite din ea. Metodele de măsurare a

<sup>1</sup> Valini, A., Mariotti, G., *Metodi e dispositivi per la misura dell'angolo din coppia nelle machine sincrone*. În: L'Energia Elettrica, Milano, 1961.

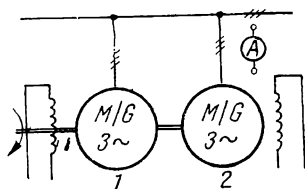


Fig. 4.76. Măsurarea unghiului intern cu generator auxiliar:  
*M* - motor de antrenare:  
 1 - generator principal; 2 - generator auxiliar.

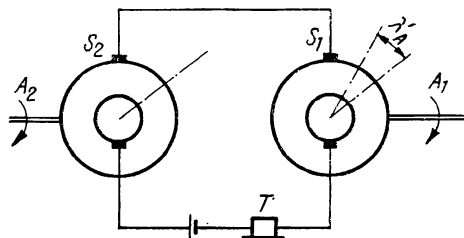


Fig. 4.77. Schema electrică pentru măsurarea unghiului intern prin metoda mașinii sincrone separate.

unghiului intern se împart în două clase: în prima clasă unghiul intern se determină ca un unghi geometric între axa câmpului magnetic învârtitor inductor (axa polului rotoric) și axa câmpului magnetic învârtitor rezultant; în a doua clasă intră metodele care determină unghiul intern ca un unghi electric între t.e.m.  $E_0$  și tensiunea la borne  $U$ .

a) Se prezintă unele *metode din prima clasă*. *Metoda mașinii auxiliare* folosește schema din figura 4.76; la mașina sincronă principală 1 a cărei unghi intern se măsoară, se cuplează mecanic cu o mașină sincronă auxiliară 2 care este alimentată de la aceeași rețea, evident succesiunea fazelor celor două mașini în raport cu rețeaua este aceeași. Se aduce mașina 1 la funcționarea în gol ideal (cu motorul *M*), înfășurarea de excitație fiind alimentată, în această situație curentul prin mașină este nul. Mașina 2 se aduce în aceeași situație prin rotirea statorului. În acest caz cele două mașini au unghiul  $\delta = 0$  ( $E_0$  este în fază cu  $U$ ), se ia ca referință această poziție a statorului mașinii 2. Dacă se încarcă mașina 1 pentru o excitație dată și apoi se rotește statorul mașinii 2 pînă ce curentul din stator este din nou nul, atunci se obține unghiul spațial  $\lambda$  și  $\delta = p\lambda$ . În locul mașinii 2 cu stator mobil se poate utiliza o mașină cu stator  $p$  fix alimentată printr-un regulator de fază de la aceeași rețea, se variază cu unghiul  $\lambda_A$  poziția rotorului regulatorului pînă cînd curentul este din nou nul și  $\delta = \lambda_A p_A$  unde  $p_A$  este numărul de perechi de poli ai regulatorului de fază.

*Metoda mașinii sincrone auxiliare separată mecanic* permite determinarea unghiului intern prin compararea poziției unui punct solidar cu axul mașinii de studiat cu un punct solidar cu axul mașinii auxiliare care funcționează ca motor sincron în gol, cele două mașini sînt alimentate de la aceeași rețea. Compararea poziției celor două puncte se face prin mai multe procedee. În figura 4.77 se prezintă un astfel de procedeu. Pe fiecare din arborii celor două mașini este fixat un disc din material izolant prevăzut pe una din fețe cu o rază metalică ce vine în contact cu peria care alunecă pe periferia discului, discul mic are periferia metalizată și în contact cu raza metalică. Cele două discuri sînt conectate în serie cu un telefon *T* și o sursă de ton. Pentru măsurarea unghiului intern se fixează curentul de excitație și mașina de încercat 1 se aduce cu motorul *M* la  $\delta = 0$ . Se decalează peria care alunecă la periferia discului solidar cu axul mașinii 2 pînă cînd contactele ambelor discuri se închid simultan și telefonul *T* emite un sunet. Se încarcă mașina 1 și atunci  $\delta \neq 0$ , sunetul dispare deoarece contactele celor două discuri nu



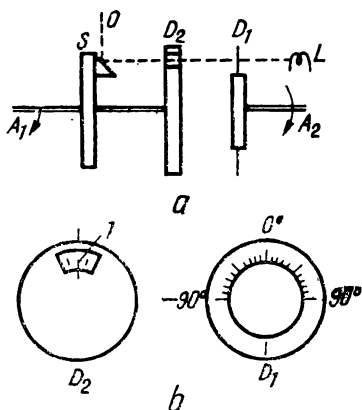


Fig. 4.78. Măsurarea unghiului intern prin metoda mașinii separate cu ajutorul a două discuri:  $D_1$  — disc transparent;  $D_2$  — disc cu fantă și fir reticular;  $L$  — lampă de iluminat,  $S$  — obiectiv pentru reflectarea luminii cu  $90^\circ$ .

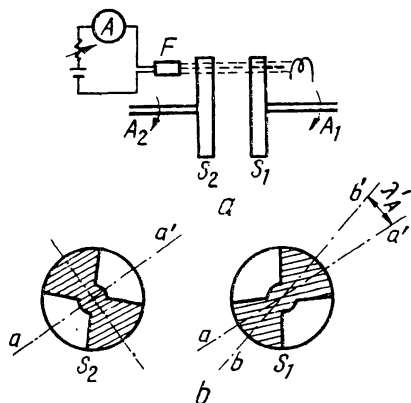


Fig. 4.79. Măsurarea unghiului intern prin metoda mașinii separate cu circuit cu fotodiodă:  $S_1, S_2$  — discuri;  $F$  — fotodiodă;  $A$  — ampermetru.

se închid simultan. Se deplasează cu unghiul  $\lambda_A$  peria pe discul mașinii 2 pînă se obține din nou sunetul, rezultă  $\delta = p_2 \lambda_A$ , unde  $p_2$  este numărul perchilor de poli ai mașinii 2. Poziția relativă a celor două discuri se poate determina și pe cale stroboscopică.

O altă metodă (fig. 4.78) utilizează două discuri  $D_1$  și  $D_2$  fixate pe arborii  $A_1$  și  $A_2$ . Discul  $D_1$  este prevăzut cu un inel transparent gradat și este iluminat de o sursă luminoasă  $L$ , discul  $D_2$  are un orificiu cu fir reticular  $I$ . Pe un alt disc se află o prismă care deviază fasciculul de lumină spre observator și unghiul  $\lambda_A$  se poate citi direct dacă poziția rotorului mașinii 1 la  $\delta = 0$  coincide cu „0” de pe scală.

O altă variantă (fig. 4.79) se bazează pe cantitatea de lumină primită de o celulă fotoelectrică  $F$ . Pe fiecare din cele două axe  $A_1$  și  $A_2$  este montat un disc format din sectoare pline care alternează cu sectoare goale (mașinile 1 și 2 au același număr de poli). Discurile sînt astfel montate încît la  $\delta = 0$  pentru ambele mașini nu trece lumină de la sursa de lumină  $L$  la celula fotoelectrică  $F$  (golurile unui disc se află în fața sectoarelor pline ale celuilalt disc). Dacă mașina 1 se încarcă și  $\delta \neq 0$  atunci și discurile se decalează și lumina ajunge la celula  $F$ ; cantitatea de lumină este proporțională cu suprafața prin care trece și deci cu unghiul  $\delta$ . Curentul  $I$  din circuitul celei fotoelectrice  $F$  depinde de cantitatea de lumină și deci de  $\delta$ . Dacă se cunoaște caracteristica  $I = f(\psi)$  unde  $\psi$  este fluxul luminos și  $\psi = f(\delta)$  atunci se poate determina simplu unghiul  $\delta$ .

Pe fiecare din cele două axe se montează un selsin (fig. 4.80), un selsin funcționează în regim de generator ( $G$ ) și alimentează selsinul  $T$  care funcționează în regim de transformator a cărui tensiune rotorică are valoarea eficace  $U_2 = k \sin \lambda_A$  (la  $\delta = 0$  se reglează poziția statoarelor selsinelor astfel ca  $U_2 = 0$ ). Tensiunea se măsoară cu voltmetrul  $V_\lambda$  și se determină  $\delta = p \lambda_A$ . Schema din figura 4.81 utilizează trei selsine, 2 în regim de generator ( $G_1$  și  $G_2$ ) și un selsin diferențial ( $DM$ ). Pe discul gradat a lui  $DM$  se citește  $\lambda_A$ . Unghiul  $\delta$  se poate determina prin metoda stroboscopică, în care

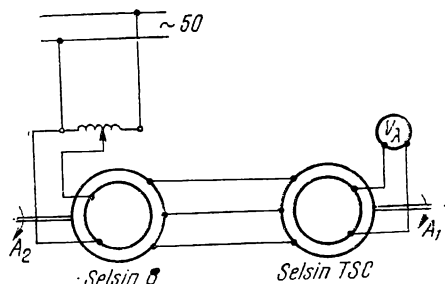


Fig. 4.80. Măsurarea unghiului intern cu ajutorul selsinelor:

$G$  — selsin în regim de generator;  $TSC$  — selsin în regim de transformator.

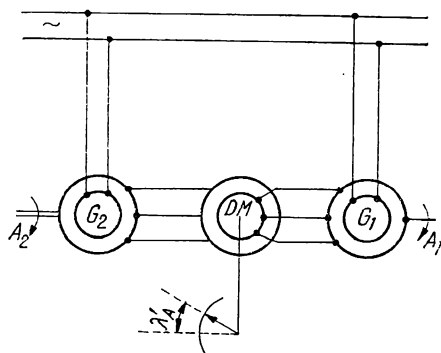


Fig. 4.81. Măsurarea unghiului intern cu ajutorul selsinelor:

$G_1, G_2$  — selsin în regim de generator;  $DM$  — selsin în montaj diferențial.

caz se utilizează un disc gradat (de rază mare pentru a se putea citi cu mai mare precizie) fixat de stator concentric cu axul mașinii; pe ax se montează o tijă cu ac indicator care se rotește paralel cu discul și se află la o distanță mică de disc (tijă poate avea ac indicator la ambele capete).

Se fixează poziția pentru  $\delta=0$  și se citește direct pe disc unghiul  $\lambda_A$ .

b) Pentru cea de-a doua clasă de metode se prezintă câteva scheme de principiu. O metodă simplă de o precizie modestă este indicată în figura 4.82. Pe axul mașinii sincrone se fixează una sau mai multe piese din material feromagnetic (conform cu numărul perechilor de poli). O bobină care are ca miez un magnet permanent este fixă în spațiu și poziționată în același plan (perpendicular pe axul mașinii) cu piesa feromagnetică. Se oscilografiază tensiunea de alimentare (de fază) și t.e.m. indusă în bobină. Decalajul între cele două unde determină unghiul  $\delta$  (bobina se poziționează astfel ca la  $\delta=0$ , ambele tensiuni să treacă prin zero). O a doua metodă utilizează un circuit electronic care transformă tensiunea de fază  $U_f$  în impulsuri, iar impulsurile corespunzătoare t.e.m.  $E_0$  provin direct de la un dispozitiv electromecanic care realizează închiderea periodică a unui circuit prin discul fixat pe rotor (fig. 4.83).

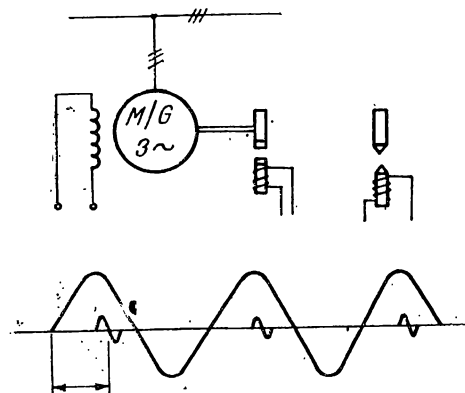


Fig. 4.82. Măsurarea unghiului intern cu ajutorul unui traductor inductiv.

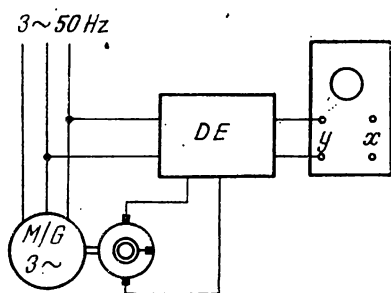


Fig. 4.83. Măsurarea unghiului intern cu ajutorul unui traductor cu semnal sub formă de impulsuri.

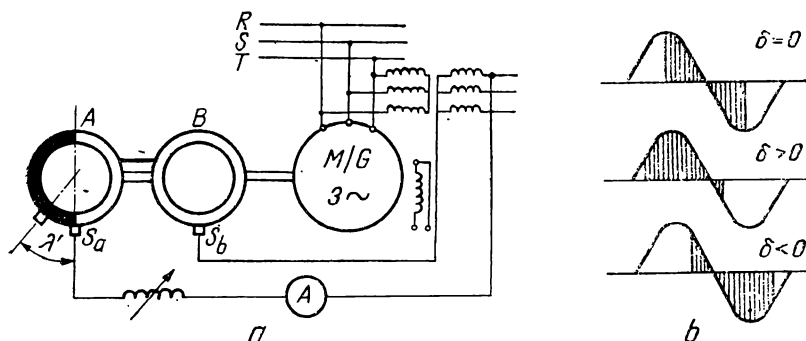


Fig. 4.84. Măsurarea unghiului intern cu ajutorul a două discuri montate pe același ax:

a - schema electrică; b - explicativă la semnul unghiului  $\delta$ .

Cînd mașina sincronă se încarcă  $\delta \neq 0$ , impulsurile sînt defazate. Impulsurile celor două mărimi sînt prelucrate de dispozitivul electronic DE, la  $\delta = 0$  cele două impulsuri se suprapun și apoi însumate se aplică pe o diodă dublă, care are ieșirea conectată la osciloscop. Dispozitivele electronice de prelucrare a acestor impulsuri sînt de mai multe tipuri.

În figura 4.84 se prezintă un dispozitiv format din două inele izolante A și B; unul din inele B este metalizat pe toată periferia, celălalt inel are periferia formată din zone metalizate care alternează cu zone izolante. Zonele au aceeași întindere, numărul zonelor metalizate este egal cu numărul zonelor izolante și egal cu numărul perechilor de poli ai mașinii. Circuitul de măsură se alimentează de la rețea și este format din perile  $S_a$  și  $S_b$ , o rezistență și un ampermetru care măsoară valoarea medie a curentului din circuit. Pentru  $\delta = 0$  curentul mediu prin circuit este zero pentru că discul A permite închiderea circuitului numai pe o jumătate de perioadă și discurile sînt astfel dispuse încît la  $\delta = 0$ , curentul mediu este zero, dacă  $\delta \neq 0$  atunci curentul mediu este diferit de zero și depinde de unghiul  $\delta$  ( $I = I_m \frac{2}{\pi} \sin \delta$ ).

Schema din figura 4.85 utilizează o mașină auxiliară și două wattmetre electrodinamice  $W_x$  și  $W_y$ .

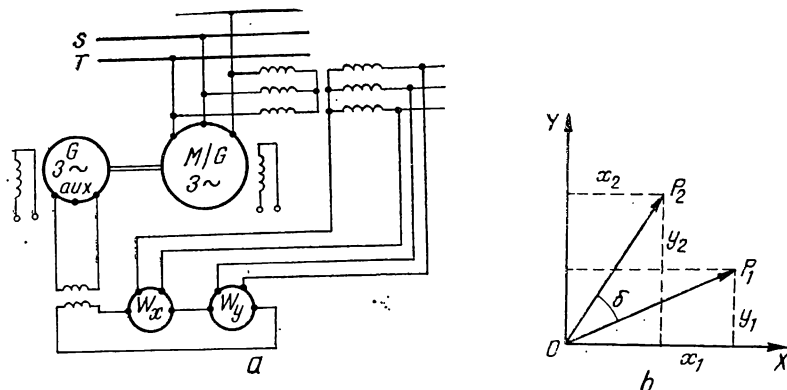


Fig. 4.85. Măsurarea unghiului intern prin metoda celor două wattmetre:

a - schemă electrică; b - diagramă fazorială.

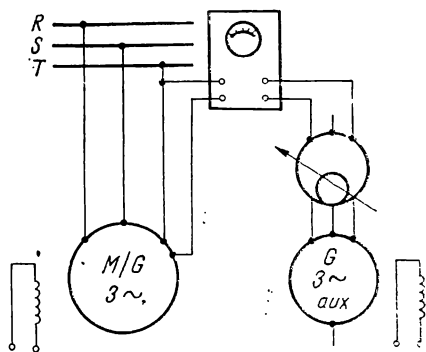


Fig. 4.86. Măsurarea unghiului intern cu ajutorul mașinii auxiliare și a regulatorului de fază.

$x_1, y_1$  măsurate de  $W_x$  și  $W_y$ ; pentru  $\delta \neq 0$  se construiește vectorul  $OP_2$  cu coordonatele  $x_2, y_2$ .

În figura 4.86 se prezintă o schemă care permite măsurarea directă a unghiului  $\delta$  cu ajutorul unui regulator de inducție. La  $\delta=0$  regulatorul este adus în poziția în care  $U_f$  și  $E_0$  sînt în fază (se notează cu „0” această poziție), la încărcarea mașinii  $\delta \neq 0$ , iar regulatorul se aduce în poziția în care la osciloscop se constată că imaginea este aceeași ca și la  $\delta=0$  și unghiul se citește direct dacă regulatorul este gradat în grade electrice.

Determinarea unghiului  $\delta$  poate fi simplificată prin utilizarea voltmetrelor (fig. 4.87). La mașina auxiliară se măsoară tensiunea  $U_{T'R'}$ , iar la mașina de încercat tensiunea  $U_{RT}$ ; tensiunea  $U_{R'T'}$  este reglată la aceeași valoare efecace ca și  $U_{RT}$ , apoi cele două tensiuni sînt aduse în fază (de exemplu, prin rotirea statorului mobil al mașinii auxiliare), această condiție este indicată de voltmetrul conectat între  $R$  și  $R'$ ,  $U_{RR'}=0$ . Cînd mașina sincronă de încercat se încarcă atunci  $U_{RR'} \neq 0$  și  $U_{RR'} = 2 V_{RT} \sin(\delta/2)$ , ( $|V_{RT}| = |V_{R'T'}|$ ), la unghiuri mici  $V_{RR'} = V_{RT} \cdot \delta$ .

În figura 4.88 se prezintă și o altă posibilitate de măsurare a unghiului  $\delta$ . Mașina auxiliară alimentează circuitul de măsură; o lamelă vibrantă comandată de tensiunea rețelei închide circuitul de măsură numai pe o semiperioadă. La  $\delta=0$ , curentul mediu în circuitul de măsură este nul dacă

Bobinele de curent sînt conectate în serie și alimentate de la generatorul auxiliar cu un curent de valoare efecace constantă și a cărui fază variază cu  $E_0$ . Bobinele de tensiune sînt alimentate de la rețeaua care alimentează și mașina sincronă de încercat;  $W_x$  are bobina de tensiune alimentată cu tensiunea de fază  $U_{f1}$  iar  $W_y$  cu tensiunea  $U_{23}$  în cuadratură cu  $U_{f1}$ . Wattmetrul  $W_x$  măsoară puterea  $P_1 = IU_{f1} \cos(I, U_{f1})$ , iar wattmetrul  $W_y$  puterea  $P_2 = IU_{23} \cdot \cos(I, U_{23})$ . În sistemul de coordonate cartezian se construiesc vectorii  $OP_1$  și  $OP_2$ . Vectorul  $OP_1$  se determină la  $\delta=0$  și are proiecțiile

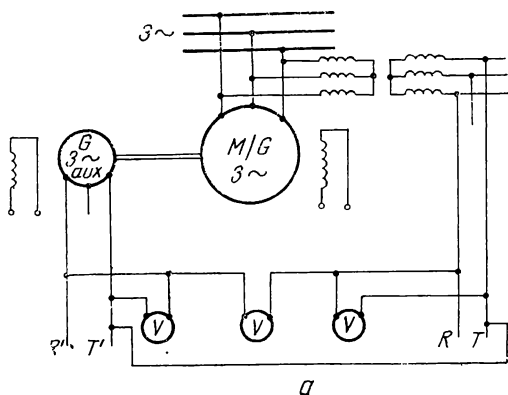
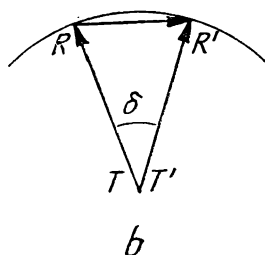


Fig. 4.87. Măsurarea unghiului intern cu ajutorul a trei voltmetre: a — schemă electrică; b — diagramă fazorială.



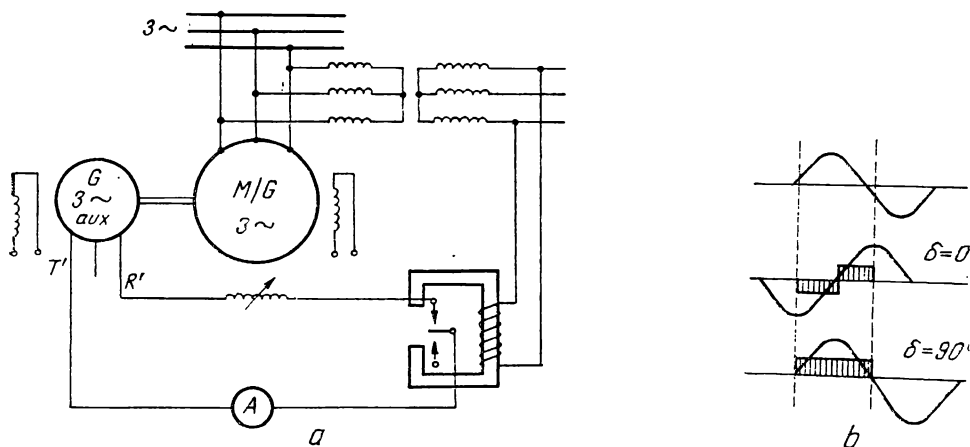


Fig. 4.88. Măsurarea unghiului intern cu ajutorul unui traductor cu impulsuri:  
a — schemă electrică; b — variația unghiului.

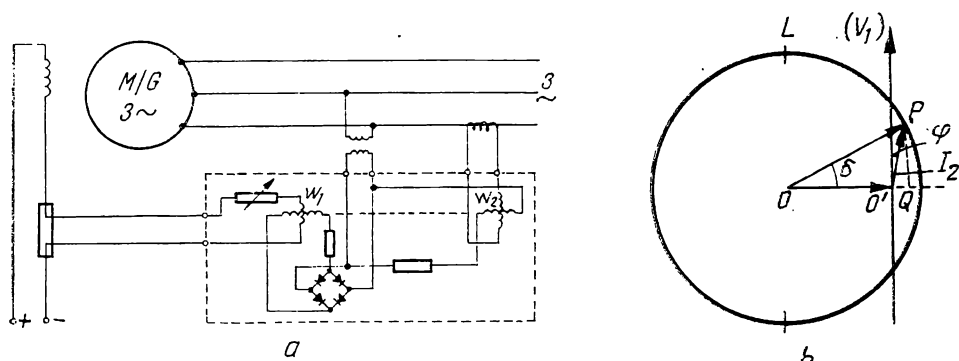


Fig. 4.89. Măsurarea unghiului intern cu două wattmetre și punte redresoare:  
a — schemă electrică; b — diagramă fazorială.

statorul mașinii auxiliare este adus într-o poziție corespunzătoare. Ampermetrul  $A$  măsoară valoarea medie a curentului care se află într-o relație simplă cu unghiul  $\delta$  ( $I = I_m \cdot \frac{2}{\pi} \sin \delta$ ).

O altă schemă cu două wattmetre pentru determinarea unghiului intern este prezentată în figura 4.89. Bobinele de tensiune ale celor două wattmetre sînt solidare. Wattmetrul  $W_2$  măsoară puterea  $V_f I_2 \cos \varphi_2$  iar  $W_1$  puterea  $KV_f I_e$ . Diagrama construită cu aceste date permite stabilirea relației:  $\sin \delta = PQ/OP = V_f I_2 \cos \varphi / KV_f I_e$ .

## 4.27. SISTEME DE EXCITAȚIE PENTRU MAȘINI SINCRONE

Mașinile sincrone se construiesc într-o gamă foarte largă de puteri, fapt care conduce la o mare varietate de sisteme de excitație ale mașinii. Pentru alimentarea înfășurării de excitație în curent continuu, uzual, sînt

necesare inele colectoare montate pe axul mașinii și perii de contact, fixate pe stator, care alunecă pe inele.

i Sursa de curent continuu este, fie o mașină excitatoare sau simplu excitatoare, fie o instalație de excitație. Excitatorul sau instalația de excitație fac parte dintr-un sistem de excitație care asigură funcțiuni multiple de reglaj și protecție. În condițiile creșterii continue a puterii grupurilor unitare din sistemele electroenergetice, sistemul de excitație al generatorului sincron devine un element de prim ordin în exploatarea mașinii sincrone.

O condiție importantă impusă sistemului de excitație este realizarea unei viteze de răspuns mare, adică asigurarea creșterii în timp scurt a tensiunii la bornele înfășurării de excitație a generatorului, pentru a putea restabili rapid tensiunea la bornele generatorului sincron în caz de avarii în sistemul electroenergetic; sistemele de excitație trebuie să asigure și un plafon ridicat al tensiunii de excitație în vederea forțării excitației în regimuri tranzitorii de avarie. Reglarea curentului de excitație este necesară în regimurile normale ale mașinii sincrone în diferite scopuri: încărcarea sau descărcarea de putere reactivă a unui generator sincron când funcționează într-un sistem de mare putere; ridicarea tensiunii unui întreg sistem energetic prin creșterea simultană a excitației tuturor generatoarelor, modificarea factorului de putere sub care funcționează un motor sincron etc.

Noțiunea de sistem de excitație este relativ nouă, ea s-a impus pe măsură ce s-au dezvoltat și au sporit în complexitate echipamentele specializate în asigurarea excitării generatoarelor sincrone de mare și foarte mare putere care debitează în sistemele energetice, precum și conducerea procesului de excitație după legile dictate de cerințele sistemului energetic.

Astfel, considerând generatoarele sincrone de mare putere care debitează în sistemul energetic, pentru a se asigura o repartitie de energie convenabilă consumatorilor, concomitent cu o producție rațională de energie electrică, este absolut necesar, ca tensiunea la consumatori să fie cât mai constantă posibil, și aceasta în condițiile în care în sistem au loc variații permanente ale sarcinilor active și reactive, care produc după cum este cunoscut variații de tensiune la sistemele de bare.

De asemenea, deranjamentele din sistemul electroenergetic (scurtcircuite) sînt însoțite de puternice variații ale tensiunii, creînd pericolul pierderii sincronismului generatoarelor sincrone și deci a stabilității.

Pentru asigurarea puterii pe care o mașină sincronă o debitează în sistem în condiții de tensiune constantă, și funcționare stabilă, fiecare agregat este înzestrat cu două sisteme de reglaj: unul pentru reglarea automată a vitezei de rotație, care comandă în funcție de viteza de rotație, vana de admisie a agentului motor primar (abur, apă etc.) și unul pentru reglarea automată a tensiunii, care comandă în funcție de mărimile de ieșire ale generatorului sincron (tensiune, curent, putere, unghi etc.) tensiunea de excitație aplicată indusului. În figura 4.90 este prezentată o schemă de principiu a unui generator sincron împreună cu cele două sisteme de reglaj, *RAV* și *RAT*.

De regulă la apariția unei perturbații în sistem, primul care acționează este regulatorul automat de tensiune (*RAT*), care are o viteză de răspuns mai mare și este comandat de tensiunea de la bornele generatorului. Regulatorul automat al vitezei (*RAV*) intervine la 0,2...0,5 secunde de la producerea (semnalarea) primei oscilații, prin închiderea (sau deschiderea) vanei

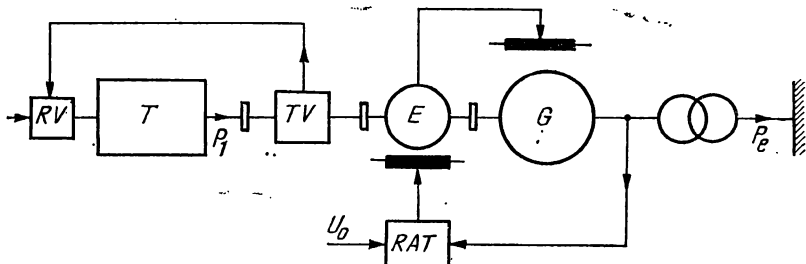


Fig. 4.90. Generator sincron și elemente de reglaj (schemă de principiu):  
 $G$  — generator sincron;  $E$  — excitatoare;  $T$  — turbină;  $RAT$  — regulator automat de tensiune;  
 $RV$  — regulator de viteză;  $U_0$  — tensiune de referință;  $TV$  — traductor de viteză;  $P_1$  — putere  
 mecanică;  $P_e$  — putere electrică.

de admisie a agentului primar. Rezultă de aici importanța majoră pe care o are, în asigurarea funcționării stabilizate la tensiune constantă, sistemul de excitație al generatorului sincron.

În cazul în care perturbația sistemului provine dintr-un scurtcircuit pe linia de transmisie a energiei electrice, se produce o scădere rapidă a tensiunii la borne, cu atât mai mare cu cât scurtcircuitul este mai apropiat de centrală. Tensiunea la borne fiind mică, caracteristica puterii generatorului coboară mult sub cea corespunzătoare situației dinaintea scurtcircuitului, fiind amenințată stabilitatea dinamică a generatorului respectiv (fig. 4.91). Dacă însă, în această situație se mărește rapid, în perioada creșterii unghiului intern, tensiunea de excitație, se ridică din nou caracteristica puterii (curba  $c$  din figura 4.91), astfel că după câteva oscilații amortizate situația se stabilizează. Procesul de creștere rapidă și în limite mari a curentului de excitație se numește *forțarea excitației*. S-a constatat practic că majorarea curentului de excitație nu trebuie continuată pe întreaga durată a scurtcircuitului, ci numai atât timp cât unghiul intern crește. După ce unghiul intern atinge valoarea lui maximă și ulterior începe să scadă, trebuie redus corespunzător curentul de excitație. Este utilă deci variația tensiunii de excitație după o lege dată de derivata în timp a unghiului intern al mașinii sincrone. Acest lucru implică folosirea ca elemente de intrare în  $RAT$ , pe lângă tensiunea, curentul, respectiv puterea de ieșire din generator, a unor semnale adiționale de unghi intern.

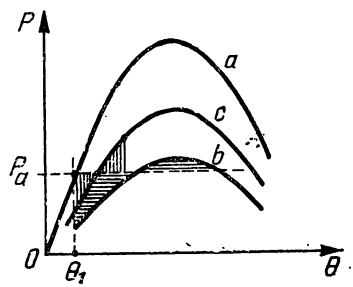


Fig. 4.91. Criteriul ariilor egale aplicat în cazul scurtcircuitului de linie și forțarea excitației:

$a$  — caracteristica puterii înainte de scurtcircuit;  $b$  — împiedat după scurtcircuit;  $c$  — după forțarea excitației.

Trebuie menționat că tendințele actuale de proiectare a mașinilor sincrone converg către creșterea continuă a puterilor unitare. Există în prezent generatoare de 1500 MVA și se tinde la realizarea de unități de 2000—3000 MVA. Acest lucru se poate realiza prin utilizarea sistemelor de răcire directă cu agenți de răcire lichizi (apă, ulei). Ca o consecință a acestui fapt, negativă din punct de vedere al stabilității naturale a generatoarelor, este continua înrăutățire a caracteristicilor mecanice și electrice. Reactanțele sincrone sînt mult mai mari decît cele naturale, în timp ce momentele de

inertie, și deci timpii de lansare nu au crescut, ci dimpotrivă în unele cazuri s-au redus cu creșterea puterii.

În această situație sistemele de excitație trebuie să preia, suplimentar și sarcina de a compensa caracteristicile defavorabile ale generatoarelor sincrone, pentru a menține stabilitatea în funcționare a ansamblului sistem de excitație — mașină sincronă — sistem energetic.

Parametrii care caracterizează un sistem de excitație cu *RAT*, sînt următorii:

— timpul de răspuns al *RAT* (durata de la apariția perturbației pînă cînd începe să crească tensiunea de excitație), care trebuie să fie de cel mult 0,05 secunde;

— plafonul excitației ( $\phi = U_{emax}/U_{enom}$ ), care trebuie să fie de cel puțin 1,5...2,5;

— viteza medie de răspuns a excitației ( $v_{em} = \frac{\Delta U_e}{\Delta t}$ ) exprimată pe intervalul  $\Delta t = 0,5$  s, și care trebuie să fie între (0,8...1,2).  $U_{enom}$  (V/s).

Trebuie menționat că pentru mașini sincrone de puteri mai mari de 100 MW, durata de timp pe care se definește viteza medie de răspuns a excitației trebuie să fie mai mică (pînă la 0,05 s). În ceea ce privește comportarea sistemelor de reglare a tensiunii de excitație se constată că ridicarea numai a plafonului de excitație fără o creștere a vitezei de atingere a acestui plafon este inefficientă. În general, pentru asigurarea unei stabilități dinamice suficiente, este necesar ca plafonul  $\phi$  de minimum 2 să fie atins în maximum 50 ms.

În figura 4.92 se arată variația tensiunii de excitație,  $U_e$ , în cazul unui scurtcircuit pe linia de transmisie, în cazul unui sistem de *RAT* static, cu tiristoare (ideal din punct de vedere al timpului de răspuns) și unul prevăzut cu mașină excitatoare de curent continuu, pentru aceeași valoare a plafonului excitației,  $\phi = U_{emax}/U_{en}$ .

În tabelul 4.4 sînt dați cei mai importanți parametri ai sistemelor de excitație pentru turbogeneratoarele de 50—330 MW aflate în sistemul energetic național, de fabricație URSS (Electrosila), RSC(SKODA) sau RSR (licență Alsthom).

Perfecționarea continuă a sistemelor de excitație pentru generatoarele sincrone care debitează în sisteme energetice este determinată de cumulearea unor funcții complexe de către sistemul de excitație, legate de:

— asigurarea excitației mașinii sincrone în regimuri staționare diferite, de la mersul în gol pînă la încărcarea maximă;

— asigurarea stabilității dinamice a generatoarelor la încărcări bruște sau descărcări bruște prin forțarea excitației sau, dimpotrivă prin dezexcitare rapidă;

— menținerea tensiunii la un nivel satisfăcător în timpul avariei, cît și revenirea ei într-un timp cît mai scurt după înlăturarea defectului.

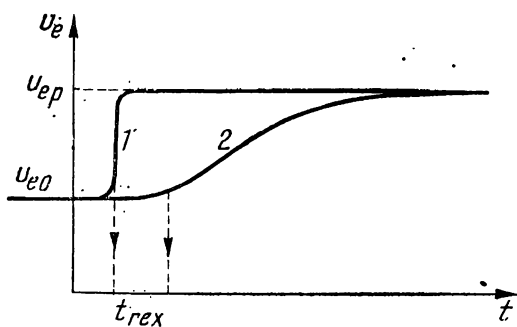


Fig. 4.92. Variația tensiunii de excitație în cazul intervenției *RAT*:

1 — sistem de excitație static, cu tiristoare; 2 — excitator de c.c. rotativă.



TABELUL 4.4. Date caracteristice ale sistemelor de RAT pentru unele generatoare sincrone instalate în sistemul energetic național

Putere nominală și proveniența	50-60 MW URSS	50 MW SKODA	100 MW SKODA	150 MW URSS	200 MW URSS	315/330 MW ALSTHOM
Tensiunea de excitație nominală, V	250	350	360	270	316	360
Plafonul excitației, $U_{e\ max}/p$	$\frac{500}{2}$	$\frac{780}{2,25}$	$\frac{720}{2}$	$\frac{540}{2}$	$\frac{632}{2}$	$\frac{842}{2,34}$
Durata maximă de forțare a excitației, s	20	5	4	20	20	8
Viteza de răspuns pentru $t=0,5$ s	—	2,5	2,2	2	2	2,75
Timpul de răspuns (timp mort al RAT), s	—	0,05	0,05	—	0,03	0,01
Tipul sistemului de excitație	Mașină de c.c. cu excitație derivație	Mașină de c.c. și sub excitație pilot	Amplidină antrenată de motor asincron cu volan	Alternator de 500 Hz cu sistem de redresare și comandă prin amplificatoare magnetice	Alternator de excitație și subexcitație de c.a.	Alternator de excitație și subexcitație de c.a.

Din punctul de vedere al autonomiei sursei de energie necesare excitației mașinii sincrone, sistemele de excitație pot fi independente sau dependente. În cadrul sistemelor de excitație independente, mașina excitatoare funcționează autonom, fără nici o legătură cu regimul de funcționare al generatorului. De cele mai multe ori mașina excitatoare preia puterea mecanică direct de la axul principal.

Sistemele de excitație dependente preiau direct energia electrică de la bornele generatorului principal (autoexcitație). Cazul acestor sisteme, fără luarea unor măsuri speciale, trebuie considerat ca defavorabil din punct de vedere al siguranței în funcționare, deoarece în caz de avarie (scurtcircuit), excitația nu poate fi comandată în așa fel încât să ușureze condițiile de revenire a mașinii la starea normală.

Se prezintă în continuare câteva sisteme de excitație mai uzuale.

În figura 4.93, *a*, *b* sînt prezentate scheme de excitație autonomă, cu mașini de curent continuu. Excitatorul principală ( $E_x$ ), cuplată pe axul principal, lucrează prin autoexcitație (fig. 4.93, *a*) sau prin excitație proprie (fig. 4.93, *b*), printr-o a doua mașină de curent continuu (subexcitatoare), montată tot pe axul principal. Subexcitatorul lucrează prin autoexcitație. În ambele scheme, reglajul tensiunii de excitație se face prin reglajul excitației mașinii excitatoare prin intermediul regulatorului de tensiune. În figura 4.93, *b* se poate observa și modul în care, în funcție de tensiunea generatorului, se poate face forțarea excitației (prin închiderea contactului *C*) sau dezexcitarea rapidă (prin deschiderea contactului *C'*).

Se menționează că excitarea mașinilor sincrone prin mașini de curent continuu este limitată de puterea maximă a mașinilor de curent continuu. Astfel există dificultăți serioase în fabricarea unor mașini, de curent continuu, la turație relativ ridicată, de puteri peste 1 MW. Din acest motiv acest sis-



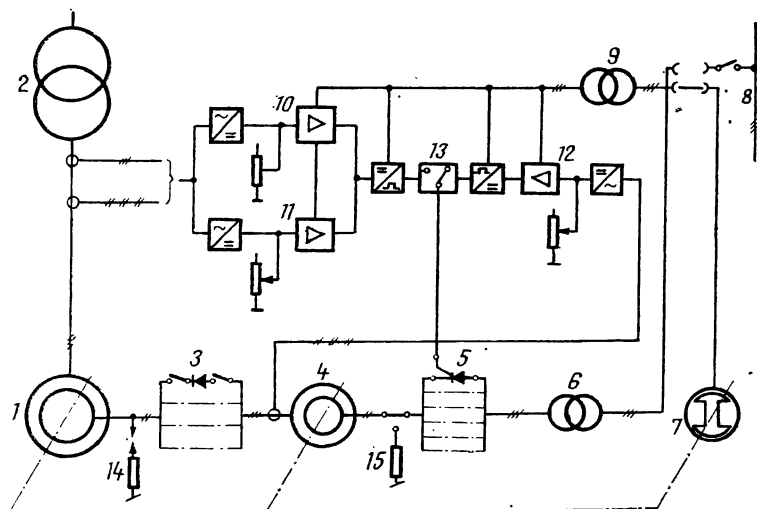


Fig. 4.95. Schemă de principiu pentru excitația unui turbogenerator de 1333 MVA (Brown - Boveri):

1 - generator; 2 - transformator bloc; 3 - redresor cu diode; 4 - alternator de excitație principal; 5 - punte de tiristoare; 6 - transformator de alimentare a punții; 7 - alternator pilot cu magneți permanenți; 8 - rețea auxiliară; 9 - transformator de alimentare a dispozitivului de comandă; 10 - regulator de tensiune; 11 - regulator de unghi intern; 12 - regulatorul curentului de excitație; 13 - dispozitiv de conectare; 14 - scurtcircuitor; 15 - rezistența pentru dezexcitație.

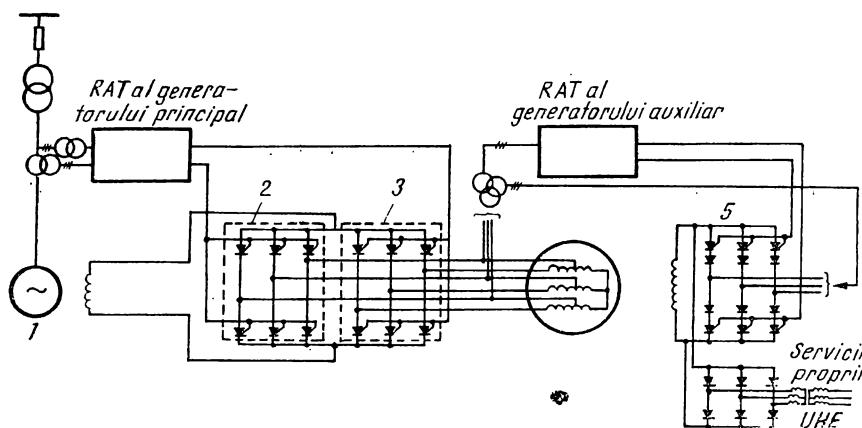


Fig. 4.96. Schema excitației hidrogeneratorului de 190 MVA de la CHE Porțile de Fier:

1 - generator principal; 2 - grupa de tiristoare care asigură regimul normal de lucru; 3 - grupa de tiristoare de forțare; 4 - generator auxiliar; 5 - grupa de tiristoare pentru excitația generatorului auxiliar.

auxiliar se excită printr-o punte auxiliară, de la rețeaua proprie a centralei. Excitația generatorului principal se realizează prin două grupe de tiristoare, o grupă de lucru și una de forțare. Există două RAT, unul pentru generatorul principal, iar al doilea pentru alternatorul de excitație.

Se realizează în prezent și sisteme de excitație cu excitatoare de curent alternativ fără nici un fel de contacte alunecătoare (fără inele și perii la inductor). În aceste cazuri alternatorul de excitație are o construcție inversată, avînd inductorul stator și indusul rotor. Blocul de redresoare, este

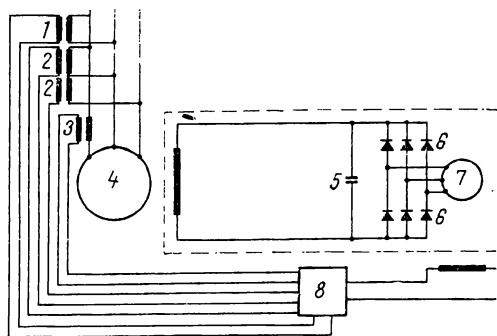


Fig. 4.97. Schema de excitație fără contacte alunecătoare (BBC):

1 — transformator de alimentare; 2 — transformator de tensiune; 3 — transformator de curent; 4 — generator sincron principal; 5 — condensator de protecție; 6 — punte de diode; 7 — alternator de excitație inversat; 8 — regulator. Partea încadrată se află pe rotor.

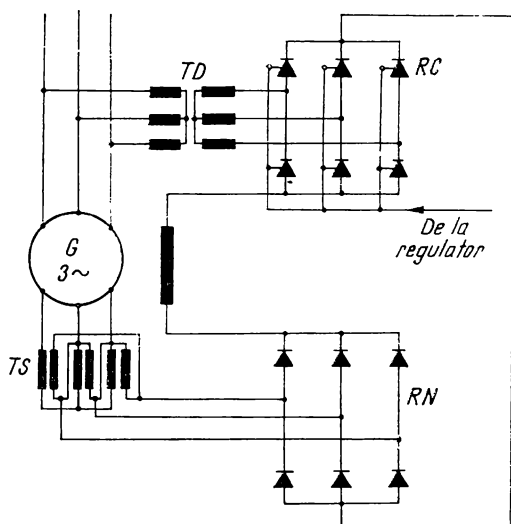


Fig. 4.98. Schemă de autoexcitație cu redresare comandată (soluție Alsthom):

G — generator principal; TD — transformator derivație; TS — transformator serie; RN — punte cu diode; RC — punte cu tiristoare.

situat pe rotorul generatorului principal și se află deci în mișcare de rotație. Comanda pentru reglajul curentului de excitație se aplică excitației alternatorului de excitație. O asemenea schemă de principiu este arătată în figura 4.97. Pe partea de curent continuu a punții de redresare din rotor este montat condensatorul 5 pentru protecția diodelor la supratensiunile de comutație, care apar datorită inductivităților de pe partea de curent alternativ.

Sistemele de excitație fără mașini excitatoare se bazează pe autoexcitarea mașinii sincrone. Energia necesară excitării se ia direct de la bornele mașinii, prin intermediul unui transformator, după care se redresează. Avantajul unor asemenea scheme constă în cost redus și simplitate constructivă, dar marele dezavantaj constă în siguranță redusă în funcționare.

În figura 4.98 este prezentată o schemă de autoexcitație cu redresare comandată, elaborată de firma Alsthom (Franța). Transformatorul serie (TS) alimentează o punte de diode care asigură excitația la mersul în sarcină și în general pentru regimurile limită (scurtcircuite). Puntea de tiristoare, comandată prin intermediul RAT, asigură excitarea la mersul în gol.

Schema poate asigura o dezexcitare rapidă, prin comanda, în regim de inverter a redresorului cu tiristoare.

Tendențele actuale în alegerea sistemelor de excitație pentru generatoarele de mare putere converg înspre utilizarea excitatoarelor de curent alternativ și a schemelor de redresare comandată. Sistemele de excitație cu mașini de curent continuu reprezintă azi un stadiu depășit pentru unități de puteri peste 100 MVA, datorită dificultăților legate de comutația la perii care limitează viteza de rotație a axului, precum și datorită vitezei de răspuns reduse în cazul reglajului automat al tensiunii.

Mai trebuie remarcat și faptul că puterea noilor sisteme de excitație, cu redresoare comandate, reprezintă un procent sensibil mai mic din puterea nominală a generatorului sincron (0,5...0,6% din puterea nominală, față de 1...1,2% pentru excitatoarele de curent continuu).

## 4.28. MAȘINI SINCRONE DE PUTERE MARE

În construcția și exploatarea mașinilor sincrone de mare putere apar o serie de particularități funcționale și de structură. Valorile parametrilor au implicații în primul rând asupra stabilității mașinii. Parametrii mai importanți în studiul stabilității sînt: parametrii generatorului  $H$ ,  $X_d$ ,  $X'_d$ ,  $X''_d$ ,  $X_q$ ,  $(X'_q)$ ,  $X''_q$ ,  $T'_d$ ,  $T''_d$ ,  $(T'_q)$ ,  $T''_q$ ,  $X_{\sigma}$ ,  $X_{\sigma e}$ ,  $E = f(I_e)$ ; funcția de transfer a regulatorului de tensiune și a altor elemente aferente turbinei; reactanța relativă a transformatorului  $X_{tr}$  și rețeaua, natura șocului (monofazat, scurtcircuit), poziția șocului și durata lui  $t_F$ .

Parametrii generatorului sînt determinați de construcția mașinii și se găsesc în anumite limite pentru mașinile de mare putere. Constanta de inerție  $H$  scade cu creșterea puterii și crește odată cu creșterea numărului perechilor de poli  $p$  (fig. 4.99). Se poate indica o limită inferioară a lui  $H$  pentru că această mărime este mult influențată de turbină. Reactanța  $x_d$  (fig. 4.100) și reactanța  $x'_d$  (fig. 4.101), rezistența înfășurării statorice  $r$  (fig. 4.102) și constanta de timp  $T'_d$  (fig. 4.103) au o tendință de creștere

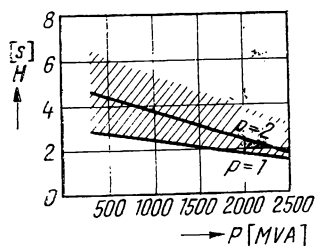


Fig. 4.99. Valorile constantei de inerție  $H$  a turboalternatoarelor în raport cu puterea  $S$  (limitate inferior).

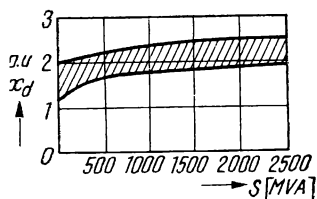


Fig. 4.100. Reactanța sincronă  $X_d$  a turboalternatorului în funcție de puterea  $S$ .

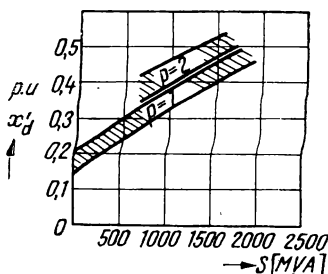


Fig. 4.101. Reactanța tranzitorie  $x'_d$  a turboalternatorului în funcție de puterea  $S$ .

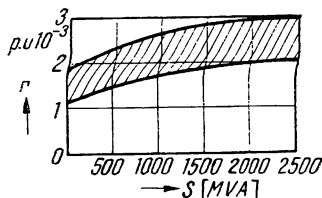


Fig. 4.102. Rezistența statorică a turboalternatorului în funcție de puterea  $S$ .

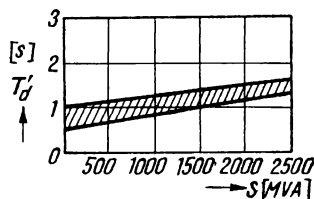


Fig. 4.103. Constanta de timp  $T'_d$  a turboalternatorului în funcție de puterea  $S$ .

odată cu creșterea puterii. Această tendință de creștere cu puterea se constată și la reactanța tranzitorie  $X'_d$ . În tabelul 4.5 se prezintă date cu privire la parametrii mașinilor sincrone stabilite pe modele pentru care durată critică de scurtcircuit a fost luată ca un criteriu de comparație pentru diferitele modele.

Sistemele de răcire ale generatoarelor de mare putere ocupă un loc important atât în construcția cit și în exploatarea mașinilor sincrone. Odată cu creșterea puterii unitare

rezultă o utilizare mai eficientă a materialelor active și a celor de construcție. Astfel dacă în 1940 puterea specifică obținută la turbogeneratoare era de 0,5 kW/kg, a ajuns în 1960 la 1 kW/kg (la puteri unitare de aproximativ 400 MVA), iar în 1980 se prevede a fi de 2,5 kW/kg (la puteri unitare de peste 1 500 MVA).

La aceste puteri problema evacuării căldurii rezultate din pierderi este esențială pentru limitarea temperaturii bobinajelor. Astfel spre exemplu, la un turbogenerator de 1 000 MVA, pierderile totale se ridică la 14 MW. Trebuie remarcat faptul că întotdeauna pierderile specifice în rotor sînt mai mari decît cele din stator, aceasta deoarece dimensiunile rotorului<sup>1</sup> și în primul rînd diametrul său sînt limitate din considerente mecanice. În tabelul 4.6 se dau valorile orientative ale pierderilor în înfășurări, așa cum se distribuie pe rotor și pe stator. Se constată că cu creșterea puterilor unitare căldura dezvoltată în rotor este cea care limitează puterea utilă a mașinii. Ca agenți de răcire pentru mașinile sincrone de mare putere se utilizează cel mai frecvent aerul, hidrogenul, uleiul și apa. Capacitatea acestor agenți de a prelua căldura dezvoltată prin pierderi depinde de căldura lor specifică, de densitate precum și de viteza cu care circulă prin interiorul mașinii. În tabelul 4.7 se prezintă aceste elemente prin raportare la aer și se constată ordinea în care agenții de răcire menționați sînt eficienți

TABELUL 4.5. Parametrii mașinii sincrone considerați în calcule pentru diferite puteri

	Turbogenerator $S = 30$ MVA	Turbogenerator $S = 600$ MVA	Turbogenerator $S = 1500$ MVA	Hidrogenerator $S = 150$ MVA
$p$	1	1	1	1
$R$ p.u.	0,002	0,0018	0,00205	0,00254
$X$ p.u.	0,2	0,188	0,279	0,1
$X_d$ p.u.	1,90	2,0	2,2	0,91
$X_q$ p.u.	1,65	1,85	2,1	0,66
$X'_d$ p.u.	0,238	0,29	0,44	0,30
$X''_d$ p.u.	0,138	0,25	0,324	0,24
$X'_q$ p.u.	—	0,52	0,64	—
$X''_q$ p.u.	0,180	0,23	0,282	0,27
$T'_d$ s	0,76	0,85	1,21	1,1
$T'_q$ s	—	0,58	0,47	—
$T''_d$ s	0,03	0,028	0,03	0,05
$T''_q$ s	0,0584	0,058	0,049	0,06
$H$ s	5,29	3,6	2,65	3,56
$X_T$ p.u.	0,11	0,15	0,20	0,12
$X_N$ p.u.	0,02	0,05	0,10	0,04

**TABELUL 4.6. Pierderile specifice în înfășurările turbogeneratoarelor de mare putere**

S. MVA	Pierderi specifice în înfășurări, W/kg	
	Stator	Rotor
800	150	500
1500	320	1100

**TABELUL 4.7. Principalele caracteristici ale agenților de răcire**

Agentul de răcire	căldura specifică	Densitatea	Viteza posibilă	Capacitatea de preluare a căldurii
Aer	1	1	1	1
Hidrogen la 2 at.	14,35	0,21	1	3
Hidrogen la 3 at	14,35	0,28	1	4
Ulei	2,09	848	0,012	21
Apă	4,16	1000	0,012	50

**TABELUL 4.8. Dependența dintre puterea unitară și agentul (sistemul de răcire)**

Puterea maximă  peste 750 MVA	Rotor		Stator	
	Agent de răcire	Sistem de răcire	Agent de răcire	Sistem de răcire
	Apă	Direct	Apă	Direct
500 MVA	H <sub>2</sub>	Direct	Apă	Direct
250 MVA	H <sub>2</sub>	Direct	H <sub>2</sub>	Indirect
100 MVA	Aer	Indirect	Aer	Indirect

Într-o schemă de răcire. Sistemele de răcire cele mai eficiente sînt cele directe, la care agentul de răcire preia căldura chiar din locurile în care aceasta se produce; în conductoare și în pachetele de tole. În acest scop conductoarele de bobinaj sînt găurite, constituind conducte pentru agentul de răcire. Trecerea peste puterea unitară de 100 MVA a fost posibilă numai prin utilizarea răcirii directe. În tabelul 4.8 se prezintă orientativ dependența dintre agenții și sistemele de răcire ale turboalternatoarelor sincrone și puterea unitară maximă posibil de a se obține. Se constată că pentru puteri unitare de peste 750 MVA este absolut necesar să se utilizeze apă, în sistem direct, atît în stator cit și în rotor (în bobinaje). În figura 4.104 sînt prezentate modalități de răcire ale conductoarelor din creștături. Pentru puteri unitare de pînă la 800 MVA se utilizează în prezent sisteme de răcire combinate aer-hidrogen-apă. Astfel în figura 4.105 se arată schematic circuitele de răcire ale unui turbogenerator, care are inelele colectoare răcite cu aer în circuit deschis, rotorul și pachetele de fier statorice răcite cu hidrogen, iar bobinajul statoric răcit cu apă, în circuit închis. Cele două ventilatoare  $V_1$  și  $V_2$  sînt montate direct pe axul generatorului. Pachetul de tole statoric este parcurs de hidrogen de la capete spre mijloc, prin canale axiale care se află atît în jugul statorului cit și în dinții statorului. În figura 4.106 se prezintă un segment de tolă statorică cu canale axiale, iar în figura 4.107 este prezentată circulația hidrogenului prin mașină. Schimbătorul de căldură hidrogen-apă, cu țevi, este compus din două părți, situate în ambele capete ale mașinii. Pachetul de tole statoric este secționat în pachete elementare doar în porțiunea din mijloc, pentru a se putea închide circuitul hidrogenului prin spațiu dintre pachet și carcasă. În rotor, hidrogenul circulă prin canalele cu care sînt prevăzute conductoarele din creștătură (fig. 4.108). La mijlocul pachetului, datorită profilului acestor conductoare și a canalelor frezate în penele rotorului, hidrogenul iese din rotor și traversează întrefierul. În figura 4.109

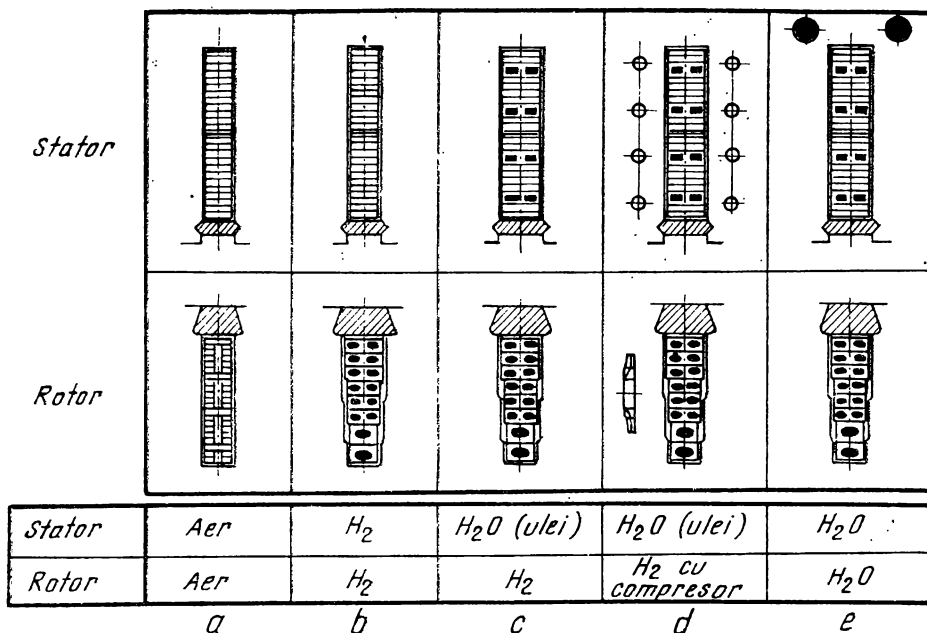


Fig. 4.104. Diferite moduri de răcire a turbogeneratoarelor (BBC).

se arată ieșirea hidrogenului din rotor. Un circuit tipic de apă pentru răcirea bobinajului statoric este arătat schematic în figura 4.110, iar în figura 4.111 este arătată circulația reală a apei prin conductoarele din creștături. La capetele frontale ale mașinii se găsesc țevile colectoare la care sînt conectate conductoarele de bobinaj prin țevi elastice din material izolant (teflon). În figura 4.112 este arătată o secțiune printr-o creștătură statorică. O problemă importantă în cazul răcirii turbogeneratoarelor cu hidrogen este etanșarea lagărelor prin care trece arborele, problema rezolvată prin circulația forțată a uleiului în lagăre.

În figura 4.113 este arătată o schemă de principiu a unui asemenea lagăr, la care se disting trei circuite de ulei, unul prin lagărul propriu-zis, iar două prin sistemul de etanșare. În circuitele de admisie a uleiului în sistemul de etanșare precum și în circuitele în paralel ale pompelor 14 și 16 sînt montate regulatoare automate de debit cu membrană. În cazul creșterii presiunii hidrogenului în spațiul lagărului dinspre turbogenerator regulatoarele 6, 15 și 18 acționează în așa fel încît se obturează circuitele în paralel și se forțează circulația uleiului în sistemul de etanșare, împiedicînd astfel trecerea hidrogenului prin lagăr spre exterior.

Răcirea conductoarelor rotorice cu apă se realizează prin intermediul unei camere de distribuie a apei situată în partea rotorului unde sînt inelele colectoare (fig. 4.114). Pentru rotoarele bipolare camera de distribuie are patru compartimente pentru intrarea apei și două pentru ieșire. Circulația apei în rotor se realizează prin intermediul a două țevi concentrice între ele și concentrice cu axul mașinii. Apa intră prin țeava interioară și parcurge bobinajul rotorului și iese prin spațiul dintre cele două țevi. Pentru realizarea circuitului de apă, bobinajul rotorului trebuie să aibă o configurație specifică. Bobinajul este în două straturi, de tip concentric în partea opusă inșlelor (și a alimentării cu apă) și de tip ondulat în partea alimentării. Schema bobinajului este indicată în figura 4.115. Mărirea în continuare a puterilor unitare în unitățile de generare a energiei se prevede prin realizarea de mașini criogenice în primul rînd prin realizarea excitației supraconductoare.



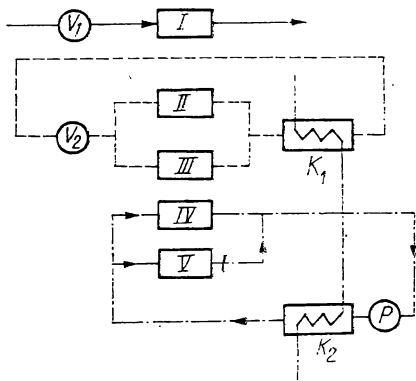


Fig. 4.105. Circuitele de răcire ale unui turbogenerator cu răcire mixtă aer-hidrogen-apă:

— aer rece; - - - hidrogen; — · — · — apă;  $V_1, V_2$  — ventilatoare;  $k_1$  — schimbător de căldură gaz-apă;  $k_2$  — schimbător de căldură apă-apă;  $P$  — pompă de apă; I — inele colectoare; II — rotor; III — fier stator; IV — bobinaj stator; V — borne.

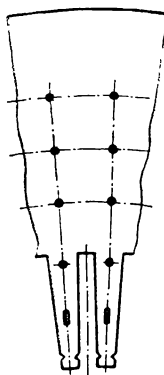


Fig. 4.106. Segment de tolă stator cu canale axiale de răcire.

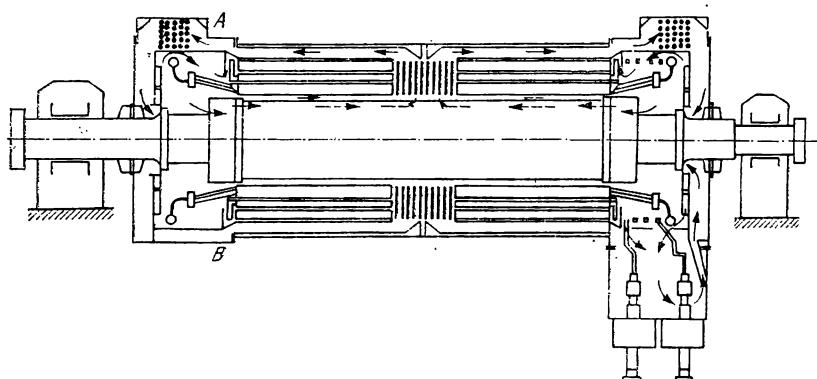


Fig. 4.107. Secțiune transversală printr-un turbogenerator cu răcire cu hidrogen a rotorului și a fierului statoric:

A — secțiune orizontală; B — secțiune verticală.

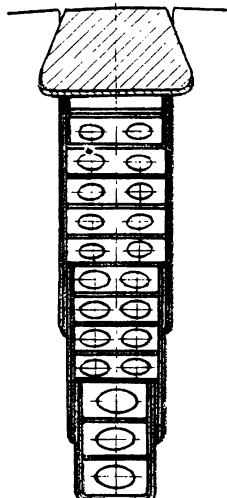


Fig. 4.108. Secțiune printr-o creștătură rotorică cu răcire directă.

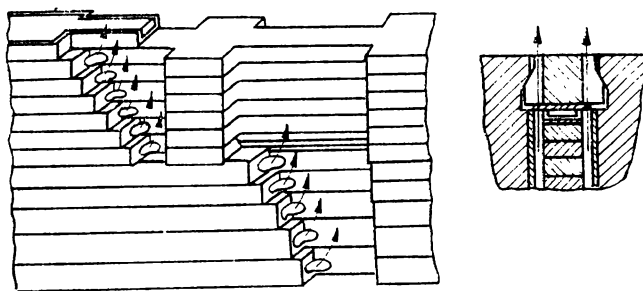


Fig. 4.109. Ieșirea hidrogenului din conductoarele rotorice, la mijlocul pachetului.

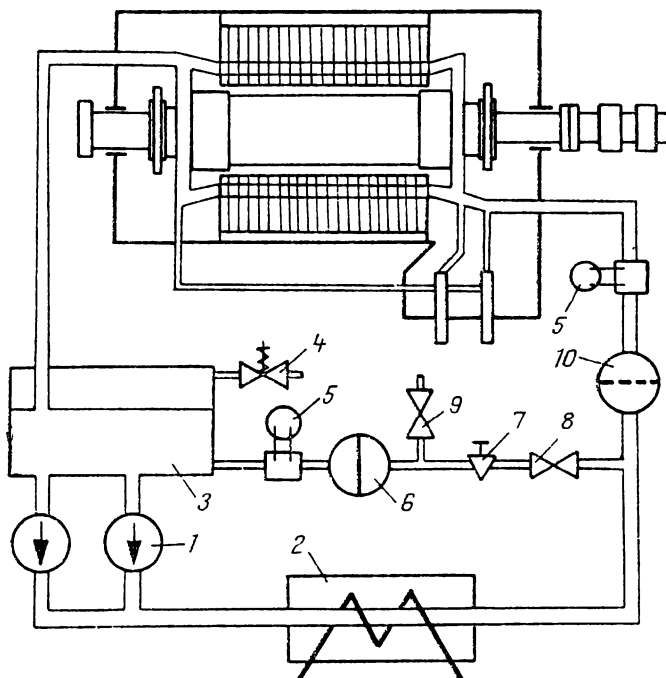


Fig. 4.110. Schemă simplificată a circuitului de apă pentru răcirea bobinajului statoric:

1 — pompă de apă; 2 — radiator; 3 — rezervor principal; 4 — ventil pentru evacuare gaz; 5 — aparat pentru determinarea conductibilității; 6 — schimbător de ioni; 7 — ventil de reglare debit; 8 — ventil de închidere; 9 — ventil de preaplin; 10 — filtru.

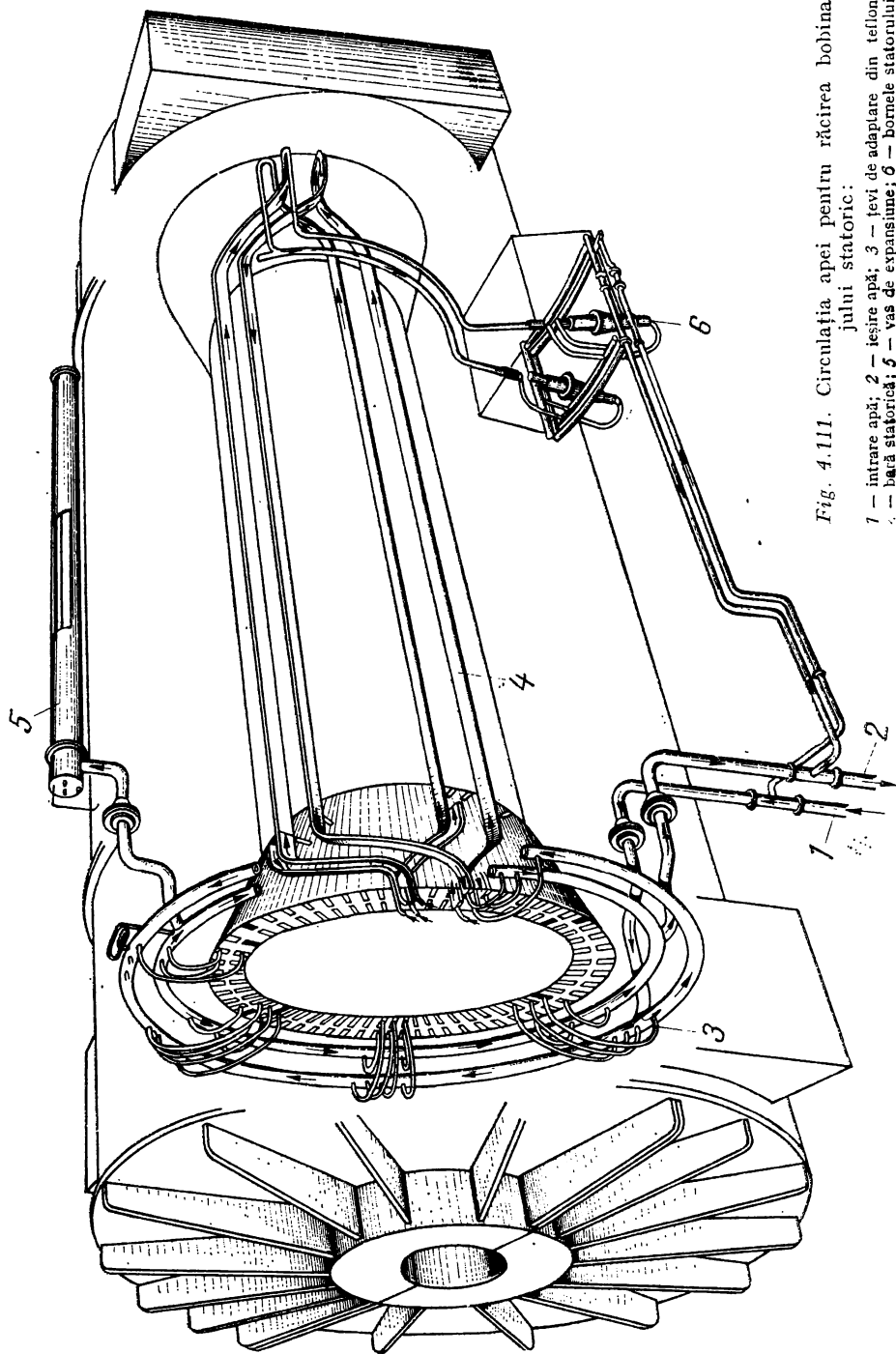


Fig. 4.111. Circulația apei pentru răcirea bobina-  
jului statoric:

1 — intrare apă; 2 — ieșire apă; 3 — țevi de adaptare din țelion;  
4 — bară statorică; 5 — vas de expansiune; 6 — bornele statorului.

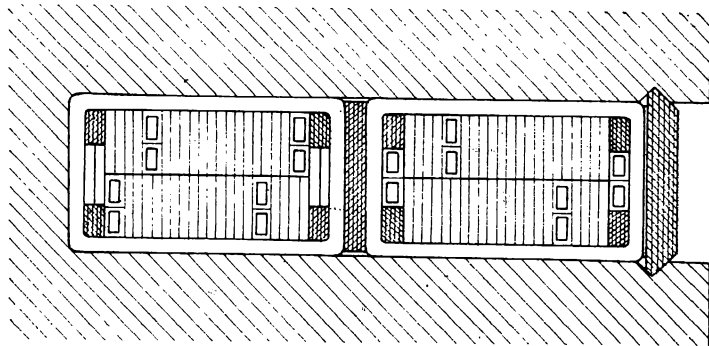


Fig. 4.112. Secțiune printr-o creștătură statorică cu răcire directă.

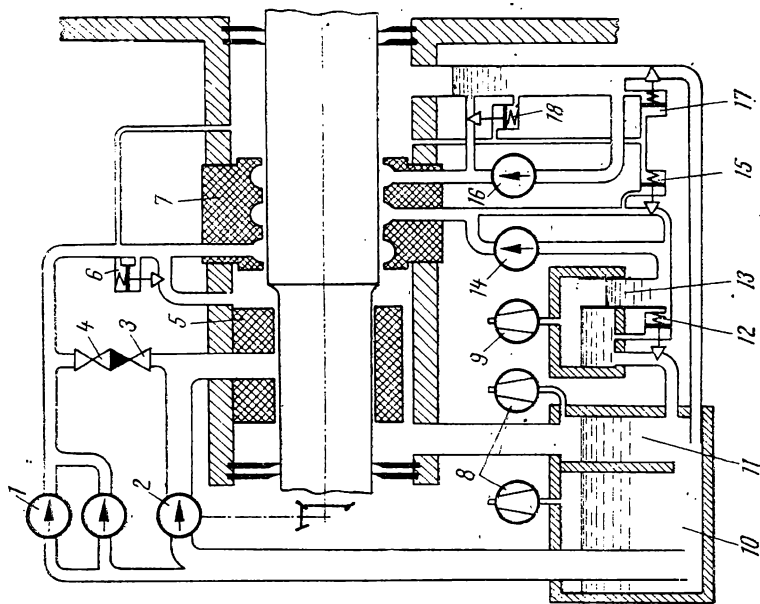


Fig. 4.113. Schemă de principiu a unui lagăr cu etanșare la hidrogen prin circulație forțată a uleiului:

1 — pompă principală de ulei; 2 — pompă de ulei pentru lagăr; 3 — clapetă de reglaj; 4 — ventil de închidere; 5 — lagăr; 6 — regulator diferențial de presiune; 7 — sistem de etanșare; 8 — ventilatoare; 9 — pompă de vid; 10 — rezervor de ulei; 11 — sifon; 12 — regulator de admisie a uleiului; 13 — rezervor secundar de ulei; 14, 16 — pompe de ulei pentru circuitele de etanșare; 15, 17, 18 — regulatoare de circulație ulei.

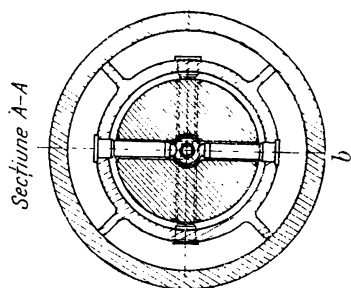
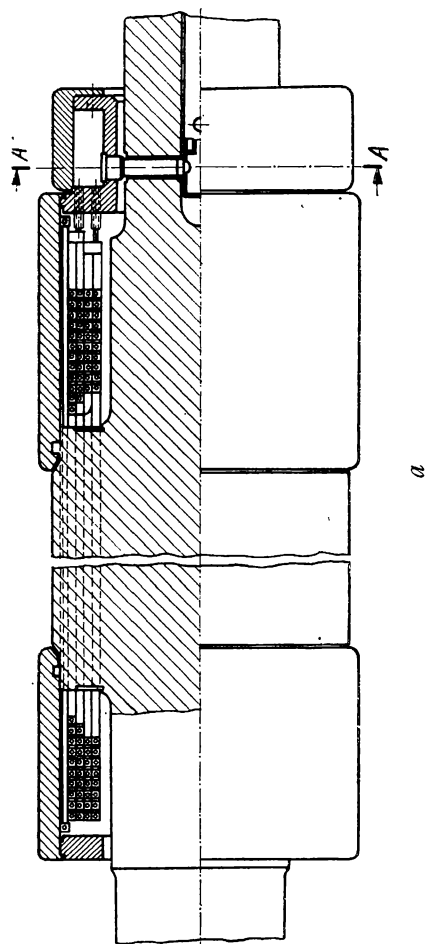


Fig. 4.114. Sectionne printr-un rotor de turbogenerator cu răcire cu apă.

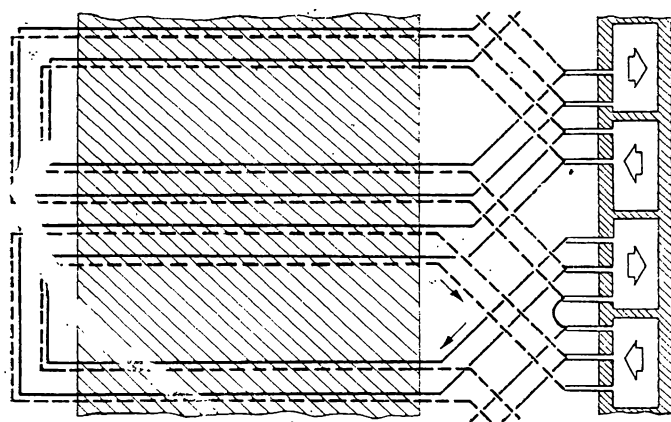


Fig. 4.115. Schema de bobinaj a unui rotor de turbogenerator bipolar cu răcire cu apă.

### 4.28.1. CRIOMAȘINI SINCRONE

După cum este cunoscut, pentru multe metale sau aliaje ale acestora există o anumită temperatură (în domeniul temperaturilor extrem de joase cuprinse aproximativ între 0,1 K și 8,5 K) denumită *temperatură critică* ( $T_c$ ) la care rezistivitatea devine, practic nulă. Variația rezistivității în funcție de temperatura  $T$  depinde de gradul de puritate al materialului respectiv. Astfel, pentru materialele supraconductoare pure anularea rezistivității la temperatura critică se face brusc, în timp ce la cele impure această varia-

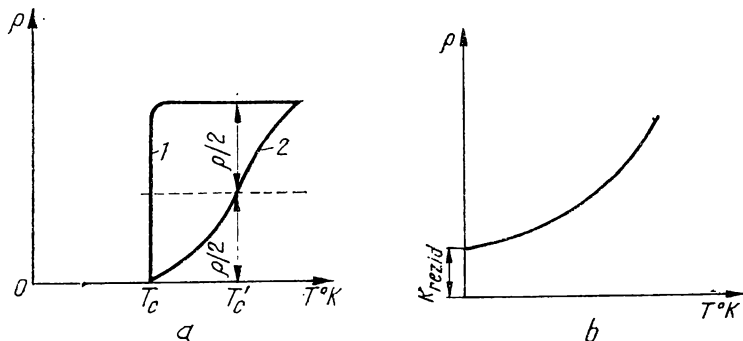


Fig. 4.116. Rezistivitatea  $\rho$  funcție de temperatura  $T$ :

1 — pentru materiale pure; 2 — pentru materiale impure (a); metale cu rezistivitate reziduală (b).

ție este lentă (fig. 4.116). De subliniat câteva proprietăți importante și anume:

- materialul supraconductoare își pierde rezistivitatea la  $T < T_c$ ;
- în cazul materialelor normale, în domenii de temperaturi extrem de joase rezistența lor scade foarte mult, fără a se anula, la o valoare denumită rezistență reziduală care este cu atât mai mică cu cât metalul respectiv este mai pur;
- starea de supraconductibilitate, chiar dacă  $T < T_c$  se poate anula dacă aceasta se supune unui câmp magnetic exterior mai mare decât o anumită valoare denumită valoarea critică a intensității câmpului magnetic  $H_c$ ;
- experiența demonstrează că inducția magnetică critică  $B_c$  depinde de temperatura  $T$  conform relației  $B_c = B_{c0}[1 - (T/T_c)^2]$  unde  $B_{c0}$  este inducția critică la 0 K;
- la unele materiale supraconductoare  $T_c$  scade când presiunea crește (efectul este sesizabil la presiuni foarte mari);
- la alte materiale (exemplu: Ti, Zn, V)  $T_c$  crește cu creșterea presiunii;
- unele semiconductoare devin supraconductoare când presiunea crește

Există trei tipuri de materiale supraconductoare I, II, III<sup>1-2</sup>. Supraconductoarele de tipul I prezintă un salt brusc al inducției magnetice interioare de la zero, la o valoare nominală pentru o valoare critică  $H_c$ . Materialele de tipul II de la o anumită valoare critică  $H_{c1} < H_c$

<sup>1</sup> Hadlow, M. E., Baylis, J. A., Lindley, B. C. *Superconductivity and its applications to power engineering*. Proc. IEE Reviews. vol. 119, nr. 8R, 1972.

<sup>2</sup> Pușcașu, S., Georgescu, E. *Aspecte actuale ale utilizării supraconductibilității în construcția de mașini electrice rotative*. In: Electrotehnica, 25, nr. 3, 1977.

nu mai prezintă un diamagnetism perfect și are loc o pătrundere treptată a cîmpului electro-magnetic cu inducții interioare mai mici decît la tipul I. Supraconductoarele de tipul III au valori ridicate pentru  $H_c$  (sînt denumite supraconductoare de cîmp înalt) și au permis realizarea de conductoare utilizabile pentru înfășurările de excitație, o mică parte din aceste materiale sînt tehnic utilizabile (tabelul 4.9).

În prezent se realizează pe scară industrială un sortiment bogat de materiale supraconductoare de cîmp înalt, apte să fie folosite la realizarea înfășurărilor mașinilor, transformatoarelor și cablurilor lucrînd în medii criogenice. În prezent printre limitele esențiale ale mașinilor electrice rotative, mai importante sînt:

a) inducția magnetică din întrefier depășește cu puțin 1 T datorită limitelor impuse de geometria normală a rotorului și statorului, precum și datorită inducției de saturație, relativ reduse a nivelurilor respective care nu depășesc 2 T;

b) densitatea de curent maximă, inclusiv în cazul răcirii cu fluide necriogenice, este de pînă la 20 A/mm<sup>2</sup>;

c) pînza de curent A nu depășește 2 750 A/cm;

d) parametrii mecanici și geometrice limitează puterea mașinii. Astfel

la turbogeneratoarele cu doi poli lungimea arborelui rotoric  $l_r$  impune condiții constructive restrictive din cauza vibrațiilor, comportării la torsiune, săgeții statice a axului și diametrul exterior rotoric  $D_r$  este limitat de forța centrifugă, deci de efortul maxim admisibil al materialului din care se realizează rotorul ( $l_r \leq 16$  m,  $D_r \leq 1,5$  m la  $p = 1$ ,  $D_r \leq 2,4$  m la  $p = 2$ ).

Studiile de prognoză arată că puterile unitare maxime, realizate în prezent, de ordinul a 1 300÷1 500 MVA, vor putea fi depășite ajungîndu-se prin ameliorarea răcirii cu fluide necriogenice a rotorului și statorului, la valori de 2 000 MVA pentru turbogeneratoarele bipolare și la 3 000 MVA pentru cele tetrapolare. Creșterea în continuare a puterii, respectiv micșorarea dimensiunilor constructive și a greutateii la aceeași putere, se poate face folosind supraconductibilitatea. Greutatea specifică exprimată în N/kVA scade odată cu perfecționarea sistemelor de răcire și are valori mici la crioalternatoare (fig. 4.117). O evoluție a reducerii dimensiunilor mașinii, precum și creșterea puterii la aceeași lungime a mașinii se prezintă în figura 4.118. În tabelul 4.10 se prezintă date comparative între un generator de construcție obișnuită și un generator supraconductor. Prin utilizarea înfășurării de excitație supraconductoare, în general, se obține o sporire a randamentului cu 0,5...0,8% la turbogeneratoarele cu doi poli și cu 0,3...0,5% la cele cu patru poli (fig. 4.119). De subliniat că chiar la puteri mai mici (de ordinul 300 MVA) soluția supraconductoare este eficientă sub aspect tehnico-economic.

Luarea în considerare a realizării unor mașini fără creștături cu număr sporit de bare la care tensiunea nominală poate atinge valori de 200—500 kV

TABELUL 4.9.      Principalele materiale supraconductoare tehnic utilizabile

Materialul	$T_c^\circ$ , in K	$B_c$ , in T
$Nb Zr$	9...11	7...9
$Nb Ti$	8...10	9...12
$Nb_3 Sn$	18,3	22,5
$V_3 Ca$	14,5	21
$Pb Bi$	8,6	12,5
$V_3 Si$	17	23,5
$Nb_3 Al$	18,7	29,5
$Nb_3 (Al_{0,73} G_{0,27})$	20,7	41

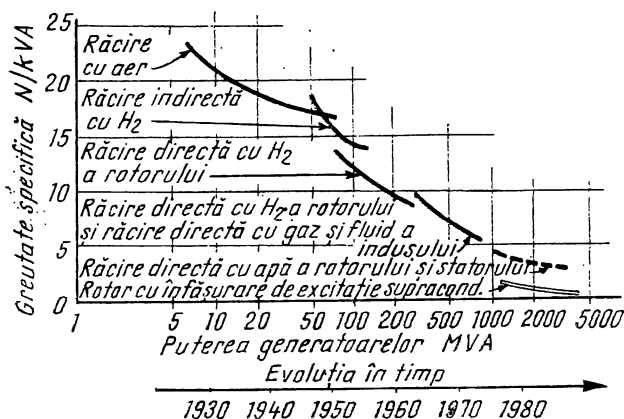


Fig. 4.117. Greutatea specifică în N/kVA a turbogeneratoarelor cu sisteme de răcire diferite.

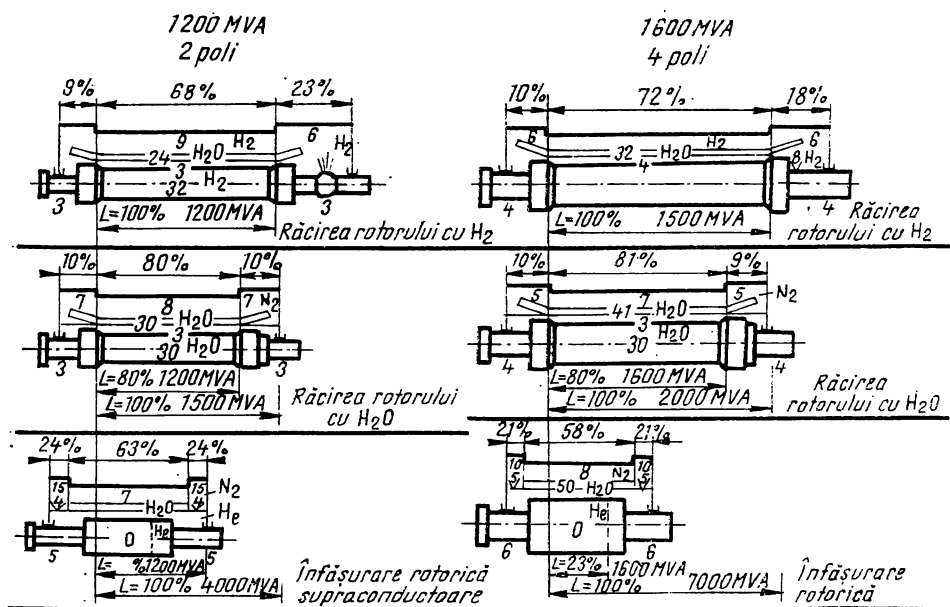


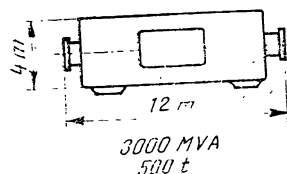
Fig. 4.118. Dimensiunile principale și distribuția procentuală a pierderilor în turbogeneratoare pentru diferite sisteme de răcire.

(nu mai sînt necesare transformatoare de rețea) este posibilă cu înfășurări supraconductoare.

Structura de bază a unui generator supraconductor (fig. 4.120) este constituită din următoarele elemente: corp rotor intern, răcit la temperaturi apropiate de cele ale heliului lichid, care conține o înfășurare de excitație supraconductoare; un sistem de ecranare rotorică compus, în general din unul sau mai multe corpuri cilindrice conductoare, aflate la temperatura mediului ambiant sau la temperatura criogenică (de exemplu temperatura arborelui), care înconjoară înfășurarea de excitație; indusul cu o structură



TABELUL 4.10. Date comparative între un generator de construcție obișnuită și un generator supraconductor, ( $U_n = 27 \text{ kV}$ )



700 t

Mașini convenționale cu doi poli		Mașini supraconductoare cu doi poli
1,25	Diametrul rotorului, în m	1,16
8	Lungimea activă, în m	6,4
3,15	Diametrul exterior al carcasei statorului, în m	3,15
410	Greutatea rotorului și a axului, în t	310
4,5	Greutatea/unitatea de putere, în N/kVA	1,7
260	Solenația, în kA/m	785
40	Numărul Esson ( $C = \pi^2 \xi_1 A B \delta / 60 \sqrt{2}$ ), în kVA·min/m <sup>3</sup>	115
2,2	Reactanța sincronă, $x_d$ în u.r.	0,9
0,31	Reactanța tranzitorie $x'_d$ în u.r.	0,7
0,25	Reactanța supratranzitorie $x''_d$ în u.r.	0,55
0,03	Constanta de timp supratranzitorie $T''_d$ în s	1
1	Constanta de timp tranzitorie, $T'_d$ în s	$\begin{cases} \geq 60 \\ > 60 \end{cases}$ funcție de $R_t$
7	Constanta de timp pentru statorul cu înfășurările în gol $T'_{a0}$ în s	
98,75	Randament, $\eta$ în %	99,2

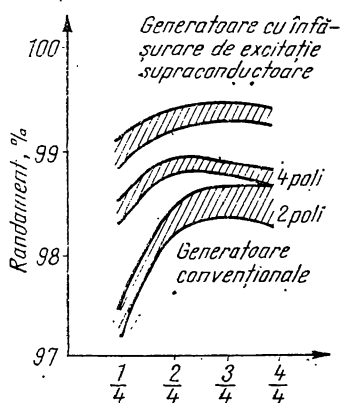


Fig. 4.119. Randamentul generatorului (comparație).

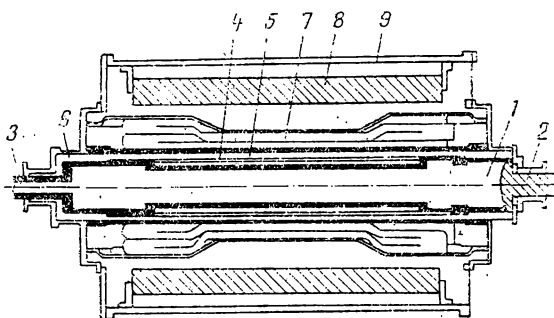


Fig. 4.120. Secțiune longitudinală printr-un generator supraconductor:

1 — arbore gol, în al cărui întrefier se menține vid; 2 — capătul arborelui racordat cu instalația de răcire și vidare; 3 — capătul arborelui racordat cu instalația de răcire și vidare; 4 — înfășurarea supraconductoare în He lichid și acoperită în exterior pe toată lungimea de un tub subțire din oțel inox; 5 — cilindru conductor din cupru solidat cu rotorul menținut la temperatură scăzută (superioară lui 4,2 K) cu rol de ecran termic și electromagnetic; 6 — zona în care se menține vidul; 7 — înfășurarea indusului trifazat; 8 — ecran magnetic laminat; 9 — carcasă.

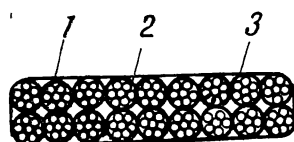
monolitică, aflat la temperatura mediului ambiant a cărui înfășurare este răcită în general cu apă; un ecran cilindric statoric realizat din fier sau din materiale conductoare neferoase (cupru, aluminiu) montat în exteriorul înfășurării indusului. La generatoarele sincrone o condiție favorabilă este faptul că înfășurarea de excitație se află în câmp magnetic constant (dacă se neglijează efectul armonicilor). Pentru realizarea înfășurărilor supraconductoare se utilizează îndeosebi aliaje NbTi și Nb<sub>3</sub>Sn. În timp ce Nb<sub>3</sub>Sn are caracteristici electrice mai bune permițând densități de curent mai mari și o putere de refrigerare mai redusă, aliajul NbTi este mai ușor de fabricat și nu este fragil ca Nb<sub>3</sub>Sn. Aliajul NbTi se livrează sub formă de conductoare subțiri, introduse într-o matrice de cupru. Datorită solicitărilor pe care le suportă supraconductoarele înfășurării de excitație, acestea sînt introduse în rășini termorezistente sau rășini epoxidice care asigură o structură monolitică. Sistemul de ecranare rotorică protejează înfășurarea supraconductoare de câmpurile magnetice asincrone, asigură o amortizare a pendulațiilor și suportă solicitările în caz de scurtcircuit. Aceste cerințe sînt contradictorii și în cazul ecranului realizat dintr-un singur cilindru conductor se acceptă o soluție de compromis. Aceste dificultăți sînt înlăturate de ecranul format din mai multe corpuri cilindrice de diferite rezistivități. Ecranul dublu este mai avantajos, are un cilindru interior cu conductivitate mare, aflat în imediata apropiere a înfășurării de excitație pentru ecranarea câmpurilor magnetice asincrone iar al doilea cilindru de conductivitate mai redusă este dispus în fața corpului statoric și amortizează pendulațiile. Un inconvenient al sistemelor de ecranare este că mărește distanța radială dintre stator și rotor. Din acest motiv este în studiu ecranul denumit „ecran bobinat” care prevede transferarea unei părți din solicitările electrodinamice înfășurării de excitație sau structurii sale portante; la acest ecran cilindrii sînt înlocuiți cu două înfășurări ortogonale aflate la temperatură criogenică, o altă soluție are în vedere ecranul cilindric subțire și flexibil cu cilindrul conductor în interior.

Statorul, în varianta fără circuit magnetic, are înfășurarea realizată din bare formate din mai multe grupe conductoare din Cu cu secțiune mică ( $\Phi = 0,8 \dots 1$  mm; secțiunea poate fi și de formă pătrată) și care prezintă transpoziții ale diferitelor grupe de conductoare, sau în fiecare grup. Ca izolație se folosește o bandă din fibră de sticlă, rășini care au și rolul de consolidare asigurîndu-se o structură monolitică (fig. 4.121), deoarece conductoarele sînt supuse la eforturi mecanice (la construcțiile cu circuit magnetic, eforturile se exercită în principal asupra dinților). Alt element al statorului este ecranul extern care limitează domeniul de existență al câmpurilor magnetice la interiorul mașinii. Dintre toate soluțiile ecranul din fier laminat este mai avantajos (fluxul util mai mare, pierderi suplimentare relativ mici). Eliminarea circuitului magnetic prezintă dezavantajul că câmpul magnetic scade mult spre armătura statorică. Pentru câmpuri moderate menținerea circuitului magnetic este un avantaj. Din punct de vedere mecanic dificultățile sporesc datorită forțelor electrodinamice mari, funcționării la temperaturi scăzute a unora din componentele mașinii, absenței fierului ca element de rezistență. Materialele utilizate trebuie să aibă un nivel ridicat de elasticitate, o rezistență mare la rupere și o densitate mică pentru a limita forțele centrifuge. O altă problemă de natură mecanică este menținerea unui vid ridicat și realizarea unor etanșări rotative pentru menținerea vidului precum și pentru circuitele de răcire.

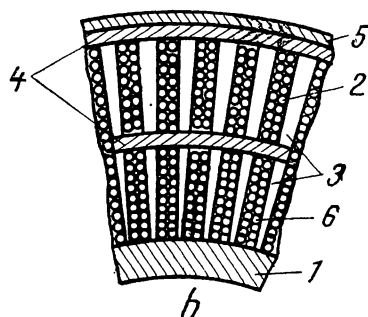
Din punct de vedere termic, menținerea unor zone ale rotorului la temperaturi joase implică o putere de răcire  $P_R$  care are valori cu atît mai mari

Fig. 4.121. Structura înfășurării indusului fără creștături:

$a$  — grupe de conductoare elementare: 1 — conductoare elementare; 2 — grup de conductoare izolate; 3 — canal de circulație a lichidului de răcire;  $b$  — dispunerea înfășurării: 1 — cilindru intern din rășină fenolică; 2 — izolație pe bază de rășină termorezistentă; 3 — distanțori din rășină fenolică; 4 — izolație din fibră de sticlă și rășină epoxidică; 5 — strat extern din fibră de sticlă și rășină epoxidică; 6 — canale de răcire.



$a$

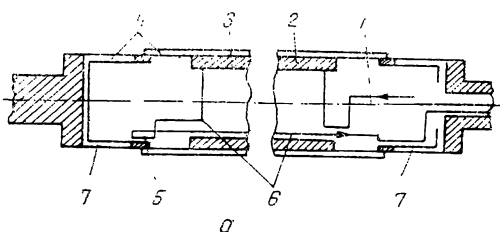


$b$

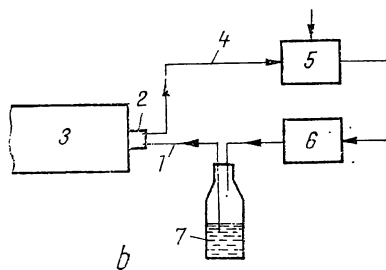
TABELUL 4.11.  
Puterea de răcire  $P_R$   
pentru diferite tempera-  
turi ale părții reci

$T$	K	80	40	20	4,2	3,5
$P_R$	W	11	27	65	400—500	600—800

cu cât temperatura părții reci este mai coborîtă (tabelul 4.11). Inductorul este alimentat cu heliu lichid care este introdus prin axul mașinii și apoi dirijat radial spre înfășurarea de excitație (fig. 4.122). Distanțorii termici constituiți din tuburi subțiri din oțel inox ca și ecranul rotativ sînt străbătuți de heliu gazos la 30—40 K ce iese din înfășurarea de excitație (fig. 4.123). Rotorul criogenic poate fi alimentat cu heliu la diferiți parametri (heliu lichid în stare de fierbere, heliu hiper critic la 4,5K și  $p \geq 3$  at, sau la alți parametri) care depind de sistemul criogenic intern și extern al rotorului.



$a$



$b$

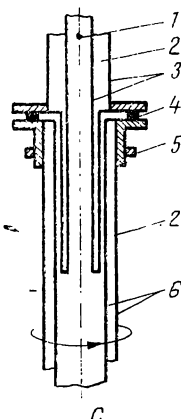
Fig. 4.122. Alimentarea rotorului cu heliu lichid ( $a$ ):

1 — circuit de intrare a heliului; 2 — înfășurarea de excitație la 4,2°K; 3 — zonă cu vid; 4 — ecrane radiante; 5 — schimbătoare de căldură; 6 — circuite de ieșire a heliului gazos; 7 — distanțori termici;

Schema de principiu a unui sistem de alimentare cu heliu lichid ( $b$ )  
1 — conductă pentru heliu lichid; 2 — cuplaj de rotație; 3 — rotorul alternatorului; 4 — heliu gazos; 5 — recipient cu heliu gazos; 6 — lichefiator cu heliu; 7 — recipient cu heliu lichid;

Cuplaj rotativ de tip baionetă ( $c$ ):

1 — heliu lichid; 2 — zonă cu vid; 3 — partea fixă a cuplajului (de obicei din oțel inox); 4 — garnitură de etanșare în rotație; 5 — rulmenți de ghidare; 6 — partea rotativă a cuplajului (de obicei din oțel inox).



$c$

## 4.29. MAȘINI SINCRONE SPECIALE

### 4.29.1. GENERATOARE SINCRONE DE FRECVENȚĂ RIDICATĂ

Mașina sincronă poate produce putere electrică la o frecvență ridicată, cuprinsă între 300 și 10 000 Hz, pentru alimentarea instalațiilor de tratamente termice cu încălzire prin inducție electromagnetice. Construcția mașinii sincrone la frecvențe joase 300—600 Hz este apropiată de cea întâlnită la generatoarele de frecvență industrială.

Dintre tipurile de generatoare sincrone de frecvență înaltă cel mai frecvent întâlnit este tipul Guy, a cărui construcție reiese din figura 4.123.

Generatoarele de frecvență înaltă au miezul feromagnetic realizat din tole subțiri de 0,2 mm; ambele armături sînt crestate pe partea întrefierului. Rotorul este crestat uniform; statorul are crestături mici cu pasul egal cu cele din rotor. În stator se mai prevăd crestături notate cu  $e$  în care se așază înfășurarea de excitație și crestături notate cu  $i$ , în care se așază înfășurarea indusului. Deschiderea acestor crestături mari se alege astfel încît, la un moment dat, dinții statorului sînt distribuiți pe un pas polar (cuprins între două crestături  $e$ ) jumătate față în față cu dinții rotorului, iar jumătate sînt situați în fața crestăturilor rotorului.

Cîmpul magnetic inductor înlanțuie în sensuri diferite înfășurarea indusului, prin urmare fluxul magnetic inductor care înlanțuie înfășurarea indusă variază în timp și induce o t.e.m. în această înfășurare. Tensiunea indusă în înfășurarea indusului are frecvența  $f = Zn$ , în care  $Z$  este numărul de dinți ai rotorului, iar  $n$  este turația.

Generatoarele sincrone de frecvență înaltă se construiesc îndeosebi ca mașini monofazate și au înfășurările indusului și de excitație cu o singură bobină pe pol. Lărgimea întrefierului la aceste mașini se alege cît mai mică posibil, pînă la limita la care se poate realiza construcția sa mecanică, pentru a se obține o variație cît mai mare a reluctanței întrefierului la o deplasare a rotorului în intervalul unui pas de crestătură. Puterea nominală a acestor generatoare este de 10 ... 100 kVA în construcție monofazată.

În figura 4.124 se prezintă secțiunea longitudinală și transversală printr-un generator unipolar cu două pachete statorice.

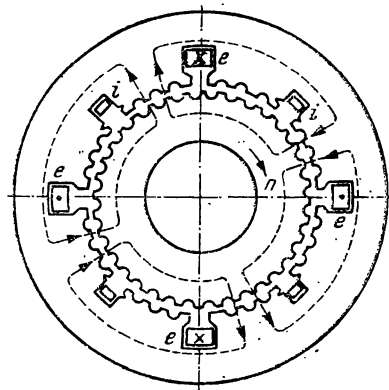


Fig. 4.123. Mașina sincronă tip Guy.

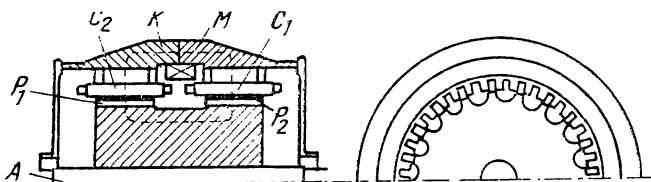


Fig. 4.124. Secțiune longitudinală și transversală printr-un generator unipolar cu două pachete statorice:

A — butuc;  $P_1, P_2$  — pachetele rotorice dințate fără înfășurare;  $C_1, C_2$  — pachetele statorice pe care se dispune înfășurarea indusă; M — bobina de excitație; K — carcasa.

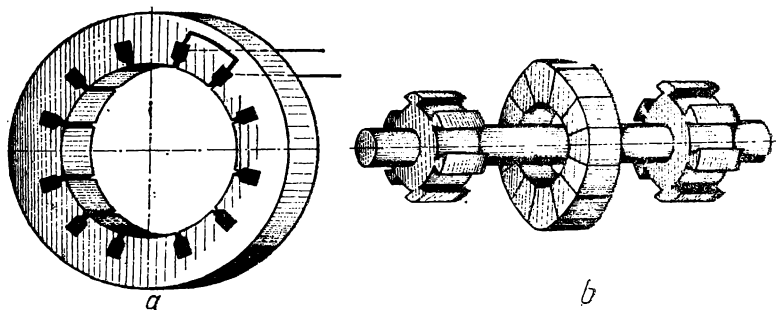


Fig. 4.125. Schița pachetului statoric (a); schița rotorului (b).

Înfășurarea  $M$  este alimentată în curent continuu și se numește înfășurare de excitație. Pe butucul  $A$  sînt fixate două pachete dințate  $P_1$  și  $P_2$  din tole de oțel electrotehnic. Statorul este realizat din două pachete inelare din tole de oțel electrotehnic pe care se dispun înfășurările induse. Dacă rotorul are o anumită turație atunci reluctanța traseului după care se închid liniile de cîmp variază și rezultă o variație a fluxului magnetic. În figura 4.125 se prezintă schița unui pachet statoric și a rotorului. Aceste tipuri de generatoare se construiesc într-un diapazon larg de puteri (sute de wați la sute de kilowați) și frecvențe (500—10 000 Hz).

#### 4.29.2. MAȘINA SINCRONĂ CU POLII ÎN GHEARE

Mașina se realizează în construcție heteropolară (fig. 4.126). Inductorul are înfășurarea de excitație formată dintr-o singură bobină cu ajutorul căreia se realizează o magnetizare axială. Bornele bobinei de excitație sînt scoase radial prin jugul inductor și apoi axial prin arborele mașinii, la două inele de contact; pe acestea sînt așezate periile de contact care se leagă la sursa de excitație. Polii inductorului sînt sub formă de gheare; cei  $p$  poli de același nume formează împreună polul respectiv al bobinei de excitație și sînt racordați la un jug inductor, parțial comun. Miezul feromagnetic al inductorului este format prin întrepătrunderea decalată a două sisteme de poli gheară, pe același arbore, după un întrefier de montaj. Indusul este realizat în construcția folosită uzual și este echipat cu o înfășurare monofazată sau trifazată. Fluxul magnetic principal se închide axial prin jugul inductor, apoi radial prin polii inductori sub formă de gheară, prin întrefier, spre indus, prin dinții și jugul indusului, înlănțuindu-se astfel cu înfășurarea indusului. Fluxul de scăpări al polilor inductori este relativ mare, pentru a fi redus acest flux de scăpări polii inductori au o construcție adecvată. Se construiesc pentru puteri de 100 W...10 kW și frecvențe  $f=400...$ ...1200 Hz și se utilizează în echipamentul pentru autovehicule împreună cu o punte redresoare ca sursă de c.c. În figura 4.126,  $A$  se prezintă statorul și rotorul unei mașini cu poli gheară.

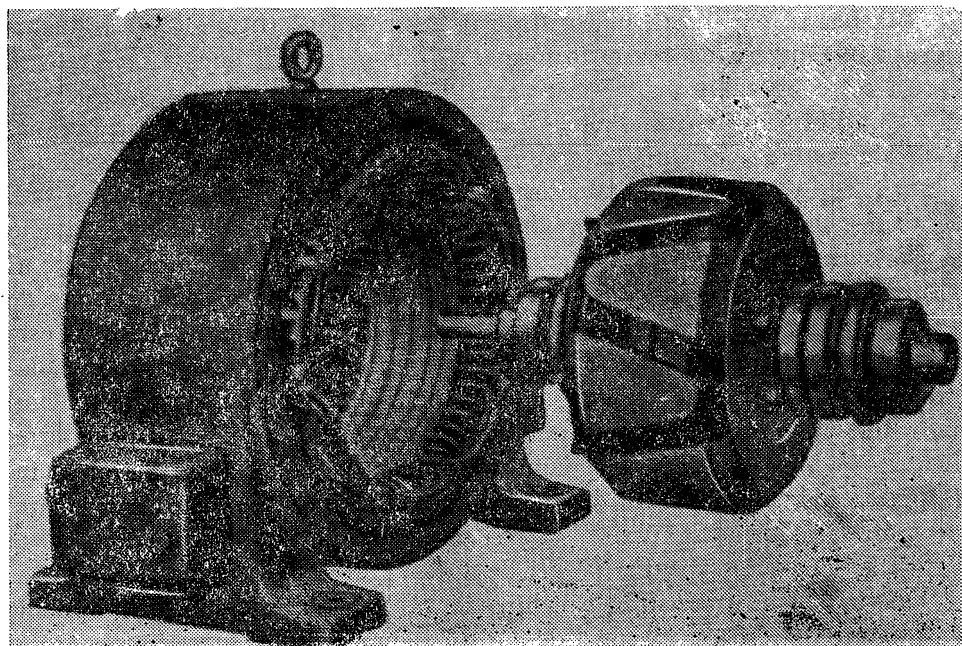
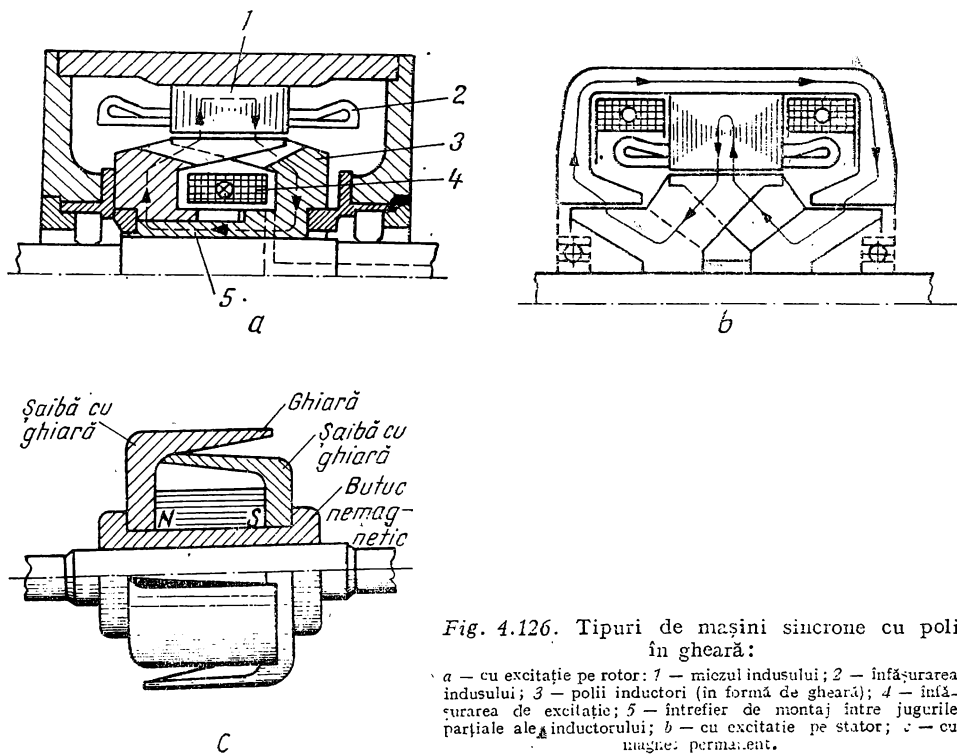


Fig. 4.126. A Mașină sincronă cu poli gheară cu excitație pe rotor

### 4.29.3. MOTORUL SINCRON REACTIV

Particularitățile constructive se referă la armătura rotorică prevăzută cu poli aparenti pe care nu sînt dispuse înfășurări de excitație ( $I_e = 0$ ). Din relația 4.67 pentru  $E_0 = 0$  rezultă locul geometric al curentului absorbit de mașina reactivă (fig. 4.127).

Înfășurarea statorică este monofazată sau polifazată. Pornirea se realizează cu ajutorul coliviei de pornire formată din piesele masive ale rotorului sau din bare. Cînd turația a atins o valoare apropiată de cea de sincronism, cuplul reactiv  $M = \frac{mU^2}{2} (1/X_q - 1/X_d) \sin 2\delta$ , produce intrarea în sincronism.

Cuplul electromagnetic crește odată cu raportul  $X_d/X_q$ . Construcțiile speciale ale rotorului au condus la o mărire substanțială a acestui raport (fig. 4.128); s-a ajuns la  $X_d/X_q \approx 5$ .

Înfășurarea în colivie intervine și la funcționarea sincronă, cu rol de amortizor al oscilației rotorului. Cuplul electromagnetic reactiv trebuie

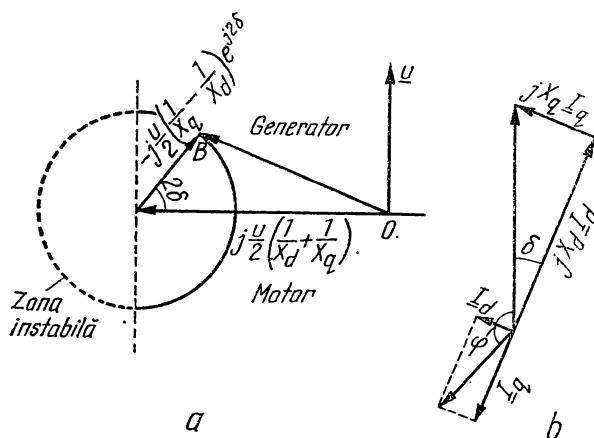


Fig. 4.127. Locul geometric al fazorului curentului  $I$  la motorul sincron reactiv (a); diagrama fazorială în regim de motor (b).

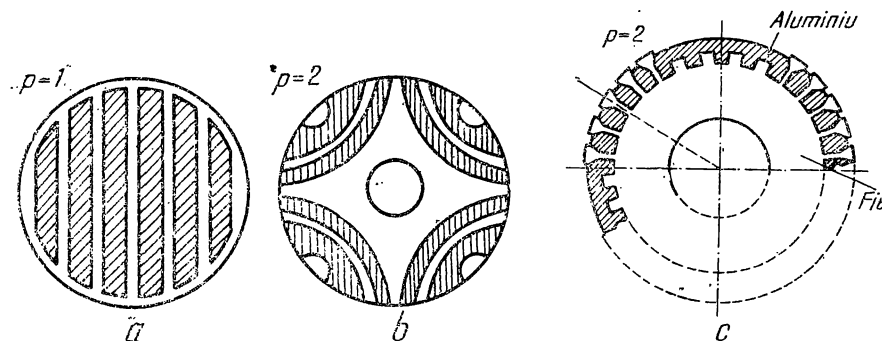


Fig. 4.128. Tipuri de rotoare pentru motorul sincron reactiv:

a și b — rotoare cu bariere nemagnetice din aluminiu; c — rotor cu colivie de pornire din aluminiu.

calculat cu considerarea rezistenței  $R$ , a înfășurării statorice (la puteri mici  $R$  este mare). Aceste motoare se construiesc pentru puteri de la fracțiuni de kW până la 1...2 kW. Pentru pornirea motorului monofazat se utilizează aceleași procedee ca și la motorul asincron monofazat. Motorul reactiv are aplicații în cinematografie și telemecanică.

#### 4.29.4. MOTORUL SINCRON CU HISTEREZIS

Motorul cu histerezis, deși poate funcționa și în asincron, este considerat motor sincron deoarece acesta este regimul obișnuit de funcționare. Se construiește pentru puteri nominale cuprinse între miliwați și sute de wați și frecvențe de 50...1 200 Hz. Statorul nu se deosebește de cel al motorului asincron sau sincron. Rotorul este de formă cilindrică realizat dintr-o cămașă din material magnetic dur cu ciclu de histerezis lat dispusă pe un butuc feromagnetic (motor cu câmp radial) sau neferomagnetic (motor cu câmp tangențial); în figura 4.129 se prezintă tipurile constructive de rotoare. Principiul de funcționare al acestui motor se bazează pe proprietatea materialului de a defaza în timp unda intensității câmpului magnetic față de unda inducției magnetice. Unghiul de decalaj se numește și unghi de histerezis. Dacă înfășurarea statorică este alimentată cu un sistem simetric de tensiuni componenta radială a inducției magnetice la suprafața dinspre interior a cămășii cilindrice se poate pune sub forma:  $b(\alpha_s, t) = B_m \cos(\omega t - p\alpha_s)$ , iar componenta tangențială a intensității câmpului magnetic pe aceeași suprafață este  $h(\alpha_s, t) = H_{m0} \cos(\omega t - p\alpha_s + \gamma - \frac{\pi}{2})$ , materialul fiind considerat izotrop. Din relația (2.125) rezultă expresia cuplului electromagnetic:

$$M = LR^2 \int_0^{2\pi} b(\alpha_s, t) h(\alpha_s, t) d\alpha_s = \pi L R^2 B_m H_{0m} \sin \gamma = \pi L R^2 B_m H_m \alpha_H \sin \gamma = \pi \alpha_H R L S_H$$

unde  $\alpha_H = \frac{H_{0m}}{H_m} = f(\Delta, \mu_m)$ ,  $S_H$  este suprafața ciclului de histerezis; factorul  $\alpha_H$  depinde de  $\mu_m = B_m/H_m$  și de grosimea stratului activ. Valoarea cuplului nu depinde de viteza de rotație. Pornirea are loc pe baza acestui cuplu la care

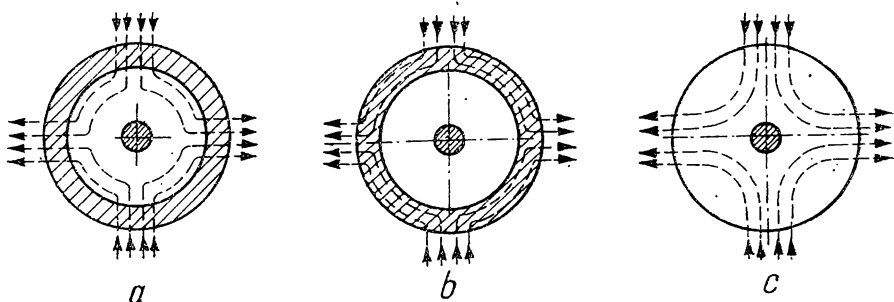


Fig. 4.129. Tipuri constructive de rotoare pentru motorul cu histerezis:

$a$  — rotorul motorului cu câmp radial;  $b$  — rotorul motorului cu câmp tangențial;  $c$  — motor realizat în întregime din materiale cu histerezis performanțe puțin mai ridicate, dar este neeconomic).



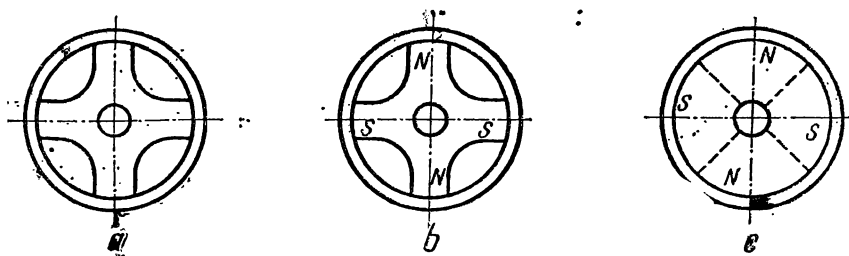


Fig. 4.130. Construcții combinate:  
a — motor histerezis-reactiv; b și c — motor histerezis-magneți permanenți.

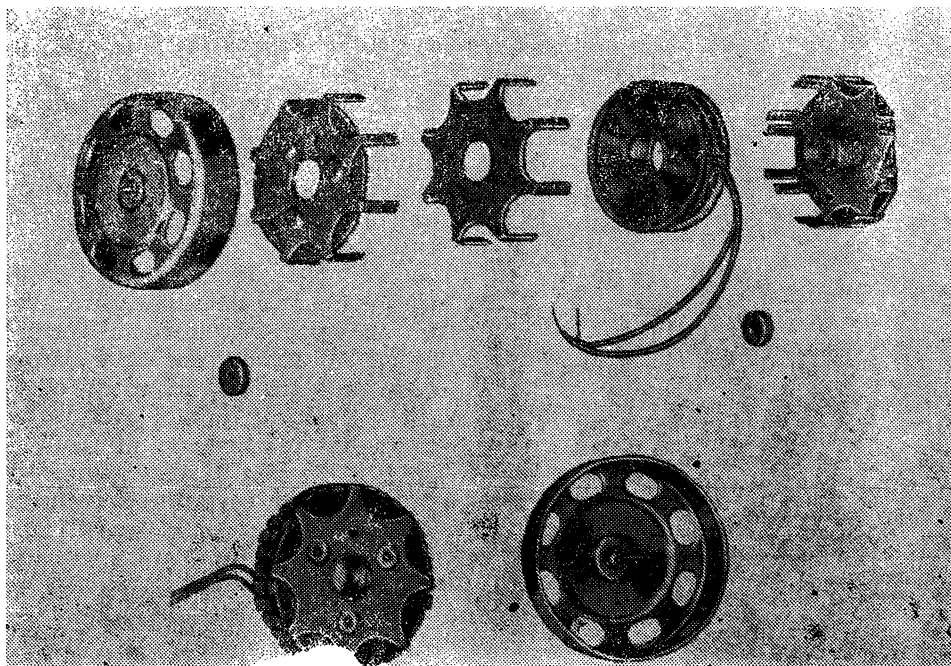


Fig. 4.131. Motor cu histerezis cu poli gheară.

se adaugă și cuplul corespunzător curenților turbionari (dacă  $\sigma \neq 0$ ). Pentru a mări cuplul electromagnetic se utilizează construcții combinate (fig. 4.130), iar la puteri mici și turații mici ( $p$  mare) se realizează construcții cu poli gheară (fig. 4.131).

#### 4.29.5. MOTORUL SINCRON PAS CU PAS

Este utilizat în sistemele de comandă automată a diverselor instalații industriale, transformând impulsurile electrice de comandă în deplasări unghiulare discrete; între impulsurile tensiunii de alimentare și deplasarea unghiulară a rotorului există o legătură univocă.

În figura 4.132 este reprezentat un motor pas cu pas, ce permite deplasări unghiulare în salturi de  $30^\circ$  (statorul are 6 poli pe care se află înfășu-

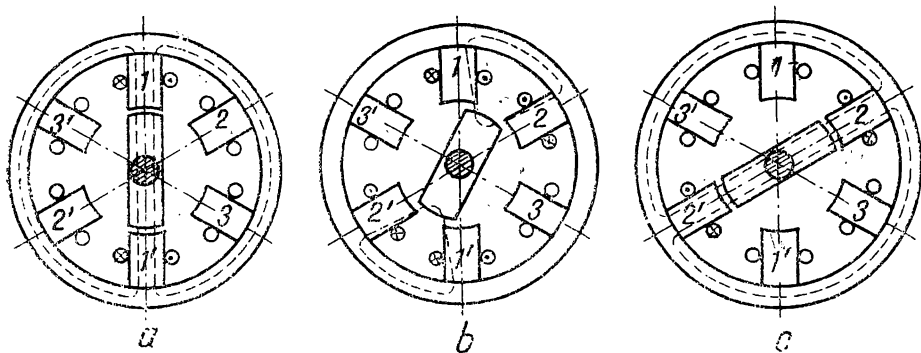


Fig. 4.132. Motor pas cu pas cu rotor cu doi poli, în trei poziții consecutive.

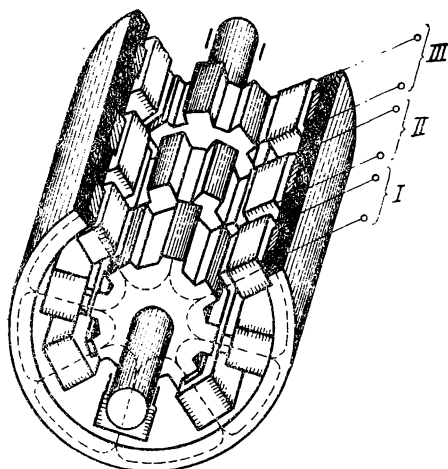


Fig. 4.133. Motor pas cu pas cu mai multe statoare și rotoare decalate relativ.

rările de excitație, iar rotorul are doi poli și nu are înfășurări). La alimentarea bobinelor polilor diametral opuși 11' înseriate adițional, asupra rotorului acționează un cuplu reactiv pînă cînd rotorul ocupă poziția de reluctanță minimă (fig. 4.132, a). La alimentarea și a înfășurărilor 22', simultan cu 11' avînd curenți de sens opus, rotorul ocupă o nouă poziție, rotită cu  $30^\circ$  (fig. 4.132, b), astfel încît reluctanța să fie din nou minimă. În continuare rămîn alimentate doar înfășurările 22' și rotorul efectuează o nouă rotire cu  $30^\circ$  (fig. 4.112, c) ș.a.m.d.

Alimentării succesive a bobinelor statorice îi corespund salturi de poziție discrete, bine pre-

cizate ale rotorului. Această alimentare se realizează prin intermediul unui comutator mecanic sau electronic. Dacă rotorul ar fi tetrapolar la același tip de alimentare se realizează un pas de  $15^\circ$ . Prin mărirea numărului de poli rotorici sau prin înglobarea în aceeași mașină a mai multor grupe de statoare și rotoare decalate relativ (fig. 4.133), la alimentarea consecutivă a înfășurărilor statorice, se poate realiza în continuare reducerea pașilor unghiulari. Performanțele motorului pas cu pas sînt exprimate prin mărimea cuplului reactiv de sincronizare (de care depinde eroarea de poziție unghiulară); viteza de răspuns (timpul de realizare a unui pas), preferabil cît mai ridicate; gradul de amortizare a oscilațiilor mecanice ale rotorului la trecerea de pe o poziție pe alta; frecvența posibilă a comutărilor (fără a pierde nici un pas); siguranța în funcționare. Mărirea cuplului sincronizant și limitarea oscilațiilor mecanice se obțin prin utilizarea rotoarelor din magneți permanenți sau prin prevederea unor bare de amortizare în armăturile rotorice.

# 5.

## MAȘINA DE CURENT CONTINUU

### 5.1. GENERALITĂȚI

#### ELEMENTE CONSTRUCTIVE

Mașina de curent continuu cunoaște o mare răspîndire în sistemele de acționare electrică, datorită caracteristicilor electromecanice avantajoase pe care le prezintă. Mașina de curent continuu este utilizată atât în regim de motor cît și în regim de generator; regimul de frînă este întîlnit numai incidental în funcționarea mașinii de curent continuu.

În mașina de curent continuu cîmpul inductor este fix față de armătura inductoare, realizată ca stator. Cîmpul inductor poate fi produs cu ajutorul curentului continuu sau cu ajutorul magnetilor permanenți (la puteri mici). Înfășurarea prin care trece curentul continuu pentru producerea cîmpului inductor se numește înfășurare de excitație, iar curentul respectiv, curent de excitație.

Indusul mașinii de curent continuu, realizat pe rotor, este prevăzut cu o înfășurare de curent continuu (de tip închis), conectată la colector, organ caracteristic și indispensabil al mașinii de curent continuu, care are rolul de a redresa curentul alternativ al indusului pentru a da în circuitul exterior un curent continuu.

Înfășurarea de excitație a mașinii de curent continuu poate fi alimentată în diferite moduri: de la surse exterioare mașinii (fig. 5.1, *a*), cînd se spune că mașina are excitație separată, sau chiar de la bornele mașinii, cînd se spune că mașina este autoexcitată. După modul de conectare al înfășu-

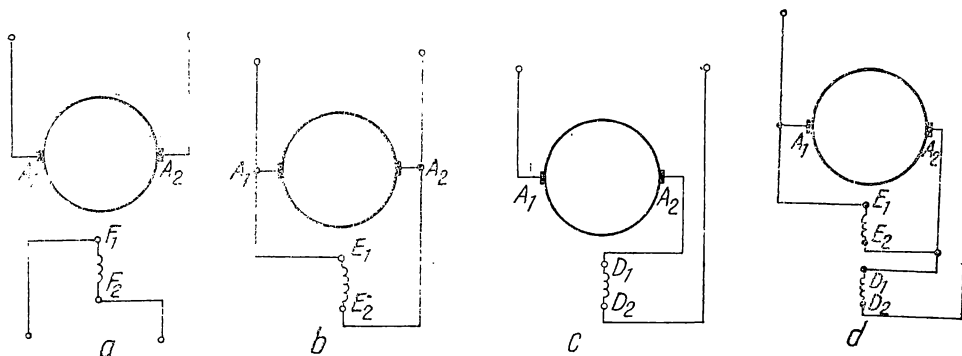


Fig. 5.1. Conexiunile mașinilor de curent continuu:

*a* — cu excitație separată; *b* — cu excitație derivație; *c* — cu excitație serie; *d* — cu excitație mixtă.

rării de excitație mașinile cu autoexcitație pot fi excitate în paralel sau în derivație (fig. 5.1, *b*), cu excitație în serie (fig. 5.1, *c*), sau cu excitație compund (fig. 5.1, *d*).

Regimul nominal de funcționare al mașinii de curent continuu se caracterizează prin mărimile nominale, pentru care a fost dimensionată mașina și care sînt înscrise pe plăcuța indicatoare a mașinii: regimul de funcționare (generator, motor); puterea în kW; la generatoare puterea electrică la borne, la motoare, puterea mecanică la arbore; curentul la bornele principale în A; tensiunea la borne în V; turația nominală în rot/min; tensiunea și curentul de excitație în V respectiv în A; regimul de lucru (de durată, intermitent, scurtă durată).

Pe plăcuța indicatoare se mai înscriu date referitoare la tipul de protecție al mașinii și date pentru transportul și montajul mașinii (greutatea totală, eventual și greutatea rotorului la mașini foarte mari).

Mărimile normalizate ale tensiunilor de curent continuu sînt: la generatoare 115 V, 230 V, 460 V; la motoare de uz general 110 V, 220 V, 440 V; la motoare pentru tracțiunea electrică 250V, 660V, 825V, 1 330 V, 1 650V, 2 640 V, 3 300 V.

Turațiile nominale ale mașinilor de curent continuu de uz general pot fi alese apropiate sau egale cu cele ale mașinilor sincrone sau asincrone. Adesea se întîlnesc și alte turații nominale, adaptate necesităților acționării în care se folosesc. În tabelul 5.1 se dau caracteristicile unor mașini de curent continuu.

Ca generator, mașina de curent continuu nu mai prezintă o importanță energetică, această utilizare a ei fiind din ce în ce mai redusă, existînd tendința de a produce curent continuu prin redresarea curentului alternativ. Mașina de curent continuu spre deosebire de redresor realizează și o conversie electromagnetică a energiei. Generatorul de curent continuu se folosește în energetică mai ales ca excitatoare și ca subexcitatoare.

Motoarele de curent continuu se folosesc pe scară largă în diferite sisteme de acționare electrică cu turația variabilă și în tracțiunea electrică: laminoare reversibile, sisteme de urmărire, mașini de extracție (ascensoare miniere), excavatoare, tramvaie, troleibuze, locomotive electrice.

Deși s-au încercat numeroase soluții pentru înlocuirea motorului de curent continuu cu motoare de curent alternativ, pînă în prezent nu s-a găsit o soluție mulțumitoare din toate punctele de vedere. Puterea unitară maximă a motoarelor de curent continuu utilizate în prezent este de aproximativ 10 MW (la laminoare reversibile și la tunele aerodinamice).

Mașina de curent continuu se compune constructiv din două părți: *statorul*, care cuprinde carcasa cu scuturile portlagăr și sistemul inductor cu poli aparenti; *rotorul* realizat ca indus al mașinii prevăzut cu colector. În figura 5.2 sînt reprezentate principalele elemente constructive ale mașinii; în figura 5.2, *A* se prezintă construcții de poli principali, iar în figura 5.2, *B* colectorul cu mai multe rînduri de perii. Secțiunea longitudinală și transversală prin mașină se prezintă în fig. 5.3, *A* și *B*.

Indusul mașinii de curent continuu este magnetizat alternativ datorită rotirii lui în cîmpul inductor. De aceea miezul indusului este realizat din tole de oțel electrotehnic, de 0,5 mm grosime, izolate între ele cu lac sau cu oxizi. La periferia miezului indusului sînt practicate creștături, sub forma unor canale longitudinale deschise sau semiînchise, prima formă prezentînd avantaje tehnologice deoarece ușurează așezarea înfășurării în creștături. În creștături este dispusă înfășurarea indusului, ale cărui

Mașini de curent continuu  
(Caracteristici constructive și funcționale)

TABELUL 5.1.

Tip	P (kW)	U (V)	n rot/min	P	D (mm)	l (mm)	A (A/cm)	B <sub>δ</sub> (T)	Z	K	$\frac{Z}{\phi}$	$\frac{Z}{\phi}$	δ (mm)	δ <sub>k</sub> (mm)	G (kg)	Gp <sub>a</sub> (kg/m <sup>2</sup> )	η (%)	Domeniul de utilizare	Tipul de înfășurare
MCM 814	110	220	500	2	420	400	372	0,785	58	174	304	127	3,5	9,5	2 250	54,4	91,5	Metalurg.	buclată simplă
MCM 816	150	220	480	2	440	465	417	0,784	50	150	324	185	4	9,5	2 870	76,4	92,0	"	buclată simplă
MCM 818	185	220	435	2	480	510	437	0,771	46	138	362	185	4,5	9,5	3 800	126	92,2	"	buclată simplă
MCM 620	200	220	390	2	540	515	410	0,82	46	138	420	271	5	8	5 300	200	92,2	"	buclată simplă
MCM 622	275	220	360	3	620	635	382	0,8	105	315	500	272	6	8	7 030	300	92,4	"	"
MCM 624	370	220	340	3	680	660	407	0,855	93	279	578	318	7	10	8 900	576	92,5	"	"
MCM 250/1400	250	440	1 400	2	420	400	330	0,72	46	138	310	200	5	8	3 200	65	92,5	"	"
MCM 350/900	350	440	900	2	440	670	404	0,69	42	126	324	268	5,5	8	4 500	125	92,4	"	"
MCM 450/500	450	750	500	2	500	736	377	0,9	70	210	484	185	6	10	8 400	310	92,6	"	"
MCM 550/500	550	750	500	2	650	695	423	0,875	66	198	530	241	6,5	10	9 500	385	92,7	"	"
GDTM 533 F	200	275	495	3	542	258	483	1,1	75	300	320	144	7	12	2 100	180	88,7	LDE 2 100 CP	ondulată simplă
LJE 108-1	850	770	1 100	4	640	360	560	0,91	76	380	535	152	3	7	3 000	216	93,4	LJE 5100	buclată simplă
MTEM 160/4	160	290	542	2	454	260	460	1	58	232	350	144	6	8	1 500	58	92,0	LDE 1 500 CP	buclată simplă
MCT 542 × × 320/6	375	468	712	3	542	320	515	1,06	75	300	320	144	3	10	2 350	225	91,5	LDE 4 000 CP	ondulată simplă
GD990/12	750	700	750	6	990	400	540	0,9	114	570	885	152	3	6	6 400	960	93,2	LDE 1 250 CP	combinată

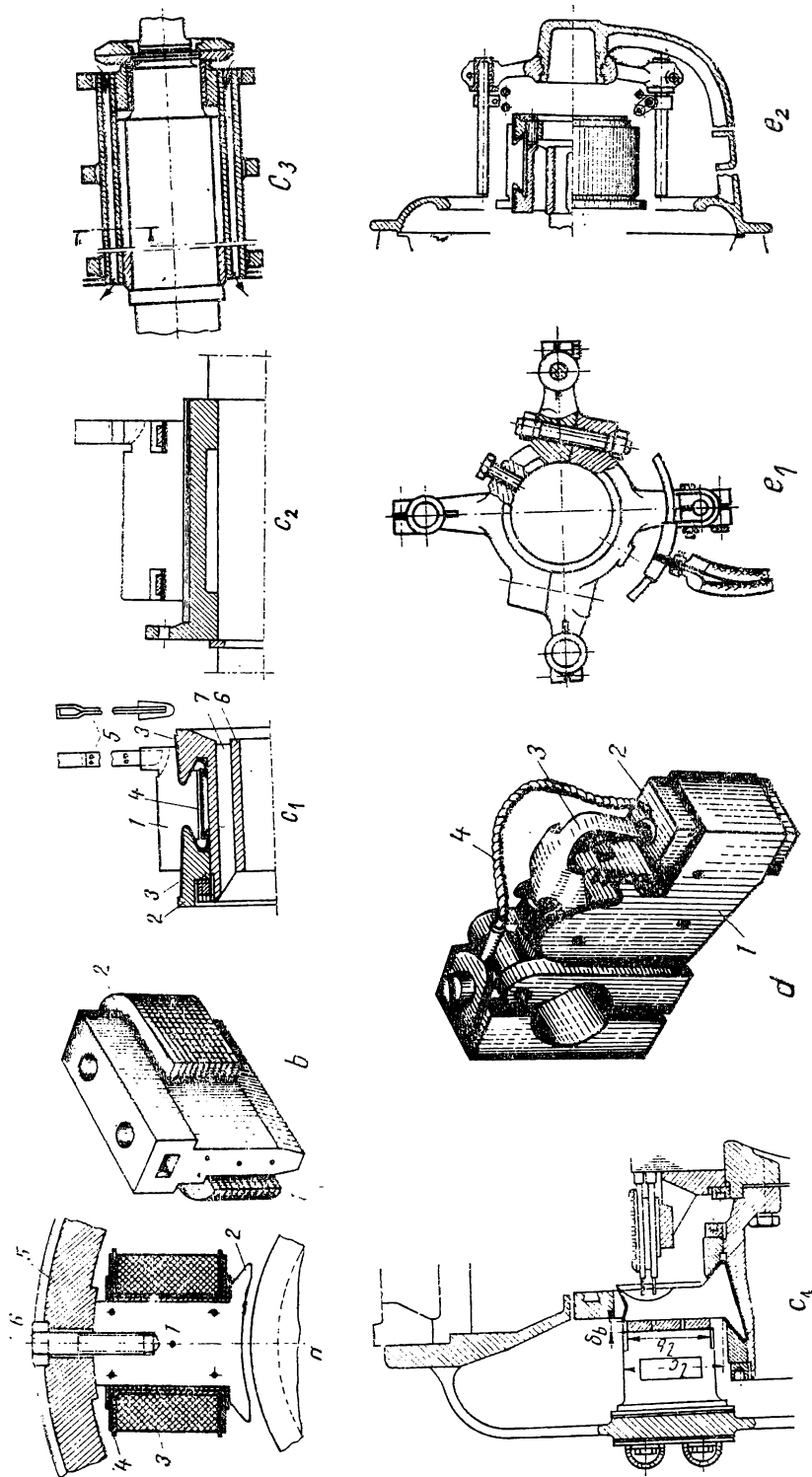


Fig. 5.2. Elemente constructive ale mașinii de curent continuu:

*a* — pol principal (de excitație); 1 — miezul polar, 2 — piesă polară, 3 — bobină de excitație, 4 — izolație, 5 — carcasă, 6 — șurub cu cap hexagonal; *b* — pol auxiliar; 1 — miezul polar, 2 — bobina polului executată din bară de cupru îndoită pe cant; *c*<sub>1</sub> — colector cu forma lamelei în coadă de rândunică; 1 — lamelă de colector, 2 — con de strângere, 3 — con izolant, 4 — cilindru izolant, 5 — stegulețe, 6 — butuc, 7 — nervură; *c*<sub>2</sub> — colector cu lamelă în formă de H; *c*<sub>3</sub> — colector cu inele de strângere de strângere (vezi teza); *d* — fixarea crucii portperilor pe palier; 1 — carcasă periei, 2 — perie, 3 — resort, 4 — conductor flexibil; *e*<sub>1</sub> — crucea portperilor; *e*<sub>2</sub> — fixarea crucii portperilor pe palier.

conductoare sînt legate după anumite reguli la lamelele colectorului. Colectorul constă din lamele de cupru ecrîșat de secțiune trapezoidală, izolate unele față de celelalte cu micanită și față de inelele de strîngere speciale, cilindrice sau conice, care le consolidează în formă de coroană circulară.

Indusul și colectorul se fixează pe arborele mașinii direct sau prin intermediul unor bușe. Tot pe arbore se fixează și ventilatorul.

Inductorul este format din polii principali sau poli inductori și din polii auxiliari sau poli de comutație. Polii principali servesc la crearea cîmpului inductor. Ei au un miez pe care sînt așezate bobinele de excitație concentrate, iar în partea către întrefier sînt prevăzuți cu piese polare, care asigură o repartiție mai favorabilă a inducției magnetice în întrefier.

Polii inductori pot fi din oțel masiv sau ștanțați din tole de oțel de 1—2 mm grosime, ultima soluție prezentînd avantaje tehnologice. Polii principali sînt fixați cu buloane de jugul statoric (fig. 5.2, *a*), care adesea joacă rol de carcasă. De regulă jugul este din oțel sau din fontă. Polii de comutație (fig. 5.2, *b*) se realizează de regulă din oțel și sînt prinși de jug prin buloane. Pe polii de comutație se dispune o înfășurare conectată în serie cu înfășurarea indusului.

La mașinile de putere mai mare, în piesele polare ale polilor inductori se dispune în creștături o înfășurare de compensare în serie cu înfășurarea indusului.

Pe suprafața exterioară a colectorului (fig. 5.2, *c*) calcă periile realizate prin sinterizare din grafit artificial sau din pulberi metalograftice. Periile sînt ghidate de portperii (fig. 5.2, *d*), prevăzute cu arcuri care apasă periile pe suprafața colectorului cu o anumită forță. Portperiile sînt așezate pe tije de susținere fixate izolat pe un colier. Colierul se fixează de regulă pe un scut sau pe o piesă de ghidare (fig. 5.2, *c*), solidară cu carcasa și poate fi rotit în anumite limite pentru a aduce periile în poziția necesară unei funcționări corecte a mașinii.

Capetele înfășurărilor mașinii și tijele periilor sînt legate la borne fixate pe o placă de borne solidară cu carcasa, fiind de regulă protejate într-o cutie de borne. Bornele diferitelor înfășurări și ale periilor se notează ca în figura 5.1, conform STAS 3530-71.

## 5.2. CUPLUL ELECTROMAGNETIC AL MAȘINII DE CURENT CONTINUU

Pentru calculul cuplului electromagnetic care se exercită asupra rotorului se utilizează relația (2.124), particularizată pentru cazul în care cîmpul magnetic inductor nu depinde de timp, adică  $b(\alpha - \beta_1/2, t) = B_\delta(\alpha - \beta_1/2)$ , iar curentul prin secție  $I_a$  este constant și parcurge toate secțiile înseriate care formează o cale de curent. Cuplul care se exercită asupra unei secții oarecare de indice  $i$  este:

$$M_{si} = -2 LR I_a N_a \cdot B_\delta(\alpha - \beta_1/2) = -2 I_a LR N_a B_\delta(\alpha_{si}). \quad (5.1)$$

Cuplul electromagnetic care se exercită asupra celor  $k$  secții dintr-o cale de curent este:

$$M_a = \sum_{i=1}^k M_{si} = -2 I_a LR N_q \sum_{i=1}^k B_\delta(\alpha_{si}) = -2 I_a LR N_q k B_{med}. \quad (5.2)$$

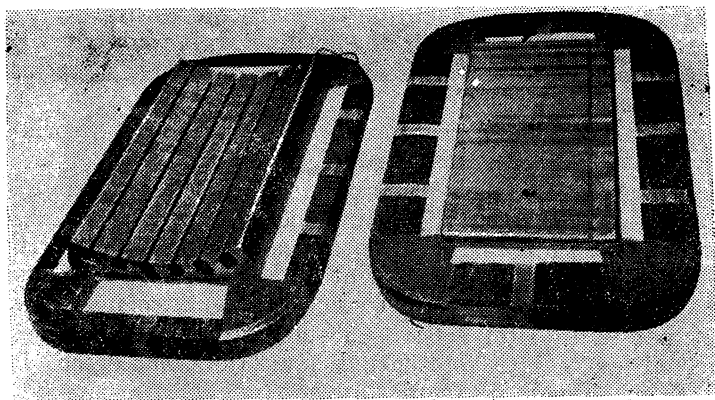


Fig. 5.2. A. Poli principali cu înfășurări de excitație ai unui motor de curent continuu (Brown Boveri).

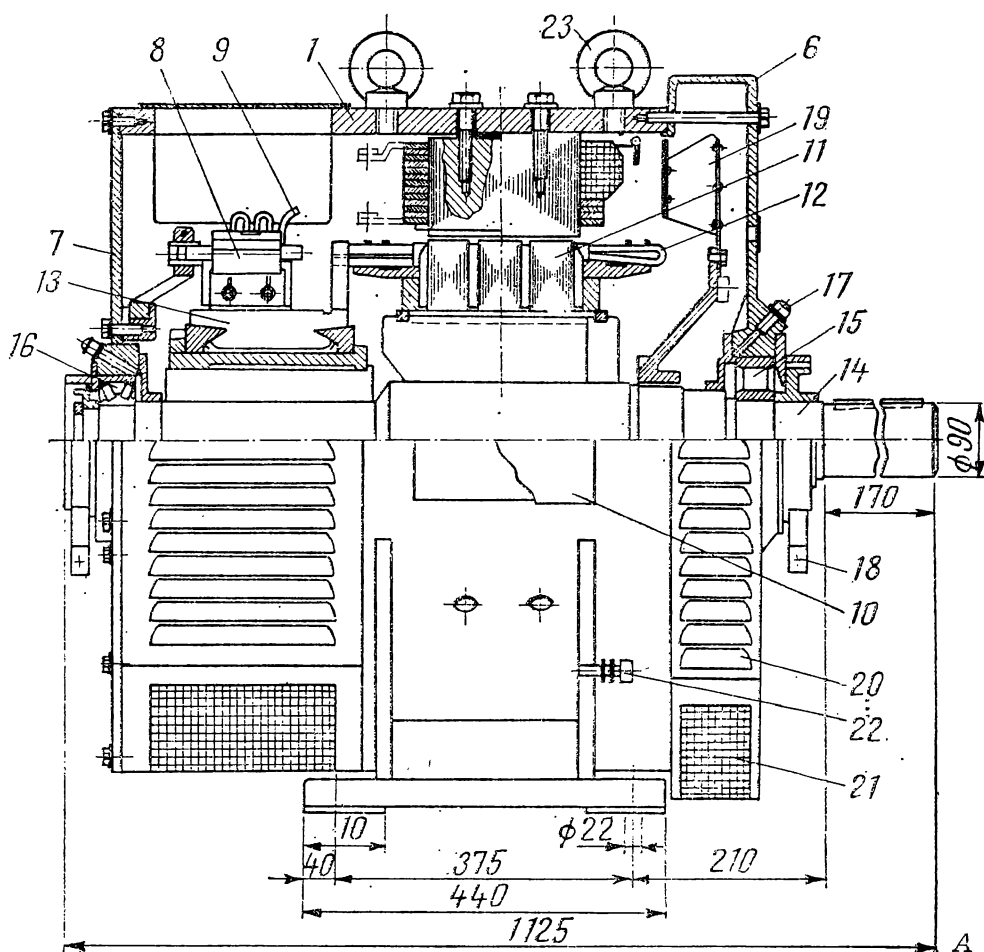


Fig. 5.3. A. Secțiune longitudinală printr-o mașină de curent continuu  $P_n = 85 \text{ kW}$ ,  $U_n = 110 \text{ V}$ ;  $n = 600 \text{ rot/min}$ :

1 - carcasă; 6 - scut parte tracțiune; 7 - scut parte opusă tracțiune; 8 - ansamblu port-perie; 9 - conduc. flexibilă spre cutia de borne; 10 - cutia de borne; 11 - pachet de tole rotor; 12 - ansamblu bobinaj rotor; 13 - ansamblu colector; 14 - arbore; 15 - ansamblu lagăr rulment parte tracțiune; 16 - ansamblu rulment parte opusă tracțiune; 17 - ungător cu bilă; 18 - sector pentru vaselină; 19 - ansamblu ventilator; 20 - jaluzele; 21 - rană cu plasă; 22 - șurub de punere la pământ; 23 - inele de ridicare.



Fig. 5.2, B. Vedere a subansamblului colector al unui motor de curent continuu de 950 kW,  $n = 210-800$  rot/min, destinat instalațiilor de laminare (BBC).

B

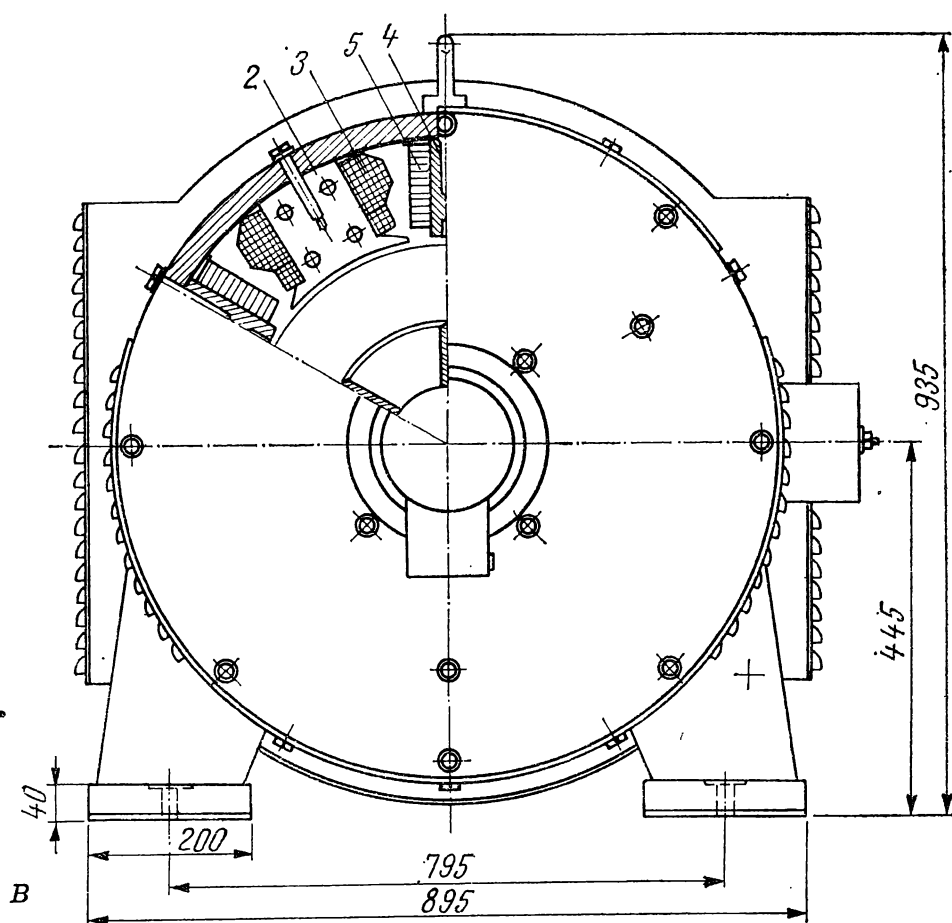
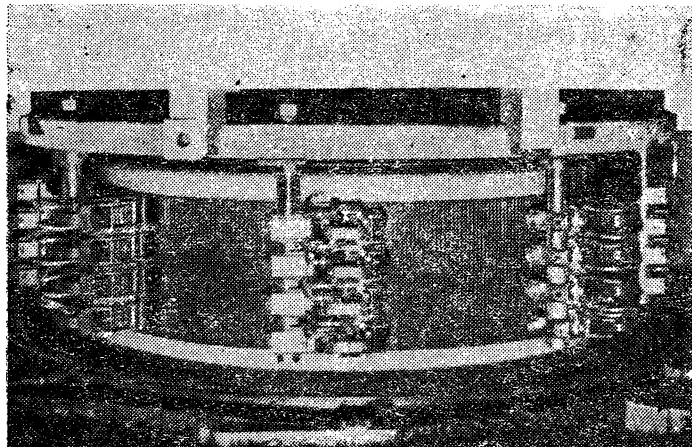


Fig. 5.3. B. Secțiune transversală printr-o mașină de curent continuu  $P_n = 85$  kW,  $U_n = 110$  V;  $n = 600$  rot/min:

2 - poli principali; 3 - bobina de excitație (înfășurarea derivație plus înfășurarea serie); 4 - polii auxiliari; 5 - bobina polului auxiliar.

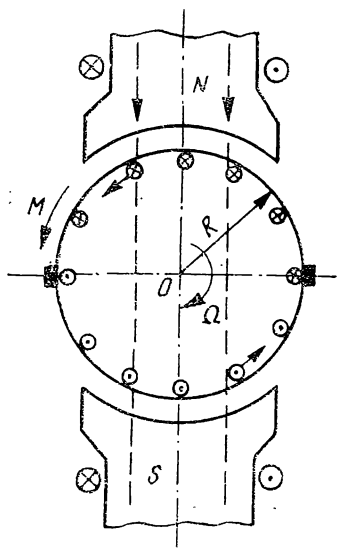


Fig. 5.4. Sensul cuplului electromagnetice și al vitezei unghiulare la generatorul de curent continuu.

Se constată că cuplul electromagnetic exercitat asupra tuturor secțiilor unei căi de curent este constant în timp. Cuplul care acționează asupra tuturor celor 2  $a$  căi de curent este:

$$M = 2aM_a = -4aI_aRLk_gB_{med} = -\frac{p}{2\pi a}NI_A\Phi = -k_mI_A\Phi \quad (5.3)$$

unde  $k_m = pN/2\pi a = k_e/2\pi$ , iar  $I_A = 2aI_a$  este curentul la perie care se distribuie în mod egal pe cele 2  $a$  căi de curent conectate în paralel față de perii.

Prin urmare cuplul electromagnetic care se exercită asupra rotorului mașinii de curent continuu este proporțional cu fluxul magnetic  $\Phi$  și curentul  $I_A$  și nu depinde de turația  $n$ .

Sensul cuplului electromagnetic se determină cu ajutorul vectorului  $\vec{J} \times \vec{B}$ , unde  $\vec{J}$  este densitatea de curent din conductoare; semnul minus arată că se opune mișcării, adică sensurile adoptate pentru curent și pentru câmpul magnetic corespund regimului de generator (fig. 5.4).

### 5.3. CÂMPUL MAGNETIC DIN ÎNTREFIERUL MAȘINII DE CURENT CONTINUU LA FUNCȚIONAREA ÎN SARCINĂ

Cîmpul magnetic rezultat din întrefierul mașinii de curent continuu este determinat de acțiunea simultană a înfășurării de excitație (inductoare) parcursă de curentul de excitație  $I_e$  și a înfășurării indusului ale cărei conductoare sînt parcurse de curentul  $I_a$ . Cîmpul magnetic produs numai de înfășurarea de excitație la  $I_a = 0$  se numește *cîmp inductor*, iar cîmpul magnetic produs numai de înfășurarea indusului la  $I_e = 0$  se numește *cîmp de reacție*. Cîmpul inductor se calculează ca la roata polară (fig. 5.5, a). Axa de simetrie interpolară (transversală) în care inducția magnetică a cîmpului inductor este nulă se numește *axă neutră geometrică* (axa  $nn'$ ). Cîmpul magnetic de reacție al indusului prezintă simetrie în raport cu axa periiilor, dacă acestea sînt așezate în axa  $nn'$  (fig. 5.5, b).

Densitatea lineară de curent, numită *pătură de curent* sau *încărcare lineară de curent* a indusului este  $A = NI_a/\pi D$ . Mărimea  $A$  variază de la 100 A/cm la mașinile de putere mică, pînă la 600 A/cm sau mai mult, la mașinile de putere mare. Aplicînd legea circuitului magnetic pe un contur  $\Gamma$  care urmărește una din liniile cîmpului magnetic de reacție (fig. 5.5, b) și presupunînd conductoarele uniform repartizate pe axa indusului ( $A = \text{const.}$ ) se obține:  $\int_{\Gamma} \vec{H} d\vec{l} = 2\pi A$ ; neglijînd t.m. în oțel și considerînd simetria față de axa polului rezultă  $2v_{aq}(x) = 2H_{ax}\delta(x) = 2\pi A$  sau  $v_{aq}(x) = \pi A = H_{ax}\delta(x)$  unde  $\delta(x)$  este lățimea întrefierului în punctul  $x$  ( $x = R\alpha_s$ ), iar  $v_{aq}(x)$  este t.m. a întrefierului în același punct, care atinge valoarea maximă  $v_{aqm}$  pentru  $x = \tau$ . Inducția magnetică din întrefier cînd nu se consideră saturația este  $B_{ax} = \mu_0 H_{ax} = \mu_0 A/x\delta$ . În figura 5.5, b s-a repre-

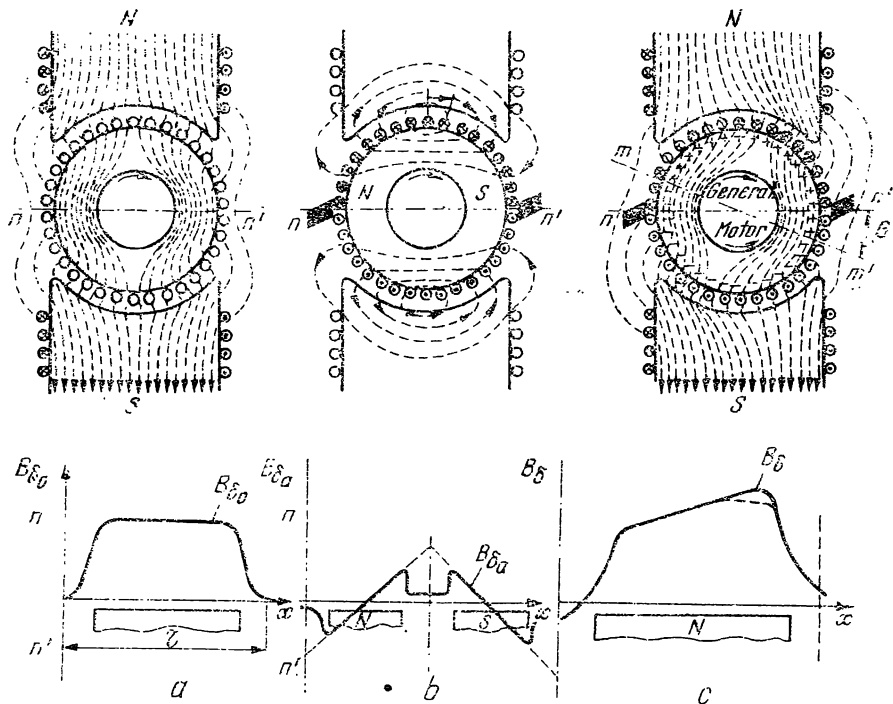


Fig. 5.5. Cîmpul magnetic în întrefier:

*a* — cîmpul magnetic inductor; *b* — cîmpul magnetic de reacție; *c* — cîmpul magnetic rezultat (egal cu  $B_{\delta 0} + B_a$  pe porțiunea nesaturată și mai mic decât  $B_{\delta 0} + B_a$  pe porțiunea saturată — linie punctată).

zentat (cu linie întreruptă) variația t.m.  $v_{aq}(x)$  și a cîmpului magnetic  $H_{ax}(B_{ax})$  în funcție de  $x$  ( $\alpha_s$ ). Cîmpul de reacție este în acest caz pur transversal. La funcționarea în sarcină este parcursă de curenți atît înfășurarea de excitație, cît și cea a indusului; componînd cele două cîmpuri se obține cîmpul magnetic rezultat. Reacția indusului întărește cîmpul din întrefier sub una din marginile pieselor polare și-l slăbește sub cealaltă margine, rezultă distorsionarea tipică a liniilor de cîmp reprezentate în figura 5.5, *c*. Ca urmare axa neutră magnetică (axa  $mm'$ ), în care se anulează cîmpul magnetic rezultat, se decalează din axa neutră geometrică.

Dacă mașina funcționează nesaturat, cîmpul magnetic de reacție nu modifică fluxul magnetic pe pol, întrucît slăbirea cîmpului de o parte a piesei polare este compensată de întărirea lui la cealaltă margine a piesei polare. La intervenția saturației dinților indusului sau a marginilor piesei polare, reacția indusului mărește cîmpul din întrefier în măsură mai mică sub o margine a piesei polare decît îl slăbește sub cealaltă margine. Deci la mașinile normale — funcționînd saturate — reacția indusului duce la micșorarea fluxului pe pol. Această influență se poate considera, în primă aproximatie, proporțională cu  $I_a$ . Determinarea t.m. suplimentară  $v_{q\delta}$  corespunzătoare micșorării fluxului magnetic pe pol se face pe baza elementelor prezentate în figurile 5.6 și 5.7.

Deoarece zonele principale unde sînt împreună liniile cîmpului inductor și de reacție transversală sînt întrefierul și dinții (fig. 5.6) se va trasa caracteristica de magnetizare parțială  $\Phi = f(v_\delta + v_z)$  respectiv la altă

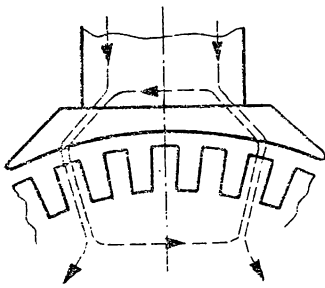


Fig. 5.6. Linii ale cîmpului magnetic de excitație și liniile ale cîmpului magnetic de reacție transversală a indusului.

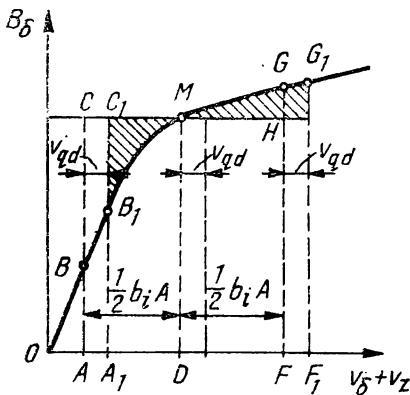


Fig. 5.7. Caracteristica de magnetizare parțială și determinarea tensiunii magnetice necesare compensării acțiunii demagnetizante a reacției transversale a indusului ( $b_i = \alpha_i \tau$ ).

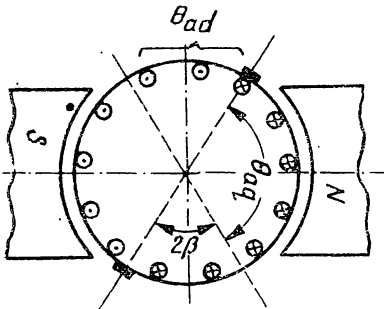


Fig. 5.8. Descompunerea solenității reacției indusului în solenitatea longitudinală și solenitatea transversală.

scară  $B_\delta = f(v_\delta + v_2)$ , (fig. 5.7). Sub piesa polară acționează t. m.  $\alpha_i v_{a1m} = \alpha_i \tau A$  și anume  $\frac{1}{2} \alpha_i \tau A$  are o acțiune demagnetizantă asupra marginii polare de intrare, iar  $\frac{1}{2} \alpha_i \tau A$  are o acțiune magnetizantă asupra marginii polare de ieșire. Punctul  $M$  corespunde funcționării în gol; se fixează  $DA = DF = \frac{1}{2} \alpha_i \tau A$ .

În acest caz  $OA$  și  $OF$  reprezintă t.m. rezultantă sub marginile polare de intrare și ieșire. Porțiunea  $BMG$  dă repartitia inducției magnetice în întrefier sub piesa polară funcționînd în sarcină. Suprafața dreptunghiului  $AFHC$  reprezintă la o anumită scară fluxul magnetic la funcționarea în gol, iar  $AFGB$  fluxul în sarcină. Se va deplasa segmentul  $AF = \alpha_i \tau A$  cu o distanță suficientă, astfel ca suprafețele  $A_1F_1G_1B_1$  și  $AFHC$  să fie egale și rezultă  $v_{qa}$  respectiv solenția  $\Theta_{qa}$ .

Dacă periile sînt decalate din axa neutră geometrică cu unghiul  $\beta$  (fig. 5.8) atunci solenția de reacție se poate descompune în două componente: componenta transversală  $\Theta_{at} = DA(\pi - 2\beta)/2p$  care produce cîmpul de reacție transversal și componenta longitudinală  $\Theta_{ad} = DA \beta/p$  care produce cîmpul magnetic de reacție longitudinală, care funcție de sensul de decalare a periilor poate fi magnetizant sau demagnetizant. Prin urmare pe polii principali se va adăuga solenția  $\Theta_{ea} = \Theta_{qa} + \Theta_\delta$  pentru ca fluxul magnetic pe pol să nu se modifice. Reacția indusului conduce la următoarele dezavantaje: micșorarea fluxului magnetic pe pol (la generatoarele de curent continuu pentru sudare este favorabilă) modifică distribuția potențialului electric dintre lamelele colectorului; întîrzieră procesului de comutație datorită t.e.m.  $e_a$ ; pierderile în dinții rotorului cresc datorită distribuției neuniforme a cîmpului magnetic.

## 5.4. COMUTAȚIA MAȘINII DE CURENT CONTINUU

În timpul funcționării mașinii de curent continuu diferitele secții ale înfășurării rotorului trec dintr-o cale de curent în alta, această trecere conduce la scurtcircuitarea secției de către perii pentru un anumit interval de timp  $T_k$  și inversarea în acest timp a sensului curentului din secție. Ansamblul fenomenelor care au loc în acest interval de timp se numește *comutație*. Curentul într-o secție (bobină elementară), în regim staționar, este constant în timp și de un anumit sens atât timp cât bobina se află într-o aceeași cale de înfășurare. În intervalul  $T_k$  în care secția comută, curentul prin secție variază de la valoarea  $I_a$  la  $-I_a$ . Pentru funcționarea mașinii este importantă forma curbei de variație a curentului prin secție în intervalul  $T_k$ . Pentru prezentarea fenomenului de comutație se va considera o înfășurare buclată, cu remarcă că fenomenele sînt aceleași indiferent de tipul înfășurării. Desfășurarea în timp a procesului de comutație reiese din figura 5.9. La un moment dat, fie acest moment  $t = 0$ , peria, presupusă de aceeași lățime cu lamela de colector, calcă numai pe lamela 2, secția care comută (1—13) făcînd parte din calea de curent din stînga și fiind parcursă de curentul  $I_a$ , în sensul indicat în figura 5.9, *a*. După trecerea timpului  $T_k$ , peria calcă pe lamela imediat vecină. Între lățimea periei  $b_p$ , viteza periferică a colectorului și intervalul de timp  $T_k$  există relația:  $T_k = b_p/v_c = 60b_p/\pi D_k n$ , ( $D_k$  fiind diametrul colectorului). Sensul de rotație al rotorului este indicat pe figura 5.9.

La  $t = T_k$  peria calcă numai pe lamela 1 și secția 1—13 se află în calea de curent din dreapta, fiind parcursă de curentul  $I_a$ , dar în sens contrar față de momentul  $t = 0$ . La un moment  $t \in (0, T_k)$ , peria considerată calcă parțial pe lamela 1 și parțial pe lamela 2; fiind scurtcircuitată de perie (fig. 5.9, *b*), secția 1—13 nu face parte din nici o cale de curent și nu este străbătută de curentul principal. În același timp cu secția considerată comută și alte secții.

În secția care comută se induce t.e.m. O primă t.e.m. se induce datorită variației curentului  $i$  prin secția care comută:  $e_r = -(L_s + m_s) \frac{di}{dt}$  unde  $L_s$  este inductivitatea proprie a secției, iar  $m_s$  este inductivitatea mu-

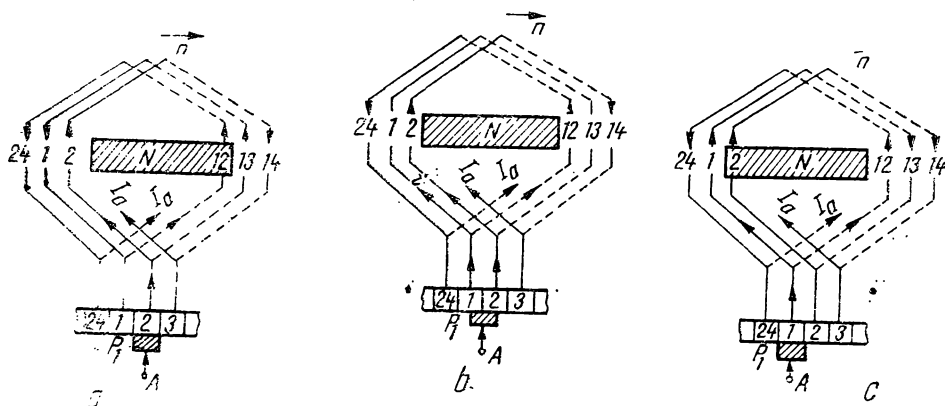


Fig. 5.9. Comutația unei secții:

*a* — începutul comutației ( $t = 0$ ); *b* — moment intermediar; *c* — sfîrșitul comutației ( $t = T_k$ ).

tuală între secția considerată și celelalte secții care comută în același timp; t.e.m.  $e_r$  se numește *tensiune de autoinducție* și depinde de variația în raport cu timpul a curentului  $i$ . În secția care comută se mai induce o t.e.m.  $e_a$  datorită cîmpului de reacție transversală care este diferit de zero în zona interpolară unde se află laturile secției care comută. Conform relației (2.75) t.e.m. indusă în secție va fi:

$$e_a = 2v w_s L B_{\delta a}^1 = C'' I_A n \quad (5.4)$$

inducția magnetică  $B_{\delta a}$  este proporțională cu valoarea  $I_A$  a curentului. În secția care comută poate fi indusă o t.e.m.  $e_k$  de un cîmp magnetic suplimentar, produs în dreptul laturilor secției de polii auxiliari. Această t.e.m.  $e_k$  se poate realiza și printr-o mică deplasare a periiilor către polul de excitație de polaritate convenabilă, de nume contrar cîmpului de reacție transversală din aceeași zonă, se obține t.e.m.  $e_k = C_1 n B_{\delta o}$ ; inducția  $B_{\delta o}$  nu este funcție de curentul  $I_A$  din înfășurarea rotorului la mașina cu excitație derivație sau independentă. Această t.e.m.  $e_k$  are rolul de a micșora sau a anula (compensa) suma t.e.m.  $e_r + e_a$ .

Fie  $r_s$  rezistența secției în comutație,  $r_1$  și  $r_2$  rezistența contactului dintre perie și lamela 1 și respectiv perie și lamela 2 la un moment  $t \in (0, T_k)$ . Rezistențele de contact  $r_1$  și  $r_2$  sînt variabile în timp și sînt invers proporționale cu suprafața de lamelă călcată la un moment dat de perie:

$$r_1 = r_p S_p / S_1 = r_p T_k / (T_k - t); \quad r_2 = r_p S_p / S_2 = r_p T_k / t \quad (5.5)$$

deoarece suprafața  $S_1$  este proporțională cu timpul care a trecut din momentul începerii comutației, iar  $S_2$  este proporțională cu  $T_k - t$ ;  $r_p$  este rezistența de trecere între perie și lamelă cînd peria calcă numai pe o lamelă, avînd suprafața de trecere,  $S_p$ . Aplicînd a doua teoremă a lui Kirchhoff conturului format din spiră, lamele și perie se obține:

$$r_s i + (I_a + i)(r_2 + R_l) - (I_a - i)(r_1 + R_l) = e_r + e_a + e_k \quad (5.6)$$

de unde rezultă curentul  $i$  din secția în comutație:

$$i = I_a \frac{r_1 - r_2}{r_1 + r_2 + r_s + 2R_l} + \frac{e_r + e_a + e_k}{r_1 + r_2 + r_s + 2R_l} = \quad (5.7)$$

$$= I_a \frac{1 - \frac{2t}{T_k}}{1 + \frac{R}{r_p} \cdot \frac{t}{T_k} \left(1 - \frac{t}{T_k}\right)} + \frac{e_r + e_a + e_k}{R + r_p \left[ \frac{t}{T_k} \left(1 - \frac{t}{T_k}\right) \right]}; \quad R = r_s + 2R_l;$$

T.e.m.  $e_r$  depinde de  $i$ , deci (5.7) nu reprezintă soluția ecuației (5.6) dar permite obținerea unor concluzii de importanță practică.

A. În cazul în care s-a realizat o compensare completă, adică  $e_r + e_a + e_k = 0$  sau  $e_k = 0$  și comutația are loc la viteze mici ( $v_c \rightarrow 0$ ) deci  $e_r + e_a \rightarrow 0$  atunci se obține:

$$i = \frac{1 - 2t/T_k}{1 + (R/r_p) (t/T_k) (1 - t/T_k)} I_a \quad (5.8)$$

În ipoteza că  $r_p \gg R$ , cazul periiilor tari, sau mașina este de putere mare, atunci se poate considera  $R/r_p \rightarrow 0$  și rezultă  $i = (1 - 2t/T_k) I_a$ , adică între

valorile  $I_a$  și  $-I_a$  curentul  $i$  variază linear în timp. Se spune că are loc o comutație lineară (curba  $a$  din fig. 5.10).

Dacă  $R/r_p$  nu se poate neglija, cum este cazul mașinilor mici, variația în raport cu timpul a curentului  $i$  este descrisă de relația (5.8). Pentru  $t = 0, t = T_k/2$  și  $t = T_k$  se obțin pentru  $i$  aceleași valori ca și la comutația lineară. Se spune că are loc o comutație de rezistență.

B. Cazul  $e_a + e_r + e_k > 0$  corespunde în particular situației când  $e_k = 0$ , adică periele sînt plasate în axa neutră geometrică și mașina nu are poli auxiliari. Inductivitatea  $L_s + m_s$  întîrzie variația curentului în bobina care comută; t.e.m. rezultantă  $e_a + e_r$  tinde să mențină curentul în secție cu sensul avut la  $t = 0$ . Totul se întîmplă ca și cum peste curentul dat de (5.8) s-ar suprapune un curent  $i_r = (e_r + e_a + e_k)/(r_1 + r_2 + R)$  mereu de același sens, nul la  $t = 0$  și  $t = T_k$ .

O astfel de comutație se numește comutație întîrziată (curba  $b$  din fig. 5.10).

C. Pentru  $e_r + e_a + e_k < 0$  care corespunde cazului când t.e.m.  $e_k$  este de semn contrar t.e.m.  $e_r + e_a$  și  $|e_r + e_a| < |e_k|$  se obține o comutație accelerată (curba  $c$  din figura 5.10), adică curentul schimbă de semn într-un timp mai mic în comparație cu comutația lineară.

Densitatea curentului sub perie se poate determina cu ajutorul curentului de comutație  $i = f(t)$ . Densitatea de curent corespunzătoare suprafeței  $S_1$  de contact a periei cu lamela 1 este  $J_1 = (I_a - i)/S_1 = K' \operatorname{tg} \alpha_1$ , iar cea corespunzătoare suprafeței de contact  $S_2$  dintre perie și lamela 2 este  $J_2 = (I_a + i)/S_2 = K'' \operatorname{tg} \alpha_2$  (fig. 5.10). În cazul comutației lineare, densitatea de curent sub perie pe ambele lamele este constantă în tot timpul comutației. Alegînd convenabil această densitate, nu vor apărea scînteii periculoase sub perie și comutația va fi corespunzătoare. Este o comutație ideală spre care se tinde.

La comutația întîrziată  $J_2 > J_1$  și sensibil mai mare pentru anumite momente decît în cazul comutației lineare, mai ales spre sfîrșitul perioadei de comutație. Muchia de intrare a periei este mai puțin solicitată decît muchia de ieșire la care pot să apară și scînteii periculoase în momentul în care peria părăsește lamela 2.

La comutația accelerată este mai solicitată muchia de intrare și mai puțin cea de ieșire. Dacă comutația este mult accelerată ( $e_k$  mare) sînt solicitate intens ambele muchii și pot apărea scînteii atît la muchia de intrare cît și la cea de ieșire. Ca și la comutația întîrziată densitatea de curent sub perie este neuniformă solicitînd intens unele porțiuni din perie.

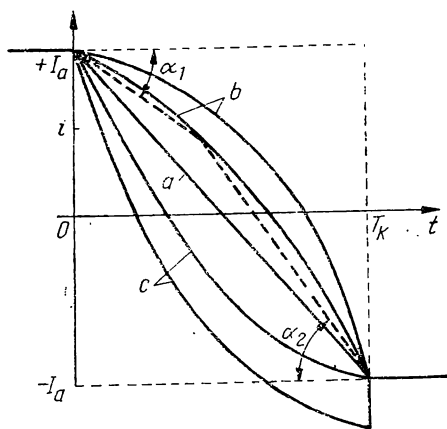


Fig. 5.10. Variația în timp a curentului;  $a$  — comutație lineară;  $b$  — comutație întîrziată;  $c$  — comutație accelerată.

*T.e.m. de autoinducție* are o valoare medie  $e_{rm}$  care corespunde valorii medii a lui  $\frac{di}{dt}$  și ca urmare se obține:

$$e_{rm} = \frac{1}{T_k} \int_{-I_a}^{I_a} (m_s + L_s) \frac{di}{dt} = 2 \frac{m_s + L_s}{T_k} I_a = \pi D_k \frac{m_s + L_s}{60 b_p} \cdot \frac{I_a}{a} n = k_1 I_a \cdot n \quad (5.9)$$

Valoarea medie a tensiunii de autoinducție este proporțională cu curentul mașinii și cu turația ei. Această tensiune este cea care limitează puterea care se poate obține de la o mașină de curent continuu; de obicei  $e_{rm} \leq 10$  V. S-au realizat mașini cu puteri pînă la 23 000 kW cu:  $e_{rm} = 20$  V;  $D = 4,1$  m;  $\alpha_i = 0,75$ ;  $B_8 = 1,2$  T.

T.e.m.  $e_a$  devine neglijabilă la mașinile de curent continuu care au înfășurare de compensație.

Scînteierea la colector poate fi atît de natură electromagnetică, datorită inversării incomplete a curentului la finele perioadei de comutație cît și de natură mecanică: ovalizarea colectorului, ieșirea unei lamele sau a izolației, vibrația portperiilor, presarea insuficientă a periilor pe colector. Scînteile la colector au diferite forme și nuanțe.

Asigurarea unei comutații corecte, fără scînteii la perii sau cu scînteiere minimă este esențială pentru funcționarea mașinii de curent continuu. Puterea limită a mașinilor de curent continuu este determinată de posibilitățile de stăpînire a calității comutației. Funcționarea îndelungată cu scînteii la perii duce la uzura rapidă a periilor și la deteriorarea colectorului, precum și la creșterea pericolului de apariție a cercului de foc la colector (arc electric pe o parte din periferia colectorului).

Comutația depinde și de repartitia potențialului electric pe circumferința colectorului, în special de tensiunea dintre lamele. Dacă numărul de lamele este  $K$ , iar tensiunea dintre două perii de polaritate opusă este  $U$ , atunci valoarea medie  $U_{mk}$  a tensiunii dintre două lamele este  $U_{mk} = 2pU/K$  și nu depinde de tipul de înfășurare. Comutația este determinată de valoarea maximă  $U_{max}$  a tensiunii dintre două lamele vecine  $U_{max} = U_{mk}/\alpha_i$  deoarece la producerea t.e.m. participă  $\alpha_i K$  secții, adică cele care se află sub piesa polară; în afara polilor, cîmpul magnetic de excitație este neglijabil. La funcționarea în sarcină curba inducției magnetice din întrefier este deformată și ca urmare  $U_{max} = k_u \cdot U_{mk}/\alpha_i$ , unde  $k_u = 1,3 \dots 1,5$ . La mașinile de putere mare  $U_{max} < 25-28$  V, la mașinile de putere medie  $U_{max} < 30 \dots 35$  V și la mașinile de putere mică  $U_{max} < 50 \dots 60$  V, dacă sînt depășite aceste limite atunci pot să apară scînteii permanente între lamelele de colector, care ionizează spațiul dintre perii intensificînd producerea scînteierii.

*Metode de îmbunătățire a comutației.* Pentru a realiza o comutație bună adică practic fără scînteiere sub perii, sau cu o scînteiere relativ redusă se utilizează o serie de măsuri, care rezultă din posibilitățile de micșorare a curentului  $i$ ; mărirea rezistenței circuitului prin care circulă curentul  $i$  și micșorarea t.e.m.  $e_r + e_a$ . Este necesar să se reducă distorsionarea cîmpului magnetic.

a) Alegerea convenabilă a periilor constă în alegerea calității și dimensiunilor periilor. La mașinile cu tensiune mică se utilizează perii moi de grafit sau metalizate, iar la mașinile cu tensiuni ridicate, perii tari. Uneori, pentru mărirea rezistenței circuitului curentului  $i$  se utilizează



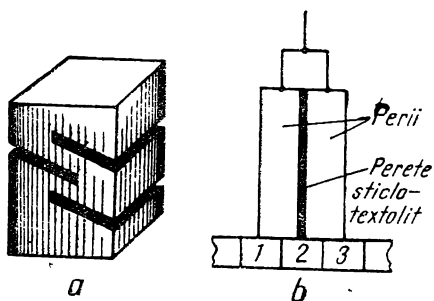


Fig. 5.11. Perii cu rezistență transversală mărită:

a — perie crestată; b — perie din fișii separate de material izolat.

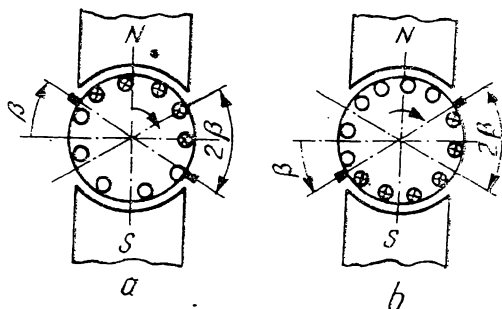


Fig. 5.12. Indusul cu collector cu periile decalate din axa neutră pentru îmbunătățirea comutației:

a — la generator; b — la motor.

perii formate din fișii lipite între ele, izolate de-a lungul lor și conectate între ele numai la partea superioară (fig. 5.11).

b) Deplasarea periilor din axa neutră geometrică într-o poziție în care cîmpul magnetic inductor  $B_{80}$  are sensul corespunzător compensării t.e.m.  $e_r + e_a$ ; această compensare are loc pentru o singură valoare a curentului  $I_A$ . În prezent metoda se utilizează la mașini mici cu  $P_n < 1\text{ kW}$ , unghiul de deplasare rămînînd fix și corespunde compensării, pentru jumătate din sarcina nominală (fig. 5.12).

c) Polii auxiliari realizează cîmpul magnetic exterior, în zona de comutație, necesar pentru a induce t.e.m.  $e_k$  în secția care comută de sens contrar cu  $e_r + e_a$ . Polii auxiliari se așază între polii principali, pe axele neutre geometrice iar periile rămîn în axa neutră geometrică (fig. 5.13). Înfășurarea acestor poli se conectează în serie cu înfășurarea indusului, astfel se poate realiza compensarea la orice valoare a curentului  $I_A$ . Circuitul magnetic corespunzător trebuie să fie nesaturat. Polaritatea se alege astfel încît să fie inversă în raport cu cîmpul magnetic de reacție transversală din zona interpolară. Utilizarea polilor auxiliari constituie un mijloc eficace de îmbunătățire a comutației. Mașinile de curent continuu cu  $P_n > 2\text{ kW}$  sînt prevăzute, de obicei, cu poli de comutație.

d) Înfășurarea de compensare se utilizează cînd polii auxiliari nu asigură o comutație satisfăcătoare. Polii auxiliari compensează cîmpul magnetic de reacție transversală numai în zona de comutație, în rest cîmpul magnetic de reacție deformează sensibil curba cîmpului magnetic inductor din întrefier, ceea ce conduce la o valoare mare pentru tensiunea  $U_{max}$  dintre două lamele vecine. Pentru a anula peste tot cîmpul magnetic de reacție se folosește înfășurarea de compensație, așezată în creștături efectuate în piesele polare principale și conectată în serie cu înfășurarea indusului astfel încît solenațiile indusului și înfășurării de compensare să fie opuse (fig. 5.14). Înfășurarea de compensare complică construcția mașinii și îi mărește costul, însă funcționarea mașinii devine foarte sigură. Se utilizează în special la mașinile de putere mare și condiții dificile de funcționare. La mașinile la care nu se utilizează înfășurarea de compensare, diminuarea cîmpului de reacție transversală se realizează mărind reluctanța magnetică corespunzătoare prin adoptarea unor anumite forme constructive ale polilor principali (fig. 5.15).

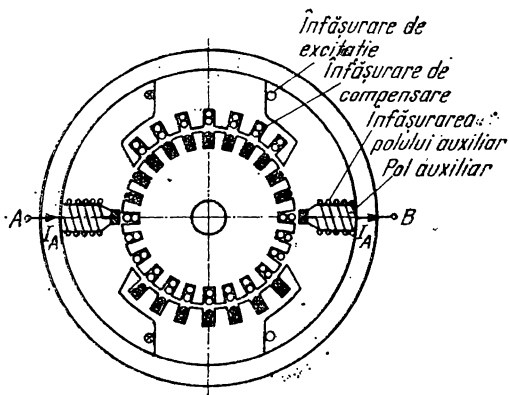


Fig. 5.13. Mașină de curent continuu cu poli auxiliari și înfășurare de compensare.

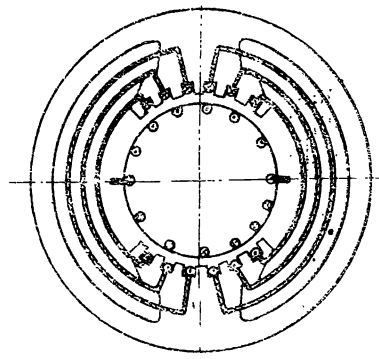
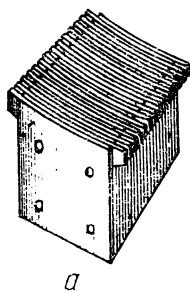
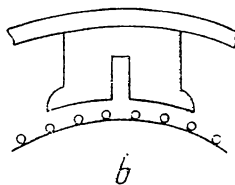


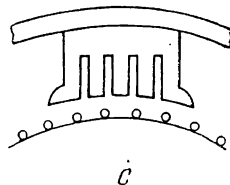
Fig. 5.14. Modul de conectare al înfășurării de compensare.



a



b



c

Fig. 5.15. Metode de reducere a cimpului magnetic de reacție transversală:

a — pol de excitație cu coarnele tălpilor polare saturate (tole terminate drept alternează cu tole prevăzute cu proeminențe corespunzătoare tălpilor polare); b și c — poli de excitație cu adinețuri.

e) Înfășurările în trepte pot îmbunătăți comutația, deoarece bobinele cu pas scurtat nu mai pot avea laturile plasate în creștături în care ambele straturi se găsesc în comutație, ceea ce face ca t.e.m. autoindusă să fie mai mică. Pentru micșorarea inductivității  $L_s + m_s$  se pot utiliza amortizoare de creștături realizate sub formă de plăci introduse în creștături (fig. 5.16); în acest caz  $e$ , se reduce la jumătate, însă pierderile suplimentare cresc și  $e$  nu mai este proporțională cu turația fapt care determină o utilizare restrinsă a acestor amortizoare.

*Verificarea experimentală a comutației.* Una din cele mai eficace metode de verificare a comutației unei mașini de curent continuu, în urma căreia comutația se poate pune la punct, este metoda zonei fără scînteii (fig. 5.17). Pentru fiecare valoare a curentului  $I$  al mașinii de verificat  $M$ , se determină valoarea curentului  $I_s$  al mașinii auxiliare  $G$  pentru care apar scînteii. Curentul  $I_s$  este pozitiv dacă prin înfășurarea  $C$  are același sens ca și  $I$  și negativ cînd are sens contrar. Fiecărei valori a lui  $I$  îi corespund două valori ale lui  $I_s$ . Se trasează curbele  $I_s/I_n = f(I/I_n)$  care pot avea una din formele din figura 5.18. Curbele au două ramuri, care pleacă din punctele  $A$  și  $B$  de pe axa ordonatelor; se apropie una de alta pînă se întîlnesc într-un

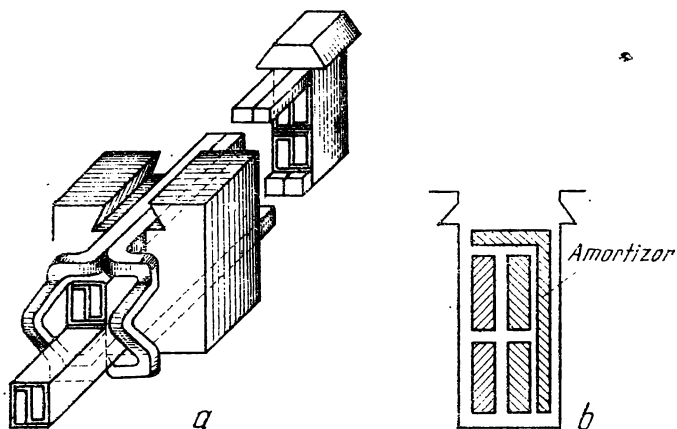


Fig. 5.16. Amortizoare de crestături:

*a* — sub formă de spirală în scurtcircuit (întilnită la construcții mai vechi); *b* — sub formă de plăci masive.

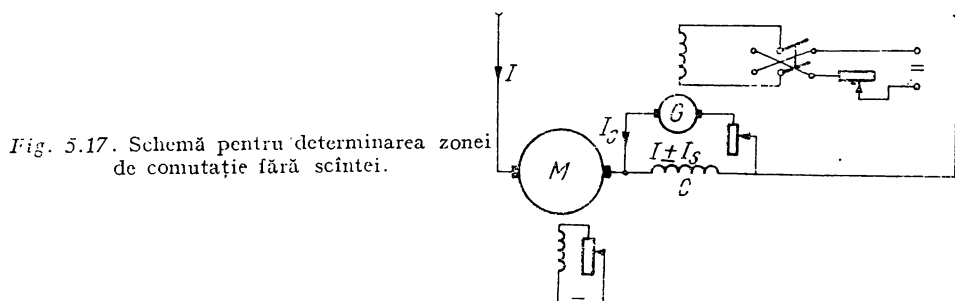


Fig. 5.17. Schemă pentru determinarea zonei de comutație fără scintei.

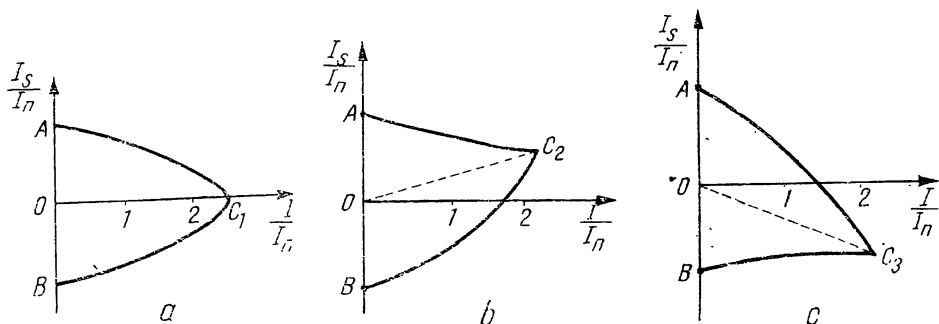


Fig. 5.18. Curbele zonei fără scintei:

*a* — poli auxiliari dimensionați corespunzător (comutație bună); *b* — poli auxiliari subdimensionați; *c* — poli auxiliari supradimensionați.

punct. Acesta poate fi  $C_1$  (pe axa absciselor),  $C_2$  sau  $C_3$ . Curbele cu punctul  $C_1$  corespund unei comutații puse la punct; în cazul curbelor cu punctul  $C_2$  trebuie să se mărească inducția sub polul de comutație. Acest lucru se realizează prin reducerea întrefierului polului de comutație, adăugînd plăcuțe feromagnetice între corpul polului și jugul statoric. O curbă cu punctul  $C_3$  indică un întrefier prea mic și se procedează la mărirea întrefierului.

## 5.5. REGIMUL DE GENERATOR AL MAȘINII DE CURENT CONTINUU

Mașina de curent continuu poate funcționa în regim de generator, motor sau frână. În regimul de generator, mașina transformă puterea primită pe la arbore de la un motor (care antrenează generatorul) în putere electrică. Pentru antrenarea generatorului de curent continuu motorul primar dezvoltă un cuplu activ  $M_1$  cu același sens ca și viteza de rotație  $n$ . Dacă înfășurarea de excitație este alimentată cu un curent  $I_e$  de la o sursă de curent continuu atunci între bornele  $A, B$  (fig. 5.19) va apărea o tensiune  $U_{A0} = E_0$ . Dacă între bornele  $A, B$  conectăm o rezistență oarecare, atunci în circuitul astfel format se va stabili un curent  $I_A$ , care va parcurge înfășurarea rotorului în același sens ca și t.c.m.  $E_0$ . Câmpul magnetic de reacție dat de curentul  $I_A$  se va suprapune peste cel de excitație, dând un câmp magnetic rezultat în întreg, al cărui flux magnetic pe pol  $\Phi$  diferă cu câteva procente de valoarea  $\Phi_0$  corespunzătoare lui  $I_A = 0$ ;  $\Phi < \Phi_0$  și deci  $E < E_0$ .

După modul de alimentare a înfășurării de excitație, generatoarele de curent continuu pot fi cu excitație separată sau cu autoexcitație. Generatoarele cu autoexcitație pot fi cu excitație în derivație, în serie sau mixtă. Schemele au fost indicate în figura 5.1. Puterea electrică  $P_e$  necesară pentru a excita un generator este:  $P_e = (0,01 \dots 0,03) P_n$ . Diferitele scheme de excitație ale generatorului de curent continuu determină caracteristici funcționale diferite. Fenomenele electromagnetice de bază sînt însă aceleași și în regim staționar sînt descrise de relațiile:

$$E = \frac{p}{a} \Phi N n = k_e n \Phi; \quad M = -k_m I_A \Phi; \quad R_A I_A + \Delta U_p + U_A = E \quad (5.10)$$

ultima relație — ecuația de tensiuni — se deduce aplicînd teorema lui Kirchhoff pe un contur  $\Gamma$  (plecînd de la borna  $B$ ) care se închide prin înfășurarea indusului, a polilor auxiliari și înfășurarea de compensație, apoi de la borna  $A$  prin aer, pe o linie a tensiunii la borne, pînă la borna  $B$  (fig. 5.19) adoptînd convenția de sensuri de la generatoare;  $R_A$  este rezistența totală a înfășurării rotorului, a înfășurării polilor auxiliari și a înfășurării de compensare,  $\Delta U_p$  este căderea de tensiune pe perechea de perii (corespunzătoare contactului dintre perii și colector). Dacă  $E \approx E_0$  ( $\Phi \approx \Phi_0$ ) și se neglijează  $\Delta U_p$  sau se include în căderea ohmică de tensiune  $R_A I_A$ , atunci ecuația de tensiuni se simplifică:  $E_0 = R_A I_A + U$ .

La relațiile 5.10 se mai adaugă ecuația mișcării rotorului, avîndu-se în vedere sensurile cuplurilor indicate în figura 5.19.

$$M_1 - M_m - M_{Fe} + M = J \frac{d\Omega}{dt} \quad (5.11)$$

unde  $M_m$  este cuplul corespunzător pierderilor mecanice (frecarea rotorului cu aerul, frecările în lagărele mașinii, pierderile mecanice ale ventilatorului), iar  $M_{Fe}$  este cuplul corespunzător pierderilor în fierul rotorului; aceste cupluri se opun mișcării, în regim de generator

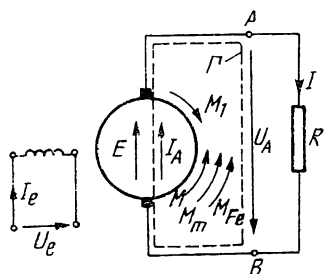


Fig. 5.19. Schema generatorului de curent continuu.

cuplul electromagnetic se opune de asemenea mișcării. Cu relațiile de mai sus și cu caracteristica de magnetizare  $\Phi_0 = \Phi_0(I_e)$  se pot determina toate caracteristicile funcționale ale diferitelor tipuri de generatoare de curent continuu. Se va examina mai întâi bilanțul de puteri. Dacă  $\Omega = \text{const}$  atunci  $M_1 = M_m + M_{Fe} - M$ ; înmulțind ultima relație cu  $\Omega$  se obține ecuația între puteri:

$$P_1 = M_1 \Omega = M_m \Omega + M_{Fe} \Omega - M \Omega = P_m + P_{Fe} + P, \quad (5.12)$$

adică puterea primită de generator  $P_1$  acoperă pierderile mecanice  $P_m$  și pierderile în fier  $P_{Fe}$ , iar cea mai însemnată parte devine putere electromagnetică  $P = -M \Omega = \frac{\phi}{2 \pi a} N \Phi \cdot 2 \pi I_A n = E I_A$ . Utilizînd ecuația de tensiuni se obține:

$$P = E I_A = U_A I_A + \Delta U_p I_A + R_A I_A^2 = U_A I + U_A I_e' + \Delta U_p I_A + R_A I_A^2 = P_2 + P_e' + P_J$$

unde  $P_e' = U_A I_e'$  este eventuala putere de excitație derivație luată de la bornele mașinii;  $P_J = \Delta U_p I_A + R_A I_A^2$  sînt pierderile Joule la perii și în rezistența  $R_A$ ;  $P_2 = U_A I$  este puterea utilă debitată de generator,  $I$  este curentul din rezistența de sarcină ( $I_A = I + I_e'$ ). În figura 5.20 s-a reprezentat diagrama energetică (bilanțul de puteri) a generatorului de curent continuu de un tip oarecare. În diagrama energetică există o ramură paralelă care acoperă pierderile  $P_e$  din circuitul de excitație, prin suma puterilor luate de la bornele generatorului  $P_e'$  (pentru excitație derivație) și de la surse separate  $P_e''$  (pentru excitație separată). Randamentul generatorului este deci:

$$\eta = P_2/P_1 = P_2/(P_2 + P_m + P_e + P_{Fe} + P_J). \quad (5.13)$$

### 5.5.1. CARACTERISTICILE GENERATOARELOR DE CURENT CONTINUU

Proprietățile funcționale ale generatorului de curent continuu se pot urmări prin intermediul curbelor caracteristice, care descriu dependența dintre tensiunea la borne  $U_A$ , curentul de excitație  $I_e$  și curentul  $I$  din circuitul exterior. La generatoare turația este totdeauna practic constantă.

Caracteristicile generatoarelor de curent continuu sînt influențate puternic de felul excitației, de aceea se vor examina separat.

#### A. Generatorul cu excitație separată

Generatorul de curent continuu cu excitație separată ( $I_A = I$ ) se consideră ca un regim de referință pentru studiul proprietăților mașinii de curent continuu.

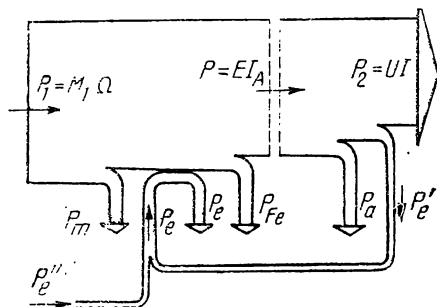


Fig. 5.20. Diagrama energetică a generatorului.

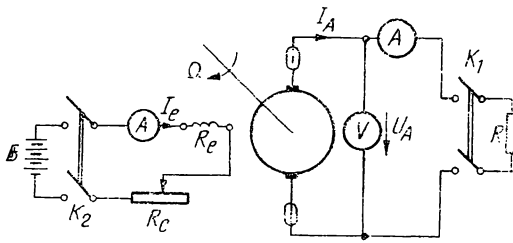


Fig. 5.21. Schema electrică pentru ridicarea caracteristicilor generatorului de curent continuu cu excitație separată.

$= C\Phi_0$ ); curentul de excitație  $I_e$  se variază monoton, fără întoarceri, între limitele extreme  $I_{em}$  și 0. În figura 5.22 s-a prezentat forma tipică a caracteristicii în gol, cele două ramuri (ascendentă și descendentă) se datoresc fenomenului de histerezis, iar la  $I_e = 0$  prezintă o t.e.m. remanentă  $E_r = U_n \cdot (0,02 \dots 0,08)$ . Prima parte a caracteristicii este aproximativ liniară, apoi — datorită saturației — t.e.m.  $E_0$  crește relativ puțin la o creștere însemnată a curentului  $I_e$ . Caracteristica se ridică pînă la valori ale lui  $E_0$  ce depășesc  $(1,2 \dots 1,5) U_n$ , verificîndu-se totodată la mașinile noi rigiditatea izolației între spirele indusului, (STAS 1893-78).

Curba medie pe ordonată se consideră caracteristica în gol de calcul utilizată de obicei în studiul funcționării mașinii. Punctul  $N_1$  corespunzător tensiunii nominale este plasat de obicei în cotul curbei.

b) Caracteristica de scurtcircuit reprezintă dependența  $I_k = f(I_e)$  la  $U_A = 0$  și  $n = \text{const} = n_n$ . Pentru valori ale lui  $I_k$  pînă la  $2,5 I_n$  caracteristica este o dreaptă, ce depinde însă de  $E_r$ . Această caracteristică se consideră pentru  $E_r = 0$ . Cu ajutorul caracteristicii de scurtcircuit și a caracteristicii de mers în gol se construiește triunghiul de scurtcircuit (fig. 5.23). Curentului de excitație  $I_{ek} = OC$  îi corespunde curentul  $I_k = CD$ . Dacă cîmpul de reacție longitudinal este demagnetizant, atunci mașina este magnetizată

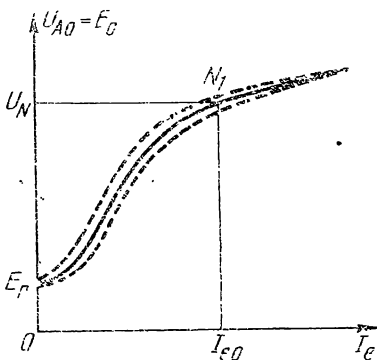


Fig. 5.22. Caracteristica de mers în gol.

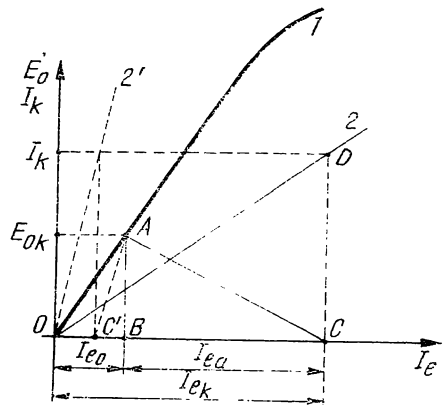


Fig. 5.23. Caracteristica de scurtcircuit și triunghiul de scurtcircuit:

1 — caracteristica de mers în gol  $E_0 = f(I_e)$ ;  
2 — caracteristica de scurtcircuit  $I_k = f(I_e)$ ; 2' — caracteristica de scurtcircuit pentru reacția indusului magnetizantă.

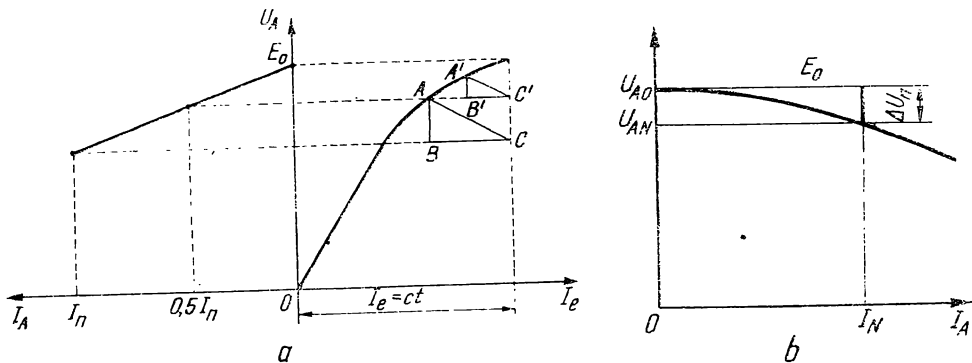


Fig. 5. 24. Predeterminarea caracteristicii externe (a) și caracteristica externă  $U_A = f(I_A)$  (b).

numai de curentul  $I_{e0} = I_{ek} - I_{ea} = OB$  căruia îi corespunde t.e.m.  $E_{0k} = AB = R_A I_k$ , ( $U_A = 0$ ), deci segmentul  $AB$  reprezintă căderea de tensiune pe rezistența  $R_A$  a mașinii. Triunghiul  $ABC$  are toate laturile proporționale cu  $I_k$  și se numește *triunghi de scurtcircuit*. Dacă zona tălpilor polare este saturată, atunci apare și influența reacției transversale. Dacă periiile sînt plasate în axele  $q$  și mașina are înfășurare de compensare, atunci  $BC = 0$  și triunghiul  $ABC$  se reduce la  $AB$ . Dacă reacția longitudinală a indusului este magnetizantă, triunghiul de scurtcircuit devine  $ABC'$ , în acest caz încercarea de scurtcircuit devine periculoasă deoarece  $I_k$  are tendința de a crește (curba  $2'$ ).

c) *Caracteristica externă* (fig. 5.24, b) reprezintă dependența  $U_A = f(I_A)$  la  $I_e = \text{const.}$  și  $n = \text{const.} = n_n$ . Caracteristica se ridică experimental cu  $K_1$  închis (fig. 5.21) modificînd rezistența de sarcină  $R$  în limitele necesare. Tensiunea la borne scade odată cu creșterea curentului datorită căderii de tensiune  $R_A I_A$ , a căderii de tensiune la perii  $\Delta U_p$  și a micșorării fluxului magnetic  $\Phi_0$  datorită reacției indusului (cînd mașina funcționează saturat și nu are înfășurare de compensație). Variația relativă a tensiunii de la gol la sarcină nominală  $\Delta U_{An}/U_{An} = (U_{A0} - U_{An})/U_{An}$  este de 5...15% la generatoarele obișnuite de putere medie fără înfășurare de compensare. Caracteristica externă se obține din caracteristica de mers în gol și triunghiul de scurtcircuit construit pentru diferite valori ale curentului  $I$ ; vîrfurile  $A$  se plasează pe caracteristica de mers în gol, iar vîrfurile  $C$  rămînie mereu pe dreapta  $I_e = \text{const.}$  (fig. 5.24, a).

d) *Caracteristica de reglaj*  $I_e = f(I_A)$  la  $U = \text{const.} = U_n$  și  $n = \text{const.} = n_n$  arată cum trebuie modificat curentul de excitație  $I_e$  în funcție de curentul de sarcină, pentru a menține la borne tensiunea constantă; are o alură crescătoare (fig. 5.25). Creșterea curentului de excitație de la gol la sarcină nominală este de 10...20%. Se poate construi cu

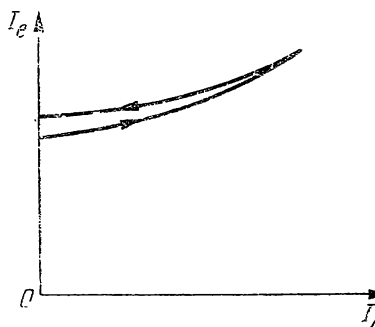


Fig. 5.25. Caracteristica de reglaj  $I_e = f(I_A)$ .

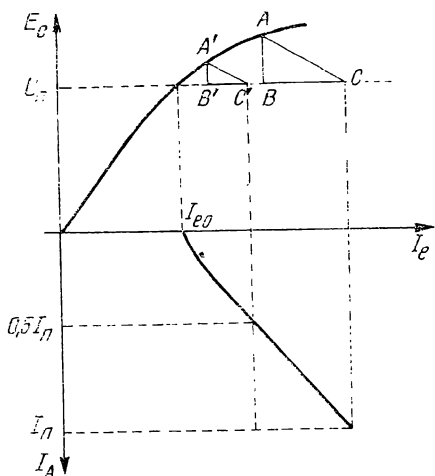


Fig. 5.26. Predeterminarea caracteristicii de reglaj.

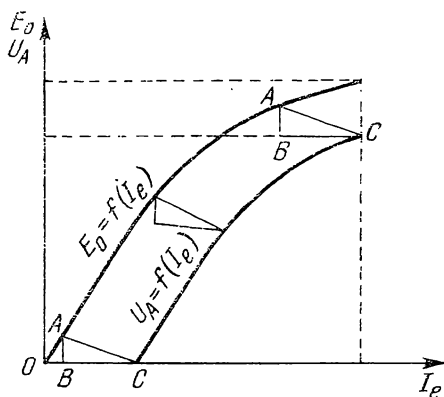


Fig. 5.27. Predeterminarea caracteristicii de sarcină.

ajutorul caracteristicii în gol și triunghiul de scurtcircuit care are latura  $BC$  pe dreapta  $U_n = \text{const.}$  (fig. 5.26).

e) *Caracteristica de sarcină* se definește prin relația  $U_A = f(I_e)$  la  $n = \text{const} = n_n$  și  $I_A = \text{const}$  și se predetermină din caracteristica  $E_0 = f(I_e)$  și triunghiul de scurtcircuit construit pentru  $I_A = \text{const.}$  (fig. 5.27).

### B. Generatorul cu excitație derivație

Este cel mai răspândit tip de generator. Înfășurarea de excitație este alimentată de la bornele înfășurării rotorului cu care este conectată în derivație. Curentul de excitație  $I_e \approx (0,01...0,05) I_n$  și poate fi modificat cu rezistența  $R_e$  (fig. 5.28), valorile mai mari ale lui  $I_e$  se referă la puteri mici.

Presupunem că rotorul este rotit de către motorul primar cu o viteză de rotație constantă; dacă există un câmp magnetic remanent al polilor de excitație, atunci în înfășurarea rotorului se induce o t.e.m.  $E_r$ . Închizând întreruptorul  $K'$ , pe una din poziții, prin înfășurarea de excitație va circula un curent mic ( $E_r$  este mică). Acest curent de excitație  $I_e$  produce un câmp magnetic suplimentar care se suprapune peste câmpul remanent fie cu același sens, fie cu sens contrar funcție de sensul curentului  $I_e$  respectiv de poziția întreruptorului  $K'$ . Dacă câmpul magnetic suplimentar întărește câmpul magnetic remanent, atunci fluxul magnetic pe pol crește și t.e.m.  $e_0$  indusă în înfășurarea rotorului crește fapt care conduce la o nouă creștere a curentului  $I_e$  și deci are loc o creștere și mai însemnată a t.e.m.  $e_0$ , procesul con-

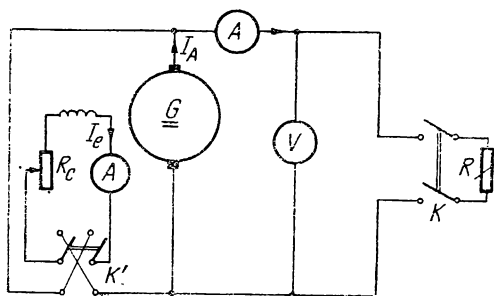


Fig. 5.28. Schemă pentru încercarea generatorului cu excitație derivație.



tinuă pînă se atinge regimul staționar. Acest proces se numește *autoexcitarea generatorului derivație*.

Pentru descrierea procesului tranzitoriu de autoexcitație se scrie ecuația circuitului format din înfășurarea rotorului și înfășurarea de excitație:

$$e_0 = (R_e + R_c + R_A) i_e + \frac{d}{dt} [(L_e + L_A) i_e] \quad (5.14)$$

unde  $L_e$  este inductivitatea proprie a înfășurării de excitație, iar  $L_A$  — inductivitatea proprie a înfășurării indusului. Cu  $i_e$  s-a notat valoarea instantanee a curentului de excitație.

T.e.m.  $e_0$  și curentul  $i_e$  verifică atît ecuația (5.14) cît și ecuația  $e_0 = f(i_e)$ , dată prin caracteristica de mers în gol — curba 1 în figura 5.29. Dacă  $R_e = \text{const.}$  ( $R_A$  și  $R_c$  fiind mărimi date pentru o mașină) atunci căderea de tensiune  $(R_e + R_c + R_A) i_e$  se reprezintă grafic printr-o dreaptă (dreapta 2 din figura 5.29), numită *dreapta excitației*. Pentru fiecare valoare  $R_c$  corespunde o dreaptă care trece prin origine, dar de pantă diferită. Procesul de autoexcitație se termină cînd  $i_e$  și  $e_0$  nu mai variază în timp atîngînd valorile corespunzătoare punctului  $D(I_e, E_0)$ . Dacă rezistența  $R_c$  variabilă are o astfel de valoare încît dreapta 2 are o pantă mai mică decît panta corespunzătoare porțiunii lineare a caracteristicii de mers în gol ( $\alpha' < \alpha'_{cr}$ ), atunci are loc procesul de autoexcitare. Există deci o valoare critică  $R_{cr}$  a rezistenței reostatului de cîmp  $R_c$  astfel încît dacă  $R_c < R_{cr}$ , procesul de autoexcitație are loc, iar dacă  $R_c > R_{cr}$  acest proces nu mai are loc. Segmentul  $AB$  dă măsura intensității procesului de autoexcitare, în punctul  $D$  avem  $\frac{di_e}{dt} = 0$ , respectiv  $AB = 0$ . Valoarea  $R_{cr}$  de-

pinde de viteza de rotație  $n$  a generatorului, deoarece:  $E_0 = k_e n \Phi_0 \approx k'_e n I_e$  pentru porțiunea lineară a caracteristicii de mers în gol. Zona de funcționare instabilă —  $GN$  poate fi redusă prin practicarea unor interstiii în miezurile polilor principali (fig. 5.30).

a) *Caracteristica de mers în gol* a acestui generator are aceeași alură cu cea a generatorului cu excitație separată și se ridică de regulă într-o schemă cu sursă de excitație separată.

b) *Caracteristica externă* (fig. 5.31) se definește prin funcția  $U_A = f(I)$  pentru  $n = \text{const.}$  și  $R_c = \text{const.}$ , deoarece  $I_e$  depinde de  $U_A$ ; alura este mai căzătoare decît la generatorul cu excitație separată pentru că în plus curentul  $I_e$  scade odată cu tensiunea la borne. Această caracteristică poate fi predeterminată ținînd seama de relațiile:

$$E_0 = U_A + R_A I_A + \Delta U_p; \quad I_e = U_A / (R_e + R_c); \quad I_A' = I_A + I_e; \quad E_0 = f(I_e); \\ U_A = RI. \quad (5.15)$$

Căderea de tensiune nominală  $\Delta U_n$  este pînă la de două ori mai mare decît a generatorului cu excitație separată. Pentru comparație în figura 5.31 s-a reprezentat și caracteristica externă a generatorului cu excitație separată. La mic-

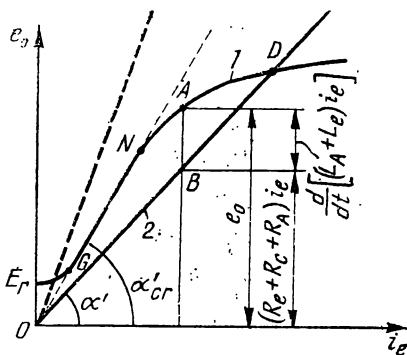


Fig. 5.29. Autoexcitarea generatorului cu excitație în derivație.

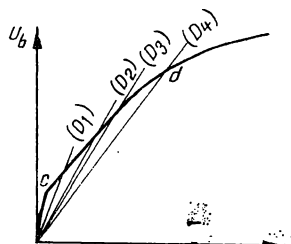
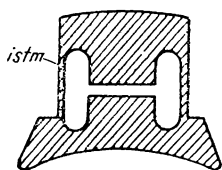


Fig. 5.30. Polul cu istmuri saturabile și caracteristica în gol a mașinii în acest caz; dreptele circuitului de excitație  $D_1, \dots, D_4$  au panta determinată de rezistența totală a circuitului de excitație.

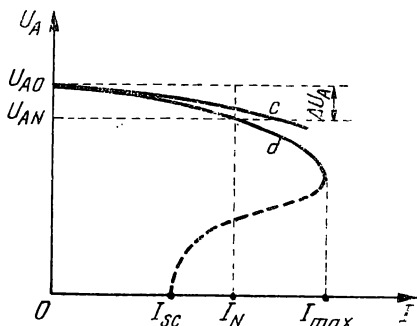


Fig. 5.31. Caracteristica externă a generatorului cu excitație derivație (d) și a generatorului cu excitație separată (c).

șorarea rezistenței  $R$  curentul crește pînă la valoarea  $I_{max}$  de  $(2 \dots 2,5) I_n$ , după care scade la  $I_{sc} = E_1 / R_A$  la  $R=0$ . Curentul  $I_{max}$  corespunde unei rezistențe de sarcină  $R$  care face ca panta drepte de excitație să coincidă cu panta critică. Micșorînd în continuare pe  $R$  generatorul se dezexcită și funcționarea nu mai este stabilă (porțiunea punctată din fig. 5.31). Într-adevăr din ecuațiile 5.15 rezultă

$$E_0 = [R_A + R_e + R_c + R_A (R_e + R_c) / R] I_e.$$

c) *Caracteristica de reglaj*  $I_e = f(I)$  pentru  $U_A = \text{const.} = U_{An}$  și  $n = \text{const.}$  nu se deosebește calitativ de cea a generatorului cu excitație separată, dar creșterea curentului  $I_e$  pentru a menține pe  $U_A$  constant este mai mare, la aceeași sarcină.

### C. Generatorul cu excitație serie

În figura 5.32 este reprezentată schema generatorului serie de curent continuu la care înfășurarea de excitație este conectată în serie cu cea a indusului. Caracteristica în gol și caracteristicile în sarcină se determină alimentînd înfășurarea de excitație de la o sursă separată. Procesul de auto-excitație are loc în aceleași condiții ca și la generatorul derivație.

Caracteristica externă — singura caracteristică proprie — se definește prin relația  $U = f(I)$  la  $n = \text{const.} = n_n$  (fig. 5.33), fiind crescătoare la curenți

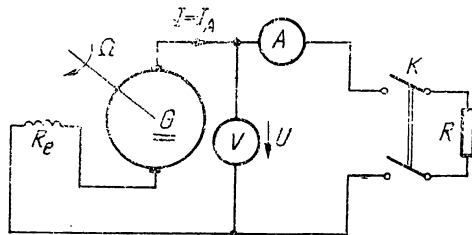


Fig. 5.32. Schema electrică a generatorului cu excitație serie.

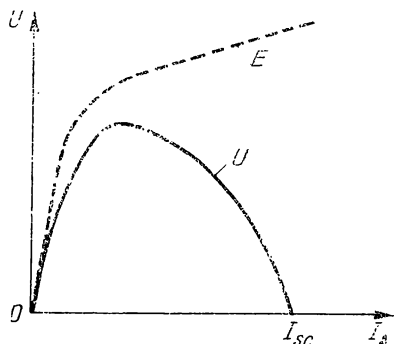


Fig. 5.33. Caracteristica externă a generatorului serie.

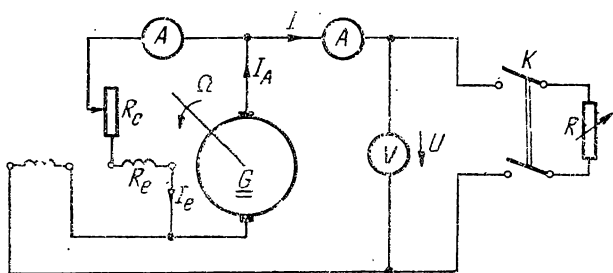


Fig. 5.34. Schema electrică pentru generatorul cu excitație mixtă.

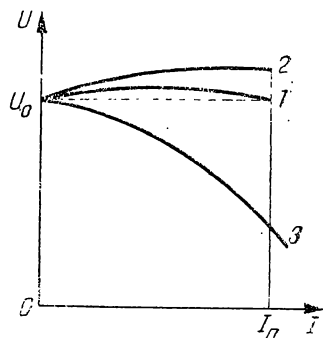


Fig. 5.35. Caracteristicile externe ale generatorului cu excitație mixtă.

mici și odată cu creșterea curentului  $I$ , după atingerea unui maxim, devine descrescătoare datorită saturației circuitului magnetic și efectului pronunțat al reacției indusului. La scurtcircuit se stabilește un curent mare periculos pentru mașină. Punctul de funcționare este determinat de intersecția caracteristicii  $U=f(I)$  cu dreapta circuitului de sarcină  $U=RI$ .

Generatorul serie funcționează numai incidental, acest regim intervine la frînarea motoarelor serie în tracțiunea electrică.

#### D. Generatorul cu excitație mixtă

Schema electrică este prezentată în figura 5.34; generatorul are două înfășurări de excitație, una derivație și alta serie.

Dacă fluxurile magnetice ale celor două înfășurări au același sens, atunci generatorul are excitație mixtă adițională, în caz contrar are excitație mixtă diferențială. De regulă înfășurarea derivație constituie înfășurarea de excitație de bază, iar înfășurarea serie se utilizează pentru a compensa căderea de tensiune de la gol la sarcină.

Caracteristica externă (fig. 5.35) poate fi modificată funcție de ponderea și sensul înfășurării de excitație serie. Înfășurarea serie adițională permite eventual chiar menținerea practic constantă a tensiunii la borne, indiferent de sarcină (curba 1, compundare normală); se poate obține și o caracteristică externă crescătoare (curba 2 supracompundare), care permite menținerea constantă a tensiunii la capătul unei linii de transport. Înfășurarea serie diferențială (anticompundare) permite obținerea unei caracteristici externe rapid căzătoare (curba 3), cum este necesar la alimentarea arcului electric (sudură), sau la acționările electrice ale excavatoarelor.

### 5.5.2. FUNCȚIONAREA ÎN PARALEL A GENERATOARELOR DE CURENT CONTINUU

În rețelele electrice de curent continuu, este necesar să se conecteze în paralel două sau mai multe generatoare pentru a asigura puterea electrică cerută de receptor.

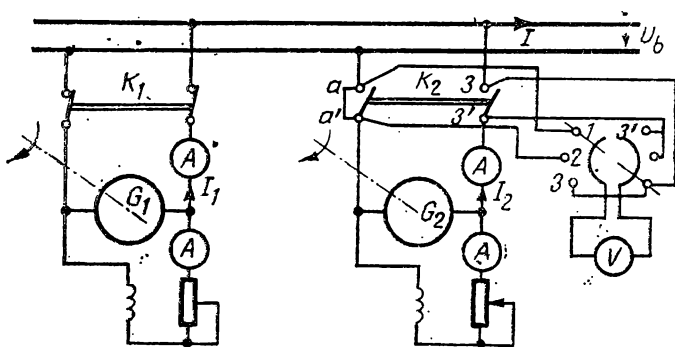


Fig. 5.36. Schema de montaj la conectarea în paralel a generatoarelor derivație.

Conectarea în paralel a generatoarelor derivație se realizează după schema din figura 5.36. De exemplu generatorul  $G_1$  este conectat la rețea și funcționează la tensiunea nominală. Pentru a conecta în paralel generatorul  $G_2$ , acesta este antrenat la turația nominală și excitat la tensiunea nominală; înainte de conectarea la rețea se verifică egalitatea tensiunilor la borne și polaritatea bornelor. În acest scop, se măsoară succesiv tensiunile la bornele generatoarelor iar pentru măsurarea diferenței tensiunilor (bornele 3 și 3') se efectuează legătura suplimentară  $aa'$ . Conectarea se face în momentul în care  $U_{3-3'}=0$ . Dacă se notează cu  $R_{A1}$ ,  $R_{A2}$  rezistențele echivalente ale circuitelor din indus și cu  $R$  rezistența de sarcină, neglijînd curenții de excitație, se pot scrie ecuațiile:

$$U_b = E_1 - R_{A1} I_1; \quad U_b = E_2 - R_{A2} I_2; \quad U_b = RI; \quad I_1 + I_2 = I \quad (5.16)$$

de unde rezultă:

$$I_1 = \frac{E_1(R + R_{A2}) - E_2 R}{R(R_{A1} + R_{A2}) + R_{A1} R_{A2}}; \quad I_2 = \frac{E_2(R + R_{A1}) - E_1 R}{R(R_{A1} + R_{A2}) + R_{A1} R_{A2}}; \\ U_b = \frac{R(E_1 R_{A2} + E_2 R_{A1})}{R(R_{A1} + R_{A2}) + R_{A1} R_{A2}} \quad (5.17)$$

Din aceste relații rezultă: creșterea curentului de sarcină al unui generator se realizează prin creșterea t.e.m. induse în generatorul respectiv, sau prin reducerea t.e.m. induse în celelalte generatoare (cînd sînt  $n$  generatoare cuplate în paralel); tensiunea la borne poate fi menținută constantă, dacă odată cu creșterea t.e.m. a unui generator se reduce proporțional t.e.m. a celorlalte generatoare; dacă t.e.m. a unei mașini este micșorată după conectarea în paralel, în raport cu t.e.m. la funcționarea în gol, curentul prin mașină schimbă de sens și mașina trece în regim de motor. Încărcarea în sarcină a mașinilor poate fi examinată pe cale grafică pe baza caracteristicilor externe (fig. 5.37). La conectarea în paralel a generatoarelor compund mai este necesar să se efectueze o legătură suplimentară între bornele înfășurării de excitație serie (conectată adițional) pentru ca, după conectarea în paralel a mașinilor, tensiunea la bornele acestor înfășurări să fie aceeași (fig. 5.38). Această legătură echipotențială asigură o funcționare stabilă a generatoarelor, prin faptul că odată cu creșterea curentului de sarcină al unui generator se obține o creștere proporțională a solenției de excitație serie a tuturor generatoarelor. În absența legăturii odată cu creșterea cu-

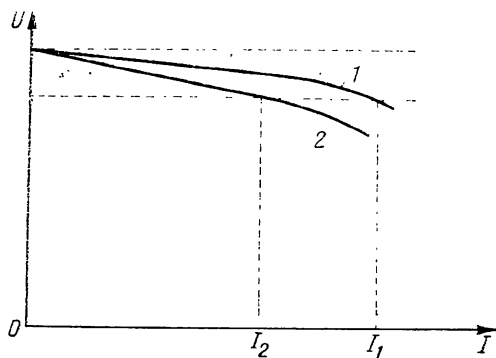


Fig. 5.37. Repartiția sarcinii pe două generatoare cu excitație în derivație care merg în paralel.

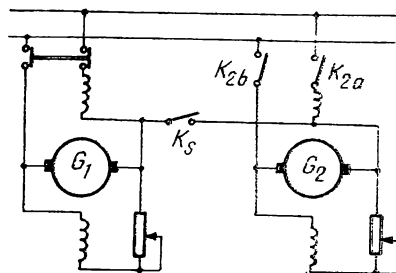


Fig. 5.38. Schema de montaj la conectarea în paralel a generatoarelor compund (după închiderea întrerupătorului  $K_5$  se închide întrerupătorul  $K_{2a}$ , după reglarea tensiunii generatorului  $G_2$  și verificarea polarității se închide  $K_{2b}$ ).

rentului de sarcină al unui generator s-ar produce o creștere a solenității de excitație serie numai la acest generator și fluxul magnetic inductor crește conducând la creșterea t.e.m. induse și respectiv a curentului de sarcină, ajungându-se în final la o mașină supraîncărcată, iar cealaltă s-ar descărca complet putînd trece și în regim de motor.

## 5.6. REGIMUL DE MOTOR AL MAȘINII DE CURENT CONTINUU

Mașina de curent continuu poate funcționa și în regim de motor electric. Motorul electric transformă puterea electrică primită de la o rețea electrică în putere mecanică prin intermediul cîmpului electromagnetic. Fie o mașină de curent continuu cu excitație separată funcționînd ca generator, care debitează curentul  $I_A$  într-o rețea de curent continuu cu tensiunea  $U_r = U_A$  atunci  $E = U_A + R_A I_A + \Delta U_p$ . Micșorînd treptat diferența între t.e.m.  $E$  și tensiunea  $U$  (micșorînd turația sau fluxul magnetic inductor, sau tensiunea  $U_r$ ) curentul  $I_A$  va scădea treptat pînă la zero și apoi va schimba de semn dacă  $E < U_A = U_r$  determinînd și schimbarea de semn a puterii electrice  $U_r I_A$ . Astfel mașina trece din regimul de generator în regim de motor și primește putere de la rețea. În regimul de motor, cuplul electromagnetic schimbă de semn și acționează asupra rotorului în sensul de rotație (cuplu activ). În regimul de motor sensurile de referință ale tensiunii la borne și ale curentului se asociază după regula de la receptoare (fig. 5.39). Ecuațiile motorului în regim staționar rămîn de aceeași formă ca și la generator cu precizarea că  $I_A$  schimbă de semn:

$$U_A = E + R_A I_A + \Delta U_p; E = k_e n \Phi; M_e = k_m I_A \Phi; \Phi_0 = f(I_e) \quad (5.18)$$

Căderea de tensiune  $\Delta U_p$  schimbă de semn odată cu  $I_A$ .

După modul de conectare a înfășurării de excitație se disting: motoare cu excitație separată, motoare cu excitație derivație, motoare cu excitație serie și motoare cu excitație mixtă. Cînd alimentarea motorului se face de la o sursă de tensiune constantă nu există deosebire între motorul cu excita-

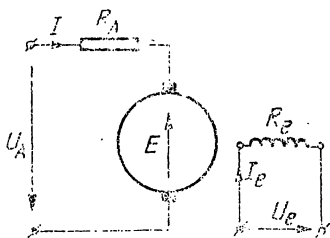


Fig. 5.39. Asocierea sensurilor de referință în regim de motor.

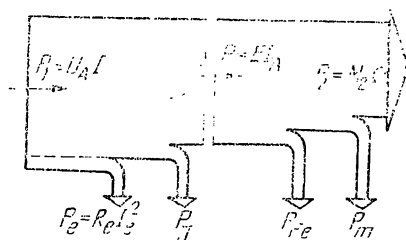


Fig. 5.40. Diagrama energetică a motorului.

ție separată și motorul cu excitație derivație. Ecuația cuplurilor la viteză de rotație constantă este:  $M = M_2 + M_m + M_{Fe}$ ;  $M_2$  este cuplul dezvoltat la ax pentru a învinge cuplul rezistent al instalației antrenate. Înmulțind ecuația cuplurilor cu  $\Omega$  se obține ecuația puterilor

$$P = P_2 + P_m + P_{Fe} \quad (5.19)$$

$P_2 = M_2 \Omega$  este puterea utilă la arbore. Puterea electromagnetică  $P = M \Omega$  se poate pune sub forma:

$$P = M \Omega = E I_A = U_A I - R_A I_A^2 - \Delta U_p I_A - U_A I_e = P_1 - P_J - P_e \quad (5.20)$$

unde  $P_1 = U_A I$  este puterea absorbită de motor de la rețea;  $P_J = \Delta U_p I_A + R_A I_A^2$  sînt pierderile Joule în rezistența la perii și în rezistența  $R_A$ ;  $P_e = U_A I_e = R_e I_e^2$  este puterea transformată în căldură prin efect Joule în înfășurarea de excitație. Pe baza relațiilor de mai sus s-a construit diagrama energetică a motorului (fig. 5.40). Randamentul motorului este:

$$\eta = (P_1 - P_e - P_J - P_{Fe} - P_m) / P_1.$$

Polaritatea polilor auxiliari se stabilește după aceeași regulă ca la generator și rezultă că parcurgînd periferia rotorului în sensul de rotație, înțîlnim întîi un pol auxiliar de polaritate opusă față de polul de excitație care urmează.

Motoarele de curent continuu prezintă o deosebită importanță în acționările cu reglaj de viteză, cunoscînd în prezent o largă dezvoltare, ca fabricație și utilizare (tracțiunea electrică, acționarea mașinilor unelte, metalurgie, instalații de transport și ridicat).

Performanțele unui motor sînt determinate de caracteristicile de pornire, de funcționare, de frînare și de modificare a vitezei de rotație.

Caracteristicile motorului de curent continuu depind de modul de conectare al înfășurării de excitație; este importantă caracteristica mecanică  $n = f(M_2)$  care se aproximează cu  $n = f(M)$ . Caracteristicile se studiază la tensiune constantă:  $U_A = \text{const.} = U_{A2}$ .

### 5.6.1. MOTORUL CU EXCITAȚIE DERIVAȚIE

a) *Caracteristicile de funcționare.* Montajul pentru pornirea și pentru ridicarea experimentală a caracteristicilor motorului derivație este indicat în figura 5.41.

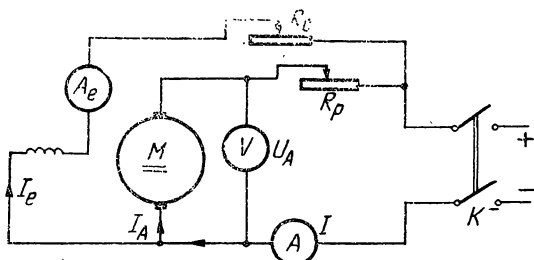


Fig. 5.41. Montaj pentru ridicarea experimentală a caracteristicilor motorului derivație.

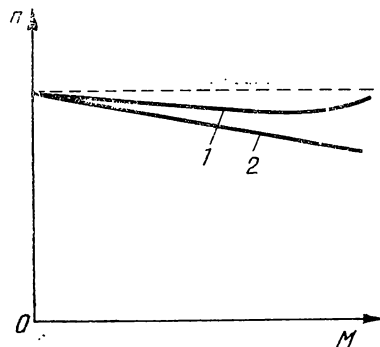


Fig. 5.42. Caracteristica mecanică a motorului derivație;  
1 — motor necompensat; 2 — motor compensat.

Înfășurarea de excitație este conectată la bornele rețelei de alimentare și  $I = I_A + I_e$ .

Caracteristica mecanică la funcționarea în regim permanent se definește prin ecuația:  $n=f(M_2)$  pentru  $I_e=\text{const.}$  și  $U_A=\text{const.}$

Se utilizează cu o bună aproximație funcția  $n=f(M)$ ; din relațiile (5.18) rezultă expresia analitică a caracteristicii mecanice:

$$n = (U_A - \Delta U_p)/k_e \Phi - R_A M/k_e k_m \Phi^2 \quad (5.21)$$

pentru  $M=0$  se obține viteza de mers în gol  $n_0=(U_A-\Delta U_p)/k_e \Phi$ , iar pentru  $n=0$  se obține cuplul de pornire  $M_p=n_0 k_e k_m \Phi^2/R_A$  și relația (5.21) devine  $n=n_0(1-M/M_p)$ . Viteza de rotație scade foarte puțin (cîteva procente) de la mersul în gol la mersul în sarcină. Motorul derivație are o caracteristică mecanică dură (fig. 5.42). La motorul derivație necompensat fluxul magnetic  $\Phi$  scade datorită reacției indusului, ca urmare turația poate să crească la valori mari ale cuplului  $M_2$ ; motorul prezintă pericolul funcționării instabile pentru unele caracteristici ale mecanismelor acționate.

Caracteristica vitezei la mersul în sarcină se definește prin ecuația  $n=f(I)$  pentru  $I_e=\text{const.}$  și  $U_A=\text{const.}$  Din relațiile (5.18) rezultă expresia analitică a caracteristicii:  $n=(U_A-R_A I+R_A I_e-\Delta U_p)/k_e \Phi$  unde  $I_e \ll I$ , și are aceeași alură ca și caracteristica mecanică (fig. 5.43).

Caracteristica vitezei la mersul în gol (fig. 5.44):  $n=f(I_e)$  pentru  $U_A=\text{const.}$  și  $M_2=0$ . Cum  $M_m + M_{Fe}$  sînt relativ mici, cuplul dezvoltat de motor este redus, deci și  $I_A$  este mic și se pot neglija căderile de tensiune  $R_A I_A$  și  $\Delta U_p$ , iar  $n_0 \approx U_A/k_e \Phi$  adică turația variază invers proporțional cu fluxul magnetic  $\Phi$ , sau invers proporțional cu  $I_e$  dacă circuitul magnetic este nesaturat. La valori mari ale lui  $I_e$ , circuitul magnetic se saturează și turația nu mai scade sensibil. Pentru valori mici ale lui  $I_e$ , turația poate atinge valori periculoase; la  $I_e=0$  (circuitul de excitație întrerupt) rezultă  $\Phi=\Phi_r$  și turația crește nepermis de mult. Caracteristica se ridică pînă la  $n_{max}$ , indicată de firma constructoare. Valoarea maximă a lui  $I_e$  este  $I_{em}=U_A/R_e$  cînd  $R_e=0$ .

b) Pornirea motorului derivație se poate efectua fie cu ajutorul unui reostat conectat în serie cu indusul, fie prin alimentarea motorului de la o sursă cu tensiune reglabilă.

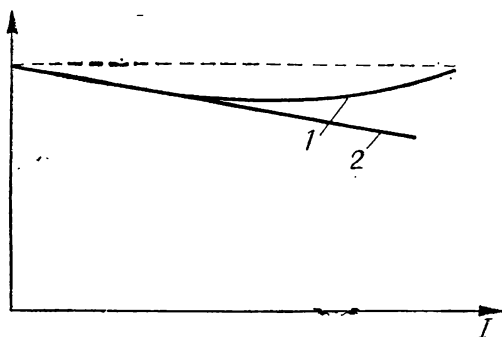


Fig. 5.43. Caracteristica vitezei la mersul în sarcină.

1 — motor necompensat; 2 — motor compensat.

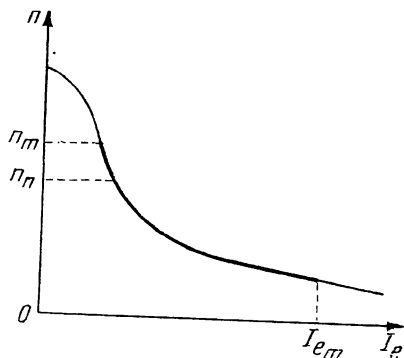


Fig. 5.44. Caracteristica vitezei la mersul în gol.

Curentul de pornire este mare în raport cu  $I_n$  deoarece în momentul pornirii  $n=0$  și deci t.e.m. este nulă. Variația curentului  $I_A$  în raport cu timpul, în intervalul de pornire se determină din ecuațiile:

$$U_A = R i_A + \Delta U_p + L_A \frac{d i_A}{d t} + \frac{k_e \Phi}{2\pi} \cdot \Omega; \quad J \frac{d \Omega}{d t} = M - M_2 - M_m - M_{Fe}. \quad (5.22)$$

Constanta de timp  $L_A/R_A$  este redusă și curentul absorbit crește foarte repede pînă la o valoare maximă  $I_p$ , de la care începe să scadă pe măsură ce crește turația, tinzînd aperiodic sau oscilant amortizat spre valoarea finală  $I_f = (M_2 + M_m + M_{Fe})/k_m \Phi$ . Turația  $n$  crește de la zero tinzînd spre turația de regim  $n_f = (U - R I_f)/k_e \Phi$  (fig. 5.45). Valoarea maximă  $I_p$  a curentului depinde de momentul de inerție  $J$ . Dacă  $J$  este mare se realizează o pornire lentă și  $I_p$  se apropie de valoarea  $(U - \Delta U_p)/R_A$ . Curentul ajunge la valoarea  $I_p$  în aproximativ 0,02 s. La motoarele derivație, trebuie să se conecteze mai întîi circuitul de excitație și după ce s-a stabilit fluxul magnetic de re-

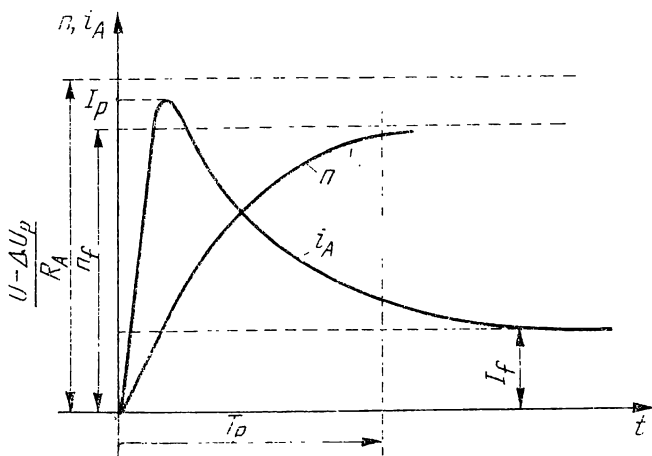


Fig. 5.45. Variația turației și a curentului indusului în raport cu timpul, la pornire.

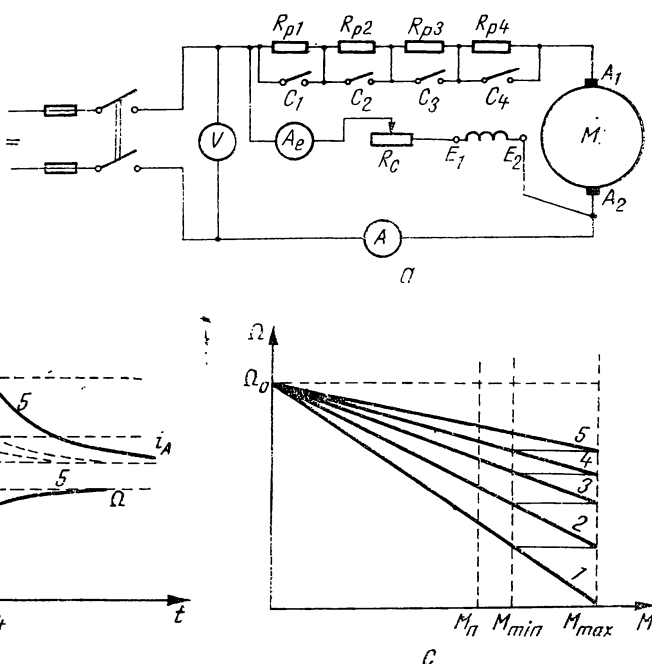


gim se conectează circuitul indusului. Astfel, pornirea are loc într-un interval de timp mai mare din cauza constanței de timp a înfășurării de excitație. Șocul de curent la pornire este periculos atât pentru motor din cauza comutației grele cât și pentru rețea mai ales dacă aceasta este de putere mică. Odată cu șocul de curent are loc și un șoc de cuplu deoarece  $M = k_m \Phi i_A$ . Pentru a limita curentul de pornire se folosesc reostate de pornire conectate în serie cu indusul, a căror rezistență poate fi variată în trepte sau continuu, în așa fel încît  $I_p \approx (1,2 \dots 1,6) I_n$ . Această metodă de pornire este cea mai răspândită, fiind utilizată la motoarele de puteri medii și mari (excepție fac motoarele de puteri foarte mari, de exemplu pentru caja laminoarelor, la care reostatele ar rezulta de dimensiuni exagerate și pierderile de energie ar fi importante). Metoda se aplică la toate tipurile de motoare de curent continuu. La conectarea rezistenței de pornire  $R_p$ , caracteristica mecanică se schimbă conform relației  $n = n_0 [1 - (1 + R_p/R_A) M/M_p]$  devenind cu atât mai căzătoare cu cât  $R_p$  este mai mare. În figura 5.46 este prezentată schema de montaj a motorului derivație cu ajutorul căreia se explică pornirea. În primul moment cînd toată rezistența reostatului de pornire  $R_p = R_{p1} + R_{p2} + R_{p3} + R_{p4}$  este înseriată cu indusul motorul dezvoltă cuplul  $M_{max}$  (curentul indus este  $I_{max}$ ) și începe să accelereze conform caracteristicii mecanice 1. Cînd cuplul dezvoltat de motor atinge valoarea  $M_{min}$  (curentul prin indus este  $I_{min}$ ) se scurtcircuitează prima treaptă a reostatului  $R_{p1}$  (se închide  $C_1$ ), și se înregistrează un nou șoc de curent și cuplu. Se pot dimensiona treptele reostatului astfel încît noul șoc de cuplu să fie tot  $M_{max}$ . Viteza crește în continuare după caracteristica mecanică 2 care corespunde rezistenței de pornire  $R_{p2} + R_{p3} + R_{p4}$ .

În mod similar se scurtcircuitează și celelalte trepte și motorul funcționează în final pe caracteristica mecanică naturală  $R_p = 0$ , notată cu 5. De

Fig. 5.46. Pornirea motorului de curent continuu:

a — schema electrică pentru pornirea motorului de curent continuu; b — variația curentului și a turației la pornire; c — caracteristicile mecanice pentru diverse trepte ale rezistenței de pornire.



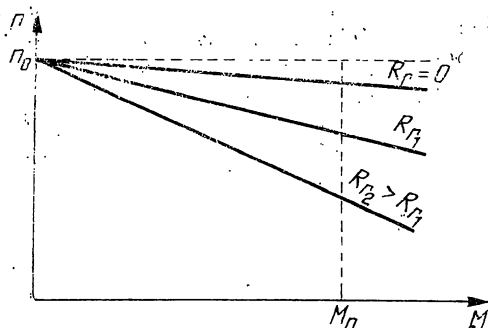


Fig. 5.47. Caracteristicile mecanice la reglajul turației cu ajutorul unui reostat.

obiței  $M_{max} = (1,6 \dots 1,8) M_n$ , iar  $M_{min} = (1,1 \dots 1,3) M_n$ . Pentru un cuplu de pornire mare trebuie ca fluxul magnetic de excitație să fie maxim, adică  $R_c = 0$ .

Pornirea motorului prin alimentarea de la sursă reglabilă de tensiune este utilizată în instalații de mare putere și în unele acționări speciale sau în instalațiile care necesită un reglaj larg de turație; în privința randamentului este avantajoasă.

c) *Reglajul turației motorului derivație.* Din relațiile (5.18) rezultă

$n = (U_A - R_A I_A - \Delta U_p) / k_e \Phi$  deci reglarea turației se face prin următoarele procedee:

- cu ajutorul unui reostat de rezistență reglabilă  $R_r$  conectat în serie cu indusul, procedeu denumit reglaj reostatic;
- prin reglarea tensiunii  $U_A$  la bornele indusului;
- prin variația fluxului de excitație.

*Reglajul reostatic* păstrează turația de mers în gol  $n_0$ ; aceasta nu depinde de  $R_A$ . Odată cu variația rezistenței  $R_r$  se modifică panta caracteristicii mecanice (fig. 5.47), deoarece în acest caz  $n = n_0 [1 - (1 + R_r/R_A) M/M_p]$ . Pentru  $R_r = 0$  se obține caracteristica mecanică naturală. Rezistența  $R_r$  este dimensionată pentru regim de lungă durată (diferă de  $R_p$ ).

Uneori rezistența de reglare se utilizează și ca rezistență de pornire, dar reciproca nu este valabilă. Prin acest procedeu se poate doar reduce turația motorului (sub  $n_0$ ), iar la sarcini reduse reglajul este instabil. Randamentul este scăzut datorită pierderilor în rezistența  $R_r$ . La același cuplu rezistent odată cu scăderea turației pierderile în înfășurarea indusului rămân neschimbate și este necesar să se intensifice ventilația mașinii. În acest scop, motoarele destinate să funcționeze timp îndelungat la o turație redusă se prevăd cu un sistem de ventilație exterioară forțată, ceea ce complică construcția mașinii. Comutația este mai bună la viteze mici. Procedeu este economic îndeosebi la reglajul turației în limite restrinse (de la  $n_n$  la  $0,5 n_n$ ) și pentru un interval de timp relativ scurt. Metoda este destul de utilizată la motoare de puteri mici și mijlocii, mai ales în tracțiunea urbană.

*Reglajul turației prin variația tensiunii  $U_A$  la bornele indusului* realizează modificarea turației de mers în gol  $n_0$  cu păstrarea pantei caracteristicii mecanice (fig. 5.48). Reglajul este eficient la orice sarcină a mașinii. La motorul compensat se obține o familie de drepte paralele. Procedeu permite reducerea sau creșterea turației motorului, însă necesită prezența unei surse reglabile de curent continuu ceea ce sporește costul investiției.

*Reglarea turației prin variația fluxului de excitație* constă în introducerea unui reostat în circuitul de excitație care permite deplasarea caracteristicii mecanice (fig. 5.49); puterea reglată este relativ mică. Acest procedeu este eficient la sarcini reduse. Dacă fluxul de excitație  $\Phi_0$  se micșorează simțitor, este posibil ca  $I_A$  să crească mult și reacția indusului să aibă efecte mai puternice. Slăbirea fluxului magnetic are efecte negative asupra stabilității și comutației motorului. Totuși această metodă se folosește pen-

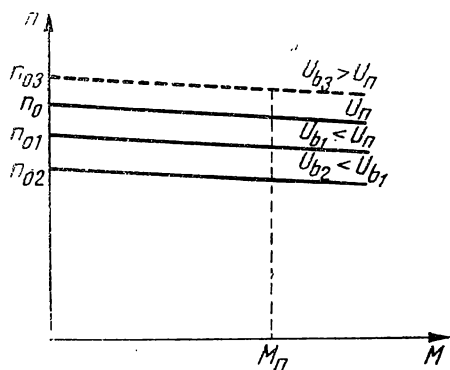


Fig. 5.48. Caracteristicile mecanice la reglajul prin alimentarea de la o sursă reglabilă de curent continuu.

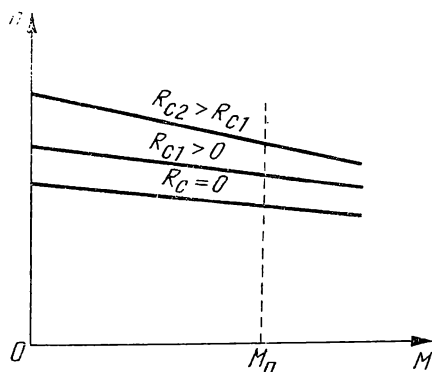


Fig. 5.49. Caracteristicile mecanice la reglajul turației prin variația fluxului de excitație.

tru mărirea turației pînă la de două ori turația nominală a motorului. Se poate obține și o scădere a vitezei de rotație prin creșterea curentului de excitație, însă aceasta poate conduce la încălziri ale înfășurării de excitație peste limita admisibilă. Din cauza saturației, fluxul de excitație nu crește sensibil la majorarea curentului de excitație și deci turația se micșorează destul de puțin.

## 5.6.2. MOTORUL CU EXCITAȚIE SERIE

a) *Caracteristicile motorului serie* se ridică experimental folosind schema electrică din figura 5.50. La motorul serie ecuațiile au aceeași formă cu precizarea ca  $I_A = I_c = I$  și  $U_b = E + (R_A + R_c) I + \Delta U_p$  unde  $U_b$  este tensiunea la bornele motorului ( $U_A = U_b - R_c I$ ).

*Caracteristica vitezei la mersul în sarcină:*  $n = f(I)$  pentru  $U_b = \text{const.}$  se determină din ecuațiile (5.18). Se consideră caracteristica magnetică neliniară exprimată prin relația:  $\Phi = \Phi_s I / (I + I_0)$ ; pentru  $I \ll I_0$  se obține  $\Phi = \Phi_s I / I_0$ , adică domeniul linear, iar pentru  $I \gg I_0$  se obține  $\Phi = \Phi_s$ , adică domeniul saturat (fig. 5.51, a). Turația  $n$  funcție de curentul  $I$  are expresia:  $n = (U_b - R_t I - \Delta U_p) (I + I_0) / k_c I \Phi_s$  unde  $R_t$  este rezistența totală a înfășurărilor în serie; pe baza acestei relații s-a reprezentat caracteristica  $n = f(I)$  în figura 5.51, b. La curenți mari ( $I \gg I_0$ ) viteza  $n$  scade sensibil (linear cu  $I$ ), iar la curenți mici ( $I \ll I_0$ ) variază invers proporțional cu  $I$  (la curenți mici viteza crește foarte mult).

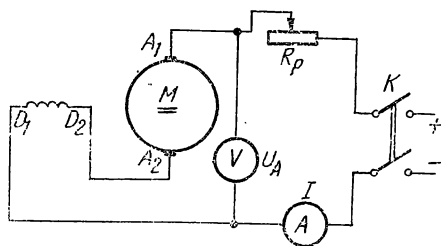


Fig. 5.50. Schema electrică pentru încercarea motorului cu excitație serie.

Fabricile constructoare garantează funcționarea motoarelor serie la o viteză  $n_{max} = 2n_n$ , iar încercările la platformă se efectuează la  $n_{inc} = 1,2 n_{max}$ . Caracteristica se ridică pînă la curentul  $I = 1,5 I_n$ .

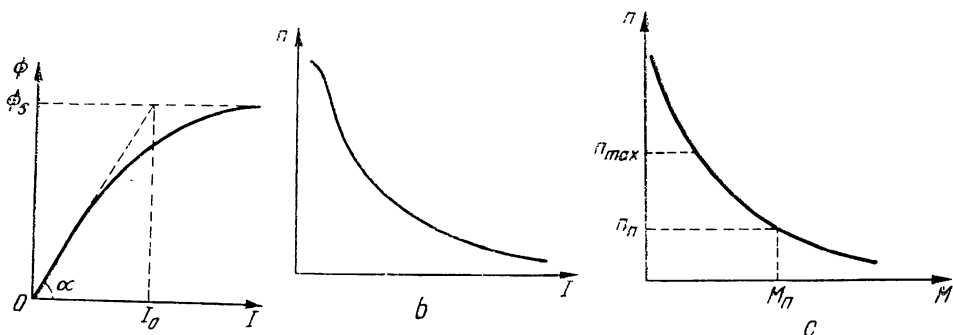


Fig. 5.51. Fluxul magnetic  $\Phi$  funcție de curentul  $I$  (a); caracteristica vitezei la mersul în sarcină (b); caracteristica mecanică (c).

*Caracteristica mecanică:*  $n=f(M)$  la  $U_b=\text{const.}$  se deduce din relațiile:  $M=k_m \Phi I=k_m \Phi_s I^2/(I+I_0)$ . Pentru  $I \ll I_0$  rezultă  $M=k_m \Phi_s I^2$  și deci  $I=\sqrt{M/k_m \Phi_s}=K_1 \sqrt{M}$  și turația devine  $n=(U_b-R_t K_1 \sqrt{M}-\Delta U_p)I_0/k_e K_1 \sqrt{M}$  (domeniu nesaturat). Pentru  $I \gg I_0$  rezultă  $M=K_m \Phi_s I$  și  $I=K_2 M$ , iar  $n=(U_b-R_t K_2 M-\Delta U_p)/K_e \Phi_s$  (domeniu saturat). Pe baza acestor relații s-a trasat caracteristica mecanică (fig. 5.51, c).

Spre deosebire de motorul derivație, motorul serie are o caracteristică mecanică elastică. La sarcini mici motorul serie prezintă pericolul ambalării, deoarece turația crește mult, prin urmare nu trebuie lăsat să funcționeze în gol. La pornire, motorul serie dezvoltă cuplul maxim; se utilizează în tracțiunea electrică și în acționări cu gamă largă de turații.

b) *Pornirea motorului serie* se efectuează cu ajutorul unui reostat pentru limitarea curentului de pornire și reglajul cuplului, astfel încât să se asigure o pornire lină, fără șocuri. Pornirea prin conectarea directă la rețea se aplică numai motoarelor mici (sub 5 kW) și de tensiuni ridicate. În tracțiunea electrică se practică sistemul conectării în serie la pornire, a două sau mai multe motoare, prin aceasta aplicându-se fiecărui motor o tensiune redusă; după atingerea unei anumite turații motoarele sînt alimentate direct de la tensiunea rețelei.

c) *Reglajul turației motorului serie* se poate efectua fie cu ajutorul unui reostat conectat în serie cu motorul, fie prin alimentarea motorului de la o

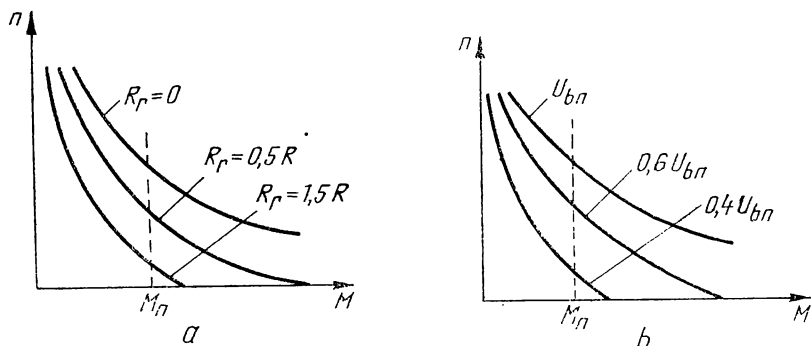


Fig. 5.52. Caracteristicile mecanice la reglajul turației motorului serie: a — cu ajutorul unui reostat; b — prin reglajul tensiunii de alimentare.

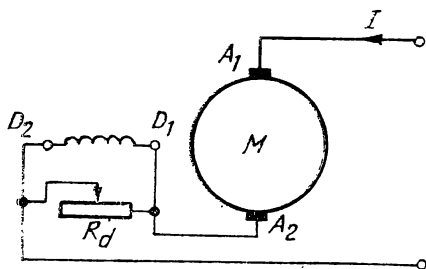


Fig. 5.53. Schema electrică pentru conectarea în derivație cu înfășurarea de excitație, a rezistenței  $R_d$  la motorul serie.

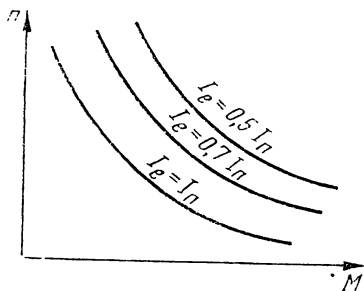


Fig. 5.54. Caracteristicile mecanice ale motorului serie pentru diferite valori ale curentului de excitație.

sursă de tensiune reglabilă (fig. 5.52); reglajul este mai eficient la valori mici ale cuplului. Reglarea turației prin modificarea fluxului magnetic de excitație se realizează conectînd în paralel cu înfășurarea de excitație o rezistență reglabilă (fig. 5.53); prin aceasta se micșorează curentul de excitație, deci și fluxul magnetic rezultînd o creștere a turației (fig. 5.54).

### 5.6.3. MOTORUL CU EXCITAȚIE MIXTĂ (COMPUND)

Motorul prezintă două înfășurări de excitație dintre care una conectată în derivație fie la bornele motorului (fig. 5.55, *a*), fie la bornele indusului (fig. 5.55, *b*), iar cealaltă conectată în serie cu indusul (adițional în raport cu înfășurarea derivație, sau diferențial). Caracteristicile acestui motor pot fi foarte variate funcție de ponderea și modul de conectare a înfășurărilor de excitație (fig. 5.56). În cazul conexiunii adiționale înfășurarea serie este principală; odată cu creșterea curentului de sarcină crește și fluxul magnetic inductor și ca urmare turația scade; motorul are o caracteristică mecanică elastică, asemănătoare cu a motorului serie cu deosebirea că nu mai prezintă pericolul ambalării la funcționarea în gol ( $n_0$  este determinat de înfășurarea derivație). În cazul conexiunii diferențiale înfășurarea derivație este principală; odată cu creșterea curentului de sarcină scade fluxul magnetic inductor și ca urmare turația crește (se poate produce chiar ambalarea). Motorul cu compundaj diferențial se utilizează în acționările electrice în care sarcina are o durată scurtă iar turația motorului trebuie să fie constantă de la gol la sarcină (laminoare de țevi).

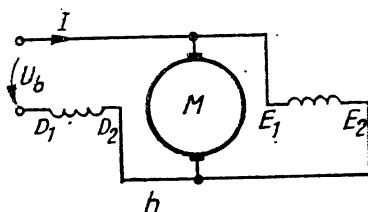
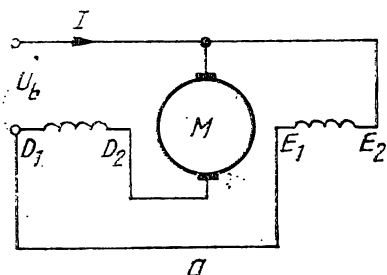


Fig. 5.55. Scheme de conexiuni ale motorului compund.

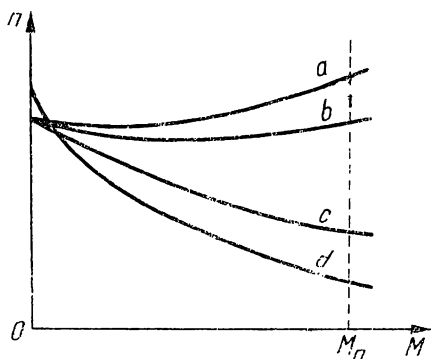


Fig. 5.56. Caracteristicile mecanice ale motorului compund:

*a* — predomină excitația derivație, înfășurările de excitație sînt conectate diferențial; *b* — excitația serie are o pondere mai mică în raport cu curba *a*; *c* — înfășurarea de excitație derivație predomină; cele două înfășurări sînt conectate adițional; *d* — excitația serie predomină, înfășurările de excitație sînt conectate adițional (excitația derivație limitează turația la cupluri mici).

Motoarele cu excitație mixtă au o largă utilizare în acționările electrice datorită posibilităților de reglaj a turației și a caracteristicilor foarte variate ce se pot realiza.

## 5.7. FRÎNAREA CU MAȘINI DE CURENT CONTINUU

Mașina de curent continuu este utilizată în acționările electrice și pentru frînarea sistemelor acționate. În acest scop, mașina este pusă să funcționeze fie în regim de generator care debitează pe o rețea proprie (frînare dinamică) sau pe o rețea de tensiune constantă (frînarea recuperativă), fie în regim de frînă propriu-zisă (frînare contracurent).

*a) Frînarea contracurent.* Pentru a aduce mașina cu excitație separată în acest regim se deconectează indusul mașinii de la rețea și se conectează la rețea din nou cu polaritatea bornelor inversată. În acest caz se schimbă polaritatea tensiunii  $U_A$  și a curentului  $I_A$ . Ecuațiile acestui regim se deduc din cele ale motorului în care  $U_A$  și  $I_A$  au semn schimbat:

$$-U_A = E - R_A I_A - \Delta U_p; \quad M = -k_m I_A \Phi; \quad E = k_e n \Phi \quad (5.23)$$

Curentul prin indus are valoarea  $I_A = (E + U_A - \Delta U_p) / R_A$ ; pentru limitarea curentului  $I_A$  se conectează un reostat de rezistență  $R_f$  în serie cu indusul. Punctul de funcționare trece brusc din punctul *A* (curba 1) în punctul *B* (curba 2), practic la aceeași viteză de rotație la care se află mașina în momentul schimbării polarității tensiunii de alimentare (fig. 5.57). În punctul *B* mașina funcționează în regim de frînă propriu-zisă, absorbind putere electrică de la rețea și putere mecanică la arbore pe seama descreșterii în timp a energiei cinetice acumulată în masele în rotație; toată această putere se transformă în căldură în rezistența  $R_A + R_f$ . Cuplul acționează în sens opus turației și în final rotorul se oprește (punctul *C*) după care se rotește în sens opus (cadranul 3). Expresia analitică a caracteristicii mecanice 2 se deduce din relațiile (5.23):  $n = n_0 \left( -1 + \frac{R_A + R_f}{R_A} M / M_p \right)$ ; s-a avut în vedere că  $R_f$  este conectată în serie cu  $R_A$ .

Frînarea propriu-zisă este tipică pentru instalațiile de ridicat și transport acționate cu motoare de curent continuu. De exemplu, o greutate este ridicată rapid pînă la o anumită înălțime (motorul funcționează în punctul *A*), (fig. 5.58) viteza de ridicare se încetinește prin introducerea în

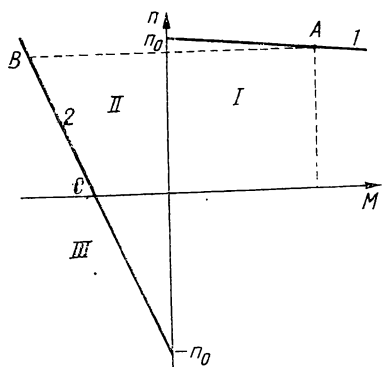


Fig. 5.57. Frinarea propriu-zisă prin inversarea polarității tensiunii de alimentare:

I – regim de motor, sens de rotație dreapta;  
II – frână propriu-zisă, sens dreapta; III –  
regim de motor, sens de rotație stînga.

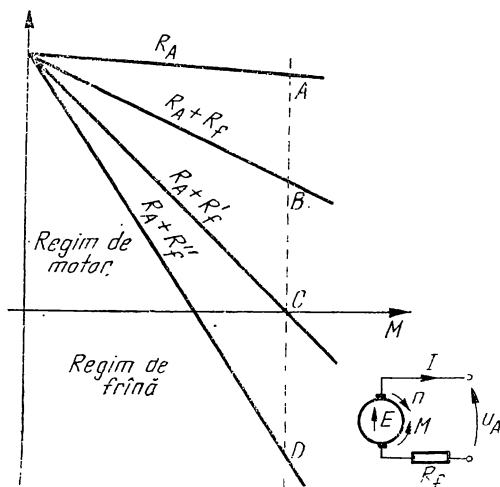


Fig. 5.58. Frinarea propriu-zisă (frinarea contracurent) a motorului derivație prin majorarea rezistenței înseriate cu indusul.

circuitul indusului a rezistenței  $R_f$  (punctul B), greutatea este oprită la punct fix majorînd rezistența la valoarea  $R_f'$  (punctul C) are loc o deplasare a greutății pe orizontală după care urmează coborîrea acesteia prin majorarea rezistenței la valoarea  $R_f''$  cînd motorul funcționează în punctul D (fig. 5.58). Mașina funcționează în regim de frînă propriu-zisă (punctul D), primind pe la arbore putere mecanică de la greutatea aflată în cîmpul gravitațional și pe la borne putere electrică de la rețea. Un astfel de regim solicită intens motorul, care trebuie dimensionat corespunzător, sau prevăzut cu ventilație forțată. Cuplul motorului se opune cuplului dat de greutate la coborîre.

b) *Frînarea dinamică*. O mașină cu excitație separată care funcționează ca motor în punctul A al caracteristicii mecanice 1 (fig. 5.59) se pune să funcționeze ca generator prin deconectarea indusului de la rețea și conectarea acestuia pe o rezistență, înfășurarea de excitație continuînd să fie alimentată. Datorită energiei cinetice a maselor în rotație, mașina continuă să se rotească în același sens debitînd energie electrică pe rezistența  $R$ . Curentul  $I_A$  schimbă de semn și cuplul  $M = -k_m I_A \Phi$ , iar  $E = kn\Phi = (R_A + R)I_A$  adică  $M = -k_e k_m \Phi^2 n / (R_A + R)$ ; această ecuație reprezintă o dreaptă care trece prin origine (dreapta 2). În momentul conectării pe rezistența  $R$  mașina trece în punctul de funcționare B, practic la aceeași viteză de rotație, continuînd să funcționeze pe caracteristica 2 pînă se oprește. Frînarea este cu atît mai rapidă cu cît  $R$  este mai mică. Frînarea dinamică este posibilă și la un motor derivație, fiind îndeplinite condițiile de autoexcitare. La motorul serie trebuie inversate conexiunile înfășurării de excitație, fiindcă sensul curentului se schimbă și anulează cîmpul magnetic remanent.

c) *Frînarea recuperativă*. Dacă o mașină de curent continuu derivație care funcționează în regim de motor este antrenată din exterior la o turație mai mare ca  $n_0$  mașina trece în regim de generator și debitează în rețea o putere electrică (fig. 5.60).

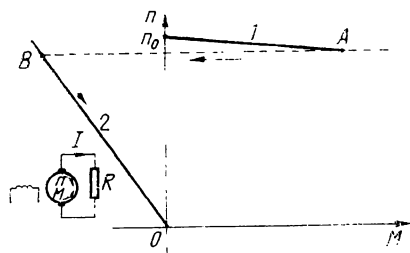


Fig. 5.59. Frînarea în regim de generator fără recuperare (frînare dinamică).

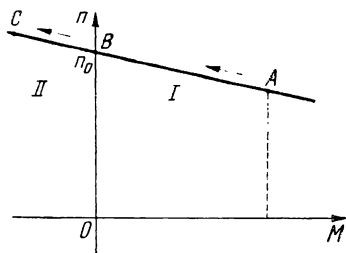


Fig. 5.60. Frînarea în regim de generator cu recuperarea energiei: I — regim de motor; II — regim de frînă ca generator cu recuperare.

Frînarea are loc la o turație  $n > n_0$ ; puterea mecanică primită de mașină pe la ax este transformată în putere electrică pe care mașina de curent continuu o transmite rețelei electrice. Sensul curentului prin indus se schimbă ( $E > U_b$ ) în raport cu sensul la funcționarea ca motor (mașina funcționează în cadranul 2). Cuplul  $M$  devine cuplul de frînare. Această frînare este caracteristică tracțiunii electrice (tramvaie, troleibuze, locomotive electrice și diesel-electrice). La coborîrea unei pante vehiculul accelerează pînă la  $n > n_0$  cînd are loc frînarea cu recuperarea energiei. La motorul cu excitație serie această frînare este posibilă numai dacă înfășurarea de excitație este alimentată separat.

## 5.8. REGIMURILE TRANZITORII LA MAȘINA DE CURENT CONTINUU

Prin variația unora dintre parametrii funcționali ai mașinii de curent continuu (viteză, flux de excitație, tensiune la borne, curent de sarcină, cuplu la arbore etc) se trece de la un regim permanent de funcționare la alt regim permanent, trecere care se realizează printr-un regim tranzitoriu electromecanic.

La generatoarele de curent continuu sînt caracteristice procesele tranzitorii electromagnetice care se produc în urma variației tensiunii de excitație și a rezistenței de sarcină.

La motoare sînt caracteristice procesele tranzitorii dinamice care apar în urma variației cuplului de sarcină sau a reglajului tensiunii  $U_A$ , a curentului  $i_e$ ; în toate aceste cazuri se modifică turația motorului. Ecuațiile în regim tranzitoriu se prezintă sub forma:

$$U_A = e \pm R_A i_A \pm \Delta U_p \pm L_A \frac{d i_A}{d t}; \quad \pm m = J \frac{d \Omega}{d t} \pm m_a + m_p$$

$$m = k_m \varphi i_A; \quad U_e = R_e i_e + \frac{d}{d t} (L_e i_e) = R_e i_e + L_{e\sigma} \frac{d i_e}{d t} + w_e \frac{d \varphi}{d t}; \quad (5.24)$$

$$e = \frac{k_e}{2 \pi} \Omega \varphi = k_m \Omega \varphi; \quad L_e i_e = L_{e\sigma} i_e + w_e \varphi = \varphi_e.$$



Semnul + corespunde regimului de motor, iar — regimului de generator; mărimile din ecuații au semnificația mărimilor notate cu litere mari în regimul permanent, mai trebuie precizat că  $m_a$  este cuplul la ax și  $m_p$  este suma cuplurilor care corespund diferitelor tipuri de pierderi în mașină. La ecuațiile 5.24 trebuie adăugată relația nelineară  $\varphi = f(i_e)$  care face ca sistemul de ecuații (5.24) să fie nelinear și prin urmare determinarea soluției sistemului să fie dificilă. Caracteristica de magnetizare se aproximează în mai multe moduri, așa cum rezultă din tabelul 2.3 și soluția sistemului se determină prin calcul numeric.

### 5.8.1. REGIMURILE TRANZITORII LA GENERATOARELE DE CURENT CONTINUU

În cazul în care se consideră caracteristica magnetică lineară ( $L_e = \text{const.}$ ) din ecuația circuitului de excitație ( $U_e = R_e i_e + L_e \frac{di_e}{dt}$ ) a generatorului de excitație separată se determină variația în timp a curentului la excitație:

$$i_e = \frac{U_e}{R_e} (1 - e^{-t/T_e}); \quad T_e = L_e / R_e; \quad (5.25)$$

s-a considerat că  $U_e = \text{const.}$  și condiția inițială  $i_e(0) = 0$ .

La generatorul cu excitație derivație ecuația caracteristicii de funcționare în gol (fig. 5.61) se poate exprima analitic prin ecuația  $u = E_r + k i_e$ , dar  $u = u_e$ . În acest caz ecuația circuitului de excitație devine:  $E_r = (R_e - k) i_e + L_e \frac{di_e}{dt}$ . Soluția acestei ecuații este:

$$I_e = E_r (1 - e^{-t/T_e}) / (R_e - k); \quad T = L_e / (R_e - k) = L_e / [R_e (1 - a)]; \quad a = k / R_e. \quad (5.26)$$

În figura 5.62 s-a prezentat variația curenților de excitație la cele două generatoare. Constanta de timp  $T$  depinde de panta caracteristicii în gol și este mai mare de  $1/(1-a)$  ori decît constanta de timp  $T_e$  a generatorului cu excitație separată.

Mașina reală are caracteristica magnetică nelineară, pentru a construi soluția ecuației circuitului de excitație ecuația acestuia se pune sub forma:

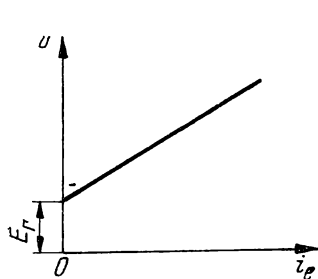


Fig. 5.61. Caracteristica în gol la generatorul derivație (porțiunea lineară).

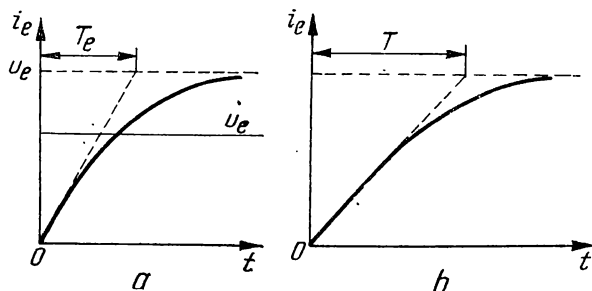


Fig. 5.62.

Curentul de excitație  $i_e$  și tensiunea de excitație  $u_e$  în funcție de timp, la generatorul cu excitație separată (a); curentul de excitație  $i_e(t)$ , la generatorul derivație (b).

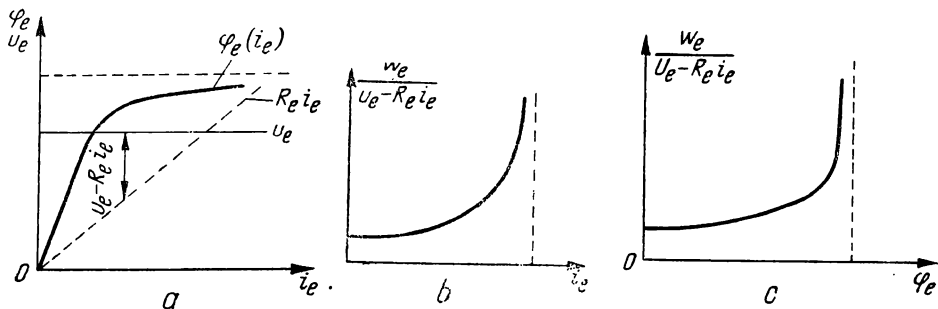


Fig. 5.63. Construcția grafică a curbelor  $\varphi_e(t)$  și  $i_e(t)$  la generatorul cu excitație separată:

$a - u_e = f(i_e)$  și  $\varphi_e = f(i_e)$ ;  $b - w_e / (U_e - R_e i_e) = f(i_e)$ ;  $c - w_e / (U_e - R_e i_e) = f(\varphi_e)$ ;  $d - \varphi_e(t)$  și  $i_e(t)$ .

$$U_e = R_e i_e + w_e \frac{d\varphi_e}{dt} \text{ (generator cu excitație separată) și } t = \int_0^{\varphi_e} \frac{w_e}{U_e - R_e i_e} d\varphi_e.$$

Se reprezintă caracteristicile  $\varphi_e(i_e)$  și  $R_e i_e$  pentru  $U_e = \text{const.}$  se construiește  $w_e / (U_e - R_e i_e) = f(i_e)$  și  $w_e / (U_e - R_e i_e) = f(\varphi_e)$  pe baza cărora se trasează curbele  $\varphi_e(t)$  și  $i_e(t)$ . În figura 5.63 sînt prezentate curbele corespunzătoare.

La generatorul cu excitație derivație se determină diferența  $\varphi_e(i_e) - U_e(i_e)$  și  $R_e i_e$  iar modul de deducere al curbelor  $\varphi_e(t)$  și  $i_e(t)$  este similar celui de la generatorul cu excitație separată (fig. 5.64). Curentul de excitație

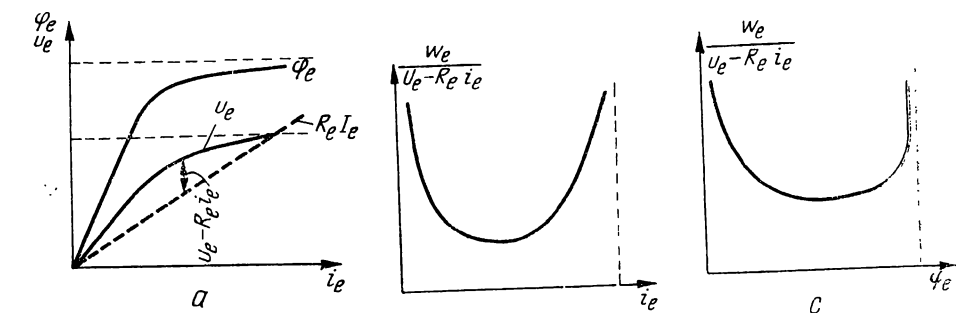


Fig. 5.64. Construcția grafică a curbelor  $\varphi_e(t)$  și  $i_e(t)$  la generatorul cu excitație derivație:

$a - u_e = f(i_e)$ ;  $\varphi_e = f(i_e)$ ;  $b - w_e / (U_e - R_e i_e) = f(i_e)$ ;  $c - w_e / (U_e - R_e i_e) = f(\varphi_e)$ ;  $d - \varphi_e(t)$  și  $i_e(t)$ .

la generatorul derivație se stabilește după un interval de timp mai mare. Dacă o excitatoare derivație funcționează în gol la tensiunea  $U_n$  și se scurtcircuitază toate rezistențele din circuitul de excitație destinate reglajului tensiunii, atunci tensiunea de la borne crește de la  $U_n$  la  $U_m$  (fig. 5.65). Viteza de creștere a tensiunii la bornele indusului după STAS 8211-68 este  $v = 0,632(U_m - U_n)/U_n t_1$ . Pentru forțarea excitației trebuie ca  $v$  să fie mare.

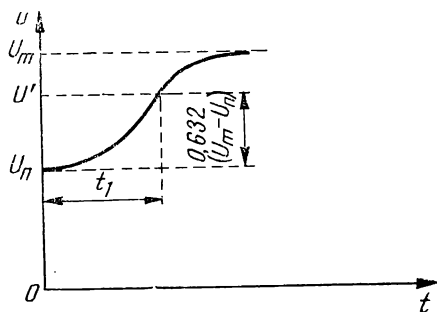


Fig. 5.65. Explicativă pentru definiția vitezei de creștere a tensiunii.

## 5.8.2. REGIMURILE DINAMICE ALE MOTOARELOR DE CURENT CONTINUU

În funcționarea motorului de curent continuu intervin modificări ale diferitelor mărimi care conduc la regimuri tranzitorii.

a) *Regimul dinamic la motorul cu flux constant* (motorul compensat și avînd curentul de excitație constant) se caracterizează printr-un sistem de ecuații diferențiale lineare deoarece fluxul magnetic resultant  $\varphi = \Phi = \text{const.}$

Considerînd ecuațiile diferențiale pentru motor din 5.24 rezultă:

$$T_A T_m \frac{d^2 \Omega}{dt^2} + T_m \frac{d\Omega}{dt} + \Omega = \frac{u_A}{k_E} - \frac{R_A}{k_E} m_2; \quad \Delta U_p = 0 \quad (5.27)$$

unde s-a notat  $T_A = L_A/R_A$ ;  $T_m = R_A J/k_E^2$ ;  $m_a = m_2$ ;  $k_E = k_e \Phi$  și s-a considerat  $m_p = 0$ . În cazul în care termenul liber este o constantă (adică  $u_A$  și  $m_2$  nu depind de timp), soluția este:

$$\Omega = \Omega_2 + A e^{-t/T_1} + B e^{-t/T_2}; \quad \Omega_2 = (U_2 - R_A I_{A2})/k_E \quad (5.28)$$

unde  $\Omega_2$  este o soluție particulară, iar  $T_1$  și  $T_2$  sînt constante de timp egale cu inversele rădăcinilor ecuației caracteristice, luate cu semn schimbat:

$$T_1 = \frac{T_m}{2} (1 + \sqrt{1 - 4 T_A/T_m}); \quad T_2 = \frac{T_m}{2} (1 - \sqrt{1 - 4 T_A/T_m}). \quad (5.29)$$

Constantele  $A$  și  $B$  depind de condițiile inițiale ale problemei, iar  $\Omega_2$  este valoarea vitezei unghiulare  $\Omega$  la  $t \rightarrow \infty$ .

a<sub>1</sub>) *La variația în treaptă a tensiunii la borne  $u_A$  la cuplu util constant* ( $m_2 = \text{const.}$ ) se pot scrie relațiile:  $u_A = U_1$  pentru  $t \leq 0$ ;  $u_A = U_2$  pentru  $t > 0$ ;  $m_2(t) = M_2$ .

La  $t=0$  condițiile sînt  $\Omega_1 = (U_1 - R_A I_{A1})/K_E$  și  $\frac{d\Omega}{dt} = 0$  rezultă din ecuația mișcării;  $I_{A1} = I_{A2}$  deoarece  $m_2 = \text{const.}$

Înlocuind aceste condiții rezultă constantele  $A = -(\Omega_2 - \Omega_1)T_1/(T_1 - T_2)$ ;  $B = (\Omega_2 - \Omega_1)T_2/(T_1 - T_2)$ ;

$$\Omega = \Omega_2 - \frac{\Omega_2 - \Omega_1}{T_1 - T_2} (T_1 e^{-t/T_1} - T_2 e^{-t/T_2}), \quad (5.30)$$

iar expresia curentului din indus este:

$$i_A = I_{A1} + (U_2 - U_1) (e^{-t/T_1} - e^{-t/T_2}) / (L_A \Omega_d T_m T_A); \quad \Omega_d = \sqrt{(1 - 4T_A/T_m)/2} T_A \quad (5.31)$$

Dacă  $T_m \gg 4T_A$ , atunci constantele  $T_1$ ,  $T_2$  și  $\Omega_d$  sînt reale, iar soluțiile sînt aperiodice. Pentru  $T_m < 4T_A$  expresiile vitezei unghiulare  $\Omega$  și a curentului  $i_A$  se pot scrie sub forma:

$$\Omega = \Omega_2 - (\Omega_2 - \Omega_1)(\cos \omega_d t + \frac{\beta}{\omega_d} \sin \omega_d t) e^{-\beta t} \quad (5.32)$$

$$i_A = I_{A1} - \frac{U_2 - U_1}{\omega_d} e^{-\beta t} \sin \omega_d t; \quad \omega_d = j \Omega_d; \quad \beta = 1/2 T_A.$$

În figura 5.66 s-au reprezentat soluțiile  $\Omega(t)$  și  $i_A(t)$ .

a<sub>2</sub>). La variația în treaptă a cuplului rezistent aplicat la ax, cu  $u_A = \text{const.} = U_A$ , se pot scrie relațiile:  $m_2 = M_{r1}$  pentru  $t \leq 0$  și  $m_2 = M_{r2}$  pentru  $t > 0$ . La  $t \leq 0$  mărimile corespunzătoare regimului permanent sînt:  $I_{A1} = M_{r1}/k_E$ ;  $\Omega_1 = (U_A - R_A I_{A1})/k_E$ . În regimul final ( $t = \infty$ ) după aplicarea cuplului rezistent  $M_{r2}$ , rezultă:  $I_{A2} = M_{r2}/k_E$ ;  $\Omega_2 = (U_A - R_A I_{A2})/k_E$ .

La  $t = 0$  condițiile sînt  $\Omega = \Omega_1$  și  $\frac{di_A}{dt} = 0$  (rezultă din ecuația circuitului indusului). Introducînd condițiile inițiale în (5.28) rezultă constantele:  $A = -(\Omega_2 - \Omega_1) T_1^2/(T_1^2 - T_2^2)$ ;  $B = (\Omega_2 - \Omega_1) T_2^2/(T_1^2 - T_2^2)$  iar soluțiile sînt:

$$\Omega = \Omega_2 - \frac{\Omega_2 - \Omega_1}{T_1^2 - T_2^2} (T_1^2 e^{-t/T_1} - T_2^2 e^{-t/T_2}) \quad (5.33)$$

$$i_A = I_{A2} - \frac{I_2 - I_1}{T_1 - T_2} (T_1 e^{-t/T_1} - T_2 e^{-t/T_2})$$

În figura 5.67 s-au reprezentat soluțiile  $\Omega(t)$  și  $i_A(t)$ .

a<sub>3</sub>). La variația bruscă a rezistenței reostatului conectat în serie cu circuitul indusului se deosebesc două cazuri: introducerea în circuitul indusului a rezistenței  $R_i$  și cazul scurtcircuitării rezistenței  $R_i$  conectate în serie cu indusul.

În primul caz, după introducerea rezistenței  $R_i$  constantele de timp devin  $T_A^* = T_A R_A/(R_A + R_i)$  și  $T_m^* = T_m(R_A + R_i)/R_A$  în care  $T_A^*$  și  $T_m^*$  sînt constantele mașinii cu reostatul  $R_i$  conectat în serie cu indusul.

Curentul din indus  $I_1 = M_2/K_E$  în regimurile permanente inițial și final rămîne neschimbat; se modifică doar vitezele unghiulare:

$$\Omega_1 = (U_1 - R_A I_A)/K_E \text{ și } \Omega_2 = [U_1 - (R_A + R_i) I_A]/K_E. \quad (5.34)$$

Viteza unghiulară este dată de relația 5.30 în care  $T_1$  și  $T_2$  se calculează în raport cu noile constante de timp  $T_A^*$  și  $T_m^*$ .

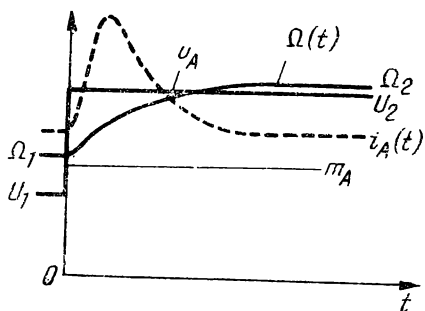


Fig. 5.66. Viteza unghiulară  $\Omega(t)$  și curentul  $i_A(t)$  la variația în treaptă a tensiunii aplicate la bornele indusului.

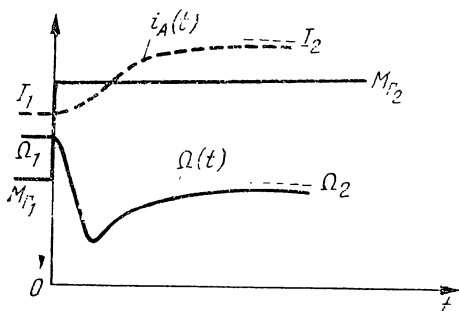


Fig. 5.67. Viteza unghiulară  $\Omega(t)$  și curentul  $i(t)$  la variația în treaptă a cuplului aplicat la axul mașinii.

Curentul din indus rezultă din ecuația mișcării  $\left(J \frac{d\Omega}{dt} + m_a = K_E i\right)$

$$i = I_{A1} - \frac{J}{K_E^2} \frac{R_i I_1}{T_1 - T_2} (e^{-t/T_1} - e^{-t/T_2}). \quad (5.35)$$

În al doilea caz prin scurtcircuitarea unei rezistențe  $R_i$  în serie cu indusul, are loc o variație bruscă a tensiunii aplicate la bornele motorului de la valoarea  $U_1 = U_2 - R_i I_{A1}$  la valoarea  $U_2$ . Soluțiile  $\Omega(t)$  și  $i_A(t)$  sînt cele de la punctul  $a_1$ .

b) *Regimul dinamic la variații mici ale fluxului magnetic* poate fi soluționat prin linearizarea locală a sistemului nelinear de ecuații diferențiale. Mai întîi se aproximează caracteristica magnetică printr-o dreaptă (fig. 5.68) tangentă la curbă în punctul în jurul căruia se presupune că are loc variația fluxului magnetic:  $\varphi = \varphi_0 + k i_e + k_i i_A$ . Mărimile care intervin în sistemul de ecuații diferențiale se pot pune sub forma:  $i_A = I_{A1} + \Delta i_A$ ;  $i_e = I_{e1} + \Delta i_e$ ;  $u_A = U_{A1} + \Delta u_A$ ;  $u_e = U_{e1} + \Delta u_e$ ;  $m_a = m_2 = M_2 + \Delta m_2$ ;  $\Omega = \Omega_1 + \Delta \Omega$ ; în care mărimile notate cu indicele 1 corespund regimului inițial și sînt date de relațiile:

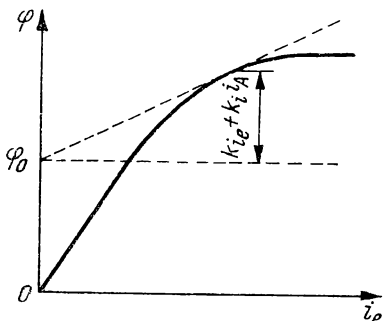


Fig. 5.68. Liniarizarea locală a caracteristicii magnetice.

$$U_{A1} = R_A I_{A1} + k_e \Phi_1 I_{A1}; \quad k_m \Phi_1 I_{A1} = M_2; \quad U_{e1} = R_e I_{e1}; \quad (5.36)$$

$$\Phi_1 = \Phi_0 + k I_{e1} + k_i I_{A1}.$$

Cu aceste relații sistemul (5.24) scris pentru motor devine:

$$\Delta u_A = (R_A + k_e k_i \Omega_1) \Delta i_A + L_A \frac{d}{dt} \Delta i_A + k_e \Phi_1 \Delta \Omega + k_e k \Omega_1 \Delta i_e \quad (5.37)$$

$$\Delta u_e = R_e \Delta i_e + (L_{oe} + w_e k) \frac{d}{dt} \Delta i_e + w k_i \frac{d}{dt} \Delta i_A$$

$$J \frac{d}{dt} \Delta \Omega + \Delta m_2 = k_e (\Phi_1 + k_i I_{A1}) \Delta i_A + k_e k I_{A1} \Delta i_e; \quad \Delta \varphi = k \Delta i_e + k_i \Delta i_A.$$

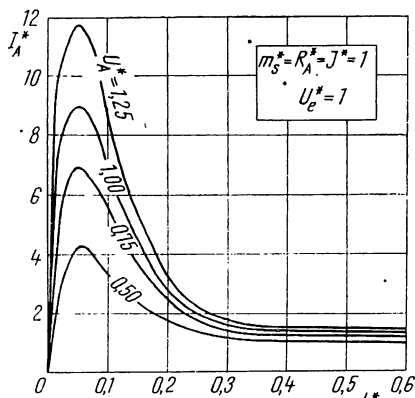


Fig. 5.69. Variația în timp a curentului  $i_A^*$  la diferite tensiuni  $U_A^*$  și la excitație nominală ( $U_n = 110$  V;  $I_n = 30$  A,  $\Omega_n = 160$  rad/s).

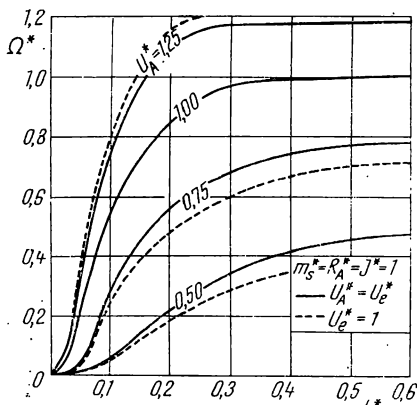


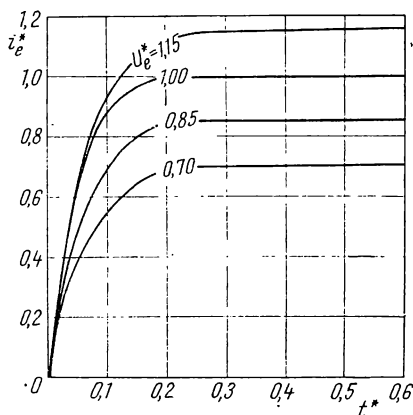
Fig. 5.70. Variația în timp a vitezei  $\Omega^*$  la diferite tensiuni  $U_A^*$  și  $U_e^*$  ( $U_n = 110$  V;  $I_n = 30$  A;  $\Omega_n = 160$  rad/s).

La stabilirea acestor ecuații s-au neglijat produsele micilor variații notate cu  $\Delta$ . Se presupun cunoscute micile variații  $\Delta u_A$ ,  $\Delta m_2$  și  $\Delta u_e$ , iar mărimile ce urmează a fi calculate sînt:  $\Delta i_A$ ,  $\Delta i_e$ ,  $\Delta \varphi$  și  $\Delta \Omega$ . Pentru obținerea soluțiilor se procedează similar punctului *a* sau se utilizează transformata Laplace.

c) *Regimul dinamic al motorului* poate fi studiat suficient de exact dacă se aproximează caracteristica de magnetizare cu funcții elementare de exemplu cu ajutorul funcției exponențiale:  $i_e = a(e^{b\varphi} - 1)$ . Dacă  $m_2$  este cuplul util la ax și  $D\Omega$  este cuplul corespunzător frecărilor viscoase din mașină ( $m_p = D\Omega$ ) atunci sistemul de ecuații pentru motor devine:

$$\frac{di_e}{dt} = \frac{u_e - R_e i_e}{L_e + w_e/(bi_e + ab)}; \quad \frac{di_A}{dt} = \frac{1}{L_A} \left[ u_A - R_A i_A - \frac{k_m \Omega}{b} \ln(i_e/a + 1) \right]$$

$$\frac{d\Omega}{dt} = \frac{1}{J} \left[ \frac{k_m i_A}{b} \ln(i_e/a + 1) - D\Omega - m_2 \right]; \quad i_e = a(e^{b\varphi} - 1). \quad (5.38)$$



Pentru integrarea sistemului (5.38) s-a folosit subrutina *R K G S* a calculatorului I.B.M.-360, considerîndu-se condițiile inițiale  $i_A(0) = i_e(0) = \varphi(0) = 0$ . În calcul s-au folosit mărimile raportate (notate cu asterix) la datele nominale ale mașinii considerate.

În figurile 5.69 — 5.71 s-au trasat curbele de variație în timp ale mărimilor  $i_A(t)$ ,  $\Omega(t)$  și  $i_e(t)$  raportate la datele nominale.

Fig. 5.71. Variația în timp a curentului de excitație pentru diferite valori ale tensiunii  $u_e^*$  ( $U_n = 110$  V;  $I_n = 30$  A;  $\Omega_n = 160$  rad/s).

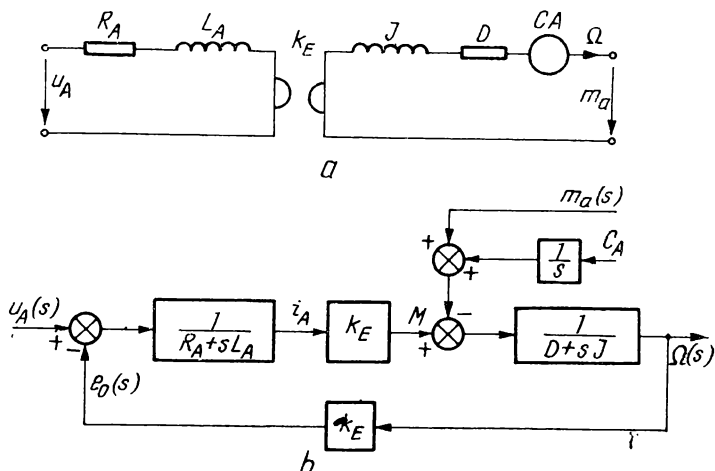


Fig. 5.72. Schema electrică primară asociată ecuațiilor (5.39) (a);  
 schemă bloc asociată sistemului de ecuații (5.39) (b).

d) Funcția de transfer  $G_m(s)$  la motorul de curent continuu se definește ca raportul  $\Omega(s)/u_A(s)$ , unde  $\Omega(s)$  și  $u_A(s)$  sînt imaginile Laplace a vitezei unghiulare  $\Omega$  și respectiv a tensiunii aplicate indusului  $u_A$ . Considerînd fluxul magnetic  $\Phi$  constant ( $\Phi = \Phi$ ) și aplicînd sistemului de ecuații (5.24) transformata Laplace, pentru condiții inițiale nule se obține:

$$u_A(s) = (sL_A + R_A)i_A(s) + k_E \Omega(s); \quad M(s) = k_E i_A(s) \quad (5.39)$$

$$M(s) = Js \Omega(s) + D\Omega(s) + m_a(s) + \frac{C_A}{s}; \quad \Delta u_p = 0; \quad m_p = D\Omega + C_A$$

unde:  $D$  — coeficientul de frecări viscoase;  $C_A$  — cuplul de frecări uscate (nu depinde de viteza unghiulară  $\Omega$ ).

În ipoteza că  $m_a = 0$  și  $C_A = 0$  se obține următoarea funcție de transfer:

$$G_m(s) = \frac{k_E}{(sL_A + R_A)(sJ + D) + k_E^2} = \frac{1}{k_E(sT'_m + 1)(sT'_A + 1)} \quad (5.40)$$

unde  $T'_m = 2L_A J / [R_A J - \sqrt{(R_A J)^2 - 4L_A k_E^2}]$ ;  $T'_A = 2L_A J / [R_A J + \sqrt{(R_A J)^2 - 4L_A k_E^2}]$ . În toate cazurile practice inductivitatea  $L_A$  este mică astfel că  $(R_A J)^2 - 4L_A k_E^2 > 0$ . Dacă se face aproximația  $\sqrt{1 - 4L_A k_E^2 / J^2 R_A^2} \approx 1 - 2L_A k_E^2 / J^2 R_A^2$ ; atunci  $T'_m = T_m$  și  $T'_A = T_A$ ; cu această aproximație s-au regăsit constanta mecanică  $T_m$  și constanta electrică  $T_A$  ale motorului. În figura 5.72 se prezintă schema electrică primară și schema bloc.

## 5.9. ALTE TIPURI DE MAȘINI DE CURENT CONTINUU

### 5.9.1. MAȘINI DE CURENT CONTINUU CU MAGNEȚI PERMANENȚI

În prezent, mașinile de curent continuu cu magneți permanenți se folosesc pe scară largă datorită îmbunătățirii procedurilor de fabricație și a performanțelor acestor magneți. Avantajele mai importante ale acestor

mașini sînt: construcție mai simplă, greutate mai mică, dimensiuni de gabarit mai mici, pierderi reduse și deci randament ridicat. Mașinile cu magneți permanenți au cost mai ridicat, deoarece magneții permanenți au încă un cost ridicat; în plus își pot modifica în timp caracteristicile, fie prin îmbătrînirea magnetilor, fie sub influența unor cîmpuri magnetice puternice cu acțiune demagnetizantă. Materialele cele mai utilizate în construcția magnetilor permanenți sînt aliaje pe bază de aluminiu, cobalt, crom; se mai folosesc feritele moi precum și magneții ceramici. Caracteristica de bază a materialului magnetilor permanenți este curba de demagnetizare care reprezintă partea din cadranul II al ciclului de histerezis. Pentru magnetizarea magnetului permanent se folosesc bobine străbătute de curent continuu sau de pulsuri puternice de curent care să satureze materialul. Magnetizarea se face fie cu magnetul separat de circuitul magnetic al mașinii, fie cu magnetul înglobat în circuitul magnetic al acesteia. Pentru a evita demagnetizarea în timpul funcționării datorită cîmpului magnetic de reacție, se utilizează pentru talpa polară un material de mare permeabilitate pentru a dirija liniile de cîmp în afara magnetului (fig. 5.73). Pentru îmbunătățirea performanțelor se utilizează diferite sisteme constructive funcție și de calitățile magnetului permanent.

Pentru a se obține o construcție compactă și o consolidare corespunzătoare cu menținerea performanțelor tehnice se poate utiliza varianta din figura 5.74. Cîmpul magnetic de reacție se închide prin tălpile polare și magneții permanenți se află în afara acestui cîmp. La o astfel de construcție tehnologia de realizare este mai costisitoare. O variantă simplă din punct de vedere tehnologic este cea din figura 5.75 însă performanțele tehnice sînt mai scăzute; cîmpul de reacție se închide prin magneții permanenți fapt care produce o demagnetizare a acestora, liniile de cîmp se închid prin partea laterală a magnetului și în consecință sînt micșorate performanțele acestuia. În figura 5.76 se prezintă o mașină de c.c. cu magneți permanenți și cu poli auxiliari. Chiar și în cazul cînd magneții permanenți au o inducție magnetică mică sub pol se obține inducția magnetică corespunzătoare datorită faptului că suprafața polului magnetului permanent este mai mare decît suprafața dinspre întrefier a polului mașinii. O construcție tipică pentru magneții cu inducție mică se prezintă în figura 5.77. Suprafața polară a celor doi magneți este mult mai mare decît suprafața polului mașinii realizîndu-se în acest fel o inducție magnetică corespunzătoare în întrefier. Construcția este compactă și simplă tehnologic

## 5.9.2. MAȘINA DE CURENT CONTINUU CU ÎNTREFIER AXIAL

O variantă constructivă a mașinii de curent continuu este mașina de curent continuu cu întrefier axial și rotor disc (fig. 5.78). Sistemul inductor este format din poli dispuși pe o armătură de oțel care reprezintă carcasa statorului. Polii inductorilor statorici se realizează de regulă din magneți permanenți din ferită anizotropă. Rotorul are forma unui disc plat și este compus dintr-un disc suport realizat din materiale rezistente la căldură, pe bază de sticle sau compoziții silicoorganice. Înfășurarea rotorică constă din lame conductoare subțiri, neizolate, dispuse pe ambele părți ale discului. Conductoarele înfășurării rotorice se pot dispune prin procedee ale tehnicii fotochimice a circuitelor imprimate (la motoare mici), fie prin procedee mecanice de ștanțare. Numărul de conductoare este limitat de condițiile de realizare tehnologică a înfășurării. În scopul de a obține t.e.m. cît mai mari și care să nu fie influențate de nesimetriile cîmpului magnetic se uti-



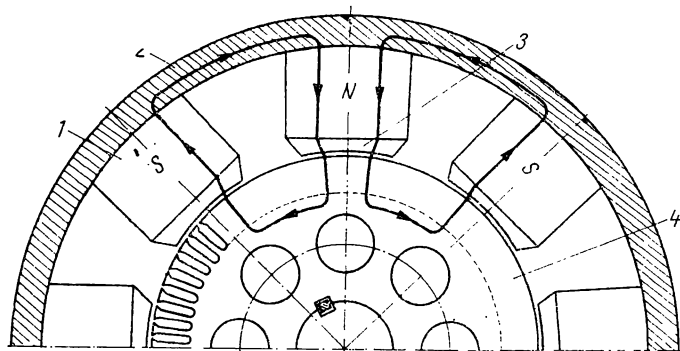


Fig. 5.73. Mașină de curent continuu cu magneți permanenți:  
1 — magnet permanent; 2 — jugul statoric; 3 — talpă polară din material de mare permeabilitate pentru dirijarea cimpului magnetic de reacție; 4 — rotor.

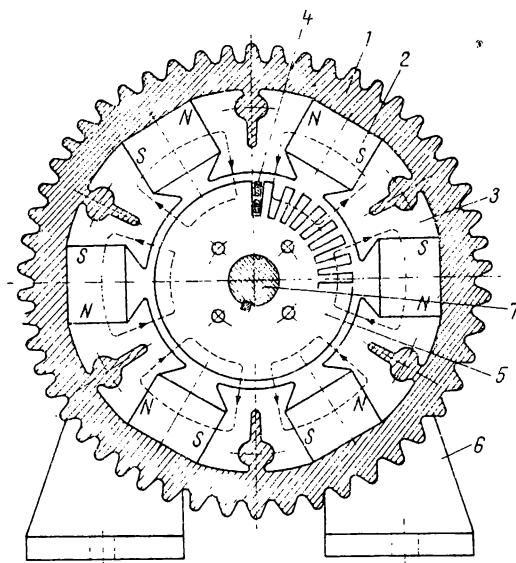


Fig. 5.74. Motor de curent continuu cu magneți permanenți:

1 — carcasă din aluminiu; 2 — magnet permanent; 3 — polul mașinii; 4 — secție în comutație; 5 — rotor; 6 — tălpi de prindere; 7 — ax.

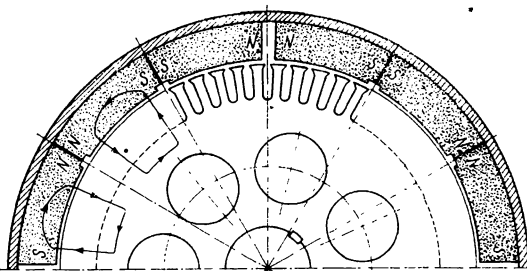


Fig. 5.75. Configurația circuitului magnetic al unui motor de curent continuu cu magneți permanenți din ferită de bariu (construcție avantajoasă tehnologic).

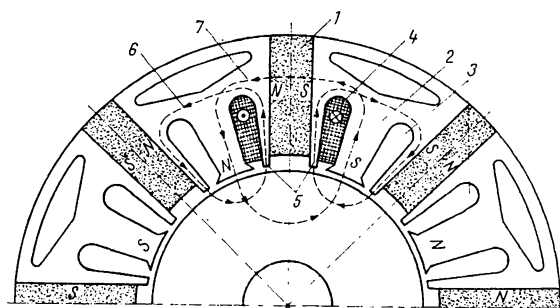


Fig. 5.76. Motor cu magneți permanenți și poli auxiliari:

1 — magnet permanent; 2 — pol principal; 3 — creștătură pentru dispunerea înfășurării polilor auxiliari; 4 — înfășurarea polilor auxiliari; 5 — polii auxiliari; 6 — linii ale cîmpului magnetic creat de înfășurarea auxiliară; 7 — linii ale cîmpului magnetic determinate de magneții permanenți.

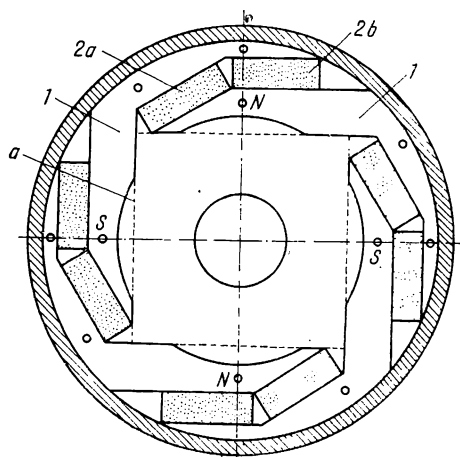


Fig. 5.77. Motor de curent continuu cu magneți permanenți cu inducție remanentă ( $B_r$ ) mică:

1 — jug statoric; 2a și 2b — magneți permanenți.

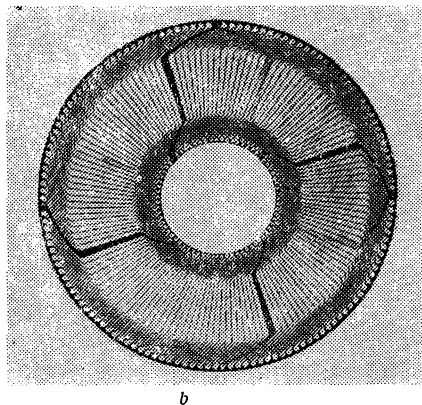
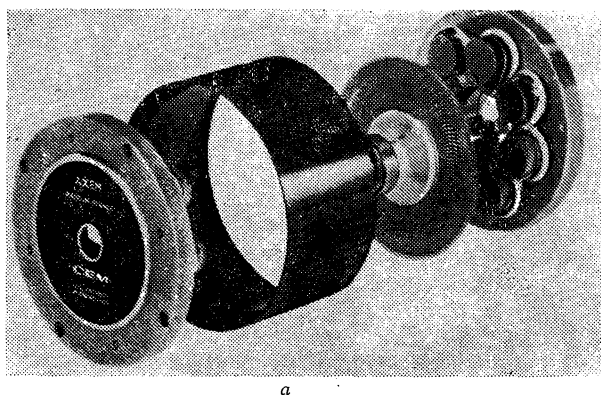


Fig. 5.78. Elemente componente ale mașinii de curent continuu cu întrefier axial (a); rotor compus dintr-un disc suport și din înfășurarea indusului (b).

lizează înfășurări ondulate simple. Spirele înfășurării se realizează prin conexiunile de la capetele marginale superioare și inferioare, care străbat discul izolant și care fac legătura dintre conductoarele de pe cele două fețe ale discului. La aceste înfășurări periile calcă direct pe conductoare. Polii inductori sînt așezați în partea frontală a inelului, de o parte sau de ambele părți. Laturile active ale unei spire sînt constituite din cele două porțiuni situate pe părțile frontale ale discului rotoric. Pentru a realiza o lungime mai mare a porțiunilor active ale spirei, acestea se dispun curbat. Cîmpul magnetic de reacție a indusului este mic datorită întrefierului axial cu o lățime relativ mare și a reluctanței magnetice mari a polilor inductori. La aceste mașini puterea pe unitatea de masă este mare datorită în special condițiilor bune de răcire a conductoarelor înfășurării indusului (se adoptă densități de curent de 10 ori mai mari decît la mașinile de curent continuu uzuale); au inerție redusă, au caracteristici mecanice lineare, gamă largă de turații. Se aplică în acționările care necesită moment de inerție redus.

Dezavantaje: realizarea înfășurării este mai dificilă, discul este deformabil, tensiune la borne redusă (30 V).

### Mașini de curent continuu unipolare

Aceste mașini se numesc unipolare sau aciclice și cuprind unul sau mai multe discuri de cupru sau de bronz care se rotesc într-un întrefier axial și se află sub acțiunea unui cîmp magnetic de inducție  $B$ , produs de un sistem de bobine de excitație. Dacă se așază o perie pe arbore și altă perie pe marginea exterioară a discului (sau de o parte și de alta a discului) se obține la perii o t.e.m. care poate produce curenți foarte mari. Expresia t.e.m. indusă într-un singur disc este

$E = \int_{r_1}^{r_2} v(r) B dr$ , dacă  $B = \text{const.}$  atunci

$E = v_{\text{med}} Bl$  unde  $l = r_2 - r_1$  este porțiunea din raza discului care se află în cîmpul magnetic  $B$ . La mașina dublă, cele două discuri sînt montate mecanic și electric pe același arbore și sînt conectate în serie, obținîndu-se t.e.m.  $2E$  (fig. 5.79). Aceste mașini au avantajul că evită colectorul, dar au mai multe dezavantaje: tensiuni la perii mici (chiar la viteze mari limitate numai de rezistența materialului), periile la viteze periferice mari se uzează repede, reacția indusului este puternică. Un alt tip de mașină unipolară este mașina de tip axial (fig. 5.80). Rotorul se realizează din bronz, alamă sau oțel, care se roțește într-un întrefier unde este produs un cîmp magnetic de două bobine concentrice, montate într-o carcasă de oțel

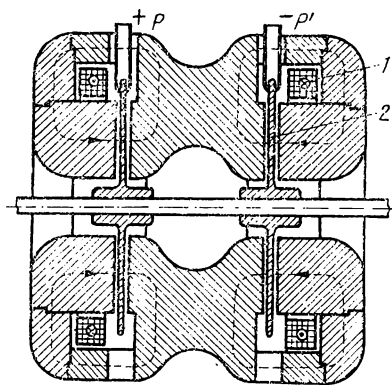


Fig. 5.79. Mașină unipolară dublă de tip radial:

1 — bobină de excitație; 2 — disc;  $p, p'$  — periile.

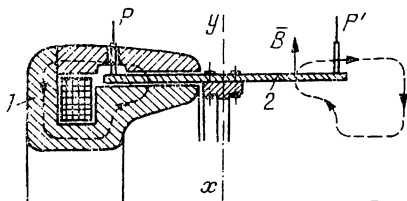


Fig. 5.80. Mașină unipolară de tip axial:

1 — bobină de excitație; 2 — rotor;  $p, p'$  — periile.

care constituie statorul. Dacă  $l$  este lungimea activă a razei rotorului atunci t.e.m. la perile  $P$  și  $P'$  este  $E = 2 V_{med} lB$ . O îmbunătățire se poate realiza prin înlocuirea perilor printr-un sistem de contacte mobile, cu metal lichid (mercur). Nu au o răspîndire largă, totuși sînt domenii de aplicare unde au avantaje importante: traductor de turație (tensiunea obținută la borne este strict proporțională cu turația, fapt important la obținerea, de exemplu, a derivatei turației printr-un circuit electronic de derivare), utilizarea la alimentarea pompelor electromagnetice.

### 5.9.3. POMPĂ ELECTROMAGNETICĂ DE CONDUȚIE

Fluidul conductor aflat sub acțiunea unui cîmp magnetic inductor  $B$ , se află într-un canal numit conducta pompei, sau canal magneto-hidrodinamic. Fețele verticale ale canalului sînt executate din material conductor (metal), iar fețele orizontale sînt executate din material izolant (fig. 5.81). La electrozi se aplică o tensiune care produce prin fluid între electrozi, un curent electric avînd densitatea de curent  $\vec{J}$ . Sub acțiunea forțelor  $\vec{f} = \vec{J} \times \vec{B}$  fluidul este deplasat în lungul canalului;  $\vec{J} \times \vec{B} \neq 0$  dacă  $\vec{J}$  și  $\vec{B}$  sînt continue sau sînt alternative și defazate. Aceste pompe se mai numesc și pompe magnetohidrodinamice lineare (canalul este linear), de conducție (au electrozi). Se utilizează la transportul metalelor sau alia-

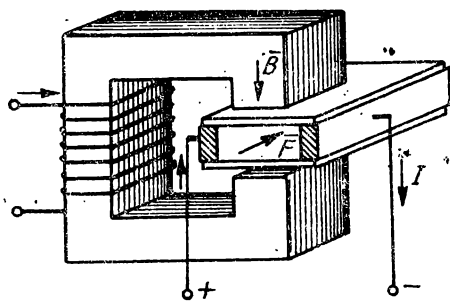


Fig. 5.81. Reprezentarea schematică a pompei electromagnetice de conducție.

ajelor topite, pentru acele fluide și temperaturi care nu deteriorează electrozii. Mașina descrisă poate funcționa și ca generator (fluidul trebuie antrenat).

### 5.9.4. AMPLIDINA

Amplidina este o mașină electrică a cărei construcție și principiu de funcționare sînt asemănătoare cu acelea ale unei mașini de curent continuu normale. Construcția amplidinei este în principiu similară cu a unui generator de curent continuu, cu deosebirea că pentru doi poli are patru peri la colector, dintre care două sînt conectate în scurtcircuit (fig. 5.82). Amplidina

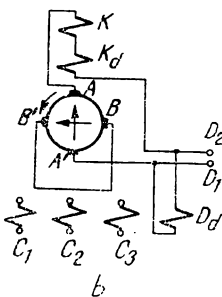
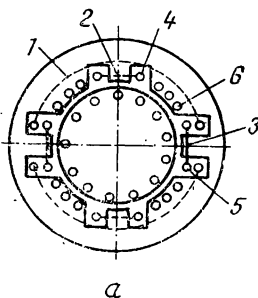


Fig. 5.82. Secțiune transversală printr-o amplidină de construcție uzuală (a);

1 - înfășurare de comandă; 2 - poli de comutație longitudinali; 3 - poli de comutație transversali; 4 - înfășurarea polilor de comutație longitudinali; 5 - înfășurarea polilor de comutație transversali; 6 - înfășurarea de compensare

Schema înfășurărilor amplidinei cu poli de comutație longitudinali (b);

$K$  - înfășurarea de compensare;  $K_a$  - înfășurarea polilor de comutație longitudinali;  $C_1, C_2, C_3$  - înfășurări de comandă;  $D_d$  - înfășurarea de reacție longitudinală.

este antrenată la o turație mare, de obicei apropiată de 3000 rot/min, de cele mai multe ori de un motor asincron.

La bornele înfășurării de excitație, care se mai numește și înfășurare de comandă se aplică o tensiune  $U_1$  (pot fi mai multe astfel de înfășurări), numită tensiune de intrare care stabilește curentul  $I_{c1}$  prin înfășurarea de excitație; se va produce un flux magnetic pe poli  $\Phi_1$  a cărui axă va fi după direcția longitudinală  $AA'$ . În timpul rotirii, acest flux induce în înfășurarea indusului o t.e.m.  $E_2$  care este culeasă la periile  $BB'$  perpendiculare pe axa cîmpului longitudinal. Axa  $BB'$  este axa transversală a amplidinei. Periile  $BB'$  se scurtcircuitează, curentul din circuitul scurtcircuitat produce un cîmp magnetic transversal de flux  $\Phi_2$  care induce în înfășurarea rotorului în rotație o t.e.m.  $E_3$  ce se culege la periile  $AA'$ , tensiunea la aceste perii se notează  $U_3$  și se numește tensiune de ieșire; la gol  $E_3 = U_3$ . În circuitul scurtcircuitat rezistența fiind mică rezultă un curent mare care produce un cîmp magnetic de reacție transversal puternic. Amplidina este prevăzută cu o înfășurare de compensare  $K$  ce anulează reacția indusului care se produce în axa longitudinală prin trecerea curentului de sarcină prin indus; reglarea compensării se realizează cu o rezistență  $R_k$  montată în paralel cu înfășurarea  $K$ . Orice amplidină are următoarele înfășurări: înfășurări de excitație (2 pînă la 6), înfășurare de compensare, înfășurarea polilor de comutație din axa longitudinală și din axa transversală. La amplidinele de puteri mici și mijlocii se prevăd numai poli de comutație longitudinali. Înfășurarea  $D_a$  alimentată de la tensiunea de ieșire a amplidinei asigură mărirea factorului de amplificare, o astfel de înfășurare se numește *înfășurare de reacție*. După cum reacția duce la mărirea, respectiv micșorarea tensiunii de ieșire, se numește *reacție pozitivă*, respectiv *reacție negativă*. Amplificarea de putere produsă de amplidină este dată de raportul:  $K_p = \frac{P_3}{P_1} = (P_2/P_1)(P_3/P_2) = K_{p1} \cdot K_{p2}$  unde  $P_1$  este puterea de intrare,  $P_2$ —puterea transferată circuitului transversal, iar  $P_3$  puterea la bornele de ieșire;  $K_p$  se numește *factor de amplificare*.

Pentru a se realiza valori cît mai mari ale factorului de amplificare este necesar ca permeanțele circuitului magnetic să aibă valori cît mai mari, aceasta se realizează adoptîndu-se inducții magnetice mai mici decît la mașinile de curent continuu uzuale; întrefierul se adoptă mic, dar nu la limita inferioară a posibilităților de execuție, deoarece trebuie asigurată linearitatea caracteristicilor de magnetizare și micșorarea influenței fenomenului de histerezis. Amplidina are deci, două etaje de amplificare; primul format din înfășurarea de comandă și circuitul transversal, al doilea din circuitul transversal și circuitul de sarcină (circuit longitudinal). Factorul  $K_p$  are valori foarte mari pînă la  $10^5$ , la cele de construcție normală valorile sînt în ordinul  $10^4$ . De exemplu la o amplidină de construcție normală pentru  $K_p = 8000$ , avem  $K_{p1} = 40$  și  $K_{p2} = 200$ . Mărimea care caracterizează comportarea amplidinei în regim dinamic este sensibilitatea, adică viteza de răspuns la un impuls aplicat la bornele înfășurării de comandă. Pentru o sensibilitate mare este necesar ca inductivitățile circuitului să aibă valori cît mai mici, însă aceasta conduce la micșorarea factorului de amplificare; de obicei  $T = 0,05—0,2$  s. Raportul  $K_p/T$  se numește *raport de amplificare dinamică*. Colectorul amplidinei are o construcție destul de dificilă deoarece

are un număr mare de lamele, de grosime mică. Amplidina se utilizează în sistemele de reglare automată. Puterea de ieșire este de 0,4—40 kW, însă se construiesc și la puteri mai mari.

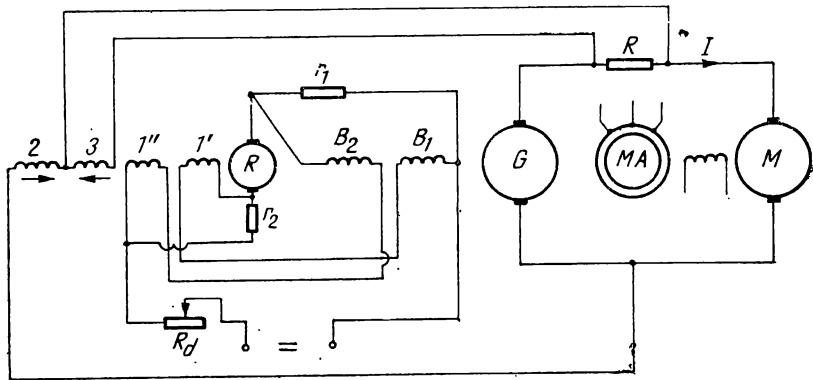
### 5.9.5. ROTOTROLUL ȘI REGULEXUL

Sînt mașini de curent continuu cu mai multe înfășurări de excitație. *Regulexul* pe lingă înfășurările de comandă are și o înfășurare de excitație conectată în derivație în raport cu periile; aceste înfășurări produc cîmpul magnetic inductor. Rezistența totală din circuitul de excitație derivație are o astfel de valoare încît mașina să nu se autoexcite.

Prin alimentarea înfășurării de comandă, dreapta excitației este translatată într-un sens sau altul față de originea sistemului de axe. La bornele mașinii apare o tensiune de o polaritate dependentă de sensul curentului de comandă. Contribuția înfășurării de comandă la obținerea tensiunii de ieșire este cu atât mai mică, cu cât înclinarea dreptei excitației diferă mai puțin de cea a tangentei în origine la caracteristica de mers în gol.

*Rototrolul*, în principiu, pe lângă înfășurările de comandă are și o înfășurare de excitație conectată în serie cu indusul.

Se utilizează în sisteme de reglare automată a proceselor industriale. În figura 5.83 este prezentată schema unui rototrol funcționând într-un sistem de reglare a vitezei, rototrolul  $R$ , generatorul  $G$  și motorul asincron  $MA$  sînt montate pe același ax; generatorul alimentează motorul de curent continuu  $M$ . Generatorul  $G$  are două înfășurări de excitație, fiecare este conectată în serie cu o înfășurare de excitație a rototrolului, 2 și 3 sînt înfășurări de reglare ale rototrolului. Solenația  $\Theta_2$  a înfășurării 2 este proporțională cu tensiunea de la bornele motorului de curent continuu, iar solenația înfășurării 3 este proporțională cu valoarea curentului absorbit de motor și are acțiune contrară înfășurării 2 și  $\Theta_1 + \Theta_3 = \Theta_2$ , iar t.e.m. din indușul rototrolului este nulă, (circuitul magnetic este realizat din material cu magnetism remanent mic 0,4% și efectul de histerezis neglijabil). O variație mică a rezistenței  $R_a$  conduce la variații mari ale curentului de excitație al generatorului  $G$ . La rezistență  $R_a$  dată, turația motorului  $M$  rămîne constantă la variații ale cuplului rezistent. Se construiește pentru puteri pînă la 1 kW și permite reglări de viteze în raportul  $\frac{1}{120}$ .



**Fig. 5.83. Rototrolul în sistemul generator-motor.**

## 5.9.6. METADINA

Ca și amplidina, metadina este o mașină cu cîmp transversal la care nu este compensată reacția indusului după axa longitudinală.

Metadina permite asigurarea pornirii fără reostat la acționările trenurilor electrice, un domeniu larg de reglaj al vitezei și frînării pînă la viteze foarte mici. Schema de principiu a unei acționări este indicată în figura 5.84. Este un convertizor rotativ cu viteză constantă și cu două rînduri de perii dispuse în axa longitudinală ( $A_1A_2$ ) și în axa transversală ( $A_3A_4$ ); 1 și 2 sînt motoarele de tracțiune.

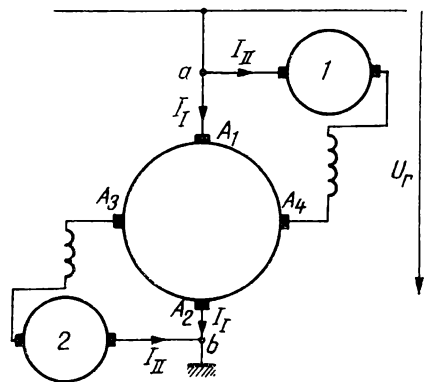


Fig. 5.84. Schema de principiu a metadinei.

Curenții  $I_I$  și  $I_{II}$  produc fluxurile magnetice  $\Phi_I$  și respectiv  $\Phi_{II}$ ; aceste fluxuri induc t.e.m. în înfășurarea de curent continuu. Aproximativ se poate scrie  $U_r \approx E_I \approx k_{eI} n_c \Phi_{II} \approx K_I n_c I_{II}$  (t.e.m.  $E_I$  este indusă de fluxul  $\Phi_{II}$ ), pentru  $U_r = \text{const.}$  și  $n_c = \text{const.}$  rezultă  $I_{II} = \text{const.}$  ( $n_c$  — viteza convertizorului). Pe de altă parte din circuitul II rezultă  $I_{II} = (U_r + E_{II} - 2E_{1m})/R$  unde  $R$  este rezistența totală a circuitului II, iar  $E_{1m} = k_{eI} n_m \Phi_m$  este t.e.m. a unui singur motor și  $E_{II} \approx K_{II} I_I$ . Din relațiile scrise se obține  $U_r + K_{II} I_I - I_{II} R = 2k'_{eI} n_m$ . Se constată că  $I_I$  depinde de viteza motorului  $n_m$ . Pentru  $n_m = 0$  se obține  $I_I = U_r/K_{II}$ , adică curentul  $I_I$  este debitat de convertizor și deci t.e.m.  $E_{II}$  se opune tensiunii  $U_r$ ,  $E_{II}$  joacă rolul unui reostat de pornire. Pe măsură ce viteza crește curentul  $I_I$  scade la zero după care schimbă de semn și deci schimbă de semn și  $E_{II}$ . Convertizorul transformă energie de tensiune constantă  $U_r$  și curent variabil  $I_I$  în energie de tensiune variabilă  $U_r + E_{II}$  și curent constant  $I_{II}$ . Pentru a varia viteza de rotație a motoarelor de tracțiune se dispun pe statorul convertizorului două înfășurări de comandă: una în axa transversală care are rolul principal și alta în axa longitudinală. Fluxul  $\Phi_c$  dat de înfășurarea transversală se opune fluxului și fluxul rezultat este  $\Phi_{IIr} = \Phi_{II} - \Phi_c$  iar din ecuația  $U_r = k_{eI} n_c \Phi_{IIr}$  rezultă că  $n_c$  variază cu  $\Phi_c$ .

## 5.9.7. GENERATOR DE CURENT CONTINUU CU POLI DE DISPERSIE

În figura 5.85 și 5.86 se prezintă generatorul cu poli de dispersie. Acest generator are în zona neutră, poli de dispersie a căror înfășurare este conectată în serie cu înfășurarea rotorului. Polii de dispersie sînt legați cu polii principali, în sensul rotației, cu o punte magnetică.

La mersul în gol, (fig. 5.85) o parte a fluxului magnetic al polilor principali se închide prin puntea magnetică și fluxul magnetic prin întrefier este diminuat, în consecință t.e.m. indusă în înfășurarea rotorului este micșorată. Fluxul magnetic care se închide prin puntea magnetică este limitat prin practicarea unor goluri în punte.

Pentru sensul dat al curentului de sarcină, solenația înfășurării polilor de dispersie este de sens contrar în raport cu cel al polilor principali, astfel

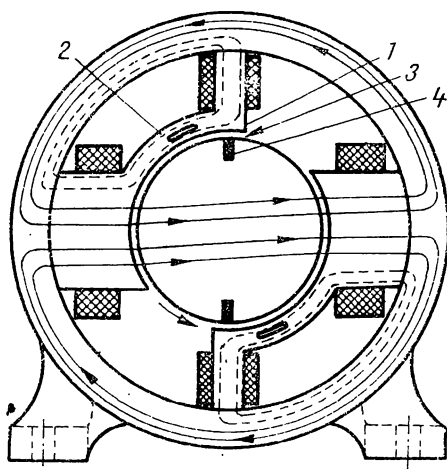


Fig. 5.85. Mașina de curent continuu cu poli de scăpări la mersul în gol.

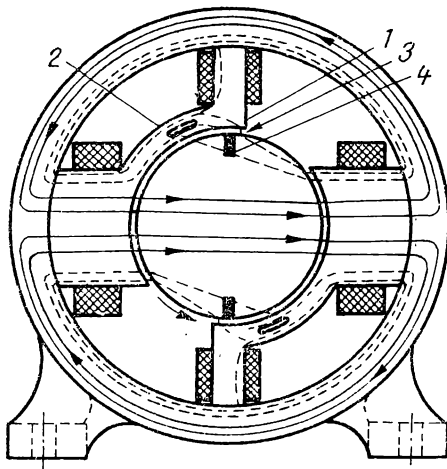


Fig. 5.86. Mașina de curent continuu cu poli de scăpări la mersul în sarcină.

În acest caz fluxul magnetic prin întrefier se mărește și ca urmare se mărește și t.e.m. indusă în înfășurarea rotorică (fig. 5.86). La funcționarea în regim de motor, slăbirea fluxului magnetic din întrefier conduce la creșterea turației care nu trebuie să depășească turația admisibilă.

În regim de generator, tensiunea la borne rămâne aproximativ constantă de la gol la sarcina nominală. La suprasarcină tensiunea scade. Astfel de generatoare se pot folosi la încărcarea bateriilor de acumulare la tensiune constantă.

Dacă solenația înfășurării polilor de dispersie produce un flux magnetic de același sens cu cel al polilor principali atunci fluxul magnetic prin întrefier este mult diminuat și t.e.m. indusă în înfășurarea rotorică este micșorată. Un astfel de generator se poate utiliza pentru sudură; la întreprinderea arcului curentul prin înfășurarea polilor de dispersie este nul și fluxul magnetic prin întrefier crește, deci și tensiunea la borne, fapt care conduce la apăsarea arcului electric. Tensiunea de mers în gol nu trebuie să fie mai mare de 60 V, pentru a nu prezenta pericol de electrocutare. Intersecția dintre caracteristica externă și caracteristica arcului trebuie să fie un punct stabil, pentru o funcționare normală. La sudarea prin puncte se produc rapide scurtcircuite și generatorul funcționează în regim dinamic.



# 6.

## MAȘINI DE CURENT ALTERNATIV CU COLECTOR

Mașinile electrice de curent alternativ cu colector au statorul prevăzut cu înfășurări care produc fie cîmpuri alternative, fie un cîmp magnetic învîrtitor și rotorul cu una sau mai multe înfășurări conectată la un colector. Armăturile feromagnetice ale acestor mașini sînt executate din tole, pentru reducerea pierderilor în fier. Mașinile de curent alternativ cu colector pot fi monofazate sau polifazate. După forma cîmpului magnetic se deosebesc mașini cu cîmp magnetic alternativ și cu cîmp magnetic învîrtitor. Mașinile de curent alternativ cu colector funcționează în majoritatea cazurilor în regim de motor.

### 6.1. MAȘINI DE CURENT ALTERNATIV MONOFAZATE CU COLECTOR

În indusul unei mașini de curent alternativ cu colector iau naștere două feluri de tensiuni: o tensiune electromotoare statică, de transformare  $E_t$ , datorită fluxului inductor care este variabil în timp și o altă tensiune electromotoare de rotație  $E_r$ , indusă datorită rotației indusului într-un cîmp magnetic.

*Tensiunea de rotație.* Rotorul mașinii se învîrtește cu turația constantă  $n$  într-un flux magnetic alternativ  $\varphi$ , de frecvență  $f$ . La un moment dat fluxul  $\varphi$  are o valoare cuprinsă între 0 și  $\Phi_m$  ( $\Phi_m$  este valoarea maximă) cînd mașina se poate considera ca și o mașină de curent continuu, și dacă periile mașinii sînt așezate în axa neutră geometrică (fig. 6.1), expresia t.e.m. instantanee de rotație este  $e_r = \frac{p}{a} n N \varphi$ , iar valoarea efectivă a acesteia este

$$E_r = \frac{N f_r \Phi_m}{a \sqrt{2}} \quad (6.1)$$

în care  $f_r = pn$  este frecvența de rotație a mașinii. Tensiunea  $E_r$  este proporțională cu turația  $n$ , are frecvența fluxului  $\varphi$  și este în fază cu acesta.

*Tensiunea de transformare (statică).* Dacă axa periilor se suprapune peste axa fluxului magnetic  $\varphi$ , tensiunea de rotație este nulă. În schimb se

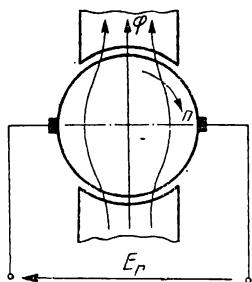


Fig. 6.1. Obținerea tensiunii de rotație în câmp alternativ.

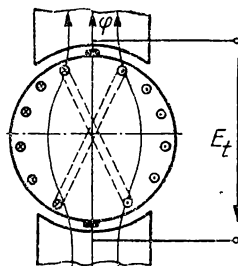


Fig. 6.2. Obținerea tensiunii de transformare.

induce în rotor o t.e.m. de transformare  $E_t$ , deoarece cum se vede și din figura 6.2, rotorul se comportă față de acest câmp ca o bobină înălțuită maximal. Din punct de vedere magnetic rotorul din figura 6.2 este echivalent cu unul bobinat din conductoare plasate simetric față de axa periiilor. Tensiunea instantanee de transformare se obține ca și la un transformator cu relația  $e_t = -w_2 d\varphi/dt$ , iar valoarea efectivă a acesteia, ținând seama că în loc de  $w_2$  se pune  $\frac{N}{2 \cdot 2a}$ , este  $E_t = \frac{N}{2 \cdot 2a} \cdot 2\pi f \cdot \frac{\Phi_m}{\sqrt{2}}$ . Ținând seama că suprafața spirelor rotorice variază sinusoidal după direcția fluxului trebuie introdus în expresia tensiunii  $E_t$  coeficientul valorii medii  $2/\pi$ , așa încît, valoarea efectivă a tensiunii de transformare este dată de relația

$$E_t = \frac{N f \Phi_m}{a \sqrt{2}}. \quad (6.2)$$

Tensiunea de transformare  $E_t$  are aceeași frecvență ca și fluxul  $\varphi$ , dar este defazată cu  $\pi/2$  grade electrice în urma acestuia.

**Tensiunea rezultantă.** Dacă axa periiilor face unghiul  $\alpha$  cu axa neutră geometrică a mașinii, atunci în înfășurarea rotorică apar ambele tensiuni  $E_r$  și  $E_t$ , ele fiind defazate în timp cu  $\pi/2$ , între perii tensiunea rezultantă  $E_e$  are expresia

$$E_e = \sqrt{(E_r \cos \alpha)^2 + (E_t \sin \alpha)^2} = \frac{1}{\sqrt{2}} \cdot \frac{N \Phi_m}{a} \sqrt{(f_r \cos \alpha)^2 + (f \sin \alpha)^2}. \quad (6.3)$$

Din relația (6.3) se deduce că dacă  $\alpha = 0$ ,  $E_e = E_r$  și dacă  $\alpha = \pi/2$ ,  $E_e = E_t$ , concluzii deja deduse în paragraful precedent. Dacă frecvența de rotație a mașinii este egală cu frecvența fluxului magnetic ( $f_r = f$ ), mașina funcționează la sincronism și valoarea efectivă a tensiunii rezultante  $E_e$  nu depinde de poziția periiilor pe colector.

**Cuplul mașinilor monofazate cu colector.** Utilizînd valoarea instantanee a fluxului inductor  $\varphi$  și a curentului rotoric  $i$ , putem compara mașina într-un moment cînd fluxul  $\varphi$  are o valoare cuprinsă între 0 și  $\Phi_m$ , cu o mașină de curent continuu, încît valoarea instantanee a cuplului este dat ca și la mașina de curent continuu și are expresia:

$$m = k_m \varphi i = k_m \Phi_m \sin \omega t \cdot \sqrt{2} I \sin (\omega t - \psi), \quad (6.4)$$

în care  $I$  este valoarea efectivă a curentului rotorului, iar  $\psi$  este unghiul de defazaj dintre curentul rotorului și cel statoric (respectiv și fluxul  $\Phi$ ).

Cuplul activ al mașinii de curent alternativ este egal cu media cuplului instantaneu în decurs de o perioadă și are expresia:

$$M = \frac{1}{T} \int_0^T m \, dt = \frac{1}{\sqrt{2}} k_m \Phi_m I \cos \psi = \frac{1}{\sqrt{2}} \cdot \frac{\phi N}{2 \pi a} \cdot \Phi_m I \cos \psi. \quad (6.5)$$

Conform relației (6.5), la anumite pierderi și o anumită solicitare magnetică, o mașină cu colector dezvoltă un cuplu mediu care este de  $\sqrt{2}$  ori mai mic decât în c.c. Din acest motiv, la aceeași putere și aceeași turație mașinile de curent alternativ cu colector au dimensiunile mai mari decât cele de curent continuu.

Cuplul  $M$  depinde de unghiul  $\psi$ . La motorul serie monofazat  $\psi = 0$  și cuplul  $M$  este maxim. Dacă motorul este derivație și inductorul ar avea o inductivitate foarte mare (spire foarte multe),  $\psi$  ar avea o valoare apropiată de  $90^\circ$  și cuplul ar rezulta aproape nul. Expresia (6.5) a cuplului se poate pune sub o altă formă în care să apară tensiunea de rotație  $E_r$ , astfel:

$$M = \frac{E_r I \cos \psi}{2 \pi n} = \frac{P}{2 \pi n}. \quad (6.6)$$

Unghiul  $\psi$  este defazajul dintre  $i$  și  $\Phi$  și totodată dintre  $E_r$  și  $I$ , iar  $P$  este puterea electromagnetică (interioară) a mașinii ( $P = E_r I \cos \psi = 2 \pi n M$ ) și corespunde sumei dintre puterea mecanică cedată pe la arbore și pierderile mecanice care au loc în mașină în regim de motor și diferenței acestora în regim de generator.

**Comutația.** La mașinile de curent alternativ cu colector curenții prin căile înfășurării sînt variabili în timp și nu mai sînt constanți ca în cazul mașinii de curent continuu. La un moment dat curenții prin conductoarele rotorice au sensul ca în figura 6.3, *a* și variază în timp după o anumită lege. Pentru rotorul considerat în figura 6.3, *a* sînt două căi de înfășurare prin care circulă curenții  $i_1$  respectiv  $i_2$ , care sînt în opoziție de fază. Comutația modifică valoarea de la  $i_1$  la valoarea  $i_2$  și invers. Acest interval depinde de turația mașinii și are valori uzuale în gama  $(0,003 \div 0,005)T$ . Curenții care comută sînt prezentați în figura 6.3, *b*. Din această figură se deduce că sînt momente în care curentul de comutație este nul și altele în care variația curentului este egală cu aproape de două ori valoarea sa maximă.

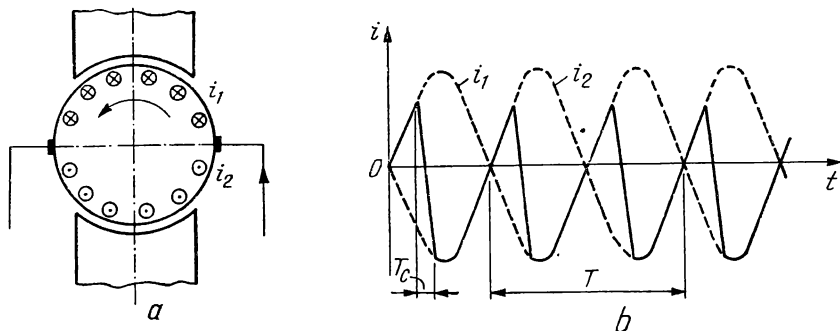


Fig. 6.3. Comutația la mașinile de curent alternativ cu colector:

*a* — curenții căilor de înfășurare; *b* — variația în raport cu timpul a curentului dintr-o bobină a indusului.

Curentul  $i_p$  are expresia  $i_p = i_1 - i_2$  și reprezintă la un moment dat segmentul dintre curbele  $i_1$  și  $i_2$  din figura 6.3, *b*. Dacă curentul periei este sinusoidal în timp, curenții rotorici variază tot sinusoidal, dar cu discontinuități corespunzătoare momentelor de comutație. Comutația unei mașini de curent alternativ cu colector este mai grea decât la o mașină de curent continuu pentru că există momente în care comutația se produce la curentul maxim al periei.

T.e.m. rezultantă indusă în bobina care comută are trei componente: prima de autoinducție  $\underline{U}_a$  indusă prin variația curentului bobinei care comută de la  $i_1$  la  $i_2$ , a doua indusă prin rotație  $\underline{U}_r$  de către cîmpul magnetic din axa  $q$  a mașinii și a treia indusă static  $\underline{U}_t$  de către cîmpul magnetic din axa  $d$ . Apariția scînteilor la colector este condiționată de mărimea tensiunii de scînteie  $\underline{U}_s$  a mașinii, egală cu suma fazorială a celor trei tensiuni  $\underline{U}_s = \underline{U}_a + \underline{U}_r + \underline{U}_t$ . Experimental s-a constatat că valoarea maximă a lui  $\underline{U}_s$  în regim de funcționare este de circa  $(1,5 \div 2)V$  la periile electrografitate, de circa  $(2 \div 2,5)V$  la periile speciale, iar la pornire de  $(3 \div 3,7)V$  la periile electrografitate. Componentele  $\underline{U}_a$  și  $\underline{U}_r$  sînt proporționale cu turația, iar  $\underline{U}_t$  este independentă de turație. La turație nenulă, există posibilitatea compensării tensiunii  $\underline{U}_s$  cu ajutorul polilor de comutație. La turație nulă (la pornire) rămîne componenta  $\underline{U}_t$  care nu se poate compensa. Singura măsură care se ia, constă în a dimensiona mașina în așa fel încît la pornire  $\underline{U}_t$  să nu depășească limitele indicate pentru tipul respectiv de perie.

### 6.1.1. MAȘINA SERIE MONOFAZATĂ CU COLECTOR

Satorul mașinii este realizat din tole, care pentru o mașină tetrapolară au forma indicată în figura 6.4 (dinții mai mari sînt polii de comutație). Rotorul este identic cu al unei mașini obișnuite de curent continuu.

În creștăturile statorice sînt plasate înfășurarea de excitație  $E$ , sub formă concentrată, înfășurarea polilor de comutație  $C$  și înfășurarea de compensație  $K$  plasată în creștăturile prevăzute în tălpile polilor de excitație. Înfășurarea de compensare ajută la îmbunătățirea factorului de putere al mașinii. Regimul de funcționare cel mai întîlnit al mașinii monofazate cu colector este cel de motor, folosit mai ales în tracțiunea electrică. La puteri sub 0,5 kW mașina se construiește fără poli de comutație și fără înfășurare de compensație, fiind utilizată atît în curent continuu cît și în curent alternativ, numindu-se *motor universal*.

Schema electrică a mașinii monofazate serie este dată în figura 6.5.

*Ecuatiile mașinii.* După axa  $d$  a mașinii există cîmpul de excitație al acesteia, iar după axa  $q$  numai cîmpul datorat comutației deoarece cîmpul dat de reacția indusului este anulat de înfășurarea de compensație  $K$ .

Se notează cu  $R_E$ ,  $R_2$ ,  $R_c$ ,  $R_k$  și  $L_{E\sigma}$ ,  $L_{2\sigma}$ ,  $L_{c\sigma}$ ,  $L_{k\sigma}$ , rezistențele și respectiv inductivitățile de dispersie ale înfășurărilor de excitație, a indusului, (rotorului), a comutației și de compensare ale mașinii. Notăm de asemenea cu  $R_1$  și  $L_{1\sigma}$  sumele acestora adică  $R_1 = R_E + R_2 + R_c + R_k$ ;  $L_{1\sigma} = L_{E\sigma} + L_{2\sigma} + L_{c\sigma} + L_{k\sigma}$ .

Mașina serie monofazată este nelineară datorită caracteristicii de magnetizare nelineare a acesteia. Se obțin rezultate bune din punct de vedere practic, dacă mașina se consideră lineară, nesaturată. În regim sinusoidal,

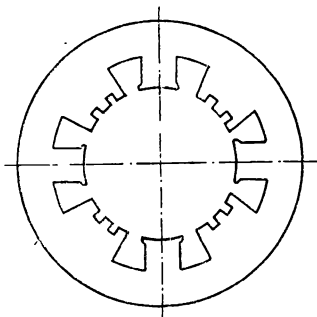


Fig. 6.4. Tolă statorică a unei mașini monofazate serie.

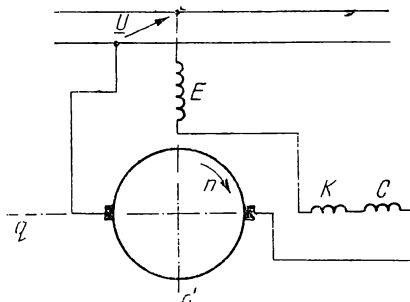


Fig. 6.5. Schema electrică a mașinii serie monofazate.

se poate deci utiliza calculul în complex, încât ecuația de tensiuni a mașinii, neglijând pierderile în fier, este:

$$\underline{U} = R_1 \underline{I} + j \omega L_{1\sigma} \underline{I} - \underline{E}_E + \underline{E}_r \quad (6.7)$$

în care  $\underline{E}_E$  este t.e.m. indusă de fluxul de excitație al mașinii în înfășurarea de excitație, iar  $E_r$  este t.e.m. de rotație a mașinii. Dacă  $J$  este momentul de inerție al maselor în mișcare,  $M$  cuplul electromagnetic iar  $M_m$  momentul mecanic de rotație la arbore, ecuația mișcării devine:

$$M + M_m = \frac{J}{p} \frac{d^2 \theta}{dt^2} \quad (6.8)$$

$\theta$  fiind unghiul electric dintre axa înfășurării de excitație statorică și o axă fixă solidară cu rotorul.

Reprezentarea fazorială a ecuației (6.7) este dată în figura 6.6. Din această figură reiese că cu cât turația mașinii este mai mare, crește și tensiunea  $E_r$  și unghiul  $\phi$  scade, adică factorul de putere al mașinii crește. Din ecuația (6.7) se deduce curentul de pornire al motorului serie, avînd expresia ( $\underline{E}_r = 0$ )

$$I_p = \frac{U}{\sqrt{R_1^2 + (\omega L_{1\sigma} + \omega L_E)^2}} \quad (6.9)$$

în care  $L_E$  este inductivitatea utilă a înfășurării de excitație. Se constată că față de motorul serie de curent continuu unde  $I_p = U/R_1$ , motorul serie cu colector de curent alternativ, are curentul de pornire mai mic.

**Cuplul mașinii.** Se determină cu relația (6.5) în care evident  $\psi = 0$  și rezultă

$$M = \frac{1}{2} k_m \Phi_E I. \quad (6.10)$$

**Reglajul vitezei.** Din ecuația de tensiuni a motorului rezultă că la cuplul constant, deci la

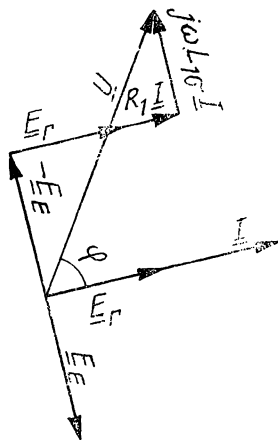


Fig. 6.6. Diagrama fazorială a mașinii serie monofazate.

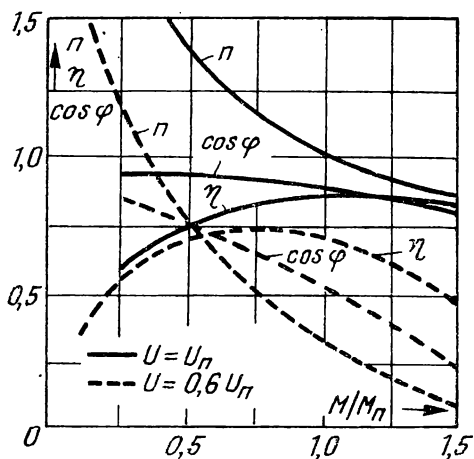


Fig. 6.7. Caracteristicile de funcționare ale mașinii serie monofazate.

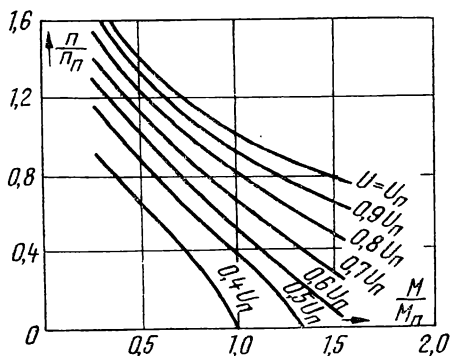


Fig. 6.8. Caracteristicile mecanice ale motorului serie monofazat.

curent  $I$  practic constant, tensiunea  $E_r$  este aproximativ proporțională cu  $U$ , adică  $E_r \sim kU$ . Din relația (6.1) rezultă

$$n = \frac{k U a \sqrt{2}}{N p \Phi_m} \sim K' \frac{U}{\Phi_m} \quad (6.11)$$

adică turația este proporțională cu tensiunea mașinii și invers proporțională cu fluxul magnetic. Deci turația motorului serie monofazat se poate regla, la cuplu constant, fie prin variația curentului de excitație (prin șuntarea unei părți a înfășurării de excitație), metodă neeconomică datorită pierderilor care se produc în rezistențele de șuntare, fie prin variația tensiunii de alimentare  $U$  (cu un autotransformator sau cu un transformator cu prize), metodă realizată practic fără pierdere de energie.

Pornind de la ecuațiile (6.1), (6.2), (6.5) ÷ (6.8) ale motorului serie, se determină caracteristicile de funcționare ale acestuia care sînt prezentate în figurile 6.7 și 6.8. Din caracteristicile date în figura 6.7 determinate experimental la funcționarea motorului în sarcină se vede că pentru tensiunea nominală și cuplul nominal, factorul de putere și randamentul motorului au valori relativ mari ceea ce face ca acesta să fie competitiv din punct de vedere energetic.

### 6.1.2. MAȘINA CU REPULSIE

Mașina cu repulsie se execută de obicei pentru puteri mijlocii și mici sub două forme constructive de bază: mașină cu o singură înfășurare statorică și perii deplasabile pe colector și mașină cu două înfășurări în stator și perii fixe. Principial între cele două tipuri de mașini nu există deosebiri. Schemele electrice ale acestor mașini sînt date în figura 6.9. Față de mașina serie monofazată, mașina cu repulsie are avantajul că i se poate modifica ușor turația prin deplasarea periiilor pe colector, precum și că înfășurarea rotorică se poate dimensiona pentru tensiunea optimă, ea fiind separată de rețea. Periiile se scurtcircuitează printr-un conductor metalic flexibil.

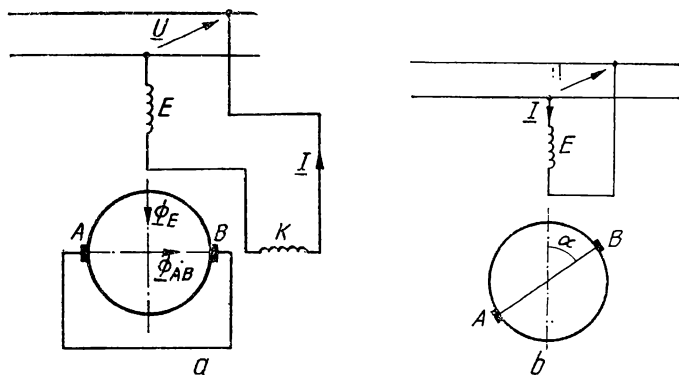


Fig. 6.9. Mașina cu repulsie:

*a* — cu două înfășurări în stator și perii fixe; *b* — cu o singură înfășurare în stator și perii deplasabile.

Caracteristicile mașinii cu repulsie se aseamănă cu cele ale mașinii serie monofazate. Funcționarea motorului cu repulsie se bazează pe faptul că o spiră în scurtcircuit, mobilă în jurul unui ax, așezată într-un câmp magnetic alternativ, tinde să se învârtă în jurul axului pînă ce planul său devine paralel cu direcția liniilor de câmp magnetic, deoarece în această poziție curentul indus în spiră se anulează (corespunde energiei magnetice înmagazinate minime). Dacă în locul unei singure spire avem un indus cu un număr mare de astfel de spire, se obține o rotație continuă a acestuia. Fenomenul se reduce la respingerea (repulsia) spirelor în scurtcircuit parcurse de curent de către câmpul magnetic. De aici aceste motoare se numesc „cu repulsie“.

Mașina cu repulsie are, în regim de motor, un cuplu mare de pornire cuprins, între 1,5 și 4,5 ori cuplul nominal, cînd curentul de pornire este între 2,5 și 4,5 ori curentul nominal. Prin deplasarea periilor pe colector turația variază în limite de 0,7 ÷ 1,1 ori turația sincronă, la cuplul nominal și în limite de 0,4 ÷ 1,2 ori turația sincronă la cuplul redus. Limita superioară a turației este limitată de comutație și cea inferioară de răcirea mașinii.

a) *Mașina cu repulsie cu două înfășurări statorice și perii fixe.* Schema mașinii este prezentată în figura 6.9, *a*. Înfășurările  $E$  și  $K$  sînt înseriate și produc fluxuri magnetice decalate în spațiu cu  $90^\circ$ . Periile  $A-B$  sînt scurtcircuitate și au axa în continuarea axei înfășurării  $K$ .

*Ecuațiile mașinii.* Înfășurarea  $E$  produce în mașină fluxul  $\Phi_E$  în fază cu curentul  $I$  (se neglijează pierderile în fier), care acționează în spațiu după axa normală pe axa periilor. Fluxul produs de înfășurarea  $K$  este în lungul axei periilor și produce în înfășurarea rotorică prin efect de transformare (pe cale statică) un curent  $I_2$  (indicele 2 se referă la înfășurarea rotorică). Solenațiile  $\theta_k$  și  $\theta_2$  produse de curenții  $I$  și  $I_2$  în primarul respectiv secundarul „transformatorului“  $K-R$ , se compun într-o solenație rezultantă  $\theta_{AB}$ , care produce, în fază cu ea, un flux rezultant  $\Phi_{AB}$  dirijat în spațiu după axa  $AB$  a periilor și defazat față de curentul  $I$  cu un unghi  $\beta$ . Prin urmare după axa periilor, în mașină, acționează fluxul  $\Phi_{AB}$  și după axa normală pe ea, fluxul  $\Phi_E$ . Aceste fluxuri produc la periile  $A-B$  două t.e.m. și anume fluxul  $\Phi_{AB}$  produce pe cale statică (prin transformare) t.e.m.  $\underline{E}_{2s}$ ,

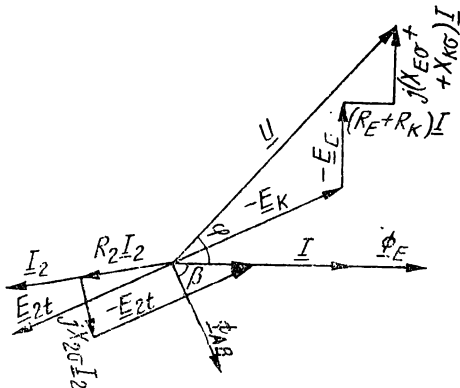


Fig. 6.10. Diagrama fazorială a mașinii cu repulsie.

iar fluxul  $\Phi_E$  produce o t.c.m. de rotație  $E_{2r}$ . Dacă  $R_2$  este rezistența înfășurării rotorice între perii A și B, iar  $X_{2\sigma}$  reactanța de dispersie a rotorului, ecuația de tensiune rotorică se scrie sub forma:

$$0 = R_2 I_2 + j X_{2\sigma} I_2 - E_{2i} - E_{2r}. \quad (6.12)$$

Fluxurile alternative  $\Phi_E$  și  $\Phi_{AB}$  produc în înfășurările statorice t.e.m. statice  $\underline{E}_E$  și  $\underline{E}_K$ , defazate cu  $\pi/2$  față de fluxurile respective. Ecuația de tensiuni statorice se scrie astfel:

$$\underline{U} = (R_E + R_K) \underline{I} + j \omega (L_{E\sigma} + L_{K\sigma}) \cdot \underline{I} - \underline{E}_E - \underline{E}_K \quad (6.13)$$

în care  $R_E$ ,  $R_K$  și  $L_{E\sigma}$ ,  $L_{K\sigma}$  sînt rezistențele și respectiv inductivitățile de dispersie ale înfășurărilor E și K. Cu ajutorul ecuațiilor (6.12) și (6.13) se poate construi diagrama fazorială a mașinii, cum se arată în figura 6.10. Fazorul  $\underline{U}$  obținut din diagramă este defazat față de curentul  $\underline{I}$  cu unghiul  $\varphi$  care ne dă factorul de putere al mașinii.

Fluxurile  $\Phi_E$  și  $\Phi_{AB}$  sînt decalate în spațiu cu  $\pi/2$  iar în timp cu unghiul  $\beta$ , a cărui valoare este apropiată de  $\pi/2$ . Ele formează deci un cîmp magnetic învîrtitor eliptic. Pentru viteza de sincronism ( $p n = f$ ) cîmpul eliptic devine aproape circular.

**Cuplul mașinii.** Deoarece, abstractie făcînd de semn, curentul  $\underline{I}_2$  este aproximativ în fază cu fluxul  $\Phi_E$ , dacă în formula (6.5)  $\cos \psi = \cos(\underline{I}_2, \Phi_E) \simeq 1$ , atunci cuplul mașinii se deduce cu relația.

$$M = \frac{1}{\sqrt{2}} \cdot k_m \Phi_E I_2 \quad (6.14)$$

unde  $\Phi_E$  este valoarea maximă a fluxului înfășurării E, iar  $I_2$  este valoarea efectivă a curentului rotoric. Prin urmare mașina cu repulsie prezintă caracter de mașină monofazată serie. Mașina cu repulsie are reacția indusului compensată total de înfășurarea K. La pornire, mașina cu repulsie se comportă la fel cu mașina monofazată serie. În timpul funcționării însă, comutația mașinii cu repulsie este mai bună decît a motorului serie, deoarece la sincronism fluxul  $\Phi_{AB}$  compensează în întregime t.e.m. statică de comutație și procesul de comutație este determinat numai de tensiunea de autoinducție de comutație.

b) *Mașina cu repulsie cu o înfășurare în stator și perii deplasabile.* Axa perilor poate face cu axa înfășurării de excitație E unghiul  $\alpha$  variabil (fig. 6.9, b). Pentru  $\alpha = \pi/2$ , fluxul de excitație este în cuadratură cu axa perilor. În această situație tensiunea indusă static este nulă. Curentul rotoric este nul și deci și cuplul e nul. Motorul nu poate porni în acest caz deoarece nu are cuplu de pornire. Acest regim se numește de mers în gol (fig. 6.11, a). Pentru  $\alpha = 0$  cîmpul magnetic de excitație înlănțuie maximal înfășurarea rotorică și deci curentul rotoric este maxim. Fluxul de reacție al rotorului anulează fluxul de excitație și prin urmare și în acest caz cuplul mașinii.



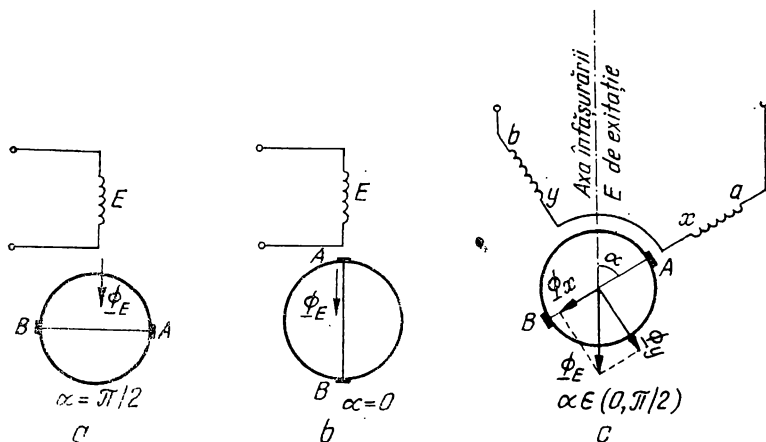


Fig. 6.11. Mașina cu repulsie cu o înfășurare în stator și perii deplasabile:

a — poziția periiilor la mersul în gol; b — poziția periiilor la mersul în scurtcircuit; c — poziția periiilor pentru un unghi  $\alpha$  oarecare.

este nul. Acest regim se numește de scurtcircuit (fig. 6.11, b). Între cele două poziții extreme ale periiilor cuplul mașinii admite un maxim.

Pentru o valoare oarecare  $\alpha \in (0, \pi/2)$  putem presupune că fluxul  $\Phi_E$  dat de înfășurarea de excitație se descompune în două componente: prima  $\Phi_x = \Phi_E \cos \alpha$ , paralelă cu axa periiilor A—B și a doua  $\Phi_y = \Phi_E \sin \alpha$  perpendiculară pe această axă. Dacă  $w_E$  este numărul de spire al înfășurării E, este ca și cum cele două componente ale fluxului ar fi date de două înfășurări fictive: una avînd  $w_x = w_E \cos \alpha$  spire, cu axa paralelă cu axa periiilor și cealaltă avînd  $w_y = w_E \sin \alpha$  spire cu axa perpendiculară pe axa periiilor. În acest fel, mașina cu repulsie cu înfășurare statorică unică și perii deplasabile constituie pentru fiecare poziție a periiilor, un tip particular de motor cu repulsie cu două înfășurări statorice și perii fixe, înfășurarea cu  $w_x$  spire corespunzînd înfășurării K și înfășurarea cu  $w_y$  spire corespunzînd înfășurării E din figura 6.9, a. Așadar condițiile de funcționare ale acestei mașini și diagramele fazoriale sînt identice cu ale mașinilor cu repulsie și cu perii fixe, cu două înfășurări statorice, prezentate în paragraful precedent.

**Caracteristicile de funcționare.** Pentru o poziție a periiilor corespunzătoare unui unghi  $\alpha$ , cuplul mașinii este dat de expresia:

$$M = k_m \Phi_y I_2 \quad (6.15)$$

în care  $\Phi_y$  este proporțional cu produsul  $w_y I$  (mașina este nesaturată) adică cu  $w_E I \sin \alpha$ . Neglijînd curentul de magnetizare al transformatorului format de înfășurarea cu  $w_x$  spire și înfășurarea rotorului avem:

$$I_2/I = w_x/w_2 = w_E \cos \alpha/w_2, \text{ adică } I_2 = I w_E \cos \alpha/w_2.$$

În acest fel cuplul mașinii dat de relația (6.15) devine:

$$M = k_m^* I^2 \sin 2\alpha \quad (6.16)$$

în care  $k_m^*$  este o constantă. Din relația (6.16) se deduce că valoarea maximă a cuplului se obține pentru  $\alpha = 45^\circ$ . În realitate dacă se ține scama

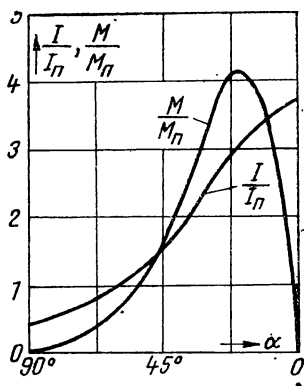


Fig. 6.12. Caracteristicile cuplului și curentului motorului cu repulsie cu o înfășurare în stator și perii deplasabile.

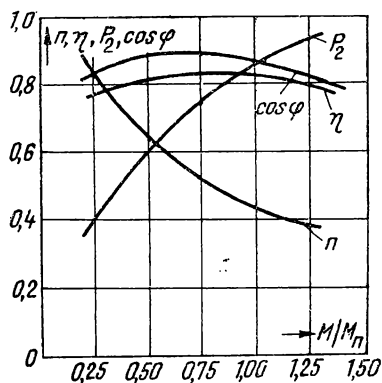


Fig. 6.13. Caracteristicile de funcționare ale motorului cu repulsie cu o înfășurare în stator și perii deplasabile.

de influența scăpărilor în mașină, de saturație și de alți factori secundari, se constată că cuplul maxim corespunde unui unghi sensibil mai mic de  $45^\circ$ . În figura 6.12 se trasează în unități relative, caracteristicile  $M/M_n = f_1(\alpha)$  și  $I/I_n = f_2(\alpha)$ , iar în figura 6.13 se prezintă, tot în unități relative, caracteristicile  $P_2$ ,  $\eta$ ,  $\cos \varphi = f(M/M_n)$  pentru decalajul  $\alpha$  corespunzător cuplului maxim. Caracteristicile mecanice ale motorului pentru diferite valori ale unghiului  $\alpha$  se arată în figura 6.14.

Pornirea motorului se face din poziția  $\alpha = \pi/2$  într-un sens sau în altul. Poziția de pornire a periiilor este și poziția de schimbare a sensului de rotație. La cuplu rezistent constant se poate obține o reglare a turației de  $(0,5 \div 1,1)$  ori turația de sincronism, iar la putere constantă reglarea turației se poate face de  $(0,75 \div 1,1)$  ori turația de sincronism.

Periile neavînd o poziție fixă pe colector mașinile cu repulsie și perii deplasabile nu pot fi prevăzute cu poli de comutație.

Mașina cu repulsie cu perii deplasabile se poate construi într-o variantă constructivă avînd o înfășurare statorică și două perechi de perii deplasabile  $AB$  și  $A'B'$ , fiecare legate între ele în scurtcircuit (fig. 6.15). Pe-

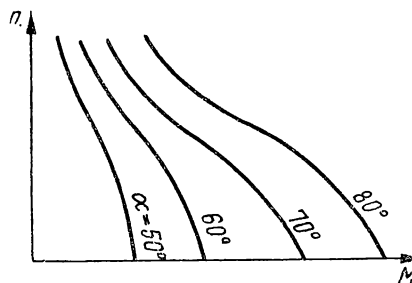


Fig. 6.14. Caracteristicile mecanice ale motorului cu repulsie cu o înfășurare în stator și perii deplasabile.

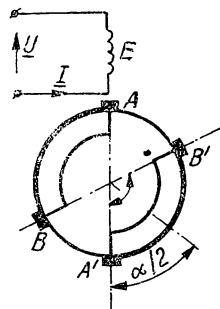


Fig. 6.15. Mașina cu repulsie cu o înfășurare statorică și două perechi de perii deplasabile.

riile  $A$  și  $A'$  sînt fixe în spațiu, decalate între ele cu unghiul  $\pi$ , axa lor fiind aceeași cu axa înfășurării statorice  $E$ . Periile  $B$  și  $B'$  sînt mobile și se deplasează simultan cu același unghi față de periile fixe. Avantajele acestei mașini în raport cu cea cu un singur rînd de perii constau în faptul că turația se reglează mai fin, deoarece cuplul mașinii este  $M = k_m^* I_2 \sin \alpha$  variind cu unghiul  $\alpha$  în loc de  $2\alpha$  și comutația este mai bună. Are însă dezavantajul de a fi mai complicată din punct de vedere al construcției și al exploatarei. Mașina aceasta se construiește pentru puteri relativ mici și are practic aceleași caracteristici de sarcină ca și mașina cu un singur rînd de perii.

## 6.2. MAȘINI DE CURENT ALTERNATIV TRIFAZATE CU COLECTOR

Aceste mașini au un stator, în general similar cu al unei mașini asincrone, și un rotor similar cu al unei mașini de curent continuu. Statorul și rotorul sînt echipate cu înfășurări.

În afară de aceste înfășurări pot exista și altele cu scopuri speciale.

În raport cu numărul de perii pe colector, se deosebesc mașini cu simplu sistem de perii care au trei perii pe dublul pas polar și mașini cu dublu sistem de perii care au șase perii pe dublu pas polar. Ultimele au o comutație mai bună în raport cu primele. Mașinile trifazate cu colector, față de mașinile asincrone, au avantajul unui reglaj economic al turației și al unui factor de putere mai bun, dar au construcție și întreținere mai complicate.

Există două categorii de motoare trifazate cu colector: unele cu caracteristică serie a vitezei și altele cu caracteristică derivație.

### 6.2.1. MAȘINA TRIFAZATĂ DERIVAȚIE CU COLECTOR ALIMENTATĂ PRIN ROTOR CU DOUĂ RÎNDURI DE PERII MOBILE

Schema de principiu a mașinii este prezentată în figura 6.16. Pe rotor sînt dispuse două înfășurări: una trifazată de curent alternativ cu inele și alta de curent continuu cu colector. Înfășurarea trifazată rotorică se leagă în stea și se alimentează de la rețeaua de alimentare de tensiune constantă  $U_1$  și frecvență constantă  $f_1$ . Înfășurarea statorică a motorului este trifazată și este conectată cu începuturile  $A, B, C$  la sistemul de perii  $a_1, a_2, a_3$  și cu sfîrșiturile  $X, Y, Z$ , la sistemul de perii  $a_2, b_2, c_2$ . Cele două sisteme de perii care leagă electric înfășurarea statorică la înfășurarea de curent continuu de pe rotor, se deplasează pe colectorul mașinii în sens invers cu ajutorul unui dispozitiv mecanic, astfel încît unghiul  $2\alpha$  dintre periile  $a_1, a_2; b_1, b_2; c_1, c_2$  să poată fi variat între zero și o anumită valoare maximă.

Prin alimentarea înfășurării rotorice trifazate cu tensiune, ia naștere în această înfășurare un cîmp magnetic învîrtitor căruia îi corespunde fluxul magnetic  $\Phi$ , care induce în înfășurarea statorică o t.e.m.  $E_{2s} = sE_2$  de frecvență  $f_2 = sf_1$ , alunecarea  $s$  depinzînd de viteza de rotație a rotorului, (tensiunea  $E_2$  ar fi indusă în stator cînd rotorul mașinii este imobil). Același flux magnetic  $\Phi$  produce în înfășurarea de curent continuu de pe rotor, între perii, o t.e.m.  $E_k$ , a cărei mărime este dată de decalajul  $2\alpha$  dintre periile omoloage și a cărei frecvență este tot  $f_2 = sf_1$ . T.e.m.  $E_k$  este transmisă

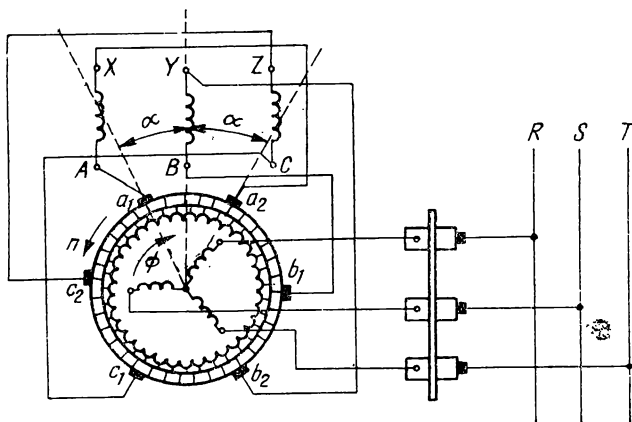


Fig. 6.16. Schema mașinii trifazate, derivație cu colector, alimentată prin rotor cu două rînduri de peri mobile.

electric statorului; prin urmare, t.e.m. rezultantă din stator va fi  $sE_2 + E_k$ , dacă  $E_k$  are același sens cu  $sE_2$ . Odată cu creșterea t.e.m. din stator crește și curentul indus  $I_2$  și în același timp crește și cuplul electromagnetic al mașinii în raportul  $(sE_2 + E_k)/sE_2$ . Deoarece cuplul rezistent la arbore rămîne constant, mărirea cuplului electromagnetic duce la mărirea turației mașinii pînă cînd scăderea alunecării duce la stabilirea echilibrului. Mașina funcționează la o nouă alunecare  $s_k$  dată de relația  $s_k E_2 = sE_2 - E_k$ , care se mai poate scrie sub forma

$$s_k = s - \frac{E_k}{E_2}, \quad (6.17)$$

Se constată că prin introducerea în stator a t.e.m.  $E_k$  în fază cu tensiunea  $E_{2s}$ , alunecarea mașinii scade deci viteza crește. Dacă  $E_k/E_2 > s$ , alunecarea  $s_k$  devine negativă și mașina funcționează la suprasincronism. Printr-un raționament analog deducem că dacă t.e.m. suplimentară  $E_k$  este în opoziție de fază cu t.e.m. principală  $E_{2s}$ , expresia alunecării  $s_k$  va fi:

$$s_k = s + \frac{E_k}{E_2}, \quad (6.18)$$

în care caz turația mașinii scade odată cu creșterea lui  $E_k$ .

*Reglajul vitezei.* Să urmărim funcționarea mașinii pe o singură fază, de exemplu fază  $A-X$ , a celeiași fenomene aparînd simultan, în mod identic și în celelalte două faze. Fie poziția inițială a periilor  $a'_1$  și  $a'_2$  în care acestea se află chiar pe axa înfășurării statorice  $A-X$  ( $2\alpha = 0$ ). În această situație  $E_k = 0$  și mașina funcționează ca o mașină asincronă obișnuită cu alimentare rotorică, al cărui rotor se învîrtește în sens invers cîmpului magnetic învîrtitor. Dacă decalăm periile cu unghiul  $2\alpha$  cum se arată în figura 6.17,  $a$  apare t.e.m.  $E_k$  care se suprapune peste t.e.m. statorică fiind în opoziție de fază, turația mașinii scăzînd odată cu creșterea unghiului  $2\alpha$ . (turații subsincrone). Dacă deplasăm periile cum se arată în figura 6.17,  $b$  tensiunile  $E_{2s}$  și  $E_k$  sînt în fază deci odată cu creșterea lui  $2\alpha$  crește și turația mașinii (turații suprasincrone). Deoarece t.e.m.  $E_k$  este proporțională cu numărul de spire al înfășurării de curent continuu cuprinse pe rotor între

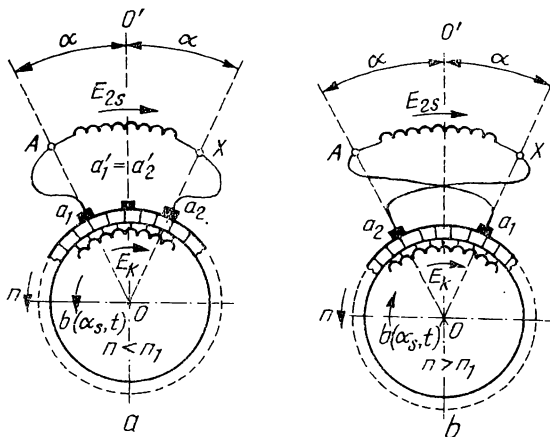


Fig. 6.17. Conectarea înfășurărilor statorice la colector pentru mașina derivație, alimentată prin rotor:  
*a* — tensiunile  $E_{2s}$  și  $E_k$  sînt în antifază; *b* — tensiunile  $E_{2s}$  și  $E_k$  sînt în fază.

periile  $a_1$  și  $a_2$ , rezultă că viteza motorului este minimă pentru  $\alpha = +\pi/2$  și maximă pentru  $\alpha = -\pi/2$ .

*Ecuatiile mașinii.* Dacă  $U_1$  este tensiunea aplicată rotorului,  $R_1$  și  $L_{1\sigma}$  sînt parametrii pe fază ai rotorului, ecuația de tensiuni a acestuia se scrie:

$$\underline{U}_1 = R_1 \underline{I}_1 + j \omega L_{1\sigma} \underline{I}_1 - \underline{E}_1. \quad (6.19)$$

Fie  $\underline{I}_2$  curentul secundar (statoric) al mașinii corespunzător t.e.m.  $sE_2$ , care la cuplu rezistent constant, rămîne constant. Se notează cu  $\underline{I}_{2k}$  curentul secundar fictiv corespunzător t.e.m. suplimentare  $\underline{E}_k$  și  $\underline{I}_{2s}$  curentul corespunzător tensiunii  $s_k \underline{E}_2$ . Luînd în seamă relația (6.18) se poate scrie relația, în mărimi raportate la primar (la rotor)

$$\underline{I}'_2 = \underline{I}'_{2s} - \underline{I}'_{2k} \quad (6.20)$$

relație care se aplică pentru situația desenată în figura 6.17, *a*.

Relația între curenții primar și secundar va fi:

$$\underline{I}_1 = \underline{I}_0 - \underline{I}'_2 = \underline{I}_0 - \underline{I}'_{2s} + \underline{I}'_{2k} \quad (6.21)$$

în care  $\underline{I}_0$  este curentul de mers în gol al mașinii, ecuația referindu-se la figura 6.17, *a*.

*Diagrama fazorială.* Pentru poziția periilor ca în figura 6.17, *a*, diagrama fazorială se prezintă în figura 6.18. Asemănător se poate construi și diagrama fazorială a mașinii pentru cazul poziției periilor ca în figura 6.17, *b* cînd mașina funcționează la turații suprasincrone.

*Compensarea factorului de putere.* La viteza subsincronă, mașina derivație cu alimentare rotorică funcționează cu un factor de putere mic. Îmbunătățirea acestuia se poate face decalînd axa  $OO'$  a înfășurării de curent continuu cuprinsă între periile  $a_1$  și  $a_2$  în raport cu axa  $OO'$  a înfășurării statorice  $AX$ , cu unghiul  $\beta$  în sens contrar sensului de rotație al cîmpului învîrtitor (fig. 6.19).

Acest lucru se poate realiza practic decalînd periile  $a_1$  și  $a_2$  cu unghiuri inegale  $\alpha_1$  și  $\alpha_2$  în raport cu axa  $OO'$ . ( $\beta = (\alpha_1 - 2\alpha_2)/2$ ).



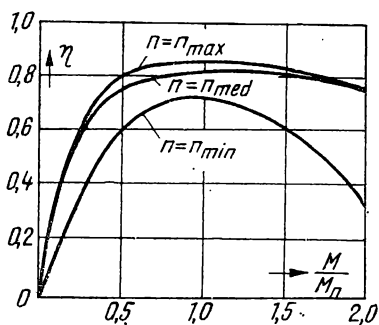


Fig. 6.22. Caracteristicile randamentului mașinii trifazate derivație alimentată prin rotor.

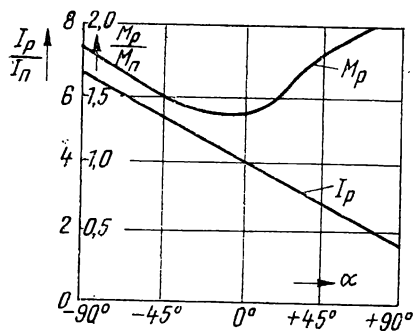


Fig. 6.23. Cuplul și curentul de pornire în funcție de unghiul  $\alpha$ , pentru mașina trifazată derivație alimentată prin rotor.

## 6.2.2. MAȘINA TRIFAZATĂ DERIVAȚIE CU COLECTOR ALIMENTATĂ PRIN STATOR

Înfășurarea primară a mașinii este înfășurarea statorică. Aceasta este o înfășurare trifazată obișnuită care se conectează la rețeaua de alimentare. Tot pe stator se mai poate plasa încă o înfășurare de curent alternativ conectată la periile mașinii direct sau cu ajutorul unor dispozitive auxiliare. Această înfășurare se numește de reglare. Rolul acesteia poate fi îndeplinit de înfășurarea primară, în care caz aceasta se prevede cu prize. Rotorul are o înfășurare de curent continuu conectată la colector care poate fi prevăzută cu simplu sistem de perii sau cu dublu sistem de perii, mobile sau fixe. Dacă periile sînt fixe pe colector atunci faza tensiunii auxiliare se modifică cu dispozitive anexe exterioare mașinii, cum ar fi: transformatoare reglabile, schimbătoare de fază și regulatoare de inducție. Mașinile derivație cu alimentare statorică se construiesc pentru puteri relativ mari pînă la 1500 ÷ 1800 kW.

Înfășurarea rotorică și colectorul se dimensionează pentru toată puterea mașinii. Din acest motiv colectorul mașinii are dimensiuni mari, indiferent de domeniul de modificare a turației. În figura 6.24 se dau două scheme ale unor mașini trifazate derivație cu alimentare statorică cu simplu sistem de perii, tensiunea suplimentară fiind obținută de la înfășurarea statorică, autotransformatoric (fig. 6.24, a) sau obținută de la o înfășurare statorică separată (fig. 6.24, b). În figura 6.25 se prezintă o mașină derivație cu alimentare prin stator cu dublu sistem de perii și cu dispozitive auxiliare pentru obținerea tensiunii suplimentare la perii.

Curba cuplului mașinii se aseamănă cu aceea a mașinii normale asincrone. La mersul subsincron cuplul critic în regim de motor scade, și crește cel în regim de generator (fig. 6.26) iar la suprasincronism lucrurile se petrec invers. Caracteristicile mecanice ale motorului se dau în figura 6.27. După cum se vede pentru  $n < n_1$  (subsincronism) variația turației cu cuplul este cu atît mai pronunțată cu cît turația de mers în gol este mai mică. Acest lucru se întîmplă deoarece cuplul critic al mașinii scade.

**Comutația.** Procesul de comutație se desfășoară diferit la cele două tipuri constructive principale ale mașinii trifazate derivație. Tensiunea

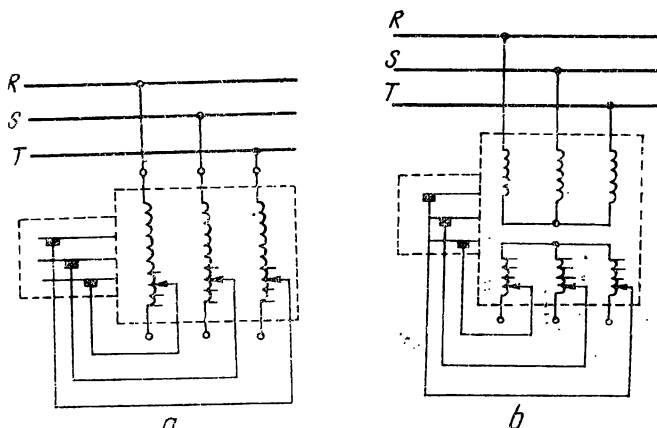


Fig. 6.24. Mașini trifazate în derivație, cu colector, alimentate prin stator.

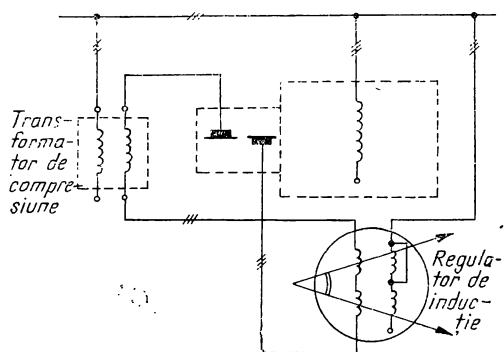


Fig. 6.25. Mașină trifazată în derivație cu dublu sistem de perii, cu regulator de inducție dublu și transformator de compensare.

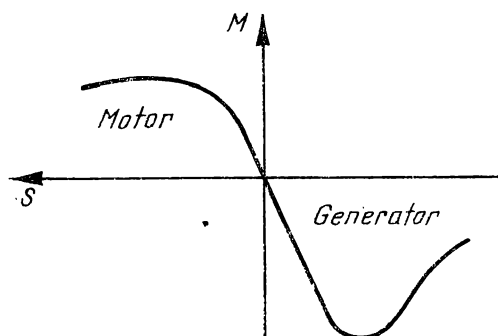


Fig. 6.26. Curba cuplului mașinii trifazate derivație cu alimentare în stator, la funcționarea subsincronă.

de autoinducție  $U_a$  depinde de curentul periei și de viteza periferică a colectorului la ambele tipuri de mașini. Tensiunea de transformare din secția care comută  $U_i$ , indusă de câmpul magnetic învîrtitor, la mașina alimentată în stator, variază liniar cu frecvența de alunecare, fiind nulă la sincronism, în timp ce la mașina alimentată în rotor este independentă de turație cum se vede și din figura 6.28. La sincronism și în apropierea sincronismului mașina alimentată prin stator comută mai bine decît cea alimentată prin rotor. Din această cauză puterea maximă pentru care se poate construi o mașină alimentată în stator e mai mare decît cea pentru care se poate construi o mașină alimentată în rotor. Domeniul de reglare al turației este însă mai mare la mașina alimentată prin rotor.

Pentru funcționarea normală a acestor mașini trebuie să se aibă în vedere dimensionarea optimă a înfășurării de curent continuu pentru eliminarea scînteilor la colector.



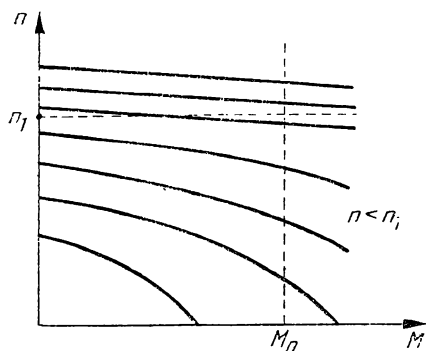


Fig. 6.27. Caracteristicile mecanice ale unui motor trifazat derivație alimentat în stator.

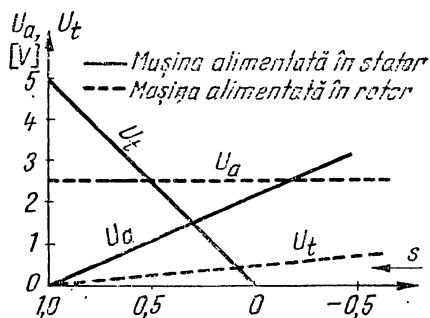


Fig. 6.28. Dependența t.e.m.  $U_t$  și  $U_a$  de alunecare, la mașinile trifazate derivație alimentate în stator și în rotor.

### 6.2.3. MAȘINA TRIFAZATĂ SERIE CU COLECTOR

Mașina serie trifazată cu colector are înfășurarea statorică asemănătoare mașinii asincrone obișnuite, iar cea rotorică asemănătoare mașinii trifazate derivație alimentată prin stator. Mașina poate avea sistem simplu de perii sau sistem dublu de perii. Înfășurarea statorică este conectată cu înfășurarea rotorică prin intermediul periiilor. Conectarea se poate face direct (fig. 6.29, *a*) sau cel mai adesea prin intermediul unui transformator intermediar  $T_r$  (fig. 6.29, *b*). Transformatorul are rolul de a reduce tensiunea rotorică și implicit de a reduce scînteile la colector.

Datorită comutației, turația mașinii nu poate depăși decît cu 10% pe cea de sincronism. Mașina trifazată serie se utilizează la acționările electrice ale mașinilor unelte care necesită o modificare ușoară a turației, cuplul de pornire mare, pornire liniștită și variația turației cu sarcina, cum ar fi ventilatoarele, pompele, aparatele de ridicat, laminoarele etc.

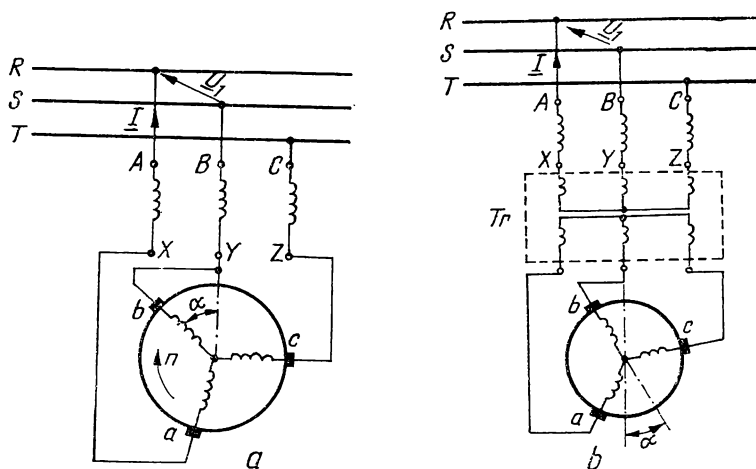


Fig. 6.29. Schema mașinii trifazate serie cu colector:  
*a* — conectarea directă la rețea; *b* — conectarea la rețea printr-un transformator.

### 6.2.3.1. MAȘINA TRIFAZATĂ SERIE CU UN SINGUR RÎND DE PERII

Schemele acestei mașini sînt prezentate în figura 6.29. Fie  $U_1$  tensiunea de alimentare a motorului, de frecvență  $f_1$ . Se presupune că mașina este nesaturată. Curentul  $I$  absorbit de motor produce atît în stator cît și în rotor cîte un cîmp magnetic învîrtitor. Ambele se rotesc în același sens și cu aceeași viteză și anume aceea de sincronism  $n_1 = f_1/p$ . În figura 6.30,  $a$  și  $b$  se arată pozițiile limită ale periilor motorului trifazat serie iar în figura 6.30,  $c$  o poziție oarecare caracterizată de unghiul  $\alpha$ . Înfășurarea statorică crează fluxul  $\Phi_1$ , cea secundară  $\Phi_2$ , iar cu  $\Phi_r$  se notează fluxul resultant. Poziția  $\alpha = 0$  a periilor (fig. 6.30,  $a$ ), definește regimul de mers în gol. Pentru această poziție  $\Phi_1$  și  $\Phi_2$  sînt în fază, iar cuplul exercitat asupra rotorului este nul. Dacă  $\alpha = 180^\circ$  (fig. 6.30,  $b$ ) fluxurile  $\Phi_1$  și  $\Phi_2$  sînt în antifază și cuplul este de asemenea nul. Această poziție se numește de scurtcircuit. Dacă decalăm periile cu un unghi oarecare  $\alpha$  în sens contrar sensului de rotație a cîmpului magnetic învîrtitor resultant, cu același unghi se deplasează și axele înfășurărilor fazelor omoloage ale statorului și rotorului, astfel încît apare un cuplu produs de atracția polilor de nume contrar și de respingerea polilor de același nume corespunzători celor două cîmpuri magnetice învîrtitoare statorice și rotorice.

Poziția de gol a periilor este poziția de schimbare a sensului de rotație al mașinii. Schimbarea sensului de rotație nu se face însă niciodată dînd periilor decalaje  $\alpha$  în sensul rotației cîmpului magnetic învîrtitor resultant, deoarece în acest caz frecvența curenților rotorici devine mai mare decît frecvența  $f_1$  ducînd la majorarea pierderilor în fier și înrăutățirea comutației. Sensul de rotație se schimbă prin schimbarea succesiunii fazelor dintre rețea și stator.

*Ecuatiile mașinii.* Dacă  $R_1$ ,  $R_2$  și  $L_{\sigma 1}$ ,  $L_{\sigma 2}$  sînt rezistențele și inductivitățile de dispersie ale statorului și rotorului, ecuația de tensiuni a motorului este următoarea:

$$\underline{U}_1 = (\underline{R}_1 + R_2) \underline{I} + j\omega (L_{\sigma 1} + L_{\sigma 2}) \underline{I} - \underline{E}_1 - \underline{E}_{2s} \quad (6.22)$$

în care  $\underline{E}_1$  și  $\underline{E}_{2s}$  sînt t.e.m. pe fază induse de fluxul magnetic resultant  $\Phi_r$  în stator și în rotor, tensiuni defazate cu unghiul  $\alpha$ .

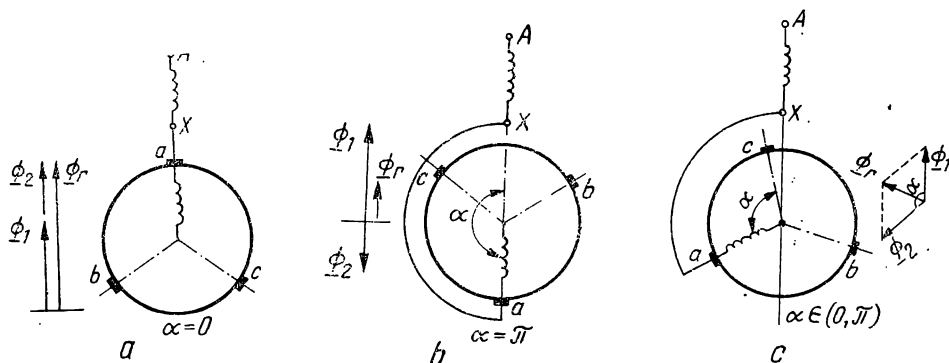


Fig. 6.30. Poziții ale periilor pe colector pentru mașina trifazată serie:  
 $a$  — poziția de mers în gol;  $b$  — poziția de scurtcircuit;  $c$  — poziția pentru unghiul  $\alpha$  oarecare.

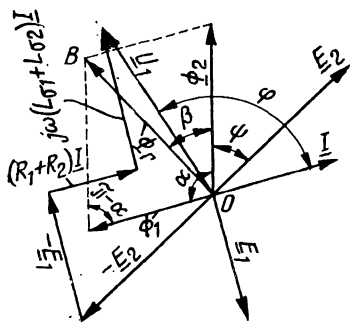


Fig. 6.31. Diagrama fazorială a mașinii trifazate serie.

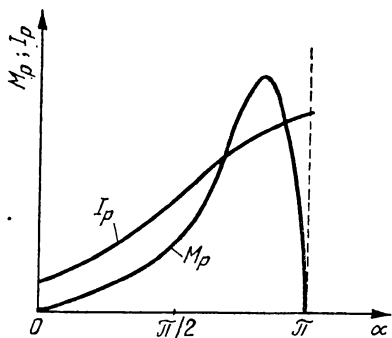


Fig. 6.32. Caracteristicile de pornire ale mașinii trifazate serie.

Diagrama de fazoni corespunzătoare ecuației (6.22) este aceea din figura 6.31. Cuplul mașinii se determină cu relația generală  $M = k_m I \Phi_r \cos \psi$  în care  $\cos \psi = \sin \beta$  (fig. 6.31) iar din triunghiul  $OAB$  al fluxurilor, aplicînd teorema sinusului  $\sin \beta = \frac{\Phi_1}{\Phi_r} \sin \alpha$ . Expresia cuplului mașinii devine:

$$M = k_m I \Phi_1 \sin \alpha = k_m^* I^2 \sin \alpha \quad (6.23)$$

adică cuplul motorului serie cu colector este proporțional cu pătratul curentului și depinde de unghiul  $\alpha$  de decalare a periiilor.

*Pornirea și reglajul turației.* Aceste operații se fac prin decalarea periiilor pe colector și depind de valoarea unghiului  $\alpha$ . În figura 6.32 se arată caracteristicile de pornire ale mașinii trifazate serie în funcție de unghiul de decalaj  $\alpha$ . Dacă  $\alpha = 0$ , rotorul stă pe loc, curentul absorbit este minim și în întregime magnetizant. Dacă  $\alpha$  crește curentul absorbit de motor va crește, odată cu el crește și cuplul și motorul pornește.

Comutația mașinii la pornire este înrăutățită de t.e.m. statică indusă în spiarele care comută. Această tensiune este maximă la pornire ( $s = 1$ ) și nulă la sincronism ( $s = 0$ ).

În general, motoarele serie trifazate cu colector funcționează cu  $\alpha > \pi/2$ , pentru a avea un regim stabil de funcționare.

### 6.2.3.2. MAȘINA TRIFAZATĂ SERIE CU DOUĂ RÎNDURI DE PERII

Mașina are pe colector două rînduri de perii: unul fix și altul mobil. În figura 6.33 se arată schema electrică a mașinii trifazate serie cu două rînduri de perii, alimentată cu ajutorul unui transformator coborîtor de tensiune  $T_r$ . Periiile fixe  $a_1, a_2, a_3$  sînt așezate pe axele celor trei faze statice iar periiile mobile  $b_1, b_2, b_3$  se deplasează pe colector.

Porțiunea de lucru a înfășurării rotorice este aceea situată între periiile  $a_1-b_1, a_2-b_2$  și  $a_3-b_3$ . Poziția de gol a motorului este aceea pentru care  $\alpha = 0$  și cea de scurtcircuit pentru  $\alpha = 180^\circ$ . Cuplul mașinii este nul în cele două poziții. Pentru o poziție oarecare  $\alpha$  a periiilor, unghiul dintre axele înfășurărilor a două faze este  $\alpha/2$  și mașina se echivalează cu cea cu un singur rînd de perii, dar decalate cu  $\alpha/2$ . În figurile 6.34, 6.35, 6.36 se pre-

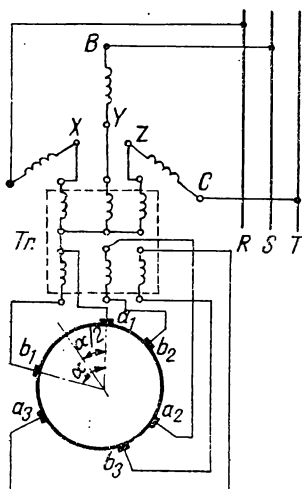


Fig. 6.33. Schema mașinii trifazate serie cu două rînduri de perii.

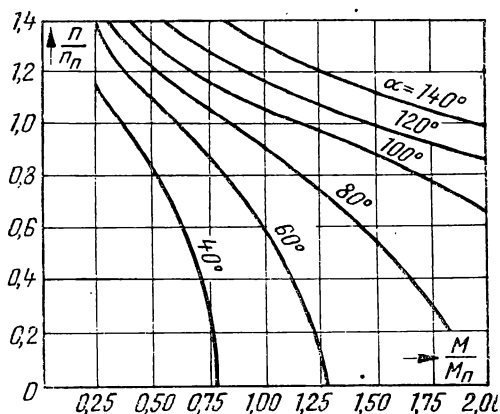


Fig. 6.34. Caracteristicile mecanice ale motorului trifazat serie cu două rînduri de perii.

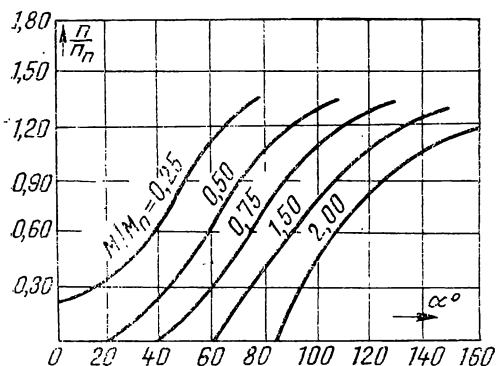


Fig. 6.35. Caracteristicile vitezei de rotație pentru motorul trifazat serie cu două rînduri de perii.

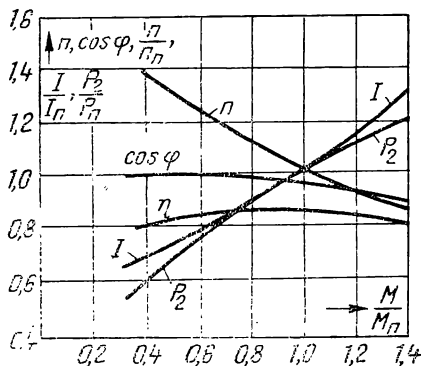


Fig. 6.36. Caracteristicile defuncționare ale motorului trifazat serie cu două rînduri de perii.

zintă caracteristicile de funcționare. Curentul prin stator se modifică cu curentul de magnetizare al transformatorului intermediar; la subsincronism turația este cu atît mai mare cu cît transformatorul este mai saturat, la suprasincronism se reduce turația, în raport cu situația cînd el ar lipsi.

### 6.3. MOTOARE ASINCRONE COMPENSATE ȘI COMPENSATOARE DE FAZĂ

Compensarea factorului de putere se face introducînd în înfășurarea rotorică o tensiune suplimentară  $E_k$ , motorul este prevăzut cu o înfășurare cu colector. Dacă această înfășurare este cuprinsă în construcția motorului

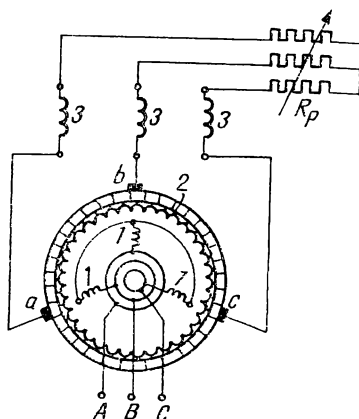


Fig. 6.37. Motor asincron compensat cu alimentare rotorică.

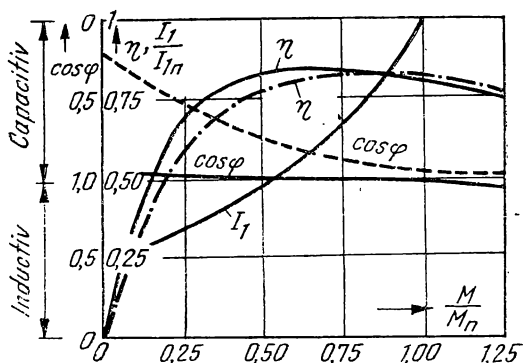


Fig. 6.38. Caracteristicile randamentului, factorului de putere și curentului unui motor asincron compensat, cu alimentare rotorică.

(puteri reduse) atunci se numește motor asincron compensat. La puteri mari și turații mici mașina cu colector formează o unitate separată. Pentru ameliorarea factorului de putere numai în sarcină se utilizează compensatoare de fază autoexcitate, iar pentru ameliorarea factorului de putere și la mersul în gol, se folosesc compensatoare de fază cu excitație separată

### 6.3.1. MOTORUL ASINCRON COMPENSAT

Poate fi cu alimentare rotorică (fig. 6.37) sau satorică; compensarea factorului de putere al motorului se face deplasând periile  $a, b, c$  din poziția inițială la un unghi  $\alpha$  în sens opus rotației câmpului magnetic învârtitor. În figura 6.38 sînt prezentate caracteristicile de funcționare ale motorului compensat (linie plină) și curba factorului de putere la supracompensare maximă (linie întreruptă).

### 6.3.2. COMPENSATOARE DE FAZĂ AUTOEXCITATE

Este format dintr-un motor asincron cu rotor bobinat  $MA$ , un compensator de fază autoexcitat  $CF$  antrenat de motorul auxiliar  $M_{aux}$ , (fig. 6.39). Dacă motorul asincron are viteza  $n < 750$  rot/min, compensatorul se cuplează cu motorul  $MA$  și se elimină  $M_{aux}$ . Din caracteristicile de funcționare (fig. 6.40) rezultă că la mașina compensată turația se micșorează (curbele cu linie plină) în timp ce factorul de putere crește.

Se mai întîlnesc în exploatare compensatoare de fază autoexcitate cu înfășurarea satorică în scurtcircuit; compensatoare de fază autoexcitate serie, care au înfășurarea satorică legată la cea rotorică prin intermediul periilor, compensatoare de fază cu excitație separată (fig. 6.41), la care excitația compensatorului este luată de la aceeași rețea cu motorul  $MA$ , prin intermediul unui transformator  $T$ .

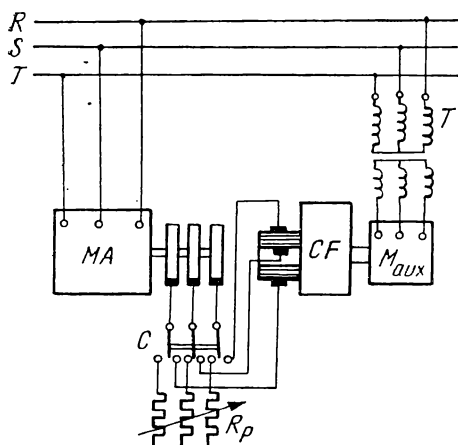


Fig. 6.39. Schema unui motor asincron cu compensator de fază autoexcitat.

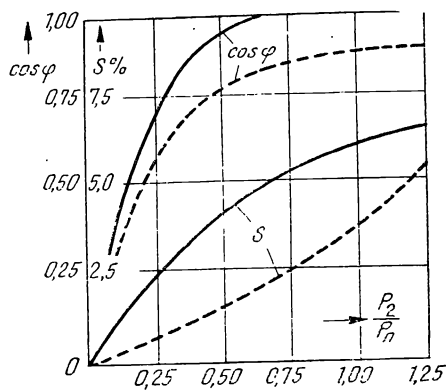


Fig. 6.40. Factorul de putere și alunecarea unui motor asincron trifazat cu și fără compensator.

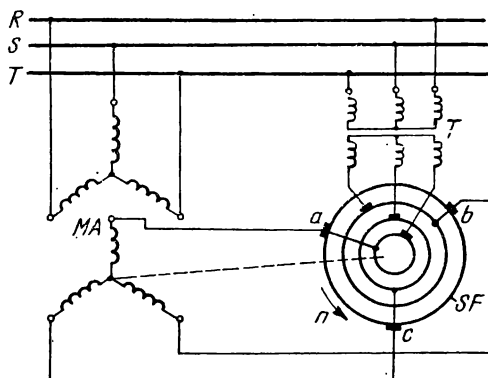


Fig. 6.41. Compensator de fază cu excitație separată.

# MOTOARE ELECTRICE ÎN SISTEMLOR DE ACȚIONARE ELECTRICĂ

## 7.1. STRUCTURA SISTEMELOR ELECTRICE DE ACȚIONARE

Un sistem este un ansamblu de elemente (obiecte) cu două proprietăți: sînt interconectate și servesc unui anumit scop funcțional comun. Prin sistem electric de acționare (SEA) se înțelege un ansamblu de elemente conectate între ele care au ca scop transformarea energiei electrice în energie mecanică utilă în diverse procese.

Viteza de rotație  $\Omega_m$  este asigurată de un motor electric prin intermediul unui reductor, modificarea tensiunii  $U_d$  asigură viteza  $\Omega_m$ ; tensiunea  $U_m$  se modifică prin intermediul tensiunii de comandă  $U_c$  (fig. 7.1). SEA are două roluri: producerea energiei mecanice din energie electrică și transmiterea fluxului de comenzi. SEA se reprezintă prin: scheme de principiu în care se pune în evidență transmiterea fluxului de energie; scheme bloc în care se pune în evidență transmiterea fluxului de comenzi (fig. 7.2). Sis-

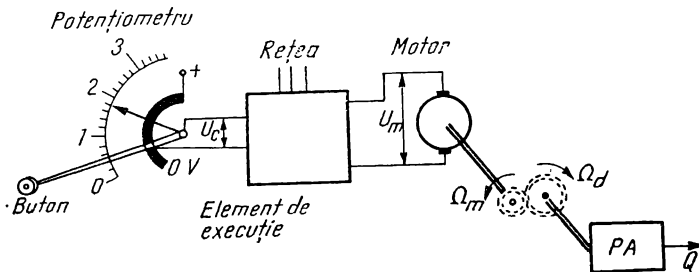


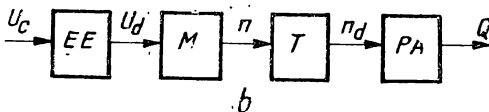
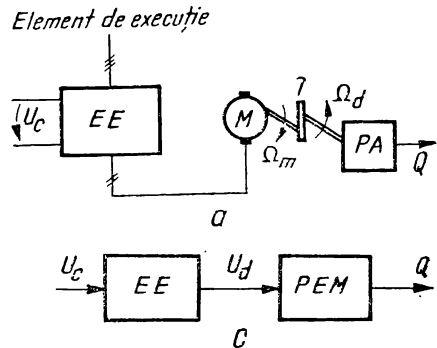
Fig. 7.1. Sistem de acționare a unei instalații tehnologice.

Fig. 7.2. Schema de principiu (a):

EE — elemente de execuție, M — motor, T — transmisie, PA — procesul acționat, Q — înărmirea de ieșire a procesului acționat;

Schema funcțională (b) Schema funcțională redusă (c):

PEM — procesul electromecanic.



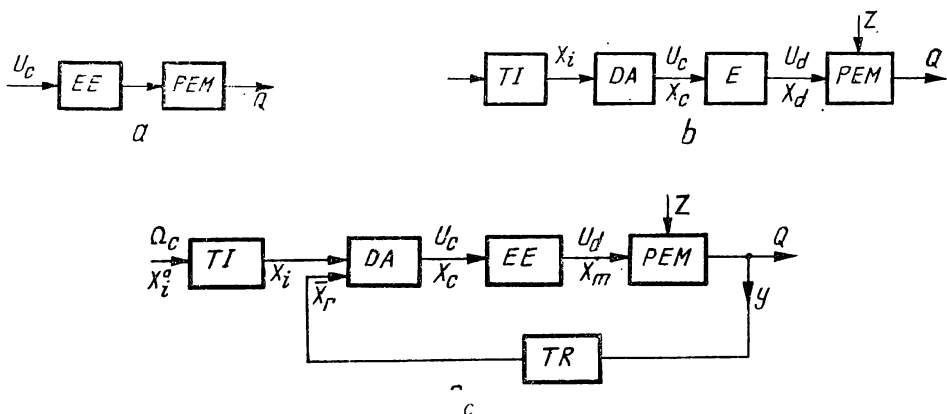


Fig. 7.3. Sisteme de comandă:

a — sisteme de comandă neautomată; b — sistem de comandă automată; c — sistem de comandă automată în circuit închis (sistem de reglare automată). TI — traductor de intrare; TR — traductor de reacție; DA — dispozitiv de automatizare; Z — perturbare.

temele de comandă, (fig. 7.3) pot fi: sisteme de comandă neautomată; sisteme de comandă automată; sisteme de reglare automată (SRA).

La SRA mărimea de intrare  $x_i$ , impusă de traductorul de intrare (TI) se compară cu mărimea  $x_r$  (mărime de reacție) rezultată din măsurarea mărimii de ieșire  $Q$  cu un al doilea traductor (TR). Diferența  $\epsilon = x_i - x_r$ , numită abatere sau eroare, servește pentru comanda elementului de execuție (EE). Dispozitivul de automatizare (DA) are rolul de a reduce eroarea  $\epsilon$ . În afara transmiterii comenzilor de la intrarea  $x_i$  la ieșire, pe calea DA-EE-PA (PA — procesul acționat) se mai transmit și comenzi de la ieșirea  $Q$  spre intrare prin traductorul de reacție (TR), legătură denumită legătură inversă sau reacție (fig. 7.3, c). SRA este mai complex dar se bazează pe utilizarea reacției, PA poate avea mai multe mărimi de ieșire (fig. 7.4),  $x_{i2}$  fiind constant nu necesită un alt traductor. Mărimile de comandă  $x_{c1}$ ,  $x_{c2}$  păstrează anumite valori pentru mărimile de ieșire  $y_1$ ,  $y_2$ . În sistemele multivariabile (un număr oarecare de intrări și ieșiri), s-a impus utilizarea calculatoarelor rapide și de mare capacitate. În țara noastră se fabrică curent elemente de automatizare electrice, pneumatice sau hidraulice (FEA, UNIDIN, UNIOLOG, USIOLOG)..

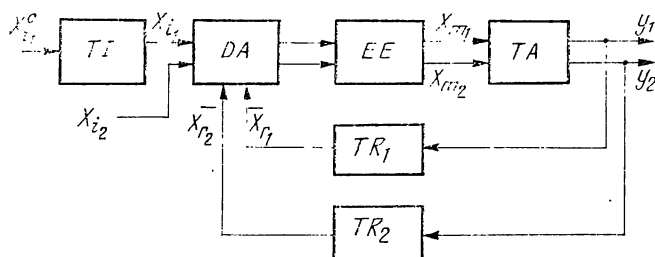


Fig. 7.4. Sistem de reglare automată cu două intrări și două ieșiri.



## 7.2. ELEMENTELE SISTEMELOR AUTOMATE

Structura oricărui SEA cuprinde 4 categorii de elemente: procesul acționat, transmisia, motorul electric și elementul de execuție. Este necesară cunoașterea caracteristicilor PA care prin funcțiile și performanțele sale determină calculul și construcția (sau alegerea) transmisiei, motorului, elementului de execuție și după necesitate a DA și traductoarelor.

### 7.2.1. CARACTERISTICILE PROCESELOR ACȚIONATE (PA)

Caracteristicile PA necesare la proiectarea SEA pot fi grupate în 3 categorii: caracteristicile statice, caracteristicile dinamice, ciclul de funcționare al PA.

a) Caracteristicile statice se împart în 3 grupe: caracteristica mecanică, gama de valori ale vitezei de rotație în regim permanent, precizia menținerii vitezei de rotație în regim permanent. Caracteristica mecanică a PA reprezintă dependența între cuplul rezistent static  $M_r$ , la arborele de antrenare și o mărime referitoare la mișcare (viteză, unghi, spațiu parcurs). Astfel există PA cu  $M_r$  dependent de viteza de rotație  $\Omega$ , PA cu  $M_r$  dependent de spațiul parcurs  $x$ , (fig. 7.5), PA cu  $M_r$  dependent de unghiul axului, PA cu  $M_r$  variabil aleatoriu. Gama de viteze este funcție de PA: cu funcționare la o singură viteză, cu funcționare la câteva valori discrete de viteze, cu funcționare la o gamă continuă de viteze definită prin raportul  $\gamma = \Omega_{\max}/\Omega_{\min}$ . Precizia menținerii vitezei se măsoară prin abaterea față de valoarea dorită  $\Omega_0$ :  $\Delta\Omega_p \% = 100(\Omega_0 - \Omega_p)/\Omega_0$ , uneori precizia este ridicată  $\Delta\Omega_p < 0,5\%$ .

b) Caracteristicile dinamice stabilesc ce valori de cupluri și viteze sînt necesare în regim tranzitoriu (diagrame de cupluri și diagrame de viteze). PA prezintă mărimi fizice a căror variație în timp trebuie să aibă o formă optimă, dacă aceste mărimi nu pot depăși anumite limite (viteza, accelerație) în timpul procesului tranzitoriu se spune că PA are restricții, în caz contrar este PA fără restricții (fig. 7.6).

c) Ciclul de funcționare al PA reprezintă intervalul pe diagrama de cupluri (sau viteze) în care are loc o variație tipică, după care diagrama se repetă identic (fig. 7.7).

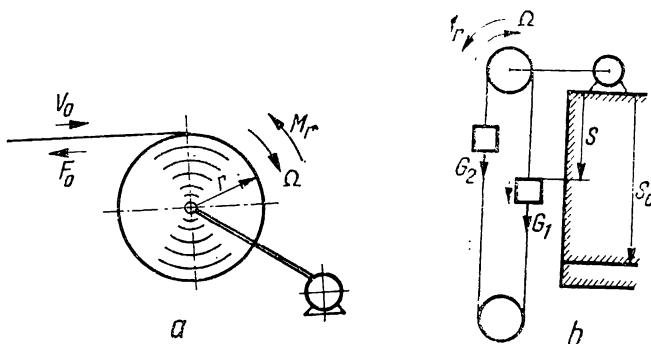


Fig. 7.5. Procese acționate cu  $M_r$  dependent de spațiul parcurs:  
a - înfășurătoare de benzi; b - ascensor de mină fără cablu de echilibrare.

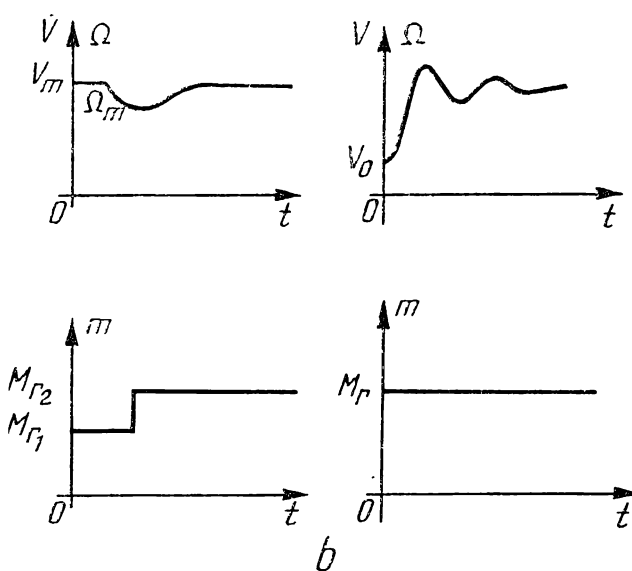
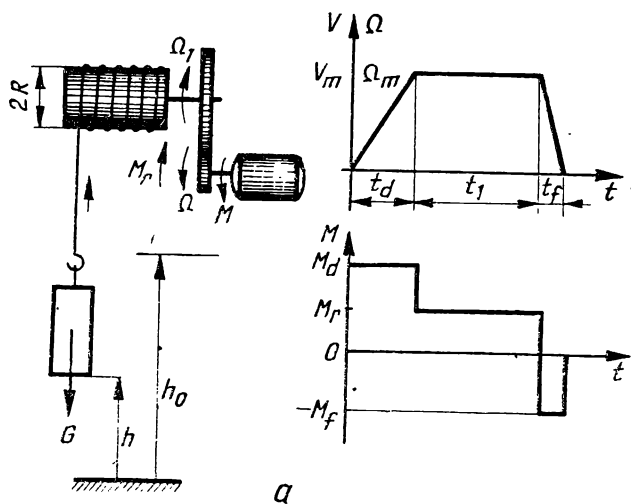


Fig. 7.6. Diagrama de viteze și de cupluri:  
a - PA - cu restricții, b - PA - fără restricții.

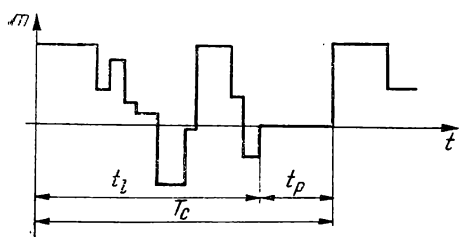


Fig. 7.7. Ciclu de funcționare al PA:  
 $T_c$  - durata ciclului,  $t_l$  - timpul de lucru;  $t_p$  - timpul de pauză.

## 7.2.2. TRANSMISII

Transmisiile se împart în: nereglabile și reglabile. Transmisiile nereglabile (reductor, șurub fără frîne etc.) sînt cele utilizate în SEA moderne și se încadrează în structura din figura 7.2, *a*. Transmisiile reglabile sînt transmisii care modifică viteza arborelui antrenat față de arborele de antrenare, în funcție de o comandă exterioară; au precizie redusă și randament scăzut. În principiu transmisiile reglabile sînt formate din două semicuple: una conducătoare, montată pe arborele motorului și alta condusă, montată pe arborele mașinii de lucru. Legătura dintre semicuple se realizează printr-un semnal electric.

*Cuplaje cu fricțiune* (fig. 7.8) cuprind două semicuple (1 și 2), semicupla 2 se poate deplasa pe arborele 4 și este atrasă de semicupla 1 cînd înfășurarea de comandă 5 este alimentată. Semicuplele au pe suprafața interioară discuri confecționate din material cu coeficient mare de frecare (de exemplu materiale metalo-ceramice). Cuplajele cu fricțiune au pierderi importante care produc încălziri și uzura rapidă a discurilor de fricțiune; se utilizează în general la cuplări sau decuplări.

*Cuplajele cu legătură electromecanică* (fig. 7.9). Dacă înfășurarea 5 este alimentată, atunci datorită cîmpului magnetic din interiorul carcasei 6, particulele magnetice în suspensie se vor orienta după liniile de cîmp, iar amestecul ulei-pulbere magnetică va deveni cu atît mai vîscos cu cît curențul de excitație este mai mare și discul 2 va fi antrenat de semicupla arborelui motor. Aceste cuplaje au o uzură redusă, dar construcție complicată și posibilitatea de gripare la viteze mari cînd pulberea este aglomerată de forța centrifugă.

*Cuplajul cu alunecare* (fig. 7.10) în varianta cu indusul din fier masiv cuprinde semicuplele 1 și 2. Semicupla 2 se execută din tole circulare cu creștături în care se introduce înfășurarea 5 alimentată prin sistemul perii-inele colectoare 6. Prin alimentarea înfășurării 5, în semicupla 1, considerată în mișcare, se induc curenți turbionari și în consecință se produce un cuplu care va antrena inductorul. Permite o variație a vitezei arborelui an-

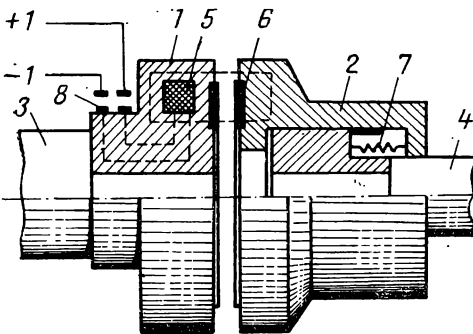


Fig. 7.8. Cuplaj cu fricțiune:

1,2 — semicuple; 3,4 — arborii; 5 — înfășurare de excitație;  
6 — discuri în formă de coroană circulară; 7 — resort;  
8 — contacte alunecătoare.

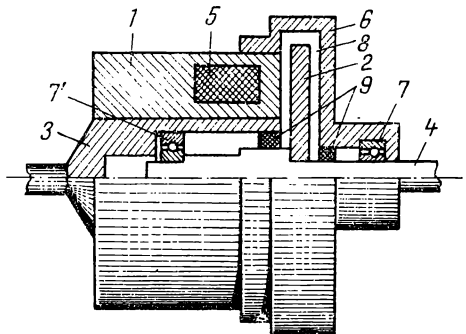


Fig. 7.9. Cuplaj electric cu pulbere fero-magnetică:

1,2 — semicuple; 3,4 — arbori; 5 — înfășurarea de excitație;  
6 — carcasă, 7 — rulment; 8 — pulbere magnetică; 9 — garnituri de etanșare.

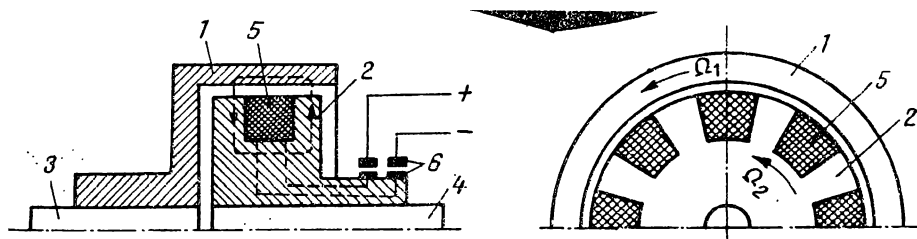


Fig. 7.10. Cuplaj electric cu alunecare:

1,2 — semicuple; 3,4 — arbori; 5 — înfășurare de excitație; 6 — sistem de perii și inele colectoare.

trenat în limite largi, însă prezintă dificultăți la inversarea sensului de rotație.

Caracteristicile statice ale transmisiilor sînt luate în considerație prin raportul de transmisie și prin randament și sînt date de constructor.

### 7.2.3. ELEMENTE DE EXECUȚIE

Elementul de execuție are două roluri în sistem: asigurarea variației acelei mărimi fizice care modifică caracteristicile de funcționare ale motorului, în funcție de o mărime de intrare și în conformitate cu cerințele  $PA$ ; amplificarea în putere a comenzii  $x_c$ . Aceste mărimi pot fi tensiuni continue, tensiuni alternative de amplitudine sau/și frecvență variabilă, sau rezistențe.

a) *Funcționarea schemelor cu tiristoare.* Pentru variația continuă a unor mărimi se utilizează tiristoare (fig. 7.11). Terminalele poartă denumirea de anod  $A$ , catod  $K$  și electrod de comandă  $C$  („grilă”). Dacă tensiunea aplicată între anod și catod  $|U_{AK}| < U_{im}$ , tiristorul este blocat (curba 1). Dacă  $U_{AK} > 0$  și  $U_{AK} > U_{am}$ , tiristorul este blocat (curba 2). Dacă  $U_{AK} > 0$  și se aplică tensiunea  $U_c > 0$  între  $C$  și  $K$ , tiristorul conduce, căderea de tensiune pe tiristor este mică (sub 2 V) în toată gama de variație a curentului (curba 3). După trecerea în stare de conducție, tensiunea  $U_c$  nu mai influențează starea tiristorului. Cadrantul I este denumit domeniul de conducție și tensiunea aplicată în sensul de conducție este denumită tensiune directă. Cadrantul III este denumit domeniul de blocare și tensiunea corespunzătoare este ten-

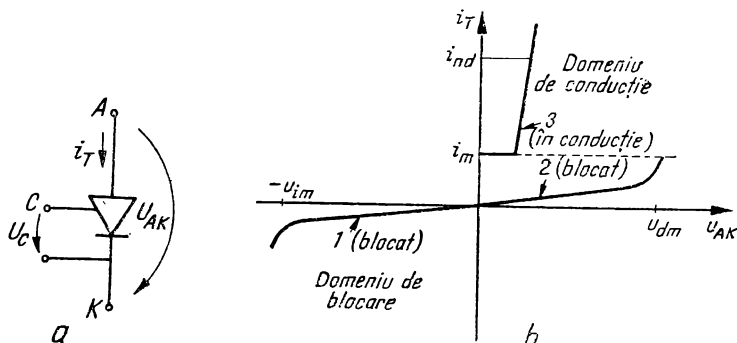


Fig. 7.11. Caracteristicile tiristorului:

a — simbolul tiristorului; b — caracteristica  $i_T = f(U_{AK})$ .

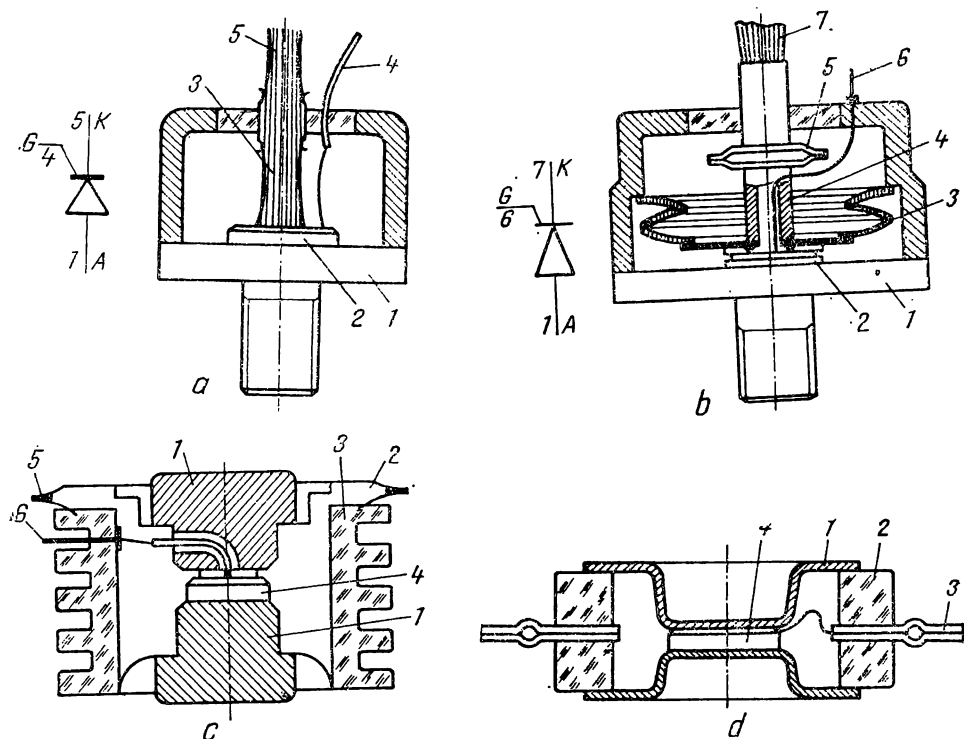


Fig. 7.12. Tipuri constructive de tiristoare:

*a* — tiristor cu discul de Si lipit; 1 — suport de cupru (anod); 2 — disc de Si; 3 — Racord catod; 4 — poartă; 5 — catodul; *b* — tiristor cu discul de Si presat pe suport: 1 — suport de cupru (anod); 2 — disc de Si; 3 — arc de presare; 4 — racord de catod; 5 — element elastic; 6 — poartă; 7 — catodul; *c* — tiristor în formă de disc; 1 — racord de Cu (A și K); 2 — legătură elastică; 3 — izolator; 4 — disc de Si; 5 — îmbinare (sudură la rece); 6 — poartă; *d* — tiristor sub formă de disc; 1 — șaibe de Cu; 2 — izolator; 3 — îmbinări (sudură la rece) și poartă; 4 — disc de Si.

siunea inversă. Dacă tensiunea depășește  $U_{dm}$ , tiristorul nu se distinge dar apar încălziri suplimentare. Dacă tensiunea inversă depășește  $U_{im}$  tiristorul se distruge. S-au realizat tiristoare cu  $U_{max} = 1\ 800\text{ V}$  și curent nominal de durată de 700 A, căderea de tensiune la curent nominal sub 1 V, la  $U_{max} = 200\text{—}400\text{ V}$ , curentul depășește 1 200 A. În figura 7.12 se prezintă tipuri constructive.

**Blocarea tiristorului**, după ce a intrat în conducție, se face prin scăderea curentului de menținere  $i_m$ . După modul în care se obține scăderea curentului sub curentul de menținere, schemele cu tiristoare se împart în *scheme de blocare sau comutație naturală* și *scheme de blocare sau comutație forțată*. Comutația naturală se poate ilustra prin schema din figura 7.13. Dacă  $T_1$  este în conducție și la un moment dat se dorește deschiderea tiristorului  $T_2$  atunci se aplică o tensiune  $U_2 > U_1$  și se aplică o tensiune de comandă pe „grila”  $T_2$ , în acest fel sint realizate condițiile ca  $T_2$  să se deschidă.  $T_1$  va primi tensiunea inversă  $U_2 - U_1$ , ca urmare curentul scade sub curentul de menținere și  $T_1$  se blochează. Curentul se comută natural de la  $T_1$  la  $T_2$ . Dacă  $U_2 < U_1$ , cât timp  $T_1$  se află în stare de conducție,  $T_2$  nu se poate deschide, deoarece la borne are tensiunea inversă  $U_2 - U_1$ . Ca urmare  $T_1$  va trebui să fie blocat forțat. În figura 7.14 se prezintă un circuit prin care se realizează blocarea forțată a unui tiristor  $T_1$ , cuprinzând tiristorul auxiliar  $T_a$  (de curent redus), condensatorul  $C$ , inductanța  $L$  și dioda  $d$ . În principiu, prin schema de blocare se aplică o tensiune inversă pe  $T_1$  de la condensatorul  $C$  un timp suficient

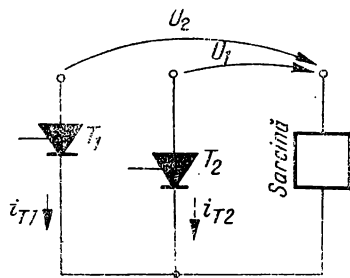


Fig. 7.13. Comutația naturală a tiristoarelor.

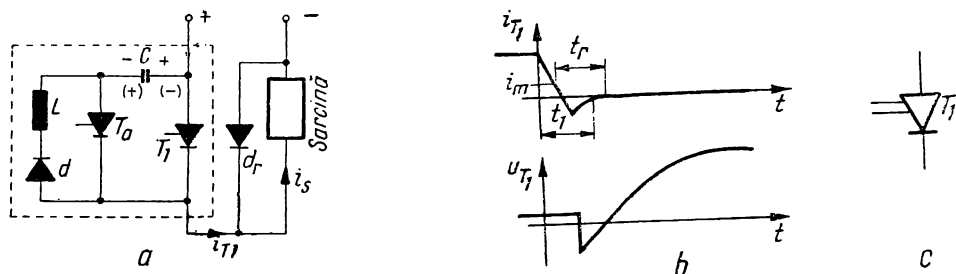


Fig. 7.14. Blocarea forțată a tiristorului:

a - schema de blocare forțată; b - curentul prin tiristorul  $T_1$  și tensiunea anod - catod a tiristorului  $T_1$  funcție de timp  $i_{T1}, U_{T1} = f(t)$ ; c - simbolul tiristorului cu schema de blocare forțată (înconjurată cu linie întreruptă la poziția a).

de lung pentru scăderea curentului prin  $T_1$  sub valoarea curentului de menținere. În momentul punerii sub tensiune a schemei se comandă  $T_a$  pentru care sînt asigurate condiții de deschidere. Apare curent de la sursă prin  $C$ ,  $T_a$  și sarcină și ca urmare  $C$  se încarcă cu polaritatea din figură. La terminarea încărcării curentul scade la zero și  $T_a$  se blochează. Funcționarea schemei are loc în două etape.

În etapa I (deblocarea lui  $T_1$ )  $T_1$  este comandat și fiind realizate condițiile necesare (tensiunea directă anod-catod și tensiunea pozitivă „grilă”-catod) intră în conducție. Tensiunea de alimentare se aplică pe sarcină. În același timp se deschide circuitul de descărcare a condensatorului  $C$  prin  $T_1$ ,  $d$ ,  $L$ .

Datorită inductanței, curentul nu se anulează la tensiune zero pe condensator și ca urmare condensatorul se încarcă cu polaritatea din paranteze. La încărcarea cu tensiunea maximă, curentul prin  $C$  se anulează și există tendința de inversare a lui (tendința de oscilație) dioda  $d$  împiedică inversarea și ca urmare  $C$  rămîne încărcat cu polaritatea din paranteze.

În etapa a II-a (blocarea tiristorului  $T_1$ )  $T_a$  este comandat și primind tensiunea directă de la  $C$  prin  $T_1$ , se deschide. Ca urmare, tensiunea condensatorului este aplicată în sens invers: pe  $T_1$  și provoacă scăderea curentului sub curentul de menținere;  $T_1$  se blochează.  $T_a$  continuă să conducă curentul de încărcare de la sursă prin  $C$ ,  $T_a$  și sarcină, schema este pregătită pentru o nouă comandă conform etapei I. La puteri mari circuitele de blocare pot deveni voluminoase, din această cauză pentru schemele cu comutație forțată se utilizează tiristoare rapide, caracterizate prin timp de revenire scăzut. Ca urmare a descărcării condensatorului curentul scade la zero, însă tiristorul  $T_1$  nu se blochează imediat, ci după un timp în care curentul ajunge la valori negative. Timpul  $t_1$  depinde de caracteristicile circuitului și nu ale tiristorului. După anularea curentului, tiristorul nu își capătă imediat capacitatea de blocare, ci după un timp. Intervalul de timp dintre momentul anulării și momentul în care se aplică tensiunea directă este denumit timp de revenire  $t_r$ . Ca urmare, începînd din momentul anulării curentului condensatorul trebuie să aplice o tensiune inversă pe  $T_1$  pe o durată mai mare decît  $t_r$ . Valori caracteristice pentru timpuri de revenire sînt:  $100 \div 150 \mu s$  la tiristoare normale;  $10 \div 50 \mu s$ , la tiristoare rapide. În cazul în care sarcina cuprinde inductanțe, anularea rapidă a curentului prin  $T_1$  poate produce supratensiuni mari. Din acest motiv schemele cu tiristoare cu blocare forțată sînt prevăzute cu diode  $d_r$  (diodă de descărcare, sau diodă de curent reactiv) pe care se comută conducția curentului de sarcină  $i_s$  la blocarea tiristorului.

Tiristorul se poate aprinde la o pantă mare de creștere a tensiunii de polarizare directă, această aprindere nu este recomandabilă deoarece produce supraîncălziri locale. De obicei este limitată panta creșterii tensiunii  $du_T/dt$  la o valoare admisibilă la care în mod sigur nu se aprinde tiristorul.

*Mutatoarele cu tiristoare* se împart în următoarele categorii:

— redresorul este un mutator care transformă energia electrică de curent alternativ în energie electrică de curent continuu;

— invertorul este un mutator care transformă energia electrică de curent continuu în energie electrică de curent alternativ;

— convertorul este mutatorul care transformă energia de curent alternativ de o frecvență  $f_1$  tot în energie de curent alternativ de o altă frecvență  $f_2$  ( $f_1 \neq f_2$ ). Această transformare se poate face în două moduri: convertizor cu fază intermediară de curent continuu care constă dintr-un redresor urmat de un inverter; convertizor fără fază intermediară de curent continuu, acest tip de inverter se numește și cicloconvertor;

— variatorul de tensiune este mutatorul al cărui scop este variația (de obicei în curent continuu) a tensiunii; aceste variatoare se împart în variatoare de curent continuu și variatoare de curent alternativ. În figura 7.15 se prezintă semnele convenționale pentru diferite tipuri de mutatoare.

b) *Elemente de execuție cu tensiune continuă variabilă*. Tensiunea continuă variabilă se obține prin mutatoare cu tiristoare în următoarele variante: redresor (mono- și bidirecțional); variator de tensiune (chopper). În cazuri particulare se mai utilizează elemente clasice în variantele: generator de curent continuu; amplificator magnetic.

Redresorul cu tiristoare se realizează prin schema cu comutație naturală în general în variantele mono- și trifazate, stea sau punte. În figura 7.16 s-a considerat un redresor cu punct median comandabil; se consideră că este în conducție ventilul  $V_1$ , curentul prin brațul respectiv fiind  $i_1 = I_a$ . După momentul  $\omega t_1$  sînt îndeplinite condițiile de conducție pentru latura 2. Dacă  $V_2$  ar fi o diodă, adică  $\alpha = 0$ , începe transferul de curent pe brațul 2 în  $\omega t_1$ .  $V_2$  fiind comandabil se poate întîrzia începutul transferului față de  $\omega_1 t_1$  cu unghiul  $\alpha$ . Datorită inductivităților  $L_k$  din circuit, curentul nu variază brusc și după amorsarea lui  $V_2$  laturile 1 și 2 sînt scurtcircuitate. Apare curentul de circulație  $i_k$  determinat de  $U_k = U_{s1} - U_{s2}$  și  $L_k$ . În latura care a condus, curentul va scădea, adică  $i_1 = I_a - i_k$ , iar în latura care a intrat în conducție curentul crește  $i_2 = i_k$ . În momentul în care  $i_1 = 0$ , curentul este transferat laturii care a intrat în conducție, deci comutația s-a terminat. Curentul  $i_k$  se determină din ecuația circuitului considerat

$$u_k = 2 R_k i_k + 2 L_k \frac{d i_k}{d t}; \quad u_k = \hat{U}_k \sin \omega t = \sqrt{3} \cdot \sqrt{2} U_s \sin \omega t \quad (7.1)$$

și rezultă:

$$i_k = \frac{\sqrt{2} \cdot \sqrt{3} U_s}{2 Z_k} \sin (\omega t - \varphi) + A e^{-t/T} = I_k \sin (\omega t - \varphi) + A e^{-t/T}. \quad (7.2)$$

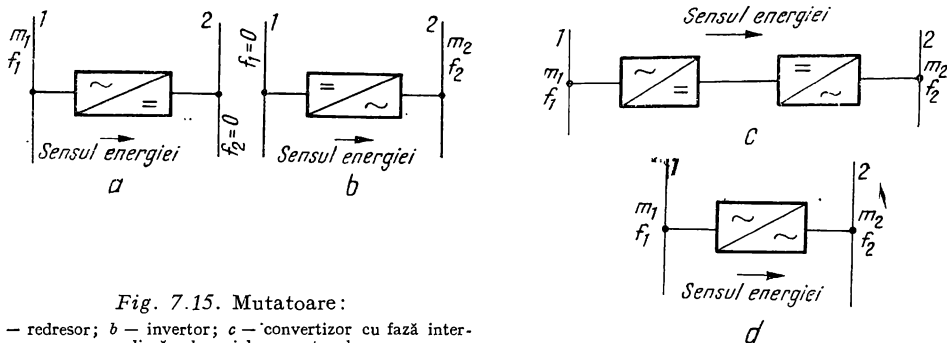


Fig. 7.15. Mutatoare:

a — redresor; b — inverter; c — convertizor cu fază intermediară; d — cicloconvertorul.

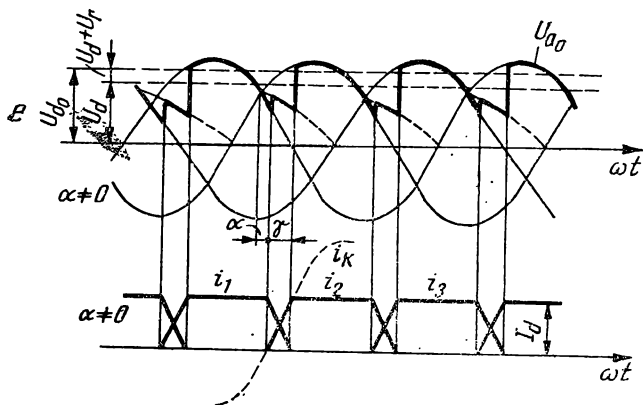
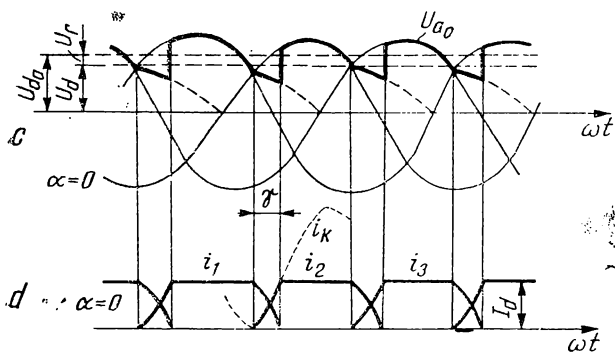
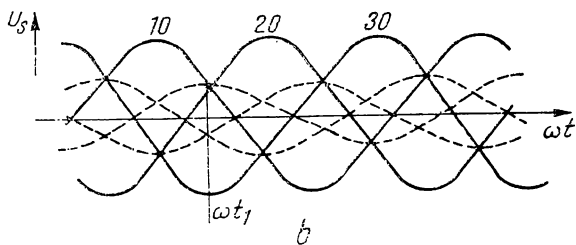
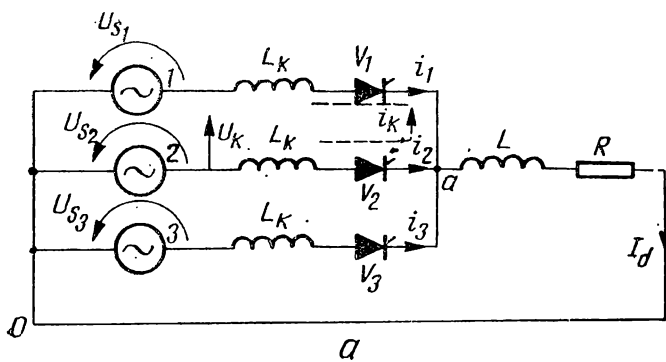


Fig. 7.16. Comutația redresorului trifazat monoalternanță:  
a – schema electrică; b – variația tensiunilor de alimentare; c – variația tensiunii redresate la  $\alpha = 0$ ; d – variația curenților de fază la  $\alpha = 0$ ; e – variația tensiunii redresate la  $\alpha \neq 0$ ; f – variația curenților de fază la  $\alpha \neq 0$ .



Deoarece  $R_k \ll \omega L_k$  rezultă  $\varphi = \frac{\pi}{2}$  și  $T = L_k/R_k \rightarrow \infty$ ; punînd condițiile:  $\omega t_1 = \alpha$  și  $i_k = 0$  (originea timpului ecuațiilor este  $\omega t_1$ ) rezultă

$$i_1 = I_a - \hat{I}_k (\cos \alpha - \cos \omega t); \quad i_2 = \hat{I}_k (\cos \alpha - \cos \omega t). \quad (7.3)$$

Din teoremele lui Kirchhoff scrise pe conturul de comutație

$$u_{a0} = u_{s1} + L_k \frac{d i_k}{d t}; \quad u_{a0} = u_{s2} - L_k \frac{d i_k}{d t} \quad (7.4)$$

rezultă  $u_{a0} = (u_{s1} + u_{s2})/2$  (marcată de liniile punctate în fig. 7.16, b). Din figura 7.16 se constată că durata procesului de comutație poate fi caracterizată prin unghiul de comutație  $\gamma$ . În figura 7.16 se prezintă variația tensiunii redresate și variația curenților de fază din secundarul transformatorului pentru  $\alpha = 0$  și  $\alpha \neq 0$ .

Există un unghi de reglaj (de obicei între  $15^\circ$  și  $180^\circ$ ) peste care  $i_k$  nu mai crește la o valoare mai mare ca  $I_a$  și ca urmare faza care a condus nu mai stinge, următoarea intră și rămîne în conducție, ca urmare scurtcircuitul între cele două faze evoluează. Acest unghi este unghiul critic, el apare în regim de invertor. Calculul tensiunii redresate ținînd cont de unghiul de comutație, se face cu ajutorul figurii 7.17 la care se consideră  $\alpha \neq 0$ . Valoarea medie a tensiunii va fi:

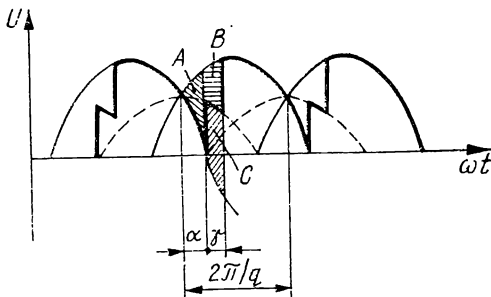


Fig. 7.17. Tensiunea redresată pentru  $\alpha \neq 0$  și  $\gamma \neq 0$ ;  $q$  — numărul de comutații pe un grup de comutație pe o perioadă a tensiunii de alimentare (indice de comutație).

$$\bar{U}_a = U_{a0} [\cos \alpha + \cos (\alpha + \gamma)]/2 = \hat{U} \frac{p}{\pi} \sin \frac{\pi}{p} \cdot [\cos \alpha + \cos (\alpha + \gamma)]/2 \quad (7.5)$$

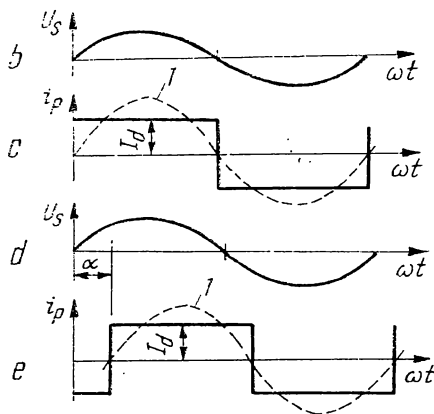
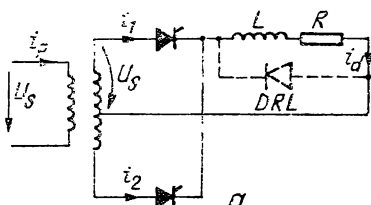
unde  $p$  este numărul de pulsuri într-o perioadă, ( $p \neq 1$ ), la  $p = 1$  nu există comutație.

Unghiul de comutație  $\gamma$  se calculează din condiția:  $i_1 = 0$  la  $\omega t = \gamma$  din relația (7.3):  $\gamma = \arccos [(\hat{I}_k \cos \alpha - I_a)/\hat{I}_k]$ , relație care arată că durata comutației crește cu creșterea curenților de sarcină  $I_a$ ,  $I_k$ , fiind o constantă pentru un redresor dat,  $\gamma$  scade cu  $\alpha$  pentru  $I_a$  constant.

Redresorul comandat are avantajul reglării continue și cu căderi mici a tensiunii redresate. Apare dezavantajul că redresorul comandabil consumă energie reactivă (afară de cea de comutație). În figura 7.18 se consideră o conexiune cu punct median cu două pulsuri. În ipoteza unei comutații instantanee și  $\alpha = 0$  tensiunea primară și curentul primar sînt reprezentate în figurile 7.18, b și c. Se constată că fundamentală curenților este în fază cu tensiunea. În figurile 7.18, d și e se dau aceleași mărimi pentru un reglaj  $\alpha \neq 0$ . Se constată că fundamentală curenților este defazată în urma tensiunii cu unghiul  $\alpha$ . Deci prin simplul reglaj de fază redresorul devine consumator

Fig. 7.18. Defazajul tensiune — curent la redresorul comandat:

a — schema electrică; b — tensiunea din primar; c — curentul din primar pentru  $\alpha = 0$ ; d — tensiunea din primar; e — curentul din primar la  $\alpha \neq 0$ ; ( $I$  — fundamentale).



de energie reactivă. Funcționarea unui redresor comandabil poate fi îmbunătățită dacă se conectează o diodă în paralel cu sarcina (desenată punctat) numită diodă de regim liber (DRL) sau diodă de descărcare.

O diodă DRL conduce la următoarele avantaje:

- ondulația tensiunii redresate este mai mică la același unghi  $\alpha$ ,
- scade puterea reactivă absorbită la același  $\alpha$ ;
- DRL asigură o protecție contra supratensiunilor la întreruperea circuitului de alimentare;

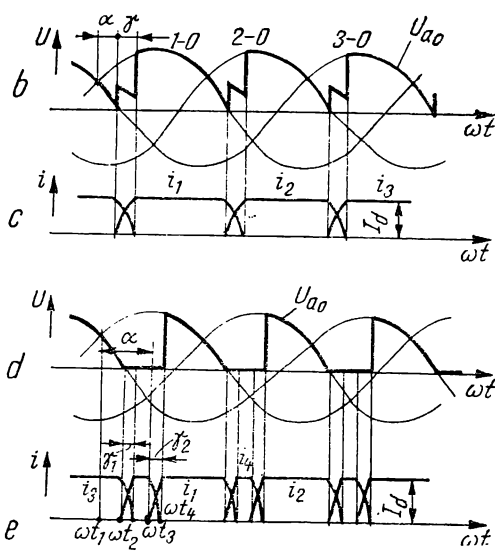
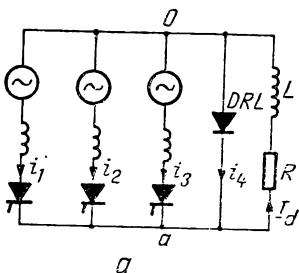
— unele conexiuni (cum sînt cele în punte) pot fi simplificate; dezavantajele sînt:

- cu cît  $p$  este mai mare funcționarea diodei DRL începe la  $\alpha$  mare;
- conexiunea cu DRL nu poate funcționa în regim de inverter.

În figura 7.19 se prezintă variația tensiunii redresate și a curenților din faze fără DRL (b și c) și cu DRL (d și e). De remarcat că tensiunea redresată și curenții au alte forme în prezența diodei DRL. În momentul  $\omega t_1$  conduce latura 3, în  $\omega t_2$ , tensiunea la bornele ventilului schimbă de semn și dioda DRL se deschide; catodul diodei DRL ajunge la un potențial sub

Fig. 7.19. Redresor comandat cu DRL:

a — schema de montaj; b — tensiunea de alimentare și redresată fără DRL; c — curenții pe fază fără DRL; d — tensiunea de alimentare și redresată cu DRL; e — curenții din faze cu DRL.



cel al anodului (care este zero) și curentul este comutat de pe latura 3 pe DRL. Tensiunea la bornele sarcinii este căderea de tensiune pe DRL deci practic zero. În  $\omega t_3$  se comandă ventilul de pe latura 1 (cu anodul la potențial mai ridicat decât catodul); el intră în conducție și preia curentul de la DRL. În  $\omega t_4$  comutația s-a terminat și punctul  $a$  ia potențialul lui 1. Unghiul  $\alpha$  de la care începe să lucreze dioda DRL la un montaj dat, corespunde momentului când tensiunea redresată ar deveni negativă. DRL lucrează pentru  $\alpha > \alpha_1$ ,  $\alpha_1$  este dat în tabelul 7.1. În figura 7.20 se prezintă tensiunea redresată și caracteristicile de reglaj pentru schema din figura 7.19,  $a$ . În figura 7.21 se prezintă atât schema electrică a redresorului trifazat semicomandat cu  $p=6$  cât și variația în timp a tensiunilor și curenților.

Pînă în momentul  $t_1$ ,  $T_3$  și  $D_2$  conduc, la  $t=t_1$  intră în conducție dioda  $D_3$ , deci conduc  $D_3$  și  $T_3$ , comutația de pe  $D_2$  pe  $D_3$  reprezintă trecerea curentului transformatorului prin această latură. În timpul comutației  $t \in (t_1, t_2)$ , potențialul punctului  $b$  este semisuma potențialelor 2 și 3; același potențial are și punctul  $a$ . După terminarea comutației ( $t=t_2$ )  $a$  și  $b$  capătă potențialul punctului 3. La  $t=t_3$  amorsează tiristorul  $T_1$  și începe comutația între  $T_3$  și  $T_1$ , în momentul  $t=t_4$  se trece la funcționarea normală și conduc  $T_1$  și  $D_3$ , potențialul lui  $a$  este egal cu potențialul lui 1, iar al lui  $b$  cu cel al lui 3. La  $t=t_5$  funcționarea se repetă. De remarcat că funcționarea descrisă are loc pentru  $\alpha > \omega(t_1 - t_0)$  adică  $\alpha > 60^\circ$ .

TABELUL 7.1. Valorile unghiului  $\alpha$  pentru dioda în regim liber

$\alpha_1$	$0^\circ$	$30^\circ$	$60^\circ$	$75^\circ$
$p$	2	3	6	12

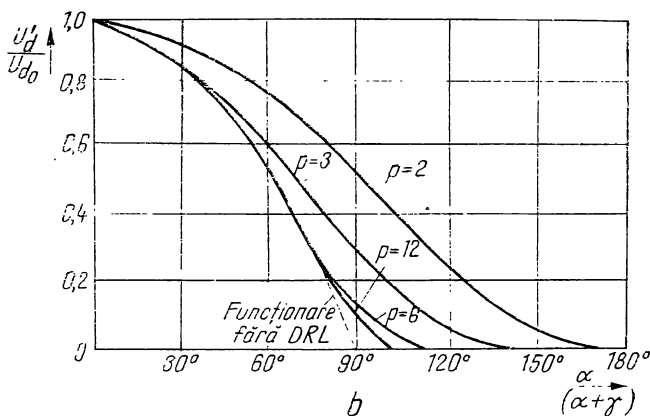
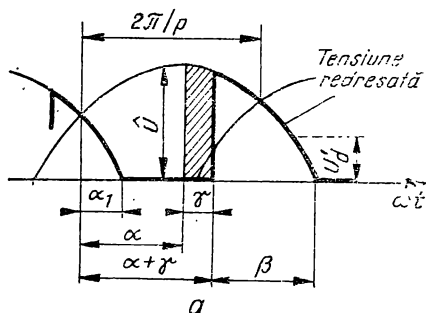


Fig. 7.20. Tensiunea redresată la funcționarea cu DRL (a) caracteristicile de reglaj cu DRL (b)

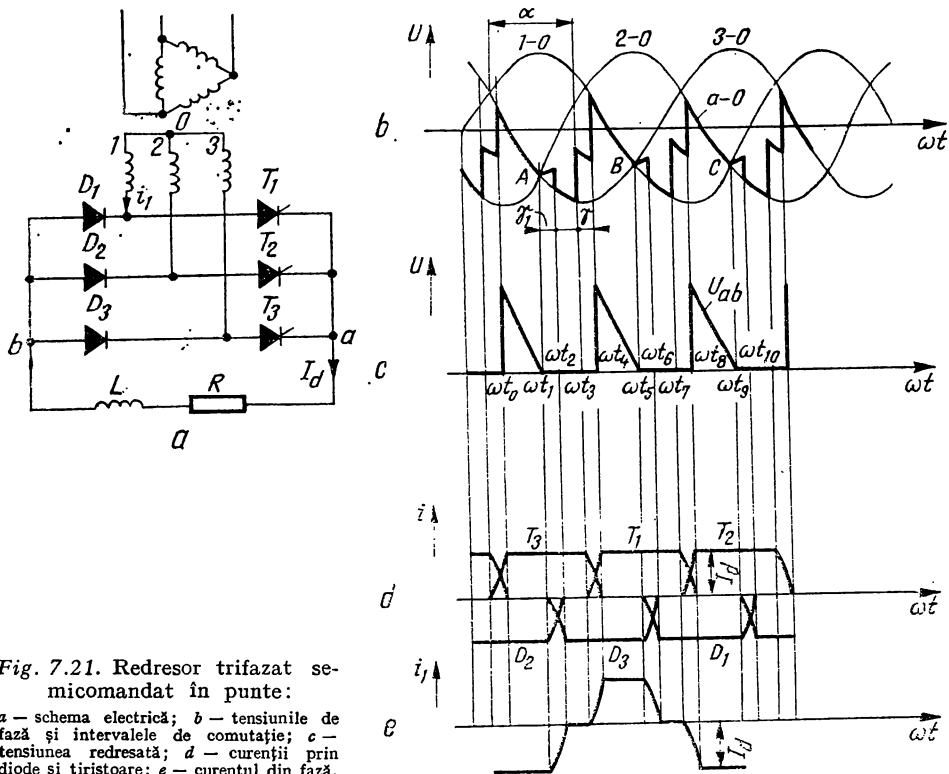


Fig. 7.21. Redresor trifazat semicomandat în punte:

a — schema electrică; b — tensiunile de fază și intervalele de comutație; c — tensiunea redresată; d — curenții prin diode și tiristoare; e — curentul din fază.

La funcționarea redresorului cu o sarcină care are o tensiune electromotoare, apar fenomene noi și unele relații de calcul nu mai sînt aplicabile, în plus solicitările elementelor pot diferi (cazul alimentării motorului de curent continuu). Pentru un unghi  $\alpha$  dat, pe măsură ce curentul de sarcină scade, tensiunea la bornele motorului crește, avînd valori ale lui  $\alpha$  pentru care la sarcini mici tensiunea electromotoare a motorului depășește  $\bar{U}_{a0}$ , rezultînd un regim de curent întrerupt. Acolo unde acest regim deranjează se calculează  $L$  astfel ca să nu rezulte regim de curent întrerupt.

Proprietățile tiristorului fac ca în schemele analizate să nu se poată inversa curentul. Inversarea curentului se poate realiza prin conectarea cu bornele inversate a unui alt redresor (conexiune antiparalel). Prin această conexiune apare pericolul de scurtcircuit între surse; pentru a se evita scurtcircuitul cele două redresoare sînt comandate prin tensiuni egale și de semn contrar. Mai rămîne pericolul ca diferența între valorile instantanee dintre tensiunile redresate ale celor două redresoare să ducă la apariția unui curent mare; pentru a evita acest fenomen să iau diverse măsuri.

*Variatorul de tensiune continuă* se realizează prin schema cu comutație forțată (fig. 7.14).

Acest tip de mutator servește pentru alimentarea cu tensiune continuă variabilă a unui consumator de la o rețea de tensiune continuă, constantă. Variatoarele de tensiune își găsesc aplicație mai ales la alimentarea și reglarea motoarelor de curent continuu în unele domenii de acționări. Marele avantaj al variatoarelor de tensiune continuă față de metodele clasice de reglaj, cum sînt de exemplu reostatele, este randamentul foarte ridicat și

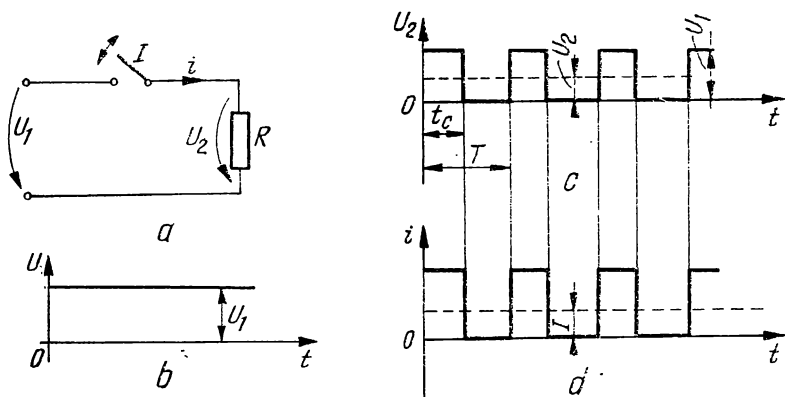


Fig. 7.22. Variator de c.c. cu sarcina rezistivă:

a — schema de principiu; b — tensiunea de alimentare  $U$  de valoare  $U_1$ ; c — variația tensiunii  $U_2$  de valoare medie  $U_2$ ; d — variația curentului  $i_1$ .

inertția redusă; permit pornirea fără pierderi și frînarea recuperativă. La vehiculele alimentate de la fir de cale de curent continuu sînt net superioare metodelor clasice de reglaj cu contactoare și rezistențe, eliminînd printre altele acea sursă de defect „contactul electric”.

În principiu variatoarele de curent continuu se pot construi începînd de la 1 kW pînă la puteri de ordinul megawaților. Practic s-a impus variatorul de tip *chopper*.

În figura 7.22 este prezentată o schemă de principiu a unui variator de tensiune continuă de tip *chopper*. Întreruptorul  $I$ , considerat ideal, (comută fără arc electric) închide și deschide circuitul după un program dat. În acest caz de la o tensiune constantă  $U_1$  se obține, la sarcină, o tensiune a cărei valoare medie  $U_2$  poate diferi de  $U_1$ . Cu notațiile din figura 7.22, tensiunea medie  $U_2 = t_c U_1 / T = k U_1$ ; raportul  $k = t_c / T \leq 1$  se mai numește *factor de comandă al variatorului*. Tensiunea  $U_2$  poate fi reglată între zero și  $U_1$ . În cazul sarcinii rezistive curentul este tot pulsatoriu. Reglajul la acest variator se poate face:

- variînd durata de conducție  $t_c$  (lățimea impulsurilor) la  $T$  constant,
- variînd perioada  $T$ , deci frecvența de basculare, la  $t_c$  constant,
- combinat, variînd atît  $t_c$  cît și  $T$ .

Îmbunătățirea formei curentului se poate face printr-o latură suplimentară și o diodă de regim liber. Aceasta presupune însă o sarcină de tip inductiv, ca atare în cazul sarcinilor rezistive se va conecta o inductivitate de filtraj. În acest caz (fig. 7.23) tensiunea la bornele sarcinii variază tot de la zero la  $U_1$ . În regim permanent, cînd  $I$  închide circuitul curentul  $i_1$  crește de la  $i_1'$ , exponențial, și scade la zero cînd  $I$  deschide (după  $t_c$ ). În momentul întreruperii, prin sarcină valoarea curentului era  $i_1''$ . În acest moment se deschide DRL, deoarece inductivitatea devine generatoare de energie și circuitul sarcinii este din nou închis (prin DRL) curentul scăzînd exponențial, un timp  $T - t_c$  (ajungînd la valoarea  $i_1'$ ) după care închide din nou  $I$ . În figura 7.23 se prezintă variația în timp a curenților ( $i_2 = i_1 + i_3$ ). Dacă  $L/R \gg T$  atunci  $i_2 \approx \text{const}$ . În acest caz curenții  $i_1$ ,  $i_2$ ,  $i_3$  au formă din figura 7.24. Puterea absorbită este  $P_1 = U_1 I_1$ , iar puterea cedată sarcinii  $P_2 = U_2 I_2$ , neglijînd pierderile ( $P_1 = P_2$ ) și cu  $U_2 = k U_1$  rezultă  $I_1 = k I_2$ , care

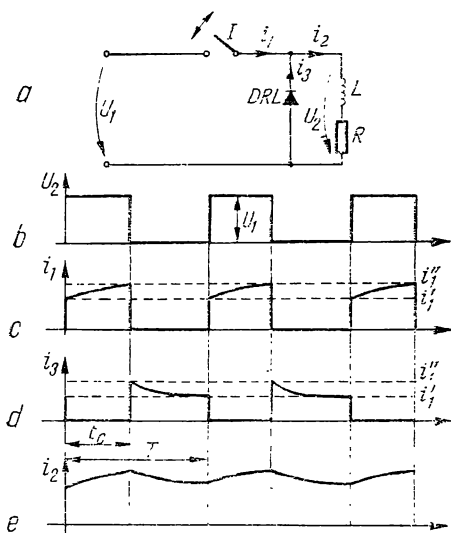


Fig. 7.23. Variator cu sarcină  $R-L$  și  $DRL$ :

a - schema de principiu; b - variația tensiunii  $U_2$ ; c - variația curentului  $i_1$ ; d - variația curentului  $i_3$  prin  $DRL$ ; e - variația curentului de sarcină  $i_2 = i_1 + i_3$ .

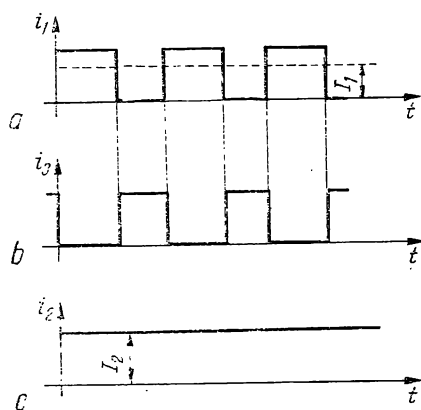


Fig. 7.24. Curenții în cazul  $L/R \gg T$ .

formal este identică cu relația dintre curenți la transformator, motiv pentru care variatorul de curent continuu se mai numește și transformator de curent continuu cu  $k \leq 1$ .

Pentru îmbunătățirea performanțelor variatoarelor de curent continuu se prevăd circuite de stingere, realizându-se stingerea tiristorului principal la o comandă (voită sau automat); acesta conduce la o modificare comodă a duratei de comutație  $t_c$ . În figura 7.25 este dată schema unui variator de curent continuu cu un circuit relativ simplu de stingere. Pentru pornirea montajului trebuie încărcat mai întâi condensatorul de stingere  $C_s$  fapt care se realizează prin amorsarea tiristorului de stingere  $T_2$ . Condensatorul  $C_s$  se încarcă prin  $T_2$  și sarcină, când  $i_c = 0$  (după o semiperioadă) condensatorul este încărcat cu polaritatea din figură avînd tensiunea la borne  $u_c = U_1$ . Schema este gata de lucru. Se consideră funcționarea în regim permanent. Se presupune  $u_c = U_1$ ,  $t = t_0$ , curentul  $I_2$  se închide prin  $DRL$ . După amorsarea lui  $T_1$  condensatorul se descarcă oscilant prin  $T_1$ ,  $L_s$ ,  $D$ . La trecerea prin zero a lui  $i_c$  ( $t = t_1$ ), condensatorul are tensiunea  $-U_1$  (polaritatea din paranteză) și  $i_D$  rămîne zero, deoarece dioda  $D$  blochează. În intervalul  $t_1 - t_0$  prin  $T_1$  trece curentul de sarcină  $i_{T1} = I_2 + i_c$  și  $U_{T1} = 0$ .

Tiristorul de stingere  $T_2$  are curent zero și  $u_{T2} = -u_c$ . După  $t_1$  schema este pregătită pentru stingere. Pentru stingerea lui  $T_1$ , se amorsează  $T_2$  la momentul  $t_2$ . Condensatorul  $C_s$  (cu polaritatea din paranteză) realizează prin  $T_2$ ,  $T_1$  un curent rapid crescător, limitat ca pantă numai de inductivitățile de limitare (în serie cu  $T_1$  și  $T_2$  nefigurate în desen) a pantei curentului, care prin  $T_1$  este de semn contrar cu  $I_2$ . Când această diferență devine zero  $T_1$  stinge, iar curentul  $I_2$  este preluat de  $T_2$  ( $t = t_2$ ). Procesul de stingere a lui  $T_1$  este foarte rapid.  $C_s$  (cu polaritatea din paranteze) se descarcă la curent constant. La  $t = t_3$ ,  $u_c = 0$ , care anterior a fost aplicată ca tensiune inversă lui  $T_1$ . Continuă încărcarea lui  $C_s$  pînă la  $U_1$ , în  $t = t_4$ ,



$C_s$  se încarcă cu polaritatea din figură, curentul prin  $T_2$  devine zero, iar  $I_2$  se închide prin *DRL*. În intervalul  $t_4-t_2$  tensiunea  $u_c$  este aplicată lui  $T_1$  în sens direct. Tensiunea la bornele sarcinii în intervalul  $t_4-t_3$  este  $u_2=U_1+u_c$ . În  $t=t_4$ , când  $T_2$  blochează, tensiunea la bornele sale rămîne zero, după  $t=t_4$  situația fiind ca la  $t=t_0$ . Dacă se constată că sarcina este de tip *R-L* cu tensiune contraelectromotoare, care este cazul tipic al alimentării indusului motoarelor de curent continuu în ipoteza unui curent de sarcină constant, nu se schimbă nimic în funcționarea descrisă. Eliminarea solicitărilor lui  $C_s$  se face prin mărirea acestei capacități (nu este totdeauna avantajos deoarece ar putea mări perioada de oscilație) sau înlocuirea diodei  $D$  cu un tiristor. În figura 7.26 este prezentat un variator la care circuitul de stingere nu mai este conectat în derivație cu tiristorul principal. Principiul stingerii se bazează pe ridicarea potențialului catodului tiristorului principal  $T_1$ , pînă cînd acesta stinge comutînd conducția pe *DRL*.

În momentul conectării variatorului la rețea  $C_s$  se încarcă oscilant prin  $L_2$ , circuitul este astfel dimensionat încît  $u_c > U_1$ . În această situație se poate comanda  $T_1$ . Se consideră că la  $t_0$  tiristorul  $T_1$  este în conducție și se dă comanda de stingere pe  $T_2$ . În acest moment catodul lui  $T_1$  ajunge la potențialul pozitiv al lui  $C_s$  care este mai mare ca  $U_1$  și ca atare se comută imediat curentul de pe  $T_1$  pe *DRL*, lui  $T_1$  i se aplică tensiunea inversă  $u_{T1}=u_c-U_1$ . Tensiunea la bornele lui  $T_1$  devine zero în  $t_1$  cînd  $u_c=U_1$  apoi pozitivă. În  $t_1$  intră în comutație și  $D_2$ , curentul  $i_4$  care era  $i_4=-i_c$  este acum  $i_4=-i_c+i_5$ . În  $t_2$ ,  $u_c=U_1$  și tensiunea la bornele lui  $T_1$  inversează din nou de semn pînă în  $t_3$ , cînd  $i_4=0$  se blochează  $D_1$ ,  $u_{T1}$  devine egal cu  $U_1$ . După  $t_3$ , condensatorul continuă să se încarce peste  $U_1$  pînă în  $t_4$  cînd și  $i_5=0$ . În  $t_5$  se comandă  $T_1$  care preia conducția de la *DRL*, iar la o nouă comandă de stingere fenomenele se repetă ca la  $t_0$ .

*Generatorul de curent continuu* mai este utilizat ca amplificator de putere pentru motoare în proces cu șocuri mari de cuplu, alimentate de la o rețea fără rezervă mare de putere (sensibilă la șocuri). Generatorul este antrenat de un motor asincron și este comandat pe excitație cu putere mică de la un reostat potențiometric sau cu tensiunea de la schema de reglare automată. Tensiunea continuă la bornele indusului este proporțională cu curentul de excitație cît timp circuitul magnetic nu este saturat. Acest ansamblu este denumit sistem generator-motor. Dezavantajele constau în faptul că are inerții mari (constanta de timp a excitației provoacă întârzieri în executarea comenzilor date prin tensiunea de excitație), cere instalarea a două mașini electrice pentru comanda celei de a treia și are randamentul scăzut (0,55...0,88 crescînd cu puterea nominală).

*Amplificatorul magnetic* este utilizat în măsură din ce în ce mai redusă. Principiul de funcționare se bazează pe saturația miezului magnetic al unei bobine conectată în serie cu sarcina care se comandă. Printr-o înfășurare separată de curent continuu (înfășurarea de comandă) se crește gradul de saturație a circuitului magnetic; prin aceasta scade inductanța echivalentă a bobinei și crește curentul de sarcină. Dependența între curentul de sarcină și cel de comandă precum și schema amplificatorului sînt prezentate în figura 7.27.

c) *Elemente de execuție cu tensiune alternativă de amplitudine variabilă*. Variația amplitudinii tensiunii alternative de alimentare se face prin mutatoare cu tiristoare sau comutație naturală prin „tăierea” alternanțelor tensiunii alternative sinusoidale de la rețea (fig. 7.28). Prin conectarea în



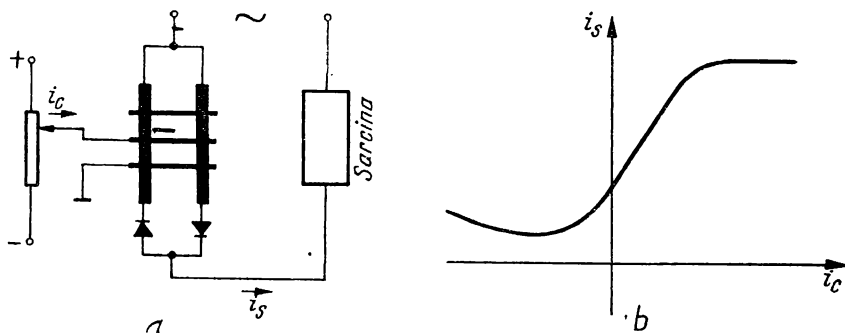


Fig. 7.27. Element de execuție cu amplificator magnetic:  
a - schema amplificatorului magnetic; b - caracteristica amplificatorului.

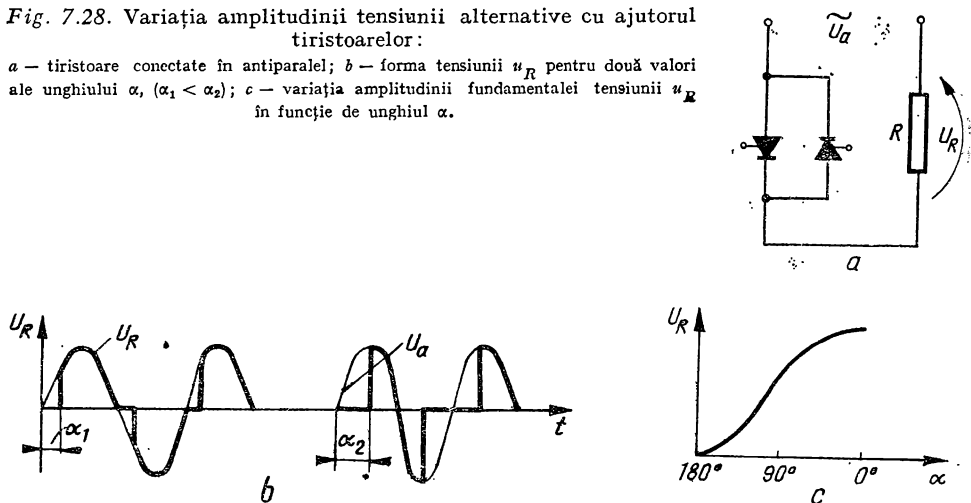
antiparalel a două tiristoare se asigură trecerea prin sarcină a curentului în ambele sensuri. Amplitudinea se modifică prin unghiul de aprindere  $\alpha$ . Se obține pe sarcină o tensiune nesinusoidală din care prin dezvoltare în serie Fourier se poate afla amplitudinea componentei fundamentale care scade cu creșterea lui  $\alpha$ ; armonicile superioare trebuie luate în considerație prin pierderile suplimentare pe care le pot provoca la consumator.

Procedeul descris se aplică la reglarea vitezei motoarelor asincrone, prin variația tensiunii statorice, combinat cu introducerea unor rezistențe în circuitul rotoric. În unele aplicații se mai utilizează variația tensiunii statorice prin câte un amplificator magnetic pe fiecare fază.

La curenți pînă la 15 A pe fază se pot utiliza dispozitive semiconductor speciale, denumite *triacuri*. Triacul este un ventil semiconductor comandabil cu două borne principale  $B_1$  și  $B_2$  și un electrod de comandă  $G$  (fig. 7.29). El poate conduce în ambele sensuri (de aceea se mai numește și tiristor bidirecțional sau tiristor de curent alternativ), dacă este comandat cu un curent de poartă. Odată intrat în conducție, triacul se stinge cînd curentul din circuitul principal scade sub valoarea curentului de menținere.

Fig. 7.28. Variația amplitudinii tensiunii alternative cu ajutorul tiristoarelor:

a - tiristoare conectate în antiparalel; b - forma tensiunii  $u_R$  pentru două valori ale unghiului  $\alpha$ , ( $\alpha_1 < \alpha_2$ ); c - variația amplitudinii fundamentale tensiunii  $u_R$  în funcție de unghiul  $\alpha$ .



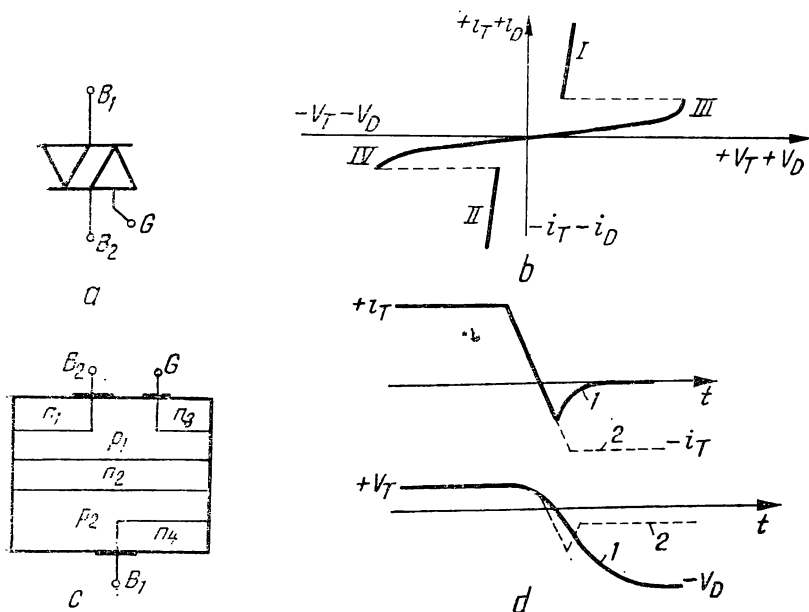


Fig. 7.29. Triacul:

a - simbol; b - caracteristica curent tensiune; c - jonctiunile triacului; d - iesirea din conducție a triacului; 1 - întrerupere reușită; 2 - reamorsare.

În circuit, triacul funcționează cu două tiristoare montate antiparalel. Pe caracteristică se disting patru regimuri: conducția în direct (de la  $B_1$  la  $B_2$ ) notat I, conducția în invers (de la  $B_2$  la  $B_1$ ) notat cu II, blocat în direct III respectiv blocat în invers I (fig. 7.29, b). Triacul are o singură poartă puțin fi comandat cu impuls pozitiv sau negativ și deci circuitul de comandă este mai simplu decât la montajul cu două tiristoare. Din punct de vedere constructiv triacul este un ventil cu șase straturi (fig. 7.29, c). Sensibilitatea triacului la amorsare este diferită în cele patru cadrane și este maximă în cadranele 1 și 3. Spre deosebire de tiristor, triacul este sensibil la variația tensiunii inverse sensului în care a condus (fig. 7.29, d), cu linie întreruptă s-a indicat o întrerupere nereușită datorită depășirii lui  $du/dt$ ; la triac valorile admise pentru  $du/dt$  sînt mai mici ca la tiristoare (în jur de  $5 \text{ V}/\mu\text{s}$ ). Curentul nominal la triac reprezintă valoarea efectivă a curentului sinusoidal, undă plină, de durată. Evident triacul folosește un singur radiator.

Diacul (fig. 7.30) denumit și diodă bidirecțională este o diodă, care la atingerea tensiunii sale de străpungere  $V_{BR}$  intră în conducție. Acest fenomen se întâmplă indiferent de polaritatea tensiunii aplicate. Diacul este un element de comandă, fiind folosit mai ales pentru comanda triacului.

d) *Elemente de execuție cu frecvență (și tensiune) variabilă.* Frecvența variabilă se obține prin mutatoare cu tiristoare în următoarele variante: convertizorul direct, convertizorul indirect, cu frecvență autocomandată, cu comanda independentă a frecvenței.

*Convertizorul direct* (cicloconvertor) se bazează pe folosirea proprietăților redresoarelor bidirecționale. Funcție de valoarea tensiunii de comandă  $u_{cr}$  se modifică valoarea unghiului de comandă și respectiv tensiunea medie

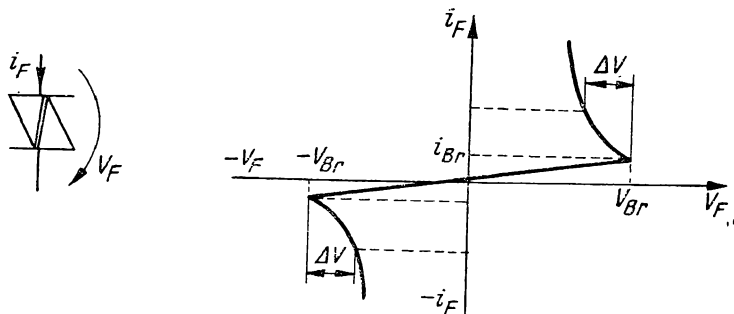
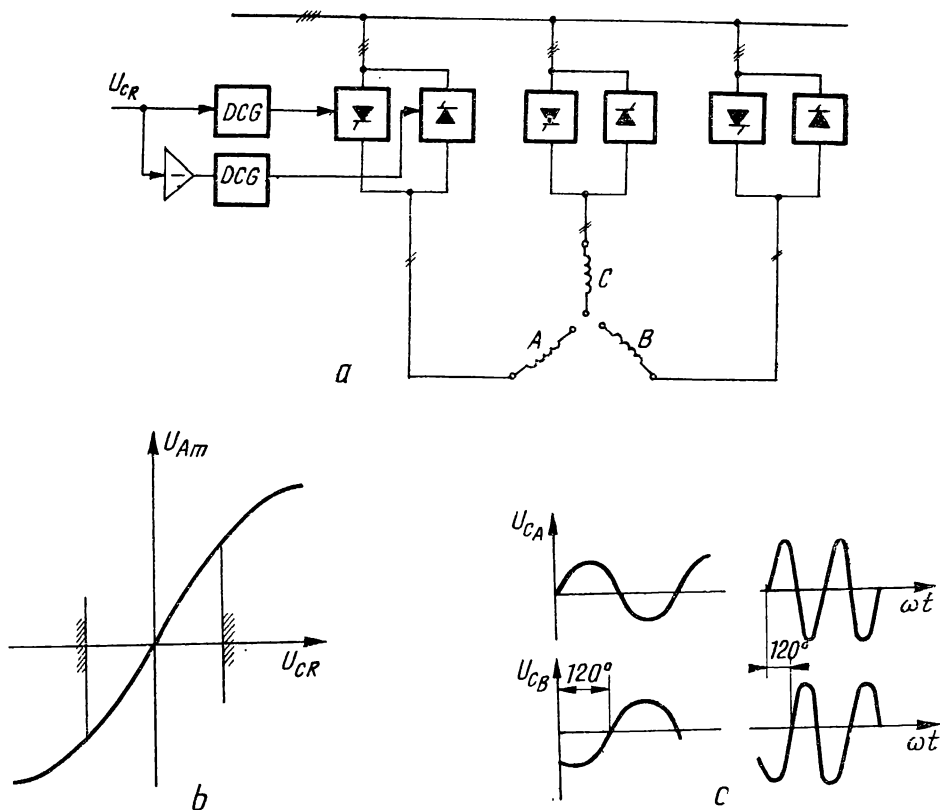


Fig. 7.30. Diacul:  
a — simbol; b — caracteristica curent tensiune.

redresată  $U_{Am}$ , dependența  $U_{Am}=f(u_{cR})$  este lineară. Rezultă că dacă se aplică o tensiune  $u_c$  sinusoidală pe DCG va rezulta o variație sinusoidală a tensiunii de sarcină. Perioada  $T$  (și frecvența  $f$ ) a tensiunii de sarcină este egală cu cea a tensiunii de comandă aplicate. Tensiunea pe sarcină este valoarea medie a unei tensiuni în formă de impulsuri avînd perioada  $T_r$  (frecvența  $f_r$ ) fixă. Ca urmare într-o perioadă a tensiunii de comandă trebuie cuprinse un număr suficient de mare de impulsuri ( $T \gg T_r$ ). Această condiție limitează frecvența maximă a tensiunii alternative de ieșire a convertizorului la 20 Hz în cazul frecvenței rețelei de 50 Hz. Un sistem trifazat de tensiuni de frecvență variabilă necesar pentru comanda motoarelor asincrone și sincrone se realizează prin utilizarea pe fiecare fază a cîte unui redresor bidirecțional. Tensiunile de comandă pe cele trei redresoare trebuie să fie sinusoidale, de aceeași frecvență și defazate între ele cu  $120^\circ$  la toate frecvențele. În figura 7.31 s-au prezentat tensiunile de comandă pe fazele A și B la două frecvențe diferite. La comanda motoarelor asincrone pentru evitarea saturației circuitului magnetic, amplitudinea tensiunii alternative trebuie să varieze proporțional cu frecvența, la valori sub frecvența nominală a motorului. Modificarea amplitudinii tensiunii alternative de alimentare se face prin variația amplitudinii tensiunilor sinusoidale de comandă  $u_c$ , aplicate pe cele trei redresoare bidirecționale.

Convertizoarele directe se utilizează la alimentarea unui număr mare de motoare asincrone de la același convertizor (de exemplu căi cu role la laminoare) și la alimentarea motoarelor sincrone la putere foarte mare, la care nu se construiesc motoare de curent continuu (exemplu: 20 MW la mori de ciment). În figura 7.32 se prezintă schema de principiu a cicloconvertorului pentru o fază cu două grupe de redresoare în montaj antiparalel, precum și formele tensiunii și curentului prin sarcină. În cazul sarcinii inductive (sau capacitive), deoarece curentul prin sarcină nu mai este în fază cu tensiunea, în momentul trecerii prin zero se stinge ventilul care a condus, apoi se lasă o anumită pauză  $\psi$  (și la sarcina rezistivă se lasă o mică pauză) după care intră în conducție celălalt grup. Se poate varia tensiunea la bornele sarcinii făcînd ca cele două grupe de redresoare să lucreze în regim comandat și variînd unghiul de comandă. La acest tip de cicloconvertor frecvența se poate varia în trepte. Aceasta înseamnă că pentru un cicloconvertor alimentat la 50 Hz în cazul grupurilor cu 3 pulsuri, frecvența  $f_2 \in [0; 12,5 \text{ Hz}]$ , iar la 6 pulsuri  $f_2 \in [0; 25 \text{ Hz}]$ . Cicloconvertorul nu per-



**Fig. 7.31. Convertizorul direct**

(a); dependența între tensiunea medie redresată  $U_{Am}$  și tensiunea de comandă  $U_{cR}$  (se indică porțiunea lineară)  
 (b); tensiunile de comandă pe fazele A și B la două frecvențe diferite (c).

mite un reglaj continuu al frecvenței, iar tensiunea de ieșire conține multe armonici. Aceste dezavantaje pot fi eliminate dacă pentru fiecare tiristor se folosește un alt unghi de comandă. Se obține cicloconvertorul cu tensiune reglabilă, cu frecvența reglabilă și cu o tensiune cu un conținut mai mic de armonici.

*Convertizorul de frecvență indirect autocomandat* se bazează pe proprietatea redresoarelor cu tiristoare de a funcționa în regim de inverter (unghiul de aprindere  $\alpha$  între  $90^\circ$  și  $180^\circ$ ). În acest regim energia este transmisă din circuitul de curent continuu spre circuitul de curent alternativ. Pentru modificarea tensiunii se utilizează un redresor comandat cu tiristoare; în circuitul de curent continuu se introduce o bobină pentru filtrare, sau o bobină și un condensator. Comanda inverterului și ca urmare și frecvența lui, sînt determinate de rotor (alimentează un motor sincron). Acest tip de convertizor poate funcționa pînă la 200 Hz. Funcționarea este limitată spre frecvențe joase, deoarece tensiunea motorului este scăzută și nu mai asigură comutația corectă a tiristoarelor. Fenomenul se poate evita în varianta în care impulsurile pentru comanda inverterului sînt date de un traductor de poziție al rotorului. Varianta este denumită convertor indirect cu frecvență comandată de rotor sau „motor cu comutator electronic”.

Fig. 7.32. Schema de principiu a cicloconvertorului (a); tensiunea și curentul de sarcină la sarcină rezistivă și  $\alpha = 0$  (b); tensiunea și curentul de sarcină la sarcină inductivă și  $\alpha = 0$  (c); tensiunea  $U_s$  de frecvență  $f_s$ , (d); tensiunea și curentul de sarcină la sarcină rezistivă și  $\alpha \neq 0$  (e); tensiunea și curentul de sarcină la sarcină inductivă și  $\alpha \neq 0$  (f).

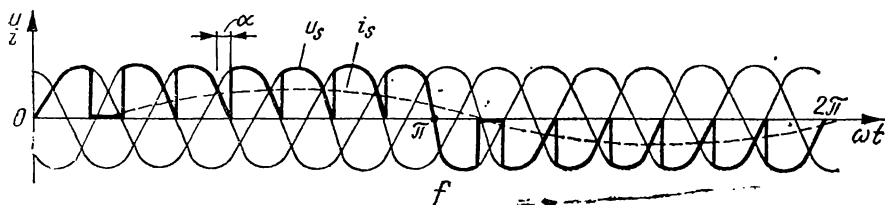
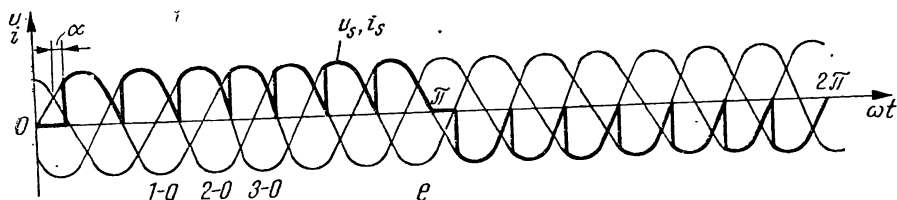
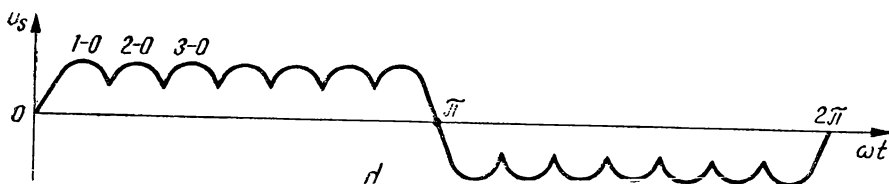
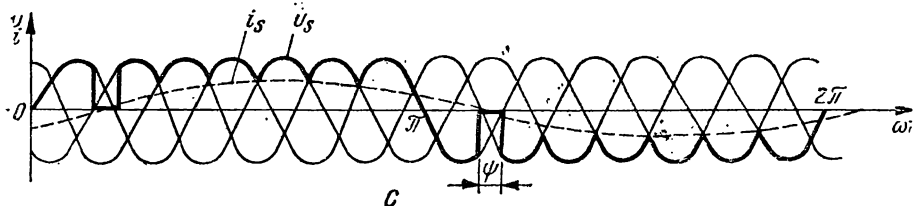
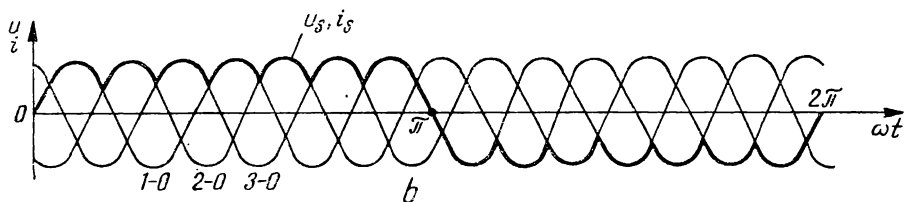
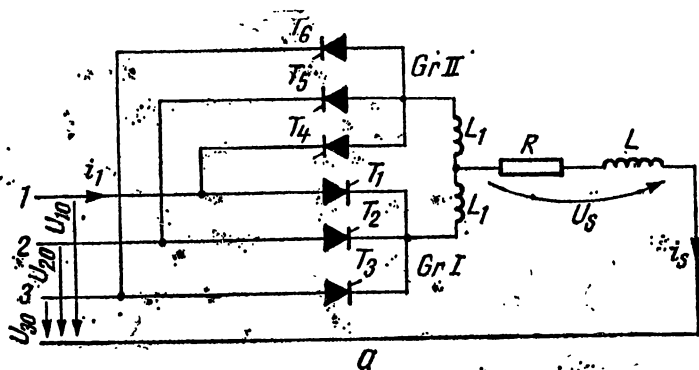
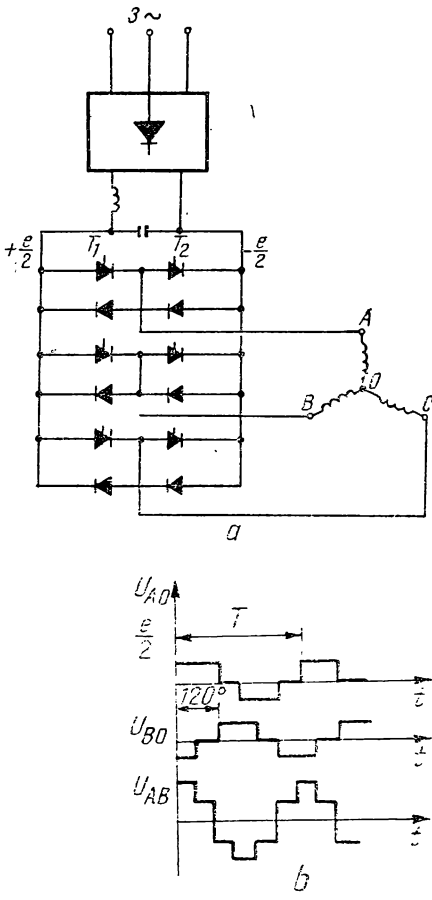


Fig. 7.33. Convertizor indirect cu frecvență comandată independent (a); forma tensiunii pe faze ( $u_{AO}, u_{BO}$ ) și a tensiunii de linie  $u_{AB}$  (b); tensiunea  $u_{AO}$  obținută printr-un tren de impulsuri (c).



Convertizorul indirect cu comandă independentă a frecvenței (fig. 7.33) utilizează tiristoare în regim de comutație forțată. Convertizorul este prevăzut cu un circuit intermediar de tensiune continuă. Fiecare fază a motorului asincron (sincron) este conectată la borna pozitivă și respectiv negativă a sursei prin câte un tiristor cu blocarea forțată. În paralel cu fiecare tiristor există câte o diodă pe care se comută curentul în momentul blocării tiristorului, pentru a evita supratensiunile cauzate de inductanțele statorului. Prin circuitul descris se poate obține o tensiune pe stator de o formă dreptunghiulară (fig. 7.33,b). Se conectează inițial faza A la borna sursei prin  $T_1$ , pe o durată de  $120^\circ$ . În alternanța următoare se conectează prin  $T_2$  la borna negativă a sursei și se deconectează apoi după  $120^\circ$ . Fazele B și C sînt conectate analog, însă cu un defazaj de  $120^\circ$  respectiv  $240^\circ$  față de tensiunea aplicată fazei A. Tensiunea  $U_{AB}$  are valoarea maximă  $e$  și forma din figură. Modificarea frecvenței se face prin comanda adecvată a tiristoarelor, se scade perioada, păstrînd decalajele corespunzătoare între cele trei faze. Modificarea amplitudinii tensiunii alternative se face prin două procedee:

— se modifică tensiunea continuă  $e$ , utilizînd un redresor comandat; amplitudinea tensiunii alternative se modifică proporțional cu  $e$ .

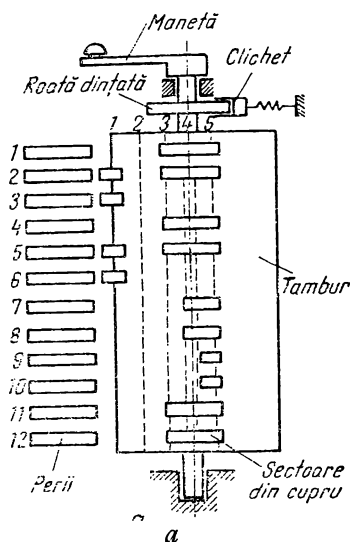
— se păstrează constantă tensiunea  $e$ , cu avantajul utilizării unui redresor simplu cu diode, iar pentru modificarea amplitudinii tensiunii alternative fiecare impuls de tensiune este obținut printr-un tren de impulsuri de pe rioada  $T_i$  (fig. 7.33,c); prin creșterea raportului  $t_c/T_i$  crește amplitudinea tensiunii alternative de perioadă  $T$ .

Metoda are dezavantajul că necesită un număr mai mare de tiristoare (principale și auxiliare) și necesită tiristoare rapide. Se aplică la alimentarea grupurilor de motoare asincrone conectate în paralel.

e) *Elemente de execuție cu rezistență variabilă.* Modificarea rezistenței se poate face continuu, prin reostate cu cursor, doar la curenți mici; Pentru acționările în trepte prin controler (comandă manuală), sau contactoare.

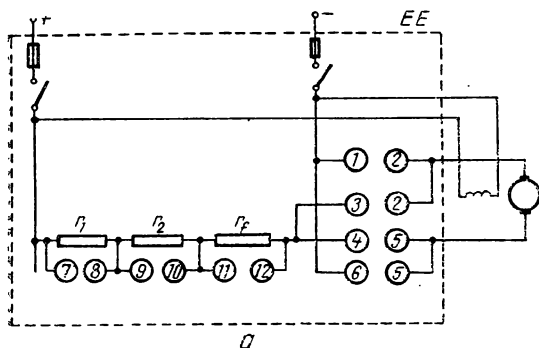
*Controlerul* este un aparat care conectează sau deconectează diverse circuite electrice, în funcție de poziția (unghiul)  $X_c$  a unei manete (fig. 7.34). Controlerul cuprinde un tambur din material izolant ce poate fi rotit cu ajutorul unei manete; tamburul se poate roti într-un număr fix de poziții, datorită unui dispozitiv de sacadare format dintr-o roată dințată, un clichet și un resort. Un număr de perii sînt conectate la circuitele exterioare. Pe tambur sînt fixate sectoare de cupru, de diverse lungimi și în diverse poziții, cu care periile pot face contact, sau nu — depinzînd de poziția manetei. Prin legăturile între sectoarele de cupru se asigură legături electrice între circuitele conectate la perii.

Legăturile electrice sînt reprezentate sub forma diagramei controlerului, care reprezintă suprafața desfășurată a tamburului (dacă generatoarea 4 este în dreptul periilor atunci se fac contactele: 1—2, 4—5, 7—8 și 11—12). În figura 7.35 se prezintă un element de execuție pentru un motor de curent continuu, cu rezistență variabilă prin controler;  $r_1$  și  $r_2$  sînt rezistențe de pornire, iar rezistența de frînare se realizează prin conectarea în serie a rezistențelor  $r_1, r_2$  și a rezistenței suplimentare  $r_f$ . Legătura între poziția controlerului și starea „închis” sau „deschis” a contactelor este dată în diagrama controlerului. În poziția de repaus toate contactele sînt deschise; pentru



Poziție Nr contact	1	2	3	4	5
	Frînă	Oprit	Mers 1	Mers 2	Mers 3
1					
2					
3	I				
4					
5	I				
6					
7					
8					
9					
10					
11					
12					

Fig. 7.34. Controler (a); diagrama controlerului (b).



Poziție	1	2	3	4	5
Contact	Frînă	Oprit	Mers 1	Mers 2	Mers 3
1-2			×	×	×
2-3	×				
4-5			×	×	×
5-6	×				
7-8				×	×
9-10					×
11-12			×	×	×

Fig. 7.35. Element de execuție cu rezistență variabilă prin controler:  
a — schema elementului de execuție; b — diagrama controlerului.

pornire se conectează indusul la rețea prin  $r_1 + r_2$  (poziția 3) această situație se realizează prin închiderea contactelor 1—2, 4—5 și 11—12.

Contactele 11—12 scot din circuit rezistența  $r_f$  (utilizată doar la frînare). În pozițiile 4 și 5 se scurtcircuitează suplimentar rezistența  $r_1$  și respectiv  $r_1 + r_2$ . Pentru frînare se trece maneta în poziția 1, în care indusul motorului se conectează la rețea rămînînd în circuit rezistența  $r_1 + r_2 + r_f$ . Controlerul prezintă dezavantajele: manevrarea depinde de operator; la curenți mari, pentru întreruperea rapidă a arcului electric trebuie un resort puternic la dispozitivul de sacadare; periile și sectoarele se uzează.

Aceste dezavantaje se înlătură în cazul schemelor cu contactoare.

Contactoarele (fig. 7.36) sînt dispozitive electromagnetice prevăzute cu o bobină care magnetizează o armătură fixă și o armătură mobilă, pe care sînt fixate 2—4 contacte. La alimentarea bobinei armătura mobilă este atrasă și contactele mobile realizează cîte o legătură electrică la 2—4 contacte fixe. Măsurî constractive (presiune mare pe contacte, camere de stingere) asigură ca prin contacte să poată trece curenți foarte mari. Bobinele

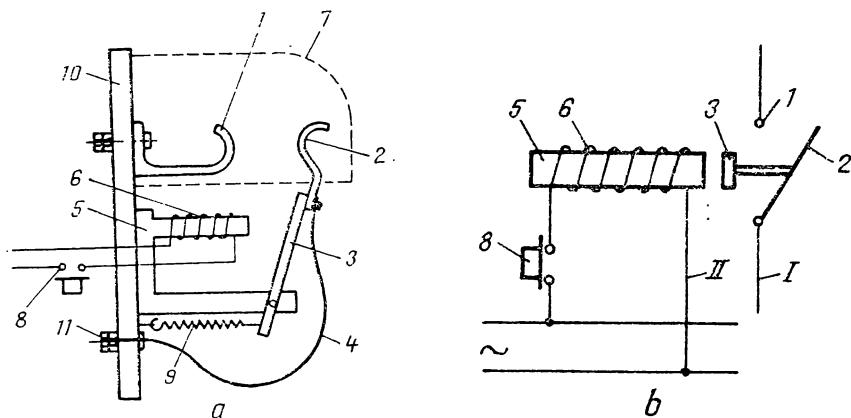


Fig. 7.36. Contactorul:

a — schema constructivă; b — schema electrică: 1 — contact fix; 2 — contact mobil; 3 — armătura electromagnetului; 4 — legătura flexibilă pentru trecerea curentului; 5 — electromagnet; 6 — bobina electromagnetului; 7 — camera de stingere; 8 — buton de comandă; 9 — resort de deschidere; 10 — placă din material izolant; 11 — borne de racord la circuitul exterior, I — circuit principal, II — circuit de comandă.



contactoarelor pot fi comandate în două moduri: printr-un controler, care de data aceasta este parcurs de curenți mici, rămîne însă comanda manuală; printr-un dispozitiv de automatizare, acesta stabilește automat momentul în care trebuie scurtcircuitate diversele trepte de rezistență.

## 7.2.4. TRADUCTOARE

În realizarea sistemelor cu anumite performanțe, o importanță deosebită are măsurarea anumitor mărimi fizice care dau informații asupra stării elementelor din sistem; aceste informații se obțin prin elementele denumite *traductoare* și servesc transmiterii unor comenzi. Traductorul are rolul să măsoare o mărime fizică din sistem (intrarea traductorului) și să transmită funcție de acesta o altă mărime (ieșirea traductorului), de natura fizică necesară DA și a cărei valoare este dependentă de intrarea traductorului. În cazul ideal mărimea de ieșire este strict proporțională cu mărimea de intrare  $x_e = kx_i$ , unde  $k$  este factorul de conversie al traductorului, dat de fabricant. Practic, există o abatere a ieșirii față de această valoare ideală, care definește clasa de precizie a traductorului și se exprimă prin  $\varepsilon\% = \max |x_{er} - kx_i| / kx_{in}$ . Mărimea  $\varepsilon$  este denumită și eroare relativă maximă. Numărătorul reprezintă cea mai mare abatere  $\Delta x_{em}$  între valoarea teoretică  $kx_i$  și indicația reală  $x_{er}$  de la ieșirea traductorului în tot domeniul de măsurare între valorile maxime pozitivă și negativă ale intrării  $+x_{in}$  ...  $-x_{in}$  și ținînd cont de variația condițiilor de măsurare (temperatură, timp). În cazul ideal, mărimea de ieșire este constantă dacă intrarea este constantă. În realitate, există fenomene care provoacă variații ale ieșirii. Peste mărimea constantă se suprapun mărimi alternative perturbatoare care trebuie eliminate, deoarece în DA sînt amplificate și duc la comenzi greșite. Eliminarea lor se face printr-un filtru electric (fig. 7.37); filtrul provoacă o întîrziere mică  $T_f$  a semnalului, dar mai mare decît perioada perturbațiilor. Cu cît este mai mare  $T_f$  față de perioada perturbațiilor, cu atît amplitudinea paraziților la ieșirea din filtru este mai mică. Mărimea întîrzierii provoacă însă și întîrzieri nedorite la transmiterea mărimii de ieșire adică  $T_f$  trebuie să fie cît mai mic. Valoarea optimă a lui  $T_f$  rezultă ca un compromis între cele două condiții. Rezultă că în regimul tranzitoriu perturbațiile mărimii de ieșire a unui traductor trebuie să aibă amplitudinea cît mai mică și frecvența cît mai mare. Amplitudinea perturbațiilor se definește prin gradul de undulație  $\gamma\% = x_{em} \cdot 100/x_{en}$ , la numărător fiind amplitudinea maximă a componentei alter-

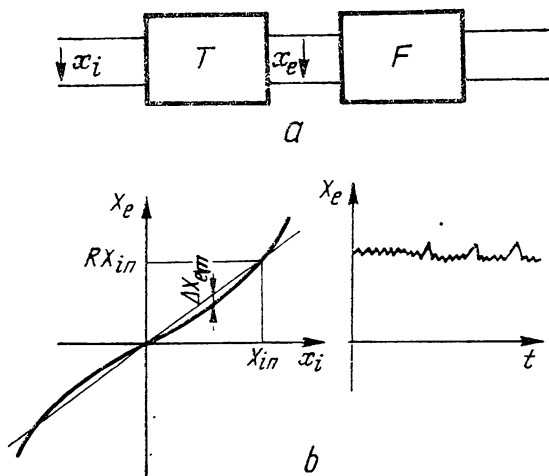


Fig. 7.37. Traductor cu filtru (a) precizia traductorului  $x_e = f(x_i)$  (b).

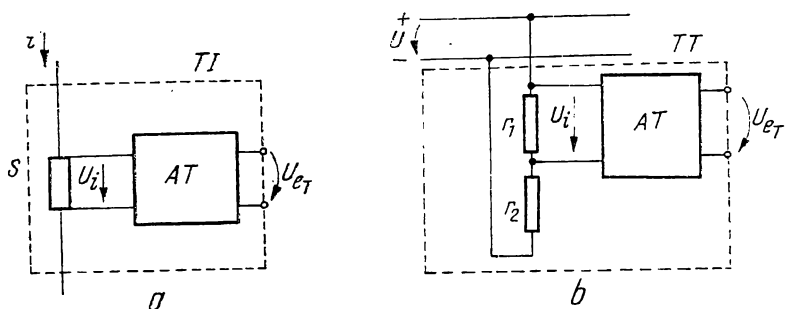


Fig. 7.38. Traductoare de curent continuu (a) și de tensiune continuă (b).

native a ieșirii, iar la numitor valoarea nominală a ieșirii. Mărimile  $\varepsilon$  și  $h$  reprezintă caracteristicile statice ale traductorului, iar gradul de ondulație și frecvența undulațiilor caracteristicile dinamice.

După modul de variație a mărimii de ieșire traductoarele pot fi de următoarele categorii: traductoare continue; traductoare numerice; traductoare de tip releu (mărimea de ieșire are două valori posibile).

a) *Traductorul de curent continuu și traductorul de tensiune continuă* utilizează același principiu, ilustrat în figura 7.38. Traductorul de curent este format dintr-un șunt  $s$ , parcurs de curentul de măsurat și amplificatorul de tensiune continuă (amplificator pentru traductoare— $AT$ ), care amplifică tensiunea de la bornele șuntului (de ordinul 0,1 V) la valoarea necesară regulatorului (de ordinul 10 V). Traductorul de tensiune cuprinde un divizor rezistiv  $r_1, r_2$  și un  $AT$  de același tip ca la traductorul de curent; acesta nu este necesar din motive de amplificare (tensiunea este mai mare de 10 V) ci pentru a realiza separarea galvanică a circuitelor de forță față de circuitele  $DA$ , în caz contrar se pot transmite impulsuri parazite de la circuitele de forță.

Amplificatorul de tensiune (fig. 7.39) funcționează astfel: se transformă tensiunea continuă de intrare într-o tensiune alternativă egală cu  $e$ , prin conectarea succesivă la una sau alta din extremitățile primarului transformatorului  $T_1$ , cu ajutorul unor contacte sincronizate.

Frecvența comutării este dată de un generator de tact  $GT$ . Pe înfășurarea primarului forma de tensiune va fi  $u_{T1}$  (fig. 7.39,b). Tensiunea din

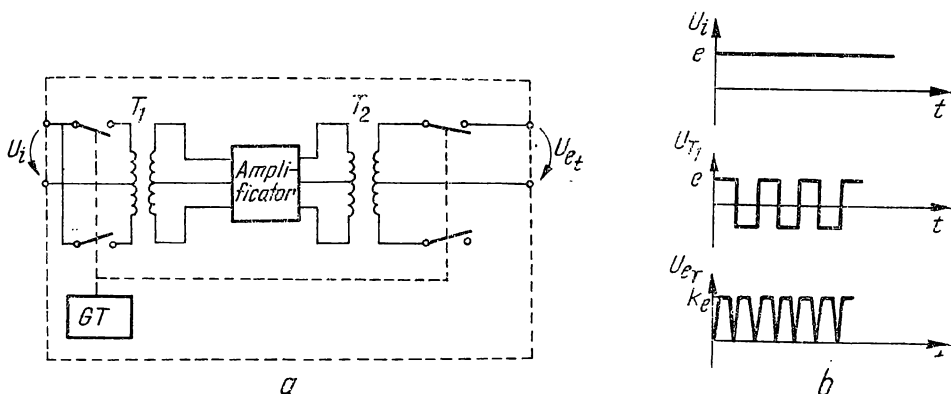


Fig. 7.39. Amplificatorul pentru traductoare (a); variația în timp a tensiunilor  $u_i, u_{T1}, u_{eT}$ (b).

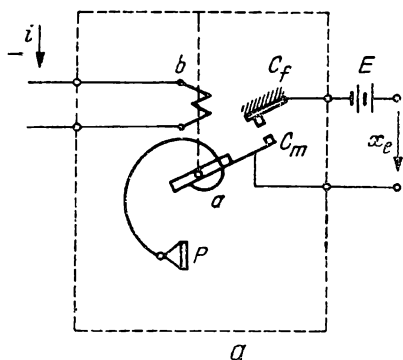
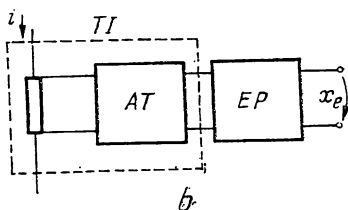


Fig. 7.40. Releul de curent:  
a — cu contactele mecanice; b — cu element prag (EP).



secundarul transformatorului este amplificată într-un amplificator de tensiune alternativă, cu tranzistoare, care alimentează transformatorul  $T_2$ . Ca urmare în secundarul acestuia tensiunea va fi de aceeași frecvență și formă ca  $u_{T1}$ , dar amplitudinea mai mare de  $k$  ori. Cu ajutorul a două contacte sincrone cu cele din primarul transformatorului  $T_1$  se obține la ieșire o tensiune continuă  $u_{eT}$ , de amplitudine  $ke$ . Tensiunea de ieșire nu este perfect continuă din cauza proceselor de comutație la închiderea și deschiderea contactelor sincronizate, are o componentă alternativă cu frecvența dată de frecvența de comutare a contactelor. Frecvența perturbatoare trebuie să fie mare, din acest motiv frecvența  $GT$  este de  $1 \div 1,5$  kHz. Comutările circuitelor se realizează cu grupuri de tranzistoare cu funcționare echivalentă cu a contactelor.

*Traductorul de curent și traductorul de tensiune* tip releu denumite și releu de curent, respectiv releu de tensiune, sînt aparate realizate pe principiul galvanometrului (fig. 7.40, a). Releul are o bobină cu miez magnetic. La trecerea curentului prin bobină apare un cîmp magnetic a cărui intensitate depinde de valoarea curentului (sau a tensiunii). Sub efectul acestui cîmp, armătura mobilă  $a$  tinde să se rotească în jurul axului, în sensul săgeții antrenînd contactul mobil ( $C_m$ ) și tensionînd resortul  $r$ , armătura mobilă se oprește în poziția în care se realizează echilibru de cupluri. La o anumită valoare a curentului (tensiunii) contactul mobil va atinge contactul fix ( $C_f$ ) și circuitul exterior se închide. Valoarea curentului (tensiunii) la care se închide contactul se ajustează printr-o pîrghie, care deplasează punctul  $p$  de articulație al resortului  $r$ . Prezența contactelor mecanice duce la uzură din acest motiv s-au realizat traductoare tip releu fără contacte, prin utilizarea unor dispozitive electronice de discretizare, denumite elemente prag. Elementul prag este conectat la ieșirea traductorului de curent continuu (tensiune) și are următoarea proprietate: dacă tensiunea la ieșirea  $TI$  este mai mică decît valoarea prag, tensiunea  $x_e$  la ieșirea  $EP$  este zero (fig. 7.40, b), iar dacă tensiunea la ieșirea  $TI$  este mai mare decît valoarea prag, tensiunea  $x_e$  are o valoare  $E$ .

b) *Traductorul de curent alternativ și traductorul de tensiune alternativă* se realizează prin transformatoare de curent (respectiv de tensiune) urmate de un redresor cu diode. Tensiunea redresată este aplicată pe rezistența  $r$  cu cursor, care permite ajustarea coeficientului  $k$  (fig. 7.41). Tensiunea la ieșire  $x_e$  are și o componentă alternativă (perturbații) ca efect al redresării

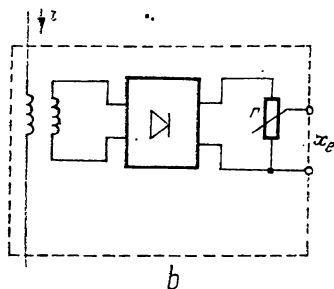


Fig. 7.41. Traductor de curent alternativ.

care nu are o frecvență suficient de ridicată ca să poată fi eliminată complet prin filtre. Traductoarele de curent sau tensiune alternativă tip releu se realizează analog ca la punctul *a*.

*c) Traductoarele de viteză unghiulară.* În acest scop se utilizează tahogeneratoare. Acestea sînt mașini electrice de mică putere care se folosesc în principal în instalații automate pentru a transforma vitezele de rotație în semnale electrice; sînt cuplate rigid cu arborele în rotație și funcționează în regim de generator. Tahogeneratoarele se mai folosesc (în special cele sincrone) pentru măsurarea vitezelor de rotație în locul tahometrelor mecanice, în acest caz la bornele de ieșire se conectează un voltmetru cu cadranul gradat direct în rot/min. Tahogeneratoarele sînt de curent continuu sau de curent alternativ. Tahogeneratoarele de curent alternativ pot fi sincrone și asincrone cu rotor în formă de pahar. La tahogeneratoarele sincrone cu rotorul cu magneți permanenți, cînd rotorul este în mișcare în înfășurarea statorică se induce o t.e.m. a cărei valoare efectivă este proporțională cu viteza de rotație. Deoarece frecvența t.e.m. este funcție de turație, odată cu variația turației se modifică structura impedanței totale a circuitului și deci și caracteristica de ieșire; din această cauză nu se utilizează în sistemele automate.

Tahogeneratorul asincron cu rotorul în formă de pahar este utilizat în schemele automate; frecvența de ieșire nu depinde de turația rotorului; ca și la servomotorul asincron pe stator sînt dispuse două înfășurări cu axele decalate la  $90^\circ$  o înfășurare de comandă și o înfășurare de ieșire. Tahogeneratoarele de curent continuu cu excitație cu magneți permanenți se utilizează pe scară largă, pentru ca frecvența perturbațiilor să fie ridicată, colectorul are un număr mare de lamele. Precizia poate ajunge la  $0,1\%$ . Tahogeneratorul este un generator de curent continuu de mică putere și are o construcție specială pentru obținerea unor caracteristici cu dependență redusă de temperatură sau timp (îmbătrînire). Traductoarele numerice de viteză se folosesc în diverse variante, în sisteme în care se cere o precizie deosebită și în care se utilizează *DA* numerică.

În figura 7.42 se prezintă un traductor numeric. Pe axul a cărui viteză se măsoară este cuplat un disc cu număr mare de fante (de ex. 1000). La fiecare rotație prin fante se transmit 1000 impulsuri luminoase de la o sursă de lumină la o fotodiodă, prin care sînt transformate în impulsuri electrice. Numărul de impulsuri electrice care apar în circuit într-un interval de timp fix  $T_e$  este proporțional cu viteza axului. Pentru obținerea acestui număr, impulsurile de la fotodiodă sînt transmise la un numărător; pornirea de la

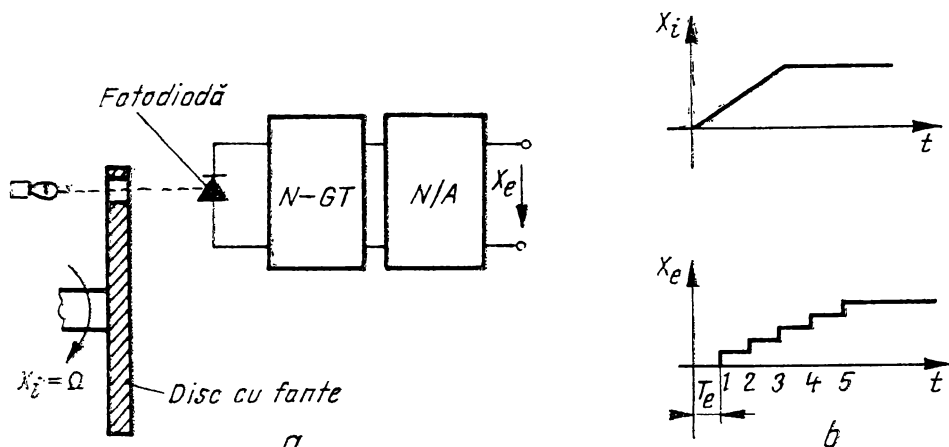


Fig. 7.42. Traductor numeric de viteză unghiulară (a):  $N-GT$  — numărător și generator de tact;  $N/A$  — convertor numeric-analogic; variația în timp a mărimilor de intrare  $x_i$  și de ieșire  $x_e$  (b).

zero a numărării și oprirea după timpul  $T_e$  este realizată de un  $GT$ . Rezultatul este obținut sub forma unui număr la ieșirea numărătorului, de unde denumirea de traductor numeric.

Traductoare de viteză tip releu se realizează prin relee de tensiune introduse în schemă în mod adecvat pentru a măsura viteza de rotație sau prin  $EP$  conectate la indusul unui tahogenerator.

În cazul în care în  $DA$  interesează o valoare limită a vitezei, atunci se poate realiza un traductor de viteză unghiulară ca în figura 7.43. În funcție de viteza unghiulară, greutatea dispozitivului centrifugal  $c$  se deplasează datorită forței centrifuge. Pe măsură ce viteza crește, greutatea se depărtează de axa de rotație, iar baza dispozitivului se deplasează în sensul săgeții, în același timp se deplasează și pârghia care poartă lamela metalică  $l$ . Prin lamelă și contactul fix  $C_f$  se poate închide sau nu circuitul de la bateria  $E$  la ieșirea  $x_e$ . La viteză mică nu se închide contactul; dacă viteza crește, în momentul în care atinge o valoare limită  $x_{ie}$ , contactul se închide și la ieșire se transmite tensiunea  $E$ . Valoarea  $x_{ie}$  se poate ajusta printr-o pârghie care este accesibilă operatorului, prin care se modifică poziția  $C_f$ . Acesta este un traductor de tip releu.

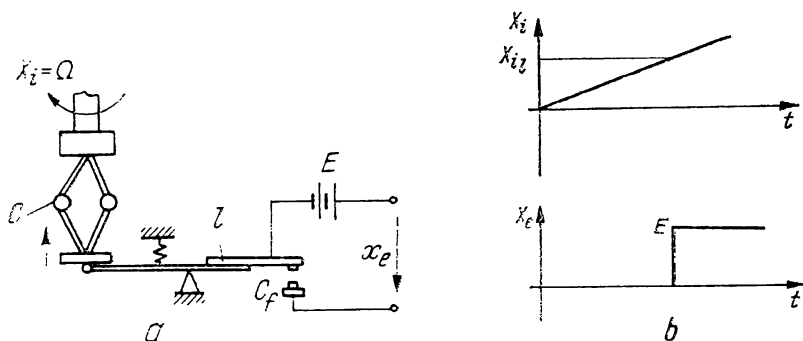


Fig. 7.43. Traductor centrifugal tip releu.

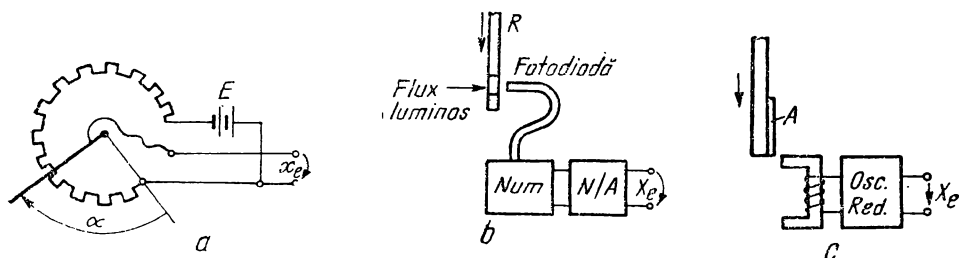


Fig. 7.44. Traductoare de poziție:  
a — rezistiv; b — numeric; c — tip releu.

d) *Traductoare de poziție.* Cel mai simplu traductor de poziție continuu este traductorul rezistiv (fig. 7.44, a). Traductorul cuprinde un potențiomtru alimentat de la o tensiune continuă constantă  $E$ . Axul potențiometrului este cuplat cu axul dispozitivului a cărei poziție trebuie urmărită. Tensiunea  $x_e$  măsurată între cursor și capătul potențiometrului este  $x_e = E\alpha / \alpha_{max}$ , unde  $\alpha_{max}$  este unghiul maxim al cursorului. Precizia crește cu numărul de spire înfășurate pe arc  $\alpha_{max}$ . Numărul este limitat de diametrul minim al sîrmei; din acest motiv s-au realizat potențiometre cu mai multe ture (elicoidale), la care  $\alpha_{max} = (2...5) 360^\circ$  și reostate potențiometrice pentru deplasări lineare mari.

*Traductorul de poziție numeric* (fig. 7.44, b) se realizează dintr-o riglă  $R$  transparentă, cu striții care nu permit trecerea luminii așezate între un emițător cu flux luminos concentrat și o fotodiodă; la fiecare trecere a unei striții, întreruperea fluxului luminos este transformată în impulsuri care sînt numărate cu un numărător. Numărul de la ieșirea numărătorului este proporțional cu deplasarea și poate fi utilizat într-un regulator numeric. Dacă se dorește obținerea unei mărimi continue se poate utiliza un convertor numeric-analogic. Un astfel de traductor sesizează deplasări începînd de la  $10^{-5}$  mm.

*Traductorul de poziție tip releu* se utilizează pentru a da un semnal în momentul în care obiectul în mișcare a ajuns la o anumită poziție (de ex. la capătul unei hale, în cazul podului rulant, în dreptul unui palier—cazul liftului). Se realizează cu ajutorul unui întrerupător (micro întrerupător) montat fix în locurile în care trebuie semnalizată prezența obiectului în mișcare. Pe obiectul aflat în mișcare (pod rulant, lift) se fixează o camă în așa fel încît la ajungerea în poziția de supravegheat contactul mobil să fie apăsător de camă și astfel circuitul exterior să fie închis. Prezența contactelor este dezavantajoasă din cauza uzurii. Un traductor de poziție tip releu fără contacte se realizează printr-un oscilator electronic, care intră în oscilație doar pentru o anumită valoare a inductanței  $L$  din circuit (fig. 7.44, c). Inductanța are o valoare foarte mare  $L_m$  în momentul în care obiectul în mișcare, care are prevăzută o armătură  $A$ , din material magnetic se află în dreptul miezului inductanței  $L$ ; în caz contrar inductanța are o valoare mică. Se ajustează circuitul astfel încît să oscileze la valoarea  $L_m$ . Prin redresarea tensiunii oscilatorului se obține o tensiune continuă la ieșire  $x_e$ . Cînd obiectul în mișcare se deplasează inductanța scade, oscilatorul iese din oscilație și  $x_e$  este zero.

## 7.2.5. ELEMENTELE DISPOZITIVELOR DE AUTOMATIZARE

Dispozitivul de automatizare efectuează o prelucrare a mărimilor primite la intrare și transmite o comandă  $x_c$  în sistem care urmărește să aducă mărimea de ieșire a sistemului la valoarea dorită, în cel mai scurt timp posibil. Fiecare *SEA* particular are un *DA* particular. Structura și parametrii *DA* se determină prin calcul în funcție de structura și parametrii celorlalte elemente din sistem, precum și funcție de performanțele sistemului, avîndu-se în vedere aspectul economic. În majoritatea situațiilor din practică se utilizează un număr mai redus de tipuri de *DA*, care pot fi fabricate în serie. Aceste tipuri de *DA* pot fi realizate pe baza combinării în diverse feluri a unor elemente componente standard care au unele caracteristici ajustabile (regatoare, relee). Dintre elementele standard cele mai uzuale ale *DA* se menționează:

- regatoare continue *PID*, care sînt cele mai răspîndite;
- regatoare numerice, a căror mărime de ieșire se obține sub formă numerică;
- relee cu și fără contact, instantanee și temporizate.

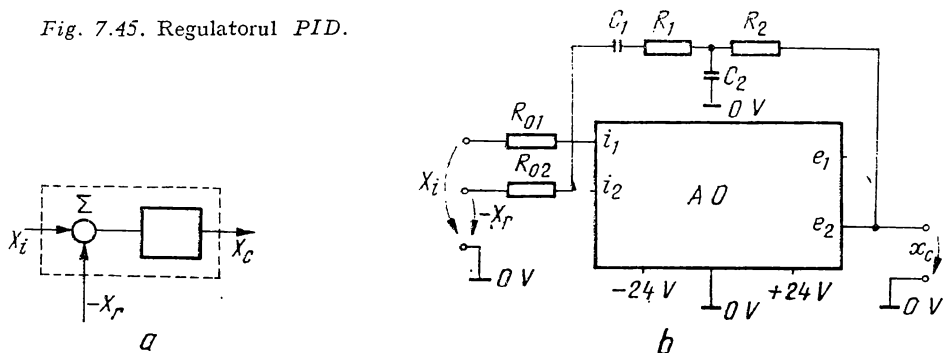
a) *Regulatorul PID* este un dispozitiv destinat să genereze o tensiune  $x_c$  care este suma a trei componente: o componentă proporțională cu intrarea (*P*), una proporțională cu integrala intrării (*I*) și a treia proporțională cu derivata intrării:

$$x_e(t) = k_p \varepsilon_i(t) + k_I \int \varepsilon_i(t) dt + k_D \frac{d\varepsilon_i(t)}{dt} \quad (7.6)$$

unde  $k_p$ ,  $k_I$ ,  $k_D$  sînt coeficienții ajustabili, iar  $\varepsilon_i(t) = x_i - x_r$ .

În figura 7.45 s-au prezentat simbolul în schemele de principiu și structura regulatorului *PID*. Regulatorul este format dintr-un amplificator electronic *AO* cu amplificare foarte mare (realizat cu tranzistoare sau circuite integrate) care servește efectuării unor operații matematice (relația 7.6), motiv pentru care este denumit amplificator operațional (*AO*). Amplificatorul se alimentează cu tensiuni continue de la o sursă de tensiuni stabilizate, de exemplu  $\pm 24$  V în varianta cu tranzistoare; *AO* are două intrări ( $i_1$ ,  $i_2$ ) și două ieșiri ( $e_1$ ,  $e_2$ ). Convenția notațiilor este următoarea: dacă semnalul la  $i_1$  este pozitiv, semnalul la  $e_1$  este pozitiv, iar la  $e_2$  negativ. Pentru transmiterea semnalelor se utilizează doar bornele  $i_1$  și  $i_2$ . Mărimile de intrare și reacție se aplică pe două rezistențe  $R_{01}$ ,  $R_{02}$ , rezultînd abaterea. Pentru obținerea unei tensiuni la ieșire corespunzătoare relației (7.6), între

Fig. 7.45. Regulatorul *PID*.



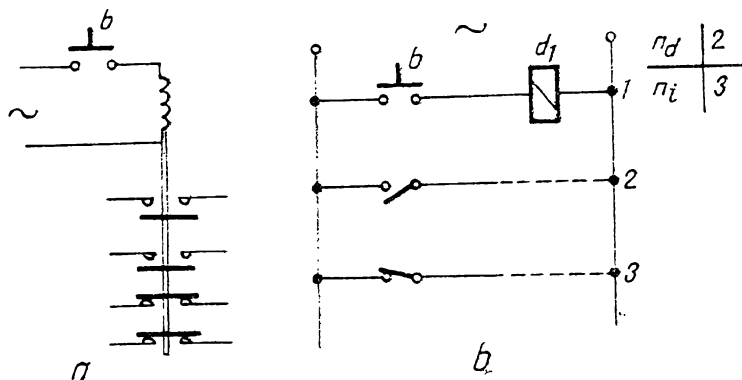


Fig. 7.46. Releul electromagnetic (2 contacte  $n_d$  și 2 contacte  $n_i$ ) (a); simbolizarea releului în schemele de principiu (b).

ieșirea  $e_2$  și intrarea  $i_1$  se conectează un circuit cu rezistențe și condensatoare (legătură denumită reacție negativă). Fiecare din circuitele de reacție modifică coeficienții din relația (7.6); condensatorul  $C_1$  dă efectul de integrare și în lipsa lui  $k_I=0$ ; condensatorul  $C_2$  dă efectul de derivare și în lipsa lui  $k_D=0$ ; rezistențele  $R_1$  și  $R_2$  dau efectul proporțional și în lipsa lor  $k_p=0$ .

b) *Releul*. În SEA este un dispozitiv cu proprietățile:

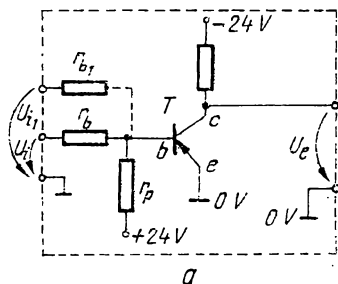
— modifică mărimi în diverse circuite electrice în funcție de comanda aplicată;

— atît comanda cît și mărimile comandate au un număr finit de stări (valori) de obicei două.

În figura 7.46 se prezintă un releu electromagnetic; releul are o bobină, care poate fi parcursă sau nu de curent, funcție de apăsarea butonului  $b$ . În situația în care bobina este alimentată, atrage o armătură mobilă pe care sînt fixate un număr de punți realizate din material conductor. În funcție de poziția armăturii, punțile scurtcircuitate au un număr de contacte electrice.

Fiecare contact poate fi introdus într-un circuit electric care va fi închis (parcurs de curent) sau deschis (fără curent) funcție de starea bobinei releului. Comanda se aplică prin bobina releului. Mărimea de comandă este curentul prin bobină, care poate avea două valori: zero sau nominală; se spune că bobina are două stări: nealimentată sau alimentată. Comanda se transmite prin contacte. Dacă fiecare contact alimentează bobina cite unui releu, mărimile comandate se pot considera curenți prin circuit, care pot avea două valori: zero sau nominală. Contactul are două stări: deschis sau închis. Un releu poate avea contacte normal deschise ( $n_d$ ) și contacte normal închise ( $n_i$ ). Contactul normal deschis este deschis dacă bobina este nealimentată și se închide dacă bobina este alimentată. Contactul normal închis este închis dacă bobina este nealimentată și deschis dacă bobina este alimentată. Dezavantajul principal al releelor electromagnetice constă în uzura mecanică a pieselor în mișcare și uzura contactelor electrice. SEA moderne cer siguranță mare în funcționare în condițiile unor solicitări mari a releelor, aceasta a condus la realizarea unor rele fără contacte electrice (utilizînd tranzistoare sau circuite integrate). Principiul de funcționare rezultă din însăși proprietățile tranzistorului.

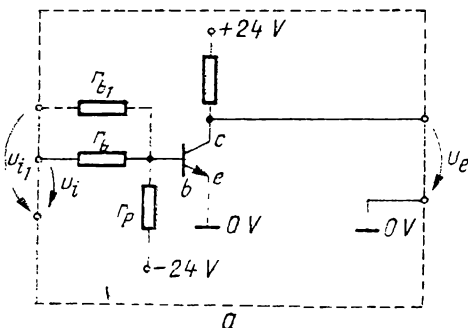




$U_i$	$U_e$
0 V (0)	-24 V (1)
-24 V (1)	0 V (0)

b

Fig. 7.47. Releu electronic cu tranzistor de tipul *pnp* (a); tabelul de legătură între mărimea de intrare și mărimea de ieșire (b).



$U_i$	$U_e$
0 V (0)	+24 V (+1)
+24 V (1)	0 V (0)

b

$U_{i1}$	$U_i$	$U_e$
0	0	1
1	0	0
0	1	0
1	1	0

c

Fig. 7.48. Releu electronic cu tranzistor *nnp* (a); tabelul de legătură între mărimea de intrare și mărimea de ieșire (b); valorile tensiunii de ieșire în funcție de tensiunea de intrare (c).

Fie un circuit ca în figura 7.47. Circuitul este alimentat de la două surse cu tensiunile  $-24\text{ V}$  și  $+24\text{ V}$ , față de potențialul  $0\text{ V}$  comun. Dacă tranzistorul  $T$  este comandat cu o tensiune pozitivă suficient de mare între baza  $b$  și emitorul  $e$ , atunci curentul care trece prin colectorul  $c$  și emitorul  $e$  este foarte mic, tranzistorul este blocat. Dacă se aplică între  $b-e$  o tensiune negativă suficient de mare, atunci rezistența  $c-e$  este zero — tranzistorul este saturat. Cu aproximație se poate considera că tensiunea la ieșire este zero la saturație și  $-24\text{ V}$  la blocare. Se convine să se facă notațiile: cu simbolul  $0$  pentru stările: bobine nealimentate, contact deschis, tensiune zero; cu simbolul  $1$  pentru stările: bobină alimentată, contact închis, tensiune  $-24\text{ V}$ . Cu aceste notații se constată că circuitul tranzistorizat realizează aceeași funcție ca și releul cu un contact normal închis.

La tranzistoarele tip *nnp* se schimbă doar polaritatea tensiunilor, în acest caz se notează cu  $1$  semnalul de  $+24\text{ V}$  (fig. 7.48). Circuitele din figurile 7.47 și 7.48 pot fi completate cu a doua intrare prin rezistența  $r_{b1}$ ; la aplicarea tuturor combinațiilor posibile de valori ale tensiunilor de intrare  $u_{i1}$  și  $u_i$  se obține tabelul din fig. 7.48). La ieșirea circuitului există semnal dacă NICI pe prima NICI pe a doua intrare nu există semnal. Din acest motiv un astfel de circuit cu mai multe intrări constituie un element NICI. În tehnologia modernă s-au realizat circuite integrate care înglobează într-un singur semiconductor toate circuitele necesare unui element NICI sau a altor elemente tip releu. Un asemenea element se simbolizează în scheme cu simbolul din figura 7.49.

c) *Releu cu întârziere.* În multe aplicații este necesar un releu care să închidă (sau să deschidă) contactele cu o întârziere (reglabilă) față de momentul alimentării sau întreruperii curentului prin bobină. Asemenea relee se pot realiza în varianta electromecanică, cu un mecanism de ceasornic sau în varianta electronică. În figura 7.50 s-au prezentat simbolizările unui releu electromecanic cu întârziere în două variante: întârzierea are loc după alimentarea bobinei (la anclășare), iar la pierderea alimentării revenirea

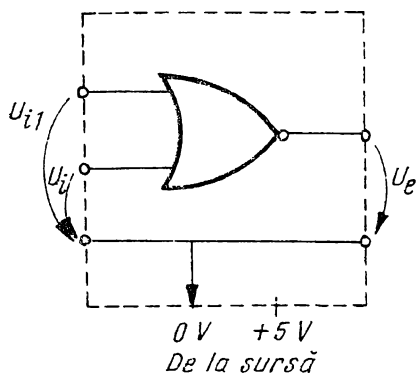


Fig. 7.49. Element NICI integrat.

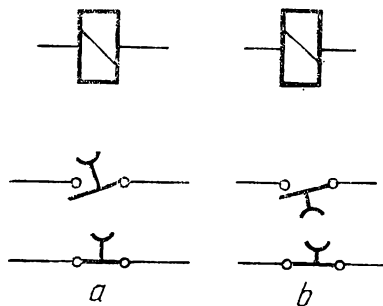


Fig. 7.50. Releu electromecanic cu întârziere.

contactelor este instantanee (fig. 7.50, *a*); sau întârzierea are loc la pierderea alimentării bobinei (la declanșare), iar la alimentare contactele sînt acționate instantaneu (fig. 7.50, *b*).

### 7.3. SISTEMELE ELECTRICE DE ACȚIONARE

Pentru construirea unui SEA s-ar putea porni de la performanțe, fără să se cunoască elementele componente. O astfel de metodă ar avea două dezavantaje:

- se poate ca din calcul să rezulte că sînt necesare elemente care nu se pot realiza (de exemplu elemente fără inerție);

- dacă totuși calculele s-au făcut astfel încît să se țină cont de posibilitatea de realizare, se poate ca elementele necesare în fiecare caz în parte să fie prea costisitoare.

Elementele se modifică și trebuie să se modifice continuu în funcție de necesitățile fiecărui nou sistem realizat. Parametrii sau chiar structura elementelor prezentate trebuie adoptate la cerințele sistemelor. Sistemele fiind complicate și necesitînd o optimizare tehnico-economică sînt necesare o serie de calcule.

Prin operații de calcul se pot obține două concluzii:

- cum funcționează un sistem care are o construcție dată; aceste operații sînt denumite *analiza sistemului*;

- cum se construiește un sistem care are o funcționare dată; aceste operații sînt denumite *sinteza sistemului*.

Metodele de calcul depind de proprietățile sistemului. Din acest punct de vedere sistemele se împart în trei categorii:

- *sisteme continue* sînt sistemele la care mărimile caracteristice ale elementelor sînt funcții continue de timp;

- *sisteme discrete eșantionate* sînt sistemele la care cel puțin una din mărimile variabile este cunoscută doar la anumite valori discrete de timp;

- *sisteme discrete cu stări finite* sînt sisteme la care mărimile variabile pot avea doar un număr finit de valori.

### 7.3.1. SISTEMELE DE ACȚIONARE ELECTRICĂ CONTINUE

Pentru înțelegerea principiilor de funcționare a SEA este necesar să se cunoască întârzierile elementelor și stabilitatea sistemului.

Întârzierile elementelor se datoresc proprietăților fizice ale elementelor componente și pot fi de două categorii: exprimabile prin constante de timp  $T$  sau prin timpi morți  $T_u$ . Un element cu o constantă de timp are o întârziere a ieșirii  $y$  față de intrarea  $x$  ca în figura 7.51, *a*. Dacă intrarea  $x$  are o variație în treaptă de amplitudine  $x_f$ , atunci ieșirea  $y$  tinde către valoarea  $y_f = kx_f$ , după o exponențială cu constanta de timp  $T$ . Constanta  $k$  se numește *coeficient de amplificarea*.

Un element cu un timp mort  $T_u$  are o întârziere a ieșirii  $y$  față de intrarea  $x$  ca în figura 7.51, *b*. Dacă intrarea  $x$  are o variație în treaptă de amplitudine  $x_f$ , atunci ieșirea va avea o variație de aceeași formă, de amplitudine  $y_f = kx_f$ , dar întârziată cu timpul mort  $T_u$ .

Stabilitatea sistemului se poate exprima ca fiind proprietatea sistemului automat ca în cazul în care primește o comandă  $x_i$  constantă să aducă eroarea către zero sau către o valoare finită când timpul tinde către infinit.

Realizarea unui sistem automat în circuit închis presupune parcurgerea a trei etape:

- scrierea modelului matematic al  $IA$ ,  $EE$  și  $TR$ ;
- calculul regulatorului adecvat;
- realizarea fizică a sistemului.

Calculul regulatorului presupune următoarele faze:

1. Se stabilește necesitatea reglării automate; în această fază se analizează conceptele de *răspuns* ale sistemului și performanțele sale. Aceasta constituie analiza sistemului. Se numește răspuns al sistemului variația în timp a ieșirii când la intrare se aplică un semnal cu o anumită variație în timp (de obicei se consideră o intrare treaptă). Determinarea răspunsului sistemului înseamnă rezolvarea ecuațiilor diferențiale care constituie modelul matematic în situația când intrarea este cunoscută.

În aprecierea rapidității și preciziei sistemului sînt necesare evaluări cantitative. Se numește *indice de performanță* o mărime a cărei valoare nu-

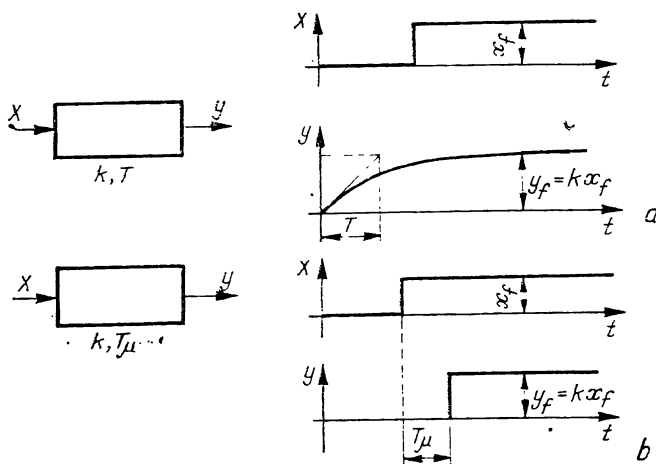


Fig. 7.51. Întârzierile elementelor sistemului.

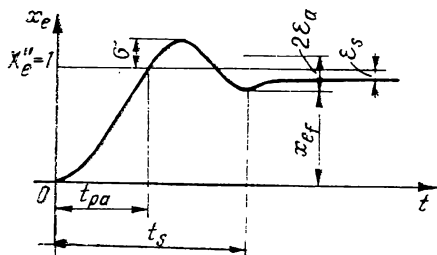


Fig. 7.52. Răspunsul standard:

$\varepsilon_a$  — abaterea admisibilă;  $\varepsilon_s$  — abaterea staționară;  
 $\sigma$  — suprareglajul;  $t_{pa}$  — timpul de primă anulare a  
 abaterii;  $t_s$  — timpul de stabilire.

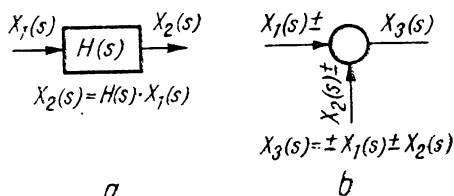


Fig. 7.53. Simboluri principale în schemele bloc.

merică, singură sau împreună cu altele este o măsură a calității sistemului. S-au definit indici de performanță în diverse moduri. În figura 7.52 s-au reprezentat cinci indici de performanță pe răspunsul la semnal treaptă care definesc calitatea sistemului în regim tranzitoriu.

2. Dacă s-a dovedit necesitatea sistemului automat se trece la calculul regulatorului, astfel încât sistemul incluzînd și celelalte componente să răspundă scopului propus. În această fază se va opera cu transformata Laplace și se vor defini funcțiile de transfer. Aceasta constituie sinteza sistemului.

Prin definiție, funcție de transfer (FT), notată  $H(s)$ , a unui element din sistem este raportul între ieșirea și intrarea elementului, exprimate în transformate Laplace.

Avantajul principal al transformatei Laplace constă în aceea că se poate afla răspunsul unui ansamblu de elemente fără a se determina ecuațiile diferențiale ale ansamblului, ci doar pe baza ecuațiilor diferențiale ale elementelor. Această simplificare se obține prin regulile de operare cu funcțiile de transfer, reguli care sînt cunoscute sub denumirea de „algebra schemelor bloc”.

În schemele bloc se utilizează simbolurile principale din figura 7.53. Simbolul din figura 7.53, *a* reprezintă un element cu ieșirea  $x_2$ , intrarea  $x_1$  și funcția de transfer  $H(s)$ , definit prin relația:  $x_2(s) = H(s)x_1(s)$ . Simbolul din figura 7.53, *b* definește un element în care ieșirea  $x_3$  se obține prin însumarea algebrică a mai multor intrări:

$x_3(s) = \pm x_1(s) \pm x_2(s)$ . Pe baza acestor simboluri se pot reprezenta ansamblele de mai multe elemente și se poate determina funcția de transfer a ansamblului. Dacă se consideră două elemente în serie cu funcțiile de transfer  $H_1(s)$  și respectiv  $H_2(s)$  atunci pot fi echivalate cu un element cu funcția de transfer  $H(s) = H_1(s) \cdot H_2(s)$ , (fig. 7.54), pentru  $n$  elemente în serie  $H(s) = H_1(s) \dots H_n(s)$ . Funcția de transfer echivalentă a ansamblului de elemente din figura 7.55 se poate pune sub forma:  $H(s) = H_1(s) / [1 + H_1(s)H_2(s)]$ ;  $\varepsilon(s) = x_i(s) - x_r(s)$ .

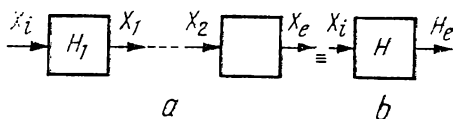


Fig. 7.54. Funcția de transfer a două elemente conectate în serie.

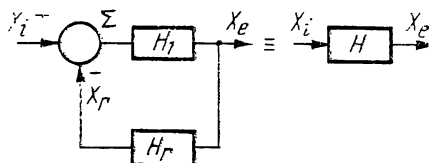


Fig. 7.55. Funcția de transfer a unui sistem cu reacție.

Funcția de transfer a unui sistem se poate pune totdeauna sub forma raportului a două polinoame în  $s$ :

$$H(s) = \frac{P(s)}{Q(s)} = \frac{b_m + b_{m-1}s + \dots + b_0s^m}{a_n + a_{n-1}s + \dots + a_0s^n}; \quad m \leq n. \tag{7.7}$$

Cu ajutorul acestei funcții de transfer se studiază stabilitatea sistemului prin diverse procedee.

### 7.3.2. SISTEME DISCRETE CU STĂRI FINITE

Aceste scheme folosesc îndeosebi elemente de tip releu cu două stări. Contactul  $b$  închis se exprimă prin  $b = 1$ , contactul  $b$  deschis se exprimă prin  $b = 0$ . Bobina  $m_0$  nealimentată se exprimă prin  $m_0 = 0$ , iar alimentată prin  $m_0 = 1$ , (fig. 7.56). Starea bobinei  $m_0$  depinde de starea contactelor din circuit. Se spune că starea bobinei este funcție de starea contactelor:  $m_0 = f(m_1, b)$ .

Funcțiile de variabile cu valori finite se numesc funcții logice. În tabelul 7.2 se prezintă funcțiile logice elementare: ȘI, SAU, NU, NICI, NAND; iar în figura 7.57 se prezintă modul de conectare a contactelor pentru fiecare funcție logică precum și schemele simbolice ale acestor funcții. Din figura 7.56 rezultă că bobina  $m_0$  este alimentată dacă ȘI  $m_1$ ; ȘI  $b$  sînt închise; prin conectarea în serie a contactelor se realizează funcția logică ȘI;  $m_0 = m_1 \cdot b$ .

Din figura 7.57 rezultă că bobina  $m_0$  este alimentată dacă SAU  $m_1$  SAU  $m_2$  sînt închise, prin conectarea în paralel a două contacte se realizează

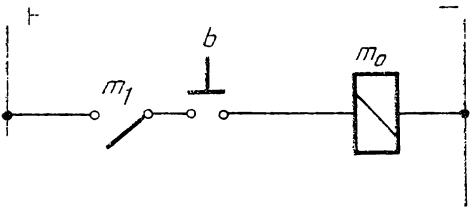


Fig. 7.56. Alimentarea unei bobine.

Funcții logice

TABELUL 7.2

Funcția ȘI			Funcția SAU			Funcția NU	
$m_1$	$b$	$m_0 = m_1 \cap b$	$m_1$	$m_2$	$m_0 = m_1 \cup m_2$	$d$	$d$
0	0	0	0	0	0	0	1
0	1	0	0	1	1	1	0
1	0	0	1	0	1		
1	1	1	1	1	1		

Funcția NICI			Funcția NAND		
$d_1$	$d_2$	$d_0$	$d_1$	$d_2$	$d_0$
0	0	1	0	0	1
1	0	0	1	0	1
0	1	0	0	1	1
1	1	0	1	1	0

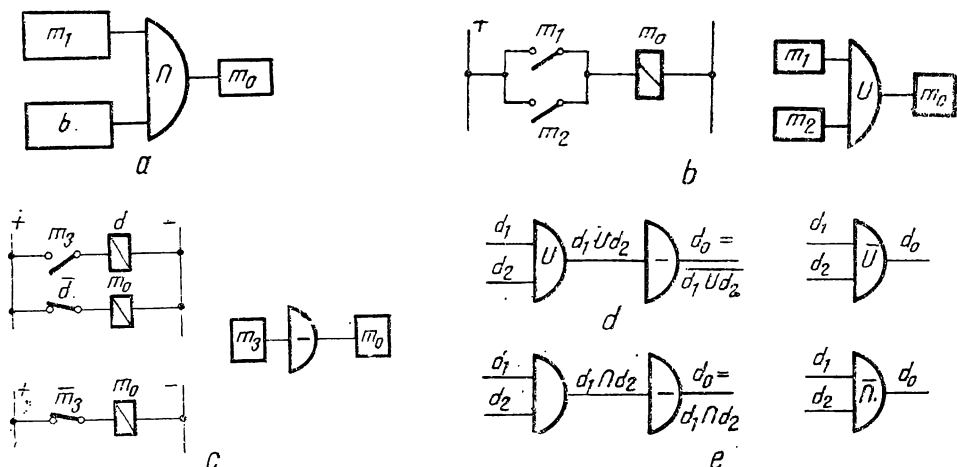


Fig. 7.57. Simbolul funcției logice ȘI, contactele sînt conectate în serie ca în fig. 7.56 (a); conectarea contactelor și simbolul funcției SAU (b); conectarea contactelor și simbolul funcției NU (c); simbolul funcției NICI (SAU—NU) (d); funcția logică NAND (ȘI—NU) (e).

funcția SAU:  $m_0 = m_1 \cup m_2$ . Funcție NU presupune ca  $m_0$  să fie alimentat dacă  $m_3$  NU funcționează.

Condiția se realizează prin intermediul unui al doilea releu  $d$  care are un contact normal închis  $\bar{d}$ ;  $m_0 = m_3$ , (fig. 7.57, c).

În schemele simbolice din practică nu se mai scriu expresiile intermediare rezultate din funcțiile logice, ci doar funcția  $m_0$  și variabilele de care depinde; în cîte o etichetă se scrie ce semnificație fizică are starea „1” a fiecăreia dintre variabile sau funcții. Funcțiile logice se pot realiza simplu printr-un circuit tranzistorizat sau prin circuit integrat.

Realizarea fizică a acestor sisteme presupune utilizarea de diverse elemente care să asigure acel mod de funcționare automată, exprimat prin funcții logice. *DA* și *EE* trebuie să cuprindă elemente cu funcționare tip releu, iar traductoarele tip releu cu contacte sînt cunoscute în practică sub denumirile:

- releu maximal (anclanșează cînd mărimea măsurată crește peste pragul stabilit);
- releu minimal (anclanșează cînd tensiunea scade sub pragul stabilit).

### 7.3.3. SISTEME DISCRETE EȘANTIONATE (NUMERICE)

La aceste sisteme mărimile variabile sînt cunoscute la anumite valori discrete de timp, de exemplu mărimea  $x^\circ(t)$  este o mărime cu aceeași variație ca și  $x(t)$ , dar valoarea lui  $x^\circ$  este cunoscută doar la momentele 0,  $T$ ,  $2T$ ,  $3T$ , ... (fig. 7.58). Mărimea de ieșire este cunoscută doar la valori de timp multiplu unei perioade  $T$  denumită *perioadă de eșantionare*. Există și alte sisteme eșantionate decît cele care operează cu numere.

Semnalele aplicate unuia sau mai multor blocuri ale sistemului sînt fie sub forma unui tren de impulsuri, fie sub forma unui cod numeric, cum

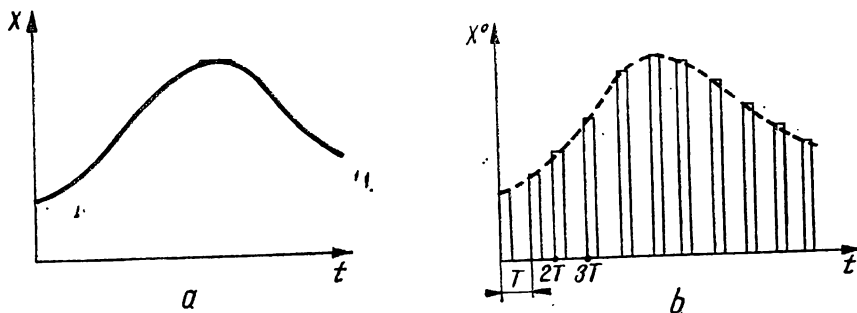


Fig. 7.58. Mărimă continuă (a); mărimă eșantionată (b).

ar fi codul binar. De obicei termenul de sistem cu eșantionare se referă la o clasă mai generală de sisteme ale căror semnale sînt sub formă de impulsuri, în timp ce termenul de sisteme automate numerice implică utilizarea unui calculator numeric sau a unui element de comparație numeric.

Pentru studiul sistemelor eșantionate există mai multe metode cu avantaje și dezavantaje, cea mai des întîlnită este *metoda transformatei z*. Utilizarea transformatei  $z$  pentru sistemele cu eșantionare este asemănătoare cu aplicarea transformatei Laplace la sistemele continue.

Transformata  $z = e^{sT}$  face posibilă descrierea sistemelor cu eșantionare prin ecuații în  $z$  cu coeficienți constanți și funcțiile de transfer devin funcții raționale de variabila  $z$ .

În scopul descrierii matematice a operației de eșantionare se consideră eșantionarea uniformă cu perioada de eșantionare  $T$  și durata eșantionării  $p$ , amplitudinea este egală cu unitatea (fig. 7.59, a). Semnalul de intrare în dispozitivul de eșantionare (DE) este o funcție continuă de timp, semnalul de ieșire al dispozitivului este un tren de impulsuri a cărui înfășurătoare este identică cu semnalul de intrare în cursul perioadelor de eșantionare. Funcționarea modulatorului de amplitudine a impulsurilor se descrie prin  $x_e(t) = p(t) x_i(t)$ .

În cazul unui DE ideal, semnalul de ieșire este un tren de funcții impuls  $\delta_T(t)$  modulate în amplitudine (fig. 7.59) și  $x_e^0(t) = x_i(t) \delta_T(t)$ , unde  $\delta_T(t) = \sum_{n \in \mathbb{Z}} \delta(t - nT)$ . Se poate scrie:

$$x_e(t) = x_i(t) \cdot \sum_{n \in \mathbb{Z}} \delta(t - nT) = \sum_{n \in \mathbb{Z}} x_i(nT) \cdot \delta(t - nT) \quad (7.8)$$

pentru  $x_i(t) = 0$  la  $t < 0$  relația (7.8) devine:

$$x_e(t) = \sum_{n \in \mathbb{N}} x_i(nT) \cdot \delta(t - nT): \quad (7.9)$$

Aplicînd transformata Laplace relației (7.9) rezultă:  $X_e^0(s) = \sum_{n \in \mathbb{N}} x_i(nT) e^{-nTs}$ , dacă se face substituția  $z = e^{Ts}$  se obține  $X_e^0(s) = X_e(z) = \sum_{n \in \mathbb{N}} x_i(nT) z^{-n}$  și  $X_e(z)$  se numește transformata  $z$  a funcției  $x_e(t)$ . Ca și transformata Laplace, transformata  $z$  se dă și sub formă de

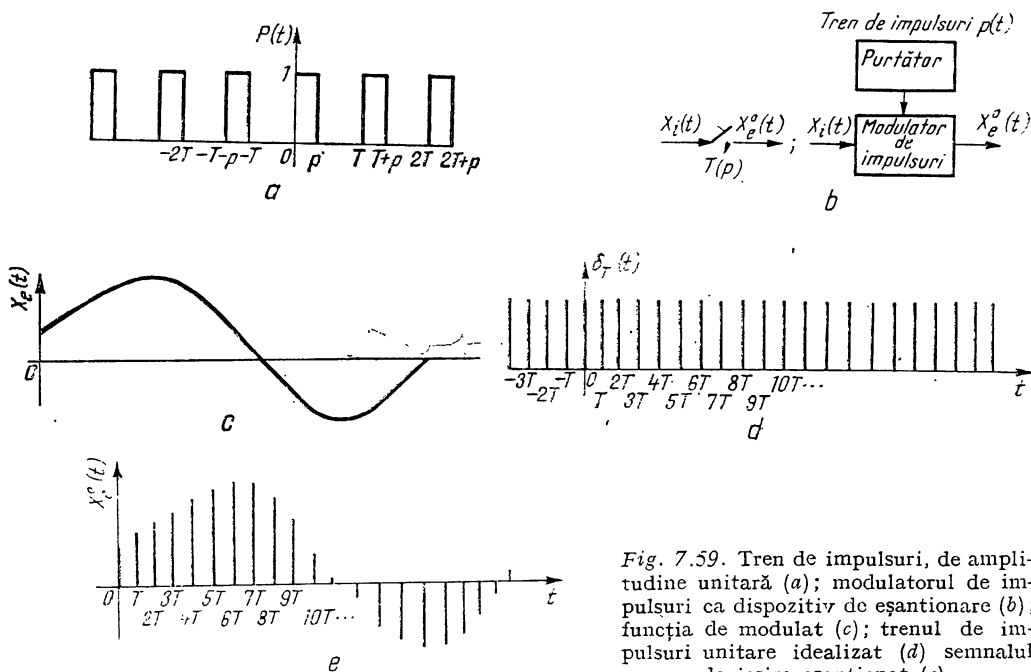


Fig. 7.59. Tren de impulsuri, de amplitudine unitară (a); modulatorul de impulsuri ca dispozitiv de eșantionare (b); funcția de modulat (c); trenul de impulsuri unitare idealizat (d) semnalul de ieșire eșantionat (e).

tabel pentru funcțiile elementare. Metoda transformatei  $z$  constituie un instrument convenabil pentru studiul sistemelor lineare cu eșantionare, totuși prezintă o serie de limitări, în anumite cazuri aplicarea ei prezintă dificultăți.

## 7.4. SCHEME DE COMANDĂ AUTOMATIZATE PENTRU PORNIREA MOTOARELOR ELECTRICE

Alegerea procedurii de pornire a motoarelor electrice este condiționată de factorii legați de cerințele sistemului de acționare electrică și de posibilitățile rețelelor uzinale de distribuție a energiei electrice. Se preferă o pornire lină, fără șocuri dinamice periculoase, mai ales a elementelor transmisiei. Curentul de pornire nu trebuie să conducă la suprasolicități termice, dăunătoare mai ales izolației înfășurărilor. Cuplul electromagnetic trebuie să asigure accelerarea rapidă a sistemului de acționare. Comanda pornirii poate fi făcută în mai multe moduri: în funcție de viteză, în funcție de curentul de sarcină, în funcție de timp.

### 7.4.1. PORNIREA MOTOARELOR ASINCRONE

În figura 7.60 se prezintă o schemă pentru pornirea directă și cu posibilitatea de inversare a sensului de rotație. Schema conține două contactoare  $c_1$  și  $c_2$ , câte unul pentru fiecare sens de funcționare. Apăsând pe butonul  $b_1$  se alimentează bobina contactorului  $c_1$  și se închid contactele  $c_1$



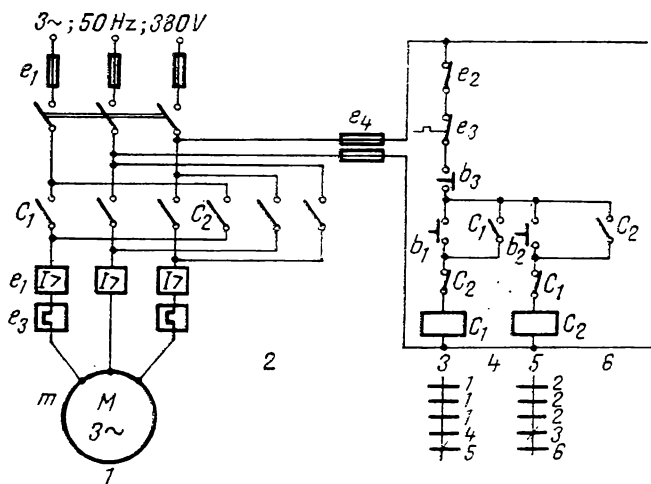


Fig. 7.60. Schemă de comandă automatizată a pornirii directe reversibile.

cuplînd motorul la rețea (întreruptorul  $a_1$  fiind închis); motorul pornește cu sensul de rotație determinat. Butonul  $b_1$  este dublat de contactul de autoreținere  $c_1$ , astfel că după ce butonul  $b_1$  nu mai este apăsă, contactorul să continue să fie alimentat. Pentru a realiza celălalt sens de rotație se oprește motorul prin apăsare pe butonul  $b_3$  și apoi se apasă pe  $b_2$ .

Contactele normal închise  $c_1$  și  $c_2$  nu permit conectarea simultană a celor două contactoare (altfel la comenzi greșite rețeaua este scurtcircuitată); aceste contacte formează o interblocare a contactoarelor (blocaj electric). Releele electromagnetice  $e_2$  de curent maximal ( $I >$ ) protejează motorul împotriva scurtcircuitelor, iar relele termice  $e_3$  protejează motorul la suprasarcini. Motorul mai este protejat la supracurenți și de siguranțele fuzibile  $e_1$ . Dacă sînt necesare mai multe puncte de comandă a pornirii și opririi, amplasate în diferite locuri, butoanele de oprire se conectează în serie, iar butoanele de pornire în paralel.

În figura 7.61 se prezintă schema pentru pornirea stea-triunghi. La apăsarea pe butonul  $p_1$  sînt alimentate simultan contactorul  $S$  și releul de timp  $1Rt$ . Se închid contactele  $S1$ ,  $S2$ ,  $S3$ , realizînd conexiunea stea a înfășurării statorice, se alimentează și contactorul  $L$  care conectează la rețea motorul. După un timp  $t_p$ , reglat anterior, releul de timp  $1Rt$  își deschide contactele  $1Rt_1$  astfel că  $S$  își pierde alimentarea și se închide contactul normal închis  $S5$ , deci se alimentează contactorul  $T$ , care închizînd contactele  $T_1$ ,  $T_2$ ,  $T_3$  conectează înfășurarea statorului în triunghi. Releul de timp  $1Rt$  este reglat la așa numitul timp de pornire, calculat pentru alunecarea inițială  $s_i = 1$  și alunecarea finală  $s = 0,05$ . Pornirea stea-triunghi se folosește pînă la  $150 \div 200$  kW și tensiuni pînă la 3 kV. Dacă după efectuarea pornirii apar sarcini reduse în funcționarea motorului, mai mici de  $P_n/3$  statorul poate fi conectat din nou în stea; curentul scade, factorul de putere și randamentul cresc. Pornirea stea-triunghi poate fi aplicată numai motoarelor asincrone a căror înfășurare statorică are accesibile toate cele șase borne, avînd tensiunea statorică de fază egală cu tensiunea de linie a rețelei de alimentare.

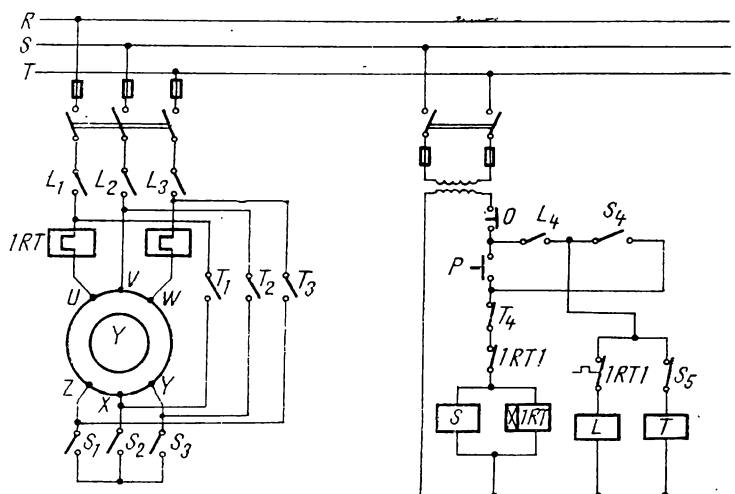


Fig. 7.61. Schemă de comandă automatizată pentru pornire stea-triunghi.

În figura 7.62 se prezintă schema principală de comandă automatizată a pornirii unui motor asincron trifazat cu rotorul în scurtcircuit de putere medie cu ajutorul unor bobine de inducție (reactoare) înseriate în fazele statorului. Prin închiderea butonului de pornire  $b_1$  contactorul  $c_1$  anclanșează și statorul motorului este alimentat prin intermediul bobinelor  $k$ . Prin contactul auxiliar normal deschis  $c_1$  din circuitul 4 este pusă sub ten-

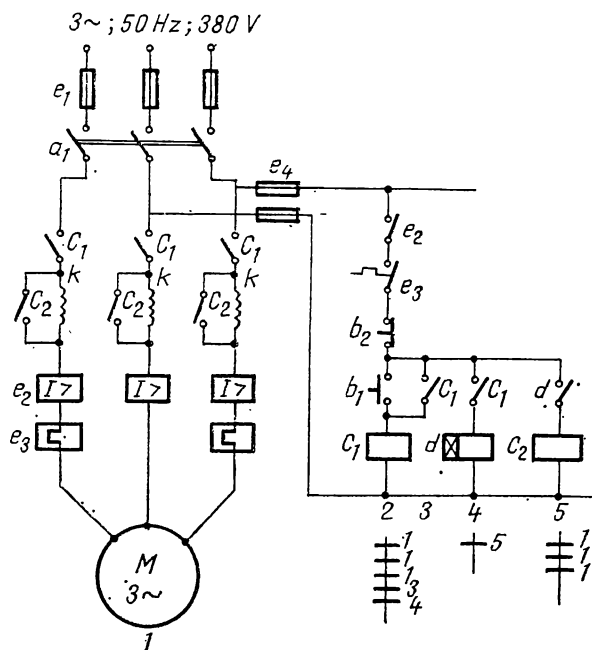


Fig. 7.62. Schemă de comandă automatizată a pornirii cu reactoare înseriate în circuitul statoric.

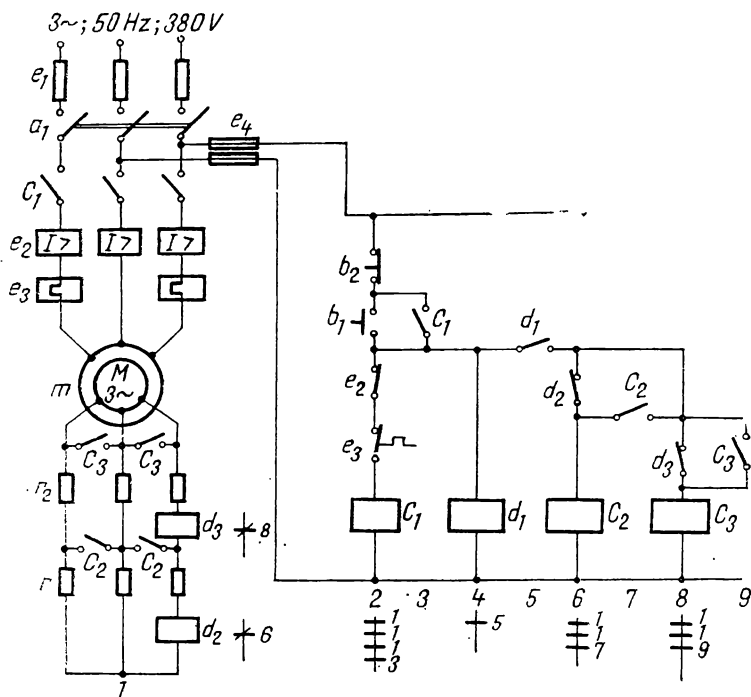


Fig. 7.63. Schema de comandă automatizată a pornirii în trepte de rezistență funcție de curent.

siune bobina releului de timp  $d$ . Acest releu își închide cu temporizare contactul din circuitul 5 și astfel contactorul  $c_2$  scurtcircuitează bobinele  $k$ , scoțându-le din funcțiune. Atît pornirea stea-triunghi cît și pornirea cu reductoare se face în gol sau cu cuplu static rezistent redus.

Motorul asincron cu rotorul bobinat poate fi pornit prin introducerea de rezistențe în circuitul rotoric. Pornirea se face în trepte cu ajutorul unor contactoare. Pentru exemplificare se prezintă în figura 7.63 pornirea cu două trepte. Se apasă butonul  $b_1$  și anclanșează contactorul  $c_1$  care conectează statorul la rețea. Motorul pornește avînd introduse în circuitul rotoric rezistențele  $r_1$  și  $r_2$ , simultan este pusă sub tensiune și bobina releului de blocare  $d_1$ . Timpul de funcționare al releului  $d_1$  este superior celui al releului de accelerare  $d_2$  (contactul închis  $d_2$  din circuitul 6 se va deschide înaintea închiderii contactului normal deschis din circuitul 5). În acest mod este blocată funcționarea contactorului  $c_2$  în timpul creșterii curentului la valoarea maximă  $I_1$ . Pe măsura accelerării rotorului, curentul scade. La valoarea minimă  $I_2$  a acestui curent, releul de curent  $d_2$  din circuitul 7 declanșează și se alimentează contactorul  $c_2$  din circuitul 6 care scurtcircuitează rezistența  $r_1$ . Curentul rotoric crește din nou la o valoare maximă și apoi scade la  $I_2$ , declanșează releul  $d_3$  care alimentează contactorul  $c_3$  din circuitul 8. Contactorul  $c_3$  scurtcircuitează bobina  $r_2$  și pornirea este terminată. Similar se procedează pentru un număr mai mare de trepte.

Pentru comanda automată a pornirii și frînării dinamice a unui motor în scurtcircuit se prezintă o schemă electrică în figura 7.64. Se acționează asupra butonului de pornire  $b_1$  și motorul va fi alimentat prin  $c_1$ ; releul

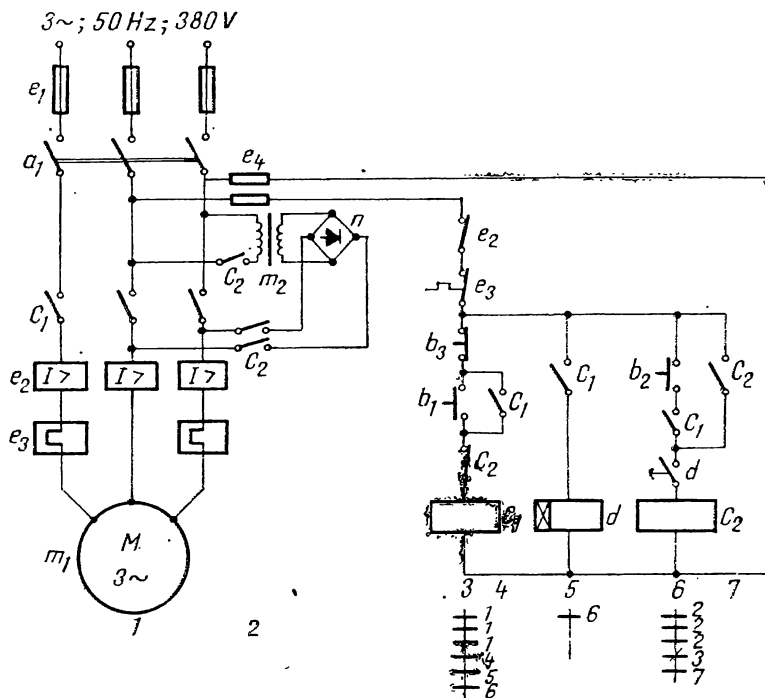


Fig. 7.64. Schemă de comandă automatizată a frânării dinamice.

de timp  $d$  anclanșează și închide contactul  $n.d$  cu temporizare la deschidere. Pentru oprirea cu frinare dinamică, se acționează butonul  $b_2$ ; anclanșează  $c_2$  care scoate de sub tensiune pe  $c_1$ , motorul este deconectat și alimentat pe două faze în curent continuu de la redresorul  $n$ , simultan releul  $d$  pierde alimentarea și începe temporizarea de deschidere a contactului din circuitul 6 (timpul de deschidere este mai mare decât timpul de frinare). Pentru oprirea fără frinare dinamică se apasă pe butonul  $b_3$ .

În cazul motoarelor monofazate înfășurarea în serie cu condensatorul se poate deconecta, motorul funcționând mai departe ca un motor asincron monofazat. La punerea sub tensiune a schemei din figura 7.65 în înfășurarea principală  $w_1$  circulă un curent mare ( $s=1$ ). Acest curent parcurge înfășurarea primară a transformatorului de curent  $TC$  și se induce în secundar o t.e.m. mare care se aplică porții triacului  $T_1$  și determină amorsarea acestuia, astfel înfășurarea  $w_2$  este pusă sub tensiune și motorul pornește. Curentul prin  $TC$  scade, iar t.e.m. indusă nu mai este suficientă pentru amorsarea lui  $T_1$  și faza  $w_2$  este deconectată. O schemă similară se poate folosi și în cazul utilizării a două condensatoare; la pornire se conectează în paralel, iar în timpul funcționării rămâne condensatorul cuplat între punctele  $a$  și  $b$ . Motoarele asincrone monofazate pot fi frinate în același mod ca motoarele asincrone trifazate. Pentru reversarea sensului de rotație a motoarelor monofazate se inversează sensul de alimentare a uneia dintre înfășurările statorice.

În figura 7.66 este arătată o modalitate de inversare a sensului de rotație. Transformatorul  $T_r$  are un secundar cu priză mediană rezultând două tensiuni egale și de sens opus.

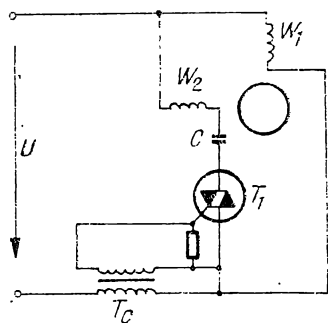


Fig. 7.65. Pornirea motorului monofazat.

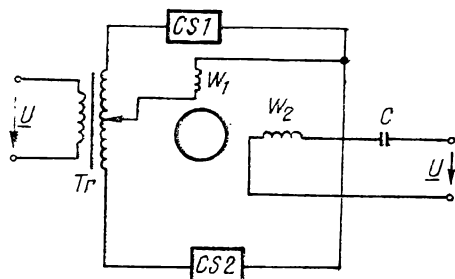


Fig. 7.66. Schemă de reversare pentru motorul monofazat.

Înfășurarea  $w_2$  este alimentată în serie cu condensatorul  $C$ . Prin comanda unuia dintre cele două contactoare statice de curent alternativ  $CS_1$  și  $CS_2$  se alege una dintre cele două tensiuni secundare care alimentează înfășurarea  $w_1$  și care determină sensul de rotație. Circuitele de comandă ale acestor contactoare trebuie să cuprindă elemente de temporizare care, la comanda de inversare a turației motorului să asigure o acționare întârziată a contactorului care urmează să intre în funcțiune, lăsând timp pentru contactorul care a condus ca să iasă din conducție. Între comanda de conectare și comanda de blocare trebuie asigurat un interval de timp de o perioadă a curentului alternativ de alimentare.

În figura 7.67 este reprezentată o schemă cu două triacuri  $T_1$  și  $T_2$ , funcționând cu o comandă de tip închis-deschis. Dacă comanda acestora este cu control de fază, atunci prin modificarea unghiului de amorsare, se poate modifica tensiunea aplicată înfășurărilor, care la motoarele cu rezistență rotorică mărită, produce o modificare însemnată a vitezei. La închiderea microcontactului  $K_1$ , triacul  $T_1$  va amorsa și  $w_1$  este alimentată direct cu tensiunea  $U$ , iar înfășurarea  $w_2$  se înseriază cu condensatorul  $C$  și motorul se va roti într-un sens. La închiderea lui  $K_2$  va amorsa  $T_2$ , înfășurarea  $w_2$  este alimentată direct cu tensiunea  $U$ , iar  $w_1$  va fi alimentată în serie cu condensatorul  $C$ , rezultă o inversare a sensului de rotație. Închiderea simultană a ambelor contacte  $K_1$  și  $K_2$  nu produce scurtcircuitarea sursei de alimentare ca la schema din figura 7.66. Dacă se închid simultan  $K_1$  și  $K_2$  ambele înfășurări sînt alimentate direct și în întrefier se produce un cîmp pulsatoriu în timp și spațiu și motorul nu pornește, dacă este în mișcare motorul continuă să se rotească. Motoarele asincrone monofazate se folosesc în sistemele de reglaj automat, la care în funcție de sensul abaterii dintre valoarea impusă a mărimii reglate și a valorii măsurate a acestei mărimi rezultă un semnal alternativ de o fază dată care este amplificat cu un amplificator de curent alternativ. Acest semnal amplificat alimentează înfășurarea de comandă a motorului.

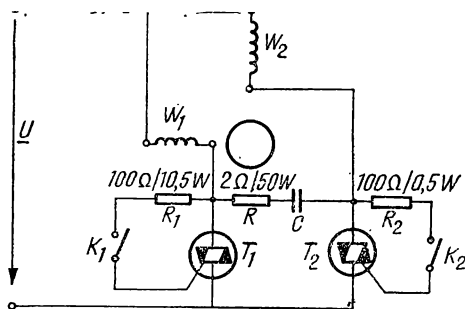


Fig. 7.67. Schemă de reversare cu două triacuri.

## 7.4.2. PORNIREA MOTOARELOR SINCRONE

Pornirea indirectă cu reactoare se realizează prin schemele electrice din figura 7.68. Pornirea se realizează în trei etape. Mai întâi, contactoarele  $c_2$  și  $c_3$  fiind deschise, se închide contactorul de rețea  $c_1$  și motorul pornește la o tensiune redusă. După ce a ajuns la o alunecare sub 0,05 se închide  $c_2$  care scoate din circuit rezistența de descărcare  $R_d$ , și curentul de excitație crește rapid. După o serie de oscilații motorul intră în sincronism. După aceasta se închide  $c_3$  care scurtcircuitază reactoarele  $k$  și motorul este alimentat la tensiunea nominală. Uneori trecerea de la tensiunea redusă la tensiunea nominală se poate face înainte de a se scurtcircuita rezistența de descărcare. Schema din figura 7.68, *b* are avantajul că contactorul de scurtcircuitare a reactoarelor  $k$  se dimensionează la un curent mult mai redus decât curentul de scurtcircuit al motorului. Prin dimensionarea corespunzătoare a reactanțelor, curentul de pornire este micșorat în proporția dorită, însă cuplul de pornire se micșorează și mai mult. În figura 7.68 se prezintă două sisteme diferite de excitație a motorului. Pentru excitație se folosește un transformator  $m_2$  și o punte trifazată cu diode  $u$  (fig. 7.68, *a*); puntea cu diode poate fi înlocuită cu un redresor comandat, iar în locul lui  $c_2$  se folosesc o diodă  $D$  și un tiristor  $T$  în opoziție. La pornire, în primele momente  $T$  este aprins și puntea  $u$  blocată, curentul alternativ indus în înfășurarea de excitație se închide prin  $T$ ,  $D$  (o alternanță prin  $T$  și cealaltă prin  $D$ ). După atingerea vitezei maxime, se blochează  $T$  și intră în funcțiune puntea  $u$ ; această punte permite forțarea excitației la pierderea sincronismului. Pornirea indirectă cu autotransformator se realizează pe baza schemei principale din figura 7.69. La pornire, se închid mai întâi întrerupătorul  $a$  și contactorul  $c_1$ , aplicîndu-se o tensiune redusă fazelor statorice prin intermediul autotransformatorului trifazat  $m_2$ , apoi se deschide contactorul  $c_2$  și pentru un timp scurt  $m_2$  are rolul bobinei de inducție; ulterior se închide

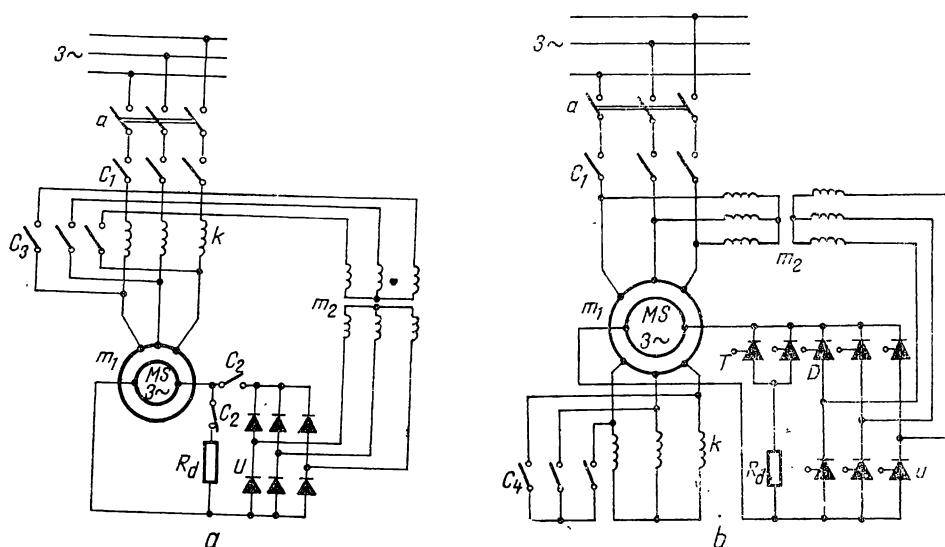


Fig. 7.68. Pornirea cu reactoare înseriate în circuitul statoric:

*a* — reactoarele înseriate la începutul înfășurărilor; *b* — reactoarele înseriate la sfârșitul înfășurărilor.

$c_3$  care scurtcircuitează autotransformatorul. Sistemul de excitație adoptat elimină inelele de contact. Forțarea excitației se realizează prin scurtcircuitarea rezistenței  $R_F$  cu ajutorul lui  $c_4$ . Rezistența  $R_a$  și puntea  $u_2$  rămân permanent în circuit. Schema se utilizează când nu este nevoie de un cuplu de pornire mare. De precizat că autotransformatorul trifazat are un preț de cost ridicat, schema are trei contactoare de putere și în caz de automatizare necesită mult aparataj de comutație și comandă.

În figura 7.70 se prezintă o schemă de alimentare roto-rică, fără inele colectoare și la care pornirea motorului se face în condiții optime și fără utilizarea contactoarelor. Curentul de excitație este furnizat de un alternator trifazat montat pe același arbo pe rotor.

Tensiunea alternatorului este redresată de puntea  $PD$ , care împreună cu celelalte elemente ale circuitului de excitație fac corp comun cu arborele motorului. La cuplarea la rețea a motorului în înfășurarea de excitație se induc t.e.m. și diodele punții sînt puternic polarizate invers; pentru a nu se străpunge aceste diode se prevăd tiristoarele  $T_1$  și  $T_2$ . Amorsarea lor se produce cînd tensiunea indusă depășește valorile tensiunilor de amorsare ale diodelor Zener  $DZ_1$  și  $DZ_2$ , deci foarte aproape de momentul trecerii prin zero a tensiunii alternative rotorice. La începutul procesului de pornire  $T_3$  nu amorsează deoarece tensiunea anodică și de poartă sînt în antifază, rezistența  $R$  este conectată în rotor mărind cuplul de pornire și limitînd curentul alternativ prin înfășurarea de excitație. Pe măsură ce rotorul ac-

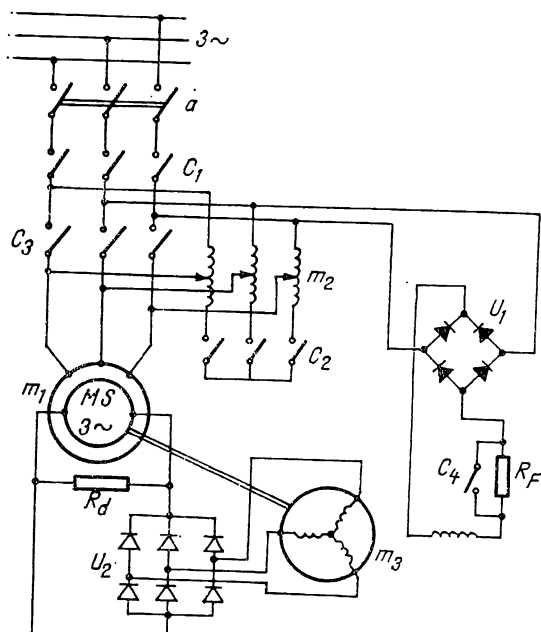


Fig. 7.69. Schemă de pornire cu autotransformato  
în stator și cu excitație statică (diode de putere  
în rotor.

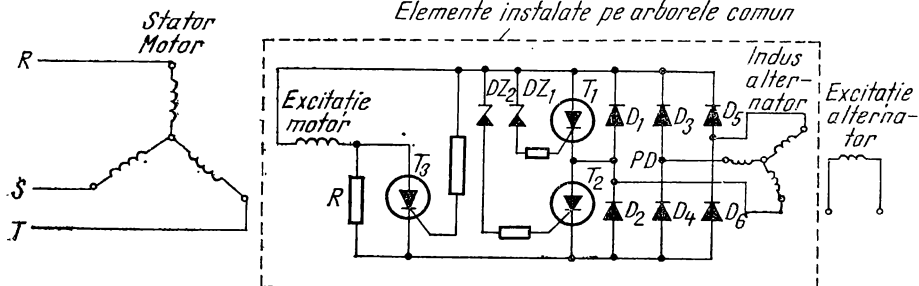


Fig. 7.70. Schema pentru pornirea automată a motorului sincron.

### 7.4.3. PORNIREA MOTOARELOR DE CURENT CONTINUU

536



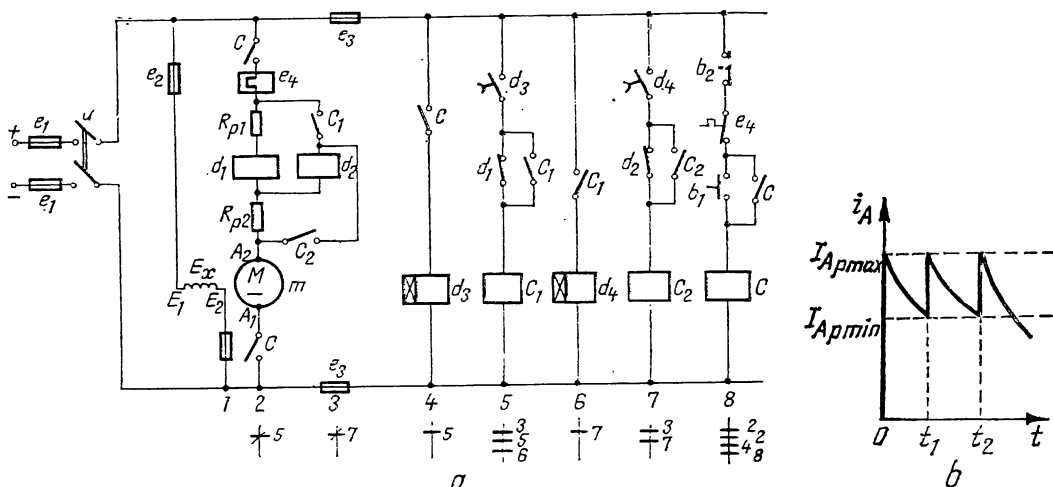


Fig. 7.72. Schema electrică de comandă automatizată a pornirii în trepte de rezistență în funcție de curent (a) și variația în timp a curentului, la pornire (b).

de anclanșare  $U_{c2} = k\Omega_2 + (R_A + R_{p3})I_{pmin}$  iar contactorul  $c_3$  are tensiunea de anclanșare  $U_{c3} = k\Omega_3 + R_A I_{pmin}$ . În acest mod se scurtcircuitază succesiv rezistențele  $R_{p1}$ ,  $R_{p2}$  și  $R_{p3}$ . Aceste scheme se utilizează la puteri reduse; necesită numai contactoare, dar prezintă dezavantajul că rezistențele de pornire se pot arde în cazul unei porniri prelungite fie din cauza unor defecțiuni, fie datorită unui moment de inerție mare.

Schema electrică de principiu a comenzii pornirii automatizate în funcție de curent în două trepte este prezentată în figura 7.72. Prin acționarea butonului  $b_1$  contactorul  $c$  anclanșează și motorul pornește, având toată rezistența  $R_{p1} + R_{p2}$  introdusă în circuitul rotoric. Curentul crește la valoarea  $I_{pm}$  și parcurgînd releul de curent  $d_1$  provoacă anclanșarea acestuia și se deschide  $d_1$  din circuitul 5, blocînd alimentarea lui  $c_1$ . Închizînd contactul  $c$  din circuitul 4 permite alimentarea releului auxiliar  $d_3$  al cărui contact  $d_3$  din circuitul 5 se închide temporizat; temporizarea este mai mare decît timpul propriu de acționare al releului  $d_1$ , dar mai mic ca  $t_1$ . La  $t = t_1$  cînd  $i_A = I_{pmin}$ , contactul  $d_3$  din circuitul 5 este închis, curentul de revenire al releului  $d_1$  este  $I_{pmin}$  și  $d_1$  la această valoare declanșează, închizînd contactul  $d_1$  din circuitul 5, contactorul  $c_1$  este alimentat și scurtcircuitază prima treaptă  $R_{p1}$  și închide contactele  $c_1$  din circuitul 5 (de autoblocare) și 6 prin care se alimentează releul auxiliar  $d_4$ . Curentul  $i_A$  crește la  $I_{pm}$  și parcurge bobina lui  $d_2$  care anclanșează, deschizînd contactul  $d_2$  din circuitul 7, și împiedică alimentarea lui  $c_2$ . Se închide contactul  $d_4$  din circuitul 7 înainte de  $t_2$  cînd  $i_A = I_{pmin}$ . În final, se alimentează  $c_2$  care scurtcircuitază a doua treaptă de rezistență. Schema are avantajul că se pot controla cu siguranță curenții  $I_{pm}$  și  $I_{pmin}$  dar conține multe contacte și relee, fiind deci scumpă și avînd siguranță scăzută în funcționare.

Schema principală de pornire automatizată în funcție de timp a motorului de curent continuu cu excitație derivație este prezentată în figura 7.73. Temporizarea releului  $d_1$  se determină ca diferența dintre timpul necesar menținerii primei trepte a reostatului și timpul propriu de anclanșare.

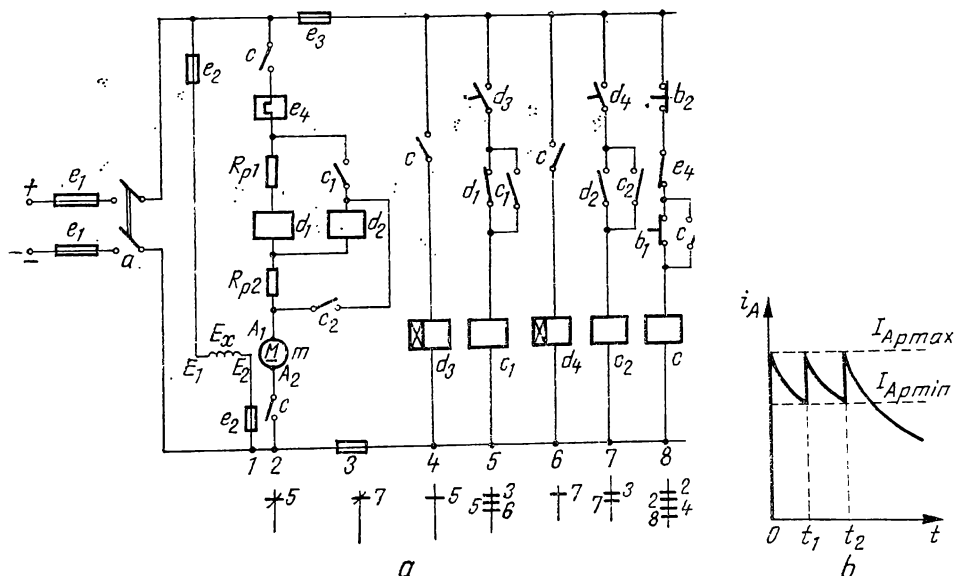


Fig. 7.73. Schema electrică de comandă automatizată a pornirii în trepte de rezistență în funcție de timp.

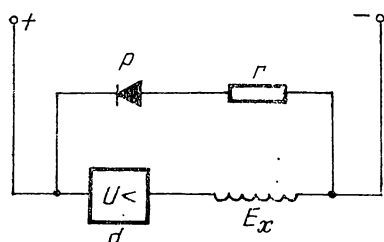


Fig. 7.74. Schema de protecție la supratensiuni a înfășurării de excitație.

treaptă  $R_{p2}$ . Pentru protecția înfășurării de excitație la supratensiuni se utilizează schema indicată în figura 7.74.

În figura 7.75 este prezentată schema completă de comandă a pornirii reversibile cu frânare contracurent unde relele de accelerare sînt rele de timp. Modul de funcționare al schemei se poate stabili ușor pe baza schemelor prezentate anterior.

## 7.5. SCHEME DE REGLARE A VITEZEI MOTOARELOR ELECTRICE

### 7.5.1. MOTOARE ASINCRONE

Reglarea vitezei de rotație a motorului asincron reprezintă o problemă de mare interes tehnic, deoarece acest tip de motor are o construcție simplă, este sigur în funcționare și mai economic în exploatare. În domeniul reglării

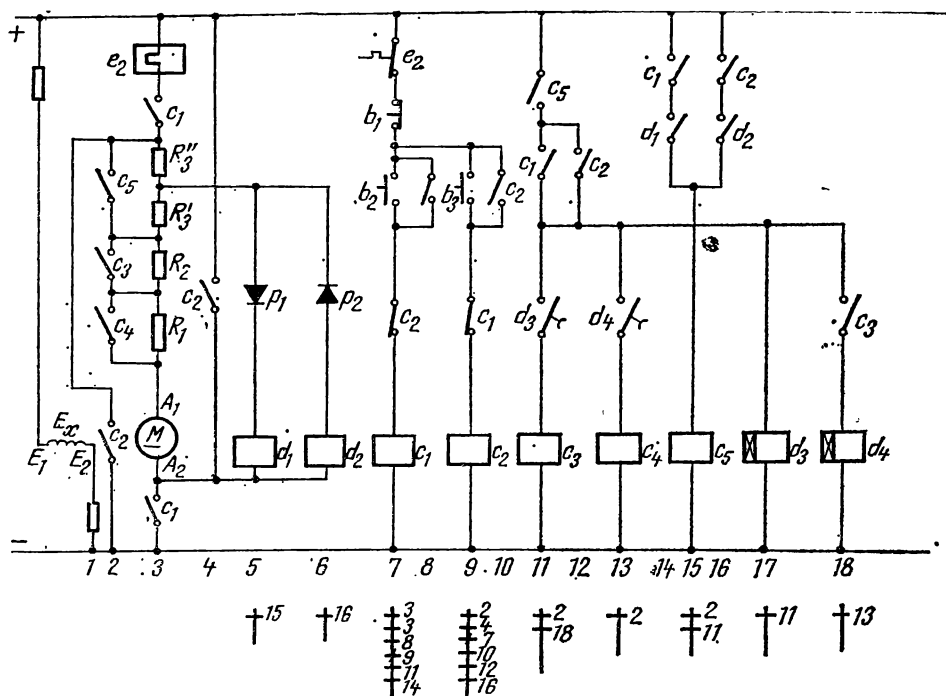


Fig. 7.75. Schema electrică de comandă automatizată a pornirii cu frinare la inversare.

vitezei motoarelor asincrone s-a ajuns la soluții neîntâlnite printre metodele convenționale: alimentarea prin impulsuri, alimentarea pas cu pas care permit aplicarea motorului asincron în sisteme de acționare deosebit de pretențioase (mecanisme de poziționare). În automatizarea acționărilor, reglarea continuă a rezistenței din circuitul rotorului se poate face în mai multe feluri. În figura 7.76 tensiunea variabilă cu alunecarea se redresează,

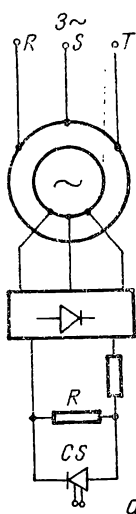
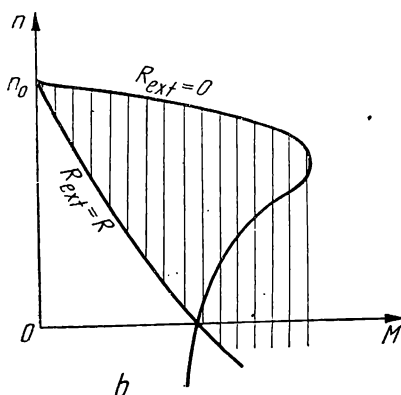


Fig. 7.76. Variația rezistenței circuitului rotorului cu ajutorul comutatoarelor statice (a) și caracteristicile mecanice (b).



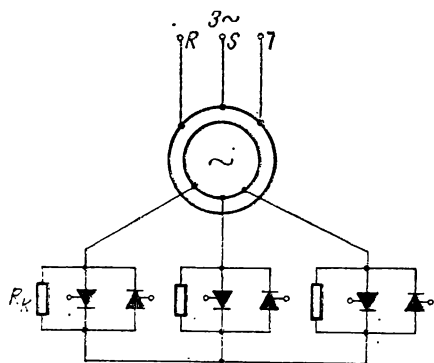


Fig. 7.77. Variația rezistențelor circuitului rotoric cu ajutorul perechilor de tiristoare montate în antiparelele.

rezistența  $R_k$  se conectează tiristoare montate antiparalel al căror unghi de aprindere poate fi comandat și astfel se modifică valoarea rezistențelor (fig. 7.77). Din cauza unghiului de aprindere, fundamentală curentului  $I_2$  va avea un defazaj față de tensiunea  $\bar{U}_2$ , ceea ce este echivalent cu introducerea în rotor a unei inductivități; capacitatea de încărcare și cuplul critic vor scădea.

Modificarea tensiunii statorice se poate face cu dispozitive de comutație statică. În figura 7.78 se prezintă câteva scheme de alimentare ale motorului asincron prin intermediul tiristoarelor. Fiecare schemă cuprinde trei perechi de tiristoare (TT) sau tiristoare-diode (TD), montate în antiparalel pe fiecare fază. Caracteristic schemelor,  $b$  și  $c$  este prezența în fazele motorului a armonicilor de ordinul  $3k$ ,  $k \in \mathbb{N}$ ; prezența acestor armonici înrăutățesc randamentul instalației de acționare. Schema  $a$  nu conține armonici de ordinul  $3k$ . În figura 7.79 se prezintă schema cu variator de tensiune cu tiristoare și reacție inversă. În circuitul statoric sînt montate cinci pe-

apoi se conectează pe rezistența  $R$  a cărei valoare poate fi modificată continuu cu ajutorul unui comutator static (Chopper) conectat în paralel. Prin modificarea raportului între timpul cît comutatorul CS este închis și timpul cît este deschis se poate obține orice valoare a rezistenței active din circuitul rotoric între 0 și  $R$ . Domeniul de reglare a turației este limitat între caracteristica naturală și cea artificială, corespunzătoare rezistenței  $R$ . Din cauza redresorului pot apărea oscilații de cupluri care la alunecări mici pot deranja sistemul de reglaj. Rezistențele circuitului rotoric pot fi variate dacă în paralel cu

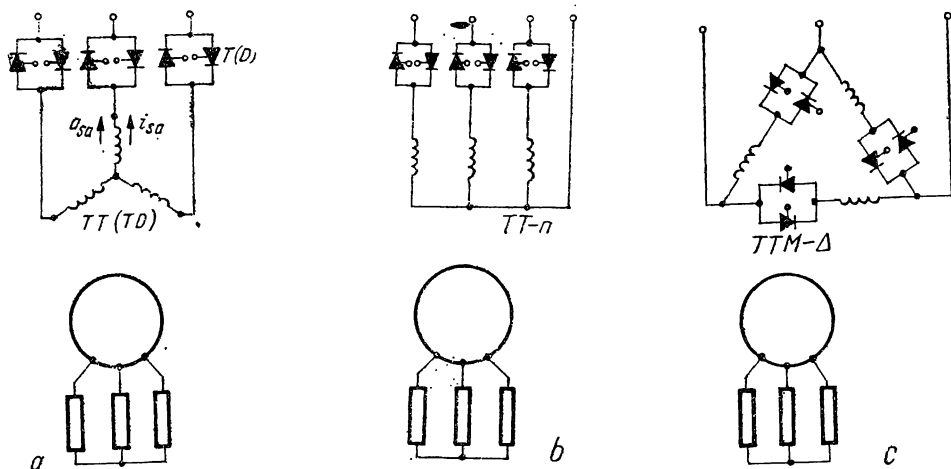


Fig. 7.78. Scheme trifazate cu tiristoare pentru reglarea tensiunii de alimentare.



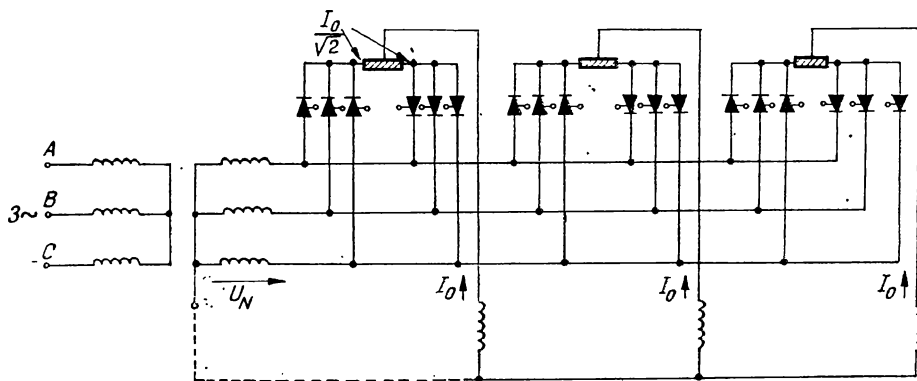


Fig. 7.82. Cicloconvertor cu circuit simetric cu trei impulsuri.

este reglată prin variația tensiunii de alimentare și variația rezistenței rotorice.

Reglarea turației prin reglarea frecvenței tensiunii de alimentare se realizează prin mai multe tipuri de scheme. În figura 7.82 se prezintă schema pentru un cicloconvertor cu trei pulsuri care cuprinde trei convertoare identice, câte unul pe fiecare fază. Secundarul transformatorului alimentează toate cele trei convertoare. Este de preferat utilizarea cicloconvertoarelor cu mai multe pulsuri deoarece se reduc armonicile din tensiunea de ieșire, însă crește complexitatea circuitului.

În figura 7.83, *a* și *b* sînt prezentate două scheme de invertare cu stingere autonomă pentru alimentarea motoarelor asincrone trifazate. Durata de conducție a tiristoarelor este  $120^\circ$ . Schema *a* reprezintă un invertor de tensiune format din tiristoarele principale  $T_1...T_6$ , diodele de curent invers  $D_1...D_6$ , diodele supresoare  $D_{s1}...D_{s6}$ , condensatoarele de stingere și bobinele de comutare  $L_1, L_2, L_3$ . Secvența de comandă a tiristoarelor este identică cu ordinea numerotării lor, aceasta însemnînd că la un moment dat sînt în conducție, pe  $60^\circ$ , simultan două tiristoare. Stingerea unui tiristor, de exemplu  $T_1$ , are loc prin deschiderea tiristorului  $T_3$ ; prin condensatorul  $C_{13}$  se negativează anodul lui  $T_1$ . Dioda  $D_{s1}$  protejează tiristorul stins  $T_1$  la supratensiune datorită întreruperii curentului în circuitul de ieșire *A*, iar dioda  $D_1$  permite trecerea curentului invers. În circuitul intermediar există o bobină și o capacitate de valoare mare pentru netezirea tensiunii redresate. Motorul este conectat prin bobinele de comutare și în acest fel invertorul dă la ieșire o tensiune dreptunghiulară cu interval de conducție de  $60^\circ$  pe fiecare tiristor. Schema *b* reprezintă un invertor de curent cu stingere autonomă, deosebirea față de schema *a* constă în aceea că lipsesc diodele de curent invers și bobinele de comutare, ceea ce are ca efect forma dreptunghiulară a curentului de ieșire, datorită acestui fapt se poate asigura motorului asincron un regim de funcționare discretă pas cu pas. Invertorul de curent are avantajul că încărcarea condensatorului nu se realizează sub tensiunea circuitului intermediar ci sub curentul de sarcină și deci are o funcționare sigură chiar la mersul în gol.

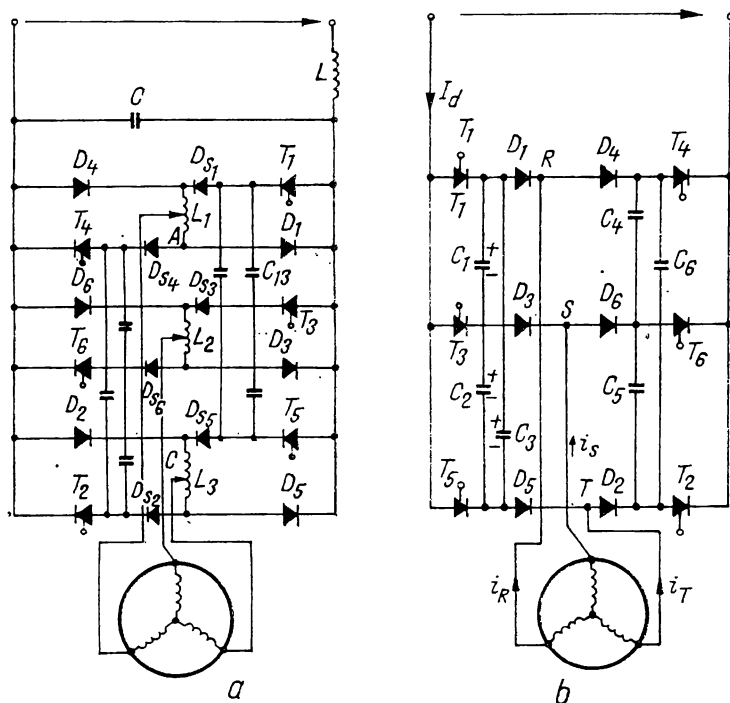


Fig. 7.83. Scheme de invertoare cu stingere autonomă.

În figura 7.84, *a* și *b* sînt prezentate două scheme de invertoare cu stingere independentă. Schema *a* reprezintă invertorul de tensiune. Tiristoarele principale  $T_{11}...T_{16}$  sînt stinse prin circuitele corespunzătoare formate din condensatoarele  $C_1, C_2, C_3$  și tiristoarele auxiliare de stingere  $T_{21}...T_{26}$ . La stingerea unui tiristor principal, de exemplu  $T_{11}$ , curentul inductor al sarcinii continuă să treacă prin dioda  $D_4$ , după care se reîncarcă condensatorul  $C_1$  prin  $D_1$  și  $L$ . Prezența bobinelor  $L$  face ca tensiunea să comute în circuitul de ieșire, din acest motiv invertorul se numește de tensiune. Schema *b* reprezintă invertorul de curent cu stingere independentă, format din tiristoarele principale  $T_{11}...T_{16}$  și tiristoarele auxiliare de stingere  $T_{21}, T_{26}$  împreună cu condensatoarele  $C_1, C_2, C_3$ . În circuitul de ieșire comută curentul. Lipsa bobinelor  $L$  și a diodelor de curent invers face ca în circuitul de ieșire curentul să aibă o formă dreptunghiulară.

Regimul pas cu pas al motorului electric se caracterizează printr-un câmp magnetic în întrefier a cărui axă ocupă în mod succesiv poziții discrete în același sens, numărul acestor poziții fiind multiplu de 3. Ca urmare mișcarea rotorului va consta din deplasări unghiulare elementare succesive. Acest regim poate fi creat prin alimentarea cu impulsuri a fazelor motorului într-o succesiune dată, de la o sursă de curent continuu.

Reglajul vitezei se face prin modificarea frecvenței impulsurilor aplicate pe fazele motorului. O astfel de schemă de principiu este prezentată în figura 7.85. De la generatorul de frecvență  $GF$  se obține o tensiune sinusoidală alternativă de frecvență variabilă, care se aplică la intrarea formatorului de impulsuri.

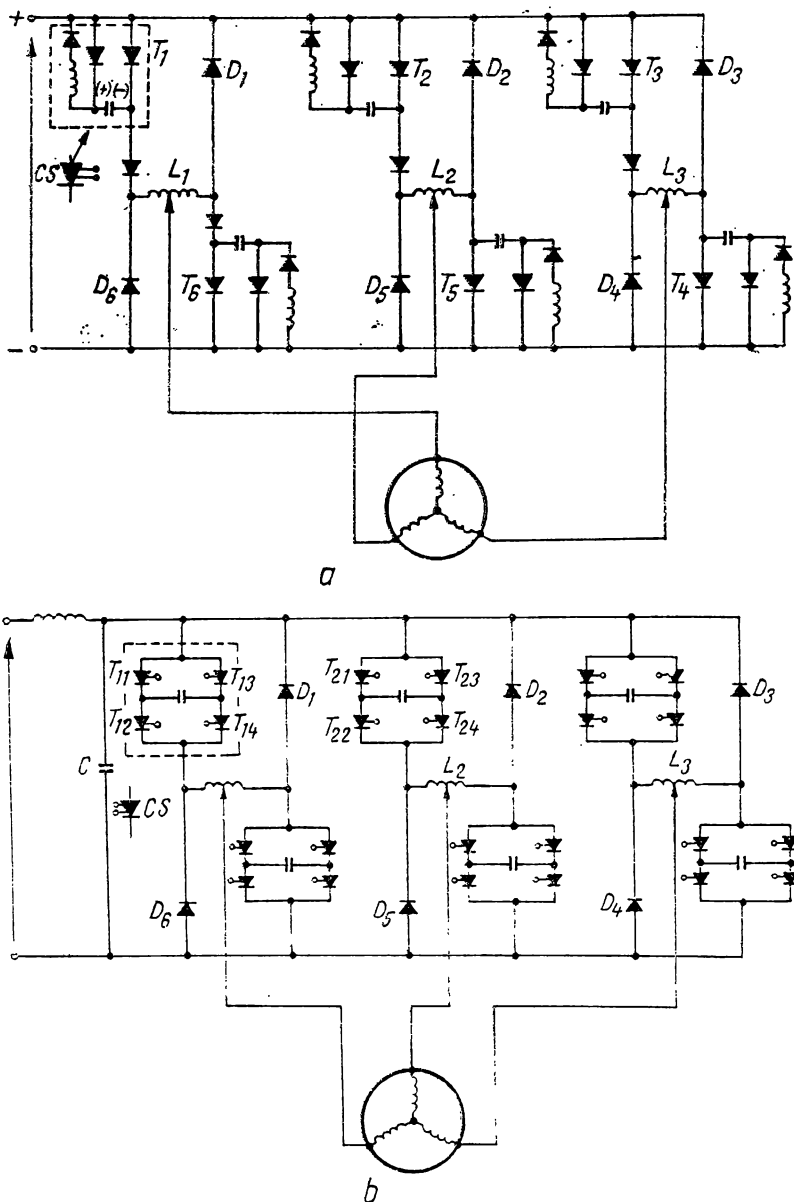


Fig. 7.84. Scheme de invertoare cu stingere independentă.

La ieșirea formatorului de impulsuri se obțin impulsuri de lățime și amplitudine determinată și a căror frecvență este egală cu frecvența semnalelor aplicate la intrarea distribuitorului, iar în  $DC$  se realizează amplificarea de putere.

Reglajul vitezei motoarelor asincrone pe principiul orientării după câmp (Transvektor) este un sistem astfel conceput încât este aplicabil pentru orice tip de convertor static. Componenta după axa  $d$  a curentului respectiv  $i_a$  este orientată după axa fluxului magnetic și este componenta de magne-



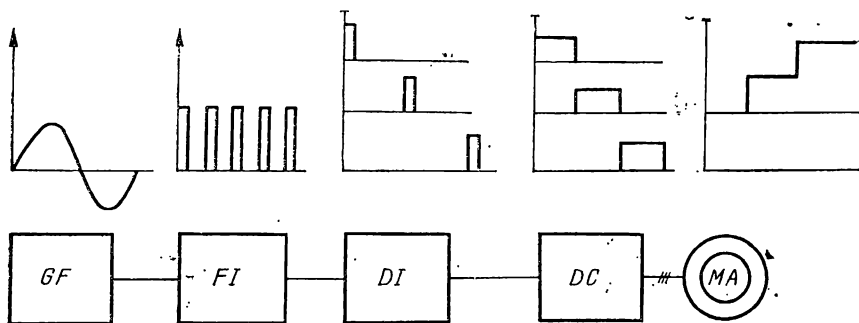


Fig. 7.85. Schema structurală a sistemului de comandă al motorului asincron în regim pas cu pas:

$GF$  — generatorul de frecvență;  $FI$  — formatorul de impulsuri;  $DI$  — distribuitorul de impulsuri;  $DC$  — dispozitivul de comutație;  $MA$  — motorul electric.

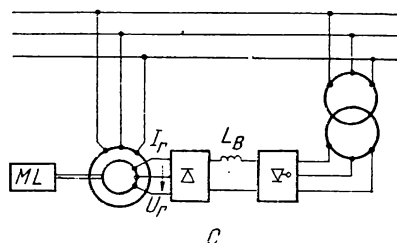
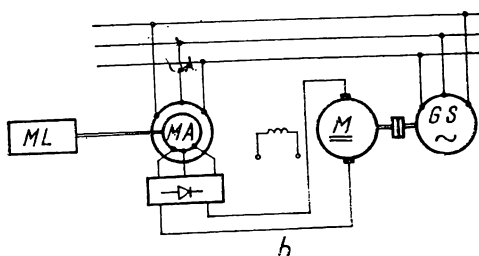
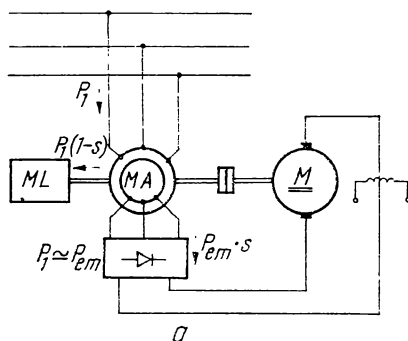
tizare a curentului statoric, reglarea acestei componente poate fi suprapusă peste reglarea lui  $\Psi_s$ . Componenta după axa  $q$  a curentului statoric este componenta activă a curentului statoric și reglarea ei se suprapune peste reglarea turației. Un sistem de traductoare realizează transformările corespunzătoare matricilor  $[C_1]$  și  $[C_2]$ . Cu ajutorul traductoarelor se determină direct poziția câmpului magnetic rezultat, care reprezintă axa  $d$ .

Reglajul vitezei motoarelor asincrone se poate realiza și prin conectarea în cascadă. Se știe că turația scade odată cu creșterea puterii în circuitul rotoric. Această putere poate fi valorificată. Utilizarea puterii redresate se face prin mai multe metode.

Puterea este introdusă într-un motor de curent continuu montat pe același ax — cascada Krämer (fig. 7.86,  $a$ ). Reglarea vitezei motorului

Fig. 7.86. Cascade de curent continuu:

$a$  — cascada Krämer;  $b$  — cascada Scherbius;  $c$  — grup redresor-invertor.



asincron se face prin modificarea excitației mașinii de curent continuu. Turațiile care se obțin sînt sub nivelul turațiilor nominale. Se obțin cupluri mari la tur  $n < n_0$ . Această tensiune trebuie să fie egală cu t.e.m. a motorului de curent continuu,  $E = k_e n_{20} \Phi$ . Din această egalitate rezultă  $n_{20} = k' U_2 n_1 / (k' U_2 + k_e n_1 \Phi)$ .

Se constată că prin creșterea fluxului de excitație al motorului de curent continuu se reduce viteza de mers în gol. Valoarea minimă a turației corespunde fluxului nominal al motorului de curent continuu. Sînt necesare măsuri pentru limitarea tensiunii la bornele indusului motorului de curent continuu pentru cazul cînd la turație ridicată a grupului s-ar da o comandă bruscă de reducere a turației. Pentru a urmări cu ușurință circulația puterilor s-au făcut aproximațiile:  $P_1 \simeq P_{em}$ ,  $P_M \simeq P_2$ .

Puterea rotorică poate fi introdusă în rețea prin acționarea unui generator sincron cuplat la rețea — cascada Scherbius (fig. 7.86, b). Puterea rotorică poate fi transmisă în rețea prin intermediul unui grup redresor-convertizor și un transformator de adaptare a tensiunilor.

Cu aceste procedee se modifică turația în limite largi fără pierderi suplimentare importante.

## 7.5.2. MOTOARE SINCRONE

Modificarea vitezei se poate face prin reglarea frecvenței.

Pentru utilizarea corespunzătoare a motorului sincron este indicată menținerea aproximativ constantă a amplitudinii fluxului magnetic prin modificarea proporțională a tensiunii  $U_s$  cu  $f$ , adică  $U_s/f = \text{const.}$  atunci cuplul electromagnetic se păstrează constant. Comportarea motorului sincron la slăbirea cîmpului este mai bună decît a motorului asincron.

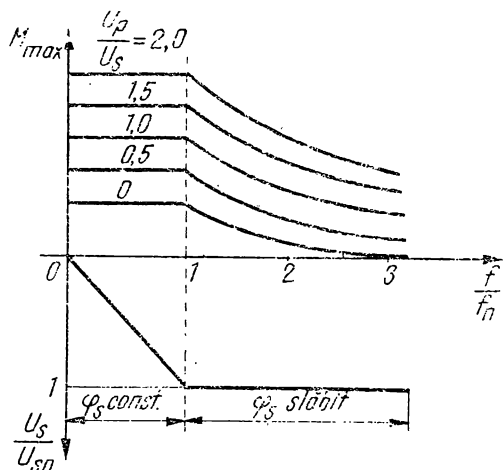


Fig. 7.87. Caracteristica cuplului mașinii și a tensiunii de alimentare în funcție de frecvență.

Caracteristica cuplului maxim și a tensiunii de alimentare în funcție de frecvență este trasată în figura 7.87. Metodele de reglare a frecvenței tensiunii de alimentare sînt aceleași ca la motorul asincron. În cazul motorului sincron reglajul prin frecvență se efectuează prin intermediul cicloconvertoarelor, în cele mai multe aplicații, întrucît permite obținerea unor viteze joase la puteri mari.

Principiul reglajului orientării după cîmp poate fi aplicat și la motoarele sincrone.

### 7.5.3. MOTOARE DE CURENT CONTINUU

Un sistem de conversie a energiei electrice în energie mecanică care să exploateze din plin proprietățile de reversibilitate, atât ale motorului cât și ale redresorului se poate realiza prin alimentarea motorului de curent continuu prin două redresoare. Schemele de bază ale alimentării unui motor de curent continuu prin două redresoare sînt prezentate în figura 7.88. După felul cum sînt conectate cele două redresoare la sursa de curent alternativ se deosebesc două tipuri importante: montajul în antiparalel (fig. 7.88, *a*, *b* și *e*) și montajul în cruce (fig. 7.88, *c* și *d*). La montajul în antiparalel cele două redresoare se conectează la aceeași sursă de curent alternativ, în timp ce la montajul în cruce fiecare redresor este alimentat separat (transformator cu două secundare sau două transformatoare identice). Redresoarele sînt astfel comandate încît să furnizeze la bornele motorului tensiuni medii redresate egale; datorită unghiurilor de comandă diferite ale celor două redresoare valorile instantanee ale celor două tensiuni redresate nu coincid, fapt care duce la apariția unui curent de circulație  $I'_c$ . Din acest punct de vedere există două metode de comandă. Metoda de comandă fără curent de circulație se referă la blocarea curentului de circulație prin suprimarea impulsurilor de comandă, astfel încît redresorul care funcționează să fie comandat, iar celălalt redresor să fie blocat. Metoda de comandă la care un convertor funcționează în regim de redresor, iar celălalt convertor în regim de inverter; curentul de circulație între cele două convertoare este limitat prin inductanțe suplimentare.

În unele instalații pentru reglarea vitezei în limite largi se folosește grupul generator-motor (grup Ward-Leonard) a cărui schemă este indicată în figura 7.89. Motorul de curent continuu *M* care antrenează mecanismul *S* reprezentînd sarcina, este cu excitație separată. Generatorul *G* cu excitație separată alimentează motorul *M*. Tensiunea de excitație atât pentru motor cât și pentru generator este asigurată de un generator de curent continuu cu excitație derivație — numit excitatrice (*Ex*). Generatorul *G* și

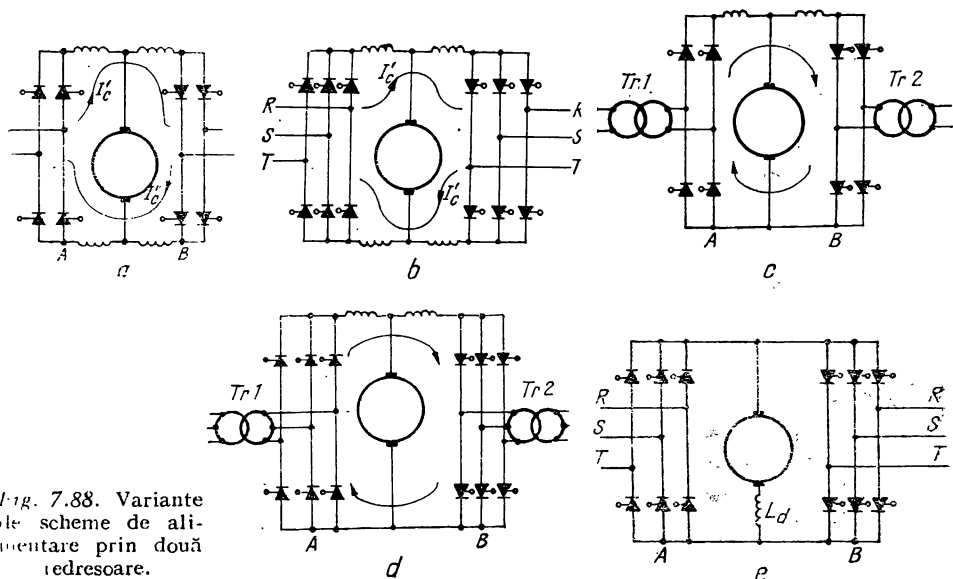
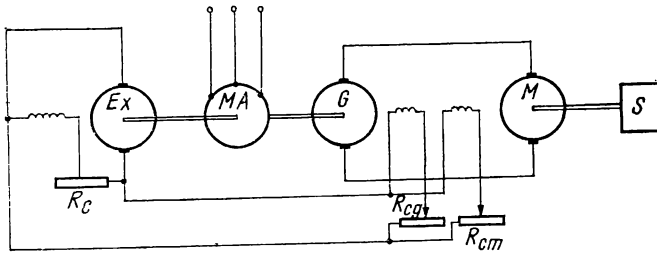


Fig. 7.88. Variante de scheme de alimentare prin două redresoare.

Fig. 7.89. Grupul generator—motor.



excitatricea  $Ex$  sînt antrenate de un motor electric  $MA$  — de regulă motor asincron dar poate fi și un motor termic. Turația motorului se poate varia în limite largi, în mod economic, întrucît tensiunea de alimentare a motorului se modifică prin variația curentului de excitație al generatorului cu reostatul  $R_{cg}$ . De regulă în domeniul turațiilor mari se recurge și la o slăbire a cîmpului inductor al motorului.

Nu trebuie prevăzut reostat de pornire al motorului, întrucît pornirea lui se realizează cu tensiunea scăzută. Schema permite și schimbarea sensului de rotație a motorului, prin schimbarea sensului curentului de excitație al generatorului. Asemenea sisteme au găsit o largă răspîndire în industria metalurgică și extractivă. Dacă motorul primar este un motor electric, grupul generator-motor prezintă dezavantajul triplei conversii a energiei în circuitul principal și a folosirii a trei mașini electrice de puteri apropiate; rezultă un randament scăzut și investiții relativ mari în utilaje și în fundații. Performanțele tehnice și economice ale schemei pot fi îmbunătățite prin utilizarea elementelor statice pentru conversia energiei de curent alternativ cu tensiune efectivă constantă în energie de curent continuu cu tensiune variabilă. Schema unei astfel de instalații este indicată în figura 7.90. S-a notat cu  $TA$  și  $TE$  transformatoarele de alimentare a indusului, respectiv a excitației, iar cu  $RA$  și  $RE$  redresoarele comandate corespunzătoare; la puteri mici  $RE$  poate fi o punte monofazătă.

În figura 7.91 se prezintă cîteva din variantele reprezentative de convertoare de tensiune continuă (Chopper). În figura 7.91,  $a$  sînt prezentate două variante cu un singur tiristor. În varianta  $a_1$  tiristorul principal  $T_p$  este stins prin circuitul oscilant  $LC$  care se deschide odată cu  $T_p$ . În montajul  $a_2$  grupul de stingere  $LC$  este montat în paralel cu  $T_p$  și stingerea are loc în același mod. La ambele variante comanda tensiunii pe motor se face modificînd perioada de comandă a tiristorului principal adică  $t_o = \text{const.}$  și  $T = \text{variabil.}$  Schema este simplă, dar se limitează la puteri mici datorită circuitului oscilant. În figura 7.91,  $b$  sînt prezentate patru variante de choppere cu două tiristoare. Montajul  $b_1$  a fost analizat. La montajul  $b_2$  circuitul oscilant pentru stingere este deschis de  $T_s$ . Încărcarea condensatorului  $C$  cu polaritatea  $+$ , — se face direct de la sursă. Aplicînd impuls pe  $T_p$  se deschide circuitul principal, stingerea acestuia se face aplicînd impuls pe  $T_s$  care deschide circuitul oscilant  $LC$ , inversînd polaritatea condensatorului, reîncărcarea condensatorului făcîndu-se de la sursă prin comanda

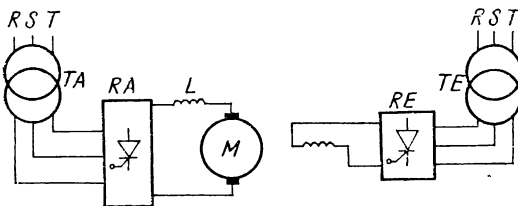


Fig. 7.90. Schema de reglare a turației motorului de c.c. cu redresoare comandate.

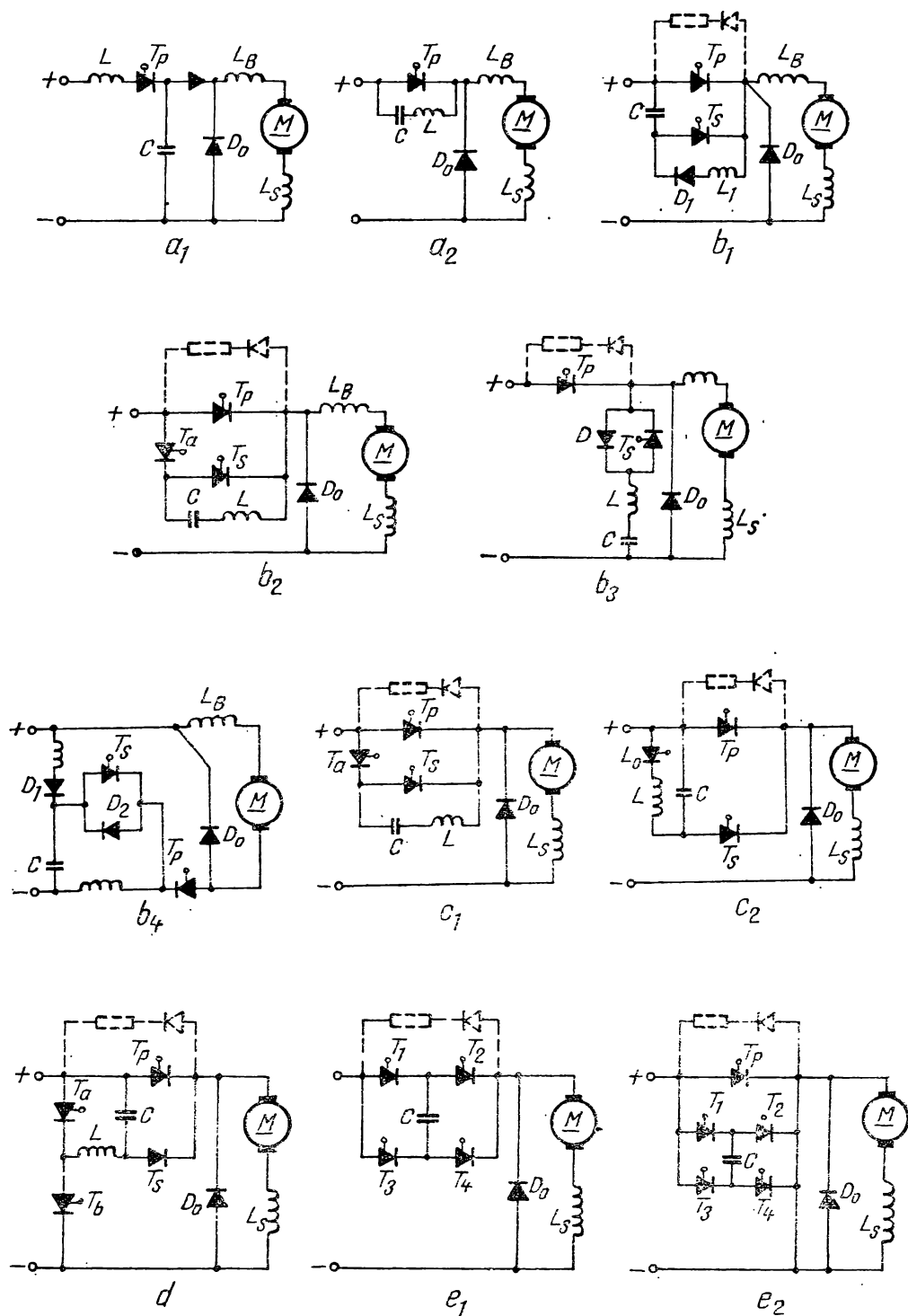


Fig. 7.91. Scheme tipice de variatoare de tensiune continuă.

tiristorului auxiliar  $T_a$ . Montajul  $b_3$  are circuitul de stingere în paralel cu sarcina. Stingerea lui  $T_p$  se face aplicînd impuls pe  $T_s$ , fapt care duce la descărcarea condensatorului  $C$  și se pozitivează catodul lui  $T_p$ . Încărcarea condensatorului se face prin  $D$ ,  $L$  și  $C$ . Variantele cu convertoare cu două tiristoare au dezavantajul că încărcarea condensatorului depinde de valoarea curentului de sarcină, ceea ce duce la o funcționare nesigură la sarcini mici ale motorului. Montajul  $b_4$  are circuitul de stingere independent de sarcină, iar încărcarea condensatorului se face direct de la sursă. Stingerea lui  $T_p$  se face prin pozitivarea catodului (convertor cu stingerea pe catod). Comanda se face la  $T = \text{const.}$ ,  $t_c = \text{variabil.}$

În figura 7.91,  $c$  sînt prezentate două variante de convertoare cu trei tiristoare. La montajul  $c_1$  se aplică impuls simultan pe  $T_p$  și  $T_a$ , deci se deschide circuitul principal și se încarcă condensatorul  $C$ . Stingerea tiristorului principal se face deschizînd circuitul oscilant  $LC$  prin tiristorul  $T_s$ . Montajul  $c_2$  se comandă în același mod, însă stingerea se face prin negativarea anodului  $T_p$ . Comanda se face la  $T = \text{const.}$ ,  $t_c = \text{variabil.}$  O variantă cu patru tiristoare se prezintă în figura 7.91,  $d$ . Circuitul de stingere este format din trei tiristoare comandate în secvența  $T_p$  și  $T_b$ ,  $T_a$ ,  $T_s$ . Prin deschiderea lui  $T_b$  se încarcă condensatorul  $C$  cu polaritatea,  $+$  sus și  $-$  jos. Impulsul pe  $T_a$ , la o distanță invariabilă de cel de pe  $T_b$ , va repolariza condensatorul  $C$  cu polaritatea inversă  $-$  și  $+$ . Deschiderea lui  $T_s$  polarizează catodul lui  $T_p$  și îl stinge. Circuitul de stingere este separat de sarcină, iar comanda se face la  $T = \text{const.}$  și  $t_c = \text{variabil}$  unde  $t_c$  este distanța între impulsurile pe  $T_a$  și  $T_s$ . Montajul descris este unul din cele mai utilizate datorită funcționării sale sigure la orice sarcină. În figura 7.91,  $e$ , sînt prezentate două scheme cu circuit de stingere în punte. La varianta  $e_1$  tiristoarele  $T_1$ ,  $T_2$  sînt principale și se comandă simultan. La conectarea motorului prin deschiderea lui  $T_1$  și  $T_2$  se dă impuls și pe  $T_3$ , încărcînd condensatorul  $C$  cu polaritatea  $-$  sus și  $+$  jos.

Aplicînd impuls pe  $T_4$ , condensatorul  $C$  polarizează catodul lui  $T_2$  și îl stinge, deconectînd motorul. Secvența de comandă este  $T_1$  și  $T_2$ ,  $T_3$ ,  $T_4 \dots$  la  $T = \text{const}$  și  $t_c = \text{variabil}$ . Montajul  $e_2$  are un singur tiristor principal și patru tiristoare secundare.

Secvența de comandă  $T_p$ ,  $T_1$ , și  $T_4$ ,  $T_2$  și  $T_3$ . Stingerea lui  $T_p$  se face prin polarizarea catodului la aplicarea impulsului pe  $T_2$  și  $T_3$ ;  $T = \text{const.}$  și  $t_c = \text{variabil.}$

Pentru o funcționare mai sigură a variantelor expuse la sarcini mici și durată relativă de conectare mare a motorului este necesar un circuit auxiliar format dintr-o diodă și o bobină montate în antiparalel cu tiristorul principal pentru reîncărcarea condensatorului; circuitul auxiliar este important cînd stingerea depinde de curentul de sarcină, el grăbește reîncărcarea condensatorului  $C$ , reducînd timpul de blocare a lui  $T_s$ .

În figura 7.92 se prezintă un sistem de reglare a vitezei unui motor de curent continuu. Elementul de execuție este un redresor cu tiristoare. Sistemul automat conține un traductor de viteză (tahogenerator) și un regulator de viteză care primește la intrare valoarea dorită a vitezei, de la un potențiometrul și valoarea măsurată a vitezei cu semn opus. În funcție de abatere, regulatorul transmite o comandă prin  $DCG$  și redresorul comandat  $n$  furnizează funcție de semnal o anumită tensiune motorului. Schema ajunge în stare de echilibru în momentul în care viteza măsurată este aproape egală

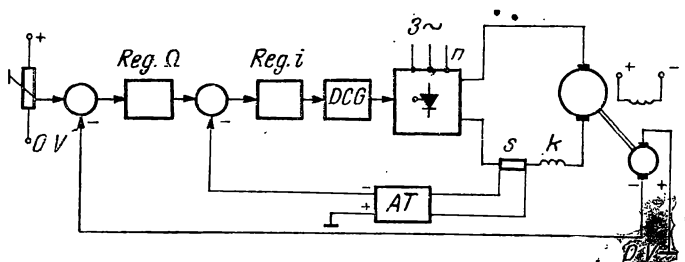


Fig. 7.92. Sistem de reglare a vitezei cu restricții de curent, prin schema în cascadă.

cu viteza impusă. În cazul în care motorul se află în repaus și se comandă brusc prin potențiometru, viteza maximă atunci tensiunea aplicată indusului este maximă și apare un curent mare prin indus (curentul de scurtcircuit  $U/R$ ). Ca urmare în schemele de reglare automată a vitezei se iau măsuri pentru asigurarea automată a limitării curentului (prin  $S$  și  $AT$ ).

## 7.6. PARTICULARITĂȚI ALE SISTEMELOR ELECTRICE DE ACȚIONARE CU DISPOZITIVE SEMICONDUCTOARE

Utilizarea mutatoarelor în SEA a condus la apariția unor fenomene secundare nedorite, care diminuează unele avantaje ale acestor sisteme. Sursa acestor fenomene constă în conținutul de armonici superioare în unda tensiunii sau/și a curentului. Prezența acestor armonici conduce în principal la următoarele aspecte:

- majorarea pierderilor suplimentare în fier și în rezistențele înfășurărilor, deci a încălzirii motoarelor electrice acționate — echivalent cu reducerea puterii acestora;
- apariția unor cupluri parazite care deformează curba cuplului electromagnetic cu consecințe asupra pornirii sau a stabilității în funcționare;
- înrăutățirea simțitoare a comutației la motoarele de curent continuu, mai ales la variații rapide ale cuplului de sarcină;
- creșterea perturbațiilor radiofonice produse de aceste sisteme.

Dezvoltarea impetuoasă a convertizoarelor statice de frecvență impune și o reorientare a concepției construcției de mașini electrice, care, mai ales la puteri mari, funcționează în condiții diferite de cele oferite de rețeaua de alimentare. Undele de tensiune și de curent diferă substanțial de o sinusoidă.

Transformatoarele utilizate în stațiile de redresare sau în SEA funcționează, de regulă, în regim deformant și nu sînt folosite 100 % în comparație cu transformatoarele de aceeași putere aparentă în regim sinusoidal. În transformatoarele utilizate în instalațiile de redresare pot apărea forțe electrodinamice mult mai periculoase decît în transformatoarele de utilizare curentă. Aceasta se explică prin faptul că la străpungerea unei diode solenată rezultantă a unei coloane poate să nu fie nulă datorită componenței continue a curenților secundari (cînd această componentă există). Apare necesitatea ca transformatorul să fie întărit din punct de vedere mecanic.

La motoarele de curent continuu curentul prin indus este:

$$i_A(t) = I_A + \sum_{v=1}^{\infty} I_{mv} \sin(v p \omega t + \varphi_v)$$

unde  $p$  este numărul de pulsuri ale tensiunii redresate.

Coeficientul de ondulație a curentului  $i_A$  este mărimea  $\tilde{\sigma} = \frac{\sqrt{\frac{1}{2} \sum_{v=1}^{\infty} I_{mv}^2}}{I_A}$ ,

adică raportul dintre valoarea efectivă a componentei alternative și componenta continuă  $I_A$ . Coeficientul de formă  $k_f = \left[ \sqrt{I_A^2 + \frac{1}{2} \sum_{v \in N} I_{mv}^2} \right] / I_A = \frac{I_{Ae}}{I_A}$

și deci  $k_f^2 = 1 + \tilde{\sigma}^2$ . Ondulația curentului  $i_A$  are o primă consecință creșterea pierderilor Joule în înfășurarea rotorică  $P_J = R_A I_{Ae}^2 = R_A I_A^2 (1 + \tilde{\sigma}^2)$ , adică pierderile suplimentare sînt proporționale cu  $\tilde{\sigma}^2$ . Dar aceste pierderi mai sînt sporite și prin distribuirea neuniformă a densității de curent în conductoarele de creștătură. O altă consecință a ondulației curentului este mărimea curentului de comutație. Prin secția care comută, curentul este posibil să varieze între  $I_{Am}$  și  $-I_{Am}$ ; cum  $I_{Am} > I_A$  comutația secției va fi mai dificilă. Polii auxiliari trebuie să funcționeze nesaturat la curenții relativ mari în comparație cu cel nominal. Defazajul în timp al fluxului polilor auxiliari în raport cu curentul din secția aflată în comutație, este efectul cel mai important care restrînge simțitor banda comutației întinse (fără scînteii la colector). Comutația se complică la curenții care depășesc sensibil curentul nominal și prin faptul că reacția magnetică a indusului devine mai puternică conducînd la creșterea valorii maxime a t.e.m. induse în spira care comută; se impune realizarea unei înfășurări de compensație adecvate. Pentru a diminua ondulația tensiunii de alimentare, la puteri mari, se utilizează scheme cu un număr mare de pulsuri într-o perioadă (de exemplu 12). Curentul ondulat poate fi netezit cu ajutorul unor bobine, însă pe măsură ce crește puterea instalației soluția este mai costisitoare, apar pierderi suplimentare, spațiu în plus și mai ales face să crească simțitor constanta de timp a indusului, cu efecte negative asupra comutației.

Pierderile suplimentare din fierul indusului, dar mai ales din miezul polilor auxiliari și din carcasa pot depăși pierderile suplimentare din înfășurarea indusului. Curenții turbionari din miezul polilor auxiliari și din carcasa sînt cu atît mai mari cu cît ondulațiile curentului redresat sînt mai pronunțate. Aceste pierderi produc o încălzire suplimentară a mașinii conducînd la o reconsiderare a ventilației. Creșterea ondulațiilor la viteze mici și atenuarea autoventilației motorului impun adeseori introducerea ventilației forțate. La puteri mari și la turații mici pot apărea zgomote magnetice, iar curenții onduțați se transmit capacitiv spre rulmenți, conducînd la pierderi în lagăre care pot scoate motorul din funcțiune. Aceste aspecte pot fi diminuate prin unele măsuri constructive sau de proiectare: întregul circuit magnetic se adoptă lamelat și carcasa are doar rol mecanic realizîndu-se din tablă subțire la puteri mici, sau se elimină la puteri medii și mari; în diferitele porțiuni ale circuitului magnetic se adoptă pentru inducții valori moderate; indusul se prevede cu un număr de creștături, respectiv de lamele mărit; se aleg perii de electrografit cu rezistență mai



mare. La motoarele cu puteri peste 0,25 kW/rot/min se recomandă perii jumelate. În general lăţimea periei este redusă, pentru ca şi lăţimea zonei de comutaţie să fie moderată. Peria calcă pe două, cel mult trei lamele de colector, fapt care conduce uneori la lungirea colectorului. La motoarele sincrone inductorul se realizează lamelat, de exemplu în cazul utilizării magneţilor permanenţi piesele polare 4 (fig. 7.93) se realizează din tole, (construcţia este specifică magneţilor cu  $B_r$  mic).

Puterea absorbită şi factorii de putere la schemele cu mutatoare diferă în raport cu regimul sinusoidal. Undele de tensiune şi de curent diferă substanţial de o sinusoidă:

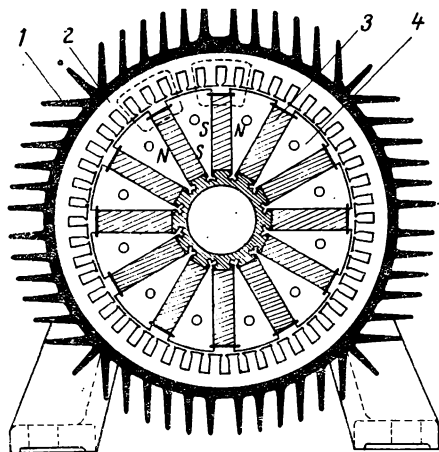


Fig. 7.93. Motor sincron cu magneţi permanenţi cu piese polare lamelate:

1 — carcasa cu nervuri pentru răcire; 2 — pachet statoric; 3 — magnet permanent; 4 — pachete rotorice din tole.

$$u(t) = \sum_{k \in N} U_{mk} \sin(k\omega t + \alpha_k); \quad i(t) = \sum_{k \in N} I_{mk} \sin(k\omega t + \beta_k).$$

Puterea reactivă respectiv puterea activă absorbită de acest sistem este:

$$P = \sum_{k \in N} U_k I_k \cos \varphi_k; \quad Q = \sum_{k \in N} U_k I_k \sin \varphi_k; \quad \varphi_k = \alpha_k - \beta_k.$$

Valorile efective ale curentului şi tensiunii sînt:

$$U = \sqrt{\sum_{k \in N} U_k^2}; \quad I = \sqrt{\sum_{k \in N} I_k^2}.$$

Puterea aparentă  $S = UI \neq \sqrt{P^2 + Q^2}$  şi se pune sub forma  $S = \sqrt{P^2 + Q^2 + D^2}$ ,  $D$  — fiind puterea deformantă.

În cazul în care tensiunea este sinusoidală relaţiile se mai simplifică.

Factorul de putere al fundamentalei  $\cos \varphi_1 = P/S_1$  se mai numeşte şi *factor de deplasare*. Factorul de putere al instalaţiei este  $\cos \varphi = P/S$ . Regimul deformant are o serie de consecinţe negative: mărirea pierderilor pe linie, mărirea puterii aparente a receptoarelor (se reduce factorul de putere şi randamentul), fenomene de rezonanţă, perturbarea liniilor de telecomunicaţie, deformarea tensiunii reţelei, erori de măsurare la aparatele de măsură.

Pierderile în mutatoare se calculează prin însumarea pierderilor care au loc în fiecare ventil. Pierderile referitoare la ventil sînt de mai multe categorii: pierderi în regimul de conducţie directă ( $P_T$ ), pierderi în cazul tiristorului blocat polarizat direct ( $P_{BD}$ ), pierderi în cazul polarizării inverse ( $P_{BR}$ ), pierderi în circuitul de comandă ( $P_G$ ), pierderi prin comutaţie ( $P_C$ ). În catalog se dau  $P_T$  funcţie de curent, care de fapt sînt cele mai importante pierderi. Cunoscîndu-se numărul de ventile al mutatorului se deduc pierderile lui.

## 7.7. ALEGEREA MOTOARELOR DE ACȚIONARE ELECTRICĂ

În acționările electrice se utilizează aproape toate tipurile de mașini electrice. O utilizare mai largă o au motoarele care permit o reglare a vitezei în limite largi, există posibilitatea de recuperare a energiei înmagazinate în masele în mișcare. Problema de bază în alegerea motoarelor electrice este determinarea puterii acestora. Utilizarea unui motor de putere

prea mare conduce la investiții neeconomice; dacă motorul este prea mic atunci nu satisface condițiile tehnice impuse de instalația acționată. Determinarea puterii nominale a motoarelor electrice se face după un criteriu comun și anume: în timpul funcționării mașina să nu depășească temperaturile maxime admise de clasa de izolație. Căldura  $Q$  în care s-au transformat pierderile din mașina electrică se calculează cu relația:

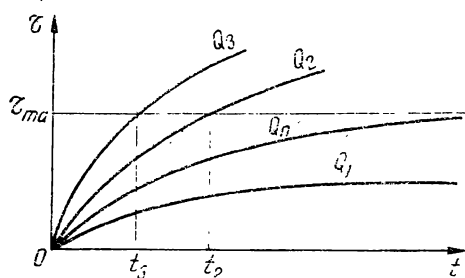


Fig. 7.94. Încălzirea motoarelor electrice la diferite sarcini termice ( $Q_1 < Q_2 < Q_3$ ).

$$Q = 0,24 P_2 (1/\eta - 1)$$

În raport de valoarea lui  $Q$  încălzirea poate avea loc după una din curbele din figura 7.94. Mașina fiind echivalentă cu un corp termic omogen, încălzirea are loc după ecuația  $\tau = \tau_f (1 - e^{-t/T}) + \tau_0 e^{-t/T}$ , iar răcirea după ecuația  $\tau = \tau_{in} e^{-t/T}$ .

STAS 1893-78 clasifică, definește și simbolizează serviciile mașinilor electrice. Se vor prezenta trei tipuri de servicii mai des întâlnite: serviciul continuu S1, serviciul de scurtă durată S2 și serviciul intermitent periodic S3 (fig. 7.95).

a) Se numește putere nominală în serviciul S1 puterea maximă la care mașina poate funcționa timp nelimitat fără ca încălzirea diferitelor ei părți

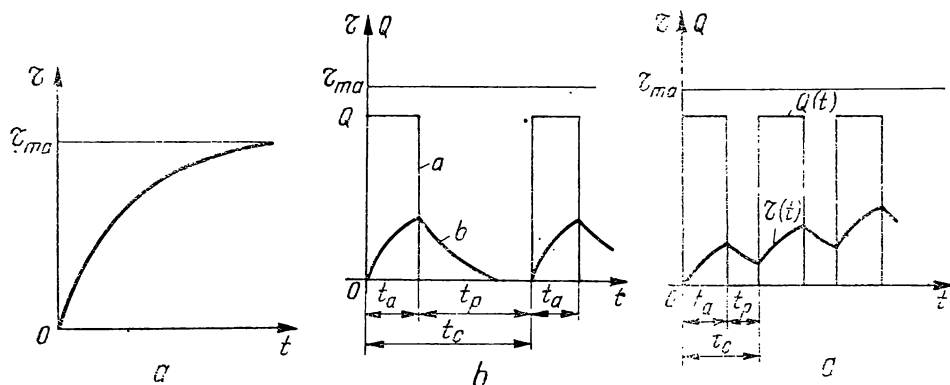


Fig. 7.95. Variația temperaturii:

a — serviciul S1; b — serviciul S2; c — serviciul S3.

să depășească limitele admisibile stabilite de STAS (fig. 7.95, a). În cazul în care sarcina este constantă puterea motorului se calculează cu relația:

$$P_2 = M_s \Omega_N = \frac{2\pi}{60} n_n M_s \cdot [W] = \frac{2\pi}{60} n_n M_s \cdot 10^{-3} [\text{kW}] = \frac{n_n M_s}{9750} [\text{kW}]$$

În cazul în care sarcina motorului nu este constantă (fig. 7.96) motorul se echivalează cu un motor care funcționează la sarcina constantă și în care se dezvoltă aceeași cantitate de căldură în intervalul considerat:

$$(q_c + \alpha I_e^2) \sum_{i=1}^n t_i = \sum_{i=1}^n (q_c + \alpha I_i^2) t_i$$

unde  $q_c$  este căldura dezvoltată în unitatea de timp determinată de pierderile constante și  $\alpha I_e$  este căldura dezvoltată în unitatea de timp de pierderile variabile. Rezultă expresia curentului echivalent  $I_e =$

$= \sqrt{\frac{\sum_{i=1}^n I_i^2 \cdot t_i / \sum_{i=1}^n t_i}$  valabilă pentru toate motoarele electrice. Se alege motorul al cărui curent nominal  $I_n \leq I_e$ .

Dacă cuplul este proporțional cu curentul, cuplul echivalent  $M_e =$   
 $= \sqrt{\frac{\sum_{i=1}^n M_i^2 t_i / \sum_{i=1}^n t_i}$ , dacă viteza este constantă atunci puterea echivalentă

$P_e = \sqrt{\frac{\sum_{i=1}^n P_i^2 t_i / \sum_{i=1}^n t_i}$ . Trebuie să se verifice că  $M_{ms}/M_n < k_m$ , unde  $M_{ms}$  este cuplul maxim din diagrama de sarcină. S-a făcut aproximația că constantele de timp  $T$  sînt aceleași, pentru a corecta această ipoteză se introduce constanta  $T_e = T/\beta$  unde  $\beta$  este dat în tabelul 7.3.

b) Se numește putere nominală în serviciul S2 puterea maximă pe care o poate debita mașina în perioada de funcționare fixată de STAS, fără a depăși limitele admisibile de încălzire.

Dacă nu se dispune de cataloage de motoare special construite pentru acest regim, se pot folosi cataloagele motoarelor din seriile normale. Motorul funcționînd un timp limitat este posibilă supraîncărcarea lui. Notînd

TABELUL 7.3. Coeficientul de corecție  $\beta$

Tipul de motor	Pauză	Pornire	Frinare
Motoare c.c. deschise cu autoventilație 0,5			
Motoare asincrone	0,25	0,75	0,5

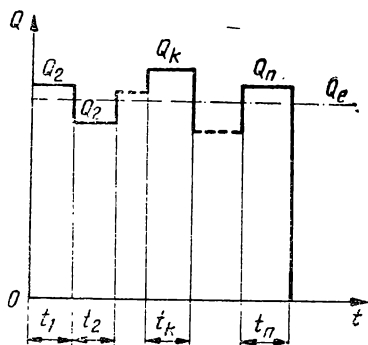


Fig. 7.96. Diagramă de sarcină.

$Q_k$  și  $t_k$  sarcina termică și timpul în serviciul S2 și cu  $Q_e$  sarcina termică echivalentă în regimul de lungă durată rezultă:

$$Q_k (1 - e^{-t_k/T})/A = Q_e/A \text{ unde } t_k/T = \ln \alpha/(\alpha - 1) \text{ cu } \alpha = Q_k/Q_e.$$

Cunoscînd  $t_k$ ,  $T$  și  $Q_k$  se determină  $Q_e$  și puterea corespunzătoare  $P_e$ .

c) Se numește putere nominală în regimul S3 puterea maximă la care mașina poate să lucreze cu durata activă relativă ( $DA = t_a/T$ ) fără ca încălzirea să depășească limitele stabilite de STAS.

Durata  $DA$  este dată de STAS în procente:  $DA = 15\%$ ,  $25\%$ ,  $40\%$ ;  $60\%$  iar  $T = 10'$ .

Diversitatea problemelor din acționările electrice conduce însă la situații în care  $DA$  diferă de datele normalizate.

Este necesar deci să se recalculeze puterea motoarelor corespunzătoare cazurilor reale. Notăm  $P_r, Q_r, DA_r$  puterea, sarcina termică și durata relativă reală, cu  $P_n, Q_n, DA_n$  aceleași mărimi pentru datele din catalog. Se poate scrie  $Q_r DA_r = Q_n DA_n$  sau  $(q_c + \alpha I_r^2) DA_r = (q_c + \alpha I_n^2) DA_n$ . Se notează  $X = P_n/P_r$  și se poate considera că aproximativ  $X^2 = (I_n/I_r)^2$ , iar  $\gamma = q_c/\alpha I_r^2$  se deduce

$$X = \sqrt{\gamma (DA_r/DA_n - 1) + DA_r/DA_n}$$

Primul termen de sub radical are valori apropiate de zero deoarece raportarea se face întotdeauna la motoare cu o durată de conectare cît mai apropiată de cea reală și pentru  $P_n < P_r$  rezultă

$$X \simeq \sqrt{DA_r/DA_n}; \quad P_n = P_r \sqrt{DA_r/DA_n}.$$

În cazul în care temperatura mediului ambiant diferă de  $40^\circ$  atunci este necesară o recalculare a puterilor motoarelor electrice de acționare.

În tabelul 7.4 se prezintă valori pentru randamente și factorul de putere pentru diferite puteri.

TABELUL 7.4.

$\eta$  și  $\cos \varphi$  pentru motoare de joasă tensiune

1500, rot/min		$\eta$ , %	$\cos \varphi$
Motoare de curent continuu	1... 10 kW	70...84	—
	$P_n \leq 100$ kW	84...92	—
	$P_n \leq 1000$ kW	92...95	—
Motoare asincrone cu inele de contact	11...100 kW	86...93	0,79...0,87
	$P_n \leq 500$ kW	93...95	0,87...0,91
Motoare asincrone cu rotorul în scurt-circuit	$P_n \leq 1$ kW	53...74	0,67...0,78
	$P_n \leq 11$ kW	74...88	0,81...0,85
	$P_n \leq 132$ kW	88...95	0,86...0,88
	$P_n \leq 400$ kW	95...97	0,88...0,89

## DEZVOLTAREA ISTORICĂ A MAȘINILOR ȘI TRANSFORMATOARELOR ELECTRICE

## MAȘINI ROTATIVE

Elemente generale de bază și primele mașini:

- 1825 — Englezul W. Sturgeon inventează electromagneții.
- 1831 — Englezul M. Faraday descoperă legea inducției electromagnetice.
- 1832 — Italianul S. Dal Negro construiește prima mașină de curent alternativ, eteropolară cu mișcare de du-te-vino.
  - Un necunoscut P. M. descrie primul generator de curent alternativ cu mișcare de rotație.
  - Francezul H. Pixii construiește primul generator de curent continuu care utilizează pentru comutație basculatorul lui Ampere.
- 1833 — Englezul W. Ritchie inventează colectorul.
  - Rusul H. F. E. Lenz enunță reversibilitatea mașinilor electrice.
- 1834 — Rusul B. S. Iacobi pune în mișcare, pe cale electrică, o barcă care s-a deplasat în susul fluviului Neva (Leningrad).
- 1843 — Germanul E. Stöhrer construiește mașini multipolare.
- 1850 — Firma Al' Alliance construiește mașini magnetoelectrice după Nollet și van Malderen.
- 1856 — Germanul W. Siemens construiește indusul în dublu T, ceea ce constituie prima creștătură.
- 1866 — Siemens descoperă principiul autoexcitației care stă la baza mașinilor mari.

## MAȘINI DE CURENT CONTINUU

- 1860 — Italianul A. Pacinotti construiește o mașină magnetoelectrică cu înfășurarea închisă, în inel, cu colector cu mai multe lamele.
- 1869 — Belgianul Z. Th. Gramme utilizează la mașina sa indusul cu înfășurare în inel al lui Pacinotti și principiul autoexcitației.
- 1872 — Germanul F. V. Hefner-Alteneck construiește indusul în tambur, cu o înfășurare într-un singur strat.
- 1882 — Americanul E. Weston patentează înfășurarea în două straturi.
  - Suedezul Wenstrom inventează indusul cu creștături al mașinilor actuale.
- 1883 — Francezul Thury construiește mașini cu 4 și 6 poli exteriori, cu indus în tambur.
  - Mordey inventează legăturile echipotențiale.
- 1884 — Olandezul Menges inventează înfășurarea de compensație.

- 1885 — R. H. Mather inventează polii de comutație.
  - Firma „Alloth“ introduce înfășurarea executată pe șablon.
  - Se produc în Anglia și America perii din cărbune.
- 1887 — Germanul W. Lahmeyer inventează jugul feromagnetic închis pentru mașini cu poli exteriori.
- 1891 — Germanul E. Arnold inventează înfășurarea serie multiplă. El face prima reprezentare sistematică a înfășurărilor în cartea sa: „Die Ankerwicklungen der Gleichstrom-Dynamomaschine“.
- 1895 — Germanii A. Ettingshausen și F. Pichler construiesc mașina care debitează prin trei conductoare.
- 1899 — Germanul G. Ossana inventează înfășurările deschise de curent continuu
- 1903 — Americanul Noeggerath construiește mașina unipolară.
- 1904 — Germanul E. Rosenberg construiește mașina cu cîmp transversal.
- 1908 — K. Pickelmayer elaborează teoria comutației.
- 1929 — Italianul J. M. Pestarini și sovieticul Șenfer inventează metadina.
- 1938 — Americanii Alexanderson și Edwards comunică asupra mașinii amplificatoare amplidina.
- 1947 — Germanul O. Schmutz patentează o mașină amplificatoare cu nesimetrie.

### MAȘINI SINCRONE

- 1887 — Germanul F. A. Haselwander construiește o mașină trifazată cu indus în formă de inel și poli interiori.
  - Iugoslavul N. Tesla patentează motorul bifazat.
  - Englezul Bradley construiește un generator polifazat cu o înfășurare în inel și incizii.
- 1891 — Rusul M. Dolivo-Dobrowolsky realizează prima transmisie de energie în trifazat, de la Lauffen la Frankfurt pe Main.
- 1900 — C. P. Steinmetz enunță principiul de funcționare al motorului cu histerezis.
- 1901 — C.E.L. Brown inventează rotorul din plăci laminate, pentru turbogeneratoare
- 1905 — Americanul A. B. Field stabilește teoria efectului pelicular.
- 1911 — Elvețianul Roebel inventează conductorul executat prin transpoziție.
  - D. Robertson construiește primul motor cu histerezis și stabilește relația dintre cuplul electromagnetic și caracteristicile materialului cu histerezis. Dimensiunile motorului cu histerezis realizat erau mult mai mari decât ale altor motoare electrice de aceeași putere.
- 1926—1937 — Se studiază regimurile tranzitorii de către americanii R. H. Boherty, C. A. Nickle, R. H. Park, B. L. Robertson, G. Kron și sovieticii A. A. Gorev, C.A. Lebev, P.S. Jdanov, N.F. Margolin, R.A. Liuter, N.N. Scedrin etc.

### MAȘINI DE INDUCȚIE

- 1885 — Italianul G. Ferraris construiește un model al unui motor polifazat de inducție
- 1887 — N. Tesla patentează motorul de inducție bifazat.
- 1889 — M. Dolivo-Dobrowolsky construiește primul motor trifazat cu simplă colivie și primul motor cu dublă colivie.
- 1893 — La Oerlikon se execută prima înfășurare în inel cu poli comutabili.
- 1894 — Germanul Heyland construiește diagrama cercului.
- 1897 — Germanul R. Dahlander inventează înfășurarea cu tambur cu poli comutabili.

- 1900 — H. W. H o b a r t utilizează efectul pelicular la construcția rotcațelor în colivie.  
 1916 — Se construiesc motoarele de inducție cu efect pelicular.  
 1929 — Se construiesc motoarele cu indus cu bare duble

## MAȘINI DE CURENT ALTERNATIV CU COLECTOR

- Faptul că un motor serie de curent continuu poate funcționa în curent alternativ e cunoscut de la mijlocul celui de-al optulea deceniu al secolului trecut.  
 1883 — E l i h n T h o m s o n stabilește principiul motorului cu repulsie.  
 1889 — Francezul L e b l a n c inventează modificatorul de frecvență cu colector.  
 1890—1891 — Germanul G o r g e s inventează motorul serie trifazat.  
 1901 — H e y l a n d inventează mașina de inducție compensată alimentată în stator.  
 1902 — O s n o s inventează mașina de inducție compensată alimentată în rotor.  
 1900—1904 — Germanii F. E i c h b e r g și G. W i n t e r construiesc mașina cu repulsie compensată.  
 1904 — Maghiarul M. D é r i inventează mașina monofazată cu repulsie cu dublu sistem de perii.  
 1905 — L y d a l l S c h e r b i u s inventează și utilizează mașina trifazată cu  $6p$  și  $3p$  poli aparenti  
 1910 — S c h r a g e și R. R i c h t e r inventează mașina trifazată în derivație alimentată în rotor.  
 — M. S c h e n k e l construiește mașina serie trifazată cu dublu sistem de perii.  
 1925 — Cehul J. K o z s e k inventează modificatorul de frecvență compensat.

## CONVERTIZOARE

- 1853 — W. S i e m e n s construiește un convertizor continuu-continuu.  
 1874 — Z. T h. G r a m m e realizează o comutare cu indus în inel și două înfășurări.  
 1887 — C o e r p e r face mașina comutatoare cu o singură înfășurare în indus.  
 1891 — W. L a h m e y e r construiește convertizoare curent continuu-curent continuu și curent trifazat-continuu.

## TRANSFORMATORE

- 1831 — M. F a r a d a y utilizează în lucrările sale un dispozitiv cu miez feromagnetic și două înfășurări, care se deosebește puțin de un transformator.  
 1851 — Germanul H. D. R ü h m k o r f f îmbunătățește inductorul cu scintei ale cărui elemente constructive servesc mai târziu ca elemente de bază în construcția transformatoarelor.  
 1856 — Englezul S. A. V a r l e y construiește un transformator cu miez feromagnetic închis, despicat, primul transformator în manta, și inventează înfășurarea în galeți.  
 1877 — Rusul I a b l o c h k o f f conectează în serie înfășurările primare ale unor bobine de inducție, iar de la înfășurarea secundară a fiecărei bobine alimentează „luminările” sale.  
 1882 — G a u l a r d și G i b s s alimentează printr-un transformator grupe de becuri conectate în paralel și extind iluminatul electric în mai multe domenii.  
 1885 — Maghiarii B l a t h y, D é r i și Z i p e r n o w s k y patentează sistemul de conectare în paralel.  
 1887 — Germanul G. K a p p întocmește lucrări fundamentale pentru teoria transformatorului electric. El introduce denumirile de transformator în coloană și transformator în manta.

- 1890 — M. D o l i v o - D o b r o w o l s k y inventează transformatorul trifazat cu cuplaj magnetic între cele trei coloane.
- 1891 — M. D o l i v o - D o b r o w o l s k y construiește transformatorul trifazat cu trei coloane plasate într-un plan, formă utilizată și azi.
- 1904 — Se construiesc transformatoare cu miez din tole aliate.
- 1922/23 — Se construiește transformatorul cu cinci coloane.
- 1934 — Americanul N. G r o s z face încercări de a utiliza tole laminate la rece cu cristale orientate.
- 1935 — Se construiesc înfășurări antirezonante.
- 1936/37 — Se execută transformatoare cu un curent de magnetizare sinusoidal.

Deși prima aplicație pe scară mai largă a electricității pe teritoriul țării noastre a fost telegraful electric (în Moldova, la 2 februarie 1853, s-a inaugurat o linie telegrafică ce făcea legătura de la Iași spre Bucovina și mai departe cu Viena, în 1854, s-a realizat legătura Iași — Predeal și apoi Iași — București) și la noi, ca și în alte țări, dezvoltarea electroenergeticii, construcția de centrale și de linii de transport și distribuția de energie electrică și-a avut în perioada de început principalul stimulente în introducerea și extinderea iluminatului electric. Prima „uzină” electrică a fost construită în 1882 la București, de o firmă străină. Puterea electrică transmisă printr-o linie aeriană alimenta o instalație electrică cu ajutorul căreia erau iluminate palatul regal din Cotroceni, Teatrul Național și din 1883, grădina Cișmigiu. La 1 noiembrie 1884 Timișoara devine primul oraș din Europa continentală cu un număr mare de străzi iluminate electric, iar în 1888 se folosește, pentru iluminatul caselor particulare, sistemul de distribuție în derivație prin transformatoare Gaulard. Un alt stimulente l-a constituit tracțiunea electrică; prima linie de tramvai a fost dată în exploatare la București în decembrie 1894, linie Obor—Cotroceni. În 1897 s-a introdus experimental motorul electric cu instalații de foraj și de extracție în exploatarea petroliere din Valea Prahovei, energia era furnizată de o centrală hidroelectrică de circa 220 kW, instalată la Cîmpina, pe râul Prahova (după datele cunoscute, aceasta a fost o premieră mondială). Se dezvoltă și alte aplicații ale electricității cum ar fi telefonul; în 1884 are loc prima convorbire telefonică din țara noastră, iar în 1889 se instalează în București prima centrală telefonică având cinci numere. Înainte de primul război mondial, pe teritoriul țării noastre n-a existat nici o întreprindere de industrie electrotehnică, toate produsele de acest fel se importau. După război s-a construit o fabrică de mașini electrice la uzinele Reșița și fabricile Societății „Energia” la Cluj și Timișoara. Mai există și alte întreprinderi cu o producție restrânsă și de un nivel tehnic scăzut. Inițial, activitatea acestor fabrici aveau ca obiect reparații și rebobinări de motoare și transformatoare, apoi s-a trecut la fabricarea de mașini și transformatoare electrice de puteri mici.

Industria țării noastre este astfel înzestrată, încît în viitor se vor putea construi toate mașinile electrice de care avem nevoie.

O serie de savanți romani au adus contribuții originale valoroase în domeniul electrotehnicii între care se remarcă: prof. dr. D. Hurmuzescu, acad. prof. dr. N. Vasilescu • K o r p e n , prof. C. B u d e a n u , acad. prof. I. S. G h e o r g h i u , dr. C. A. P a r t e n i , precum și acad. dr. prof. C. M i c l o ș i , prof. dr. ing. P. A n d r o n e s c u , acad. prof. R. R ă d u l e t , si de asemenea numeroși specialiști formați la școala acestor personalități



## LISTA SELECTIVĂ A STANDARDELOR DE STAT RELATIVE LA MAȘINILE ELECTRICE

- STAS 4861/1-73 Mașini electrice rotative. Terminologie generală.
- STAS 4861/2-73 Mașini electrice rotative. Subansamble și piese componente. Terminologie.
- STAS 4861/3-75 Mașini electrice rotative. Mărimi caracteristice. Terminologie.
- STAS 4861/4-74 Mașini electrice rotative. Funcționare, caracteristici, încercări. Terminologie
- STAS 10381/1-76 Transformatoare. Terminologie generală.
- STAS 10381/2-76 Transformatoare. Subansamble și părți componente. Terminologie.
- STAS 10381/3-76 Transformatoare. Mărimi caracteristice. Terminologie.
- STAS 10381/4-76 Transformatoare. Funcționare, caracteristici, încercări. Terminologie.
- STAS 3998/1,2-74 Mașini electrice rotative. Simbolizarea formelor constructive și a modurilor de montaj. (Codul I, II).
- STAS 10536-76 Mașini electrice rotative. Simbolizarea modurilor de răcire.
- STAS 1893-78 Mașini electrice rotative. Condiții tehnice generale de calitate.
- STAS 625-71 Mașini electrice rotative. Grade normale de protecție.
- STAS 8681-70 Mașini electrice rotative. Nivele admisibile de vibrații.
- STAS 8274-70 Mașini electrice rotative. Nivele admisibile de zgomot.
- STAS 2755/1,2-74 Mașini electrice rotative. Dimensiuni de montaj. Prescripții generale Carcase între 56—630 mm și flanșe între F 56 — F 1450.
- STAS 3432/1,2-74 Mașini electrice rotative. Capete de arbore cilindrice și conice. Forme și dimensiuni.
- STAS 9904/1,...,10—74 (76) Mașini electrice rotative. Metode de încercare.
- STAS 8457/2-76 Plăci de borne cu 6 borne pentru mașini electrice de joasă tensiune. Dimensiuni.
- STAS 6877-73 Echipamente electrice pentru atmosferă explozivă.
- STAS 6247-60 Materiale electroizolante pentru mașini și aparate electrice. Clasificare în funcție de stabilitatea termică.
- STAS 881-71 Motoare asincrone trifazate de la 0,06 la 132 kW. Puteri, tensiuni și turații nominale.
- STAS 1764-70 Motoare asincrone trifazate de uz general de la 0,06 la 132 kW. Caracteristici electrice fundamentale.
- STAS 9544/1,2-74 Motoare asincrone închise de uz general. Corelarea puterilor cu dimensiunile de montaj.
- STAS 7246/1,...,10—74 Motoare asincrone trifazate. Metode de încercare.
- STAS 10308-75 Motoare asincrone monofazate. Condiții tehnice.
- STAS 6991-75 Motoare sincrone trifazate de la 100 la 1000 kW. Puteri, tensiuni și turații nominale.
- STAS 8211-77 Mașini sincrone trifazate. Metode de încercare.
- STAS 10784/1,2-77 Turbogeneratoare. Condiții generale de calitate. Metode de încercare.
- STAS 9385-73 Hidrogeneratoare sincrone. Reguli și metode de verificare a calității.
- STAS 7814-72 Mașini electrice de c.c. Metode de încercare.
- STAS 8786-71 Perii, portperii, colectoare și inele colectoare. Termeni principali.
- STAS 4199-76 Perii. Dimensiuni.
- STAS 1703-67 Transformatoare de putere în ulei. Condiții generale.
- STAS 3532-73 Transformatoare mici. Condiții tehnice generale de calitate.
- STAS 440/1,...,4-76 Transformatoare trifazate de putere în ulei cu înfășurări din cupru de la 63 kVA la 63 MVA, cu tensiuni de 10—20 kV. Dimensiuni și caracteristici electrice.
- STAS 3035-65 Transformatoare de putere. Metode de încercare.

STAS 2689-71	Transformatoare pentru sudare cu arc. Condiții generale.
STAS 5680-71	Transformatoare electrice. Grade normale de protecție.
STAS 7615-73	Transformatoare mici de siguranță. Condiții tehnice generale de calitate.
STAS 6391-69	Treceri izolante pentru tensiuni alternative peste 1000 V. Condiții generale.
STAS 11144-78	Conductoare de bobinaj dreptunghiulare. Dimensiunile conductoarelor din cupru.
STAS 11143-78	Grade de izolație
STAS 10575-76	Conductoare de bobinaj dreptunghiulare cu izolație din fire de sticlă impregnate.
STAS 10570-76	Conductoare de bobinaj. Clasificare și simbolizare.
STAS 3033-71	Sîrmă rotundă din aluminiu pentru scopuri electrotehnice.
STAS 6499/1-74	Sirme și bare dreptunghiulare din aluminiu pentru scopuri electrotehnice.
STAS 541-76	Conductoare de bobinaj izolate cu fibre textile

## CLASIFICAREA STANDARDELOR DE STAT RELATIVE LA MAȘINI ȘI MATERIALE ELECTROTEHNICE

- F-33 Izolatoare
- F-34 Materiale izolante
- F-35 Tuburi izolante și de protecție
- F-36 Materiale magnetice
- F-37 Cărbuni pentru perii și electrozi
- F-41 Mașini electrice rotative
- F-42 Transformatoare și redresoare
- F-45 Aparataj electric de joasă tensiune
- F-46 Aparataj electric de înaltă tensiune

## MATERIALE ELECTROIZOLANTE FABRICATE ÎN ȚARĂ UTILIZATE ÎN CONSTRUCȚIA MAȘINILOR ELECTRICE

Nr. crt.	Denumirea materialului	Simbol	$\theta_{ad}$ [°C] (cl. iz)	Forma de livrare (dimensiuni)	Domeniul de utilizare	NID sau STAS	Observații
0	1	2	3	4	5	6	7
1	Conductoare de bobinaj emailate (simbolizare STAS 10570-76)	EN	105°C	rotund $\varnothing$ 0,06 – – 3 mm	Bobine moi	NID 2587-75	Email pe bază de rășini poliamidice
		EM	105°C	rotund $\varnothing$ 0,06 – – 3 mm	Bobine moi	STAS 11143-78 STAS 11144-78	Lacuri polivinilacetat propr. mecanice bune
		EMF	105°C	rotund $\varnothing$ 0,03 – – 0,7 mm	Bobine moi	NID 2757-76	Rezistent la freon
		ES	105°C	rotund $\varnothing$ 0,06 – – 3 mm	Bobine moi	STAS 10570-76	Lacuri poliuretactice – autosudabil
		ET	155°C	rotund $\varnothing$ 0,06 – – 3 mm	Bobine moi	STAS 10570-76	Locuri polyesteractice stabilizate termică ridicată
		ETs	155°C	rotund $\varnothing$ 0,06 – – 3 mm	Bobine moi	STAS 10570-76	Lacuri poliestrimidice stabilizate termică și șoc termic îmbunătățit
		ET-180	180°C	rotund $\varnothing$ 0,06 – – 3 mm	Bobine moi	NID 3724-73	Lacuri poliestrimidice
2	Conductoare de bobinaj izolate cu fire de sticlă (simbolizare STAS 10570-76)	PET	155°C	dreptunghiular 2 – 48 mm <sup>2</sup> lățimi 2 – 13,2 mm grosimi 0,80 – 5,5 mm lat/gros 1,4:1 – – 8:1	Bobine tari spire semispire	NID 3397-73	Lacuri polyesterice sau poliestrimidice
		2S	155°C	rotund $\varnothing$ 0,9 – 6 mm	Bobine moi	NID 1046-66	2 înfășurări din fire de sticlă lăcuite
		E2S	155°C	rotund $\varnothing$ 0,9 – 3 mm	Bobine moi	NID 1046-66	Conductoare ET, izolate cu 2 înfășurări din fire de sticlă impregnate

0	1	2	3	4	5	6	7
		2Ssi	180°C	rotund Ø 0,9—6 mm	Bobine moi	NID 1232-66	Două înfășurări din fire de sticlă impregnate cu lacuri siliconice
		P2S 888	155°C	dreptunghiular 2—80 mm <sup>2</sup>	Bobine tari, spire, semispire, bare	NID 2004-66	Două înfășurări din sticlă, lăcuite
		PE2S	155°C	dreptunghiular 2—60 mm <sup>2</sup>	Bobine tari, spire, semispire	NID 2004-66	Conductoare dreptunghiulare tip PET, izolate cu 2 înfășurări din sticlă impregnate
		P2Ssi	180°C	dreptunghiular 2—80 mm <sup>2</sup>	Bobine tari, spire, semispire	NID 2005-66	Conductor dreptunghiular izolat cu 2 înfășurări din sticlă impregnate cu lacuri siliconice
		P2ST	155°C	dreptunghiular 2—30 mm <sup>2</sup>	Bobine tari, spire, semispire	NID 2714-70	Două înfășurări din fire de sticlă în amestec cu fire polyesterice, impregnate
3	Țesătură din fire polyesterice lăcuite	TTP	120°C	suluri și beuzi grosimi 0,10 ; 0,15 ; 0,20 mm	Izolare bobine, capete de bobine	NID 2274-67	—
4	Țesătură din sticlă lăcuită	SLO	130°C	grosime Ø,1;0,15; 0,20;0,25 mm	Izolare bobinaje, capete de bobine, barele motoarelor de inducție	NID 1544-64	Se livrează în suluri sau benzi (pentru izolare bobine) sau sub formă de tuburi flexibile lăcuite cu diametre de 1—12 mm pentru izolarea conductoarelor de conexiune
		SRSi	180°C	0,12;0,15;0,20 mm		NID 1324-63	
		SCSi	180°C	0,10;0,15;0,20 mm grosime		NID 1324-63	
		463	155°C	0,10;0,15;0,20 mm		NID 3299-74	
5	Folii de izolație combinate pe bază de preșpan și folie poliesterică (tip STRATIFOL)	500 (PHP)		0,25 mm grosimi	Izolații de creștătură; izolații între straturi, între faze, la capete de bobină		Preșpan-folie poliesterică
		501		0,20 mm			Preșpan-folie poliesterică preșpan
		502 (PH)	120°C	0,15 mm		NID 3417-73	Preșpan-folie poliesterică
		503		0,22 mm			Preșpan-folie poliesterică preșpan
		507		0,25 mm			Preșpan-folie poliesterică
		508		0,19 mm			Preșpan folie poliesterică

0	1	2	3	4	5	6	7
6	Folii de izolație combinate pe bază de azbest și folie poliesterică (tip STRATIFOL)	54363 54636 54630	155°C	0,20 mm grosimi 0,28 mm 0,17 mm	Izolații de creștătură, între straturi, între faze la capete de bobină, sub pană etc.		Folie poliesterică-hirtie azbest-folie poliesterică Hirtie azbest-folie poliesterică-hirtie azbest Hirtie azbest-folie poliesterică
7	Plăci dure din țesături de bumbac impregnate (STRATITEX)	ST1 ST2	120°C	plăci diferite grosimi	Pene; Izolație sub fornuță de pană; Izolație la fundul creștăturii	STAS 8579-70	—
8	Plăci dure din țesături de sticlă impregnate (STICLOSTRATITEX)	S670 S671 S672 S673 S673/1 S674	130°C 155°C 180°C	plăci, diferite grosimi	Pene de creștătură; izolație sub pană; izolație la fundul creștăturii; izolații între straturi	STAS 10288-75	—
9	Folii pe bază de foiță de mică	Micafoliu Sticlioni-cafolin Si	130°C 180°C	Folie $\neq$ 0,2 mm Folie $\neq$ 0,15 mm	Izolație creștătură, izolații mănunchiuri de spire la mașini cu creștături deschise	NID 1430-64 NID 1157-62	Liant șelac pe suport de hirtie Suport din țesătură de sticlă și liant siliconic
10	Micanite flexibile	735 (HiMG) 737 (H2MG) 737 (HiMG) 738 (T1MG) 739 (T2MG) 740 (PMHG) 744 (HMH) 741 (PMHSi) 745 (MG) 746 (SiMG) 747 (S2MG)	130°C 155°C	Folie grosimi 0,15–0,50 mm Folie grosimi 0,2–0,6 mm	Izolații de creștătură; între straturi; sub pană; la fundul creștăturii	NID 2878-71	H — hirtie japoneză TMN — țesătură de mătase S — țesătură de sticlă G — liant gliptalic Si — liant siliconic P — micapinză

0	1	2	3	4	5	6	7
11	Micabenzi	748 (MSI) 749 (S1MSi) 750 (S2MSi)	180°C	Folie grosimi 0,15—0,5 mm	Izolarea mănunchiurilor de bobină și a barelor	NID 2481-71	Simbolizarea literară aceeași ca la micanite flexibile
		H2MN T2MN TMG HTMG	130°C	Role cu lățimi 15—45 mm; grosimi 0,10 și 0,13 mm			
		SLMG S2MG	155°C				
		S1Si S2MSi	180°C				
12	Lacuri de impregnare	C51 (1154)	120°C	--	Impregnare bobinaje	NID 45-68	Uscare rapidă, 2 ore la 110°C
		C51M (ALM1)	130°C	--		NID 1007-68	Uscare 10 ore, la 120°C
		C81	155°C	--		NID 3008-71	Uscare 10—15 ore la 130—140°C, lac poliesteretalic
		C71	155°C			NID 3008-71	Lac poliuretanic
		C82	155°C			NID 3008-71	Lac poliesterimidic

**TRANSFORMATOARE TRIFAZATE ÎN ULEI, DE PUTERI 100—1 600 kVA, TENSIUNI  
PÎNĂ LA 20 kV, PRODUSE DE ÎNTEPRINDEREA ELECTROPUTERE — CRAIOVA**

TIPUL	S <sub>n</sub>	I.T. [kV]	J.T. [kV]	Reglaj [%]	Grupa conex.	Pierderi nominale		U <sub>k</sub> [%]	I <sub>0</sub> [%]	Masa totală [kg]
						P <sub>0</sub> kW	P <sub>k</sub> [kW]			
100/10	100	6 10	0,4 0,4	±5	Yzn 5	0,35	2,3	4	3	740
100/20		20	0,4			0,365				900
160/10	160	6 10	0,4 0,4	±5	Yzn 5	0,5	3,1	4	2,9	950
160/20		20	0,4			0,525				1 100
250/10	250	6 6 10 10(5)	0,4 0,525 0,4 0,4	±5	Dyn 5 Yyn 0 Dan 5	0,66	4,4	6	2,9	1 300
250/20		20	0,525		Yyn 0	0,68				1 380
		20(15)	0,4		Dyn 0					
		20(15)			Yyn 0					
400/10	400	6 6 10 10(5)	0,4 0,525 0,4 0,4	±5	Dyn 5 Yyn 0 Dyn 5 Dyn 5	0,94	6	6	2,8	1 650
400/20		20	0,525		Yyn 0	0,98				1 800
		20(15)	0,4		Dyn 5					
		20(15)	0,525		Yyn 0					
630/10	630	6 6 10 10(5)	0,4 0,525 0,4 0,4	±5	Dyn 5 Yyn 0 Dyb 5	1,2	8,2	6	2,4	2 300
630/20		15	0,525		Yyn 0	1,25				2 450
		20	0,525		Dyn 5					
		20(15)	0,4							
1 000/10	1 000	6 6 10 10/5	0,4 0,525 0,4 0,4	±5	Dyn 5 Yyn 0 Dyn 5	1,85	12	6	2	2 950
1 000/20		15	0,525		Yyn 0	1,95				3 150
		20	0,525		Dyn 5					
		20(15)	0,4		Yyn 0					
1 600/10	1 600	6 6 10 10(5)	0,4 0,525 0,4 0,4	±5	Dyn 5 Yyn 0 Dyn 5	2,6	18	6	1,7	4 500
1 600/20		15	0,525		Yyn 0	2,7				4 750
		20	0,525		Dyn 5					
		20(15)	0,4		Yyn 0					
		20	6,3							
		20(15)	6,3							

**MOTORE ASINCRONE TRIFAZATE CU ROTOR ÎN SCURT-CIRCUIT, DE JOASĂ TENSIUNE,  
ÎNCHISE (IP-44), PENTRU UZ GENERAL, PRODUSE ÎN R.S. ROMÂNIA**

GABARIT	TIP	$P_n$ [kW]	$n$ [rot/min]	$U_n$ [V]	$\eta_n$ [%]	$\cos \varphi_n$	$m_m$	$m_p$	$i_p$	Masa totală $M$ [kg]		B și C	Uzina constructoare
										11	12		
1	2	3	4	5	6	7	8	9	10	11	12	13	
71	71 × 0,37 × 3000	0,37	2 700	220/380	66	0,79	2,2	1,9	5,5	6,3		B  IEMT (IMEP și Electro- precizia în gabari- tul 56-132,80-132)	
71	71 × 0,55 × 3000	0,55	2 700	220/380	71	0,81	2,2	1,9	5,5	7,0			
80	80 × 0,75 × 3000	0,75	2 750	220/380	73	0,82	2,2	1,9	6,0	10,9			
80	80 × 1,1 × 3000	1,1	2 750	220/380	74	0,84	2,2	2,0	6,0	12,3			
90S	90S × 1,5 × 3000	1,5	2 820	220/380	77	0,89	2,2	2,0	6,5	16,6			
90L	90L × 2,2 × 3000	2,2	2 850	220/380	79	0,835	2,2	2,0	6,5	19,5			
100L	100L × 3 × 3000	3,0	2 850	220/380	80	0,86	2,4	2,2	6,5	25,0			
112M	112M × 4 × 3000	4,0	2 880	220/380	82	0,965	2,4	2,2	7,0	31,0			
132S	132S × 5,5 × 3000	5,5	2 890	220/380	83	0,865	2,2	2,0	7,0	52,0			
132S	132S × 7,5 × 3000	7,9	2 890	220/380	85	0,87	2,2	2,0	7,0	60			
160M	160M × 11 × 3000	11,0	2 930	220/380	86	0,87	2,2	1,8	7,0	100			
160M	160M × 15 × 3000	15,0	2 910	220/380	88	0,87	2,2	1,8	7,0	114			
160L	160L × 18,5 × 3000	18,5	2 930	220/380	87,5	0,88	2,2	1,8	7,0	126			
180M	180M × 22 × 3000	22,0	2 920	220/380	88	0,885	2,2	1,8	7,0	156			
200L	200L × 30 × 3000	30,0	2 920	220/380	89	0,89	2,2	1,8	7,0	206			
200L	200L × 37 × 3000	37,0	2 920	220/380	89,5	0,89	2,2	1,8	7,0	230			
225M	225M × 45 × 3000	45	2 950	220/380	90	0,89	2,2	1,8	7,0	275			
250M	ASI 250M-2	55	2 930	220/380	90,5	0,90	2,5	2,3	6,8	420		B	I.M.E.B.
280S	ASI 280S-2	75	2 950	220/380	90,5	0,90	2,4	2,2	6,8	550			
315S	MIB-2-315S 65-2	110	2 971	380/660	92,2	0,92	3,1	2,0	7,5	650		F	I.E.P.C.
315S	MIB-2-315S 65-2	132	2 972	380/660	93,0	0,92	3,1	2,0	7,5	750			
315S	MIB-2-315M 70-2	160	2 972	380/660	93,7	0,925	2,9	2,0	7,2	920			
315M	MIB-2-315M 70-2	200	2 970	380/660	94,3	0,935	2,5	1,8	7,0	1100			
71	71 × 0,25 × 1500	0,25	1 350	220/380	62	0,72	2,0	1,6	4,5	6,3		I.E.M.T	
71	71 × 0,37 × 1500	0,37	1 350	220/380	65	0,74	2,0	1,6	4,5	7,5			
80	80 × 0,55 × 1500	0,55	1 350	220/380	70	0,75	2,0	1,8	5,5	11,5			
80	80 × 0,75 × 1500	0,75	1 350	220/380	72	0,76	2,2	1,8	5,5	12,6			



1	2	3	4	5	6	7	8	9	10	11	12	13
90S 90L 100L 100L 112M 132S 132M 160M 160L 180M 180L 200L 225S 225M	90S $\times 1,1 \times 1500$ 90L $\times 1,5 \times 1500$ 100L $\times 2,2 \times 1500$ 100L $\times 3 \times 1500$ 112M $\times 4 \times 1500$ 132S $\times 5,5 \times 1500$ 132M $\times 7,5 \times 1500$ 160M $\times 11 \times 1500$ 160L $\times 15 \times 1500$ 180M $\times 18,5 \times 1500$ 180L $\times 22 \times 1500$ 200L $\times 30 \times 1500$ 225S $\times 37 \times 1500$ 225M $\times 45 \times 1500$	1,1 1,5 2,2 3,0 4,0 5,5 7,5 11 15 18,5 22 30 37 45	1 390 1 390 1 425 1 425 1 425 1 440 1 435 1 440 1 440 1 460 1 460 1 460 1 460 1 460	220/380 220/380 220/380 220/380 220/380 220/380 220/380 220/380 220/380 220/380 220/380 220/380 220/380 220/380	73 76 79 80,5 82 84 85,5 87 88 89 89,5 90 90 91	0,78 0,79 0,80 0,81 0,82 0,83 0,84 0,84 0,85 0,85 0,85 0,85 0,85 0,86	2,2 2,2 2,4 2,2 2,2 2,2 2,2 2,2 2,2 2,2 2,2 2,2 2,2 2,2	2,0 2,0 2,2 2,2 2,2 2,0 2,0 2,0 2,0 1,8 1,8 1,8 1,7 1,7	6,0 6,0 6,5 6,5 6,5 6,5 6,5 6,5 6,5 7,0 7,0 7,0 7,0 7,0	16,1 19,9 25,0 29 35 34 64 103 137 156 216 250 280	B	I.E.M.T.
250M 280S 280M	ASI 250M-4 ASI 280M-4 ASI 280M-4	55 75 90	1 465 1 470 1 470	220/380 220/380 220/380	92 92 93	0,86 0,88 0,88	2,8 2,7 2,7	2,6 2,5 2,5	6,8 7,0 7,0	420 590 660	B	I.M.E.B.
315S 315S 315M 315M 355L 355L	MIB 2 315S MIB 2 315S MIB 2 315M MIB 2 315M MIB 2 355L MIB 2 355L	110 132 160 200 250 315	1 485 1 485 1 481 1 481 1 485 1 485	380/660 380/660 380/660 380/660 380/660 380/660	93 83,5 94 94,5 94,5 95	0,89 0,89 0,89 0,89 0,88 0,87	2,5 2,5 2,5 2,5 2,3 2,3	2,8 2,8 2,7 2,7 2,6 2,7	7,5 7,5 7,0 7,0 7,0 7,0	970 1 020 1 180 1 300 1 650 1 750	F	I.E.P.C.
80 80 90S 90L 100L 112L 132S 132M 132M 160M 160L 180L	80 $\times 0,37 \times 1000$ 80 $\times 0,55 \times 1000$ 90S $\times 0,75 \times 1000$ 90L $\times 1,1 \times 1000$ 100L $\times 1,5 \times 1000$ 112L $\times 2,2 \times 1000$ 132S $\times 3 \times 1000$ 132M $\times 4 \times 1000$ 132M $\times 5,5 \times 1000$ 160M $\times 7,5 \times 1000$ 160L $\times 11 \times 1000$ 180L $\times 15 \times 1000$	0,37 0,55 0,75 1,1 1,5 2,2 3 4 5,5 7,5 11 15	890 900 940 940 940 945 955 960 960 960 960 960	220/380 220/380 " " " " " " " " " "	66 69 71 73 75 77 79 81 83 84 85 86	0,67 0,685 0,7 0,71 0,72 0,74 0,75 0,76 0,77 0,78 0,795 0,81	2,0 2,0 2 2,2 2,2 2,2 2 2 2 2 2 2	1,6 1,7 1,8 2 2 2 1,8 1,8 1,8 1,6 1,6	4,0 4,5 4,5 4,5 5,5 5,5 6 6 6 6 6 6	11,2 12,7 17 19,7 24 32 53 64 74 110 115 144	B	I.E.M.T.

1	2	3	4	5	6	7	8	9	10	11	12	13
200L 200L 225M	200L × 18,5 × 1000 200L × 22 × 1000 225M × 30 × 1000	18,5 22 30	970 970 970	" " "	87 88 89	0,82 0,83 0,84	2 2 2	1,6 1,6 1,6	6,5 6,5 7	169 186 240		
250M 280S 280M 315S	ASI 250M-6 ASI 280S-6 ASI 280M-6 ASI 315S-6	37 45 55 75	975 980 980 980	220/380 220/380 220/380 220/380	91 92 92 93	0,85 0,86 0,86 0,87	2,8 2,6 2,6 2,4	2,6 2,4 2,4 2,2	6,8 6,5 6,5 6,8	430 500 580 690	B	I.M.E.B.
315S 315S 315M 355L 355L	MIB 2 315S MIB 2 315S MIB 2 315M MIB 2 355L MIB 2 355L	90 110 132 200 250	987 987 988 989 989	380/660 " " " "	93,7 94 94,5 95 95	0,87 0,88 0,88 0,85 0,85	2,5 2,5 2,9 1,9 1,9	2 2 2,4 2,5 2,5	6,5 6,5 6,5 6,5 6,5	970 1 020 1 180 1 650 1 750	F	I.E.P.C.
100L 100L 112M 132S 160M 160L 160L 180L 200L 225S 225M	100L × 0,75 × 750 100L × 1,1 × 750 112M × 1,5 × 750 132S × 2,2 × 750 160M × 4 × 750 160L × 5,5 × 750 160L × 7,5 × 750 180L × 11 × 750 200L × 15 × 750 225S × 18,5 × 750 225M × 22 × 750	0,75 1,1 1,5 2,2 4 5,5 7,5 11 15 18,5 22	705 705 705 710 720 708 708 720 720 720 720	220/380 220/380 " " " " " " " " "	66 69 72 75 80 81,5 83 84,5 86 87 88	0,63 0,65 0,67 0,69 0,72 0,735 0,75 0,76 0,77 0,78 0,79	2 2 2 2 2 2 2 2 2 2 2	1,7 1,7 1,7 1,7 1,7 1,6 1,6 1,6 1,6 1,6	4 4,5 4,5 4,5 5 5,5 5,5 5,5 5,5 6 6	23 26,5 30 52 89 97 121 146 184 220 240	B	I.E.M.T.
250M 280S 280M 315S	ASI 250M-8 ASI 280 S-8 ASI 280M-8 ASI 315 S-8	30 37 45 55	730 730 730 730	220/380 " 220/380 "	91 91 92 92,5	0,80 0,81 0,82 0,83	2,4 2,4 2,5 2,5	2,2 2,2 2,3 2,3	6 6,2 6,2 6,2	430 570 625 690	B	I.M.E.B.
315S 315S 315M 315M 355L 355L	MIB2 315 S-8 MIB2 315 S-8 MIB2 315M-8 MIB2 315M-8 MIB2 355L-8 MIB2 355L-8	75 90 110 132 160 200	741 740 739 739 741 741	380/660 " " " " "	93 93 93,3 93,5 94 94,5	0,82 0,81 0,81 0,81 0,79 0,79	2,4 2,2 2,5 2,5 1,7 1,7	2 2 2,2 2,2 2,4 2,4	5,5 5,5 5,5 5,5 5,4 5,4	1 050 1 100 1 250 1 375 1 650 1 750	F	I.E.P.C.

MOTOARE ASINCRONE TRIFAZATE, CU ROTOR ÎN SCURT-CIRCUIT, DE JOASA TENSIUNE,  
ÎNCHISE (IP-44), PENTRU UZ GENERAL, PRODUSE DE SIEMENS (R.F.G.)

GABARIT	TIP	$P_n$ [kW]	$n$ [rot/min]	$U_n$ [V]	$\eta_n$ [%]	$\cos \varphi_n$	$m_M$	$m_p$	$i_p$	Masa totală [kg]	Cl. iz.
1	2	3	4	5	6	7	8	9	10	11	12
56	ILA3 050-2AA	0,09	2 700	220/380	60	0,76	—	2,3	3,6	2,5	B
56	ILA3 053-2AA	0,12	2 720	220/380	64	0,78	—	2,3	4	2,8	
63	ILA3 063-2AA	0,18	2 740	220/380	64	0,81	—	2,3	4	3,5	
C	ILA3 063-2AA	0,25	2 765	220/380	66	0,81	—	2,3	4,3	4,1	
71	ILA3 070-2AA	0,37	2 765	220/380	66	0,79	—	2,3	4,3	5	
71	ILA3 073-2AA	0,55	2 800	220/380	71	0,71	—	2,3	4,9	6,6	
80	ILA3 080-2AA	0,75	2 830	220/380	74	0,84	—	2,4	6	8,2	
80	ILA3 083-2AA	1,1	2 850	220/380	77	0,85	—	2,4	6,1	9,9	
90S	ILA3 090-2AA	1,5	2 855	220/380	78	0,85	2,4	2,3	6,2	12,6	
90L	ILA3 096-2AA	2,2	2 860	220/380	82	0,85	2,9	2,8	6,8	15,7	
100L	ILA3 106-2AA	3	2 895	220/380	83	0,86	2,6	2,4	7,2	29	
112M	ILA3 113-2AA	4	2 895	220/380	85	0,88	2,5	2,4	7,6	38	
132S	ILA3 130-2AA	5,5	2 925	220/380	85	0,88	2,8	2,4	7,6	54	
132S	ILA3 131-2AA	7,5	2 930	220/380	87	0,88	3	2,5	7,7	61	
160M	ILA3 163-2AA	11	2 940	220/380	87	0,86	2,8	2,5	7,3	89	
160M	ILA3 164-2AA	15	2 940	220/380	88	0,86	2,7	2,5	7,7	100	
160L	ILA3 166-2AA	18,5	2 940	220/370	89	0,88	3	2,7	8,6	119	
180M	ILA4 183-2AC	22	2 935	380/660	90	0,88	2,6	1,9	5,8	165	
200L	ILA4 206-2AC	30	2 950	380/660	91	0,88	2,6	1,7	6	235	
200L	ILA4 207-2AC	37	2 950	380/660	92	0,88	2,6	1,7	6	260	
225M	ILA4 223-2AC	45	2 960	380/660	92,5	0,89	2,5	1,7	6,3	320	
250M	ILA4 253-2AC	55	2 965	380/660	91	0,89	2,3	1,6	6,3	430	
280S	ILA4 280-2AC	75	2 970	380/660	91,5	0,89	2,2	1,6	6,3	570	
280M	ILA4 283-2AC	90	2 970	380/660	92	0,89	2,2	1,6	6,3	620	
315S	ILA4 310-2AD	110	2 975	380/660	92,5	0,90	2,2	1,2	6,3	790	
315M	ILA4 313-2AD	132	2 975	380/660	93	0,90	2,2	1,2	6,3	870	
315M	ILA4 314-2AD	160*	2 975	380/660	93,5	0,90	2,2	1,2	6,3	1040	F
355/1	ILA4 354-2AD	220*	2 980	380/660	94	0,90	2,5	1,2	6,5	1360	
355/2	ILA4 356-2AD	270*	2 980	380/660	94	0,90	2,5	1,2	6,5	1590	
400/1	ILA4 404-2AD	300*	2 980	380/660	95,5	0,92	2,2	1,2	6,5	2030	
400/2	ILA4 406-2AD	375*	2 980	380/660	96	0,92	2,2	1,2	6,5	2400	

1	2	3	4	5	6	7	8	9	10	11	12
56	1LA3 050-4AB	0,06	1 300	220/380	54	0,73	—	1,9	2,8	2,5	B
56	1LA3 053-4AB	0,09	1 315	"	57	0,71	—	2	3	2,8	
63	1LA3 060-4AB	0,12	1 315	"	56	0,75	—	1,9	3	3,5	
63	1LA3 063-4AB	0,18	1 320	"	60	0,75	—	1,9	3	4,1	
71	1LA3 070-4AB	0,25	1 345	"	64	0,76	—	1,9	3,4	4,8	
71	1LA3 073-4AB	0,37	1 375	"	66	0,76	—	2	3,7	6	
80	1LA3 080-4AA	0,55	1 400	"	71	0,80	—	2,3	4,7	8	
80	1LA3 083-4AA	0,75	1 400	"	74	0,79	2,5	2,3	4,7	—	
90S	1LA3 090-4AA	1,1	1 410	"	74	0,79	2,4	2,3	5	12	
90L	1LA3 096-4AA	1,5	1 415	"	76	0,79	2,6	2,4	5,4	15,6	
100L	1LA3 106-4AA	2,2	1 420	"	78	0,79	2,7	2,4	5,6	29	
100L	1LA3 107-4AA	3	1 420	"	80	0,80	3	2,8	6,4	31	
112M	1LA3 113-4AA	4	1 435	"	84	0,82	3	2,8	7	42	
132S	1LA3 130-4AA	5,5	1 450	220/350	84	0,85	2,8	2,2	7	50	
132M	1LA3 133-4AA	7,5	1 450	"	86	0,85	3,3	2,4	7,9	66	
160M	1LA3 163-4AA	11	1 460	"	88	0,86	3	2,4	8	92	
160L	1LA4 166-4AA	15	1 460	"	89	0,88	2,9	2,2	8	110	
180M	1LA4 183-4AA	18,5	1 460	380/660	89,5	0,84	2,3	2,6	6	170	
189L	1LA4 186-4AA	22	1 460	"	90,5	0,85	2,3	2,6	6	190	
180L	1LA4 186-4AA	22	1 460	"	90,5	0,85	2,3	2,6	6	190	
200L	1LA4 207-4AA	30	1 470	"	91,5	0,86	2,2	2,6	6	250	
225S	1LA4 220-4AA	37	1 470	"	92	0,87	2,2	2,6	6	300	
225M	1LA4 223-4AA	45	1 470	"	92,5	0,87	2,2	2,6	6	325	
250M	1LA4 253-4AA	55	1 475	"	93	0,87	2,4	2,4	6	455	
280S	1LA4 280-4AA	75	1 480	"	94	0,86	2,4	2,4	6,3	610	
280M	1LA4 283-4AA	90	1 480	"	94	0,86	2,4	2,4	6,3	680	
315S	1LA4 310-4AA	110	1 485	"	94,5	0,86	2,4	2,4	6,5	840	
315M	1LA4 313-4AA	132	1 485	"	95	0,87	2,4	2,4	6,5	950	
315M	1LA4 314-4AA	160	1 485	"	95,5	0,87	2,4	2,4	6,5	1060	
355/1	1LA4 354-4AB	200	1 485	380/660	95	0,89	2,4	2,4	6,8	1410	B
355/2	1LA4 356-4AB	250	1 485	"	95,5	0,89	2,2	2,4	6,8	1630	
400/1	1LA4 404-4AB	315	1 490	"	95,5	0,89	2,4	2,2	7	2020	
400/2	1LA4 406-4AB	400	1 490	"	96	0,89	2,2	2,2	7	2380	
71	1LA3 073-6AA	0,25	860	220/380	60	0,72	—	2,2	3	6,3	
80	1LA3 080-6AA	0,37	900	"	66	0,74	—	2,2	3,6	7,5	

1	2	3	4	5	6	7	8	9	10	11	12
80	IL A3 083-GAA	0,55	905	"	70	0,73	—	2,3	3,8	9,4	B
90S	IL A3 090-GAA	0,75	910	"	71	0,72	2	2	3,8	12,2	
90L	IL A3 096-GAA	1,1	920	220/380	74	0,72	2,2	2	4,1	15,7	
11M 2	IL A3 106-GAA	1,5	935	"	77	0,74	2,3	2	4,7	30	
1100L	IL A3 113-GAA	2,2	945	"	78	0,74	2,4	2	5,1	35	
132S	IL A3 130-GAA	3	955	"	80	0,75	2,4	2	5,5	49	
132M	IL A3 133-GAA	4	960	"	83	0,76	2,8	2,4	6,2	56	
132M	IL A3 134-GAA	5,5	960	"	84	0,76	3	2,6	6,4	64	
160M	IL A3 163-GAA	7,5	965	"	84	0,75	3	2,6	6,4	91	
160L	IL A3 166-GAA	11	965	"	88	0,78	3	2,7	7,2	119	
180L	IL A4 186-7AA	15	970	"	88,5	0,82	2,2	2,6	5,7	180	
200L	IL A4 206-GAA	18,5	975	"	90	0,83	2,2	2,6	5,7	240	
200L	IL A4 207-GAA	22	980	"	90	0,83	2,2	2,6	5,7	255	
225M	IL A4 223-7AA	30	980	"	91,5	0,84	2,2	2,6	5,7	315	
250M	IL A4 253-GAA	37	980	"	91,5	0,85	2,2	2,6	5,7	435	
280S	IL A4 280-GAA	45	980	"	92,5	0,85	2,4	2,3	6	530	
280M	IL A4 283-GAA	55	980	"	93	0,85	2,4	2,3	6	600	
315S	IL A4 310-GAA	75	985	380/660	93,5	0,85	2,3	2,3	6	820	
315M	IL A4 313-GAA	90	985	"	94	0,85	2,3	2,3	6	920	
315M	IL A4 6AB	110	990	"	94,5	0,85	2,3	1,9	6,2	1160	
315M	IL A4 315-GAB	132	990	380/660	94,5	0,84	2,3	1,9	6,2	1160	F
355/1	IL A4 354-GAB	160	985	"	94	0,87	2,4	2,4	6,5	1400	
355/2	IL A4 356-GAB	200	985	"	94,5	0,87	2,4	2,4	6,5	1620	
400/1	IL A4 404-GAB	250	990	"	94,5	0,87	2,4	2,4	7	2010	
400/2	IL A4 406-GAB	315	990	"	95	0,87	2,4	2,4	7	2360	
90S	IL A3 090-8AB	0,37	670	220/380	62	0,75	1,7	1,6	2,8	10,2	
90L	IL A3 096-8AB	0,55	675	"	68	0,75	1,8	1,7	3	13,2	
100L	IL A3 106-8AB	0,75	680	"	70	0,75	2,1	1,9	3,5	27	
100L	IL A3 107-8AB	1,1	700	"	73	0,75	2,1	1,9	3,8	31	
112M	IL A3 113-8AB	1,5	715	"	73	0,75	2,1	1,9	4,2	35	
132S	IL A3 130-8AB	2,2	715	"	76	0,75	2,2	1,8	4,2	49	
132M	IL A3 133-8AB	3	715	"	79	0,74	2,2	1,9	4,8	59	
160M	IL A3 163-8AB	4	715	"	79	0,73	2,5	2	4,8	87	
160M	IL A3 164-8AB	5,5	715	"	83	0,73	2,8	2,1	5,4	85	
160L	IL A3 166-8AB	7,5	715	"	84	0,75	2,9	2,4	5,6	108	

1	2	3	4	5	6	7	8	9	10	11	12
180L	IL.A4 186-8AB	11	720	380/660	86,5	0,77	2,2	2,1	4,5	185	B
200L	IL.A4 207-8AB	15	720	"	87	0,83	2,2	2,1	5	275	
225S	IL.A4 220-8AB	18,5	720	"	88	0,84	2,2	2,1	5	310	
225M	IL.A4 223-8AB	22	720	"	89	0,84	2,2	2,1	5	355	
250M	IL.A4 253-8AB	30	725	"	90	0,84	2,1	2,1	5	470	
280S	IL.A4 280-8AB	37	730	"	90,5	0,83	2,4	2,2	5,5	600	
280M	IL.A4 283-8AB	45	730	"	91	0,84	2,4	2,2	5,5	660	
315S	IL.A4 310-8AB	55	730	"	92	0,84	2,4	2,2	5,5	840	
315M	IL.A4 313-8AB	75	730	"	92,5	0,84	2,4	2,2	5,5	980	
315M	IL.A4 314-8AB	90	740	"	93,5	0,85	2,2	1,9	6	1060	
315M	IL.A4 315-8AB	110	740	"	93,5	0,84	2,2	1,9	6	1060	
355/1	IL.A4 354-8AC	150	740	"	93,5	0,85	2,1	1,6	5,5	1470	
355/2	IL.A4 356-8AC	180	740	"	94	0,85	2,1	1,6	5,5	1690	
400/1	IL.A4 404-8AC	225	740	"	94,5	0,85	2	1,6	6	2060	
400/2	IL.A4 406-8AC	280	740	"	95	0,85	2	1,6	6	2410	
											F

## ANEXA VI

MOTOARE ASINCRONE TRIFAZATE ÎNCHISE (IP-44) CU ROTOR ÎN SCURT-CIRCUIT (DE ÎNALTĂ  
TENSIUNE) PRODUSE DE I.E.P. CRAIOVA (gab. 400—500)

Gabarit	Tip	$P_n$ kW	$n_n$ rot/min	$U_n$ kV	$\eta_n$ %	$\cos \varphi_n$	$m_M$	$m_P$	$i_P$	Masa totală kg	Observații
1	2	3	4	5	6	7	8	9	10	11	12
400	MIB2 400V-4	160	1 485	6	90	0,86	3,8	1,8	7,8	2 150	clasă F Răcire prin autoventila- re în circuit închis cu schimbător de căl- dură aer-aer
400	MIB2 400V-4	200	1 485	6	90,5	0,87	3,8	1,8	7,8	2 300	
400	MIB2 400V-4	200	1 485	6	91,5	0,85	3,3	1,6	7,5	2 300	
400	MIB2 400Y-4	250	1 485	6	91,5	0,87	3,5	1,7	7,5	2 450	
450	MIB2 450L-4	315	1 486	6	91,5	0,86	2,9	1,2	6,2	2 650	
450	MIB2 450V-4	400	1 486	6	92	0,87	3,1	1,4	6,5	2 950	

1	2	3	4	5	6	7	8	9	10	11	12
450	MIB2 450Y-4	500	1 485	6	92,6	0,88	3,3	1,6	7	3 250	
500	MIB2 500V-4	630	1 488	6	92,6	0,90	3,3	1,1	7	3 700	
500	MIB2 500Y-4	800	1 489	6	93	0,91	3,2	1,3	7,5	4 150	
560	MIB2 560Y-4	1 000	1 489	6	94,6	0,93	3,2	1,2	7,3	5 100	
400	MIB2 400V-6	160	990	6	90,3	0,74	3,6	1,7	6,8	2 300	idem
400	MIB2 400Y-6	200	989	6	90,7	0,75	3,8	1,8	6,9	2 450	
450	MIB2 450L-6	250	988	6	91,6	0,80	3	1,3	5,7	2 650	
450	MIB2 450V-6	315	988	6	92,3	0,81	3,1	1,5	6,3	2 950	
450	MIB2 450V-6	400	987	6	93,2	0,82	3,2	1,5	6,5	3 200	
500	MIB2 500V-6	500	989	6	93,4	0,87	2,8	1,3	6,2	3 700	
500	MIB2 500Y-6	630	988	6	94,2	0,88	2,9	1,5	6,5	4 150	
560	MIB2 560L-6	800	990	6	94,7	0,88	2,8	1,1	6,2	4 900	
560	MIB2 560V-6	1 000	990	6	95	0,89	2,3	1,2	6,5	5 400	
400	MIB2 400V-8	132	739	6	90,7	0,74	3	1,4	5,8	2 500	idem
400	MIB2 400Y-8	160	739	6	91,2	0,75	3,2	1,5	6	2 650	
450	MIB2 450L-8	200	740	6	91,5	0,73	2,7	1,4	6,8	2 850	
450	MIB2 450V-8	250	741	6	92,1	0,74	2,8	1,5	5,9	3 150	
450	MIB2 450Y-8	315	742	6	92,5	0,75	2,9	1,5	6	3 500	
500	MIB2 500V-8	400	741	6	93,6	0,79	2,6	1,4	5,6	3 850	
500	MIB2 500Y-8	500	742	6	94	0,80	2,7	1,5	6,2	4 250	
560	MIB2 560L-8	630	742	6	94,5	0,83	2,6	1,2	6	5 000	
560	MIB2 560V-8	800	742	6	95	0,84	2,8	1,3	6,4	5 500	
450	MIB2 450L-10	160	590	6	91,6	0,72	2,2	1,1	4,4	3 000	idem
450	MIB2 450V-10	200	591	6	92,2	0,73	2,4	1,2	4,6	3 300	
500	MIB2 500V-10	250	592	6	92,7	0,76	2,1	1,1	4,2	3 500	
500	MIB2 500V-10	315	591	6	93	0,77	2,2	1,2	4,3	3 850	
500	MIB2 500Y-10	400	590	6	93,3	0,78	2,3	1,3	4,4	4 100	
560	MIB2 560L-10	500	592	6	93,5	0,81	2,1	1,1	4,7	5 000	
560	MIB2 560V-10	630	593	6	93,7	0,82	2,3	1,2	4,3	5 500	
450	MIB2 450L-12	132	490	6	91,4	0,72	2,1	1	4,3	2 850	idem
450	MIB2 450V-12	160	490	6	91,8	0,73	2,2	1,1	4,4	3 200	
500	MIB2 500V-12	200	491	6	92,4	0,74	2,2	1,2	4,5	3 450	
500	MIB2 500V-12	250	491	6	92,8	0,75	2,3	1,2	4,7	3 850	
500	MIB2 500Y-12	315	492	6	93,2	0,76	2,4	1,3	4,8	4 200	
560	MIB2 560L-12	400	490	6	93,5	0,79	2,1	1,1	4,3	4 850	
560	MIB2 560V-12	500	490	6	93,8	0,80	2,2	1,2	4,5	5 300	
560	MIB2 560V-2	500	490	6							

MOTOARE ASINCRONE TRIFAZATE CU ROTOR ÎN SCURT-CIRCUIT, ÎNCHISE (IP 54)  
DE ÎNALTĂ TENSIUNE, PRODUSE DE FIRMA SIEMENS

Gabarit	Tip	$P_n$ [kW]	$n_n$ [rot/min]	$U_n$ [kV]	$\eta_n$ [%]	$\cos \varphi_n$	$m_M$	$m_p$	$i_p$	Masa totală
400	1LA5 408-4HD6	155	1 480	6	93,7	0,85	2,3	1,2	5,6	1 800
425	1LA5 428-4HD6	210	1 485	6	94,5	0,86	2,3	1,2	5,8	2 100
450	1LA5 458-4HD6	260	1 485	6	95,1	0,87	2,2	1,2	6	2 450
475	1LA5 478-4HE6	320	1 485	6	95,3	0,88	2,2	1,1	6	2 800
500	1LA5 508-4HE6	400	1 490	6	95,6	0,89	2,2	0,9	6	3 300
630	1LA3 312-4KE6	450	1 484	6	94,9	0,84	2,2	1	5,3	3 200
630	1LA3 316-4KE6	610	1 485	6	95,5	0,85	2,2	1	5,3	3 800
400	1LA5 408-6HD3	132	985	3	94,4	0,82	2,2	1,2	5,4	1 850
425	1LA5 428-6HD6	155	988	6	94,5	0,83	2,1	1,2	5,6	2 150
450	1LA5 458-6HD6	210	990	6	94,9	0,84	2,1	1,2	5,6	2 550
475	1LA5 478-6HD6	260	990	6	95,1	0,84	2,2	1,2	6	2 900
500	1LA5 508-6HD6	330	990	6	95,7	0,85	2,1	1,2	6	3 400
630	1LA5 316-6HE6	460	988	6	94,4	0,84	2,0	1,1	5,1	3 950
425	1LA5 428-8HD3	135	740	3	93,5	0,78	2,1	1,2	4,4	2 150
450	1LA5 458-8HD3	155	740	6	94,2	0,79	2,1	1,2	4,6	2 550
475	1LA5 478-8HD3	210	740	6	94,5	0,80	2,1	1,2	4,8	2 900
500	1LA5 508-8HD6	270	740	6	94,8	0,81	2,1	1,2	5	3 400
630	1LA5 316-8HD6	350	735	6	93,9	0,83	2,5	1,5	5,7	4 100
670	1LA5 324-8HD6	400	740	6	94,4	0,83	2,5	1,5	5,7	4 400



**MOTOARE ASINCRONE TRIFAZATE, CU ROTOR BOBINAT, DE JOASĂ TENSIUNE, ÎNCHISE**  
**(IP-44), PENTRU UZ GENERAL, PRODUSE ÎN R.S. ROMÂNIA**

GABARIT	TIP	$P_n$ [kW]	$n$ [rot/min]	$U_n$ [V]	$\eta_n$ [%]	$\cos \varphi_n$	$m_M$	$m_p$	$i_p$	Masa totală [kg]	Uzina constructoare
1	2	3	4	5	6	7	8	9	10	11	12
180S	AFI 180S-42	10	1 450	380	84	0,825	2,2	—	—	150	I.E.M.T.
180M	AFI 180M-42	13	1 450	"	85	0,835	2,2	—	—	170	
200S	AFI 200S-48	17	1 475	"	86	0,845	2,2	—	—	220	
200M	AFI 200M-48	22	1 475	"	87	0,85	2,2	—	—	260	
250M	AFI 250Ma-4	37	1 470	"	91	0,86	3,3	—	—	450	I.M.E.B.
250M	AFI 250Ml-4	45	1 470	"	91,5	0,87	3,5	—	—	500	
280S	AFI 280S-4	55	1 470	"	92	0,87	3,5	—	—	615	
280M	AFI 280M-4	75	1 470	"	92,5	0,86	3,5	—	—	710	
315S	MIP2 315S-4	110	1 478	380/660	93	0,87	2,9	—	—	1 165	I.E.P.C.
315S	MIP2 315S-4	132	1 478	"	93	0,87	2,8	—	—	1 215	
315M	MIP2 315M-4	160	1 482	"	94	0,89	3	—	—	1 365	
315M	MIP2 315M-4	200	1 482	"	94,5	0,89	3	—	—	1 490	
355L	MIP2 355L-4	250	1 485	"	94	0,91	3	—	—	1 820	
355L	MIP2 355L-4	315	1 485	"	95	0,91	3	—	—	1 900	
180S	AFI 180S-42	7,5	970	380	82	0,77	1,8	—	—	164	I.E.M.T.
180M	AFI 180M-42	10	970	"	83	0,78	1,8	—	—	170	
200S	AFI 200S-48	13	970	"	84	0,79	1,8	—	—	220	
200M	AFI 200M-48	17	970	"	85	0,805	1,8	—	—	255	

1	2	3	4	5	6	7	8	9	10	11	12
250M	AFI 250M-6	30	975	"	91	0,84	3,5	—	—	460	I.M.E.B.
280S	AFI 280S-6	37	980	"	91	0,83	3,5	—	—	590	
280M	AFI 280M-6	45	980	380	91,5	0,83	3,5	—	—	630	
280M	AFI 280M-6	55	980	"	92	0,83	3,5	—	—	715	
315S	MIP2 315S-6	90	984	380/660	92,5	0,87	3,2	—	—	1 190	I.E.P.C.
315S	MIP2 315S-6	110	984	"	93	0,86	3,2	—	—	1 250	
315M	MIP2 315M-6	132	984	"	94	0,87	3,2	—	—	1 400	
315M	MIP2 315M-6	160	986	"	94	0,87	3	—	—	1 520	
355L	MIP2 355L-6	200	988	"	94,5	0,88	2,8	—	—	1 800	I.E.M.T.
355L	MIP2 355L-6	250	989	"	94,5	0,88	2,8	—	—	1 900	
180S	AFI 180S-42	5,5	730	380	80	0,72	1,8	—	—	155	
180M	AFI 180M-42	7,5	720	"	81	0,735	1,8	—	—	190	
200S	AFI 200S-48	10	730	"	82	0,75	1,8	—	—	220	I.M.E.B.
200M	AFI 200M-48	13	730	"	83	0,76	1,8	—	—	255	
250M	AFI 250M-8	22	730	"	91	0,80	3	—	—	480	
280S	AFI 280S-8	30	730	"	91,5	0,80	3	—	—	590	
280M	AFI 280M-8	37	730	"	92	0,81	3	—	—	715	I.E.P.C.
315S	MIP2 315S-8	75	735	380/660	92	0,81	2,6	—	—	1 190	
315S	MIP2 315S-8	90	735	"	92,5	0,81	2,6	—	—	1 250	
315M	MIP2 315M-8	110	737	"	93	0,81	2,6	—	—	1 400	
315M	MIP2 315M-8	132	737	"	93	0,81	2,6	—	—	1 520	I.E.P.C.
315L	MIP2 355L-8	160	740	"	94	0,80	2,6	—	—	1 750	
355L	MIP2 355L-8	200	740	"	94,5	0,81	2,6	—	—	1 850	

MOTOARE ASINCRONE CU ROTOR ÎN SCURT-CIRCUIT CU POLI COMUTABILI CU DOUĂ TURĂȚII  
CU BOBINAJ DE TIP DAHLANDER (R.S. ROMÂNIA) (DE JOASĂ TENSIUNE)

Gabarit	Tip	$P_n$ [kW]	$n_n$ [rot/min]	$\eta_n$ [%]	$\cos \varphi_n$	$m_p$	$i_p$	Masa totală kg	Unită constructoare
160M	ASI 160M 4/8	6,8/4,5	1 500/ 750	86,5/81	0,87 /0,73	1,7/1,4	7/6,5	120	I.E.M.T.
160M	ASI 160M 2/4	13/10	3 000/1 500	85 /87,5	0,89 /0,83	1,7/1,5	8/7	137	
160S	ASF 160S 2/4	10/ 7,5	3 000/1 500	83 /86,5	0,89 /0,825	1,7/1,7	7/7	116	
180S	ASI 180S 4/8	9/ 6	1 500/ 750	86 /83	0,91 /0,78	1,4/1,4	6,5/6,5	160	
180M	ASI 180M 4/8	11/ 7,5	1 500/ 750	86 /84	0,9 /0,73	1,4/1,4	7 /6,5	161	
200S	ASI 200S 4/8	14/10	1 500/ 750	87 /85	0,9 /0,75	1,2/1,2	6,5/6,5	221	
200M	ASI 200M 4/8	18/12	1 500/ 750	88 /85,5	0,925/0,805	1,5/1,3	7,5/6,5	241	I.M.E.B.
250M	ASI 250M 2/4	55/45	3 000/1 500	87 /90	0,91 /0,86	2 /1,8	8,5/7	420	
250M	ASI 250M 2/4	36/27	1 500/ 750	88 /89	0,91 /0,81	2 /2	8,5/7	430	
280S	ASI 280S 2/4	75/61	3 000/1 500	88 /90	0,92 /0,86	2 /1,7	8,5/8	590	
280S	ASF 280S 4/8	48/36	1 500/ 750	89 /89,5	0,915/0,82	2 /1,5	8 /7	570	
280M	ASI 280M 2/4	90/75	3 000/1 500	88 /90	0,92 /0,86	2 /1,7	9 /8	660	
280M	ASI 280M 4/8	61/48	1 500/ 750	89,5/90	0,925/0,825	2 /1,5	8,5/7	625	

MOTOARE ASINCRONE CU ROTOR ÎN SCURT-CIRCUIT CU POLI COMUTABILI (DOUĂ TURĂȚII)  
CU BOBINAJ DE TIP DAHLANDER (SIEMENS) DE JOASĂ TENSIUNE

Gabarit	Tip	$P_n$ [kW]	$n_n$ [rot/min]	$m_p$	$i_p$	Masa totală kg	Gabarit	Tip	$P_n$ [kW]	$n_n$ [rot/min]	$m_p$	$i_p$	Masa totală kg
160M	1LA3 163-0AA	11 / 9,5	3 000/1 500	2,3/2,18,2/7	2,3/2,18,2/7	92	160M	1LA3 163-0AB	5,5/4	1 500/750	2 /1,8	5,5/4,5	76
160L	1LA3 166-0AA	14,5/12	"	2,2/2,38,8/8	2,2/2,38,8/8	110	160M	1LA3 164-0AB	7 /5	"	2 /1,8	5,8/4,7	85
180M	1LA4 183-0AA	18,5/15	"	2,1/2,16,1/5,3	2,1/2,16,1/5,3	170	160L	1LA3 106-0AB	10 /7	"	2,1/2	6,5/5	108
180L	1LA4 186-0AA	22 /18,5	"	2,1/2,16,3/5,3	2,1/2,16,3/5,3	190	180L	1LA4 186-0CB	17,5/11	"	2,1/2,2	6,5/5	185
200L	1LA4 207-0AA	31 /26	"	2,1/2,15,8/5	2,1/2,15,8/5	250	200L	1LA4 207-0CB	27 /17	"	2 /2	6,9/5,4	275
225S	1LA4 200-0AA	38 /32	"	2,1/2,16,2/5,3	2,1/2,16,2/5,3	300	225S	1LA4 220-0CB	31 /22	"	2,3/2,3	7,3/5,9	310
225M	1LA4 223-0AA	46 /38	"	2,2/2,26,4/5,3	2,2/2,26,4/5,3	325	225M	1LA4 223-0CB	36 /25	"	2,5/2,6	7,9/6,6	325
250M	1LA4 253-0AA	55 /46	"	2 /2	2,2/2,16,2	455	250M	1LA4 253-0CB	48 /33	"	2,5/2,6	7,3/5,9	470
280S	1LA4 280-0AA	72 /60	"	1,6/1,5,6,4/5,4	1,6/1,5,6,4/5,4	610	280S	1LA4 280-0CB	56 /40	"	2,3/2,3	7,5/6,2	600
280M	1LA4 283-0AA	84 /70	"	1,6/1,5,7,2/6	1,6/1,5,7,2/6	680	280M	1LA4 283-0CB	67 /47	"	2,5/2,4	7,9/6,3	660
315S	1LA4 310-0AA	95 /80	"	1,8/1,5,7,4/6,3	1,8/1,5,7,4/6,3	840	315S	1LA4 310-0CB	90 /62	"	2,4/2,1	7,8/6	840
315M	1LA4 313-0AA	115 /90	"	1,7/1,7,7,2/6	1,7/1,7,7,2/6	950	315M	1LA4 313-0CB	110 /76	"	2,6/2,5	8,3/6,8	980
								1LA4 315-0CB	132/ 90	"	2,0/1,9	7,9/6,4	1 060

MOTOARE ASINCRONE MONOFAZATE, CU ROTOR ÎN SCURT-CIRCUIT, CU FAZA AUXILIARĂ  
CAPACITIVĂ 220 V, 50 Hz (ELECTROMOTOR TIMIȘOARA)

Gabarit	Tip	$P_n$ [kW]	$n_n$ [rot/ mm]	$\eta_n$ [%]	$\cos \varphi_n$	$m_p$	$i_p$	C [μF]	Masă cu con- densator kg	Observații
71	AMI 71 0,25 × 3 000	0,25	3 000	62	0,9	0,4	5	12	6,6	● se utilizează la acționări fără porniri în sarcină; ● Faza capacitivă este permanent conectată.
71	AMI 71 0,37 × 3 000	0,37	3 000	64	0,9	0,38	5	16	6,7	
71	AMI 71 0,55 × 3 000	0,55	3 000	64	0,9	0,4	5	20	7,5	
80	AMI 80 0,75 × 3 000	0,75	3 000	68	0,88	0,4	5	25	13	
90S	AMI 90S 1,1 × 3 000	1,1	3 000	69	0,93	0,4	5,5	35	15,8	
90L	AMI 90L 1,5 × 3 000	1,5	3 000	71	0,94	0,4	5,5	45	18,9	
100L	AMI 100L 2,2 × 3 000	2,2	3 000	71	0,9	0,4	5,5	60	27	
71	AMI 71 0,18 × 1 500	0,18	1 500	58	0,9	0,44	3,5	10	6,7	● Se utilizează la acționări cu pornire în sarcină; ● Faza auxiliară se deconectează după pornire prin intermediul unui releu de curent
71	AMI 71 0,25 × 1 500	0,25	"	63	0,9	0,46	3,5	12	6,7	
80	AMI 80 0,37 × 1 500	0,37	"	63	0,9	0,4	3,5	16	12,2	
80	AMI 80 0,55 × 1 500	0,55	1 500	65	0,9	0,42	3,5	20	13	
90S	AMI 90S 0,75 × 1 500	0,75	1 500	68	0,91	0,5	3	25	16	
90L	AMI 90L 1,1 × 1 500	1,1	1 500	70	0,92	0,5	3,5	35	19,4	
100L	AMI 100L 1,5 × 1 500	1,5	1 500	70	0,9	0,4	4	45	27	
71	AMI 71 0,18 × 3 000	0,18	3 000	51	0,71	2	3,9	30	6,7	
71	AMIR 71 0,25 × 3 000	0,25	3 000	57	0,76	2	4,1	40	6,7	
71	AMIR 71 0,37 × 3 000	0,37	"	60,5	0,75	2	4,5	50	7,5	
80	AMIR 80 0,55 × 3 000	0,55	3 000	66,5	0,71	2	4,5	80	13	
90L	AMIR 90S 0,75 × 3 000	0,75	"	68	0,81	2	3,8	100	15,9	
90S	AMIR 90L 1,1 × 3 000	1,1	"	70	0,83	2	5	130	18,9	
100L	AMIR 100L 1,5 × 3 000	1,5	"	71	0,80	2	5,5	160	27	
71	AMIR 71 0,12 × 1 500	0,12	1 500	42	0,68	2	2,4	16	6,7	
71	AMIR 71 0,18 × 1 500	0,18	1 500	47	0,66	2	2,5	20	7,5	
71	AMIR 71 0,25 × 1 500	0,25	1 500	53	0,63	2	3	30	8,5	
80	AMIR 80 0,37 × 1 500	0,37	1 500	55	0,63	2	3,4	50	13	
90S	AMIR 90S 0,55 × 1 500	0,55	1 500	59	0,71	2	3,4	60	16	
90L	AMIR 90L 0,75 × 1 500	0,75	1 500	63	0,71	2	3,8	100	19,3	
100L	AMIR 100L 1,1 × 1 500	1,1	1 500	70	0,73	2	3,8	130	27	

MOTOARE ASINCRONE MONOFAZATE, CU ROTOR ÎN SCURT-CIRCUIT, CU FAZĂ AUXILIARĂ  
CAPACITIVĂ, 220 V, 50 Hz (PRODUSE DE FIRMA SIEMENS)

Gabarit $H$ , mm	TIP	$P_n$ [kW]	$n_n$ [rot/ min]	$\eta$ [%]	$\cos \varphi$	$m_p$	$i_p$	Capaci- tate $C$ μF	Masa [kg]	Observații
56	ILF3 050-2AB20	0,09	3 000	55	0,93	0,46	3,2	3	2,7	Motor monofazat cu fază capacitivă perma- nentă. Pornire în gol
56	ILF3 050-2AB20	0,12	3 000	57	0,94	0,48	3,1	4	3	
63	ILF3 060-2AB20	0,18	3 000	62	0,92	0,41	3,5	5	3,8	
63	ILF3 063-2AB20	0,25	3 000	65	0,94	0,43	3,3	6	4,4	
71	ILF3 070-2AB20	0,37	3 000	67	0,95	0,34	3,6	10	5,4	
71	ILF3 073-2AB20	0,55	3 000	69	0,96	0,36	3,5	12	7	
80	ILF3 080-2AB20	0,75	3 000	74	0,97	0,30	3,9	20	8,6	
80	ILF3 083-2AB20	1,1	3 000	77	0,96	0,32	4	25	10,4	
90S	ILF3 090-2AB20	1,5	3 000	77	0,97	0,24	4,5	40	13,1	
90L	ILF3 098-2AB20	2,2	3 000	78	0,97	0,26	4,3	50	15,7	
100L	ILF3 106-2AB20	3	3 000	82	0,97	0,23	4,7	60	30	
56	ILF3 050-4AB20	0,06	3 000	48	0,91	0,56	2,3	3	2,7	
56	ILF3 053-4AB20	0,09	1 500	50	0,93	0,58	2,2	4	3	
63	ILF3 056-4AB20	0,12	1 500	56	0,93	0,50	2,4	5	3,8	
63	ILF3 063-4AB20	0,18	1 500	57	0,97	0,55	2,4	6	4,4	
71	ILF4 070-4AB20	0,25	1 500	61	0,96	0,36	2,2	10	5,2	
71	ILF3 073-4AB20	0,37	1 500	64	0,97	0,44	2,3	12	6,4	
80	ILF3 080-4AB20	0,55	1 500	69	0,98	0,37	3,1	16	8,4	
80	ILF3 083-4AB20	0,75	1 500	73	0,99	0,38	3,4	20	9,9	
90S	ILF3 090-4AB20	1,1	1 500	71	0,98	0,3	3,3	30	12,5	
90L	ILF3 098-4AB20	1,5	1 500	73	0,98	0,32	3,6	40	16,6	
100L	ILF3 106-4AB20	2,2	1 500	75	0,98	0,25	3,9	50	30	
71	ILF3 070-2ADO	0,22	3 000	57	0,64	2,65	3,9	40	6,2	Motor monofazat cu fază capacitivă numai pentru pornire. Pornire numai în sarcină.
71	ILF3 073-2ADO	0,32	3 000	59	0,67	2,72	3,8	60	7,8	
80	ILF3 080-2ADO	0,45	3 000	62	0,74	2,70	4,2	80	9,5	
80	ILF3 083-2ADO	0,65	3 000	63	0,75	2,68	4,1	125	11,4	
90L	ILF3 097-2ADO	0,9	3 000	72	0,73	2,56	4,3	160	15,7	
90L	ILF3 098-2ADO	1,3	3 000	75	0,76	2,63	4,2	200	17,7	
100L	ILF3 106-2ADO	1,8	3 000	76	0,78	2,52	4,8	250	30	
71	ILF3 070-4AD20	0,15	1 500	52	0,62	2,6	3,6	40	6	
71	ILF3 073-4AD20	0,22	1 500	54	0,65	2,56	3,8	60	7,2	
80	ILF3 080-4AD20	0,32	1 500	61	0,68	2,7	4	80	9,3	
80	ILF3 083-4AD20	0,45	1 500	62	0,73	2,65	3,9	100	10,9	
90L	YLF3 097-4AD20	0,65	1 500	64	0,73	2,75	4,1	125	16,6	
90L	ILF3 098-4AD20	0,9	1 500	66	0,74	2,7	4,5	160	17,6	
100L	ILF3 106-4AD20	1,3	1 500	68	0,73	2,65	4,7	200	30	

MOTOARE DE CURENT CONTINUU PRODUSE DE I.M.E.B.

TIPUL	Putere nominală [kW]	TURATIE [rot/min]		Tensiune indus [V]		Tensiune excitație [V]	Cuplul maxim la pornire [Nm]	Cuplu maxim în funcționare (Nm)		Obs.
		nomin.	maxim.	nominală	maximă			$n < n_n$	$n > n_n$	
MCM 802	7,5	900	90	1 800	440/220	220/110	24,3	22	8,2	Destinate acționărilor specifice industriei metalurgice (căi cu role, caje de laminor etc.)
MCM 803	11	800	80	2 000	440/220	220/110	41	36,6	11,4	
MCM 804	15	725	70	1 800	440/220	220/110	60	54	20,2	
MCM 806	22	650	65	1 950	440/220	220/110	100	90	33	
MCM 808	37	575	60	1 725	440/220	220/110	190	168	62,8	
MCM 810	55	550	55	1 650	440/220	220/110	293	240	97,5	
MCM 812	75	515	50	1 300	440/220	220/110	426	380	142	

GENERATOARE DE CURENT CONTINUU PENTRU UTILIZĂRI GENERALE PRODUSE DE I.M.E.B.

Gabarit	TIPUL	$P_n$ [kW]	$U_n$ V	$I_n$ A	$n_n$ [rot./min]	Excitație tip	Tensiunea exc. sep. [V]	Reglaj tensiune	$\eta$ %	Masa [kg]	Clasă izolație	Obs.
180 M	CE 180 M	11	115/230	96/48	1 500	mixtă	—	115-30 ; 230-80	0,85	180	E	
180 M	CE 180 M	18,4	230	80	2900	separată	110/220	230-23	0,88	180	E	
280 S	CE 280 S	27	115	235	1 460	sep. + serie	110	115-55	0,85	520	B	
280 S	CE 280 S	35	230	152	1 460	sep. + serie	220	230-55	0,85	500	B/F	
280 S	CE 280 S	55	170	323	323	separată	110	170-23	0,81	520	E	
280 S	CE 280 S	55	230	237	3 000	separată	220	—	0,84	520	E	
355 S	CE 355 S	110	220	545	1 500	„	220	—	0,9	1 100	B	
355 S	CE 355 S	110	440	250	1 460	„	110	475-85	0,9	1 100	B	

Observații:

Destinație: utilizări industriale generale în întreprinderi, nave, ca surse de curent continuu în grupurile convertizoare, acționări Ward-Leonard etc.

MASINI ELECTRICE DE CURENT CONTINUU FABRICATE DE ÎNȚEPRINDEREA ELECTROPUTERE — CRAIOVA

TIPUL	$P_n$ [kW]	$U_n$ [V]	$I_n$ [A]	Excitație tip	Tensi- unea excitației [V]	$n$ [rot/min]	Masa [kg]	Curent excitație (A)	Observații
Tracțiune	GA 575/8	50	435	derivație	115	400 — 750	400 — 750	7	Pt. locom. el. LDE 1 250 CP- generator
	GE 575/8F	75	440	derivație	170	530 — 1 070	—	7	Gen. auxiliar LDE 2 100 CP CP-generator
	GDTM 533F	200	820	serie	—	495	2 100	820	Loc diesel LDE 2 100 CP motor
	GP 990/12	750	1 500	mixtă	115	750	6 500	22	Generator principal LDE 1250
	LJE 108-1	850	1 180	serie	—	1 100	2 900	1 180	Loc. LE 5 100 kW-motor
	GCE 1 100/10F	1 350	2 460	mixtă	170	1 080	7 700	21	Generator principal LDE 2 100 CP
Foraj	F 533/6 Ex.p.II.T3	400	820	separată	230	1 000	2 100	44,5	Mășini destinate forajului (genera- toare pentru grupuri electrogene sau motoare care acționează pompe în protecție antiexplozivă).
	F 850 Ex.p.II.T3	850	1 180	separată	230	1 100	2 900	23,5	

SERVOMOTOARE DE CURENT CONTINUU CU INERTIE REDUSĂ, PENTRU ACŢIONAREA AVANSULUI  
LA MAŞINI UNELTE CU COMANDĂ PROGRAM (ICPE, IPB, IENT).

Caracteristica	Simbol	UM	SMU-C7	SMU-CL7	SMU-C35	SMU-C55	SMU-CL25
Cuplu nominal	$M_n$	[Nm]	7	17	35	55	125
Turaţia nominală	$n_n$	[rot/min]	1 000	500	500	500	300
Turaţia maximă	$n_{max}$	[rot/min]	2 000	1 200	1 200	1 200	1 000
Cuplul la $m_{max}$	$M_{im}$	[Nm]	3,5	7,5	15	23	37,5
Cuplul impulsional maxim	$M_{imp}$	[Nm]	70	170	350	550	1 000
Curentul nominal	$I_n$	[A]	16	20	28	31	27
Curentul la $n_{max}$	$I_{im}$	[A]	8	8,5	14	13	8
Curentul impulsional	$I_{imp}$	[A]	160	200	280	310	208
Tensiunea nominală	$U_n$	[V]	60	60	80	115	180
Tensiunea maximă	$U_{max}$	[V]	120	140	180	270	615
Moment de inerţie	$J$	[kg m <sup>2</sup> ]	0,01	0,018	0,065	0,09	0,282
Constantă de timp electronică	$T$	[ms]	10	12	22	20	15
Masă	$M$	[kg]	22	42	75	100	200

SERVOMOTOARE DE CURENT CONTINUU CU ÎNTERFIER AXIAL ŞI ROTOR DISC PENTRU ACŢIONAREA  
AVANSULUI LA MAŞINI — UNELTE (PRODUSE DE I.C.P.E.)

Caract. ristica	$U_n$	SMU 180	SMU 370	SMU 750	SMU 1200	SMU SMUTI 1500	SMU SMUTI 2200	SMU SMUTI 4000	SMU SMUTI 5500
Cuplu nominal, $M_n$	[N.cm]	57,5	118	238	382	478	700	1 270	1 750
Cuplul impulsional maxim, $M_i$	[N.cm]	400	400	1 550	1 550	3 100	3 100	8 250	8 250
Turaţia nominală, $n_n$	[rot/min]	3 000	3 000	3 000	3 000	3 000	3 000	3 000	3 000
Turaţia maximă, $n_{max}$	[rot/min]	3 600	3 600	3 600	3 600	3 600	3 600	3 600	3 600
Putere nominală, $P_n$	[kW]	0,18	0,37	0,75	1,2	1,5	2,2	4	5,5
Curentul nominal, $I_n$	[A]	11	22	16	24	23	32	28	38
Curent maxim cu rotor blocat, $I_M$	[A]	11	22	16	24	23	32	28	38
Tensiunea nominală, $U_n$	[V]	24	28	65	68	80	84	165	170
Moment de inerţie, $J$	[kg.cm <sup>2</sup> ]	3,5	3,5	11	11	28	28	98	98
Constantă de timp mecanică	[ms]	2,5	2,5	13	13	12	12	10	10



**GENERATOARE SINCRONE TRIFAZATE PENTRU GRUPURI ELECTROGENE, 50 HZ, IP 23,  
PRODUSE DE „ELECTROPUTERE” CRAIOVA**

TIP	$P_n$ [kVA]	$\cos \varphi$ nom	$\eta$ [%]	$U_n$ [V]	$n_n$ [rot/min]	$I_n$ [A]	$I_{ex}$ [A]	$U_{ex}$ [V]	Masa [kg]	Observații
GSA-M 61-4	265	0,8	91,3	400	1 500	383	107	63	1 200	Destinația: grupurile electrogene principale ale navelor maritime. Excitație statică, cu reglaj automat de tensiune Răcire cu autoventilație interioară
GSA-M 72-4	590	0,8	94,3	400	1 500	854	110	84	2 000	
GSA-M 52-6	175	0,8	90,3	400	1 600	254	71	68	1 300	
GSA-M 51-6	130	0,8	89,6	400	1 000	188	63	62	1 100	
GSA-M 62-6	245	0,8	90,8	400	1 000	354	94	75	1 500	
GSA-M 63-6	390	0,8	92,3	400	1 000	563	97,5	95	1 600	

**GRUPURI CONVERTIZOARE DE MEDIE FRECVENȚĂ FABRICATE DE IMEB (MOTOR ASINCRON  
TRIFAZAT CU BARE ÎNALTE + GENERATOR SINCRON MONOFAZAT DE TIP GUY)**

TIP	Generator monofazat				Motor asincron trifazat				Ansamblu grup					
	$P_n$ [kW]	$U_n$ [V]	$f$ [Hz]	$\cos \varphi$	$U_{ex}$ [V]	$P_n$ [kW]	$U_n$ [V]	$I_n$ [A]	$f$ [Hz]	$\cos \varphi$	$n_1$ [rot/min]	[%]	Masă [kg]	Debit apă răcire [l/min]
GEF AV 100/8 000	100	700	8 000	0,8	60/120	125	380	216	50	0,88	3 000	80	2 150	30—40
GEF AV 100/8000	110	750	8 000	0,7	60/120	135	380	237	50	0,88	3 000	80	2 180	30—40
GEF AV 50/8 000	50	700	8 000	0,8	60/120	55	380	113	50	0,86	3 000	78	1 450	20—30
GEF AV 56/8 000	56	700	8 000	0,7	60/120	72	380	128	50	0,85	3 000	78	1 460	20—30
GEF AV 125/2 500	125	$\overline{375}$ 750	2 500	0,95	120	150	380	255	50	0,89	3 000	83	2 250	30—40
GEF AV 125/2 500 a	125	1 500	2 500	0,95	120	150	380	255	50	0,89	3 000	82	2 280	30—40
GEF AV 300/2 500	300	$\overline{750}$ 1 400 700	2 500	1	250	325	380	593	50	0,915	3 000	84	4 000	60—70

*Notă.* Construcție monobloc, cu carcasa și arburile comune; răcire combinată, cu aer în circuit închis și apă în circuit deschis; utilizare-cuptoare pentru topit metale, încălzire în vederea forjării, călire artificială etc.



## BIBLIOGRAFIE

1. A d k i n s, B. *The general theory of electrical machines*. Londra, Chapman-Hall, Ltd., 1957.
2. B ă l ă, C.V. *Mașini electrice*. București, Editura didactică și pedagogică, 1979.
3. B ă l ă, C. V. *Proiectarea mașinilor electrice*. București, Editura didactică și pedagogică, 1967.
4. B ă l ă, C. V., F e t i ța, A l., L e f t e r, V. *Handbuch der Wickeltechnik elektrischer maschinen*. Berlin, VEB, Verlag Technik, 1969.
5. B ă l ă, C. V., Ț o g u i, L., C o v r i g, M. *Mașini electrice — probleme*. București, Editura didactică și pedagogică, 1974.
6. B i c h i r, N., R ă d n u ți, C., D i c u l e s c u, A. S. *Mașini electrice*. București, Editura didactică și pedagogică, 1979.
7. B ö d e f e l d, T. H., S e q u e n z, H. *Elektrische maschinen*. Viena, Springer Verlag, 1972.
8. B o ța n N. V. *Bazele calculului acționărilor electrice*. București, Editura tehnică, 1970.
9. B r a ș o v a n, E., s.a. *Acționări electrice, aplicații industriale*. București, Editura tehnică, 1977.
10. C e d i g h i a n, S. *Materiale magnetice*. București, Editura tehnică, 1972.
11. C e n t e a, O., M i c l o ș i, V. *Mașini și aparate pentru sudarea electrică*. București, Editura tehnică, 1967.
12. C i o c, I., B o r o ș, I., C r i s t e a, N. *Mașini electrice, Indrumar de proiectare*. Craiova, Editura Scrisul românesc, 1976.
13. C î m p e a n u, A. *Mașini electrice*, Craiova, Editura Scrisul românesc, 1977.
14. C o n s t a n t i n e s c u, V. N. *Aplicații industriale ale lagărelor cu aer*. București, Editura Academiei R.S.R., 1968.
15. D o r d e a, T. *Mașini electrice*, București, Editura didactică și pedagogică, 1977.
16. D u m i t r a c h e, D., G h i ță, C. *Transformatorul. Indrumar de proiectare*. Litografia Institutului Politehnic București, 1970.
17. D y m k o v, A. *Transformer design*. Moscow, Mîr publishers, 1975.
18. F r a n s u a, A l., s. a. *Mașini și acționări electrice, Probleme fundamentale*. București, Editura tehnică, 1978.
19. F r a n s u a, A l. *Mașini și acționări electrice*. București, Editura didactică și pedagogică, 1967.
20. G a l a n, N. *Mașini și acționări electrice*. Litografia Institutului politehnic București, 1976.
21. G a l a n, N. *Motorul electric cu histerezis*. București, Editura tehnică, 1974.

22. Gheorghiu, I. S., Fransua, A. I. *Tratat de mașini electrice*, vol. I-IV. București, Editura Academiei R.S.R., 1969—1972.
23. Iacobescu, G. h., Iordănescu, I., Țenovic, R. *Rețele electrice*. București, Editura didactică și pedagogică, 1975.
24. Iacobescu, G. h., Iordănescu, I., Tudose, M. *Rețele și sisteme electrice*. București, Editura didactică și pedagogică, 1979.
25. Ifrim, A., Noțingher, P. *Materiale electrotehnice*. București, Editura didactică și pedagogică, 1979.
26. Jayawant, B. V. *Induction machines*. London, Mc. Graw-Hill, 1968.
27. Jerve, G. K. *Inercările mașinilor electrice rotative*. București, Editura tehnică, 1972.
28. Jezierski, E., ș.a. *Transformatoare electrice, construcție și proiectare*. București, Editura tehnică, 1966.
29. Jones, V. Ch. *The unified theory of electrical machines*. Londra, Butterworths, 1967.
30. Kelemen, A. *Acționări electrice*. București, Editura didactică și pedagogică, 1979.
31. Kelemen, A., Imecs, M. *Mutatoare*. București, Editura didactică și pedagogică, 1978.
32. Kostenko, M., Piotrovski, I. *Machines electriques*. Moscova, Editura Mir, 1979.
33. Kovacs, K. P. *Analiza regimurilor tranzitorii ale mașinilor electrice*. București, Editura tehnică, 1980.
34. Lazu, C., Corlățeanu V. *Mașini electrice*, vol. I-II. București, Editura didactică și pedagogică, 1960—1962.
35. Lăzăroiu, D. F., Sliher, S. *Mașini electrice de mică putere*. București, Editura tehnică, 1973.
36. Lyon, W. *Transient analysis of alternating current machinery*. New-York, John Wiley and Sons, 1954.
37. Mihoc, D. *Automatizări în energetică*. București, Editura didactică și pedagogică, 1979.
38. Moraru, A. *Mașini electrice*. Litografia Institutului Politehnic București, 1972.
39. Müller, G. *Elektrische Maschinen*. Berlin, VEB Verlag technik, 1976.
40. Nedelcu, V. N. *Mașini electrice*. București, Editura didactică și pedagogică, 1968.
41. Nicolaide, A. *Mașini electrice*, vol. I, II. Craiova, Editura Scrisul românesc, 1978.
42. Nicolescu, E., Răduți, C. *Mașini electrice fabricate în R.P.R., Algere, exploatare, reparare*. București, Editura tehnică, 1965.
43. O'Kelly and Simmons. *Introduction to generalized electrical machine theory*. London, Mc Graw-Hill, 1968.
44. Pantelimon Lucia, Decusară, N. *Montarea și exploatarea liniilor și instalațiilor electrice*. București, Editura didactică și pedagogică, 1977.
45. Postnicov, I. M. *Obobscenaia teoria i profesî elektriceskih mašin*. Moskva, Vișșaiâ școla, 1975.
46. Popescu Christina, Lefter Cecilia, *Materiale electrotehnice*. București, Editura didactică și pedagogică, 1970.
47. Preda, M., Cristea, P., Spinei, F. *Bazele electrotehnicii*, vol. I, II. București, Editura didactică și pedagogică, 1980.
48. Potolea, E. *Calculul regimurilor de funcționare ale sistemelor electroenergetice*. București, Editura tehnică, 1977.
49. Răduleț, R. *Bazele electrotehnicii, Probleme*, vol. I—II. București, Editura didactică și pedagogică, 1975.
50. Reiser J. *Elektrische maschinen*. München, 1969.
51. Richter, R. *Mașini electrice*, vol. I-V. București, Editura tehnică, 1959—1961.
52. Rișcora, Z. A. *Transformatori dlia kontaktnih elektrosvorocinîh mašin*. Grosenergoizdat, 1963.

53. Sand, M. *Mașini electrice speciale*. București, Editura didactică și pedagogică, 1963.
54. Serghееv, P. S. *Elektricheskie mașini*. Moskva, Leningrad, Gosenergoizdat, 1975.
55. Serghееv, P. S. ș.a. *Proiektirovanie elektriceskih mașin*. Moskva, Energia, 1970.
56. Siemens. *Memoratorul inginerului electrician*, București, Editura tehnică, 1971.
57. Șarov, V.S. *Sverhvisokoskorostnîie asinhronîie elektrodvigateli*. Moskva, Gosenergoizdat, 1963.
58. Șașanov, L. N. *Mehaničeskaia sistema vîsoko-scorostnîh elektrodvigateli*. Moskva, Energhia, 1971.
59. Tihomirov, P. M. *Rasciot transformatorov*, Moskva, Gosenergoizdat, 1962.
60. Timotin, A., s.a., *Lecții de bazele electrotehnicii*. București, Editura didactică și pedagogică, 1970.
61. Titz, Gh. *Curs de mutatoare*. Litografia Institutului politehnic București, 1977.
62. Tunsoiu, Gh. *Aționări electrice cu tiristoare*. București, Litografia Institutului politehnic 1980.
63. Vasilii, Gh., Suchar, I., Șerban, Gh. *Micromotoare de curent continuu cu comutație statică*, București, Editura tehnică, 1976.
64. Vasiutinski, S. B. *Voprosî teorii i rasceta transformatorov*. Leningrad, Energhia, 1970.
65. Vinogradov, N. V. *Fabricarea mașinilor electrice*. București, Editura tehnică, 1964.
66. Vogt, K. *Electrische Maschinen*. Berlin, VEB, Verlag Technik, 1976.
67. Wiedemann, E., Kellenberger, W. *Konstruktion elektrischer maschinen*. Berlin, Springer Verlag, 1967.

Număr plan : 5980.  
Coli de tipar : 37.  
Bun de tipar : 10.VIII.1931.



Tiparul executat sub comanda nr. 401  
la I.P. „Filaret” str. Fabrica de chibrituri  
nr. 9-11. București.  
Republica Socialistă România

